

再処理工場事前環境監視結果 IV 頻度分布

Assembly of Data on Preoperational Environmental Monitoring
at PNC Tokai - Works. Part IV Percentile plotting.

1977年11月

動力炉・核燃料開発事業団

東海事業所

この資料は動燃事業団の開発業務を進めるため限られた関係者だけに配布するものです。したがってその取扱いには充分注意を払って下さい。なお、この資料の供覧、複製、転載引用等には事業団の承認が必要です

再処理工場事前環境監視結果Ⅳ資料集

Assembly of Data on Preoperational Environmental Monitoring
at PNC Tokai - Works. Part IV Percentile plotting.

平 山 昭 生※
岸 本 洋 一 郎※
成 田 脩※

要 旨

再処理工場事前環境モニタリングとして、東海事業所（動力炉・核燃料開発事業団）安全管理部環境安全課（昭和49年4月以前は、安全対策課環境係、昭和48年4月以前は安全管理課測定係）において、昭和46年4月から昭和52年3月（一部4月）までの間に計画、採取された環境試料中放射能濃度（環境中放射線量）の測定結果を整理し、各試料の濃度（線量）の出現頻度を、累積度数分布図に表わし、編集した。

ま え が き

昭和46年4月から開始された再処理工場事前環境モニタリング計画によって、環境試料の採取、試料中放射性物質濃度測定が行なわれてから、計画の変遷はあったが、昭和52年3月、ウラン試験終了により、一応事前環境モニタリングに一区切がつくまでの期間において、東海事業所周辺（敷地内も含）を対象にして集積された、環境試料中放射能濃度、環境中放射線量のデータの整理を行なった。

その一環として、各データの特性を知る目的で、出現頻度分布をとり、正規確率紙、あるいは対数正規確率紙にプロットして、分布型を検討した。

又、その分布中の特異値（グループも含む）について、原因を調べ、データの再整理を行なった。なお分布型の検討は、これとは別に、 χ^2 （カイ2乗）検討も行なっている。

以上の確率紙にプロットした各試料各測定対象ごとの累積度数分布図を以下に示す。

標記著者のほかに、この資料を作成するにあたり、以下の関係者による、計画、採取、分析、データ解析・整理等の担当業務の集積があったことと、分布図の作成に当り、須藤雅之、郷田正、並木篤の各係員と、常陽産業の根本美紀子さんの協力、頻度計算、分布図の整理、原稿の作成にわたる、JRECの住谷美智子さんの大きな協力のあったことを付記する。

氏 名	分 担	担当年度	氏 名	分 担	担当年度
原 悌二郎	総 括	当初～昭和47年	大 内 一 正	採 取	昭和52年3月現在
村 野 徹	計 画	当初～昭和48年	井 上 義 造	採取・前処理	"
須磨崎 一 治	総 括	昭和47年～49年	篠 原 邦 彦	解析・整理	"
岩 崎 皓 二	総 括	昭 和 49 年 ～	竹 松 光 春	採取・分析・測定	"
大 内 新 一	管 理 ・ 計 画	当初～昭和46年	大 和 愛 司	分析（管理）	"
木 下 睦	管 理 ・ 計 画	昭 和 46 年 ～	坪 憲	分析・測定	"
小 川 巖	計 画 ・ 採 取 ・ 測 定	当初～昭和49年	今 熊 義 一	分析・測定	"
倉 林 美 積	計 画 ・ 採 取 ・ 測 定 ・ 分 析	当初～昭和51年	野 村 保	分析・γスペクトル	"
猿 田 順 一	採 取 ・ 測 定 ・ 整 理	昭和47年～48年	江 尻 英 夫	分析・測定	"
田 辺 裕	γ スペクトル	昭和48年～50年	宮 河 直 人	分析・測定	"
桑 名 克 己	空 間 線 量 測 器	当初～昭和50年	木 村 均	分析・測定	"
武 藤 重 雄	採 取 ・ 測 定	昭和48年～51年	堀 越 義 紀	γ スペクトル	"
大 峰 守	分 析	昭和48年～51年	長 山 賢 治	分析・測定	"
黒 須 五 郎	採 取	昭和52年3月現在	松 本 盛 夫	空間線量測器	"

分析方法の開発

目 次

まえがき	
1. 空間線量率	1- 1~ 1- 32
1) モニタリングステーション空間線量率	1- 1~ 1- 16
2) モニタリングポスト空間線量率	1- 17~ 1- 32
2. 積算線量	2- 1~ 2- 12
3. 大気中放射性物質濃度	3- 1~ 3- 47
1) 大気中浮遊塵	3- 1~ 3- 31
2) 大気中 ¹³¹ I濃度	-
3) 大気中β放射性ガス濃度	3- 32~ 3- 47
4. 降下塵中放射性物質濃度	4- 1~ 4- 5
5. 陸水試料中放射性物質濃度	5- 1~ 5- 24
1) 雨水中放射性物質濃度	5- 1~ 5- 8
2) 河川水中放射性物質濃度	5- 9~ 5- 18
3) 飲料水中放射性物質濃度	5- 19~ 5- 24
6. 陸土中放射性物質濃度	6- 1~ 6- 12
1) 表土中放射性物質濃度	6- 1~ 6- 11
2) 河底土中放射性物質濃度	6- 12
7. 陸上生物中放射性物質濃度	7- 1~ 7- 33
1) 野菜中放射性物質濃度	7- 1~ 7- 12
2) 牧草中放射性物質濃度	7- 13~ 7- 23
3) 米麦中放射性物質濃度	7- 24~ 7- 28
4) 牛乳中放射性物質濃度	7- 29~ 7- 33
5) 根菜・果菜中放射性物質濃度	-
8. 海岸水・海水中放射性物質濃度	8- 1~ 8- 37
1) 海岸水中放射性物質濃度	8- 1~ 8- 19
2) 海水中放射性物質濃度	8- 20~ 8- 37
9. 海底土中放射性物質濃度	9- 1~ 9- 27
10. 海岸砂中放射性物質濃度	10- 1~ 10- 17
11. 海産生物中放射性物質濃度	11- 1~ 11- 202
1) カレイ・ヒラメ中放射性物質濃度	11- 1~ 11- 35
2) シラス・白魚中放射性物質濃度	11- 36~ 11- 51

3) カレイ・ヒラメ以外の成魚中放射性物質濃度	11- 52~11- 67
4) 褐藻中放射性物質濃度	11- 68~11-126
5) 紅藻中放射性物質濃度	—
6) 貝類中放射性物質濃度	11-127~11-172
7) 甲殻類(カニ・エビ)中放射性物質濃度	11-173~11-192
8) 軟体類(タコ・イカ)中放射性物質濃度	11-193~11-202
12. 海岸砂・漁網および船体片の表面線量率	12- 1~12- 6
13. 漁網中放射性物質濃度	—
14. 付 録	—

C O N T E N T S

1. Terrestrial Gamma Exposure Rate (T.G.E.R.)	1-	1~	1-	32
1) T.G.E.R. Observed with Monitoring - Station	1-	1~	1-	16
2) T.G.E.R. Observed with Monitoring - Post	1-	17~	1-	32
2. Integrated Dose Observed with				
Thermoluminescent Dosimetry	2-	1~	2-	12
3. Radionuclide Concentration (R C) in Atmosphere	3-	1~	3-	47
1) Radionuclide Concentration in Air-borne Dust	3-	1~	3-	31
2) ¹³¹ I Concentration in Atmosphere				-
3) Gaseous BETA Radioactive				
Concentration in Atmosphere	3-	32~	3-	47
4. Radionuclide Concentration in Fall-out Material	4-	1~	4-	5
5. Radionuclide Concentration in				
Terrestrial Aquatic Sample	5-	1~	5-	24
1) Radionuclide Concentration in Rain Water	5-	1~	5-	8
2) Radionuclide Concentration in River Water	5-	9~	5-	18
3) Radionuclide Concentration in Drinking Water	5-	19~	5-	24
6. Radionuclide Concentration				
in Terrestrial Soil Sample	6-	1~	6-	12
1) Radionuclide Concentration in Surface Soil	6-	1~	6-	11
2) Radionuclide Concentration in River Sediment	6-			12
7. Radionuclide Concentration				
in Terrestrial Organism	7-	1-	7-	33
1) Radionuclide Concentration in Vegetation	7-	1~	7-	12
2) Radionuclide Concentration in Pasture	7-	13~	7-	23
3) Radionuclide Concentration in Crop	7-	24~	7-	28
4) Radionuclide Concentration in Milk	7-	29~	7-	33
5) Radionuclide Concentration in Fruit or Root Vegetation				-

8.	Radionuclide Concentration in Marine Water	8-	1~	8-	37
1)	Radionuclide Concentration in Sea-Shore-Water	8-	1~	8-	19
2)	Radionuclide Concentration in Sea-Water	8-	20~	8-	37
9.	Radionuclide Concentration in Sea Sediment	9-	1~	9-	27
10.	Radionuclide Concentration in Sea-Shore Sand	10-	1~	10-	17
11.	Radionuclide Concentration in Marine Organism	11-	1~	11-	202
1.)	Radionuclide Concentration in Fish(Flat-fish)	11-	1~	11-	35
2.)	Radionuclide Concentration in Fish(White Bait)	11-	36~	11-	51
3.)	Radionuclide Concentration in Fish(Adult Fish)	11-	52~	11-	67
4.)	Radionuclide Concentration in Brown Algae	11-	68~	11-	126
5.)	Radionuclide Concentration in Red Algae				-
6.)	Radionuclide Concentration in Shellfish	11-	127~	11-	172
7.)	Radionuclide Concentration in Crustacea	11-	173~	11-	192
8.)	Radionuclide Concentration in Mollusca	11-	193~	11-	202
12.	Radiation Rate at the Surface of Sea-Shore Sand, Fishing Net, and Sample Board on Monitoring Boat	12-	1~	12-	6
13.	Radionuclide Concentration-in Fishing Net				-

Fig. 1.1.0.0.1.1 Terrestrial Gamma Exposure Rate

Observed with Monitoring-Station ($\tau=1$ hr)(ALL)

図 1.1.0.0.1.1 モニタリングステーション空間線量率 (1時間値) (全測定値)

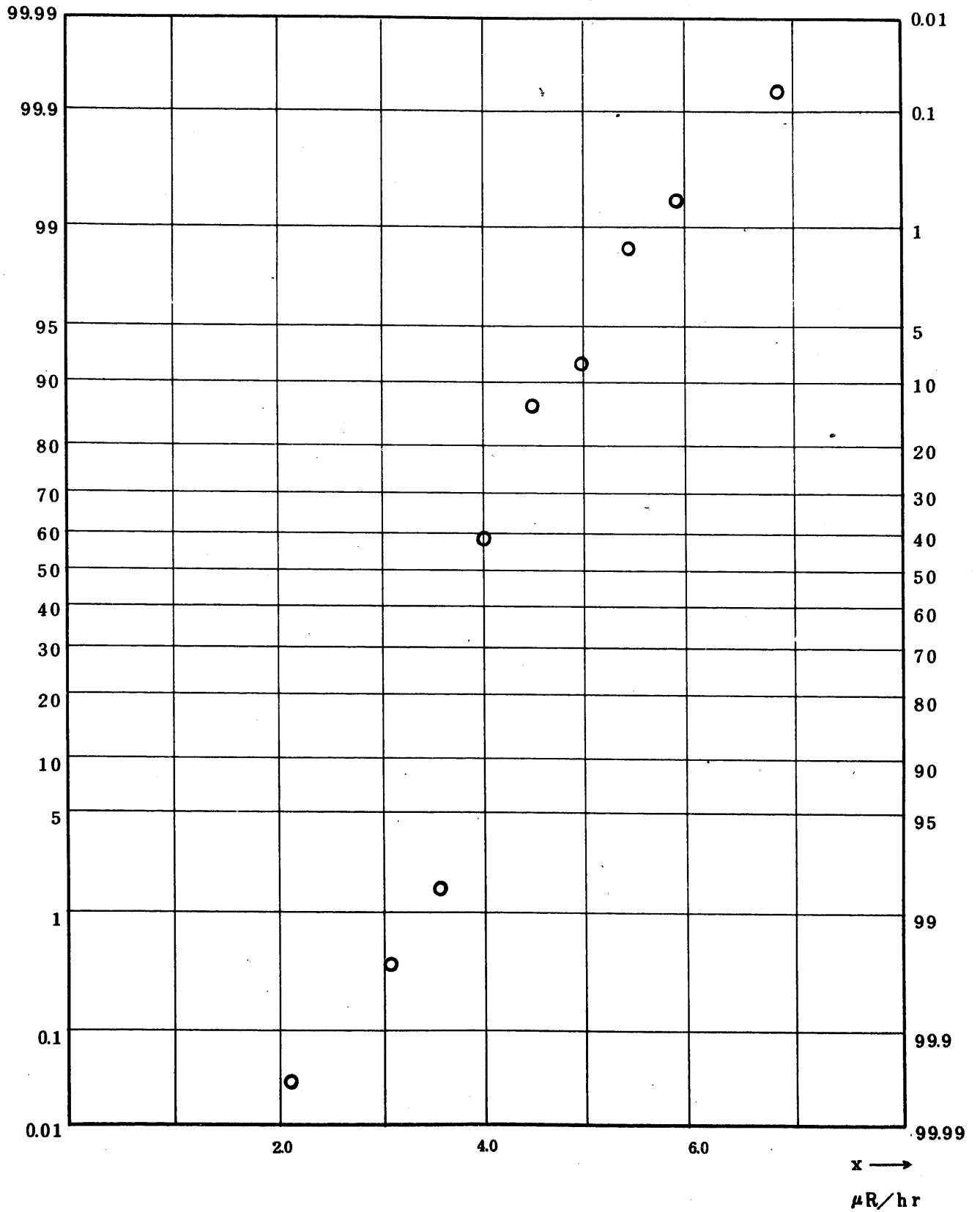


Fig. 1.1.0.0.1.2 Terrestrial Gamma Exposure Rate

Observed with Monitoring-Station ($\tau=1$ hr)(ALL)

図 1.1.0.0.1.2 モニタリングステーション空間線量率(1時間値)(全測定値)

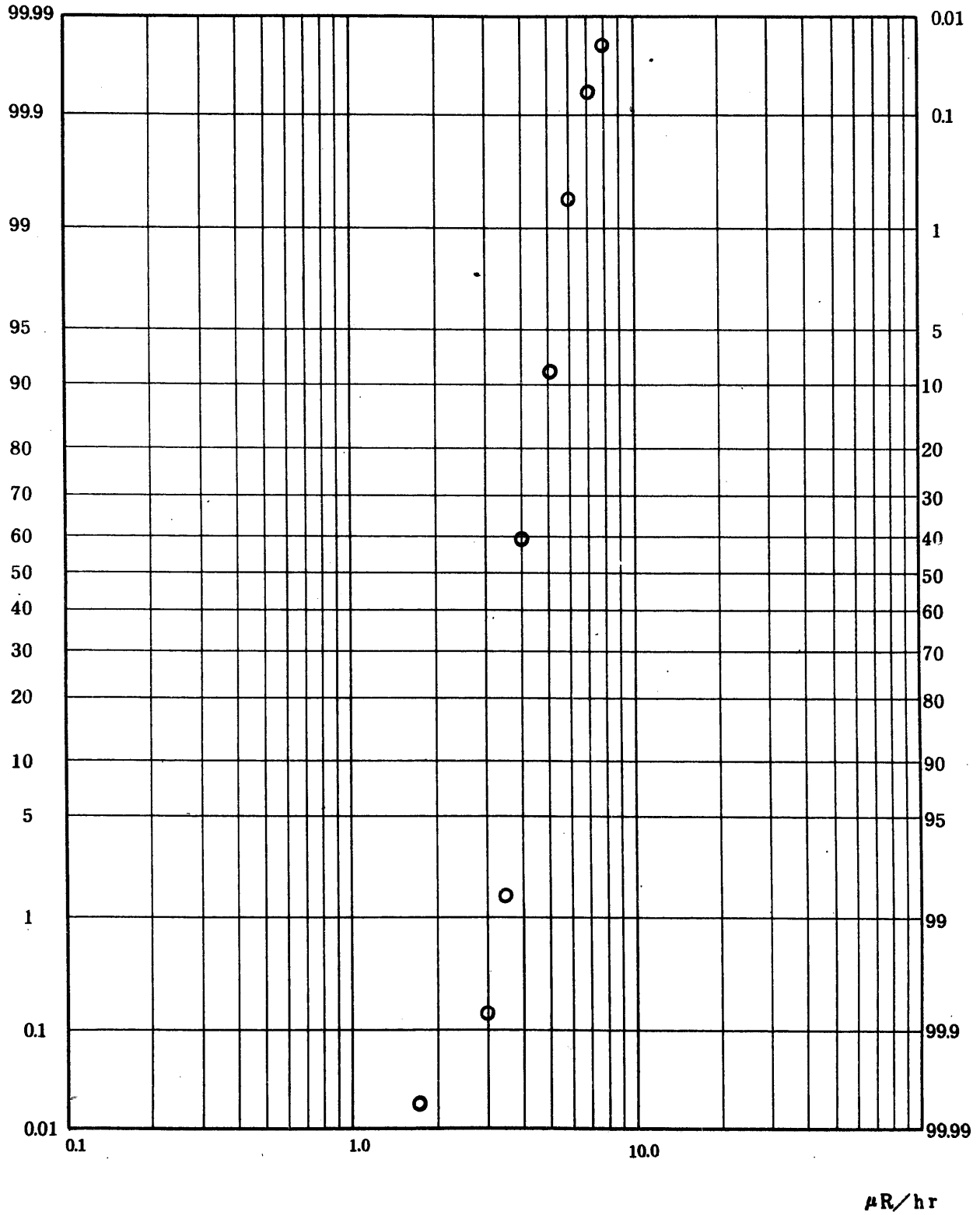


Fig. 1.1.0.0.2.1 Terrestrial Gamma Exposure Rate

Observed with Monitoring-Station ($\tau=1$ day) (ALL)

図 1.1.0.0.2.1 モニタリングステーション空間線量率(1日値)(全測定値)

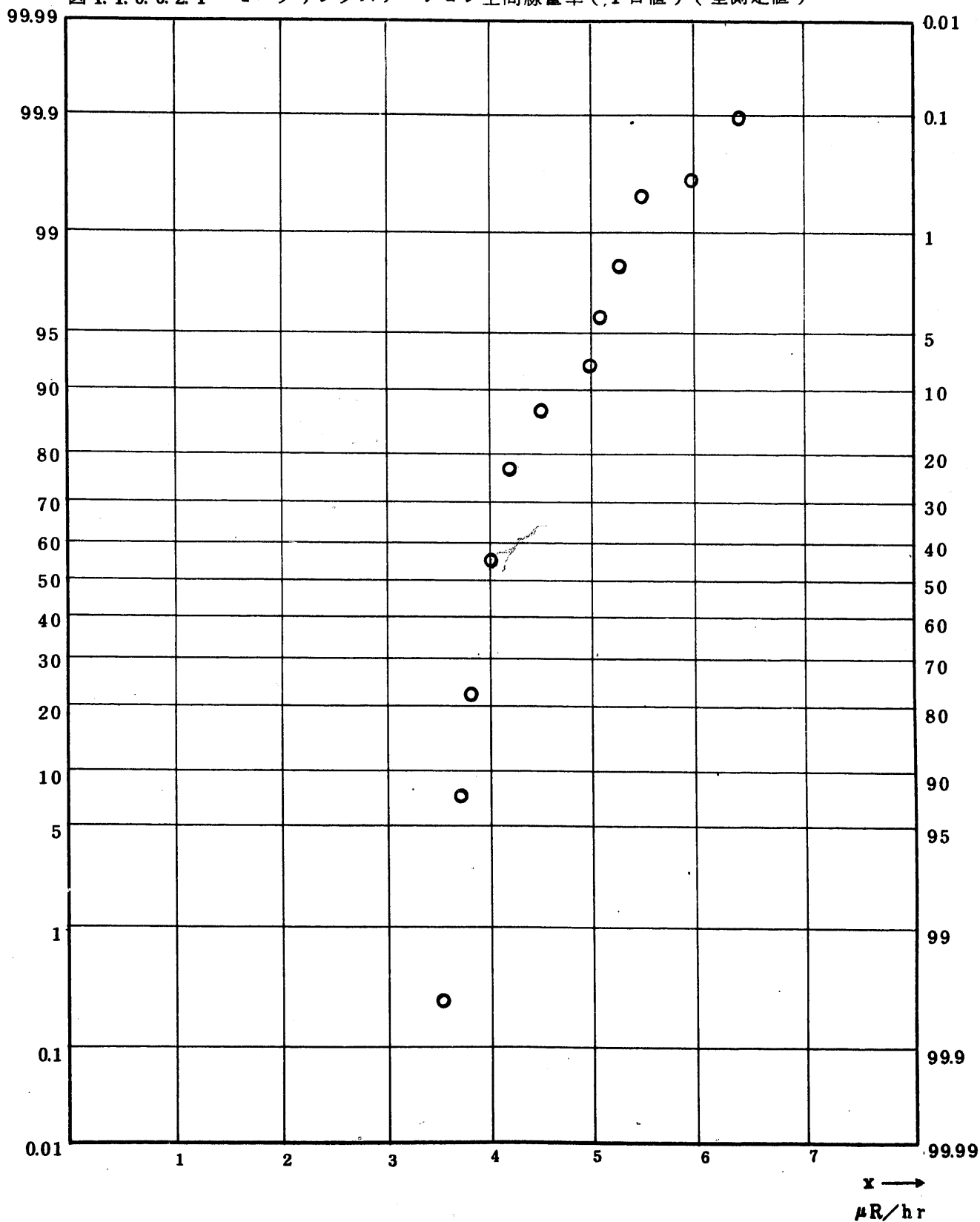


Fig. 1.1.0.0.2.2 Terrestrial Gamma Exposure Rate

Observed with Monitoring-Station ($\tau=1$ day) (ALL)

図 1. 1. 0. 0. 2. 2 モニタリングステーション空間線量率 (1 日値) (全測定値)

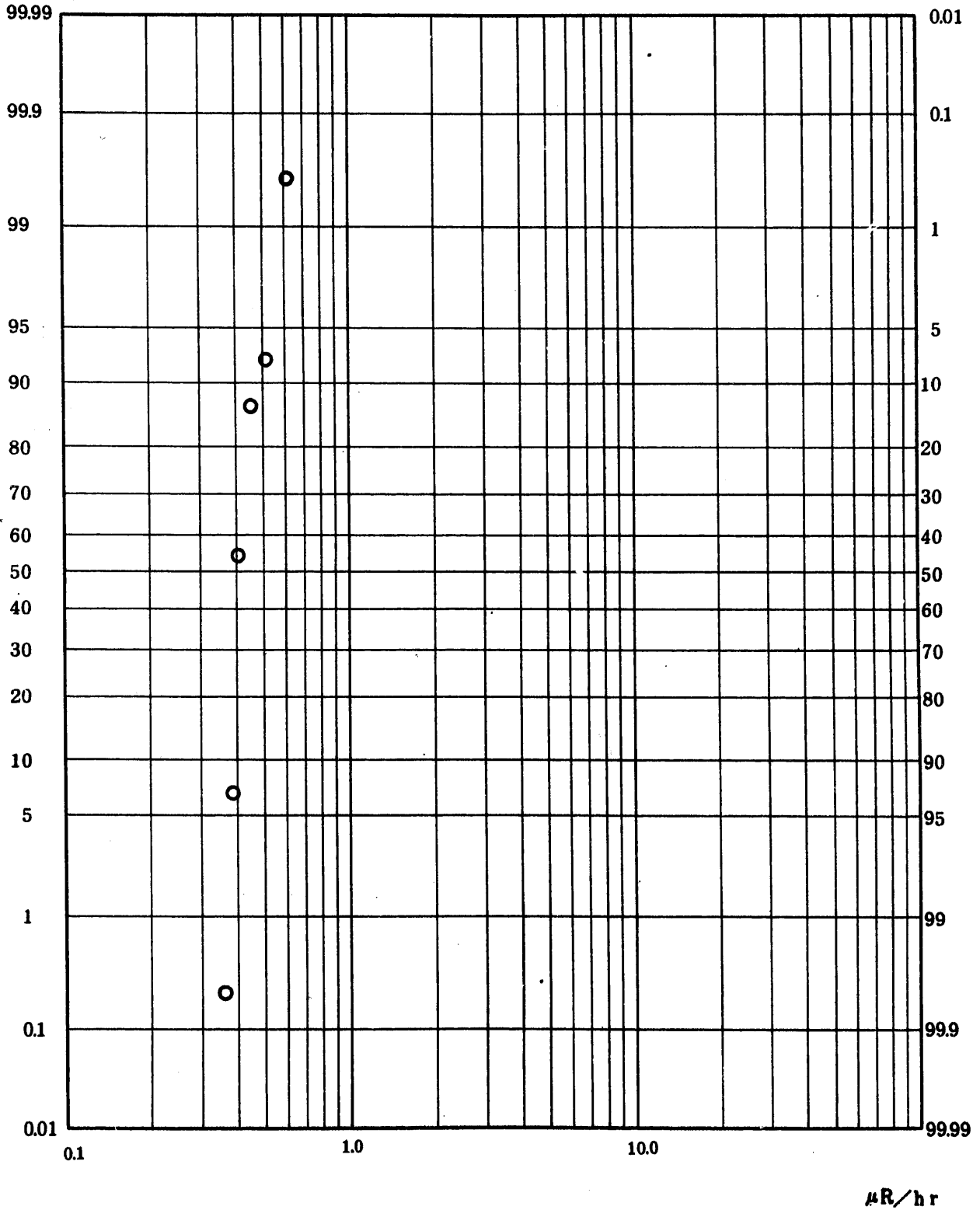


Fig. 1.1.0.0.3.1 Terrestrial Gamma Exposure Rate

Observed with Monitoring-Station ($\tau=1\text{month}$)(ALL)

図 1.1.0.0.3.1 モニタリングステーション空間線量率(1ヶ月値)(全測定値)

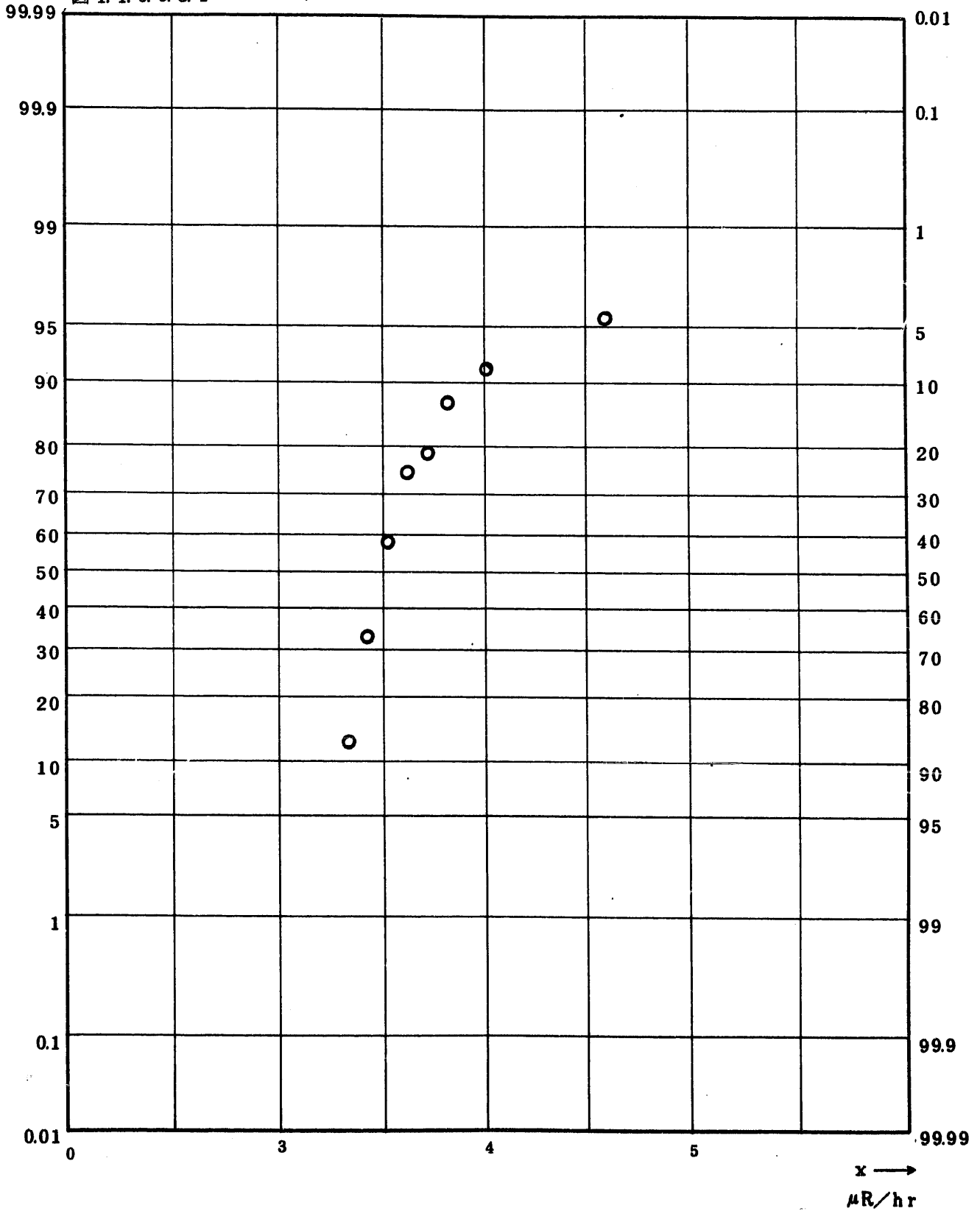
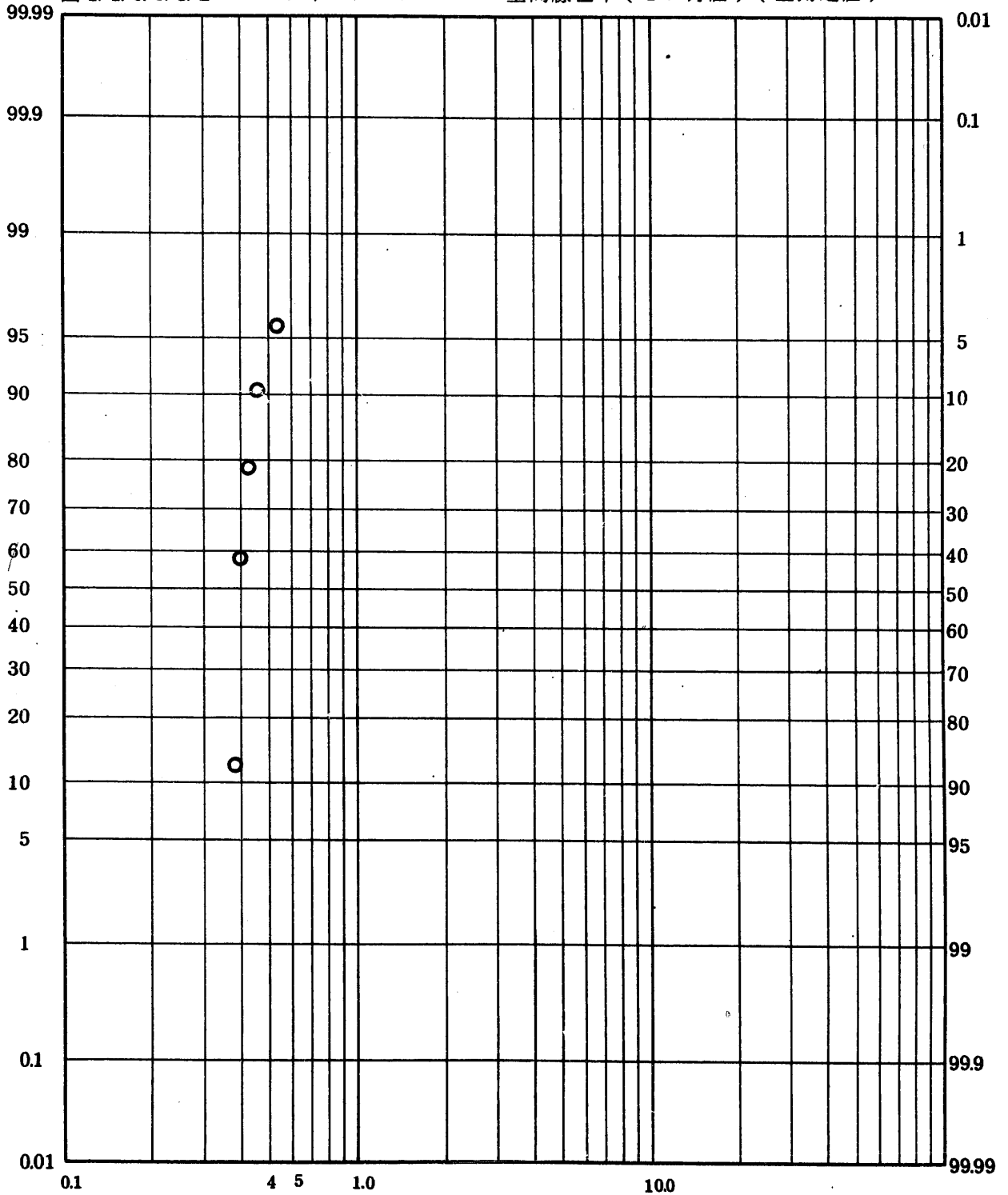


Fig. 1.1.0.0.3.2 Terrestrial Gamma Exposure Rate

Observed with Monitoring-Station ($\tau=1\text{month}$) (ALL)

図 1.1.0.0.3.2 モニタリングステーション空間線量率 (1ヶ月値) (全測定値)



μR/hr

Fig. 1.1.0.0.4.1 Terrestrial Gamma Exposure Rate

Observed with Monitoring-Station ($\tau=3$ months)(ALL)

図 1.1.0.0.4.1 モニタリングステーション空間線量率 (3ヶ月値) (全測定値)

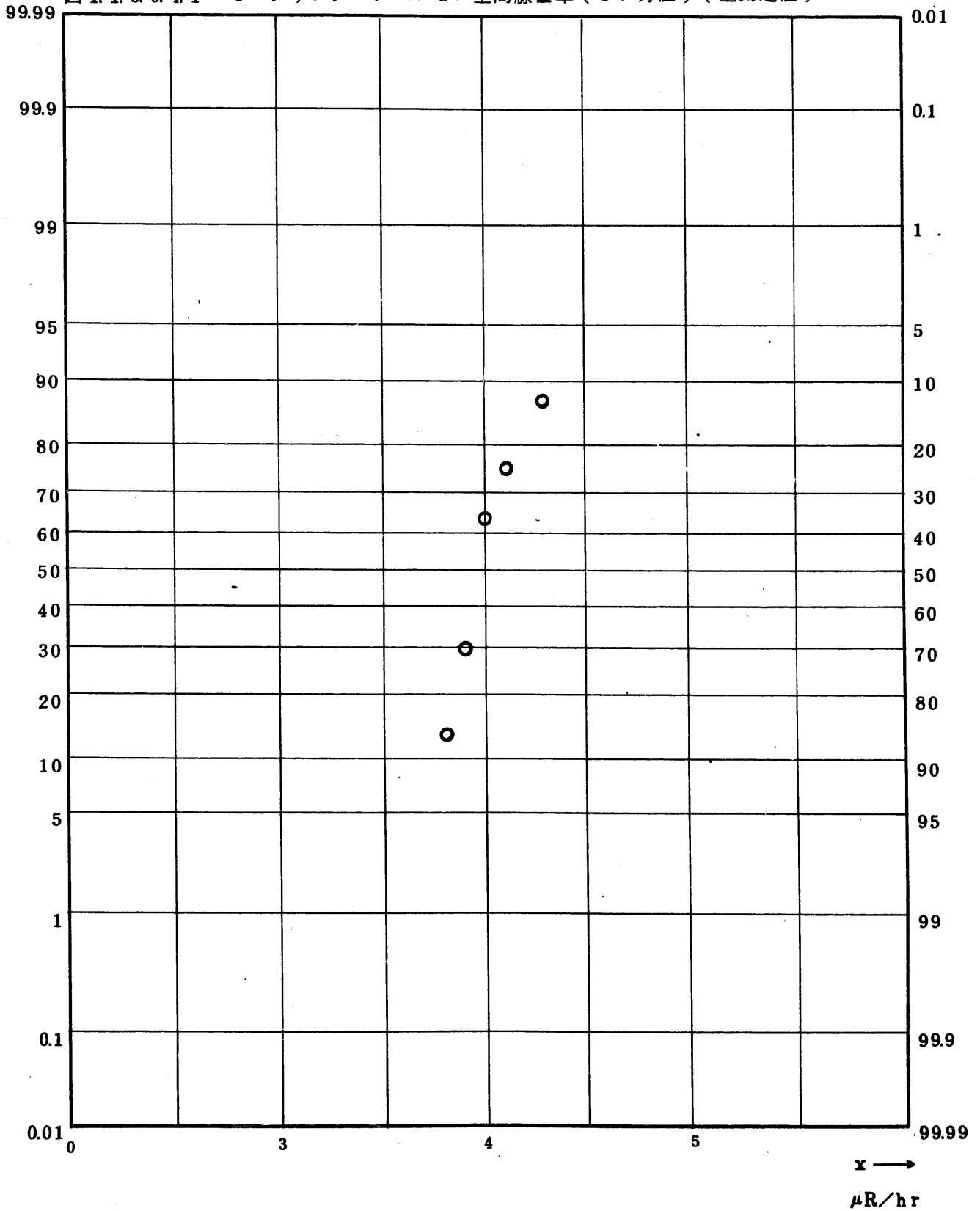


Fig. 1.1.0.4.2 Terrestrial Gamma Exposure Rate

Observed with Monitoring-Station($\tau=3$ months)(ALL)

図 1.1.0.4.2 モニタリングステーション空間線量率(3ヶ月値)(全測定値)

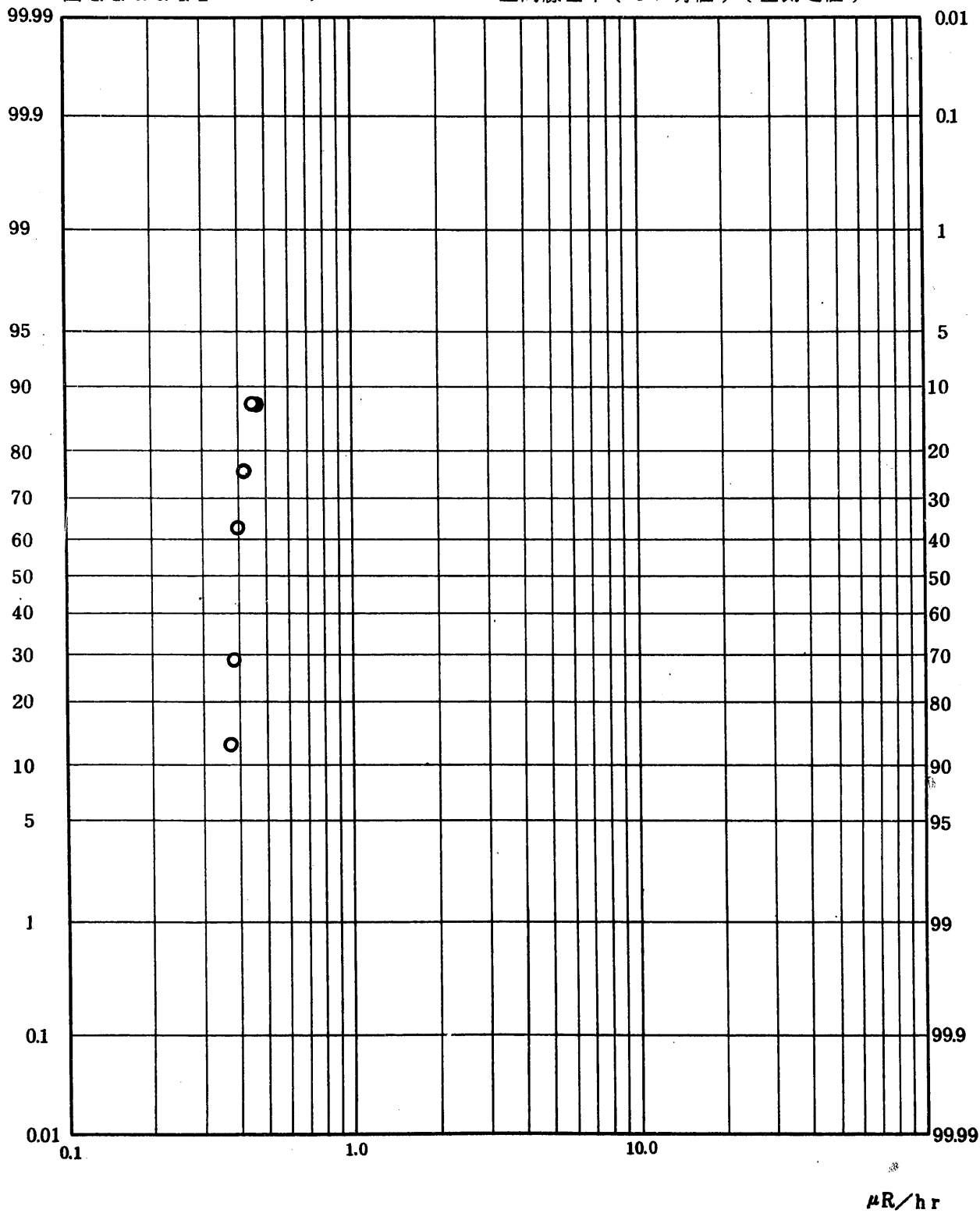


Fig. 1.1.0.1.1 Terrestrial Gamma Exposure Rate

Observed with Monitoring-Station ($\tau=1$ hr) (USUAL)

図 1.1.0.1.1.1 モニタリングステーション空間線量率 (1時間値) (平常値)

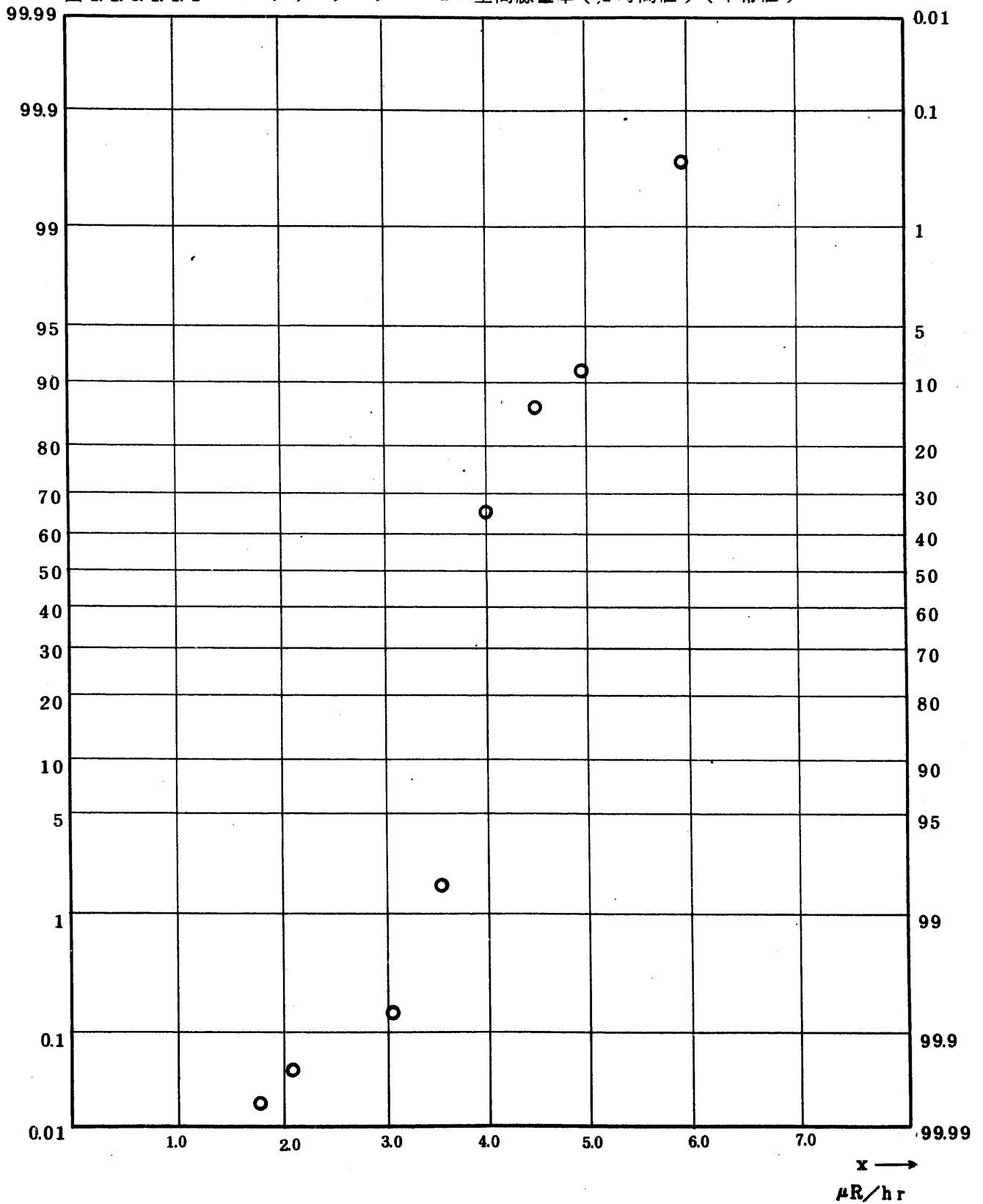


Fig. 1.1.0.1.1.2 Terrestrial Gamma Exposure Rate

Observed with Monitoring-Station ($\tau=1$ hr) (USUAL)

図 1.1.0.1.1.2 モニタリングステーション空間線量率 (1時間値) (平常値)

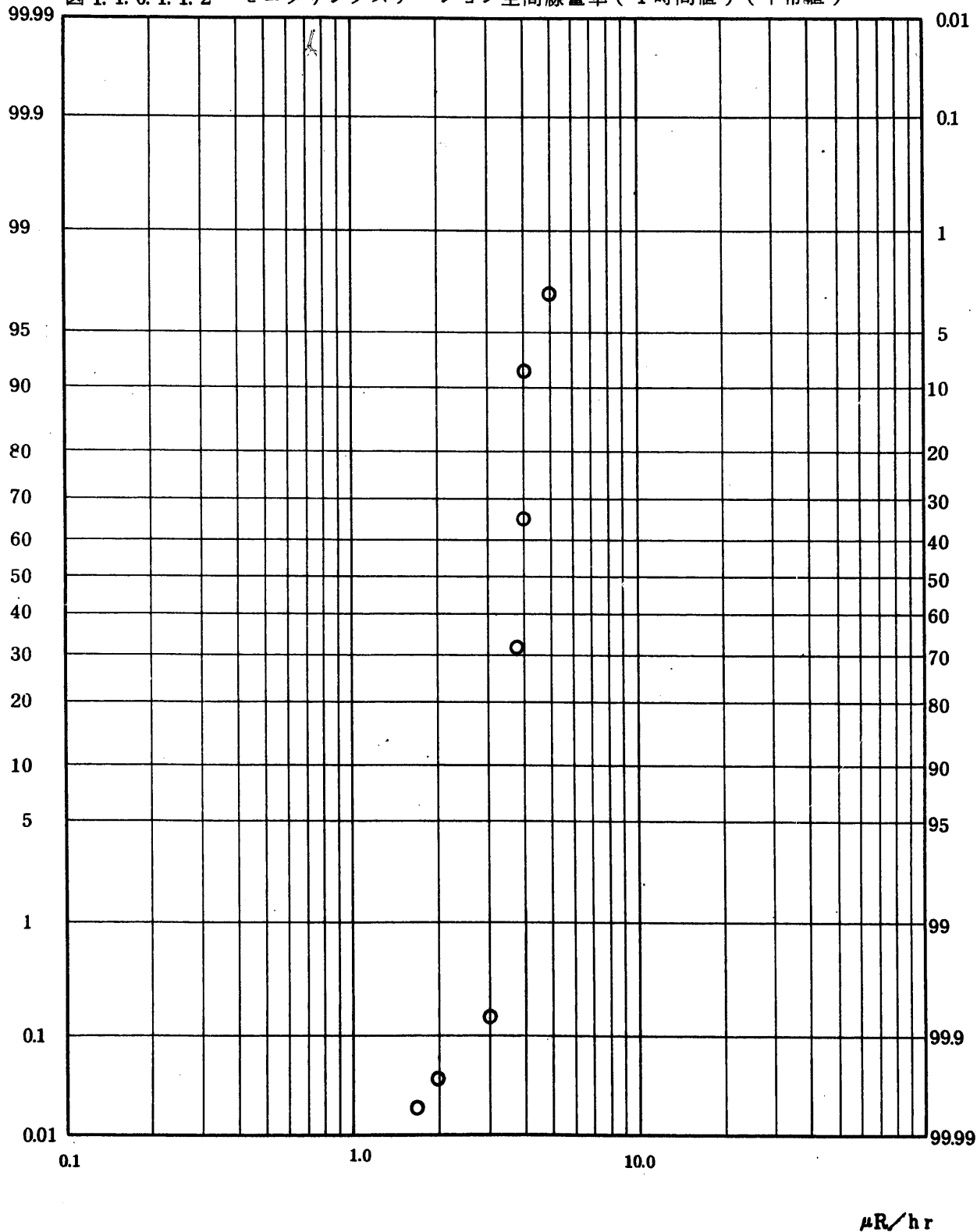


Fig. 1.1.0.1.21 Terrestrial Gamma Exposure Rate

Observed with Monitoring-Station ($\tau=1$ day)(USUAL)

図 1.1.0.1.21 モニタリングステーション空間線量率(1日値)(平常値)

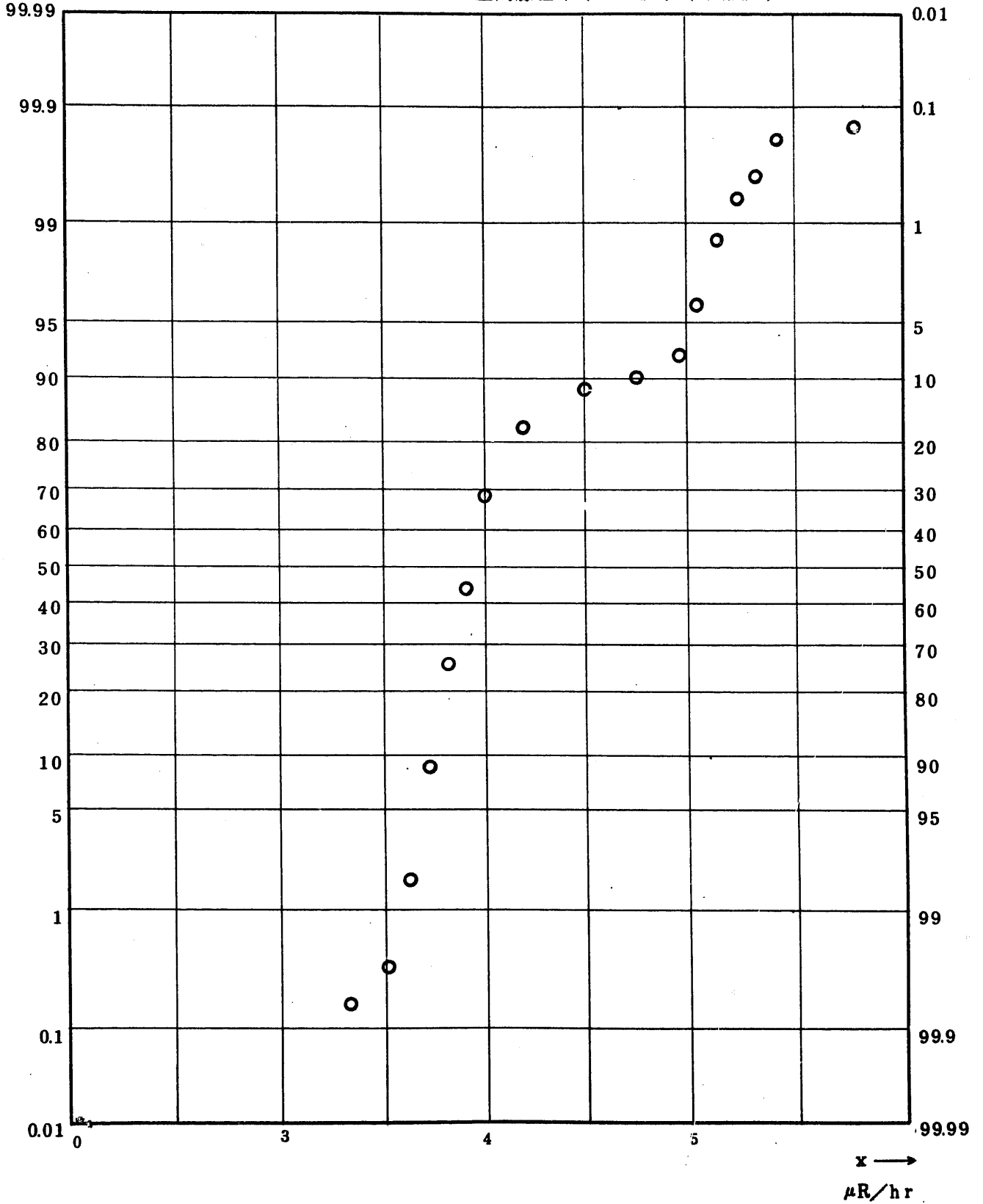


Fig. 1.1.0.1.2.2 Terrestrial Gamma Exposure Rate

Observed with Monitoring-Station ($\tau=1$ day)(USUAL)

図 1.1.0.1.2.2 モニタリングステーション空間線量率(1日値)(平常値)

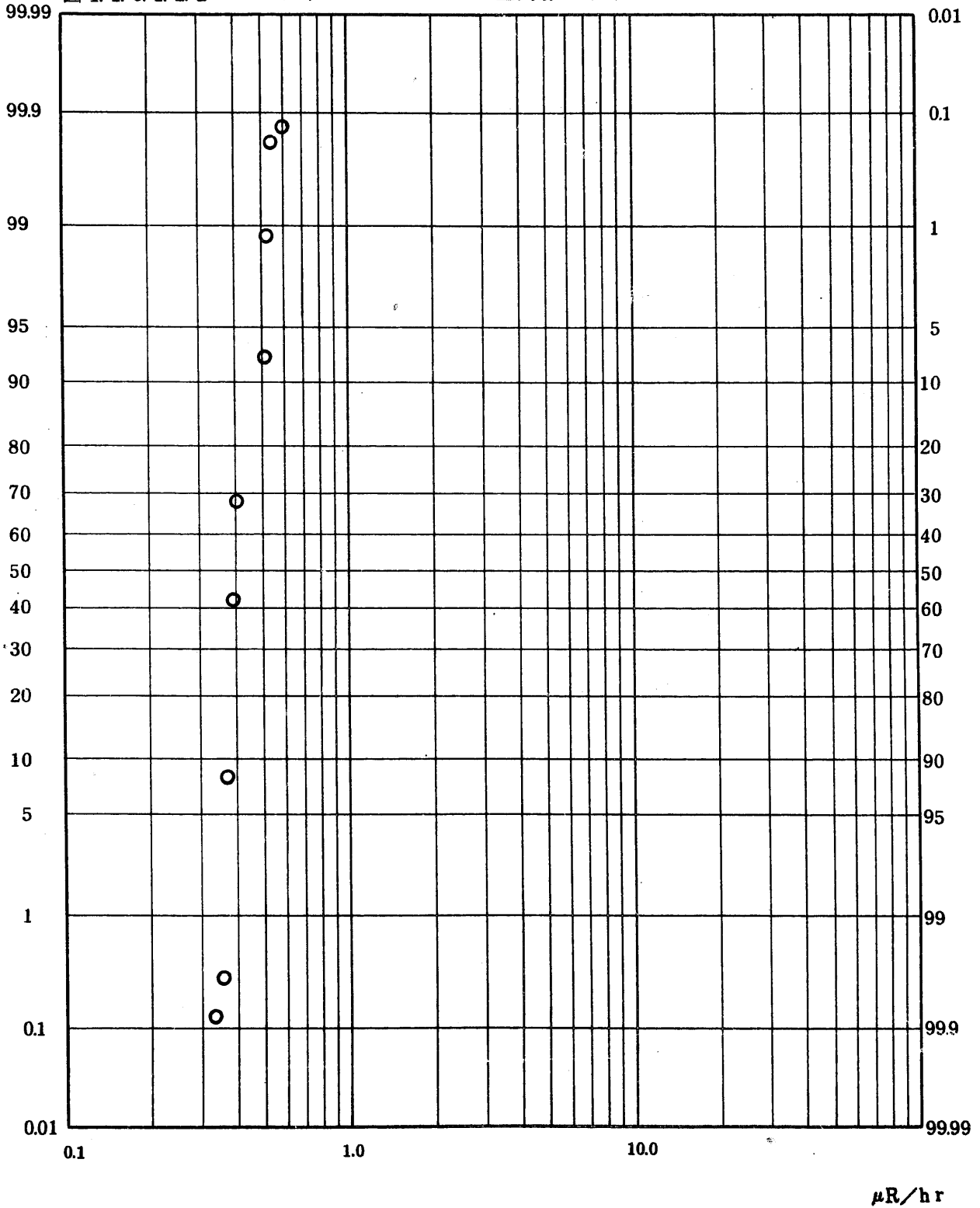


Fig. 1.1.0.1.3.1 Terrastrial Gamma Exposure Rate

Observed with Monitoring-Station ($\tau=1\text{month}$)(USUAL)

図 1.1.0.1.3.1 モニタリングステーション空間線量率(1ヶ月値)(平常値)

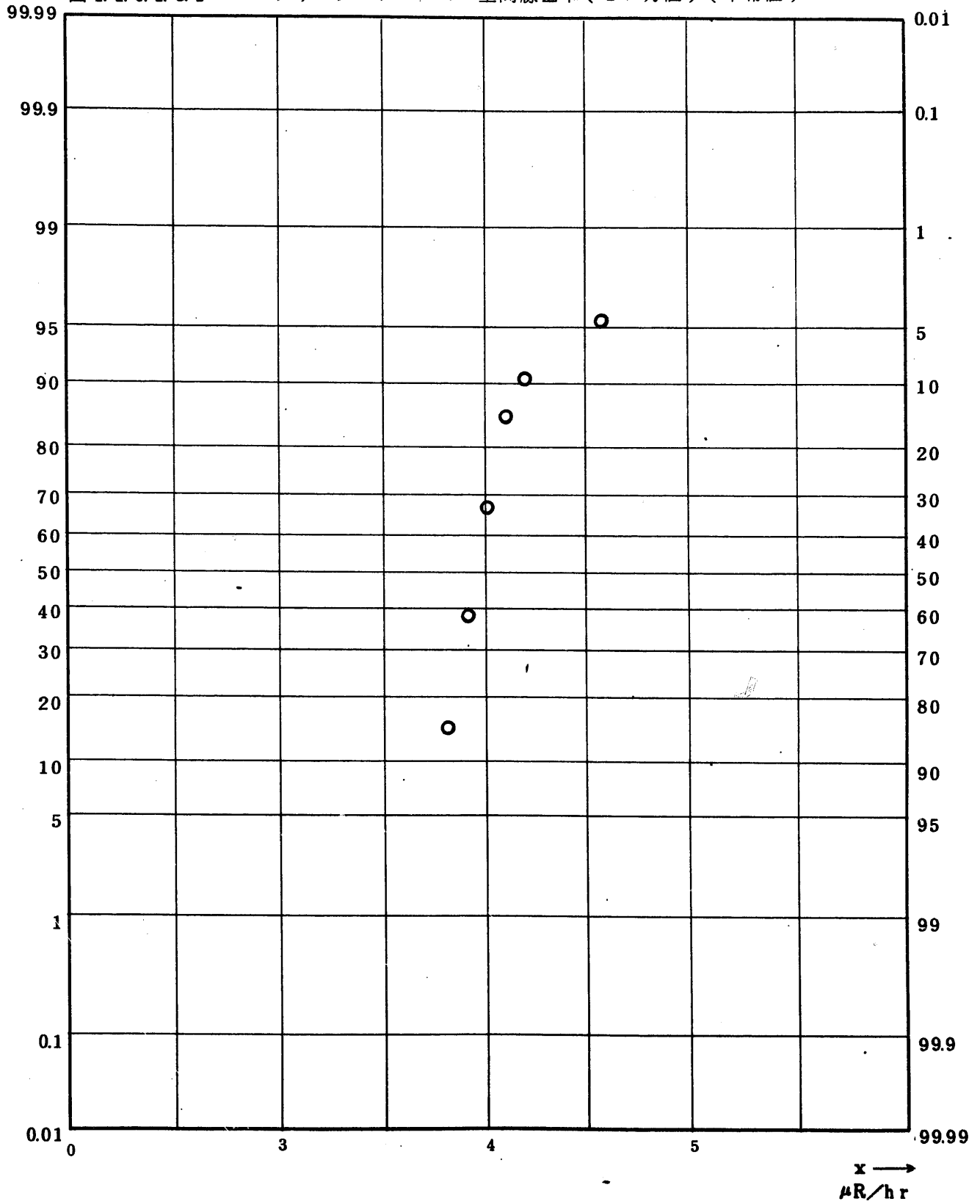


Fig. 1.1.0.1.3.2 Terrastrial Gamma Exposure Rate

Observed with Monitoring-Station 1month)(USUAL)

図 1.1.0.1.3.2 モニタリングステーション空間線量率(1ヶ月値)(平常値)

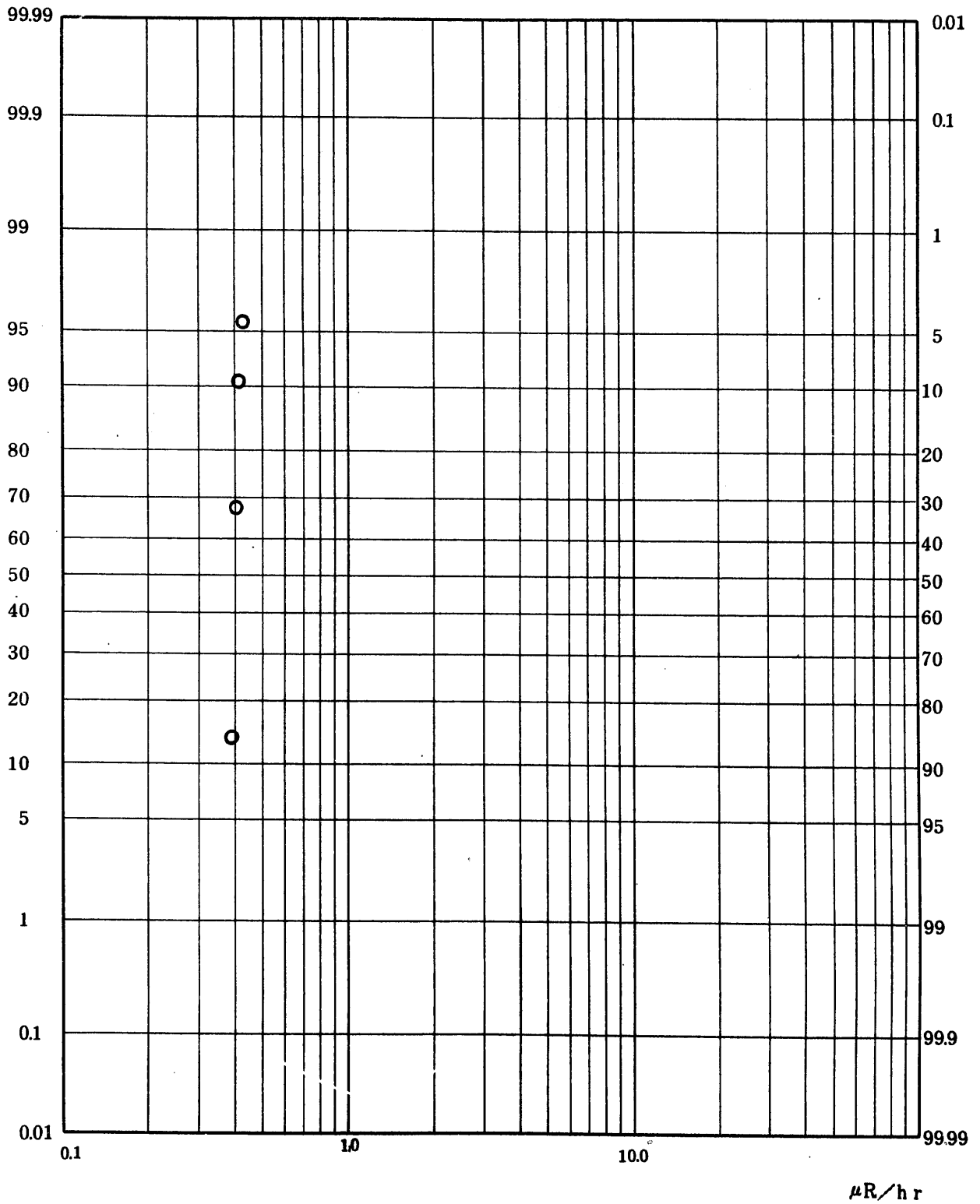


Fig. 1.1.0.1.4.1 Terrestrial Gamma Exposure Rate

Observed with Monitoring-Station($\tau=3$ months)(USUAL)

図 1.1.0.1.4.1 モニタリングステーション空間線量率(3ヶ月値)(平常値)

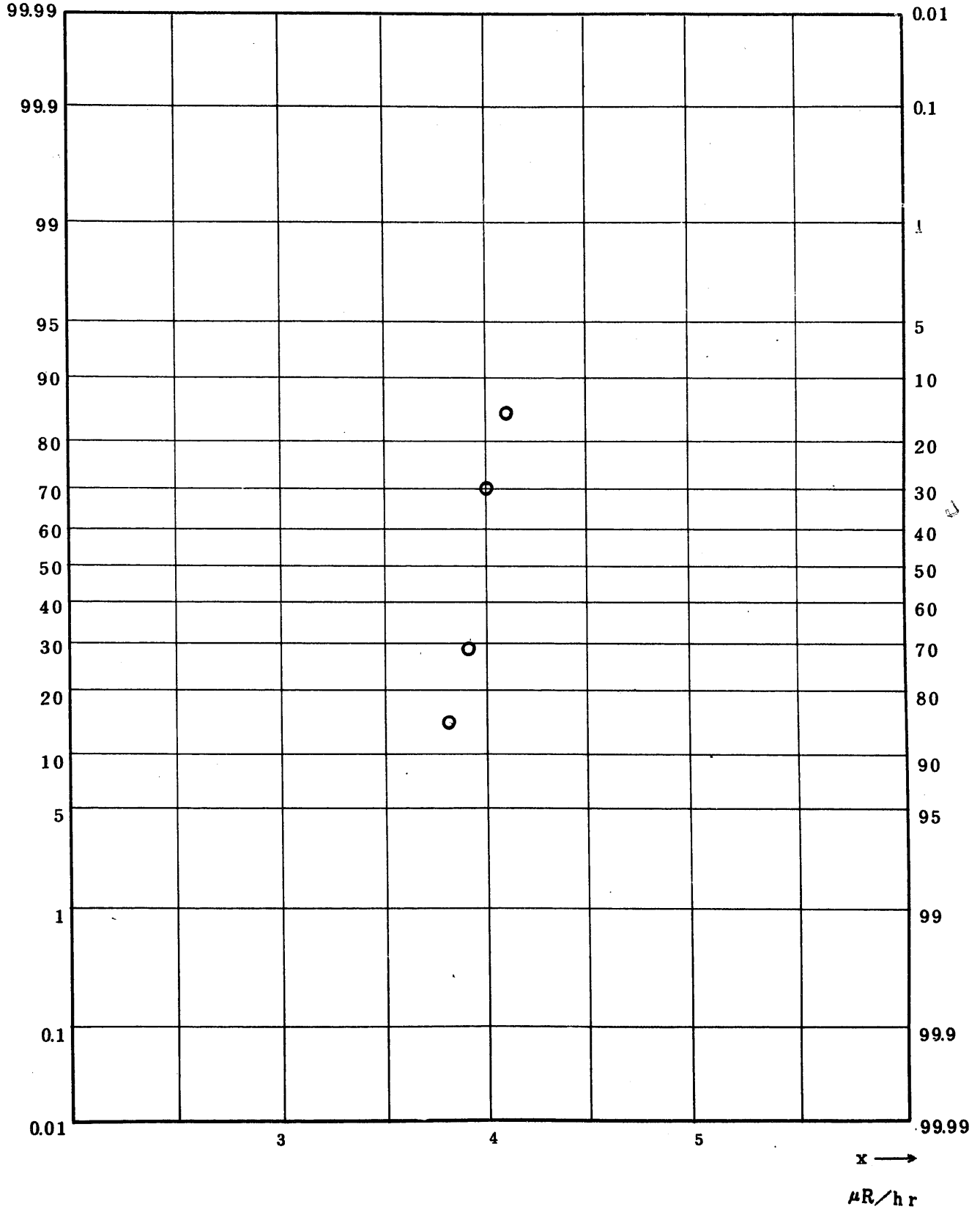


Fig. 1.1.0.1.4.2 Terrestrial Gamma Exposure Rate

Observed with Monitoring-Station ($\tau=3$ months)(USUAL)

図 1.1.0.1.4.2 モニタリングステーション空間線量率 (3ヶ月値) (平常値)

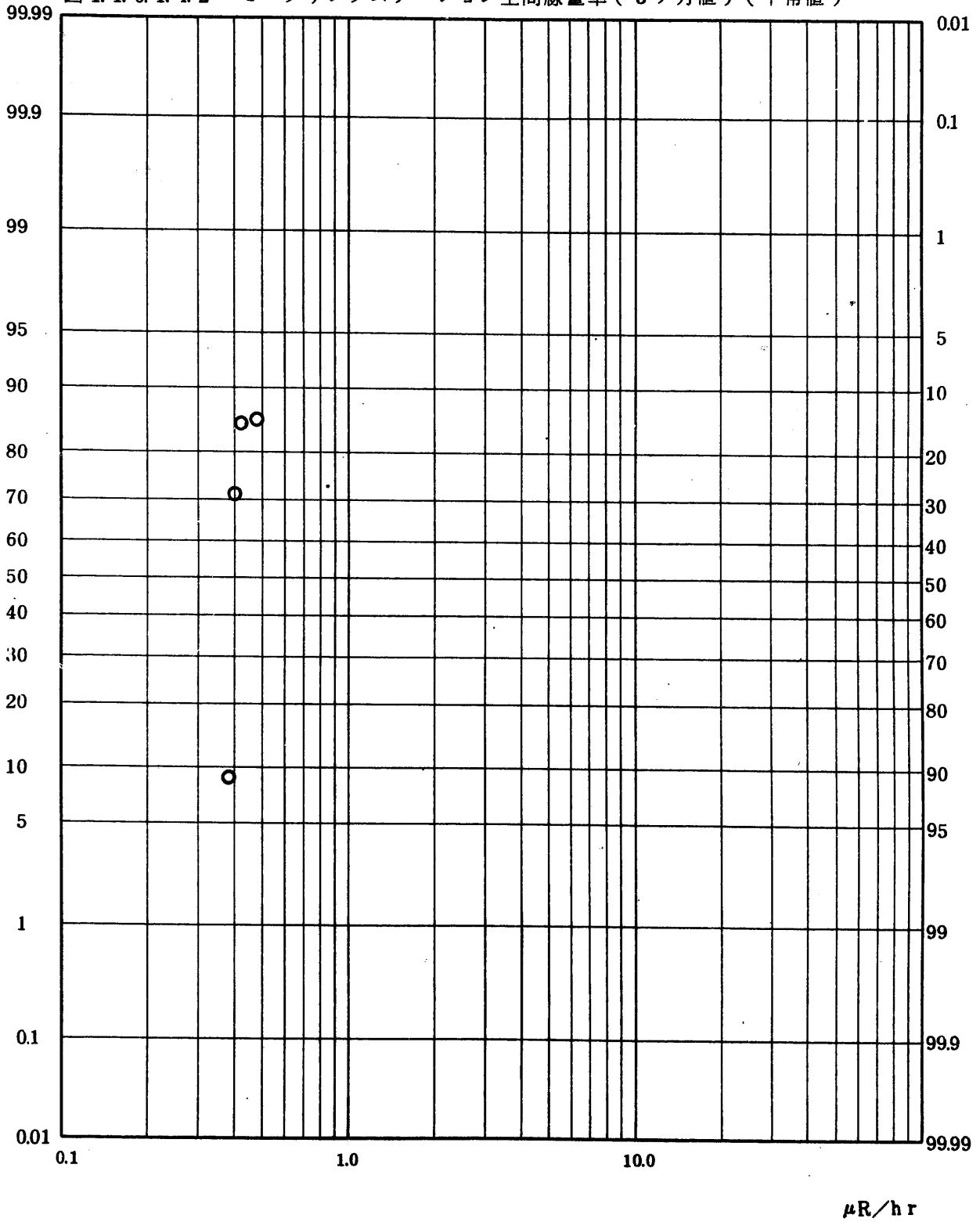


Fig. 1.2.0.0.1.1 Terrestrial Gamma Exposure Rate

Observed with Monitoring-Post ($\tau=1$ hr) (ALL)

図 1.2.0.0.1.1 モニタリングポスト空間線量率 (1時間値) (全測定値)

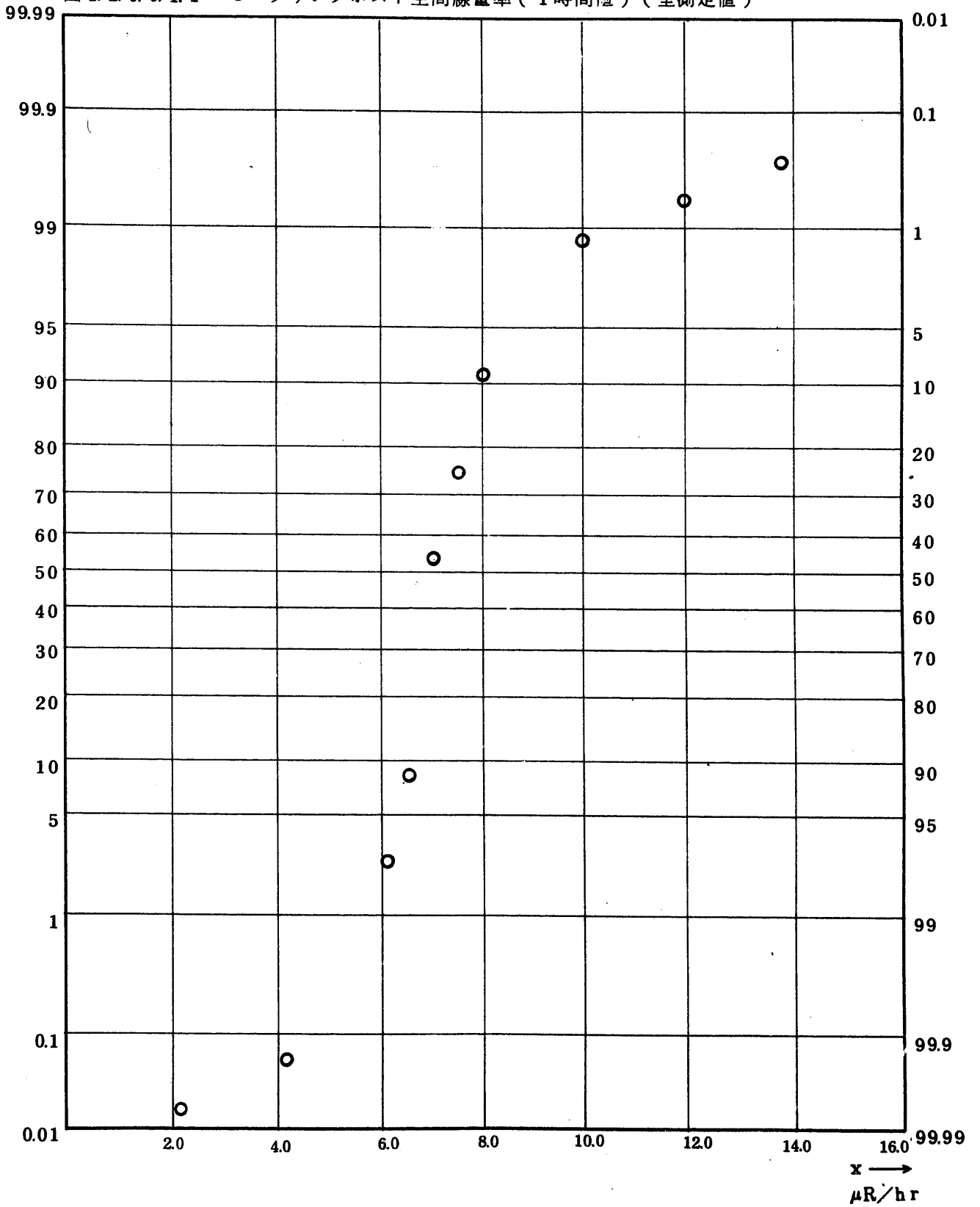


Fig. 1.2.0.0.1.2 Terrestrial Gamma Exposure Rate

Observed with Monitoring-Post ($\tau=1$ hr) (ALL)

図 1.2.0.0.1.2 モニタリングポスト空間線量率 (1時間値) (全測定値)

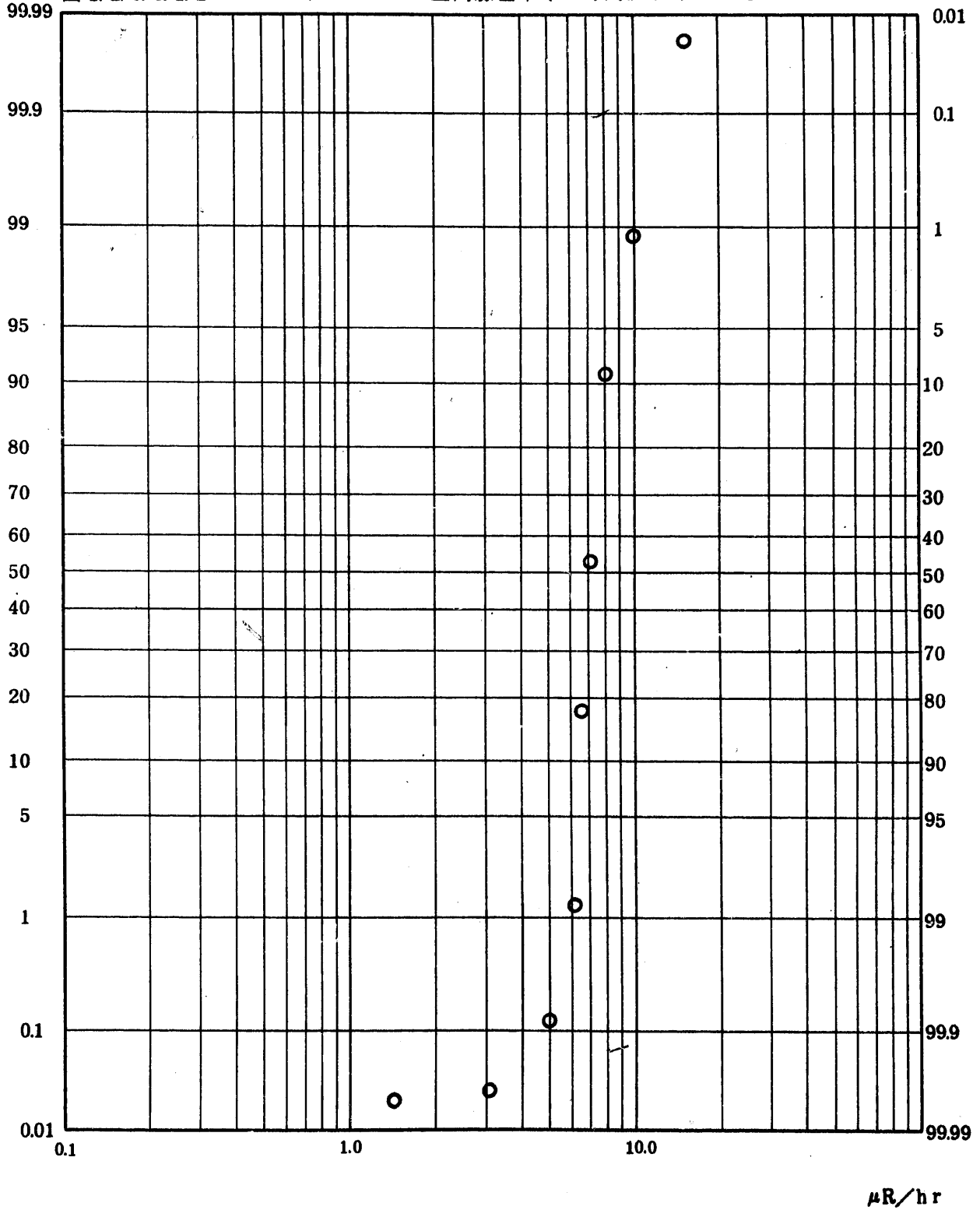


Fig. 1.2.0.0.21 Terrestrial Gamma Exposure Rate

Observed with Monitoring - Post ($\tau=1$ day) (ALL)

図 1.2.0.0.21 モニタリングポスト空間線量率(1日値)(全測定値)

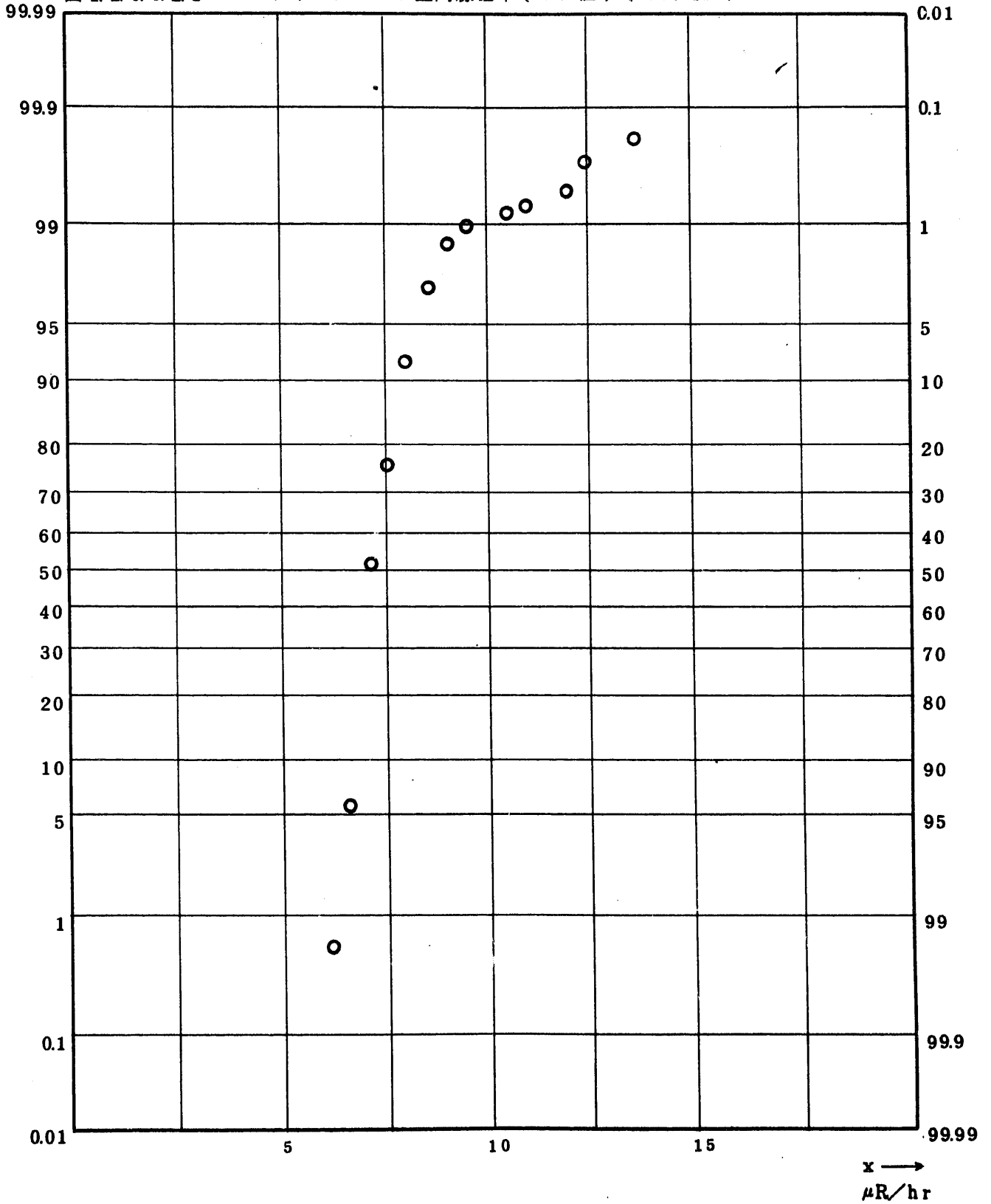


Fig. 1.2.0.0.2.2 Terrestrial Gamma Exposure Rate

Observed with Monitoring-Post (τ=1 day) (ALL)

図 1.2.0.0.2.2 モニタリングポスト空間線量率(1日値)(全測定値)

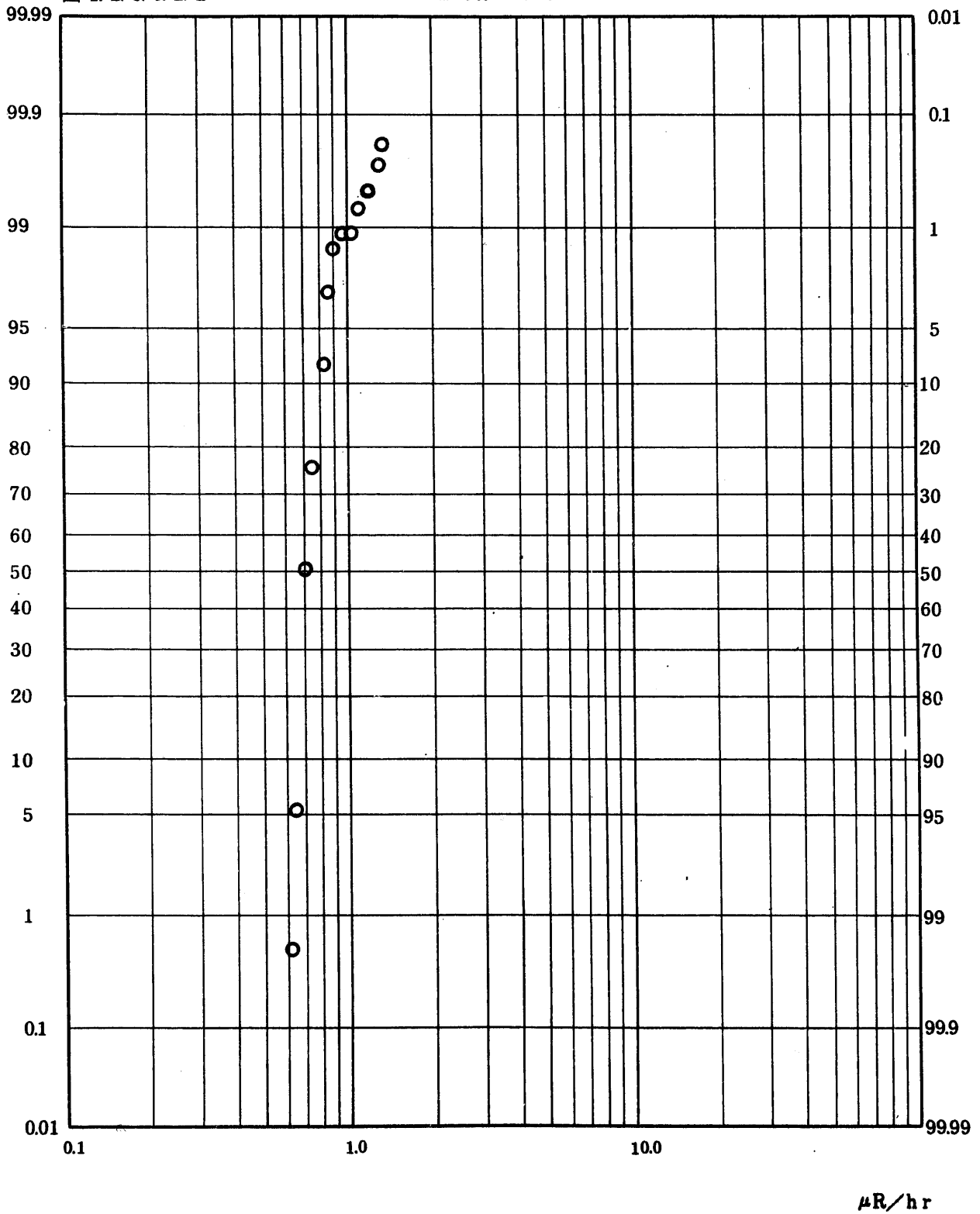


Fig. 1.2.0.0.3.1 Terrestrial Gamma Exposure Rate

Obsorvated with Monitoring - Post ($\tau=1\text{month}$) (ALL)

図 1.2.0.0.3.1 モニタリングポスト空間線量率 (1ヶ月値) (全測定値)

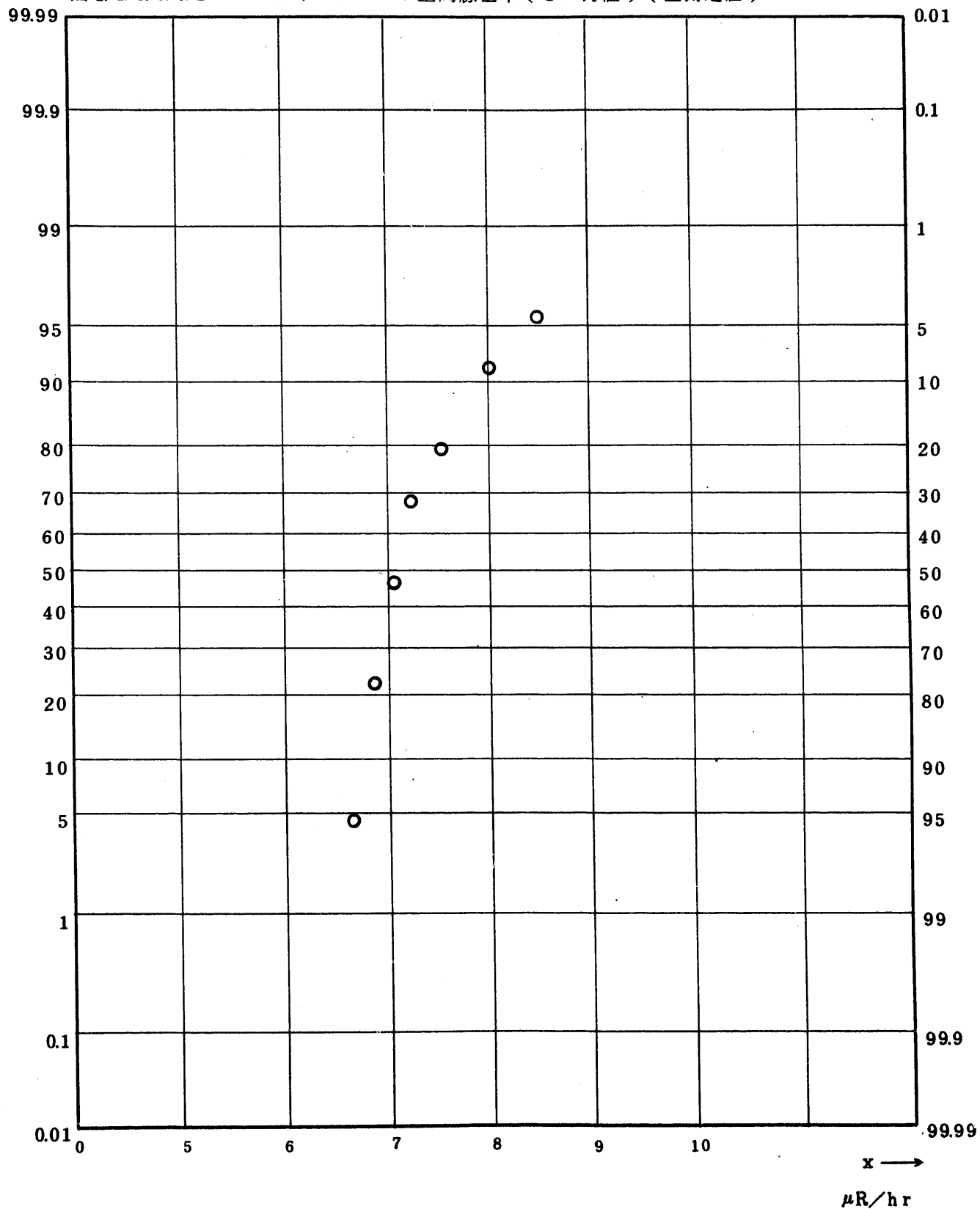


Fig. 1.2.0.0.3.2 Terrestrial Gamma Exposure Rate

Observed with Monitoring - Post ($\tau=1$ month)(ALL DATA)

図 1.2.0.0.3.2 モニタリングポスト空間線量率(1ヶ月値)(全測定値)

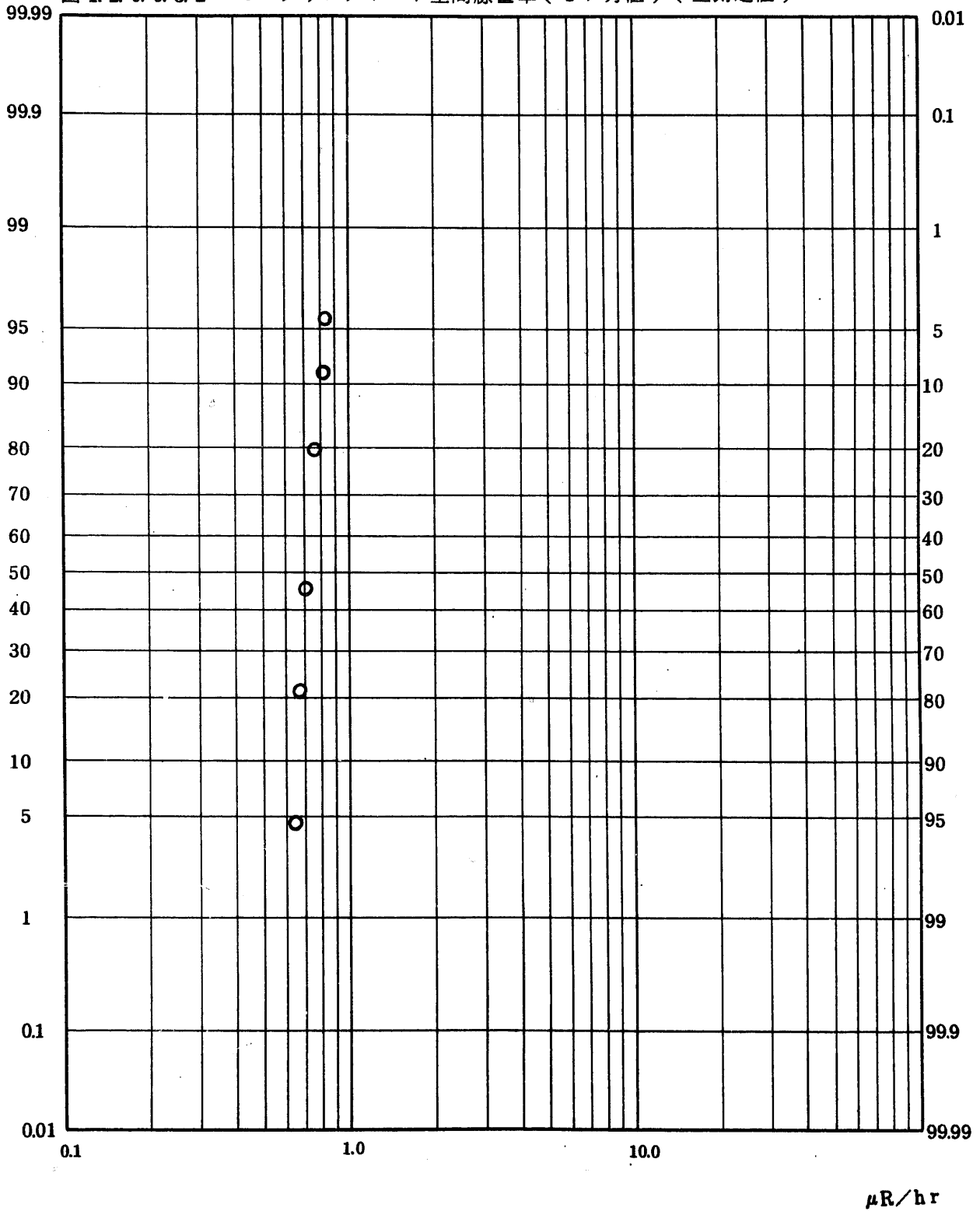


Fig. 1.2.0.0.4.1 Terrestrial Gamma Exposure Rate

Observed with Monitoring - Post ($\tau=3$ months)(ALL)

図 1.2.0.0.4.1 モニタリングポスト空間線量率 (3ヶ月値) (全測定値)

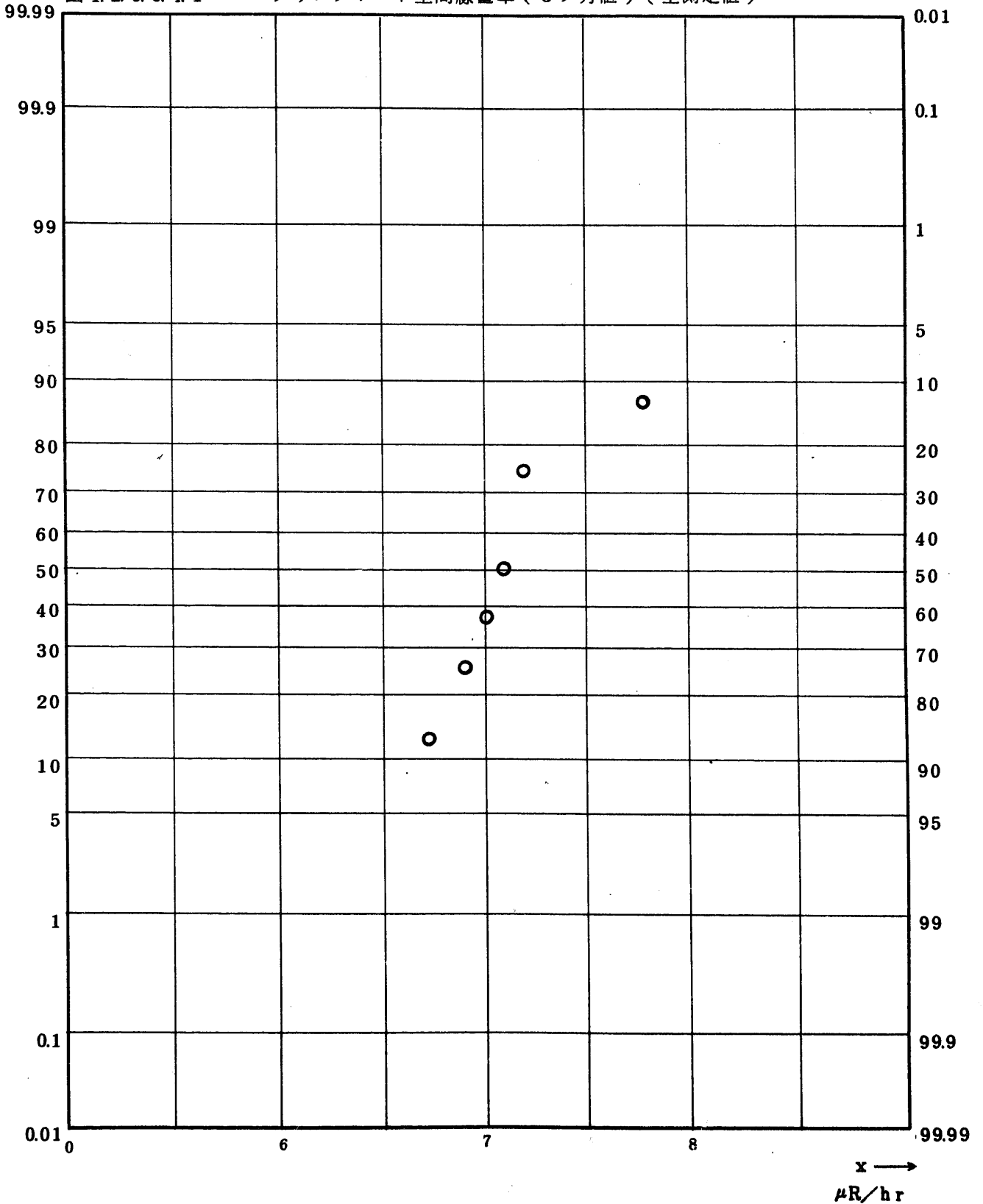


Fig. 1.2.0.0.4.2 Terrestrial Gamma Exposure Rate

Observed with Monitoring - Post ($\tau=3$ months)(ALL)

図 1.2.0.0.4.2 モニタリングポスト空間線量率(3ヶ月値)(全測定値)

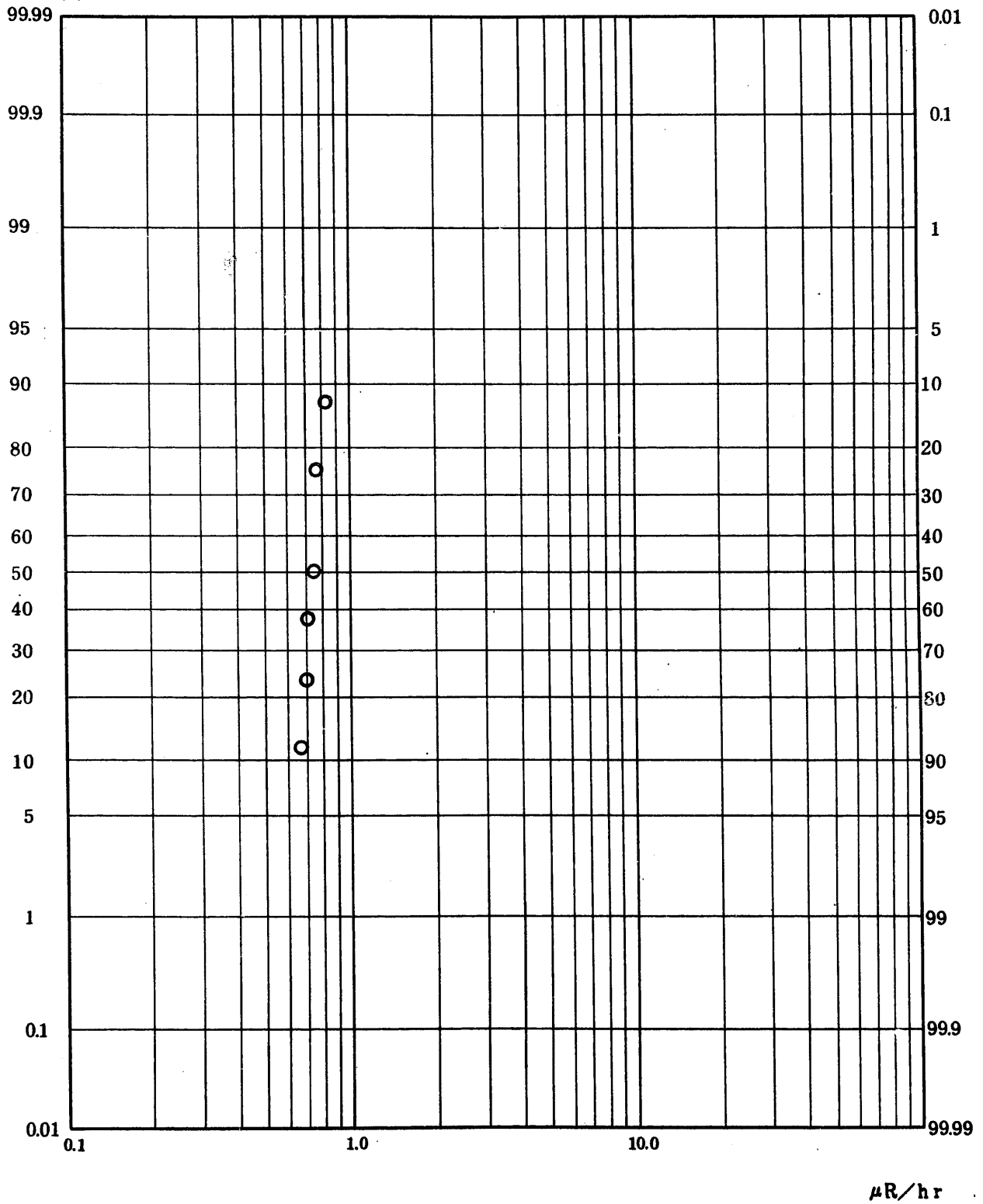


Fig. 1.2.0.1.1 Terrestrial Gamma Exposure Rate

Observed with Monitoring - Post ($\tau=1$ hr) (USUAL)

図 1.2.0.1.1.1 モニタリングポスト空間線量率 (1 時間値) (平常値)

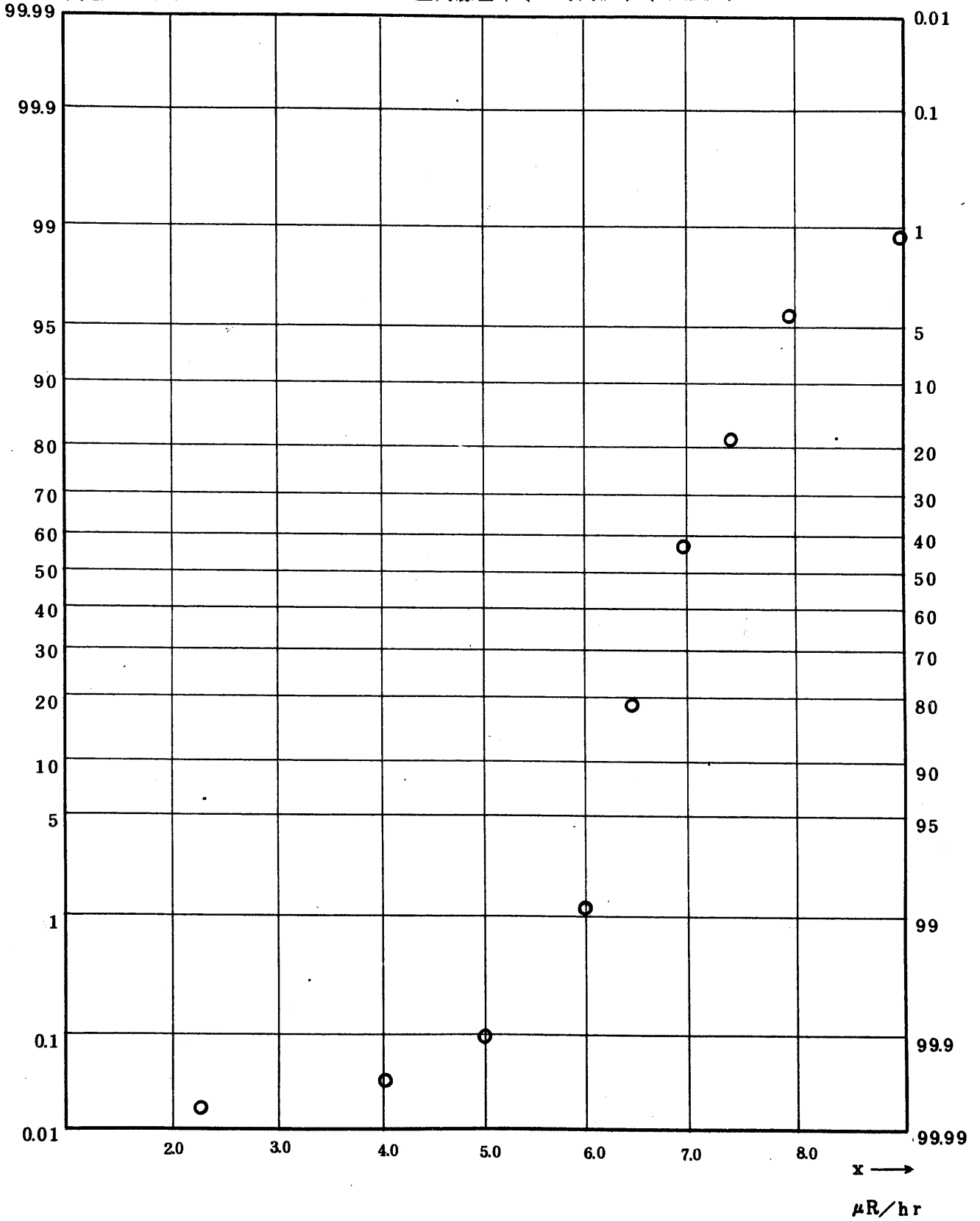


Fig. 1.2.0.1.2 Terrestrial Gamma Exposure Rate

Observed with Monitoring - Post ($\tau=1$ hr) (USUAL)

図 1.2.0.1.1.2 モニタリングポスト空間線量率 (1時間値) (平常値)

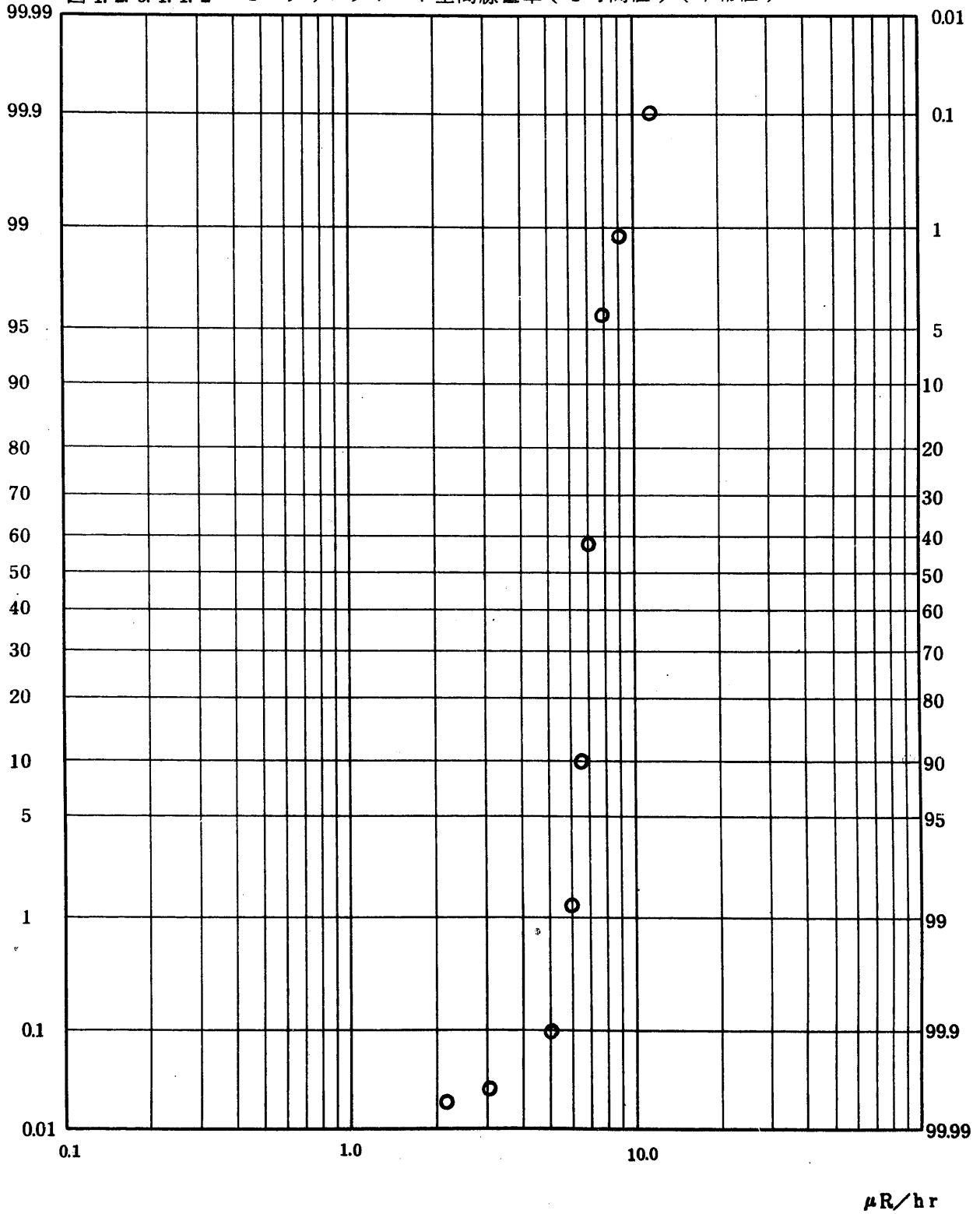


Fig. 1.2.0.1.21 Terrestrial Gamma Exposure Rate

Observed with Monitoring - Post ($\tau=1$ day)(USUAL)

図 1.2.0.1.21 モニタリングポスト空間線量率(1日値)(平常値)

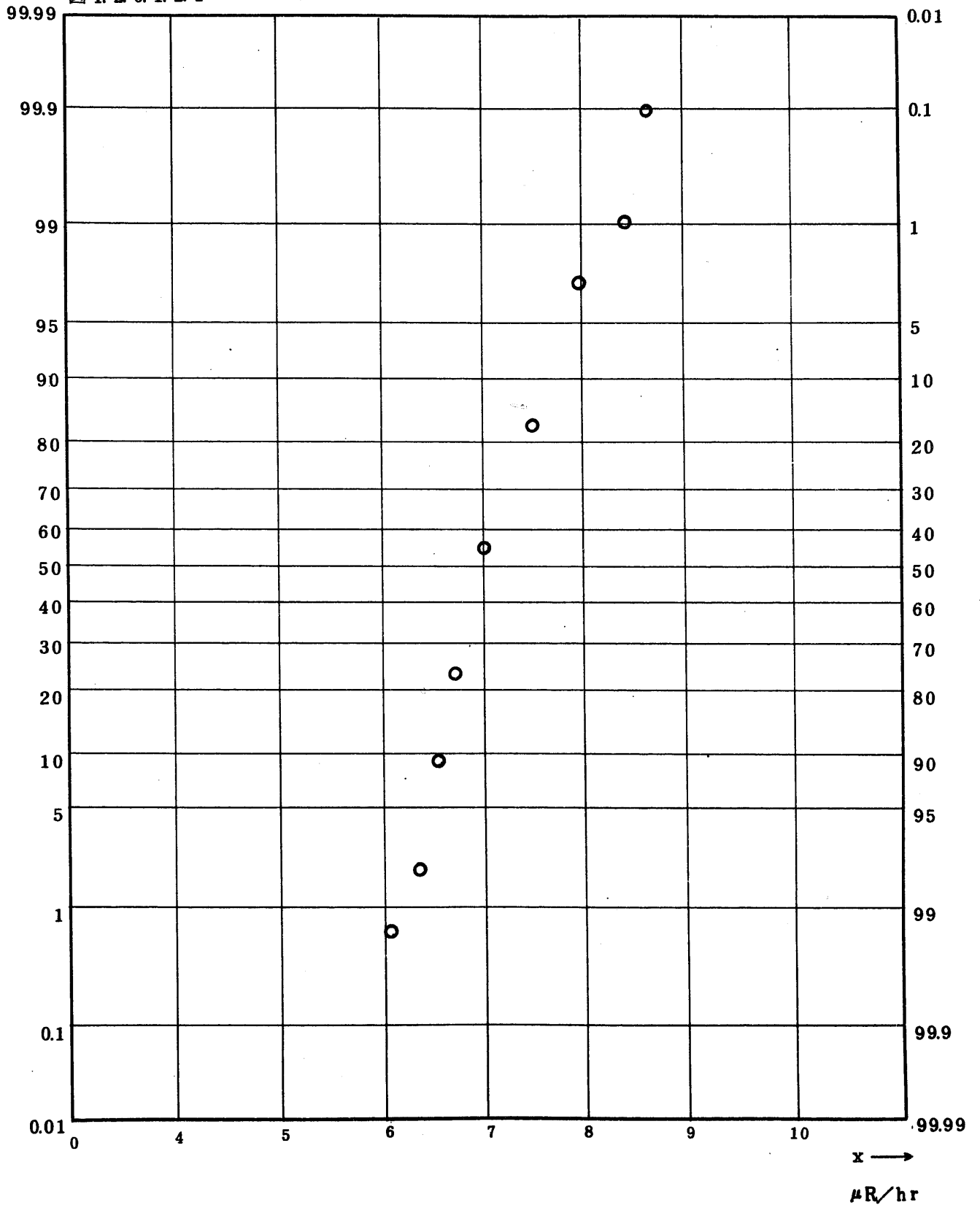


Fig. 1.2.0.1.2.2 Terrestrial Gamma Exposure Rate

Observed with Monitoring - Post ($\tau=1$ day) (USUAL)

図 1.2.0.1.2.2 モニタリングポスト空間線量率(1日値)(平常値)

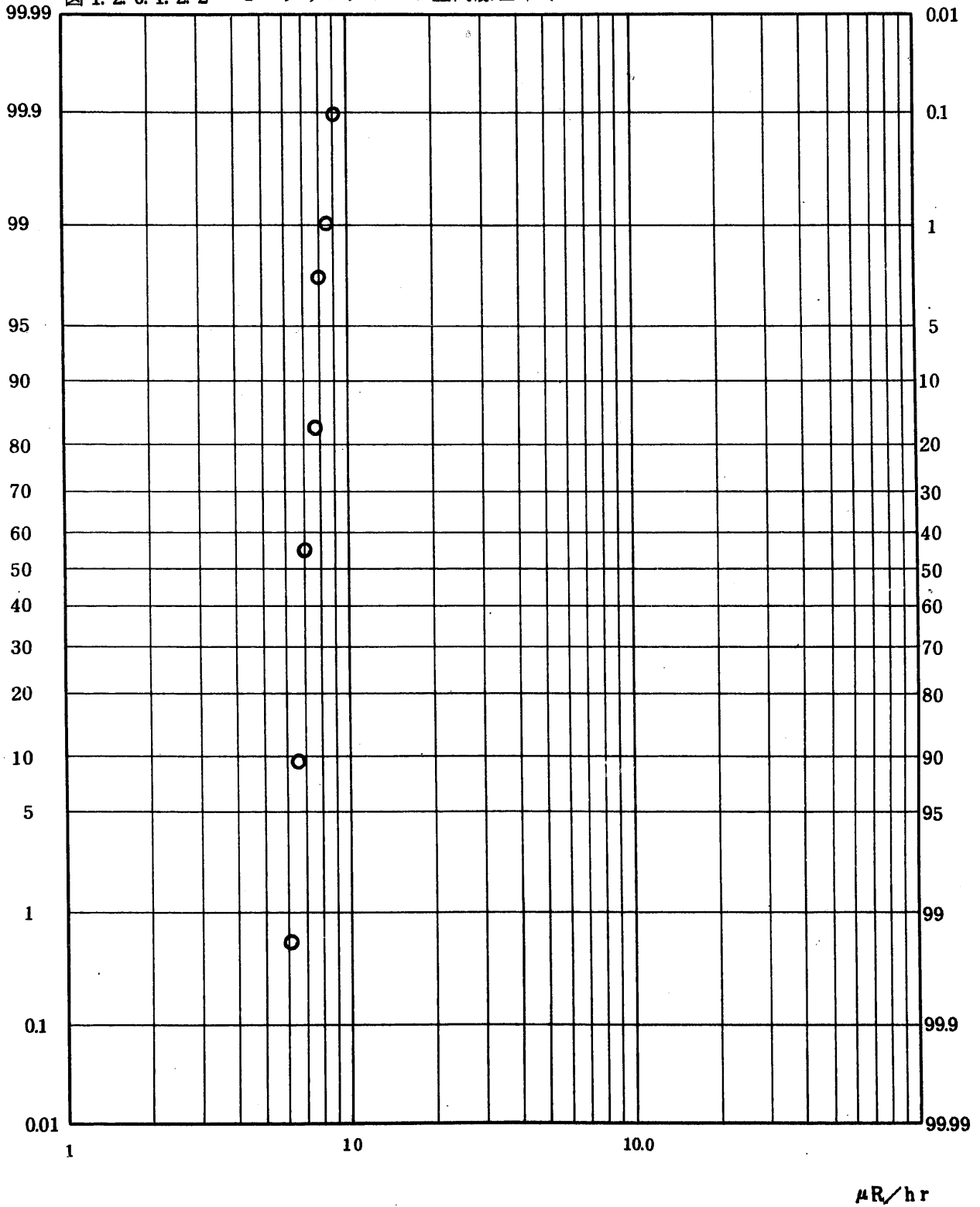


Fig. 1.2.0.1.3.1 Terrestrial Gamma Exposure Rate

Observed with Monitoring - Post ($\tau=1\text{month}$) (USUAL)

図 1.2.0.1.3.1 モニタリングポスト空間線量率(1ヶ月値)(平常値)

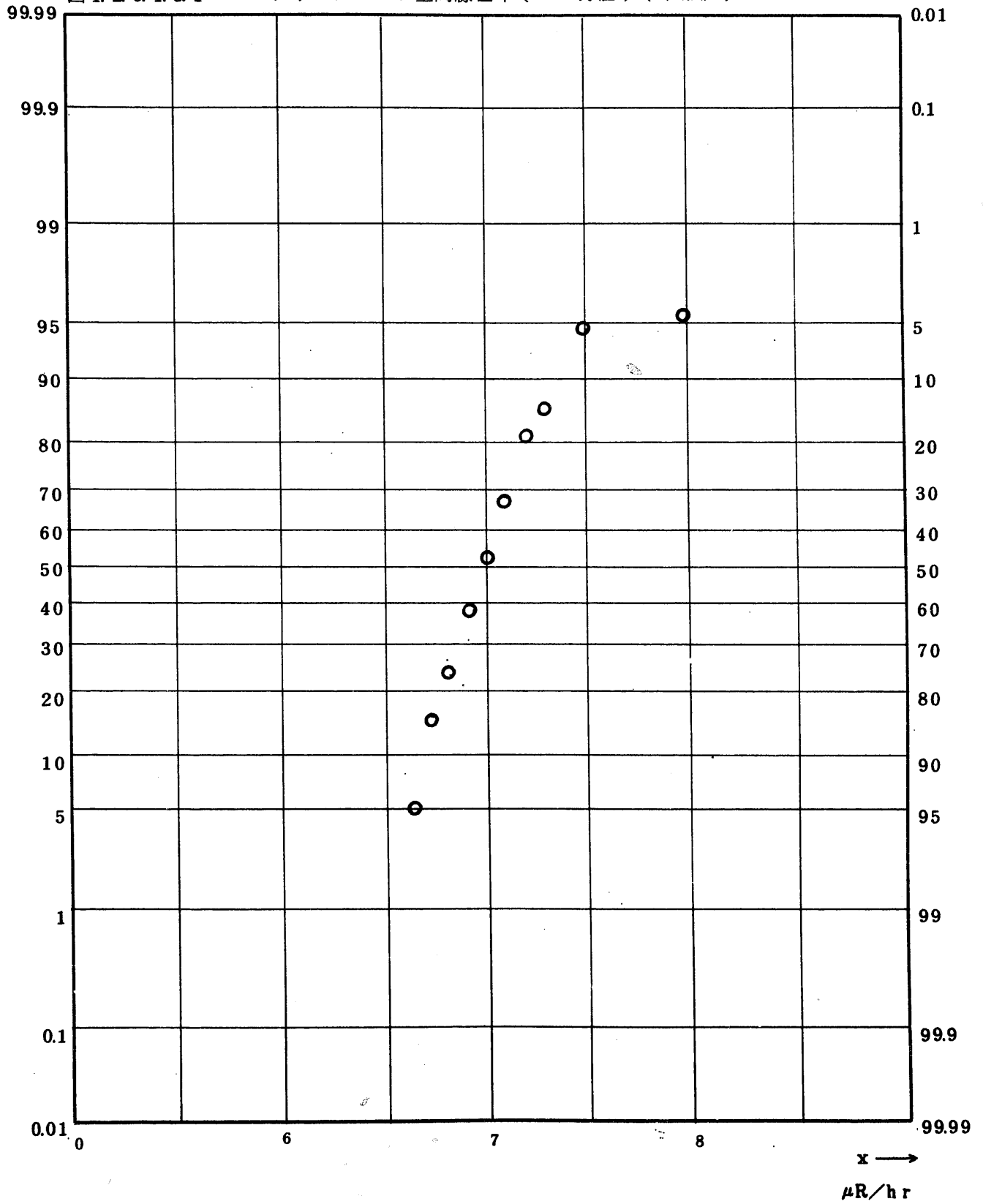


Fig. 1.2.0.1.3.2 Terrestrial Gamma Exposure Rate

Observed with Monitoring - Post ($\tau=1$ month) (USUAL)

図 1.2.0.1.3.2 モニタリングポスト空間線量率(1ヶ月値)(平常値)

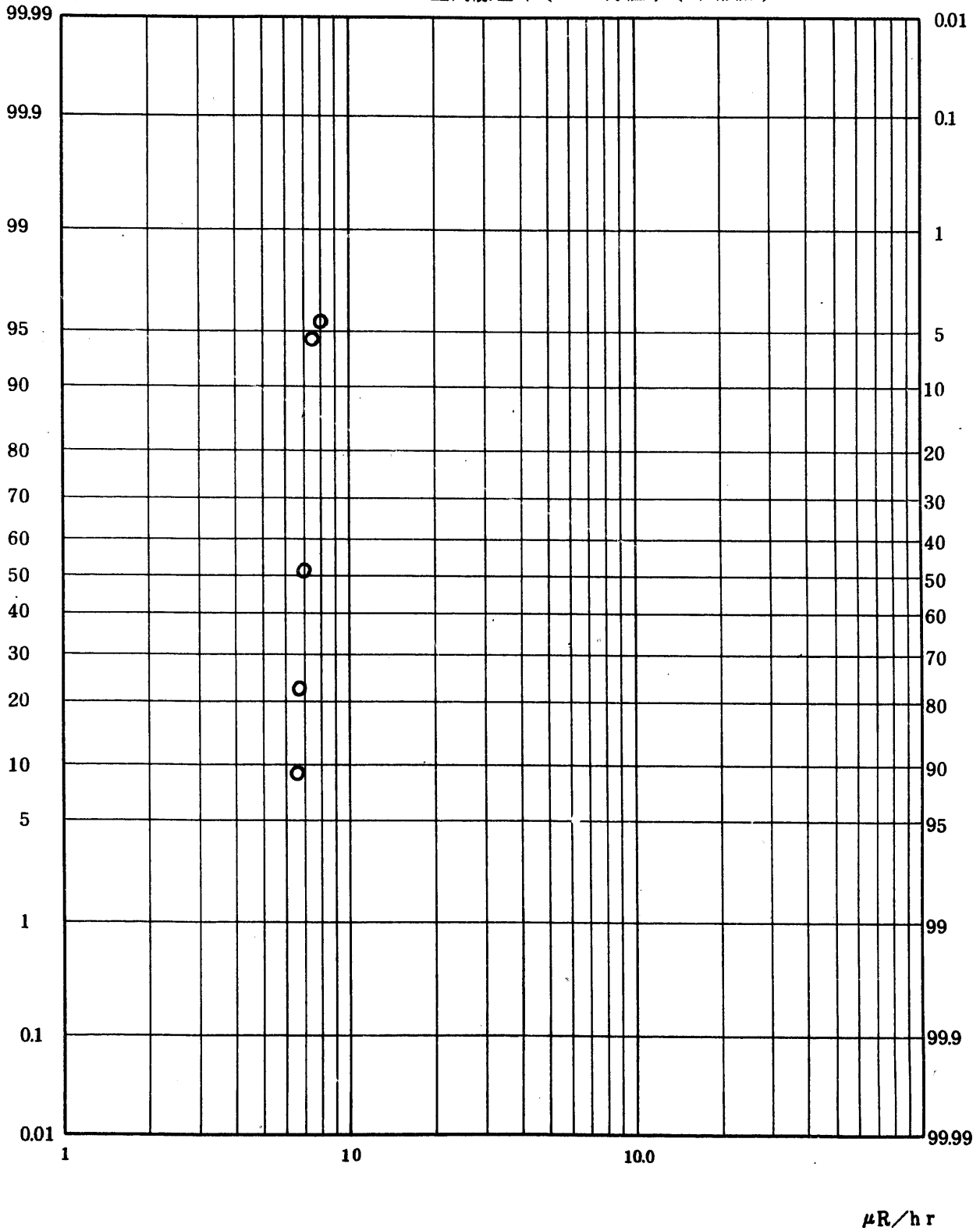


Fig. 1.2.0.1.4.1 Terrestrial Gamma Exposure Rate

Observed with Monitoring - Post ($\tau=3$ month) (USUAL)

図 1.2.0.1.4.1 モニタリングポスト空間線量率 (3ヶ月値) (平常値)

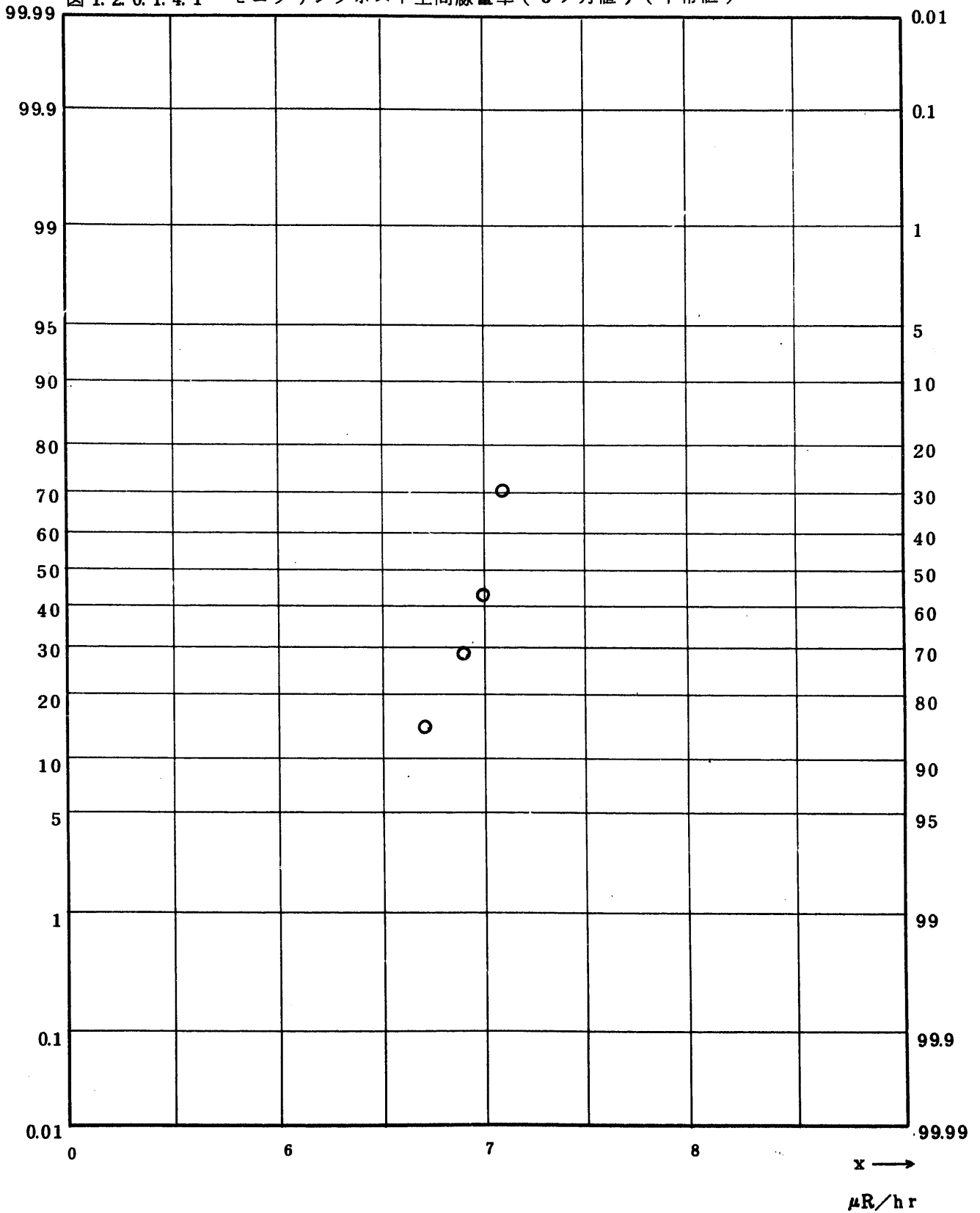


Fig. 1.2.0.1.4.2 Terrestrial Gamma Exposure Rate

Observed with Monitoring - Post ($\tau=3$ month) (USUAL)

図 1.2.0.1.4.2 モニタリングポスト空間線量率(3ヶ月値)(平常値)

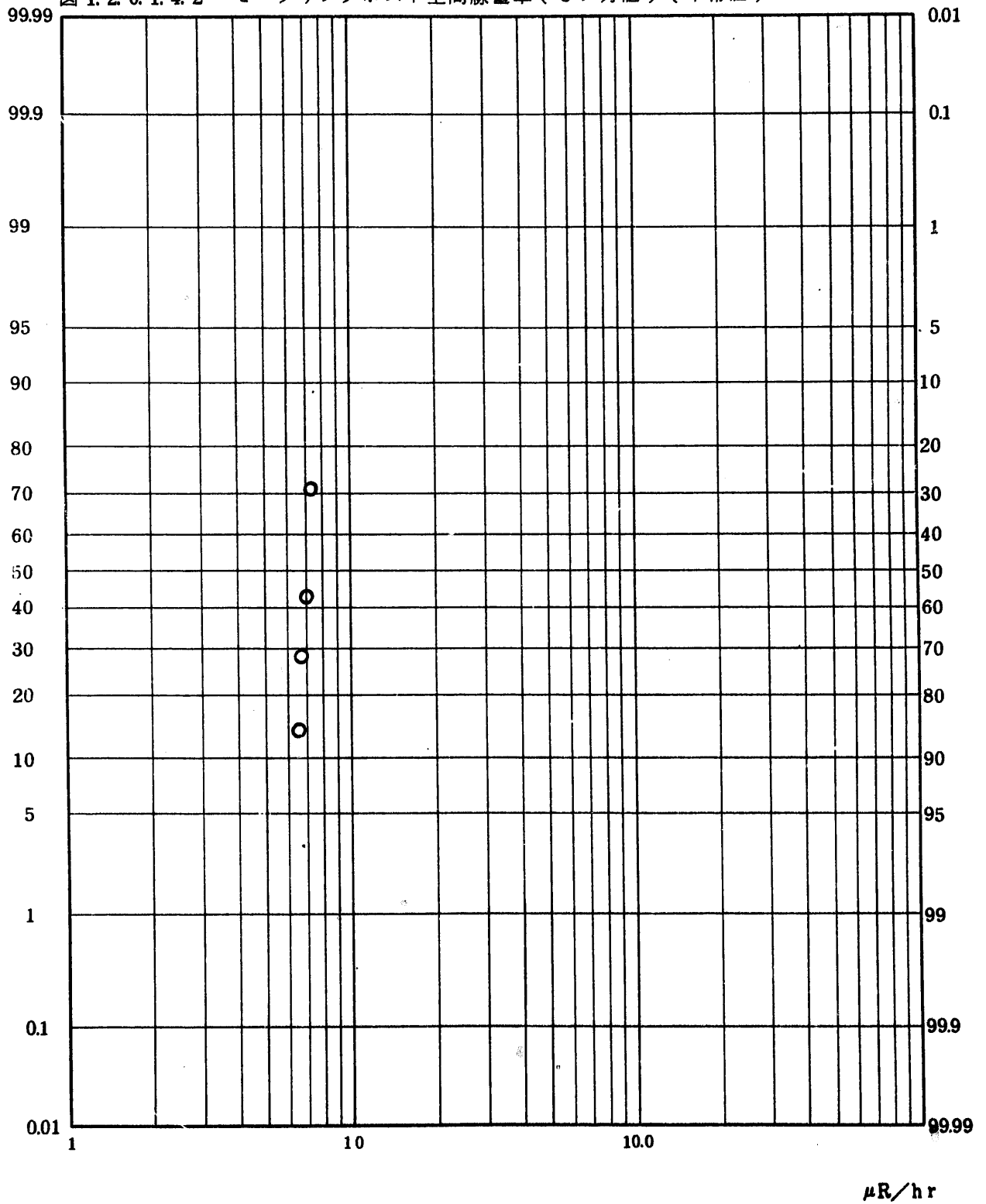


Fig. 2.0.1.1. Integrated Dose Observed Thermoluminescent Dosimetry
(T.L.D.) (Control) (Measured)

図 2.0.1.1. 積算線量 (T.L.D.) (コントロール) (測定値)

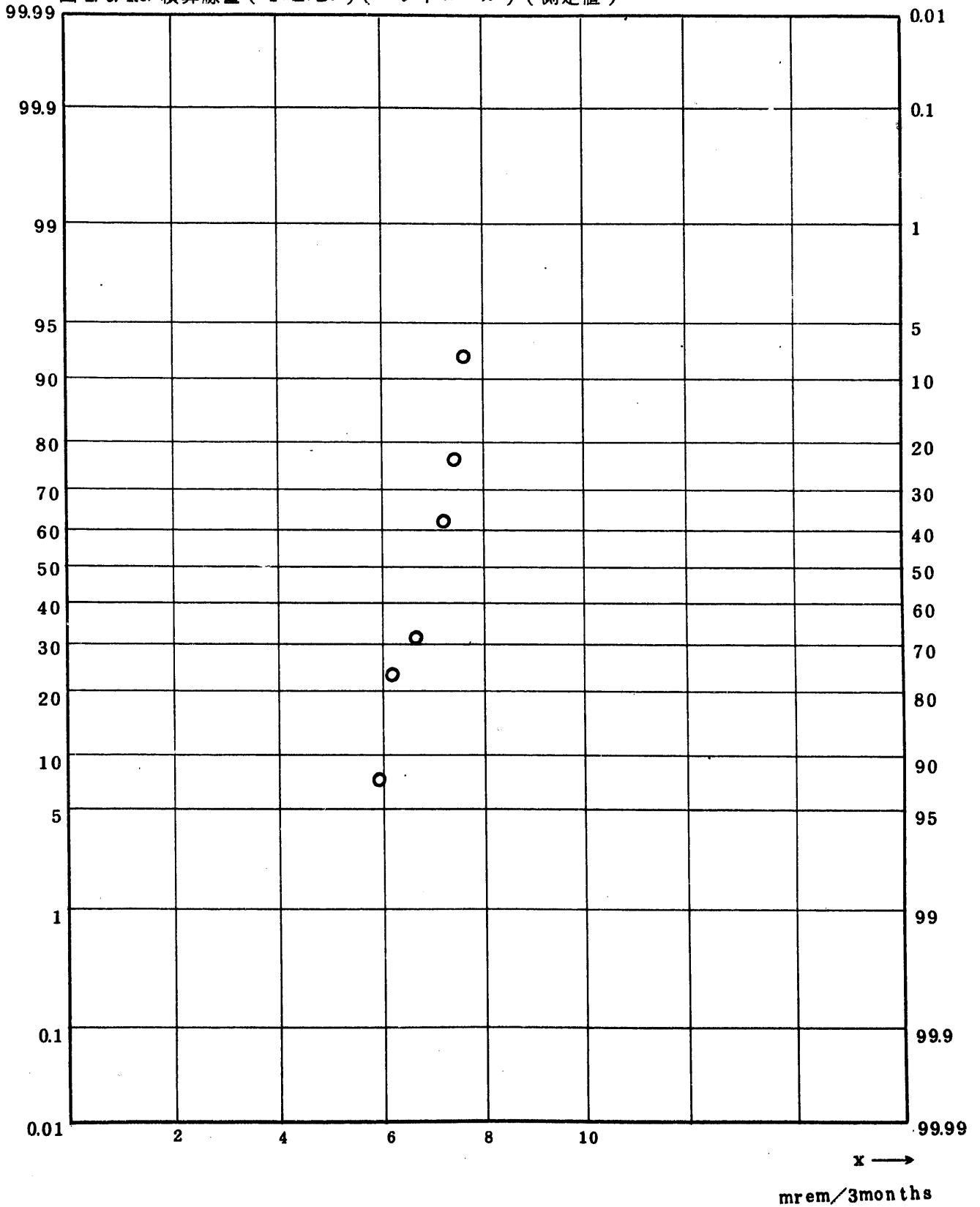


Fig. 2.0.21. Integrated Dose Observed with
Thermoluminescent Dosimetry (T.L.D.) (Control)

図 2.0.21. 積算線量 (T. L. D.) (コントロール)

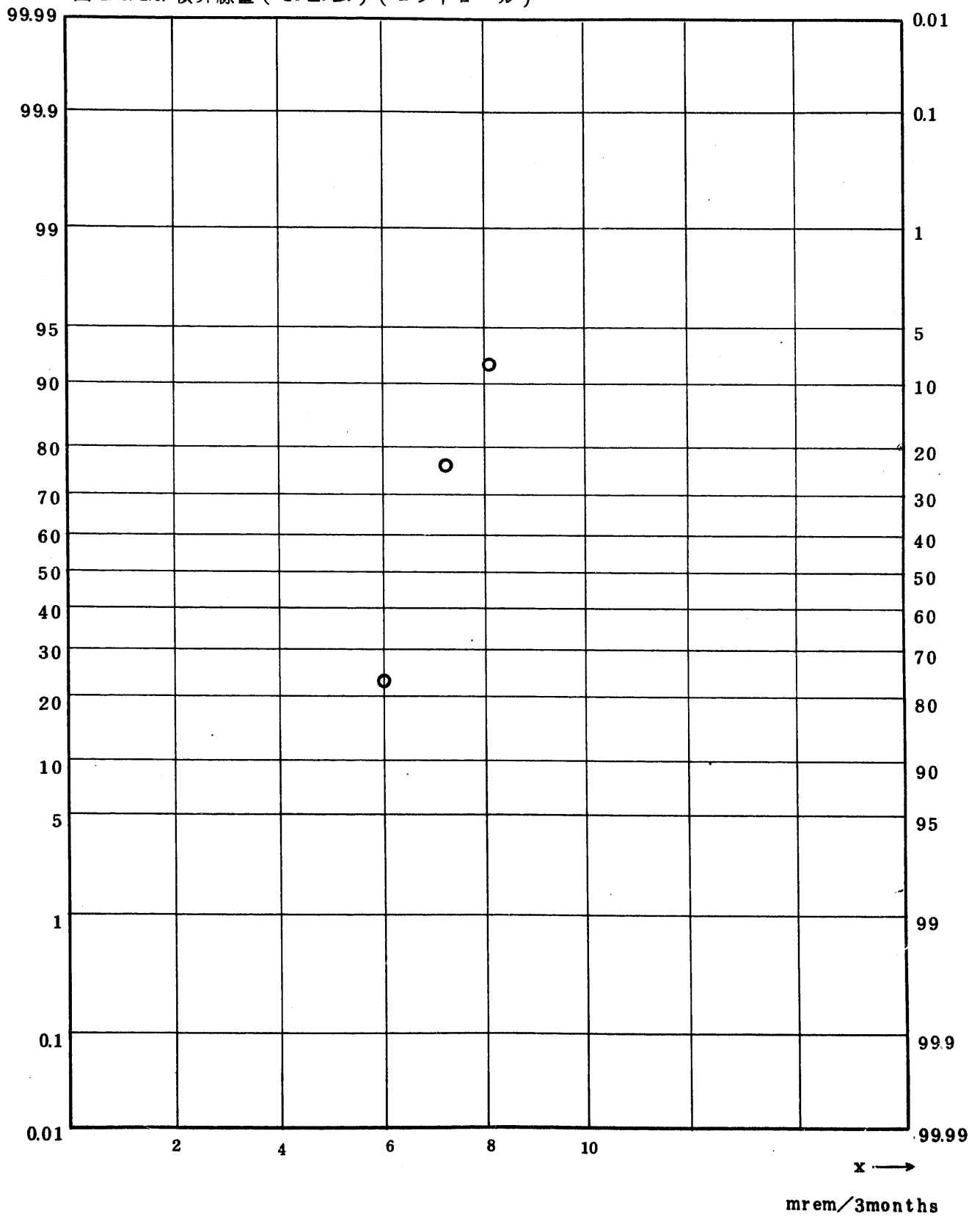


Fig. 2.1.1.1. Integrated Dose Observed with
Thermoluminescent Dosimetry (T.L.D.) (on-Site) (Measured)

図 2.1.1.1. 積算線量 (T.L.D.) (敷地内) (測定値)

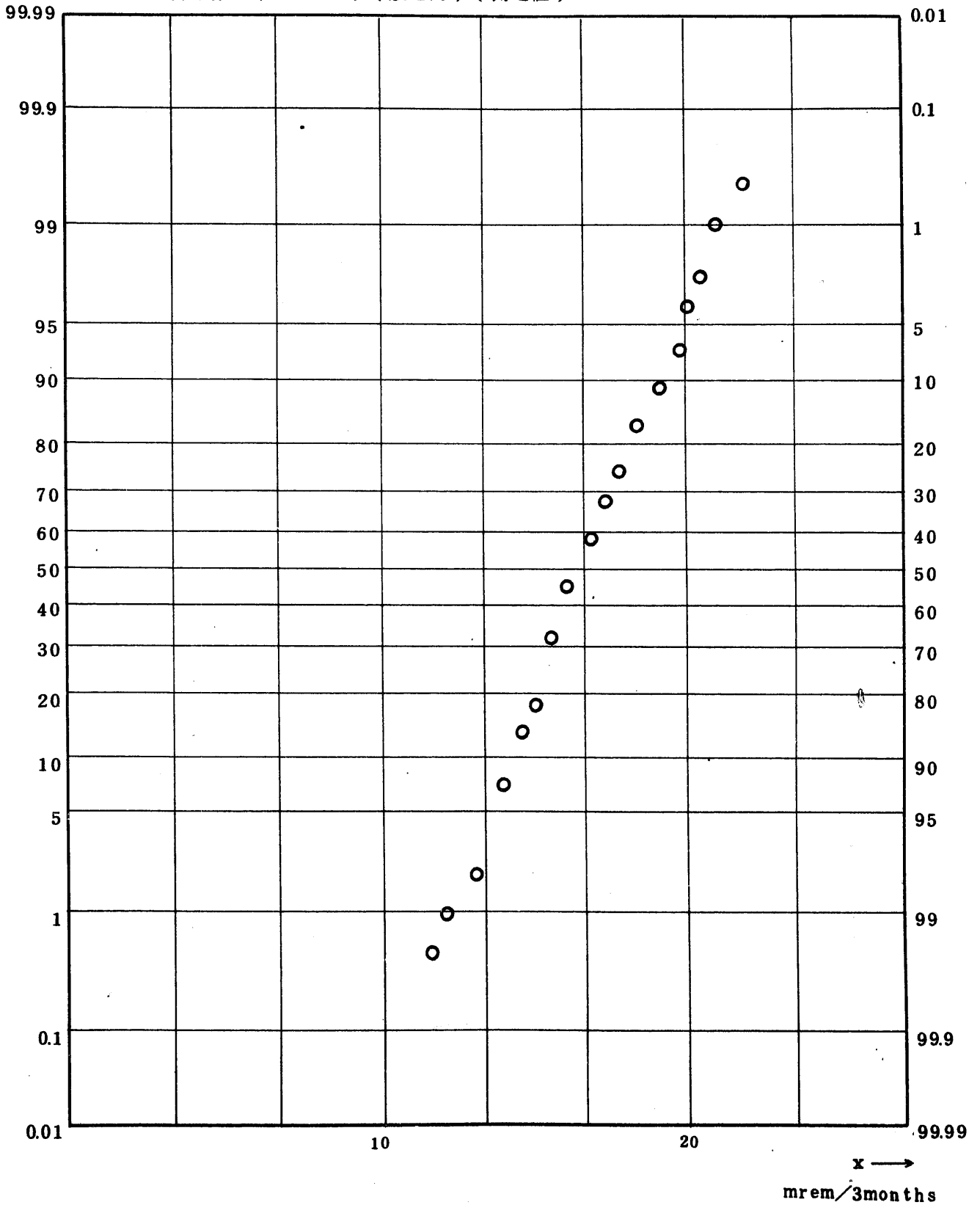


Fig. 2.1.2.1. Integrated Dose Observed with
Thermoluminescent Dosimetry (T.L.D.) (on-Site) (Measured)

図 2.1.2.1. 積算線量 (T.L.D.) (敷地内) (正味線量)

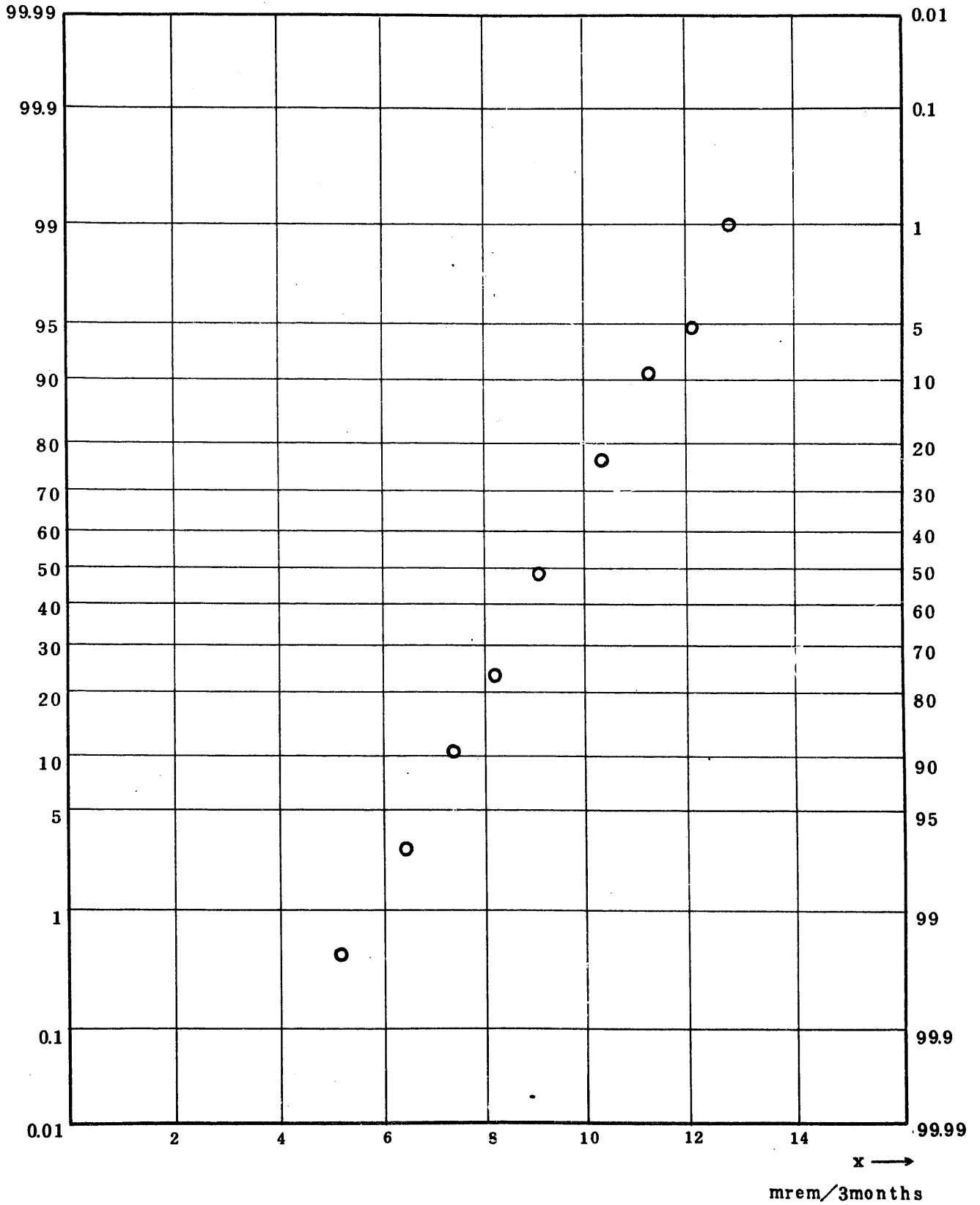


Fig. 2.2.1.1. Integrated Dose Observed with Thermoluminescent Dosimetry (T.L.D.) (off-Site) (Measured)

图 2.2.1.1. 積算線量 (T.L.D.) (敷地外) (測定値)

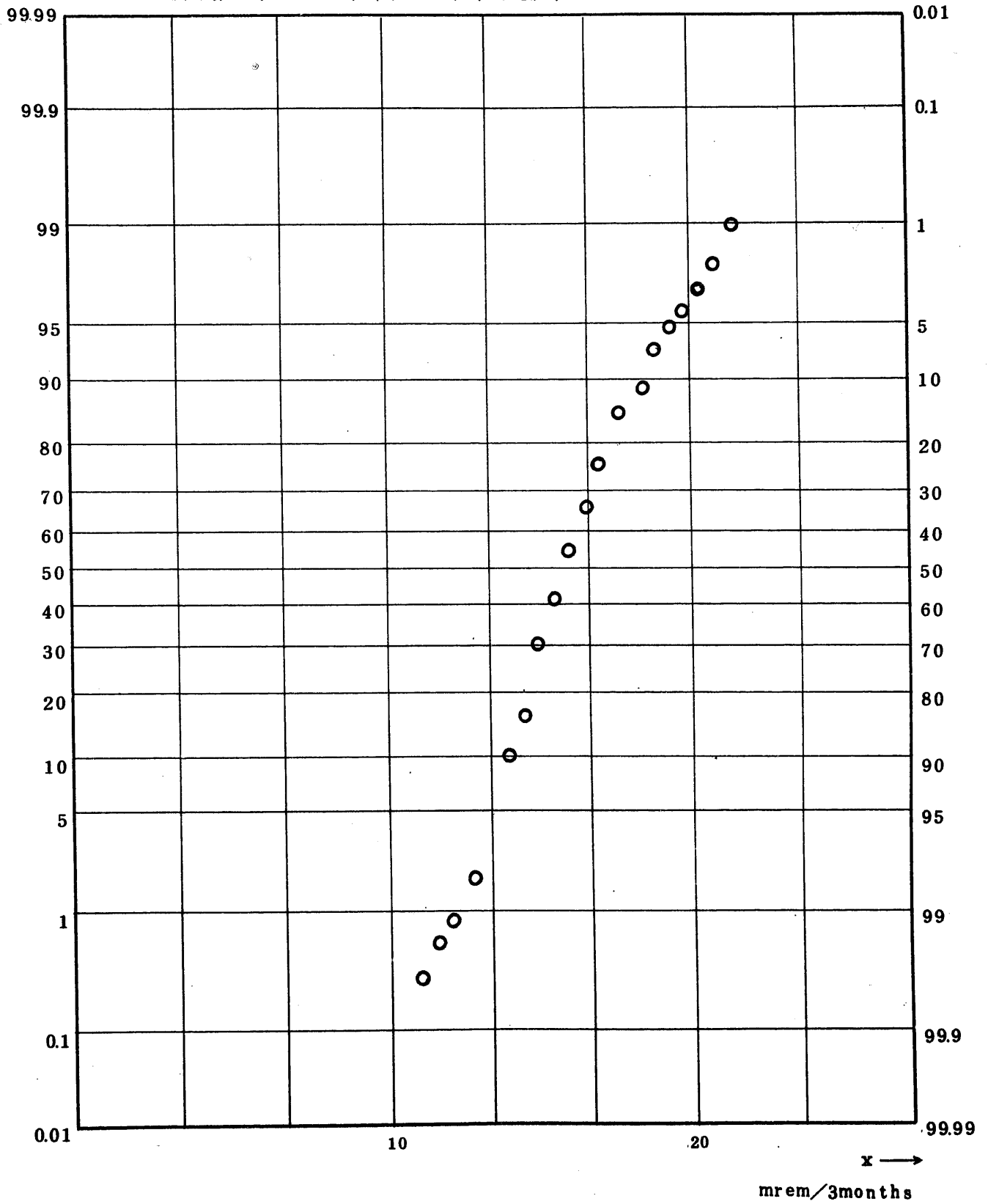


Fig. 2.2.2.1. Integrated Dose Observed with
Thermoluminescent Dosimetry(T.L.D.) (off-Site) (Net)

図 2.2.2.1. 積算線量 (T.L.D.) (敷地外) (正味線量)

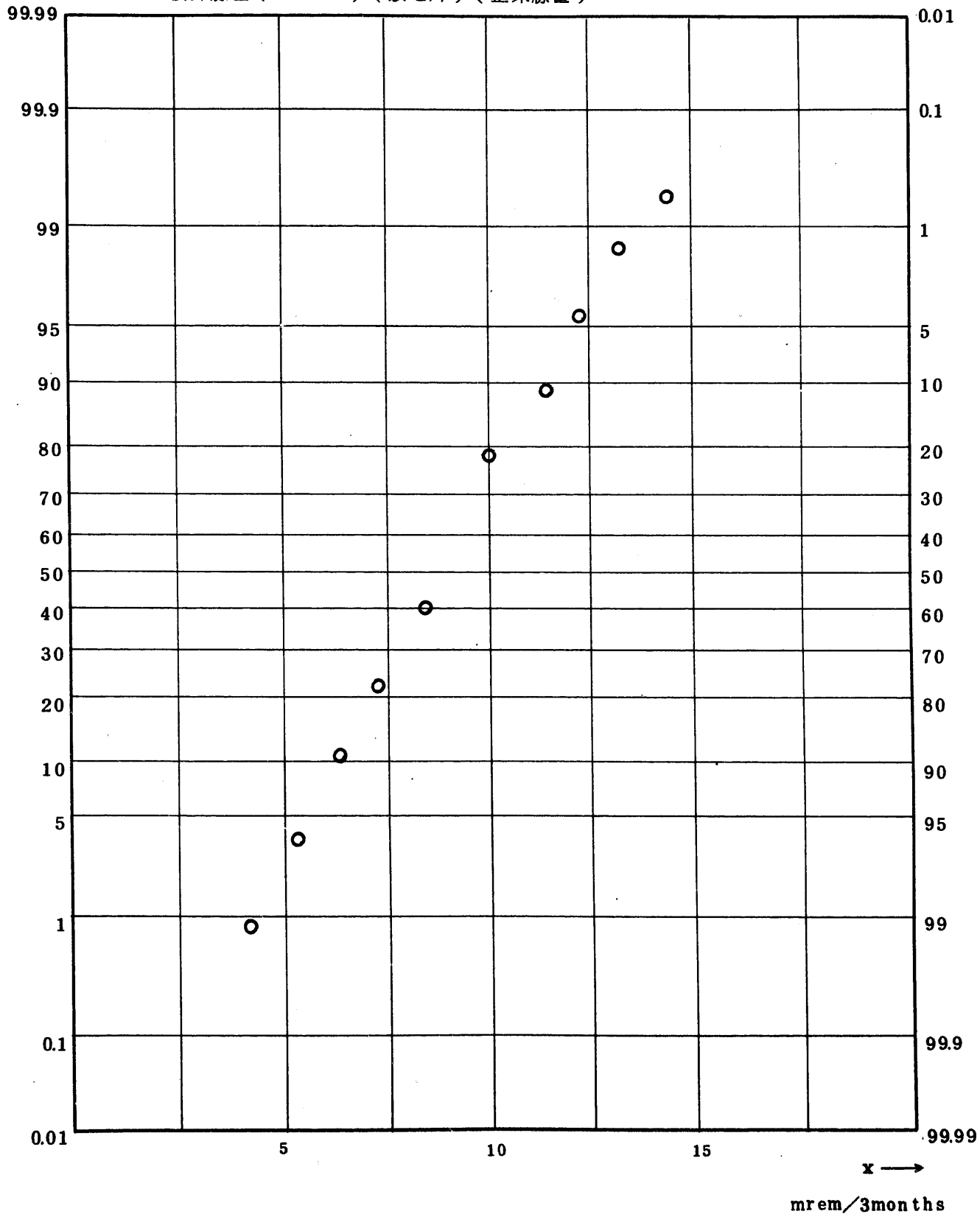


Fig. 2.3.1.1. Integrated Dose Observed with Thermoluminescent Dosimetry(T.L.D.) (on-off Site)(Measured)

図 2.3.1.1. 積算線量 (T.L.D.) (敷地内・外) (正味線量)

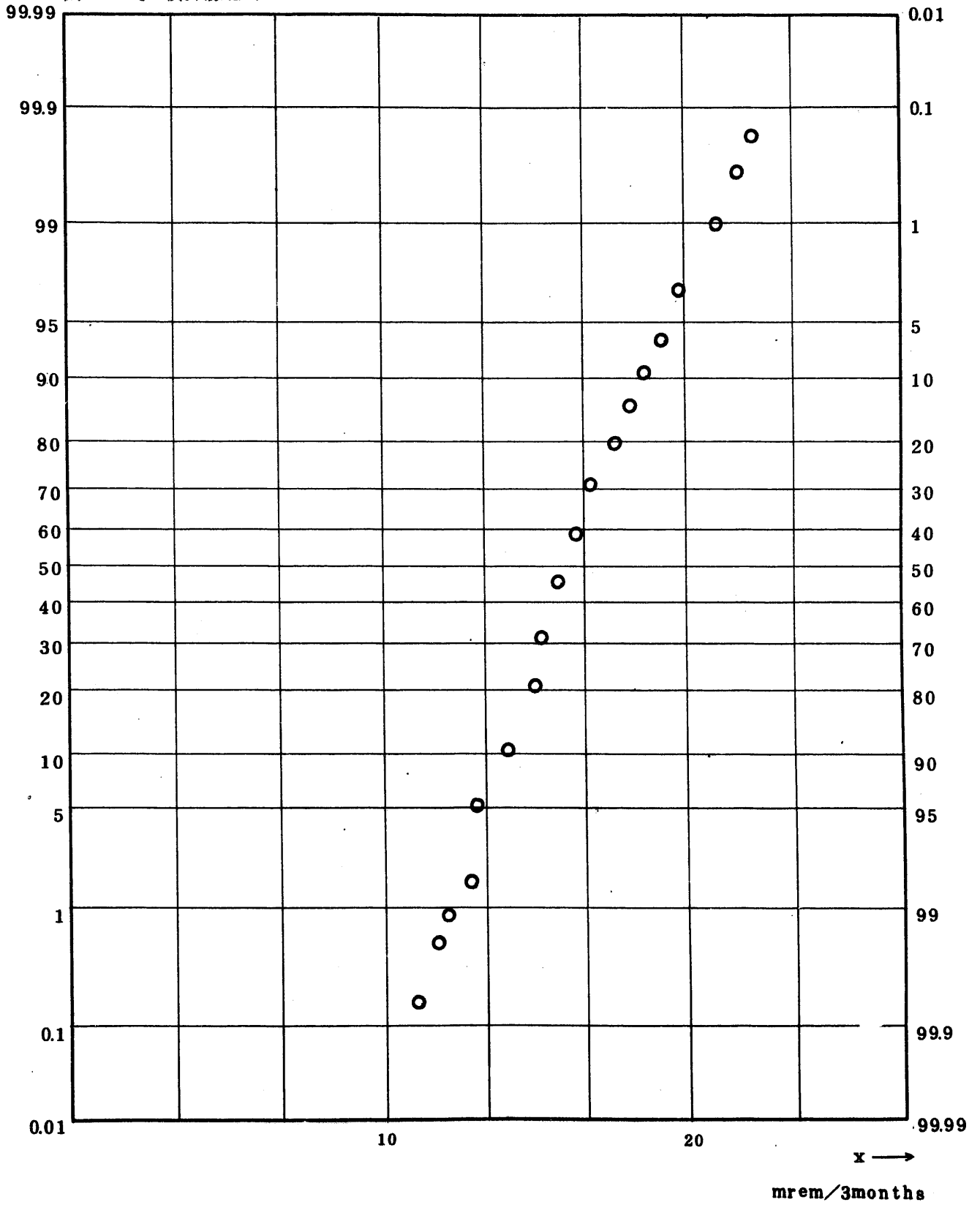


Fig. 2.3.2.1. Integrated Dose Observed with
Thermoluminescent Dosimetry(T.L.D.)(on-off Site)(Net)

図 2.3.2.1. 積算線量 (T.L.D.) (敷地内・外) (正味線量)

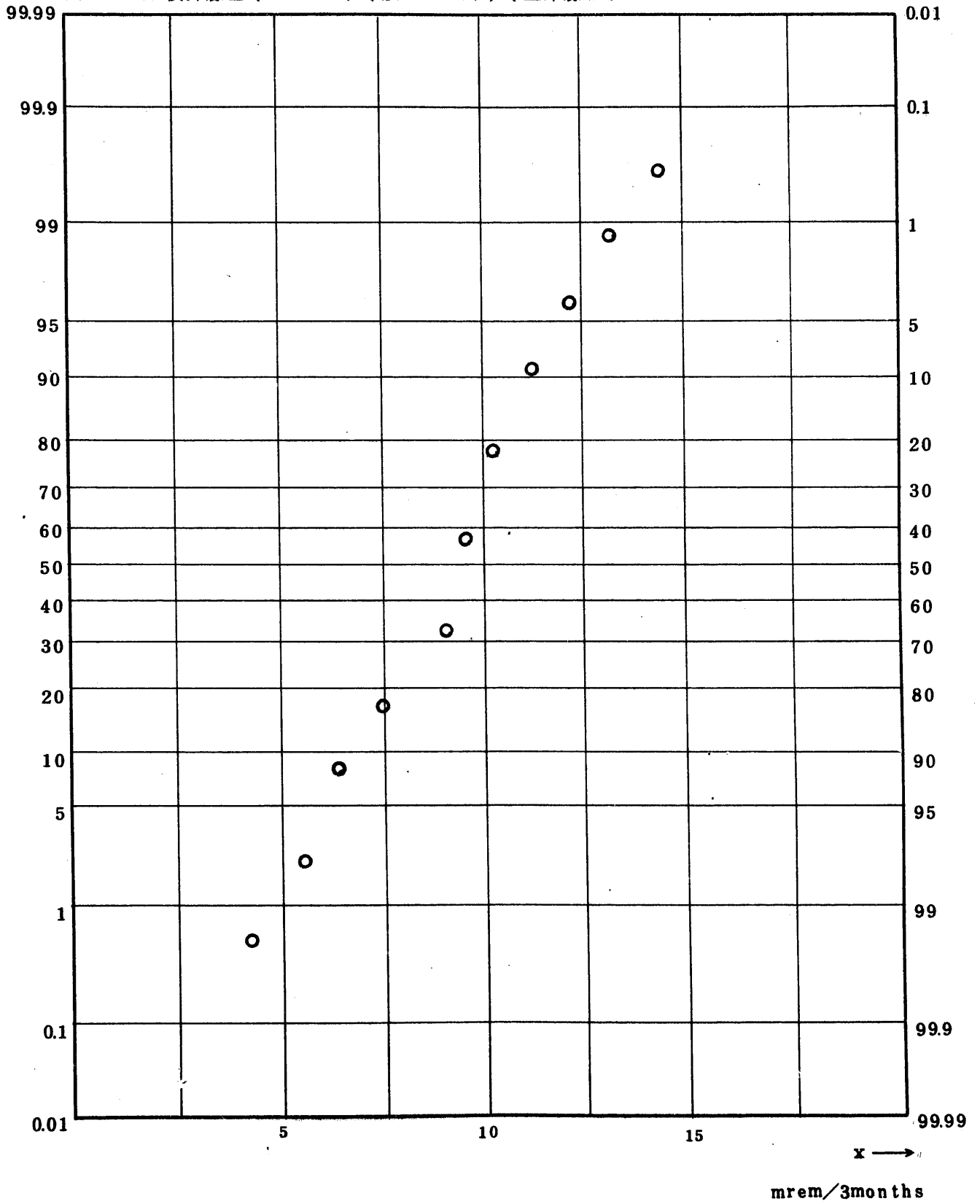


Fig. 2.3.1.1. Integrated Dose Observed with
Thermoluminescent Dosimetry(TLD)(on-off Site)(Measured)

図 2.3.1.1. 積算線量 (T.L.D.) (敷地内・外) (測定値)

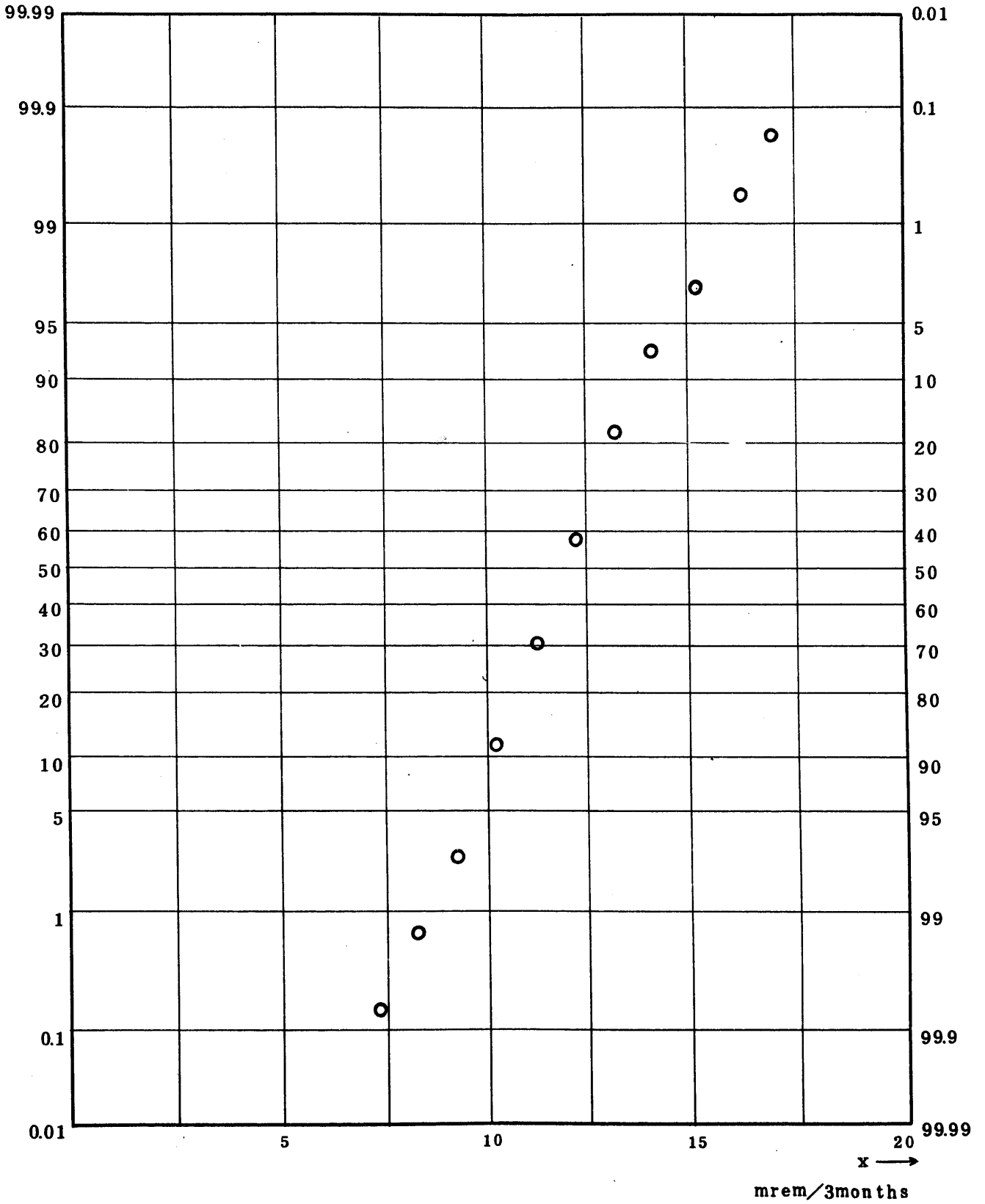


Fig. 2.3.21. Integrated Dose Observed with
Thermoluminescent Dosimetry(T.L.D.)(on-off Site)(Net)

図 2.3.2.1. 積算数量 (T.L.D.) (敷地内・外) (正味線量)

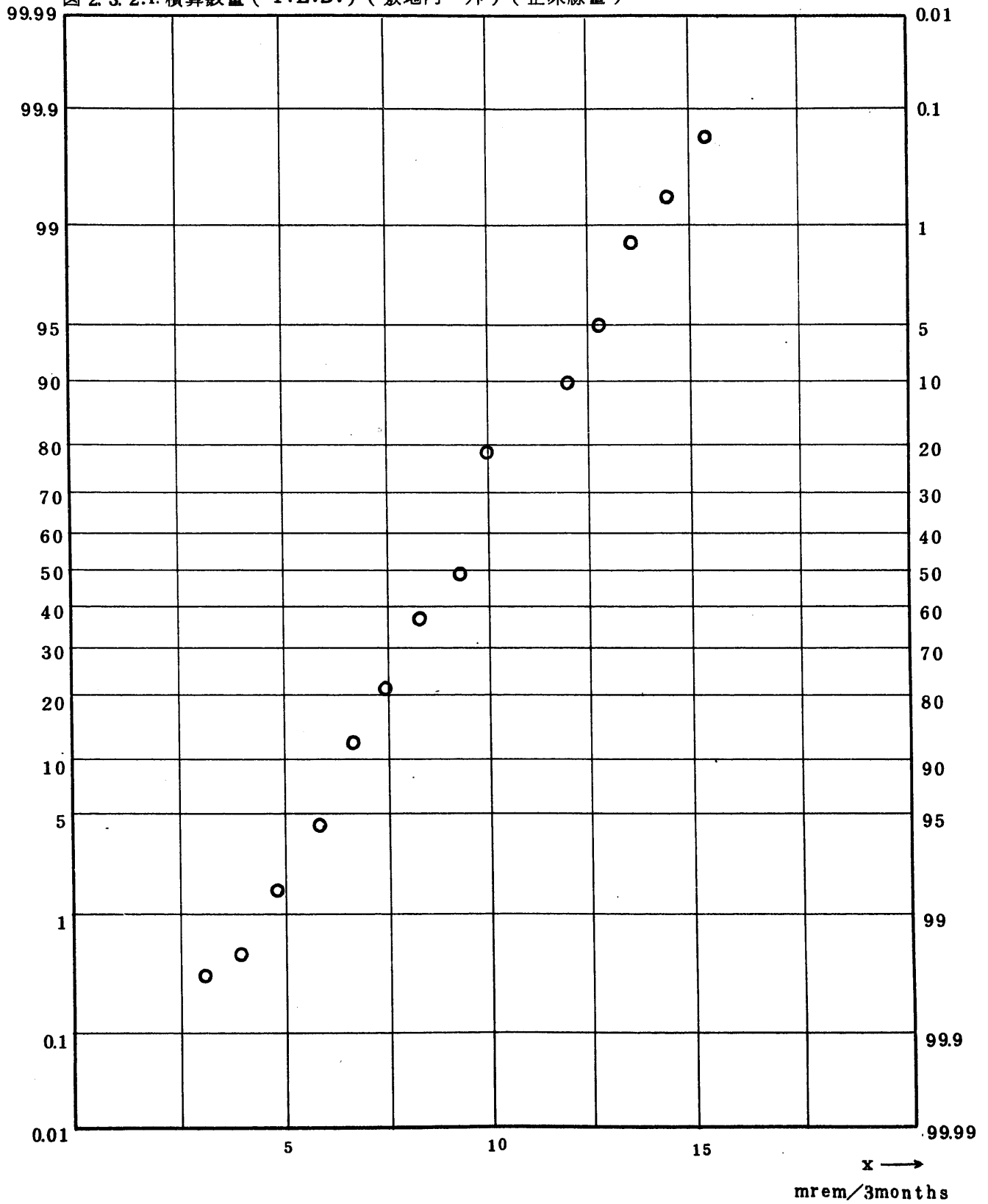
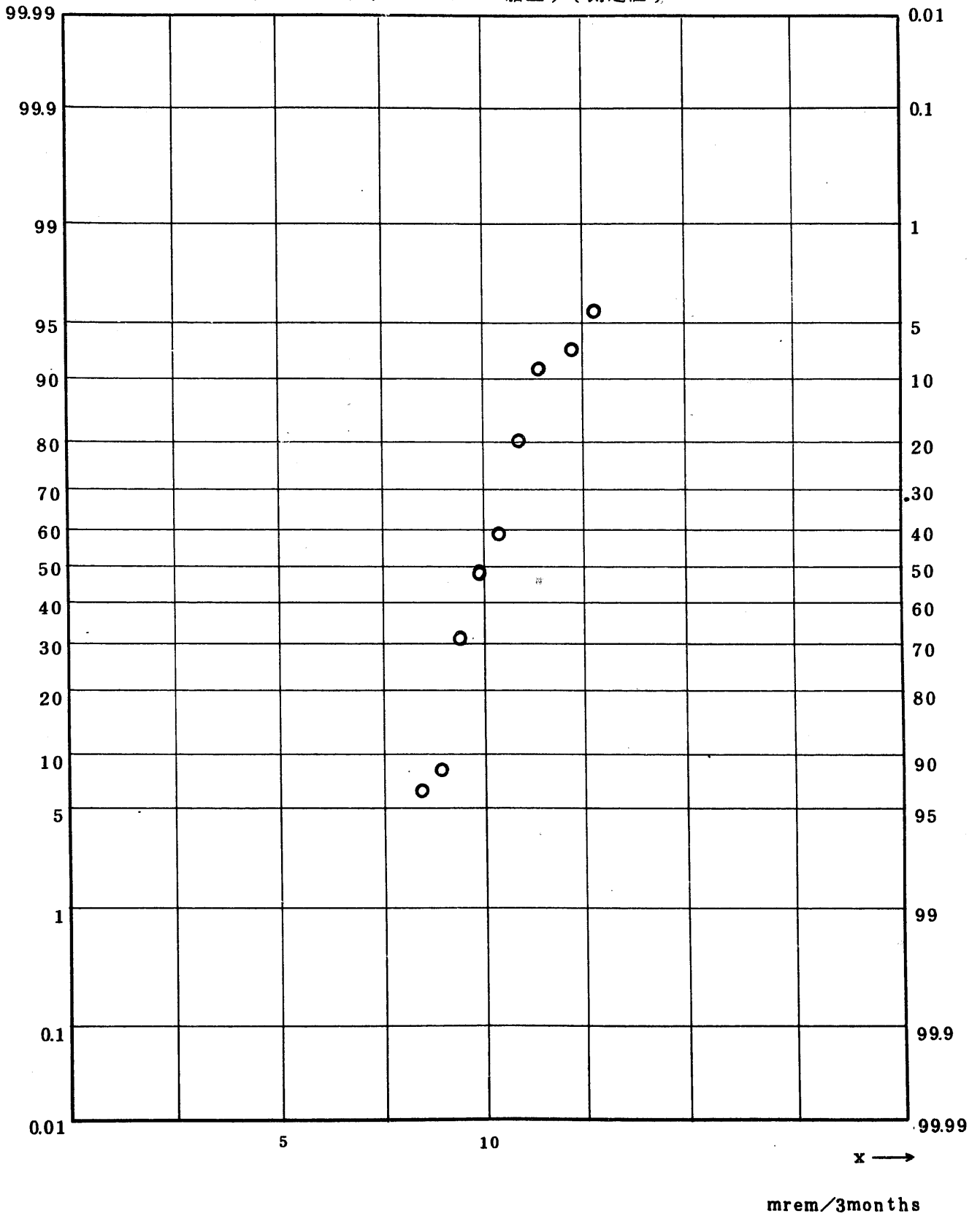


Fig. 2.4.1.1. Integrated Dose Obsorvated with Thermoluminescent
 Dosimetry (T. L. D.) (on-Monitoring Boat) (Measured)

図 2.4.1.1. 積算数量 (T.L.D.) (モニタリング船上) (測定値)



SN843-77-12

Fig. 2.4.2.1. Integrated Dose Observed with Thermoluminescent
Dosimetry (T. L. D.) (on - Monitoring Boat) (Net)

図 2.4.2.1. 積算線量 (T. L. D.) (モニタリング船上) (Net)

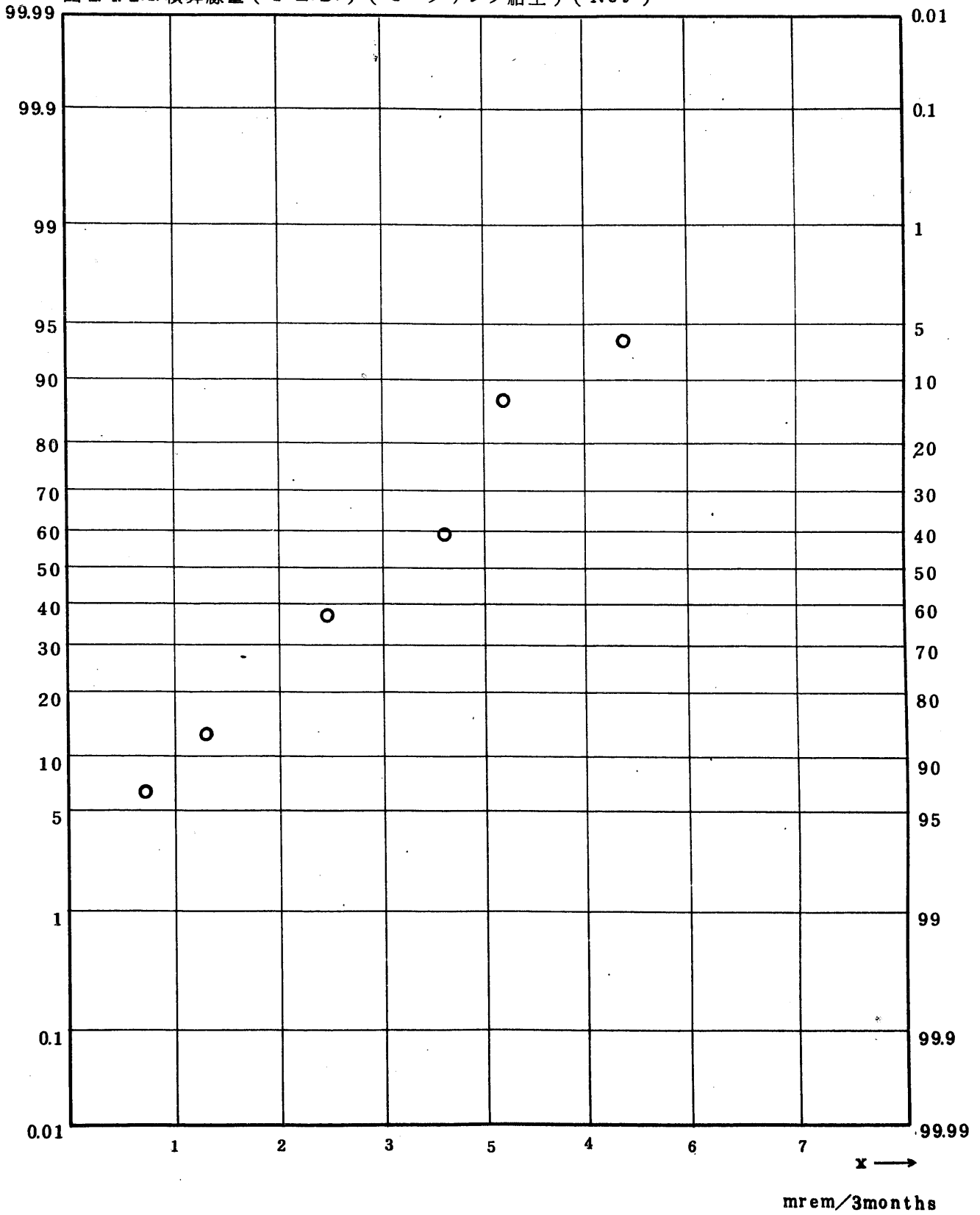


Fig. 3.1.1.12.2.1 Gross ALPHA Radionuclide Concentration in Air-borne Dust
($\tau = 1 \text{ week}$) (ALL)

図 3.1.1.12.2.1 大気浮遊塵中全 α 放射能濃度 (1週間値) (全測定値)

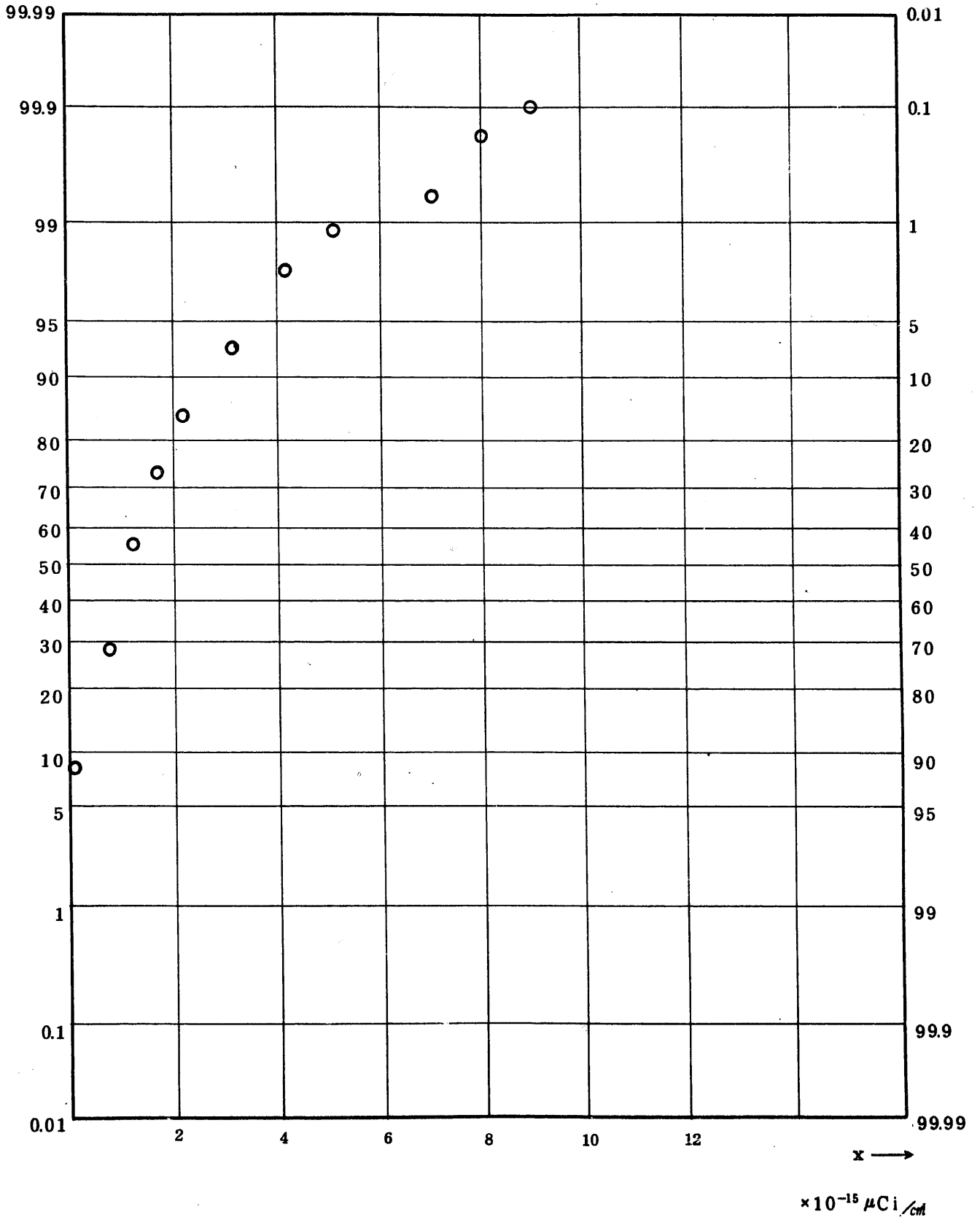
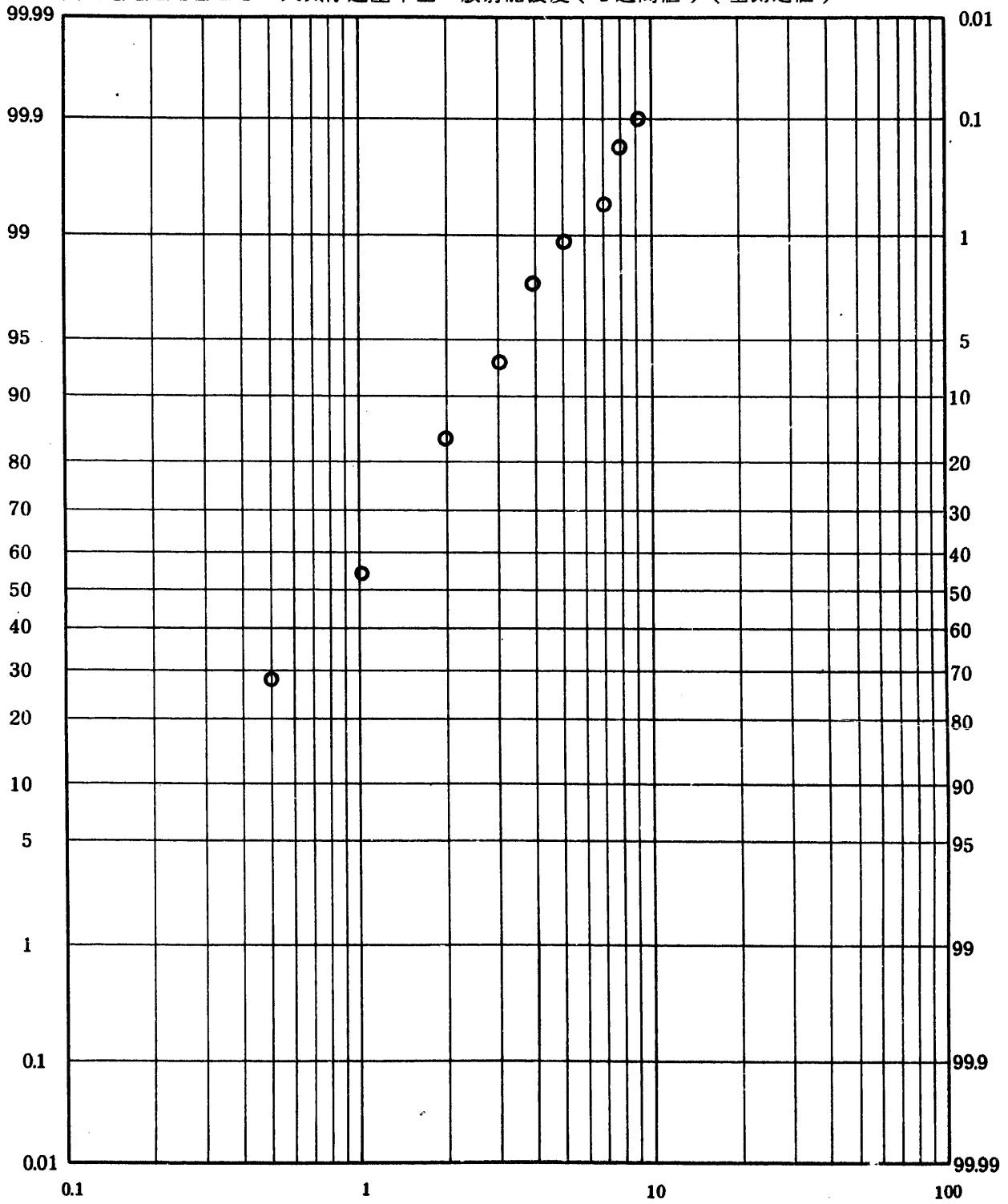


Fig. 3.1.1.2.12.2.1 Gross ALPHA Radionuclide Concentration in Air-borne Dust
($\tau = 1$ week) (ALL)

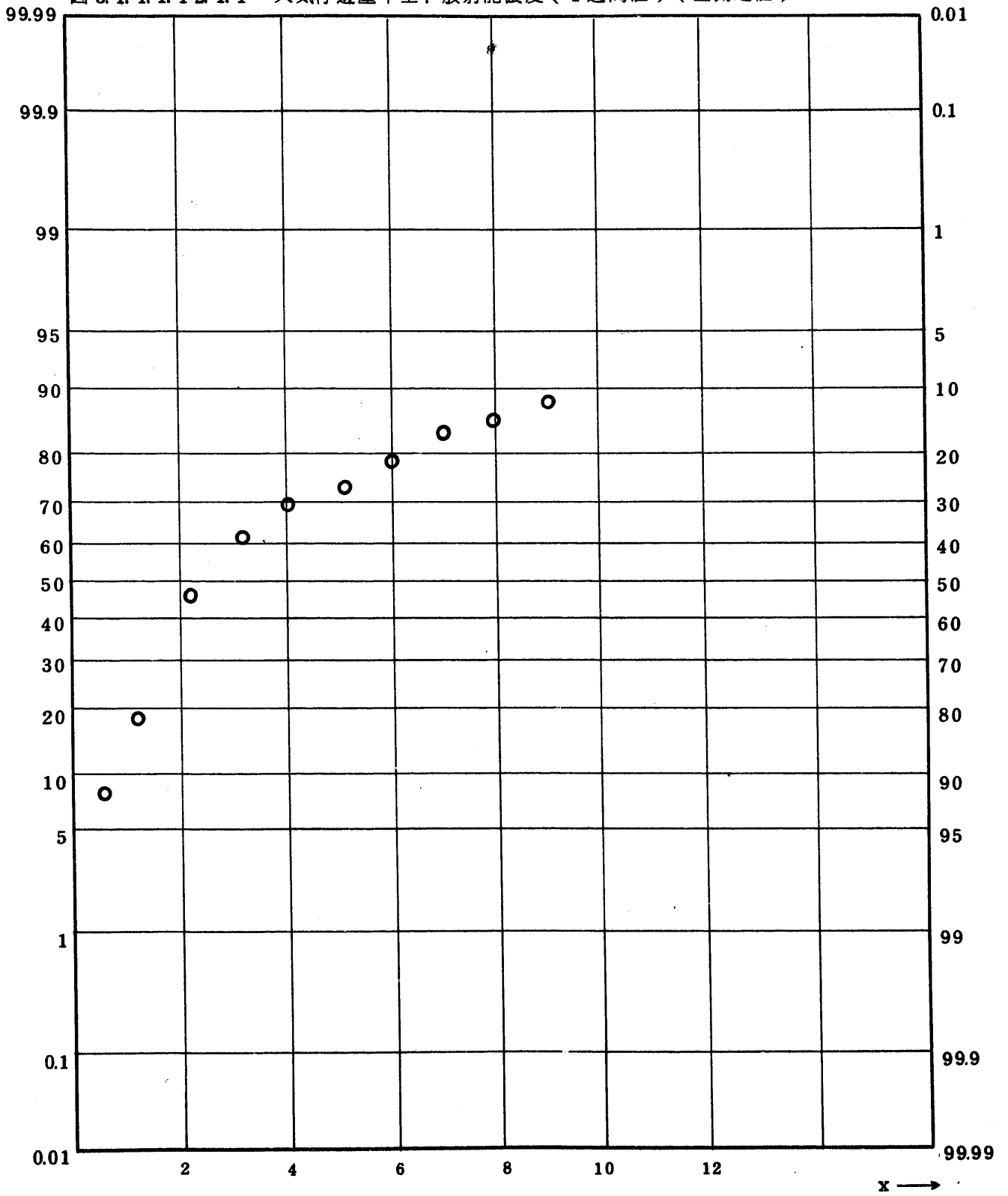
図 3.1.1.2.12.2.1 大気浮遊塵中全 α 放射能濃度(1週間値)(全測定値)



$\times 10^{-15} \mu\text{Ci}/\text{cm}$

Fig. 3.1.1.12.1.1 Gross BETA Radionuclide Concentration in Air-borne Dust
($\tau = 1 \text{ week}$) (ALL)

図 3.1.1.12.1.1 大気浮遊塵中全β放射能濃度(1週間値)(全測定値)



$\times 10^{-14} \mu\text{Ci/cm}$

Fig. 3.1.1.2.12.1.1 Gross BETA Radionuclide Concentration in Air-borne Dust
($\tau = 1 \text{ week}$) (ALL)

図 3.1.1.2.12.1.1 大気浮遊塵中全 β 放射能濃度(1週間値)(全測定値)

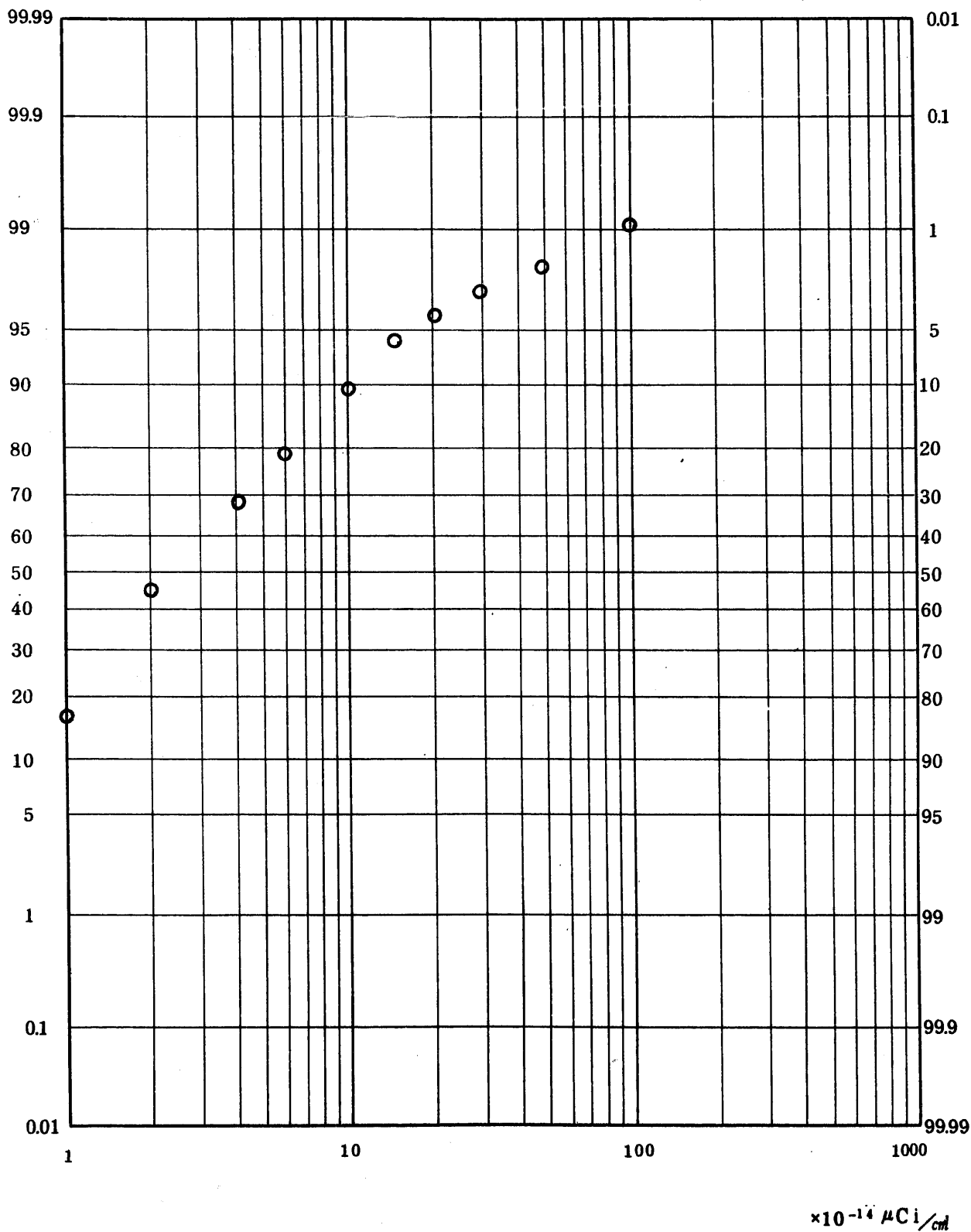


Fig. 3.1.1.1.2.1 Gross ALPHA Radionuclide Concentration in Air-borne Dust
 ($\tau = 1\text{ month}$) (ALL)

図 3.1.1.1.2.2.1 大気浮遊塵中全 α 放射能濃度 (1ヶ月値) (全測定値)

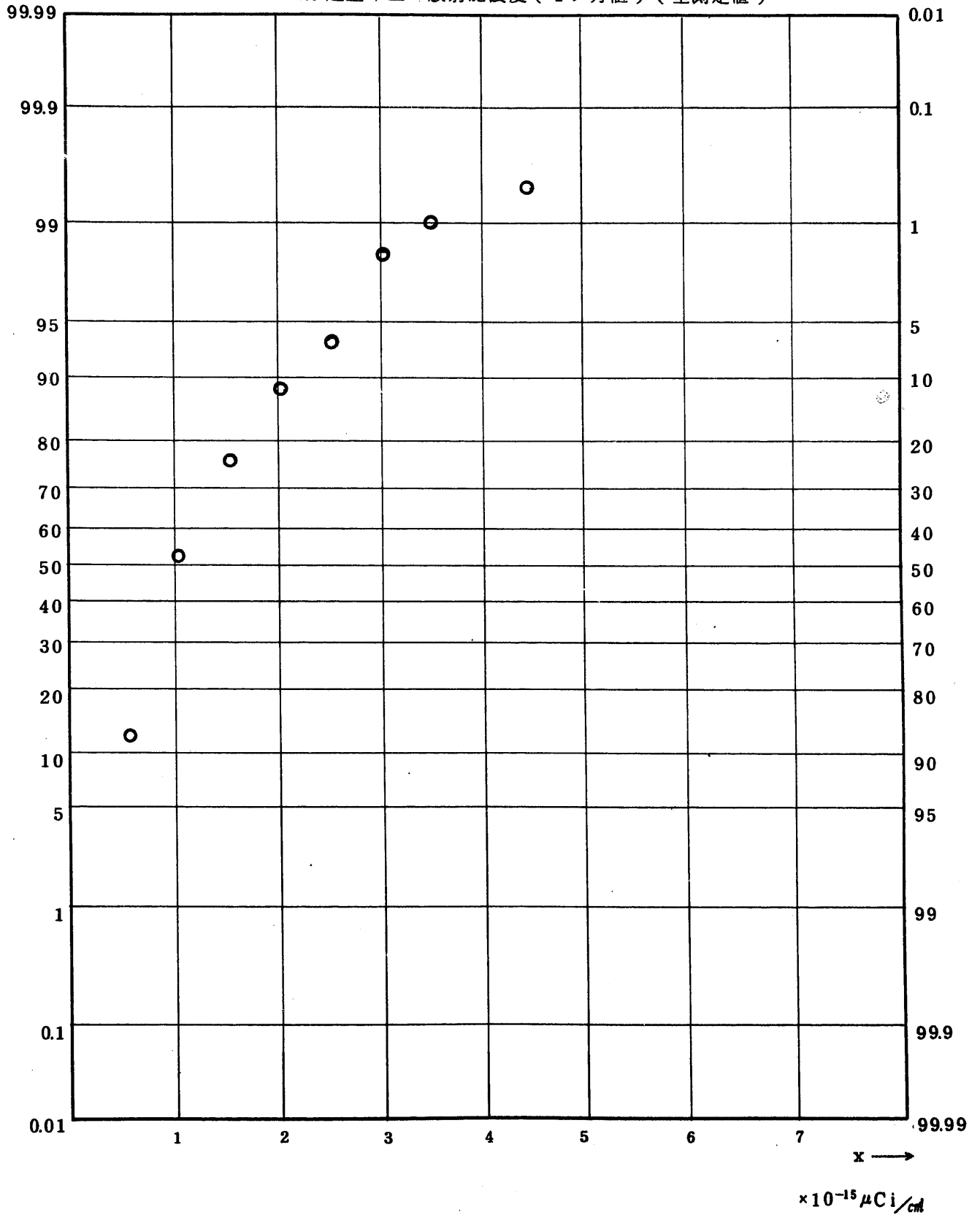


Fig. 3.1.1.12.1.2 Gross ALPHA Radionuclide Concentration in Air-borne Dust
($\tau = 1\text{month}$) (ALL)

図 3.1.1.12.1.2 大気浮遊塵中全 α 放射能濃度(1ヶ月値)(全測定値)

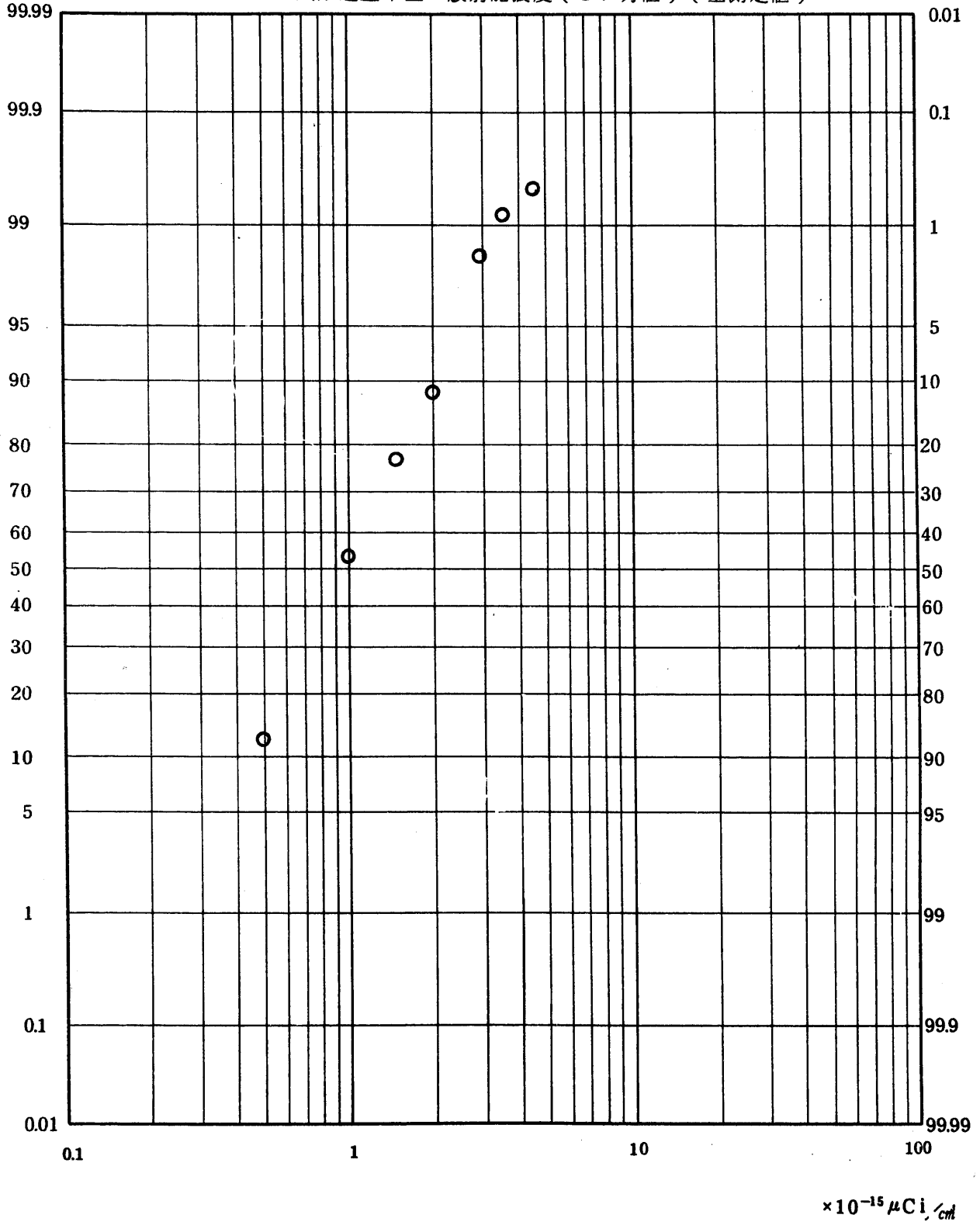


Fig. 3.1.1.12.1.2 Gross BETA Radionuclide Concentration in Air-borne Dust
($\tau = 1\text{ month}$) (ALL)

図 3.1.1.12.1.2 大気浮遊塵中全 β 放射能濃度(1ヶ月値)(全測定値)

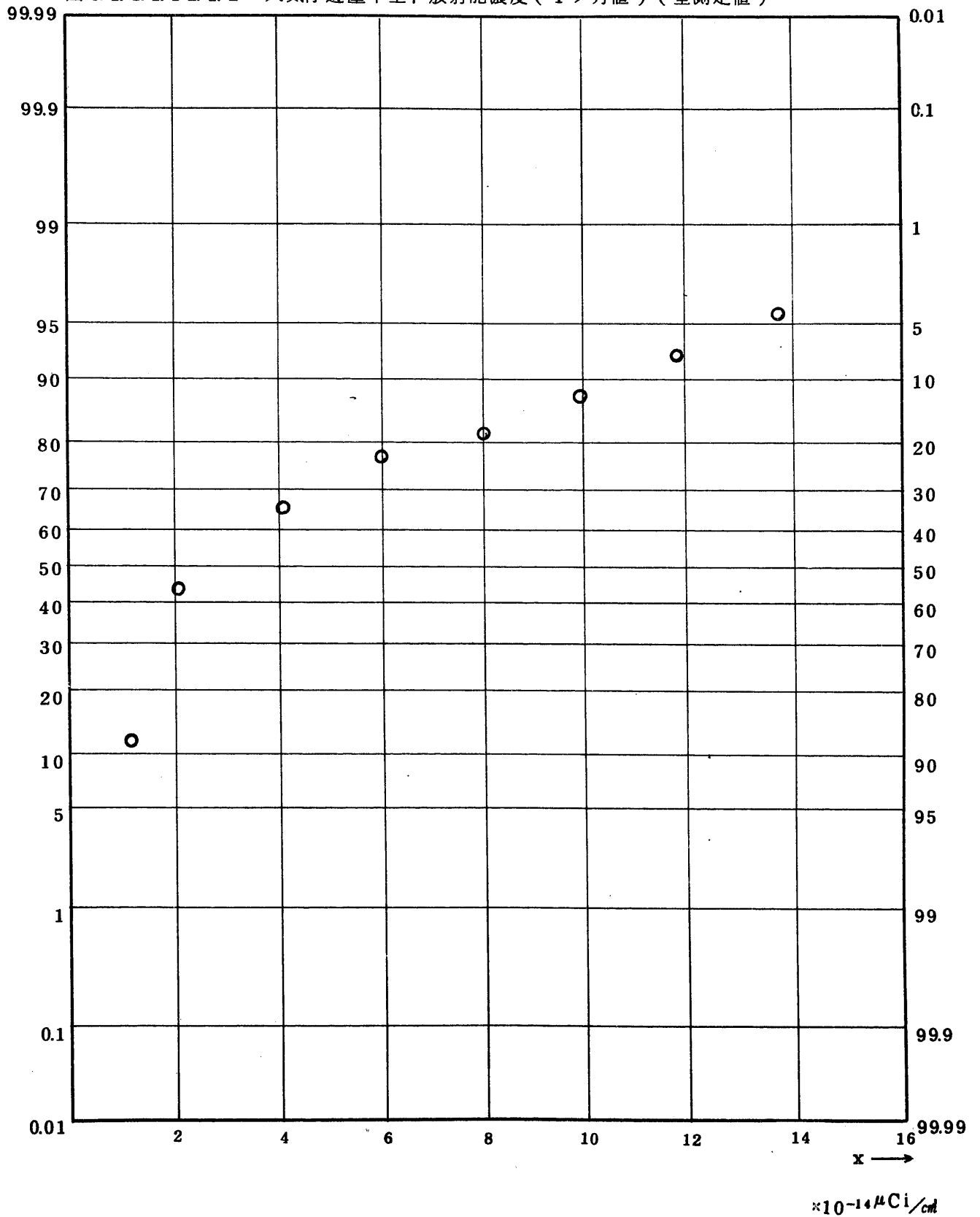


Fig. 3.1.1.2.1.2 Gross BETA Radionuclide Concentration in Air-borne Dust
($\tau = 1\text{ month}$) (ALL)

図 3.1.1.2.1.2 大気浮遊塵中全 β 放射能濃度 (1ヶ月値) (全測定値)

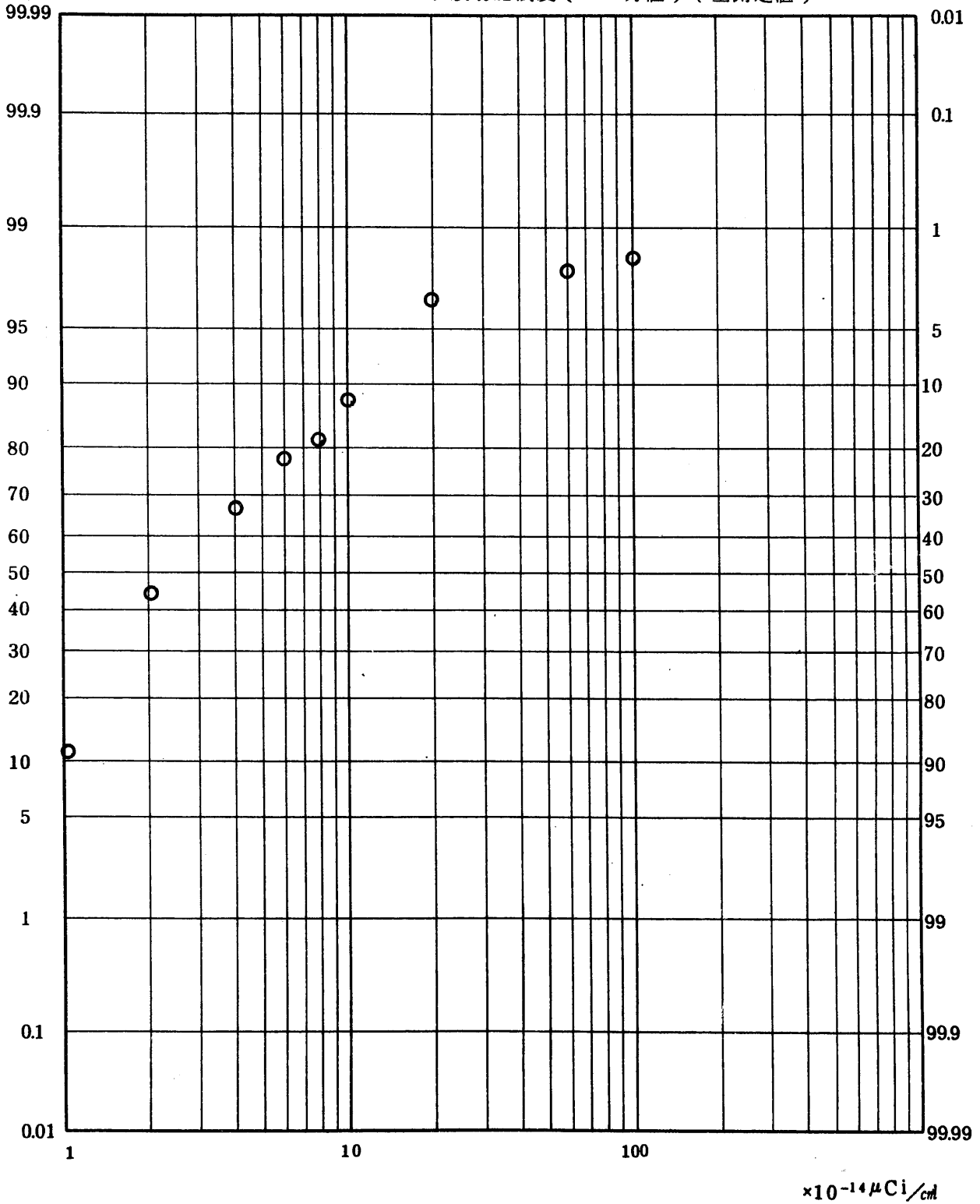


Fig. 3.1.2.1.2.2.1 Gross ALPHA Radionuclide Concentration in Air-borne
 ($\tau = 1\text{ month}$) (usual) Dust

図 3.1.2.1.2.2.1 大気浮遊塵中全 α 放射能濃度 (1 週間値) (平常値)

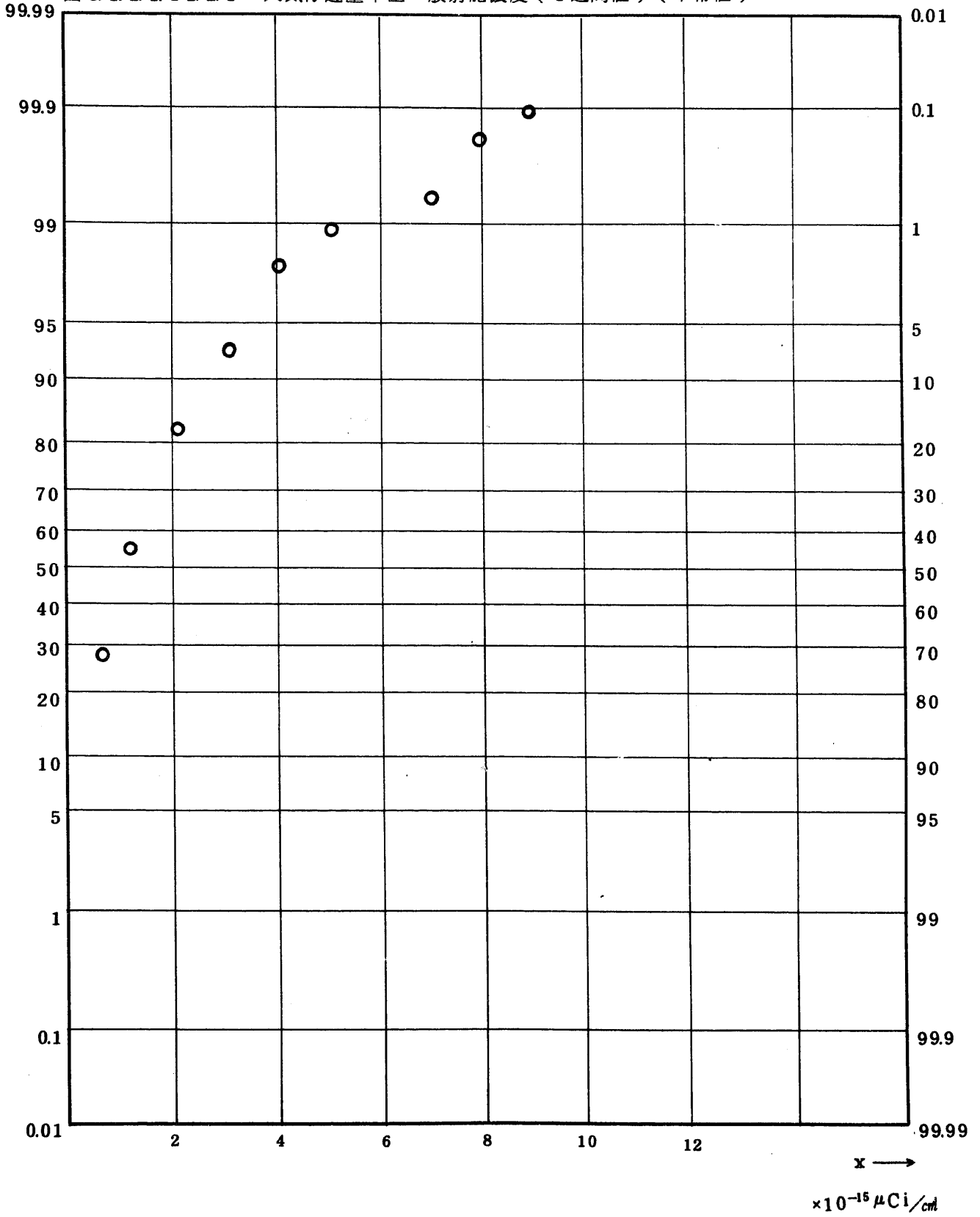


Fig. 3.1.2.2.12.2.1 Gross ALPHA Radionuclide Concentration in Air-borne Dust
($\tau = 1$ week) (USUAL)

図 3.1.2.2.12.2.1 大気浮遊塵中全 α 放射能濃度(1週間値)(平常値)

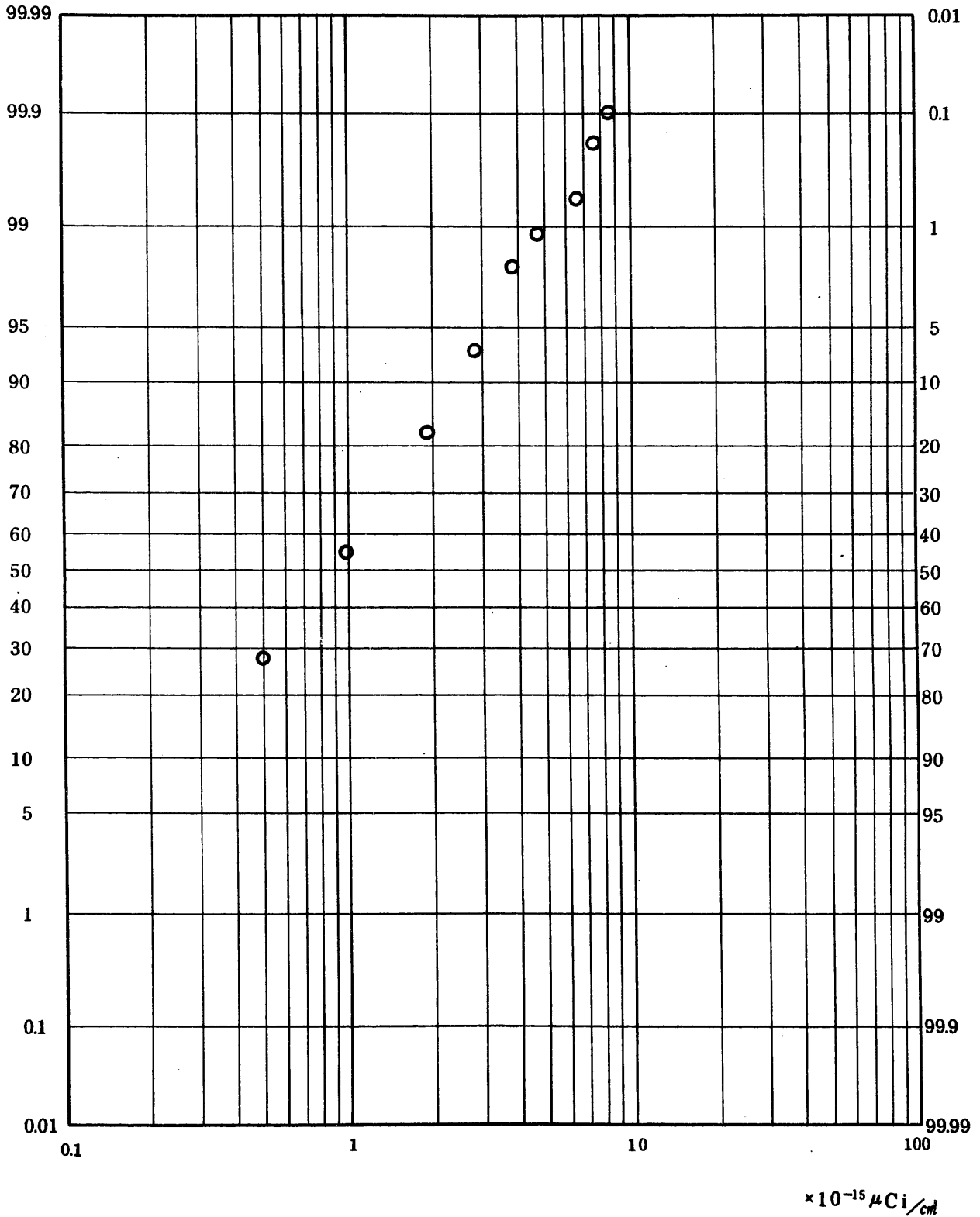


Fig. 3.1.2.1.2.1.1 Gross BETA Radionuclide Concentration in Air-borne Dust
($\tau = 1$ week) (USUAL)

図 3.1.2.1.2.1.1 大気浮遊塵中全 β 放射能濃度(1週間値)(平常値)

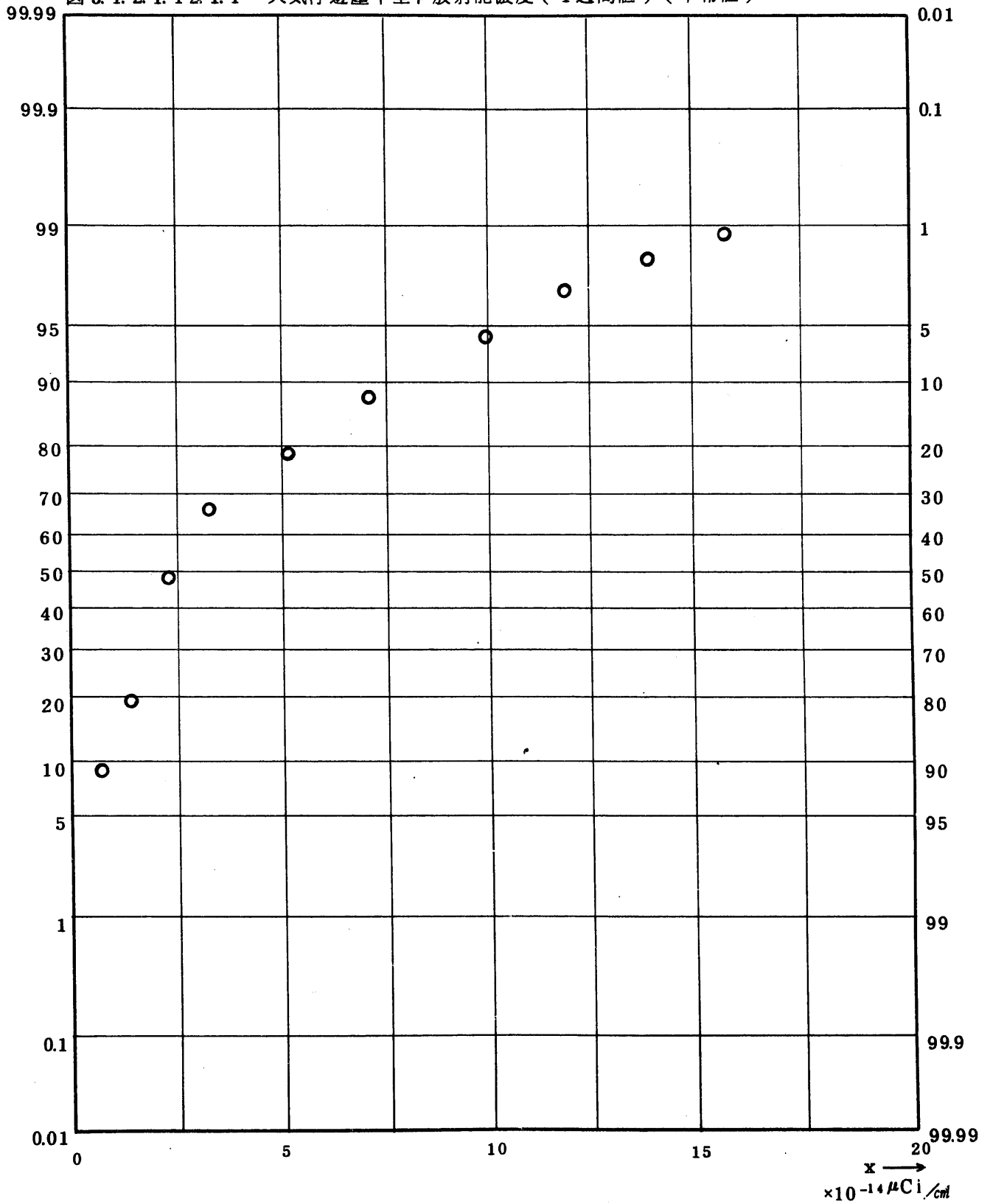


Fig. 3.1.2.2.12.1.1 Gross BETA Radionuclide Concentration in Air-borne
 ($\tau = 1 \text{ week}$) (USUAL) Dust

図 3.1.2.2.12.1.1 大気浮遊塵中全 β 放射能濃度 (1 週間値) (平常値)

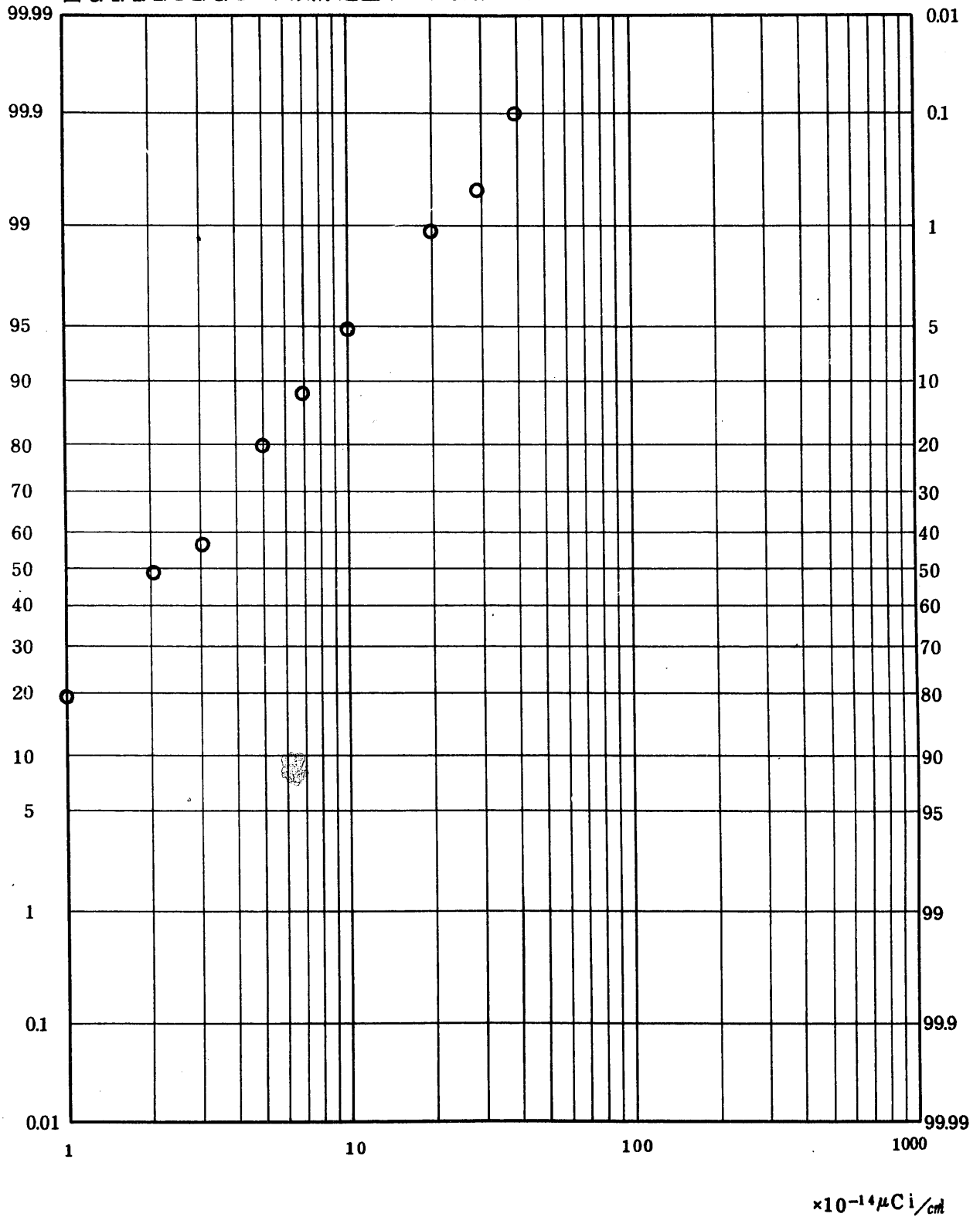


Fig. 3.1.2.1.12.2.2 Gross ALPHA Radionuclide Concentration in Air-borne Dust
($\tau = 1\text{ month}$)(USUAL)

図 3.1.2.1.12.2.2 大気中浮遊塵中全 α 放射能濃度(1ヶ月値)(平常値)

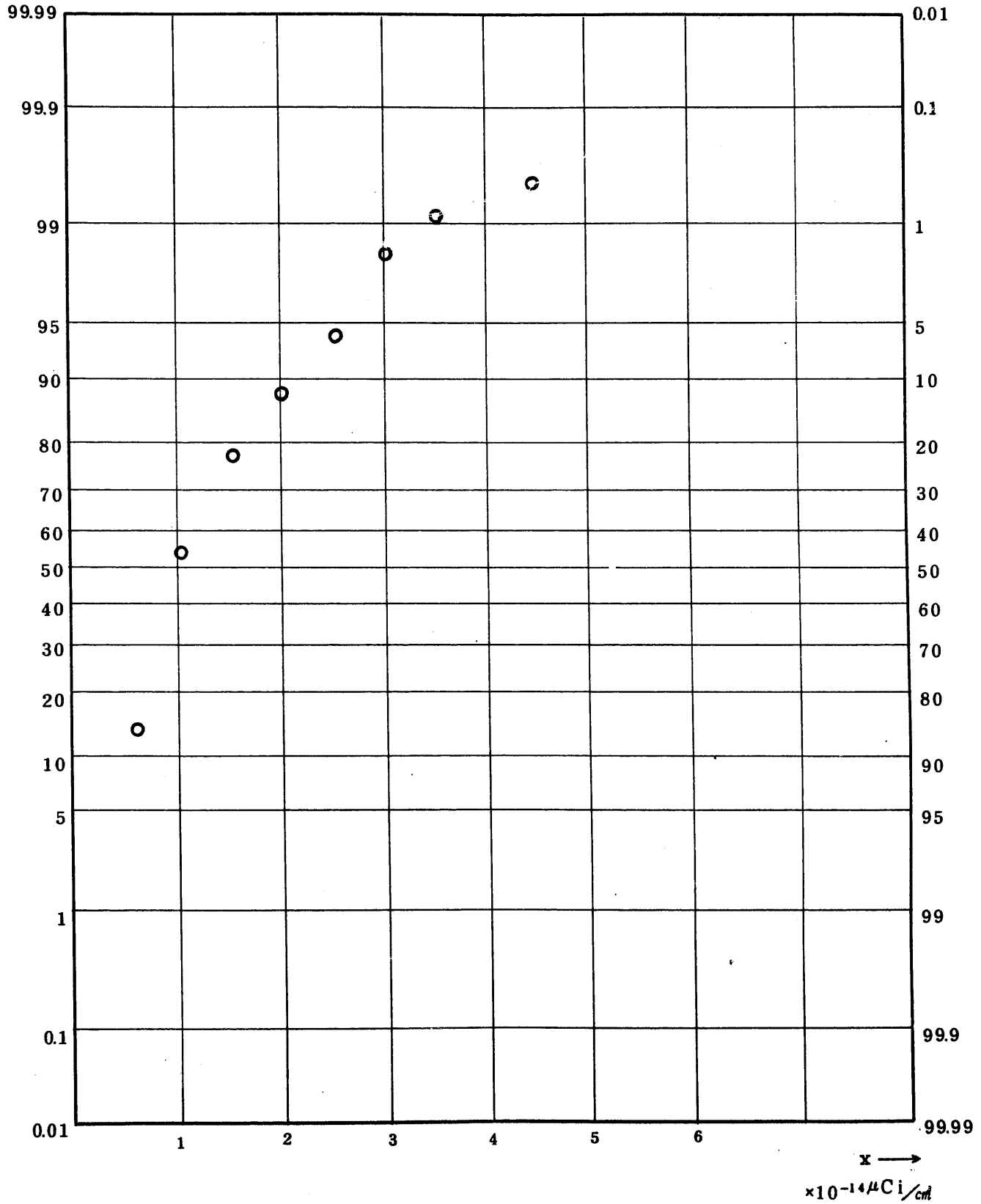


Fig. 3.1.2.2.12.2.2 Gross ALPHA Radionuclide Concentration in Air-borne Dust
($\tau = 1\text{ month}$)(USUAL)

図 3.1.2.2.12.2.2 大気浮遊塵中全 α 放射能濃度(1ヶ月値)(平常値)

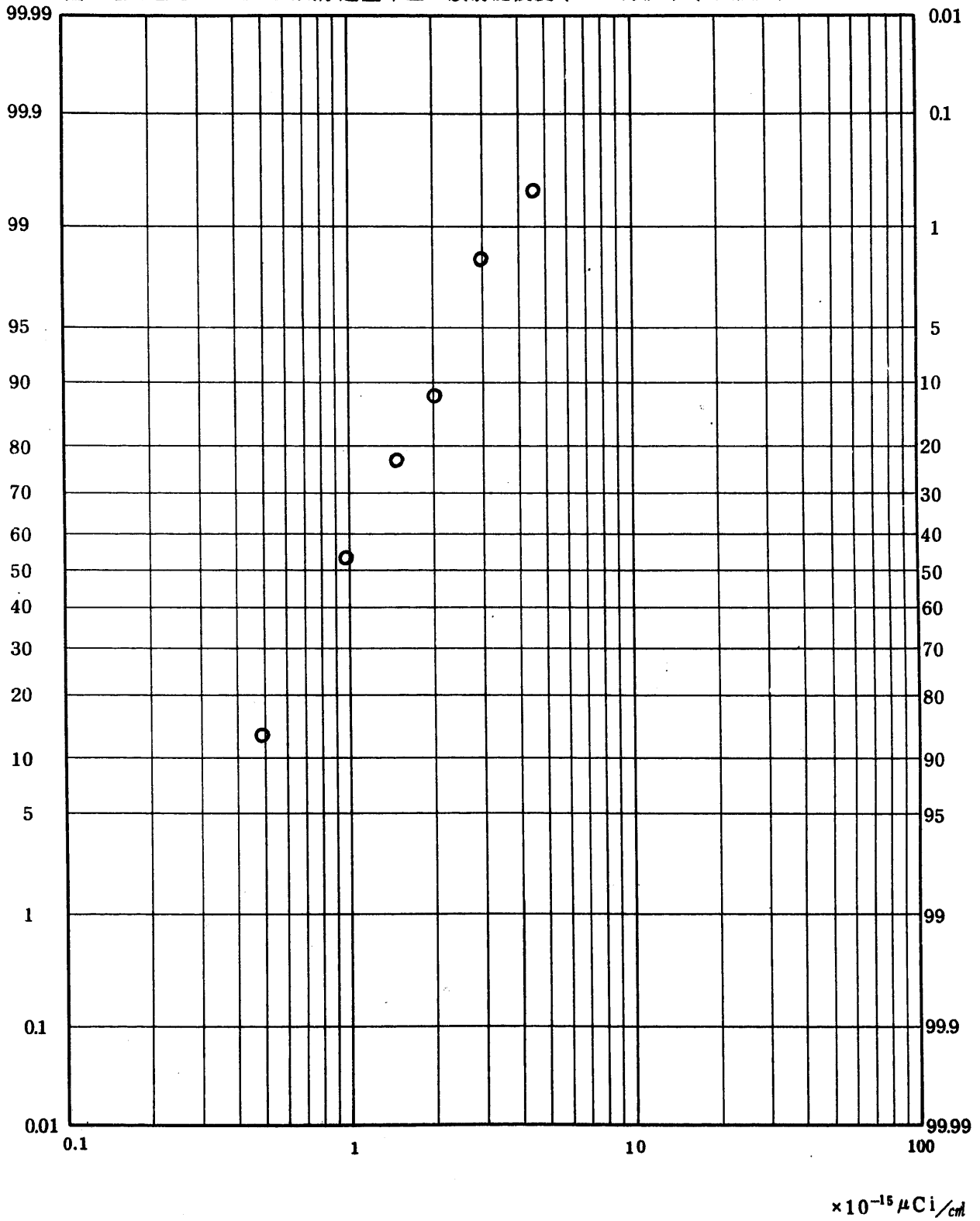


Fig. 3.1.2.1.2.1.2 Gross BETA Radionuclide Concentration in Air-borne Dust
($\tau = 1\text{ month}$)(USUAL)

図 3.1.2.1.2.1.2 大気浮遊塵中全β放射能濃度(1ヶ月値)(平常値)

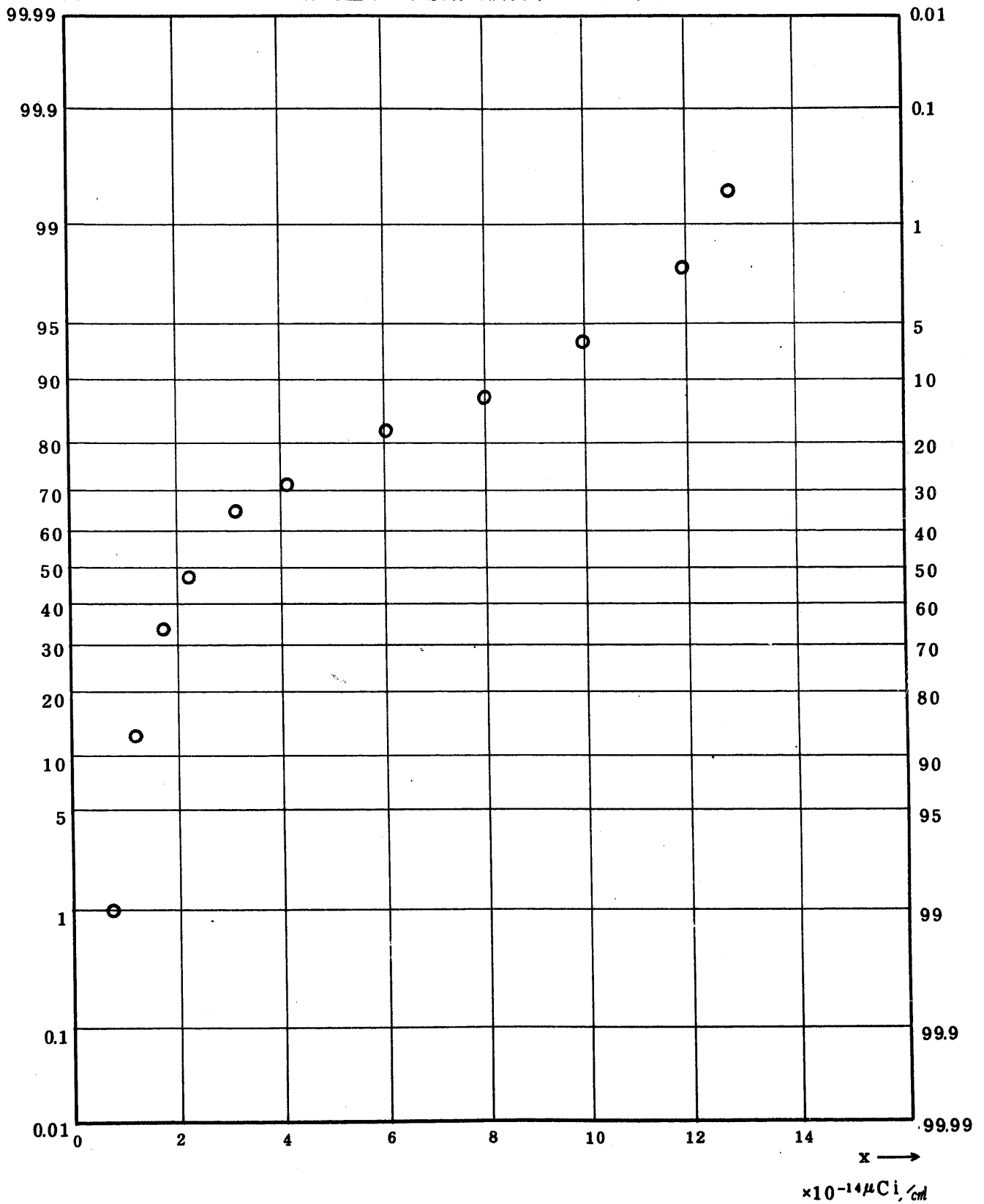


Fig. 3.1.2.12.1.2 Gross BETA Radionuclide Concentration in Air-borne
 ($\tau = 1\text{ month}$)(USUAL) Dust

図 3.1.2.12.1.2 大気浮遊塵中全 β 放射能濃度(1ヶ月値)(平常値)

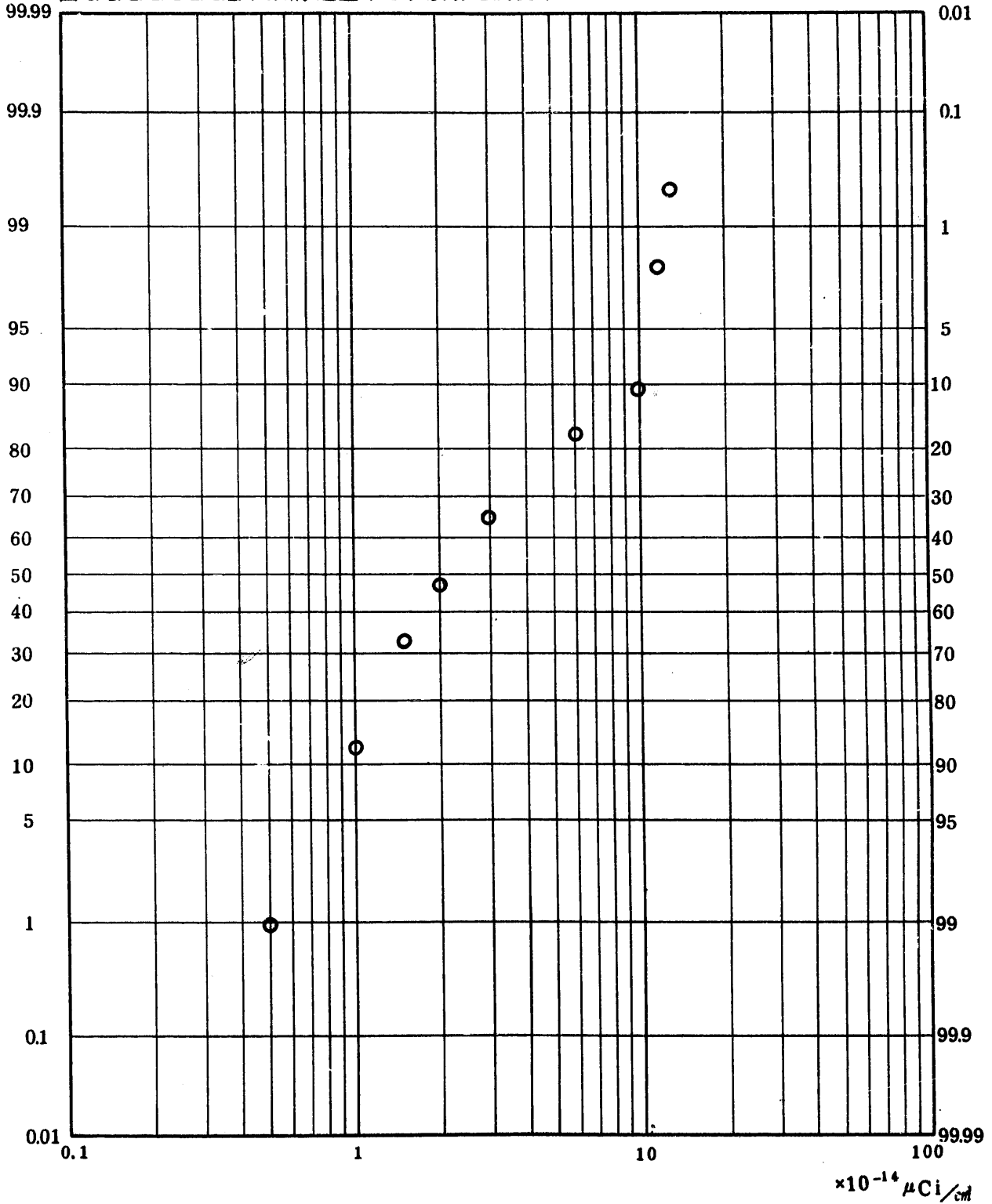


Fig. 3.1.1.1.2.1.3 Gross BETA Concentration in Airborne Dust
 ($\tau = 3\text{months}$) (ALL) (1975.3 ~ 1977.3)

図 3.1.1.1.2.1.3 大気中浮遊塵全 β 放射能濃度 (3ヶ月値) (全測定値)

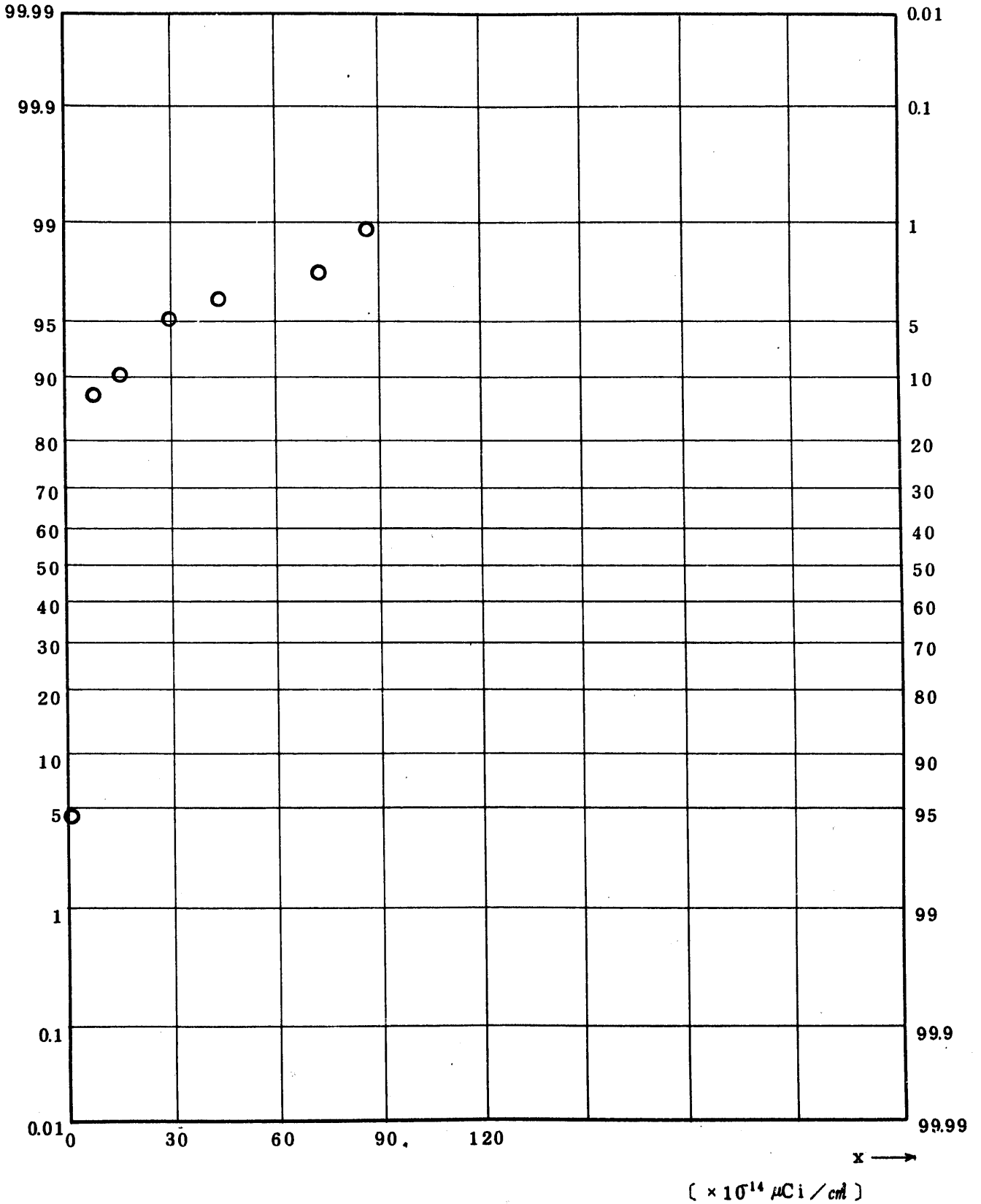


Fig. 3.1.1.1 2.2.3 Gross ALPHA Concentration in Airborne Dust

($\tau = 3\text{months}$) (ALL)

(1975.3 ~ 1977.3)

図 3.1.1.1 2.2.3 大気中浮遊塵全 α 放射能濃度 (3ヶ月値) (全測定値)

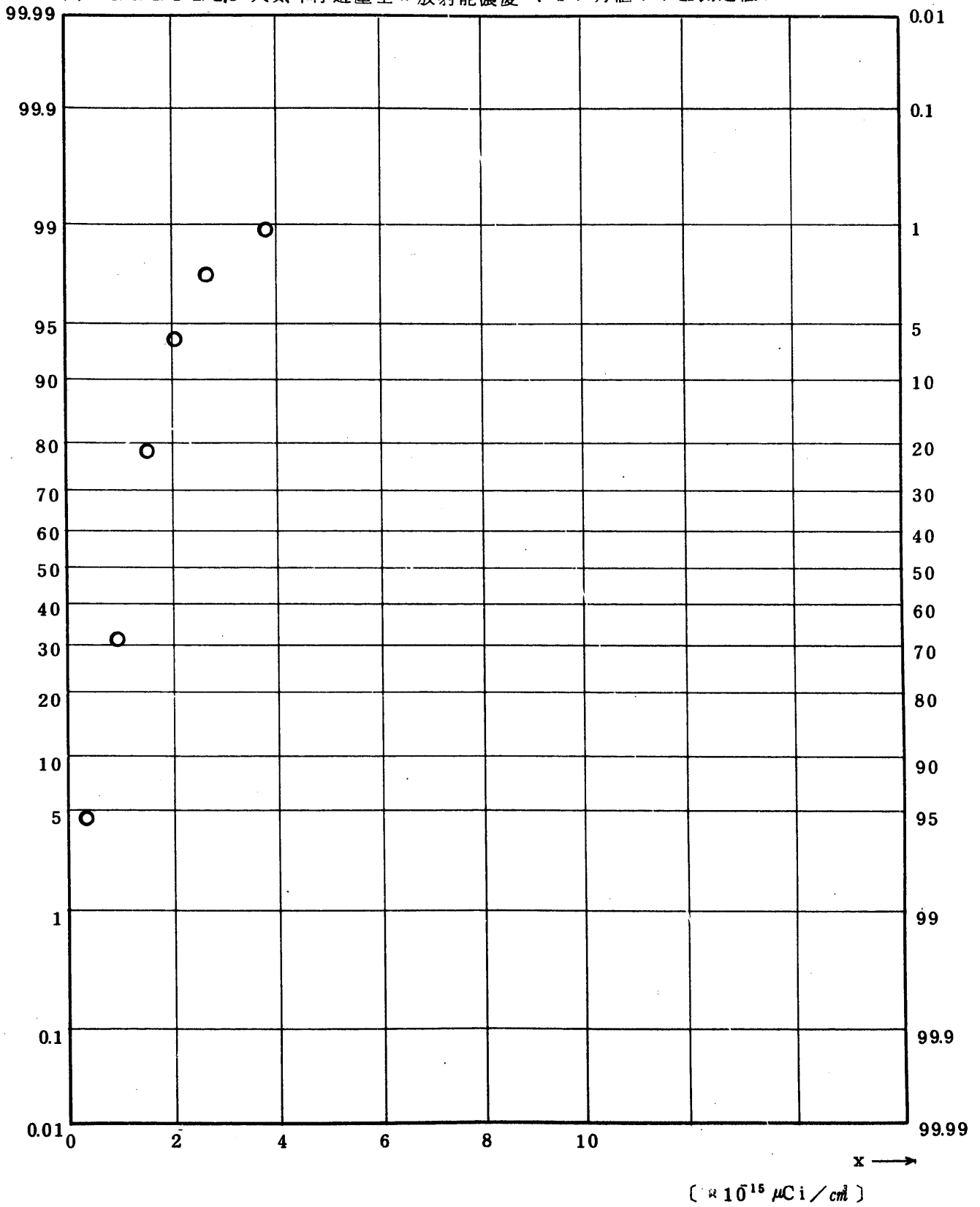


Fig. 3.1.1.2.1.2.2.3 Gross ALPHA Concentration in Airborne Dust

($\tau = 3$ months) (ALL) 1975.(1~3)~1977.(1~3)

図 3.1.1.2.1.2.2.3 大気浮遊塵中全 α 放射能濃度 (3ヶ月値) (全測定値)

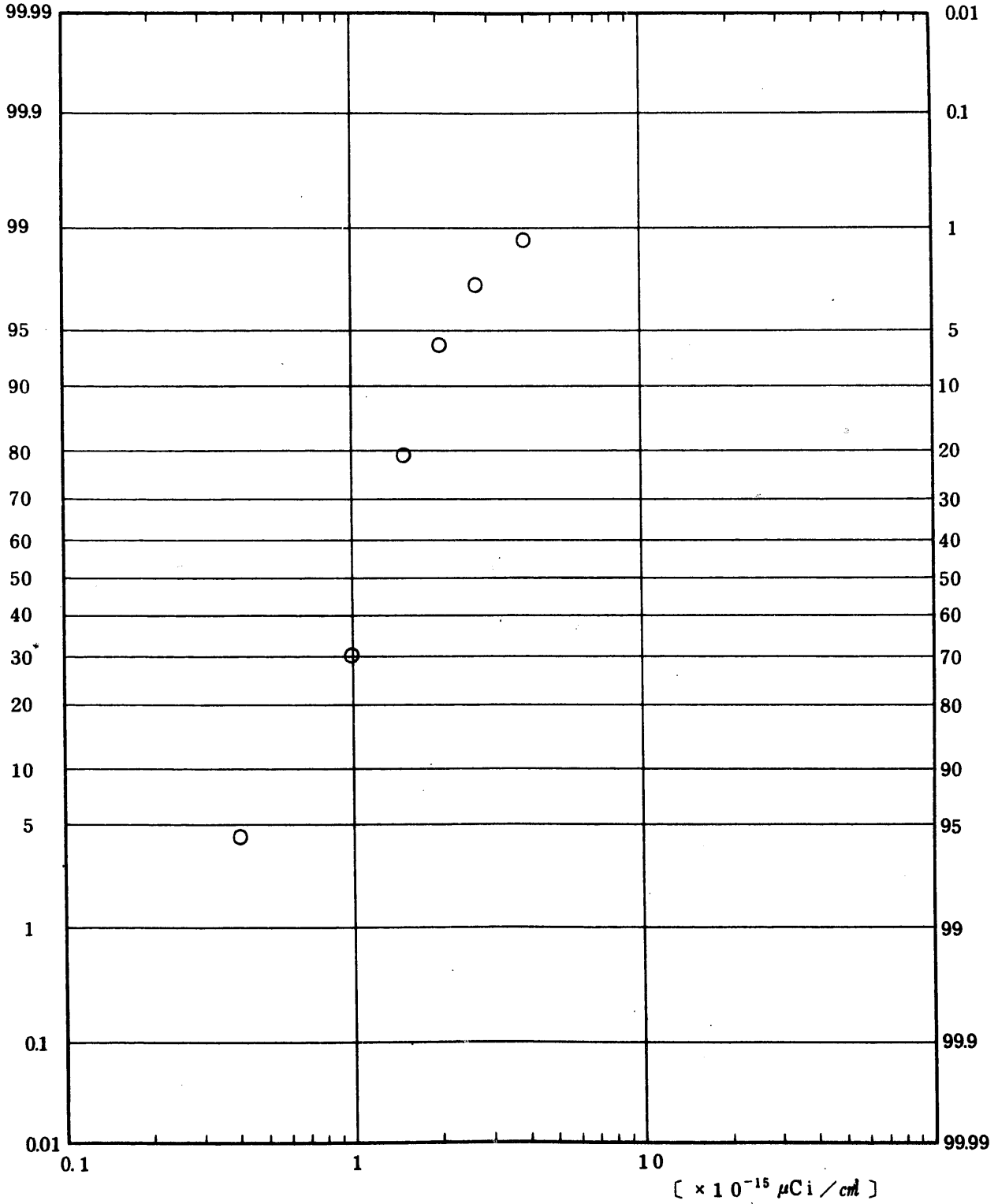


Fig. 3.1.1.1.2.3.3. ^{90}Sr Concentration in Airborne Dust ($\tau=3\text{months}$) (ALL)
 (1 9 7 5 . 3 ~ 1 9 7 7 . 3)

図 3.1.1.1.2.3.3. 大気中浮遊塵 ^{90}Sr 放射能濃度 (3 ヶ月値) (全測定値)

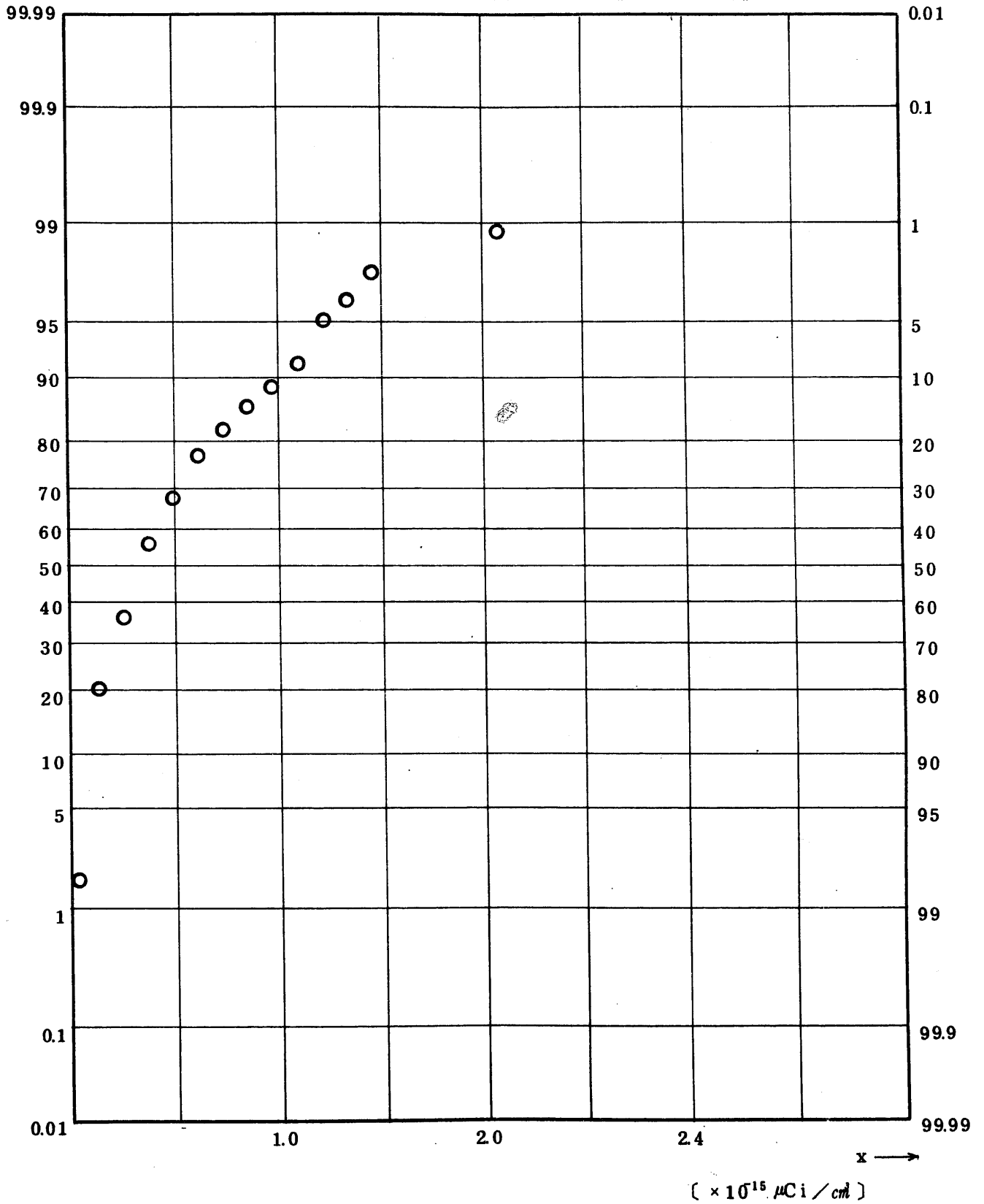


Fig. 3.1.1.1 2.7.3 ¹³⁷Cr Concentration in Airborne Dust (τ = 3months) (ALL)
 (1 9 7 5 . 3 ~ 1 9 7 7 . 3)

図 3.1.1.1 2.7.3 大気中浮遊塵 ¹³⁷Cs 放射能濃度 (3 ヶ月値) (全測定値)

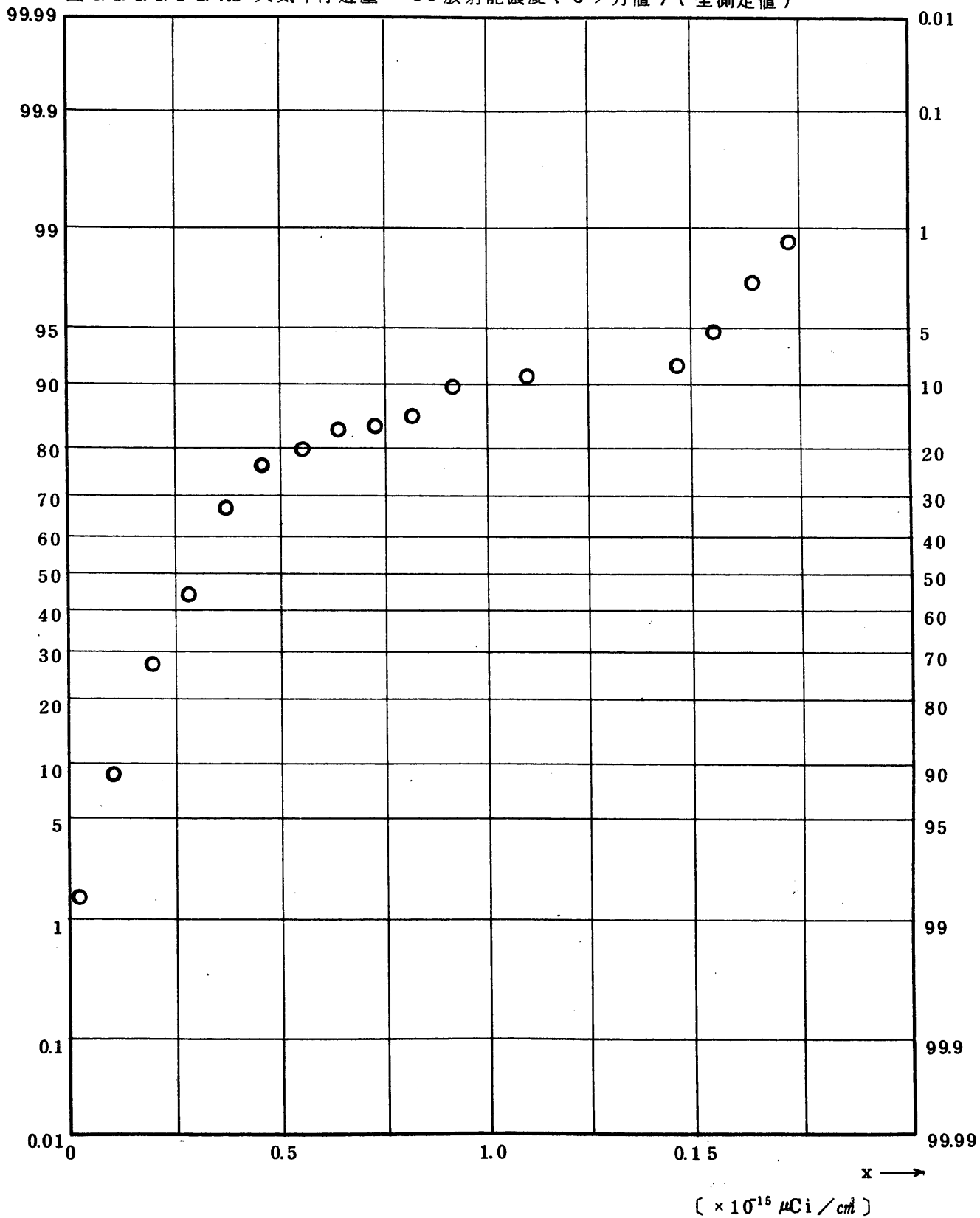


Fig. 3.1.1.1 2.9.3. $^{239}\text{Pu} + ^{240}\text{Pu}$ Concentration in Airborne Dust ($\tau = 3\text{months}$) (ALL)
 (1 9 7 5 . 3 ~ 1 9 7 7 . 3)

図 3. 1. 1. 1 2. 9. 3. 大気中浮遊塵 ^{239}Pu 放射能濃度 (3 ヶ月値) (全測定値)

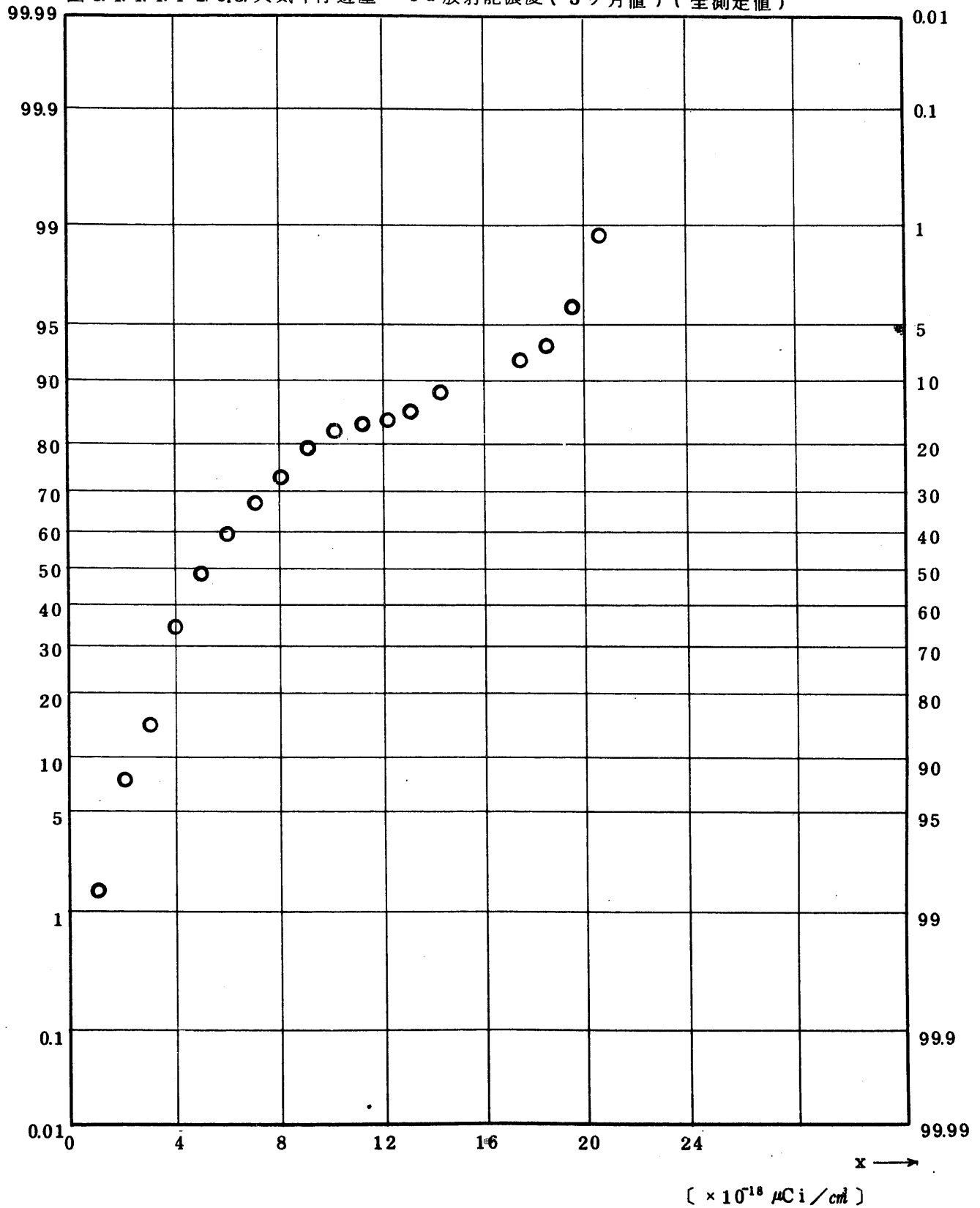


Fig. 3.1.1.2.1.2.9.3 $^{239}\text{Pu} + ^{240}\text{Pu}$ Concentration ($\tau = 3\text{months}$) (ALL)

1975.(1~3)~1977.(1~3)

図 3.1.1.2.1.2.9.3 大気浮遊塵中 $^{239}, ^{240}\text{Pu}$ 放射能濃度 (3ヶ月値) (全測定値)

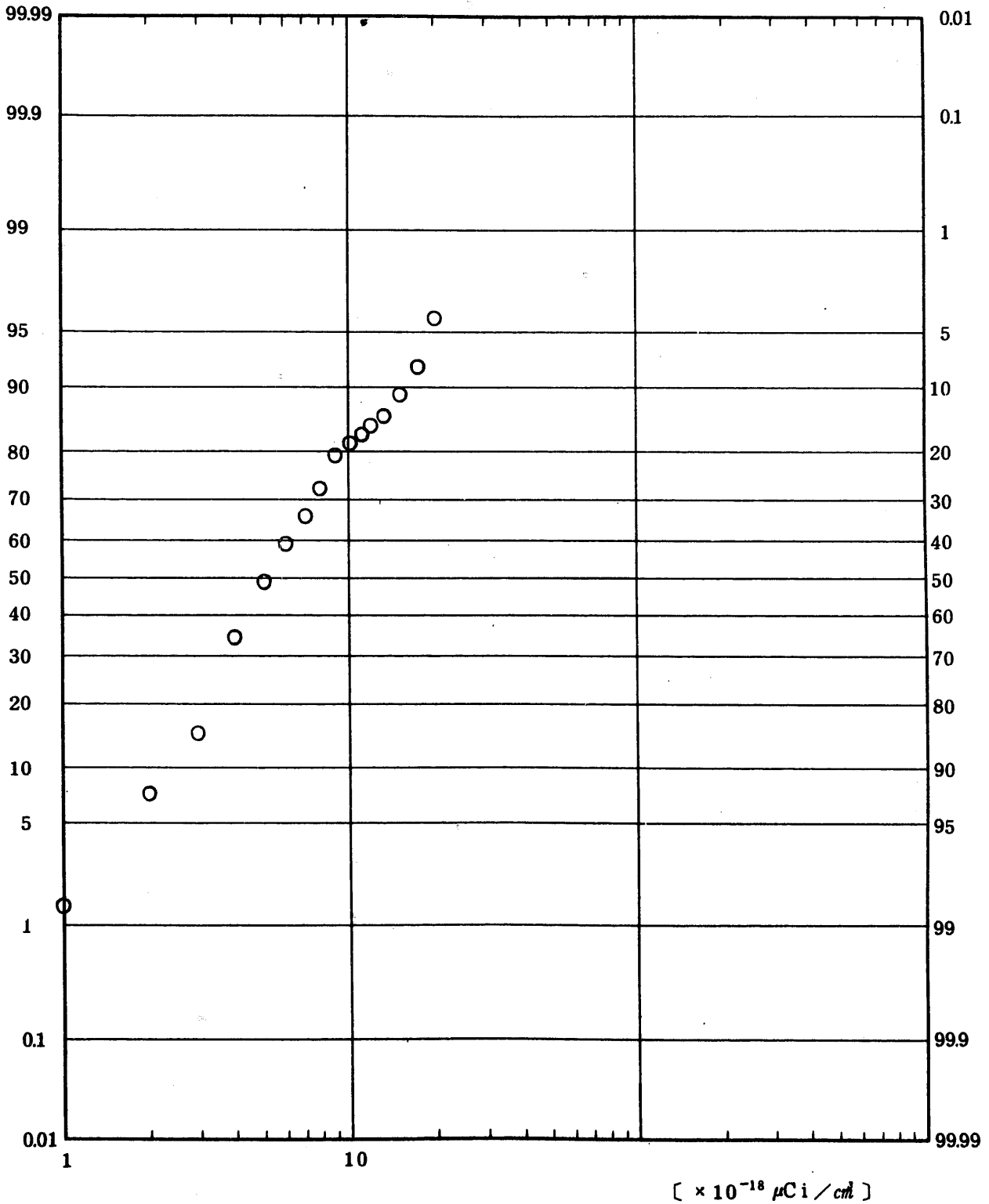


Fig. 3.1.2.1.2.1.3 Gross BETA Concentration in Airborne Dust

($\tau = 3\text{months}$) (USUAL) (1975.3 ~ 1977.3)

図 3.1.2.1.2.1.3 大気浮遊塵中全 β 放射能濃度 (3ヶ月値) (全測定値)

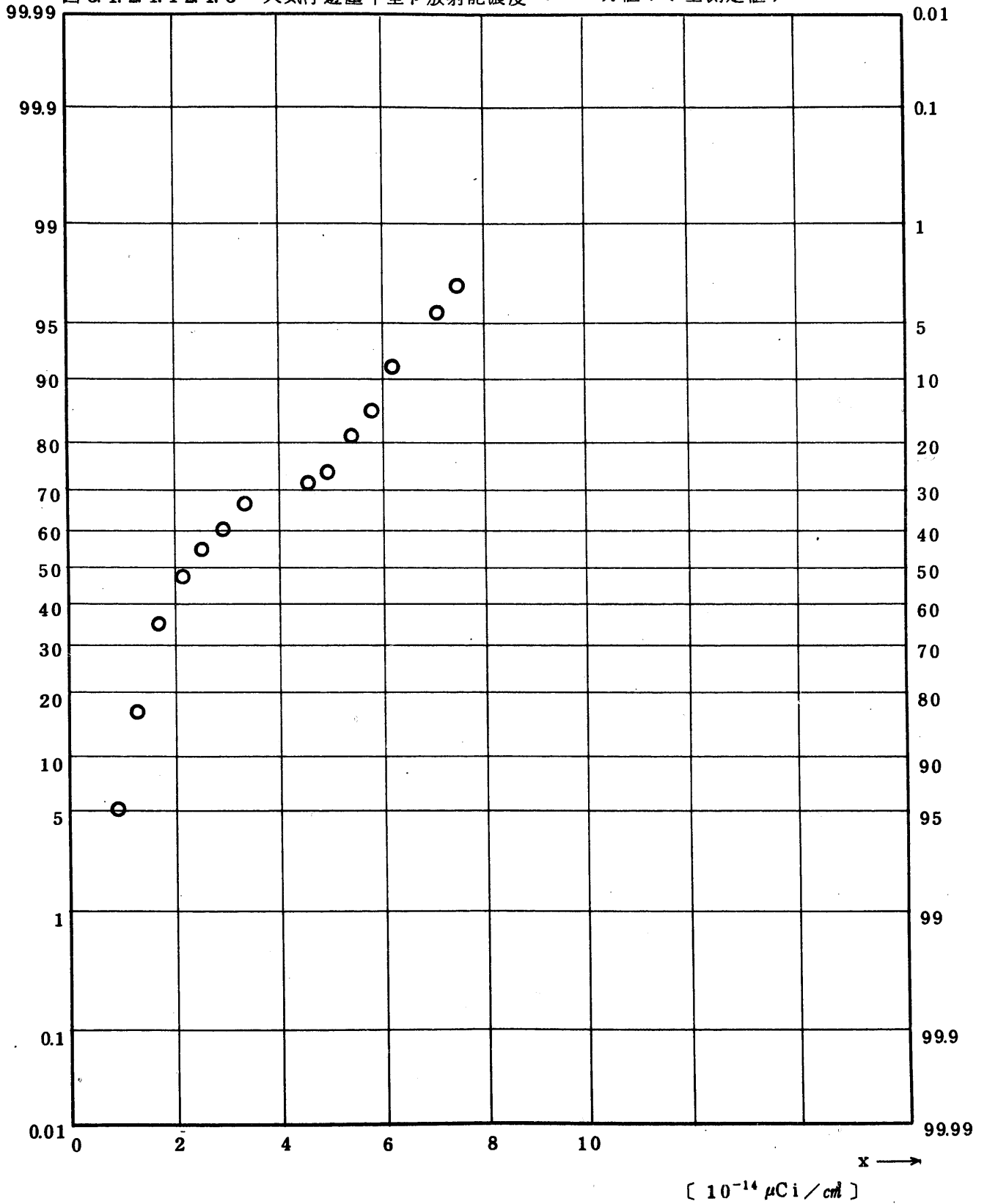


Fig. 3.1.2.2.1.3 Gross BETA Concentration in Airborne Dust

($\tau = 3\text{months}$) (USUAL) 1975.(1~3)~1977.(1~3)

図 3.1.2.2.1.3 大気浮遊塵中全 β 放射能濃度 (3ヶ月値) (全測定値)

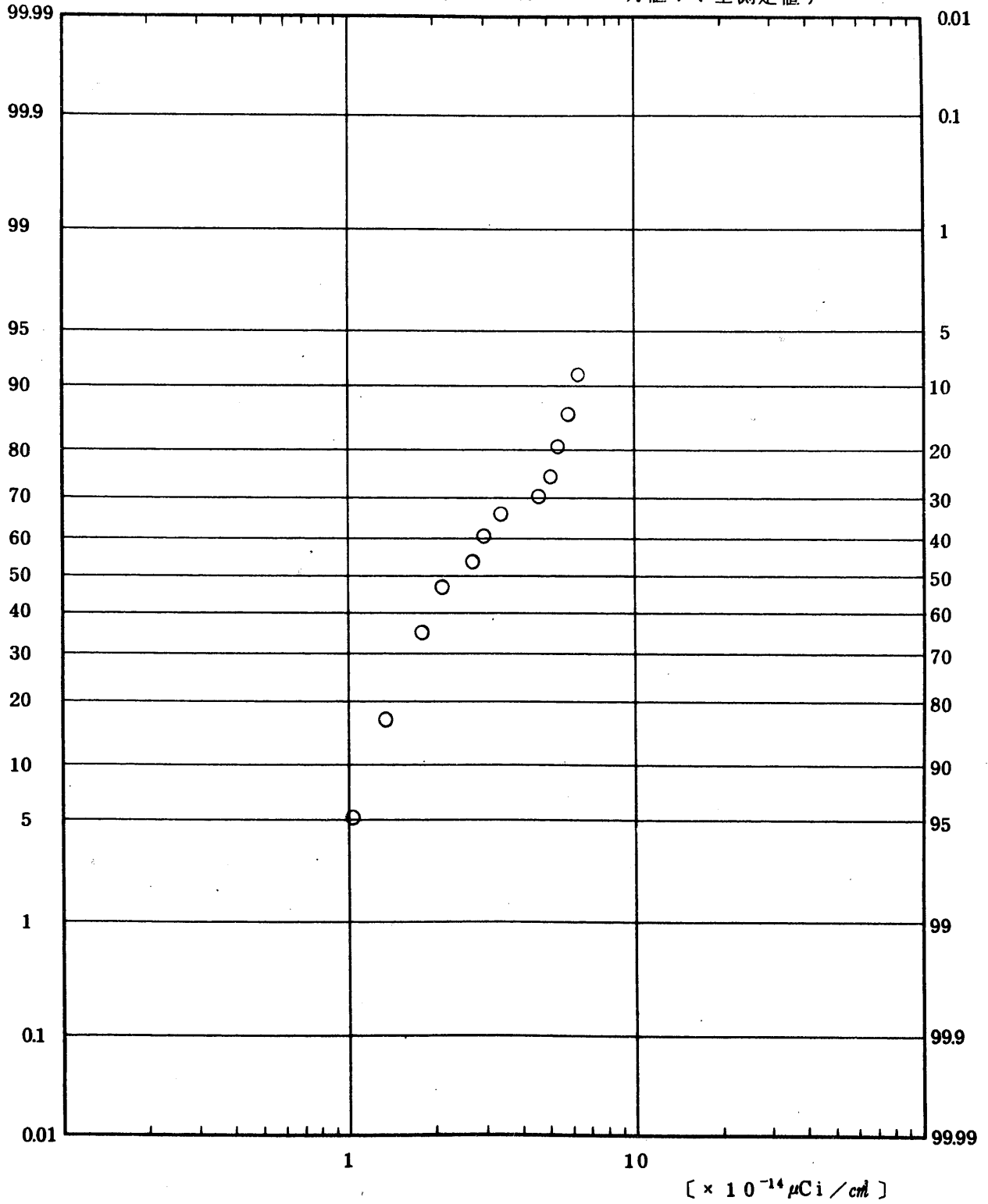


Fig. 3.1.2.1.2.2.3 Gross ALPHA Concentration in Airborne Dust
 ($\tau = 3$ months) (USUAL) (1975.3 ~ 1977.3)

図 3.1.2.1.2.2.3 大気浮遊塵中全 α 放射能濃度(3ヶ月値)(平常値)

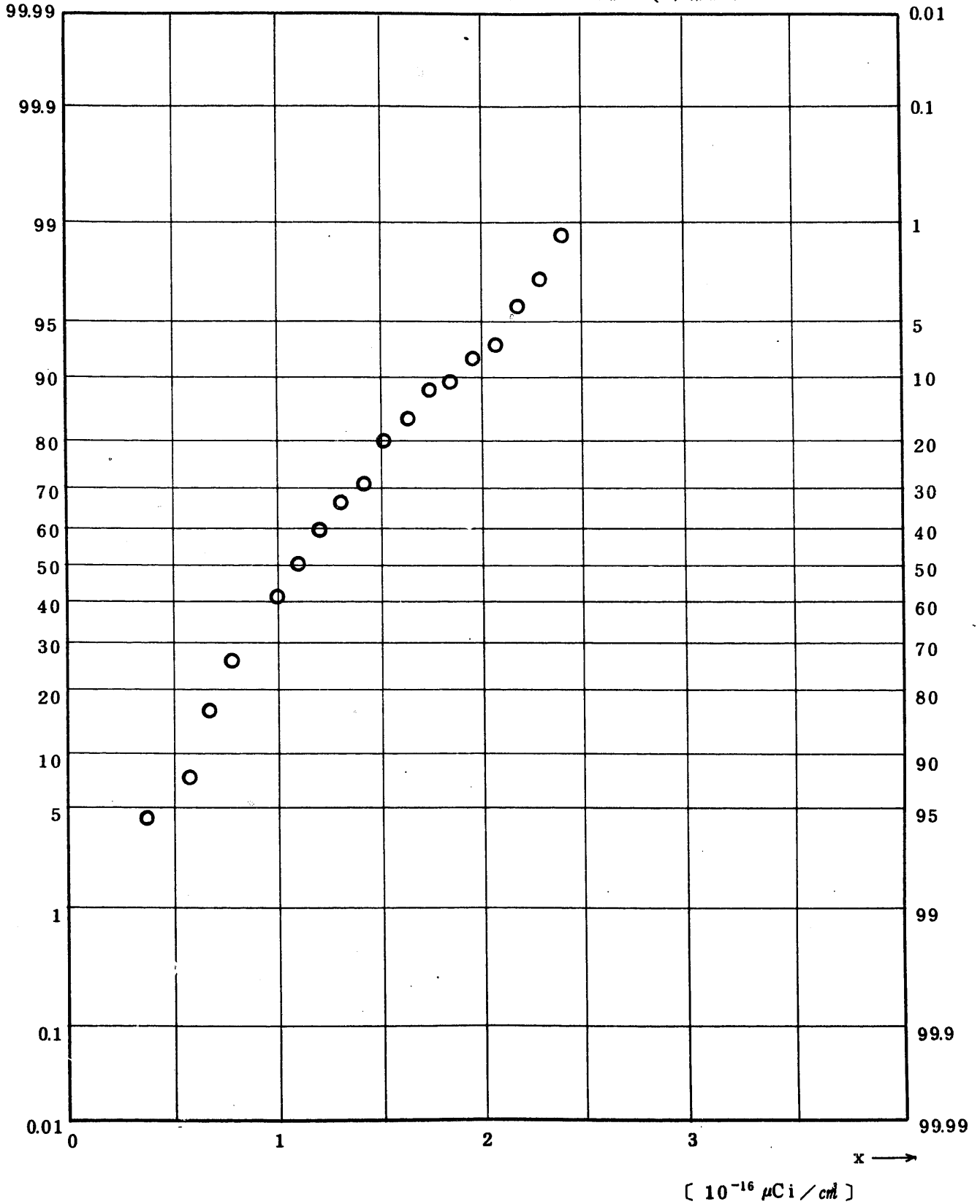


Fig. 3.1.2.1.12.3 ⁹⁰Sr Concentration in Airborne Dust (USUAL)

(1975.3 ~ 1977.3)

図 3.1.2.1.12.3. 大気浮遊塵中⁹⁰Sr 放射能濃度 (平常値)

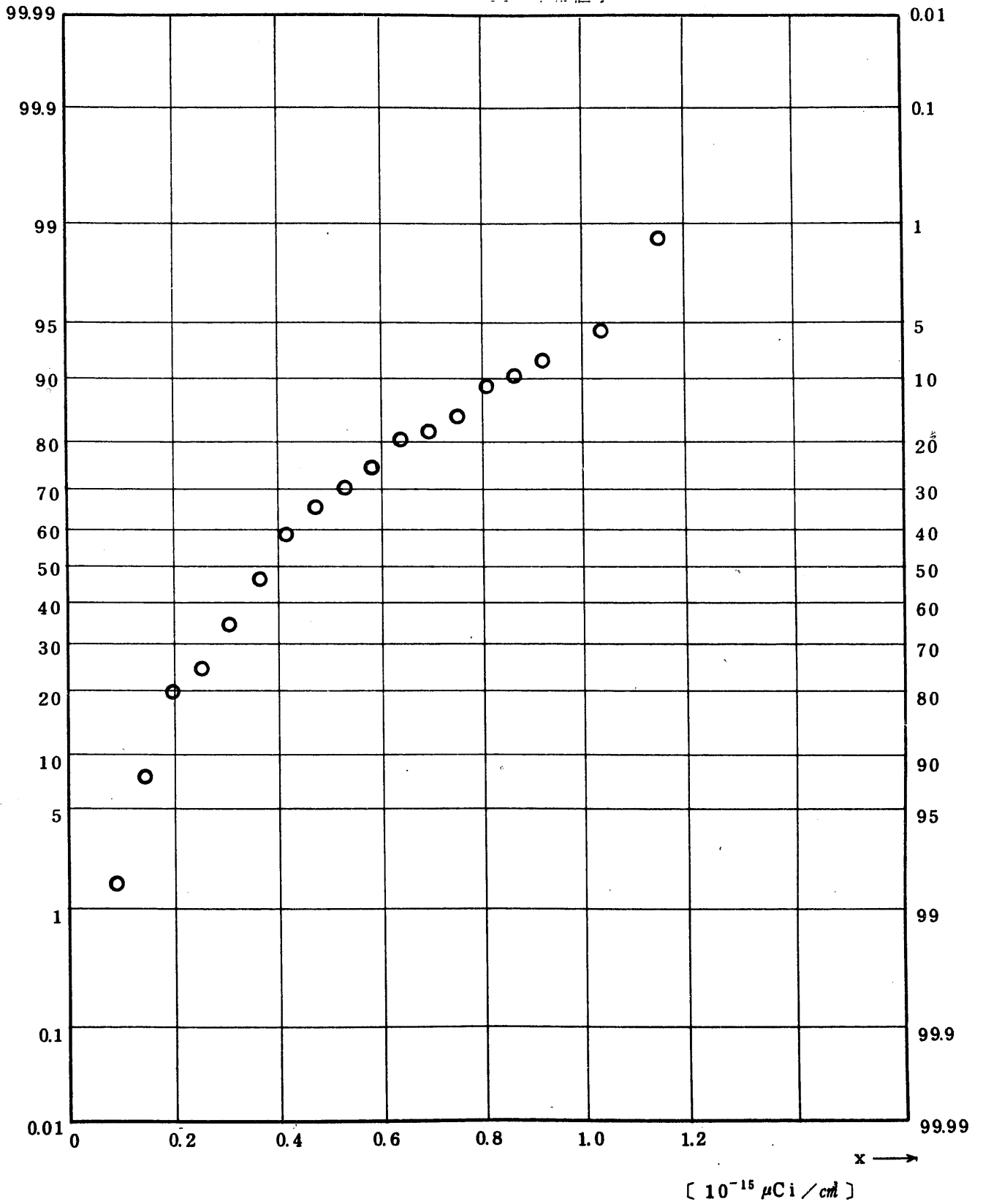


Fig. 3.1.2.2.12.3. ⁹⁰Sr Concentration in Airborne Dust (USUAL)

1975.(1~3)~1977.(1~3)

図 3.1.2.2.12.3. 大気浮遊塵中⁹⁰Sr放射能濃度(平常値)

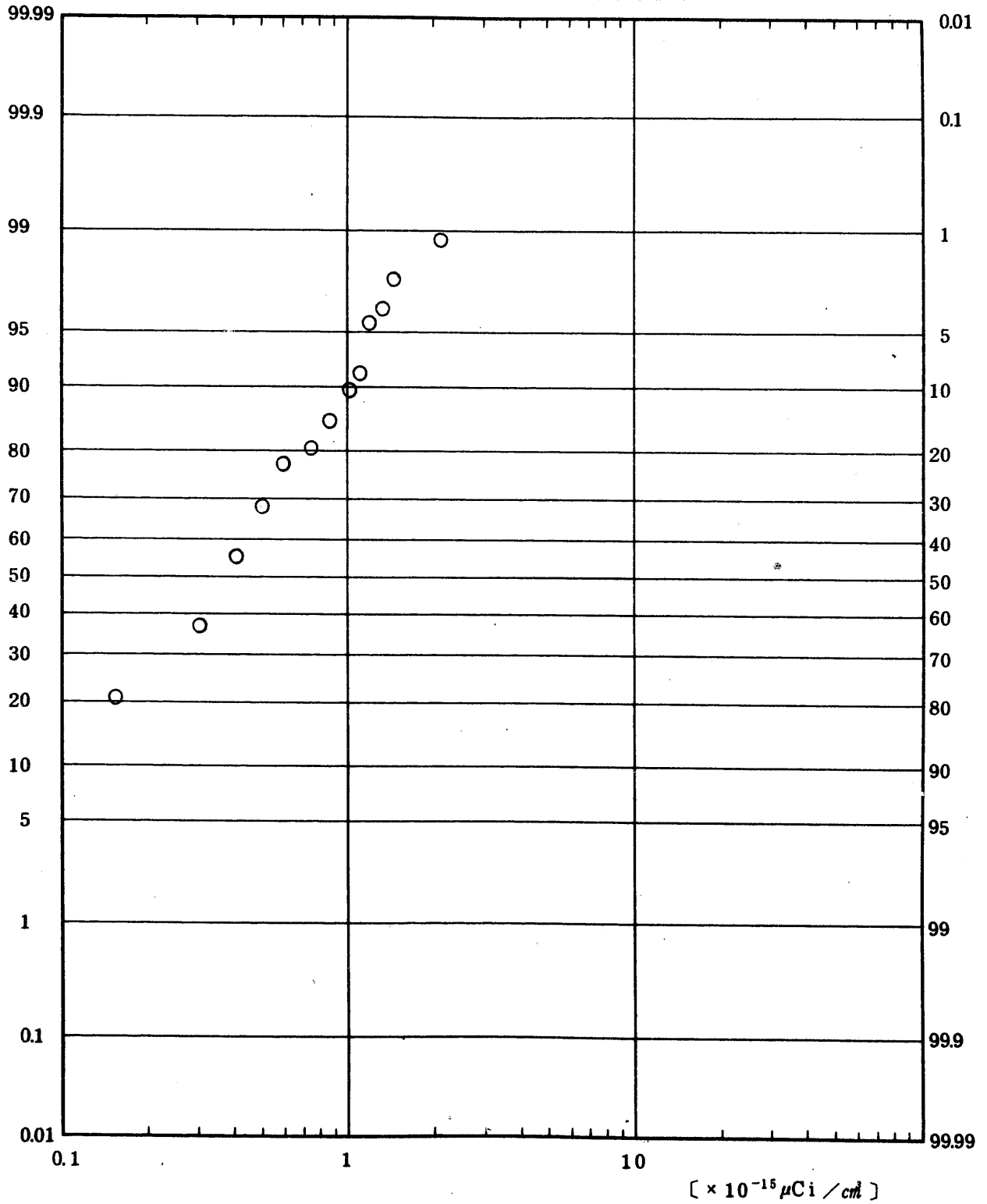


Fig. 3.1.2.1.127 ¹³⁷Cs Concentration in Airborne Dust (USUAL)

(1 9 7 5 . 3 ~ 1 9 7 7 . 3)

图 3.1.2.1.12.7 大气浮游塵中¹³⁷Cs放射能濃度(平常值)

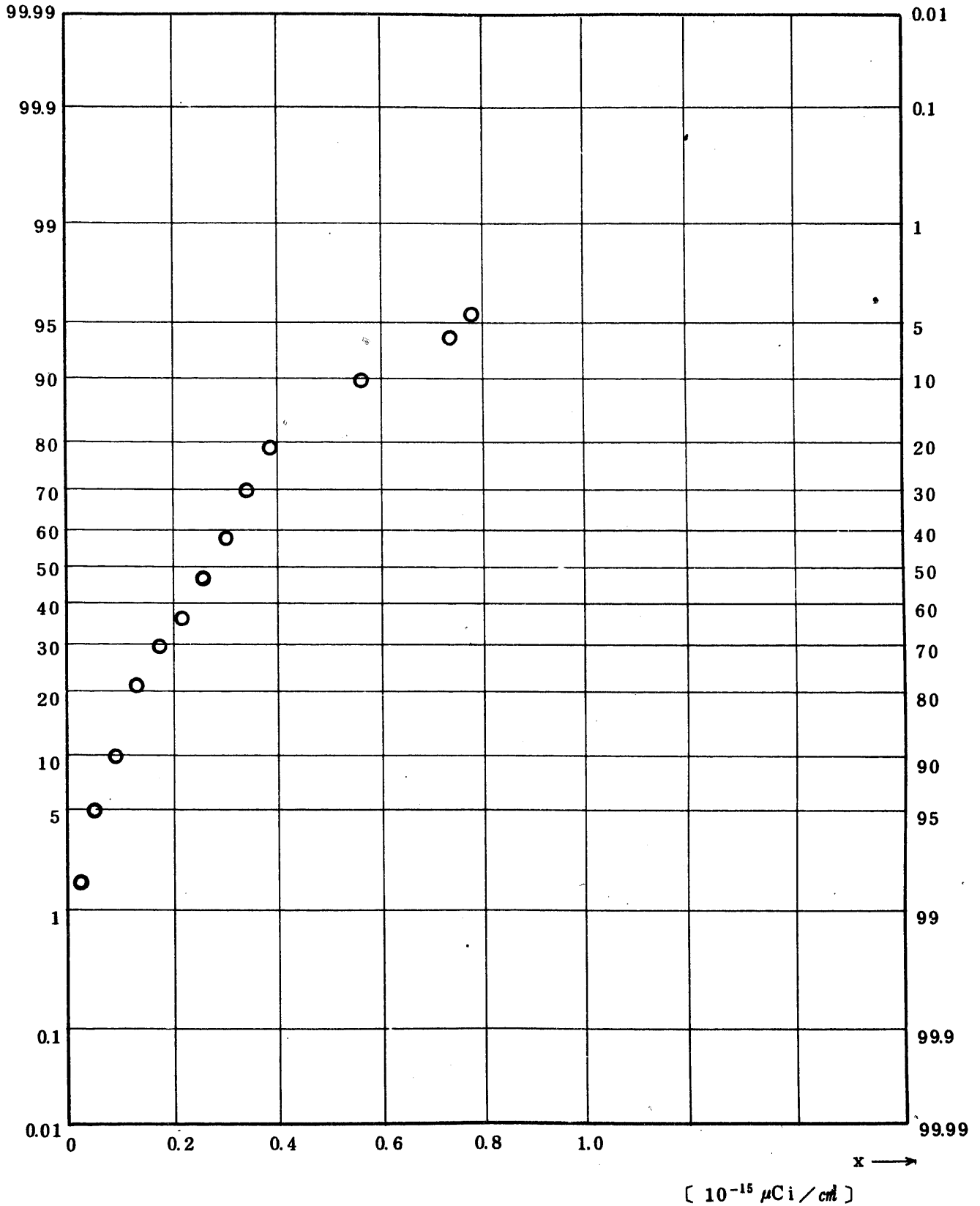


Fig. 3.1.2.1.12.9 $^{239}\text{Pu} + ^{240}\text{Pu}$ Concentration in Airborne Dust (USUAL)
 (1 9 7 5 . 3 ~ 1 9 7 7 . 3)

图 3.1.2.1.12.9 大气浮游塵中 $^{239, 240}\text{Pu}$ 放射能濃度 (平常值)

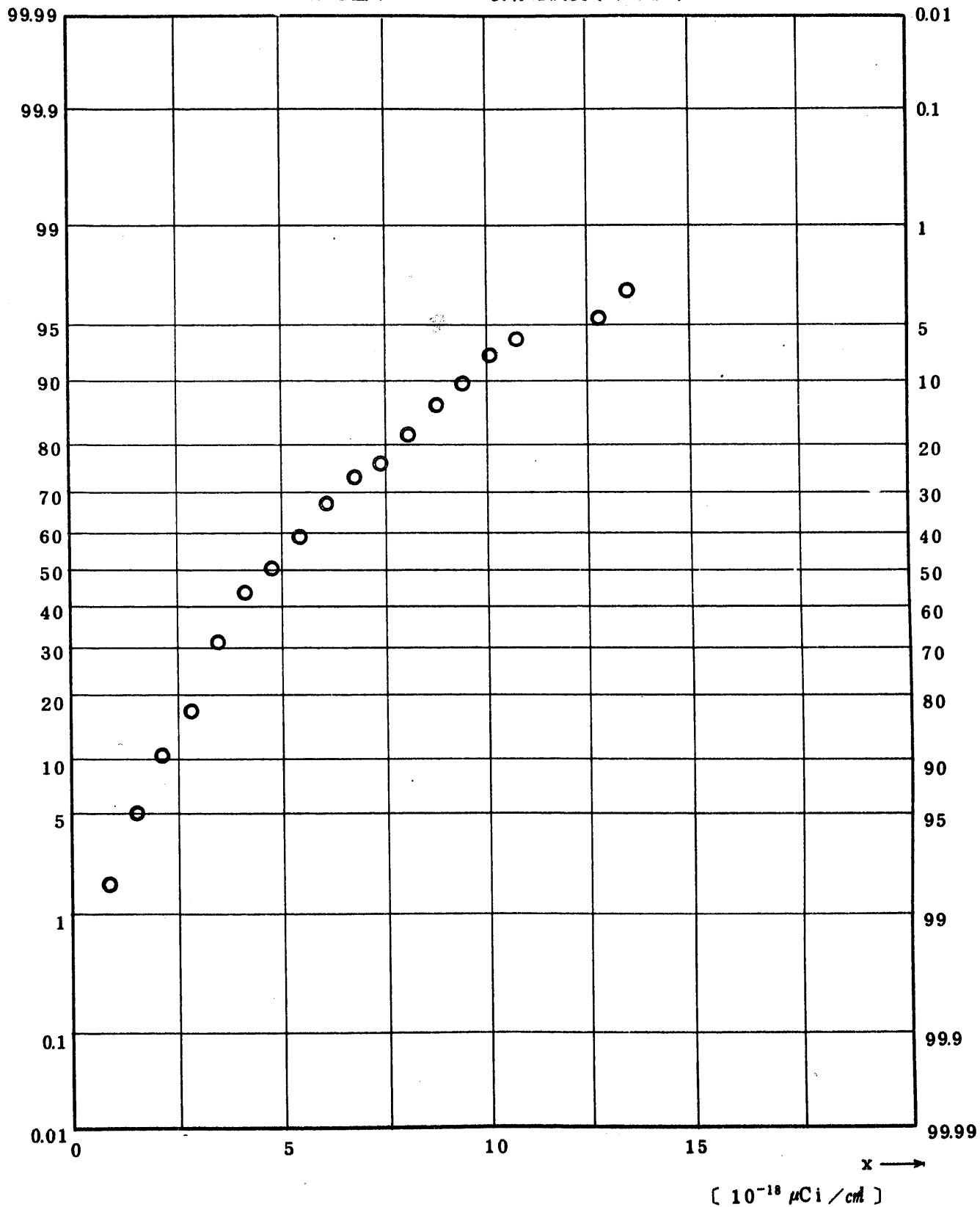


Fig. 3.1.2.2.12.9 $^{239}\text{Pu} + ^{240}\text{Pu}$ Concentration in Airborne Dust (USUAL)

1975.(1~3)~1977.(1~3)

図 3.1.2.2.12.9 大気浮遊塵中 $^{239}, ^{240}\text{Pu}$ 放射能濃度 (平常値)

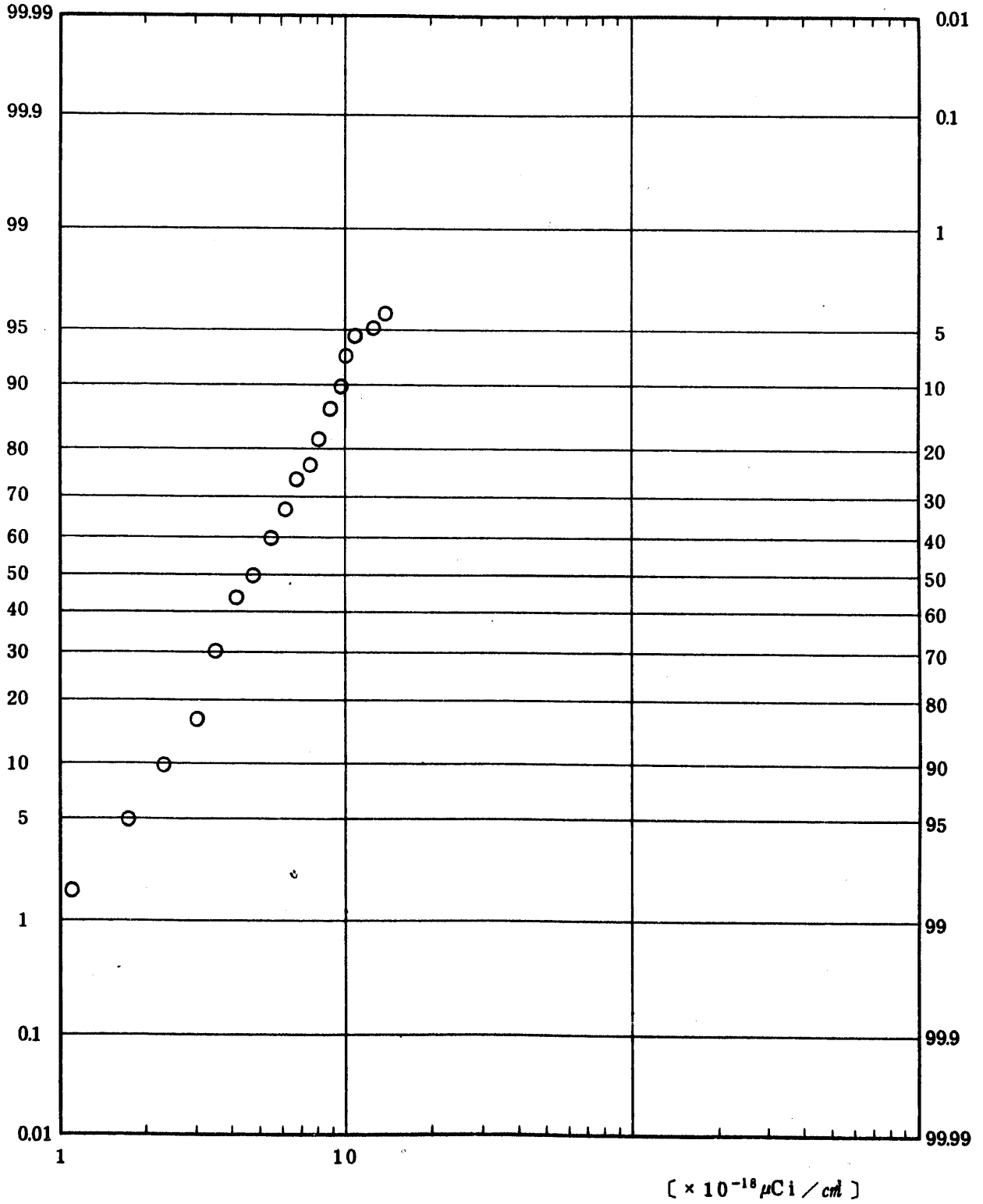


Fig. 3.3.2.1.2.1.4 Gaseous BETA Radioactive Concentration in Atmosphere
 Observed with Monitoring-Station($\tau=1hr$) (USUAL)

図 3.3.2.1.1.2.1.4 大気中 β 放射性ガス濃度(1時間値)(平常値)

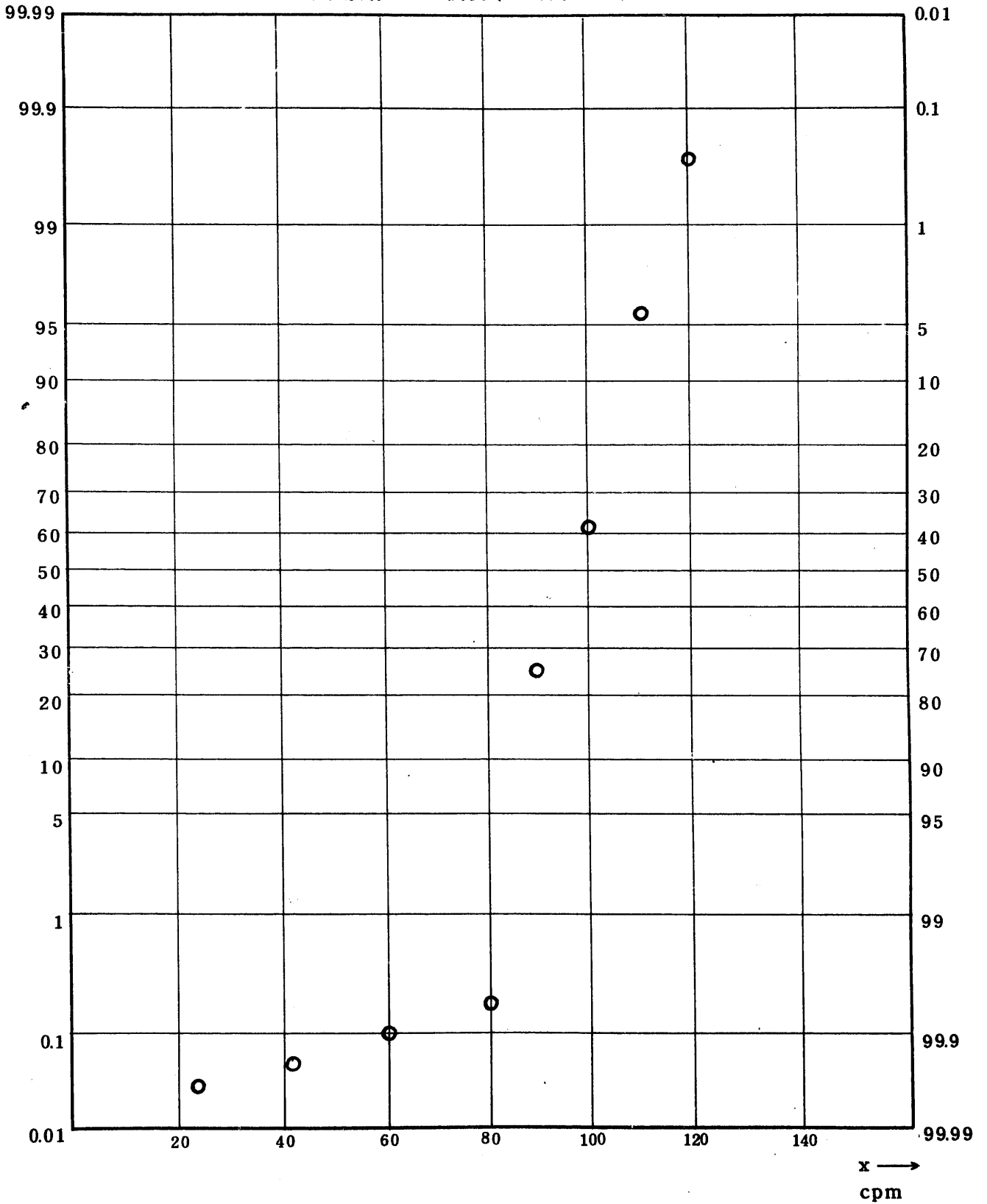


Fig. 3.3.2.2.1.4 Gaseous BATA Radioactive Concentration in Atmosphere
 Observed with Monitoring-Station($\tau=1$ hr)(USUAL)

図 3.3.2.2.1.4 大気中 β 放射性ガス濃度 (1 時間値) (平常値)

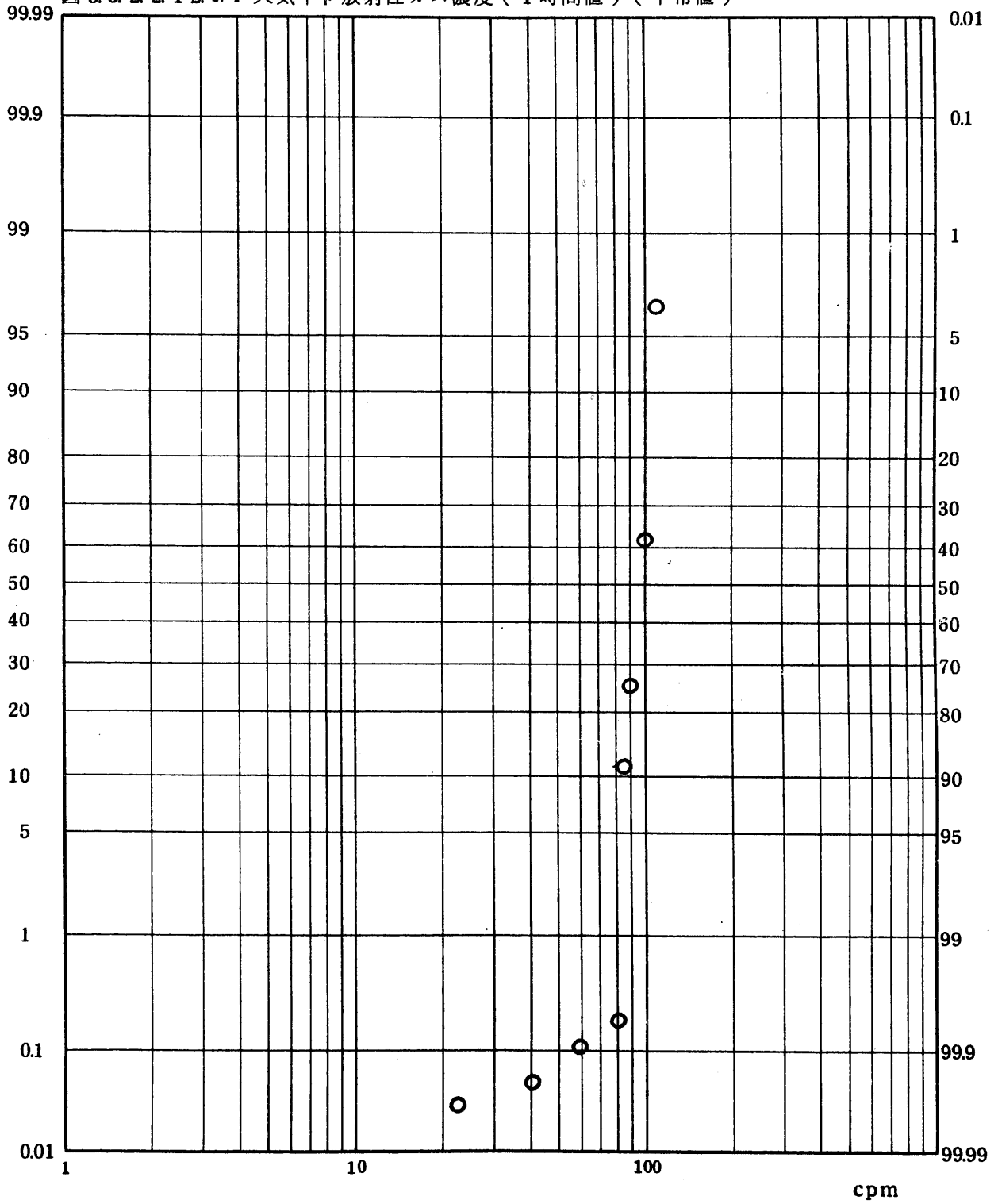


Fig. 3.3.2.1.2.1.0 Gaseous BATA Radioactive Concentration in Atmosphere
 Observed with Monitoring-Station($\tau=1\text{day}$)(USUAL)

図 3.3.2.1.2.1.0 大気中 β 放射性ガス濃度 (1日値) (平常値)

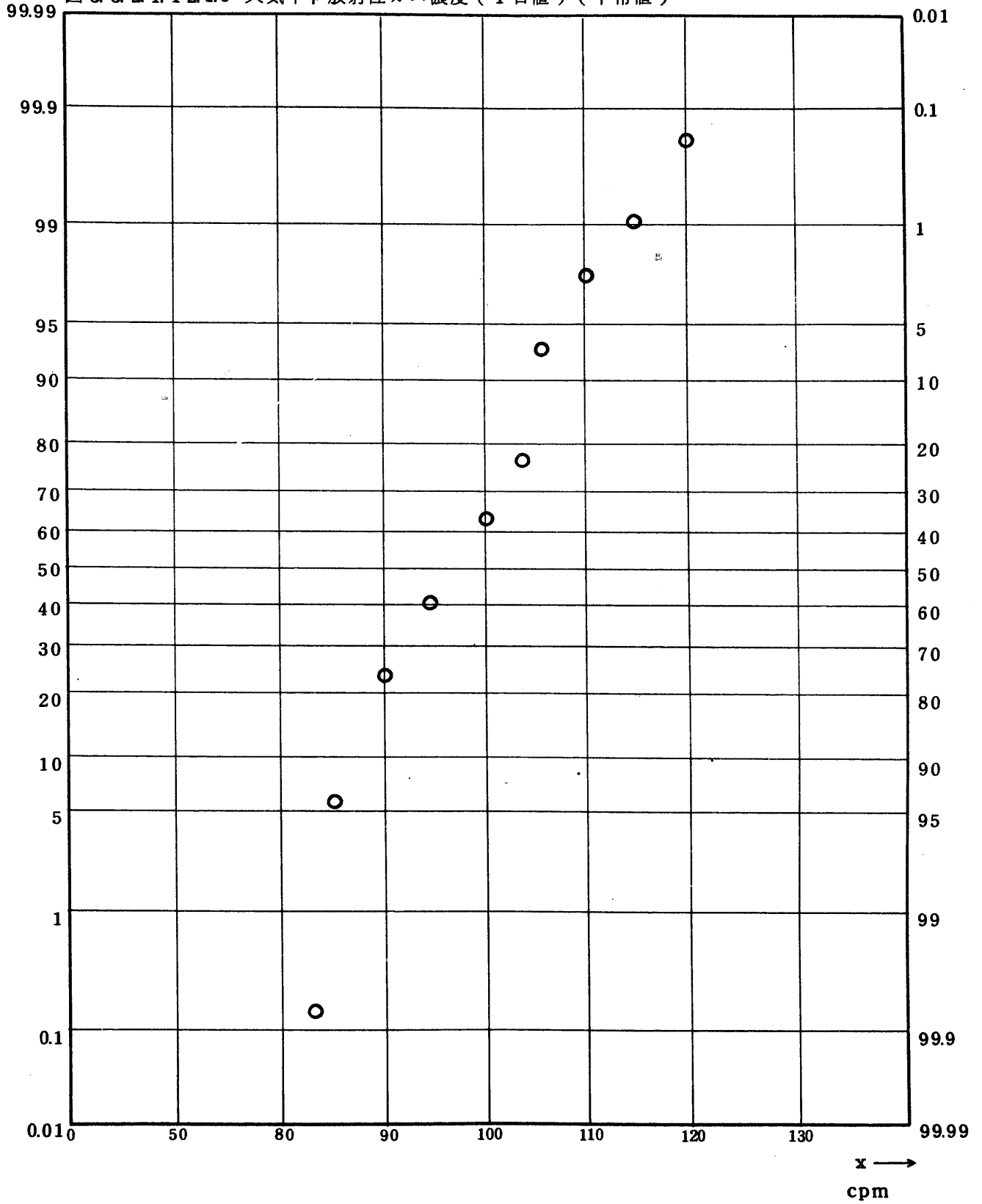


Fig. 3.3.2.12.1.0 Gaseous BATA Radioactive Concentration in Atmosphere
 Observed with Monitoring-Station($\tau=1$ day)(USUAL)

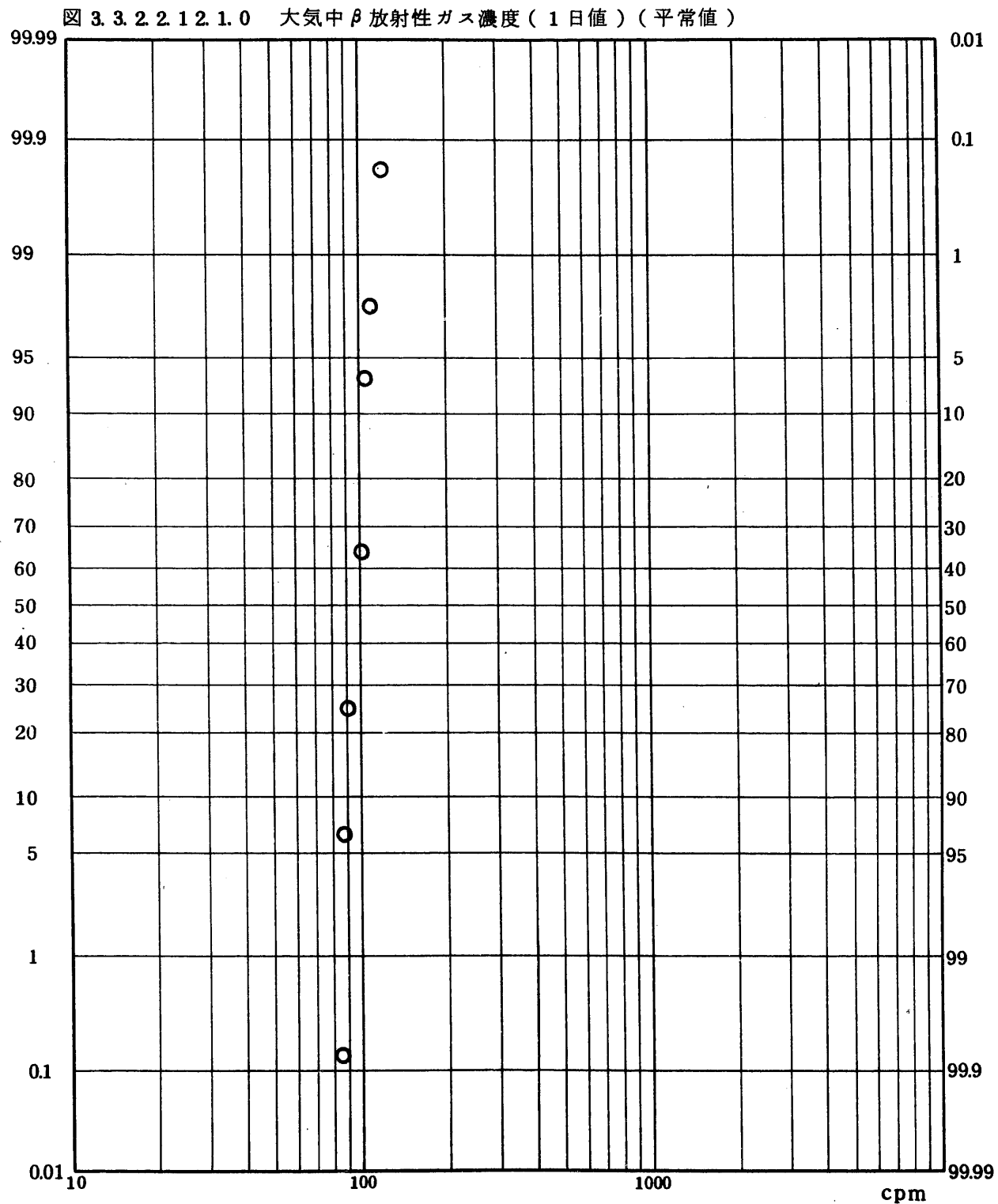


Fig. 3.3.2.1.2.1.2 Gaseous BATA Radioactive Concentration in Atmosphere
 Observed with Monitoring-Station($\tau=1$ month)(USUAL)

図 3.3.2.1.2.1.2 大気中 β 放射性ガス濃度(1ヶ月値)(平常値)

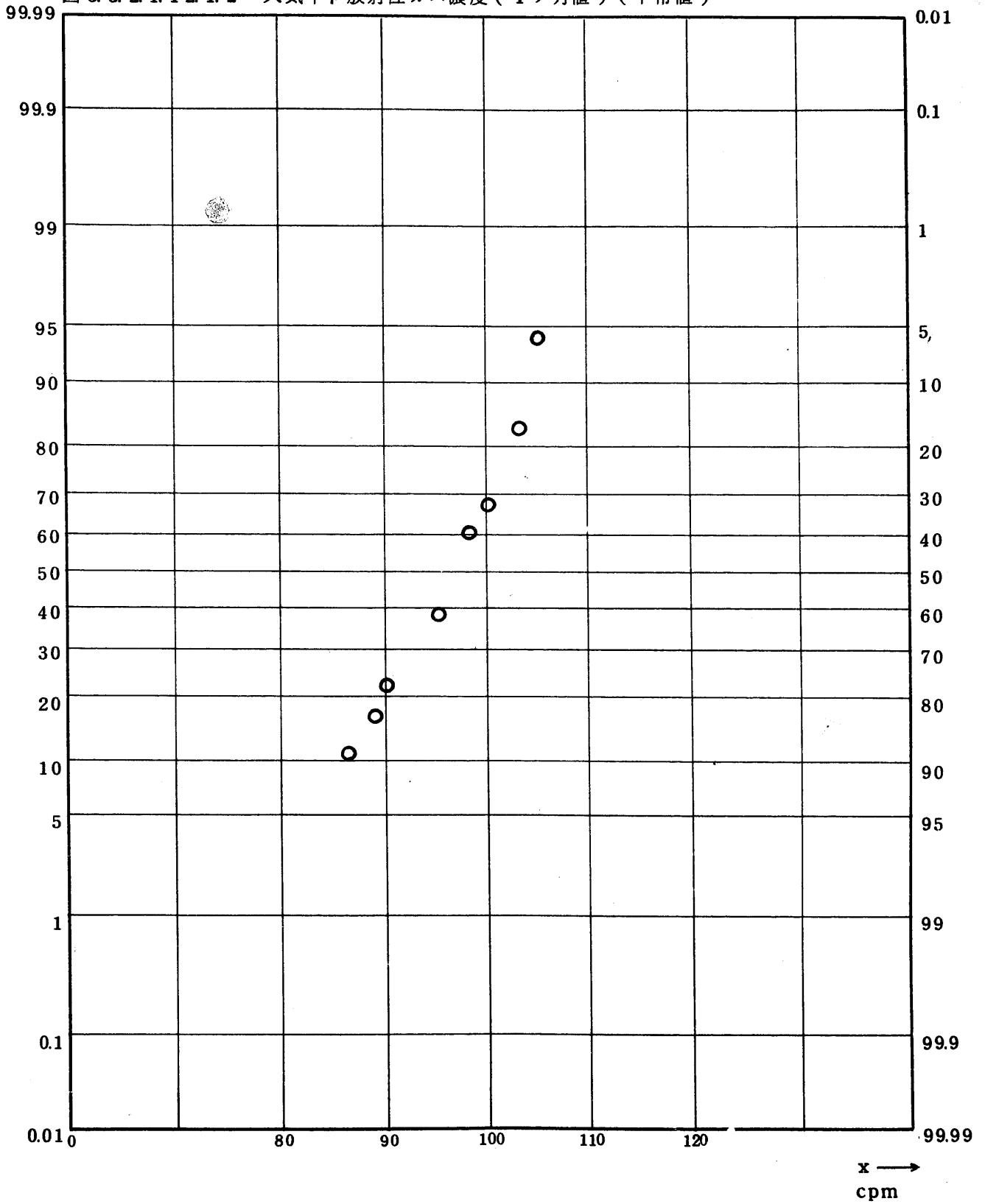


Fig. 3.3.2.12.1.2 Gaseous BETA Radioactive Concentration in Atmosphere
 Observed with Monitoring-Station($\tau=1\text{month}$)(USUAL)

図 3.3.2.12.1.2 大気中 β 放射性ガス濃度(1ヶ月値)(平常値)

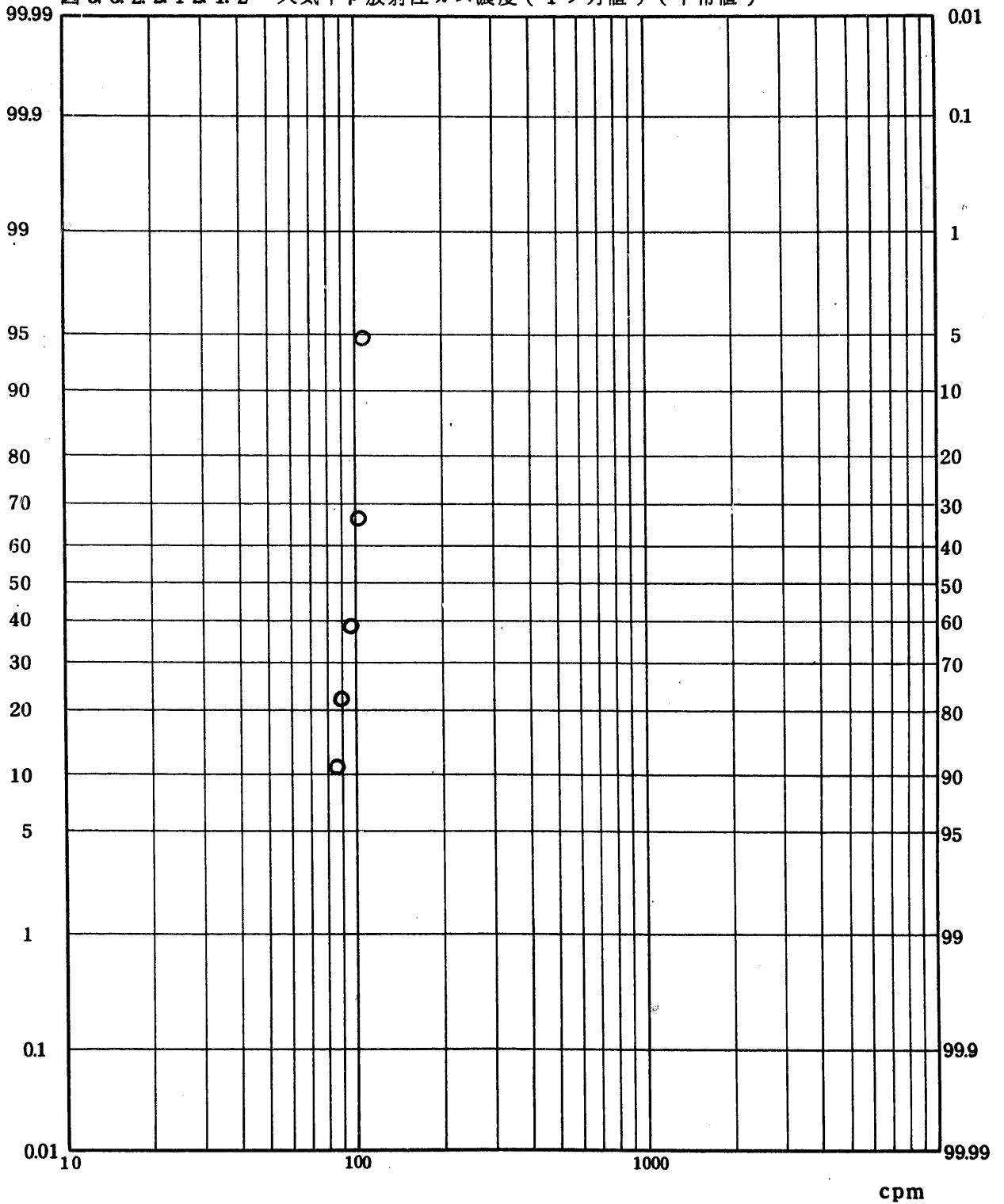


Fig. 3.3.2.1.12.1.3 Gaseous BETA Radioactive Concentration in Atmosphere
 Observed with Monitoring-Station($\tau=3$ months)(USUAL)

図 3.3.2.1.12.1.3 大気中 β 放射性ガス濃度(3ヶ月値)(平常値)

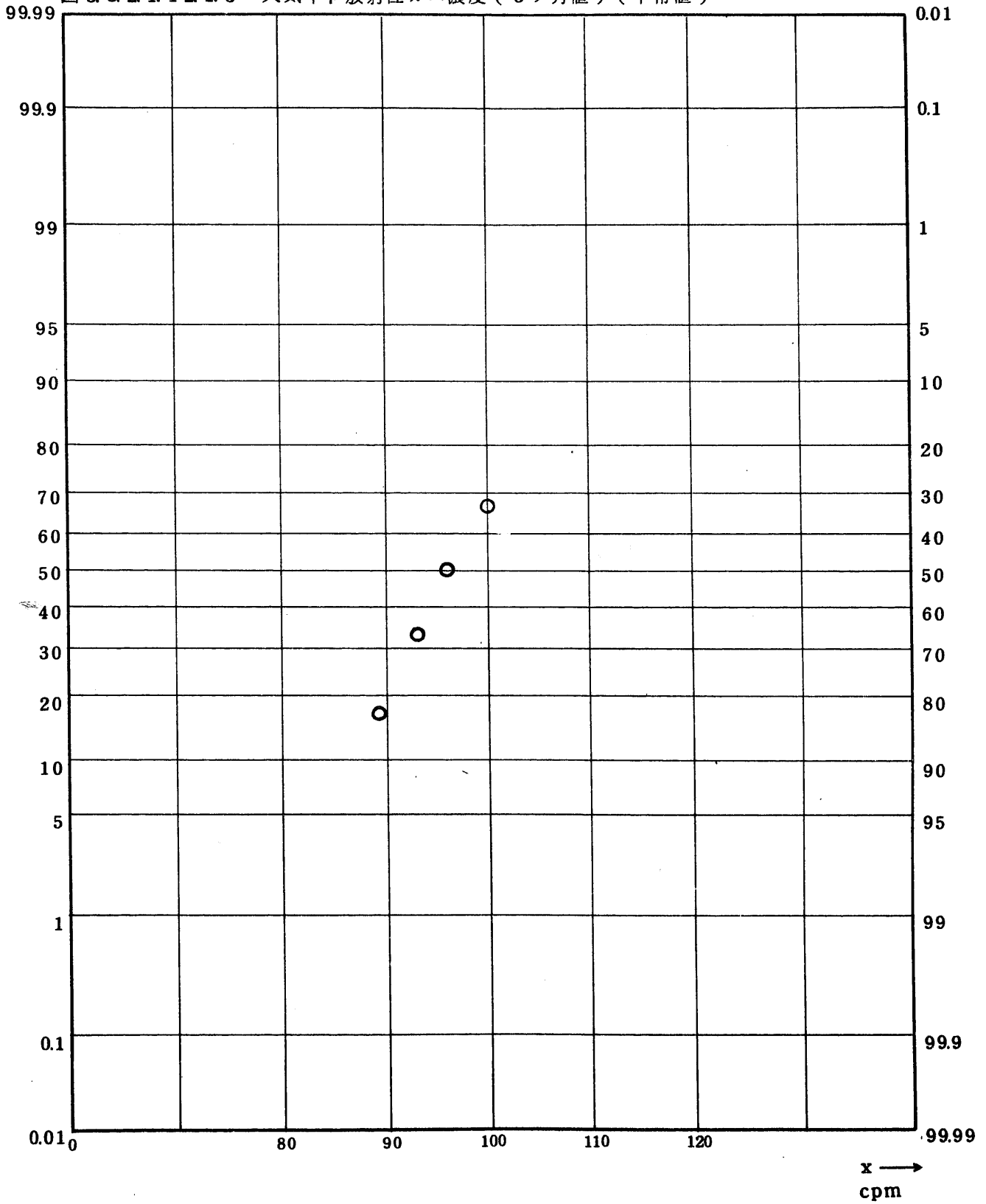


Fig. 3.3.2.12.1.3 Gaseous BETA Radioactive Concentration in Atmosphere
 Observed with Monitoring-Station($\tau=3$ months)(USUAL)

図 3.3.2.2.12.1.3 大気中 β 放射性ガス濃度(3ヶ月値)(平常値)

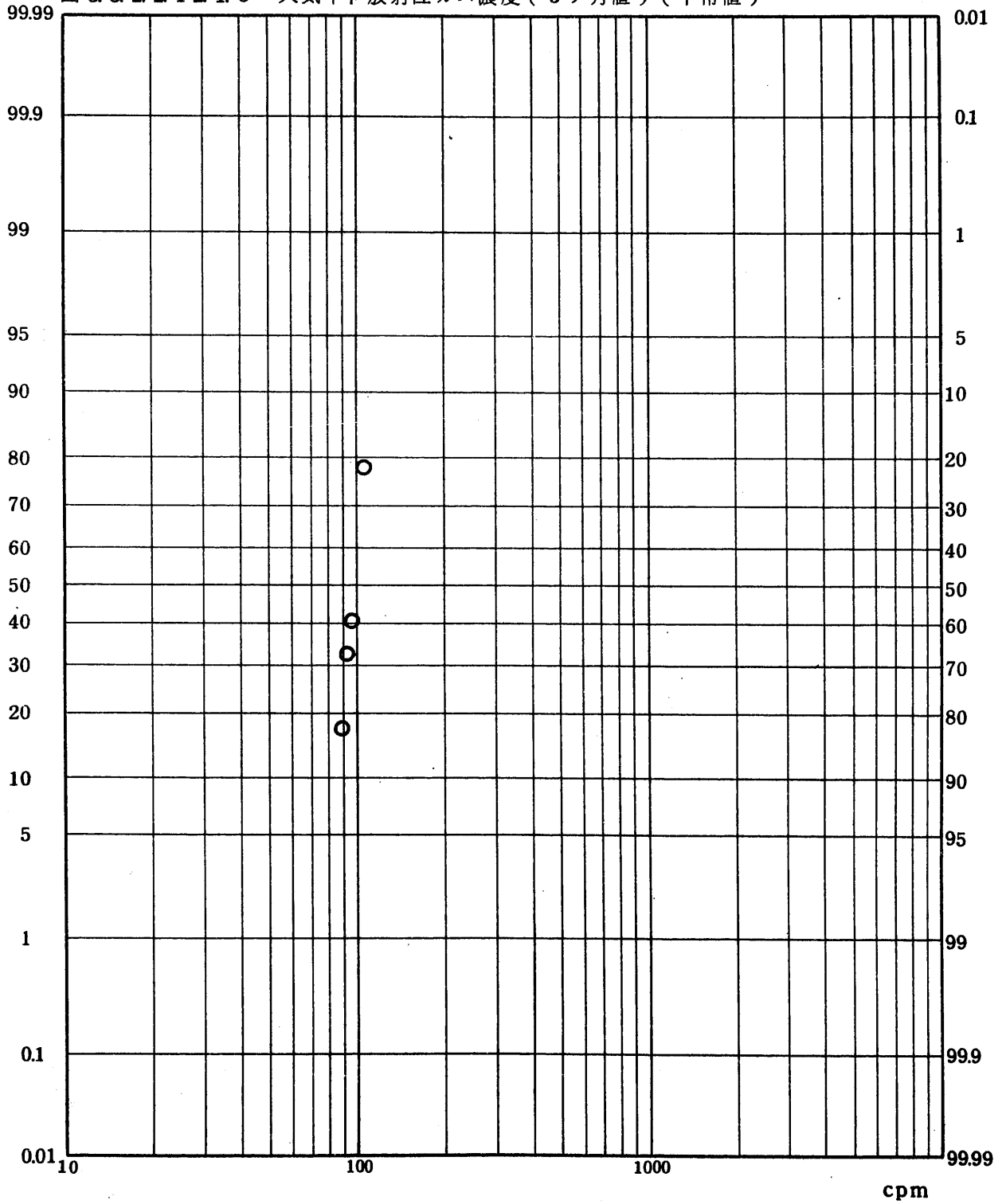


Fig. 3.3.1.1.2.1.4 Gaseous BETA Radioactive Concentration in Atmosphere
 Observed with Monitoring-Station ($\tau=1$ hr) (ALL)

図 3.3.1.1.2.1.4 大気中 β 放射性ガス濃度 (1時間値) (平常値)

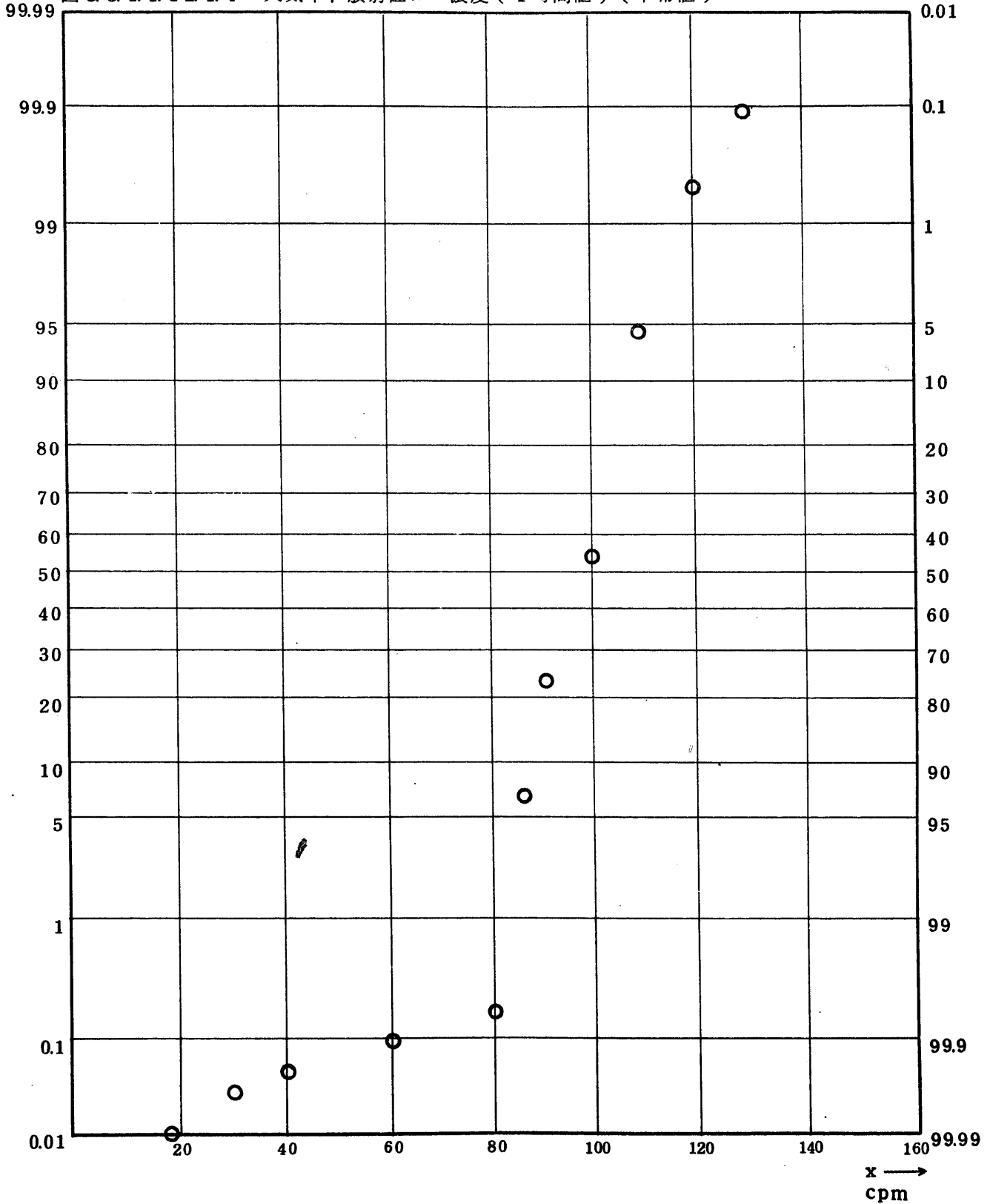


Fig. 3.3.1.2.12.1.4 Gaseous BETA Radioactive Concentration in Atmosphere
 Observed with Monitoring-Station ($\tau=1$ hr) (ALL)

図 3.3.1.2.12.1.4 大気中 β 放射性ガス濃度(1時間値)(平常値)

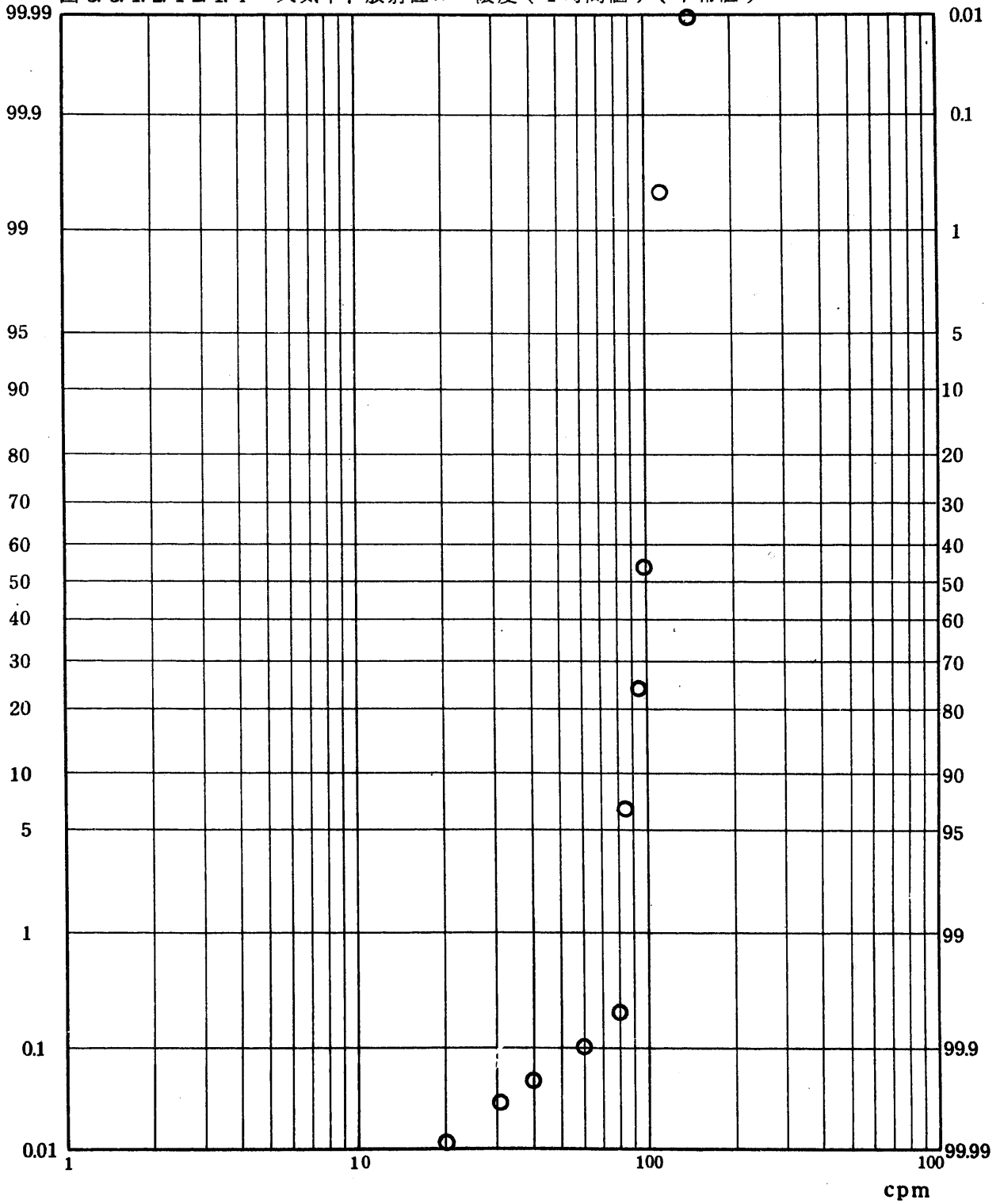


Fig. 3.3.1.12.1.0 Gaseous BETA Radioactive Concentration in Atmosphere
 Observed with Monitoring-Station ($\tau=1$ day) (ALL)

図 3.3.1.1.12.1.0 大気中 β 放射性ガス濃度 (1日値) (全測定値)

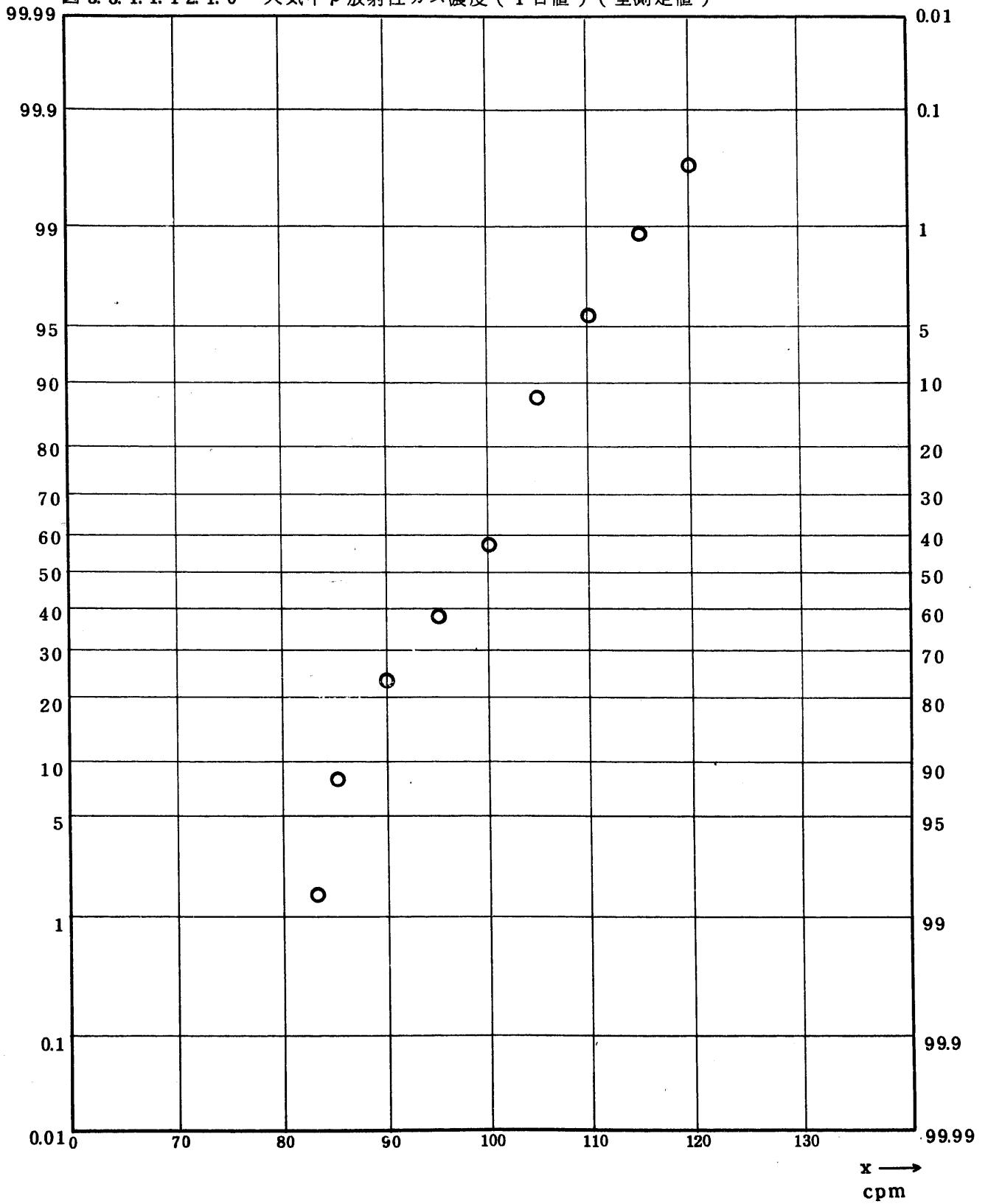


Fig. 3.3.1.2.12.1.0 Gaseous BETA Radioactive Concentration in Atmosphere
 Observed with Monitoring-Station ($\tau=1$ day) (ALL)

図 3.3.1.2.12.1.0 大気中 β 放射性ガス濃度(1日値)(全測定値)

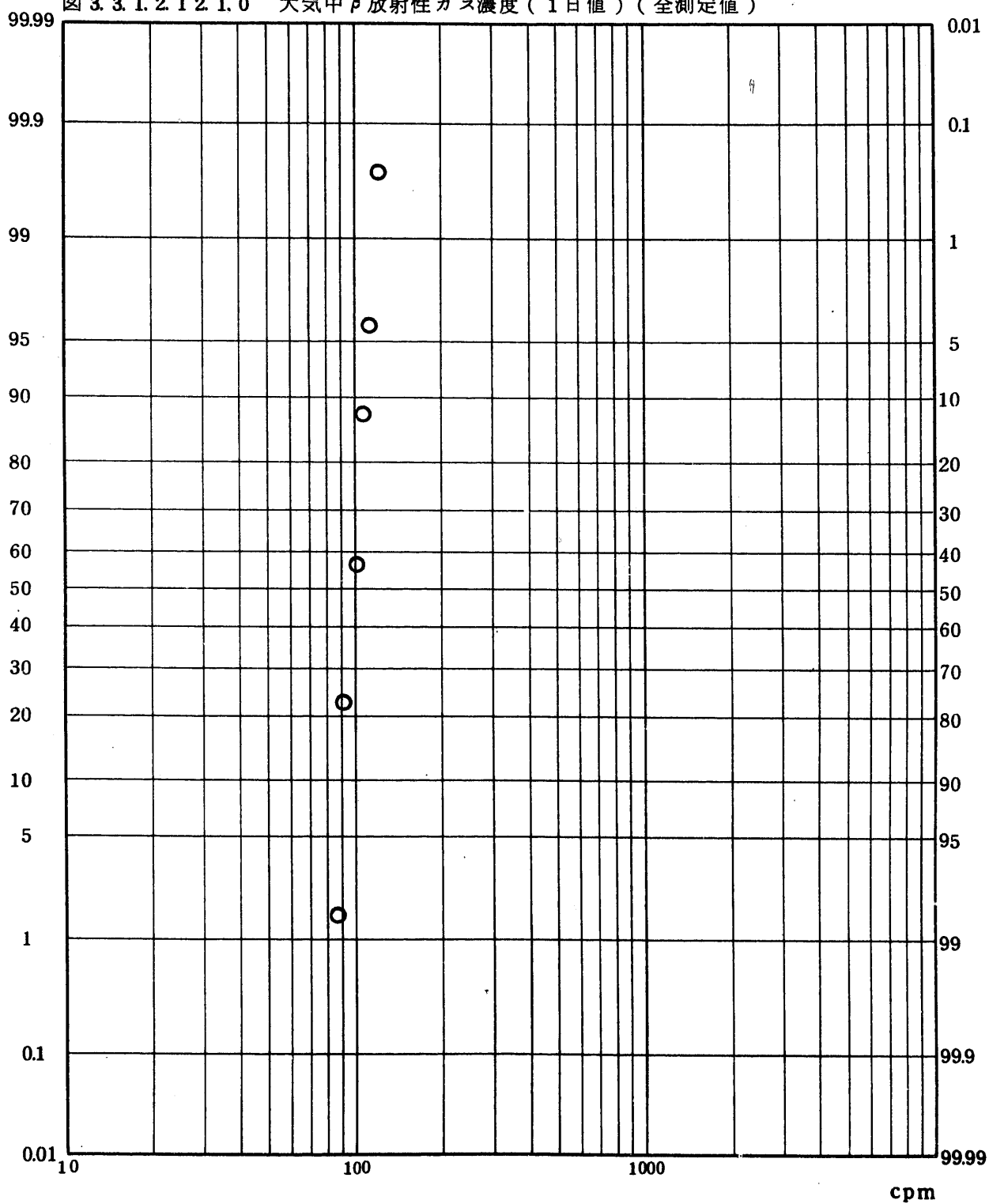


Fig. 3.3.1.1.2.1.2 Gaseous BETA Radioactive Concentration in Atmosphere
 Observed with Monitoring-Station($\tau=1\text{month}$)(ALL)

図 3.3.1.1.2.1.2 大気中 β 放射性ガス濃度(1ヶ月値)(全測定値)

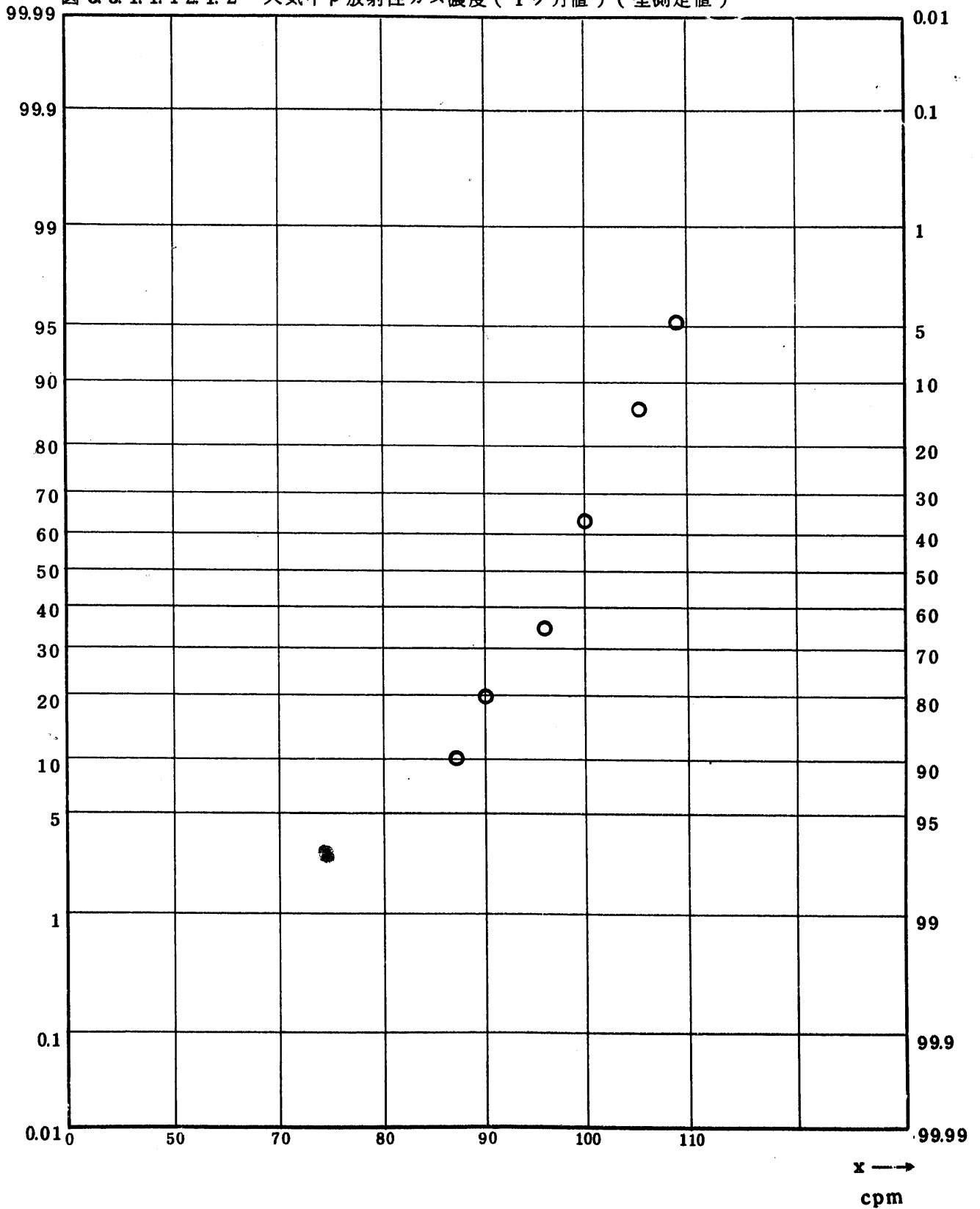


Fig. 3.3.1.21.2.1.2 Gaseous BETA Radioactive Concentration in Atmosphere
 Observed with Monitoring-Station ($\tau=3$ months)(ALL)

図 3.3.1.2.1.2.1.2 大気中 β 放射性ガス濃度 (1ヶ月値) (全測定値)

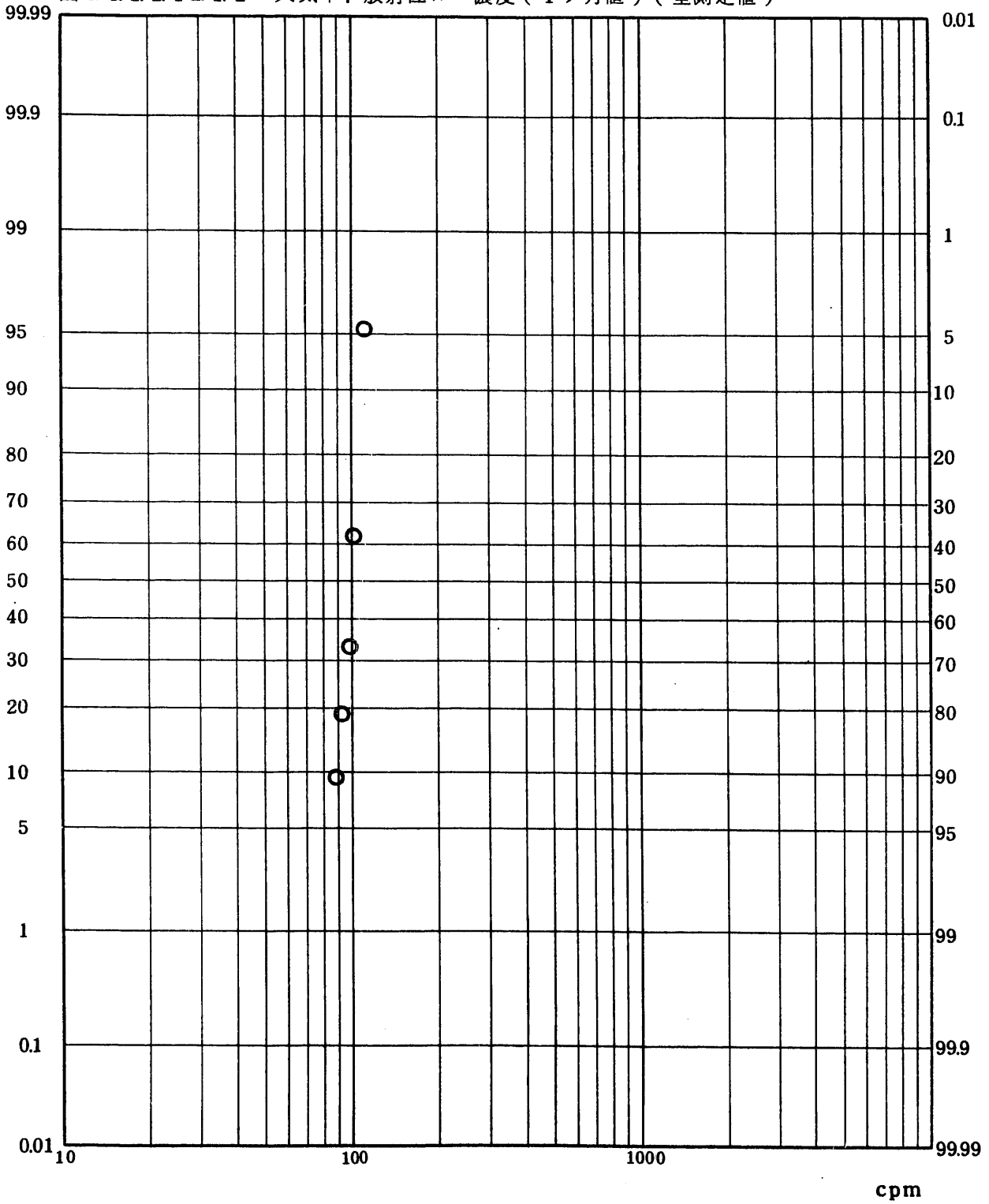


Fig. 3.3.1.1.2.1.3 Gaseous BETA Radioactive Concentration in Atmosphere
 Observed with Monitoring-Station($\tau=3$ months)(ALL)

図 3.3.1.1.2.1.3 大気中 β 放射性ガス濃度(3ヶ月値)(全測定値)

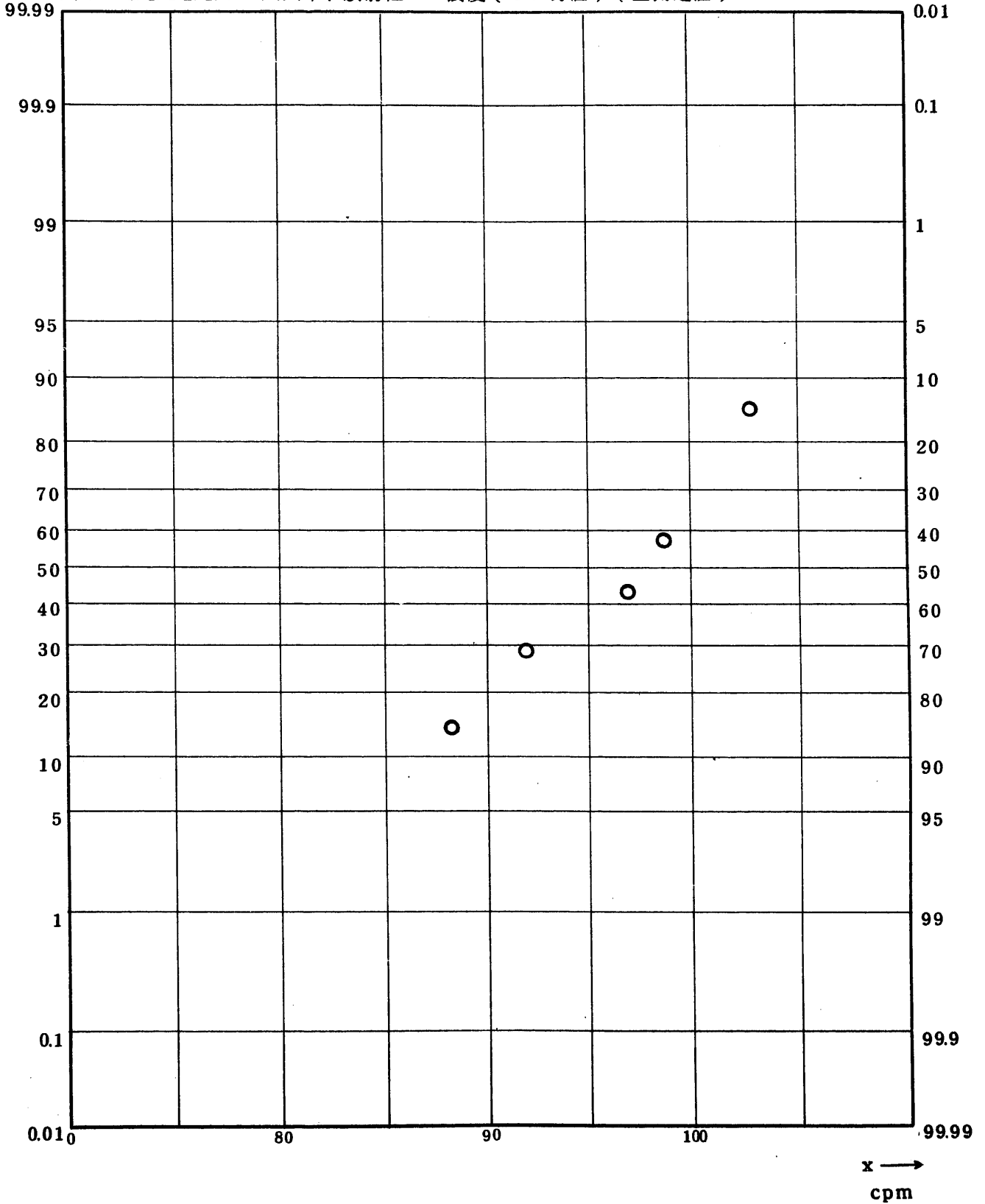


Fig. 3.3.1.2.12.1.3. Gaseous BETA Radioactive Concentration in Atmosphere
 Observed with Monitoring Station($\tau=3$ months)(ALL)

図 3.3.1.2.12.1.3 大気中 β 放射性ガス濃度(3ヶ月値)(全測定値)

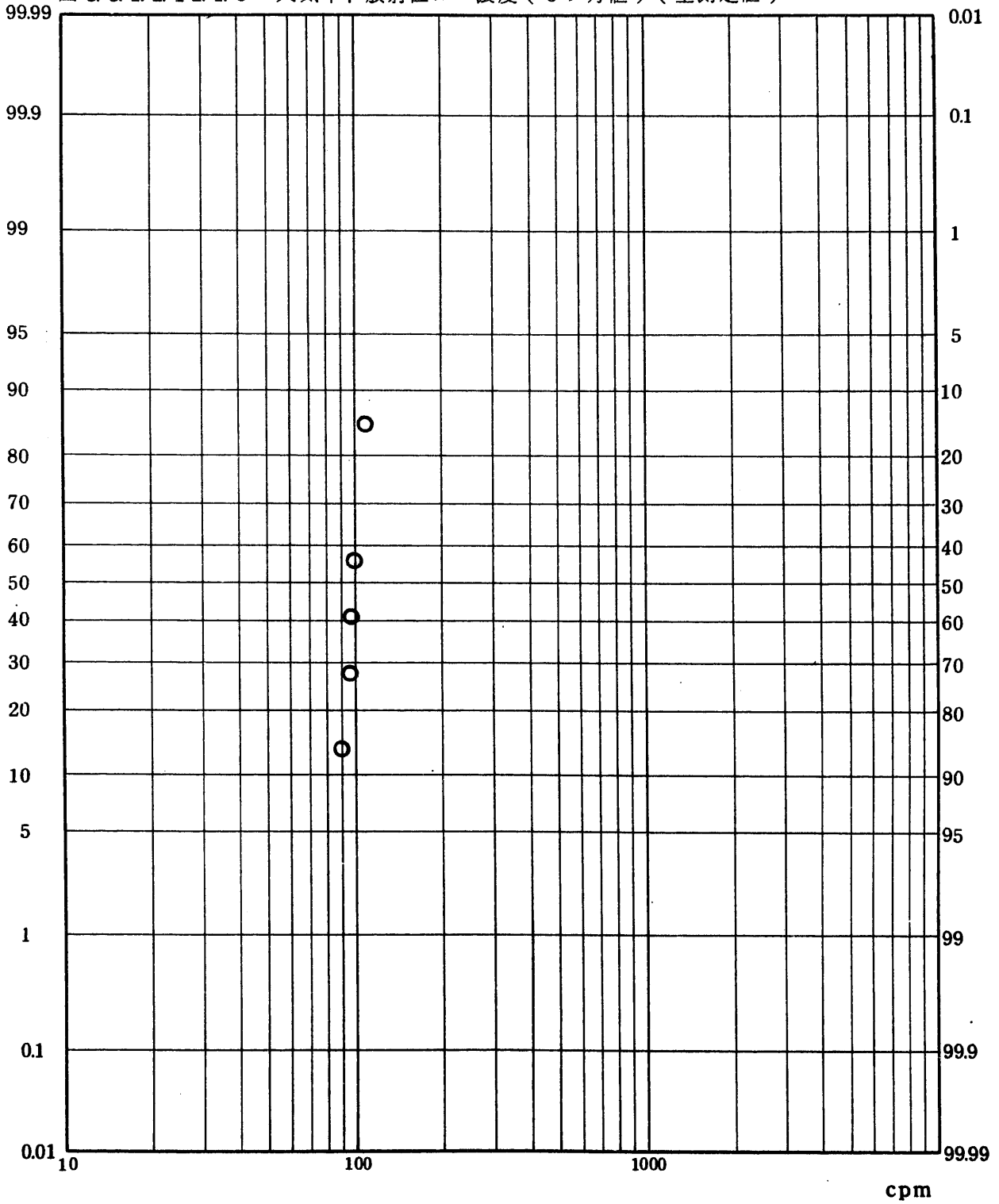


Fig. 4.1.1.1 Gross BETA Concentration in Fall-out Material (ALL)

(1971.5 ~ 1977.4)

图 4.1.1.1.1 降下塵中全β放射能濃度 (全測定値)

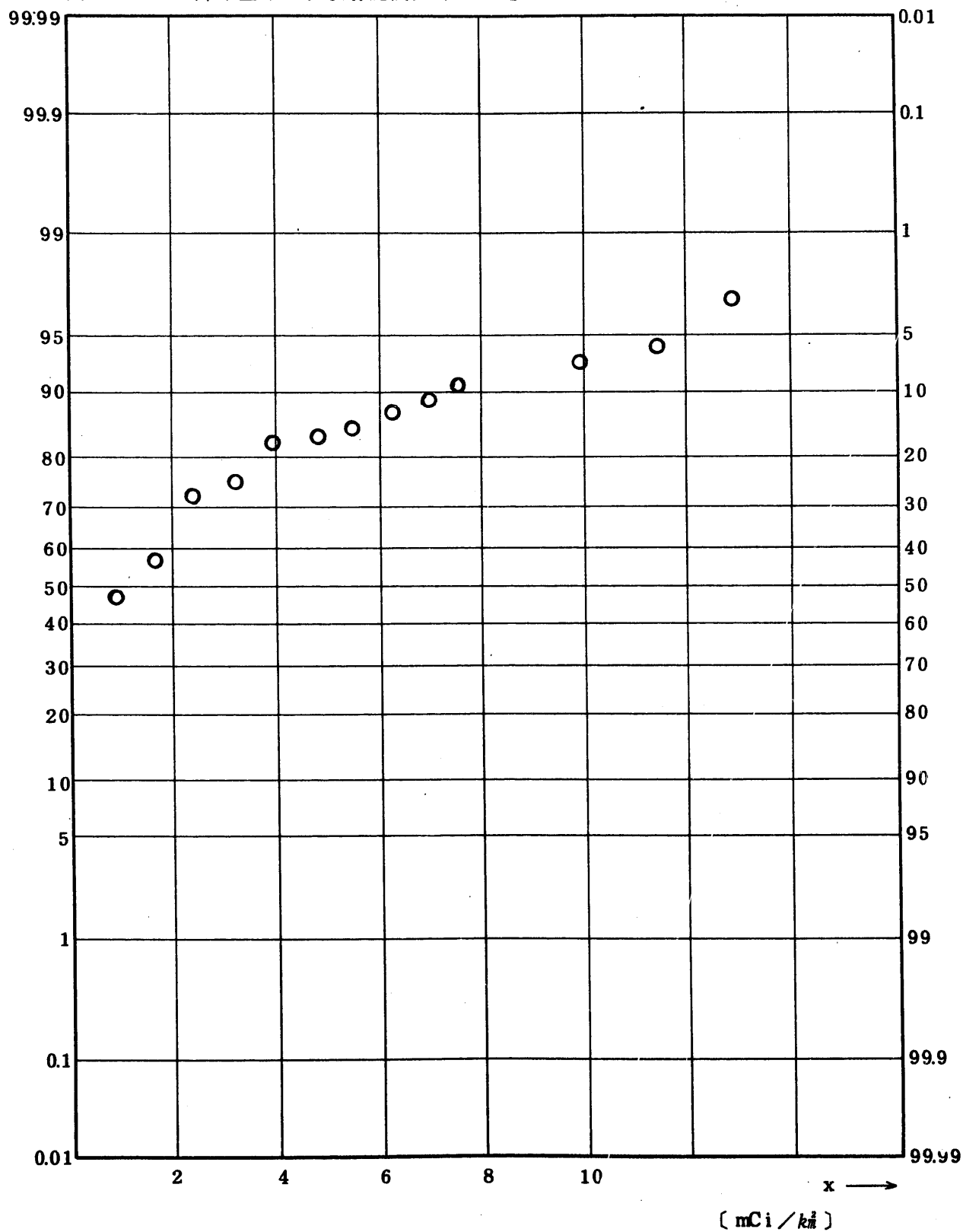


Fig. 4.1.1.2.1 Gross BETA Concentration in Fall-out Material (ALL)

(1971.5 ~ 1977.4)

图 4.1.1.2.1 降下塵中全β放射能濃度(全測定値)

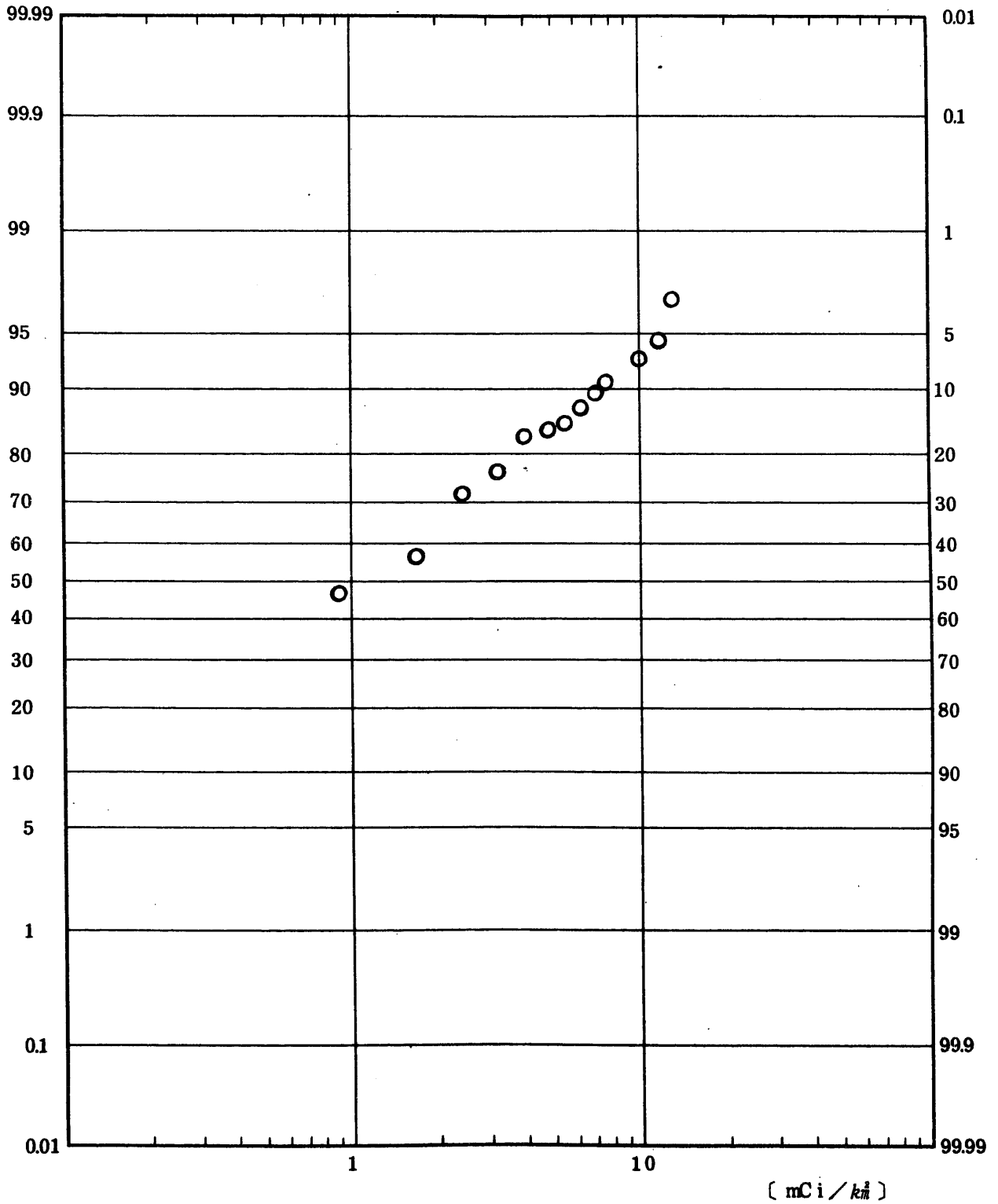


Fig. 4.1.2.1.1 Gross BETA Concentration in Fall-out Material (USUAL)

(1973.4 ~ 1977.4)

图 4.1.2.1.1 降下塵中全β放射能濃度(平常值)

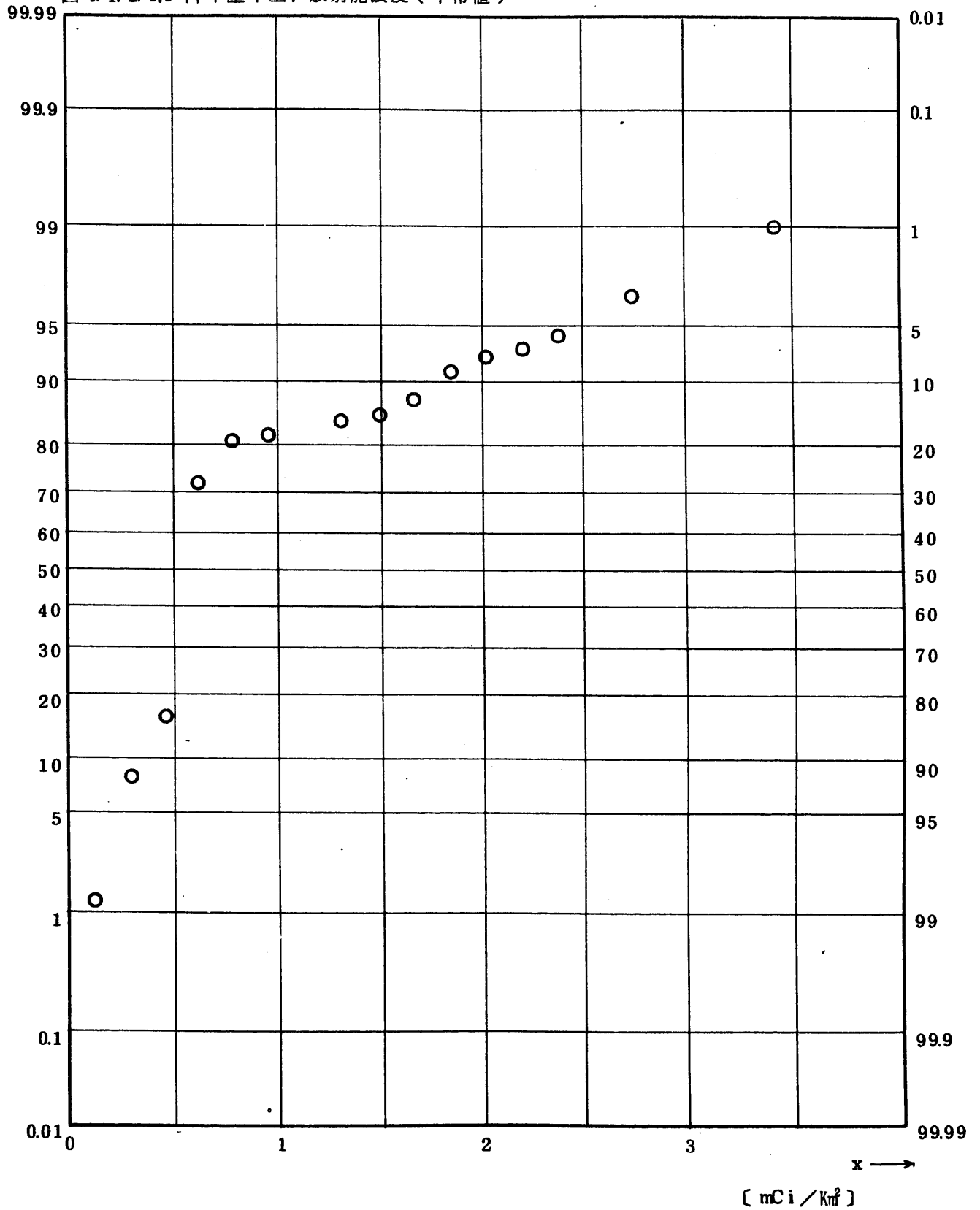


Fig. 4.1.3.11 Gross BETA Concentration in Fall-out Material (SPECIAL)

(1971.5 ~ 1977.4)

図 4.1.3.1.1 降下塵中全β放射能濃度 (スプリングピーク値)

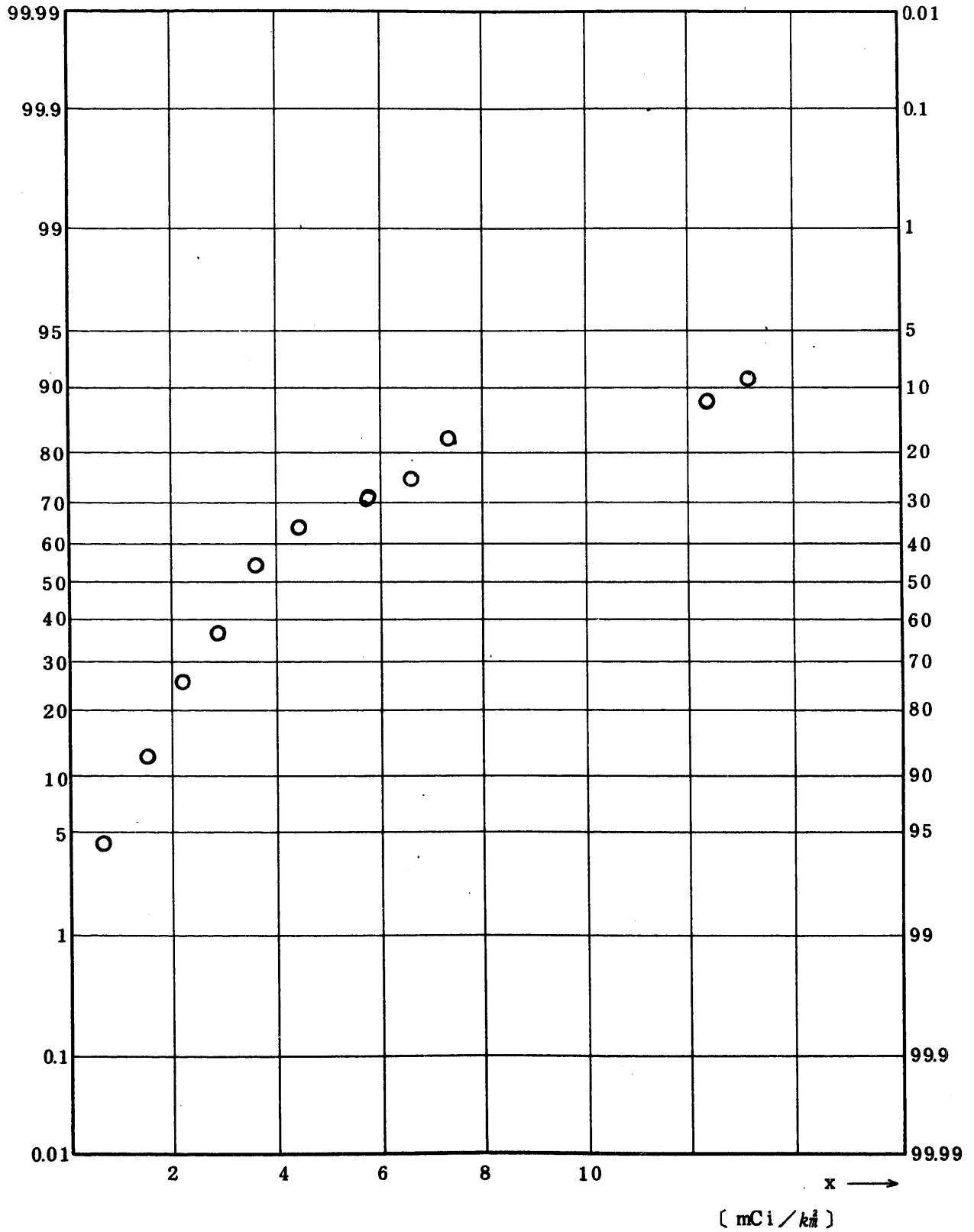


Fig. 4.1.3.2.1 Gross BETA Concentration in Fall-out Material(SPECIAL)

(1971.5 ~ 1977.4)

図 4.1.3.2.1 降下塵中全β放射能濃度(スプリングピーク値)

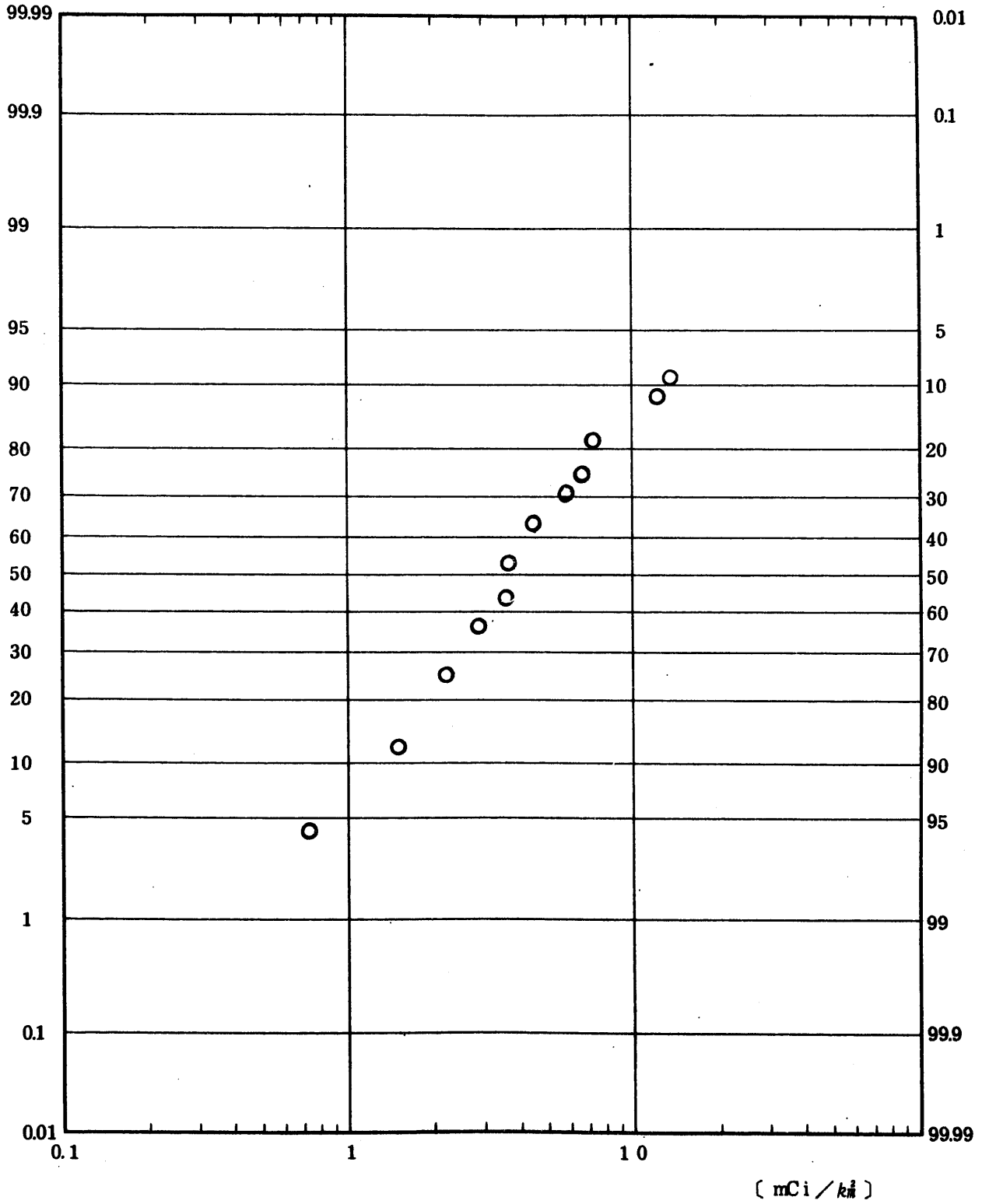


Fig. 5.1.1.1.1.1 Gross BETA Concentration in Rain Water (ALL)

(1974.5 ~ 1977.4)

图 5.1.1.1.1.1.1 雨水中全β放射能濃度(全測定值)

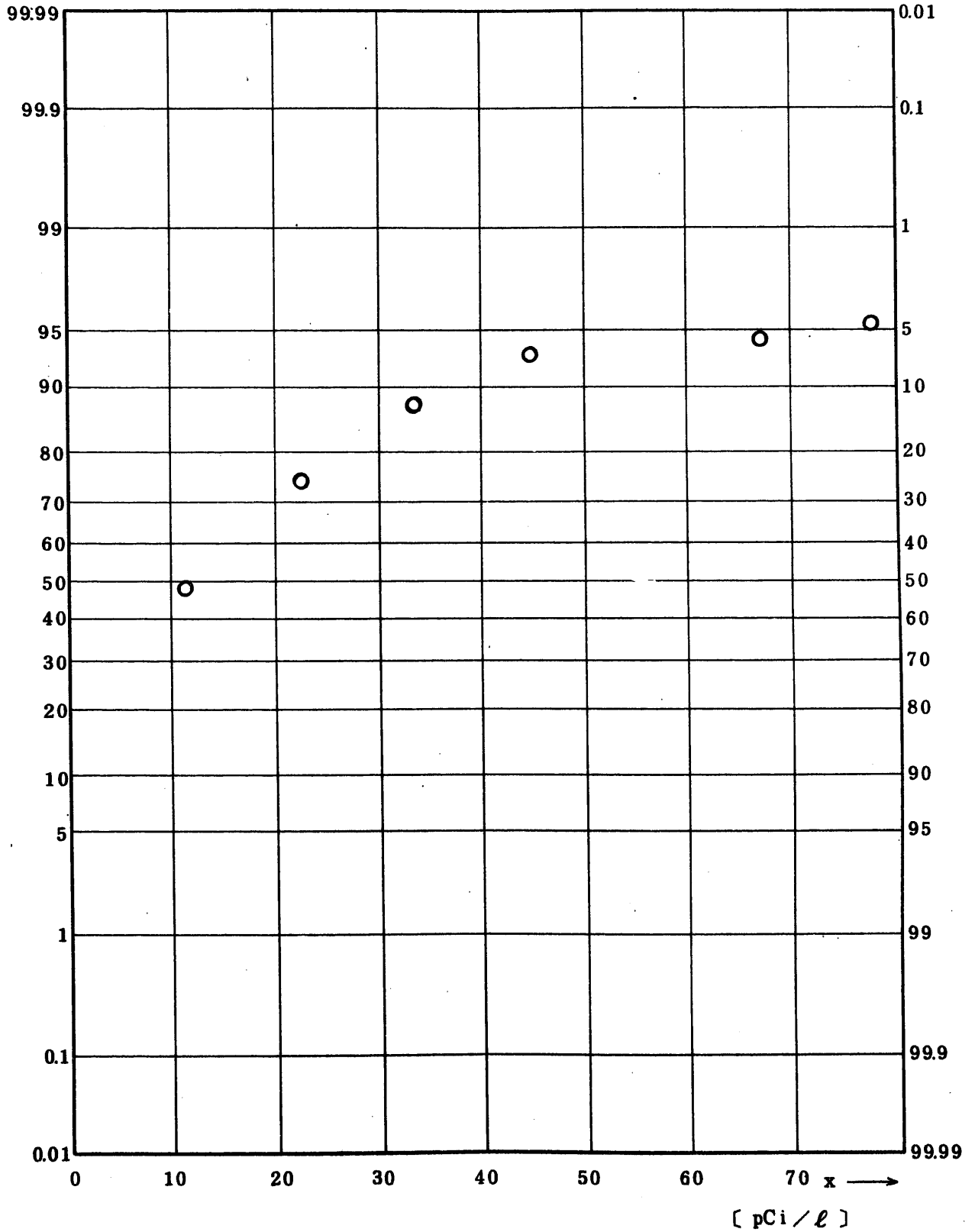


Fig. 5.1.1.2.1.1 Gross BETA Concentration in Rain Water (ALL)

(1974.5 ~ 1977.4)

図 5.1.1.2.1.1 雨水中全β放射能濃度(全測定値)

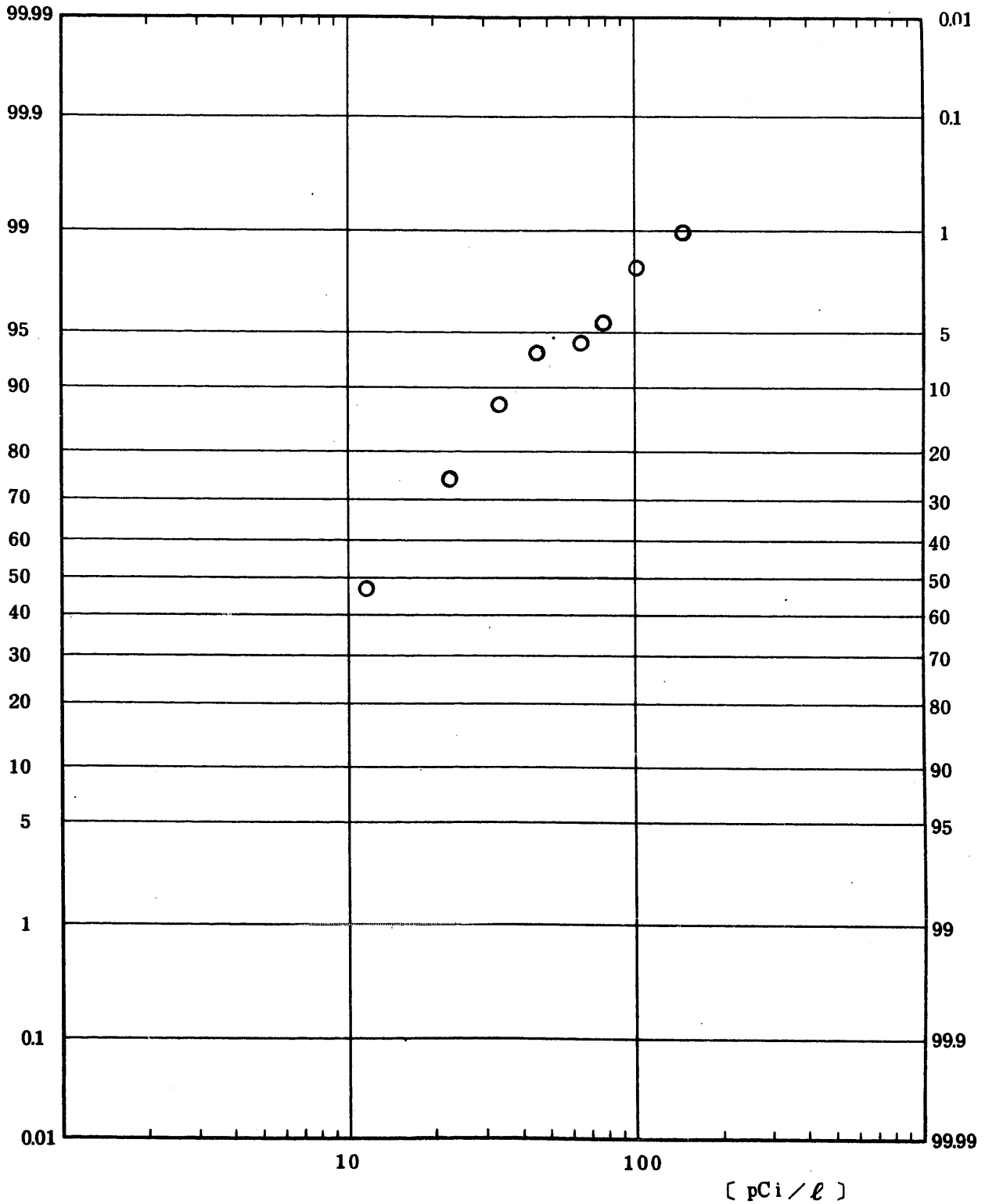


Fig. 5.1.1.1.1.2 ^3H Concentration in Rain Water (ALL)

(1975.8 ~ 1977.4)

図 5.1.1.1.1.2 雨水中 ^3H 放射能濃度 (全測定値)

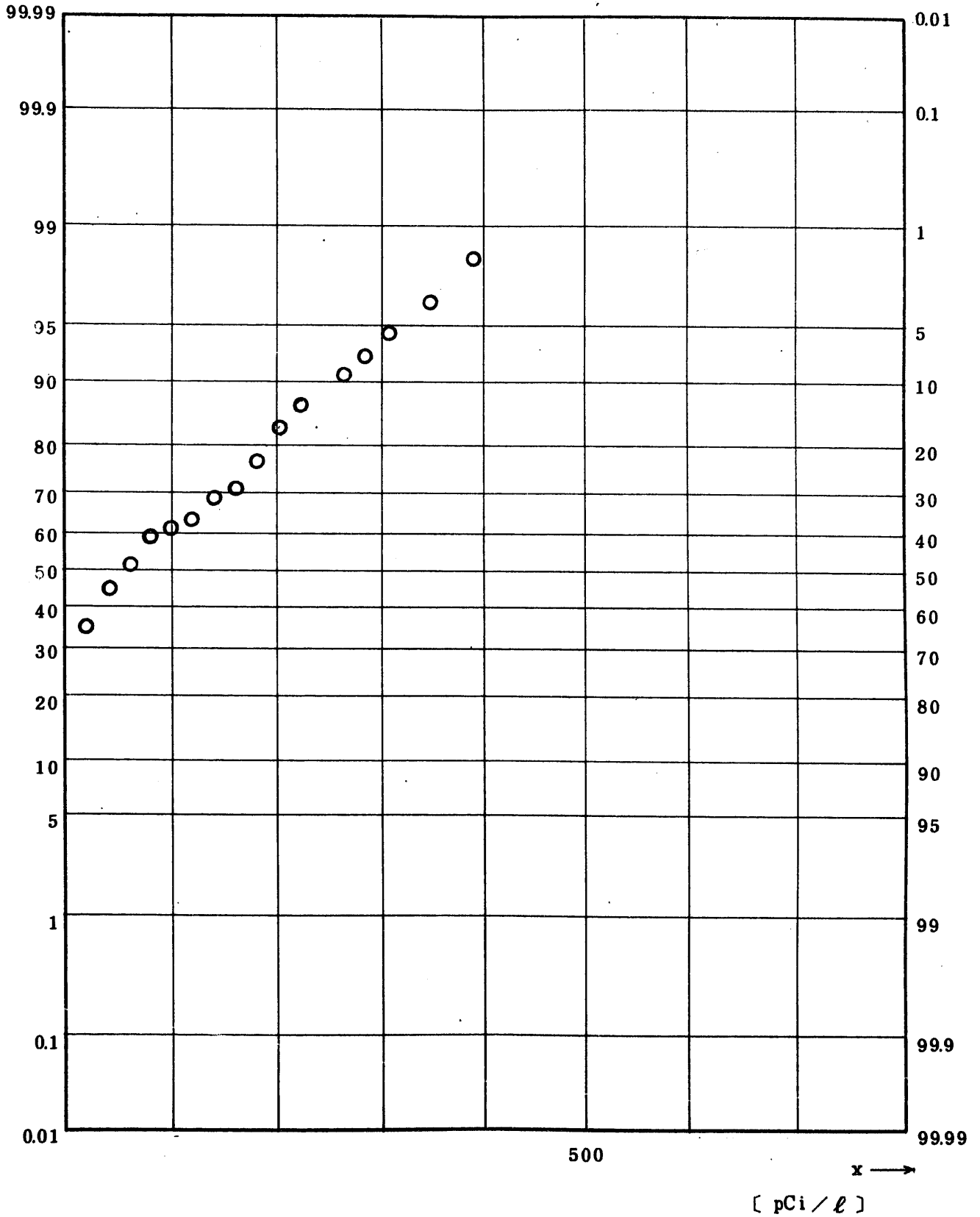


Fig. 5.1.2.1.1.1 Gross BETA Concentration in Rain Water (USUAL)

(1974.5 ~ 1977.4)

图 5.1.2.1.1.1.1 雨水中全β放射能浓度(平常值)

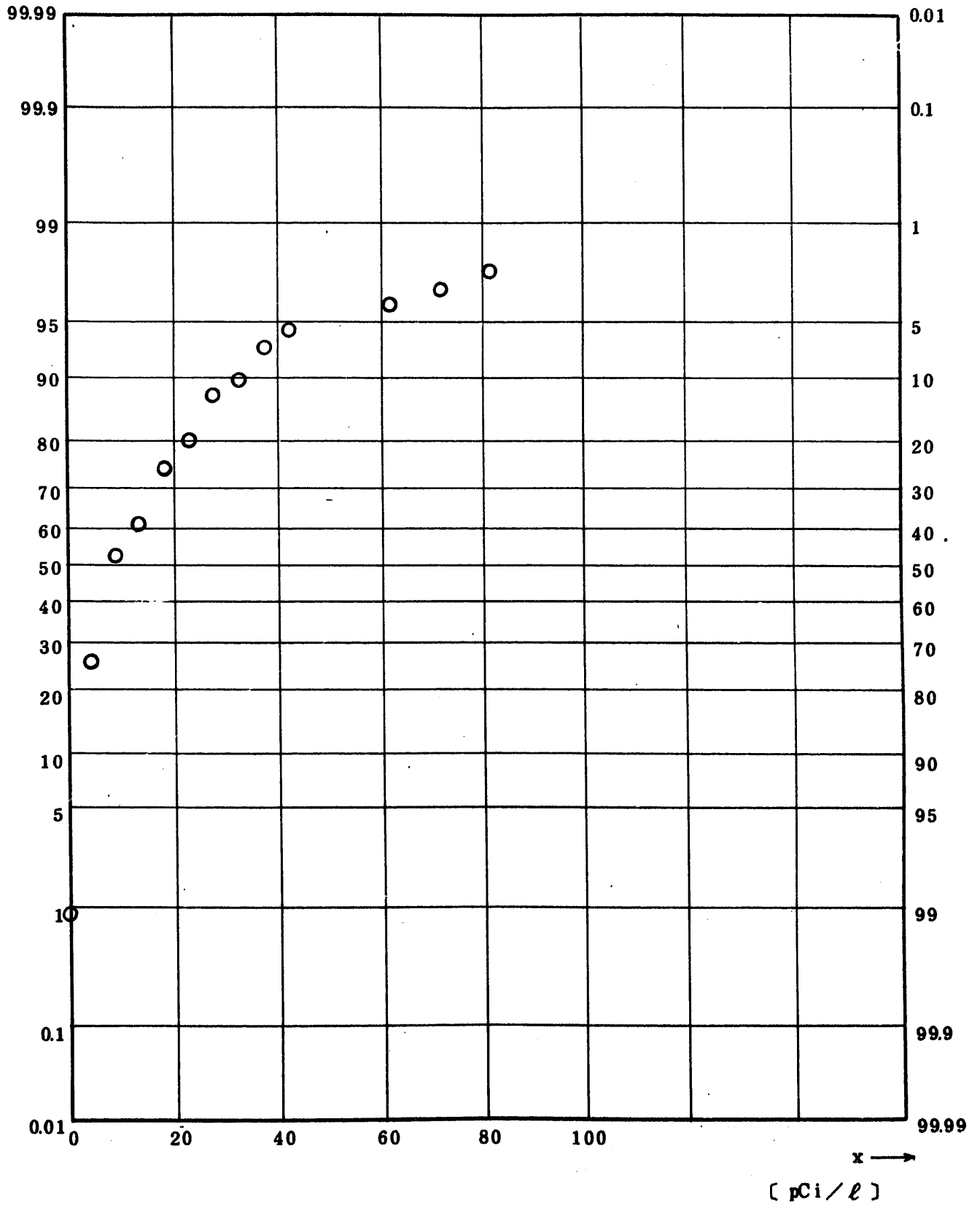


Fig. 5.1.2.1.2.1.1 Gross BETA Concentration in Rain Water (USUAL)

(1974.5 ~ 1977.4)

図 5.1.2.1.2.1.1 雨水中全β放射能濃度(平常値)

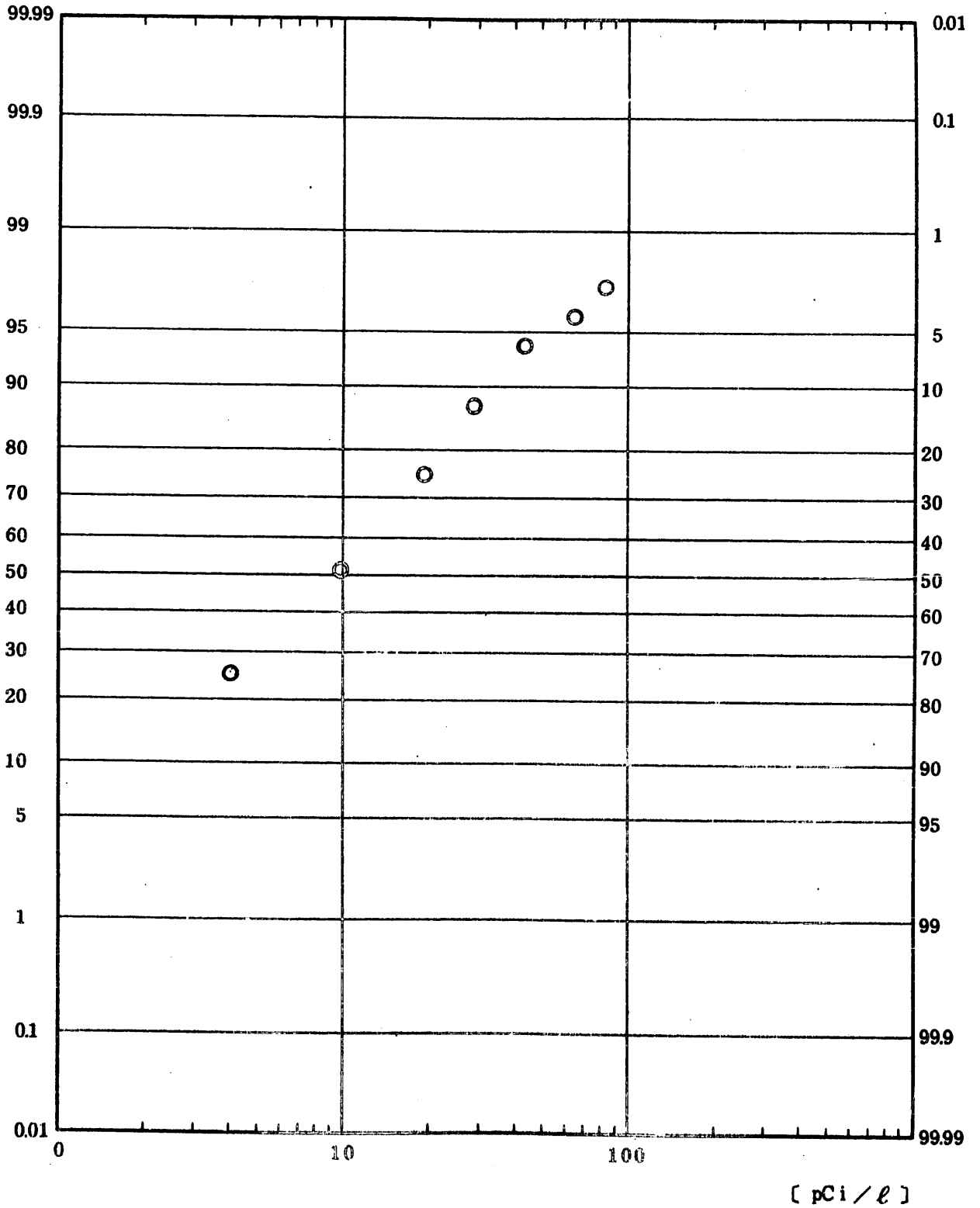


Fig. 5.1.2.1.1.2 ^3H Concentration in Rain Water (USUAL)

(1973.4 ~ 1977.4)

图 5.1.2.1.1.2 雨水中 ^3H 放射能浓度 (平常值)

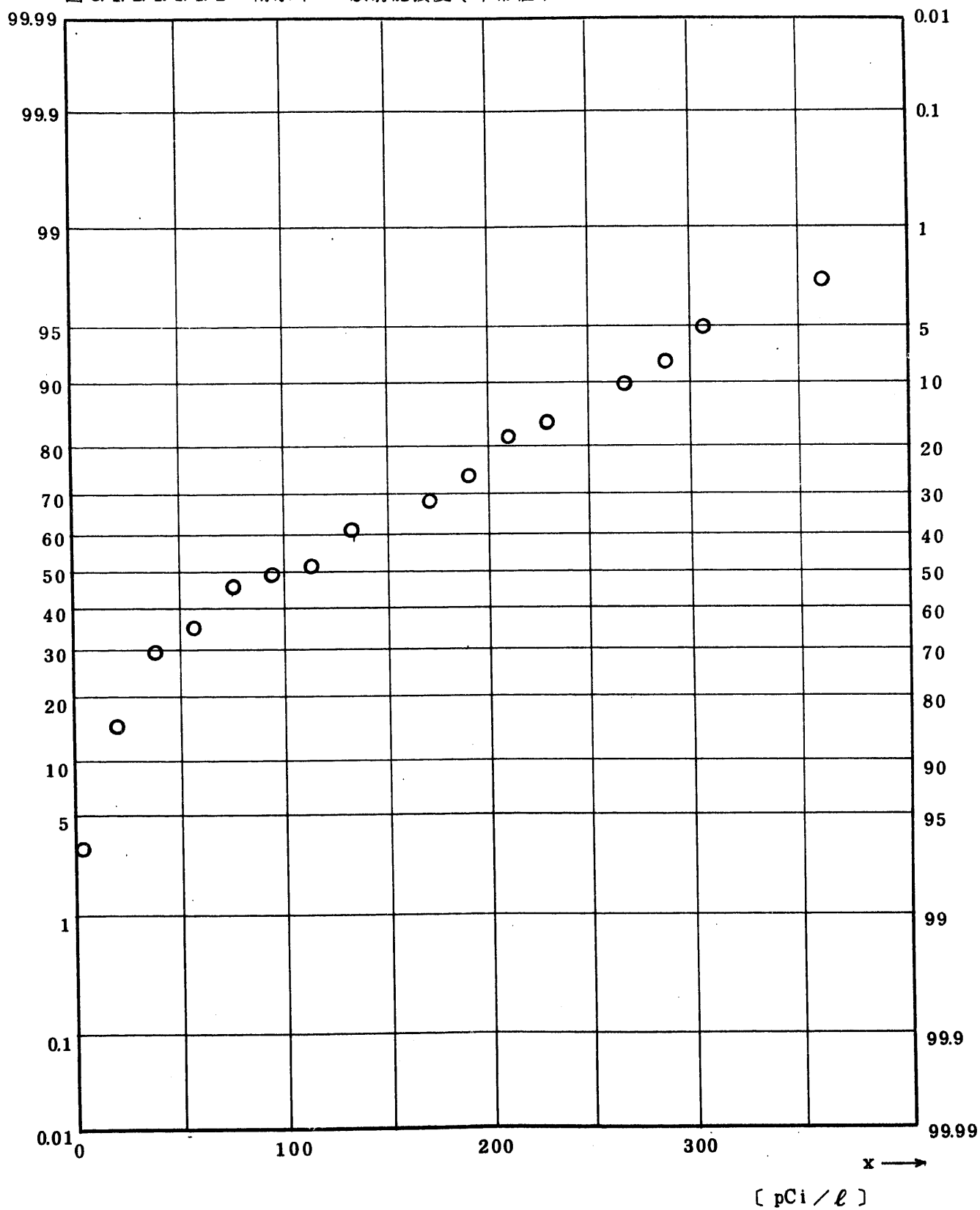


Fig. 5.1.3.1.1.1 Gross BETA Concentration in Rain Water (SPECIAL)
 (1974.5 ~ 1977.4)

図 5.1.3.1.1.1.1 雨水中全β放射能濃度 (スプリングピーク核実験)

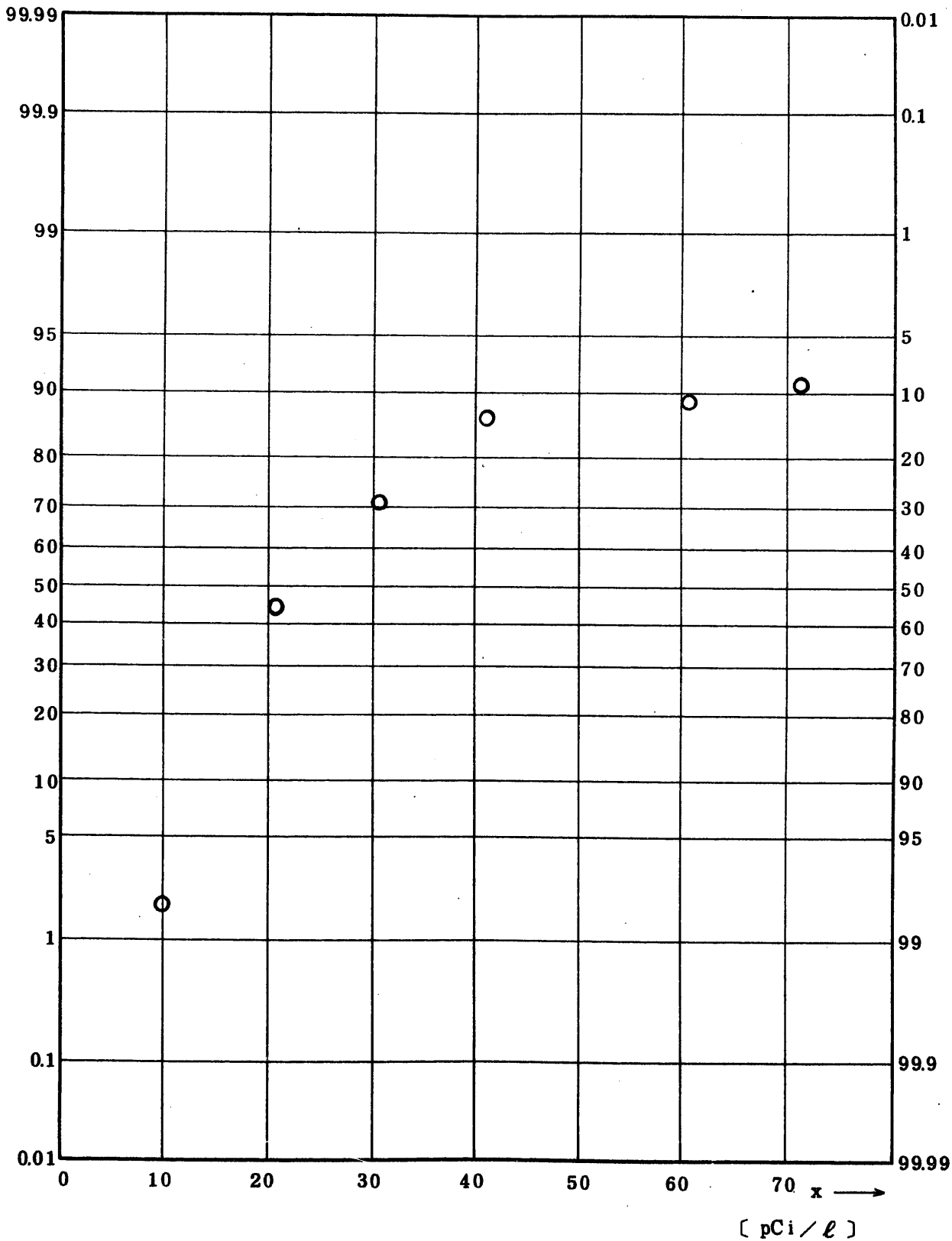


Fig. 5.1.3.1.1.2.1 Gross BETA Concentration in Rain Water (SPECIAL)

(1974.5 ~ 1977.4)

図 5.1.3.1.1.2.1 雨水中全β放射能濃度 (スプリングピーク核実験)

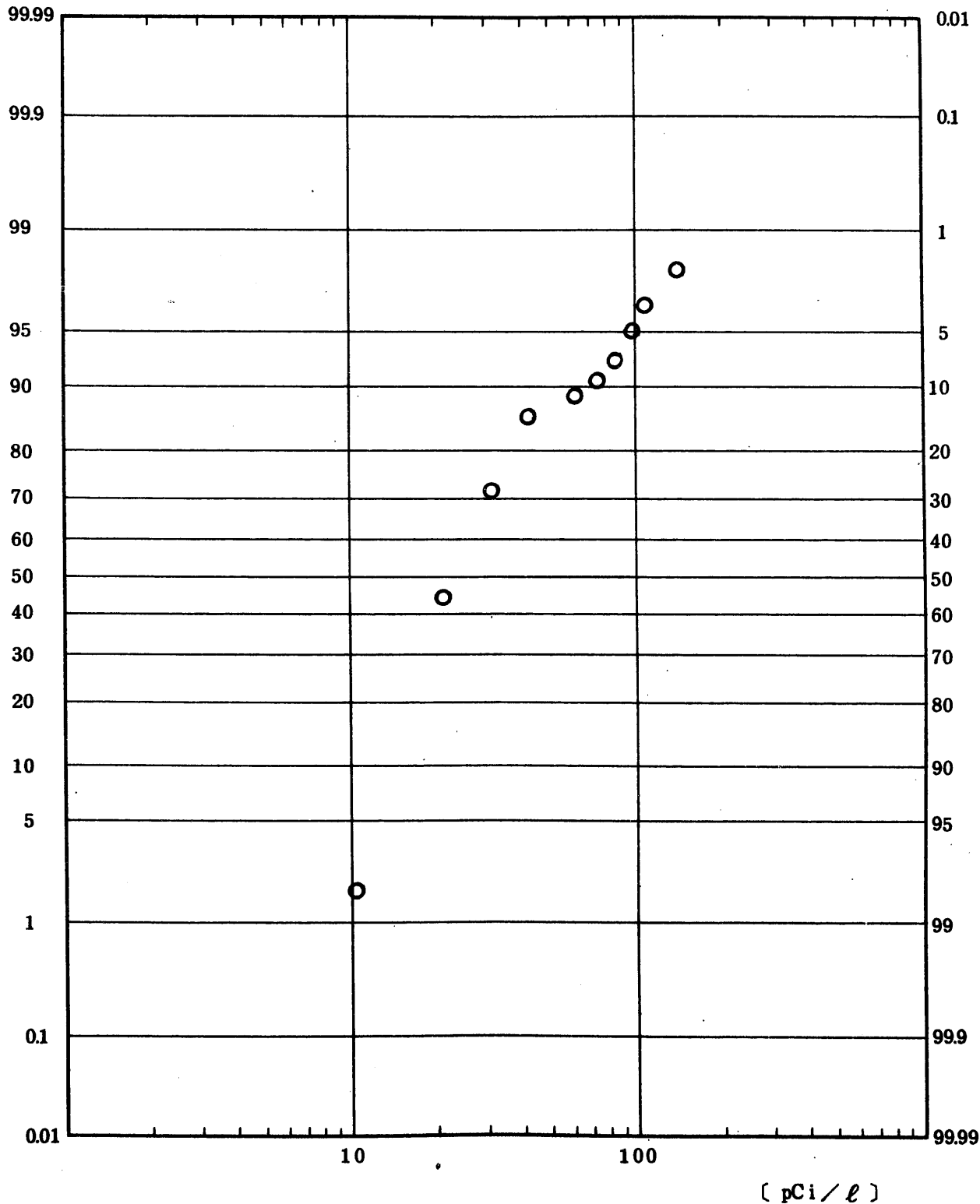


Fig. 5.2.1.1.1.1 Gross Beta Concentration in River Water (ALL)

(1971.4 ~ 1977.1)

図 5.2.1.1.1.1 河川水中全β放射能濃度(全測定値)

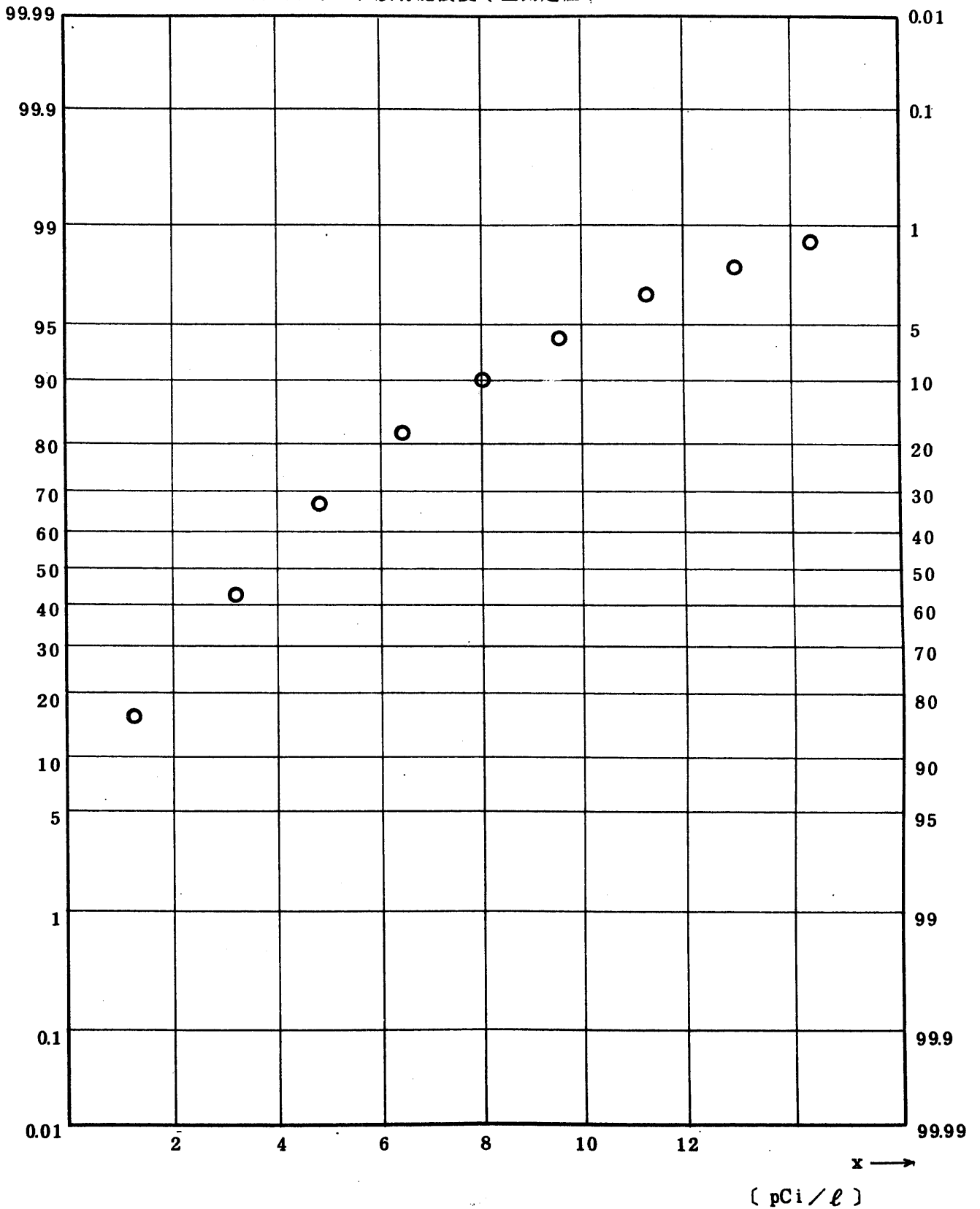


Fig. 5.2.1.2.1.1 Gross BETA Concentration in River Water (ALL)

(1971.4 ~ 1977.1)

图 5.2.1.2.1.1 河川水中全β放射能濃度(全測定値)

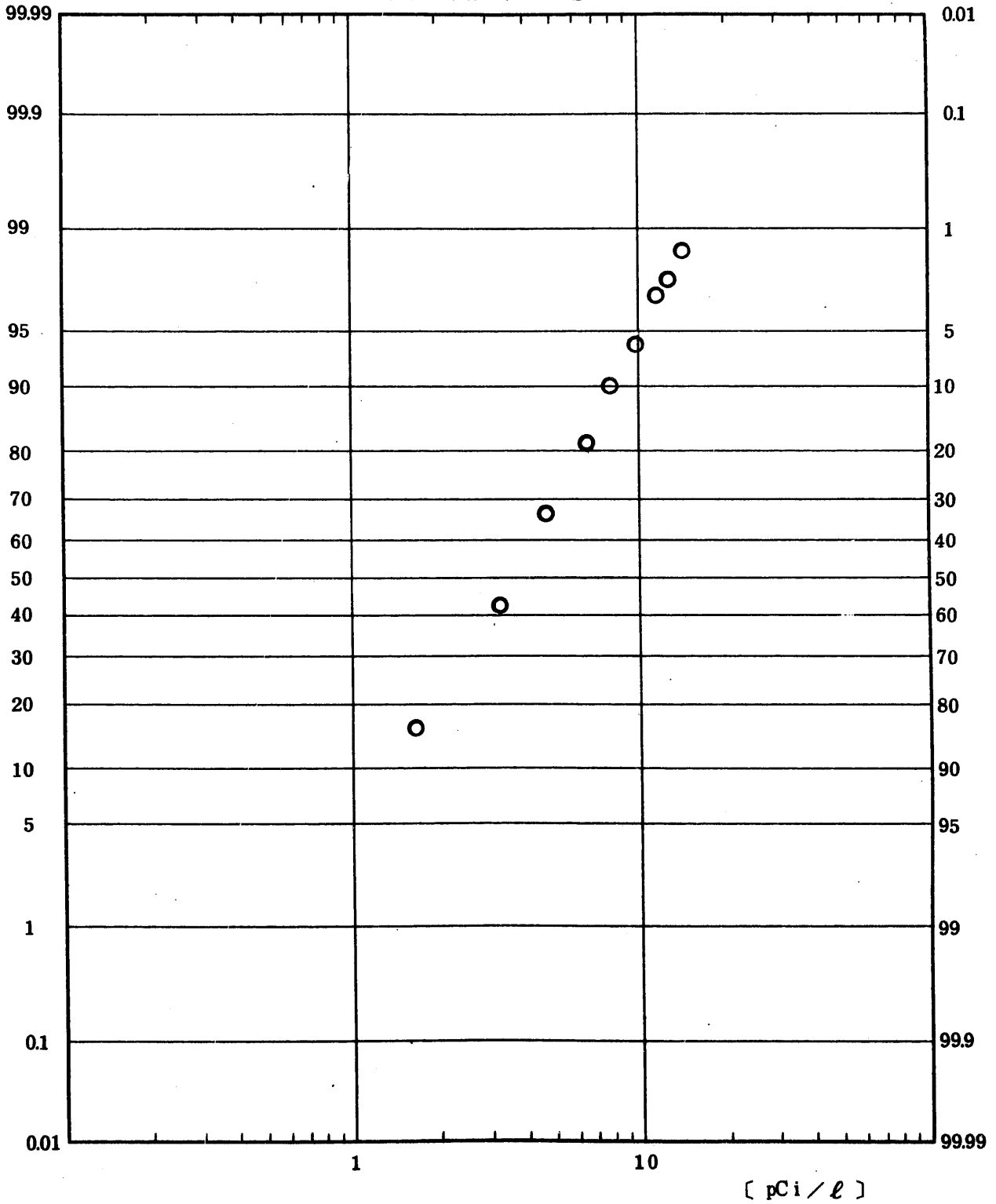


Fig. 5.2.1.1.2.1 Gross Beta Concentration in River Water (GM-ALL)
(1971.4 ~ 1975.2)

図 5.2.1.1.2.1 河川水中全β放射能濃度 (GM) (全測定値)

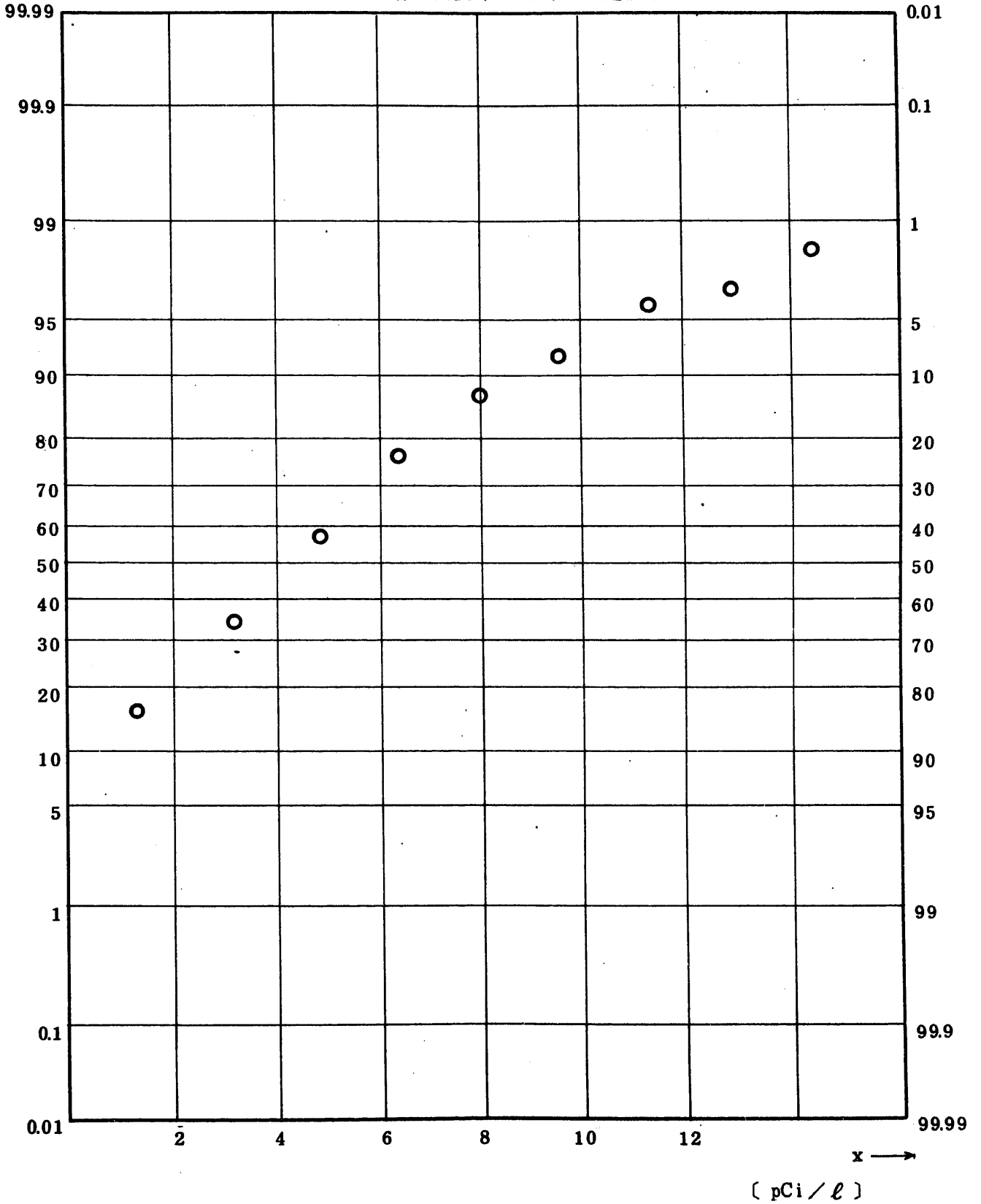


Fig. 5.2.1.1.3.1 Gross BETA Concentration in River Water (Gas flow-ALL)
 (1975.2 ~ 1977.1)

図 5.2.1.1.3.1 河川水中全β放射能濃度(ガスフロー)(全測定値)

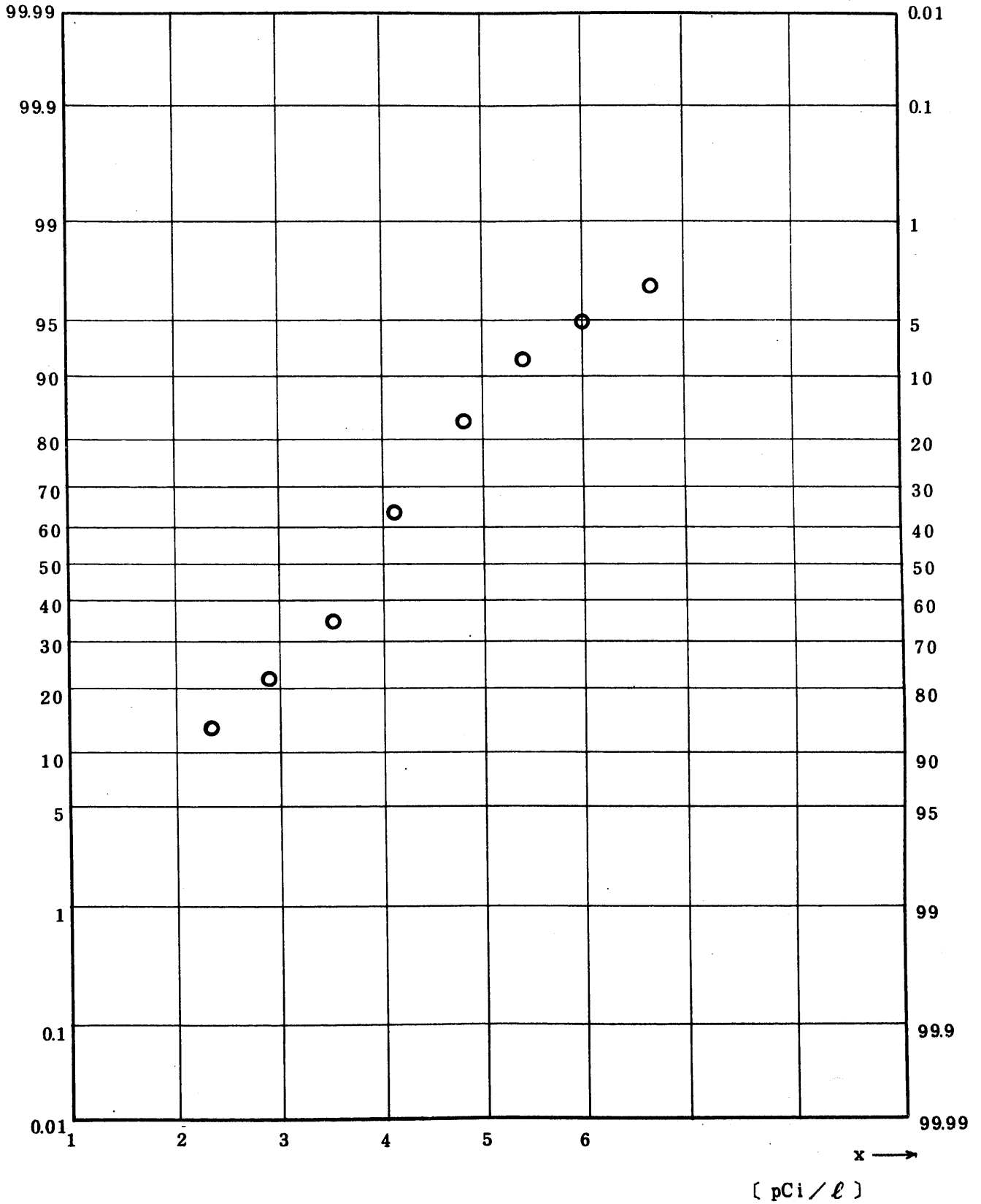


Fig. 5.2.1.1.1.2 ^3H Concentration in River Water (ALL)

(1971.4 ~ 1977.1)

図 5.2.1.1.1.2 河川水中 ^3H 放射能濃度 (全測定値)

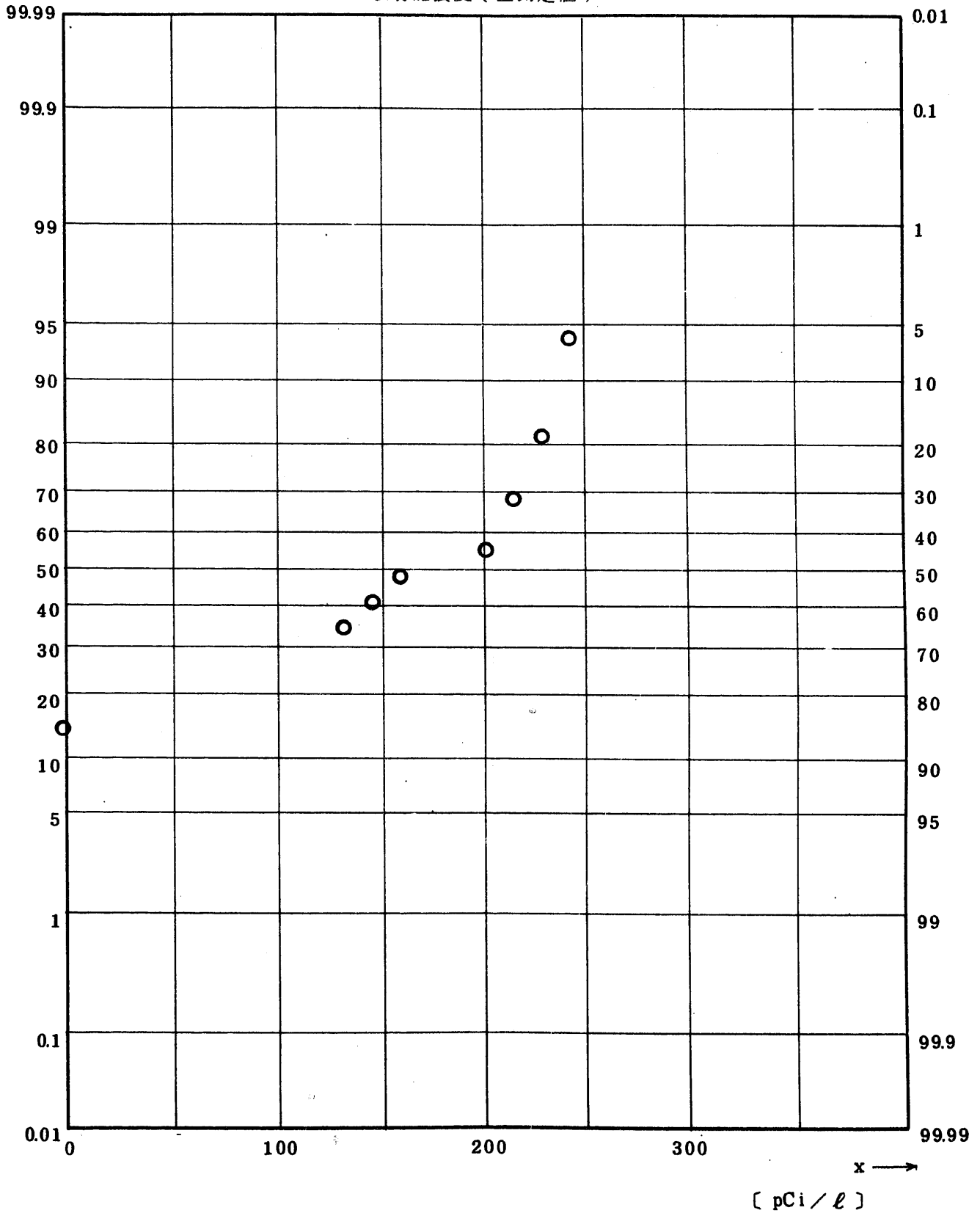


Fig. 5.2.2.1.1.1 Gross BETA Concentration in River Water (USUAL)

(1 9 7 1 . 4 ~ 1 9 7 7 . 1)

图 5.2.2.1.1.1.1 河川水中全β放射能濃度(平常值)

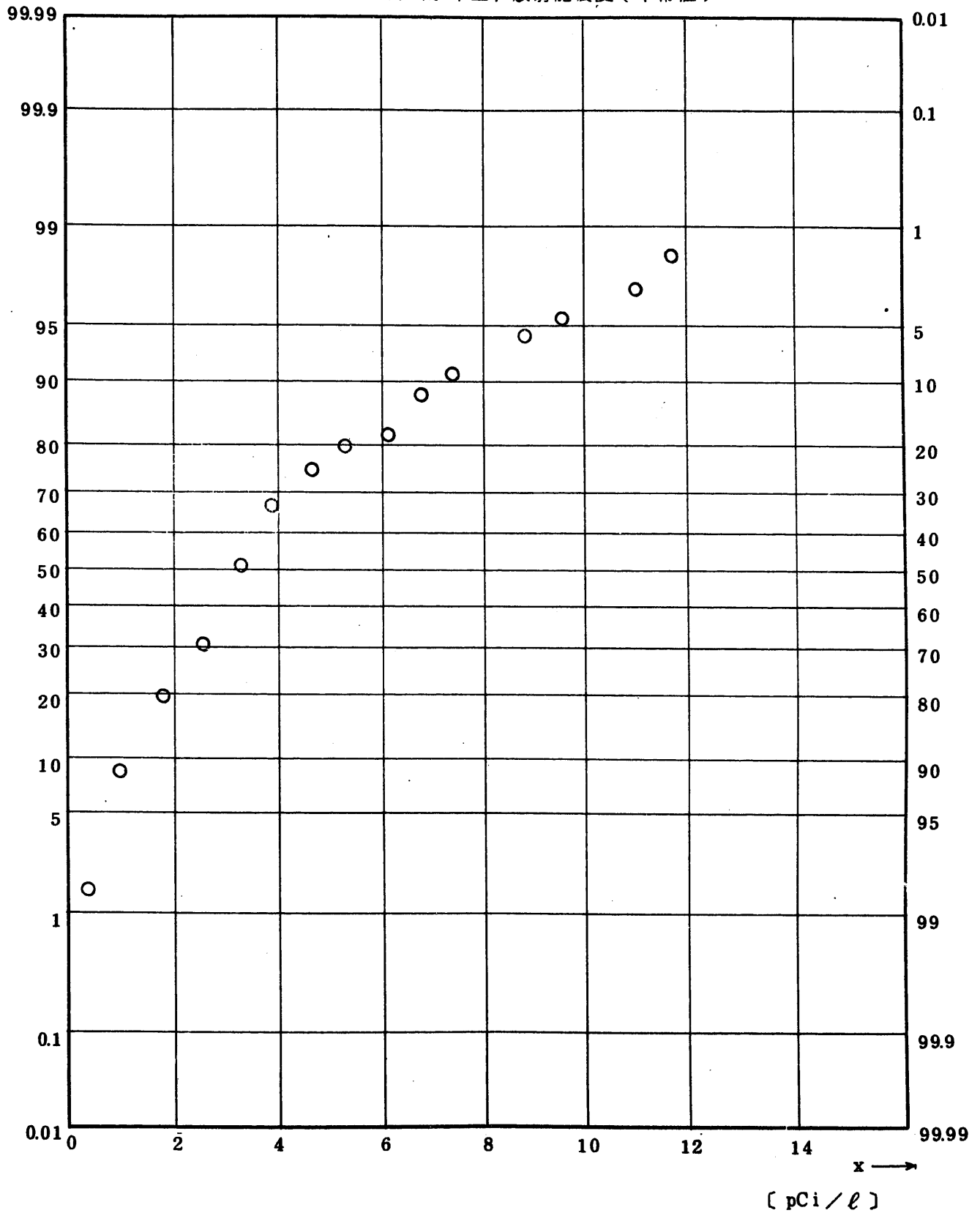


Fig. 5.2.2.1.2.1.1 Gross BETA Concentration in River Water (USUAL)
 (1971.4 ~ 1977.1)

図 5.2.2.1.2.1.1 河川水中全β放射能濃度(平常値)

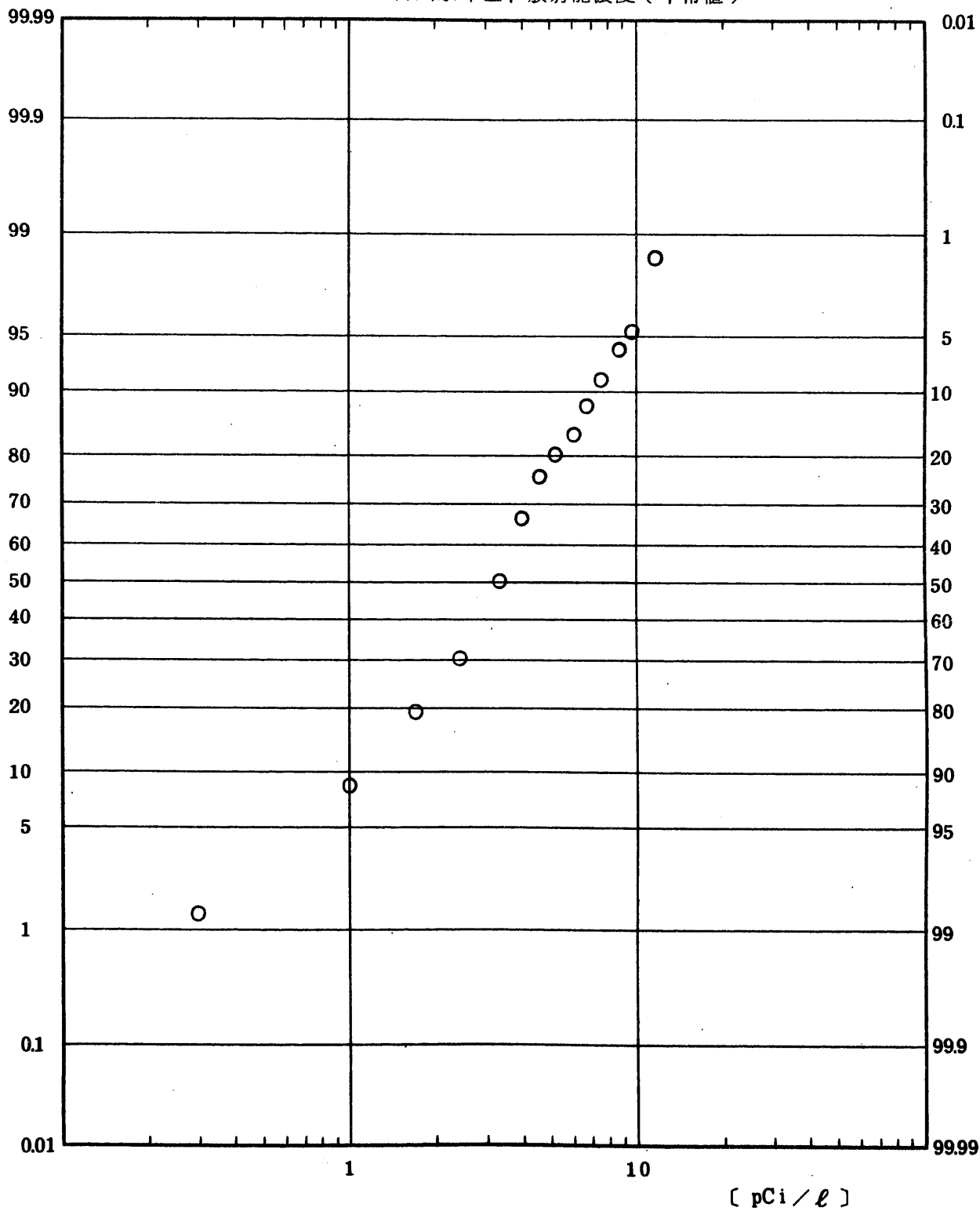


Fig. 5.2.2.1.1.2.1 Gross BETA Concentration in River Water (GM-USUAL)
 (1971.4 ~ 1975.2)

図 5.2.2.1.1.2.1 河川水中全β放射能濃度(GM)(平常値)

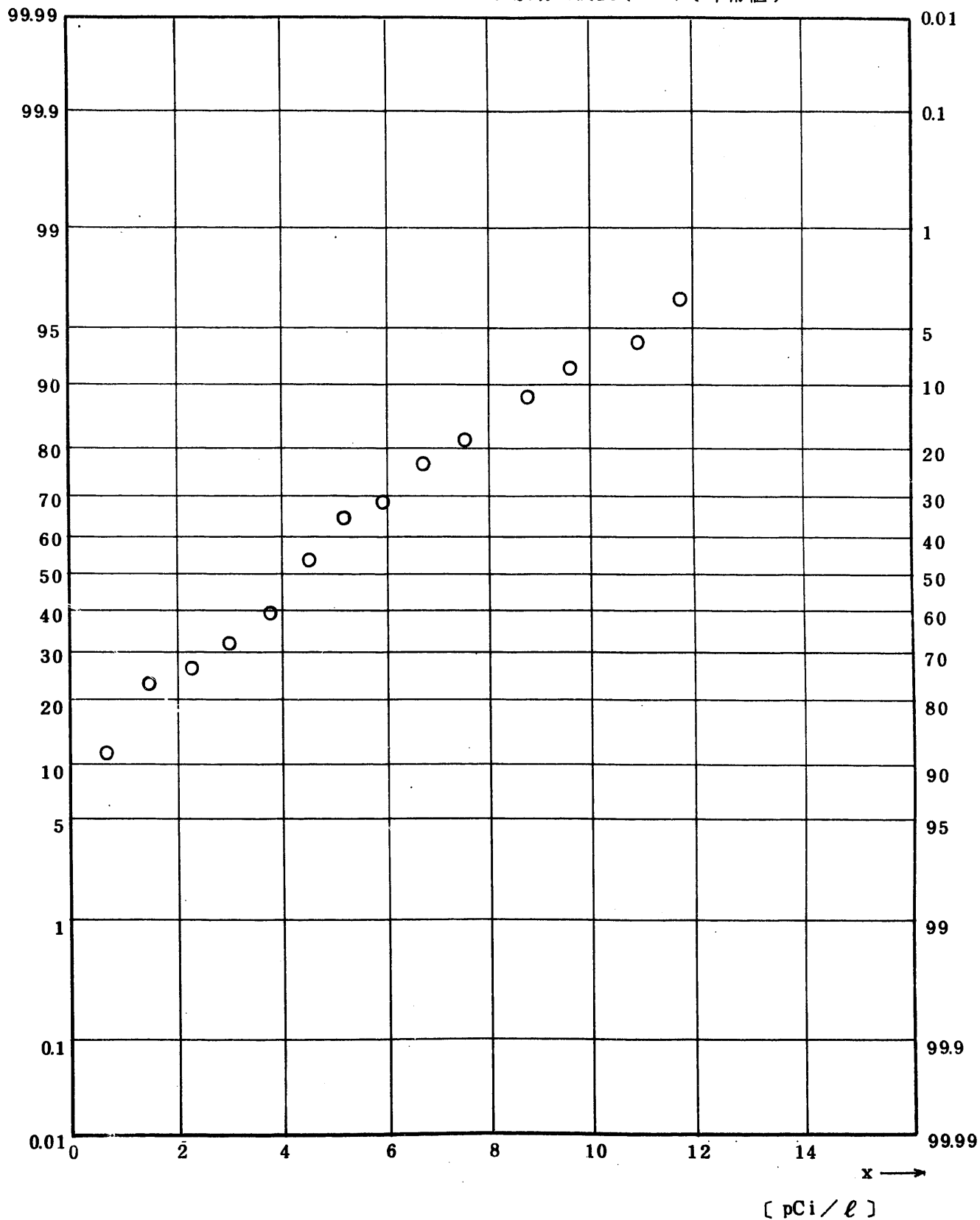


Fig. 5.2.2.1.3.1 Gross BETA Concentration in River Water (Gas flow-ALL)
(1975.2 ~ 1977.1)

図 5.2.2.1.3.1 河川水中全β放射能濃度(ガスフロー)(平常値)

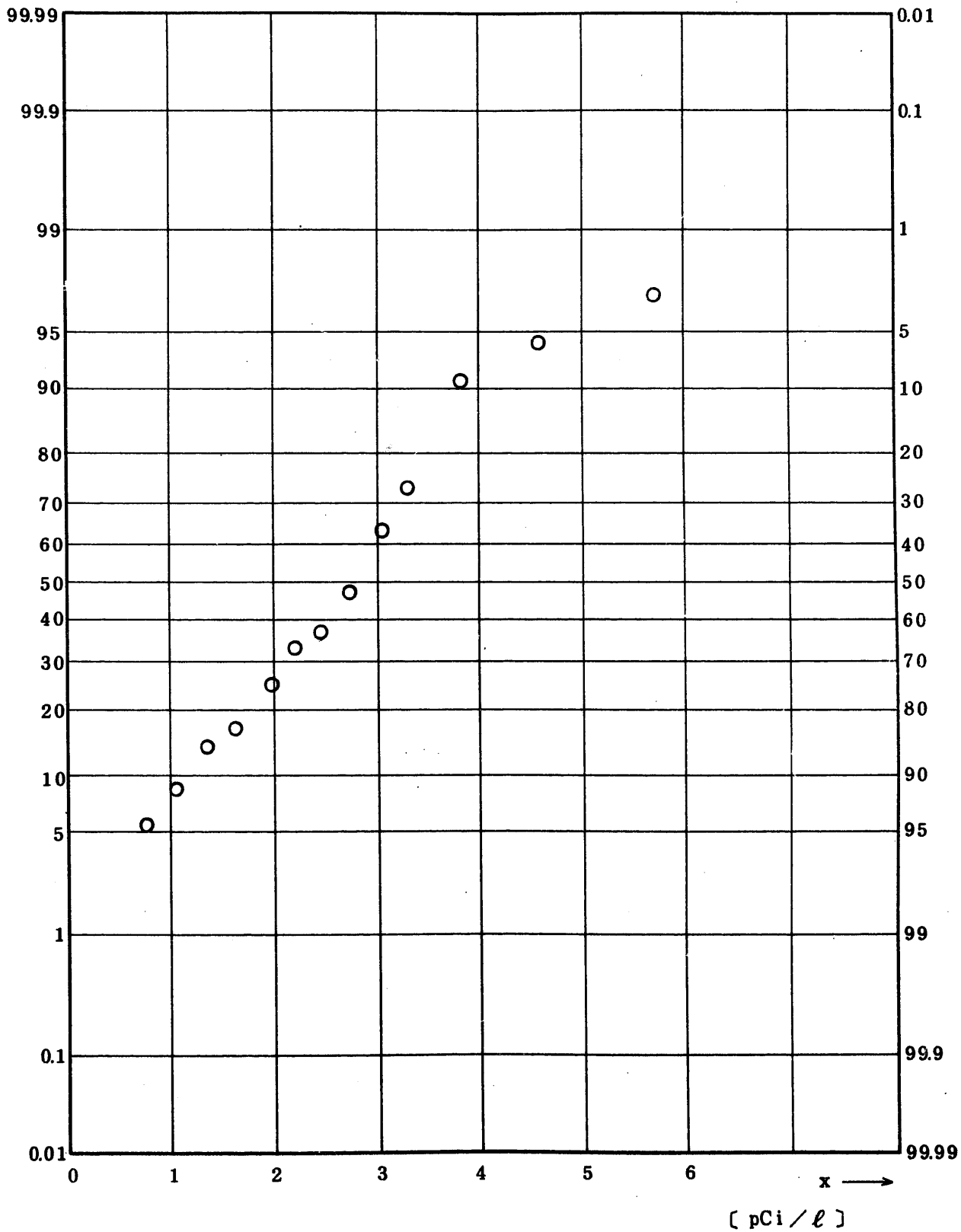


Fig. 5.2.2.1.1.2 ^3H Concentration in River Water (USUAL)

(1971.4 ~ 1977.1)

图 5.2.2.1.1.2 河川水中 ^3H 放射能濃度 (平常值)

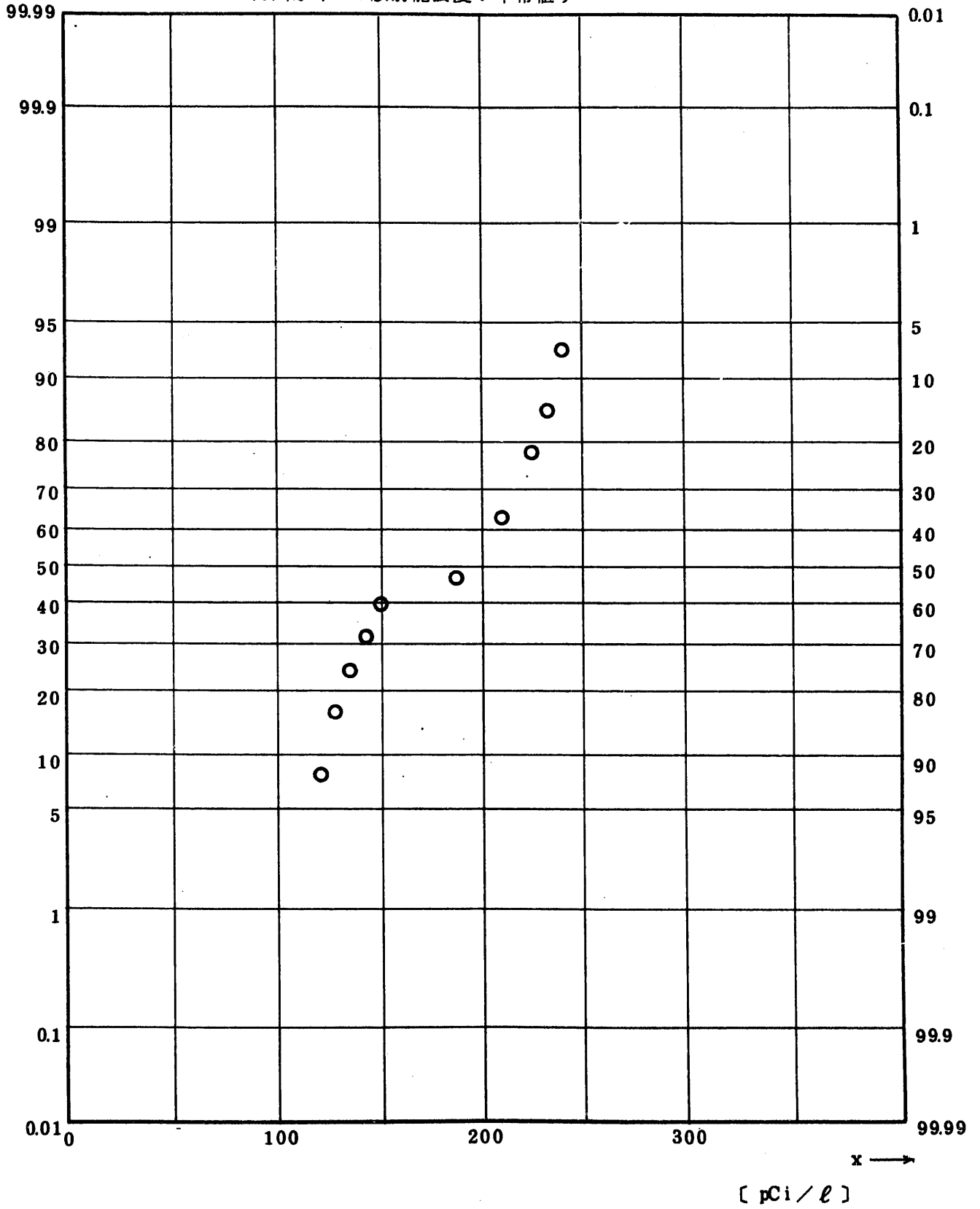


Fig. 5.3.1.1.1.1 Gross BETA Concentration in Drinking Water (ALL)

(1971.4 ~ 1977.1)

図 5.3.1.1.1.1 飲料水中全β放射能濃度(全測定値)

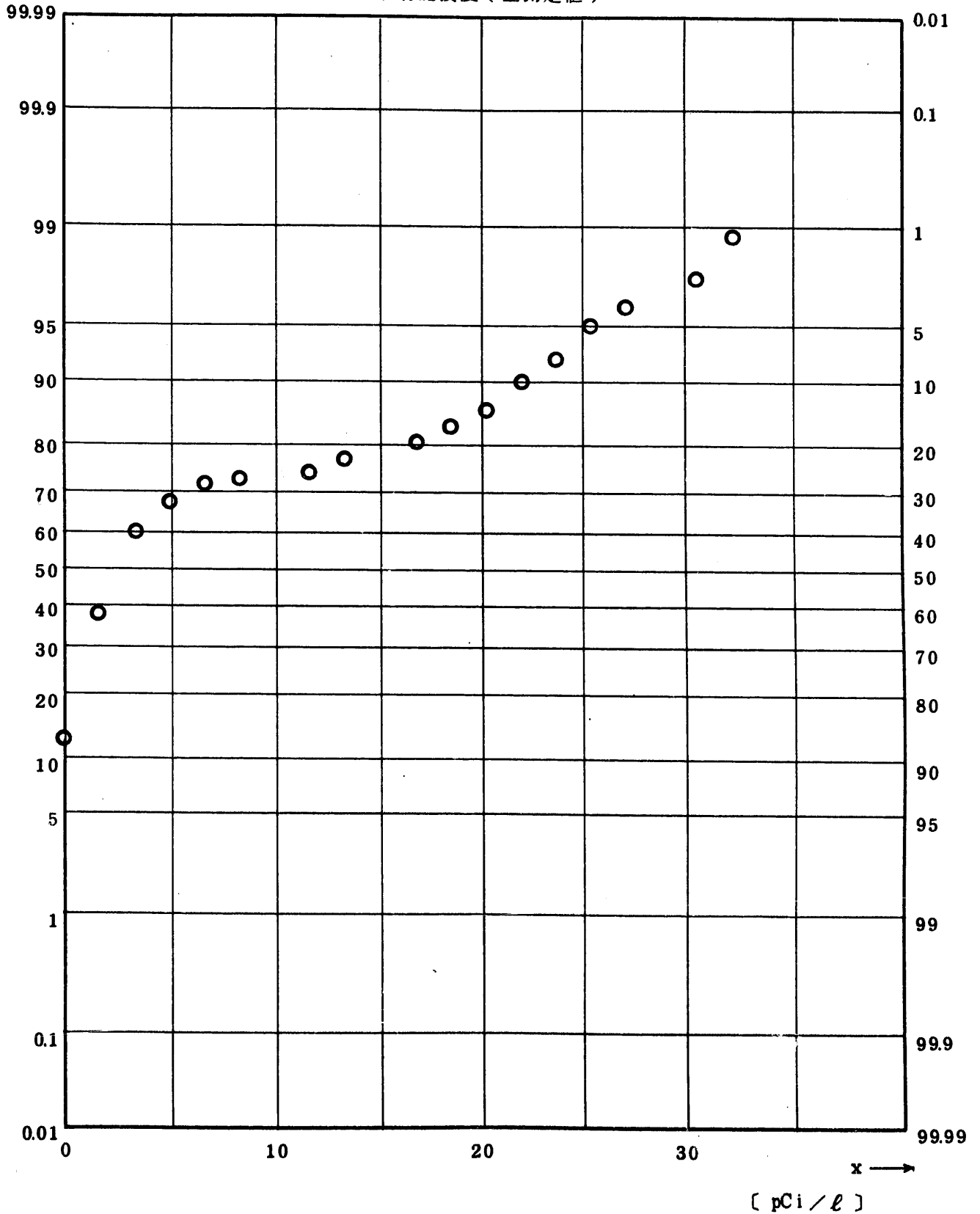


Fig. 5.3.1.1.1.2 ^3H Concentration in Drinking Water (ALL)

(1 9 7 3 . 6 ~ 1 9 7 7 . 1)

図 5.3.1.1.1.2 飲料水中 ^3H 放射能濃度 (全測定値)

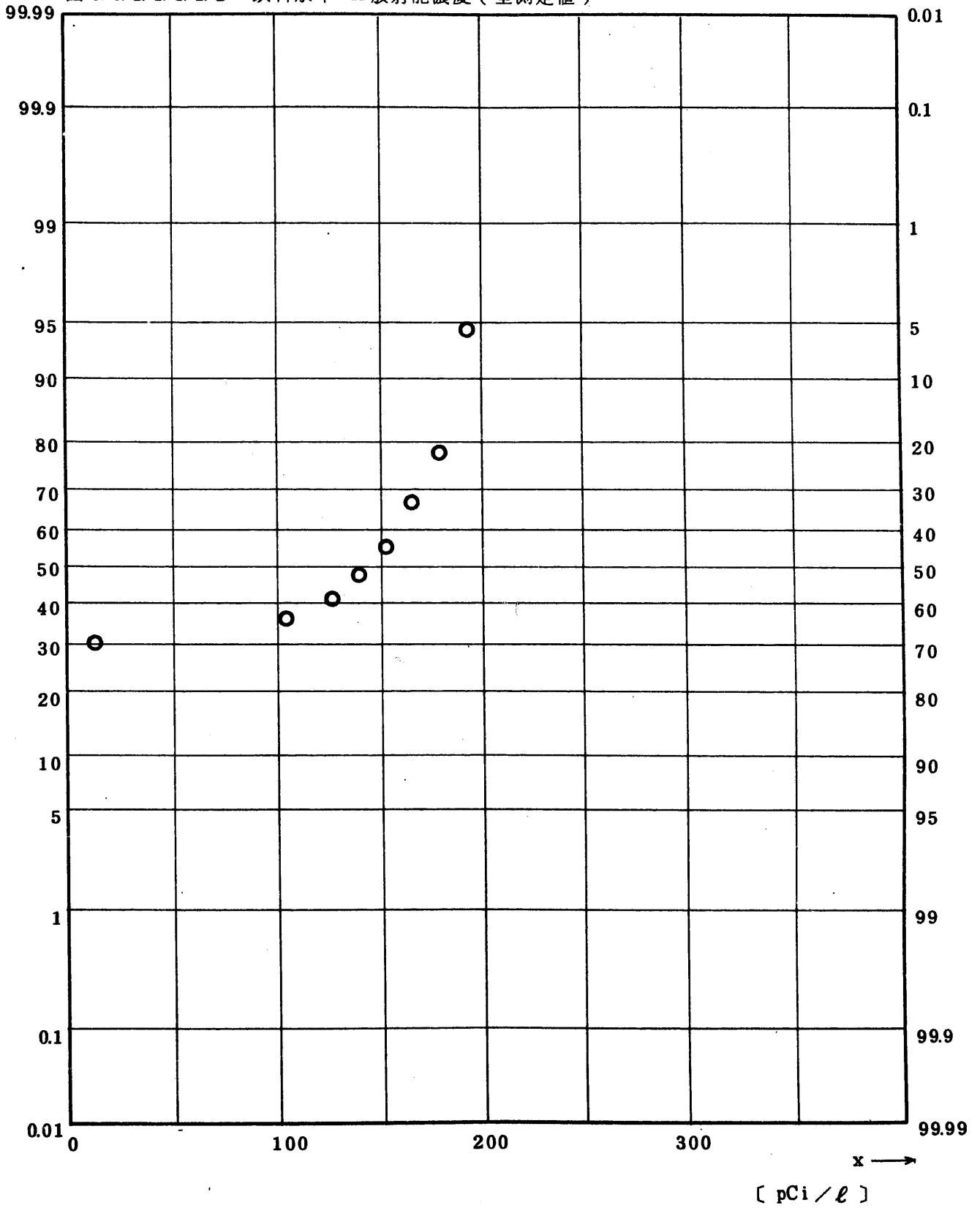


Fig. 5.3.1.6.1.3.1 Gross BETA Concentration in Drinking Water(Gas flow-ALL)
 (1 9 7 5 . 2 ~ 1 9 7 7 . 1)

図 5.3.1.6.1.3.1 飲料水中全β放射能濃度(ガスフロー)(全測定値)

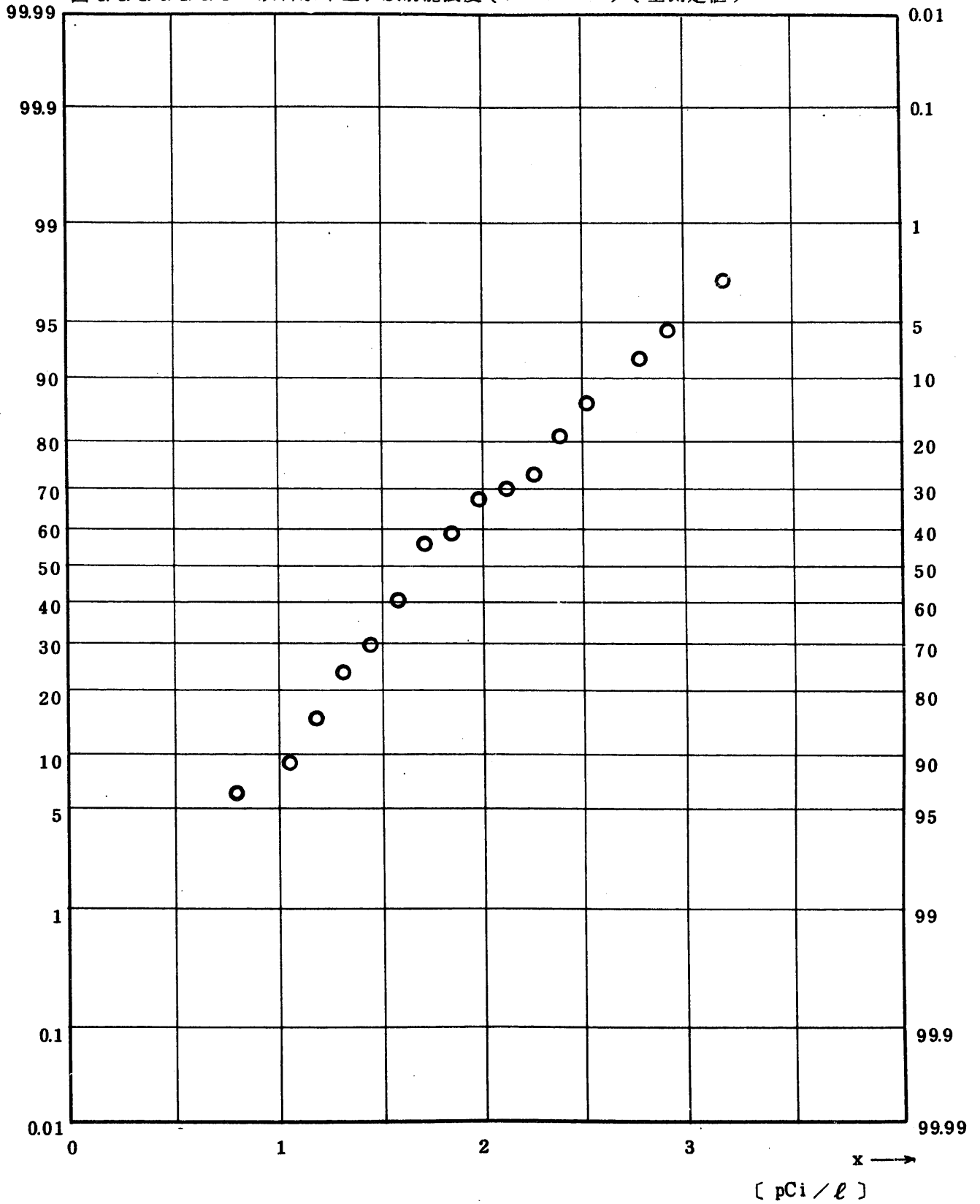


Fig. 5.3.3.1.6.1.2.1 Gross BETA Concentration in Drinking Water (GM. ALL)
(1973.6 ~ 1975.1)

図 5.3.3.1.6.1.2.1 飲料水中全β (GM) 放射能濃度 (全測定値)

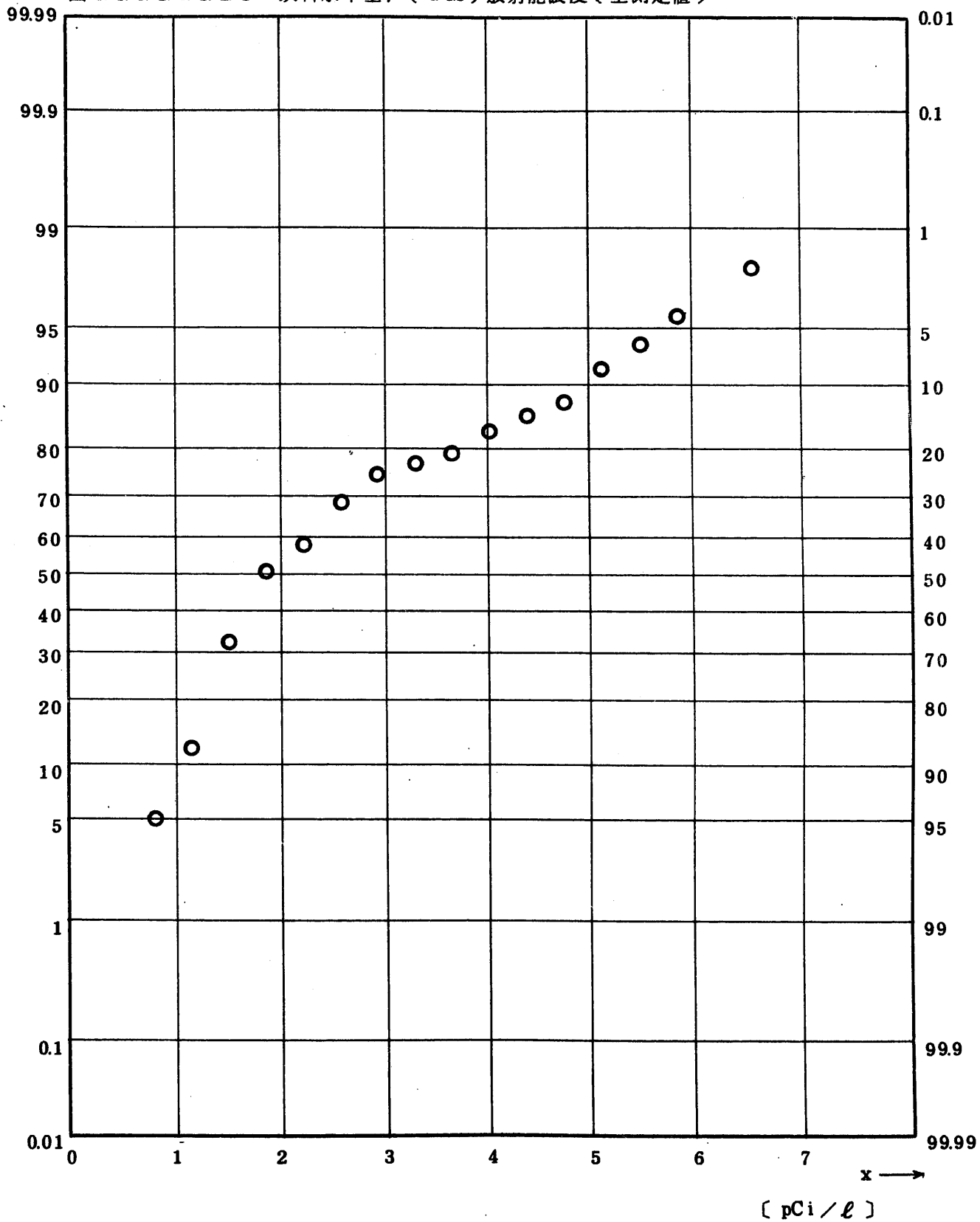


Fig. 5.3.3.3.1.1.1 Gross BETA Concentration in Drinking Water(WELL WATER)
(1974.4~1977.1)

図 5.3.3.3.1.1.1 飲料水(長砂)中全β放射能濃度(全測定値)

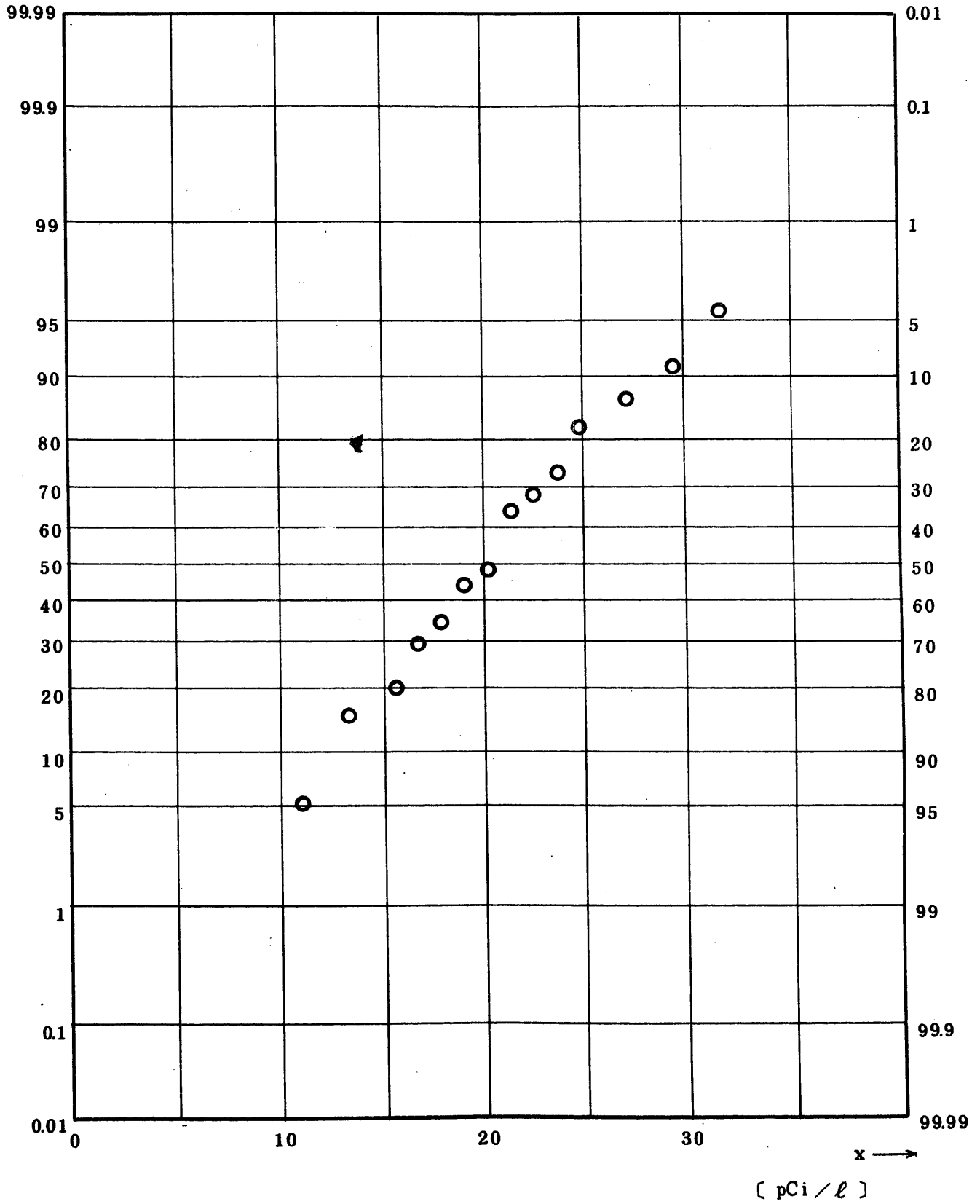


Fig. 5.3.3.3.1.1.2 ^3H Concentration in Drinking Water (WELL WATER)

(1 9 7 4 . 4 ~ 1 9 7 7 . 1)

☒ 5.3.3.3.1.1.2 飲料水（長砂）中 ^3H 放射能濃度（全測定値）

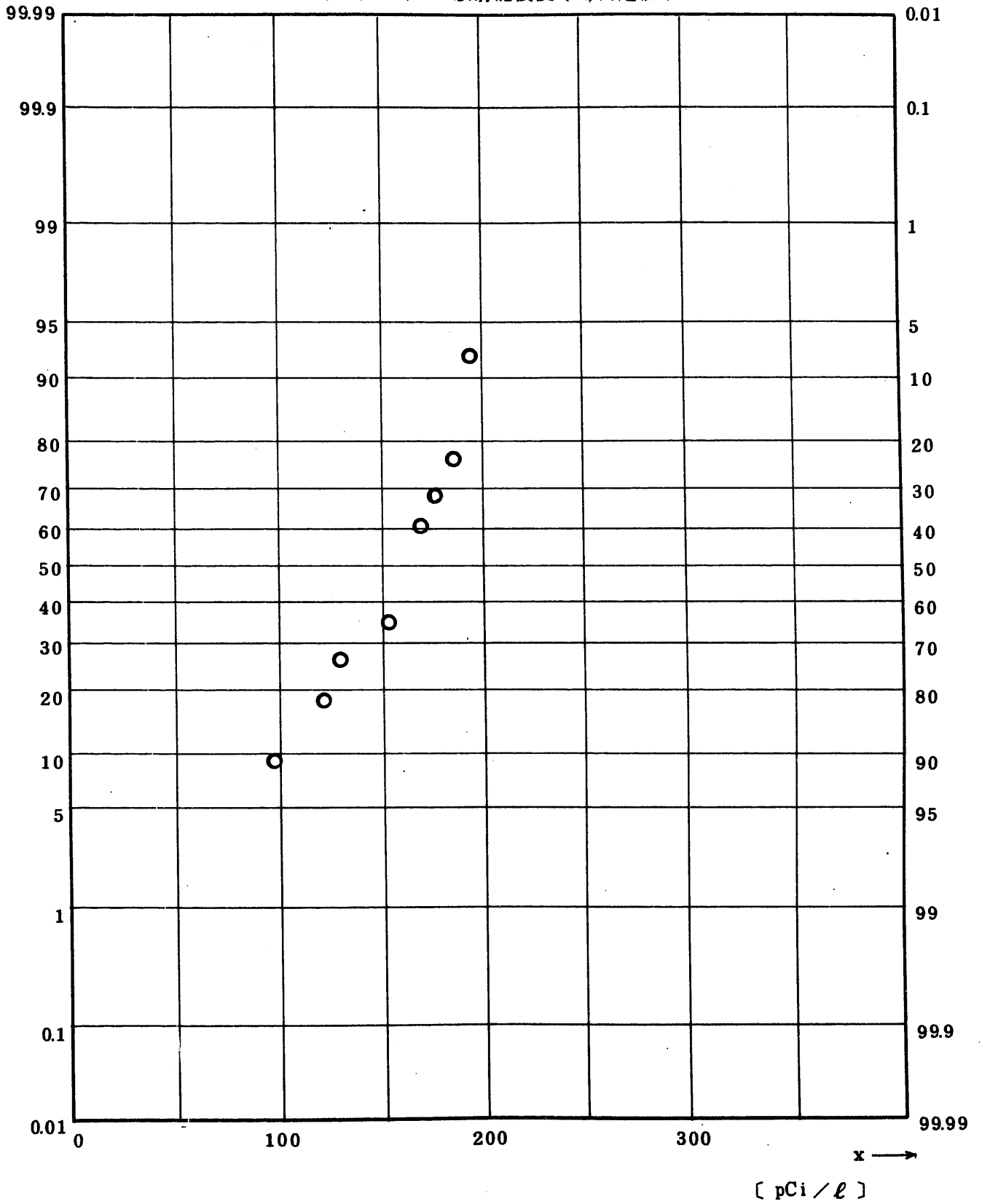


Fig. 6.1.1.1.1 Gross BETA Concentration in Surface Soil (ALL)

(1 9 7 1 . 4 ~ 1 9 7 7 . 3)

図 6. 1. 1. 1. 1 表土中全β放射能濃度(全測定値)

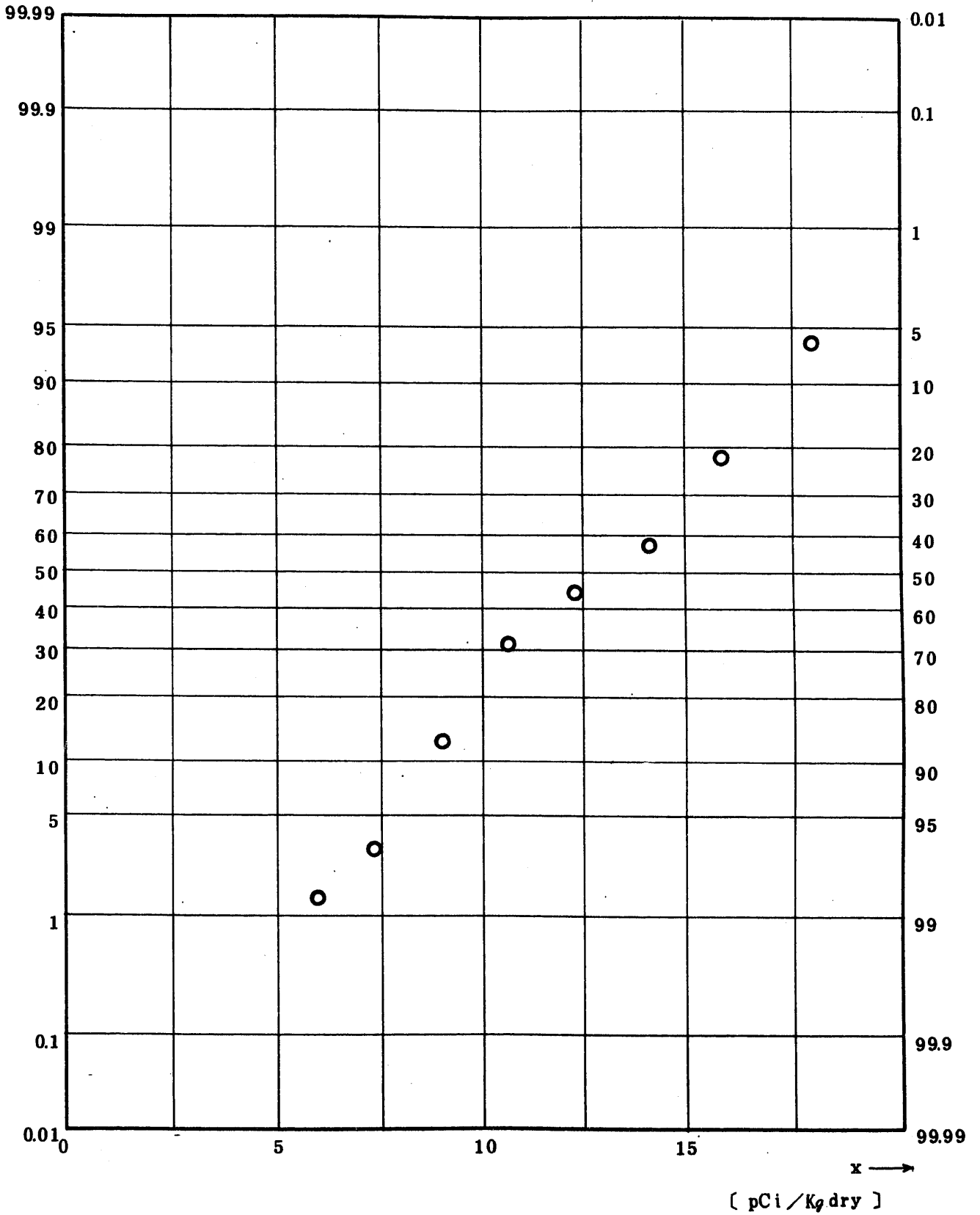


Fig. 6.1.1.2.1 ^{90}Sr Concentration in Surface Soil (ALL)

(1973.5 ~ 1977.3)

図 6.1.1.2.1 表土中 ^{90}Sr 放射能濃度(全測定値)

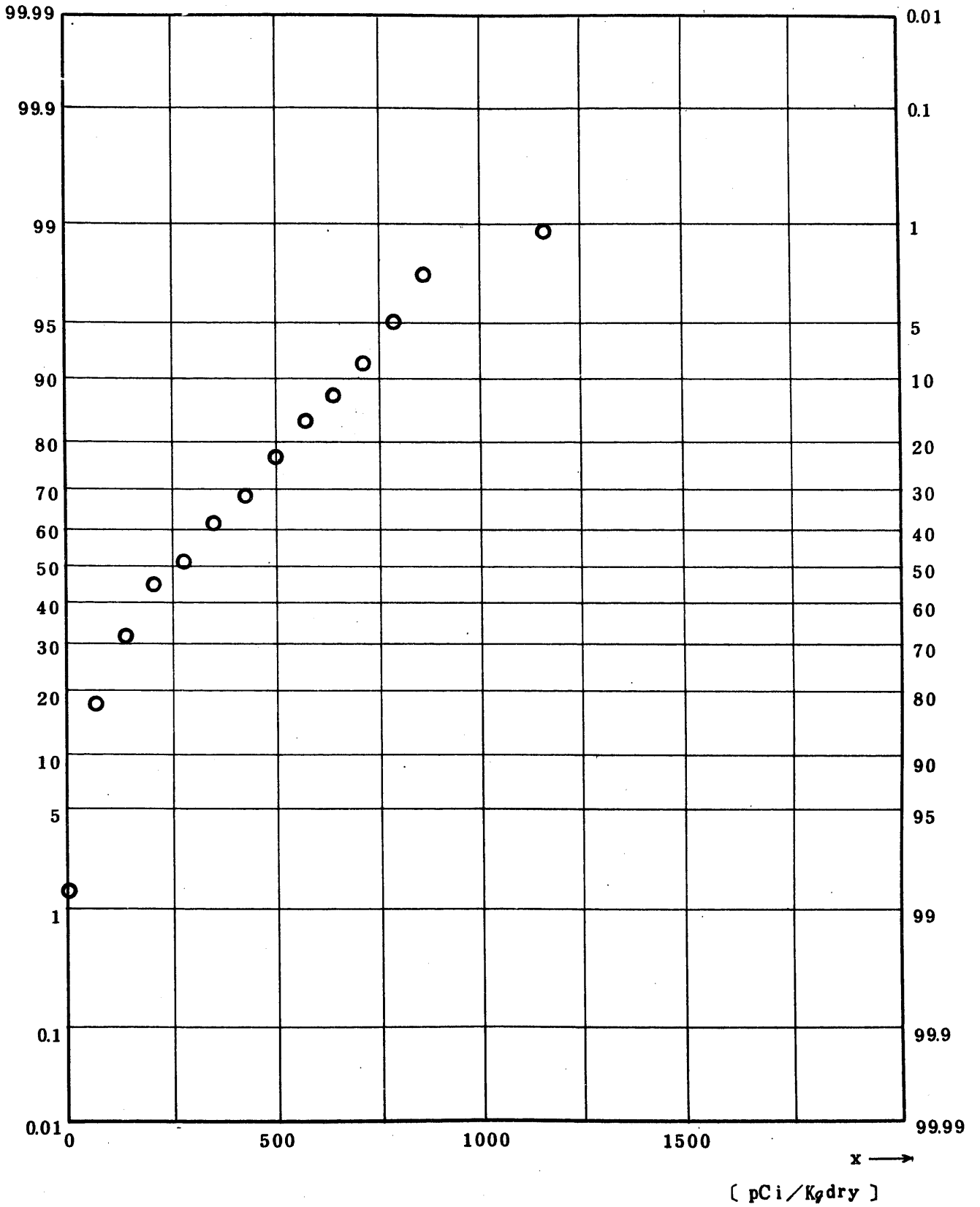


Fig. 6.1.1.1.3.1 ^{137}Cs Concentration in Surface Soil (ALL)

(1973.5 ~ 1977.3)

図 6.1.1.1.3.1 表土中 ^{137}Cs 放射能濃度 (全測定値)

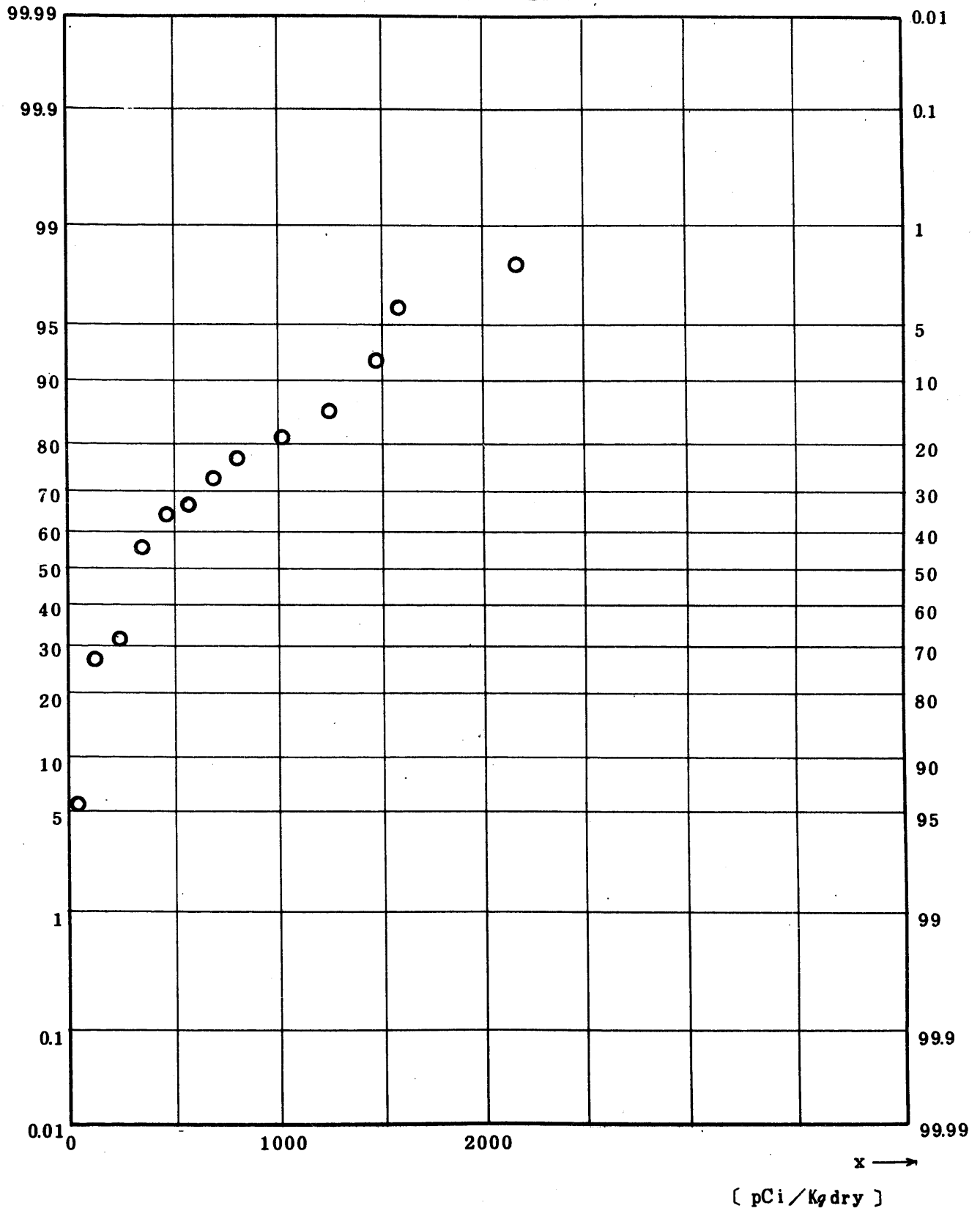


Fig. 6.1.1.1.3.2 ^{137}Cs Concentration in Surface Soil (ALL)

(1973.5 ~ 1977.3)

图 6.1.1.1.3.2 表土中 ^{137}Cs 放射能濃度 (全測定値)

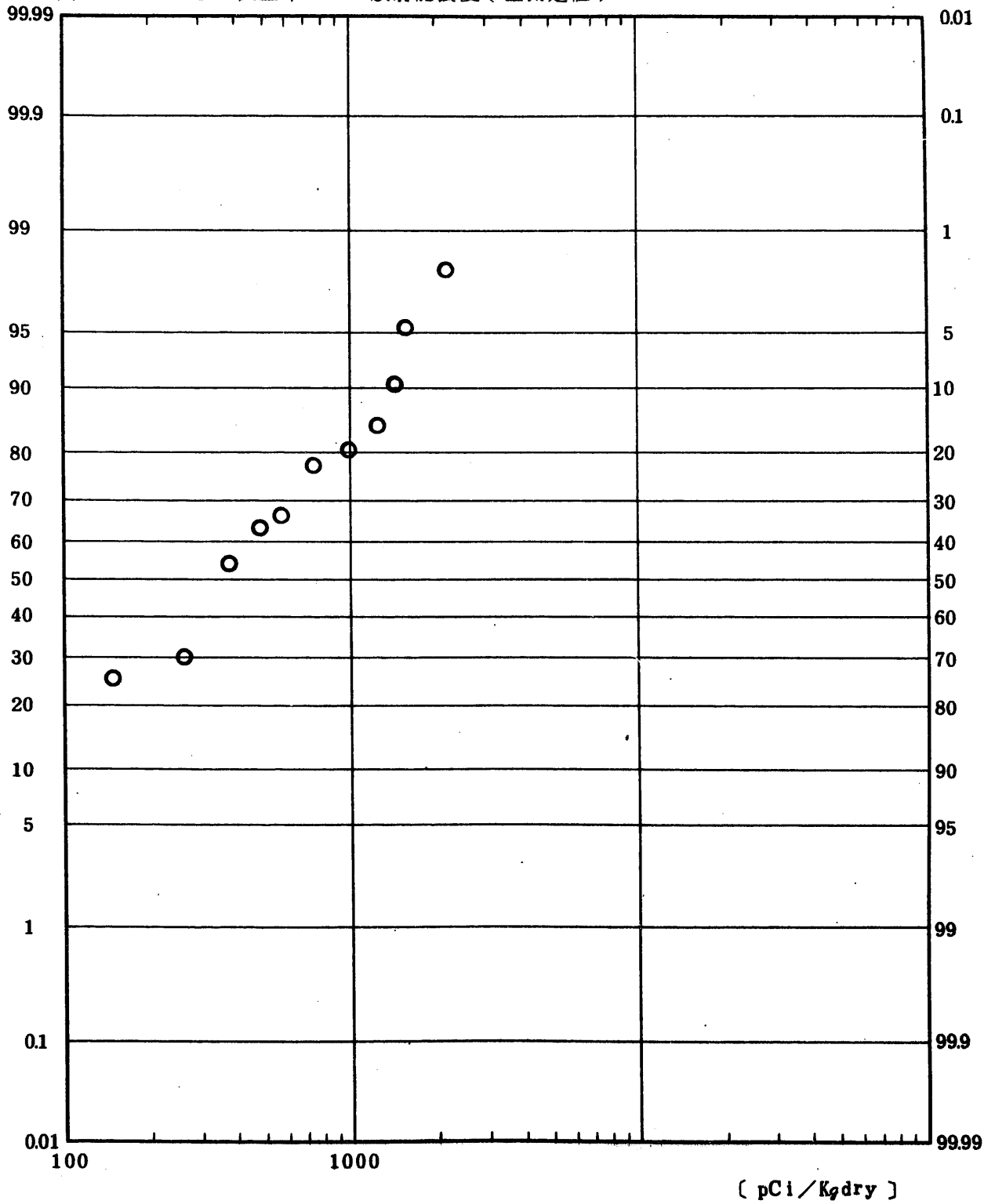


Fig. 6.1.1.1.4.1 $^{239}\text{Pu} + ^{240}\text{Pu}$ Concentration in Surface Soil (ALL)

(1973.5 ~ 1977.3)

图 6.1.1.1.4.1 表土中 $^{239}, ^{240}\text{Pu}$ 放射能濃度 (全測定値)

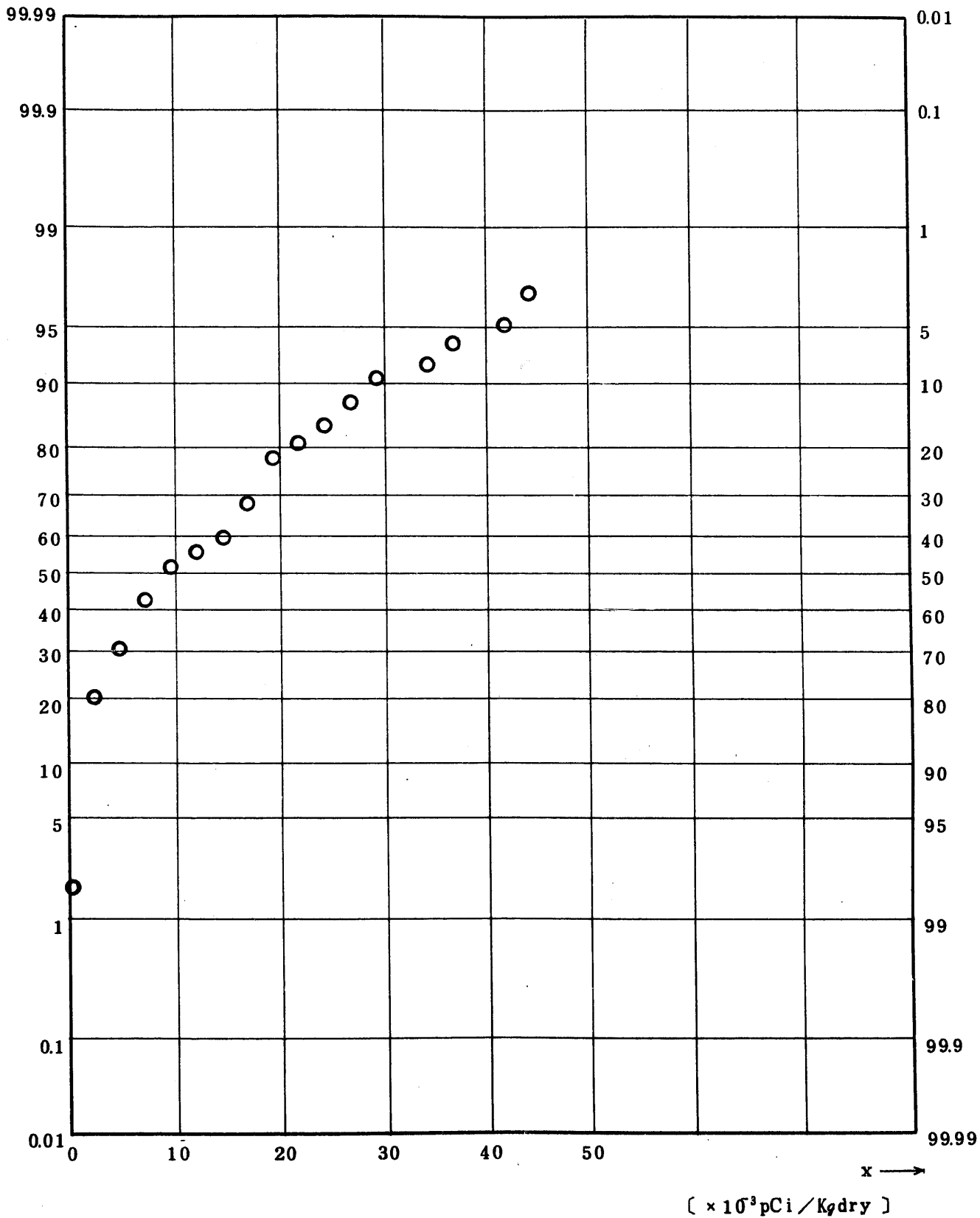


Fig. 6.1.1.4.2 $^{239}\text{Pu} + ^{240}\text{Pu}$ Concentration in Surface Soil (ALL)

(1973.5 ~ 1977.3)

図 6.1.1.4.2 表土中 $^{239,240}\text{Pu}$ 放射能濃度 (全測定値)

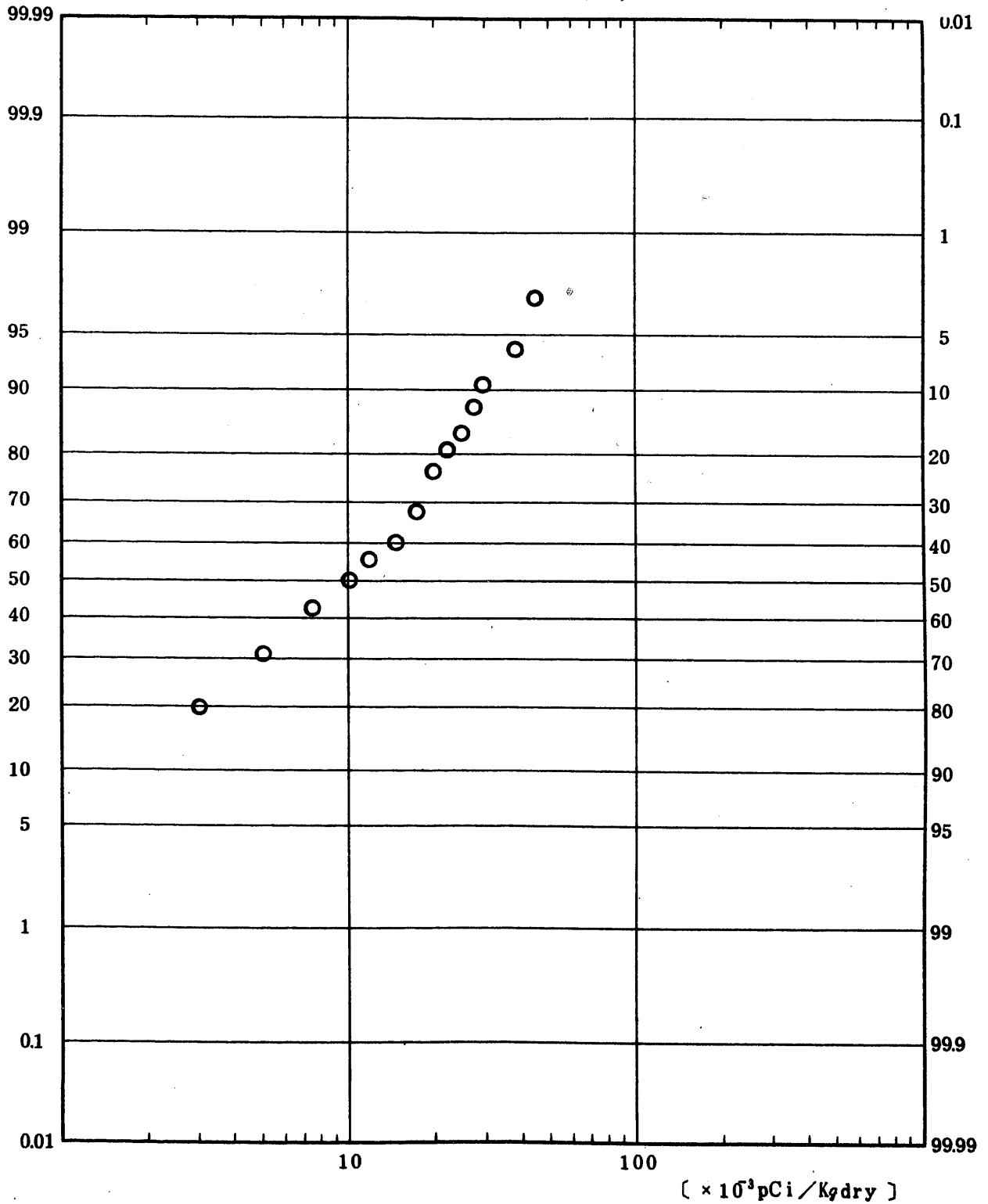


Fig. 6.1.2.0.1.1 Gross BETA Concentration in Surface Soil (USUAL)
 (1 9 7 3 . 5 ~ 1 9 7 7 . 3)

図 6.1.2.0.1.1 表土中全β放射能濃度(平常値)

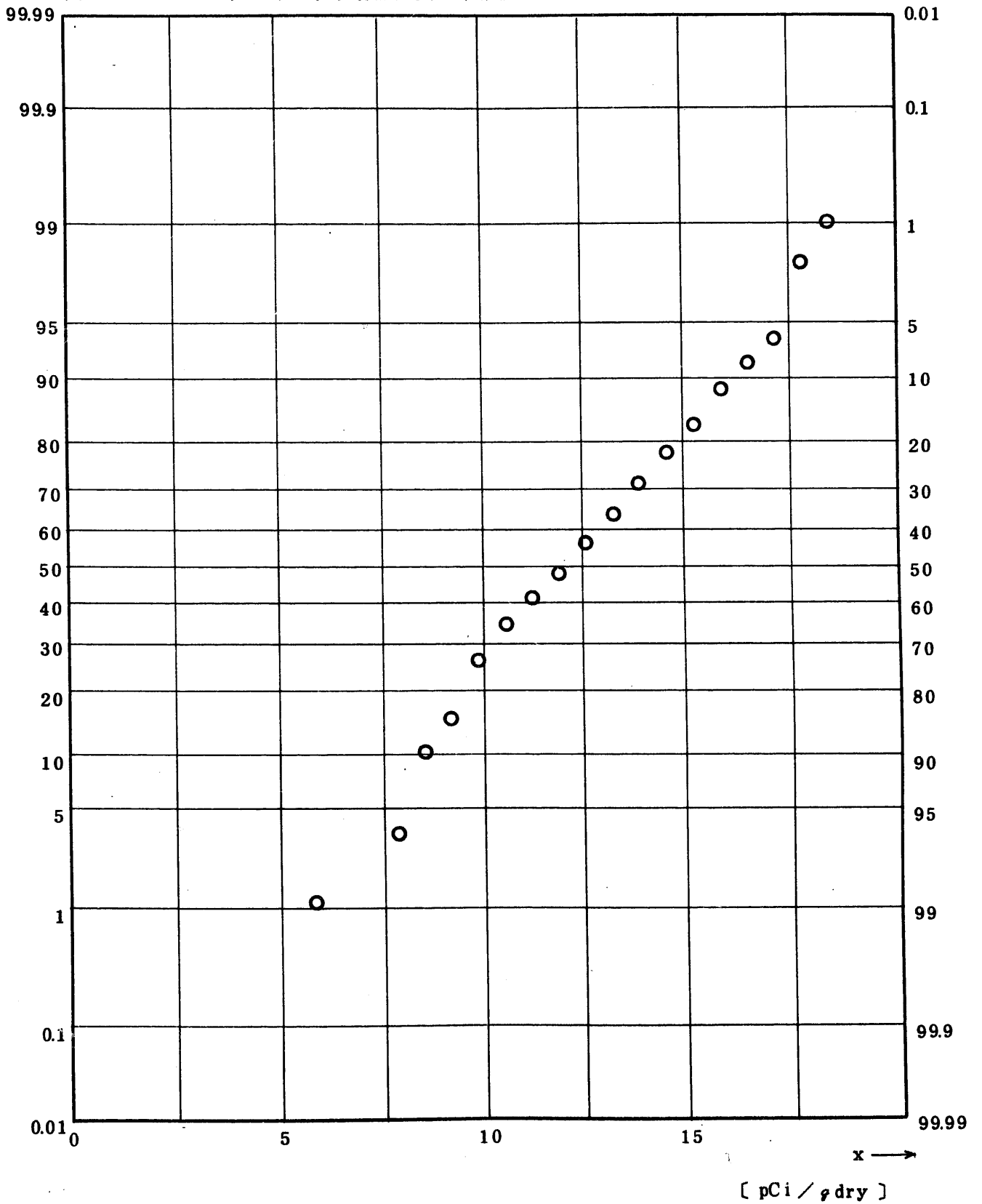


Fig. 6.1.2.0.21 ⁹⁰Sr Concentration in Surface Soil (USUAL)

(1973.5 ~ 1977.3)

图 6.1.2.0.21 表土中 ⁹⁰Sr 放射能濃度 (平常值)

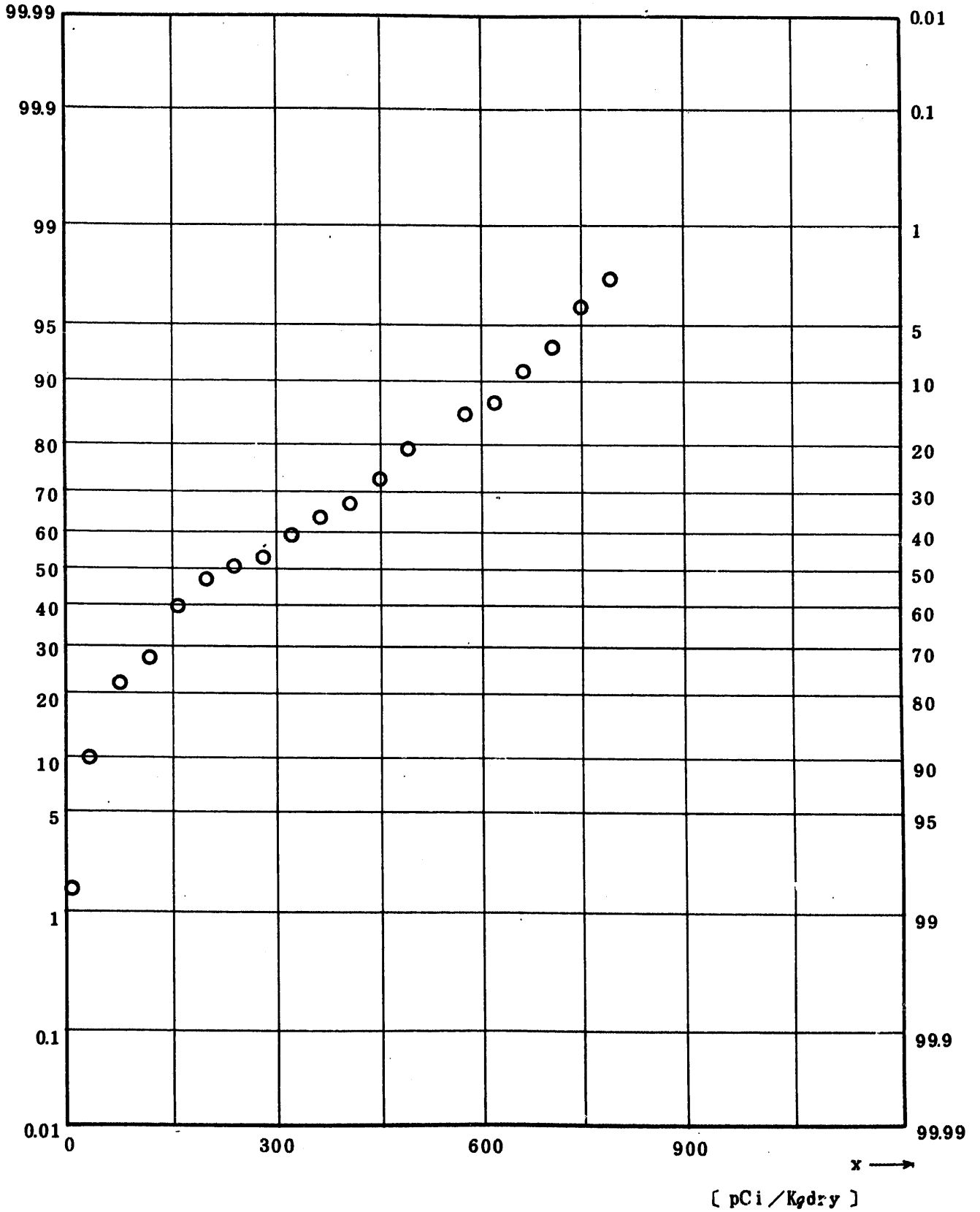


Fig. 6.1.2.0.22 ⁹⁰Sr Concentration in Surface Soil (USUAL)

(1973.5 ~ 1977.3)

図 6.1.2.0.2.2 表土中⁹⁰Sr放射能濃度(平常値)

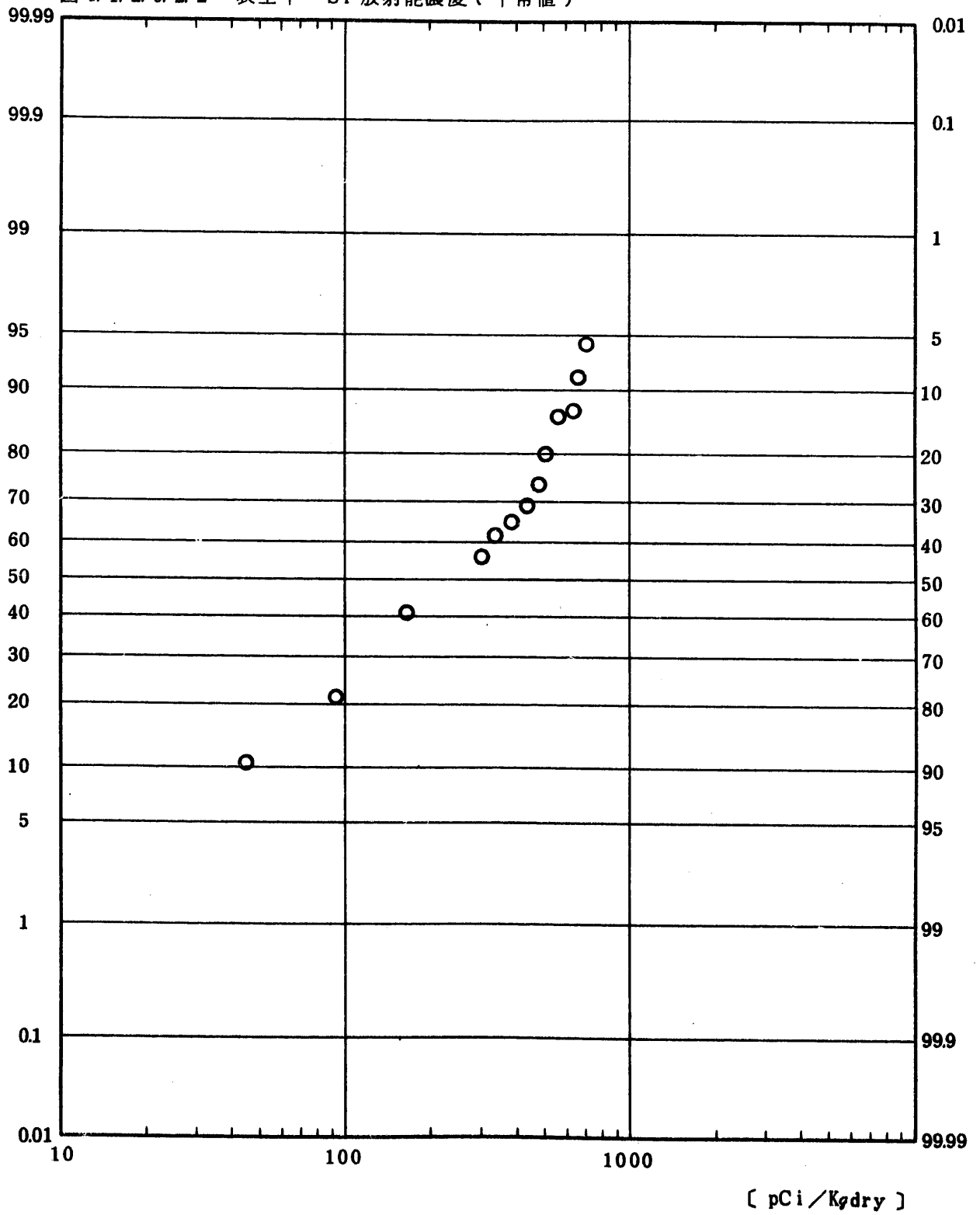


Fig. 6.1.20.1.3 ^{137}Cs Concentration in Surface Soil (USUAL)
(1973.5 ~ 1977.3)

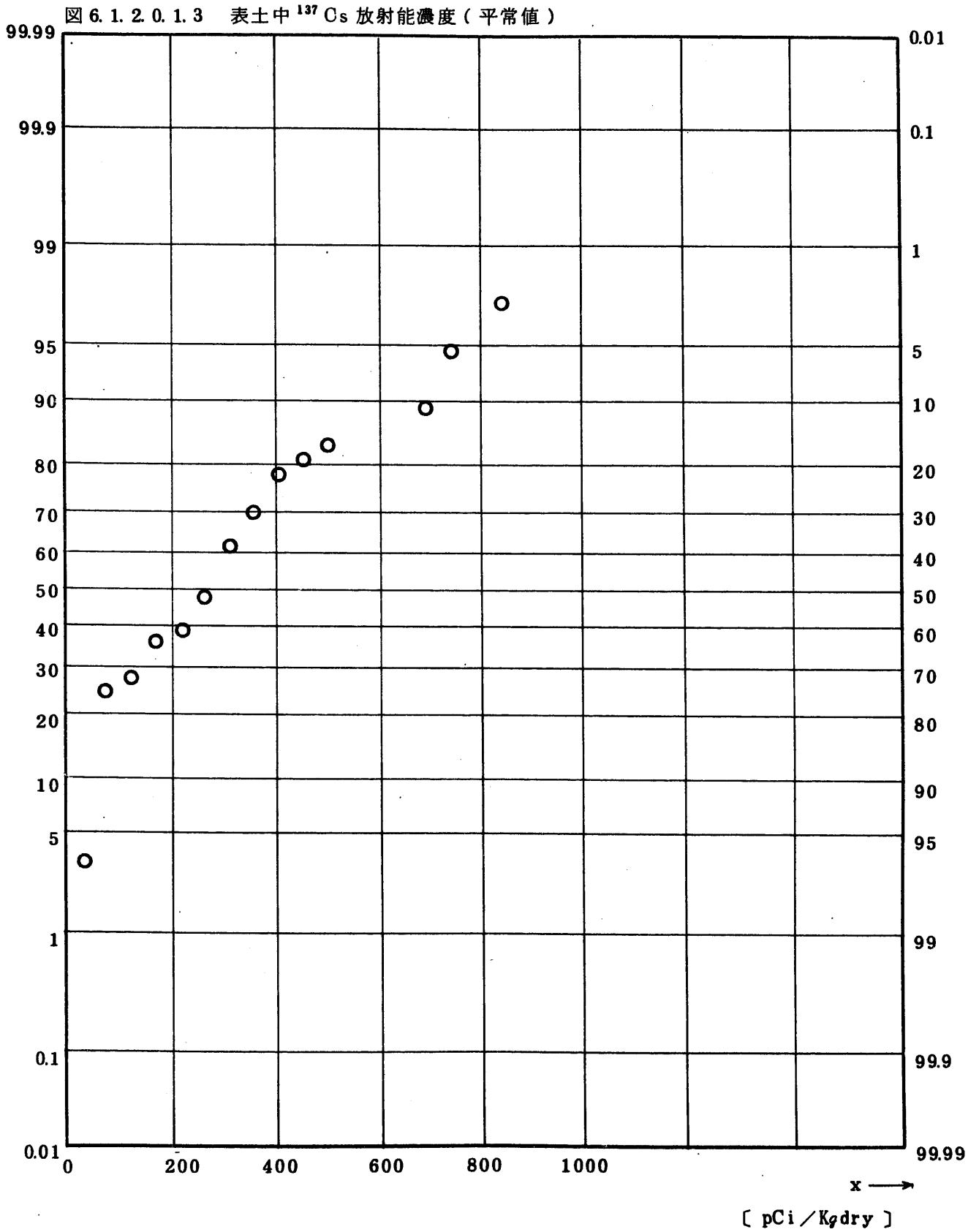


Fig. 6.1.2.0.1.4 $^{239}\text{Pu} + ^{240}\text{Pu}$ Concentration in Surface Soil (USUAL)

(1973.5 ~ 1977.3)

图 6.1.2.0.1.4 表土中 $^{239}, ^{240}\text{Pu}$ 放射能濃度 (平常值)

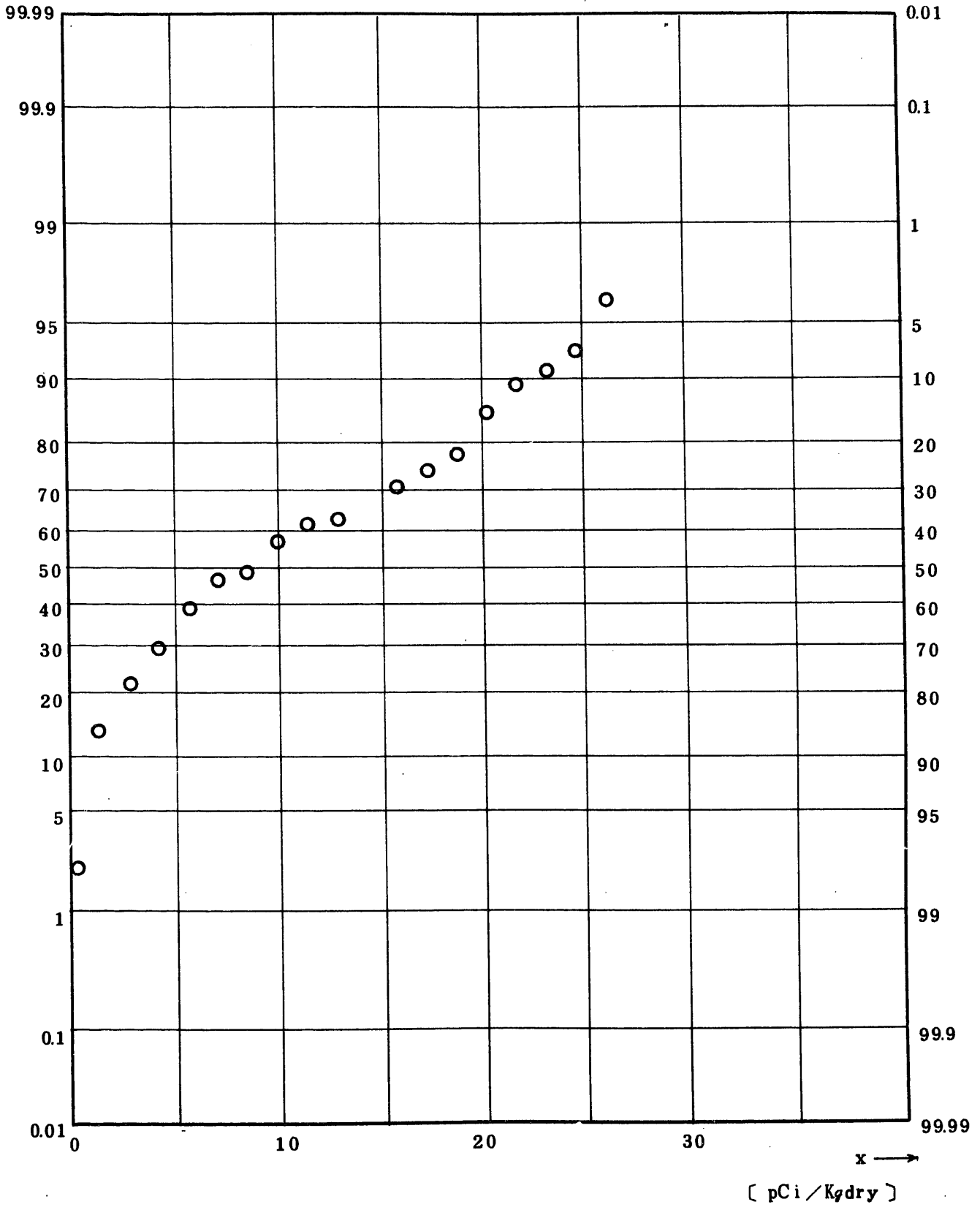


Fig. 6.2.1.0.1.1 Gross BETA Concentration in River Sediment (ALL)

(1 9 7 1 . 4 ~ 1 9 7 7 . 1)

图 6.2.1.0.1.1 河底土中全β放射能濃度(全測定値)

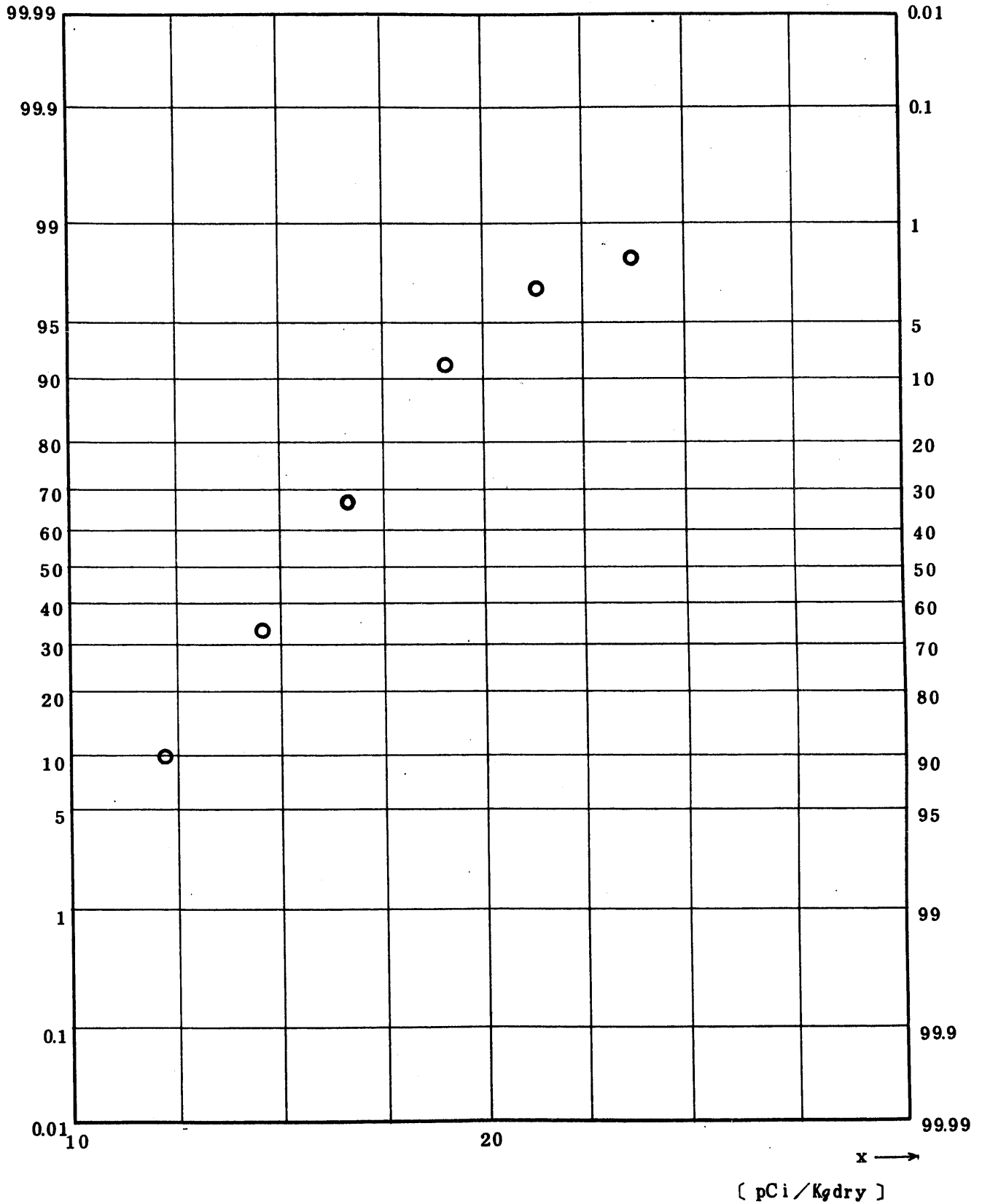


Fig. 7.1.0.1.1.1 Gross BETA Concentration in Vegetation (ALL)

(1973.7 ~ 1977.7)

図 7.1.0.1.1.1.1 野菜中全β放射能濃度(全測定値)

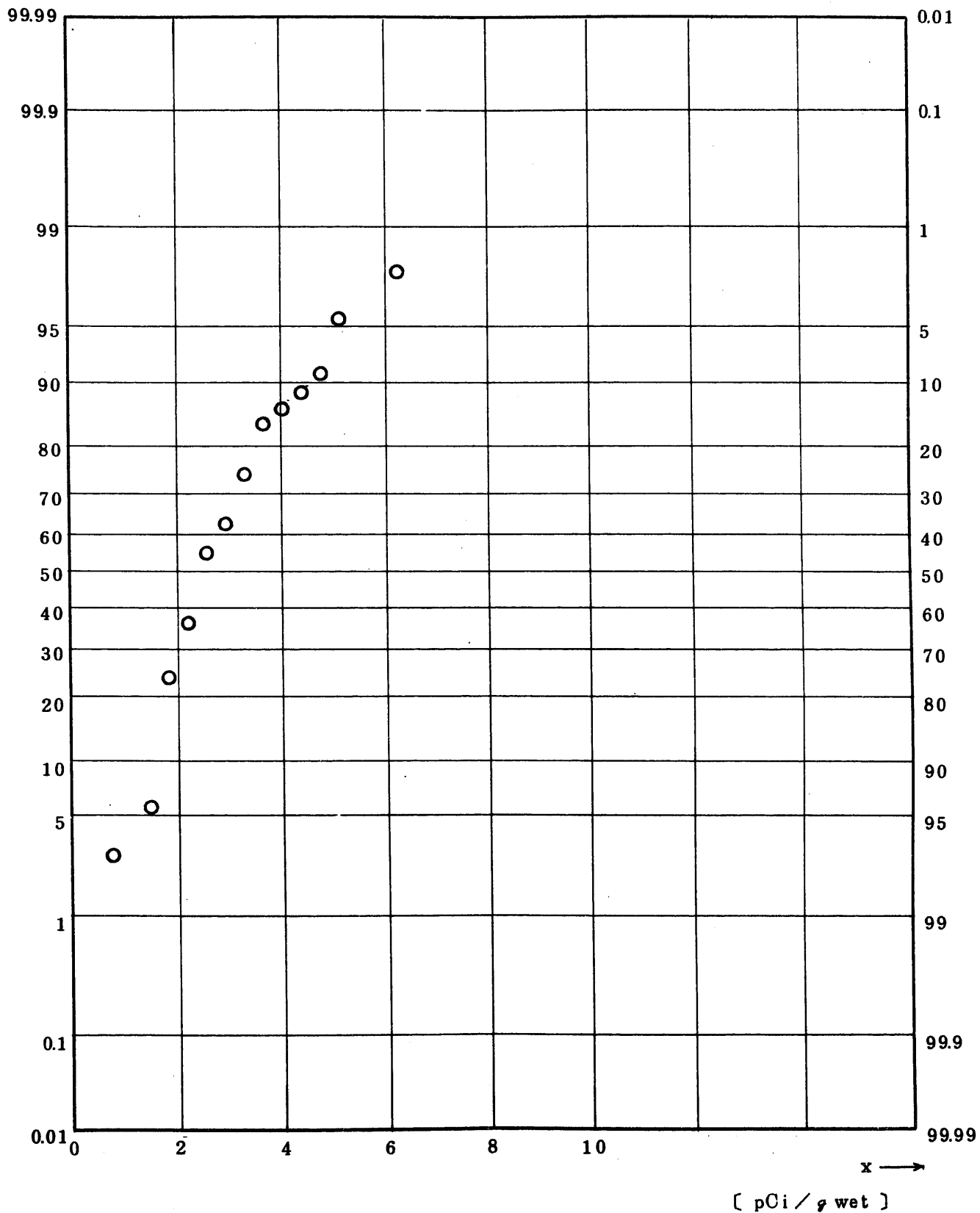


Fig. 7.1.1.2.1.1 Gross BETA Concentration in Vegetation (ALL)

(1973.7 ~ 1977.3)

図 7.1.1.2.1.1 野菜中全β放射能濃度(全測定値)

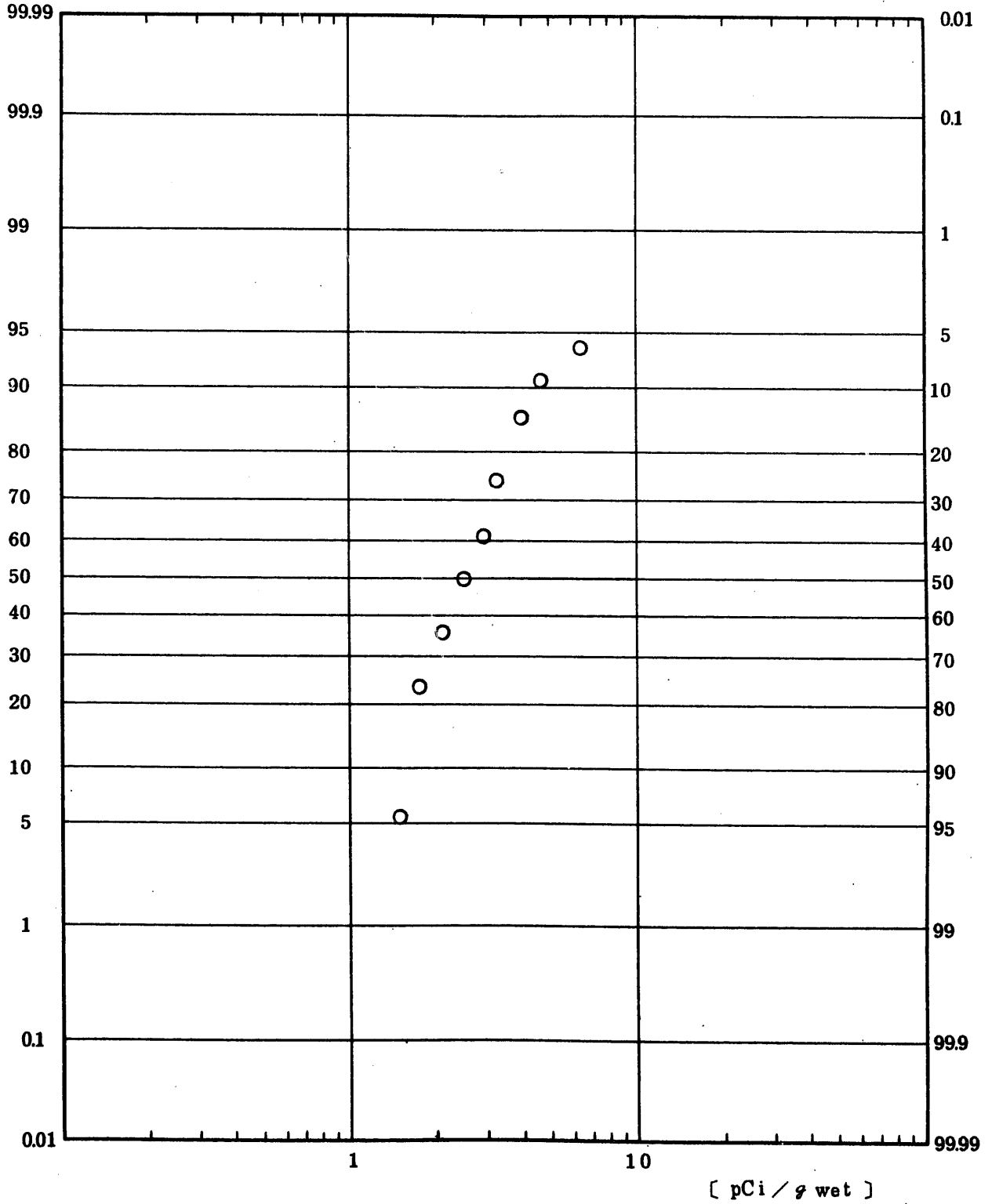


Fig. 7.1.0.1.1.2 ⁹⁰Sr Concentration in Vegetation (ALL)

(1973.7 ~ 1977.3)

図 7.1.0.1.1.2 野菜中 ⁹⁰Sr 放射能濃度 (全測定値)

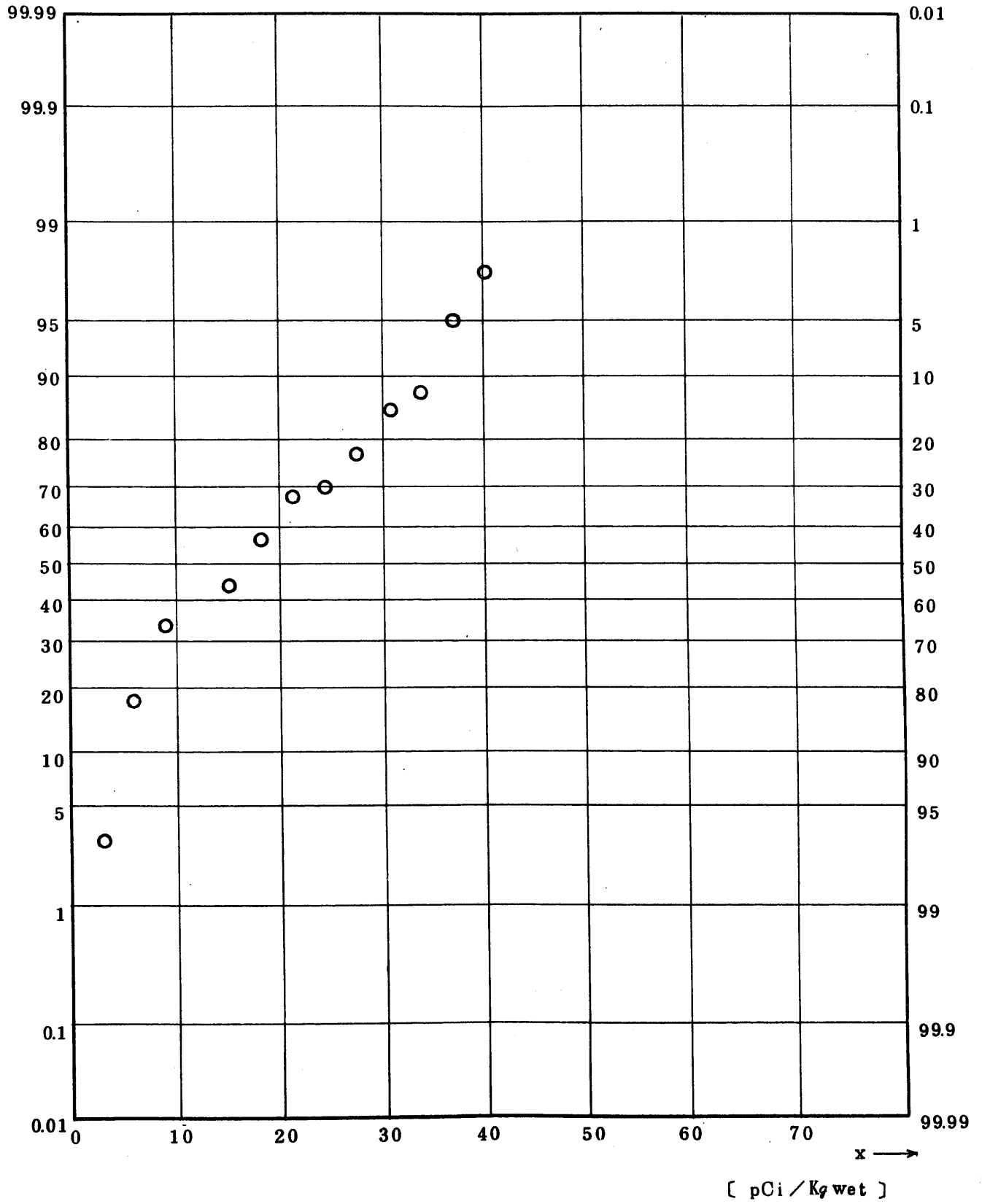


Fig. 7.1.0.1.1.6 ^{131}I Concentration in Vegetation (ALL)

(1973.7 ~ 1974.7)

図 7.1.0.1.1.6 野菜中 ^{131}I 放射能濃度 (全測定値)

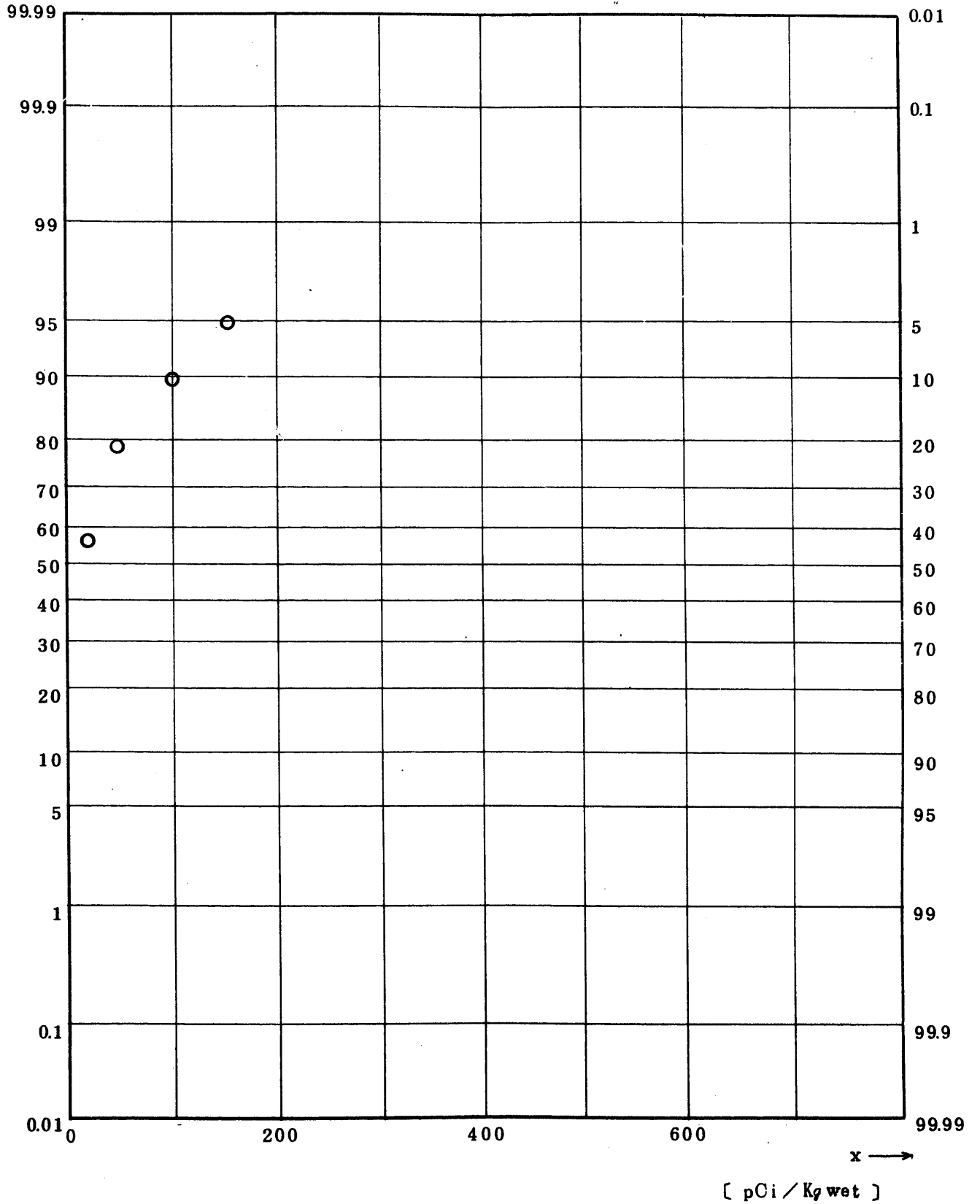


Fig. 7.1.0.1.1.7 ¹³⁷Cs Concentration in Vegetation (ALL)

(1973.7 ~ 1974.7)

図 7.1.0.1.1.7 野菜中 ¹³⁷Cs 放射能濃度 (全測定値)

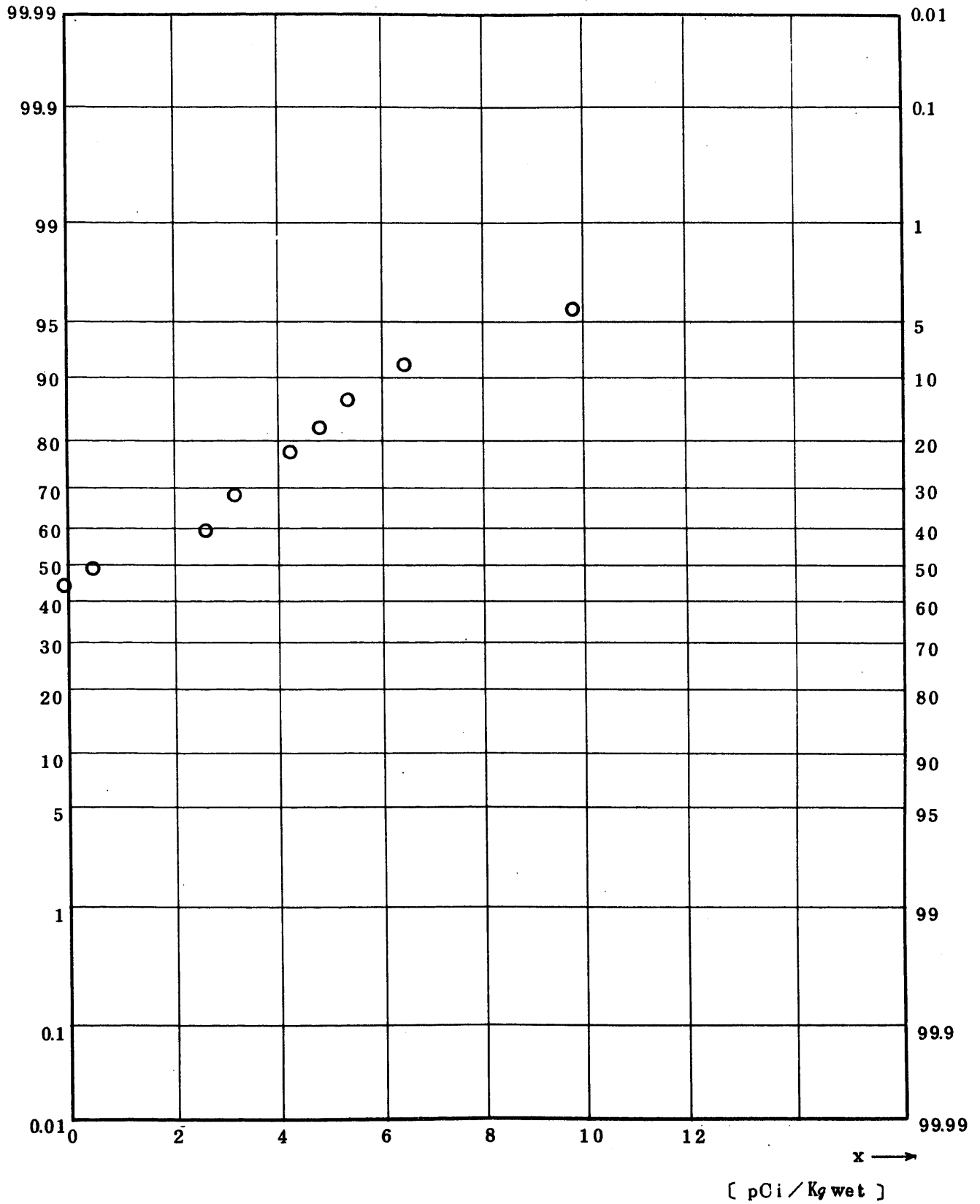


Fig. 7.1.0.1.1.9 $^{239}\text{Pu} + ^{240}\text{Pu}$ Concentration in Vegetation (ALL)

(1973.7 ~ 1974.7)

图 7.1.0.1.1.9 野菜中 $^{239,240}\text{Pu}$ 放射能濃度 (全測定値)

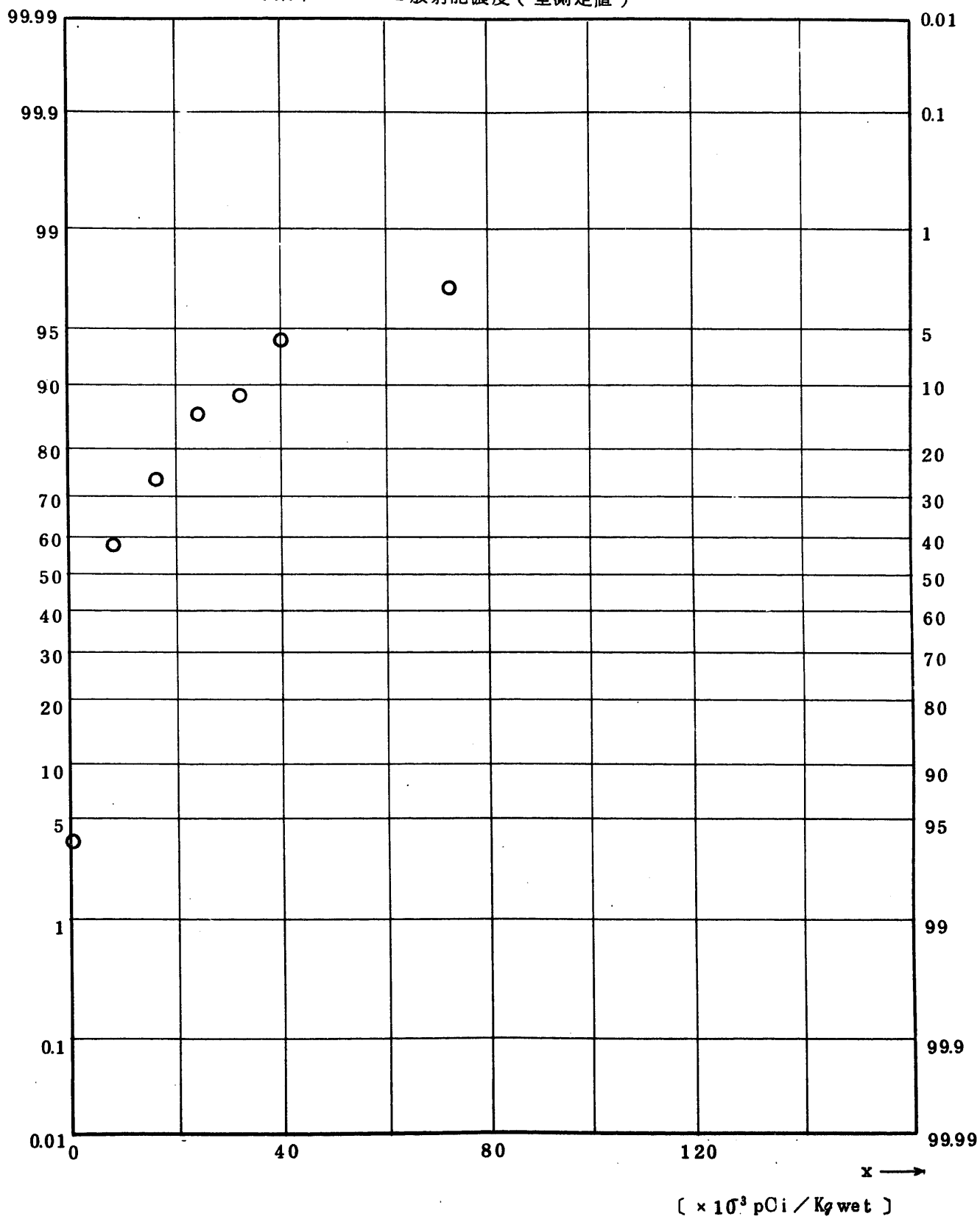


Fig. 7.1.0.1.2.1.9 $^{239}\text{Pu} + ^{240}\text{Pu}$ Concentration in Vegetation (ALL)

(1973.7 ~ 1977.3)

図 7.1.0.1.2.1.9 野菜中 $^{239}, ^{240}\text{Pu}$ 放射能濃度 (全測定値)

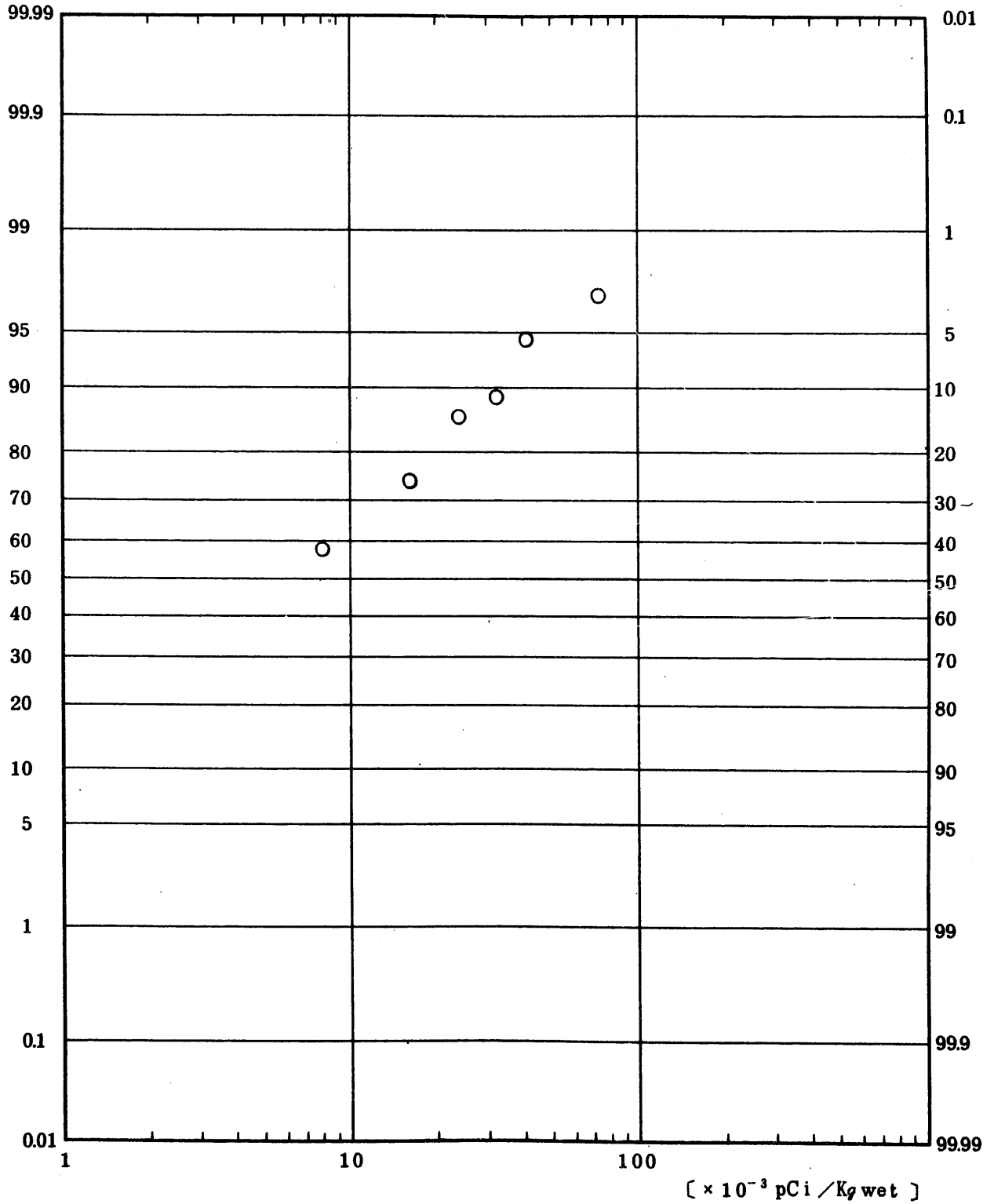


Fig. 7.1.0.2.1.1.1 Gross BETA Concentration in Vegetation (ALL)

(1973.7 ~ 1974.7)

図 7.1.0.2.1.1.1 野菜中全β放射能濃度(平常値)

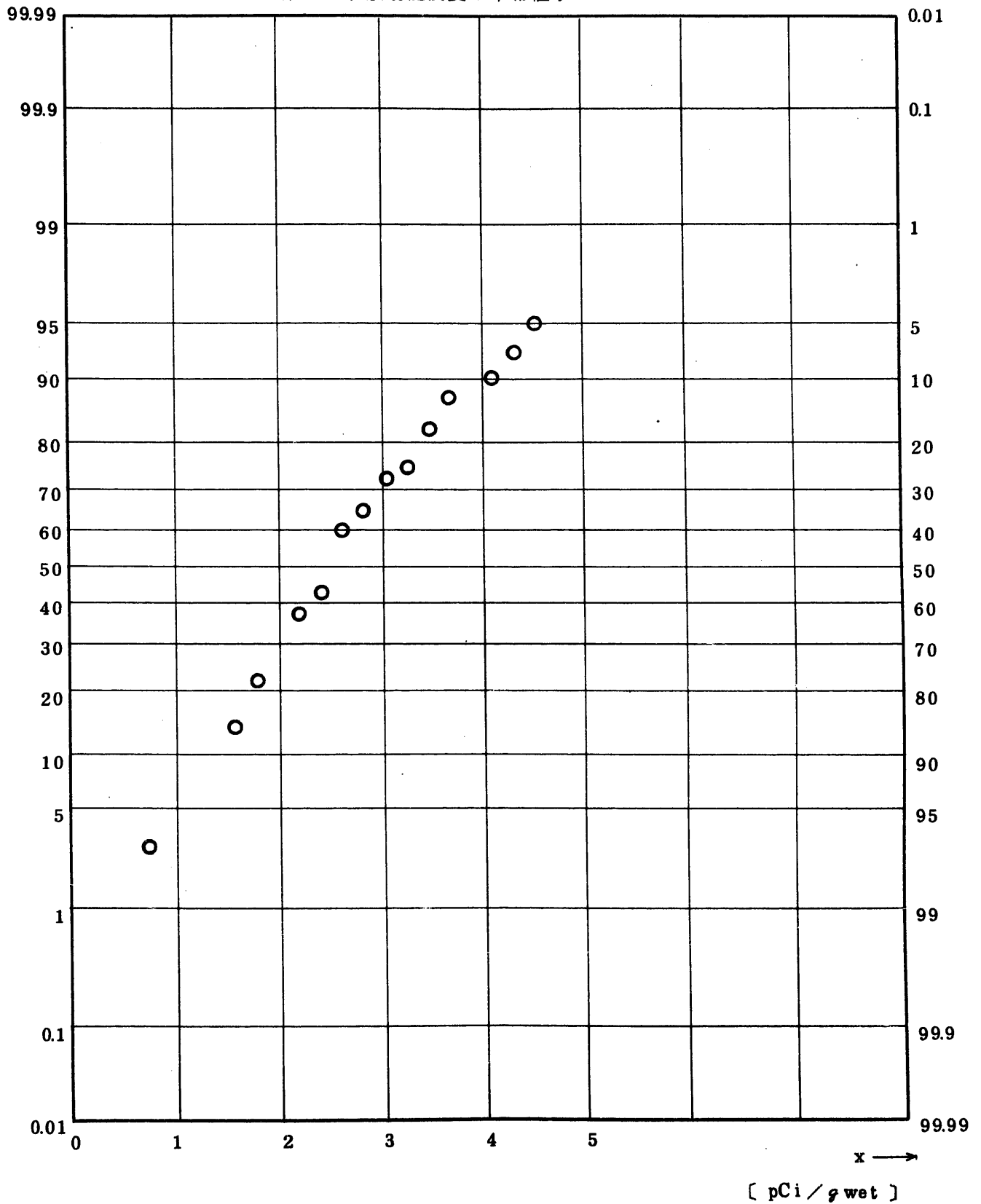


Fig. 7.1.0.2.1.2 ⁹⁰Sr Concentration in Vegetation (USUAL)

(1973.7 ~ 1974.7)

図 7.1.0.2.1.1.2 野菜中 ⁹⁰Sr 放射能濃度 (平常値)

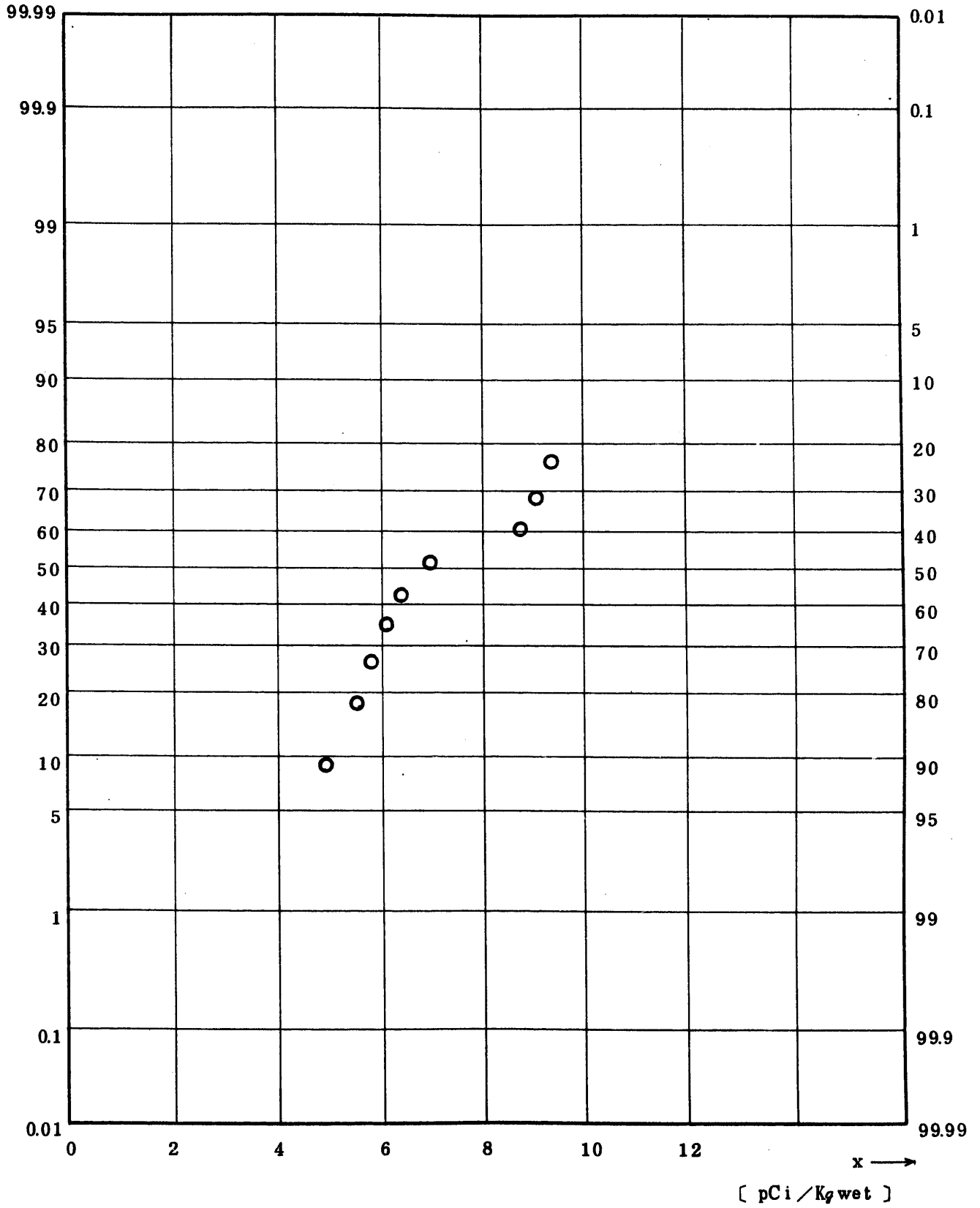


Fig. 7.1.0.2.1.1.7 ¹³⁷Cs Concentration in Vegetation (USUAL)

(1973.7 ~ 1974.7)

図 7.1.0.2.1.1.7 野菜中 ¹³⁷Cs 放射能濃度 (平常値)

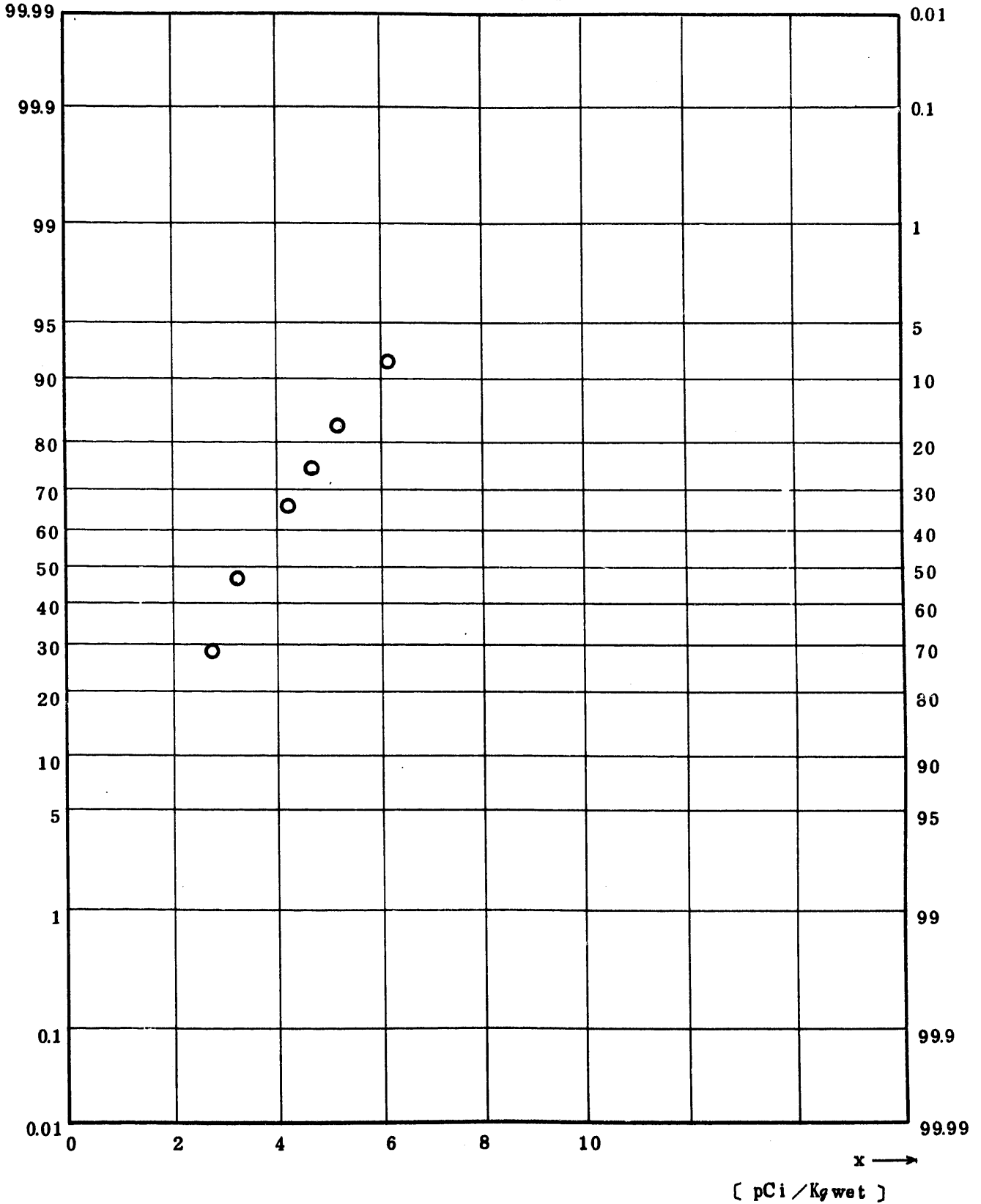


Fig. 7.1.0.2.1.1.9 $^{239}\text{Pu} + ^{240}\text{Pu}$ Concentration in Vegetation (USUAL)

(1973.7 ~ 1974.7)

图 7.1.0.2.1.1.9 野菜中 $^{239}, ^{240}\text{Pu}$ 放射能濃度 (平常值)

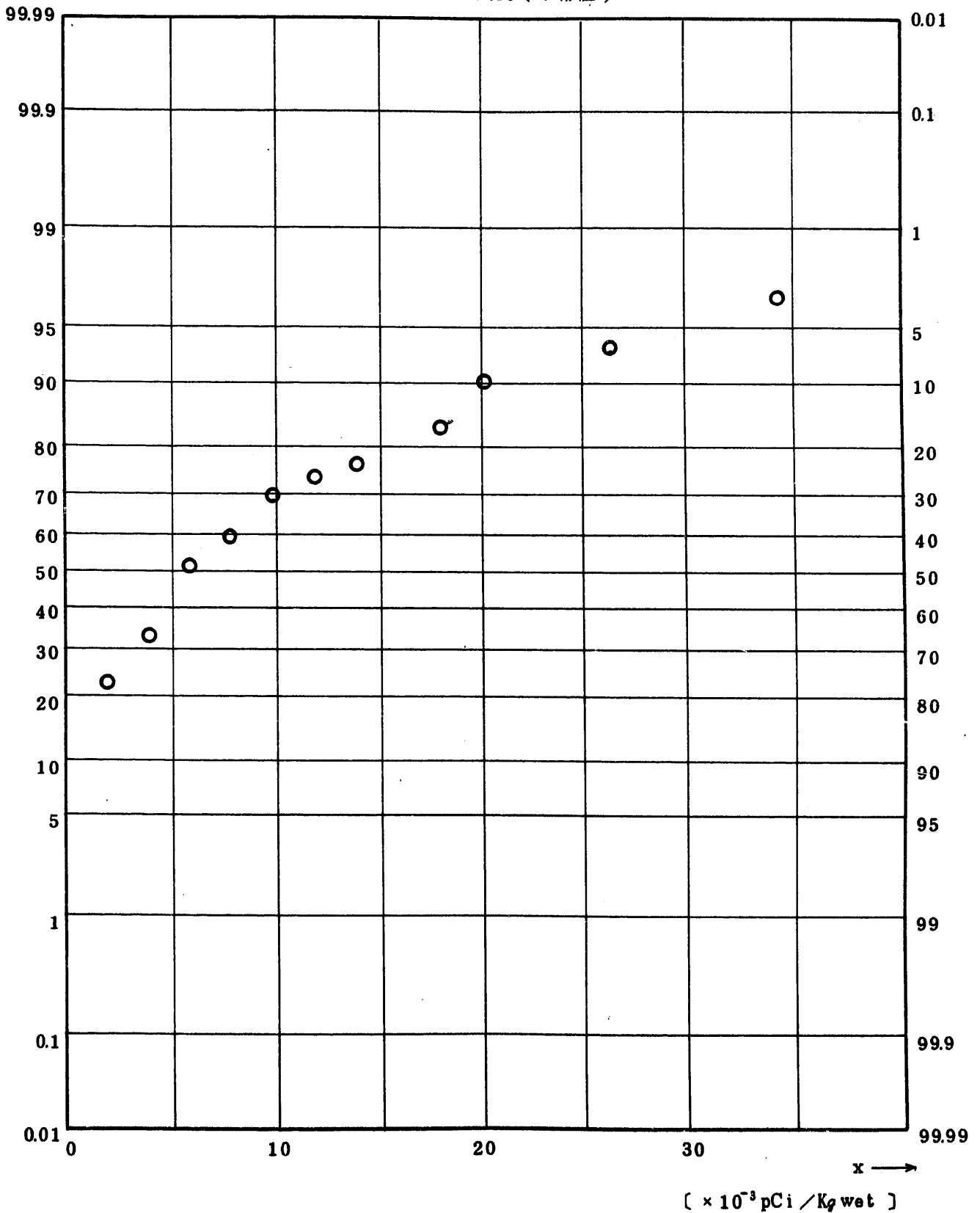


Fig. 7.1.0.2.2.1.9 $^{239}\text{Pu} + ^{240}\text{Pu}$ Concentration in Vegetation (USUAL)

(1973.7 ~ 1977.3)

図 7.1.0.2.2.1.9 野菜中 $^{239}, ^{240}\text{Pu}$ 放射能濃度 (平常値)

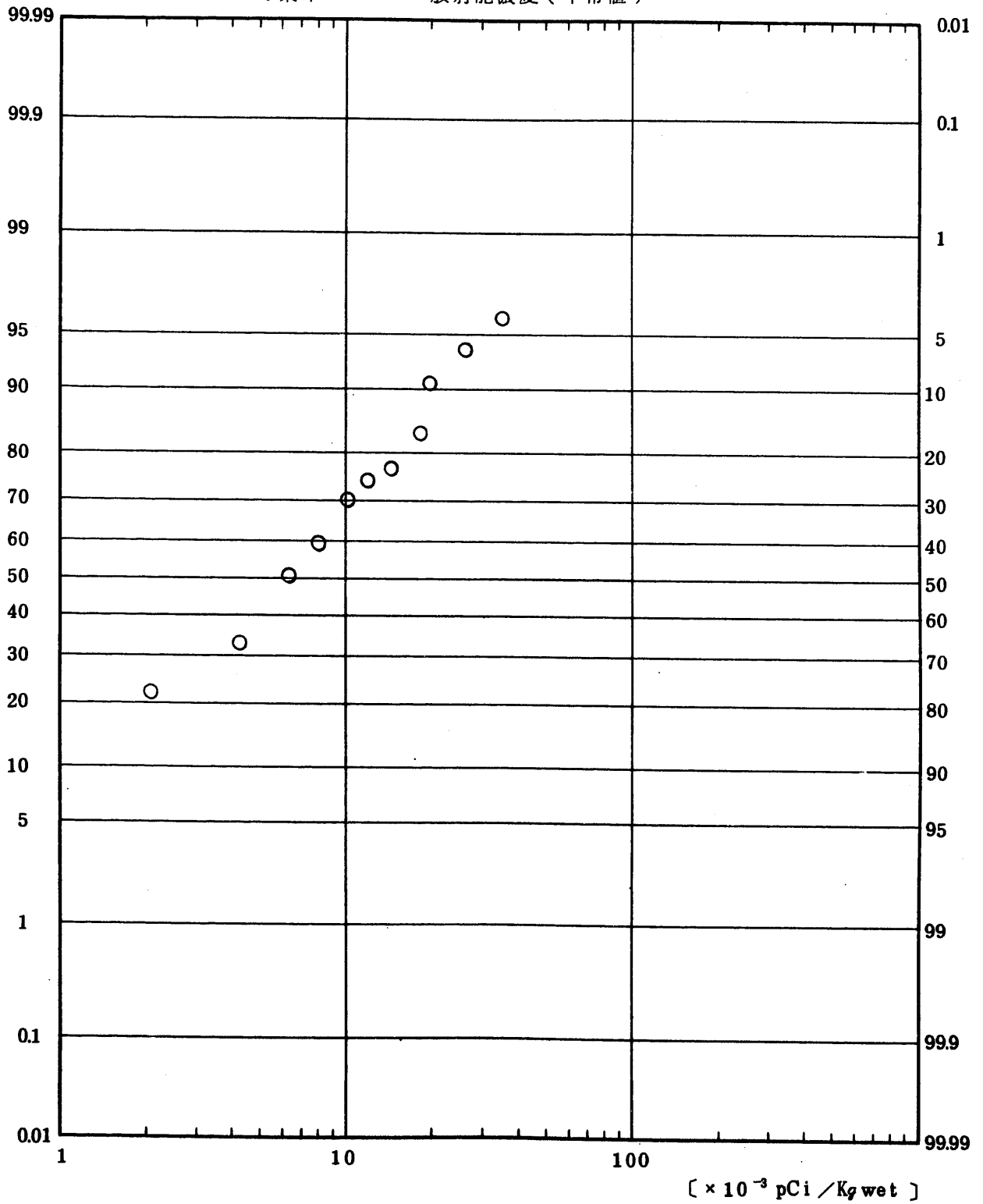


Fig. 7.2.0.1.1.1 Gross BETA Concentration in Pasture (ALL)
 (1973.7 ~ 1976.10)

图 7.2.0.1.1.1.1 牧草中全β放射能濃度(全測定值)

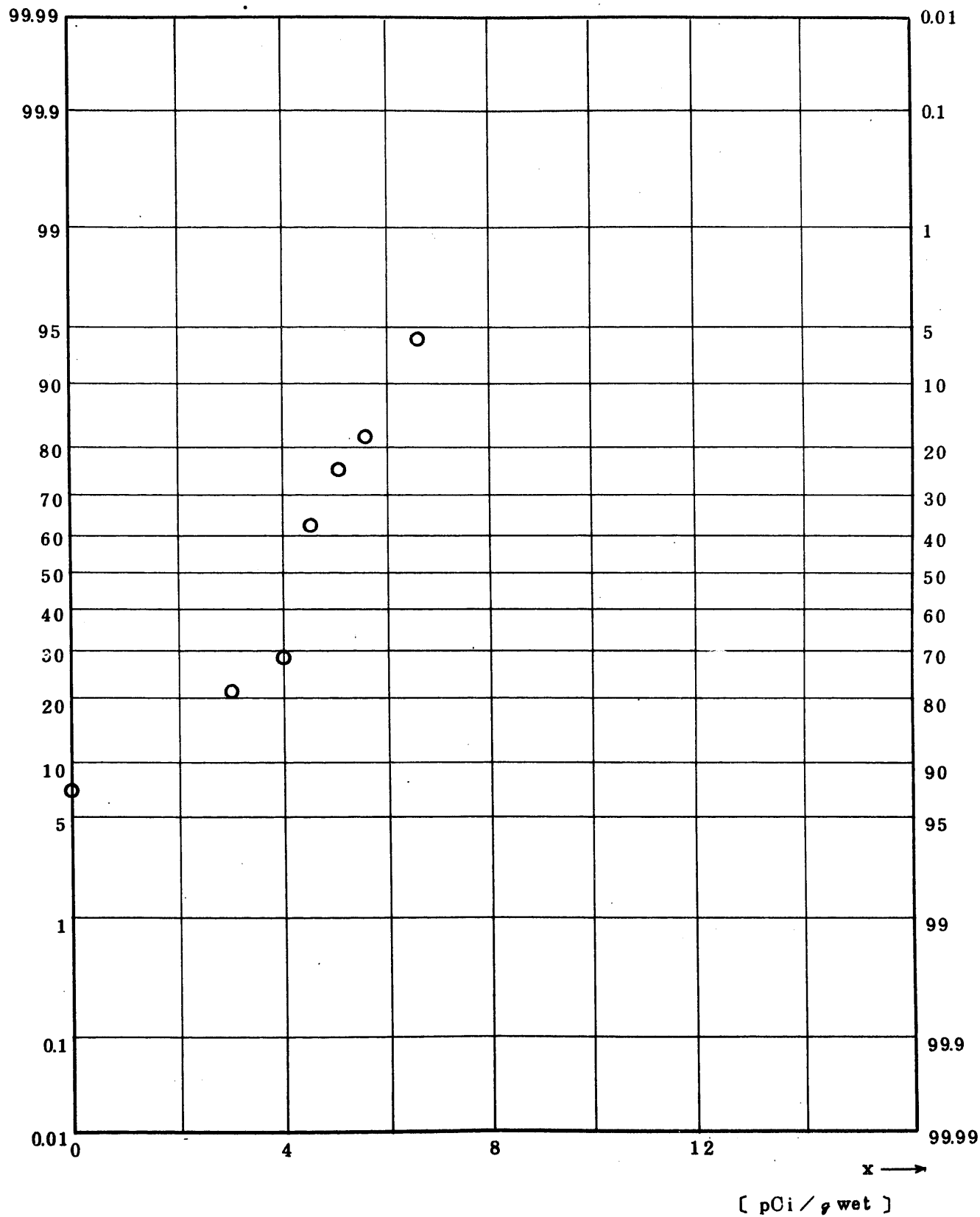


Fig. 7.2.0.1.1.2 ⁹⁰Sr Concentration in Pasture (ALL)

(1973.7 ~ 1976.10)

图 7.2.0.1.1.2 牧草中 ⁹⁰Sr 放射能浓度 (全测定值)

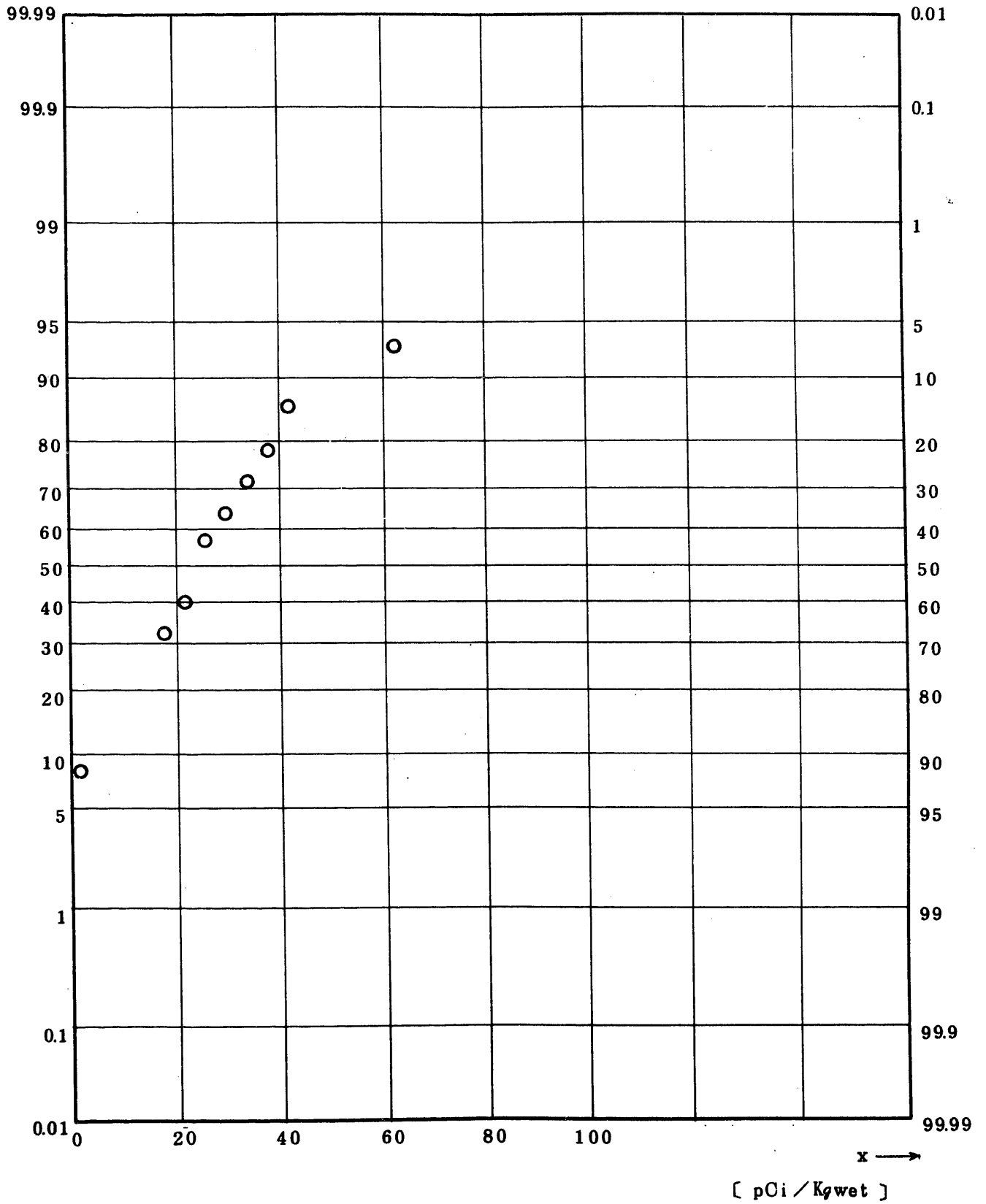


Fig. 7.2.0.1.1.6 ¹³¹I Concentration in Pasture (ALL)

(1973.7 ~ 1976.10)

图 7.2.0.1.1.6 牧草中 ¹³¹I 放射能浓度 (全测定值)

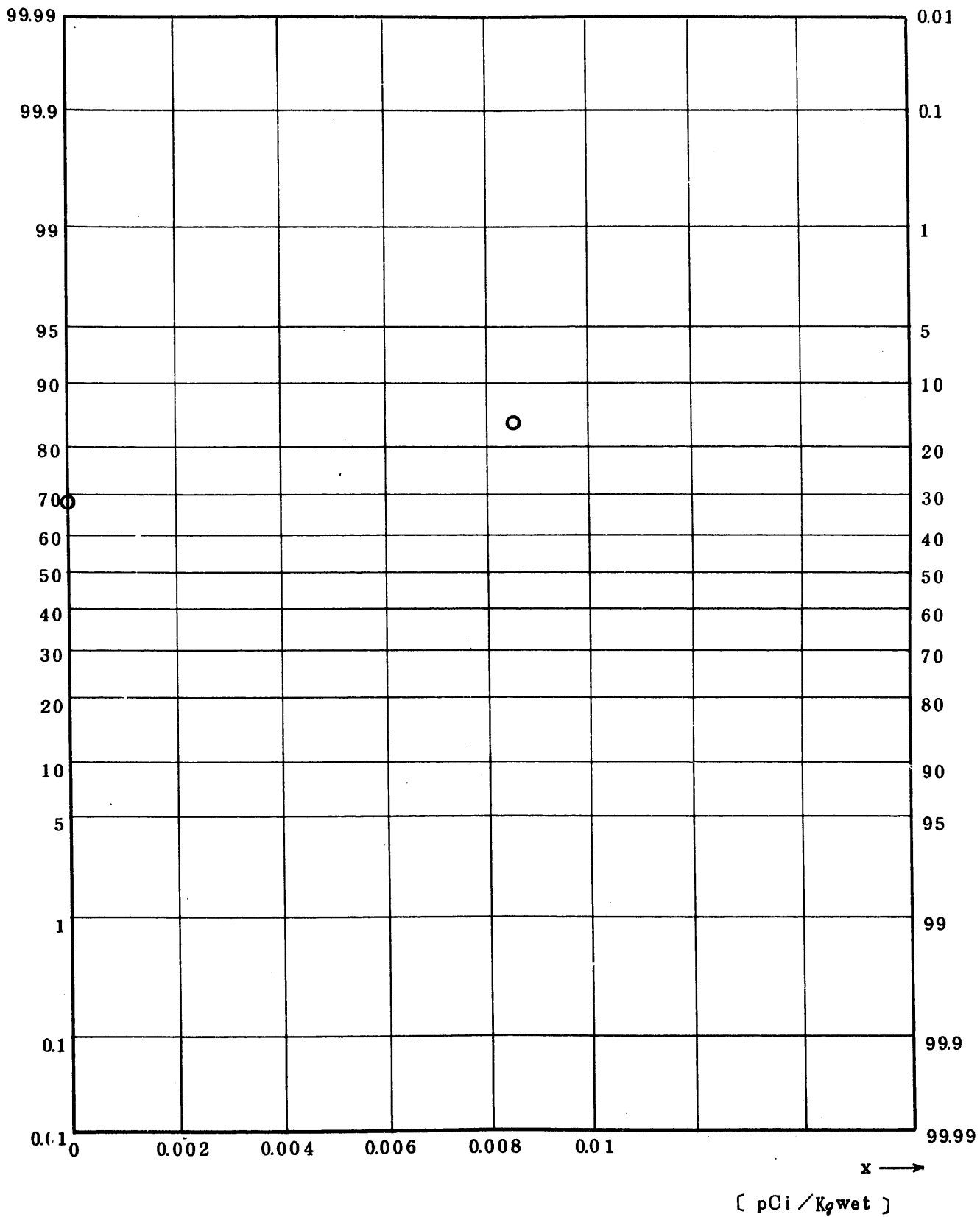


Fig. 7.2.0.1.1.7 ^{137}Cs Concentration in Pasture (ALL)

(1973.7 ~ 1976.10)

图 7.2.0.1.1.7 牧草中 ^{137}Cs 放射能浓度 (全测定值)

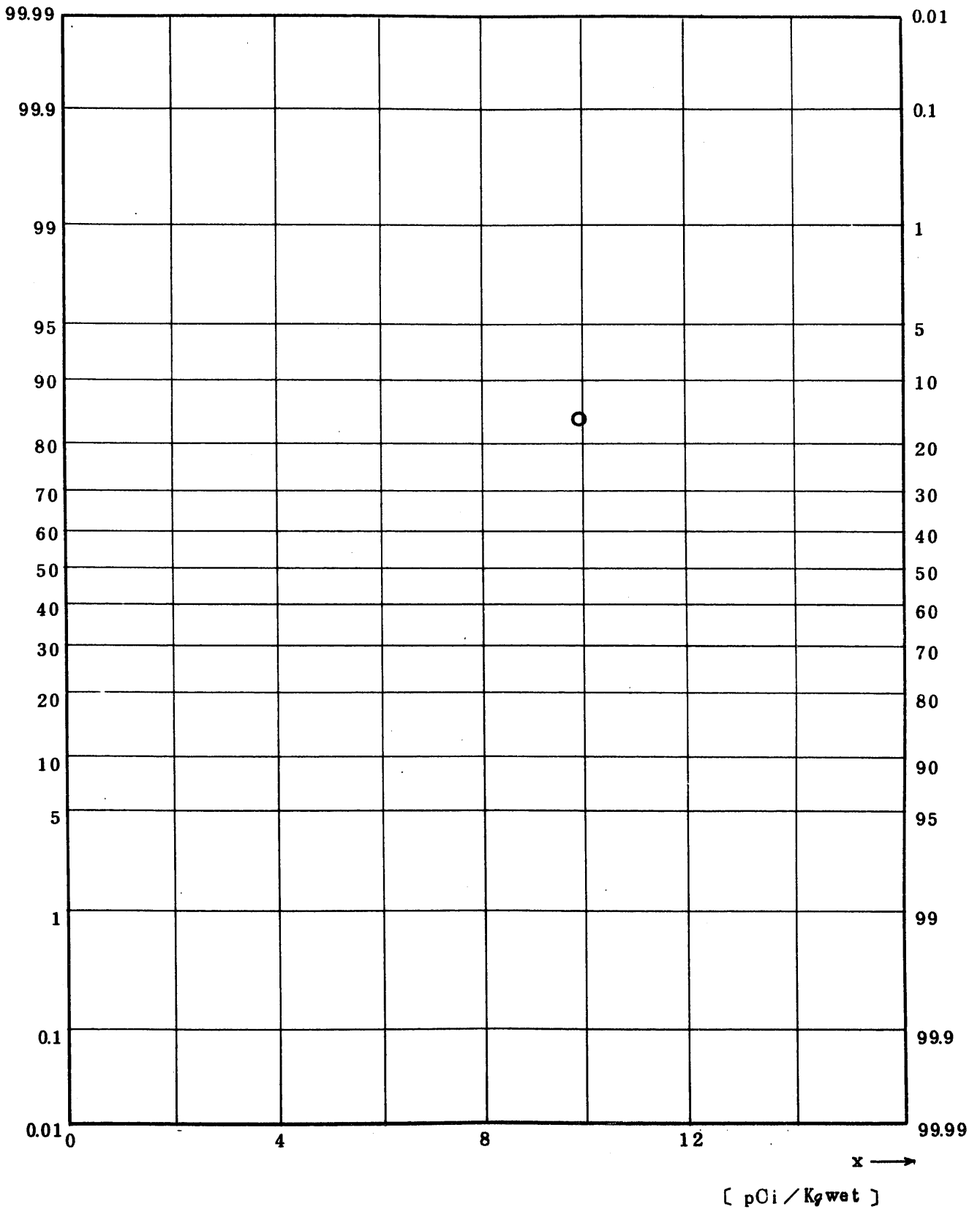


Fig. 7.2.0.1.1.9 $^{239}\text{Pu} + ^{240}\text{Pu}$ Concentration in Pasture (ALL)

(1973.7 ~ 1976.10)

图 7.2.0.1.1.1.9 牧草中 $^{239,240}\text{Pu}$ 放射能浓度 (全测定值)

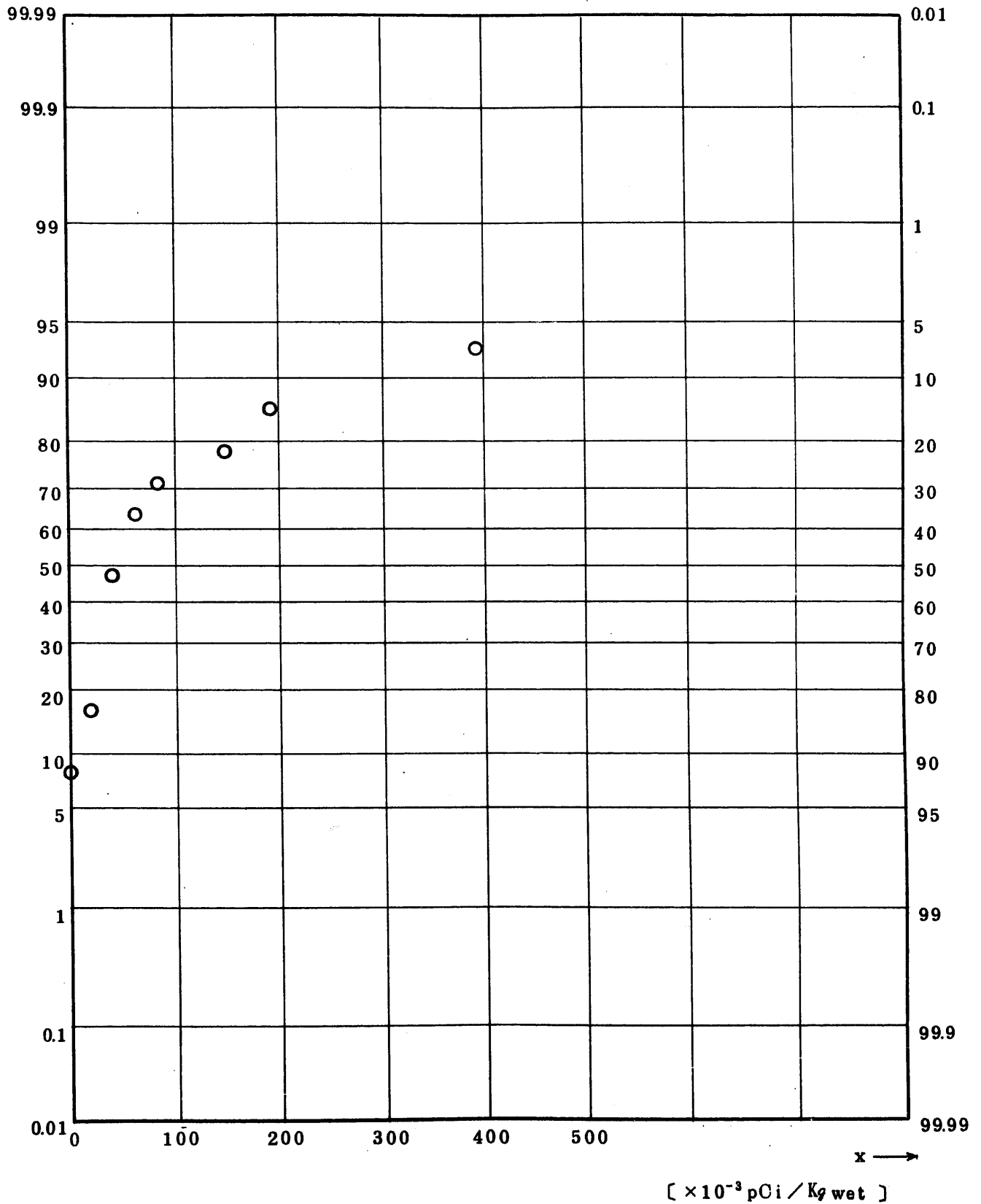


Fig. 7.2.0.1.2.1.9 $^{239}\text{Pu} + ^{240}\text{Pu}$ Concentration in Pasture (ALL)

(1 9 7 3 . 7 ~ 1 9 7 6 . 1 0)

图 7.2.0.1.2.1.9 牧草中 $^{239}, ^{240}\text{Pu}$ 放射能濃度 (全測定值)

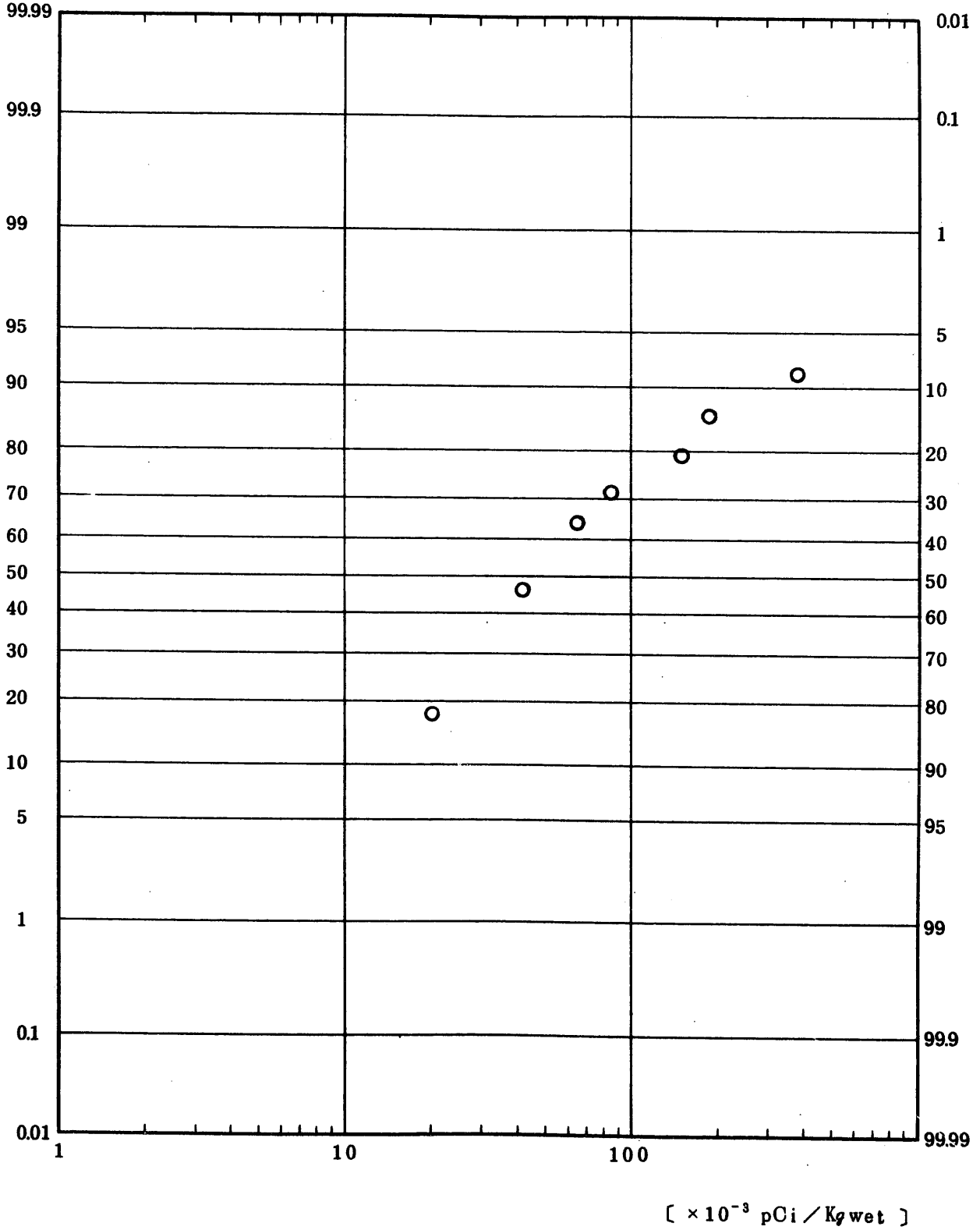


Fig. 7.2.0.2.1.1.1 Gross BETA Concentration in Pasture (USUAL)

(1973.7 ~ 1976.10)

图 7.2.0.2.1.1.1 牧草中全β放射能濃度(平常值)

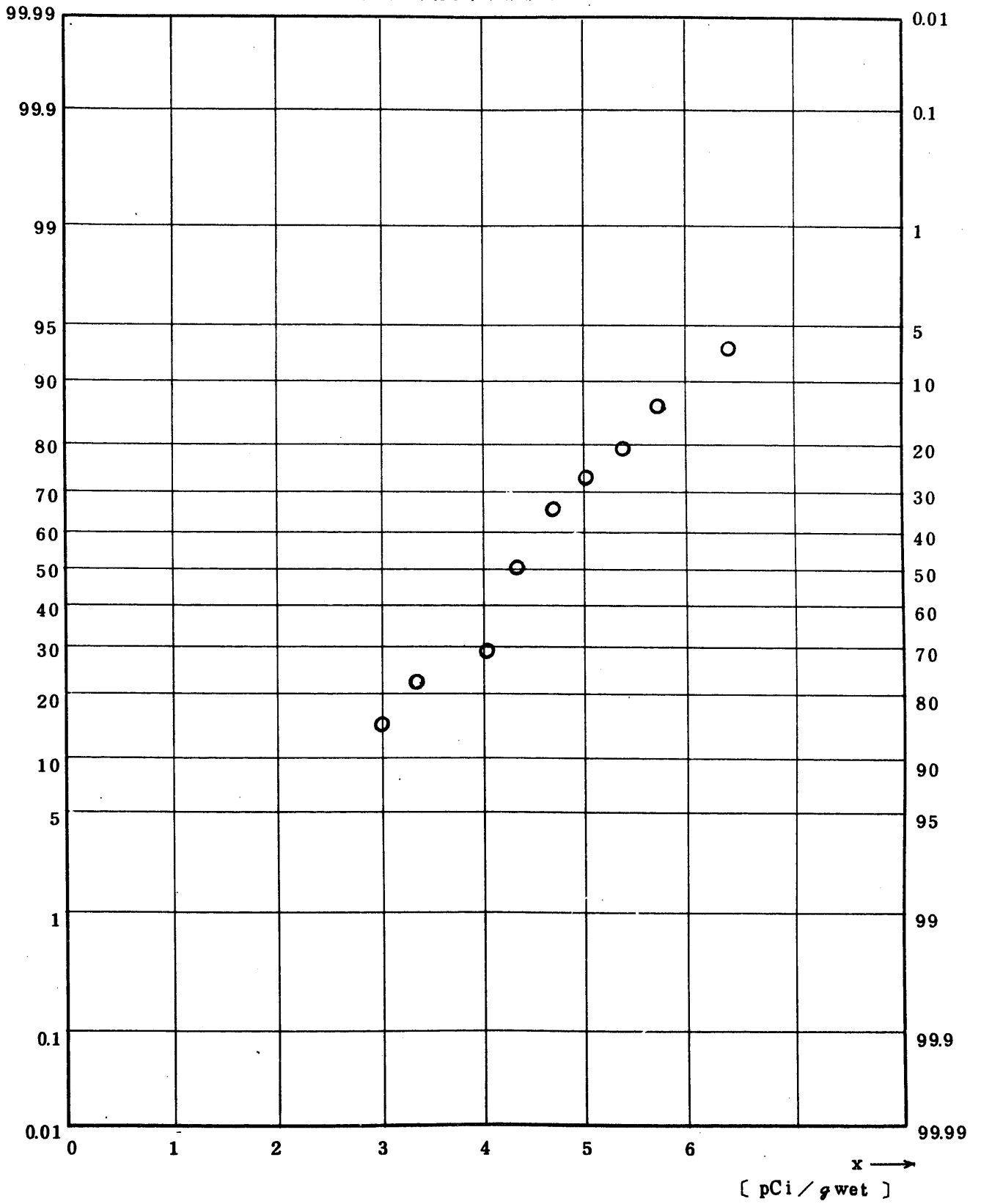


Fig. 7.2.0.2.1.1.2 ⁹⁰Sr Concentration in Pasture (USUAL)

(1973.7 ~ 1976.10)

图 7.2.0.2.1.1.2 牧草中 ⁹⁰Sr 放射能浓度 (平常值)

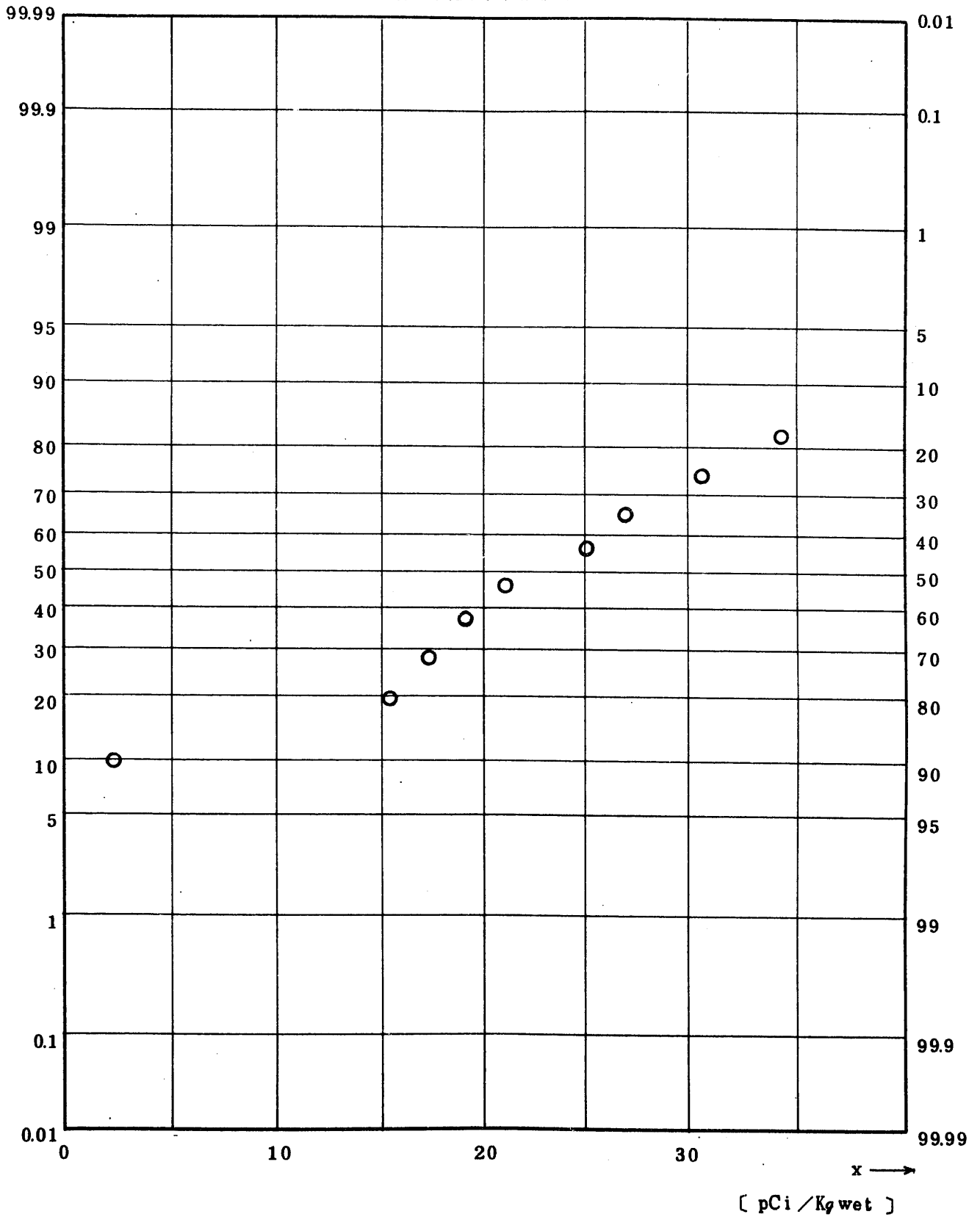


Fig. 7.2.0.2.1.1.7 ^{137}Cs Concentration in Pasture (USUAL)

(1973.7 ~ 1976.10)

图 7.2.0.2.1.1.7 牧草中 ^{137}Cs 放射能浓度 (平常值)

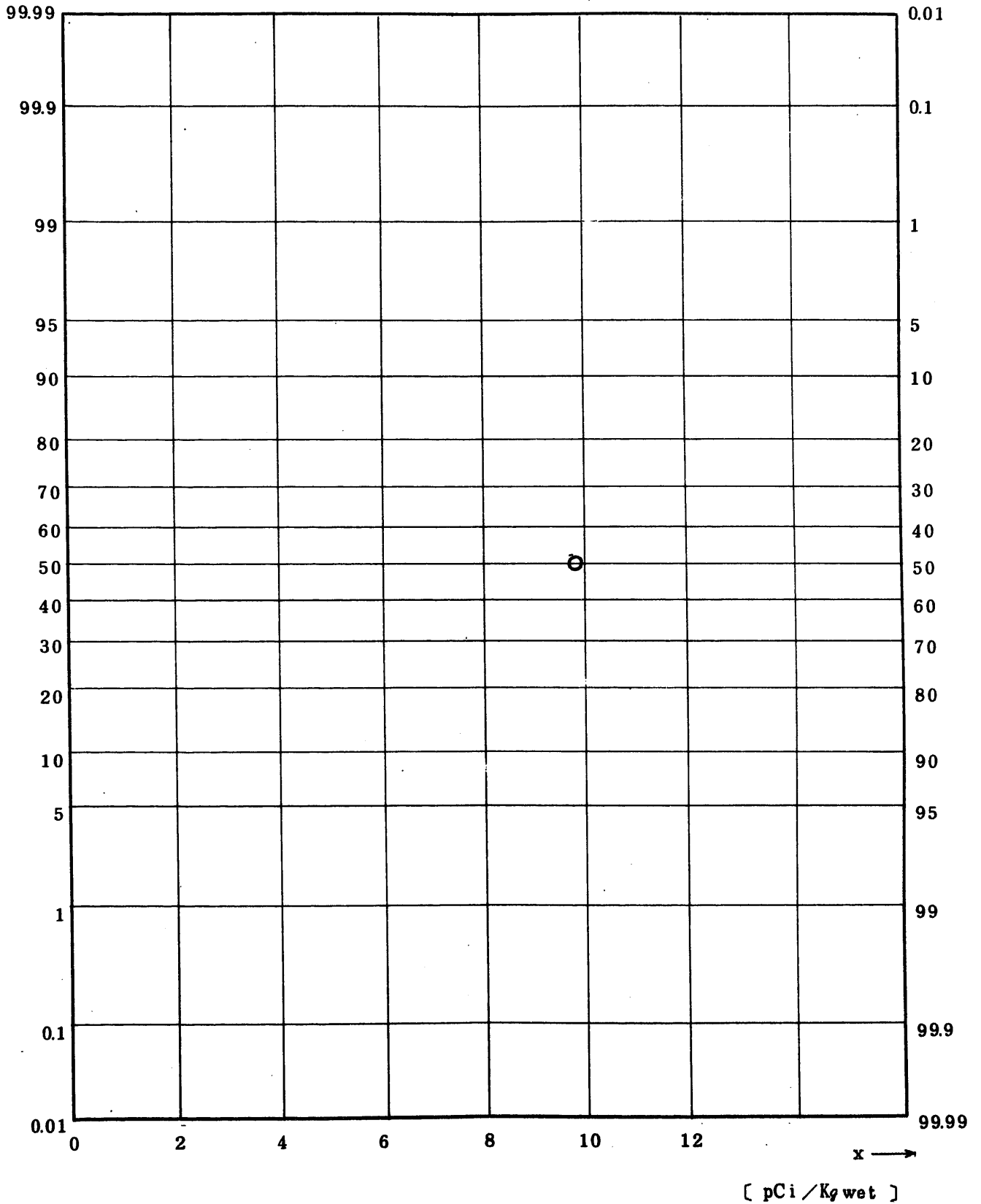


Fig. 7.2.0.2.1.1.9 $^{239}\text{Pu} + ^{240}\text{Pu}$ Concentration in Pasture (USUAL)

(1973.7 ~ 1976.10)

图 7.2.0.2.1.1.9 牧草中 $^{239}, ^{240}\text{Pu}$ 放射能浓度 (平常值)

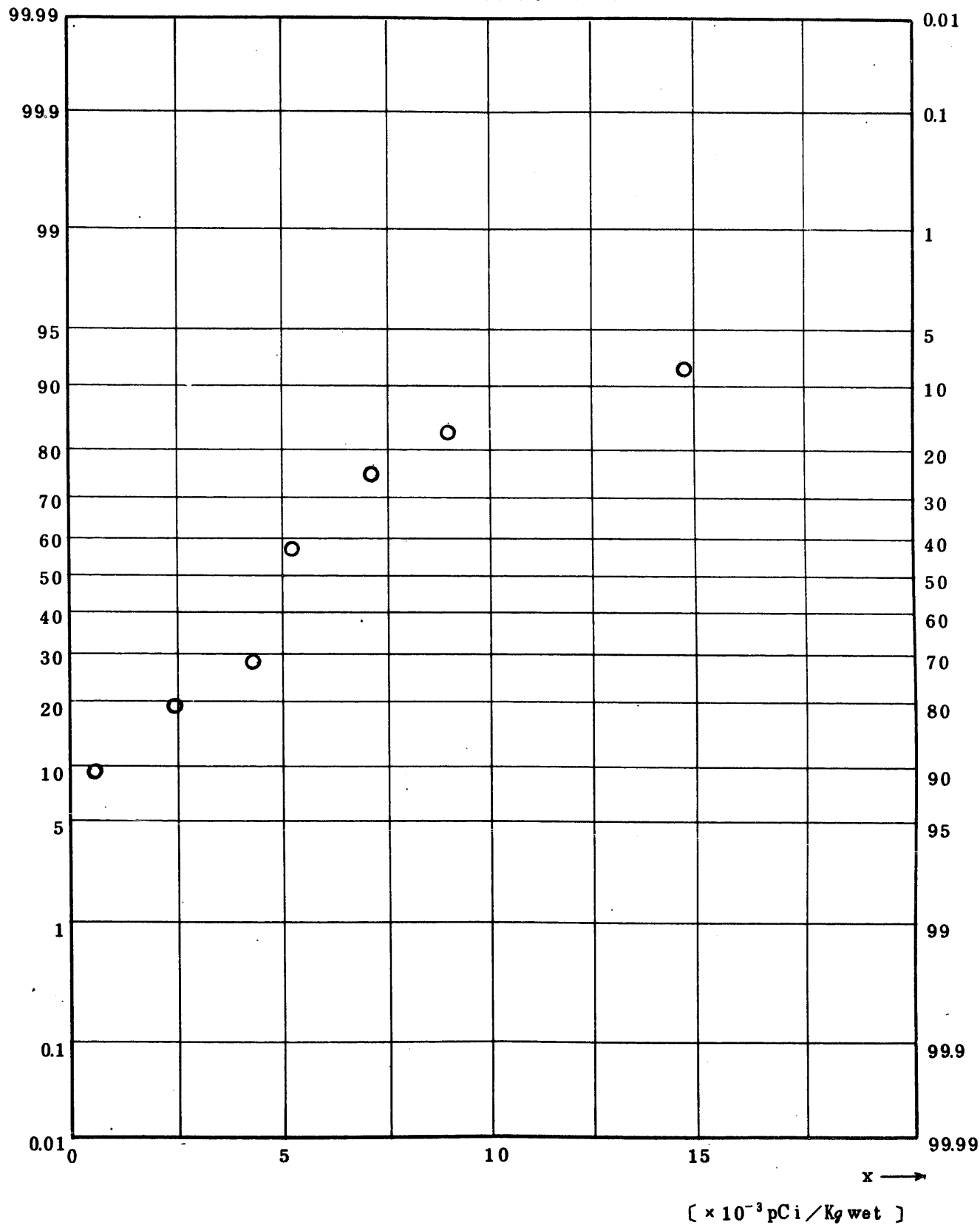


Fig. 7.2.0.3.2.1.1 Gross BETA Concentration in Pasture (ONE)

図 7.2.0.3.2.1.1 牧草中全β放射能濃度(一試料)

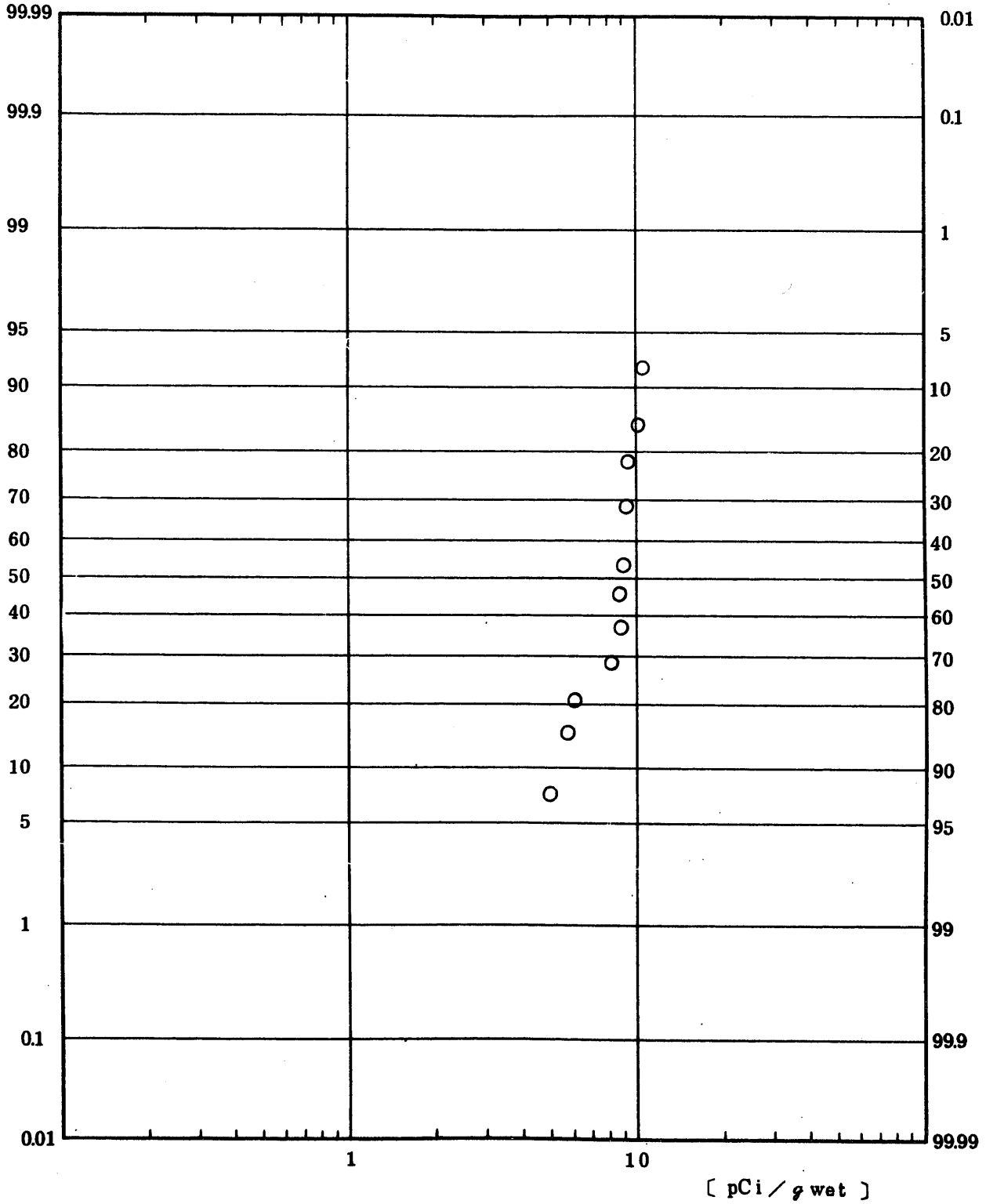


Fig. 7.3.3.1.1.1 Gross BETA Concentration in Crop (ALL)

(1973.7 ~ 1976.10)

图 7.3.3.1.1.1.1 米·麦中全β放射能浓度(全测定值)

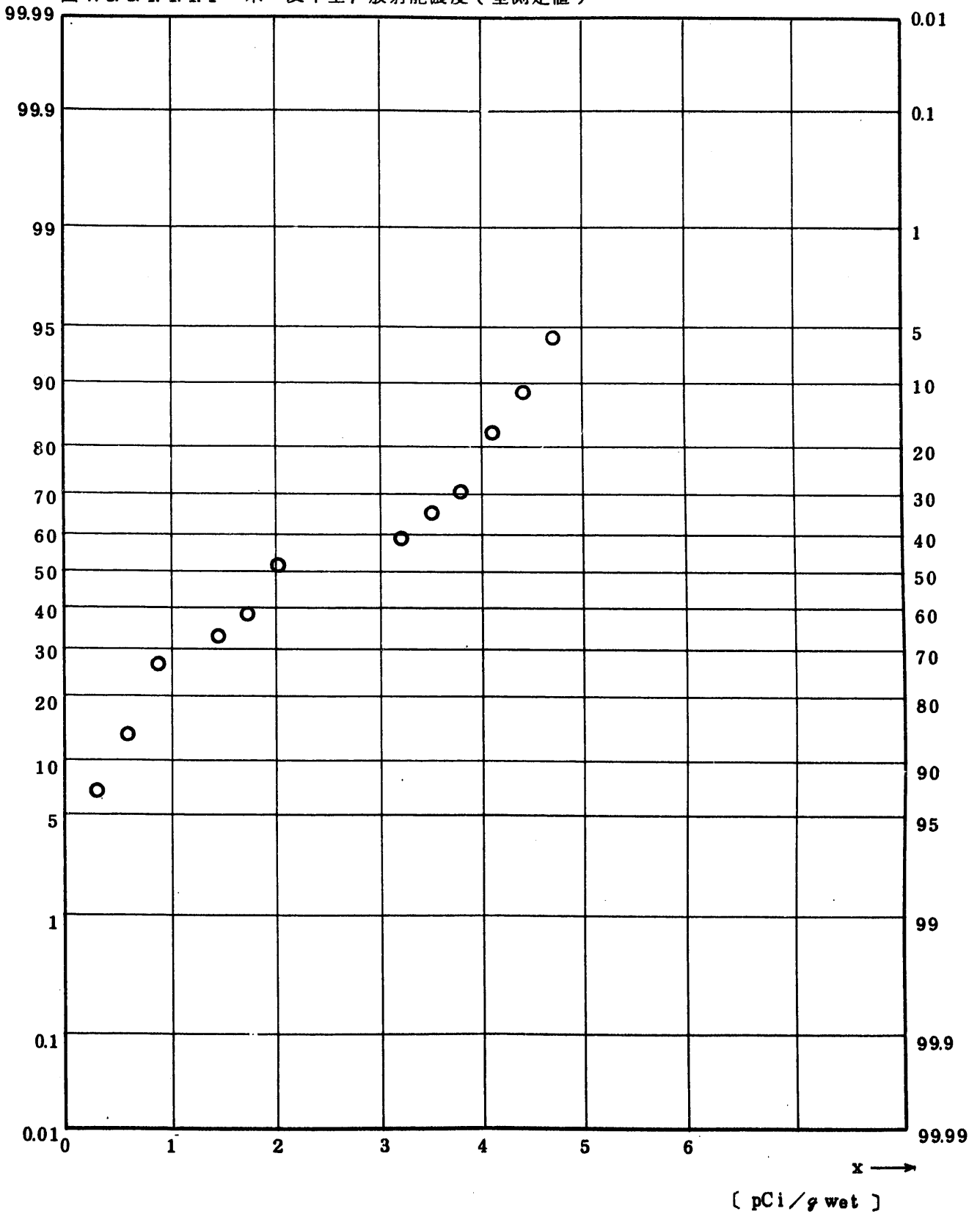


Fig. 7.3.3.1.1.2 ⁹⁰Sr Concentration in Crop (ALL)

(1973.7 ~ 1976.10)

图 7.3.3.1.1.2 米·麦中 ⁹⁰Sr 放射能浓度 (全测定值)

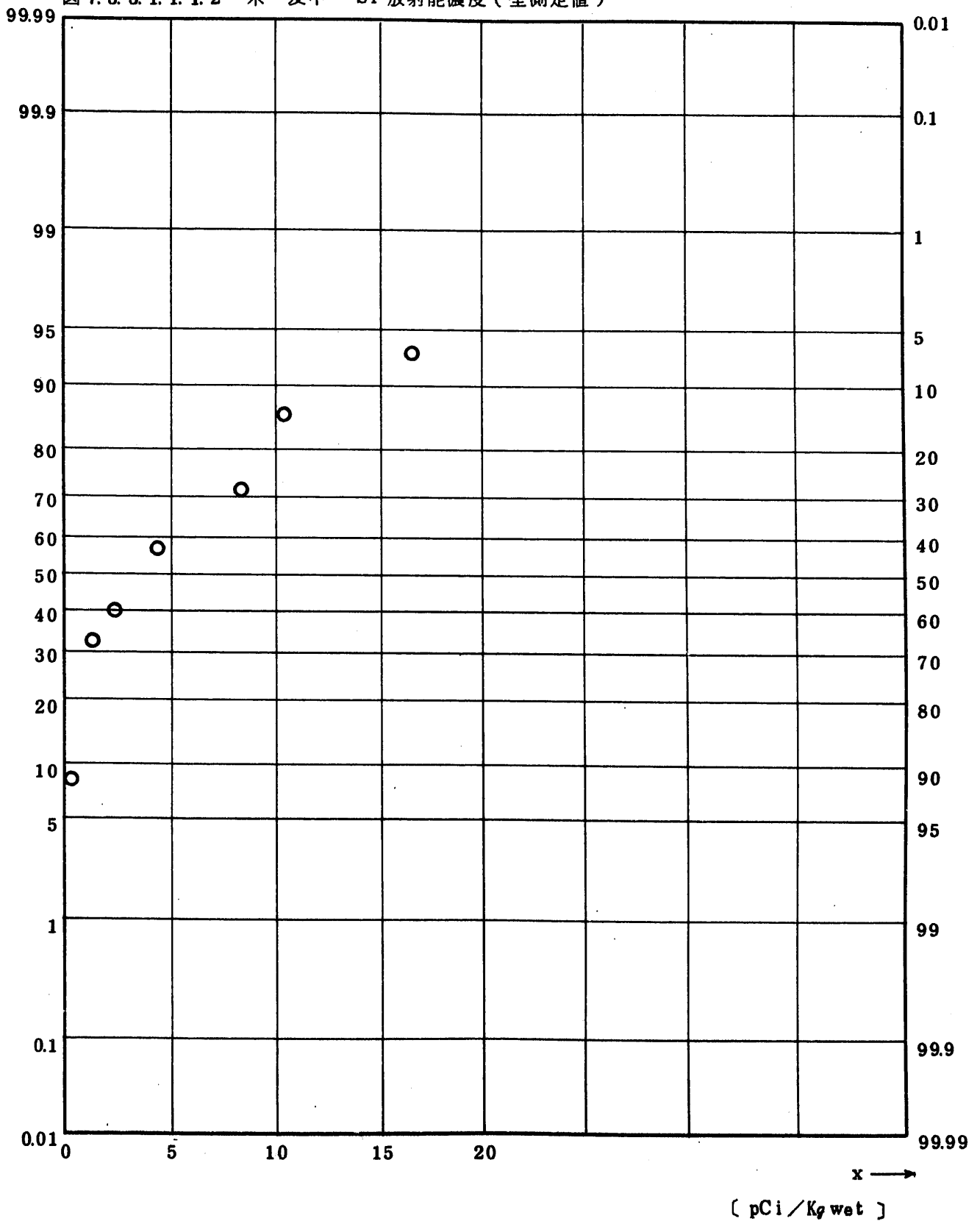


Fig. 7.3.3.1.2.1.2 ^{90}Sr Concentration in Crop(ALL)

(1973.7 ~ 1976.10)

图 7.3.3.1.2.1.2 米·麦中 ^{90}Sr 放射能浓度 (全测定值)

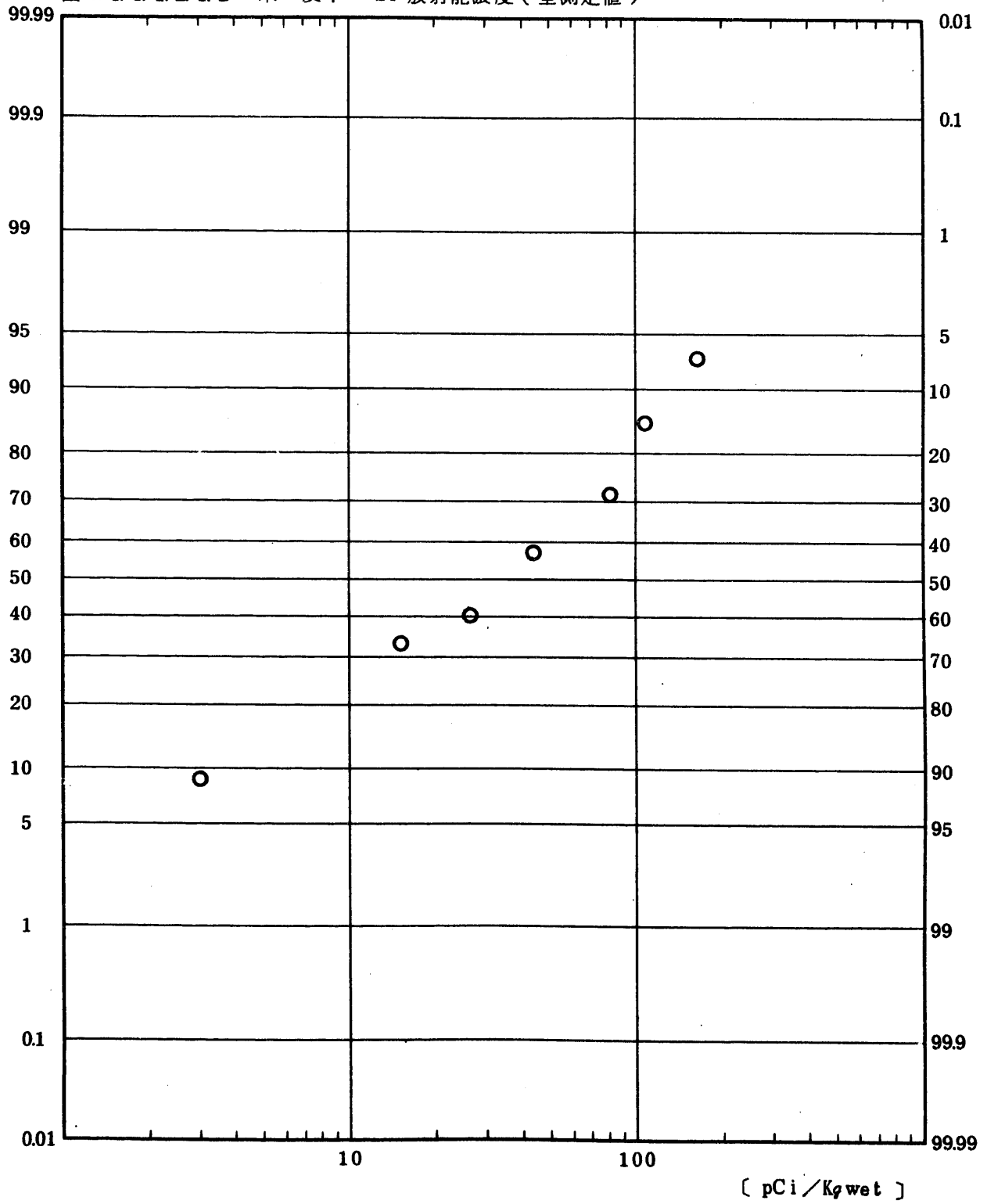


Fig. 7.3.3.1.1.6 ^{137}Cs Concentration in Crop (ALL)

(1973.7 ~ 1976.10)

图 7.3.3.1.1.6 米·麦中 ^{137}Cs 放射能浓度 (全测定值)

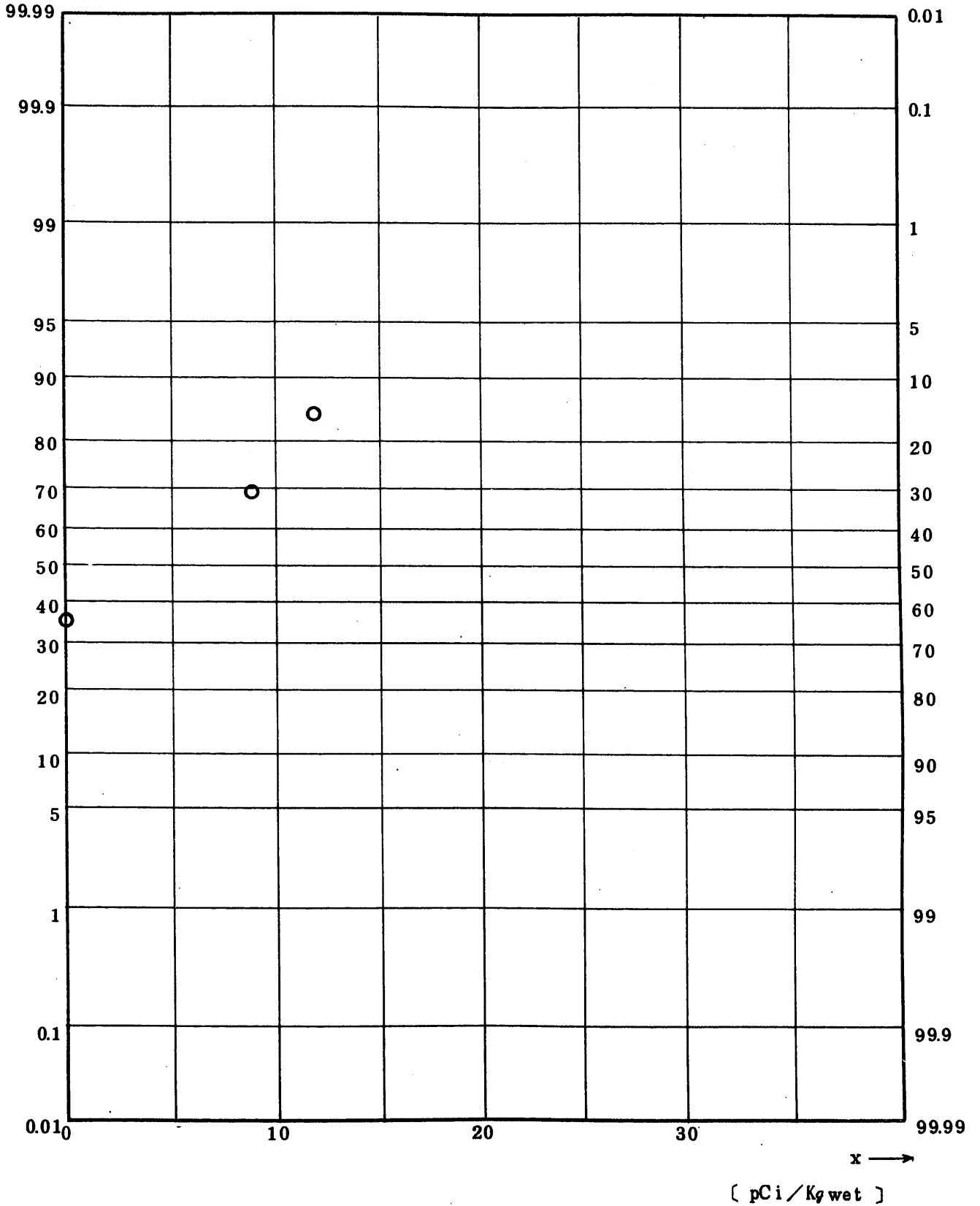


Fig. 7.3.3.1.1.8 $^{239}\text{Pu} + ^{240}\text{Pu}$ Concentration in Crop (ALL)

(1973.7 ~ 1976.10)

图 7.3.3.1.1.8 米·麦中 $^{239}, ^{240}\text{Pu}$ 放射能浓度 (全测定值)

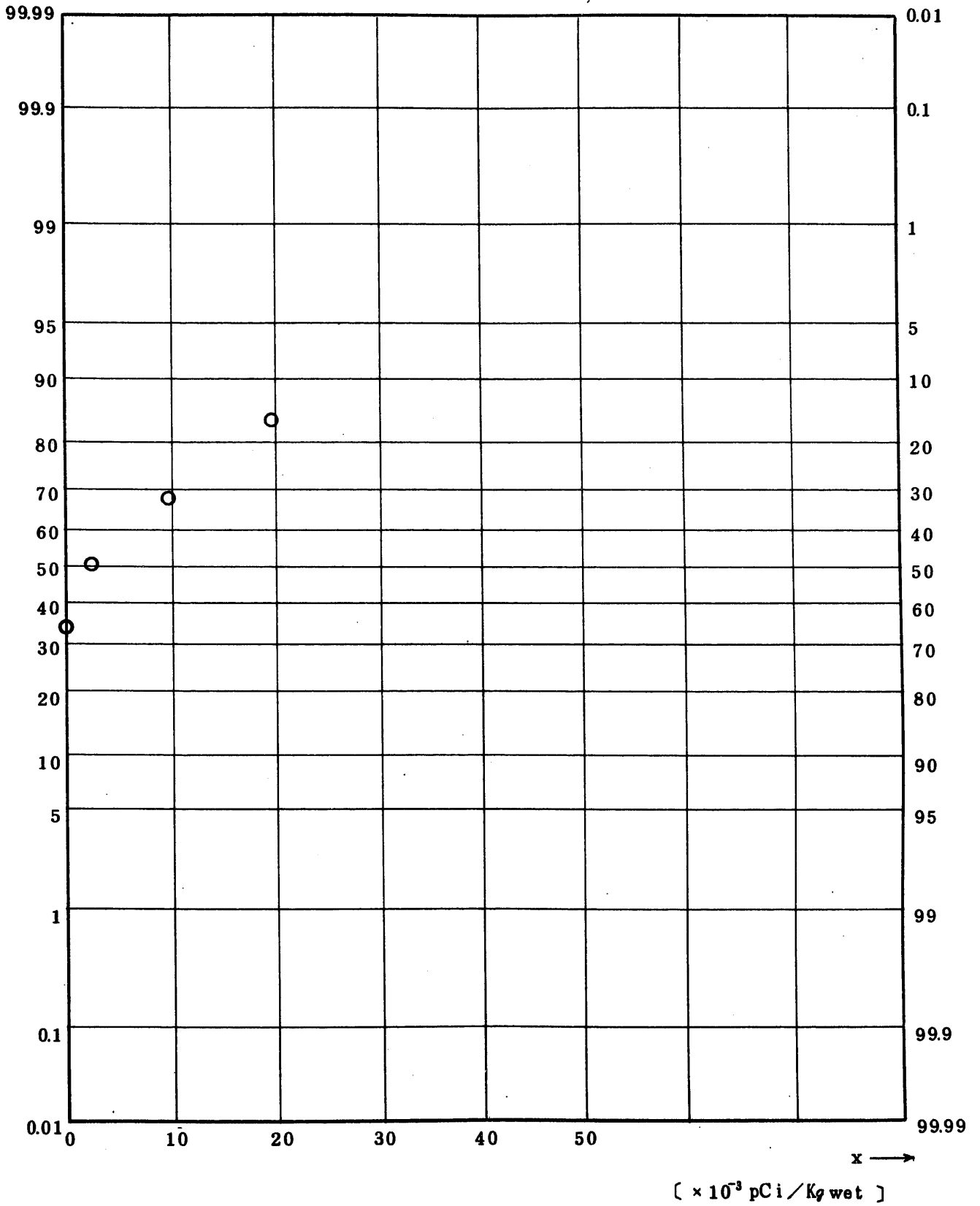


Fig. 7.4.0.1.1.1 Gross BETA Concentration in Milk (ALL)

(1974.1.16 ~ 1977.4.5)

图 7.4.0.1.1.1 牛乳中全β放射能濃度(全測定值)

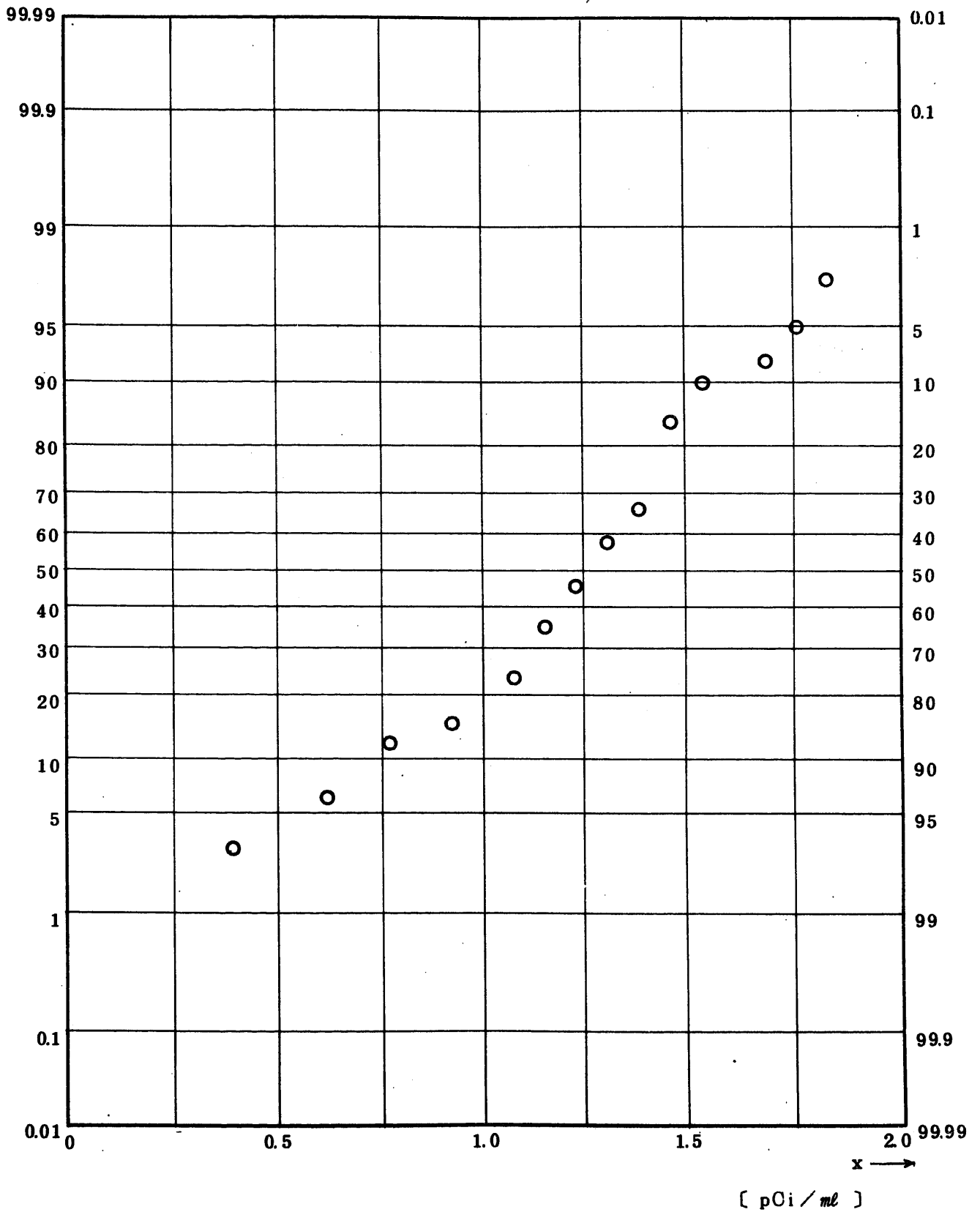


Fig. 7.4.0.1.1.2 ^{90}Sr Concentration in Milk (ALL)

(1974.1 ~ 1977.4)

図 7.4.0.1.1.2 牛乳中 ^{90}Sr 放射能濃度 (全測定値)

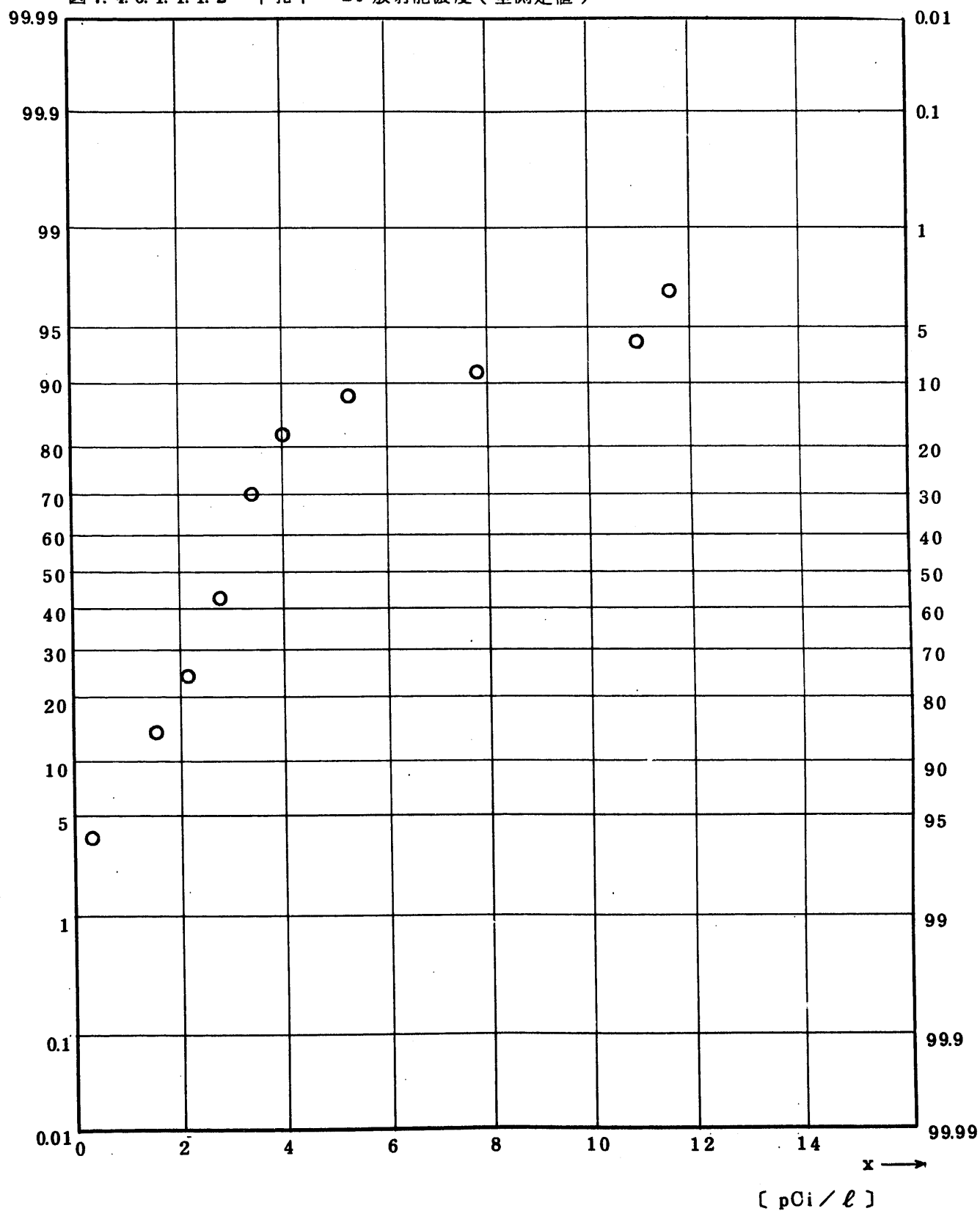


Fig. 7.4.0.1.2.1.2 ^{90}Sr Concentration in Milk (ALL)

(1974.1 ~ 1977.4)

図 7.4.0.1.2.1.2 牛乳中 ^{90}Sr 放射能濃度 (全測定値)

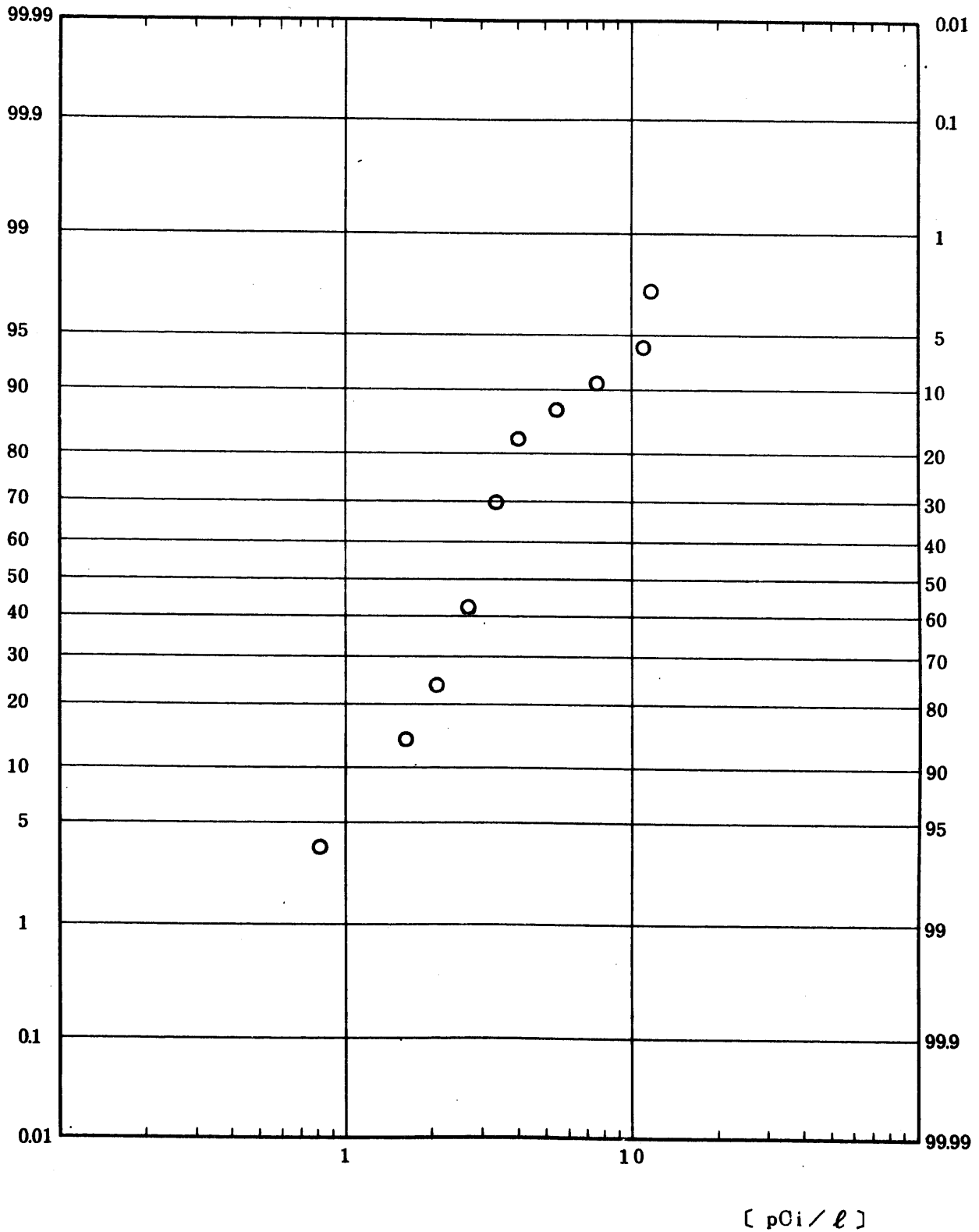


Fig. 7.4.0.1.1.7 ¹³⁷Cs Concentration in Milk (ALL)

(1974.1 ~ 1977.4)

図 7.4.0.1.1.7 牛乳中 ¹³⁷Cs 放射能濃度 (全測定値)

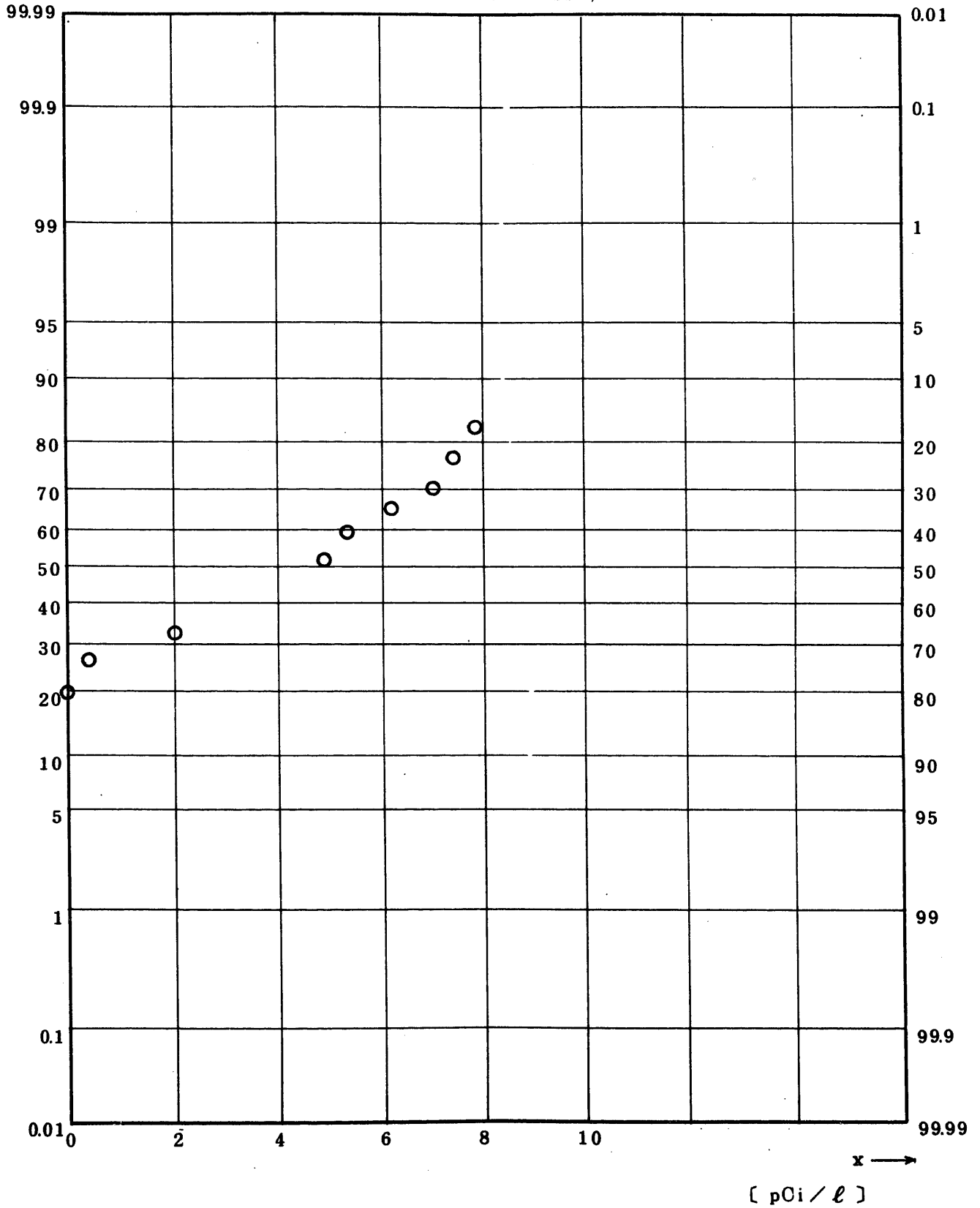


Fig. 7.4.0.1.1.9 $^{239}\text{Pu} + ^{240}\text{Pu}$ Concentration in Milk (ALL)

(1974.1 ~ 1977.4)

图 7.4.0.1.1.9 牛乳中 $^{239,240}\text{Pu}$ 放射能濃度 (全測定値)

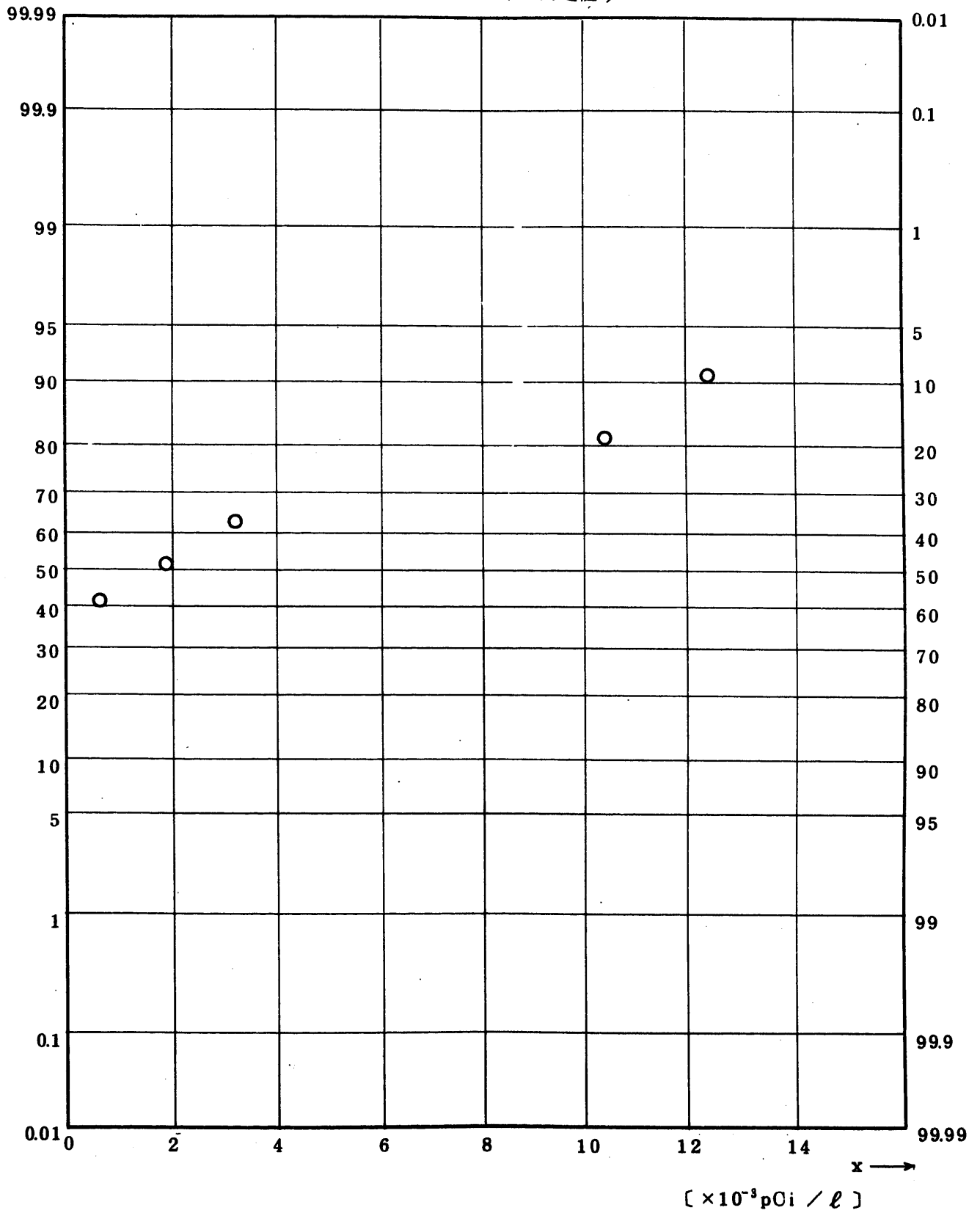


Fig. 8.1.1.1.1 Gross BETA Concentration in Sea-Shore Water (ALL)
 (1971.4 ~ 1977.1)

图 8.1.1.1.1. 海岸水中全β放射能濃度 (全測定値)

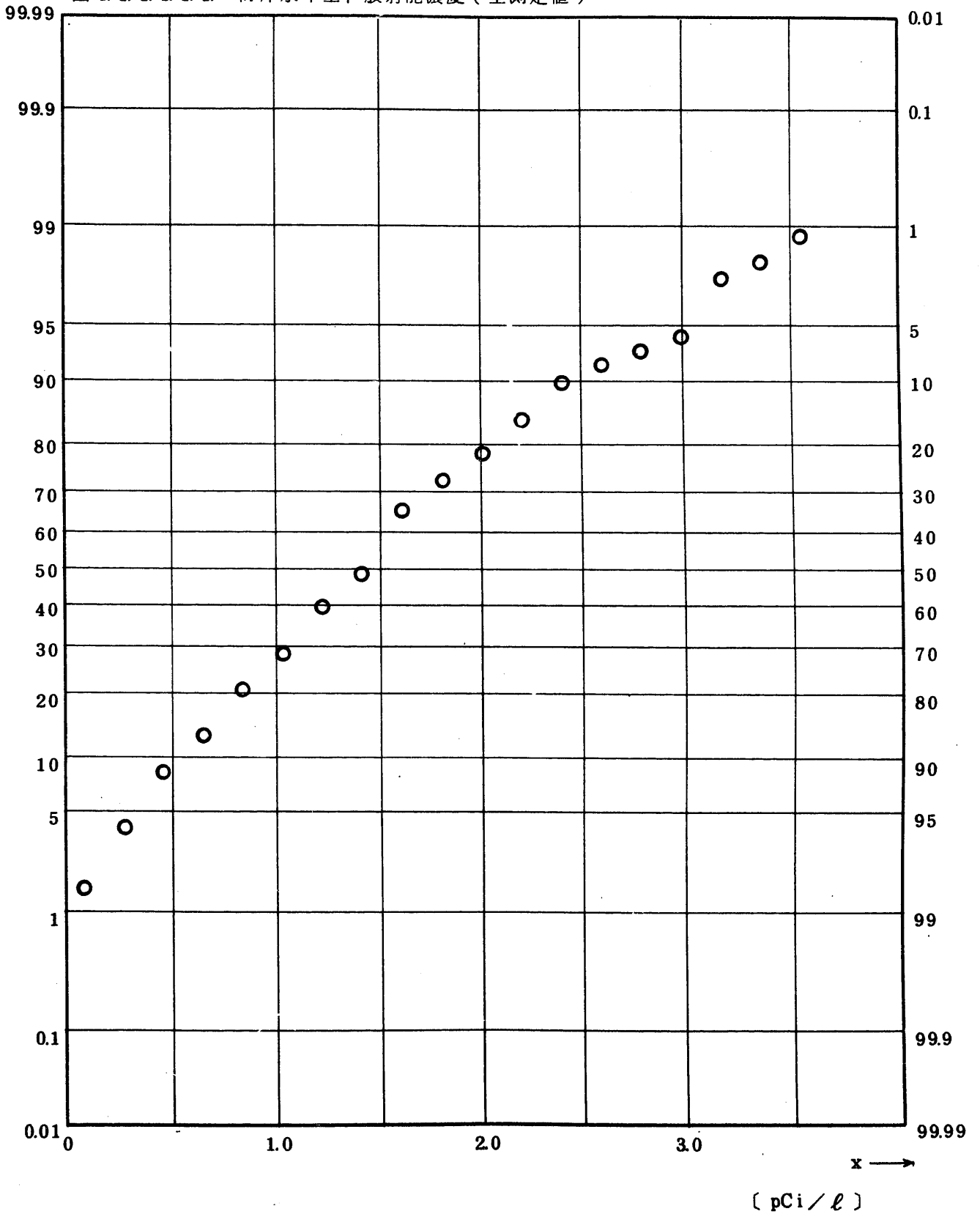


Fig. 8.1.1.1.2 ^3H Concentration in Sea-Shore Water (ALL)

(1971.4 ~ 1977.1)

図 8.1.1.1.2 海岸水中 ^3H 放射能濃度 (全測定値)

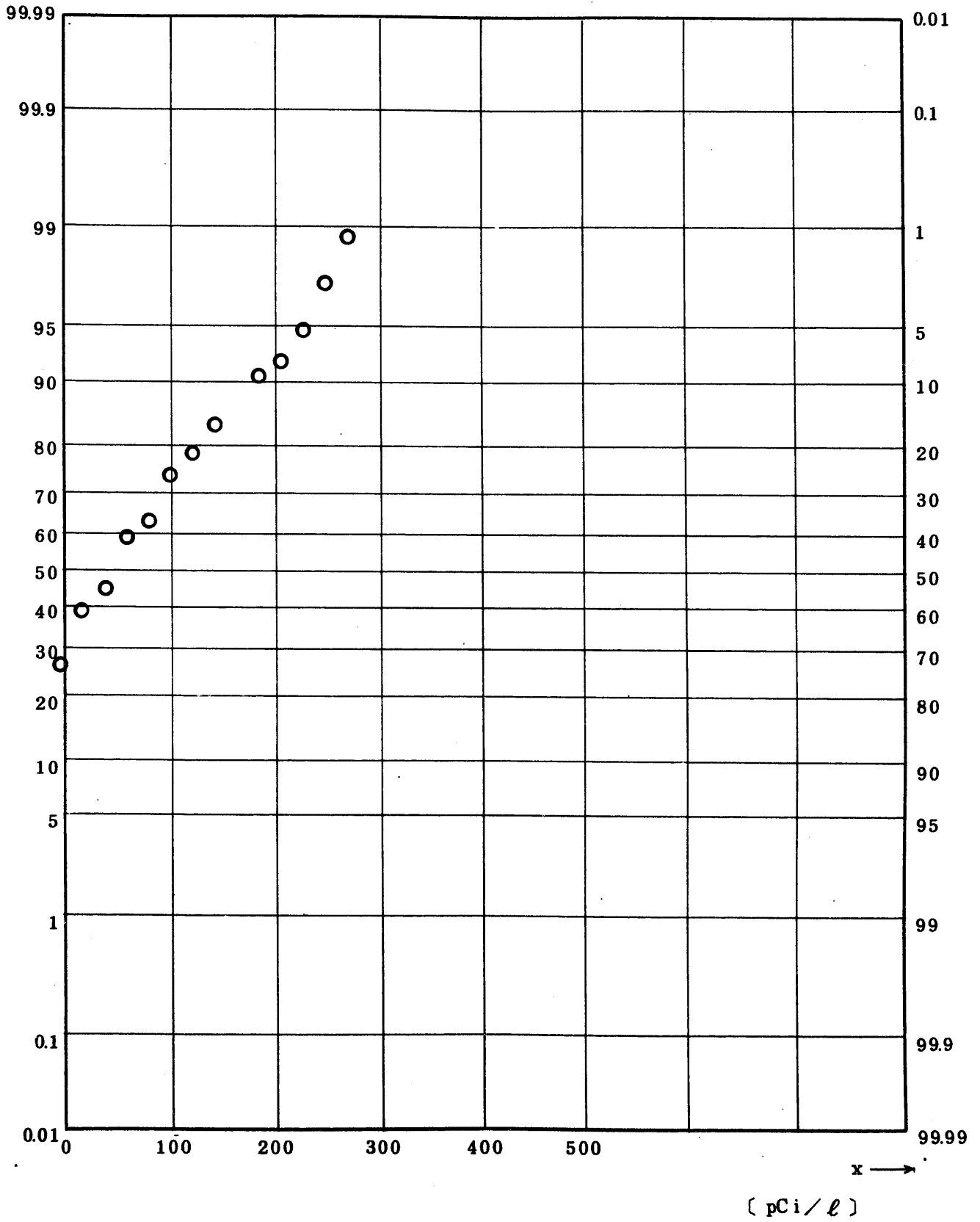


Fig. 8.1.1.1.3 ⁹⁰Sr Concentration in Sea-Shore Water (ALL)

(1971.4 ~ 1977.1)

図 8.1.1.1.3 海岸水中 ⁹⁰Sr 放射能濃度 (全測定値)

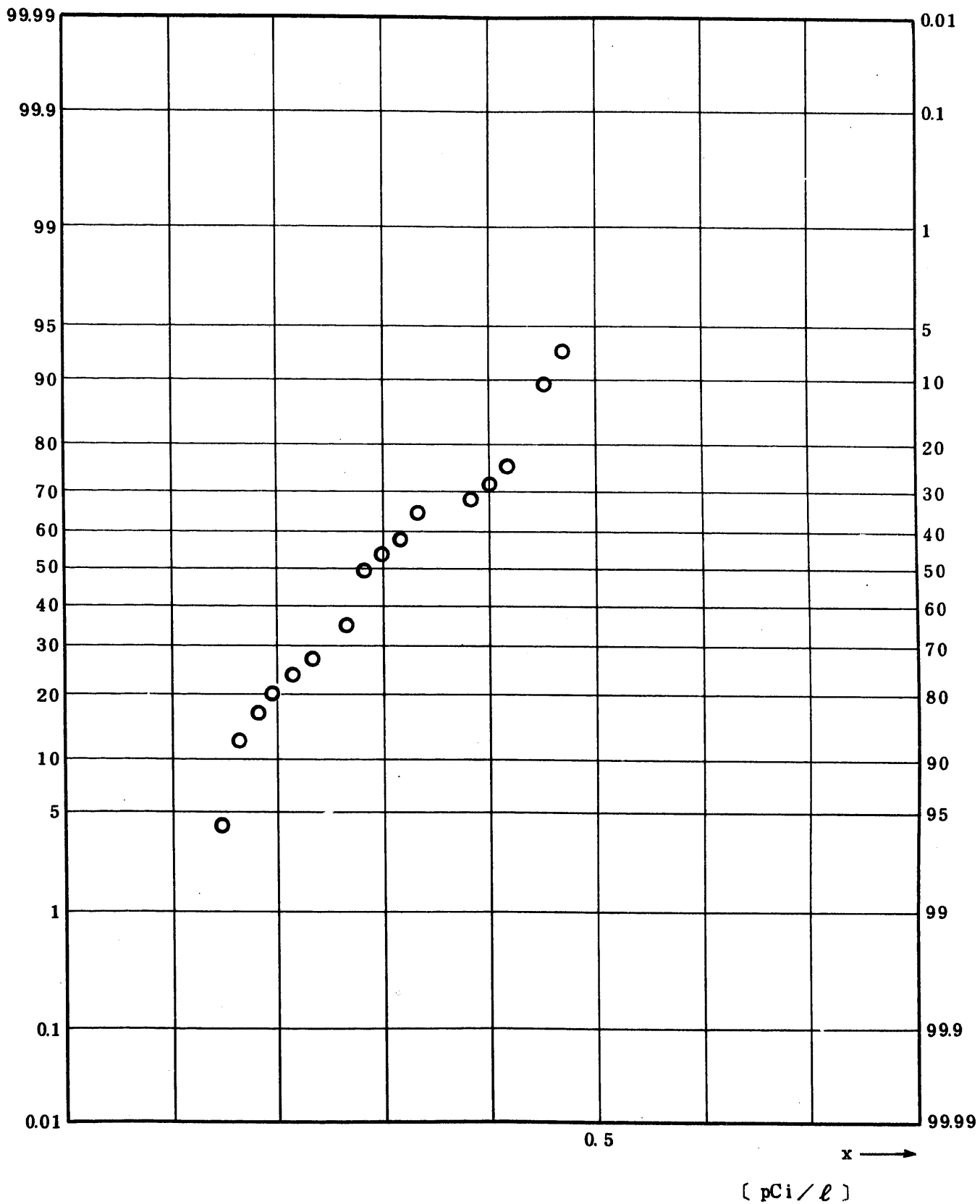


Fig. 8.1.1.1.4 ^{95}Zr Concentration in Sea-Shore Water (ALL)

(1971.4 ~ 1977.1)

图 8.1.1.1.4 海岸水中 ^{95}Zr 放射能濃度 (全測定値)

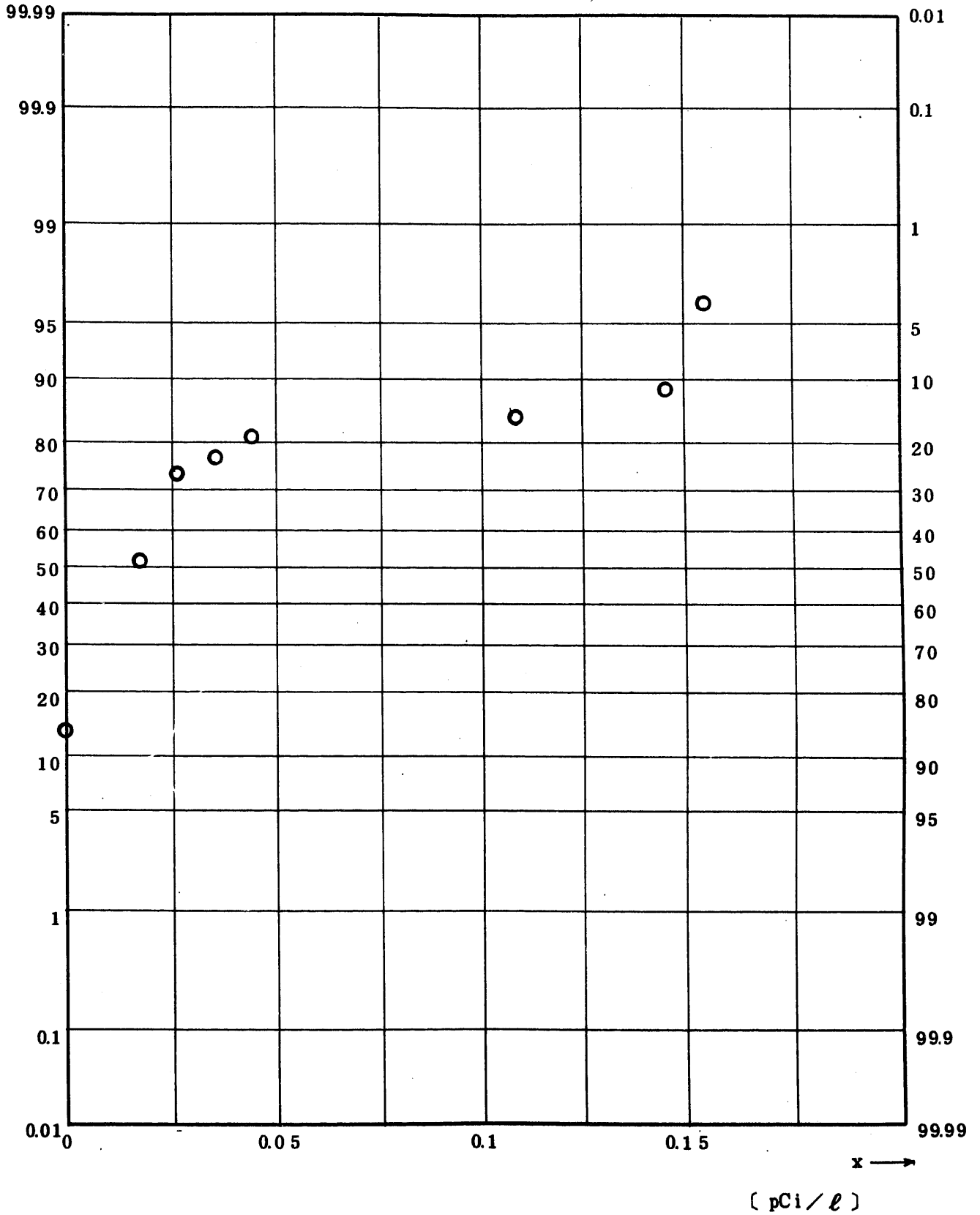


Fig. 8.1.1.1.5 ⁹⁵Nb Concentration in Sea-Shore Water (ALL)

(1971.4 ~ 1977.1)

图 8.1.1.1.5 海岸水中 ⁹⁵Nb 放射能濃度 (全測定値)

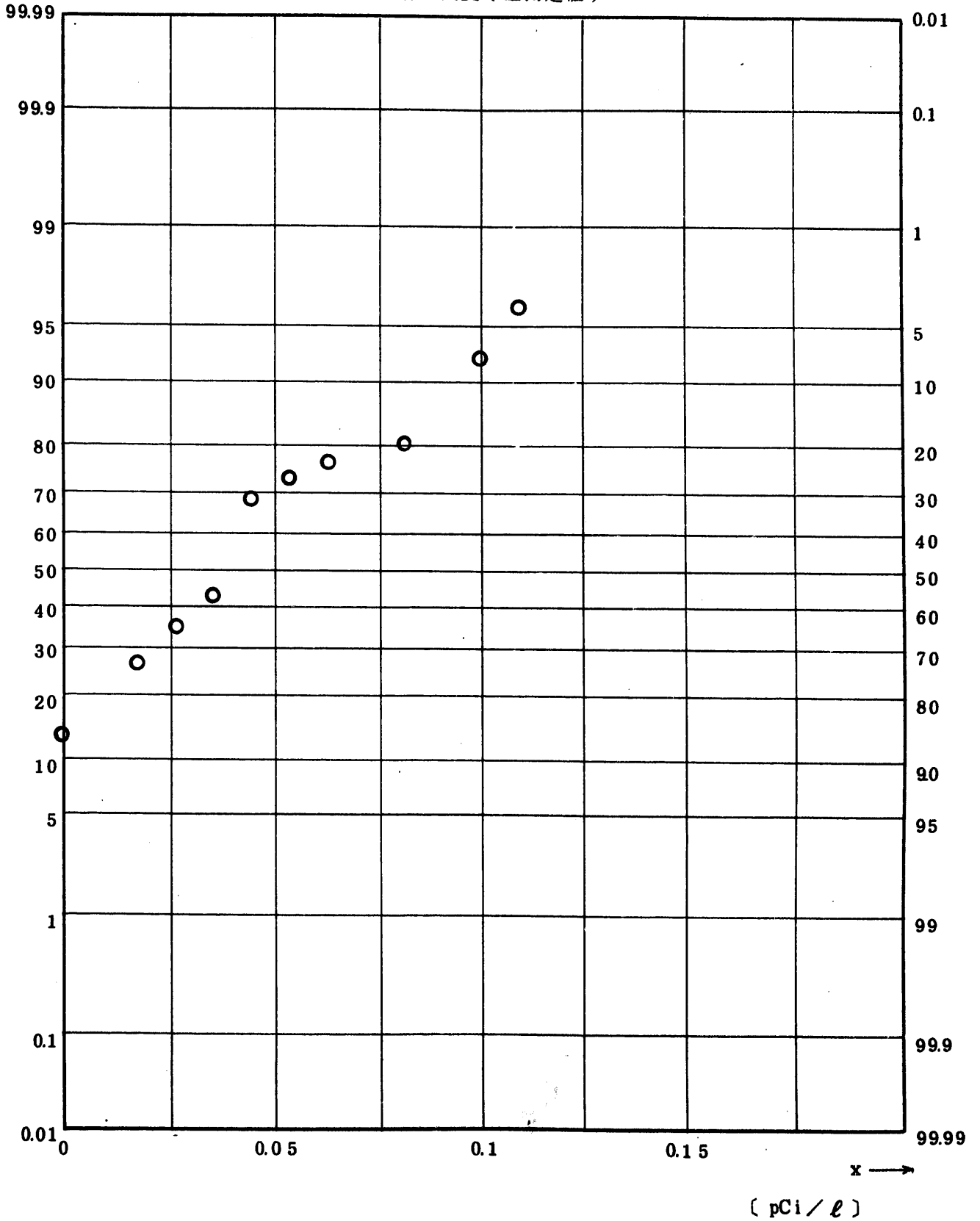


Fig. 8.1.1.1.6 $^{106}\text{Ru}/^{106}\text{Rh}$ Concentration in Sea-Shore Water (ALL)
 (1971.4 ~ 1977.1)

图 8.1.1.1.6 海岸水中 ^{106}Ru 放射能濃度 (全測定値)

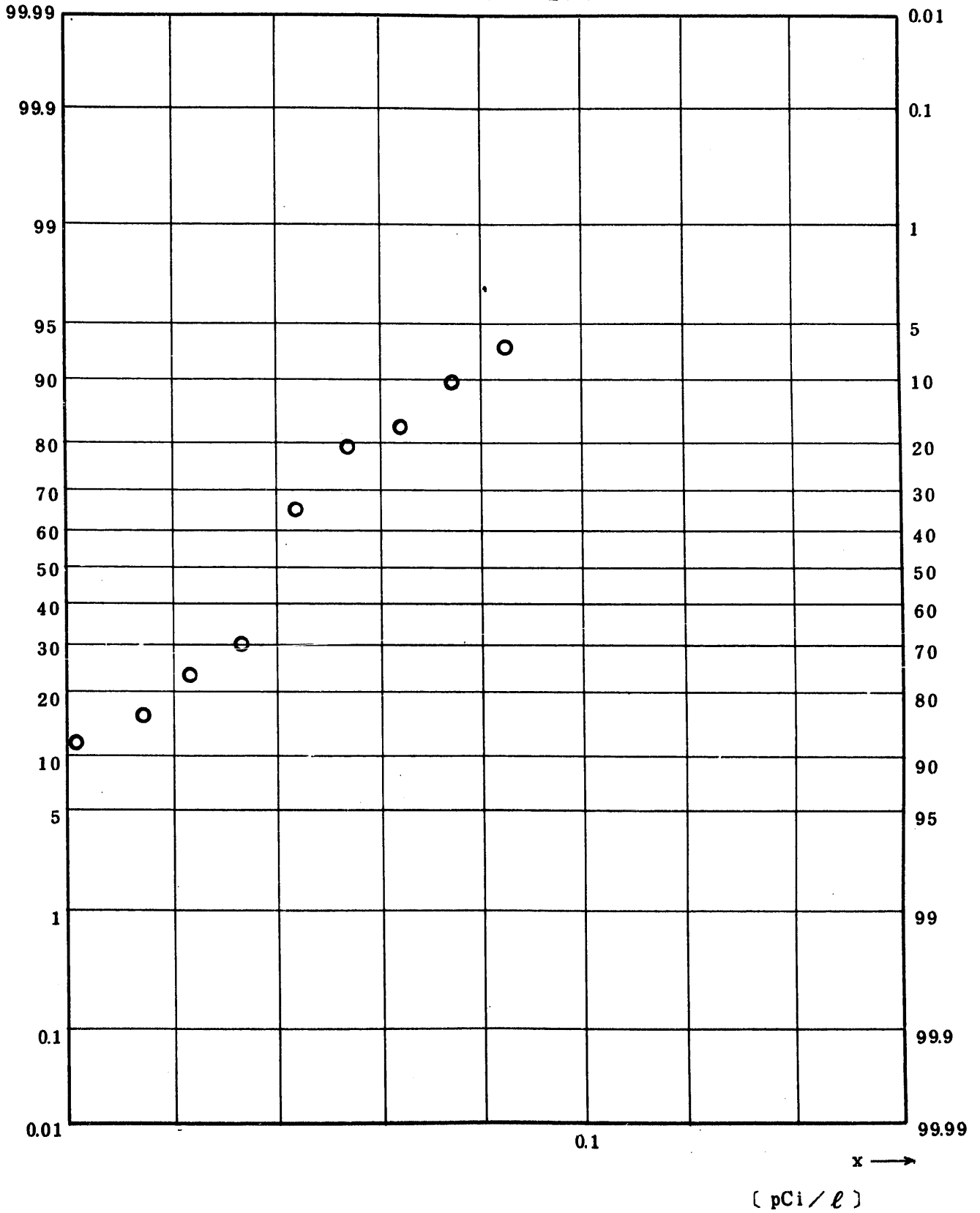


Fig. 8.1.1.1.7 ^{137}Cs Concentration in Sea-Shore Water (ALL)
 (1971.4 ~ 1977.1)

图 8.1.1.1.7 海岸水中 ^{137}Cs 放射能濃度 (全測定値)

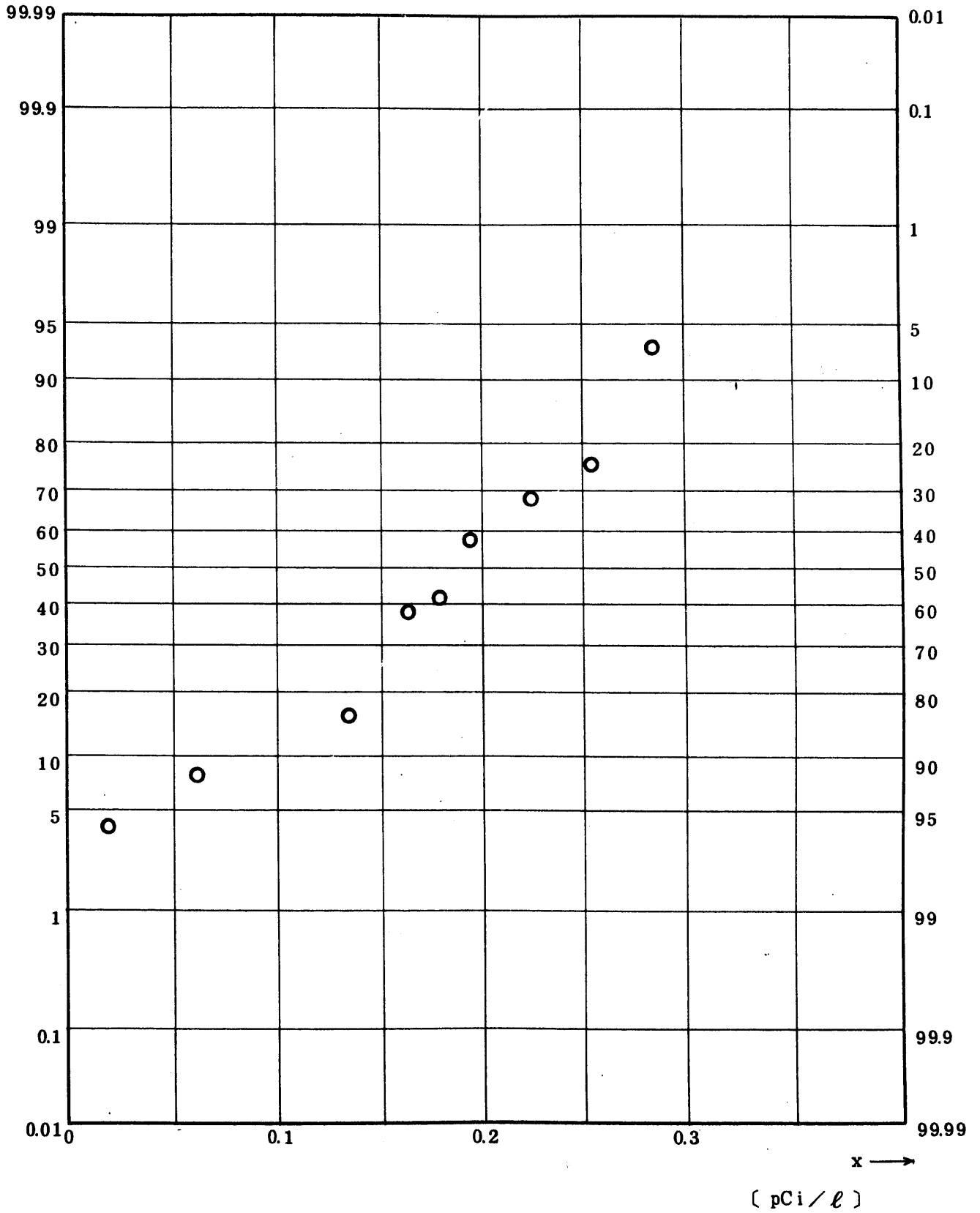


Fig. 8.1.1.1.8 $^{144}\text{Ce}/^{144}\text{Pr}$ Concentration in Sea-Shore Water (ALL)

(1971.4 ~ 1977.1)

图 8.1.1.1.8 海岸水中 ^{144}Ce 放射能浓度 (全测定值)

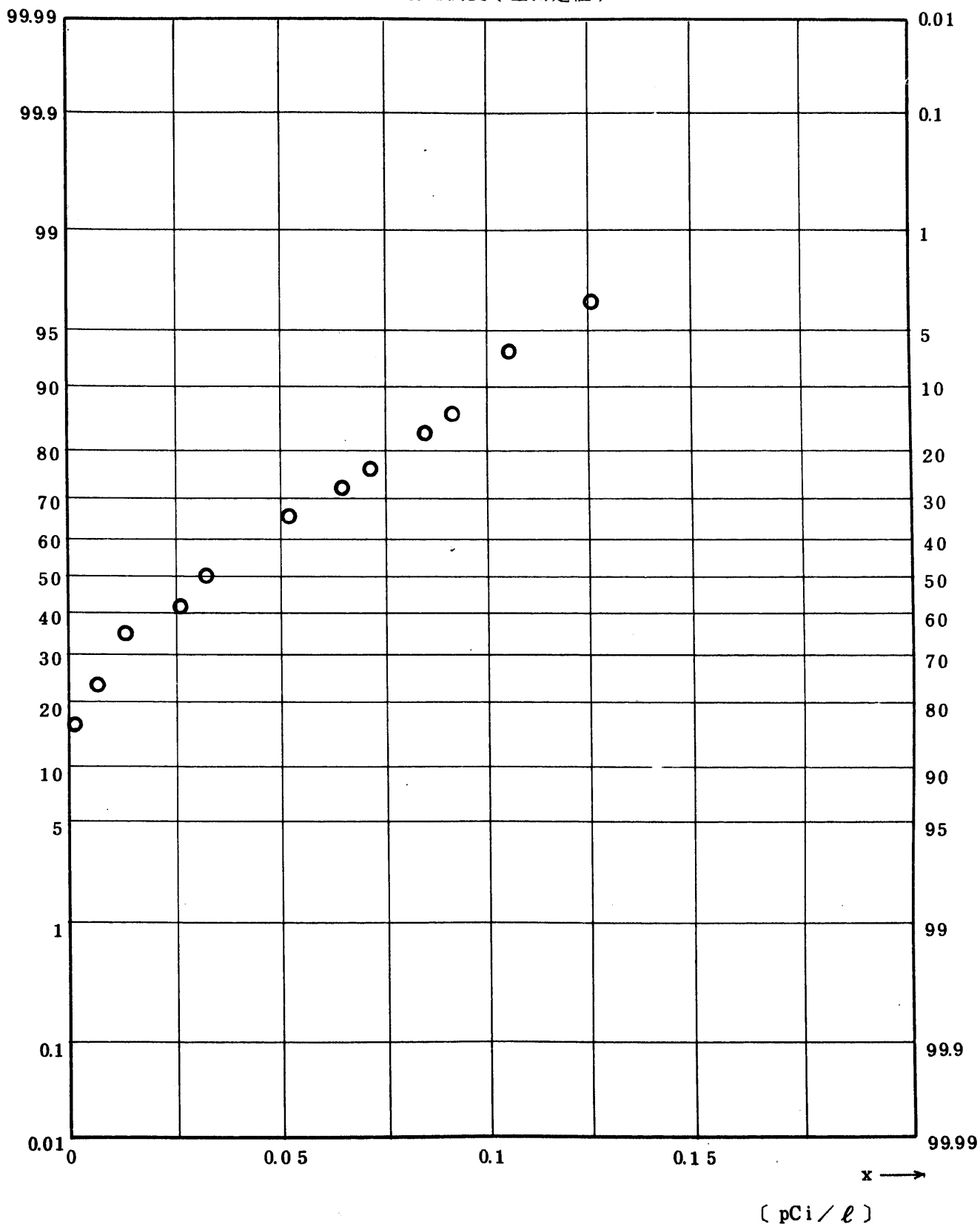


Fig. 8.1.1.1.9 $^{239}\text{Pu} + ^{240}\text{Pu}$ Concentration in Sea-Shore Water (ALL)
 (1971.4 ~ 1977.1)

图 8.1.1.1.9 海岸水中 $^{239,240}\text{Pu}$ 放射能濃度 (全測定値)

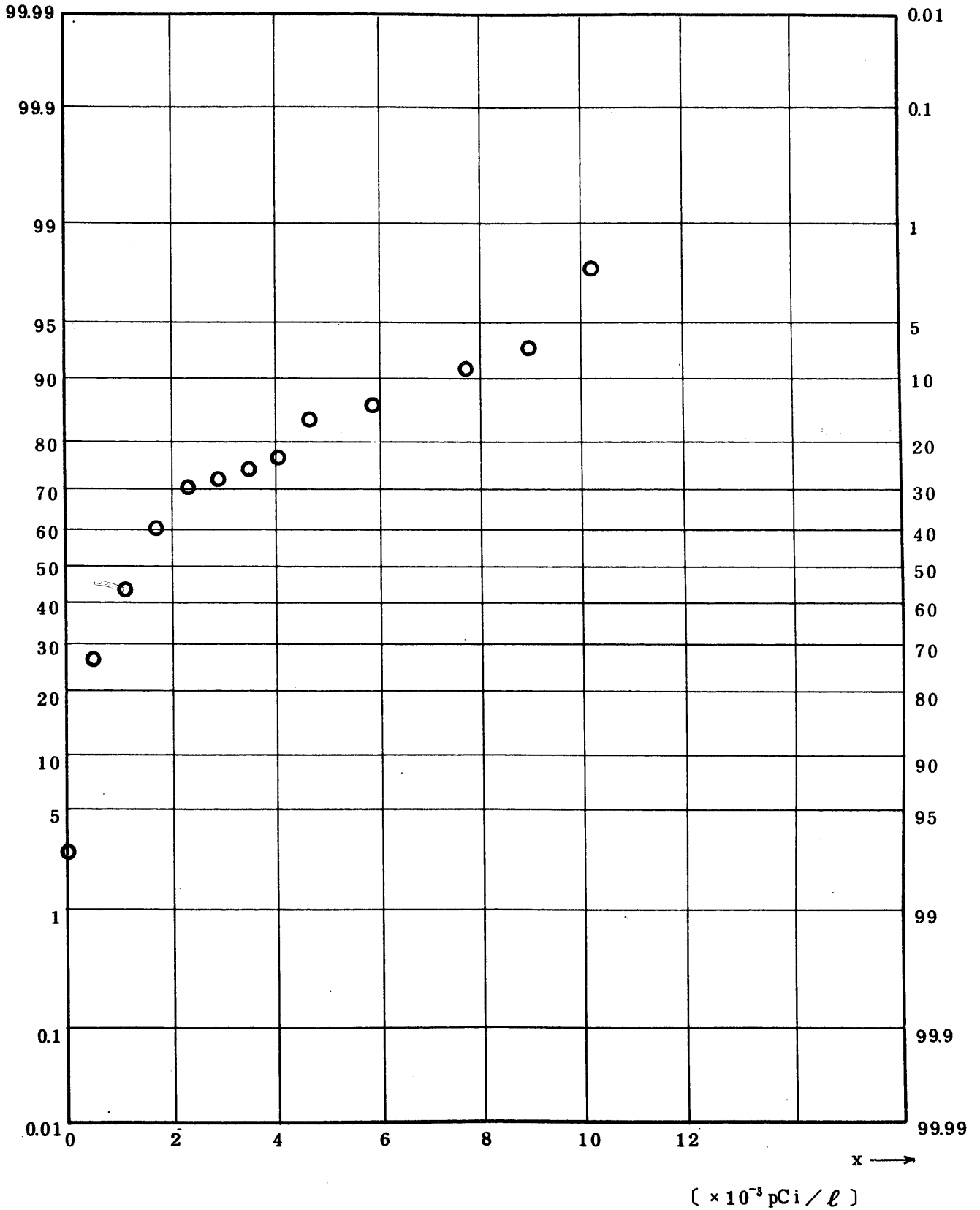


Fig. 8.1.2.1.1. Gross BETA Concentration in Sea-Shore Water (USUAL)

(1971.4 ~ 1977.1)

图 8.1.2.1.1.1 海岸水中全β放射能濃度(平常值)

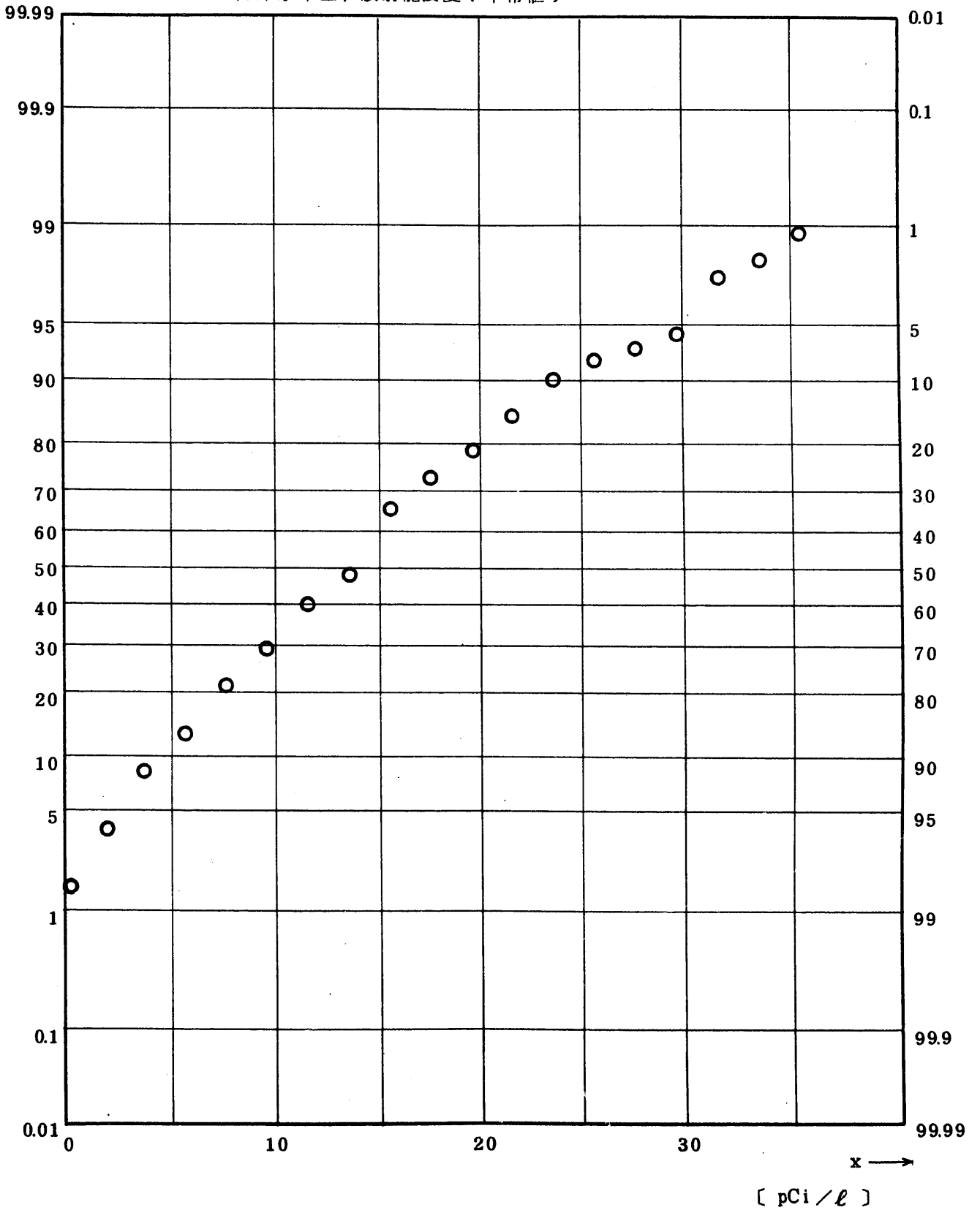


Fig. 8.1.2.1.2 ^3H Concentration in Sea-Shore Water (USUAL)

(1971.4 ~ 1977.1)

图 8.1.2.1.2 海岸水中 ^3H 放射能濃度 (平常值)

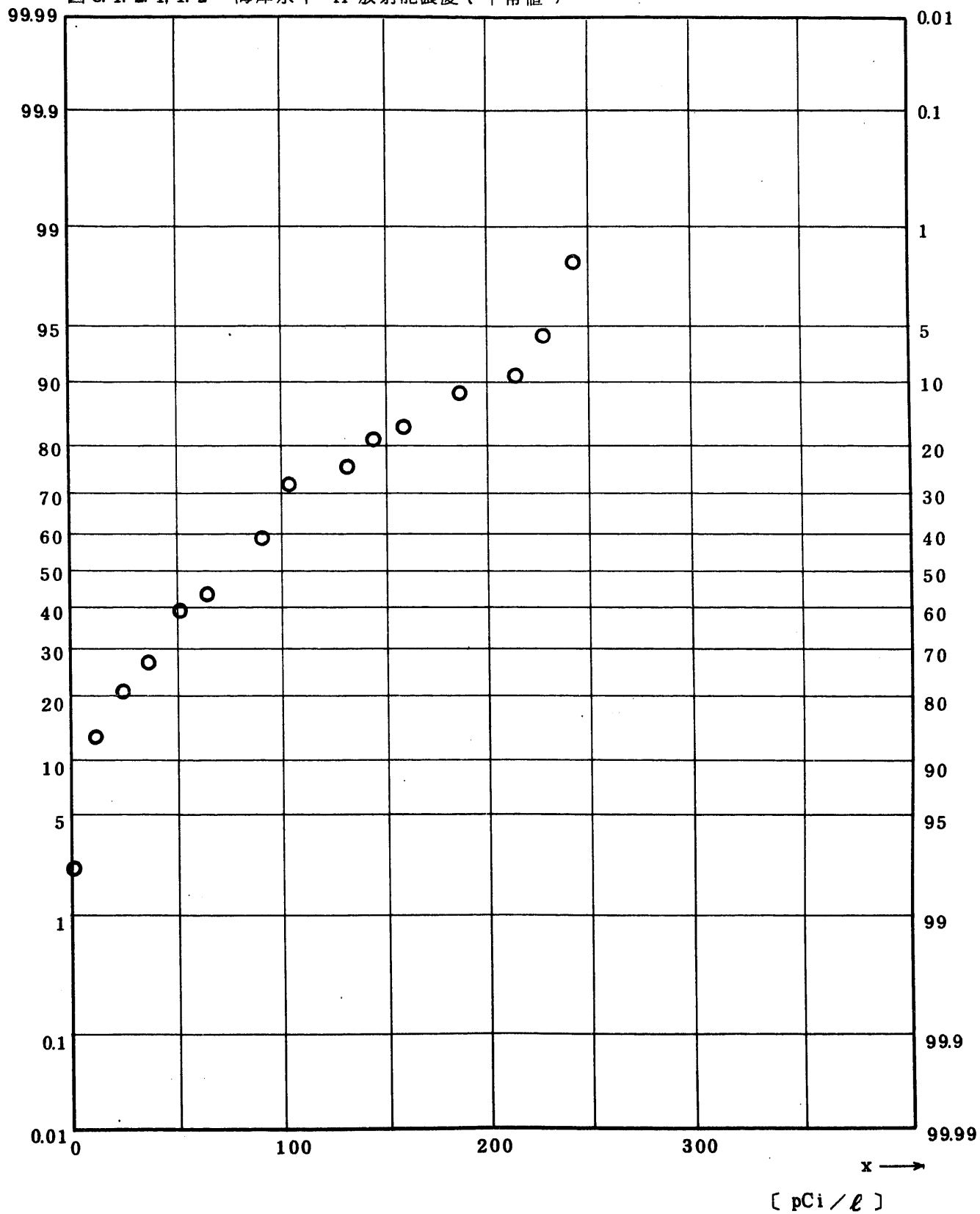


Fig. 8.1.2.1.1.3 ^{90}Sr Concentration in Sea-Shore Water (USUAL)
 (1971.4 ~ 1977.1)

图 8.1.2.1.1.3 海岸水中 ^{90}Sr 放射能濃度 (平常值)

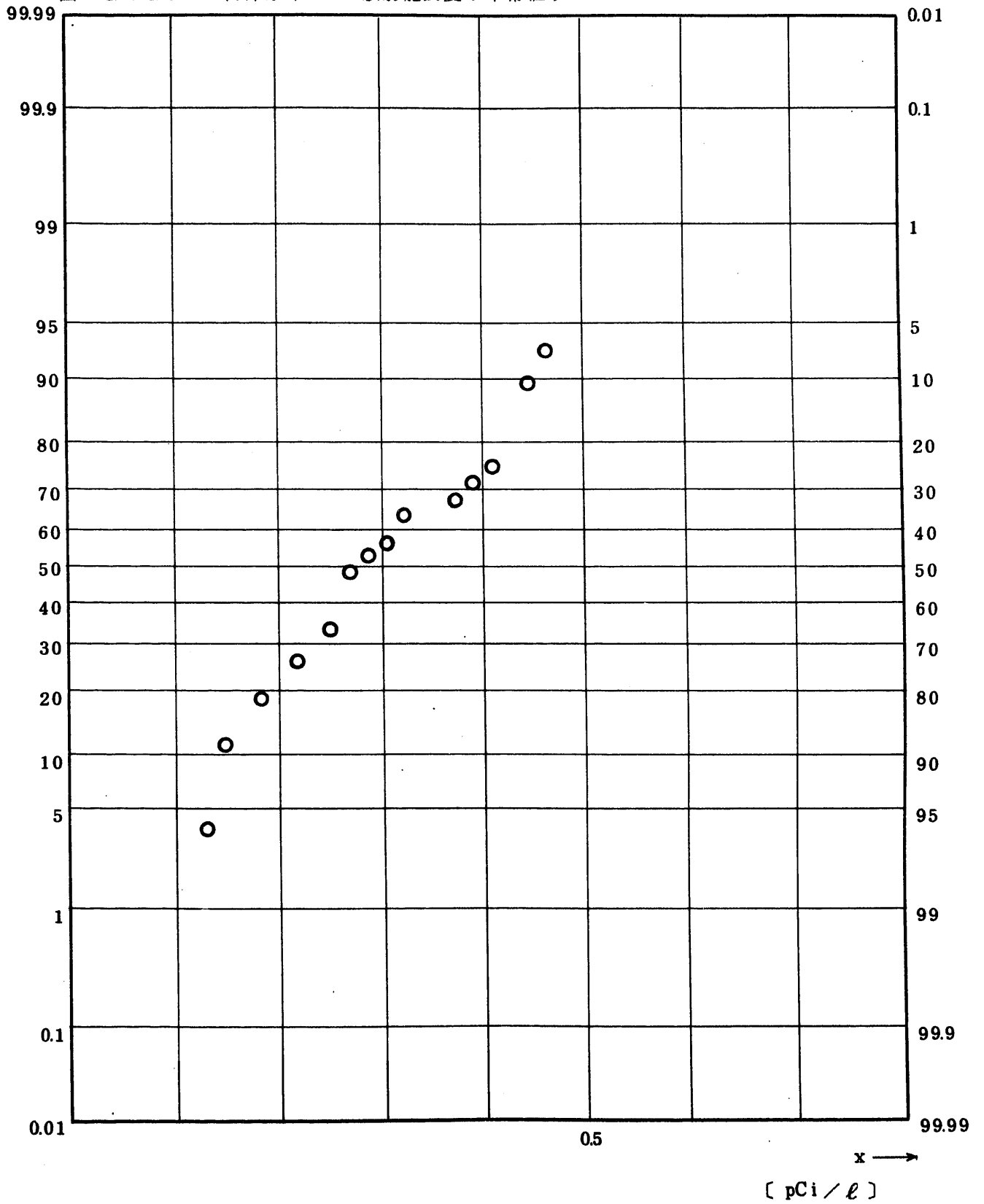


Fig. 8.1.2.1.1.4 ^{95}Zr Concentration in Sea-Shore Water (USUAL)
 (1971.4 ~ 1977.1)

图 8.1.2.1.1.4 海岸水中 ^{95}Zr 放射能濃度 (平常值)

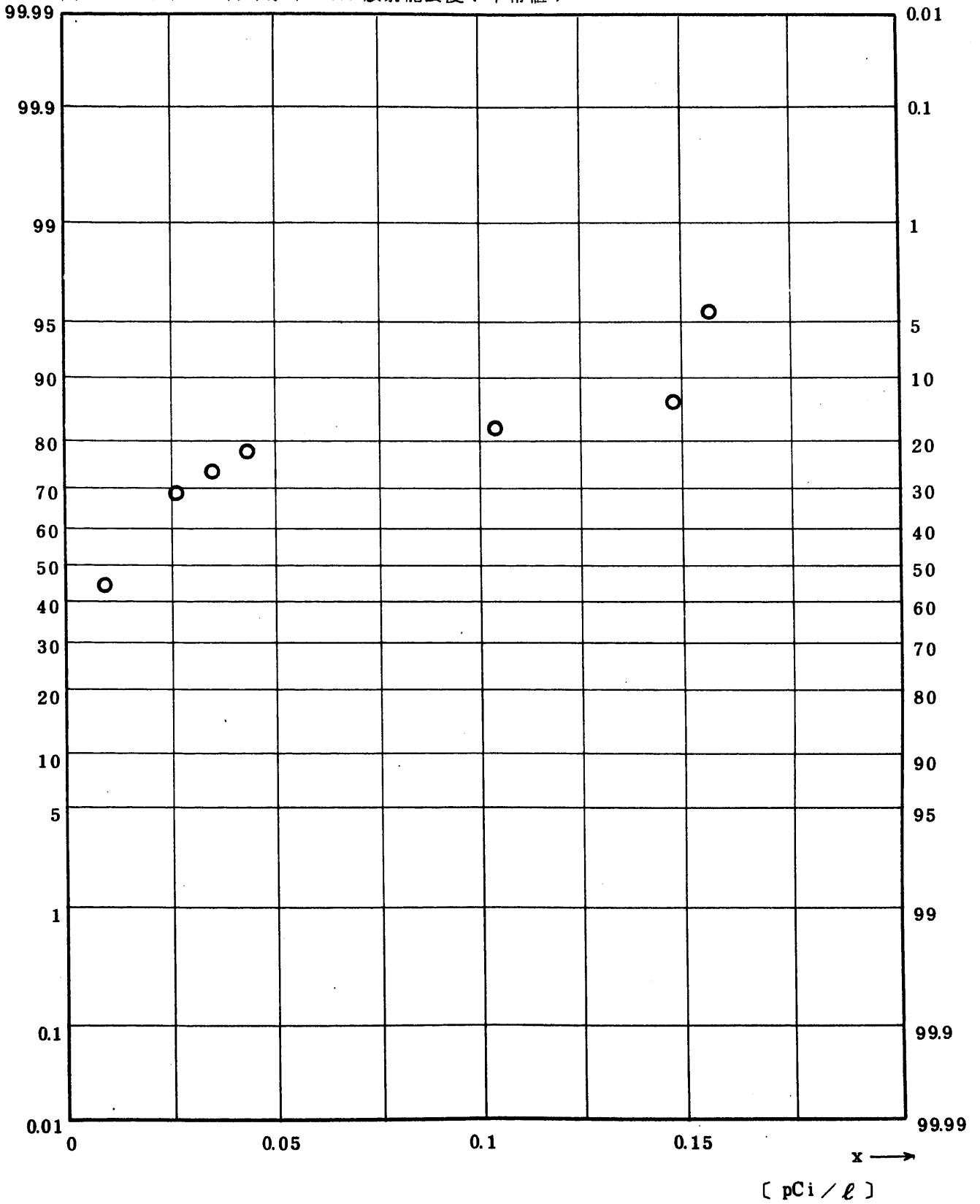


Fig. 8.1.2.1.15 ⁹⁵Zb Concentration in Sea-Shore Water (USUAL)

(1971.4 ~ 1977.1)

图 8.1.2.1.1.5 海岸水中 ⁹⁵Nb 放射能濃度 (平常值)

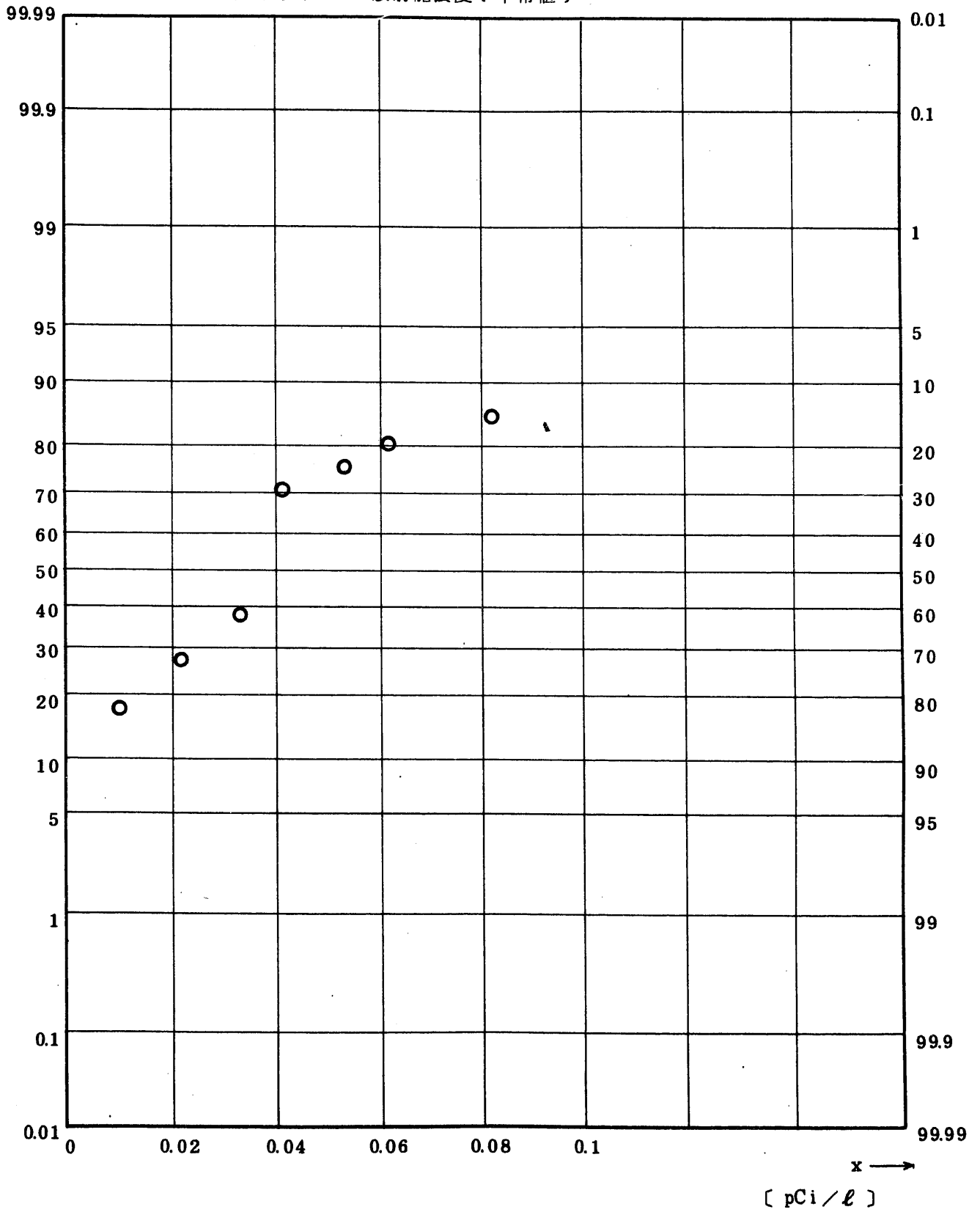


Fig. 8.1.2.1.6 $^{106}\text{Ru}/^{106}\text{Rh}$ Concentration in Sea-Shore Water (USUAL)
 (1 9 7 1 . 4 ~ 1 9 7 7 . 1)

图 8.1.2.1.6 海岸水中 ^{106}Ru 放射能濃度 (平常值)

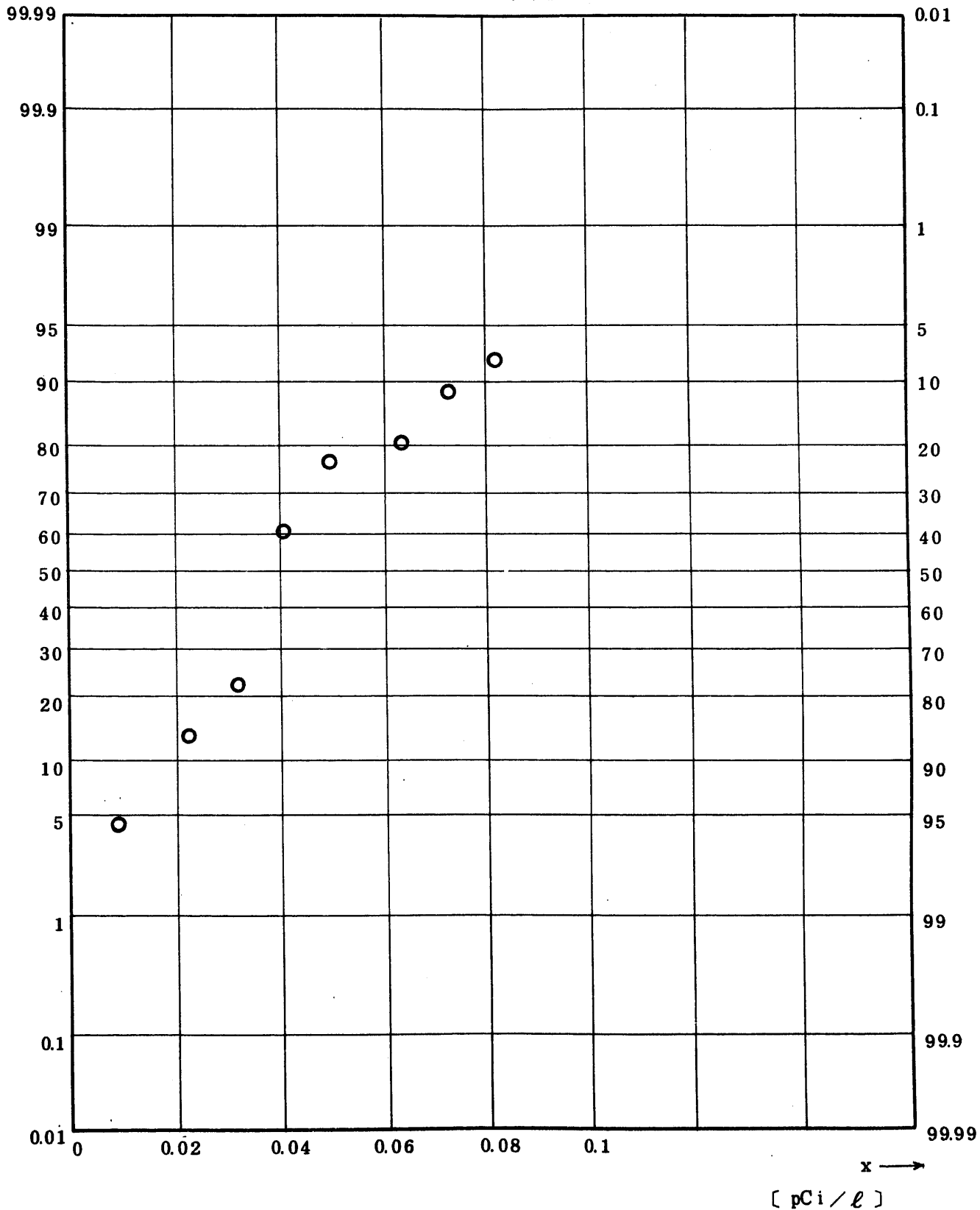


Fig. 8.1.2.1.7 ^{137}Cs Concentration in Sea-Shore Water (USUAL)
 (1971.4 ~ 1977.6)

图 8.1.2.1.1.7 海岸水中 ^{137}Cs 放射能濃度 (平常值)

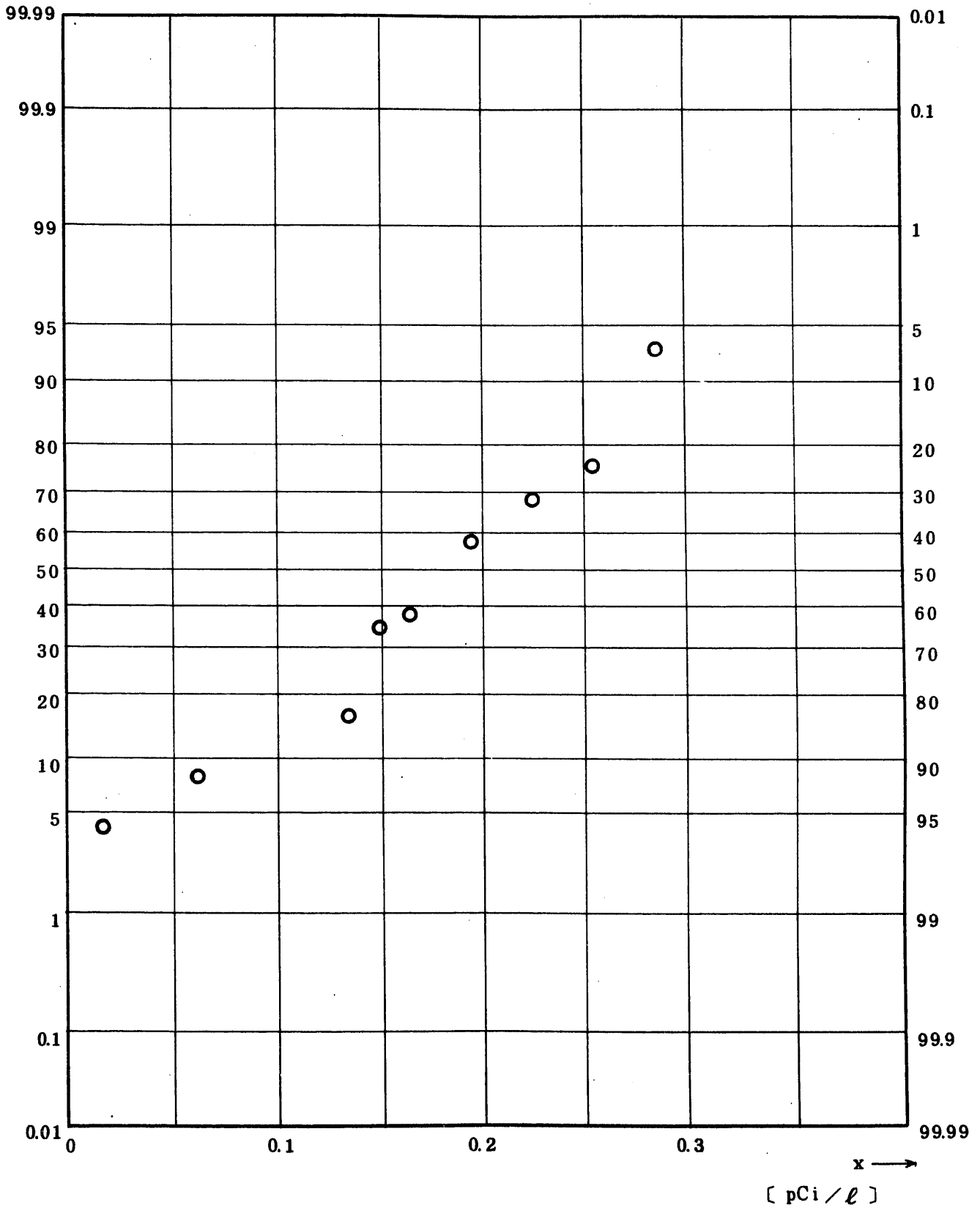


Fig. 8.1.21.1.8 $^{144}\text{Ce}/^{144}\text{Pr}$ Concentration in Sea-Shore Water (USUAL)

(1971.4 ~ 1977.6)

図 8.1.21.1.8 海岸水中 ^{144}Ce 放射能濃度 (平常値)

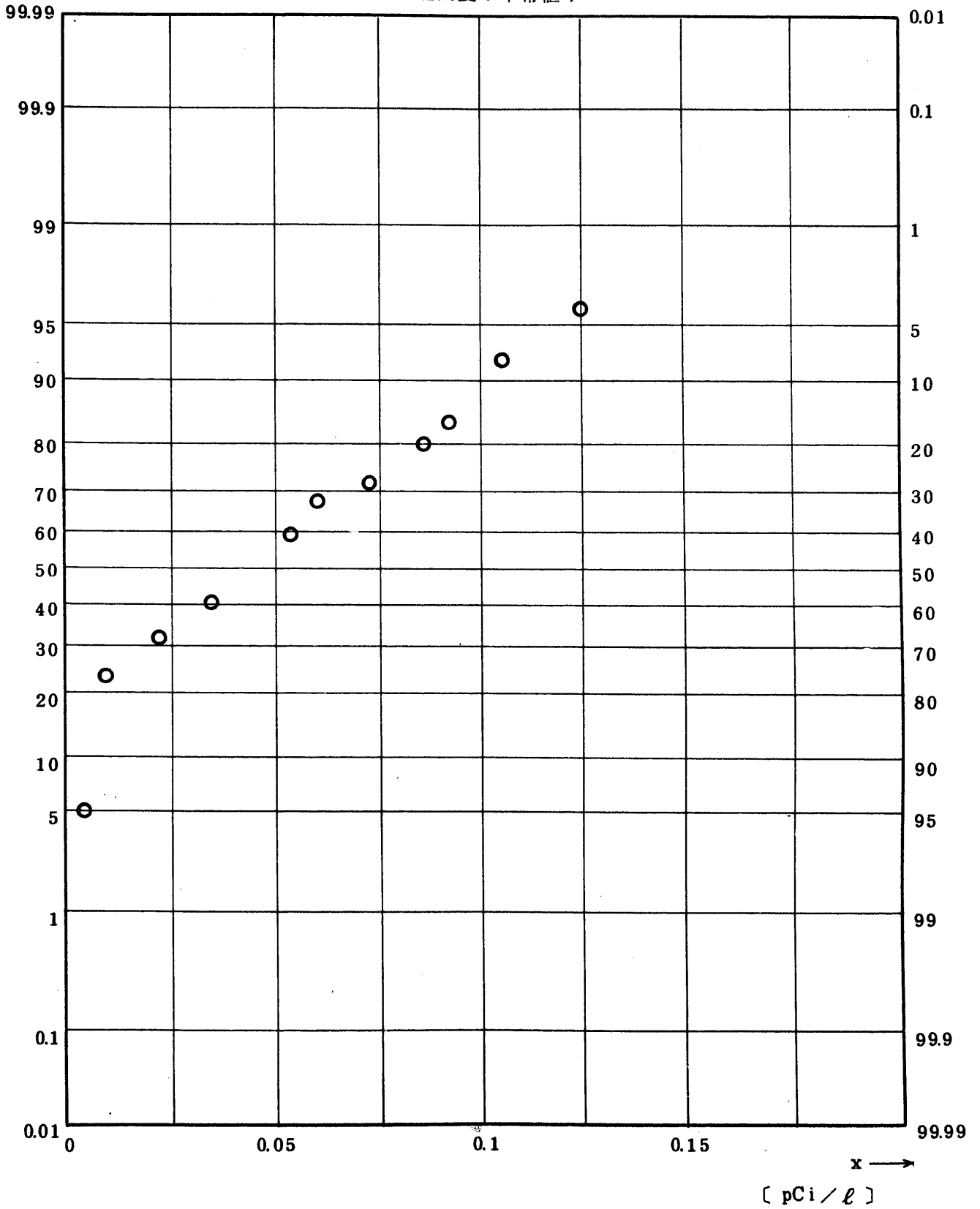


Fig. 8.1.2.1.1.9 $^{239}\text{Pu}/^{240}\text{Pu}$ Concentration in Sea-Shor Water (USUAL)
 (1 9 7 1 . 4 ~ 1 9 7 7 . 6)

图 8.1.2.1.1.9 海岸水中 $^{239,240}\text{Pu}$ 放射能濃度 (平常值)

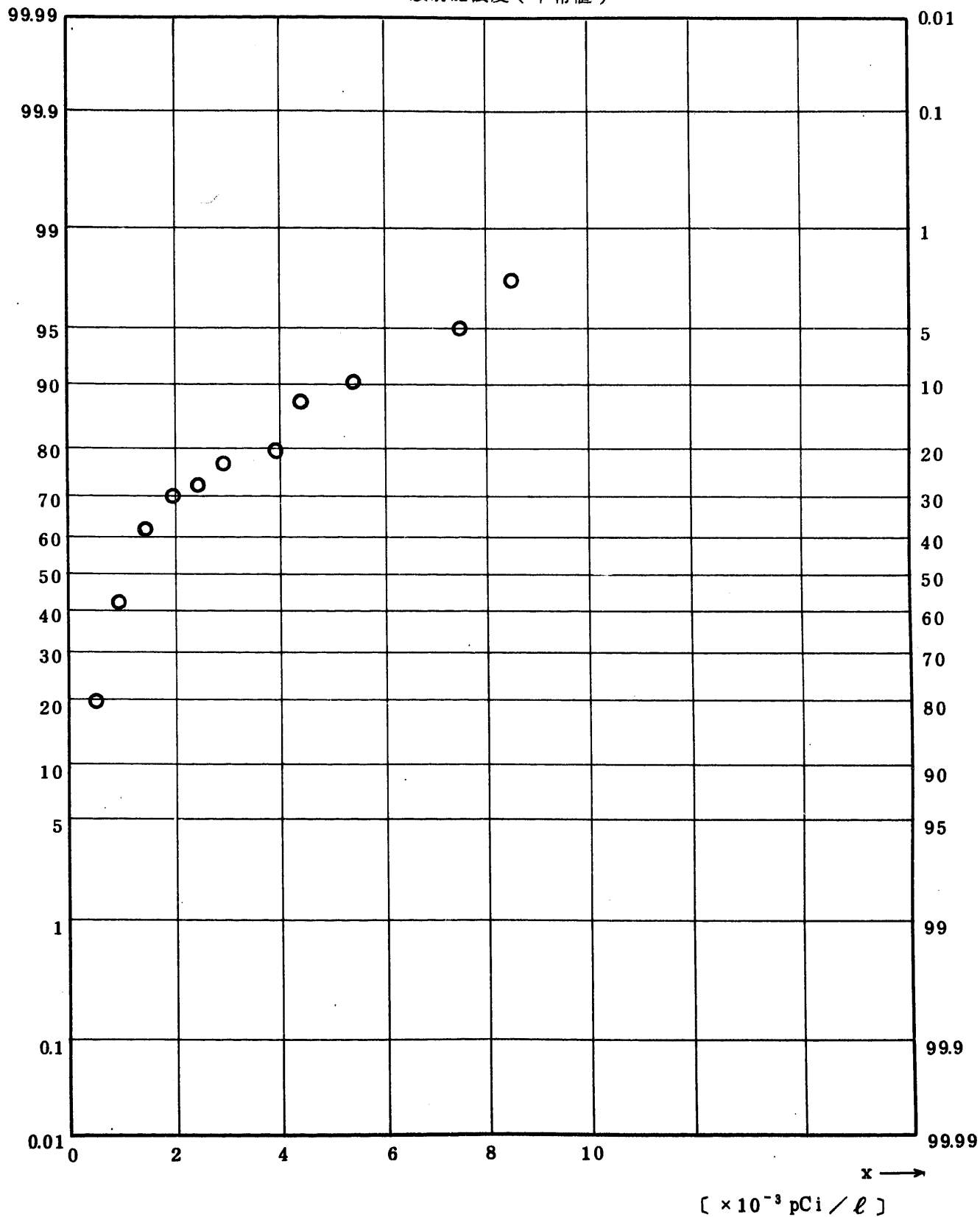


Fig. 8.2.1.1.1. Gross BETA Concentration in Sea Water (ALL)

(1971.6 ~ 1976.3)

图 8.2.1.1.1.1 海水中全β放射能濃度(全測定値)

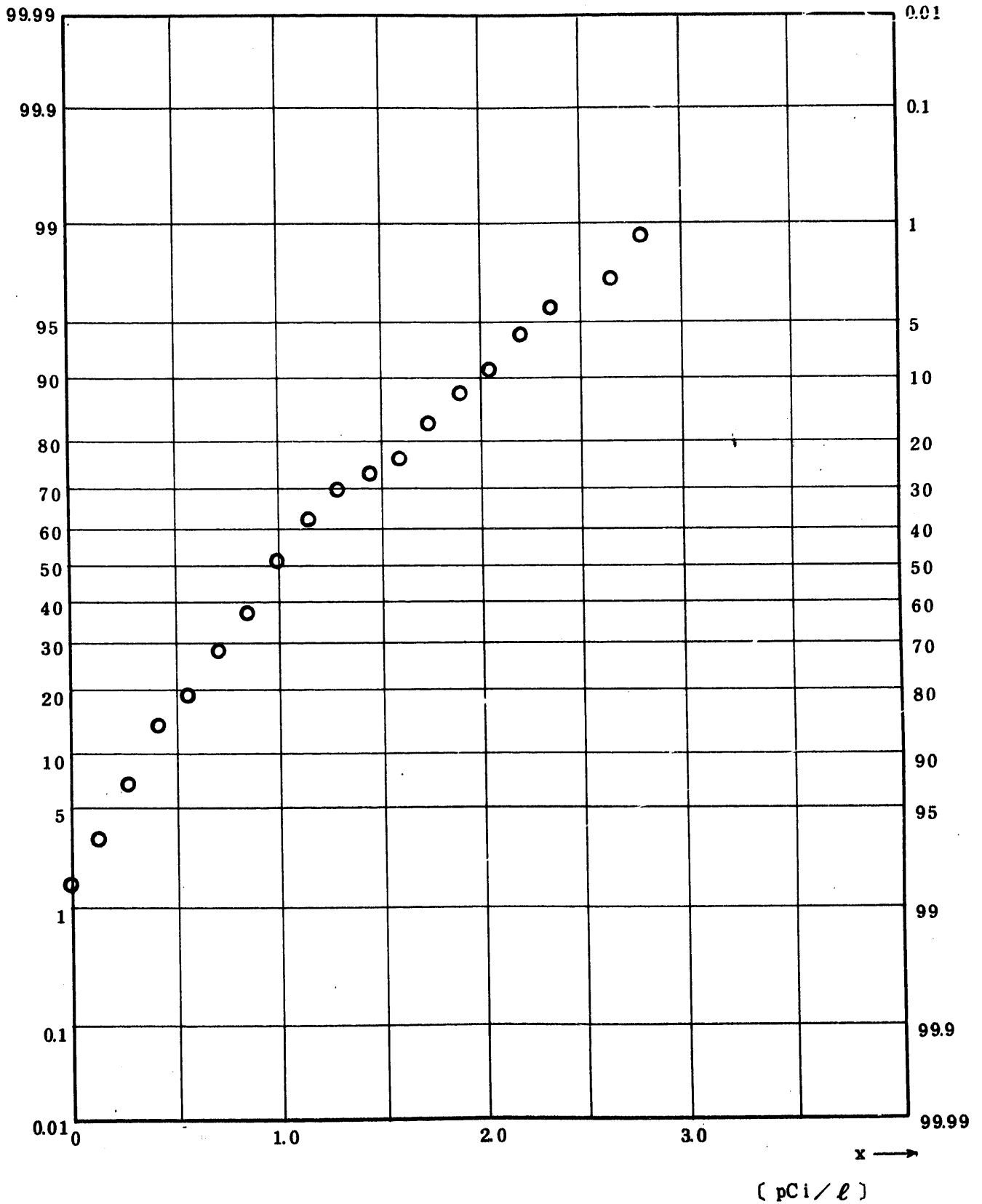


Fig. 8.2.1.1.2 ^3H Concentration in Sea Water (ALL)

(1971.6 ~ 1976.3)

図 8.2.1.1.2 海水中 ^3H 放射能濃度(全測定値)

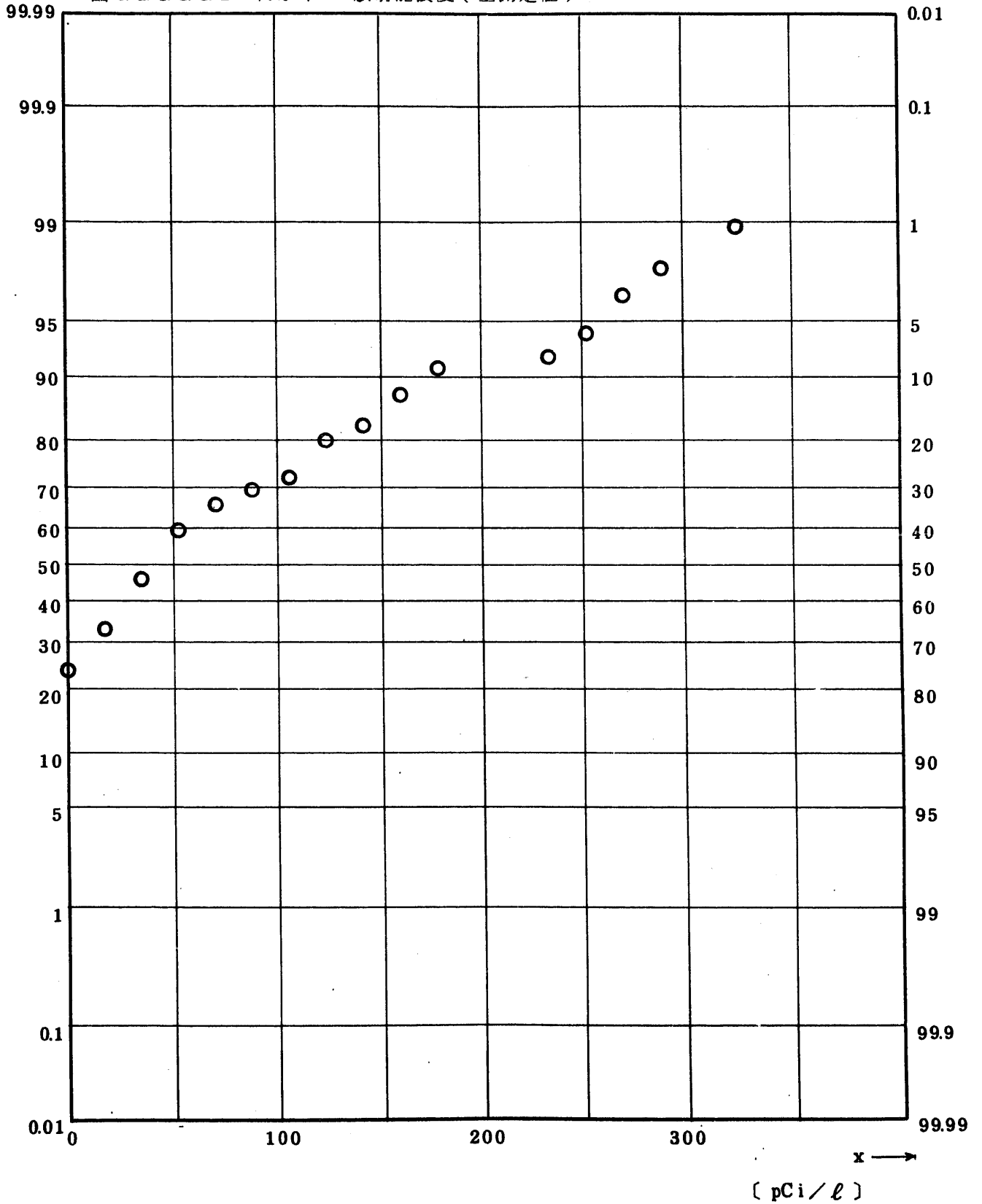


Fig. 8.2.1.1.3 ^{90}Sr Concentration in Sea Water (ALL)

(1971.6 ~ 1976.3)

图 8.2.1.1.3 海水中 ^{90}Sr 放射能浓度 (全测定值)

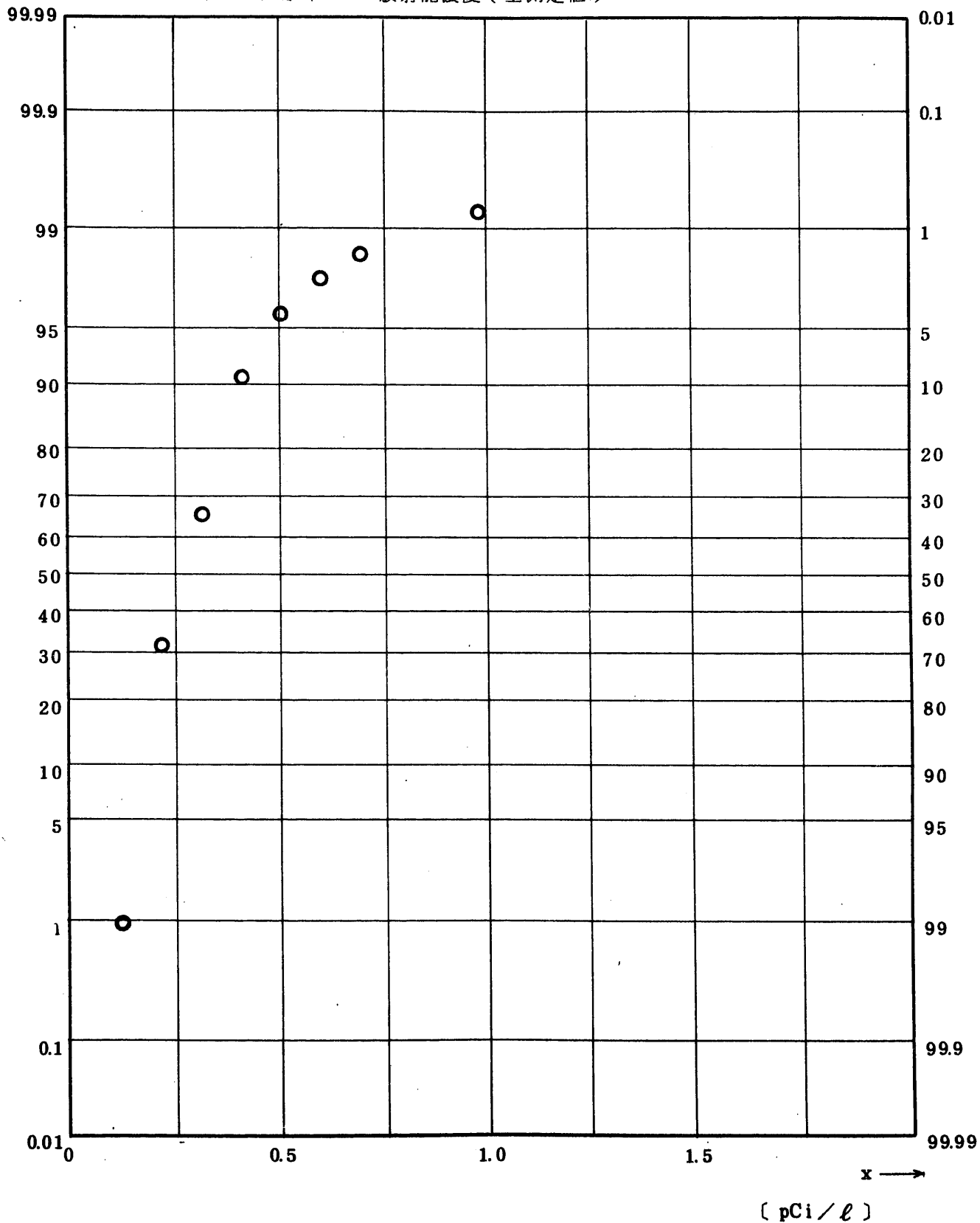


Fig. 8.2.1.1.3 ^{90}Sr Concentration in Sea Water (ALL)

(1971.6 ~ 1976.3)

图 8.2.1.2.1.3 海水中 ^{90}Sr 放射能濃度 (全測定値)

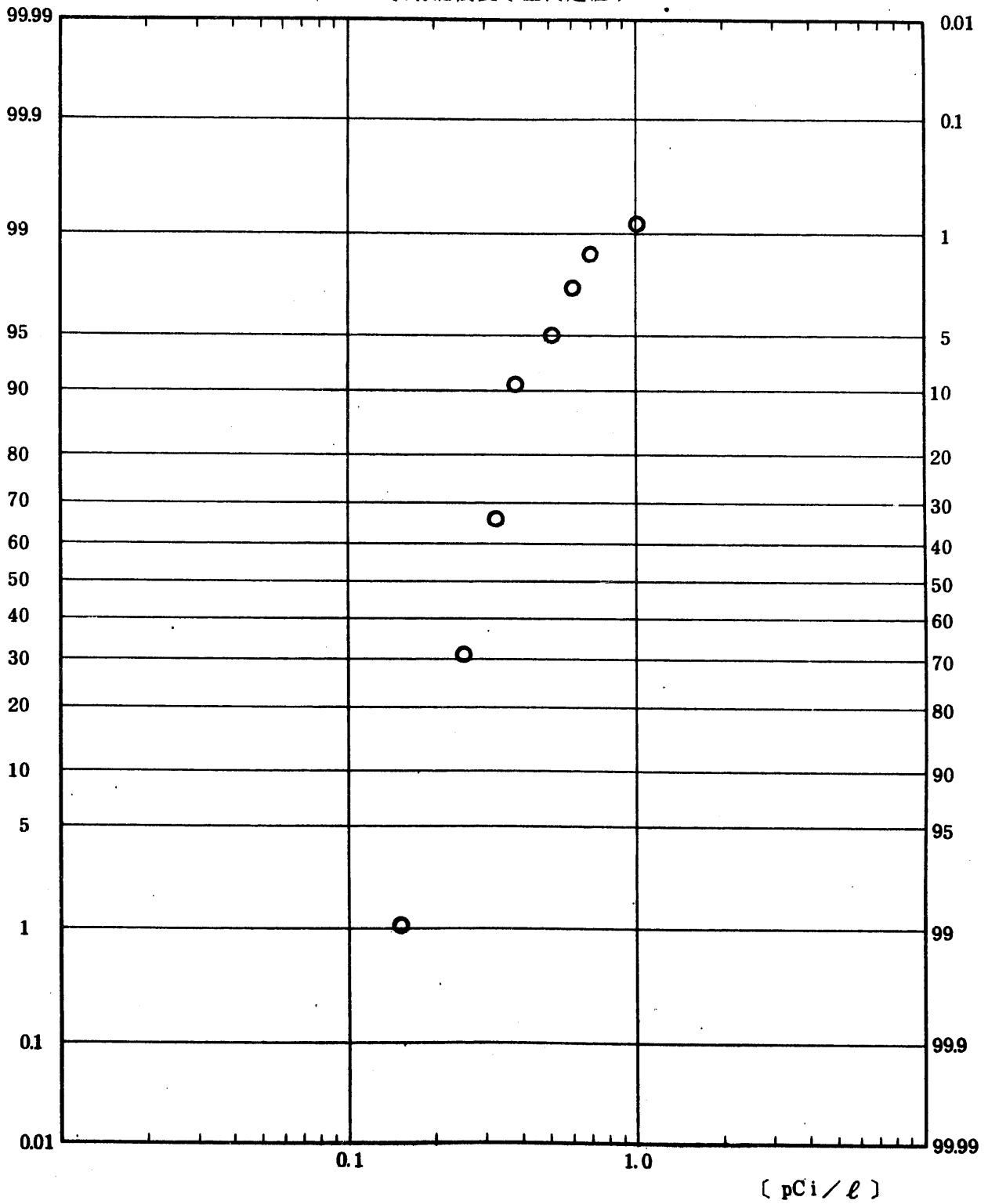


Fig. 8.2.1.1.4 ^{95}Zr Concentration in Sea Water (ALL)

(1971.6 ~ 1976.3)

図 8.2.1.1.4 海水中 ^{95}Zr 放射能濃度 (全測定値)

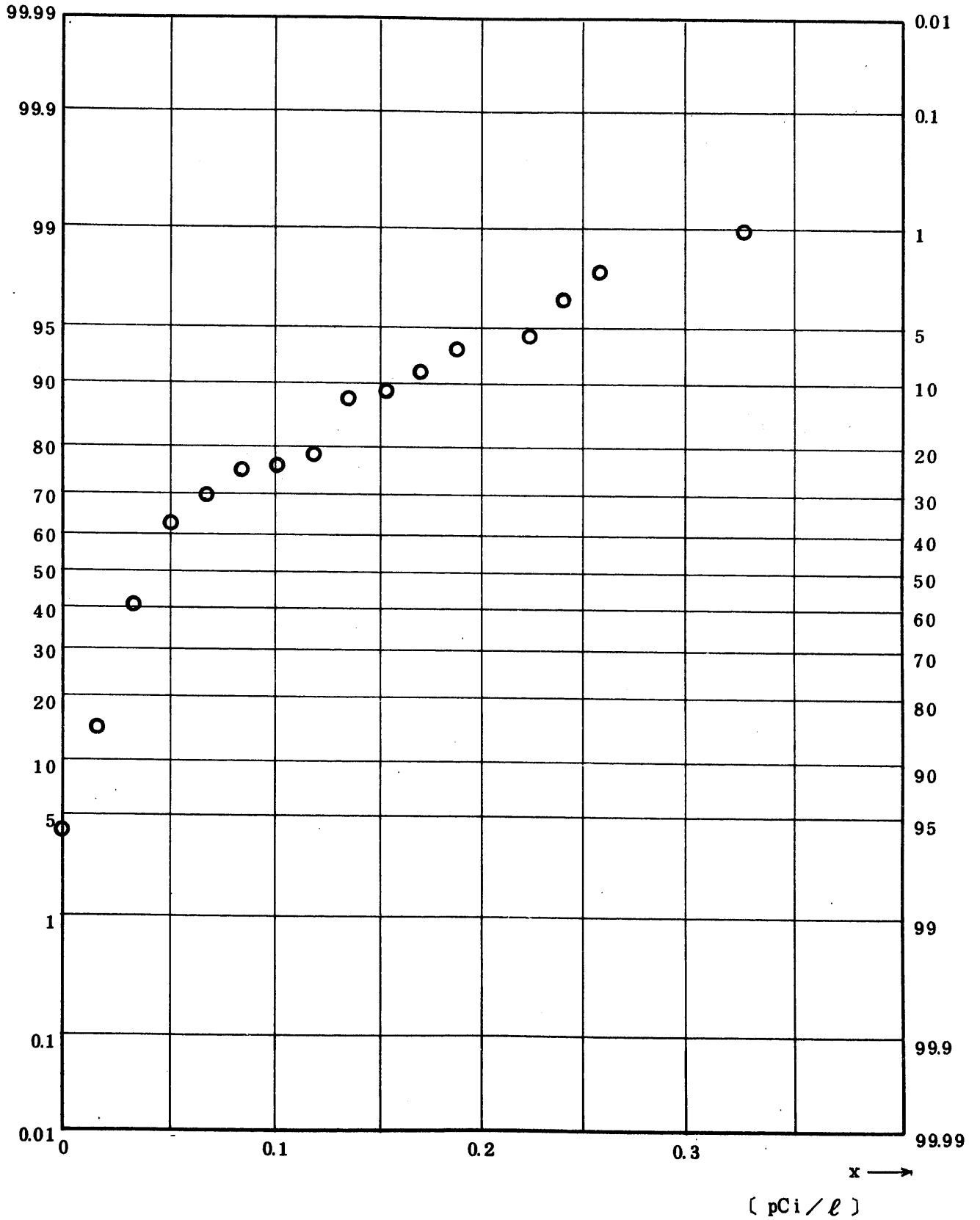


Fig. 8.2.1.1.1.5 ⁹⁵Nb Concentration in Sea Water (ALL)

(1971.6 ~ 1976.3)

図 8.2.1.1.1.5 海水中⁹⁵Nb 放射能濃度 (全測定値)

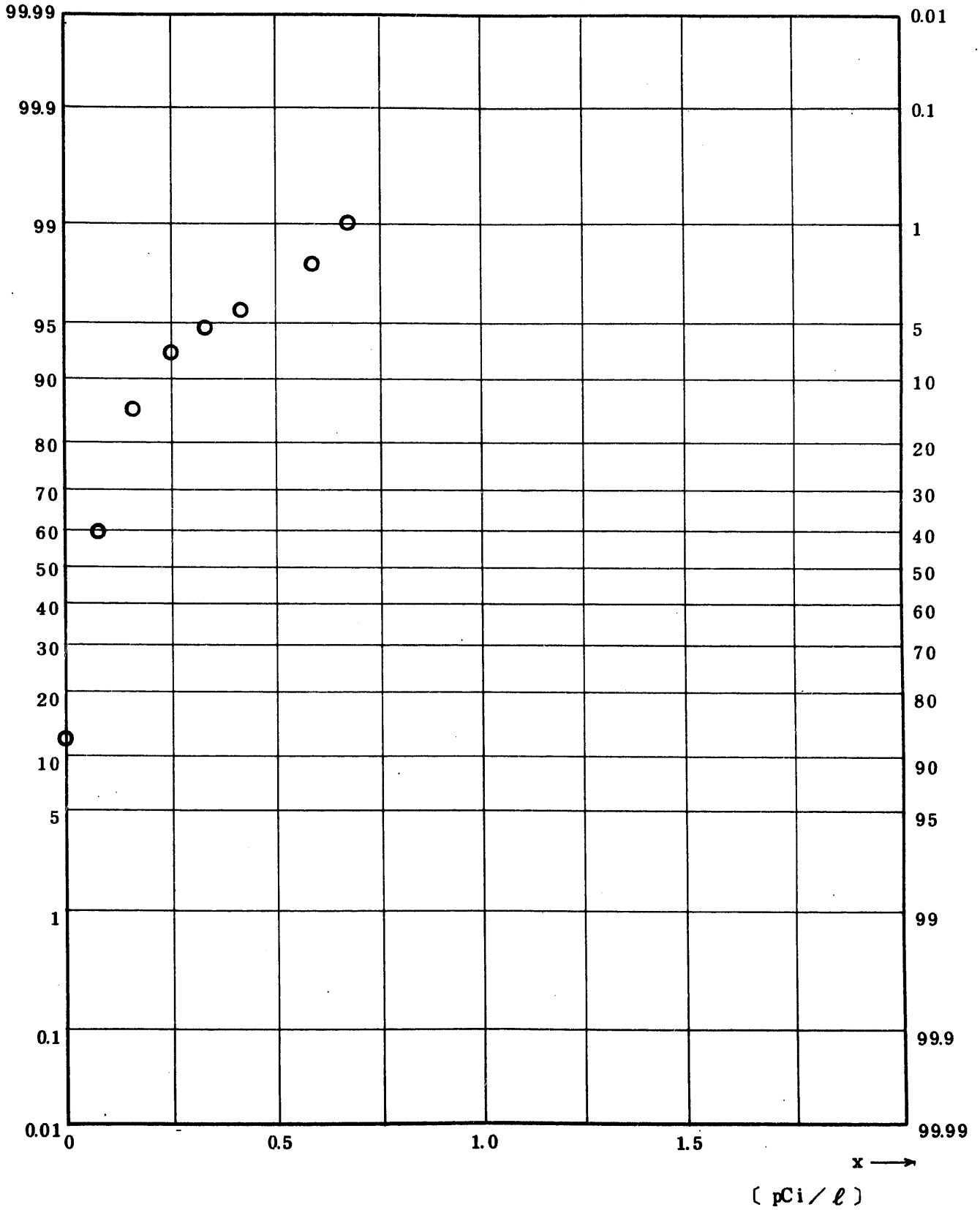


Fig. 8.2.1.1.6 $^{106}\text{Ru}/^{106}\text{Rh}$ Concentration in Sea Water (ALL)

(1971.6 ~ 1976.3)

図 8.2.1.1.6 海水中 ^{106}Ru 放射能濃度 (全測定値)

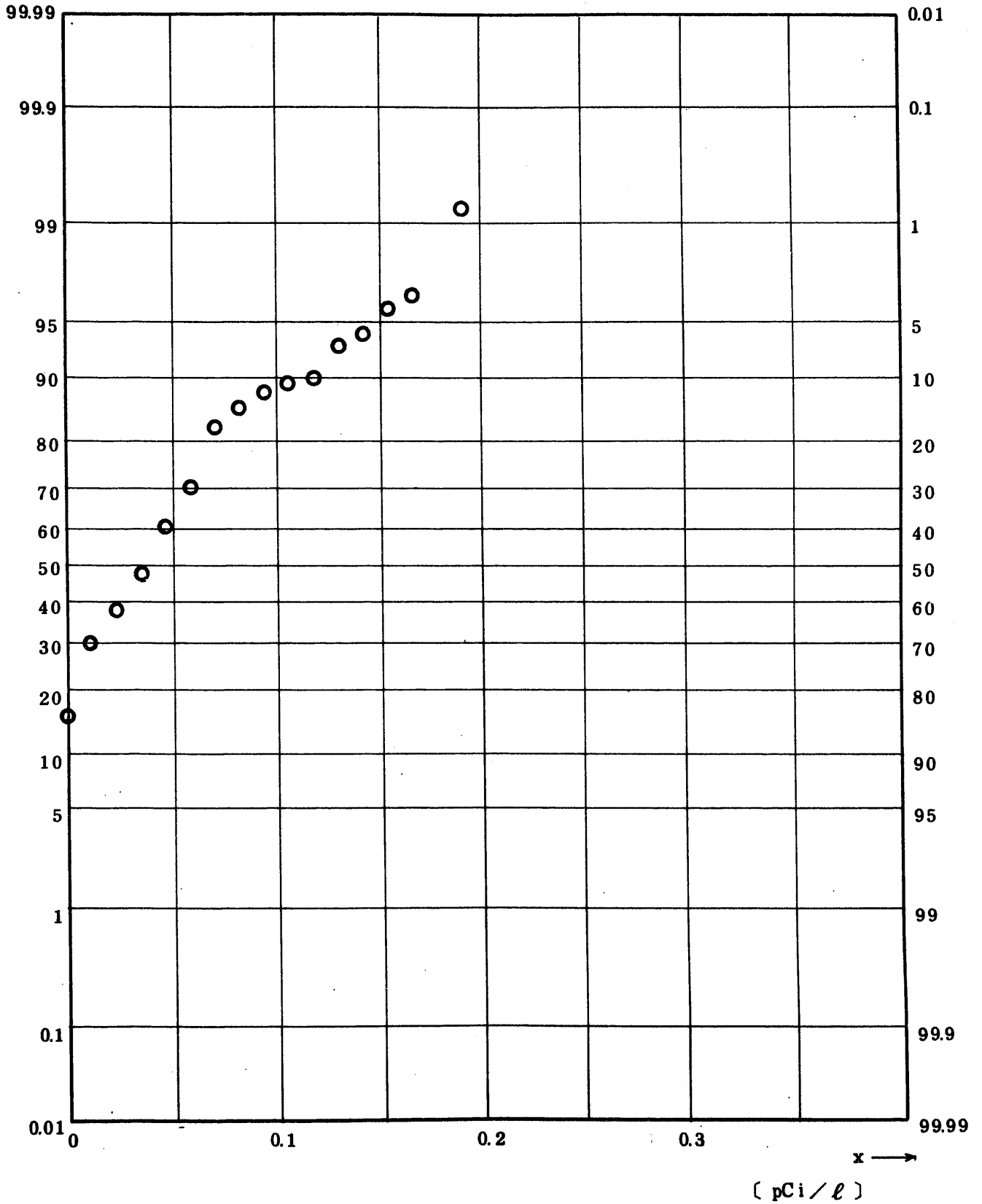


Fig. 8.2.1.1.7 ^{137}Cs Concentration in Sea Water (ALL)

(1971.6 ~ 1976.3)

图 8.2.1.1.1.7 海水中 ^{137}Cs 放射能浓度 (全测定值)

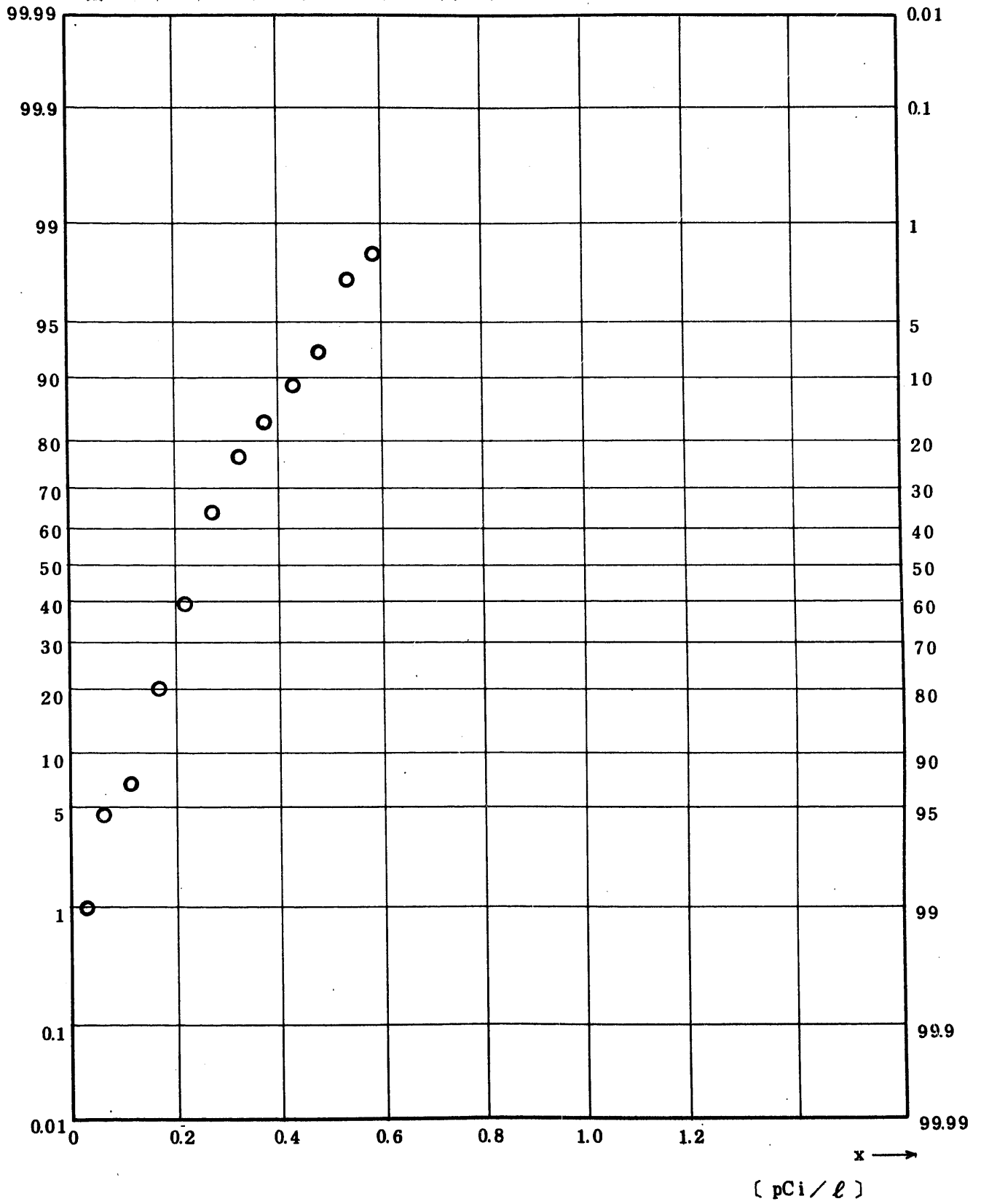


Fig. 8.2.1.1.8 $^{144}\text{Ce}/^{144}\text{Pr}$ Concentration in Sea Water (ALL)

(1971.6 ~ 1976.3)

図 8.2.1.1.8 海水中 ^{144}Ce 放射能濃度(全測定値)

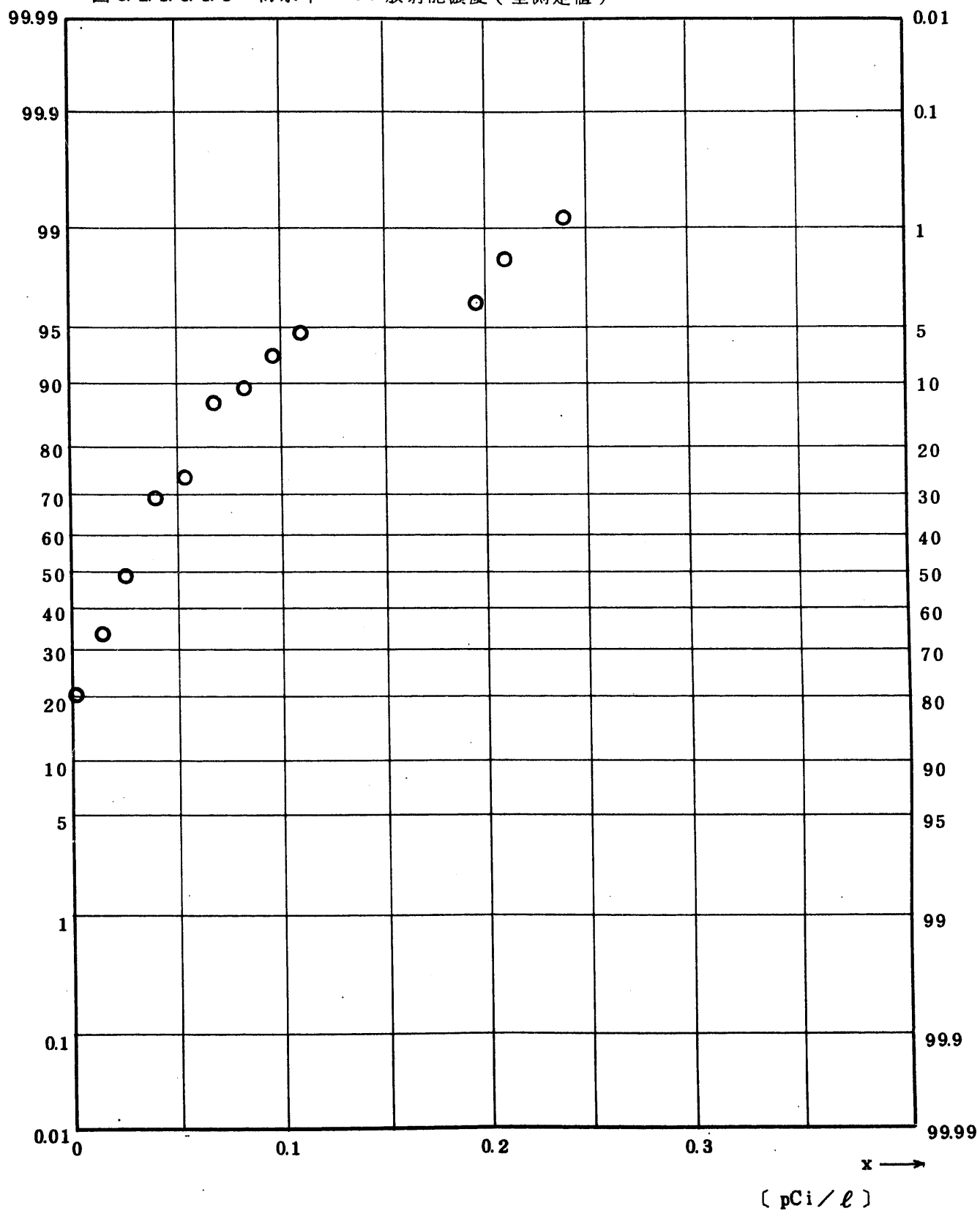


Fig. 8.2.1.1.1.9 $^{239}\text{Pu} + ^{240}\text{Pu}$ Concentration in Sea Water (ALL)

(1971.6 ~ 1976.3)

图 8.2.1.1.1.9 海水中 $^{239,240}\text{Pu}$ 放射能濃度(全測定值)

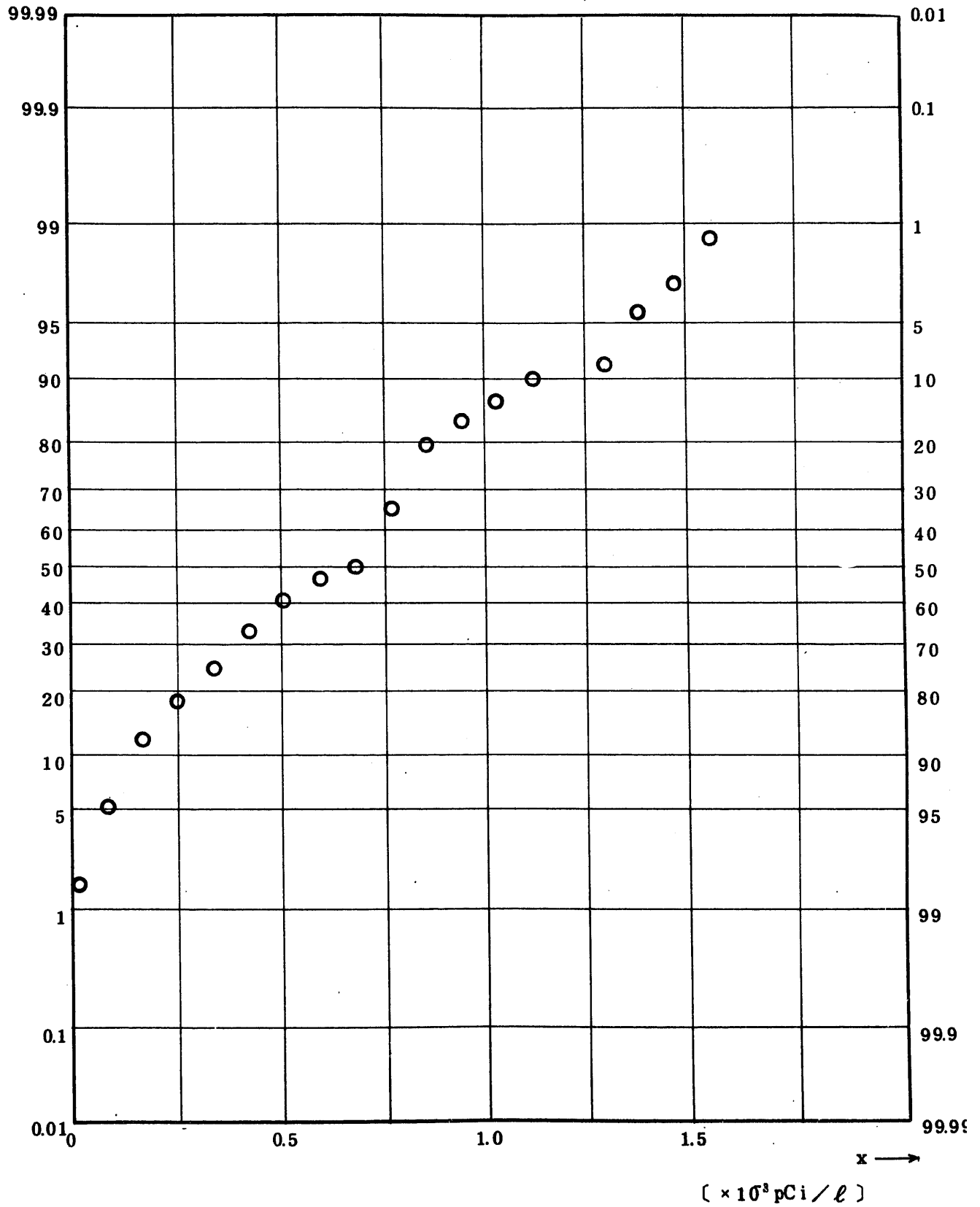


Fig. 8.2.2.1.1 Gross BETA Concentration in Sea Water (USUAL)

(1971.6 ~ 1976.3)

図 8.2.2.1.1.1 海水中全β放射能濃度(平常値)

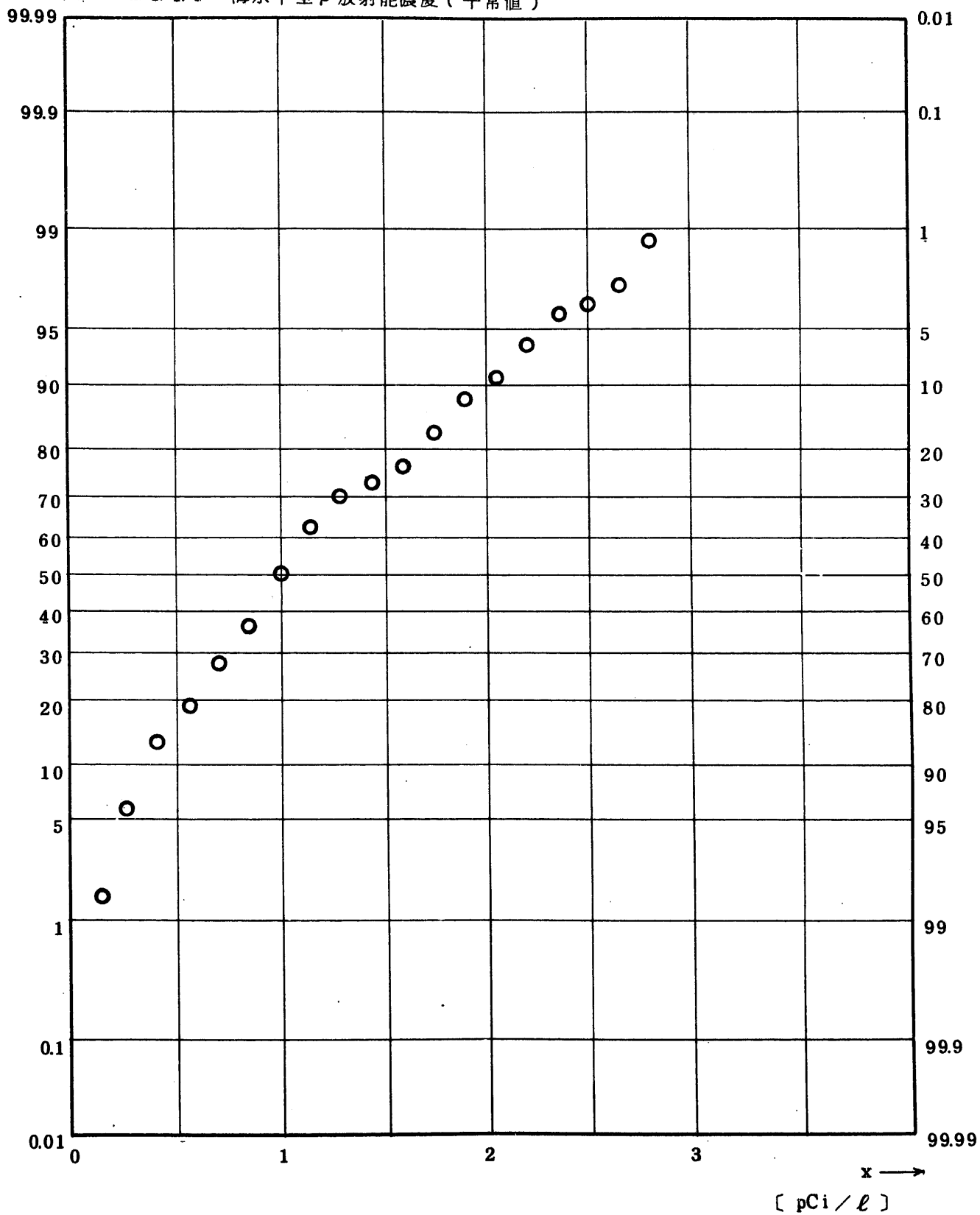


Fig. 8.2.2.1.2 ^3H Concentration in Sea Water (ALL)

(1971.6 ~ 1976.3)

図 8.2.2.1.1.2 海水中 ^3H 放射能濃度 (平常値)

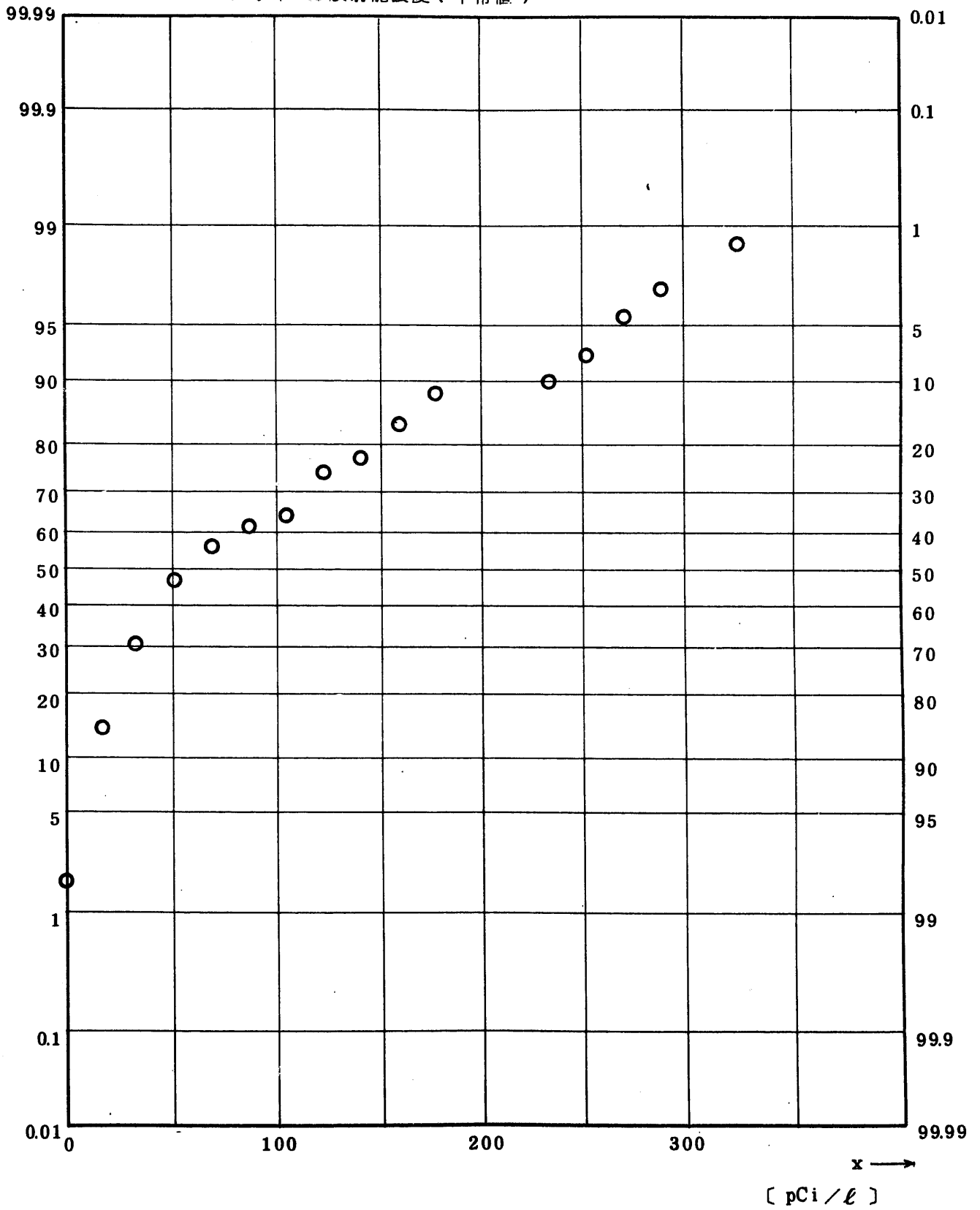


Fig. 8.2.2.1.3 ^{90}Sr Concentration in Sea Water (USUAL)

(1971.6 ~ 1976.3)

図 8.2.2.1.1.3 海水中 ^{90}Sr 放射能濃度 (平常値)

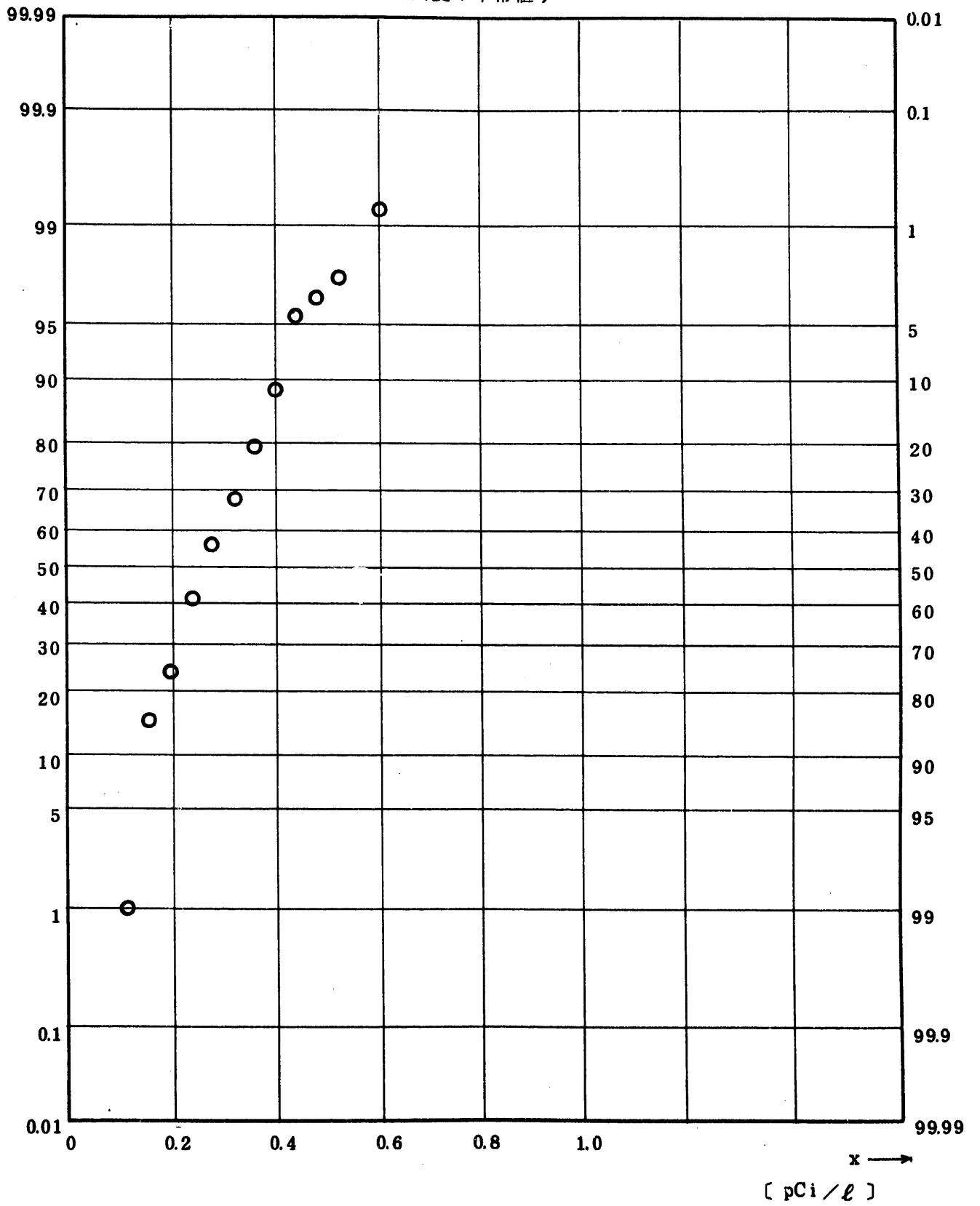


Fig. 8.2.2.1.4 ^{95}Zr Concentration in Sea Water (USUAL)

(1971.6 ~ 1976.3)

図 8.2.2.1.4 海水中 ^{95}Zr 放射能濃度 (平常値)

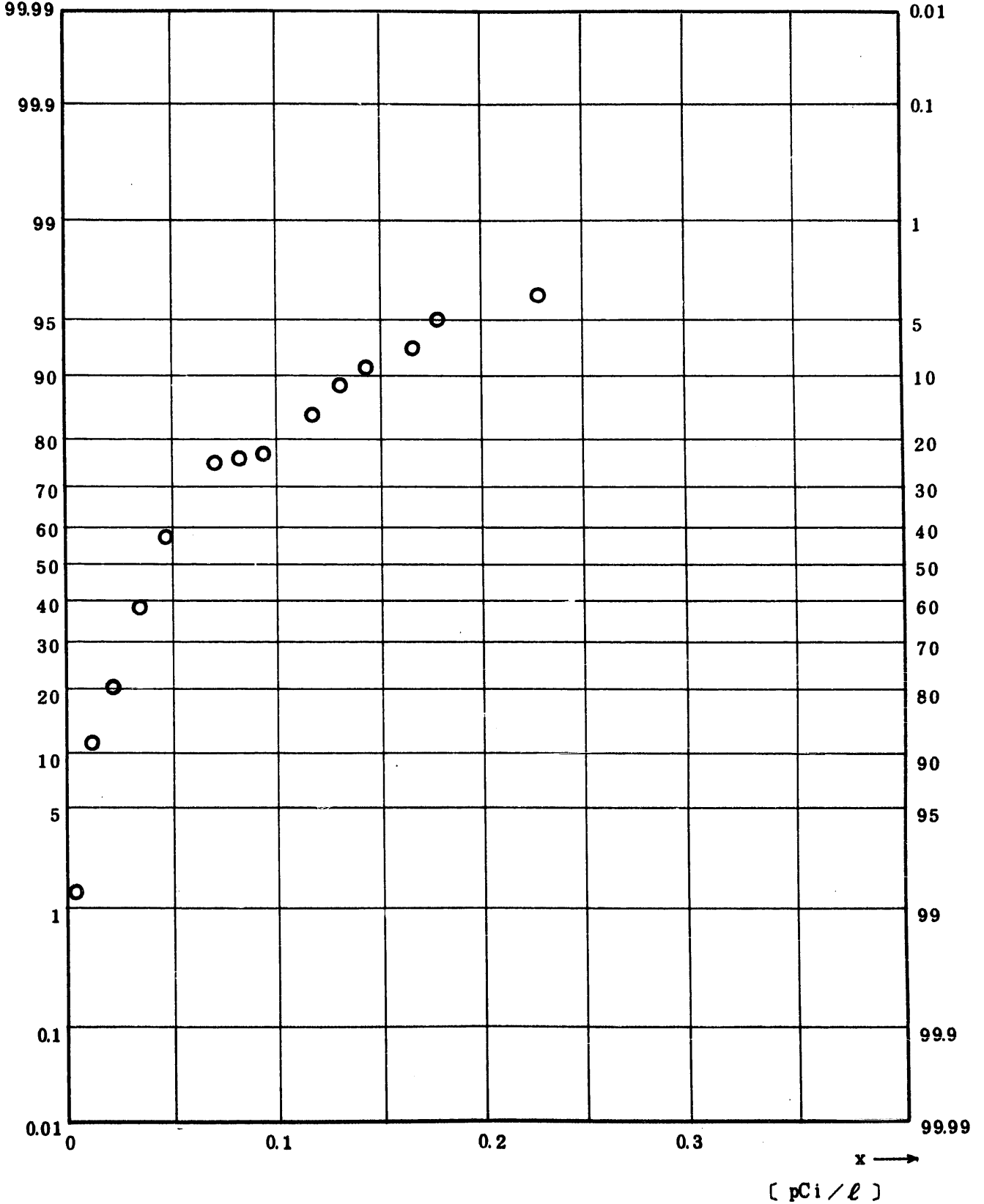


Fig. 8.2.2.1.5 ^{95}Nb Concentration in Sea Water (USUAL)

(1971.6 ~ 1976.3)

図 8.2.2.1.1.5 海水中 ^{95}Nb 放射能濃度 (平常値)

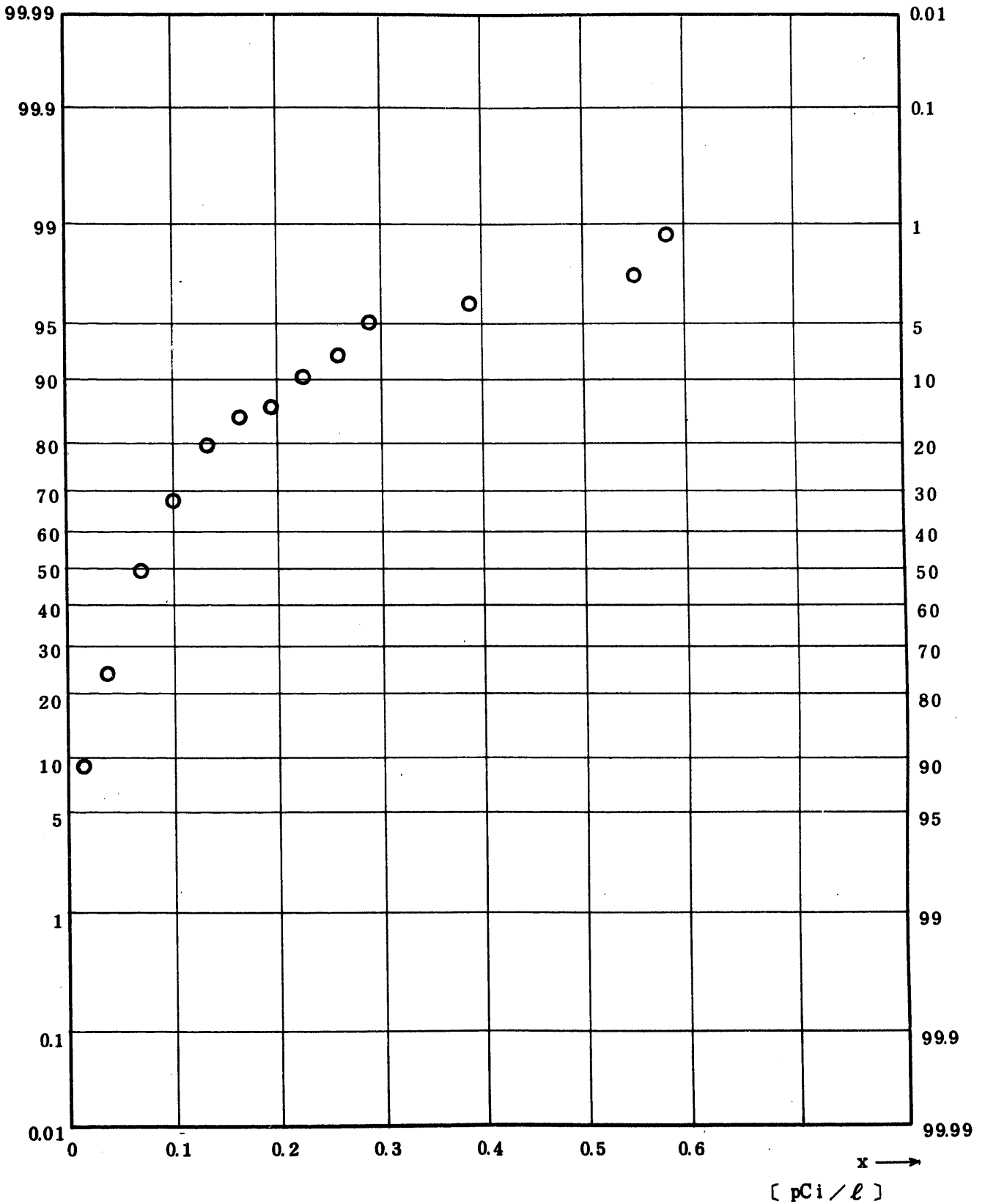


Fig. 8.2.2.1.6 $^{106}\text{Ru}/^{106}\text{Rh}$ Concentration in Sea Water (USUAL)

(1971.6 ~ 1976.3)

图 8.2.2.1.1.6 海水中 ^{106}Ru 放射能濃度 (平常值)

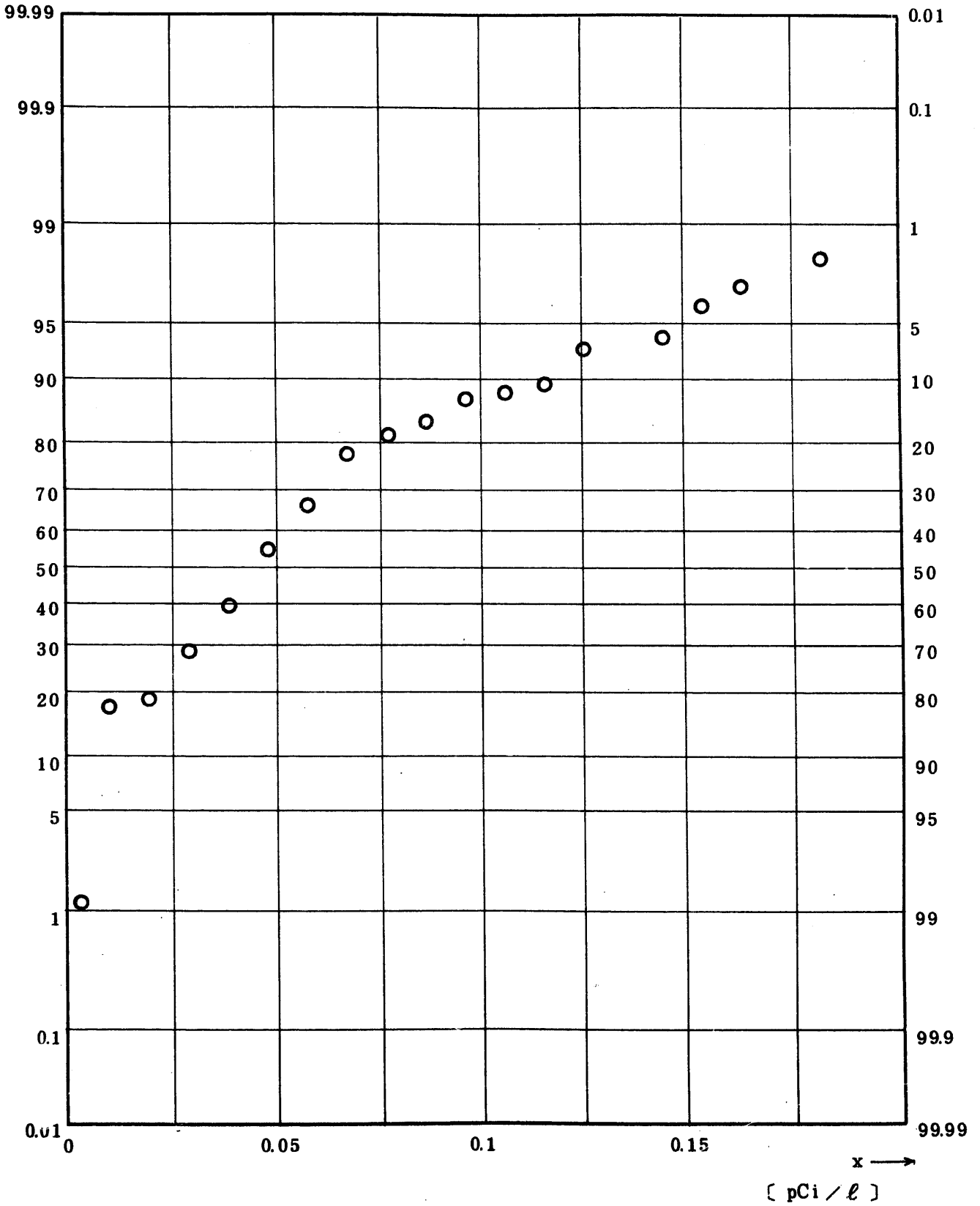


Fig. 8.2.2.1.7 ^{137}Cs Concentration in Sea Water (USUAL)

(1971.6 ~ 1976.3)

图 8.2.2.1.1.7 海水中 ^{137}Cs 放射能浓度 (平常值)

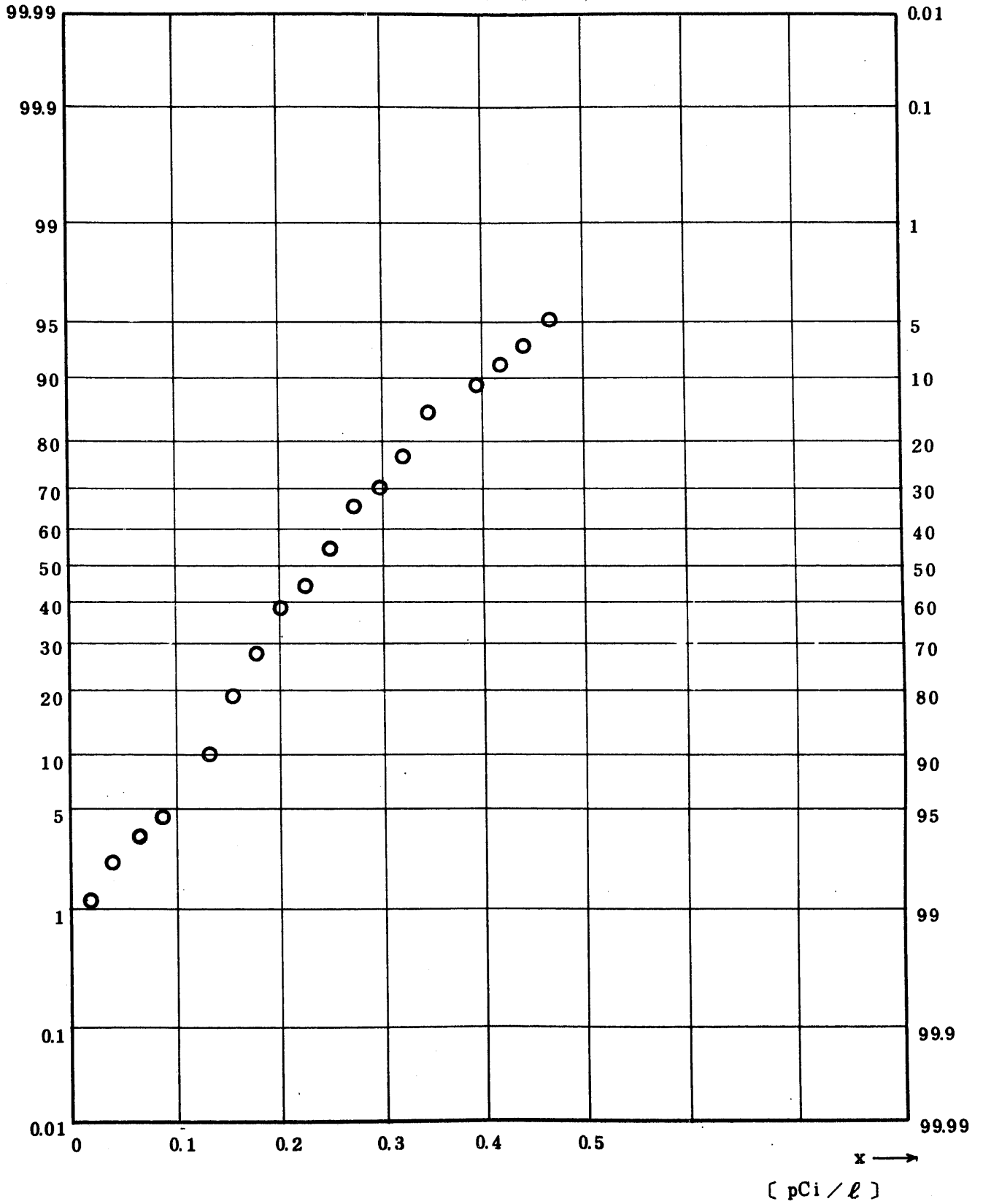


Fig. 8.2.2.1.8 $^{144}\text{Ce}/^{144}\text{Pr}$ Concentration in Sea Water (USUAL)
 (1971.6 ~ 1976.3)

図 8.2.2.1.1.8 海水中 ^{144}Ce 放射能濃度 (平常値)

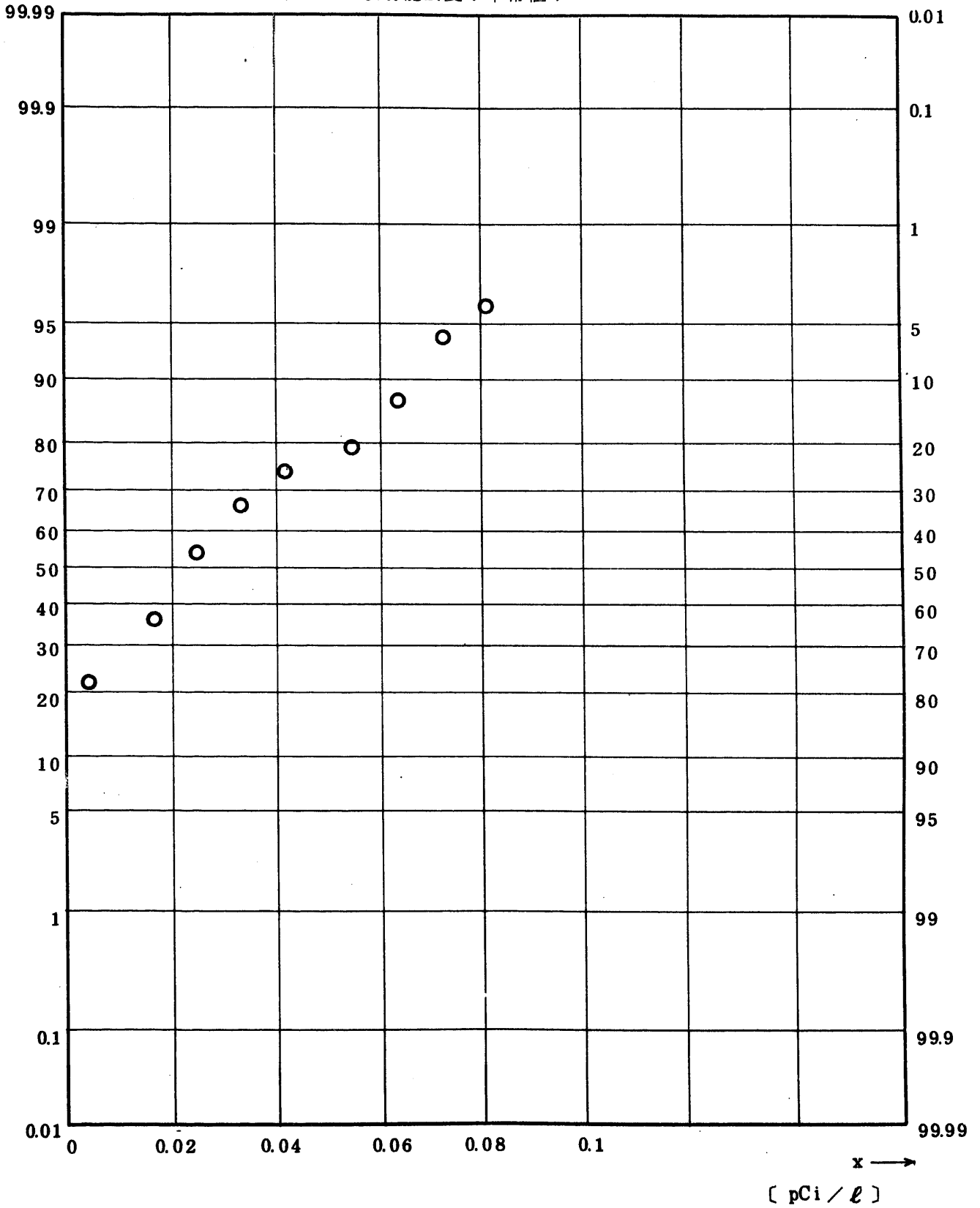


Fig. 8.2.2.1.7 $^{239}\text{Pu} + ^{240}\text{Pu}$ Concentration in Sea Water (USTAL)

(1971.6 ~ 1976.3)

図 8.2.2.1.1.9 海水中 $^{239}, ^{240}\text{Pu}$ 放射能濃度 (平常値)

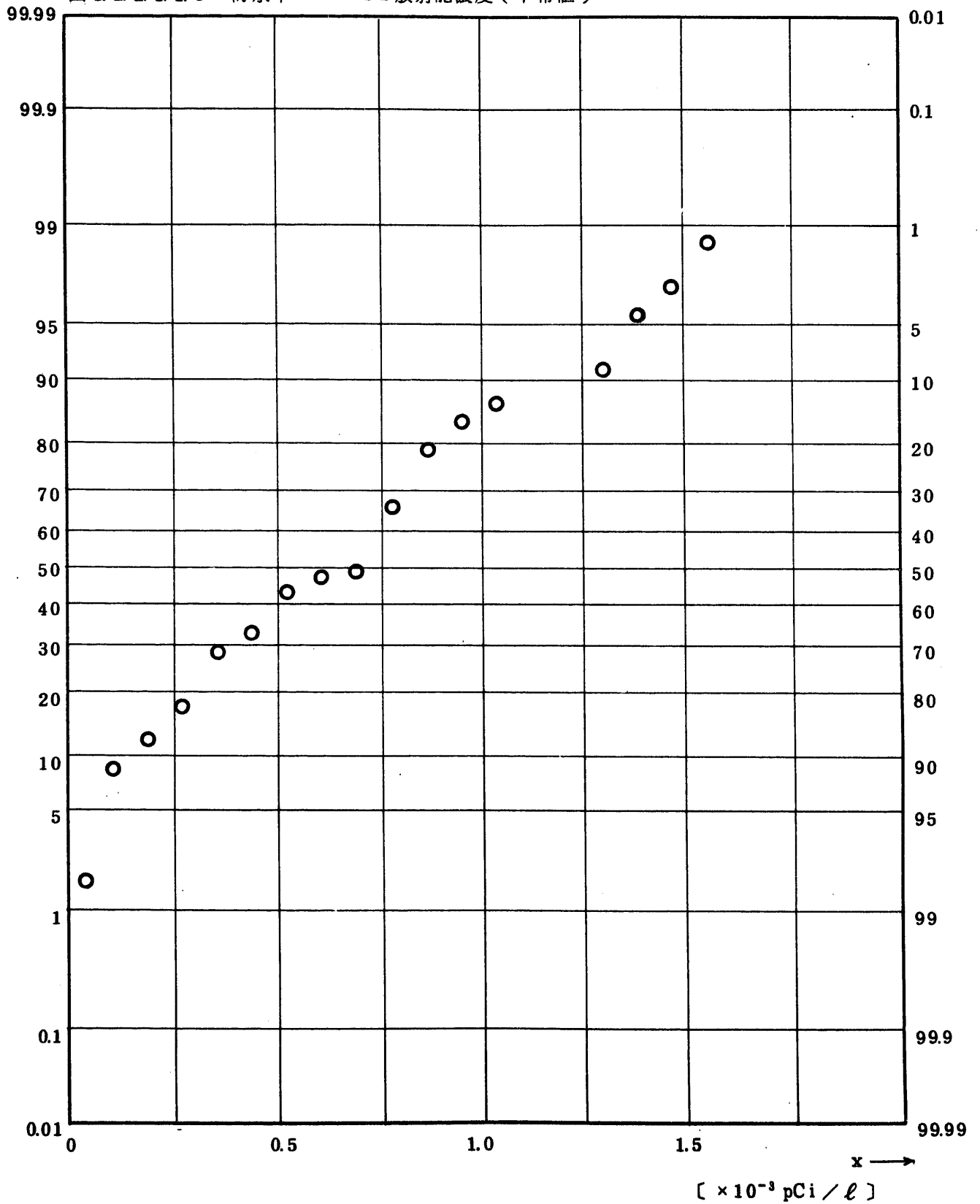


Fig. 9.1.1.1.1 Gross BETA Concentration in Sea Water (ALL)

(1971.7 ~ 1977.4)

図 9.1.1.1.1 海底土全β放射能濃度(全測定値)

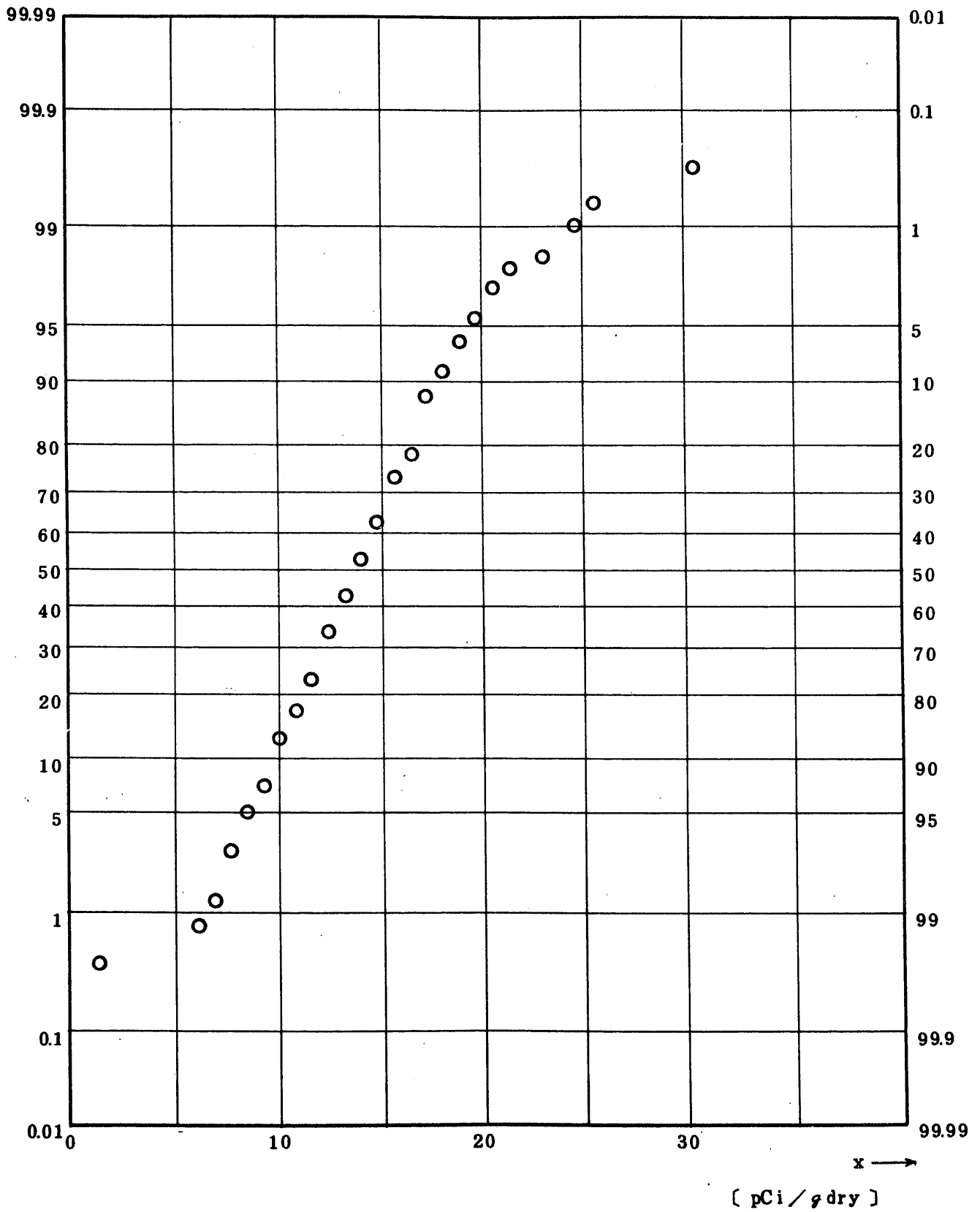


Fig. 9.1.2.1.1 Gross BETA Concentration in Sea Water (ALL)

(1971.7 ~ 1977.4)

图 9.1.2.1.1 海底土中全β放射能濃度(全測定值)

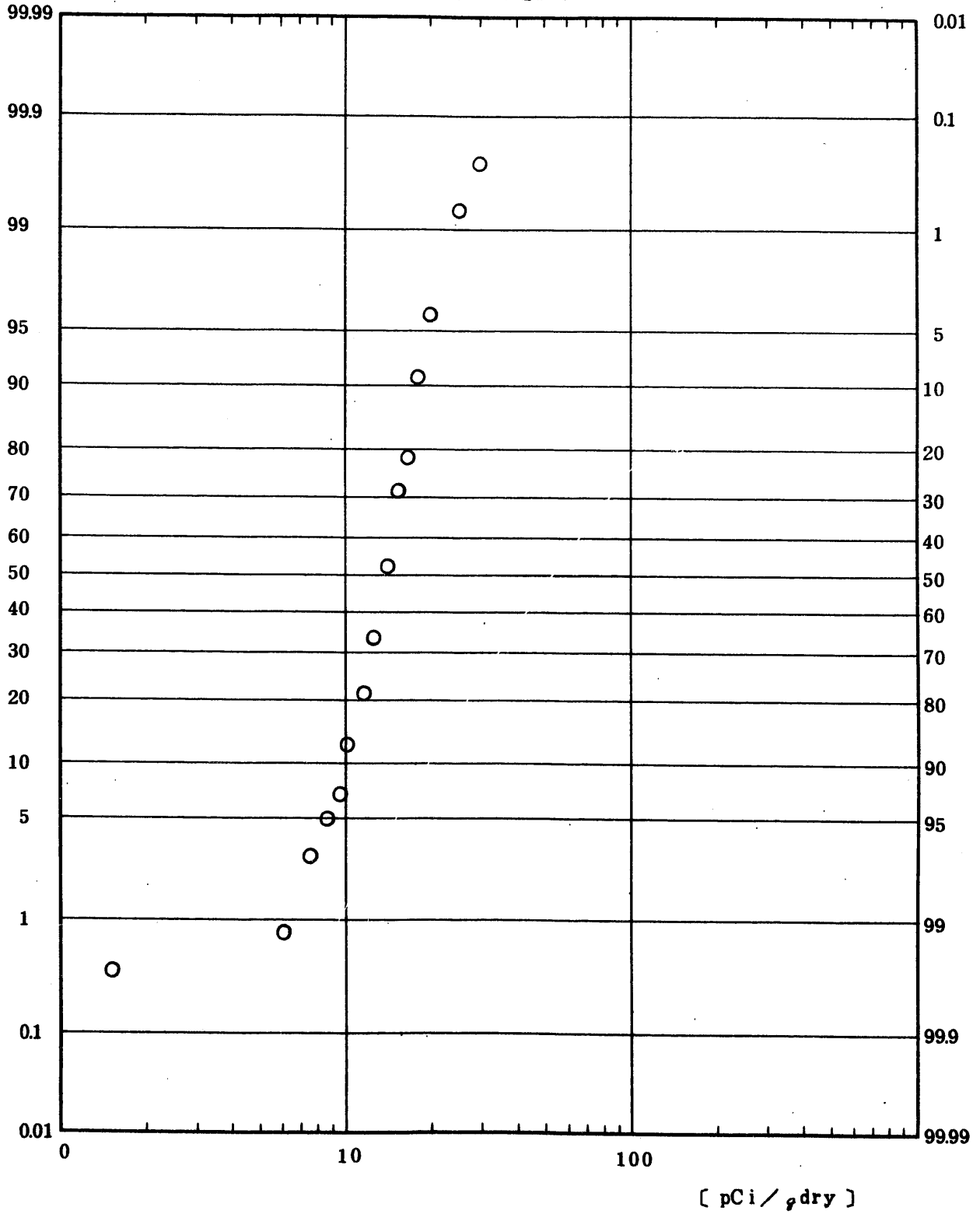


Fig. 9.1.1.2 ^{90}Sr Concentration in Sea Sediment (ALL)

(1971.7 ~ 1977.4)

図 9.1.1.2 海底土 ^{90}Sr 放射能濃度 (全測定値)

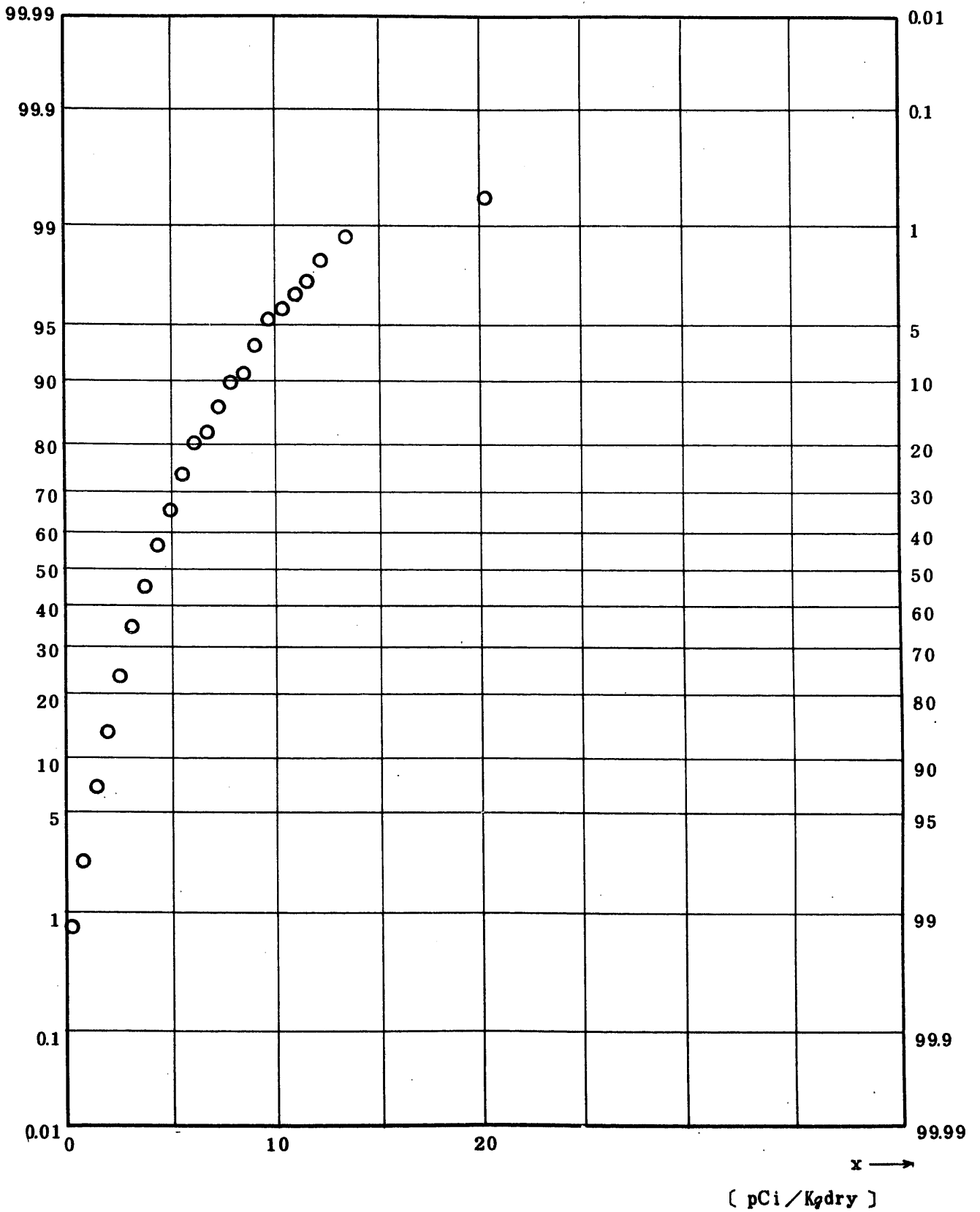


Fig. 9.1.2.1.2 ^{90}Sr Concentration in Sea Sediment (ALL)

(1971.7 ~ 1977.4)

図 9.1.2.1.2 海底土中 ^{90}Sr 放射能濃度 (全測定値)

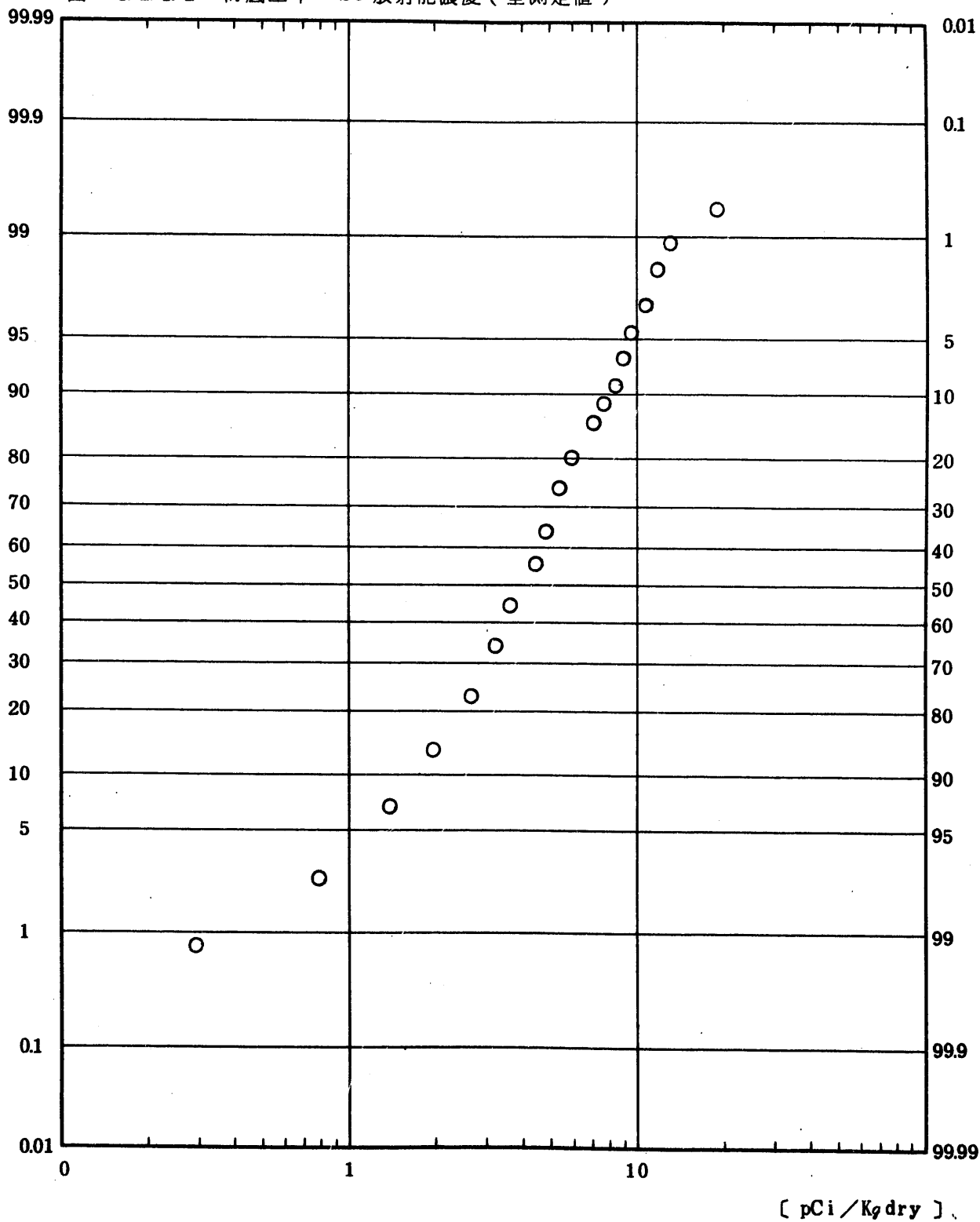


Fig. 9.1.1.3 ^{95}Zr Concentration in Sea Sediment (ALL)

(1971.7 ~ 1977.4)

图 9.1.1.1.3 海底土中 ^{95}Zr 放射能濃度 (全測定値)

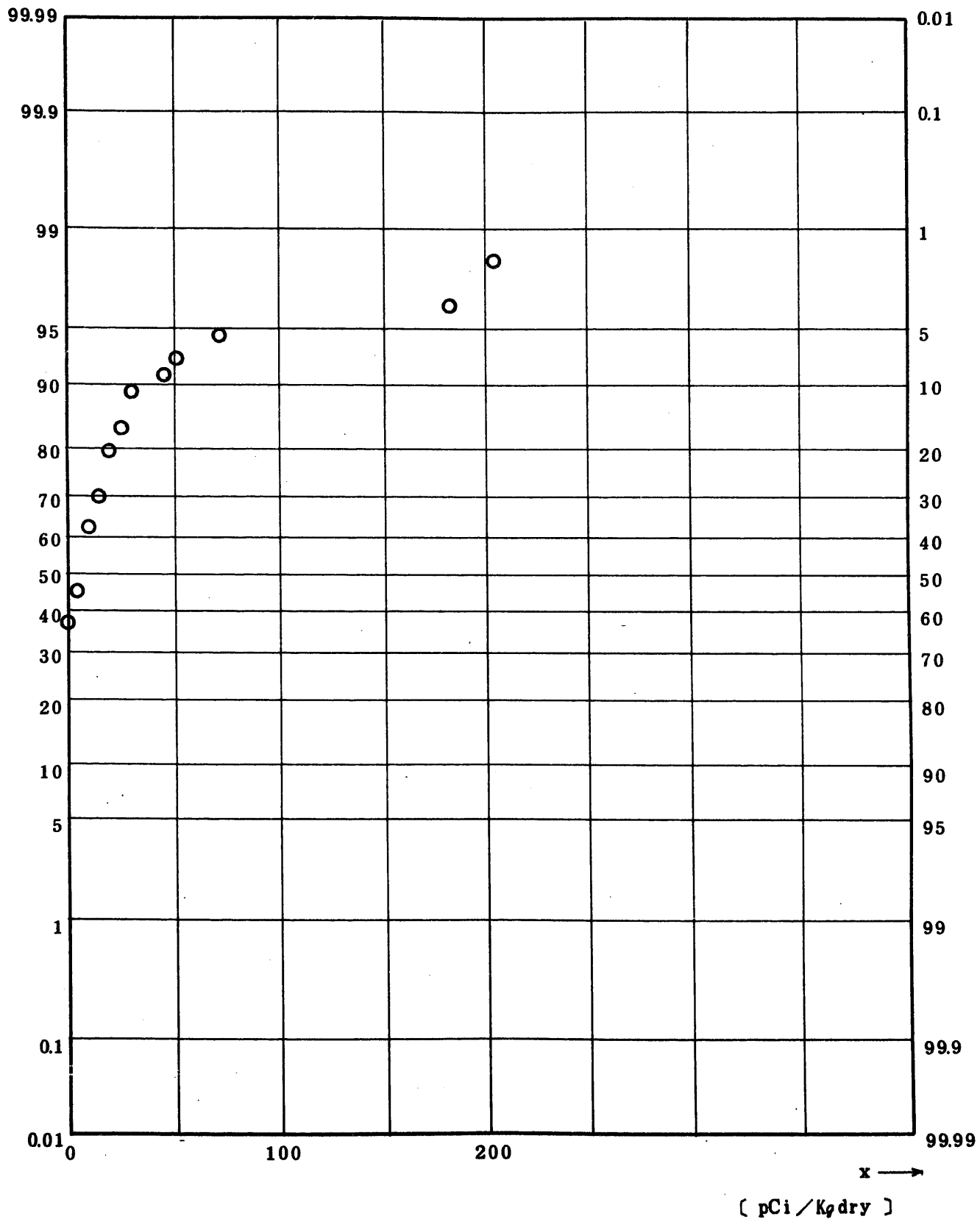


Fig. 9.1.2.1.3 ^{95}Zr Concentration in Sea Sediment (ALL)

(1971.7 ~ 1977.4)

图 9.1.2.1.3. 海底土中 ^{95}Zr 放射能濃度 (全測定値)

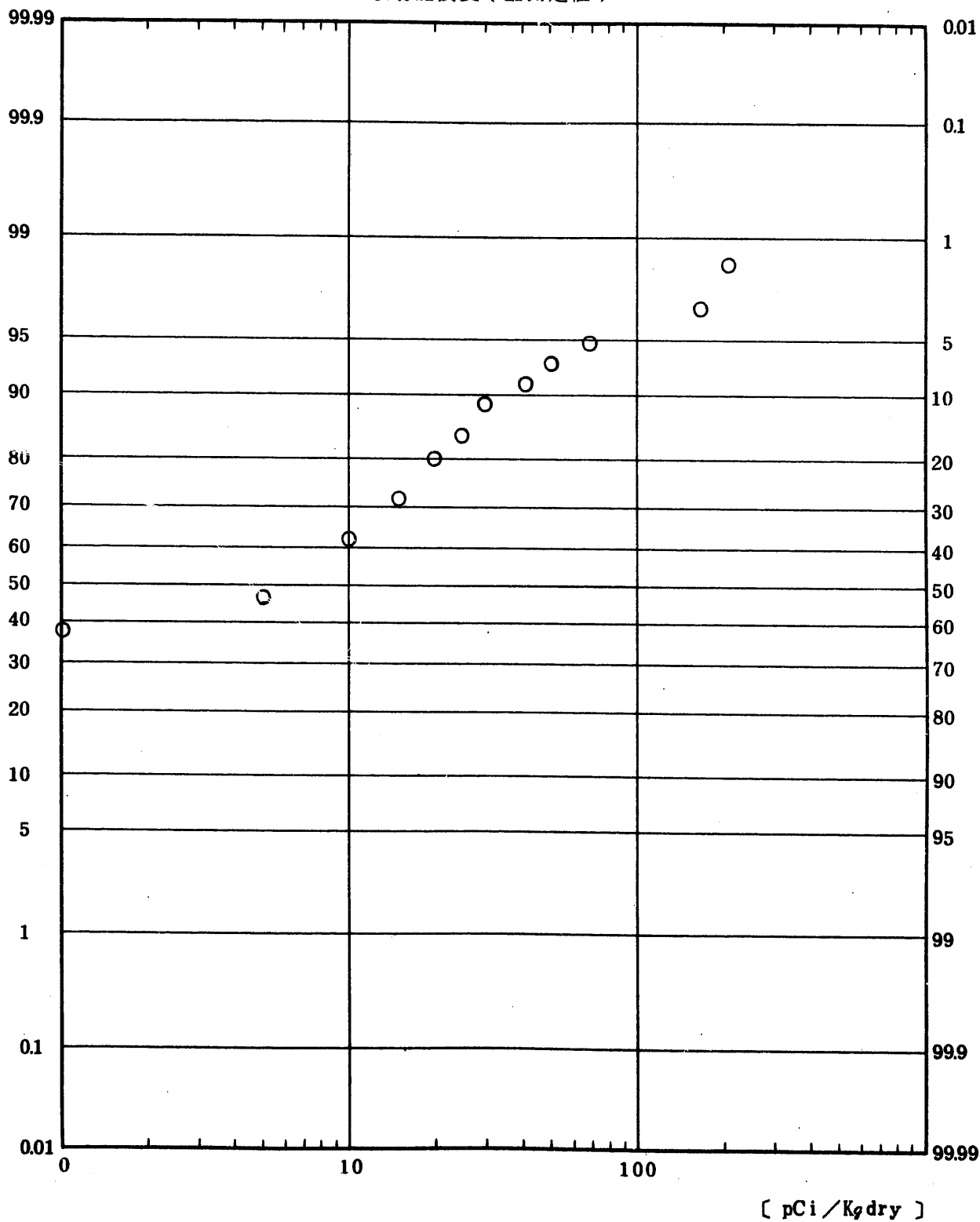


Fig. 9.1.1.1.4 ^{95}Nb Concentration in Sea Sediment (ALL)

(1971.7 ~ 1977.4)

图 9.1.1.1.4 海底土中 ^{95}Nb 放射能濃度 (全測定値)

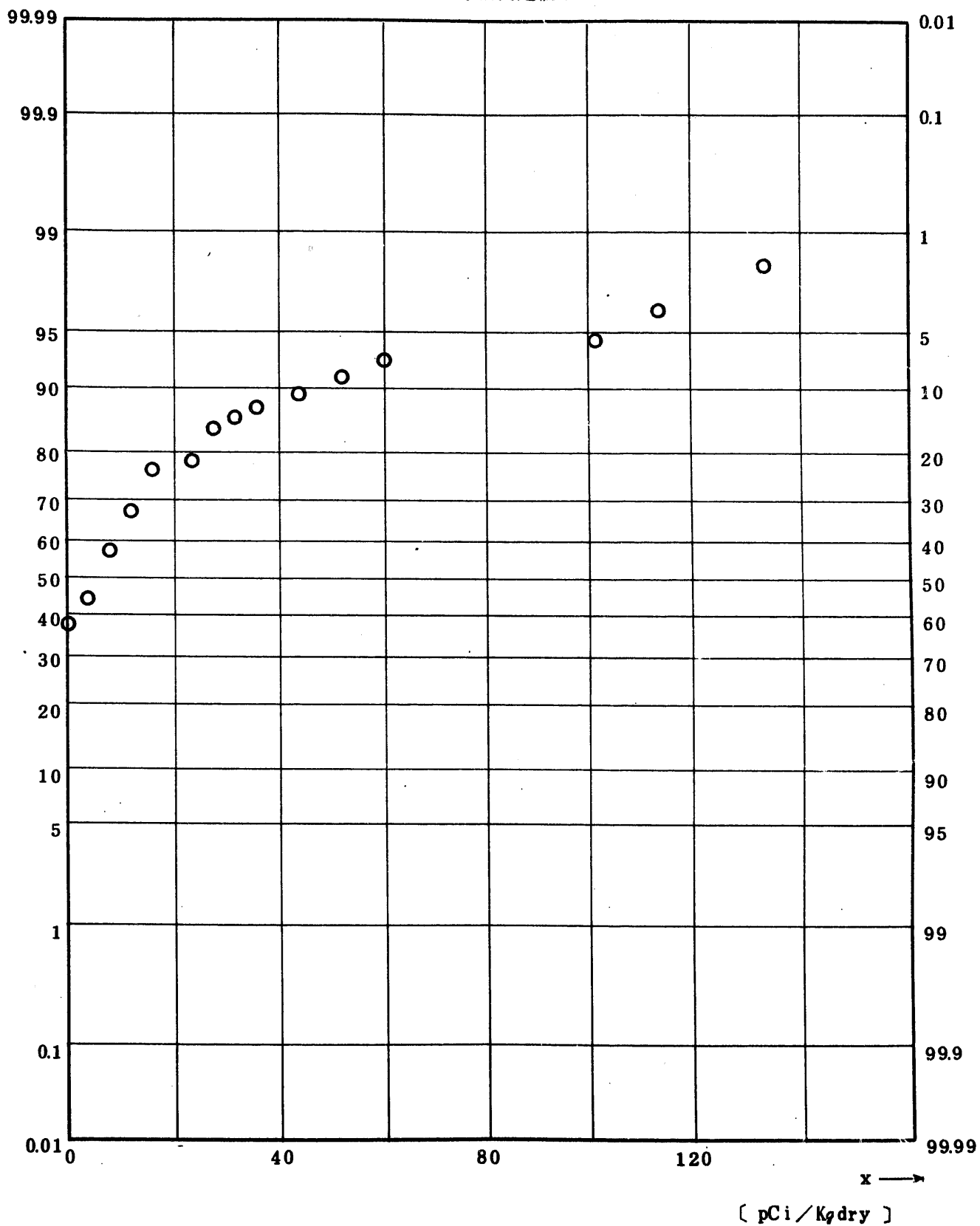


Fig. 9.1.2.1.4 ⁹⁵Nb Concentration in Sea Sediment (ALL)

(1 9 7 1 . 7 ~ 1 9 7 7 . 4)

图 9.1.2.1.4 海底土中 ⁹⁵Nb 放射能浓度 (全测定值)

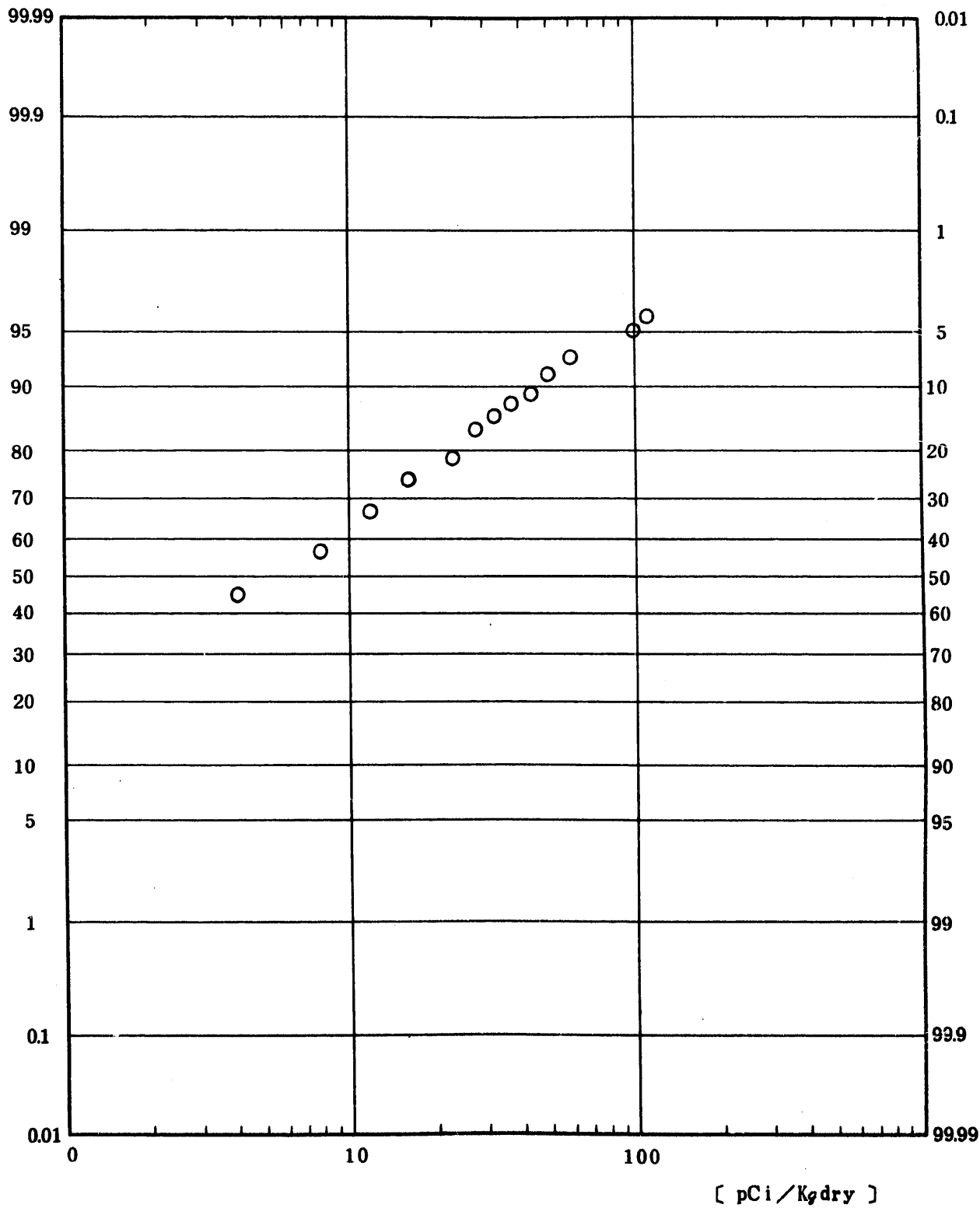


Fig. 9.1.1.1.5 $^{106}\text{Ru}/^{606}\text{Rh}$ Concentration in Sea Sediment (ALL)

(1971.7 ~ 1977.4)

图 9.1.1.1.5 海底土中 ^{106}Ru 放射能浓度 (全测定值)

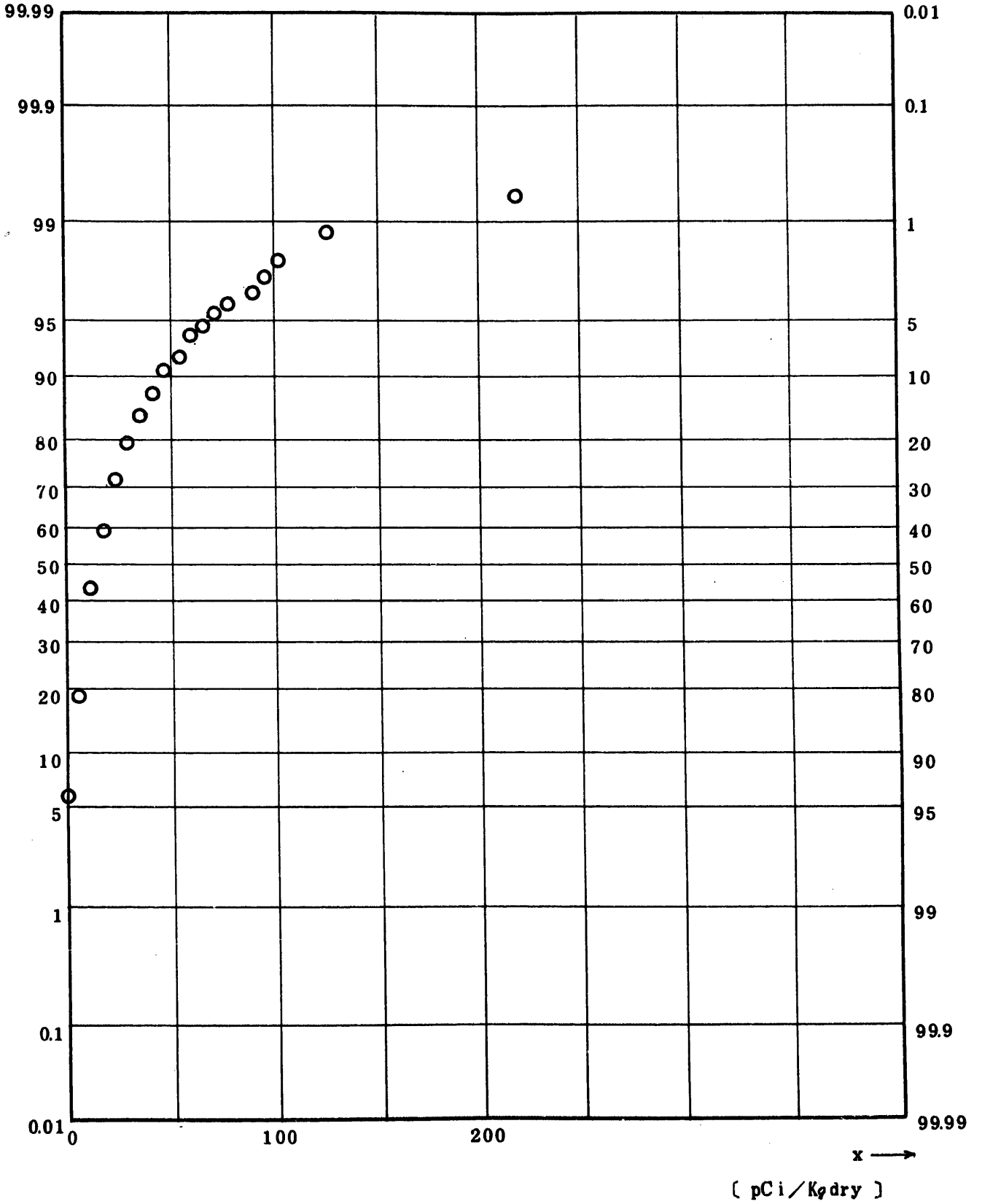


Fig. 9.1.2.1.5 $^{106}\text{Ru}/^{106}\text{Rh}$ Concentration in Sea Sediment (ALL)

(1971.7 ~ 1977.4)

図 9.1.2.1.5 海底土中 ^{106}Ru 放射能濃度 (全測定値)

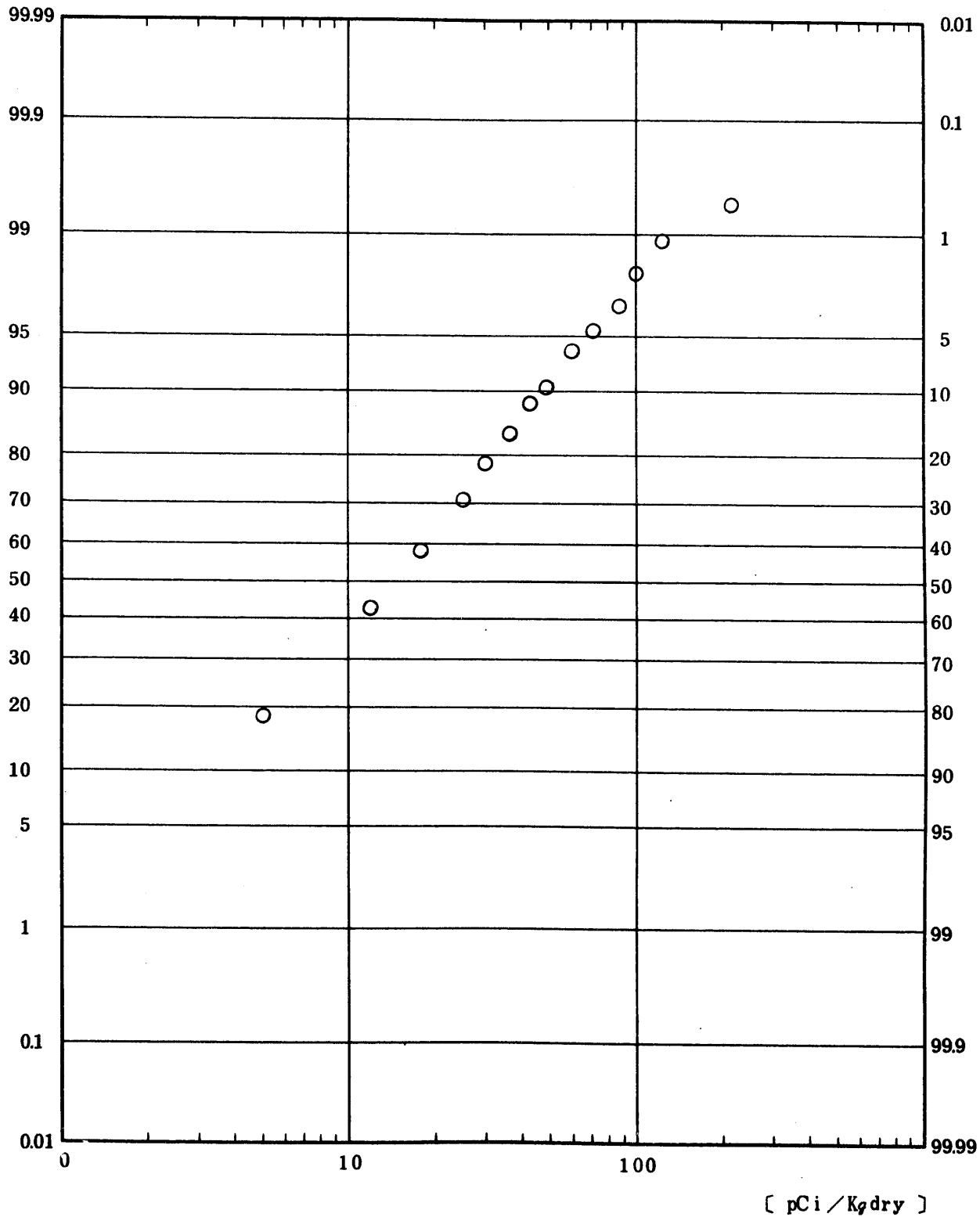


Fig. 9.1.1.1.6 ¹³⁷Cs Concentration in Sea Sediment (ALL)
(1971.7 ~ 1977.4)

图 9.1.1.1.6 海底土中 ¹³⁷Cs 放射能浓度 (全测定值)

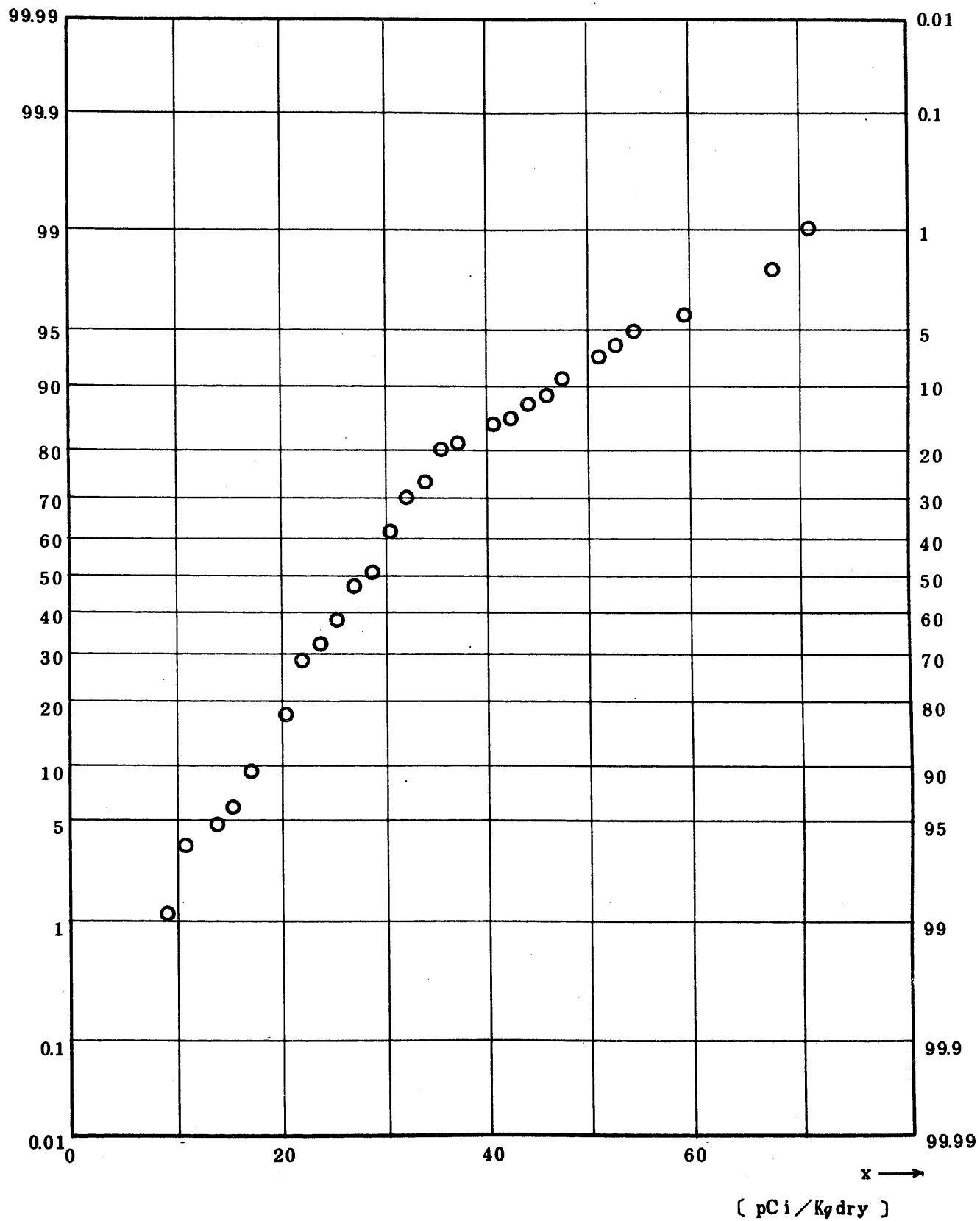


Fig. 9.1.2.1.6 ^{137}Cs Concentration in Sea Sediment (ALL)

(1971.7 ~ 1977.4)

図 9.1.2.1.6 海底土中 ^{137}Cs 放射能濃度 (全測定値)

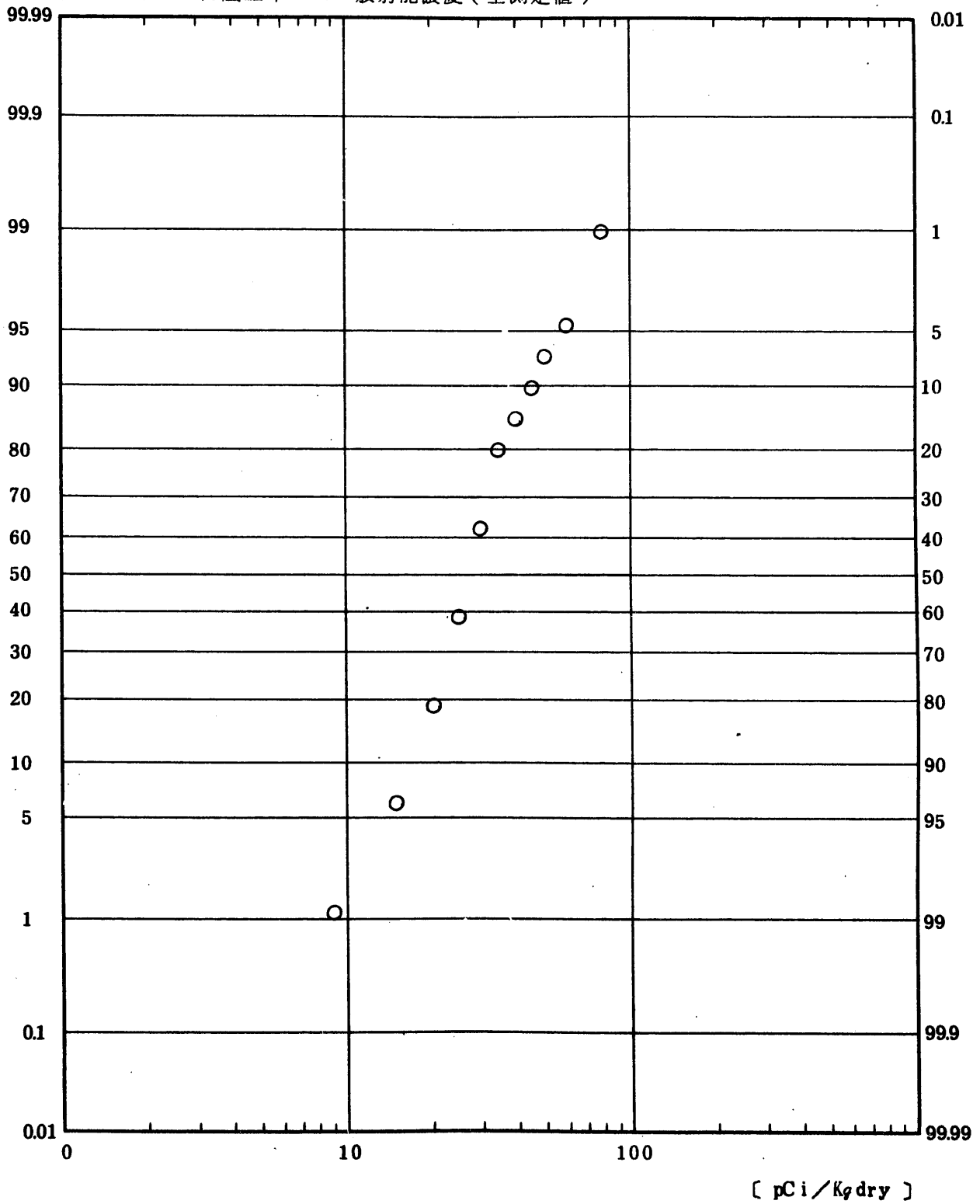


Fig. 9.1.1.1.7 $^{144}\text{Ce}/^{144}\text{Pr}$ Concentration in Sea Sediment (ALL)

(1971.7 ~ 1977.4)

图 9.1.1.1.7 海底土中 ^{144}Ce 放射能濃度 (全測定值)

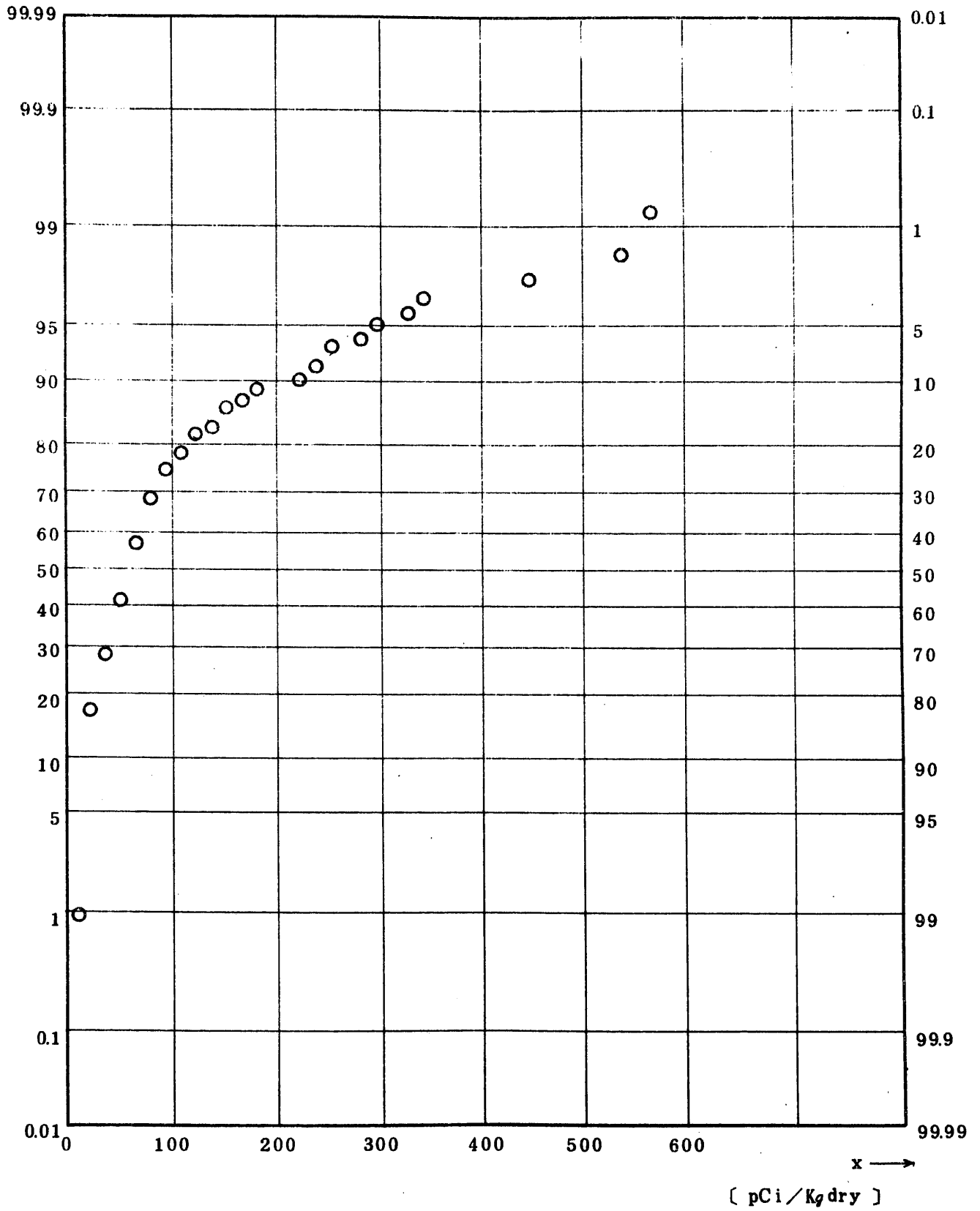


Fig. 9.1.2.1.7 $^{144}\text{Ce}/^{144}\text{Pr}$ Concentration in Sea Sediment (ALL)

图 9.1.2.1.7 海底土中 ^{144}Ce 放射能濃度 (全測定值)

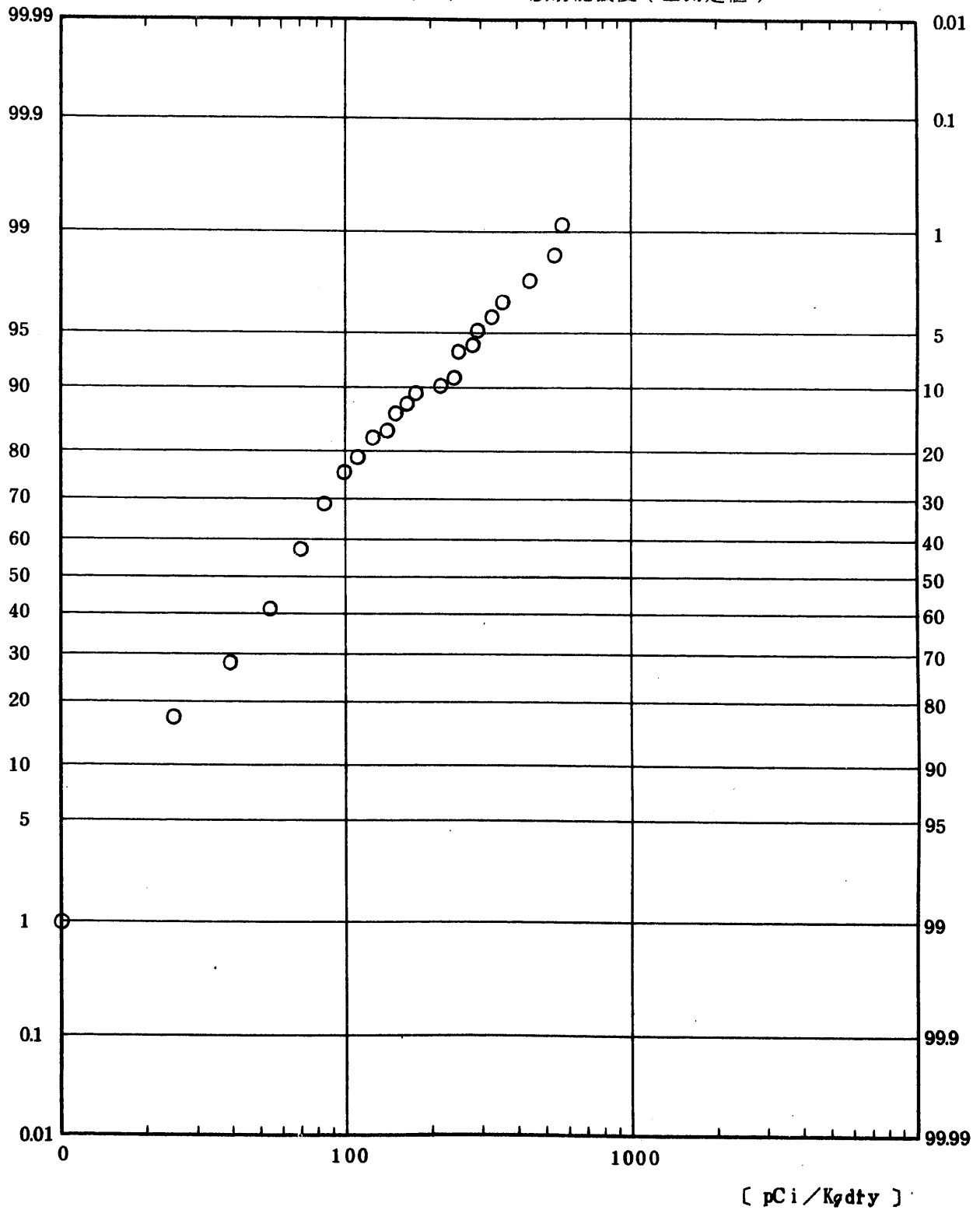


Fig. 9.1.1.1.8 $^{239}\text{Pu} + ^{240}\text{Pu}$ Concentration in Sea Sediment (ALL)

(1971.7 ~ 1977.4)

图 9.1.1.1.8 海底土中 $^{239}, ^{240}\text{Pu}$ 放射能濃度 (全測定値)

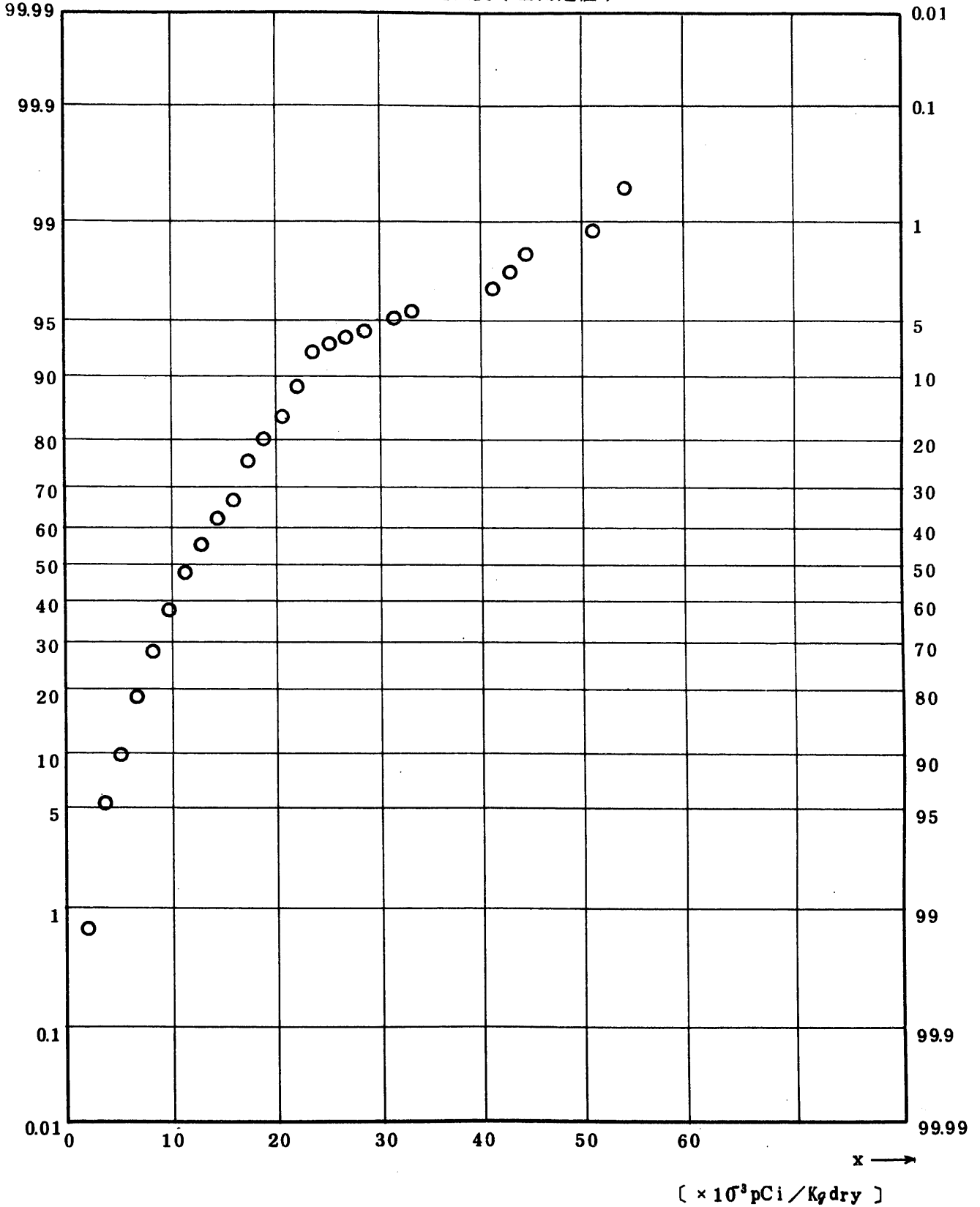


Fig. 9.1.2.1.8 $^{239}\text{Pu} + ^{240}\text{Pu}$ Concentration in Sea Sediment (ALL)

(1971.7 ~ 1977.4)

図 9.1.2.1.8 海底土底 $^{239}, ^{240}\text{Pu}$ 放射能濃度 (全測定値)

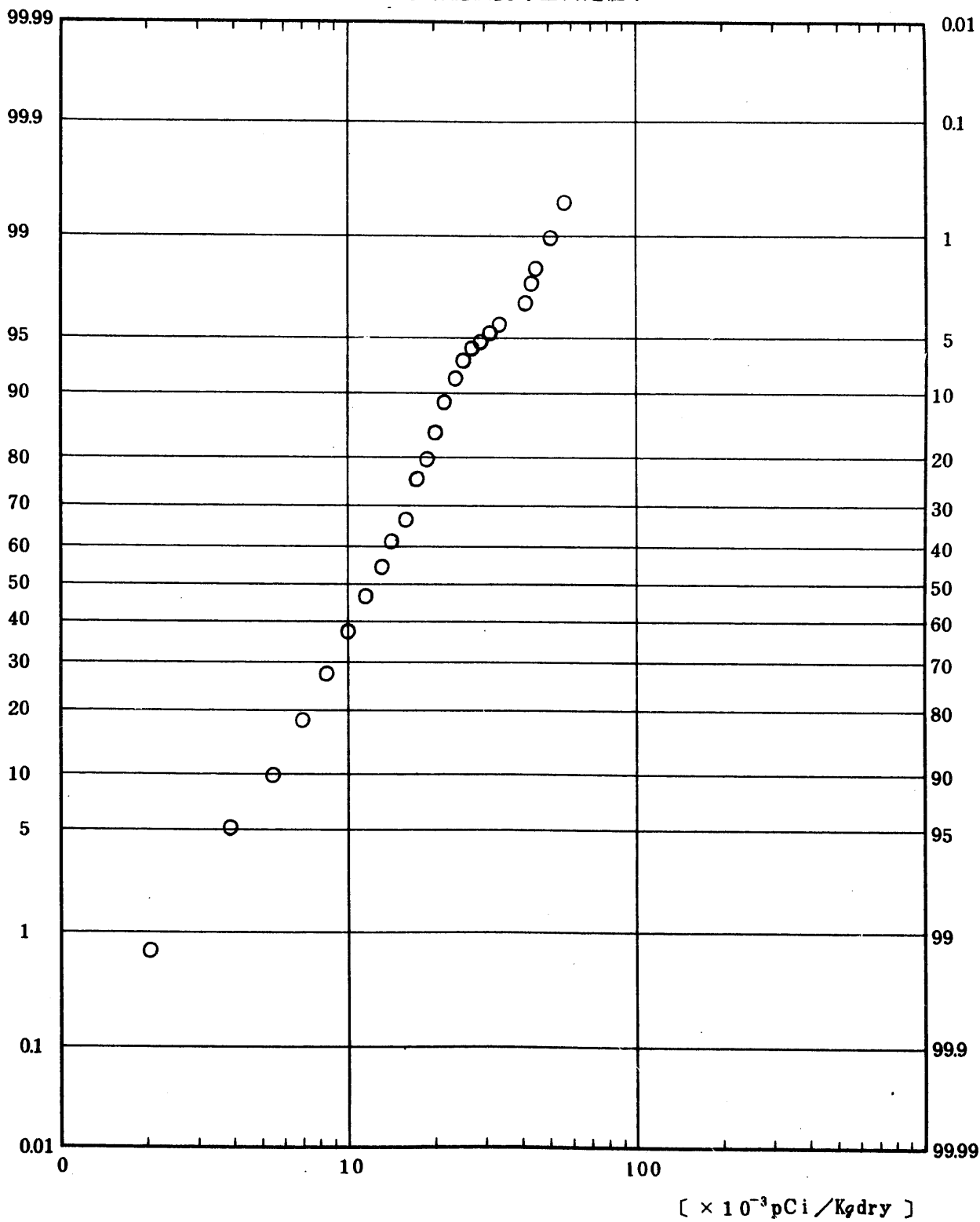


Fig. 9.1.1.9 U Concentration in Sea Sediment (ALL)

(1971.7 ~ 1977.4)

図 9.1.1.9 海底土中 ^{238}U 放射能濃度 (全測定値)

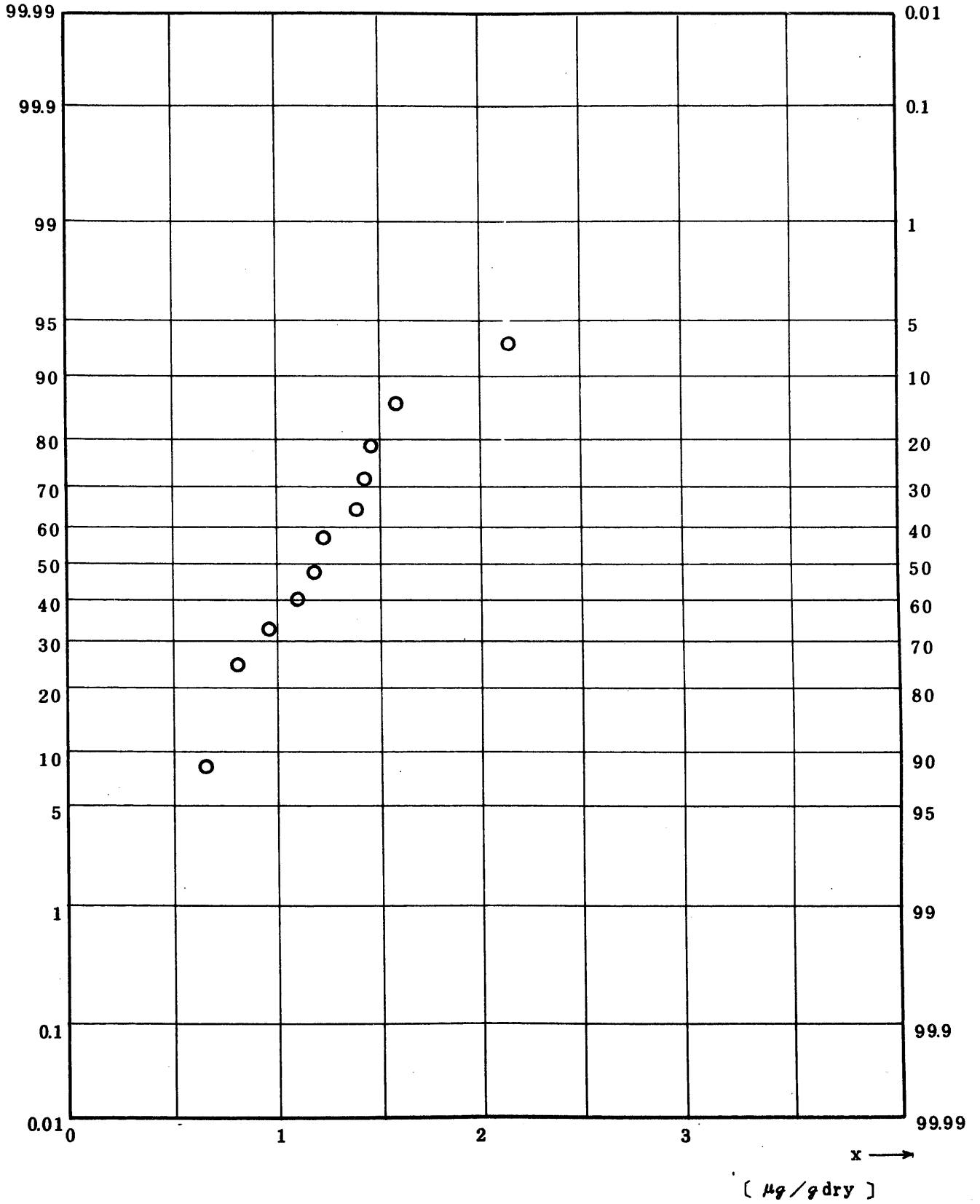


Fig. 9.2.1.1.1 Gross BETA Concentration in Sea Sediment (USUAL)
 (1971.7 ~ 1977.4)

图 9.2.1.1.1 海底土中全β放射能濃度(平常值)

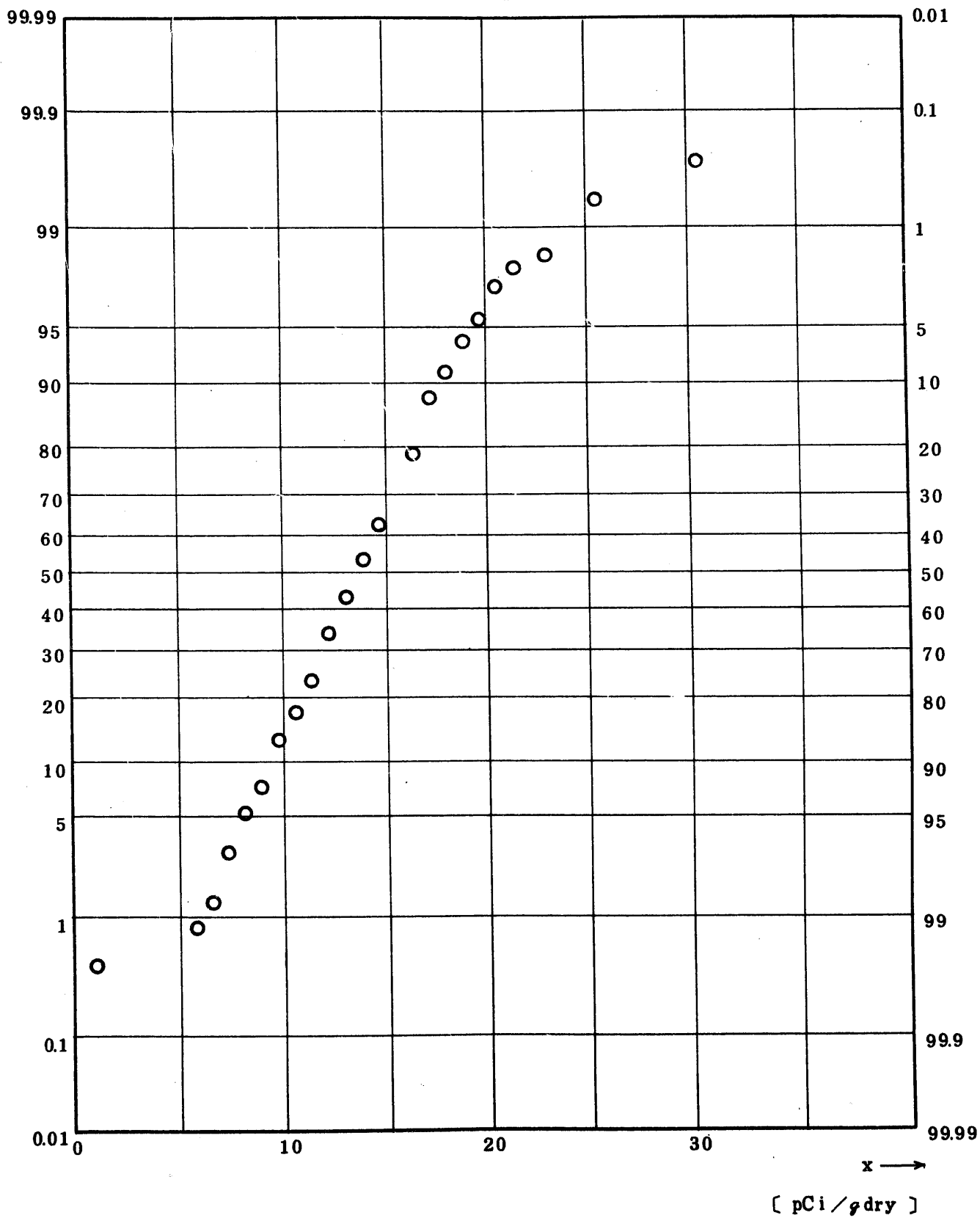


Fig. 9.2.1.1.2 ⁹⁰Sr Concentration in Sea Sediment (USUAL)

(1971.7 ~ 1977.4)

图 9.2.1.1.2 海底土中 ⁹⁰Sr 放射能濃度 (平常值)

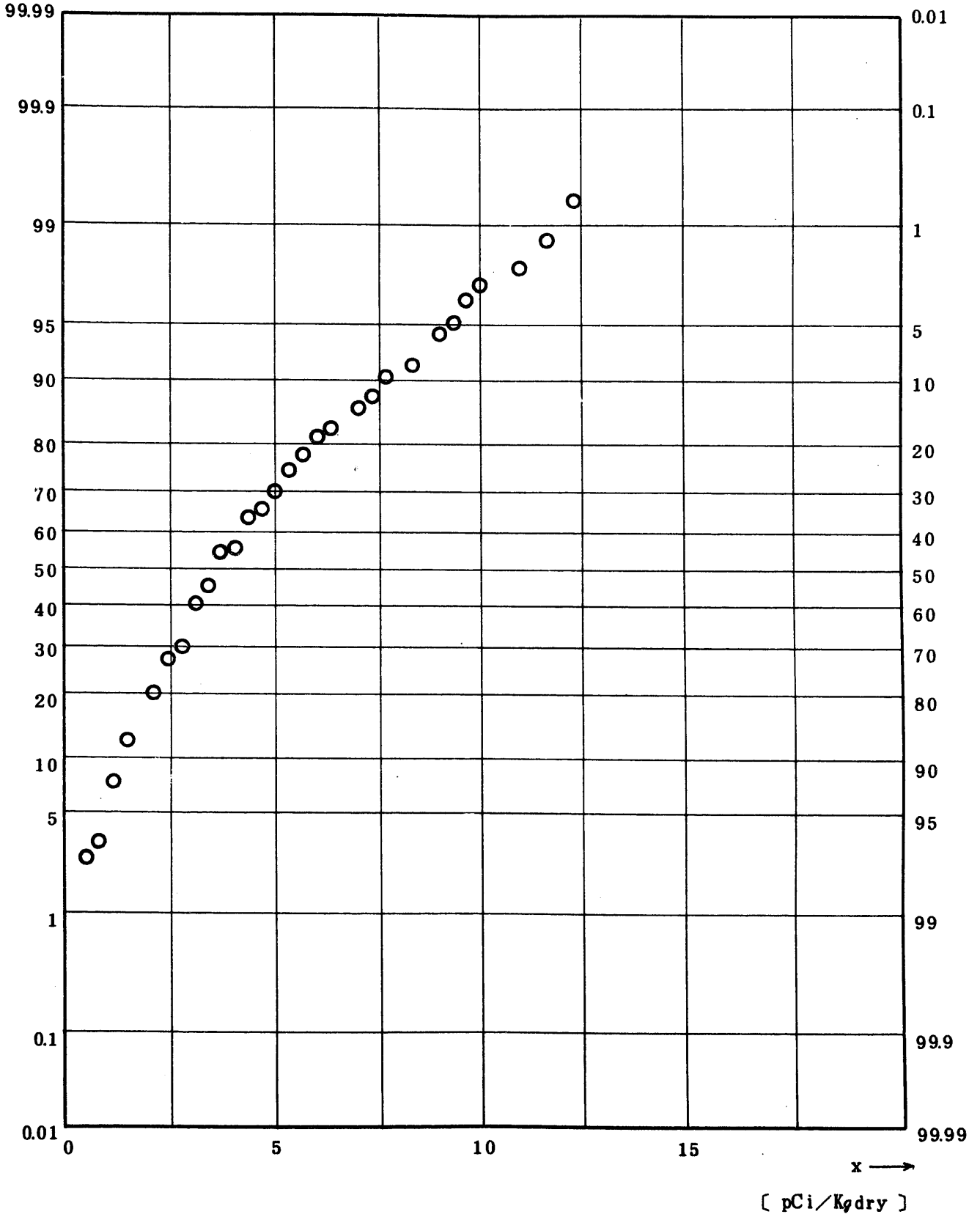


Fig. 9.2.2.1.2 ⁹⁰Sr Concentration in Sea Sediment (USUAL)

(1971.7 ~ 1977.4)

図 9.2.2.1.2 海底土中⁹⁰Sr 放射能濃度 (平常値)

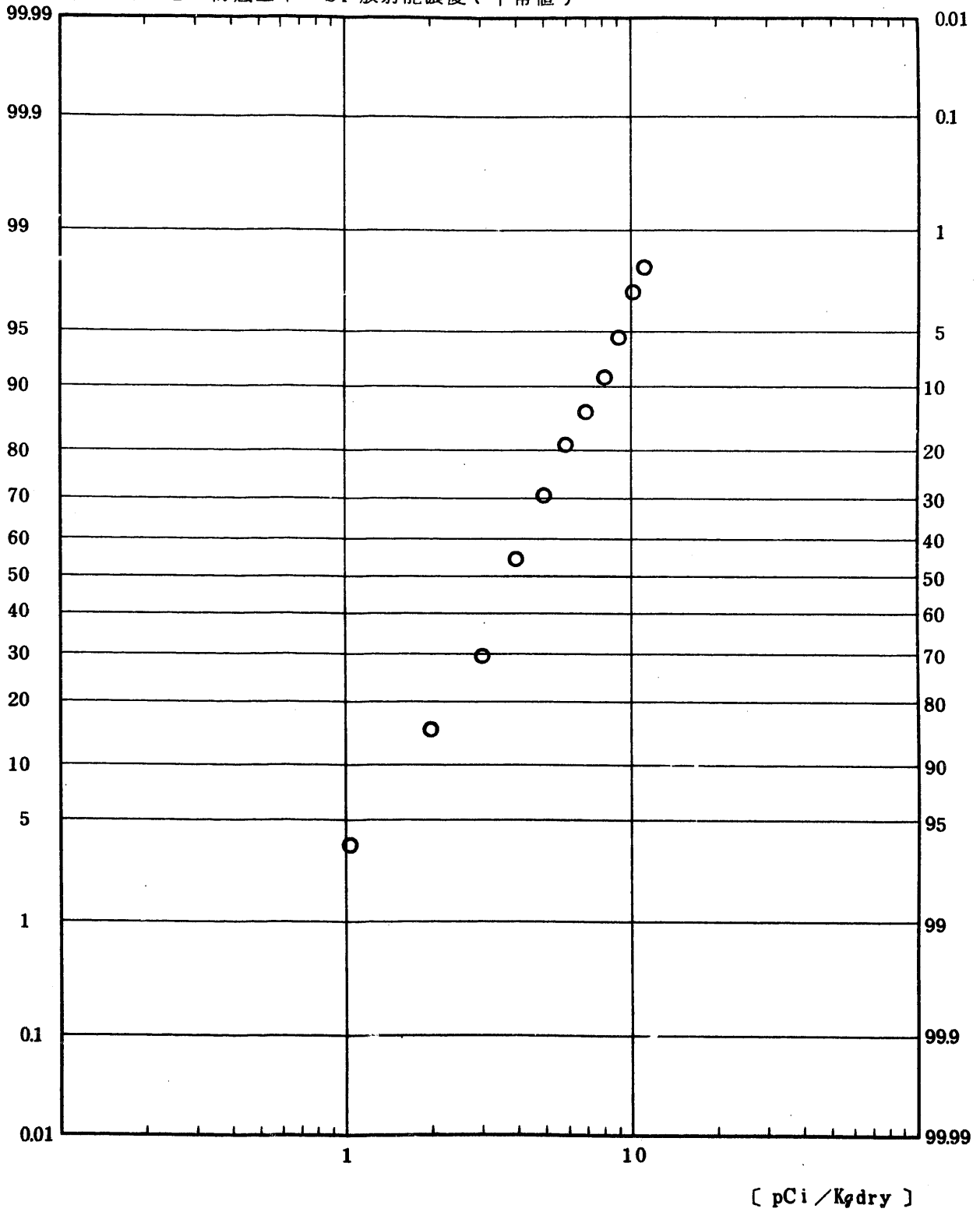


Fig. 9.2.1.1.3 ^{95}Zr Concentration in Sea Sediment (USUAL)

(1 9 7 1.7 ~ 1 9 7 7.4)

図 9.2.1.1.3 海底土中 ^{95}Zr 放射能濃度(平常値)

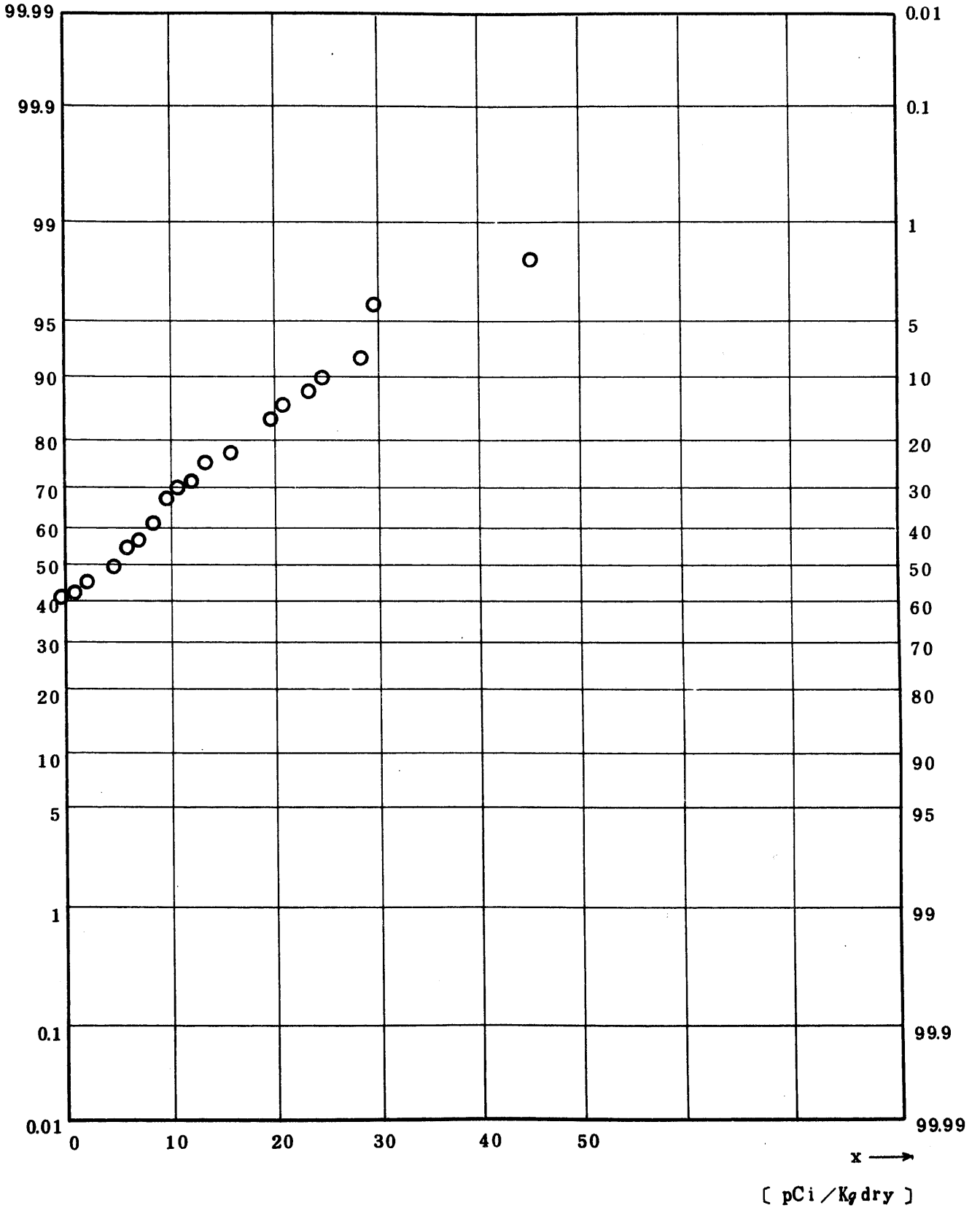


Fig. 9.2.1.1.4 ^{95}Zr Concentration in Sea Sediment (USUAL)

(1971.7 ~ 1977.4)

図 9.2.1.1.4 海底土中 ^{95}Nb 放射能濃度 (平常値)

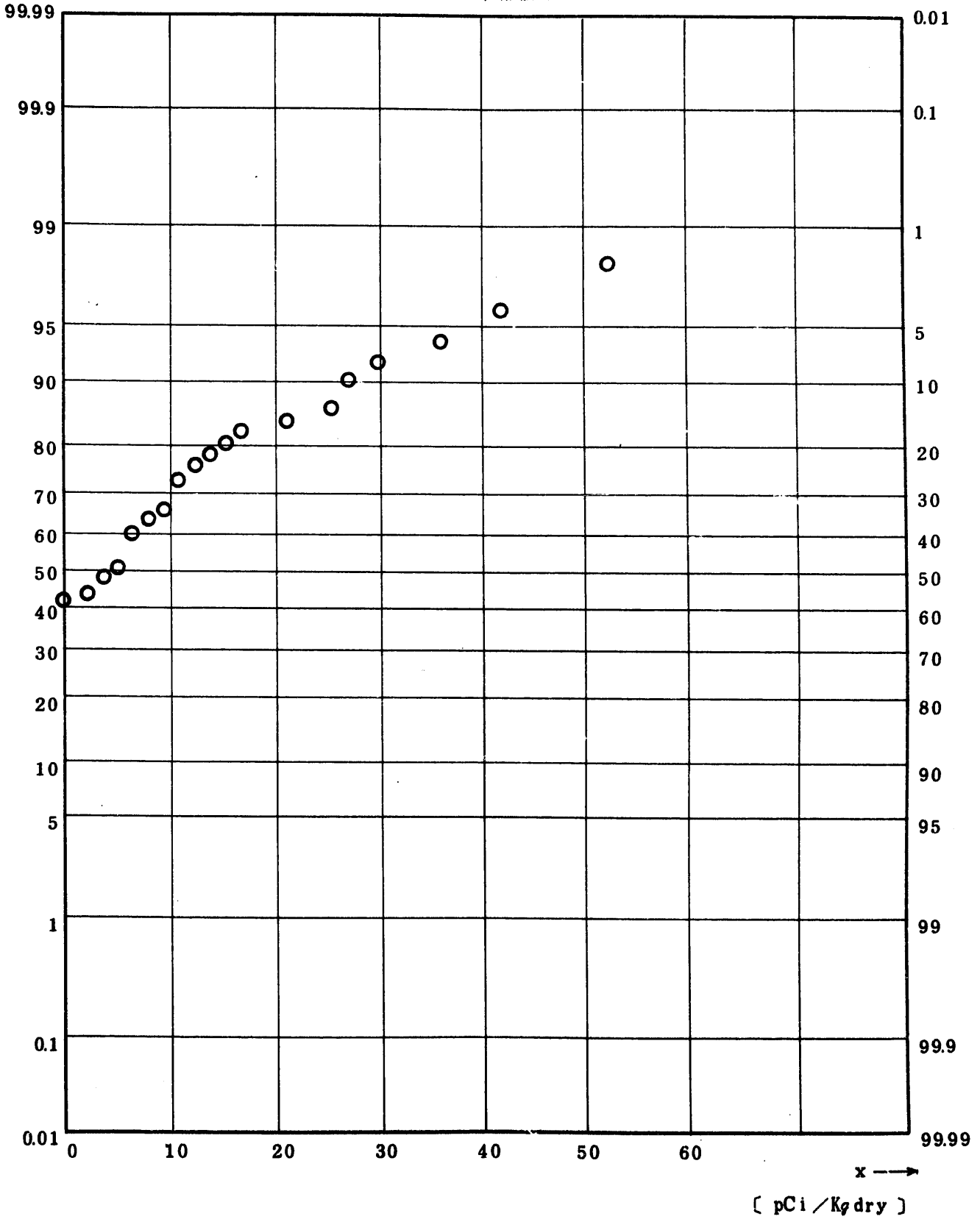


Fig. 9.2.1.1.5 $^{106}\text{Ru} / ^{106}\text{Rh}$ Concentration in Sea Sediments (USUAL)

(1 9 7 1 . 7 ~ 1 9 7 7 . 4)

图 9.2.1.1.5 海底土中 ^{106}Ru 放射能浓度 (平常值)

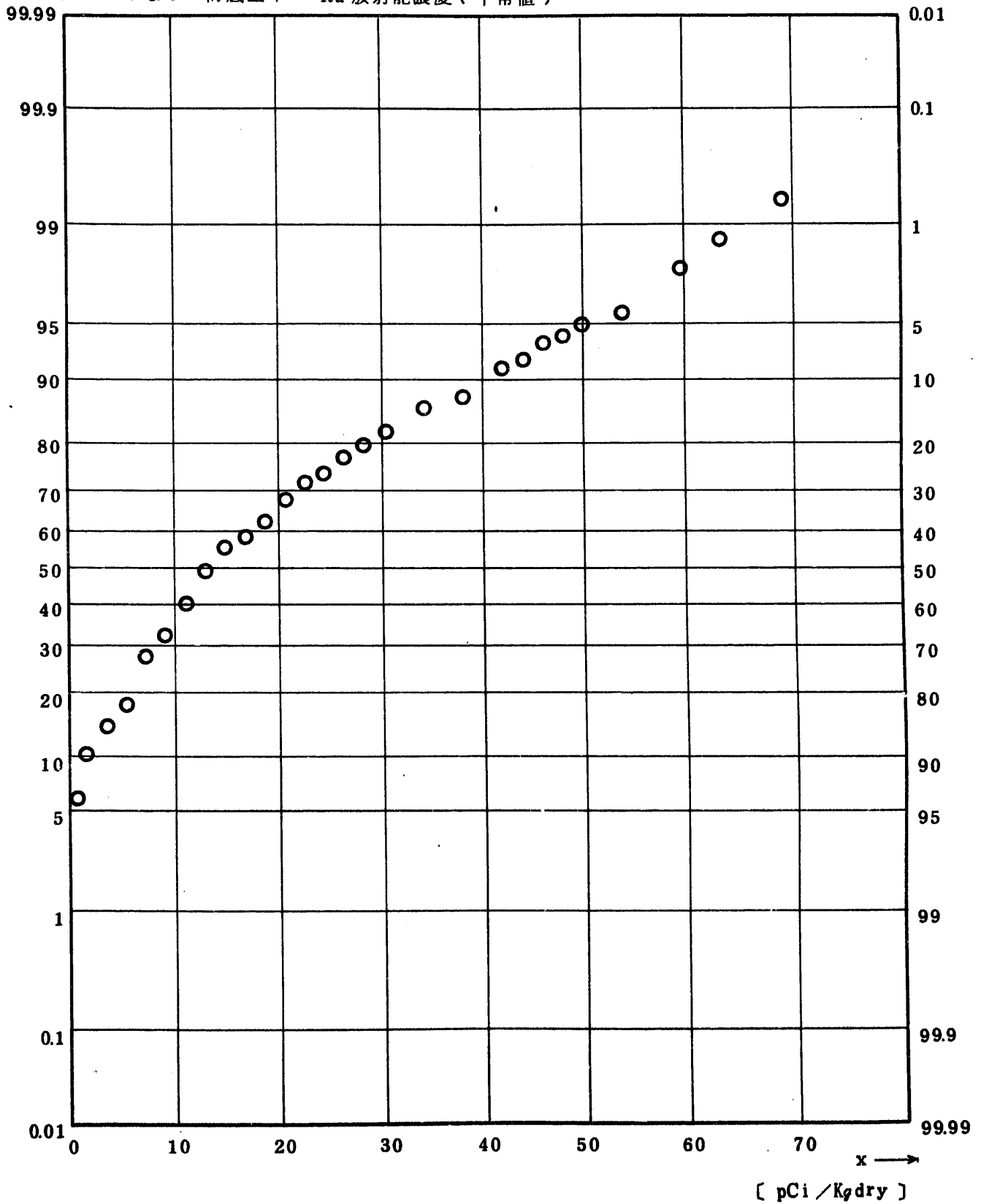


Fig. 9.2.1.1.6 ^{137}Cs Concentration in Sea Sediment (USUAL)

(1971.7 ~ 1977.4)

图 9.2.1.1.6 海底土中 ^{137}Cs 放射能濃度 (平常值)

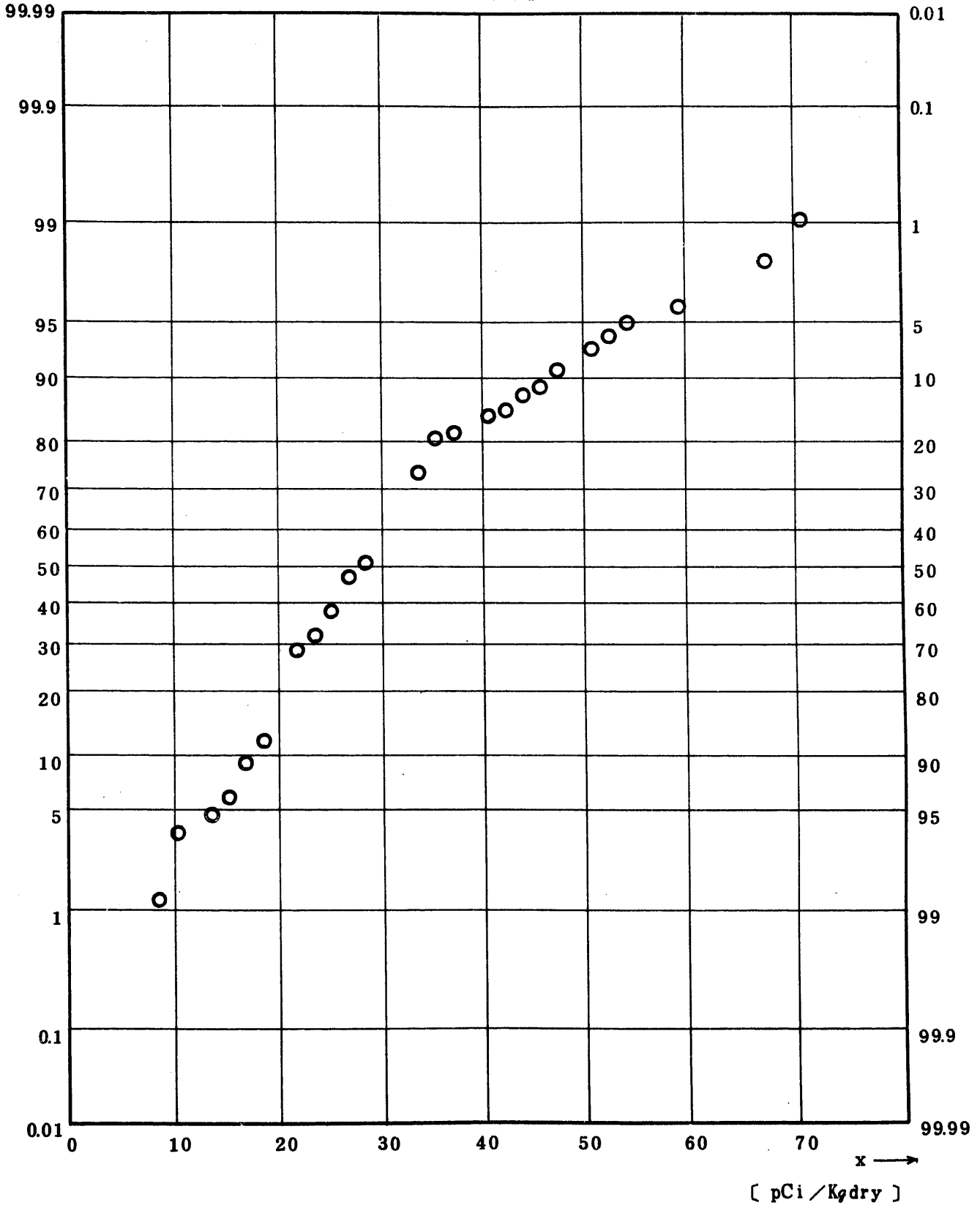


Fig. 9.2.1.1.7 $^{144}\text{Ce}/^{144}\text{Pr}$ Concentration in Sea Sediment (USUAL)
 (1 9 7 1.7 ~ 1 9 7 7.4)

图 9.2.1.1.7 海底土中 ^{144}Ce 放射能濃度 (平常值)

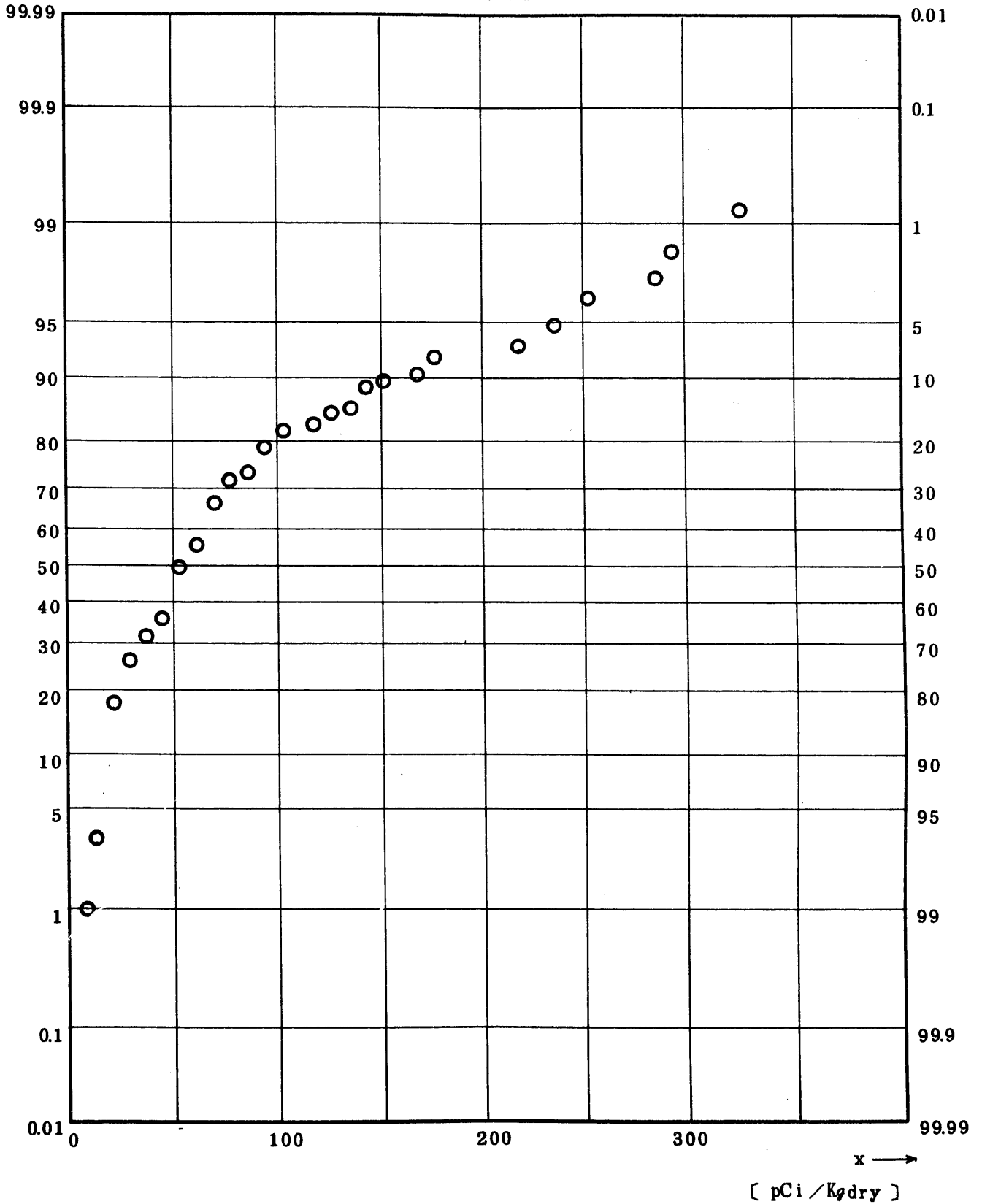


Fig. 9.2.1.1.8. $^{239}\text{Pu}/^{240}\text{Pu}$ Concentration in Sea Sediment (USUAL)

(1971.7 ~ 1977.4)

图 9.2.1.1.8 海底土中 239 , ^{240}Pu 放射能浓度 (平常值)

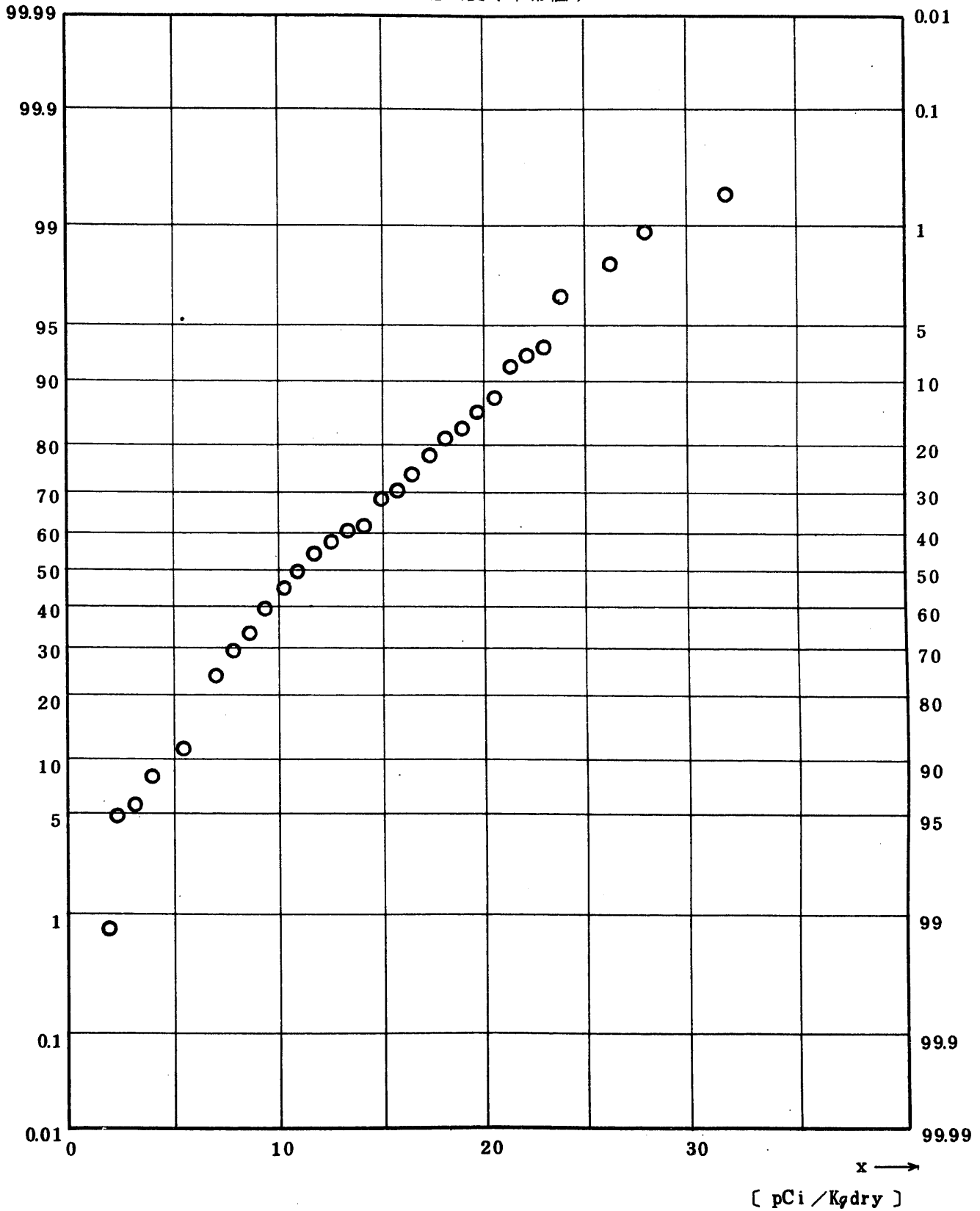


Fig. 9.2.1.1.9 U Concentration in Sea Sediment (USUAL)

(1971.7 ~ 1977.4)

図 9.2.1.1.9 海底土 U 放射能濃度 (平常値)

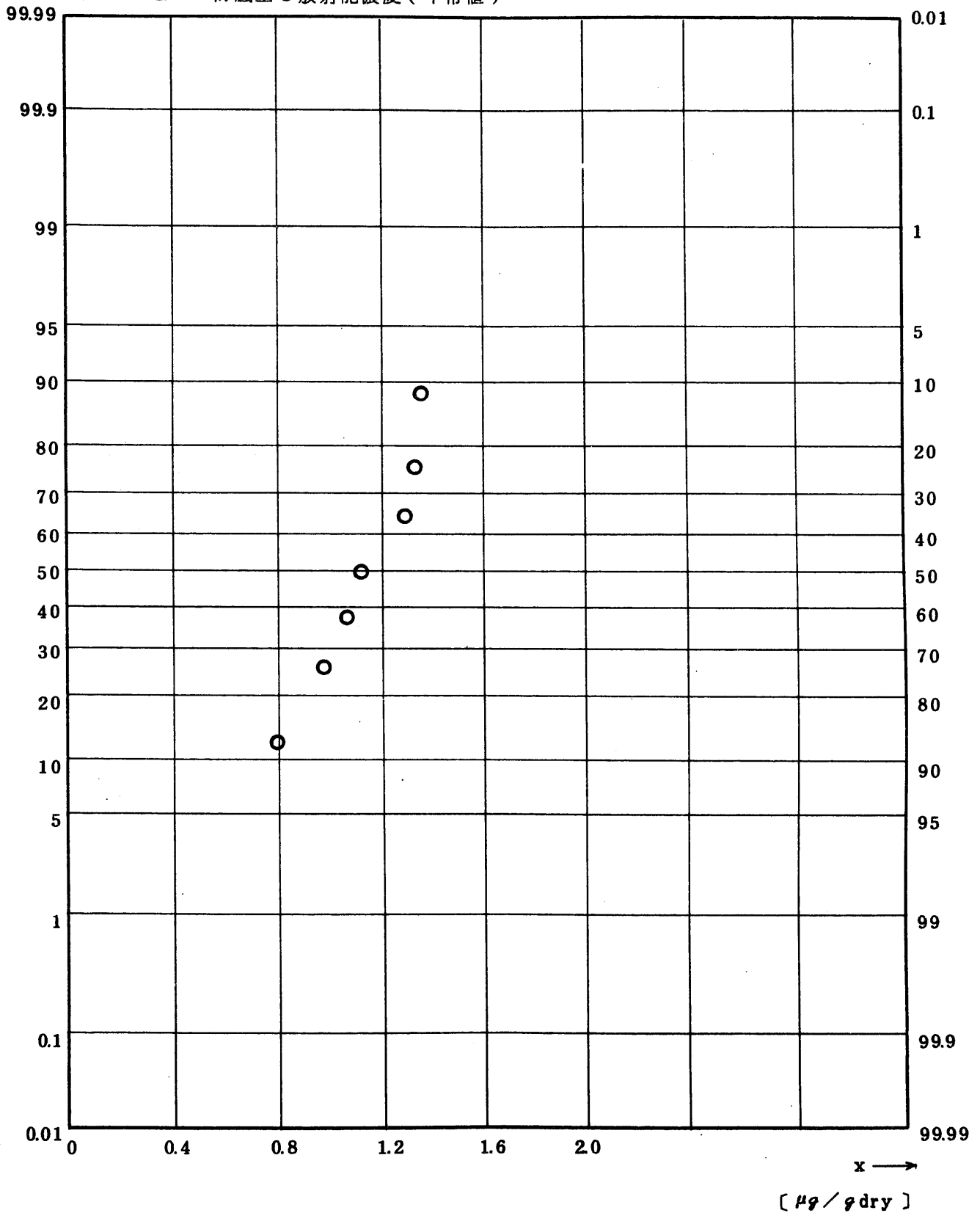


Fig. 10.1.1.1.1 Gross BETA Copcentration in Sea - Shore Sand (ALL)
 (1 9 7 1.4 ~ 1 9 7 7.3)

图 1 0. 1. 1. 1. 1 海岸砂中全β放射能濃度(全測定値)

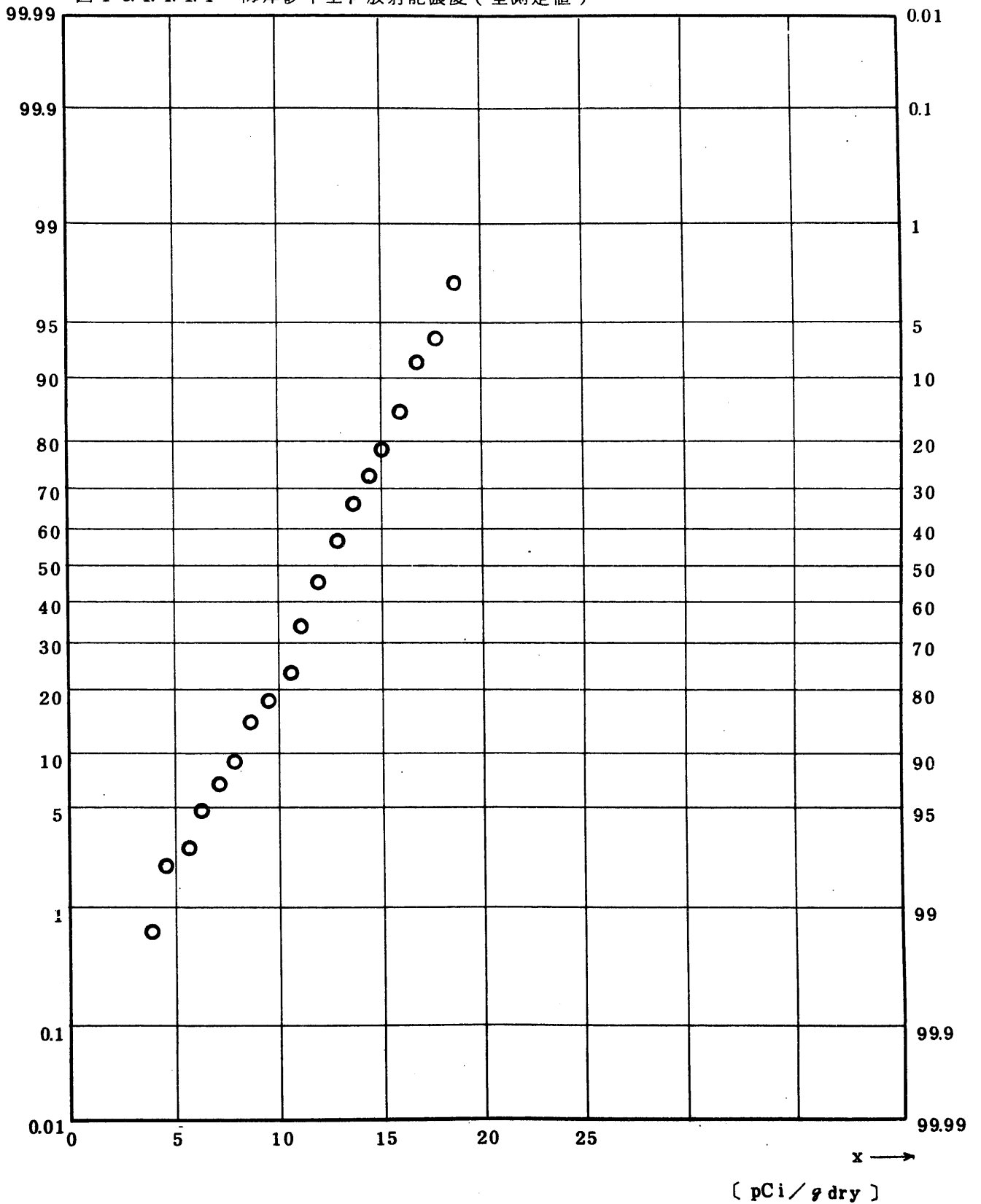


Fig. 10.1.1.2 ⁹⁰Sr Concentration in Sea - Shore Sand (ALL)

(1971.5 ~ 1977.3)

图 10.1.1.2 海岸砂中⁹⁰Sr 放射能浓度 (全测定值)

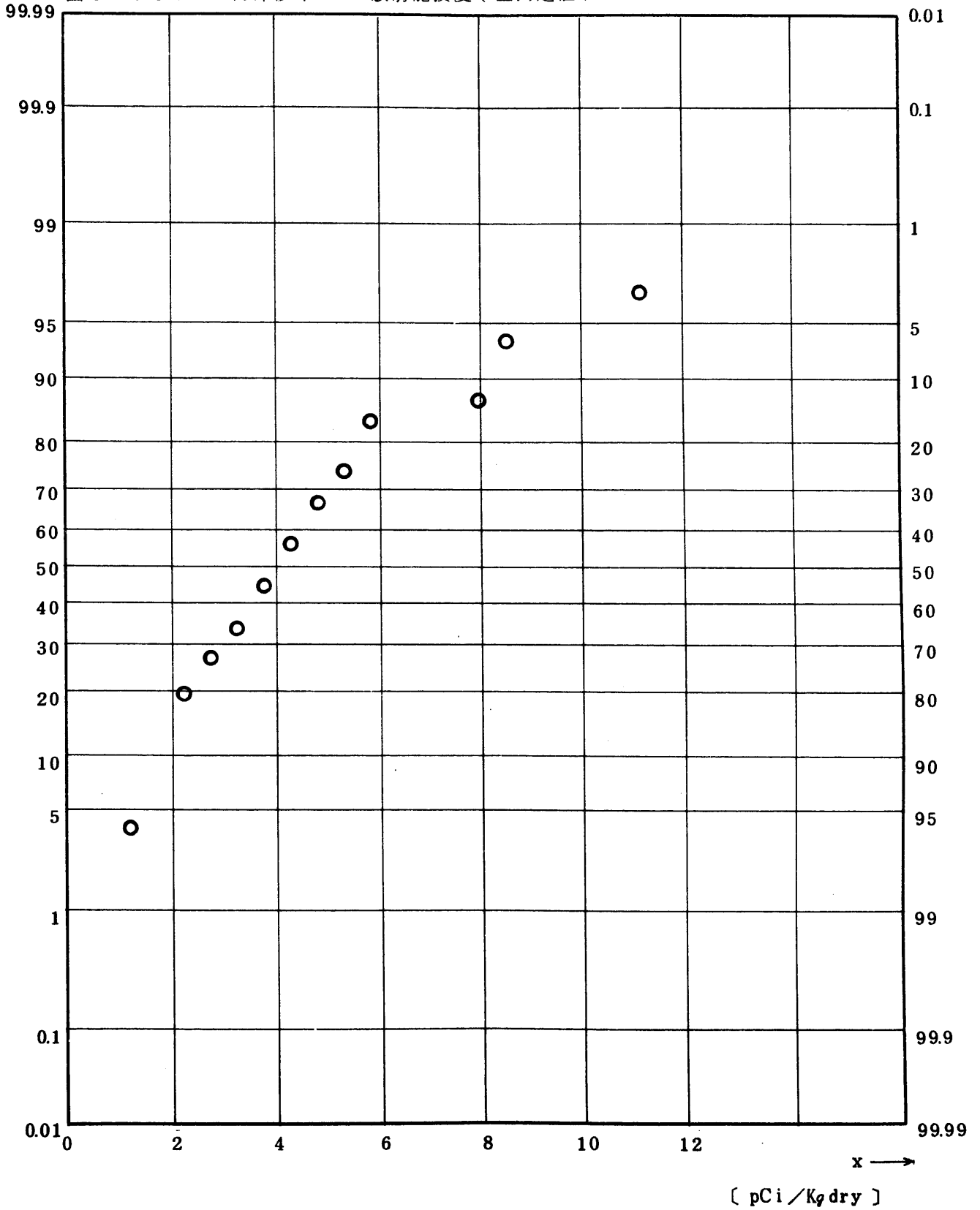


Fig. 10.1.1.1.3 ⁹⁵Zr Concentration in Sea-Shore Sand (ALL)

(1971.5 ~ 1977.3)

図 10.1.1.1.3 海岸砂中⁹⁵Zr放射能濃度(全測定値)

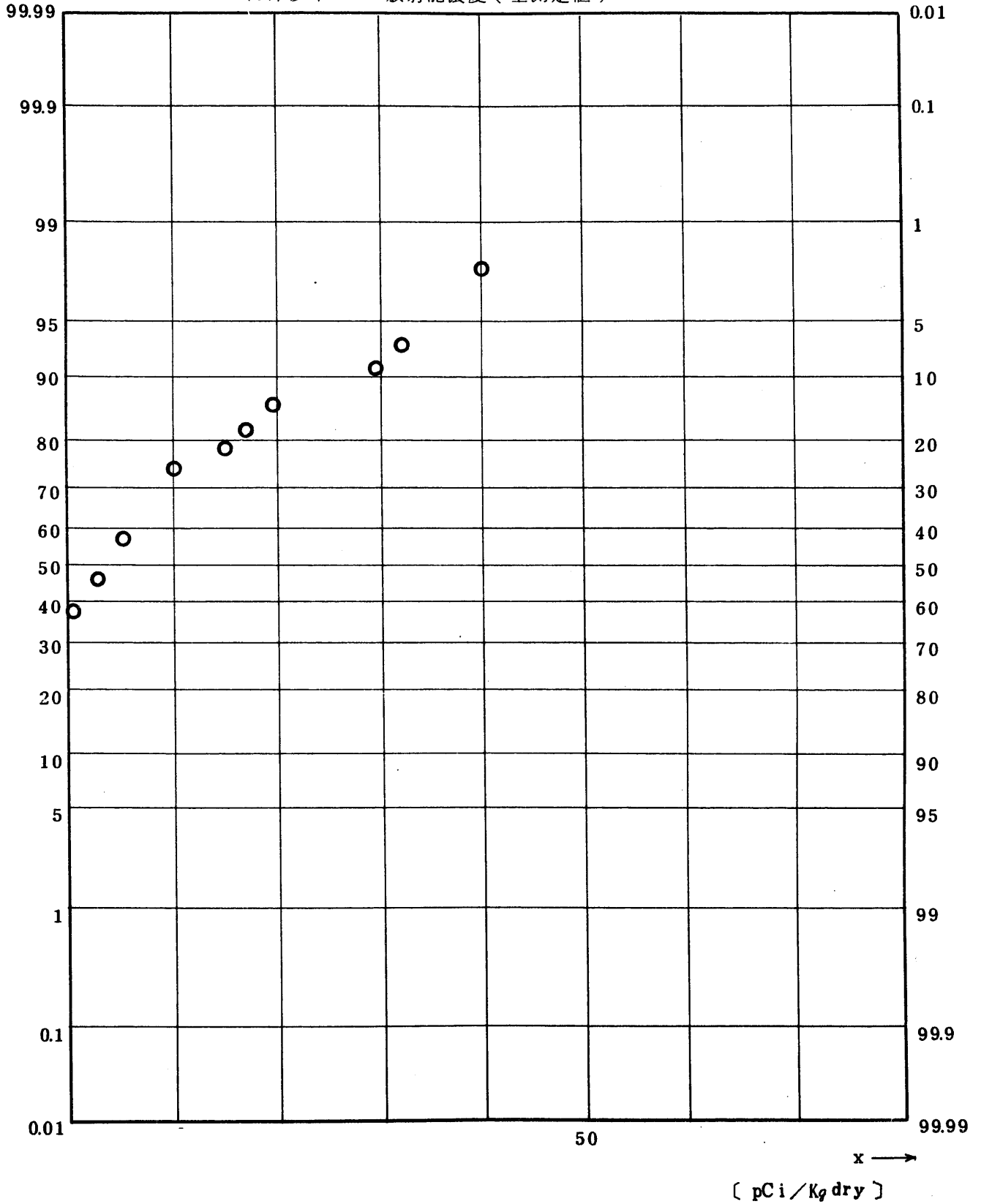


Fig. 10.1.1.1.4 ⁹⁵Nb Concentration in Sea-Shore Sand (ALL)

(1 9 7 1 . 5 ~ 1 9 7 7 . 3)

图 1 0 . 1 . 1 . 1 . 4 海岸砂中 ⁹⁵Nb 放射能浓度 (全测定值)

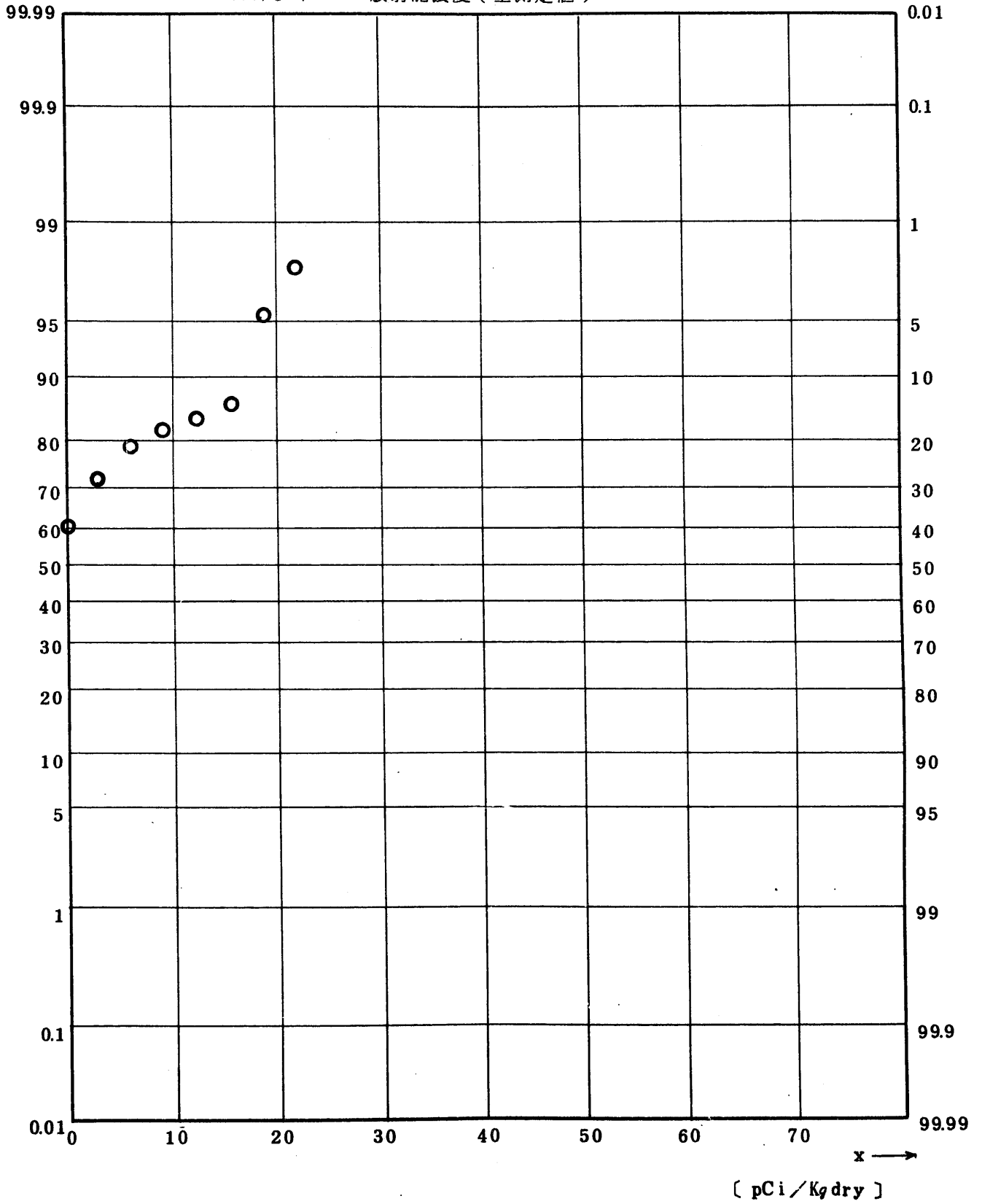


Fig. 10.1.1.1.5 $^{106}\text{Ru}/^{106}\text{Rh}$ Concentration in Sea-Shore Sand (ALL)
 (1 9 7 1 . 5 ~ 1 9 7 7 . 3)

図 1 0 . 1 . 1 . 1 . 5 海岸砂中 ^{106}Ru 放射能濃度 (全測定値)

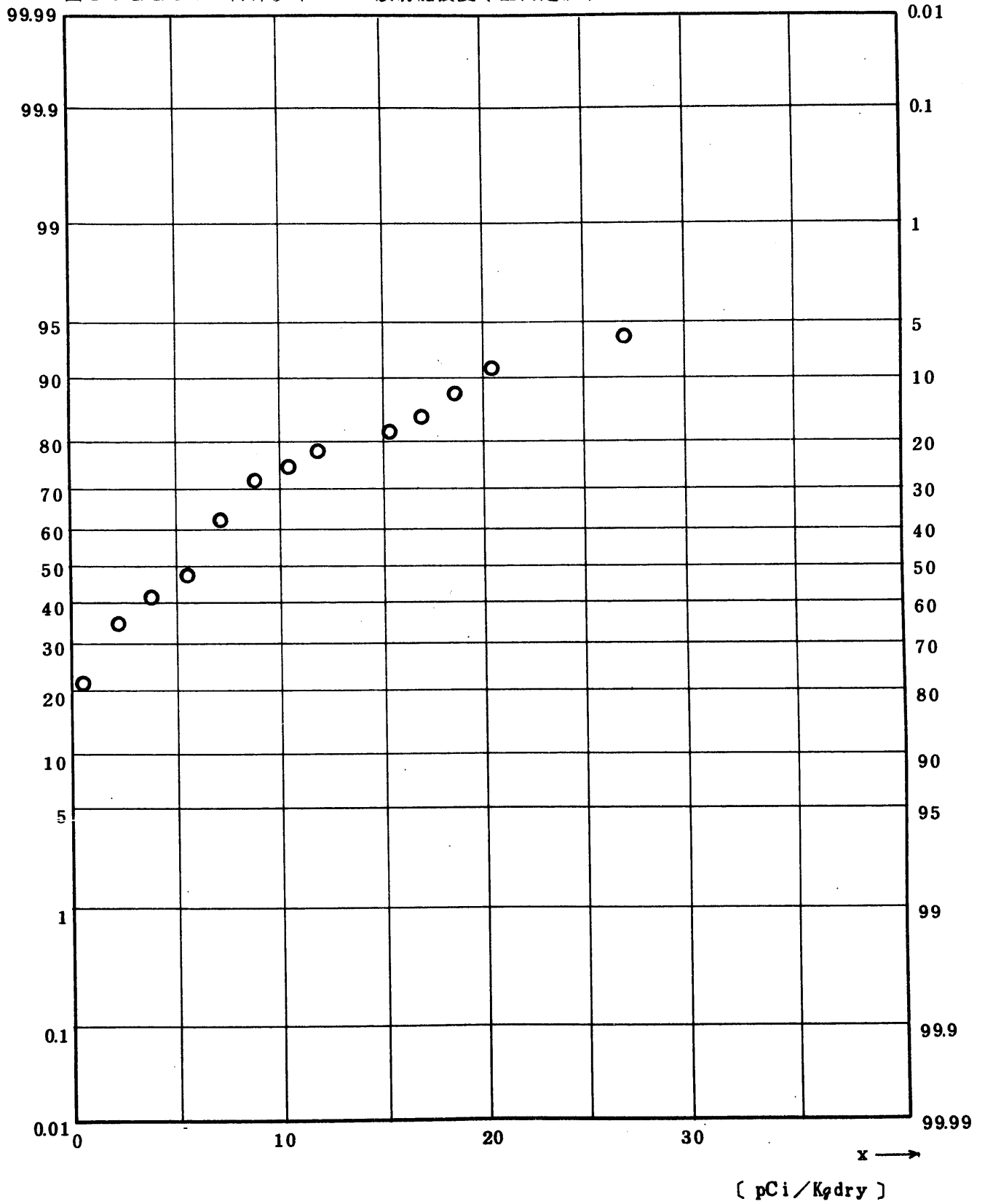


Fig. 10.1.1.1.6 ^{137}Cs Concentration in Sea-Shore Sand (ALL)

(1971.5 ~ 1977.3)

图 10.1.1.1.6 海岸砂中 ^{137}Cs 放射能濃度 (全測定値)

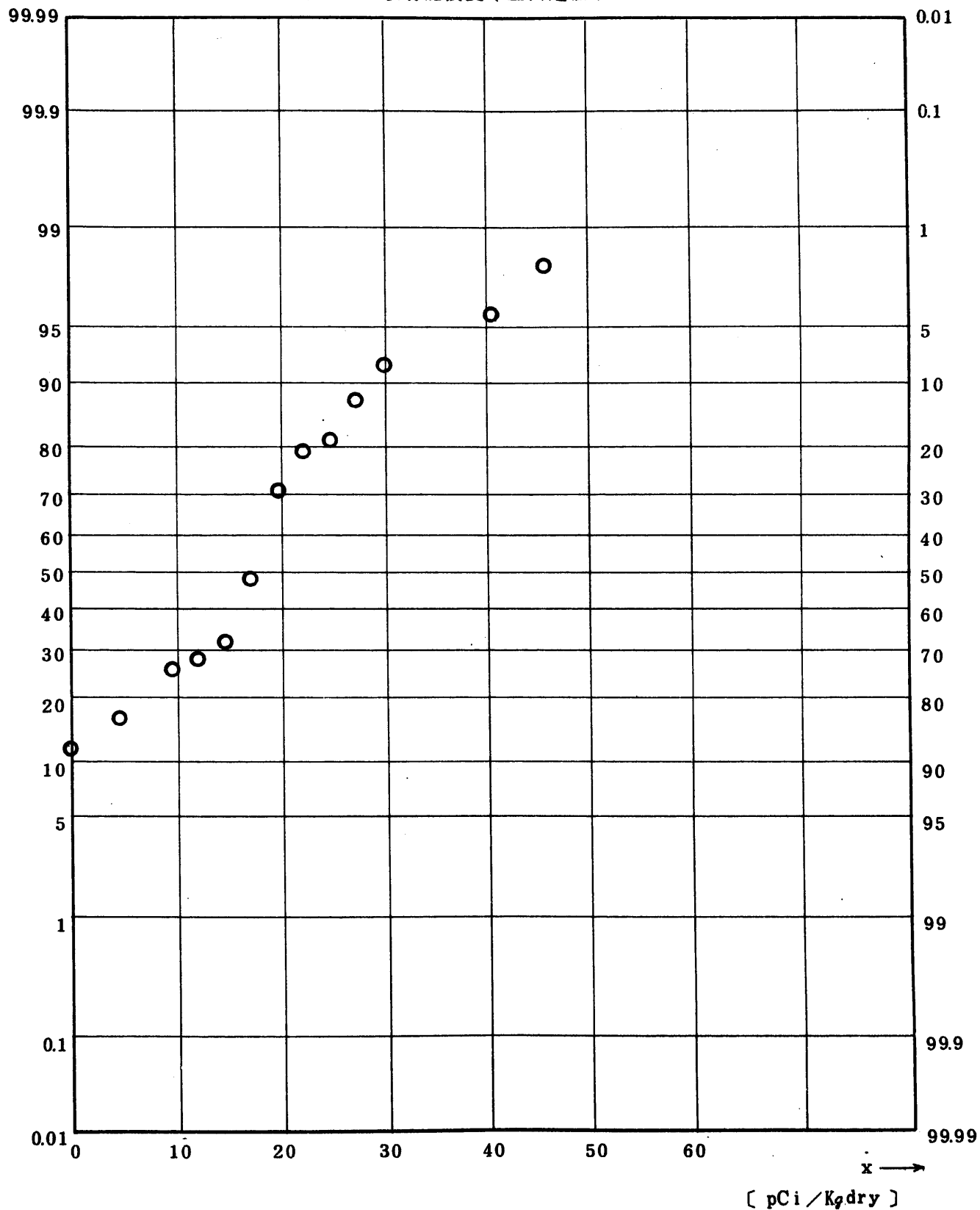


Fig. 10.1.1.7 $^{144}\text{Ce}/^{144}\text{Pr}$ Concentration in Sea-Shore Sand (ALL)

(1971.5 ~ 1977.3)

図 1 0.1.1.7 海岸砂中 ^{144}Ce 放射能濃度 (全測定値)

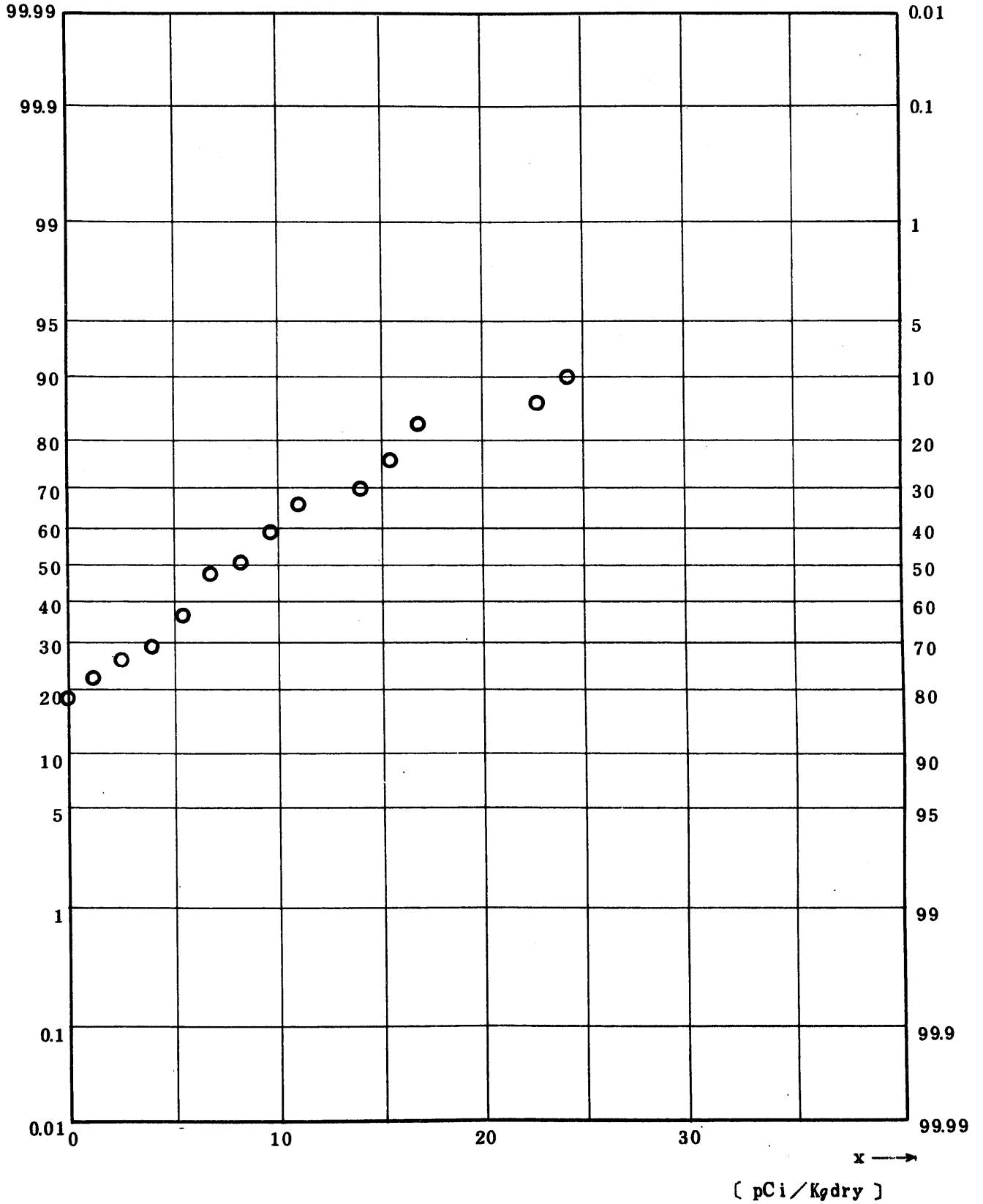


Fig 10.1.1.8 $^{239}\text{Pu} + ^{240}\text{Pu}$ Concentration in Sea-Shore Sand (ALL)
 (1 9 7 1 . 4 ~ 1 9 7 7 . 3)

图10.1.1.1.8 海岸砂中 239 , ^{240}Pu 放射能濃度 (全測定值)

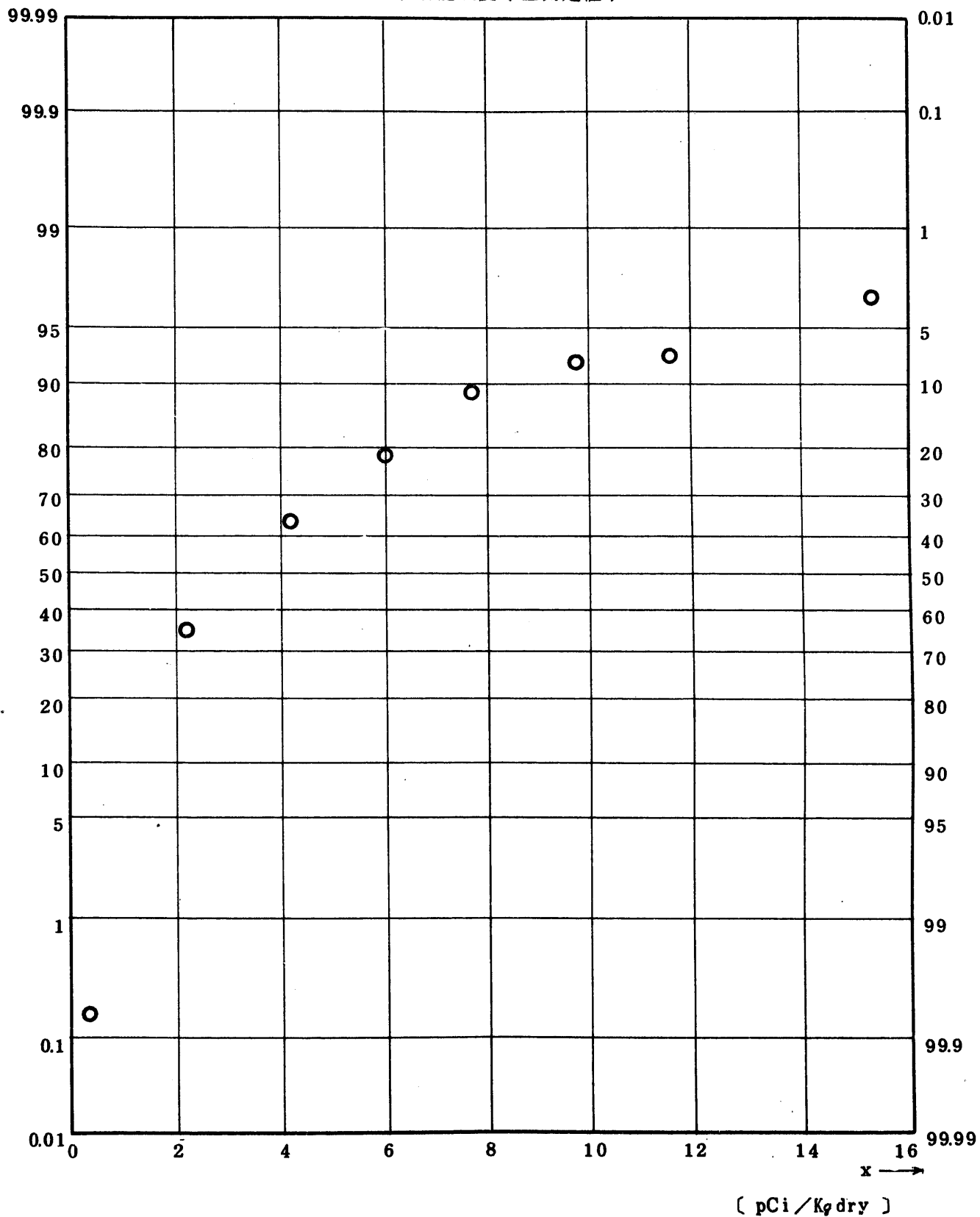


Fig. 10.1.2.1.8 $^{239}\text{Pu} + ^{240}\text{Pu}$ Concentration in Sea-Shore Sand (ALL)

(1 9 7 1 . 4 ~ 1 9 7 7 . 3)

图 10.1.2.1.8 海岸砂中 239 , ^{240}Pu 放射能浓度 (全测定值)

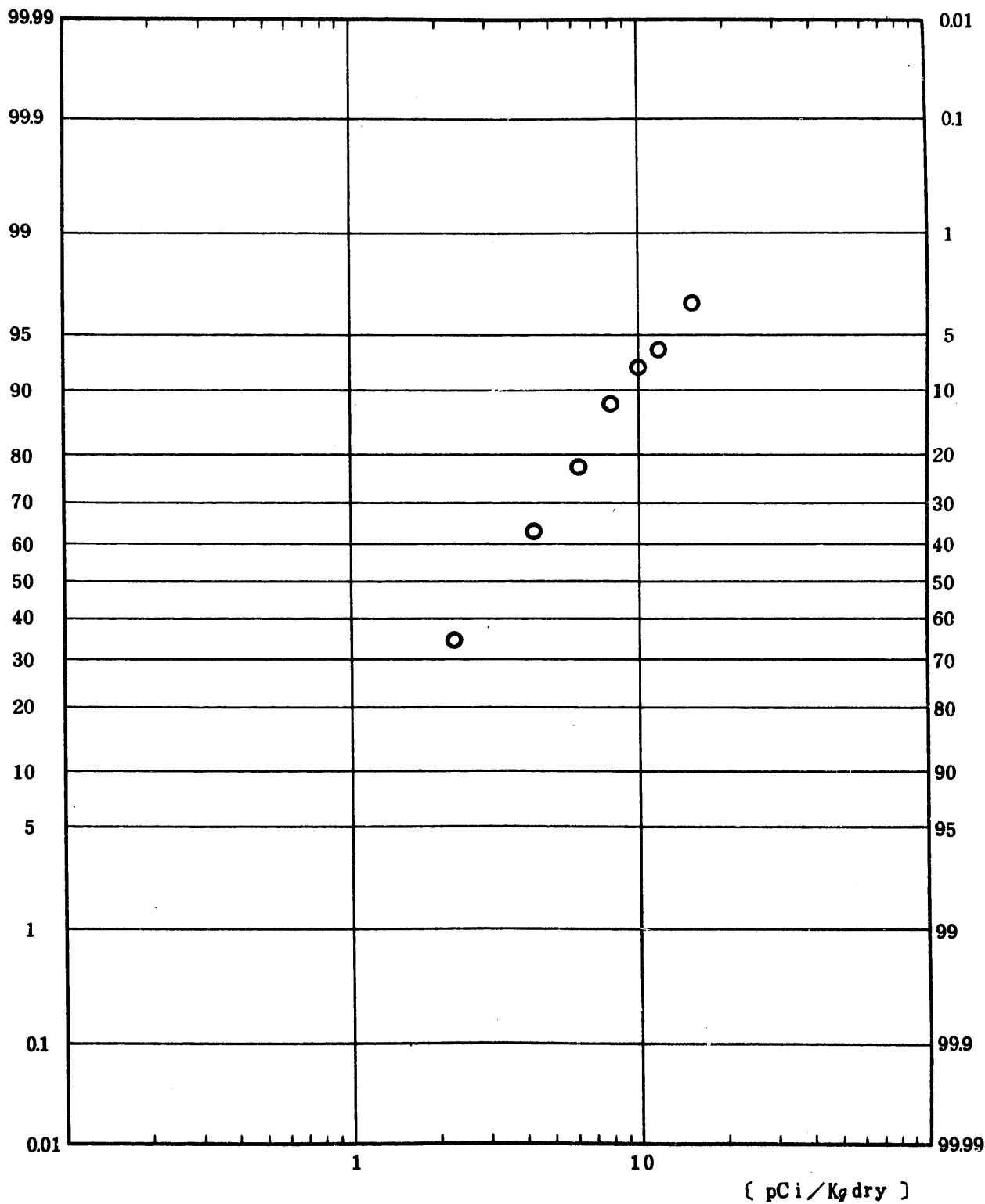


Fig. 10.2.1.1.2 ⁹⁰Sr Concentration in Sea-Shore Sand (USUAL)

(1 9 7 3 . 5 ~ 1 9 7 7 . 3)

図 1 0 . 2 . 1 . 1 . 2 海岸砂 ⁹⁰Sr 放射能濃度 (平常値)

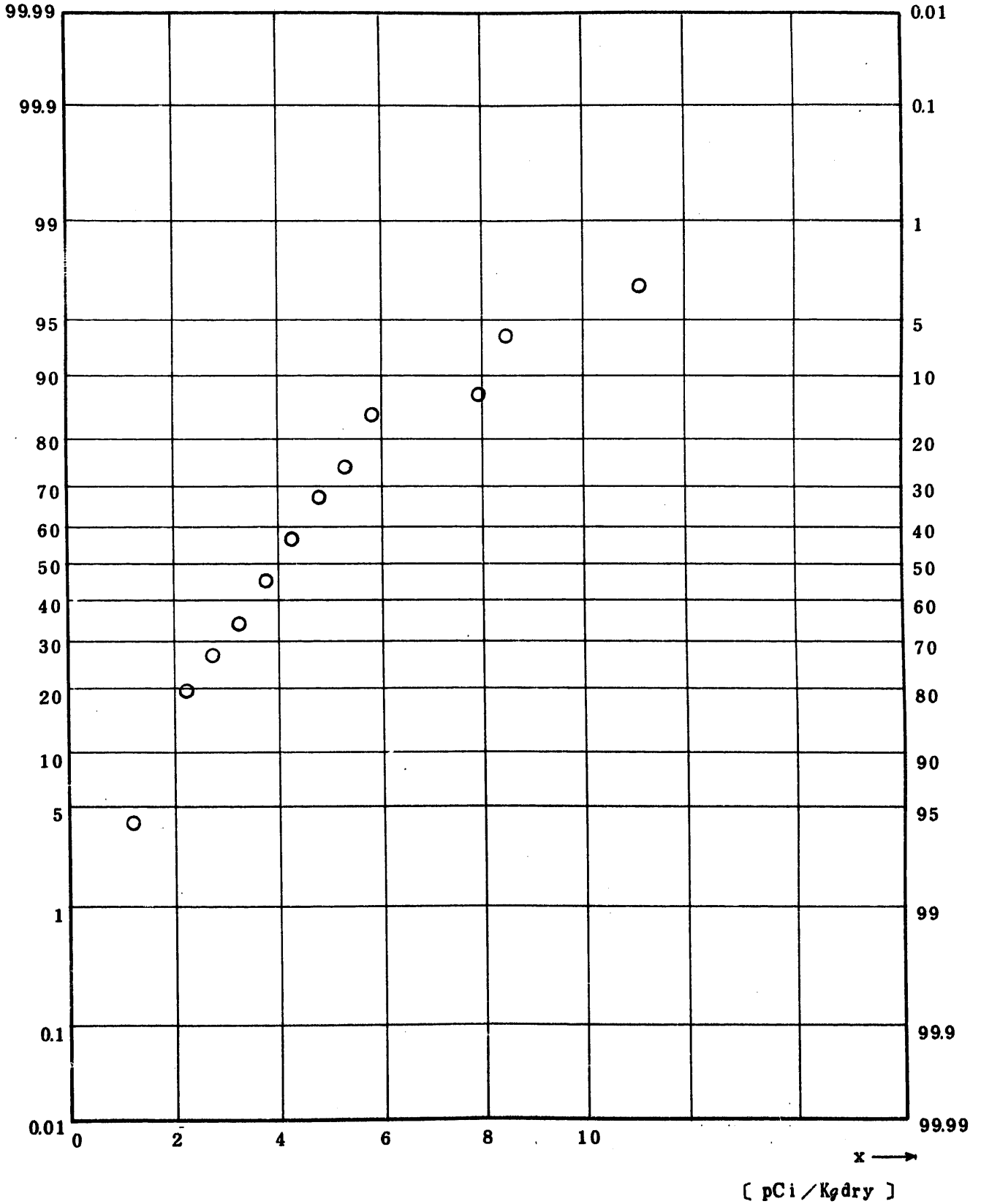


Fig. 10.2.1.1.1 Gross BETA Concentration in Sea-Shore Sand (USUAL)

(1973.5 ~ 1977.3)

图 10.2.1.1.1 海岸砂全β放射能濃度(平常值)

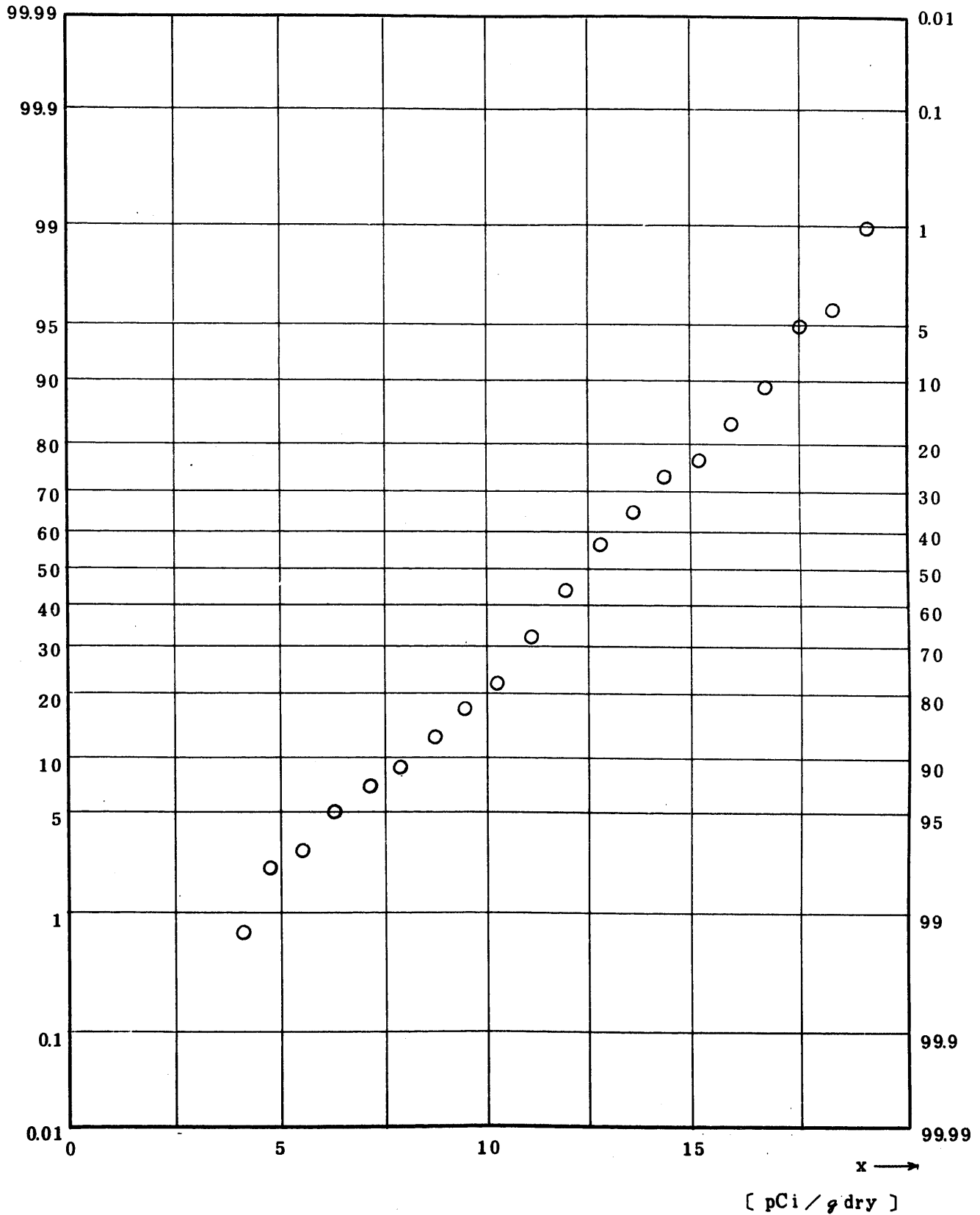


Fig. 10.2.1.1.3 ⁹⁵Zr Concentration in Sea-Shore Sand (USUAL)

(1973.5 ~ 1977.3)

図 1 0. 2. 1. 1. 3 海岸砂 ⁹⁵Zr 放射能濃度 (平常値)

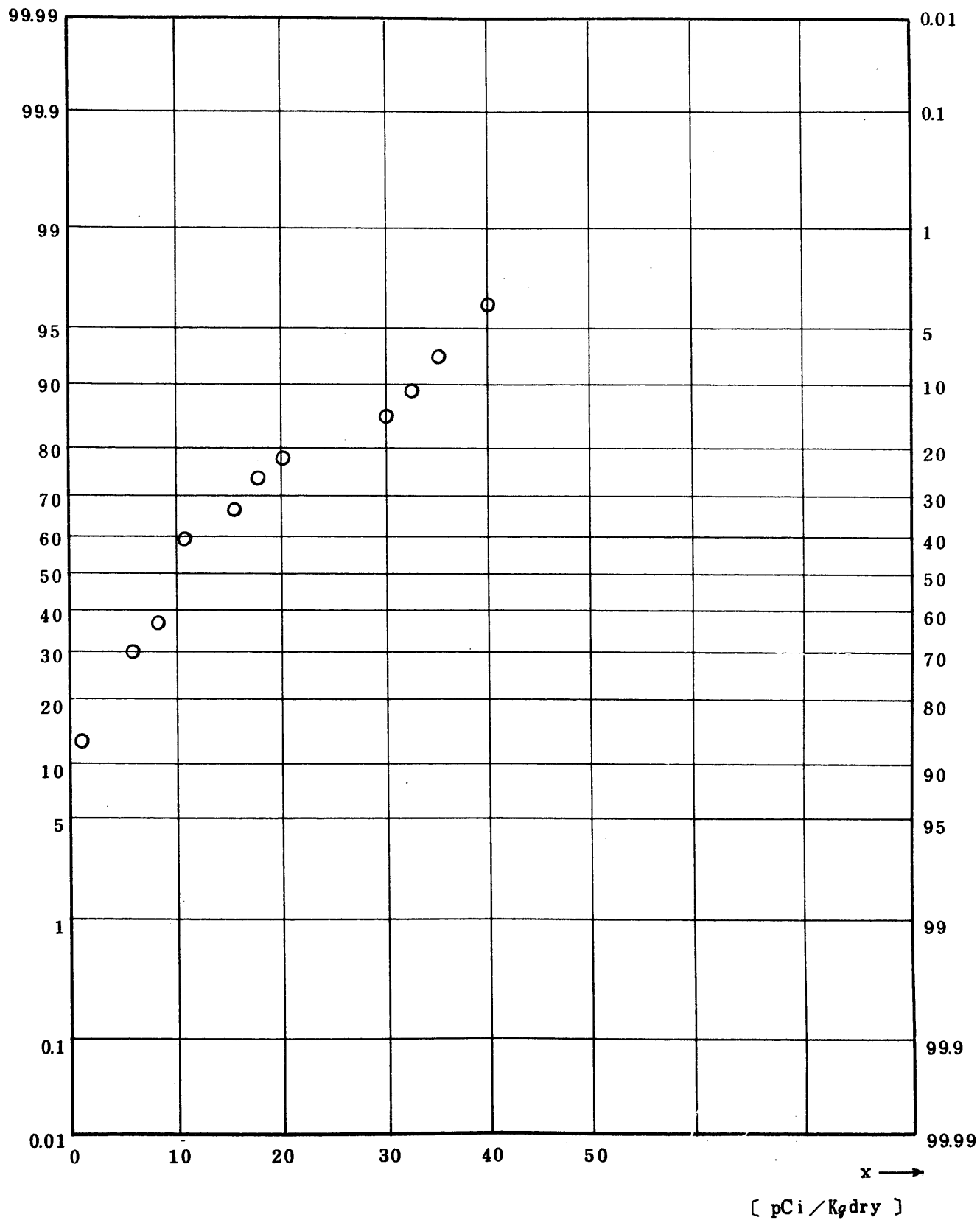


Fig. 10.2.1.1.4 ⁹⁵Nb Concentration in Sea-Shore Sand (USUAL)

(1 9 7 3 . 5 ~ 1 9 7 7 . 3)

图 1 0 . 2 . 1 . 1 . 4 海岸砂 ⁹⁵Nb 放射能浓度 (平常值)

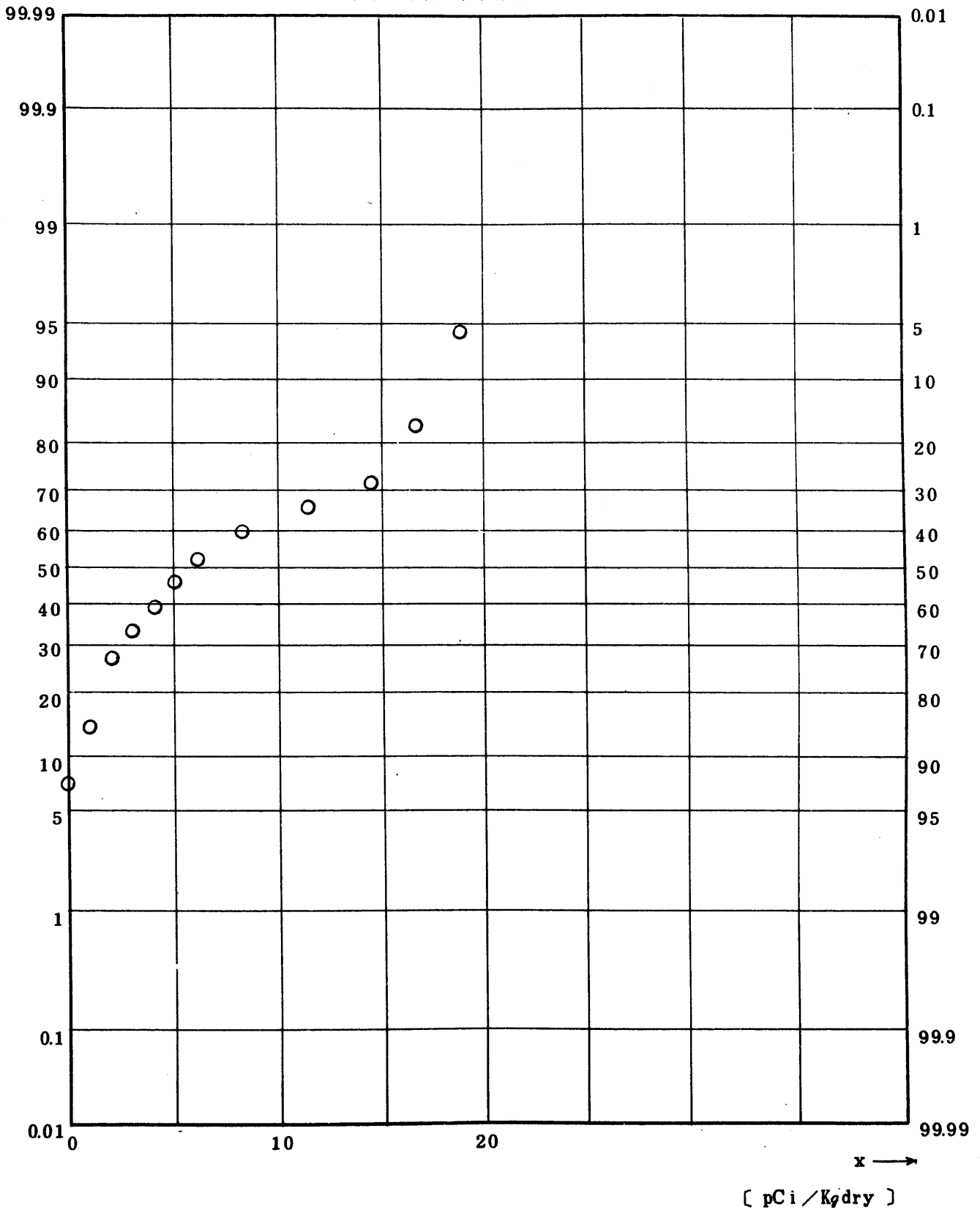


Fig. 10.2.1.1.5 $^{106}\text{Ru}/^{106}\text{Ru}$ Concentration in Sea-Shore Sand (USUAL)

(1973.5 ~ 1977.3)

图 1 0. 2. 1. 1. 5 海岸砂 ^{106}Ru 放射能濃度 (平常值)

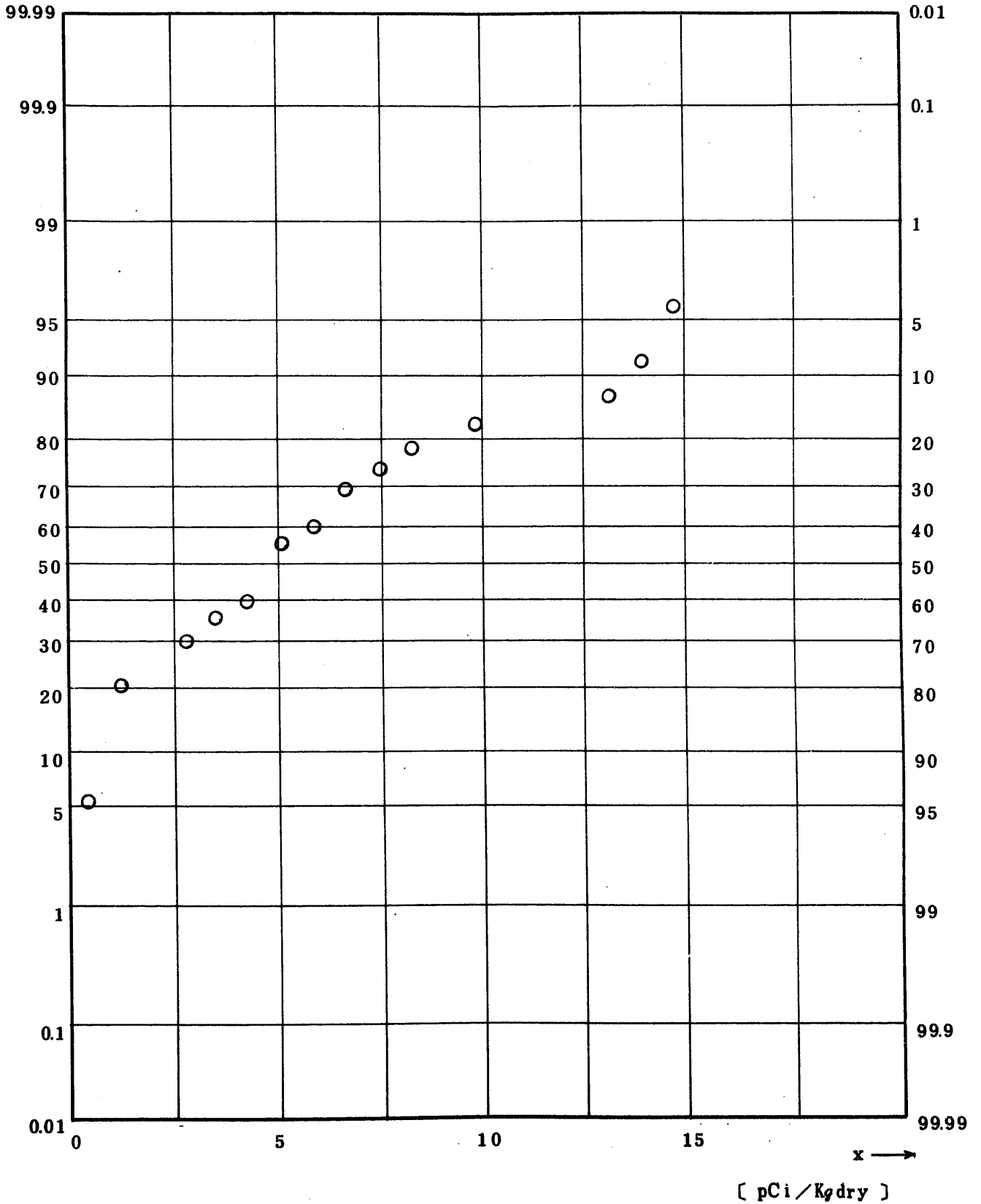


Fig. 10.2.1.1.6 ^{137}Cs Concentration in Sea-Shore Sand (USUAL)

(1 9 7 3 . 5 ~ 1 9 7 7 . 3)

図 1 0 . 2 . 1 . 1 . 6 海岸砂 ^{137}Cs 放射能濃度 (平常値)

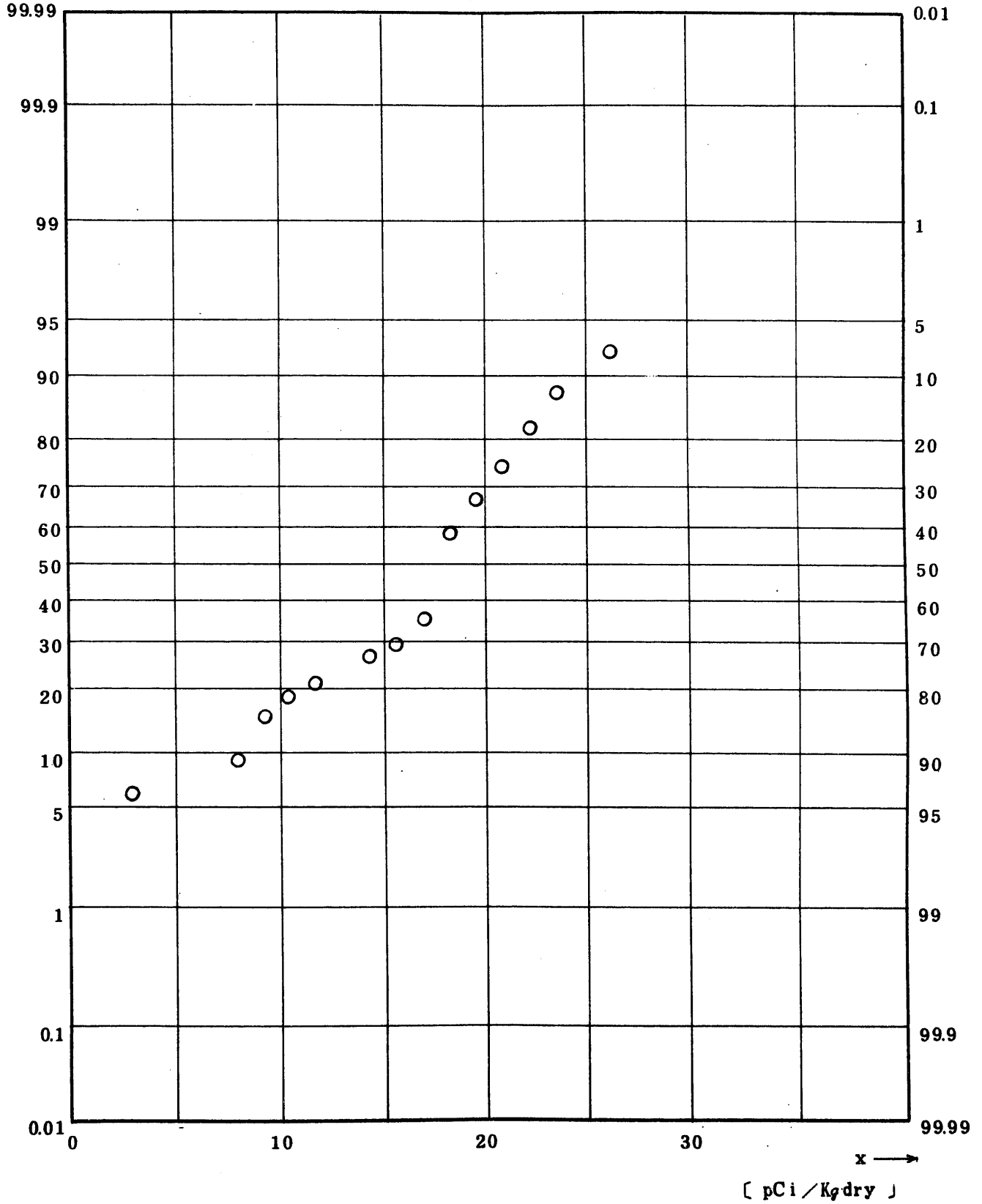


Fig. 10.2.1.1.7 $^{144}\text{Ce}/^{144}\text{Pr}$ Concentration in Sea-Shore Sand (USUAL)

(1973.5 ~ 1977.3)

图 10.2.1.1.7 海岸砂 ^{144}Ce 放射能濃度 (平常值)

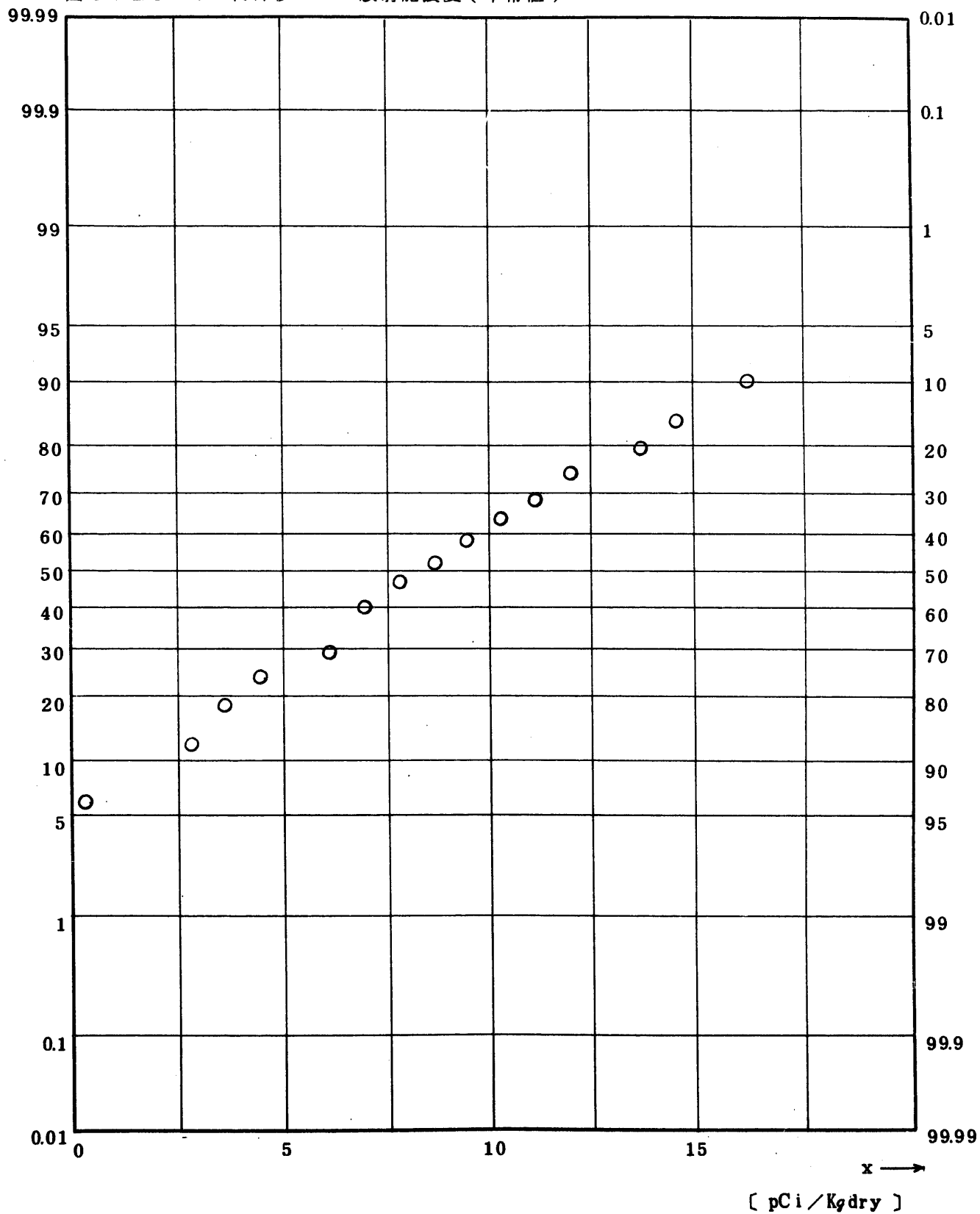


Fig. 10.2.1.1.8 $^{239}\text{Pu} + ^{240}\text{Pu}$ Concentration in Sea-Shore Sand (USUAL)

(1 9 7 3 . 5 ~ 1 9 7 7 . 3)

图 10.2.1.1.8 海岸砂 239 , 240 Pu 放射能濃度(平常值)

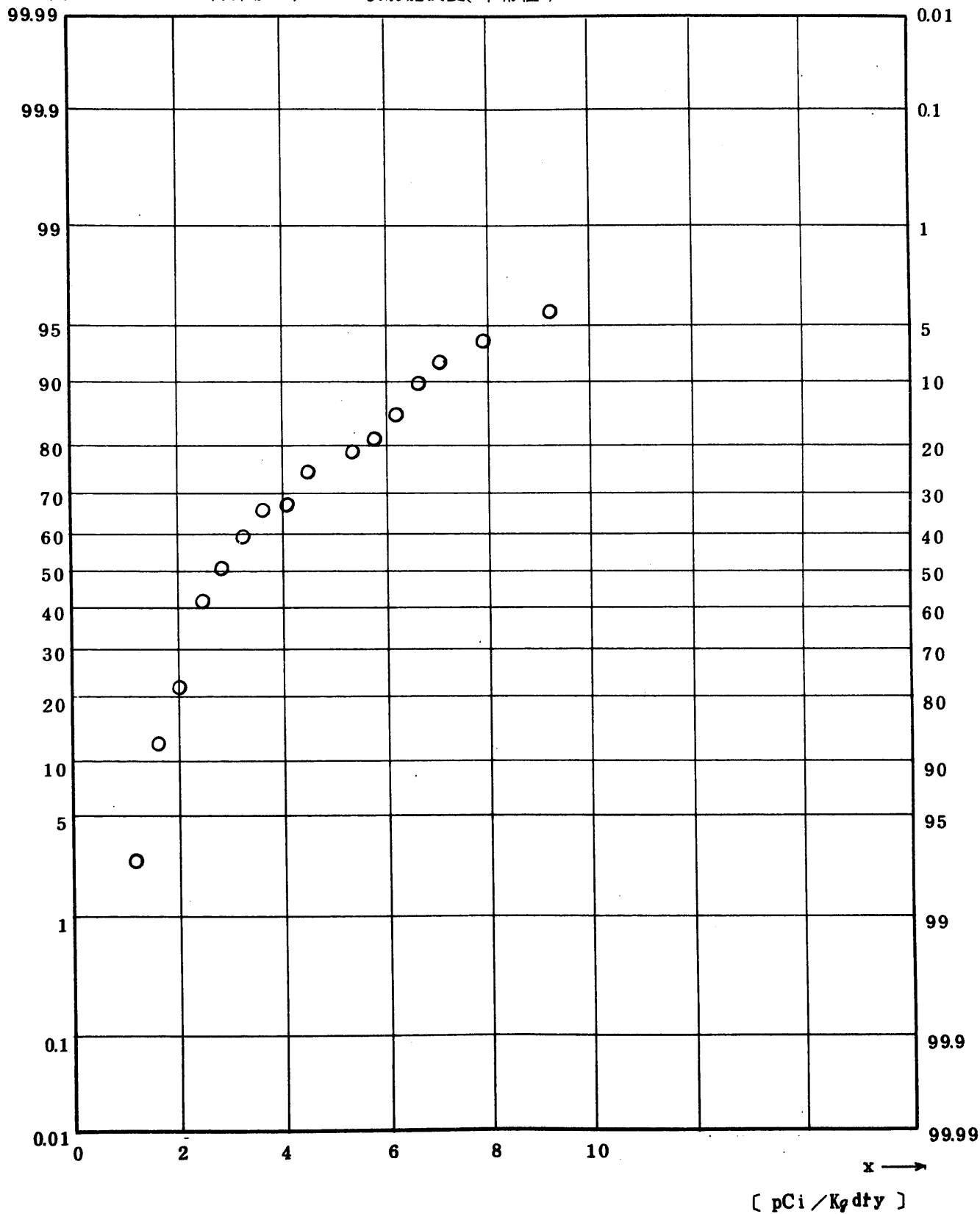


Fig. 11.0.3.1.1.1.1 Gross BETA Concentration in Fish
 (Whole Body of Surdine etc.) (ALL)

図 1 1. 0. 3. 1. 1. 1. 1 成魚 (ヒラメ・カレイ・イワシ等の全β放射能濃度) (全測定値)

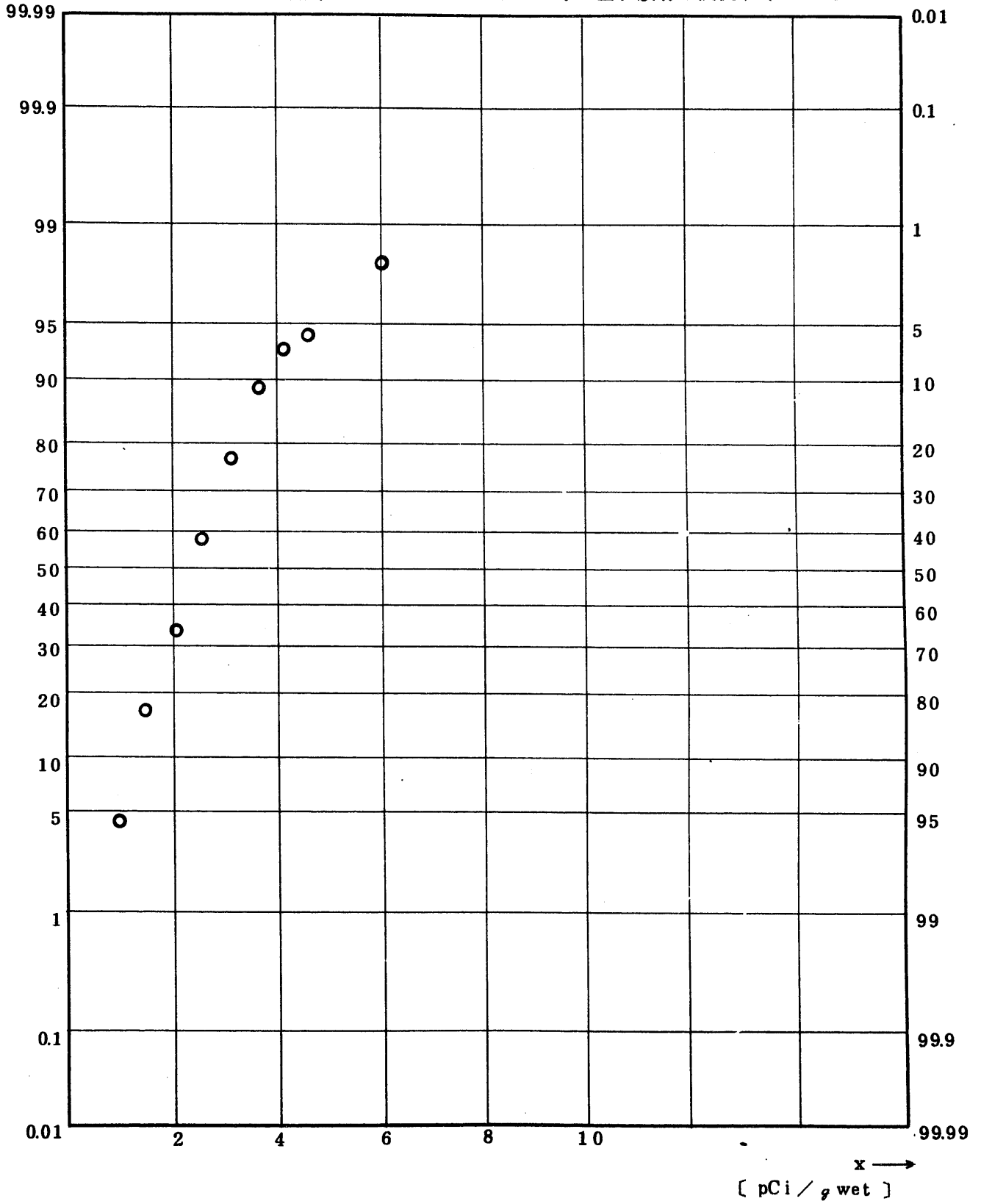


Fig. 11.1.1.1.1.1 Gross BETA Concentration in Fish (Flesh of Flat fish)(ALL)
(1971.6 ~ 1977.2)

図 1 1.1.1.1.1.1 ヒラメ・カレイ (肉) 中全β放射能濃度 (全測定値)

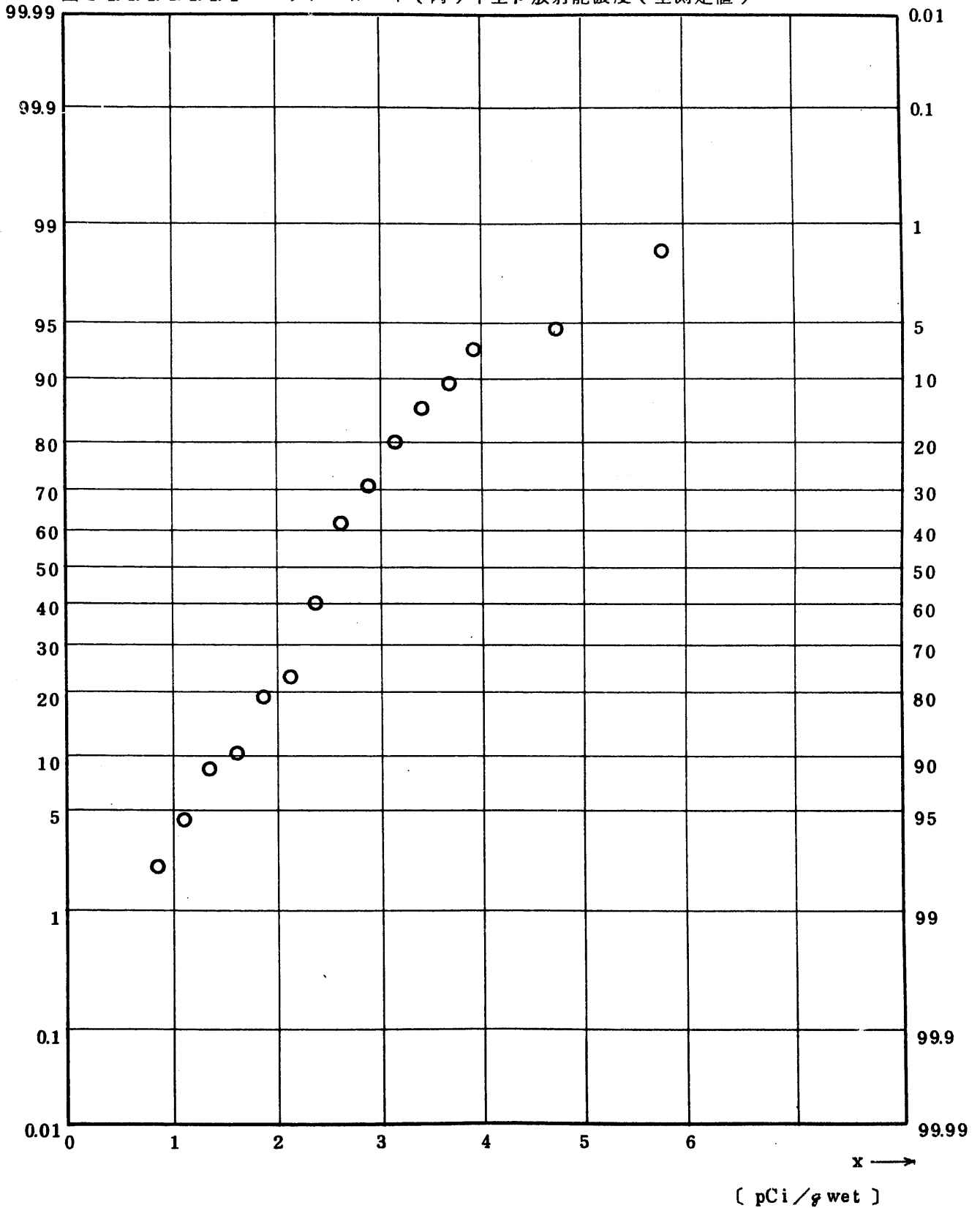


Fig. 11.1.1.1.1.2 ^{90}Sr Concentration in Fish(Flesh of Flat-fish) (ALL)

(1971.6 ~ 1977.2)

図 11.1.1.1.1.2 ヒラメ・カレイ(肉)中 ^{90}Sr 放射能濃度(全測定値)

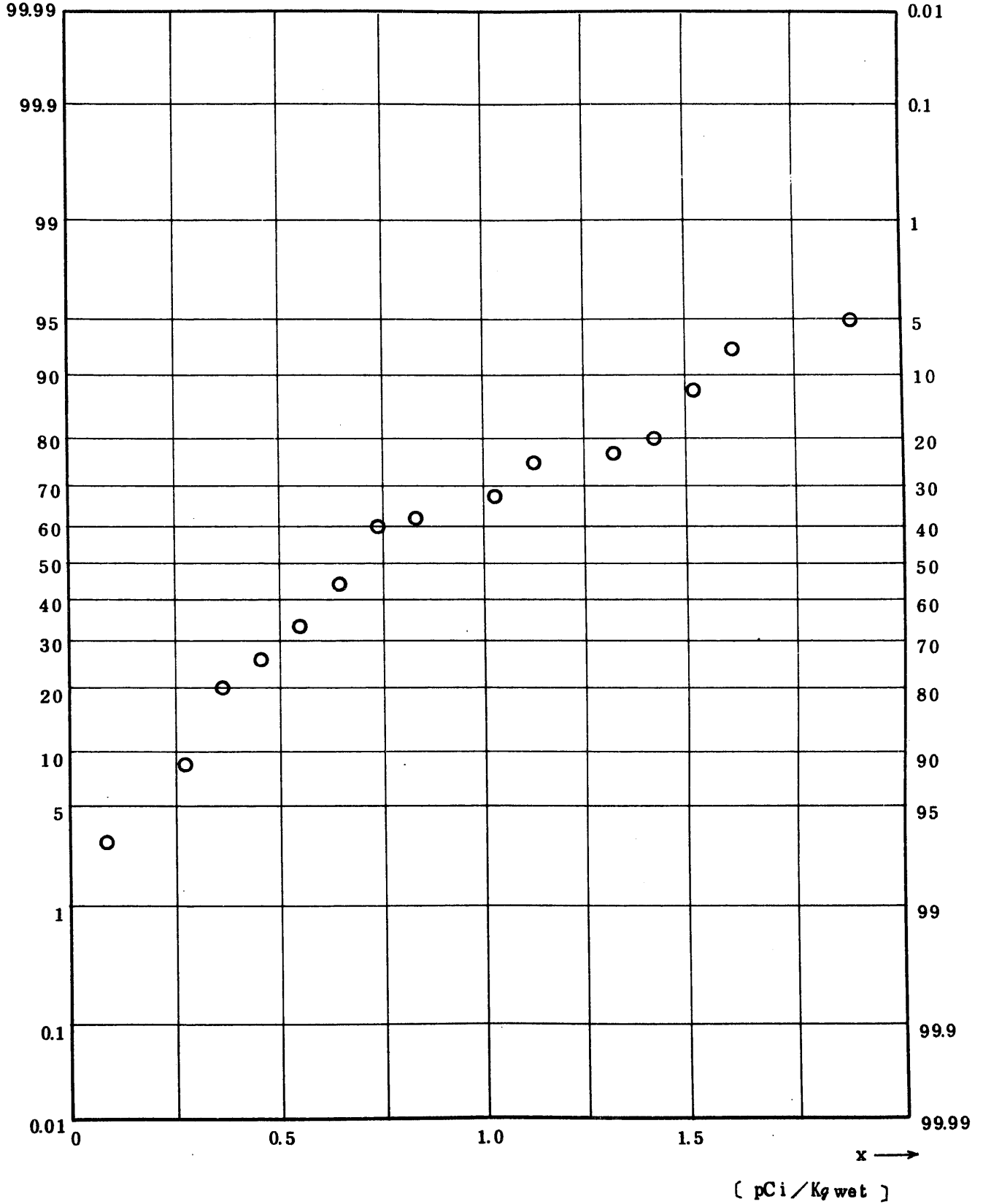


Fig. 11.1.1.1.1.3 ^{95}Zr Concentration in Fish (Flesh of Flat-fish) (ALL)
 (1971.6 ~ 1977.2)

図 11.1.1.1.1.3 ヒラメ・カレイ(肉)中 ^{95}Zr 放射能濃度(全測定値)

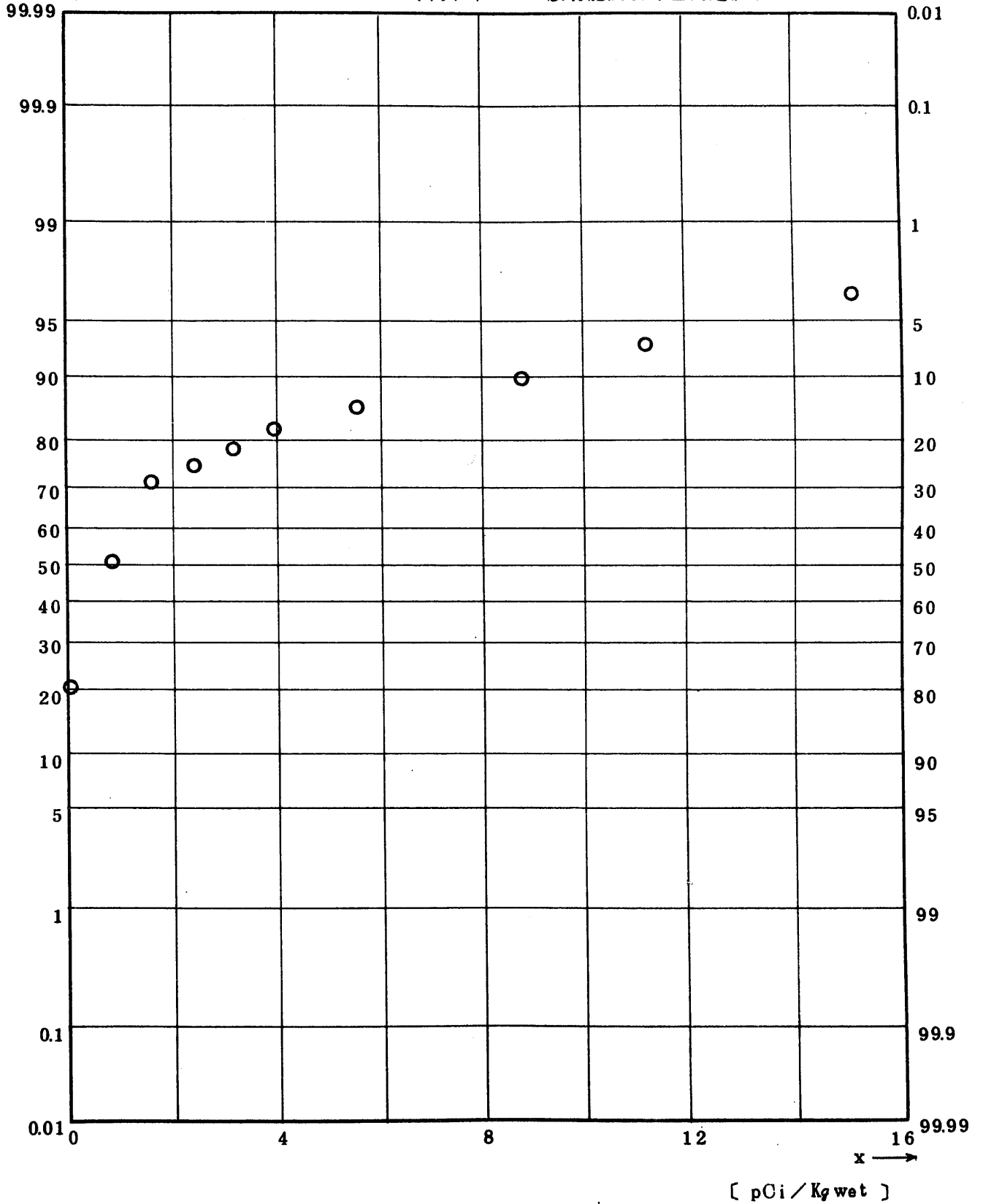


Fig. 11.1.1.1.1.4 ^{95}Nb Concentration in Fish (Flesh of Flat-fish) (ALL)
(1971.6 ~ 1977.2)

図 11.1.1.1.1.4 ヒラメ・カレイ(肉)中 ^{95}Nb 放射能濃度(全測定値)

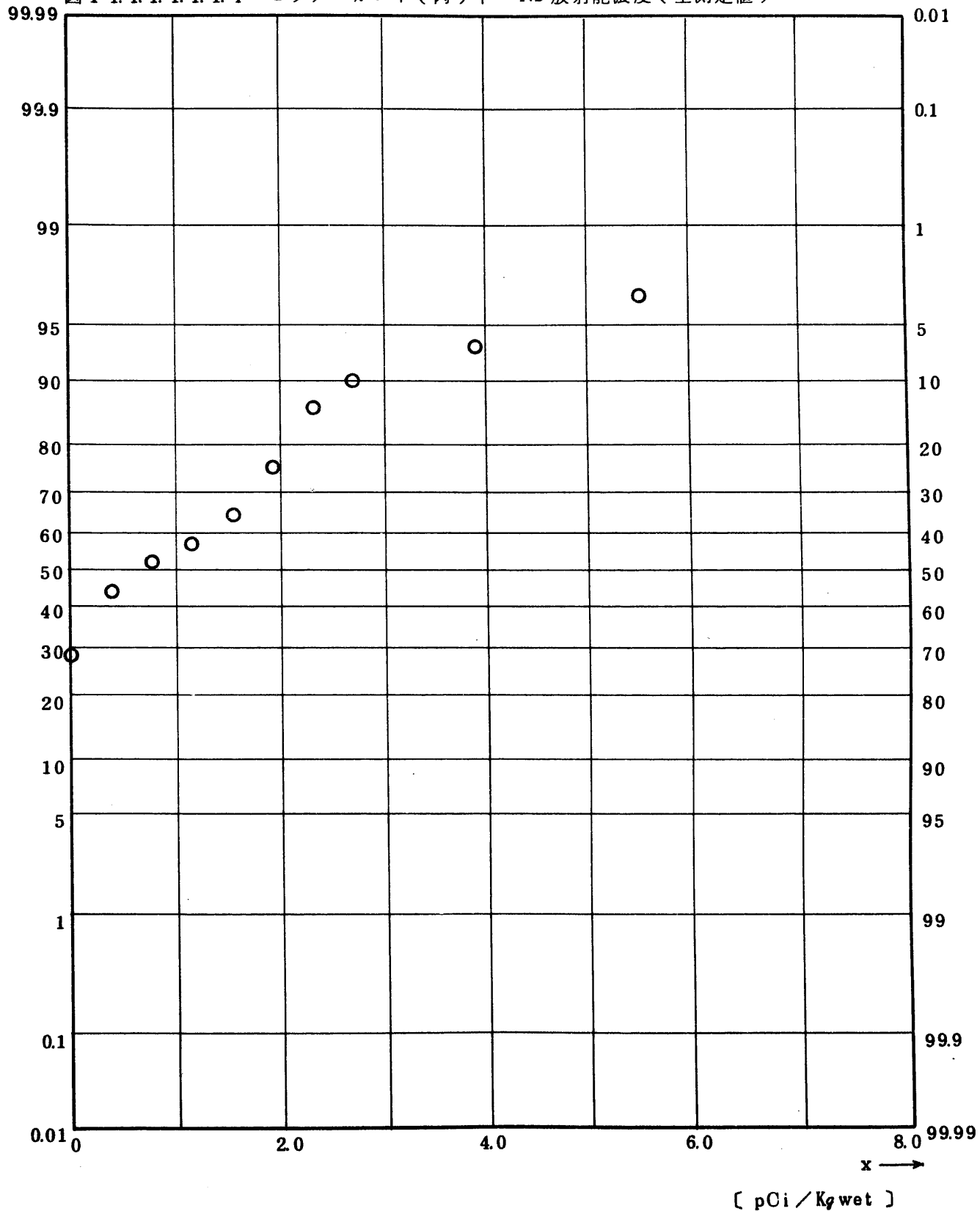


Fig. 11.1.1.1.1.5 $^{106}\text{Ru}/^{106}\text{Rh}$ Concentration in Fish (Flesh of Flat Fish)(ALL)
(1971.6 ~ 1977.2)

図 1 1. 1. 1. 1. 1. 5 ヒラメ・カレイ (肉) 中 ^{106}Ru 放射能濃度 (全測定値)

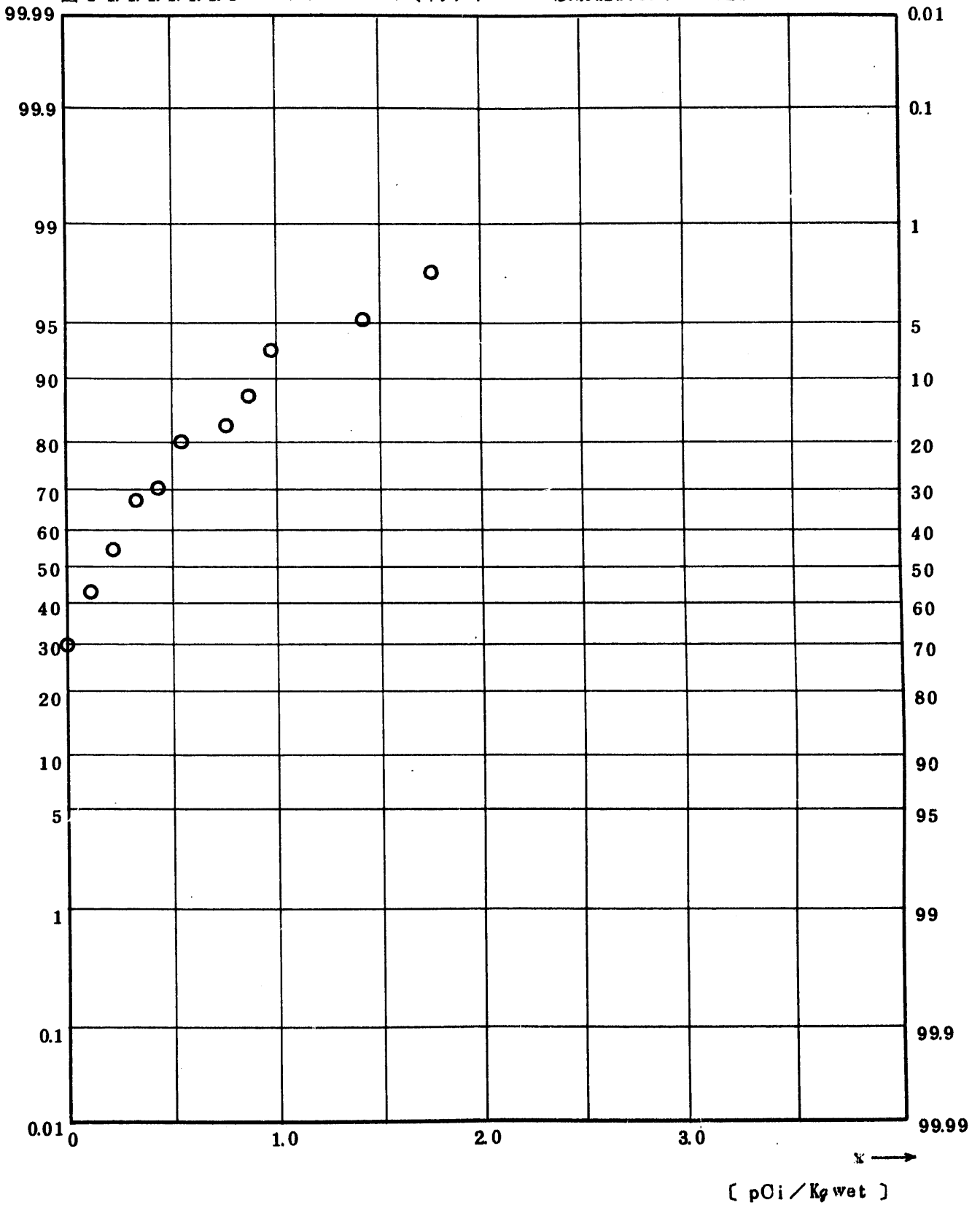


Fig. 11.1.1.1.1.6 ^{137}Cs Concentration in Fish (Flesh of Flat-fish) (ALL)
(1971.6 ~ 1977.2)

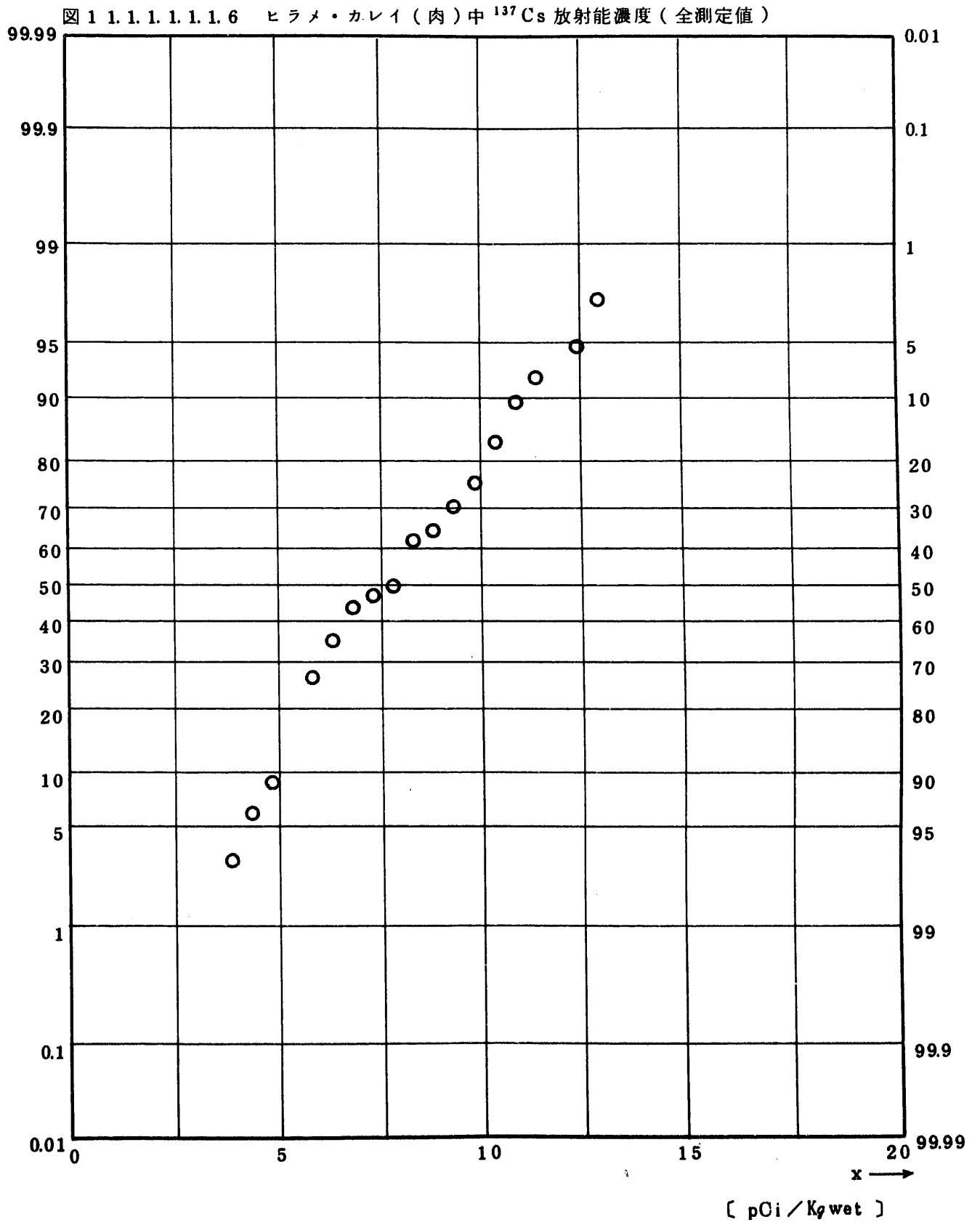


Fig. 11.1.1.1.1.7 $^{144}\text{Ce}/^{144}\text{Pr}$ Concentration in Fish (Flesh of Flat-fish)(ALL)
(1971.6~1977.2)

図 11.1.1.1.1.7 ヒラメ・カレイ(肉)中 ^{144}Ce 放射能濃度(全測定値)

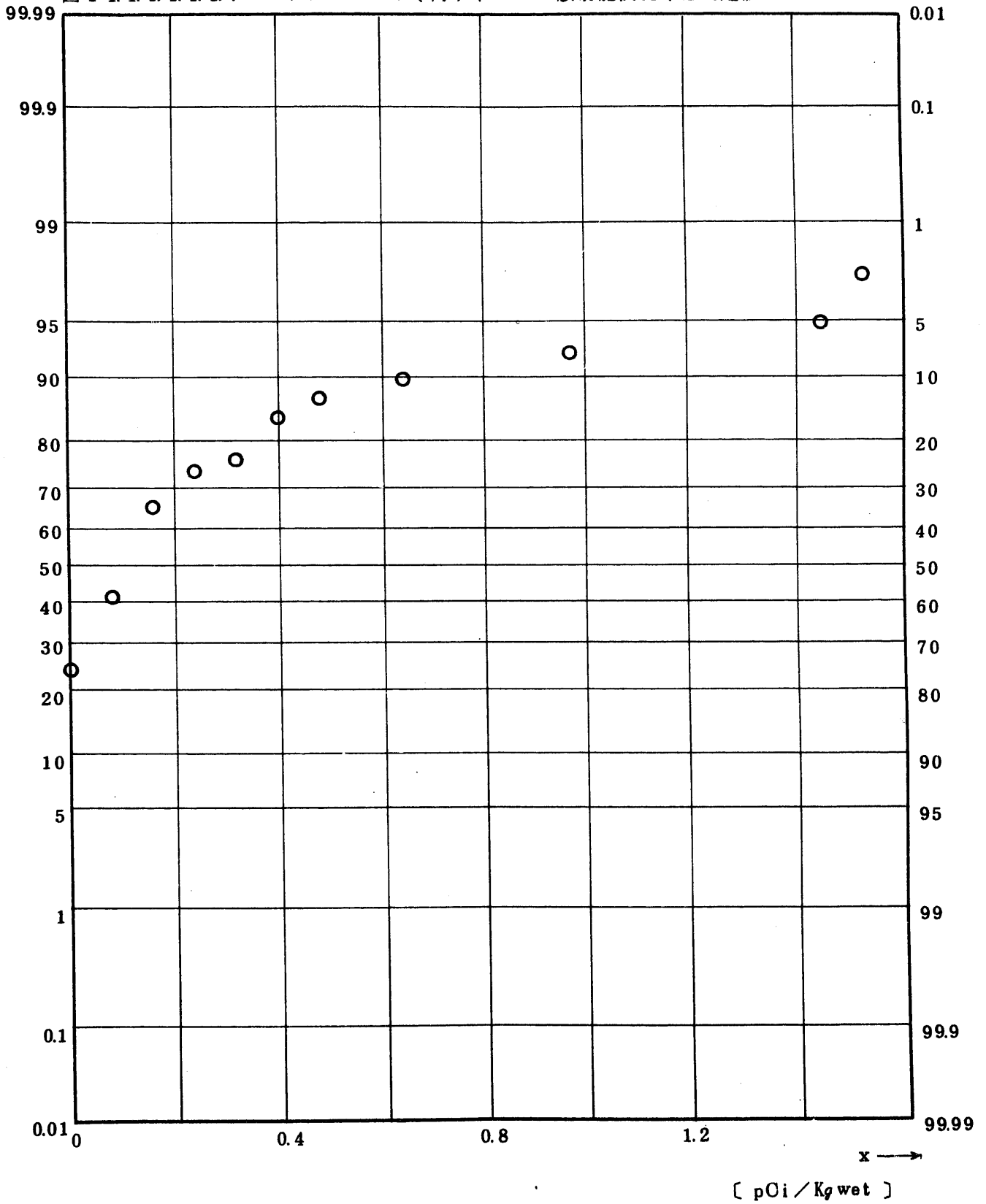


Fig. 11.1.1.1.2.1.7 $^{144}\text{Ce}/^{144}\text{Pr}$ Concentration in Fish (Flesh of Flat-fish)
 (ALL)
 (1971.6~1977.2)

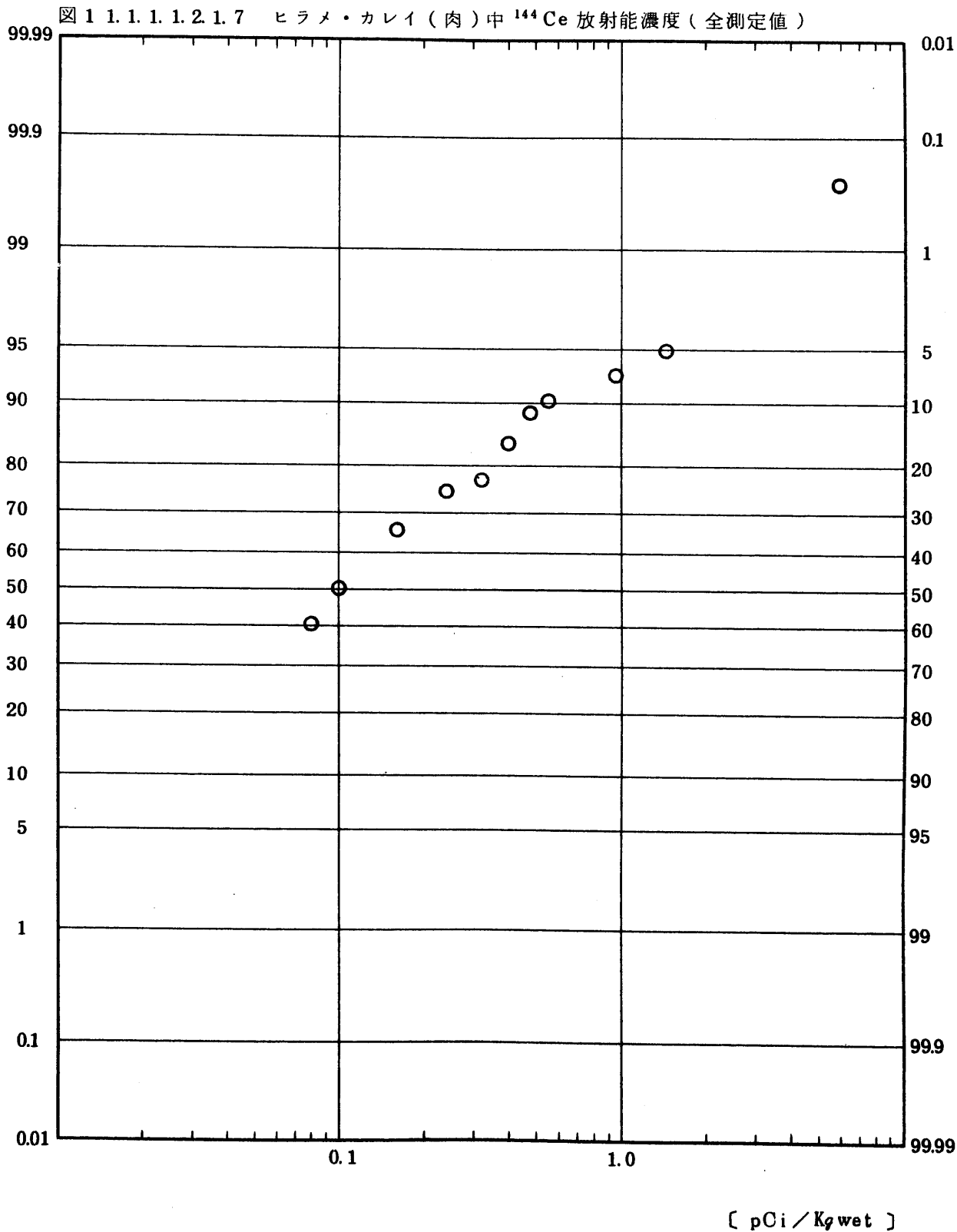


Fig. 11.1.1.1.1.8 $^{239}\text{Pu} + ^{240}\text{Pu}$ Concentration in Fish (Flesh of Flat-fish)
 (ALL) (1971.6 ~ 1977.2)

図 11.1.1.1.1.8 ヒラメ・カレイ (肉) 中 $^{239}, ^{240}\text{Pu}$ 放射能濃度 (全測定値)

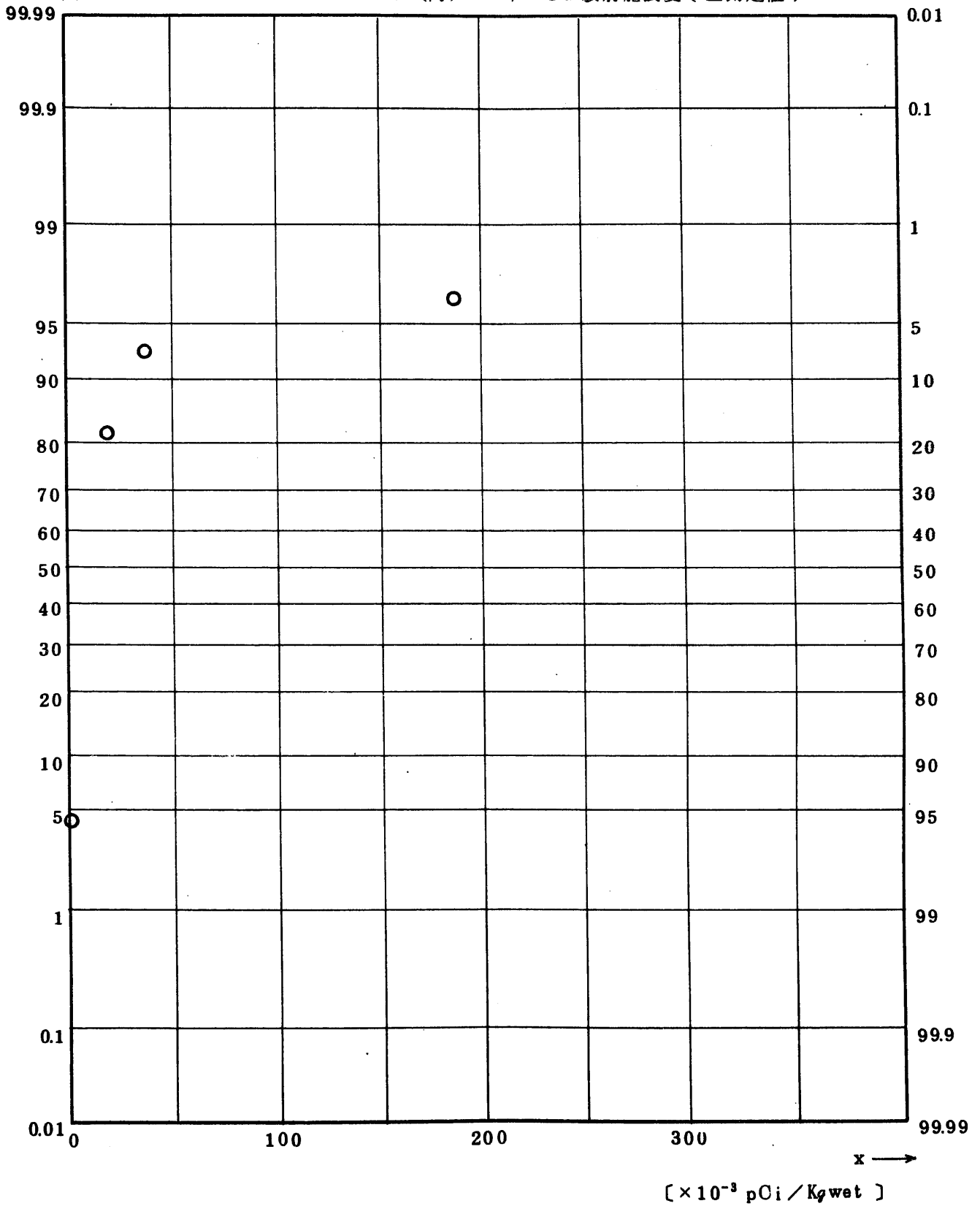


Fig. 11.1.1.2.1.1.1 Gross BETA Concentration in Fish (Flesh of Flat-fish)(USUAL)
 (1 9 7 1 . 6 ~ 1 9 7 7 . 2)

図 1 1 . 1 . 1 . 2 . 1 . 1 . 1 ヒラメ・カレイ肉中全β放射能濃度(平常値)

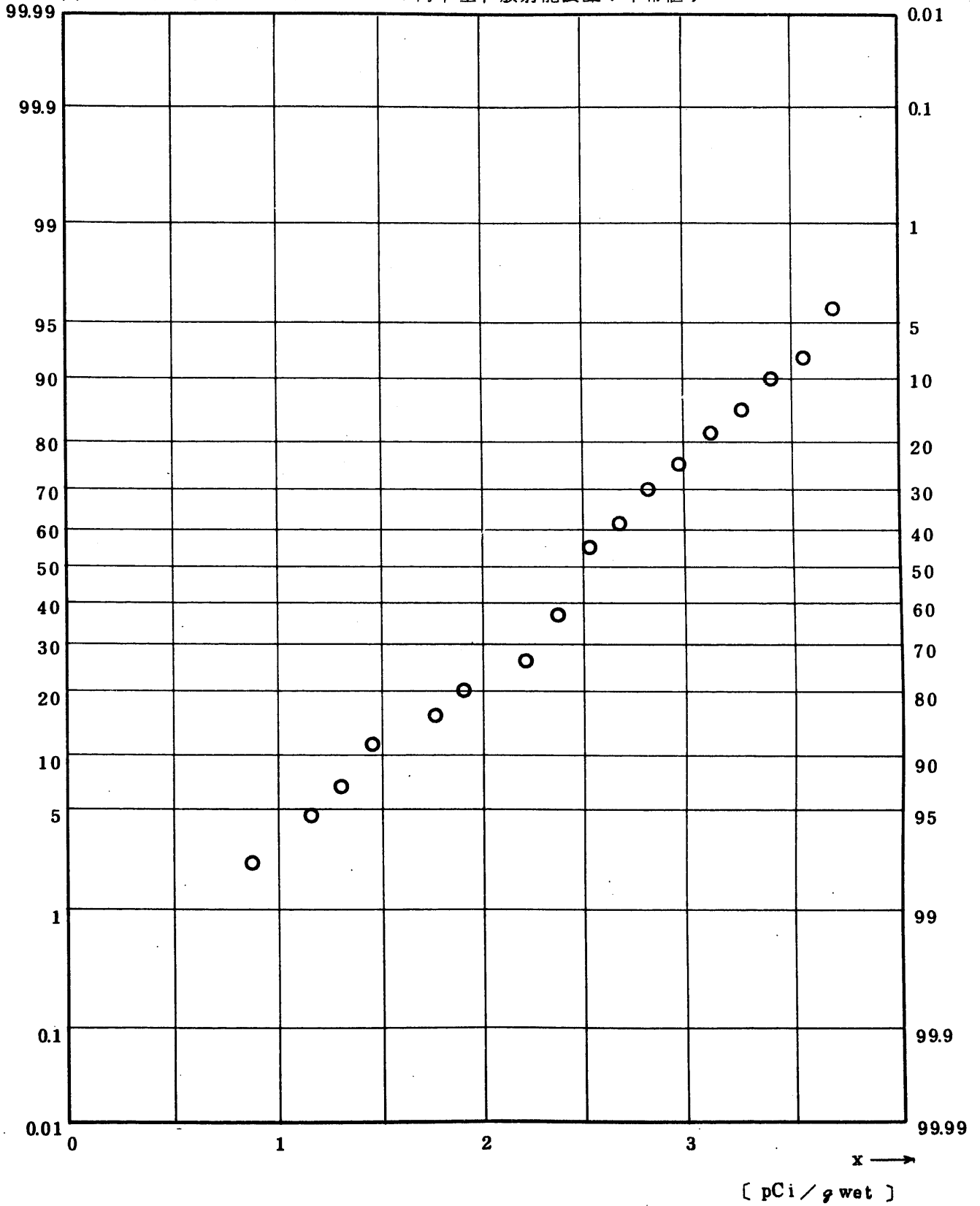


Fig. 11.1.1.2.1.1.2 ^{90}Sr Concentration in Fish (Flesh of Flat-fish)(USUAL)
(1971.6 ~ 1977.2)

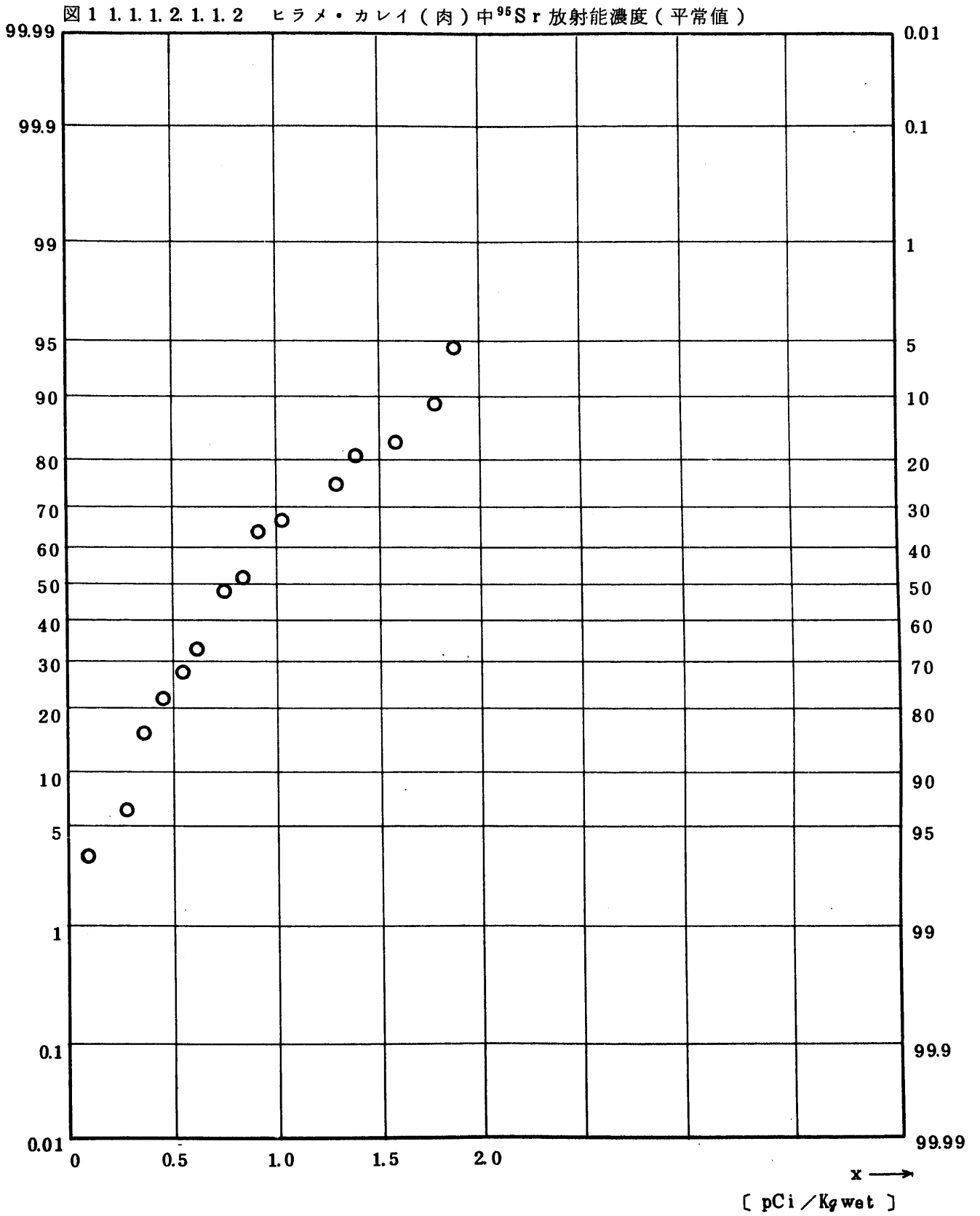


Fig. 11.1.1.2.1.1.3 ⁹⁵Zr Concentration in Fish (Flesh of Flat-fish) (USUAL)
 (1971.6 ~ 1977.2)

図 1 1.1.1.2.1.1.3 ヒラメ・カレイ(肉)中⁹⁵Zr放射能濃度(平常値)

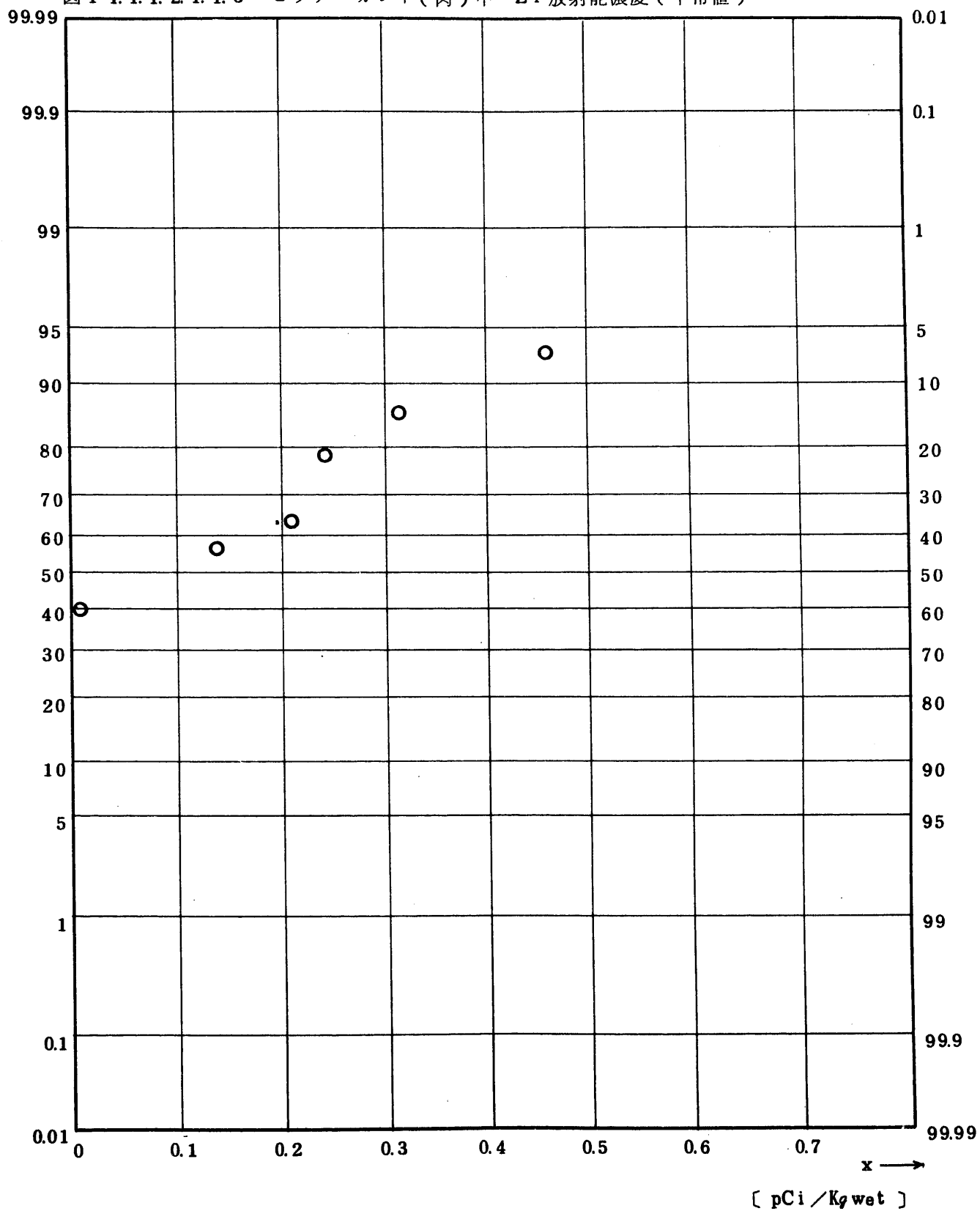


Fig. 11.1.1.2.1.1.4 ^{95}Nb Concentration in Fish (Flesh of Flat-fish) (USUAL)
 (1971.6 ~ 1977.2)

図 1 1. 1. 1. 2. 1. 1. 4 ヒラメ・カレイ(肉)中 ^{95}Nb 放射能濃度(平常値)

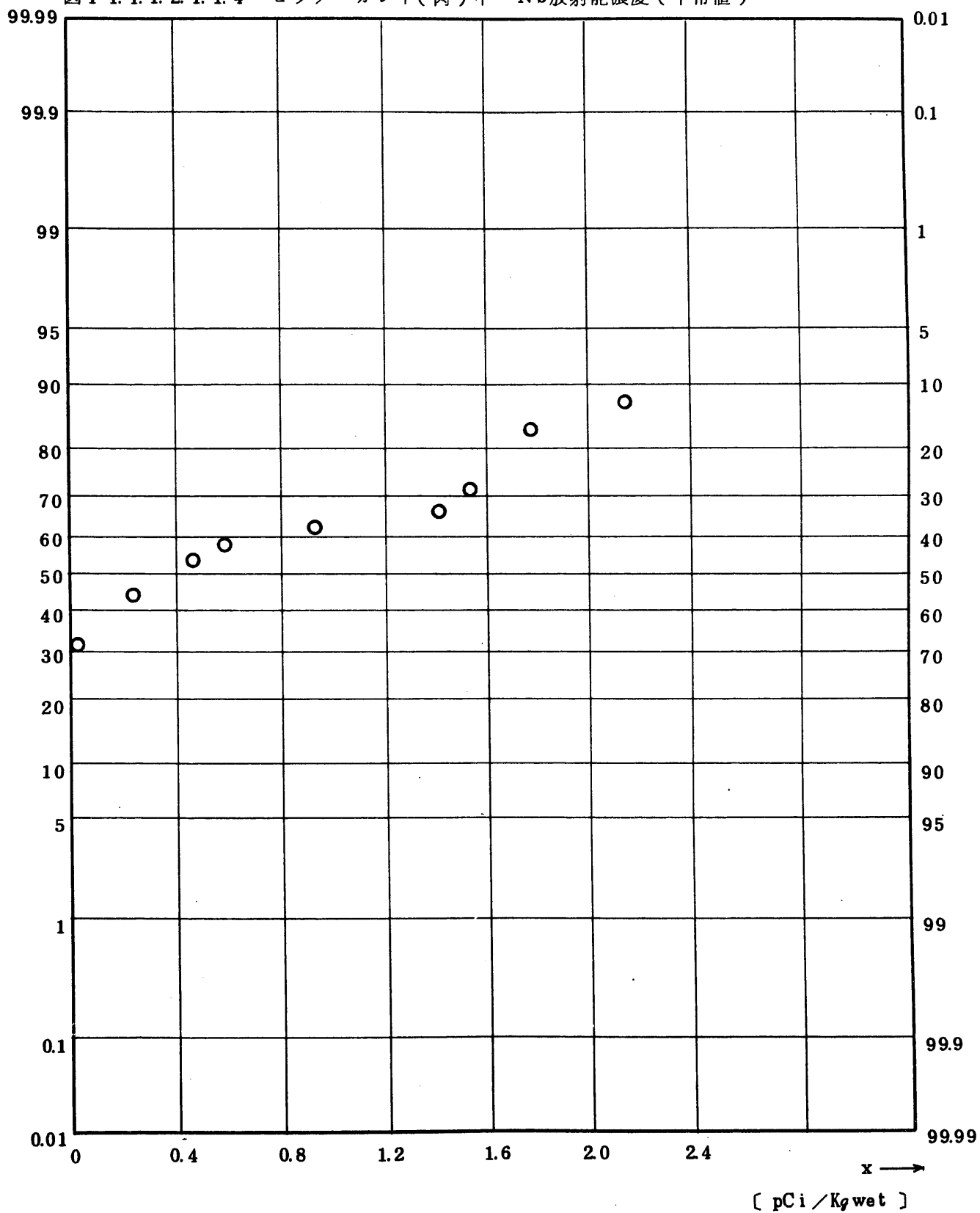


Fig. 11.1.1.2.1.1.5 $^{106}\text{Ru}/^{106}\text{Rh}$ Concentration in Fish (Flesh of Flat-fish)
 (USUAL) (1971.6 ~ 1977.2)

図 1 1. 1. 1. 2. 1. 1. 5 ヒラメ・カレイ (肉) 中 ^{106}Ru 放射能濃度 (平常値)

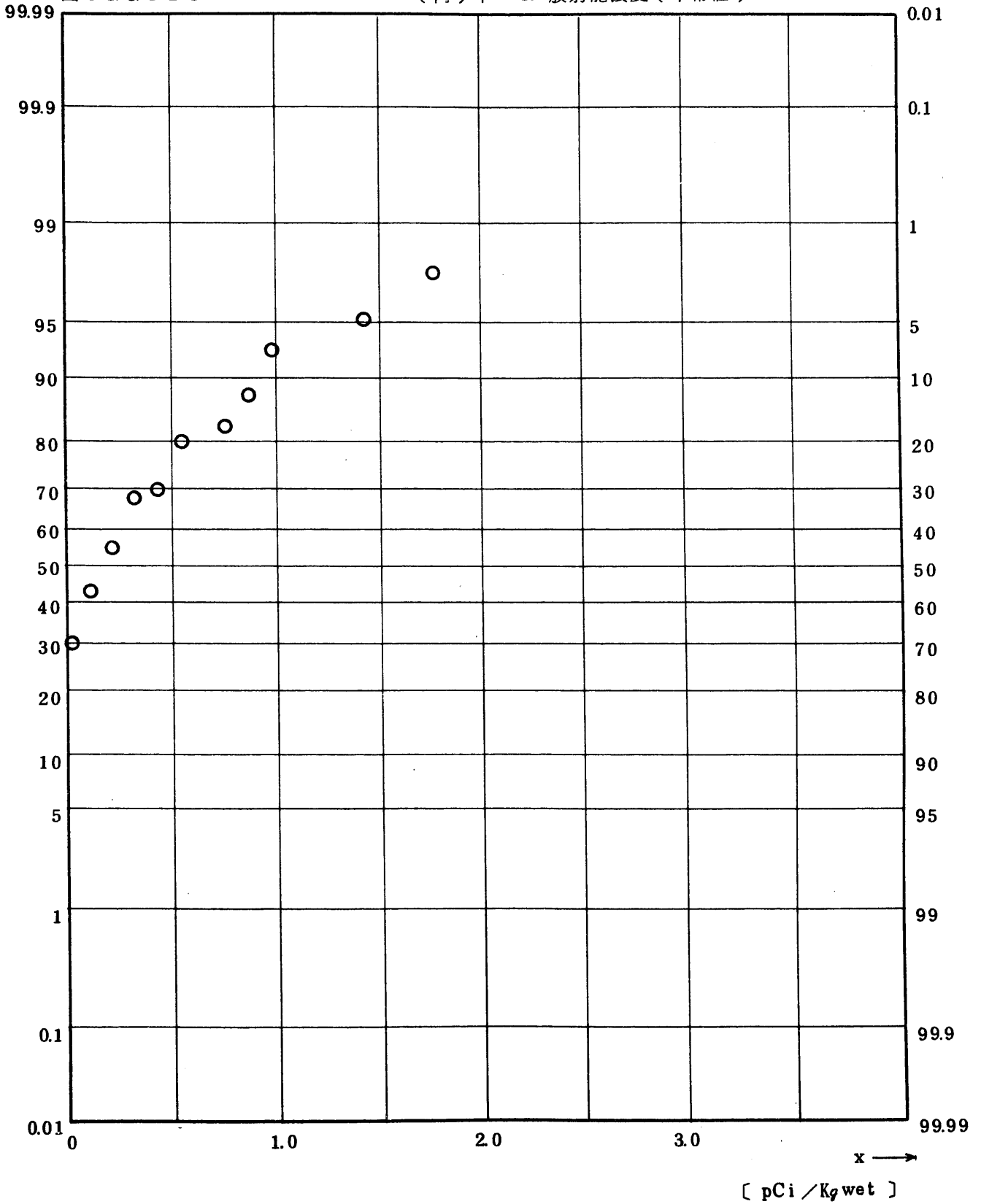


Fig. 11.1.1.2.1.1.6. ^{137}Cs Concentration in Fish (Flesh of Flat-fish) (USUAL)
(1971.6 ~ 1977.2)

図 1 1. 1. 1. 2. 1. 1. 6 ヒラメ・カレイ (肉) 中 ^{137}Cs 放射能濃度 (平常値)

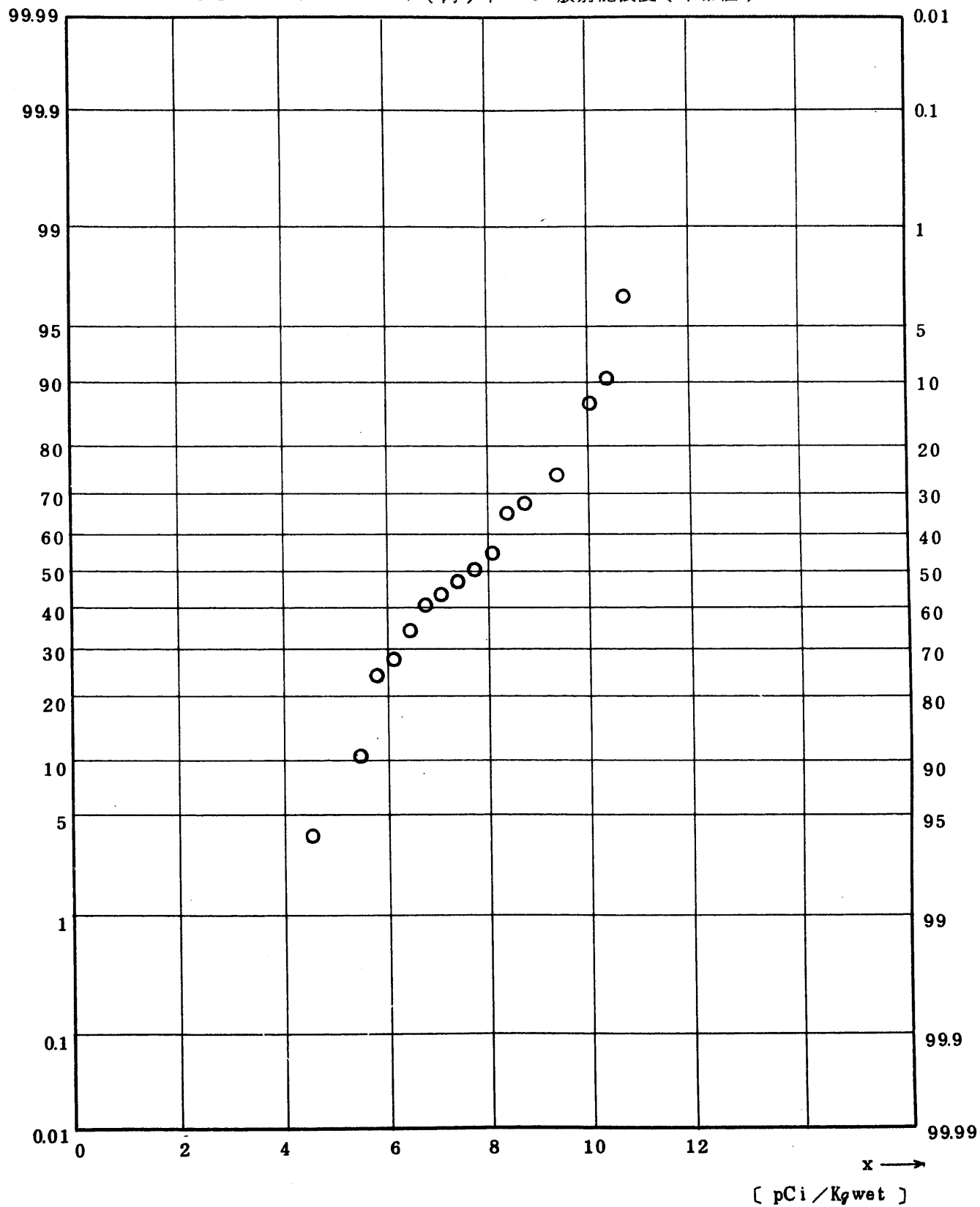


Fig. 1.1.1.2.1.1.7. $^{144}\text{Ce}/^{144}\text{Pr}$ Concentration in Fish (Flesh of Flat-fish)(USUAL)
 (1971.6 ~ 1977.2)

図 1.1.1.2.1.1.7 ヒラメ・カレイ(肉)中 ^{144}Ce 放射能濃度(平常値)

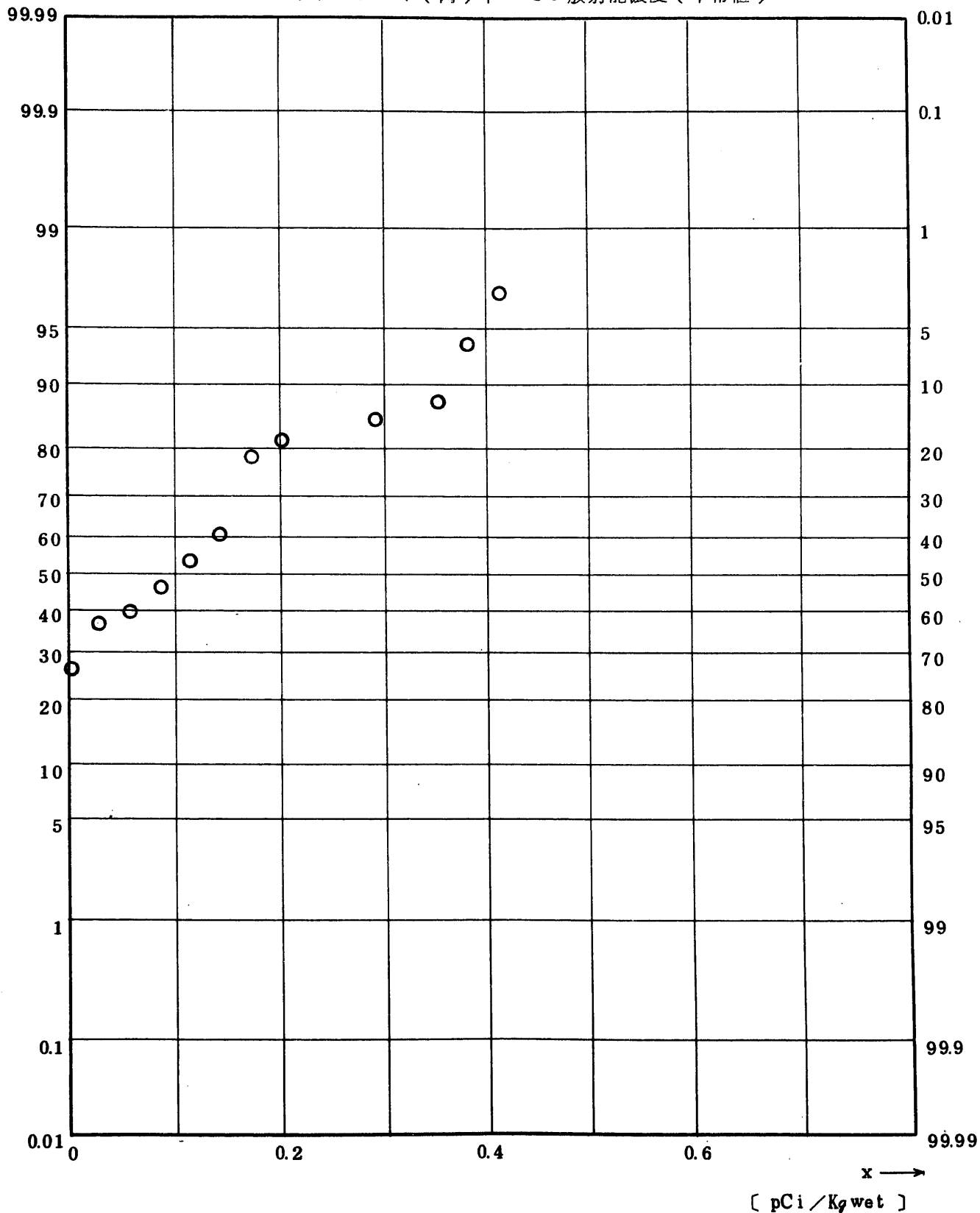


Fig. 11.1.1.2.1.1.8 $^{239}\text{Pu}/^{240}\text{Pu}$ Concentration in Fish (Flesh of Flat-fish)(USUAL)
(1971.6 ~ 1977.2)

図 11.1.1.2.1.1.8 ヒラメ・カレイ (肉) 中 $^{239},^{240}\text{Pu}$ 放射能濃度 (平常値)

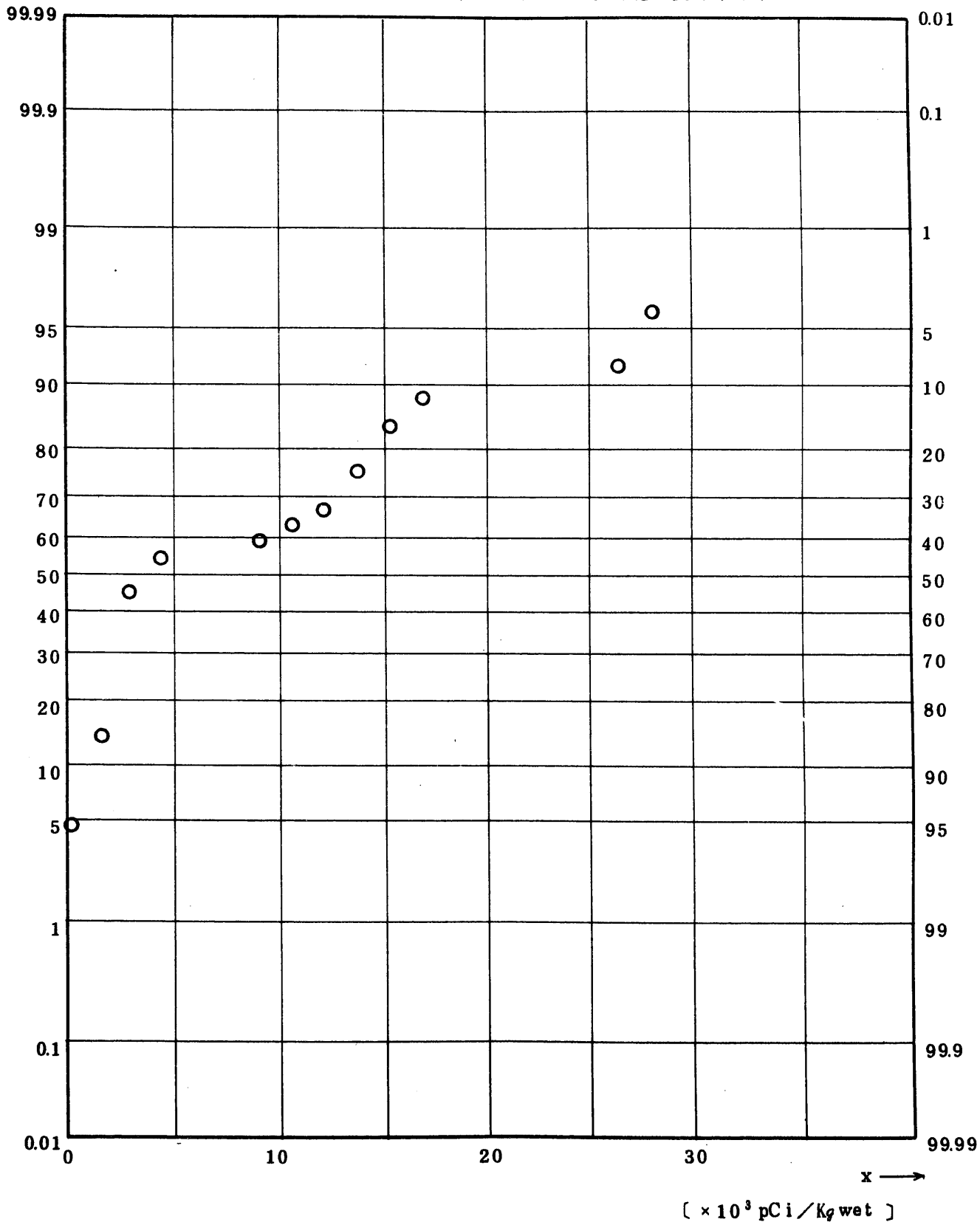


Fig. 11.1.1.2.1.1.1.1 Gross BETA Concentration in Fish (Bone and Entrails of Flat-fish) (ALL)
(1972.6 ~ 1977.2)

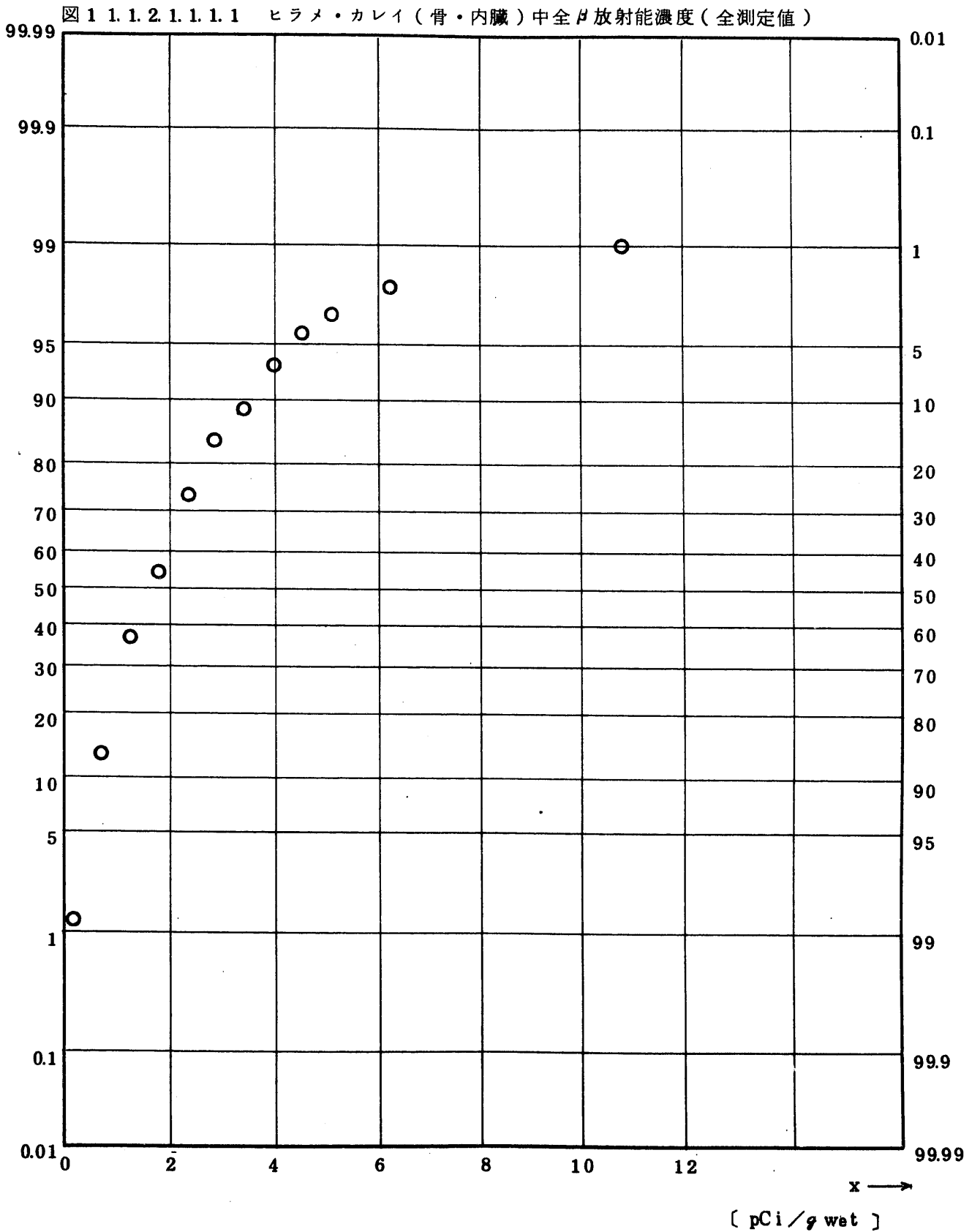


Fig. 11.1.2.1.2.1.1 Gross BETA Concentration in Fish (Bone and Entrails of Flat-fish) (ALL)

(1972.6 ~ 1977.2)

図 1 1. 1. 2. 1. 2. 1. 1 ヒラメ・カレイ (骨・内臓) 中全β放射能濃度 (全測定値)

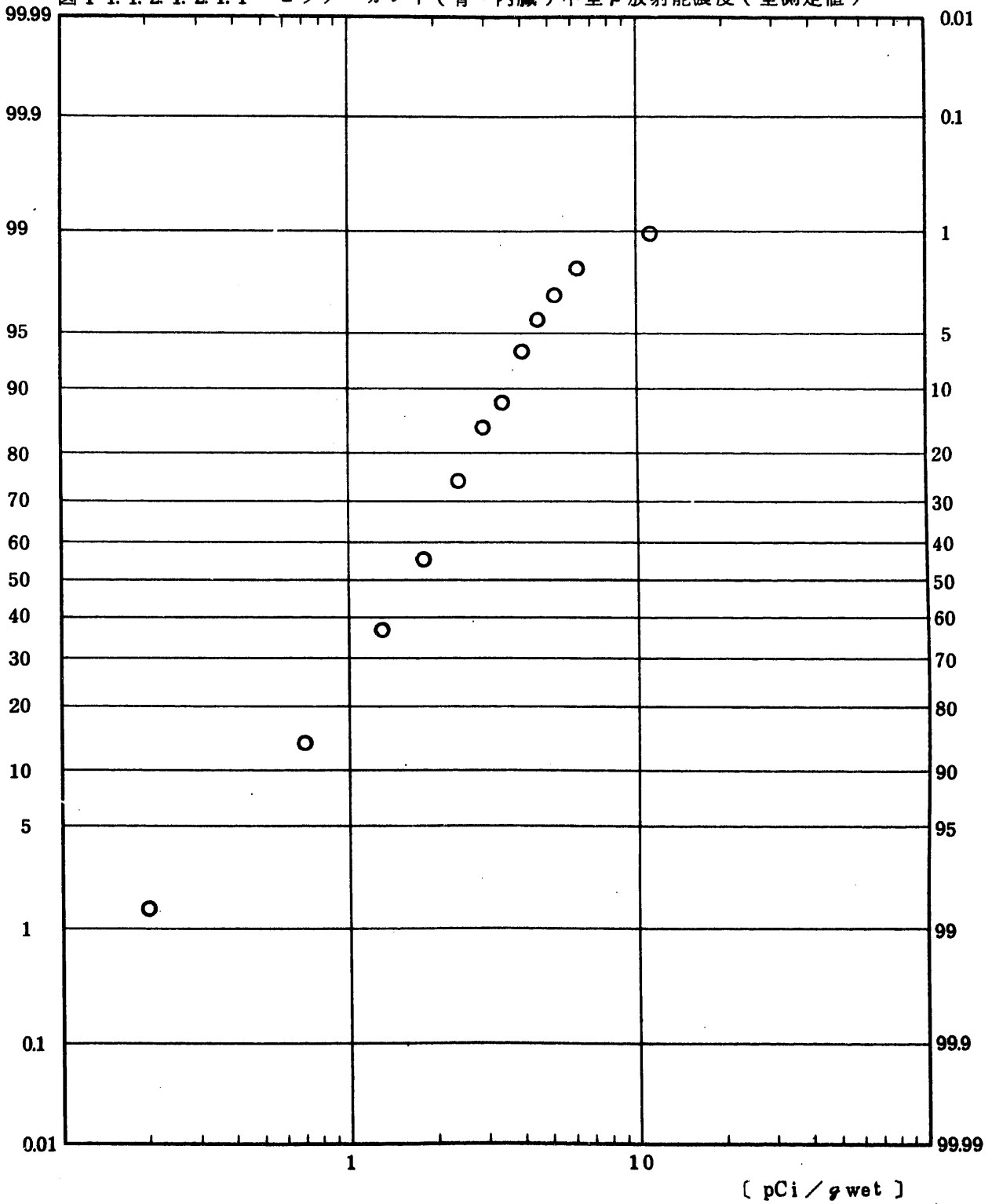


Fig. 11.1.2.1.1.1.2 ^{90}Sr Concentration in Fish (Bone and Entrails of Flatfish) (ALL)

(1972.6 ~ 1977.2)

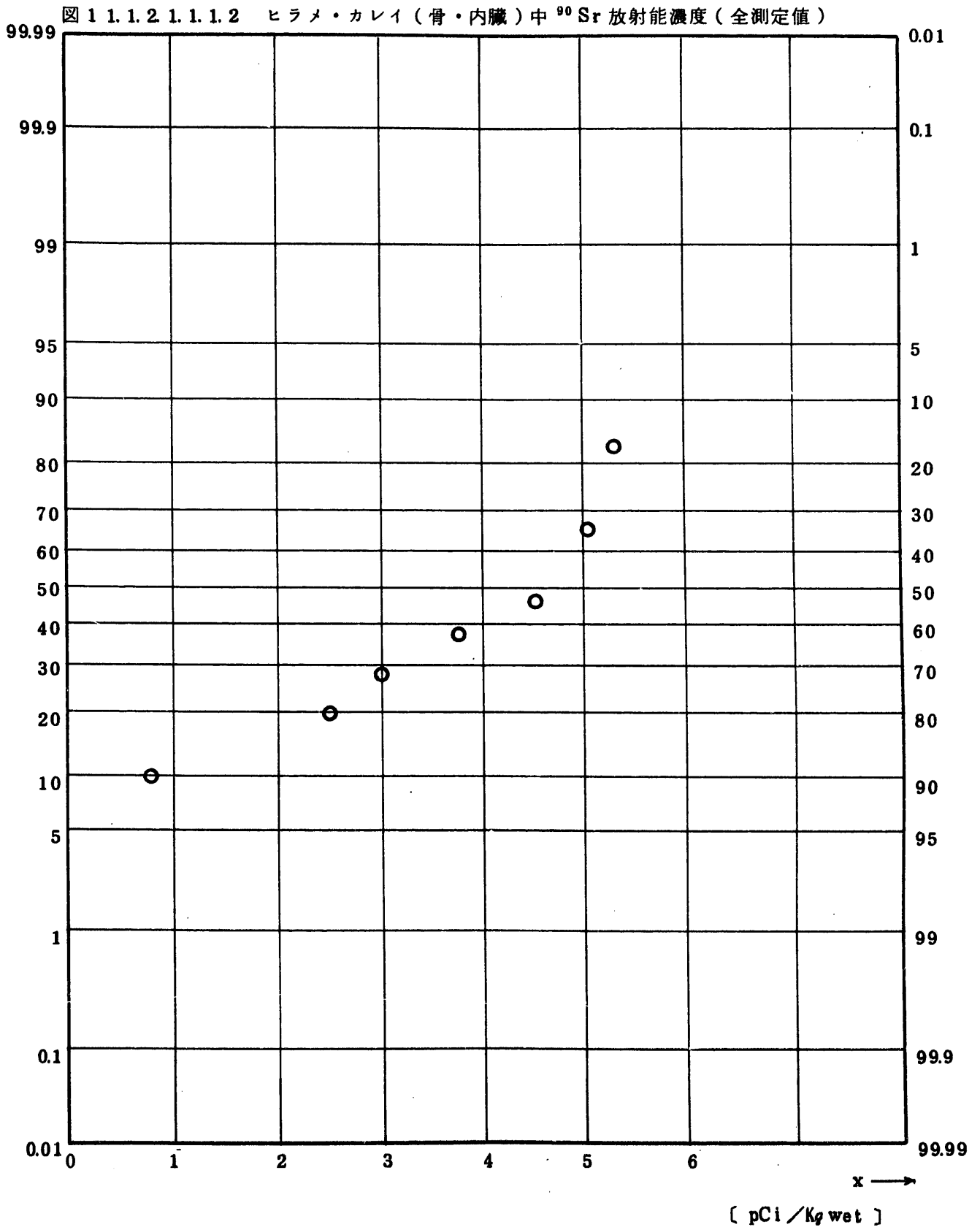


Fig. 11.1.2.1.1.1.3 ⁹⁵Zr Concentration in Fish (Bone and Entrails of Flatfish) (ALL)

(1972.6 ~ 1977.2)

図 1 1. 1. 2. 1. 1. 1. 3 ヒラメ・カレイ (骨・内臓) 中 ⁹⁵Zr 放射能濃度 (全測定値)

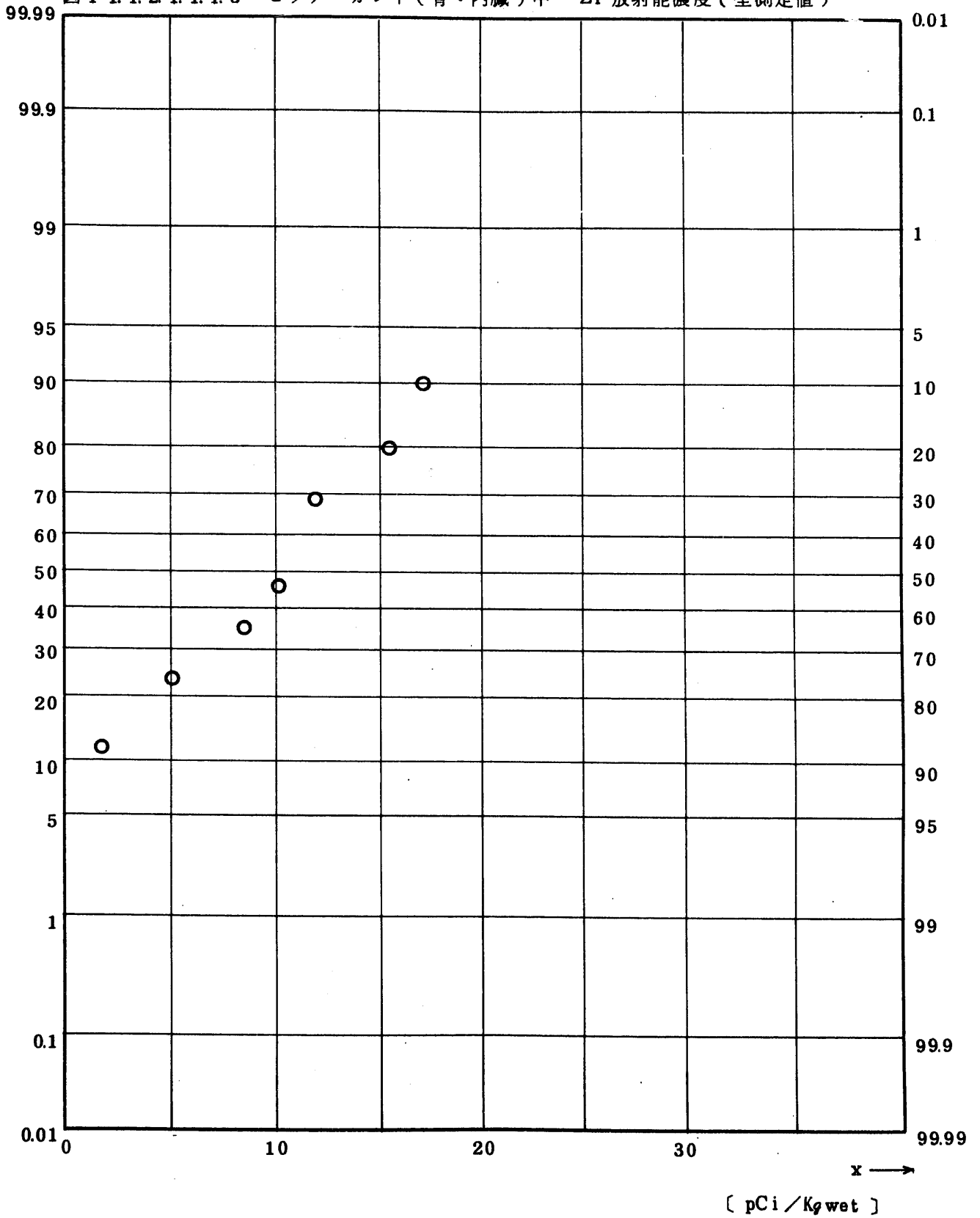
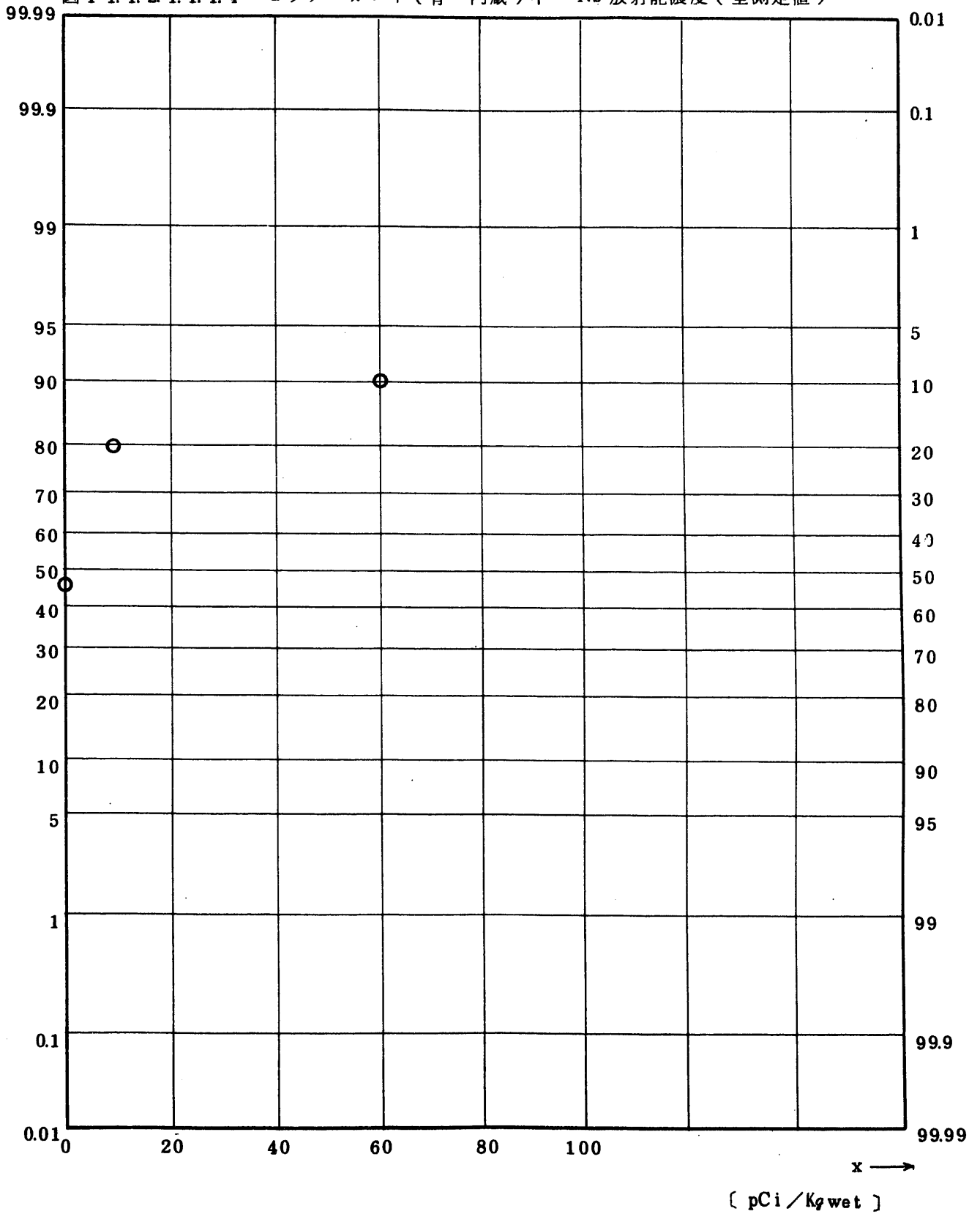


Fig. 11.1.2.1.1.4 ^{95}Nb Concentration in Fish (Bone and Entrails of Flat-fish) (ALL)

(1972.6 ~ 1977.2)

図 11.1.2.1.1.4 ヒラメ・カレイ (骨・内蔵) 中 ^{95}Nb 放射能濃度 (全測定値)



SN843-77-12

Fig. 11.1.2.1.1.5 $^{106}\text{Ru}/^{106}\text{Rh}$ Concentration in Fish (Bone and Entrails of Flat-fish) (ALL)

(1972.6 ~ 1977.2)

図 11.1.2.1.1.5 ヒラメ・カレイ (骨・内臓) 中 ^{106}Ru 放射能濃度 (全測定値)

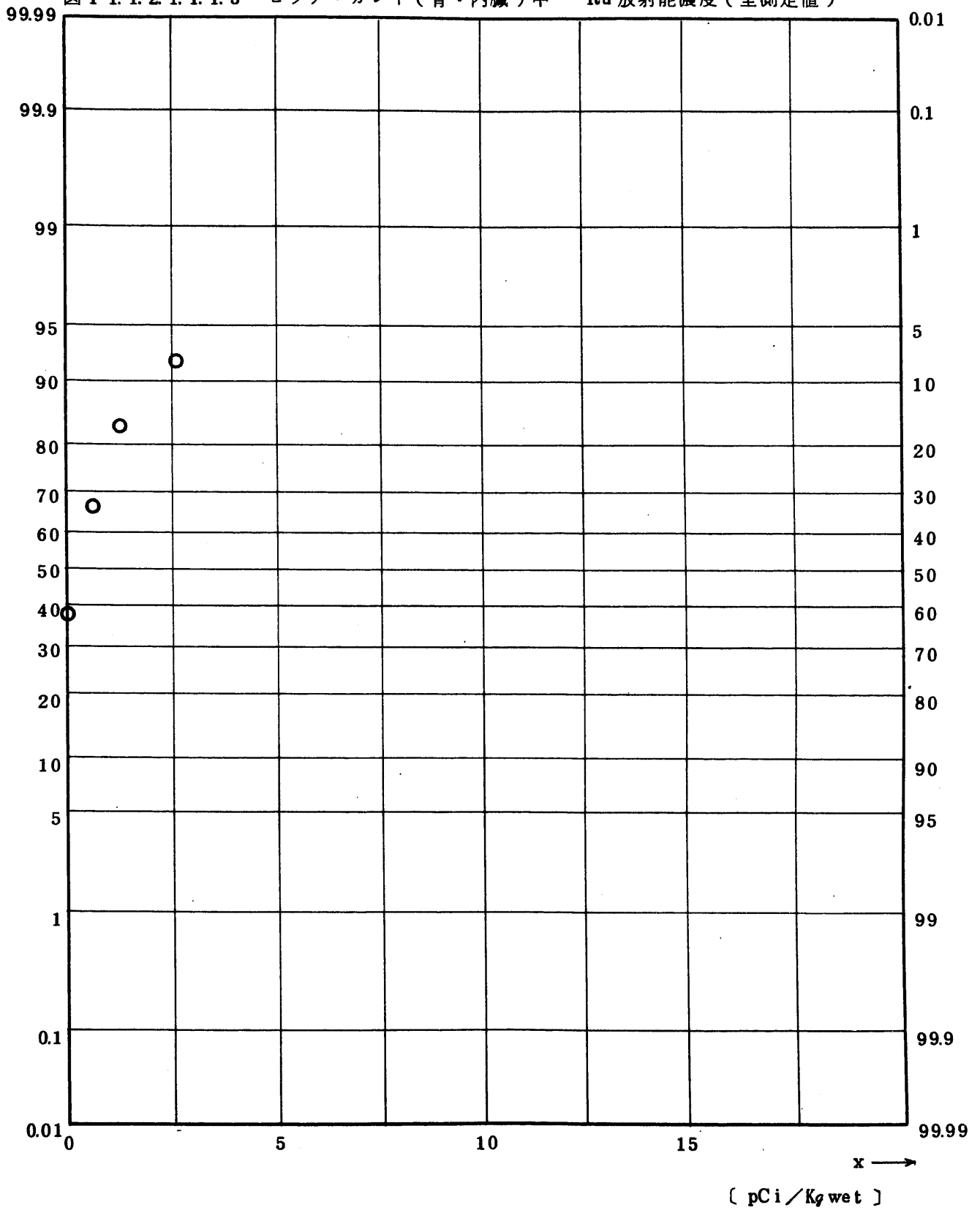


Fig. 11.1.2.1.1.6 ¹³⁷Cs Concentration in Fish (Bone and Entrails of Flat-fish) (ALL)

(1 9 7 2 6 ~ 1 9 7 7 . 2)

図 1 1 . 1 . 2 . 1 . 1 . 6 ヒラメ・カレイ (骨・内臓) 中 ¹³⁷Cs 放射能濃度 (全測定値)

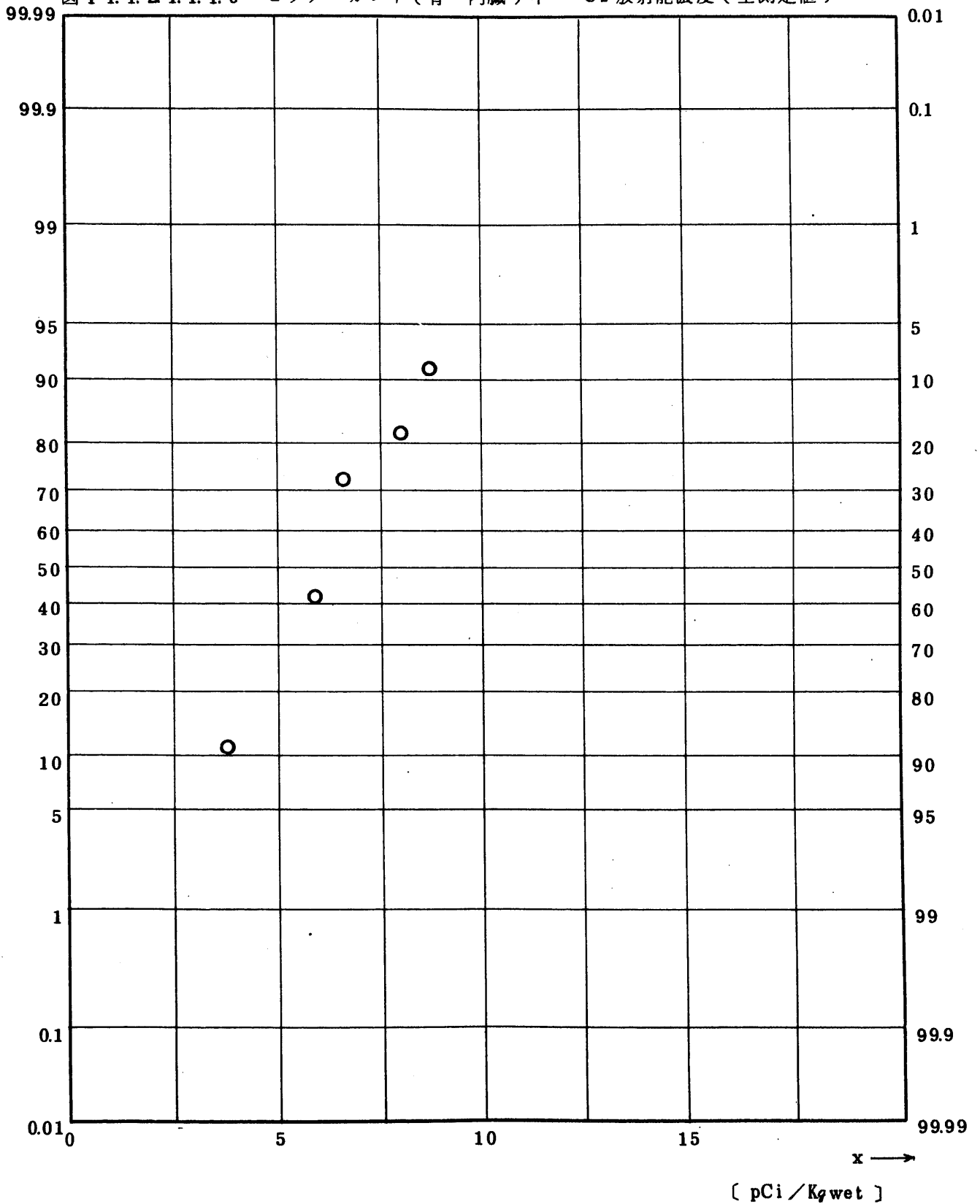


Fig. 11.1.2.1.1.7 $^{144}\text{Ce}/^{144}\text{Pr}$ Concentration in Fish (Bone and Entrails of Flat-fish) (ALL)

(1972.6 ~ 1977.2)

図 11.1.2.1.1.7 ヒラメ・カレイ (骨・内臓) 中 ^{144}Ce 放射能濃度 (全測定値)

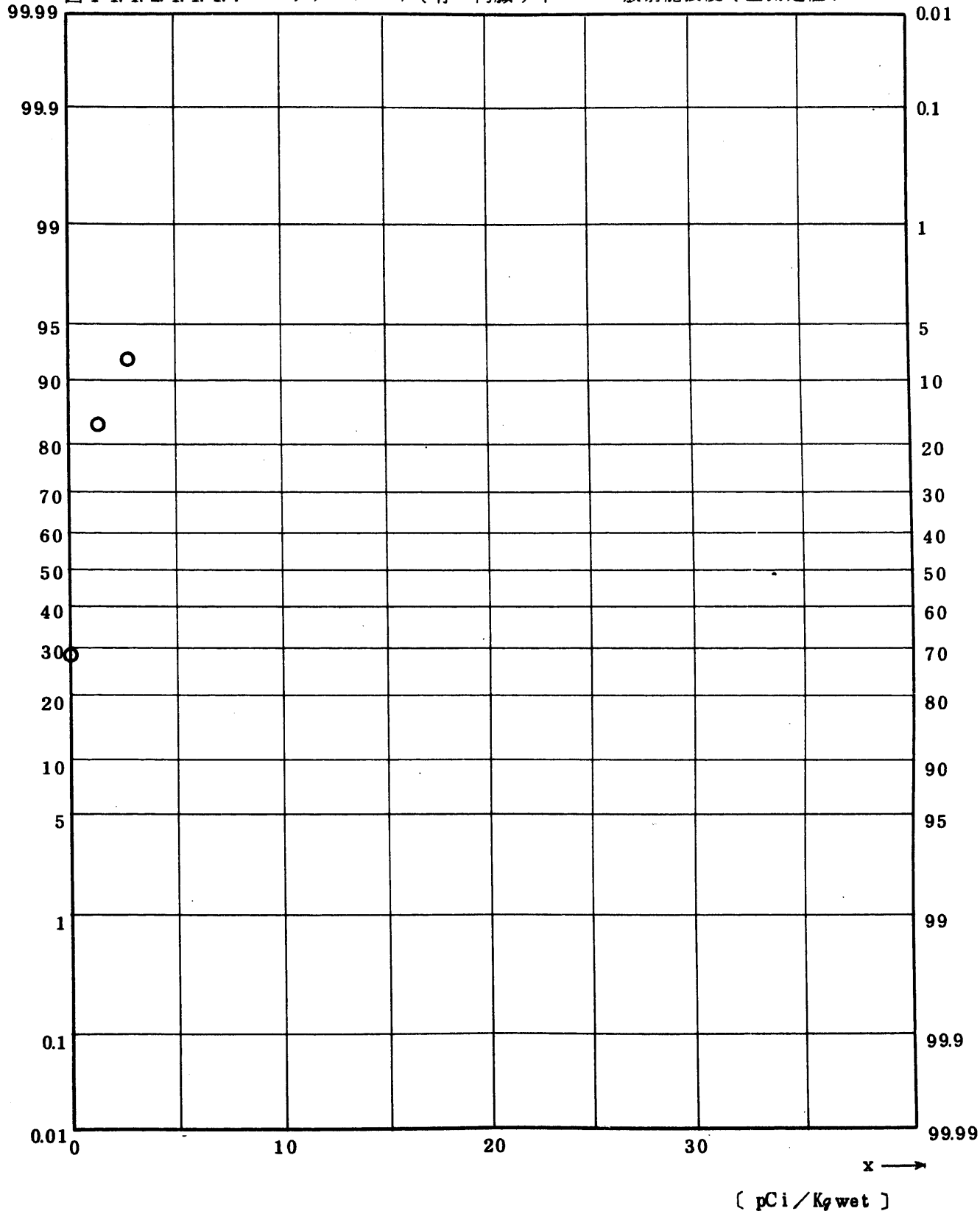


Fig. 11.1.2.1.1.1.8 $^{239}\text{Pu} + ^{240}\text{Pu}$ Concentration in Fish (Bone and Entrails of Flat-fish) (ALL)
(1972.6 ~ 1977.2)

図 11.1.2.1.1.1.8 ヒラメ・カレイ (骨・内臓) 中 239 , 240 Pu 放射能濃度 (全測定値)

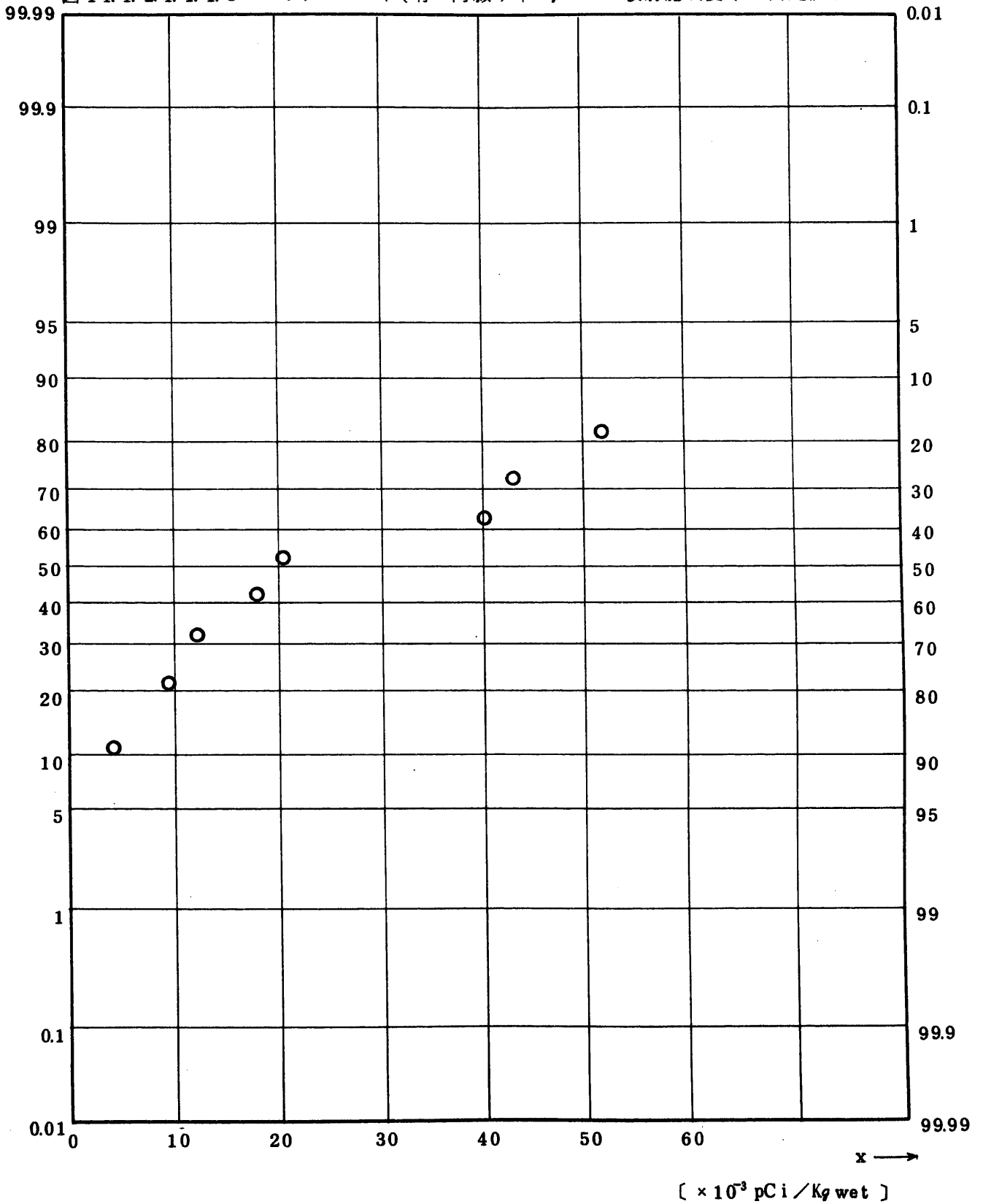


Fig. 11.1.2.2.1.1 Gross BETA Concentration in Fish (Bone and Entrails of Flat-fish) (USUAL)

(1 9 7 2 . 6 ~ 1 9 7 7 . 2)

図 1 1 . 1 . 2 . 2 . 1 . 1 . 1 ヒラメ・カレイ (骨内臓) 中全β放射能濃度 (平常値)

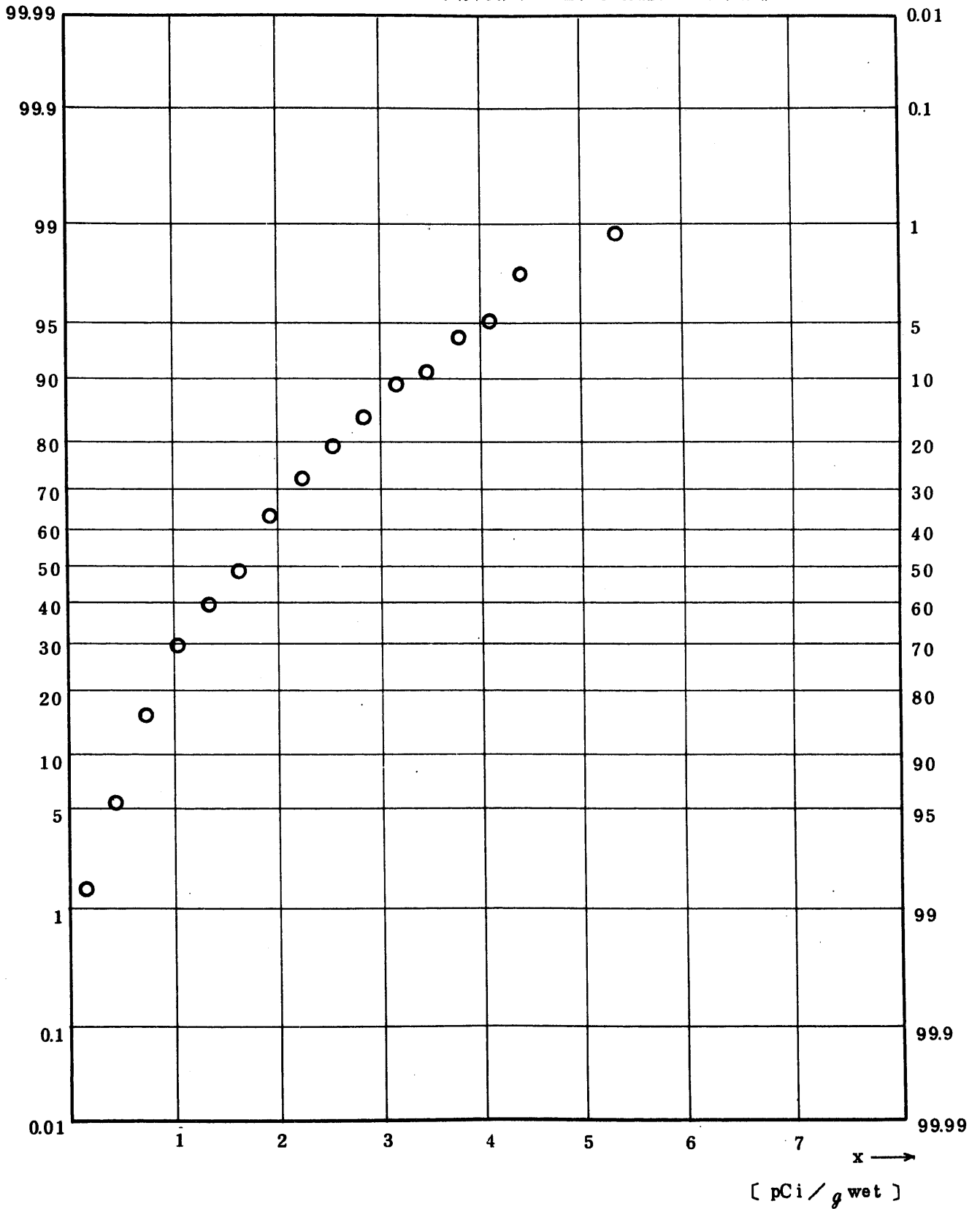


Fig. 11.1.2.2.1.1.2 ⁹⁰Sr Concentration in Fish (Bone and Entrails of Flat-fish) (USUAL)

(1 9 7 2 . 6 ~ 1 9 7 7 . 2)

図 1 1 . 1 . 2 . 2 . 1 . 1 . 2 ヒラメ・カレイ (骨内臓) 中 ⁹⁰Sr 放射能濃度 (平常値)

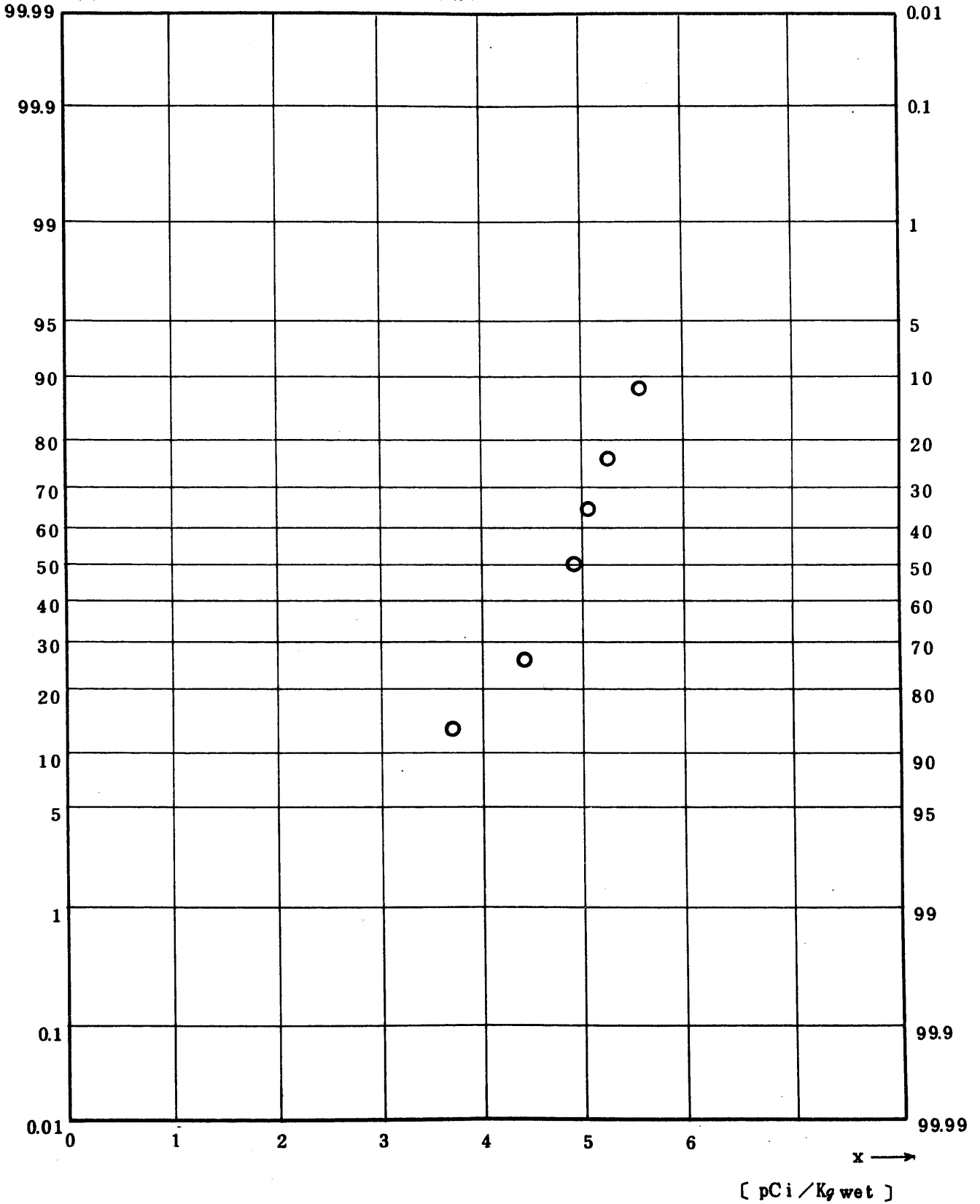


Fig. 11.1.2.2.1.1.3 ⁹⁵Zr Concentration in Fish (Bone and Entrails of Flatfish) (USUAL)

(1972.6 ~ 1977.2)

図 11.1.2.2.1.1.3 ヒラメ・カレイ (骨・内臓) 中 ⁹⁵Zr 放射能濃度 (平常値)

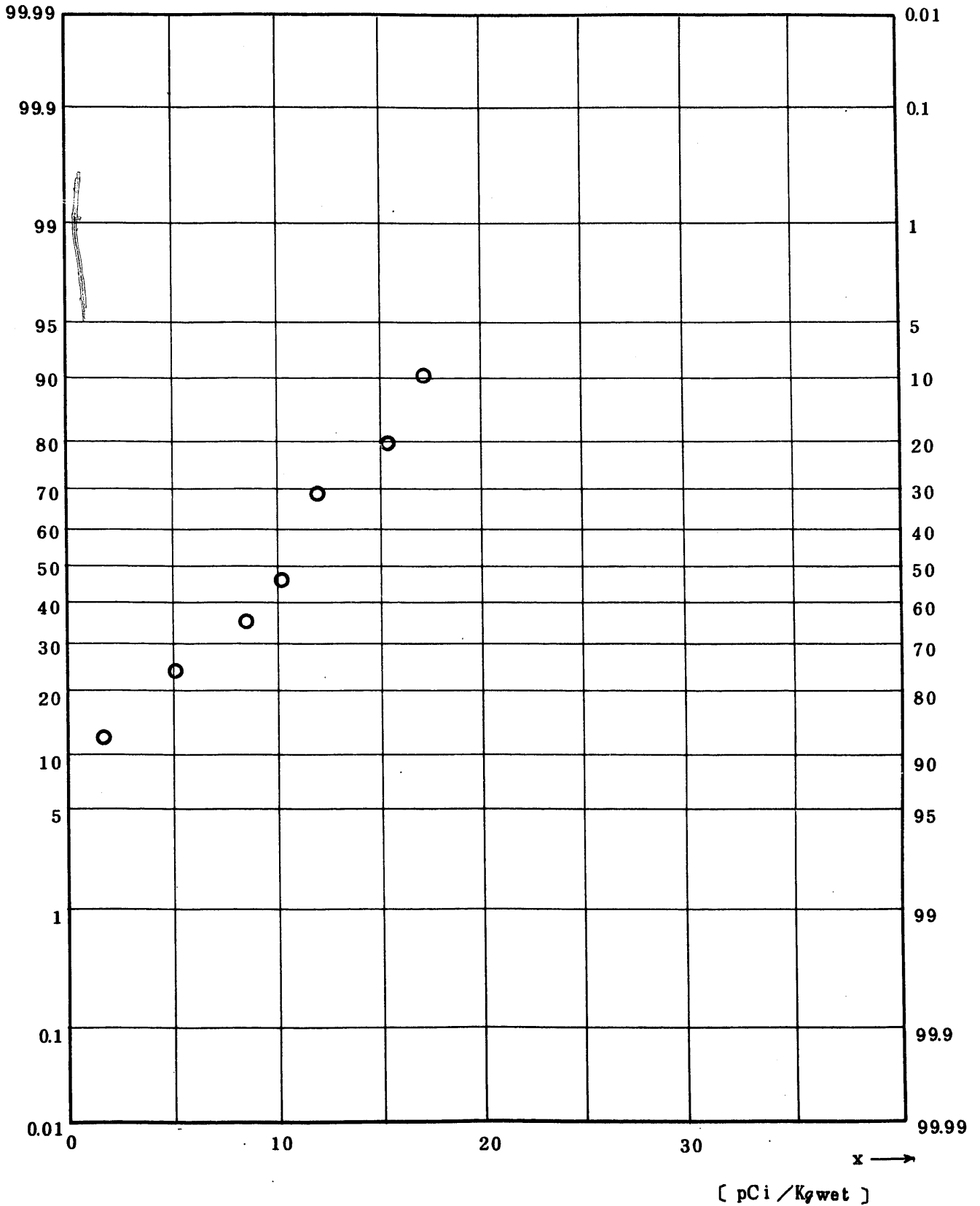


Fig. 1.1.2.2.1.1.4 ⁹⁵Nb Concentration in Fish (Bone and Entrails of Flat-fish) (USUAL)
(1972.6 ~ 1977.2)

図 1.1.2.2.1.1.4 ヒラメ・カレイ (骨内臓) 中 ⁹⁵Nb 放射能濃度 (平常値)

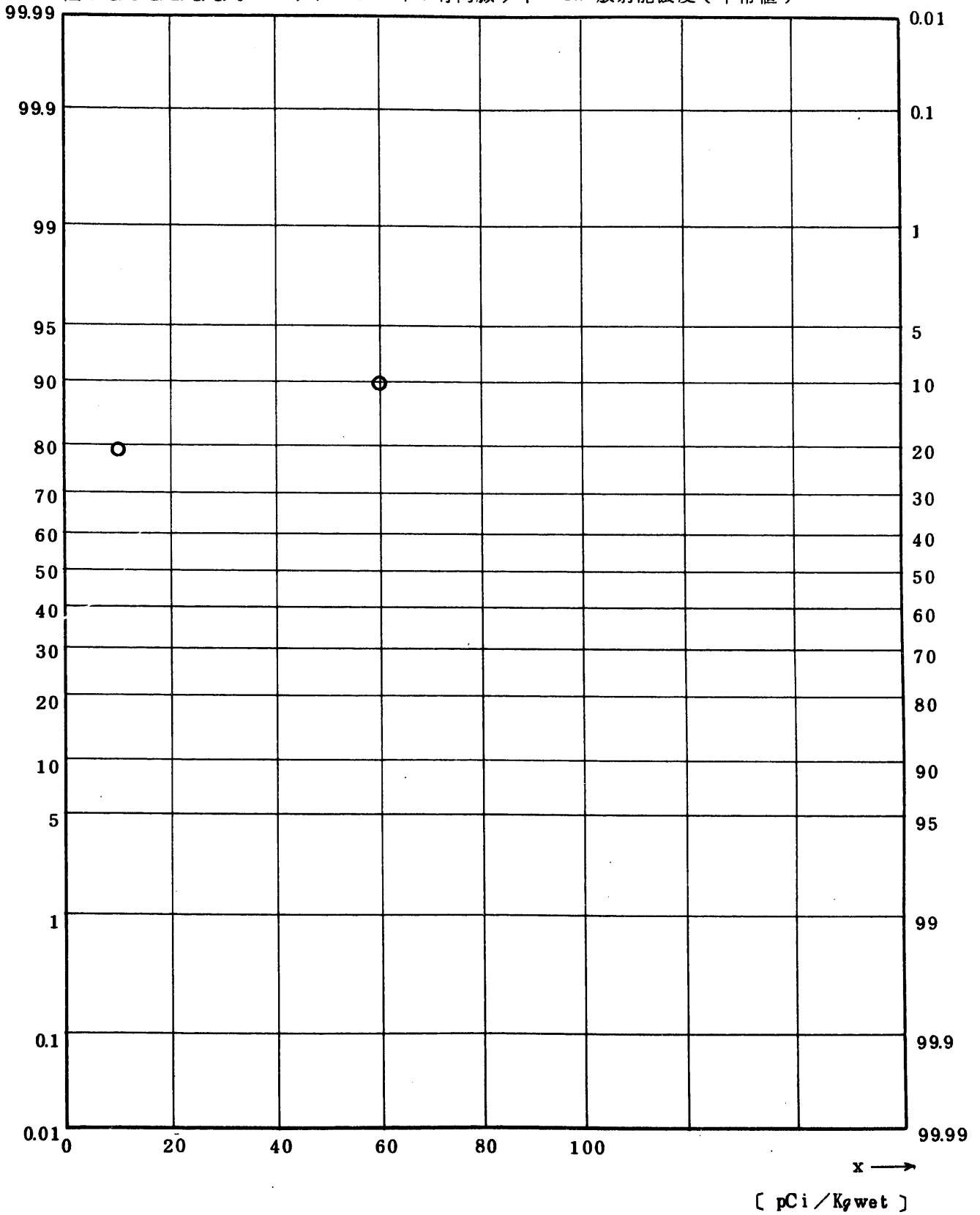


Fig. 11.1.2.2.1.1.5 $^{106}\text{Ru}/^{106}\text{Rh}$ Concentration in Fish (Bone and Entrails of Flat-fish) (USUAL)

(1972.6 ~ 1977.2)

図 11.1.2.2.1.1.5 ヒラメ・カレイ (骨・内臓) 中 ^{106}Ru 放射能濃度 (平常値)

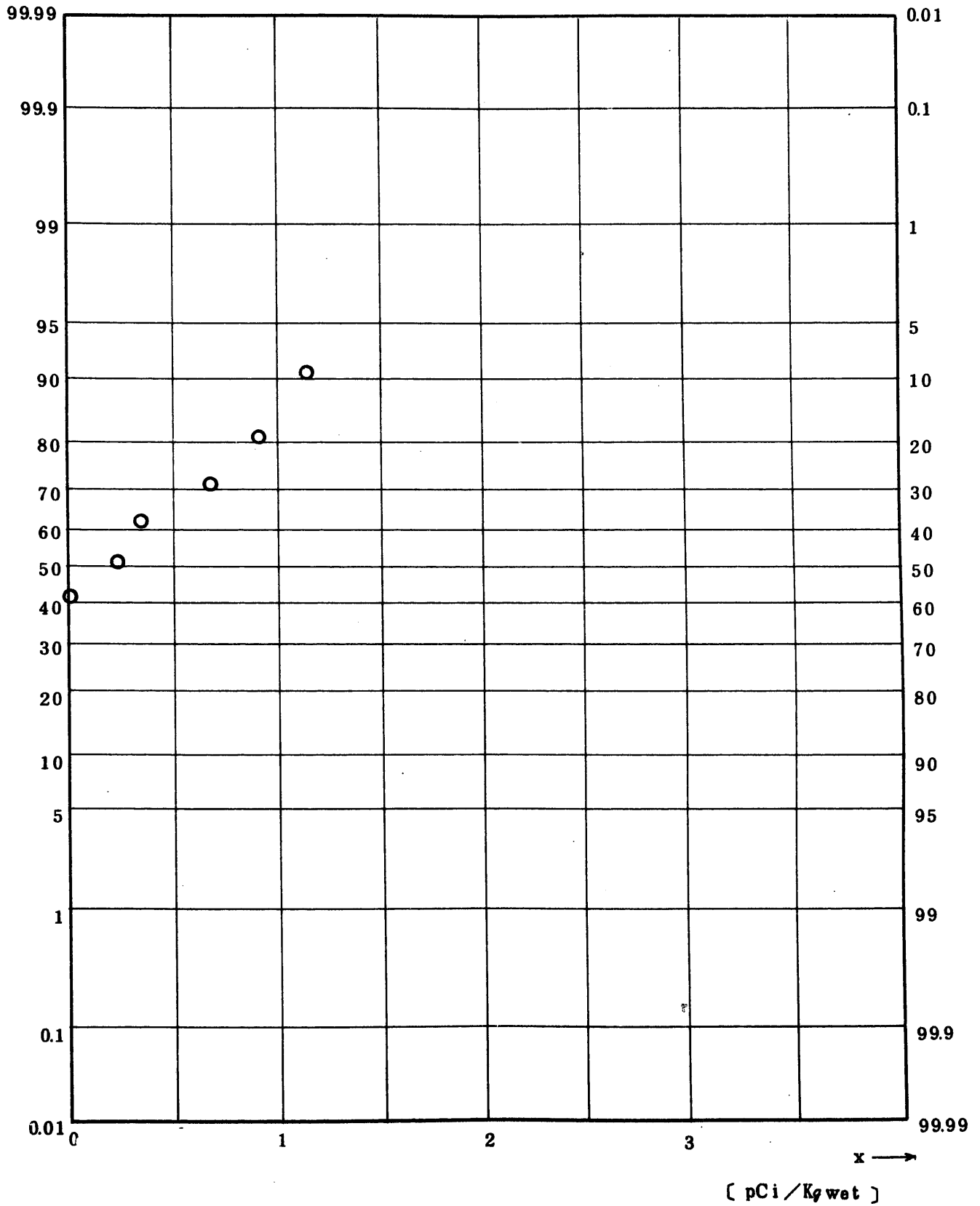


Fig. 11.1.2.2.1.6 ¹³⁷Cs Concentration in Fish (Bone and Entrails of Flatfish) (USUAL)

(1972.6 ~ 1977.2)

図 11.1.2.2.1.1.6 ヒラメ・カレイ(骨・内臓)中¹³⁷Cs 放射能濃度(平常値)

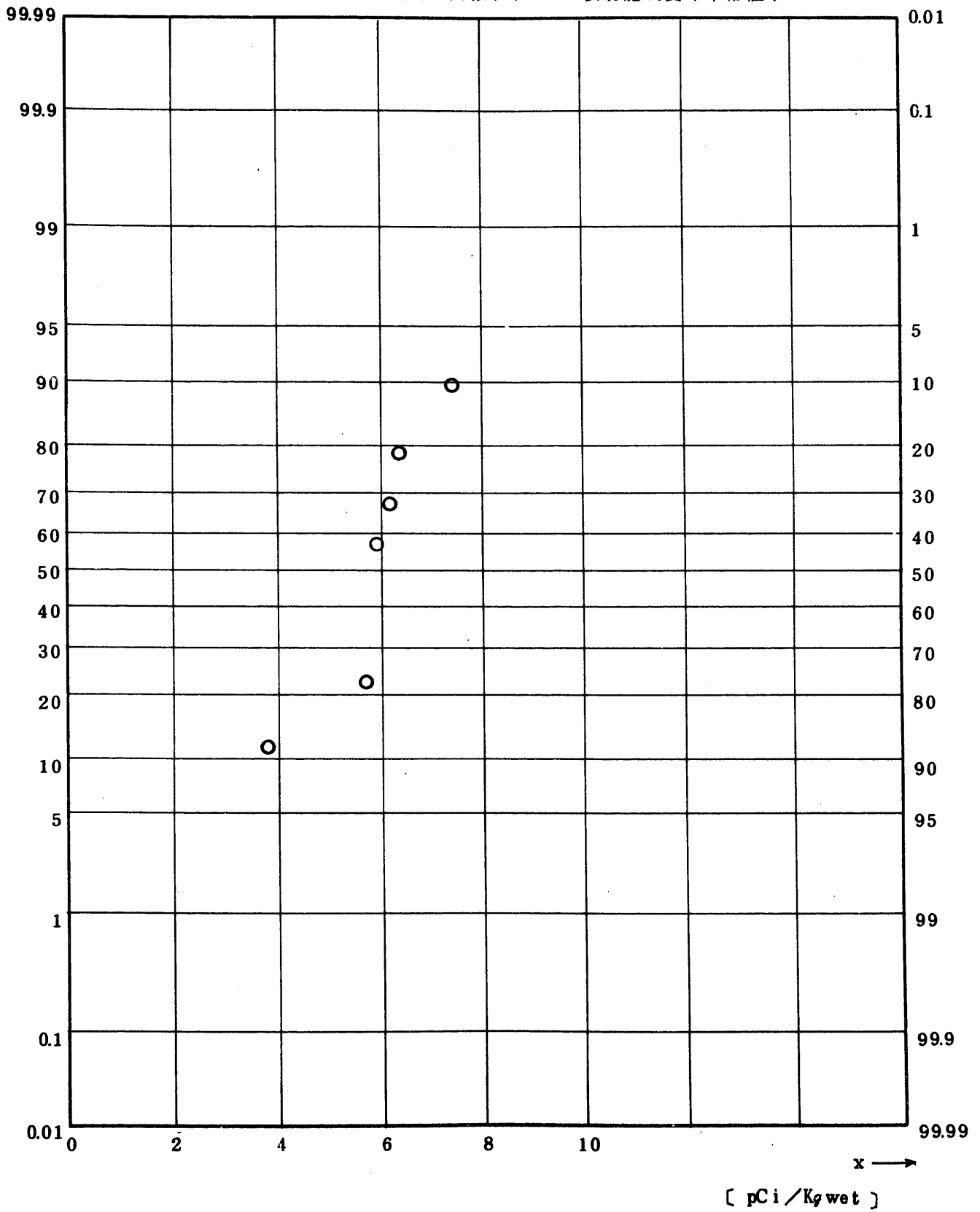


Fig. 11.1.2.2.1.1.7. $^{144}\text{Ce}/^{144}\text{Pr}$ Concentration in Fish (Bone and Entrails of Flat-fish) (USUAL)
(1972.6 ~ 1977.2)

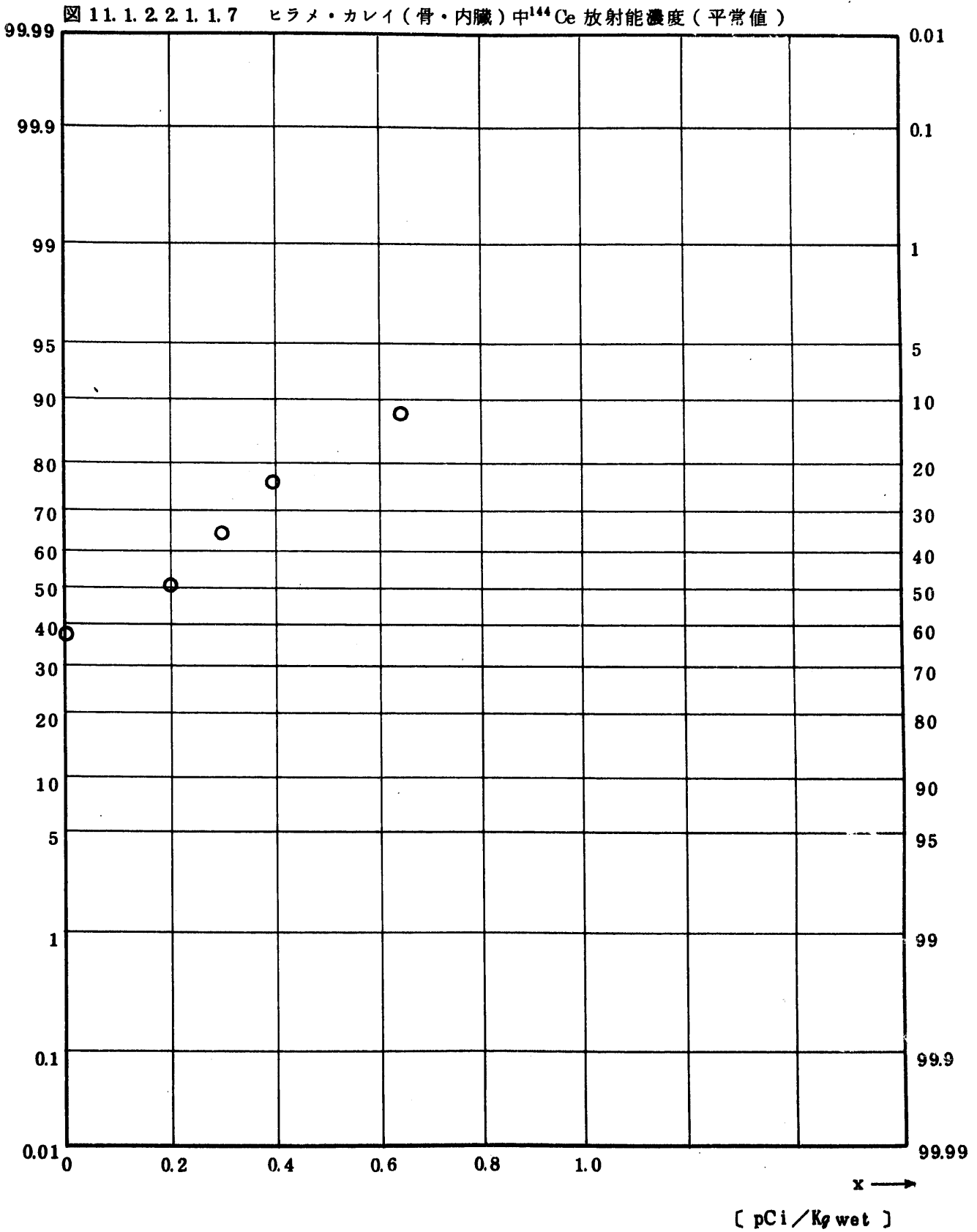


Fig. 11.1.2.2.1.1.8 $^{239}\text{Pu} + ^{240}\text{Pu}$ Concentration in Fish
 (Bone and Entrails of Flat-fish)(USUAL)
 (1972.6 ~ 1977.2)

図 11.1.2.2.1.1.8 ヒラメ・カレイ (骨・内臓) 中 $^{239,240}\text{Pu}$ 放射能濃度 (平常値)

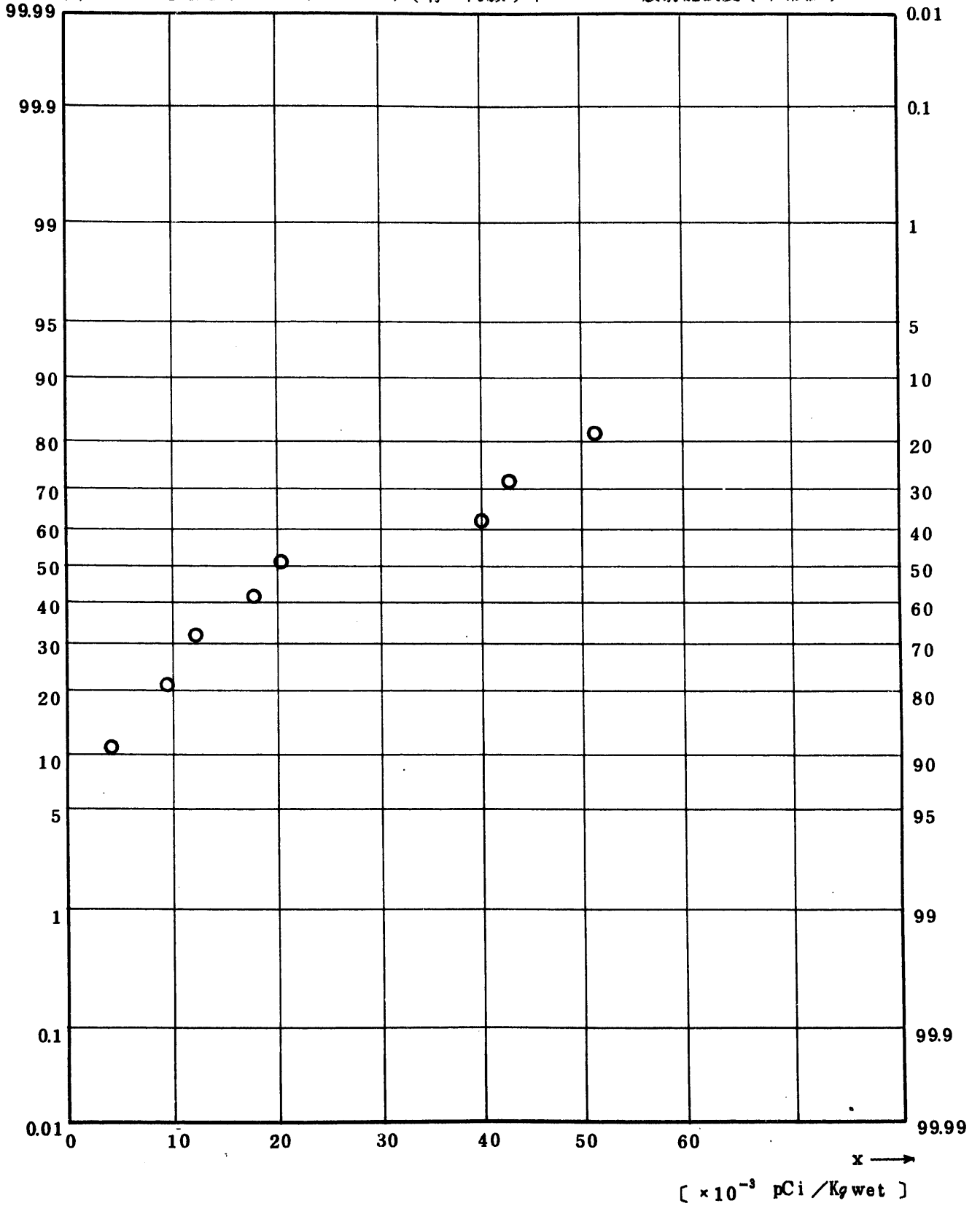


Fig. 11.24.1.1.1 Gross BETA Concentration in Fish

(Whole Body of White-bait) (ALL)

(1971.3 ~ 1976.4)

図 1 1. 2 4. 1. 1. 1. 1 シラス中全β放射能濃度 (全測定値)

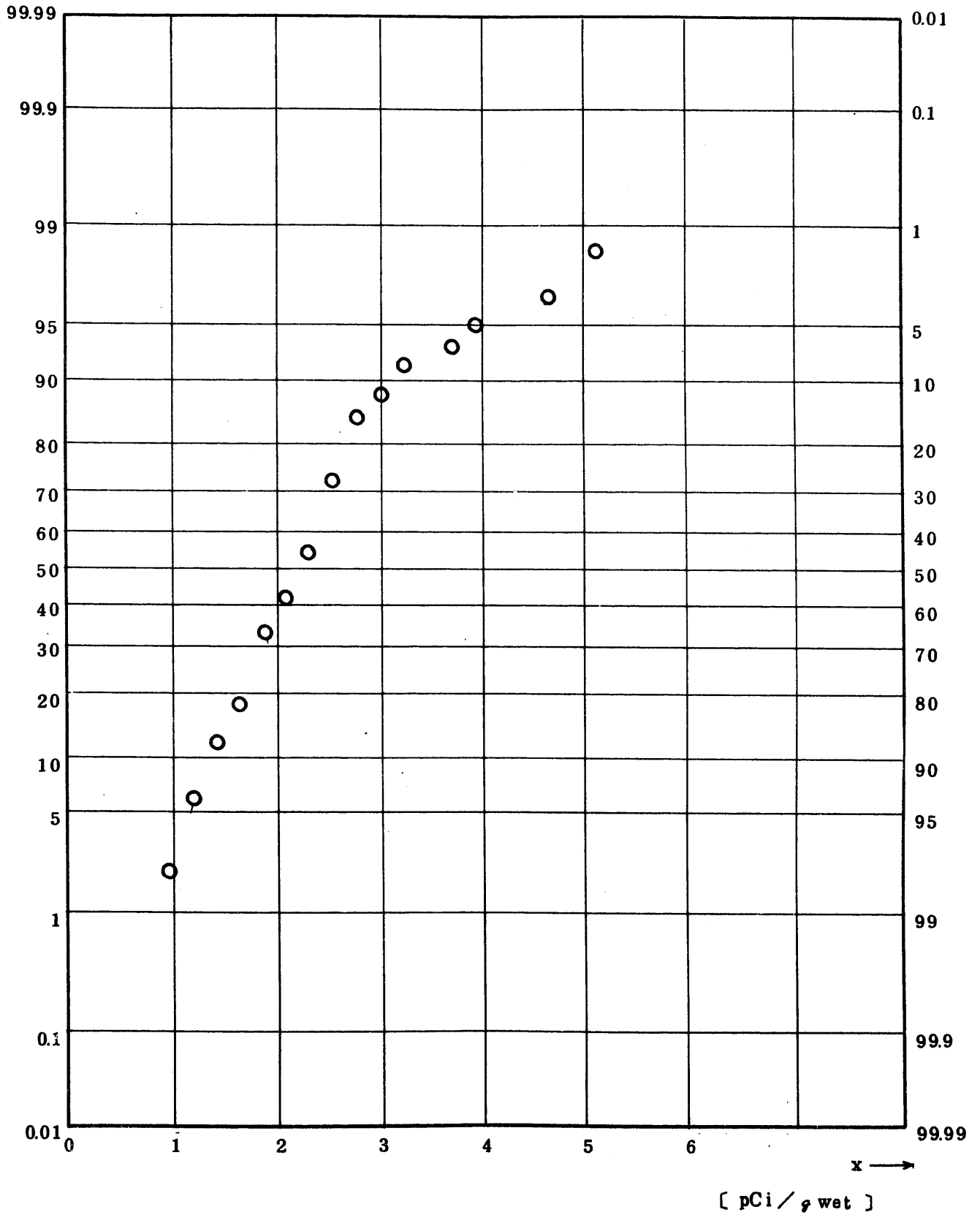


Fig. 11.2.4.1.1.2 ⁹⁰Sr Concentration in Fish
 (Whole Body of White-bait) (ALL)
 (1971.3 ~ 1976.4)

図 1 1. 2 4. 1. 1. 1. 2 シラス中 ⁹⁰Sr 放射能濃度 (全測定値)

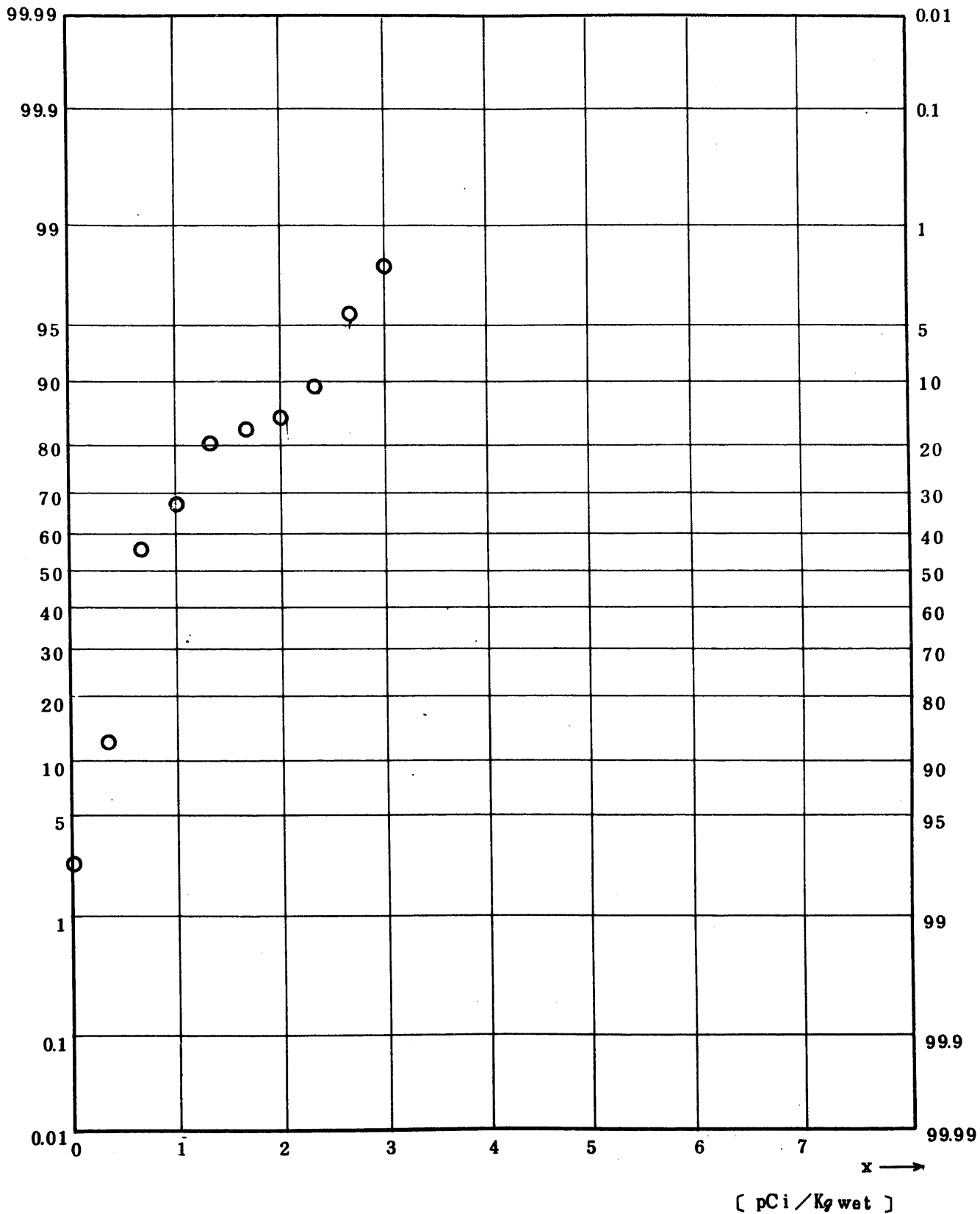


Fig. 11.24.1.1.3 ⁹⁵Zr Concentration in Fish

(Whole Body of White-bait) (ALL)

(1971.3 ~ 1976.4)

図 11.24.1.1.3 シラス中 ⁹⁵Zr 放射能濃度 (全測定値)

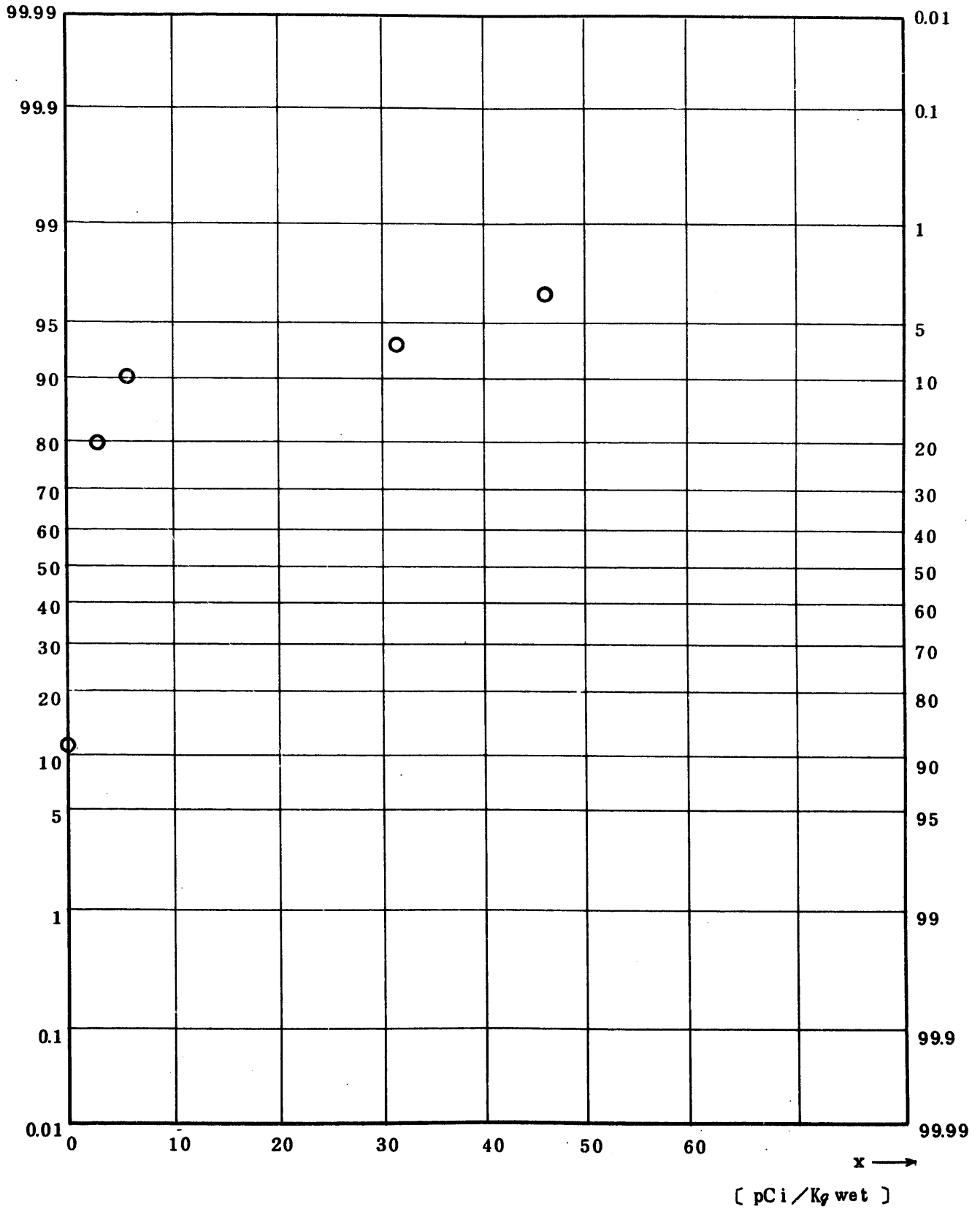


Fig. 11.24.1.1.1.4 ⁹⁵Nb Concentration in Fish
 (Whole Body of White-bait) (ALL)
 (1971.3 ~ 1976.4)

図 1 1. 2 4. 1. 1. 1. 4 シラス中 ⁹⁵Nb 放射能濃度 (全測定値)

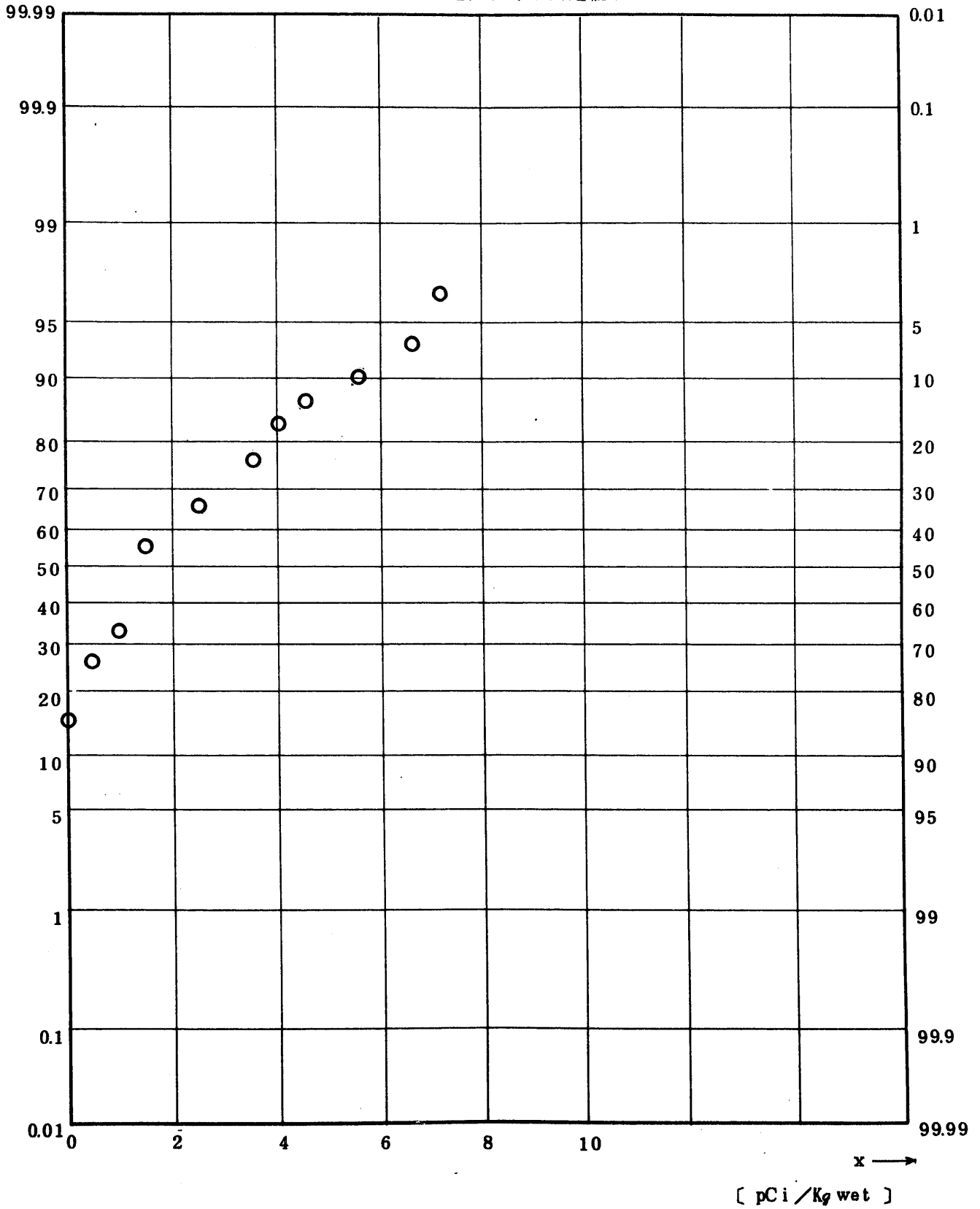


Fig. 11.2.4.1.1.5 $^{106}\text{Ru}/^{106}\text{Rh}$ Concentration in Fish
 (Whole Body of White-bait) (ALL)
 (1971.3 ~ 1976.4)

図 1 1. 2. 4. 1. 1. 5 シラス中 ^{106}Ru 放射能濃度 (全測定値)

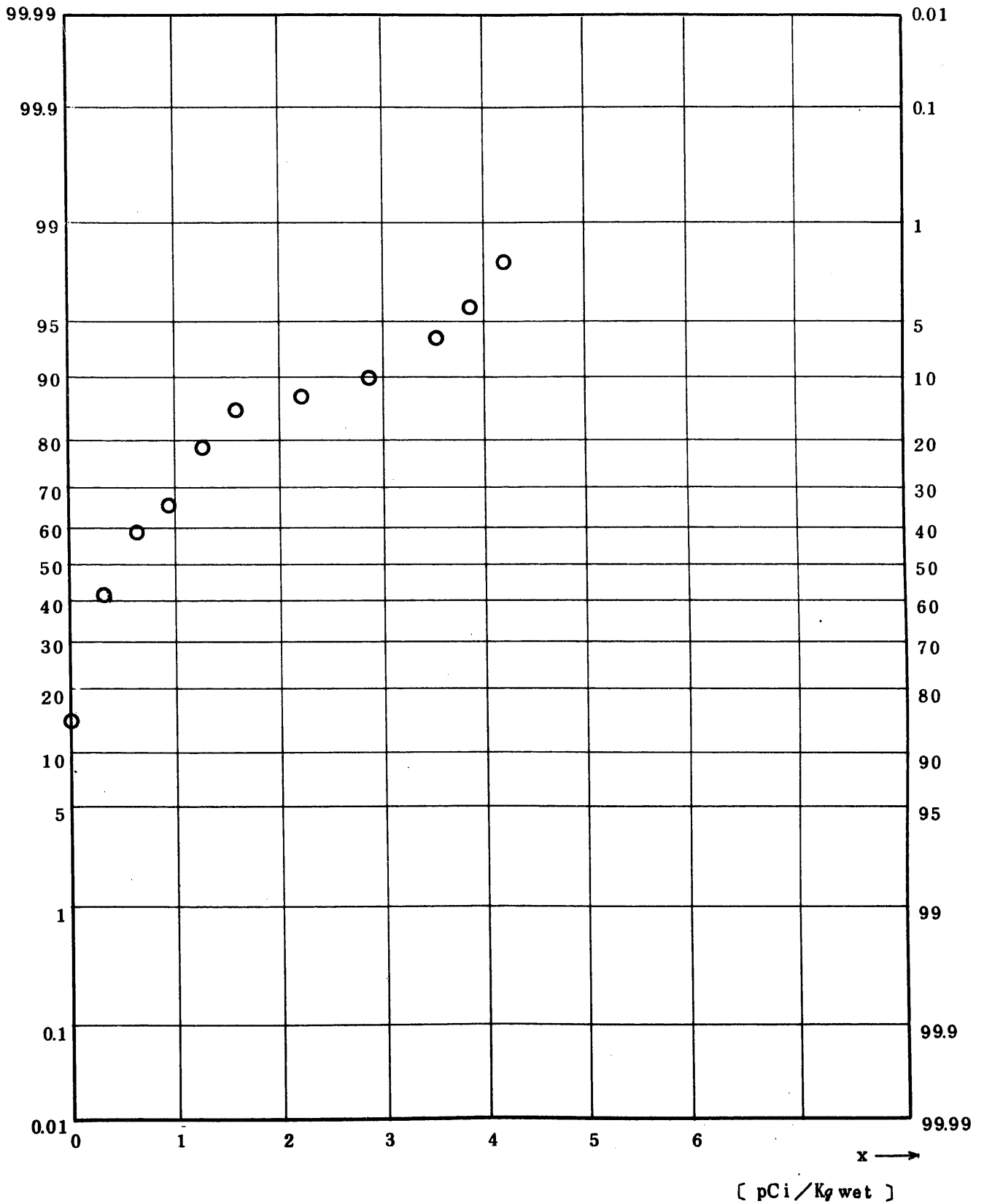


Fig. 11.2.4.1.1.6 ¹³⁷Cs Concentration in Fish

(Whole Body of White-bait) (ALL)

(1971.3~1976.4)

図 1 1. 2. 4. 1. 1. 1. 6 シラス中 ¹³⁷Cs 放射能濃度 (全測定値)

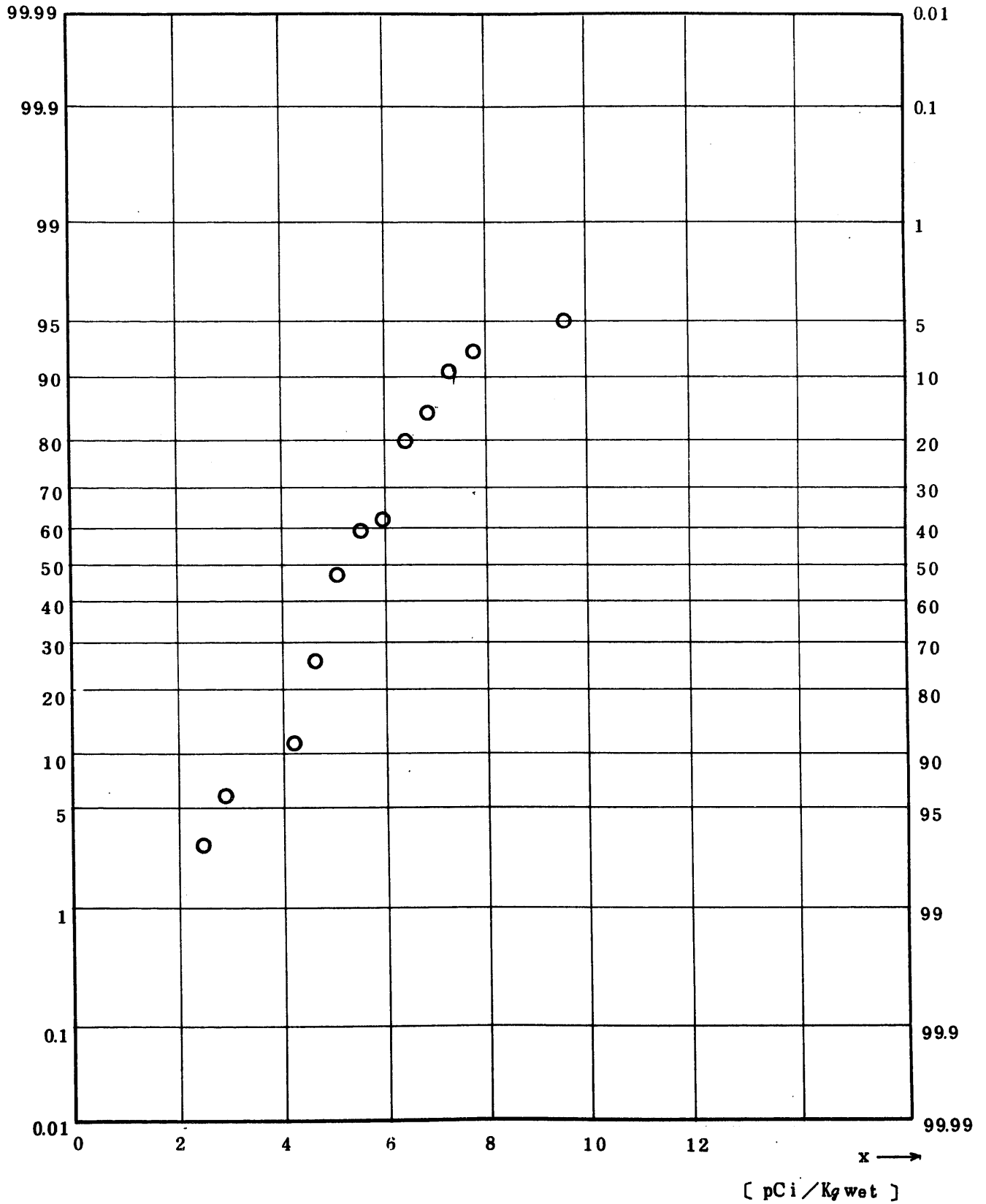


Fig. 11.2.4.1.1.7 $^{144}\text{Ce}/^{144}\text{Pr}$ Concentration in Fish
 (Whole Body of White-bait) (ALL)
 (1971.3 ~ 1976.4)

図 1 1.2.4.1.1.7 シラス中 ^{144}Ce 放射能濃度 (全測定値)

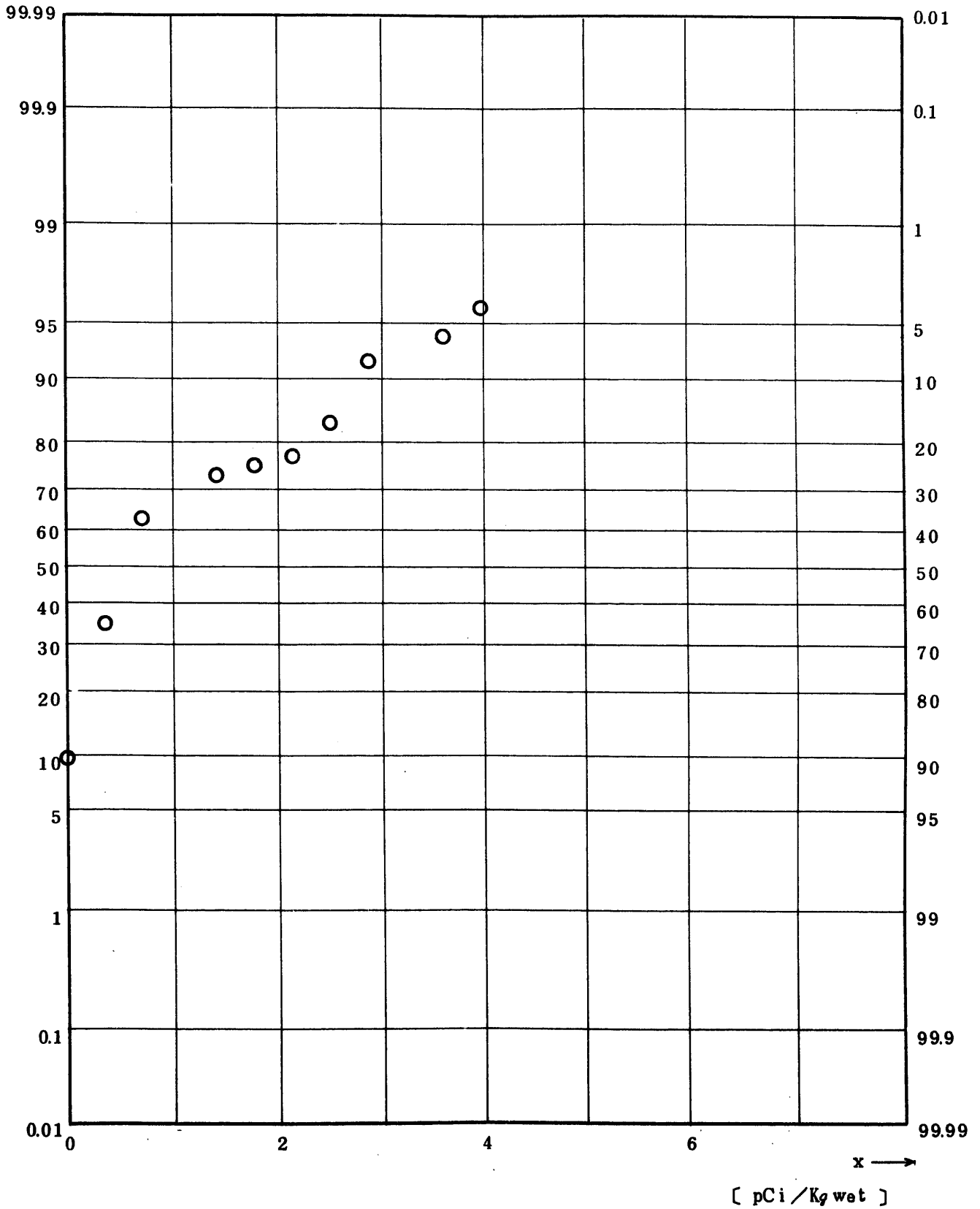


Fig. 11.24.1.1.1.8 $^{239}\text{Pu} + ^{240}\text{Pu}$ Concentration in Fish

(Whole Body of White-bait) (ALL)

(1971.3 ~ 1976.4)

図 1 1. 2 4. 1. 1. 1. 8 シラス中 $^{239,240}\text{Pu}$ 放射能濃度 (全測定値)

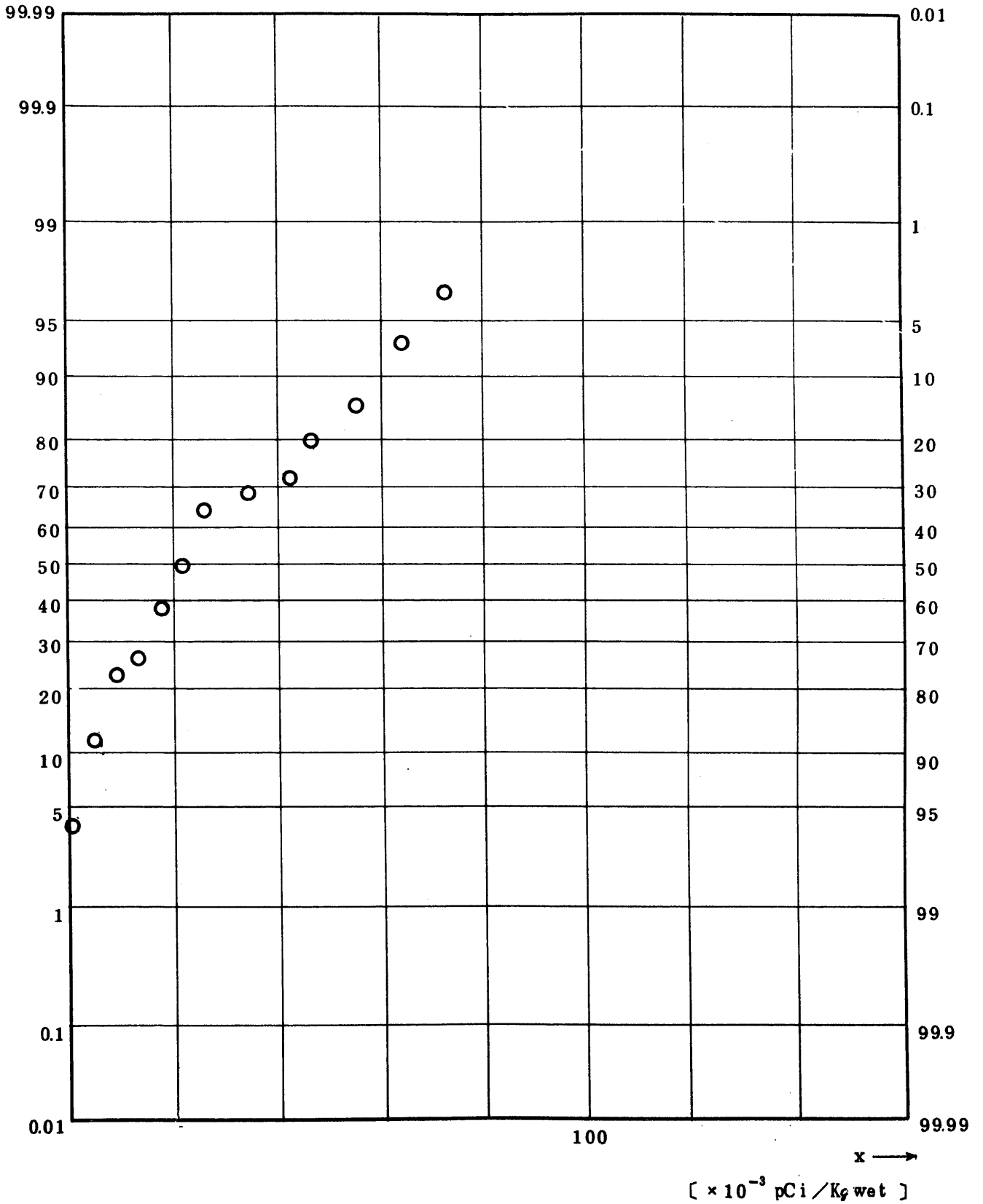


Fig. 11.2.4.2.1.1 Gross BETA Concentration in Fish
 (Whole Body of White-bait) (USUAL)
 (1971.3 ~ 1976.4)

図 1 1. 2. 4. 2. 1. 1. 1 シラス中全β放射能濃度(平常値)

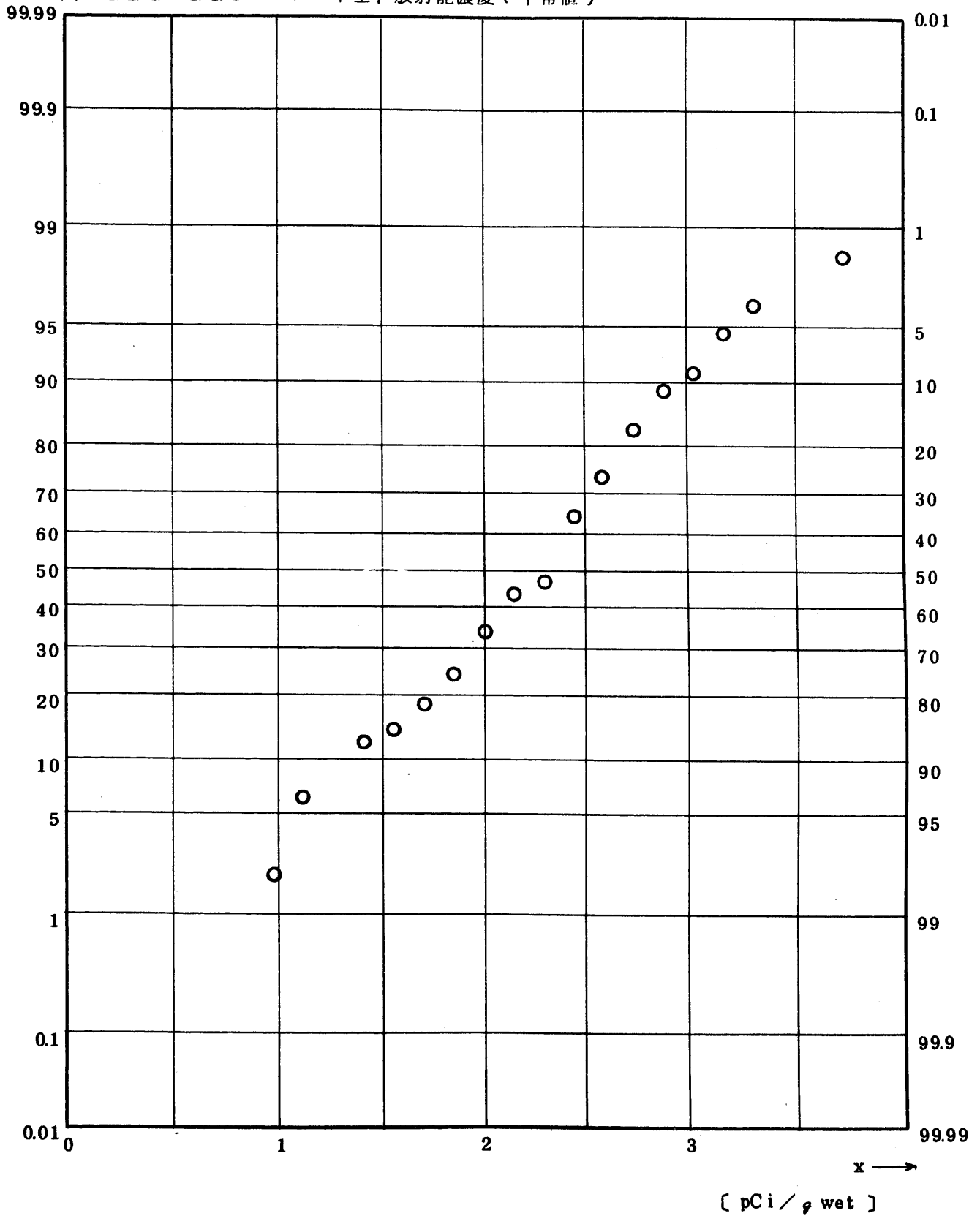


Fig. 11.2.4.2.1.1.2 ⁹⁰Sr Concentration in Fish
 (Whole Body of White-bait) (USUAL)
 (1971.3 ~ 1976.4)

図 1 1. 2. 4. 2. 1. 1. 2 シラス中⁹⁰Sr 放射能濃度 (平常値)

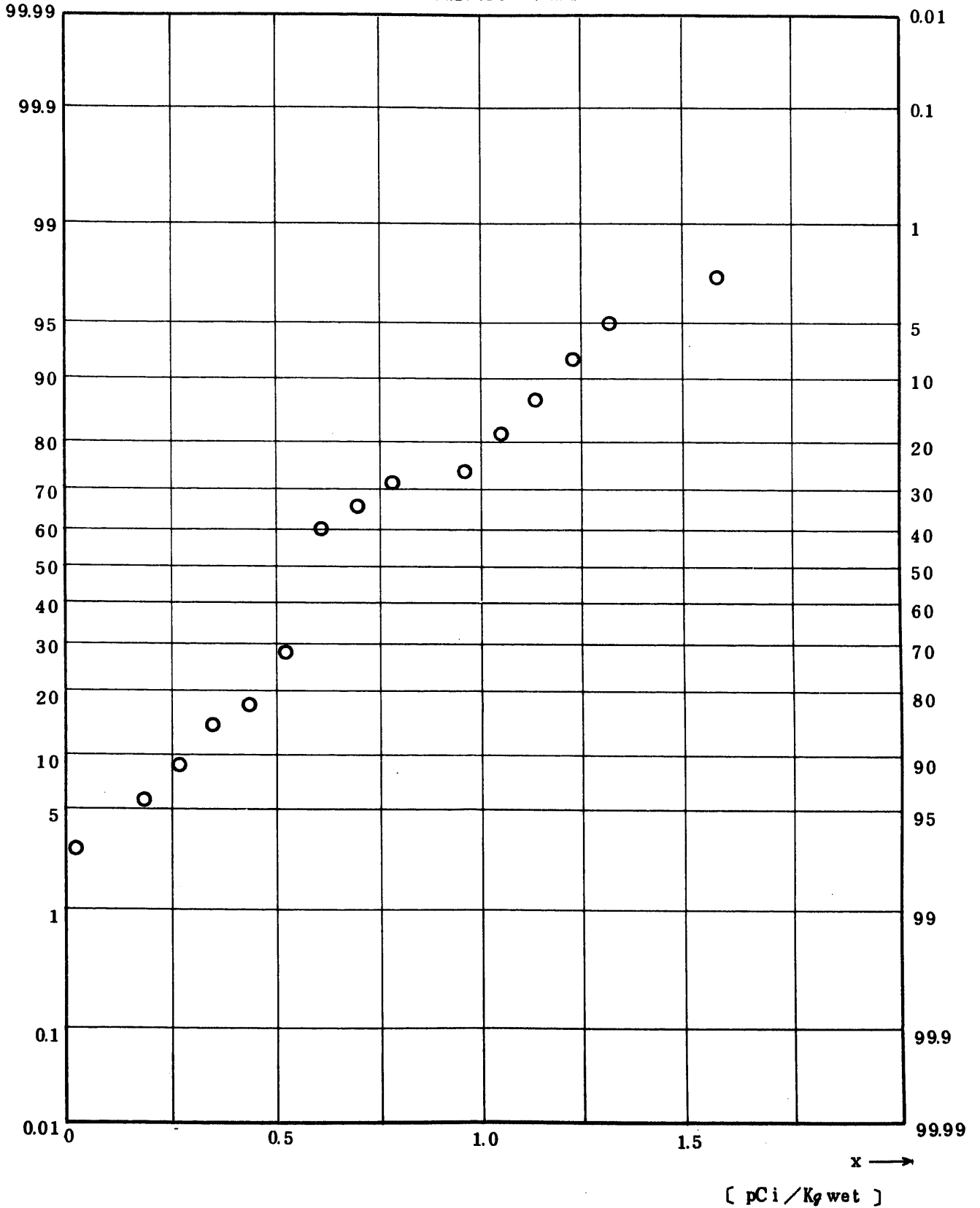


Fig. 11.2.4.2.1.1.3 ⁹⁵Zr Concentration in Fish
 (Whole Body of White-bait) (USUAL)
 (1971.3 ~ 1976.4)

図 1 1. 2. 4. 2. 1. 1. 3 シラス中 ⁹⁵Zr 放射能濃度 (平常値)

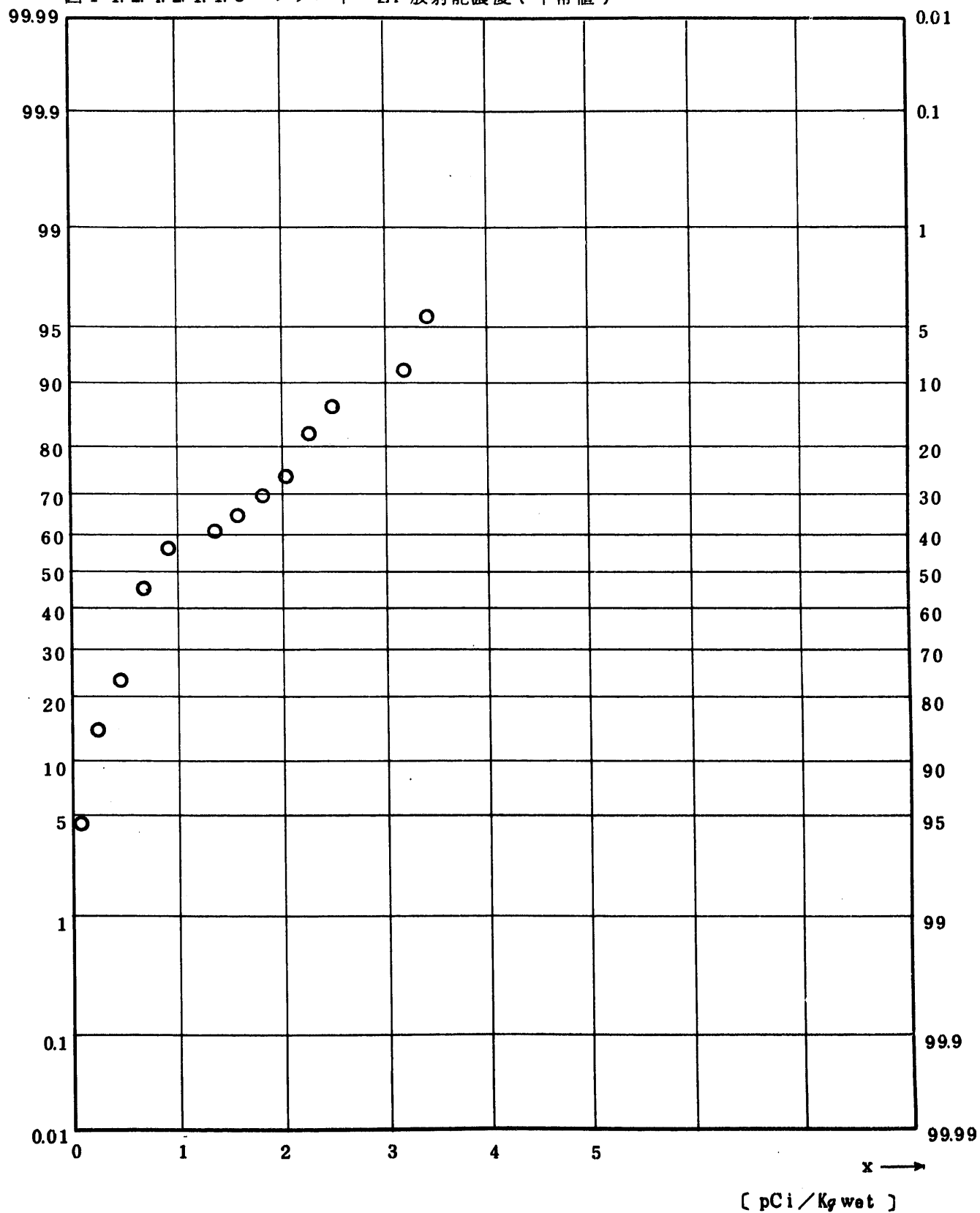


Fig. 11.2.4.2.1.1.4 ⁹⁵Nb Concentration in Fish
 (Whole Body of White-bait) (USUAL)
 (1971.3 ~ 1976.4)

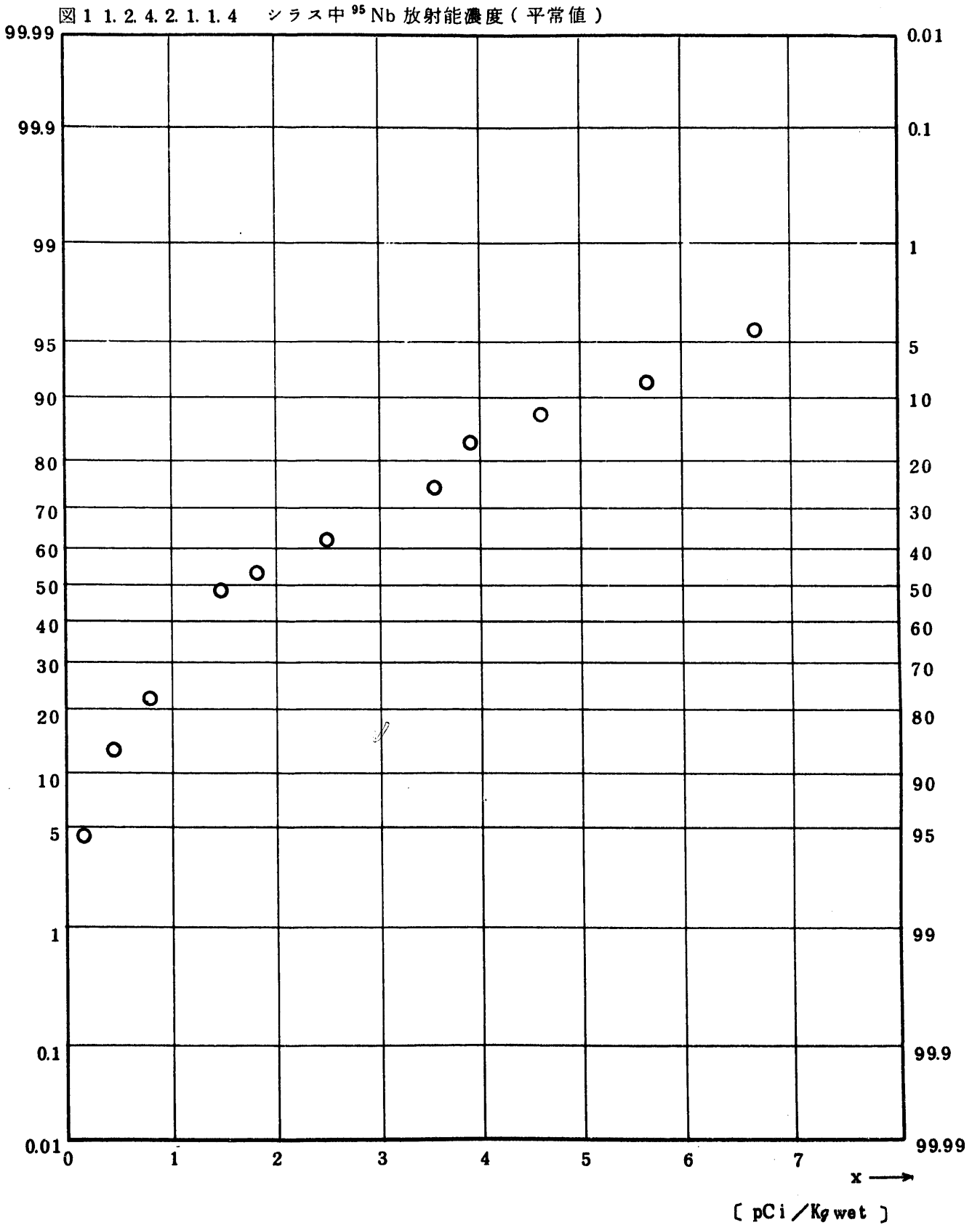


Fig. 11.24.2.1.1.5 $^{106}\text{Ru}/^{106}\text{Rh}$ Concentration in Fish
 (Whole Body of White-bait) (USUAL)
 (1971.3 ~ 1976.4)

図 1 1. 2. 4. 2. 1. 1. 5 シラス中 ^{106}Ru 放射能濃度 (平常値)

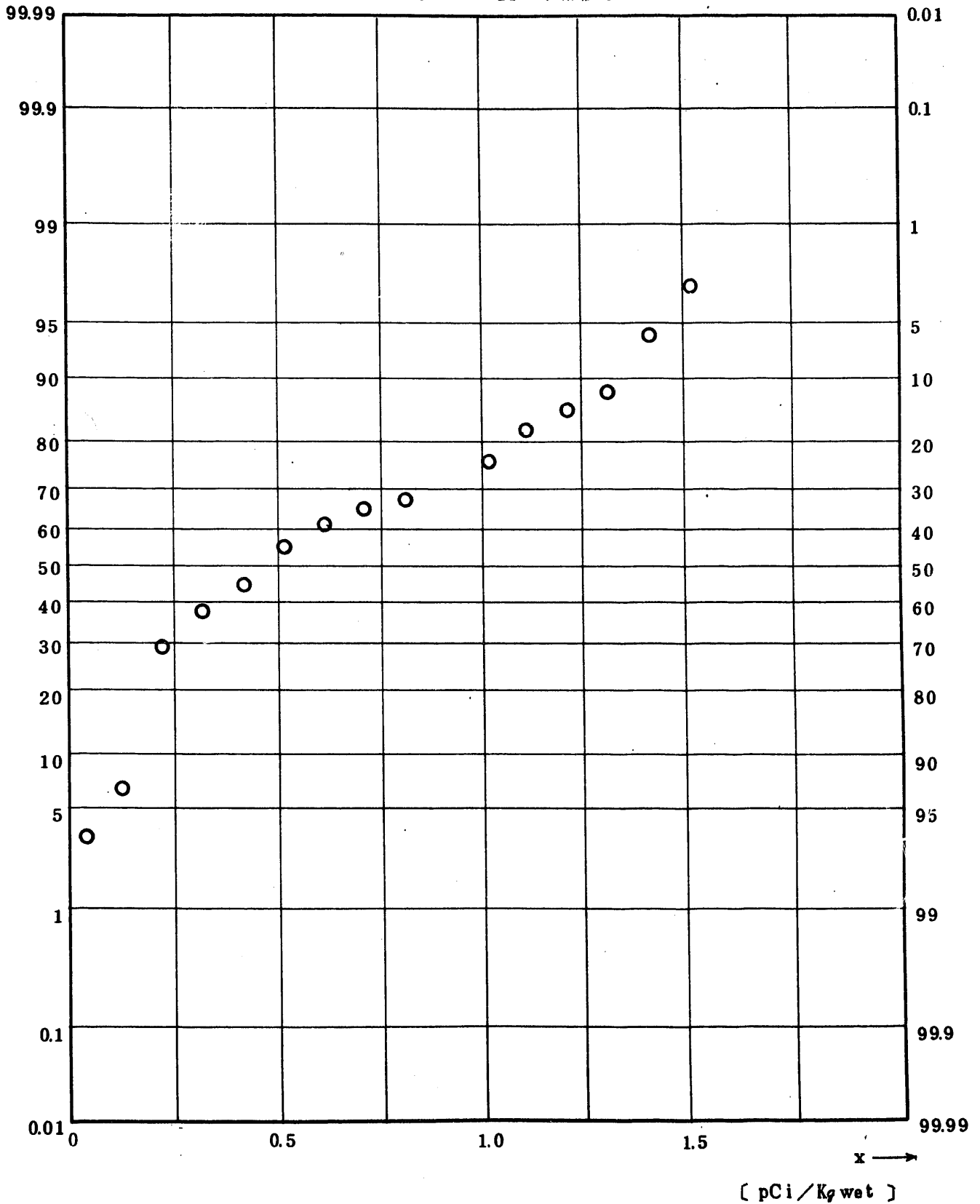


Fig. 11.2.4.2.1.1.6 ¹³⁷Cs Concentration in Fish
 (Whole Body of White-bait) (USUAL)
 (1971.3 ~ 1976.4)

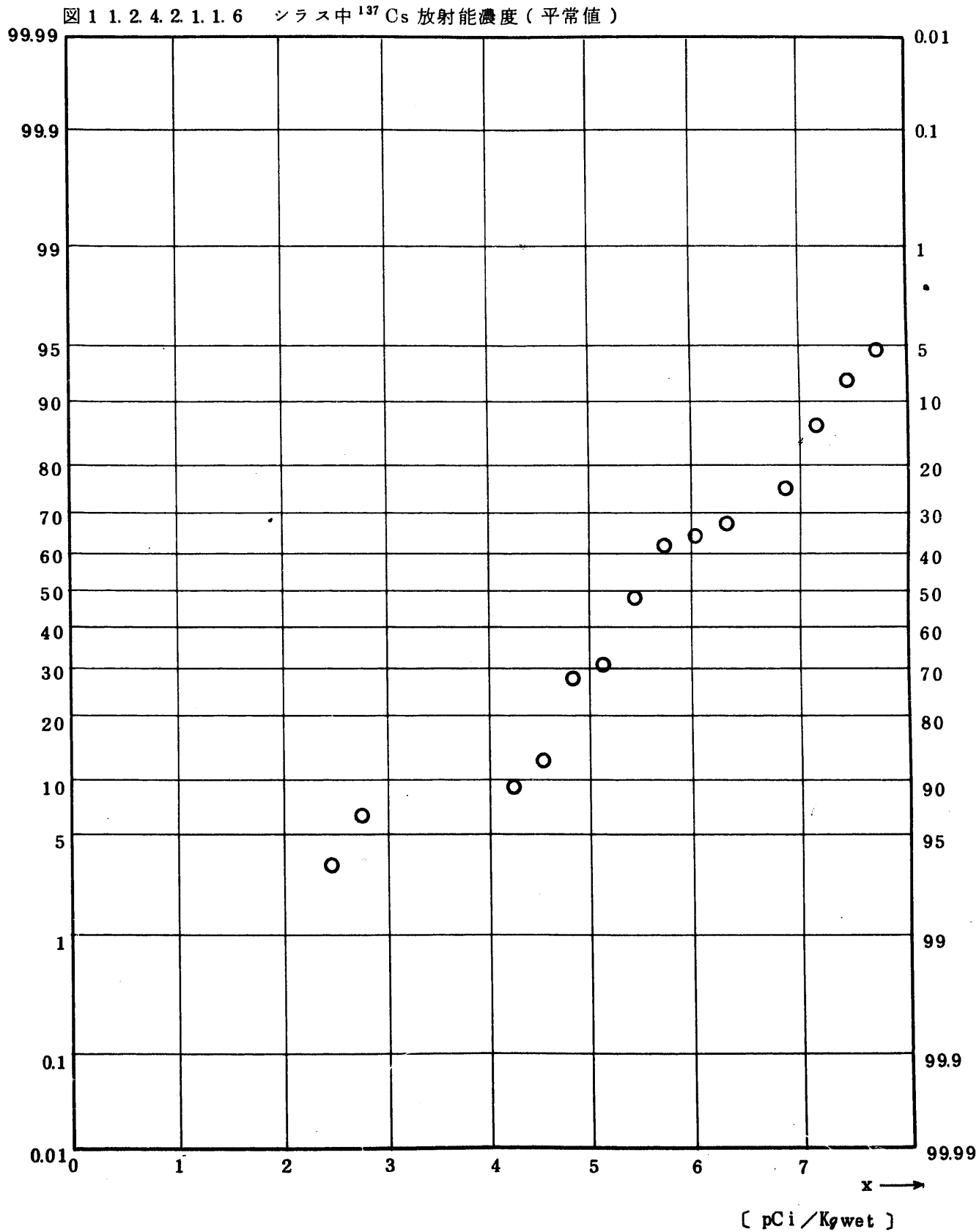


Fig. 11.2.4.2.1.1.7 $^{144}\text{Ce}/^{144}\text{Pr}$ Concentration in Fish

(Whole Body of White-bait) (USUAL)

(1971.3 ~ 1976.4)

図 1 1. 2. 4. 2. 1. 1. 7 シラス中 ^{144}Ce 放射能濃度 (平常値)

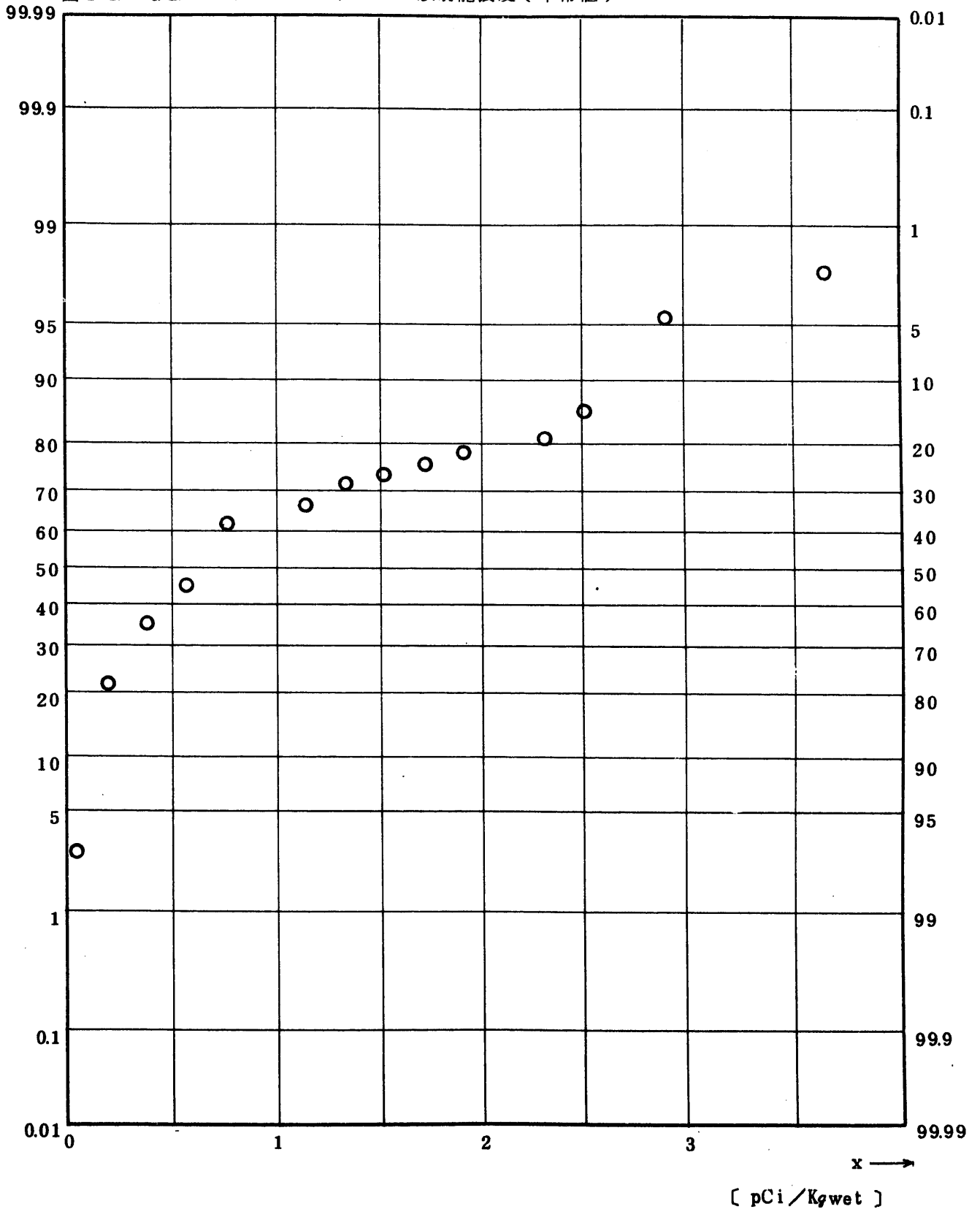


Fig. 11.2.4.2.1.1.8 $^{239}\text{Pu} + ^{240}\text{Pu}$ Concentration in Fish

(Whole Body of White-bait) (USUAL)

(1971.3 ~ 1976.4)

図 1 1. 2. 4. 2. 1. 1. 8 シラス中 $^{239,240}\text{Pu}$ 放射能濃度 (平常値)

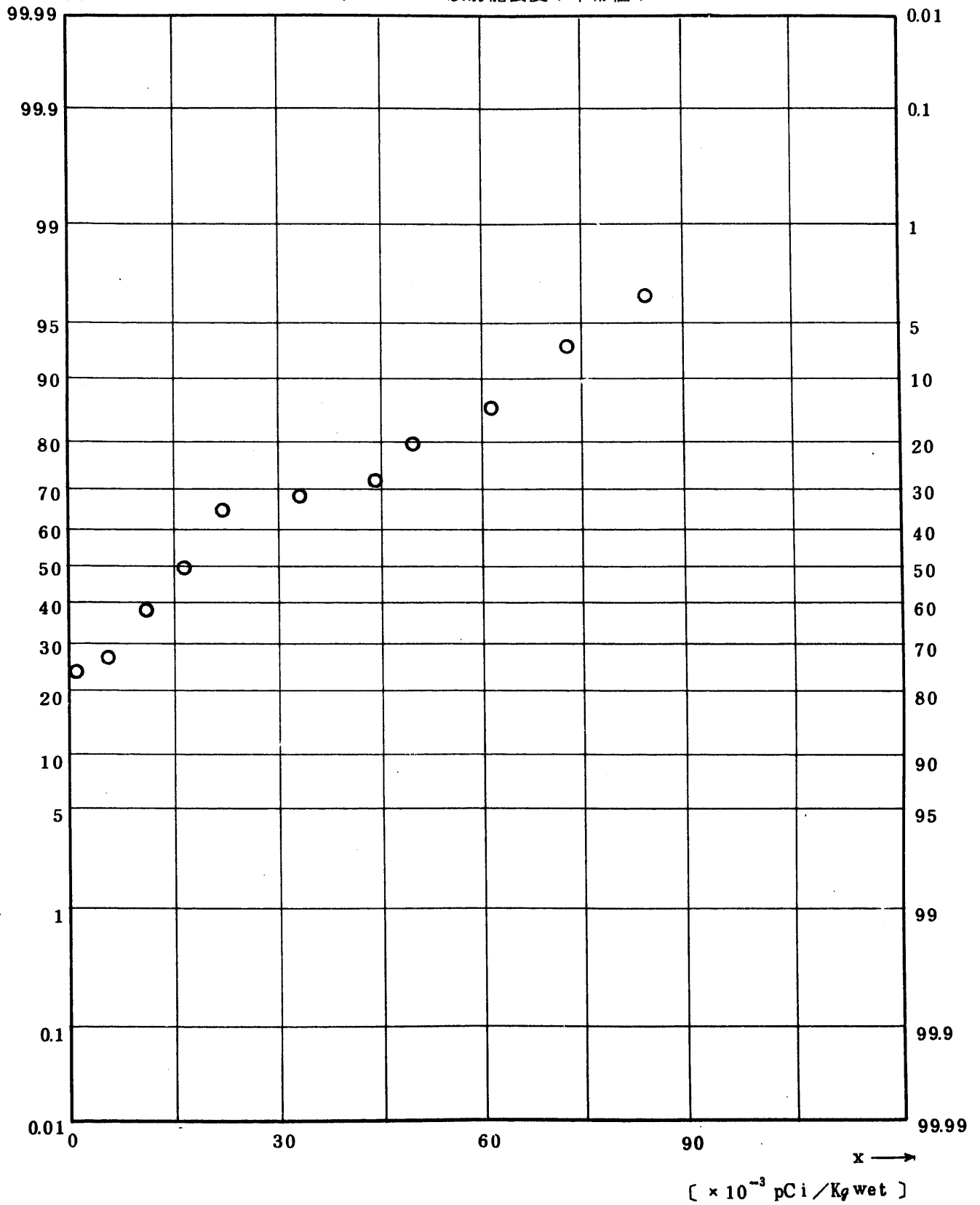


Fig. 11.3.4.1.1.1 Gross BETA Concentration in Fish
 (Whole Body of Sardine etc.) (ALL)
 (1971.6 ~ 1977.2)

図 1 1. 3. 4. 1. 1. 1 カレイ・ヒラメ以外の成魚中全β放射能濃度(全測定値)

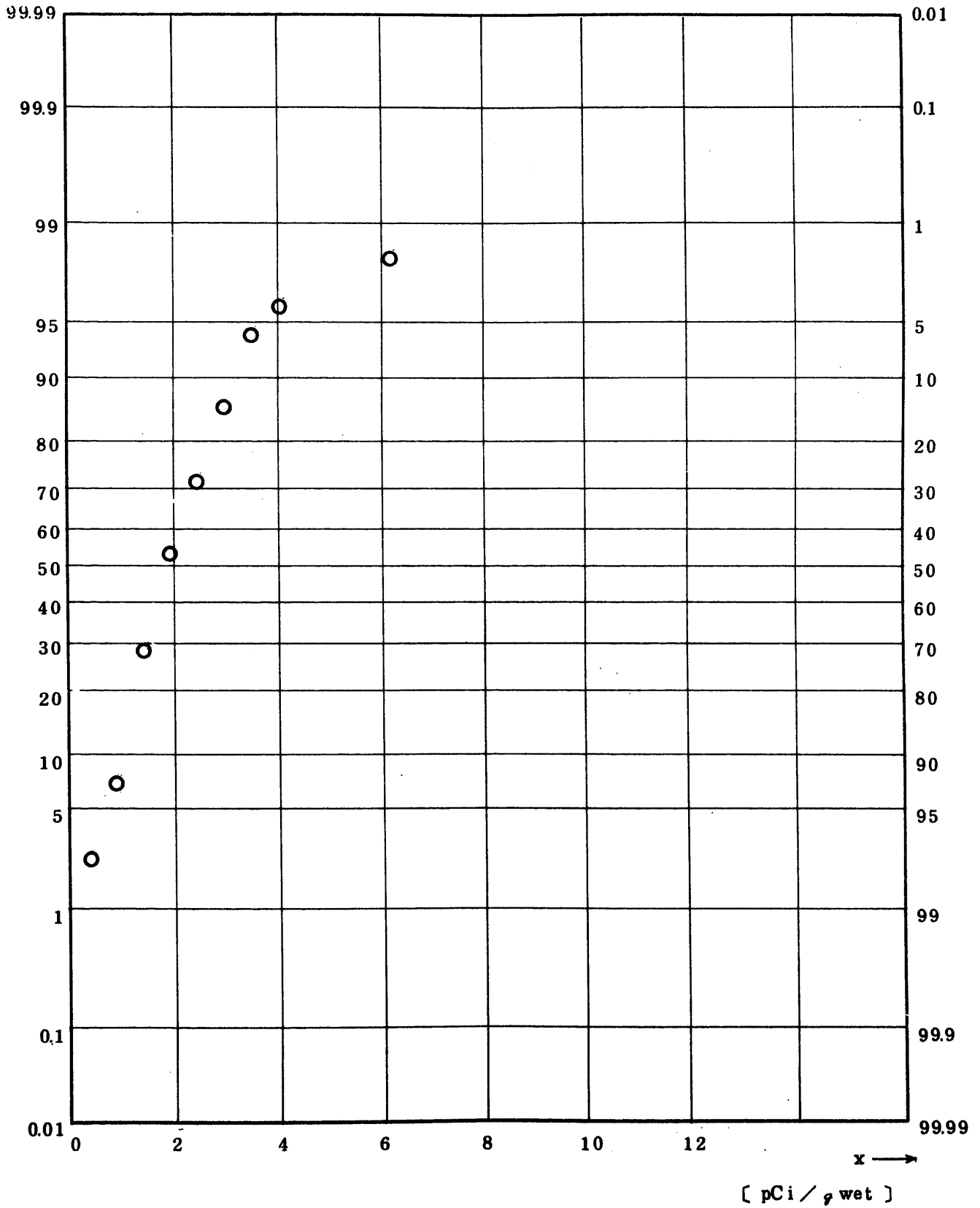


Fig. 11.3.4.1.1.2 ⁹⁰Sr Concentration in Fish
 (Whole Body of Sardine etc.) (ALL)
 (1971.6 ~ 1977.2)

図 1 1. 3. 4. 1. 1. 1. 2 カレイ・ヒラメ以外の成魚中 ⁹⁰Sr 放射能濃度 (全測定値)

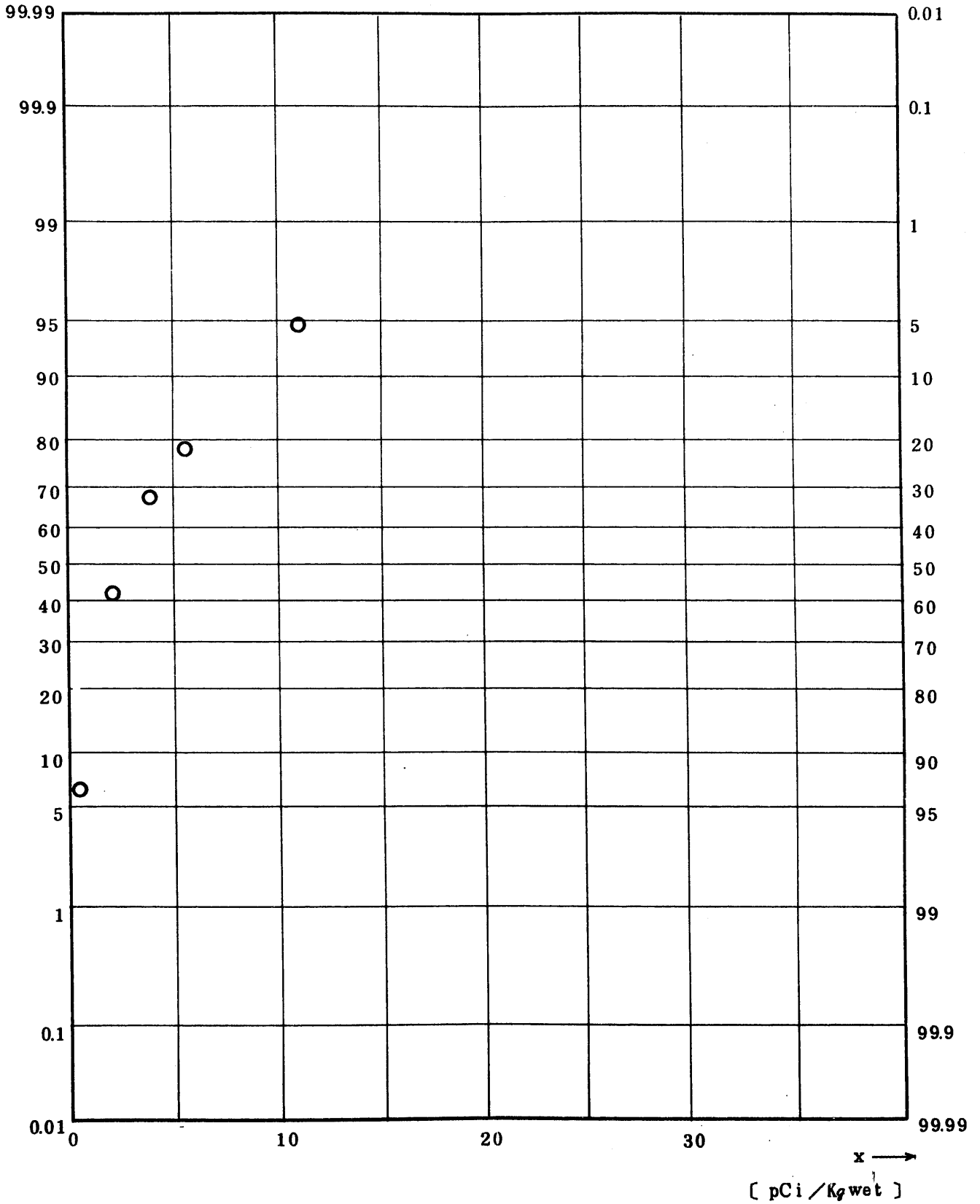


Fig. 11.3.4.1.1.3 ⁹⁵Zr Concentration in Fish

(Whole Body of Sardine etc.) (ALL)

(1971.6 ~ 1977.2)

図 1 1.3.4.1.1.3 カレイ・ヒラメ以外の成魚中 ⁹⁵Zr 放射能濃度 (全測定値)

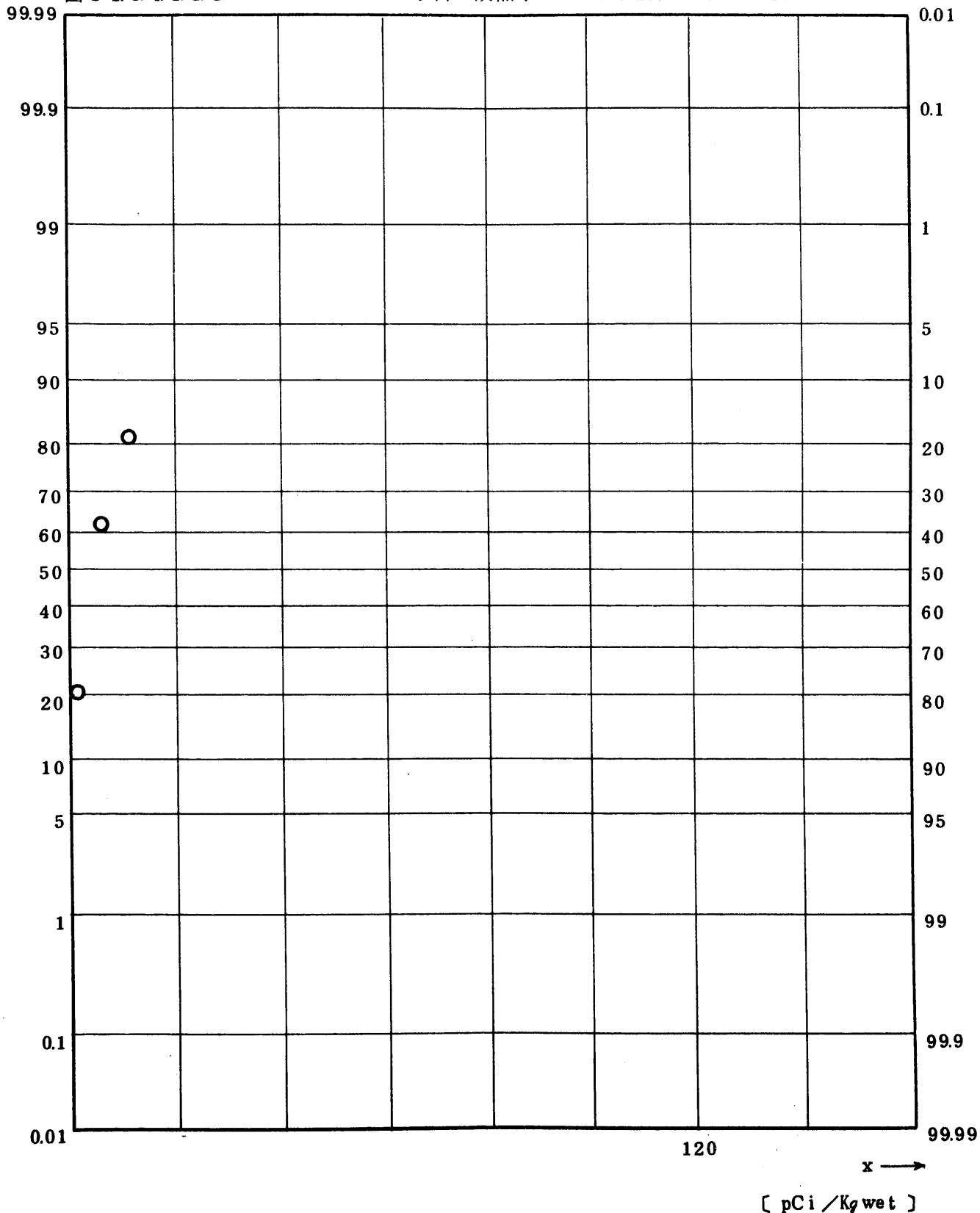


Fig. 11.3.4.1.1.4 ⁹⁵Nb Concentration in Fish
(Whole Body of Sardine etc.) (ALL)

(1971.6 ~ 1977.2)

図 1 1. 3. 4. 1. 1. 1. 4 カレイ・ヒラメ以外の成魚中 ⁹⁵Nb 放射能濃度 (全測定値)

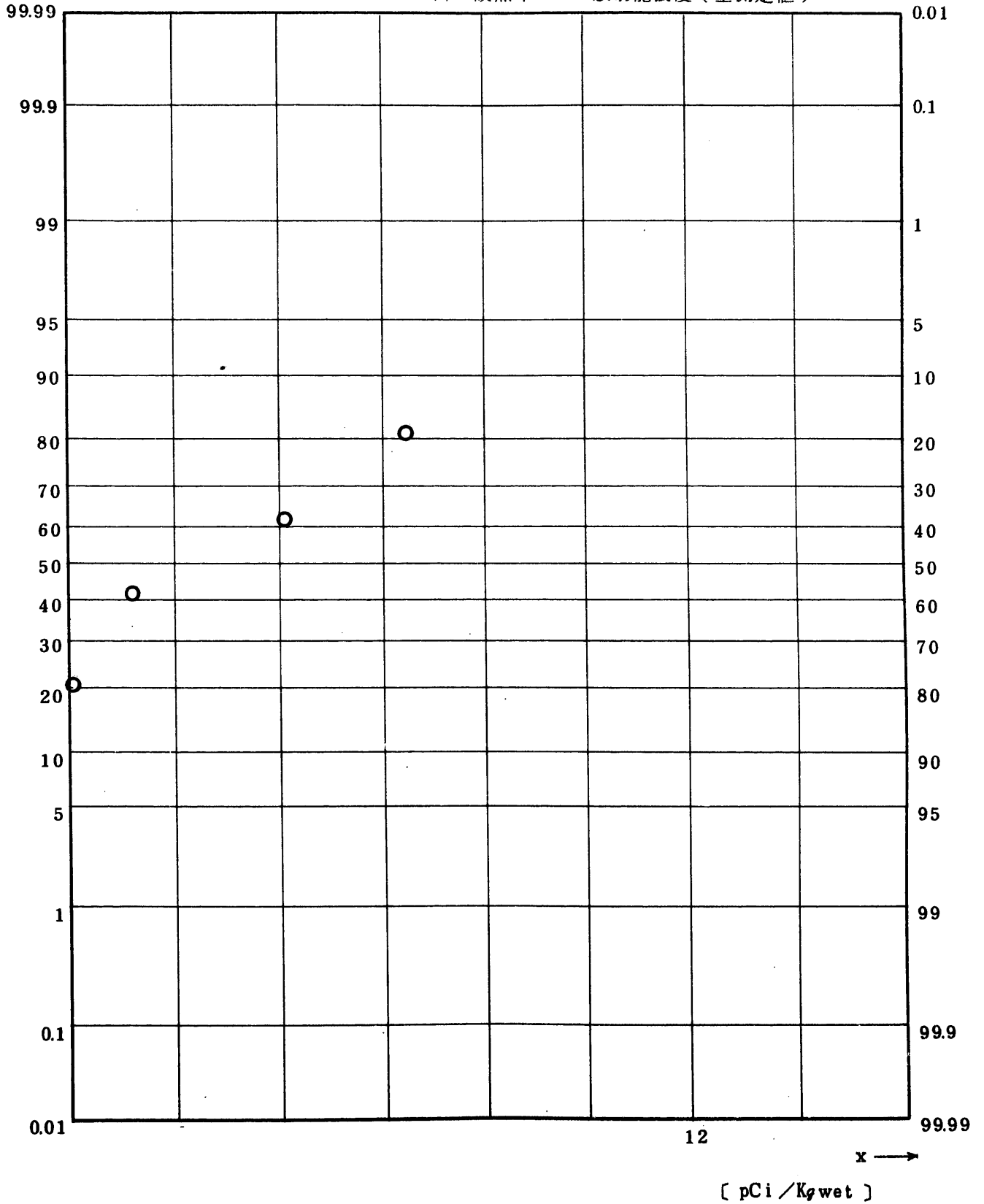


Fig. 11.3.4.1.1.5 $^{106}\text{Ru}/^{106}\text{Rh}$ Concentration in Fish

(Whole Body of Sardine etc.) (ALL)

(1971.6 ~ 1977.2)

図 1 1. 3. 4. 1. 1. 5 カレイ・ヒラメ以外の成魚中 ^{106}Ru 放射能濃度(全測定値)

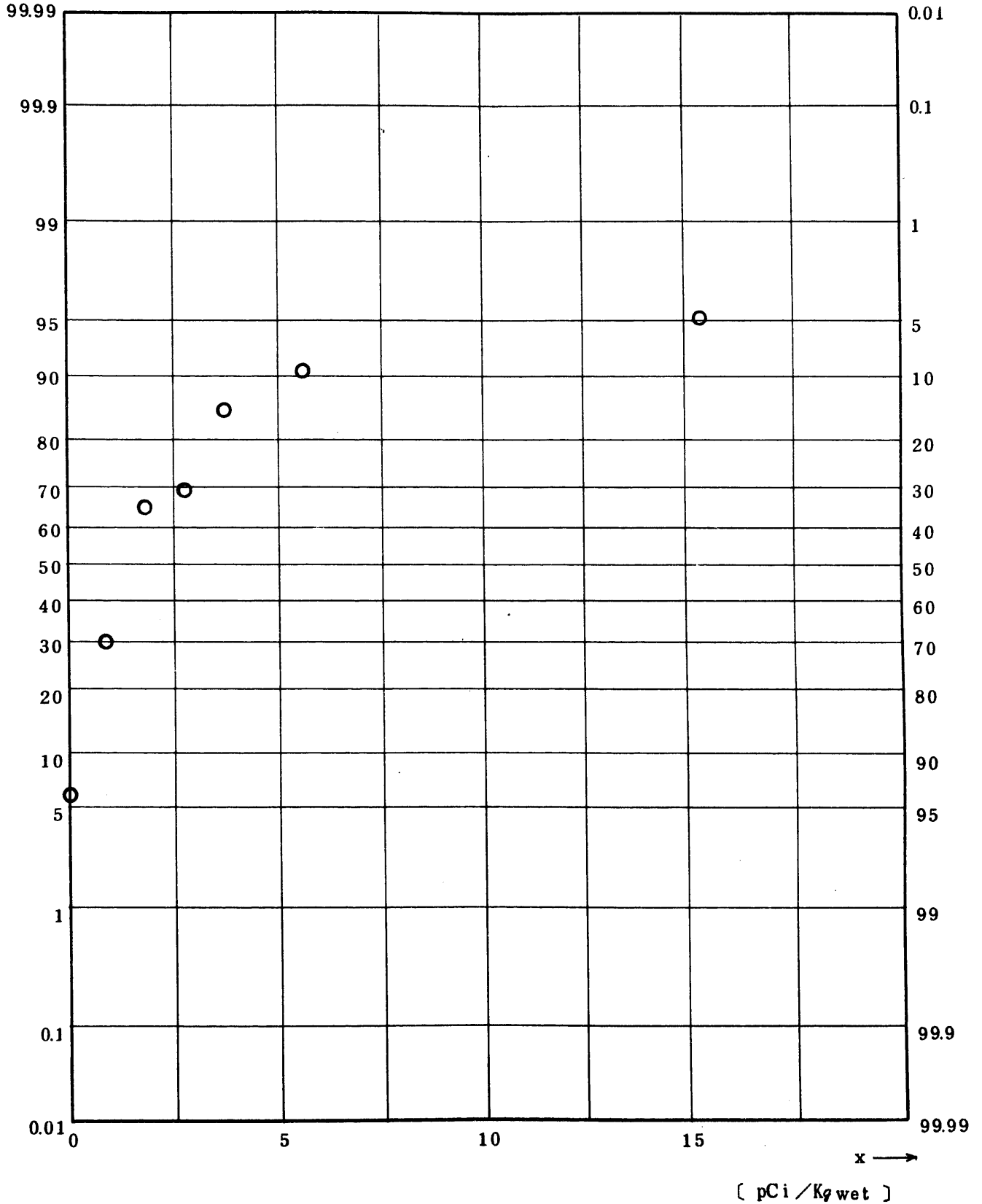


Fig. 11.3.4.1.1.6 ¹³⁷Cs Concentration in Fish
 (Whole Body of Sardine etc.) (ALL)
 (1971.6 ~ 1977.2)

図 1 1. 3. 4. 1. 1. 6 カレイ・ヒラメ以外の成魚中 ¹³⁷Cs 放射能濃度 (全測定値)

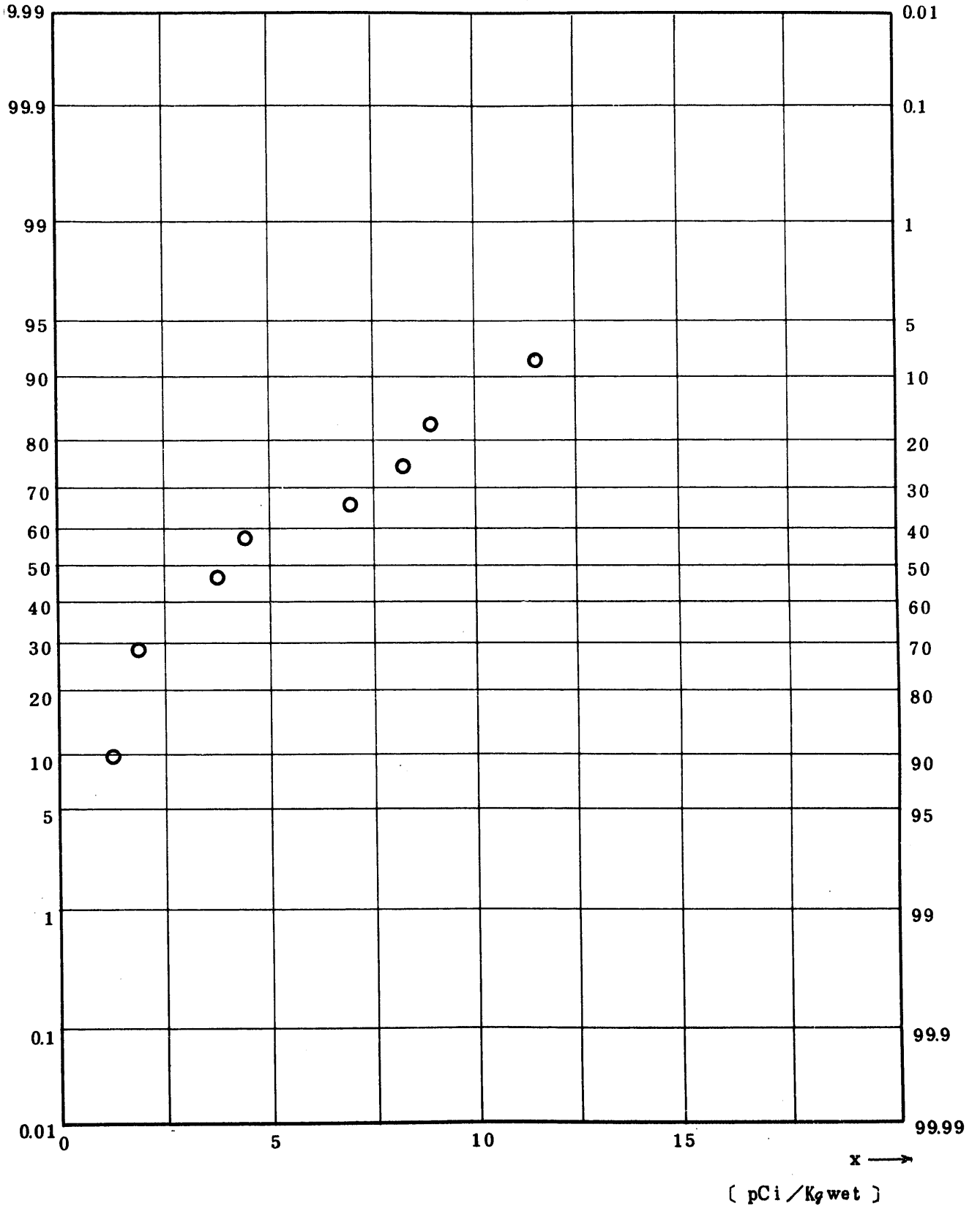


Fig. 11.3.4.1.1.7 $^{144}\text{Ce}/^{144}\text{Pr}$ Concentration in Fish

(Whole Body of Sardine etc.) (ALL)

(1971.6 ~ 1977.2)

図 1 1. 3. 4. 1. 1. 1. 7 カレイ・ヒラメ以外の成魚中 ^{144}Ce 放射能濃度 (全測定値)

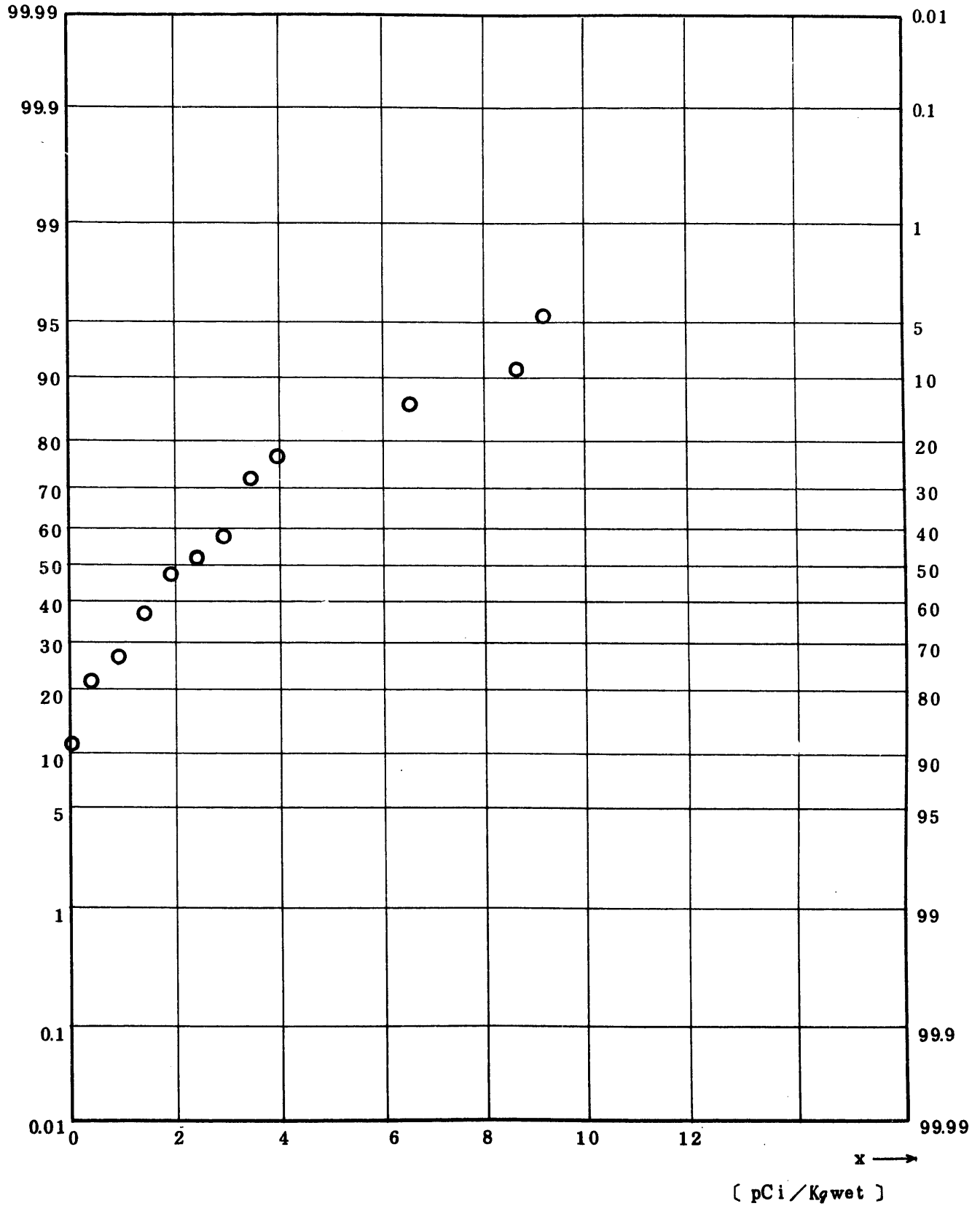


Fig. 11.3.4.1.1.8 $^{239}\text{Pu} + ^{240}\text{Pu}$ Concentration in Fish

(Whole Body of Sardine etc.) (ALL)

(1971.6 ~ 1977.2)

図 11.3.4.1.1.1.8 カレイ・ヒラメ以外の成魚中 $^{239}, ^{240}\text{Pu}$ 放射能濃度 (全測定値)

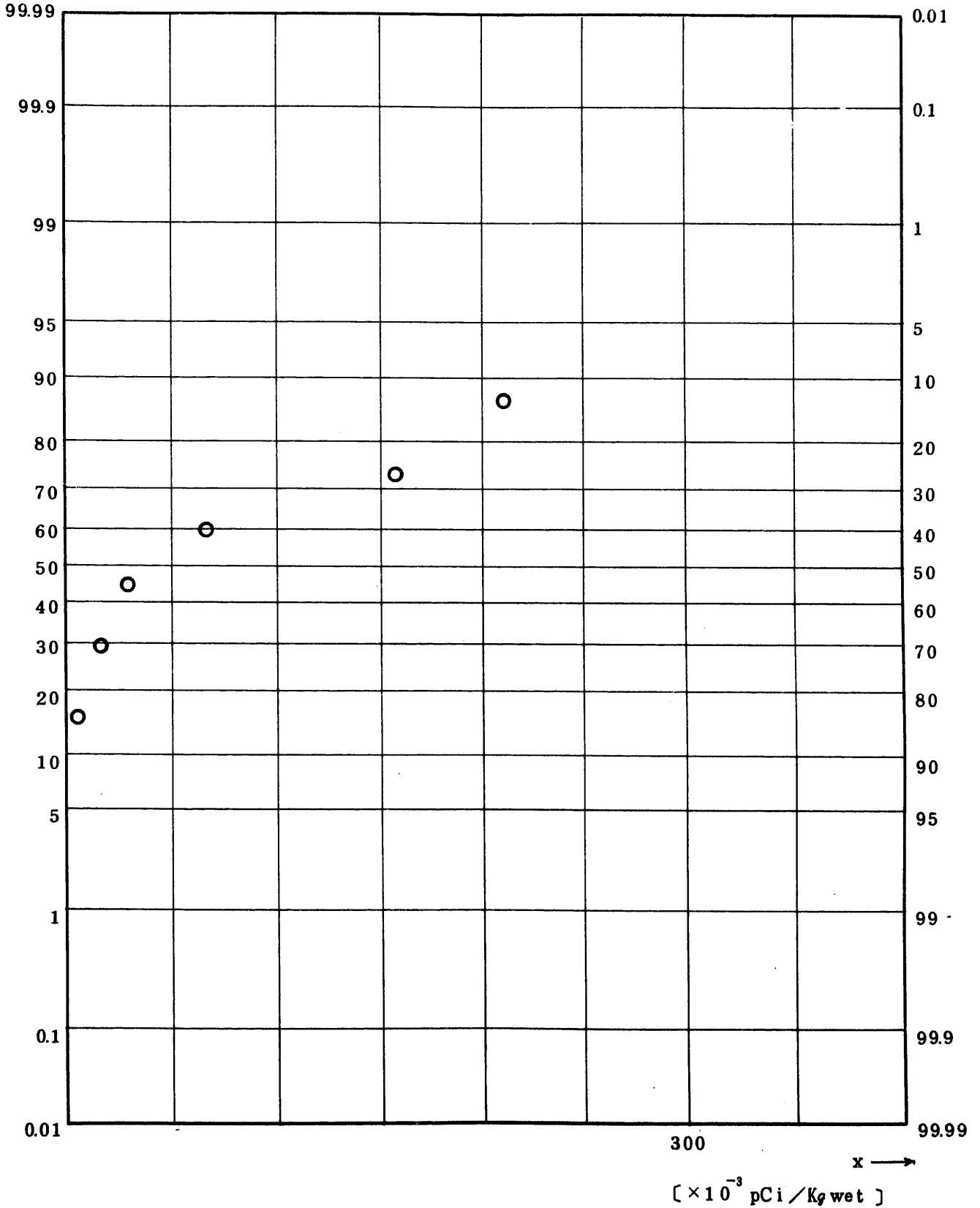


Fig. 11.3.4.2.1.1 Gross Beta Concentration in Fish

(Whole Body of Sardine etc.) (ALL)

(1971.1.10 ~ 1976.1.10)

図 1 1.3.4.2.1.1.1 カレイ・ヒラメ以外の成魚中全β放射能濃度(平常値)

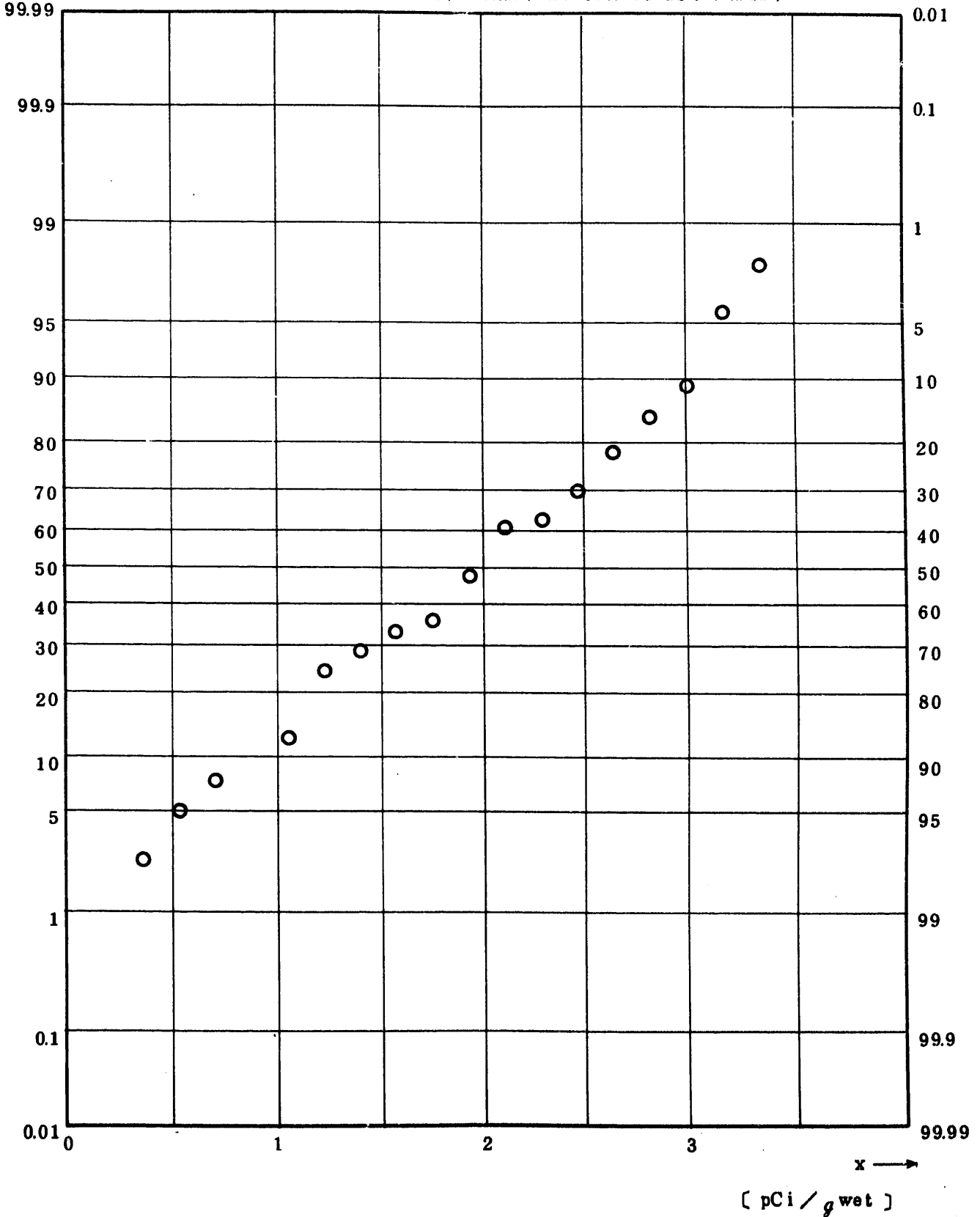


Fig. 11.3.4.2.1.1.2 ^{90}Sr Concentration in Fish
 (Whole Body of Sardine etc.) (ALL) ,
 (1971.10 ~ 1976.10)

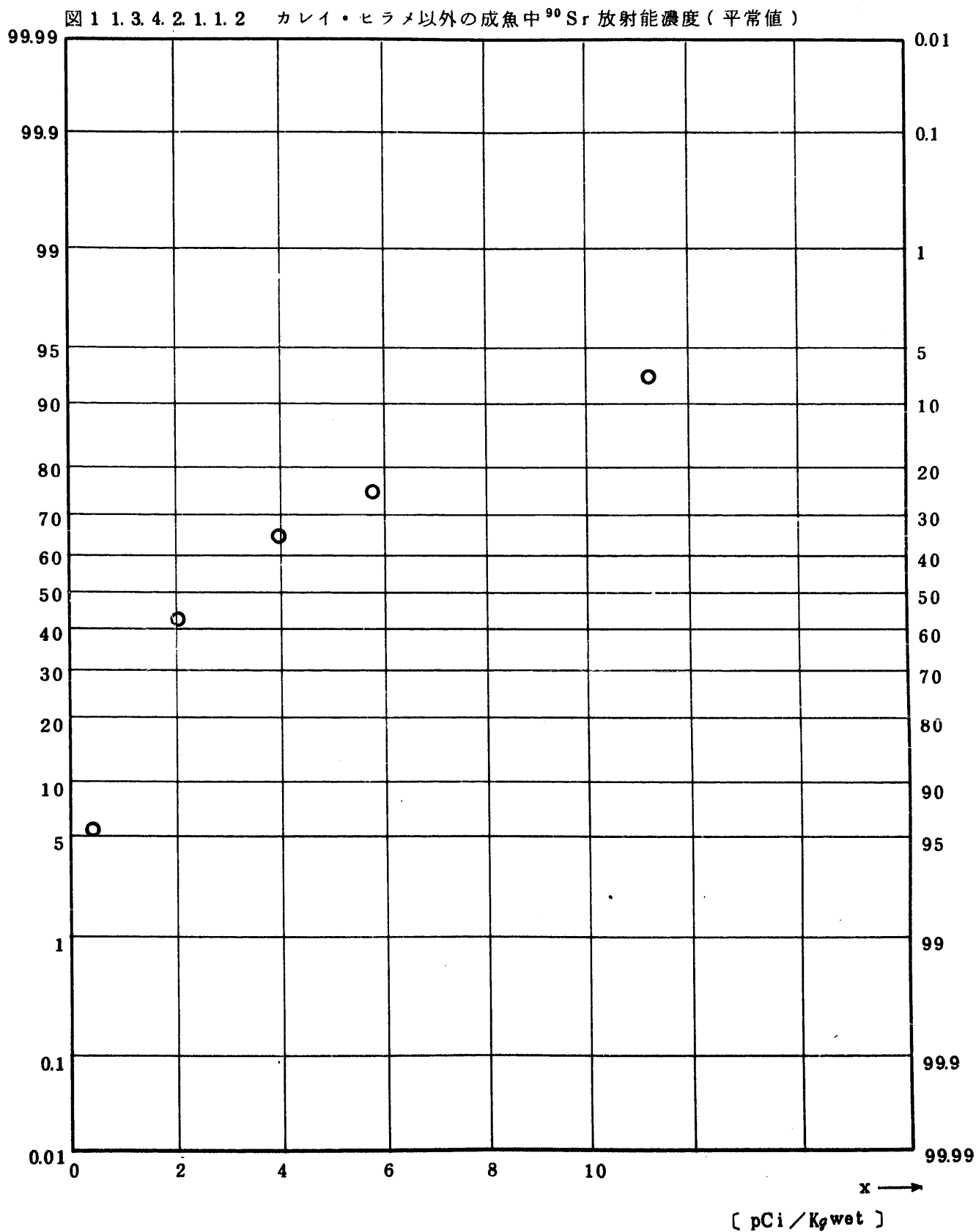


Fig. 11.3.4.2.1.1.3 ⁹⁵Zr Concentration in Fish

(Whole Body of Sardine etc.) (ALL)

(1971.10 ~ 1976.10)

図 1 1. 3. 4. 2. 1. 1. 3 カレイ・ヒラメ以外の成魚中 ⁹⁵Zr 放射能濃度 (平常値)

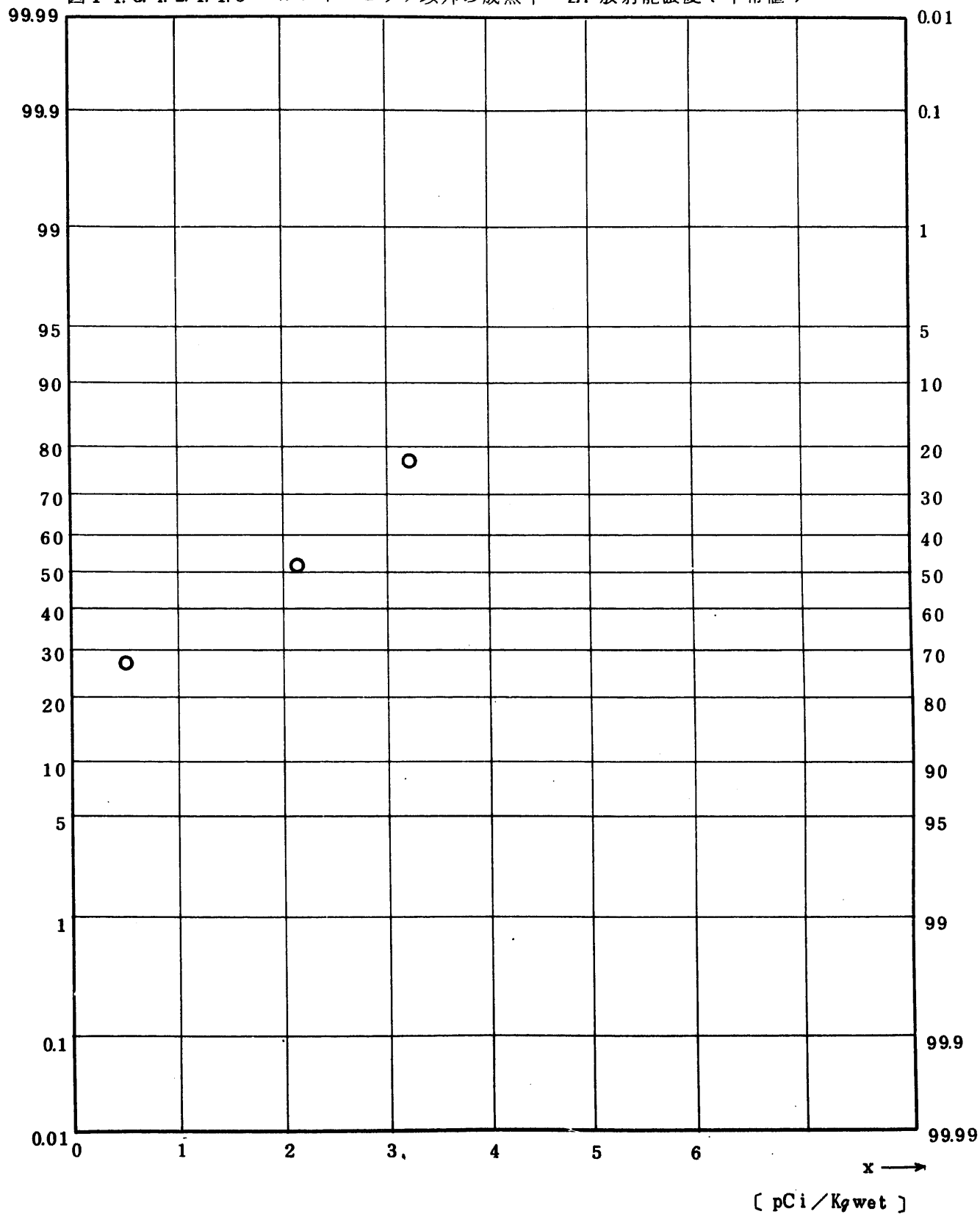


Fig. 11.3.4.2.1.1.4 ⁹⁵Nb Concentration in Fish
 (Whole Body of Sardine etc.) (USUAL)
 (1971.10 ~ 1976.10)

図 1 1. 3. 4. 2. 1. 1. 4 カレイ・ヒラメ以外の成魚中 ⁹⁵Nb 放射能濃度 (平常値)

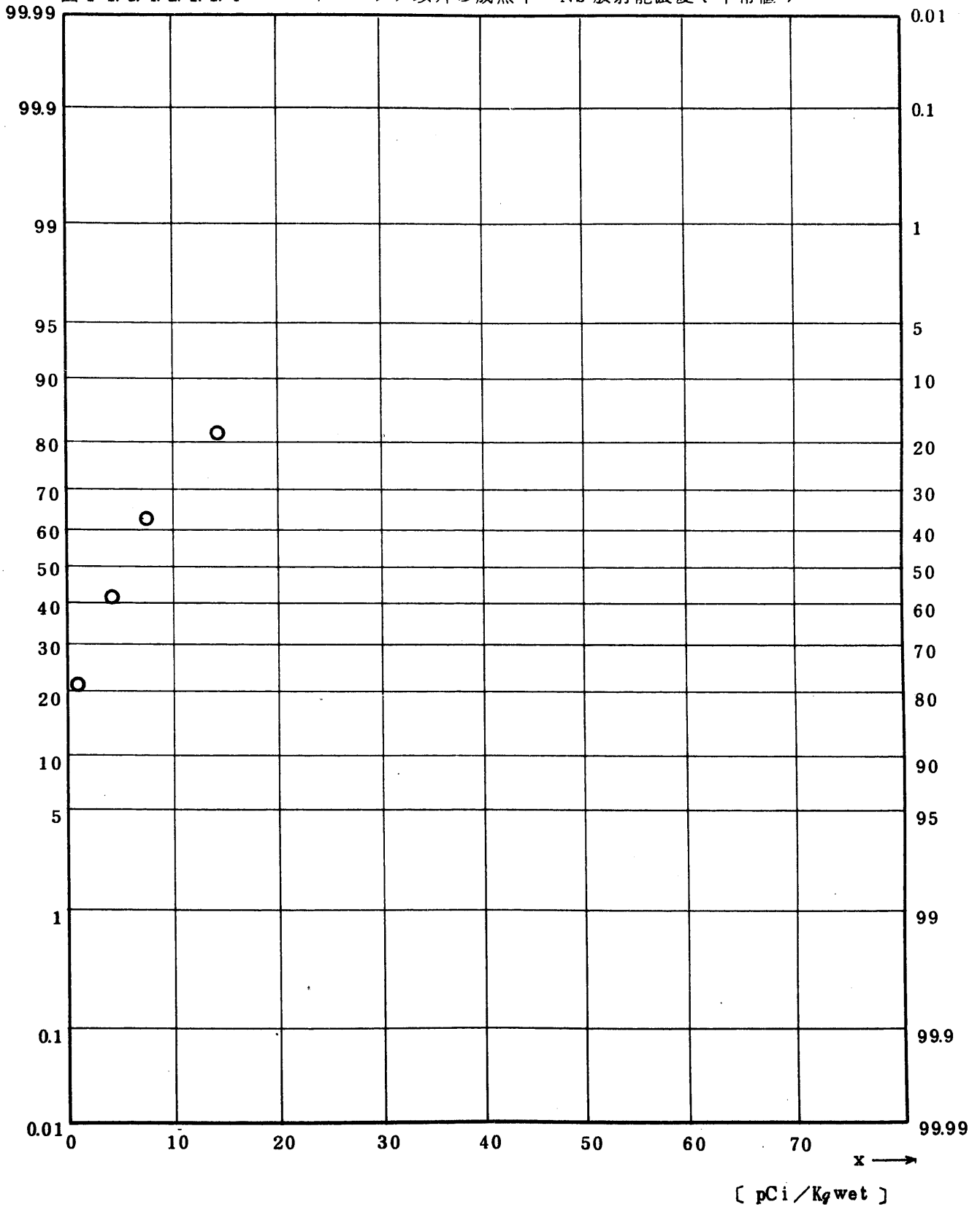


Fig. 11.3.4.2.1.1.5 $^{106}\text{Ru}/^{106}\text{Rh}$ Concentration in Fish
 (Whole Body of Sardine etc.) (USUAL)
 (1971.10 ~ 1976.10)

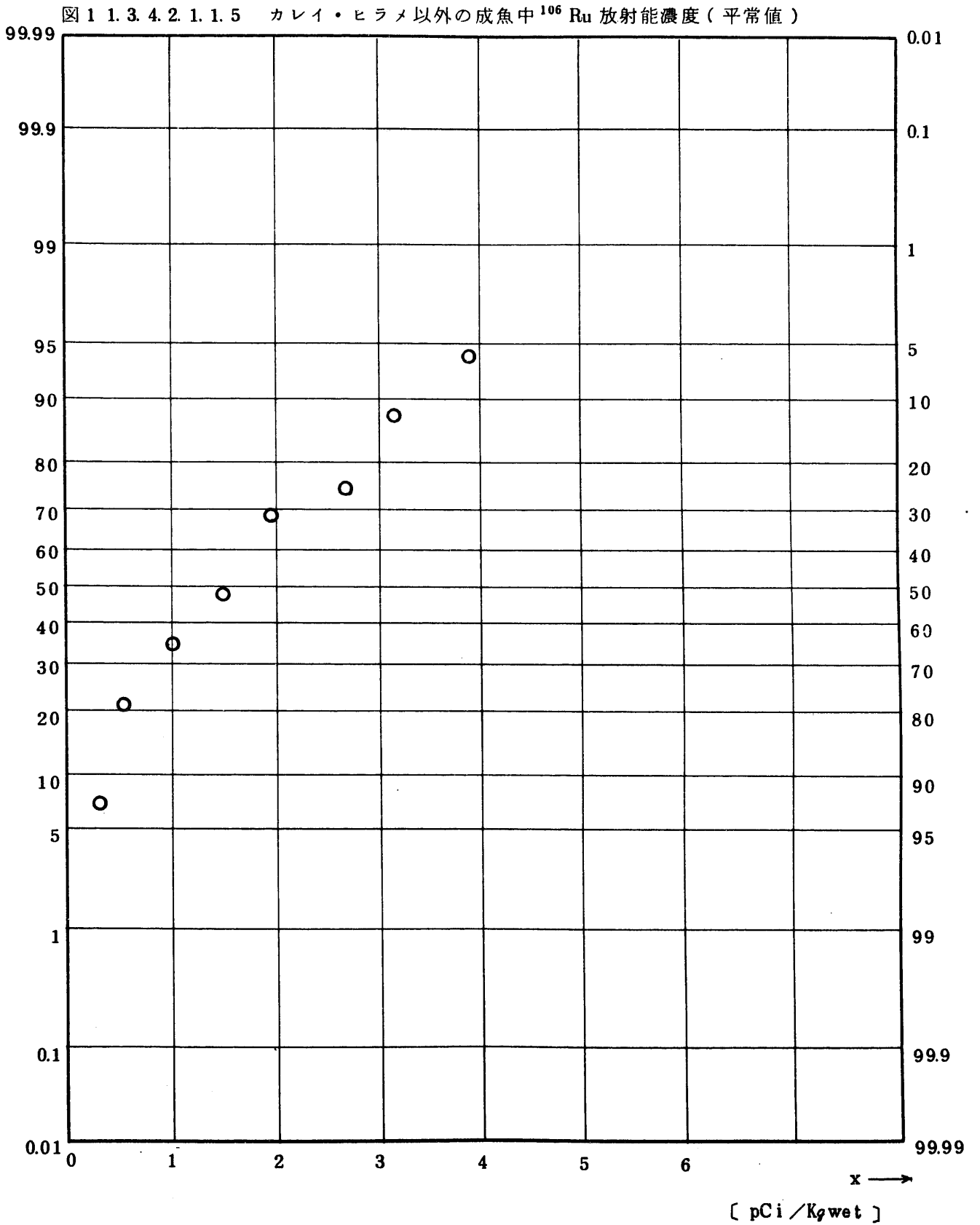


Fig. 11.3.4.2.1.1.6 ¹³⁷Cs Concentration in Fish

(Whole Body of Sardine etc.) (USUAL)

(1971.10 ~ 1976.10)

図 1 1. 3. 4. 2. 1. 1. 6 カレイ・ヒラメ以外の成魚中 ¹³⁷Cs 放射能濃度 (平常値)

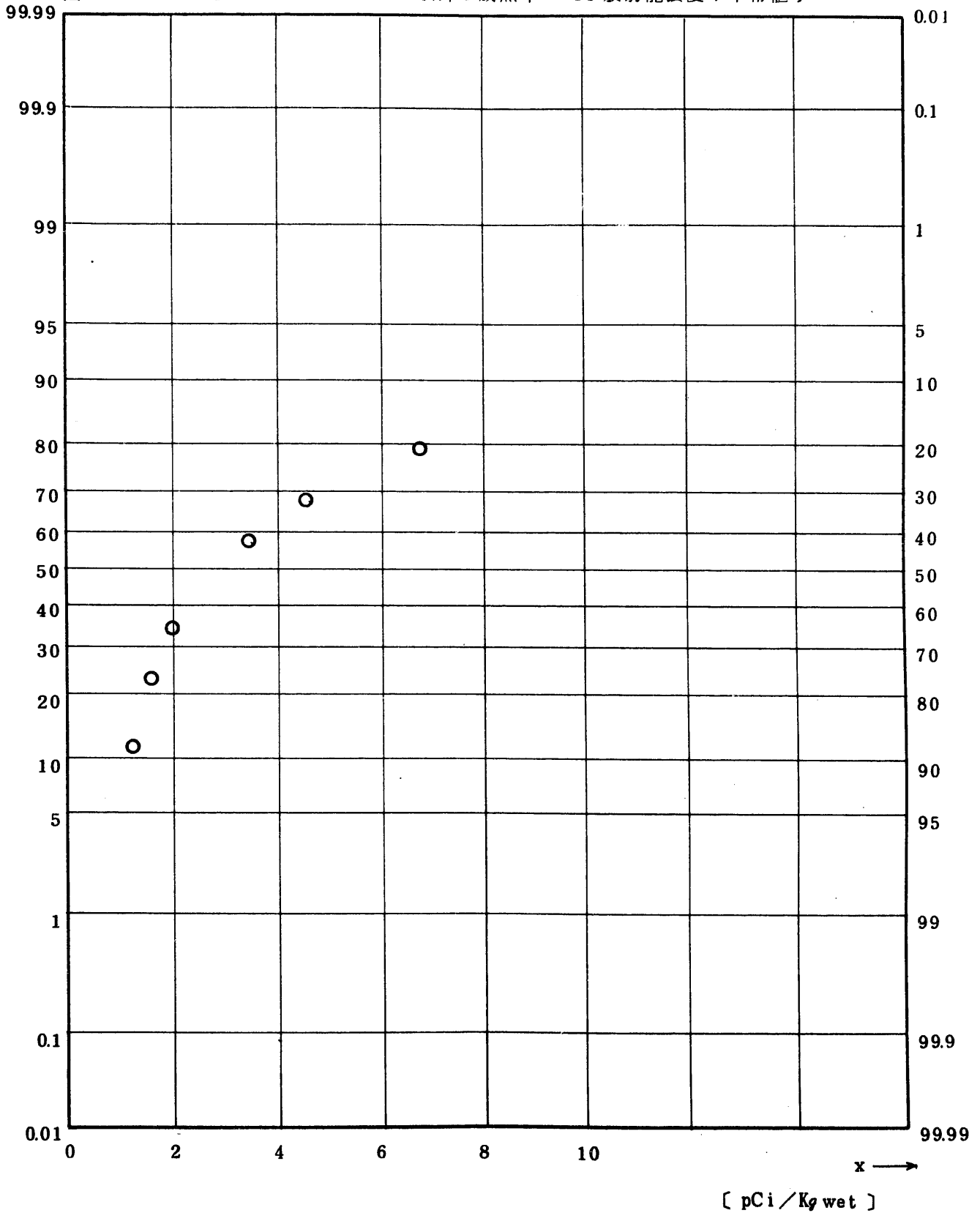


Fig. 11.3.4.2.1.1.7 $^{144}\text{Ce}/^{144}\text{Pr}$ Concentration in Fish

(Whole Body of Sardine etc.) (USUAL)

(1971.10 ~ 1976.10)

図1 1.3.4.2.1.1.7 カレイ・ヒラメ以外の成魚中 ^{144}Ce 放射能濃度 (平常値)

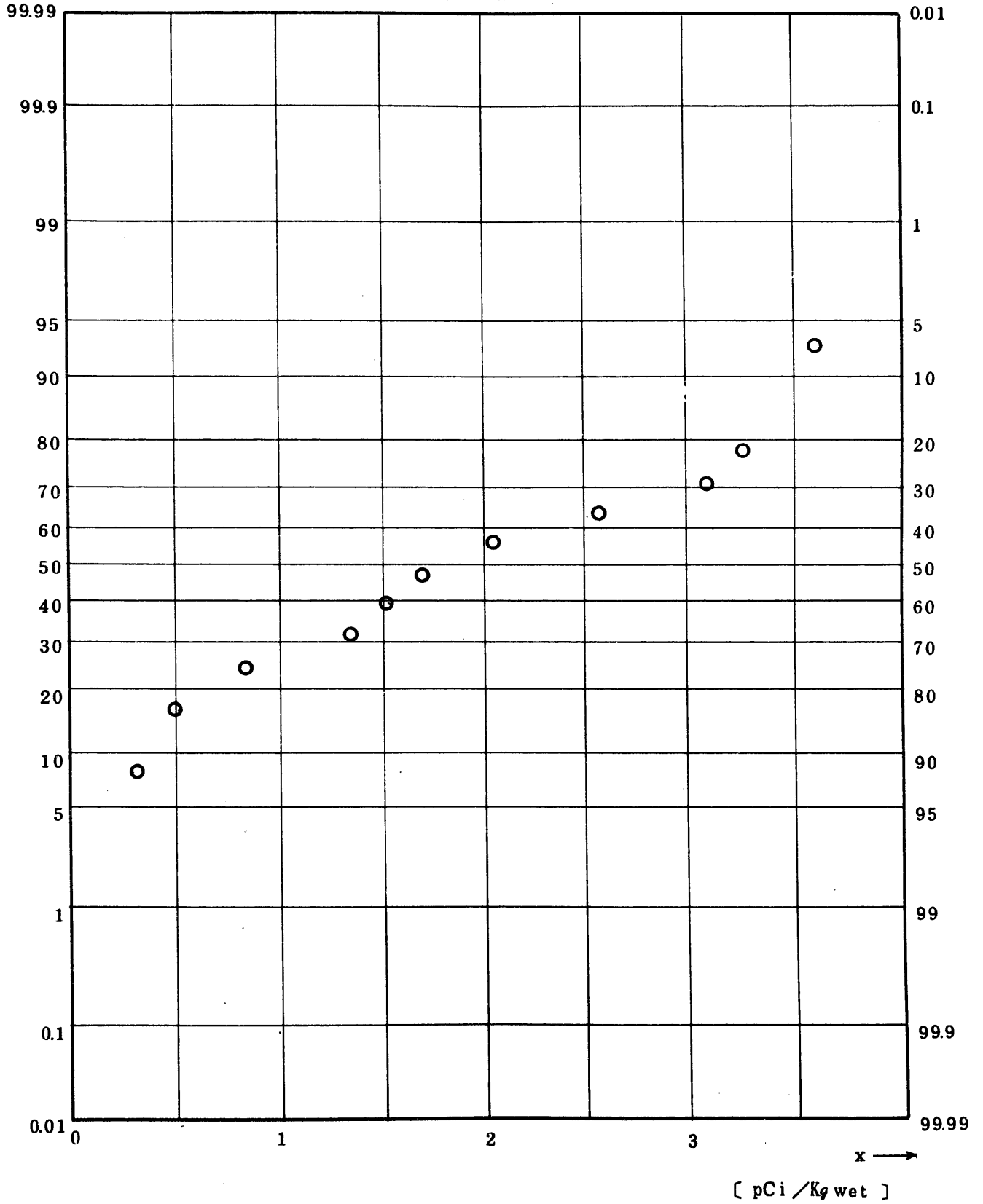


Fig. 11.3.4.2.1.1.8 $^{239}\text{Pu} + ^{240}\text{Pu}$ Concentration in Fish

(Whole Body of Sardine etc.) (USUAL)

(1971.1.0 ~ 1976.1.0)

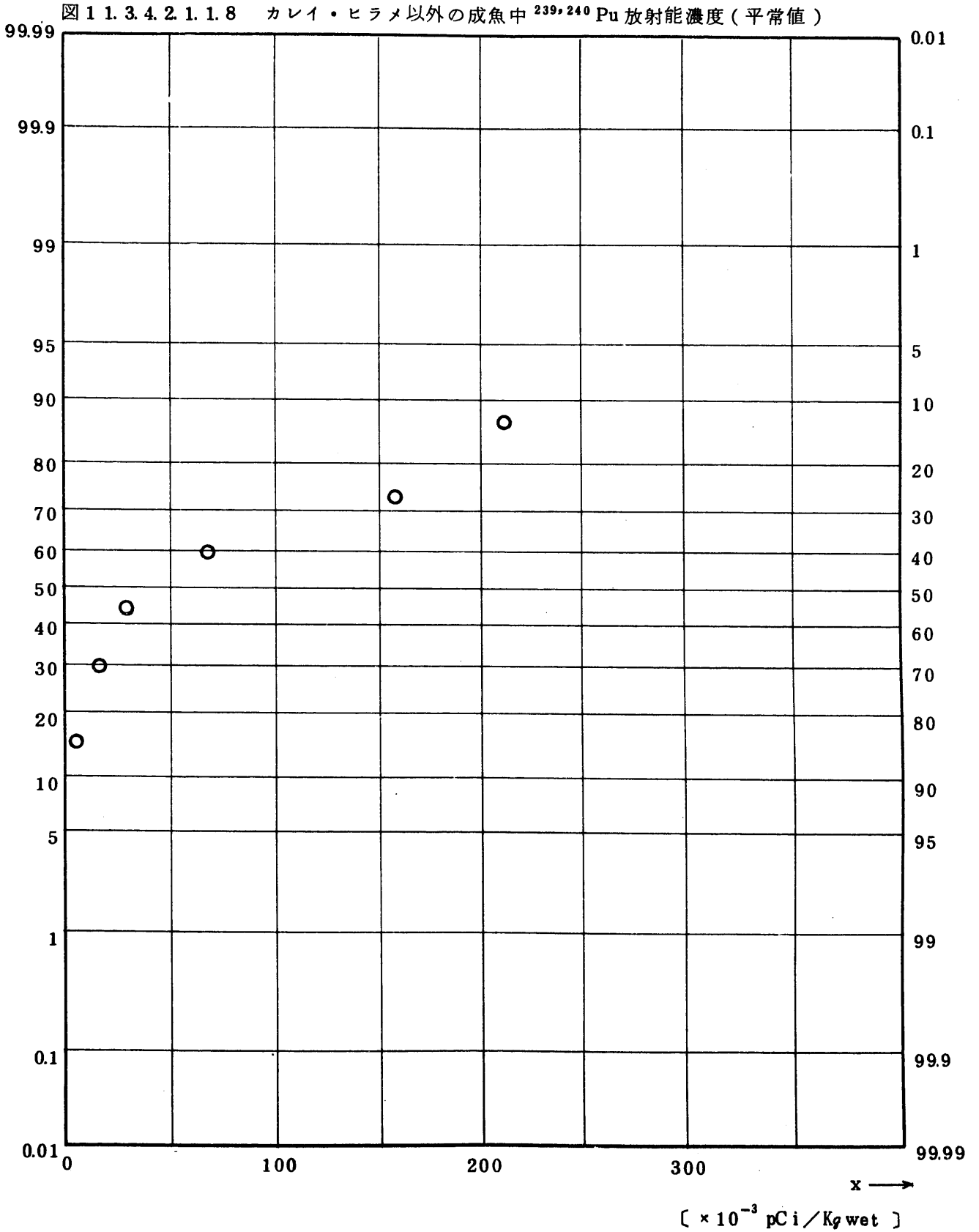


Fig. 11.4.0.1.1.1 Gross BETA Concentration in Brown Algae
(Hiziki and Wakame) (ALL)

図 11.4.0.1.1.1.1 褐藻中(ヒジキ・ワカメ)全β放射能濃度(全測定値)

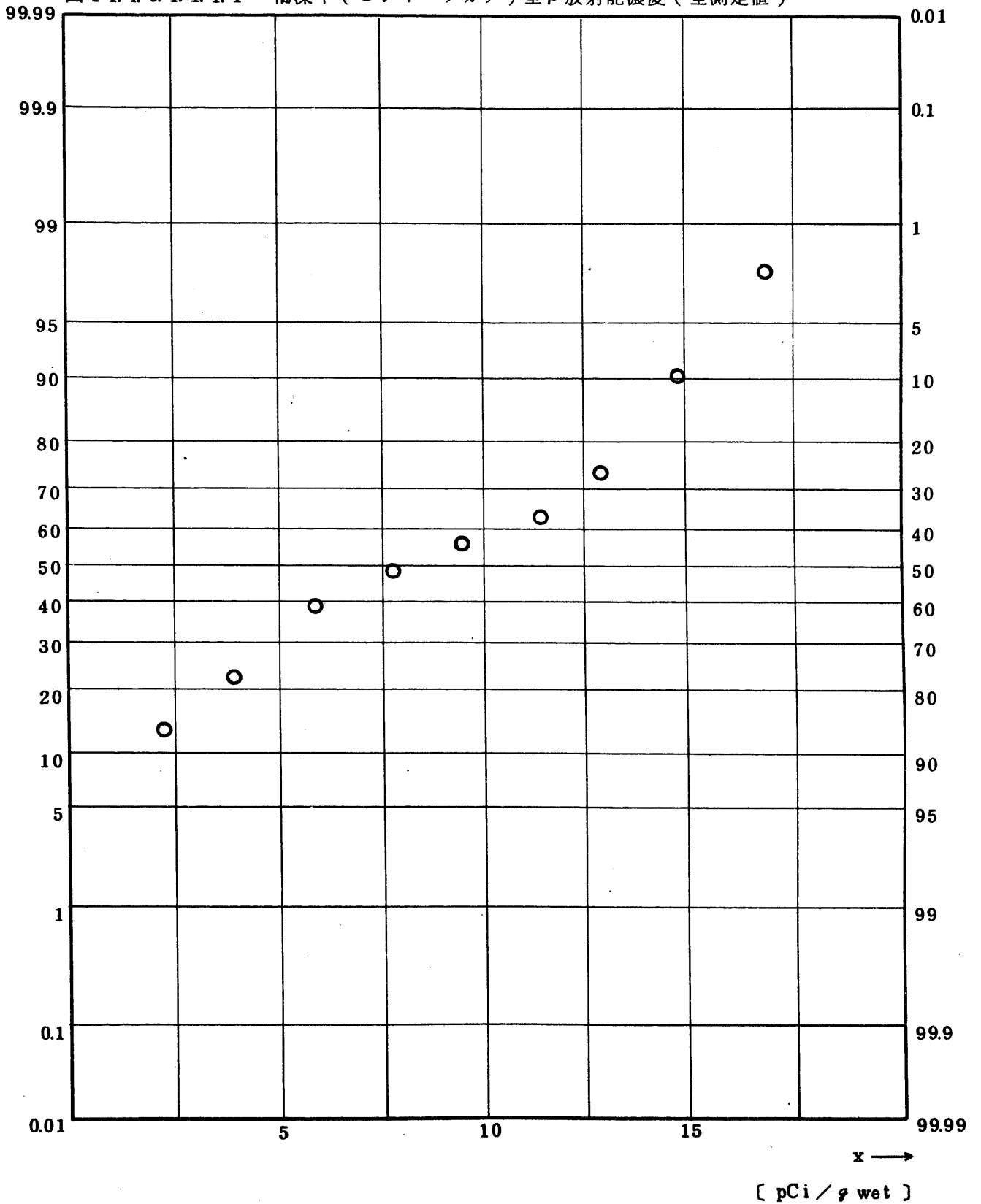


Fig. 11.4.0.1.1.2 ⁹⁰Sr Concentration in Brown Algae
(Hiziki and Wakame) (ALL)

図 11.4.0.1.1.2 褐藻中(ヒジキ・ワカメ) ⁹⁰Sr 放射能濃度(全測定値)

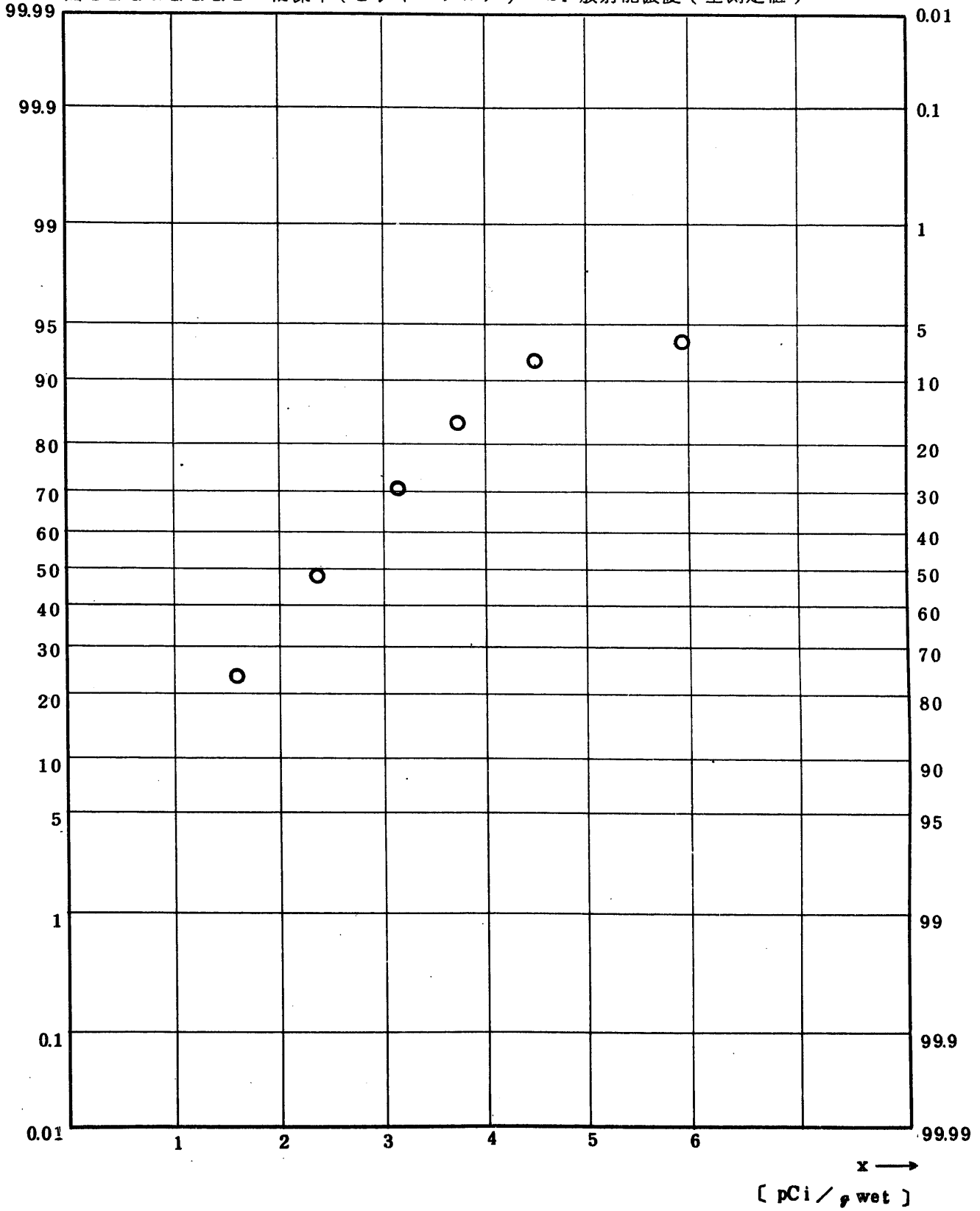
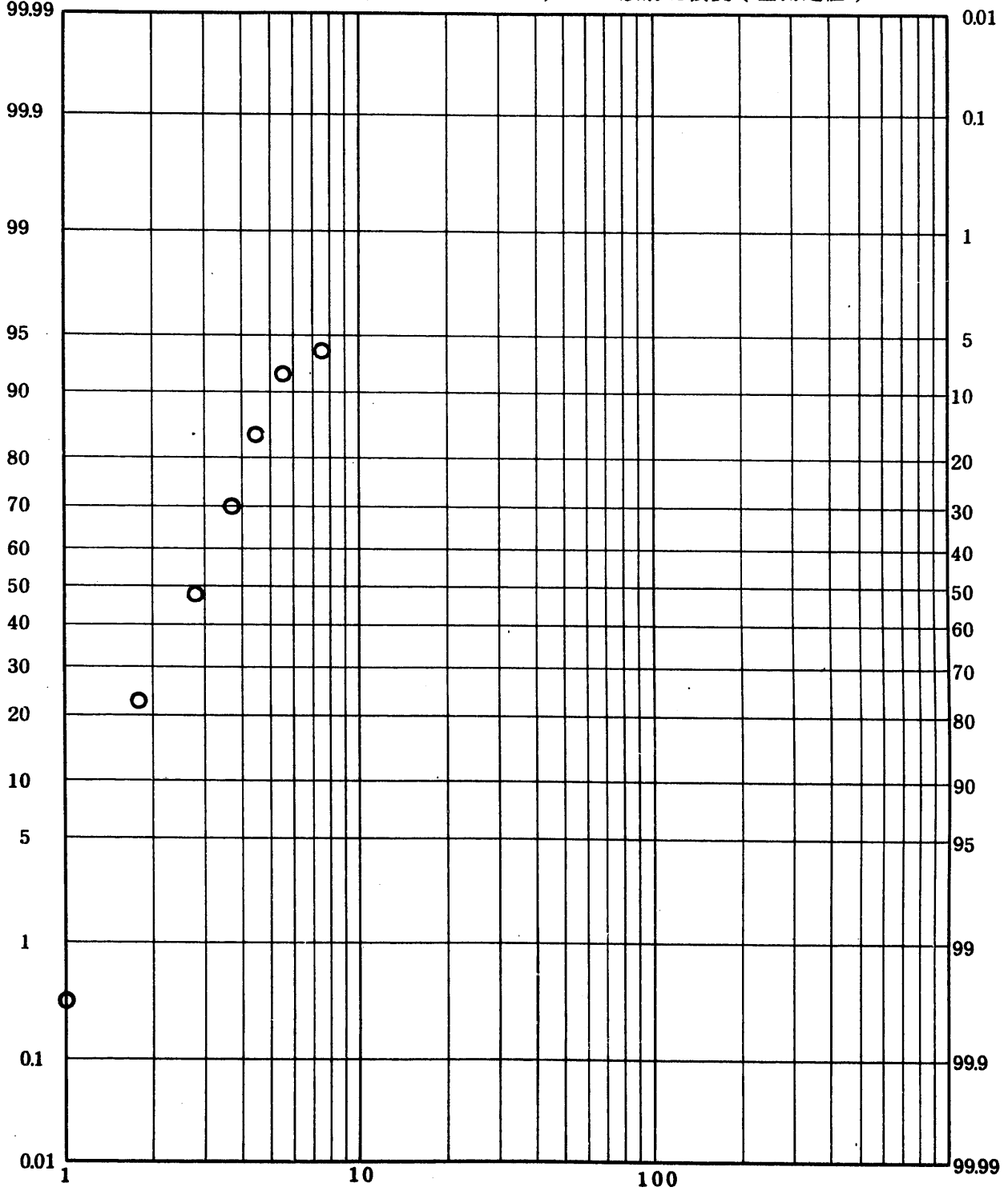


Fig. 11.4.0.1.2.1.2 ⁹⁰Sr Concentration in Brown Algae(Hiziki and Wakame)
(ALL)

図 11.4.0.1.2.1.2 褐藻中(ヒジキ・ワカメ)⁹⁰Sr 放射能濃度(全測定値)



[pCi / Kg wet]

Fig. 11.4.0.1.1.3 ⁹⁵Zr Concentration in Brown Algae
(Hiziki and Wakame) (ALL)

図 11.4.0.1.1.3 褐藻中(ヒジキ・ワカメ) ⁹⁵Zr 放射能濃度(全測定値)

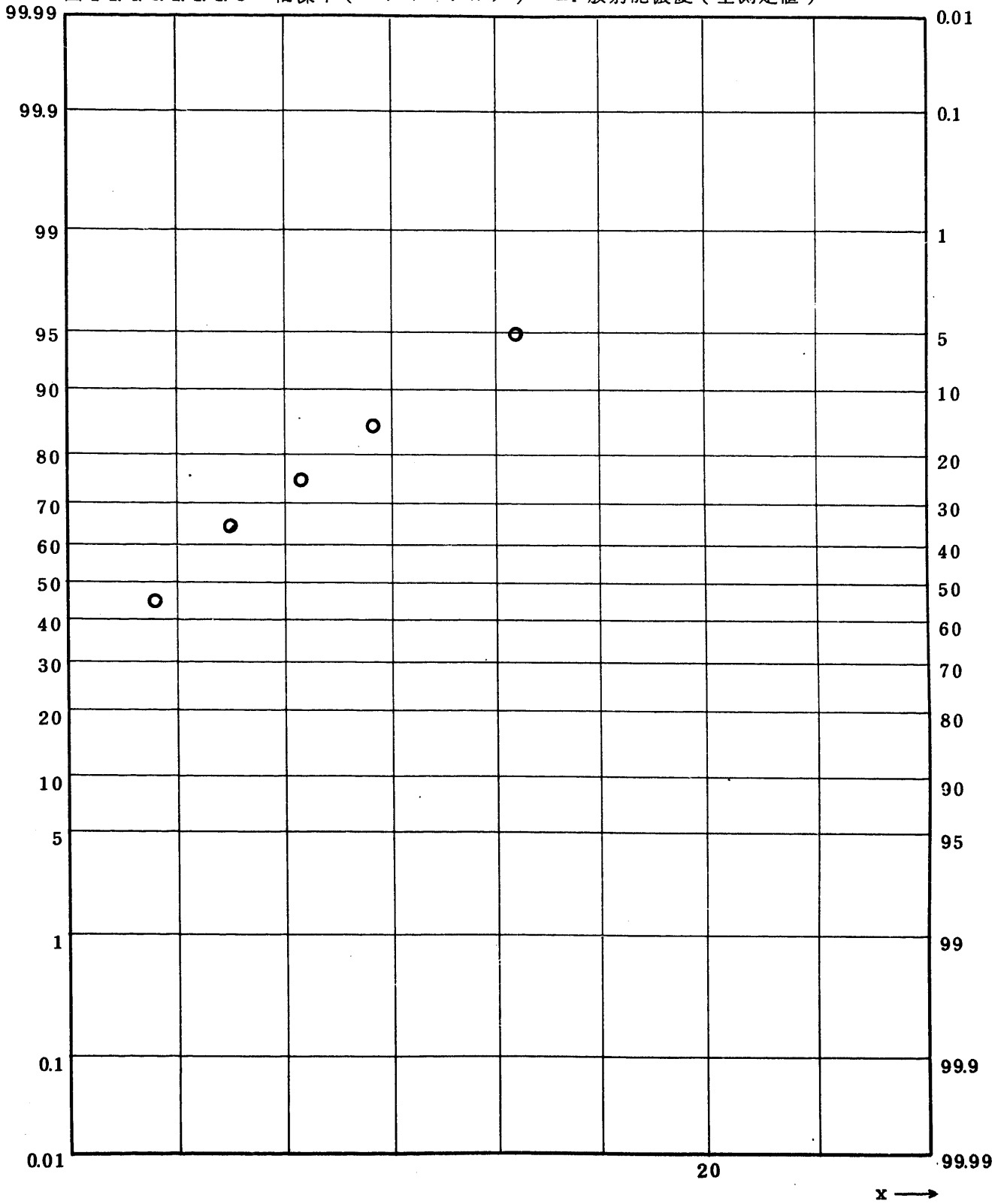


Fig. 11.4.0.1.1.4 ⁹⁵Nb Concentration in Brown Algae
(Hiziki and Wakame)(ALL)

図 11.4.0.1.1.4 褐藻中(ヒジキ・ワカメ)⁹⁵Nb 放射能濃度(全測定値)

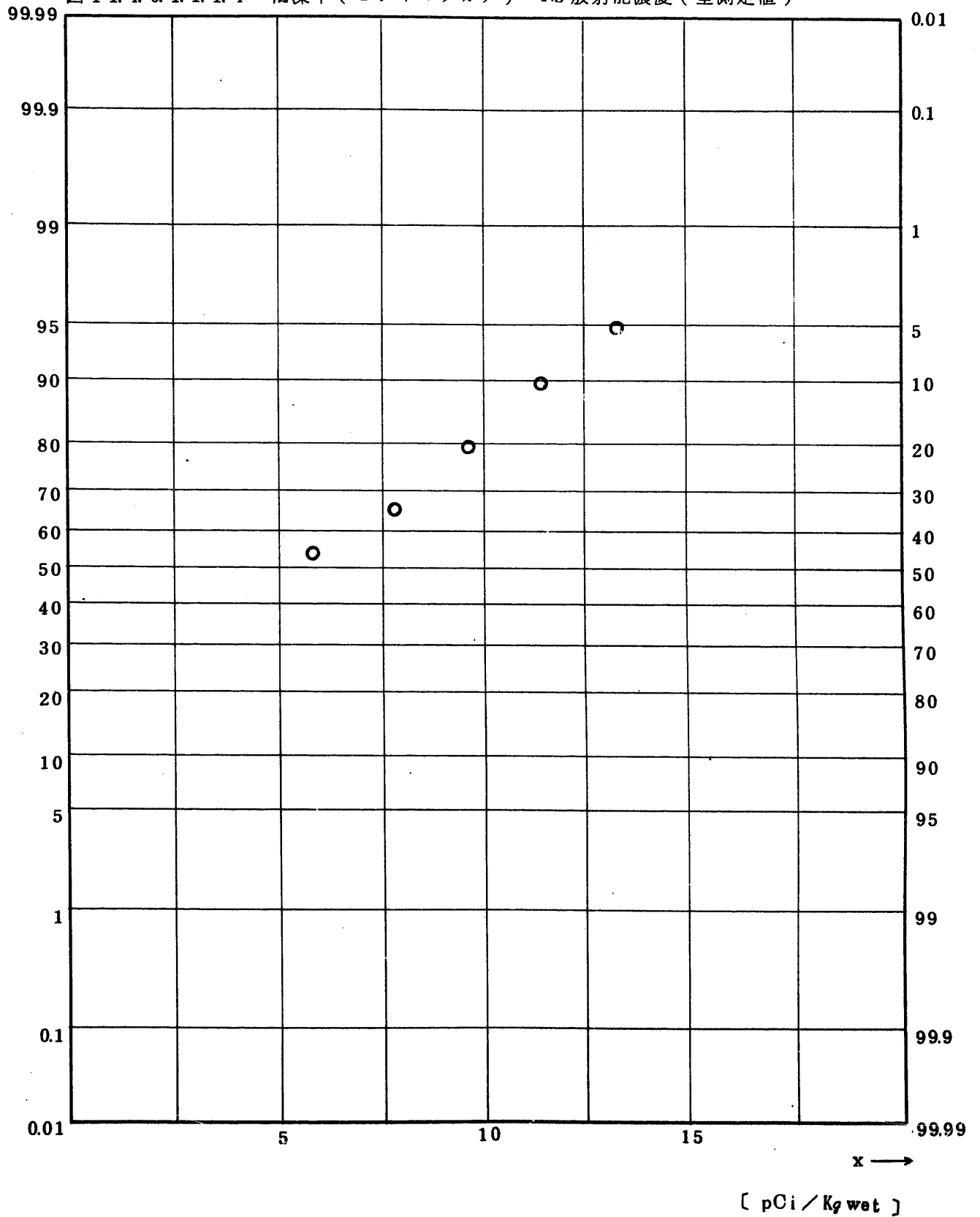


Fig. 11.4.0.1.1.1.5 $^{106}\text{Ru}/^{106}\text{Rh}$ Concentration in Brown Algae (Hiziki and Wakame)
(ALL)

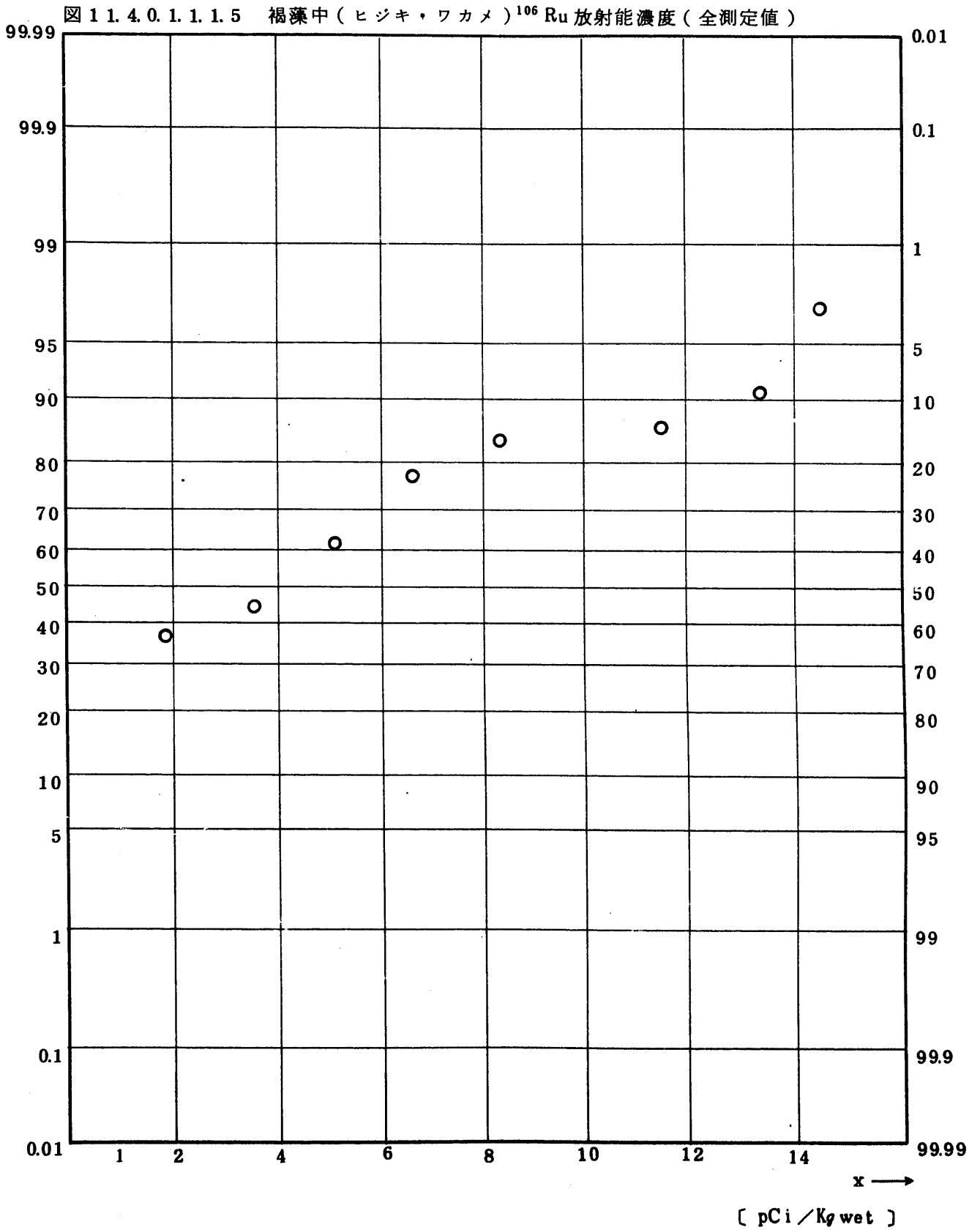


Fig. 1 1.4.0.1.2.1.5 $^{106}\text{Ru}/^{106}\text{Rh}$ Concentration in Brown Algae
(Hiziki and Wakame) (ALL)

図 1 1.4.0.1.2.1.5 褐藻中 (ヒジキ・ワカメ) ^{106}Ru 放射能濃度 (全測定値)

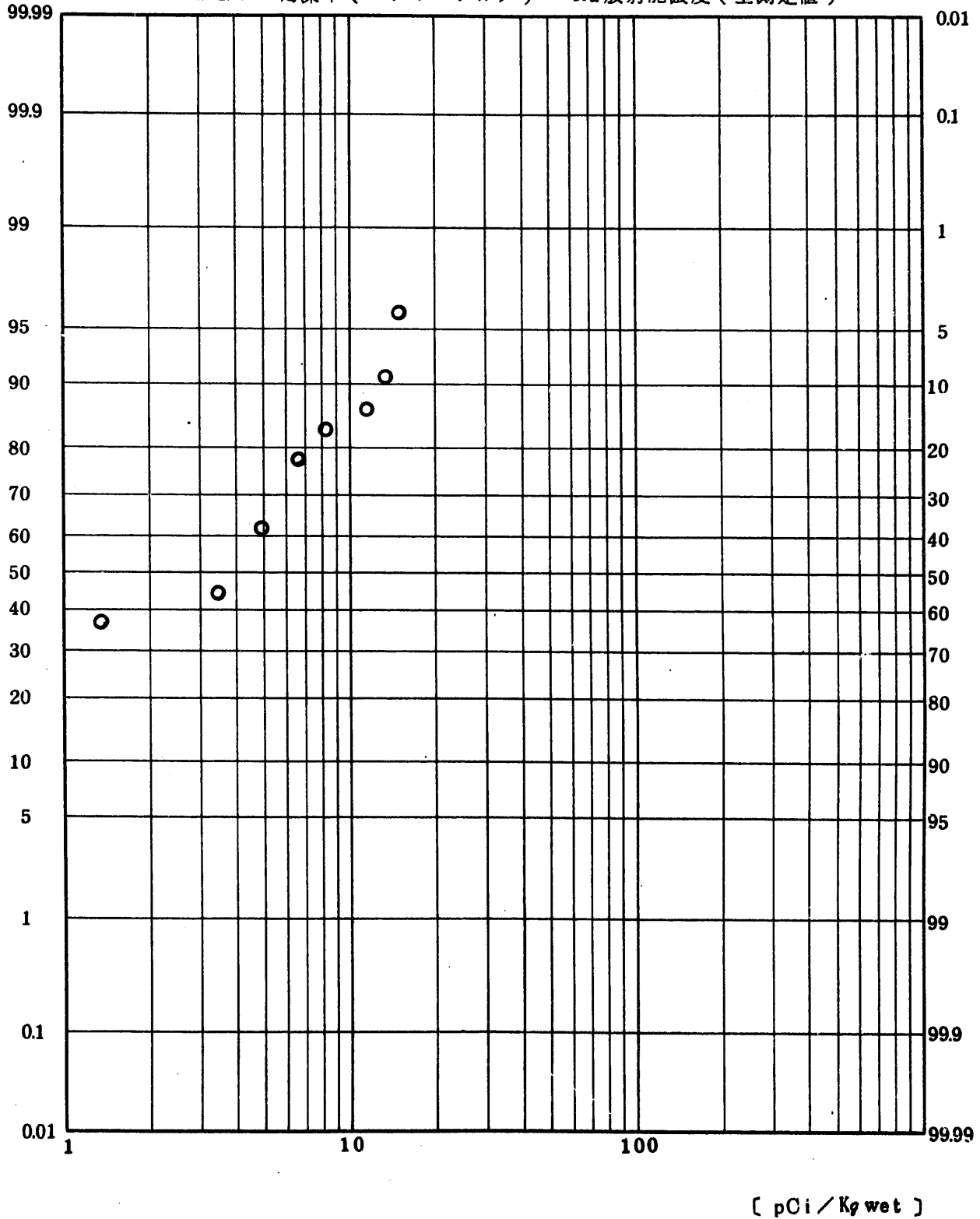


Fig. 1.1.4.0.1.1.6 ¹³⁷Cs Concentration in Brown Algae (Hiziki and Wakame)
(ALL)

図 1.1.4.0.1.1.6 褐藻中(ヒジキ・ワカメ) ¹³⁷Cs 放射能濃度(全測定値)

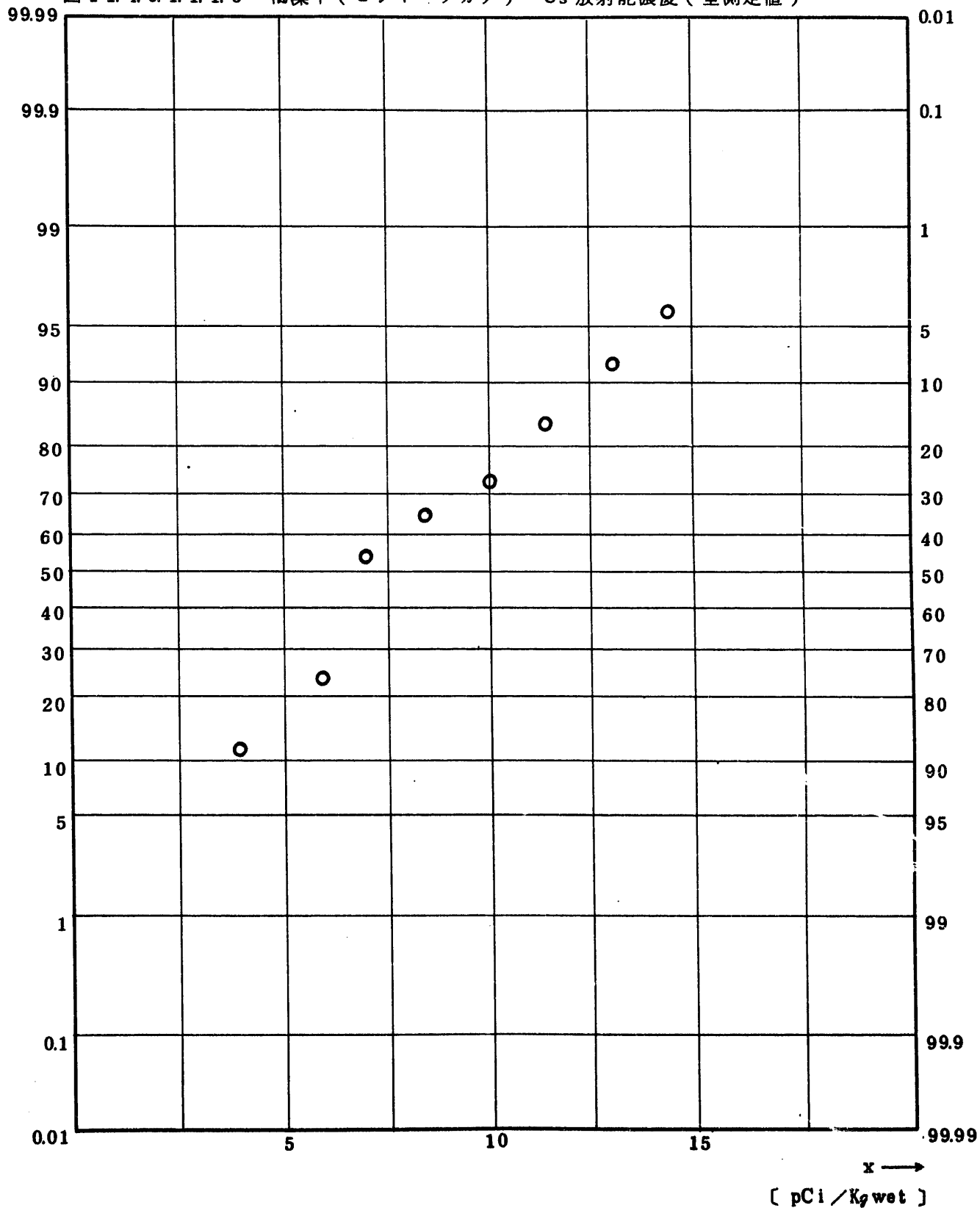


Fig. 11.4.0.1.1.7 $^{144}\text{Ce}/^{144}\text{Pr}$ Concentration in Brown Algae
(Hiziki and Wakame) (ALL)

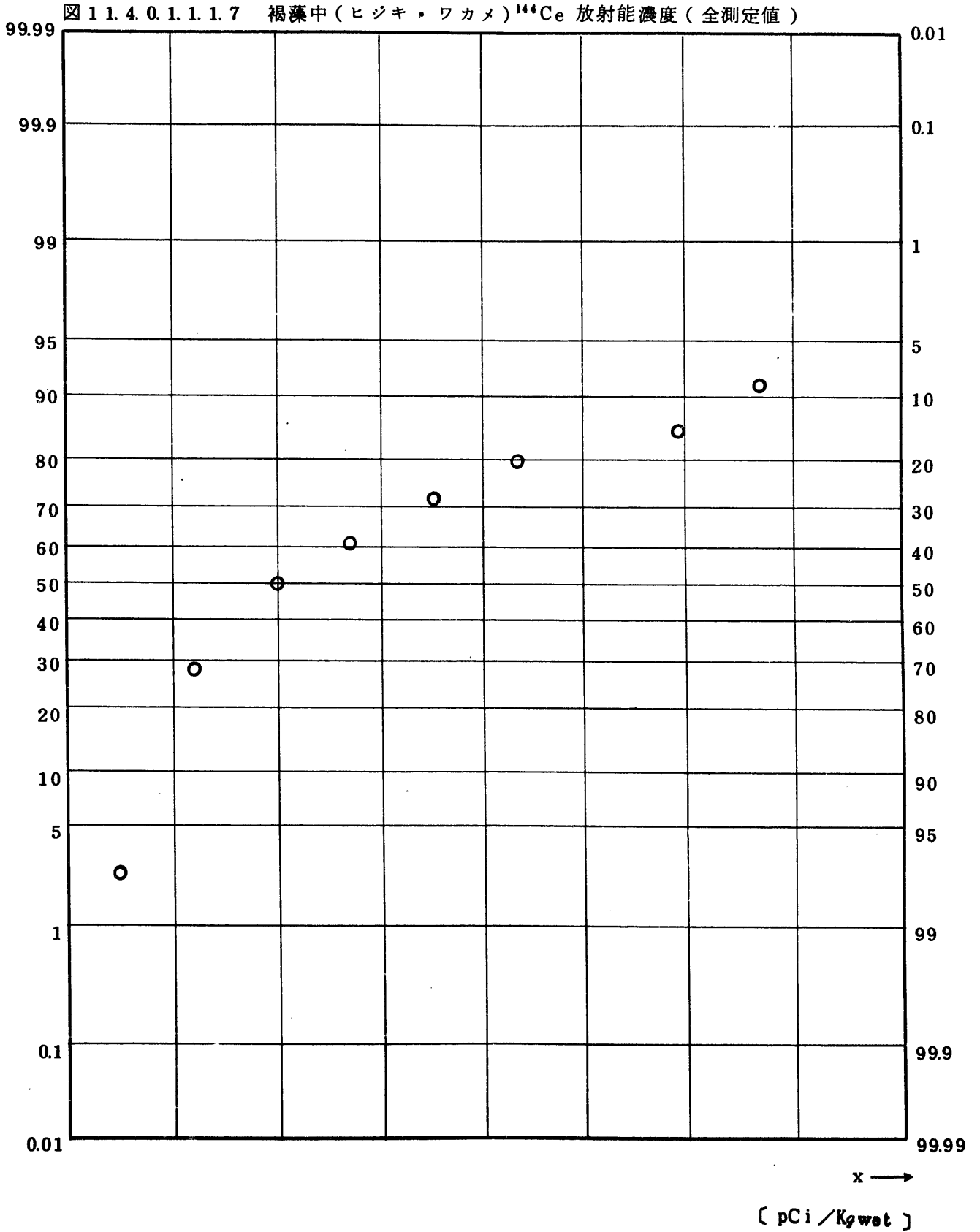


Fig. 11.4.0.1.2.1.7 $^{144}\text{Ce}/^{144}\text{Pr}$ Concentration in Brown Algae (Hiziki and Wakame) (ALL)

図 11.4.0.1.2.1.7 褐藻中 (ヒジキ・ワカメ) ^{144}Ce 放射能濃度 (ALL)

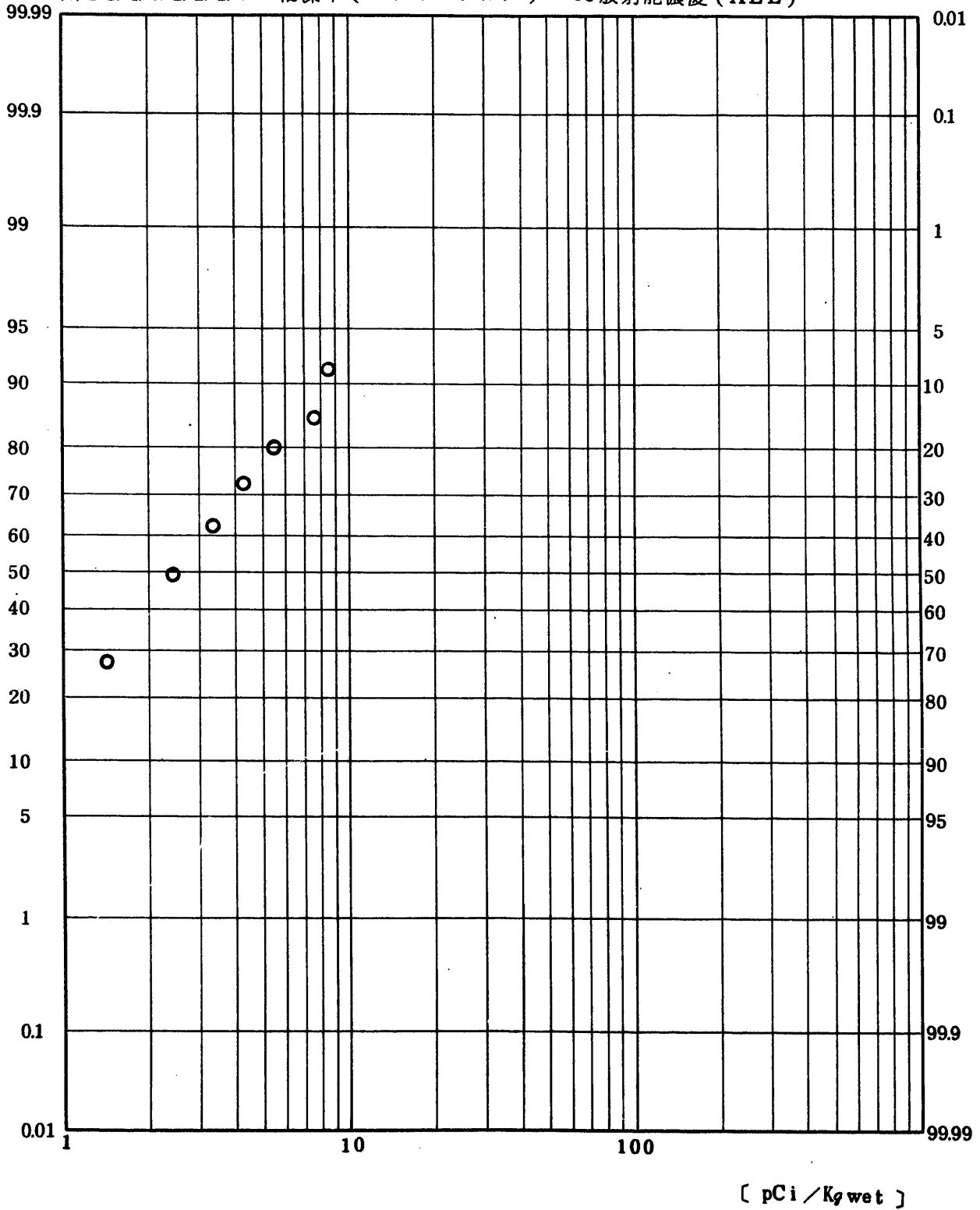


Fig. 11.4.0.1.1.8 $^{239}\text{Pu} + ^{240}\text{Pu}$ Concentration in Brown Algae
(Hiziki and Wakame)(ALL)

図 11.4.0.1.1.8 褐藻中(ヒジキ・ワカメ) $^{239}, ^{240}\text{Pu}$ 放射能濃度(全測定値)

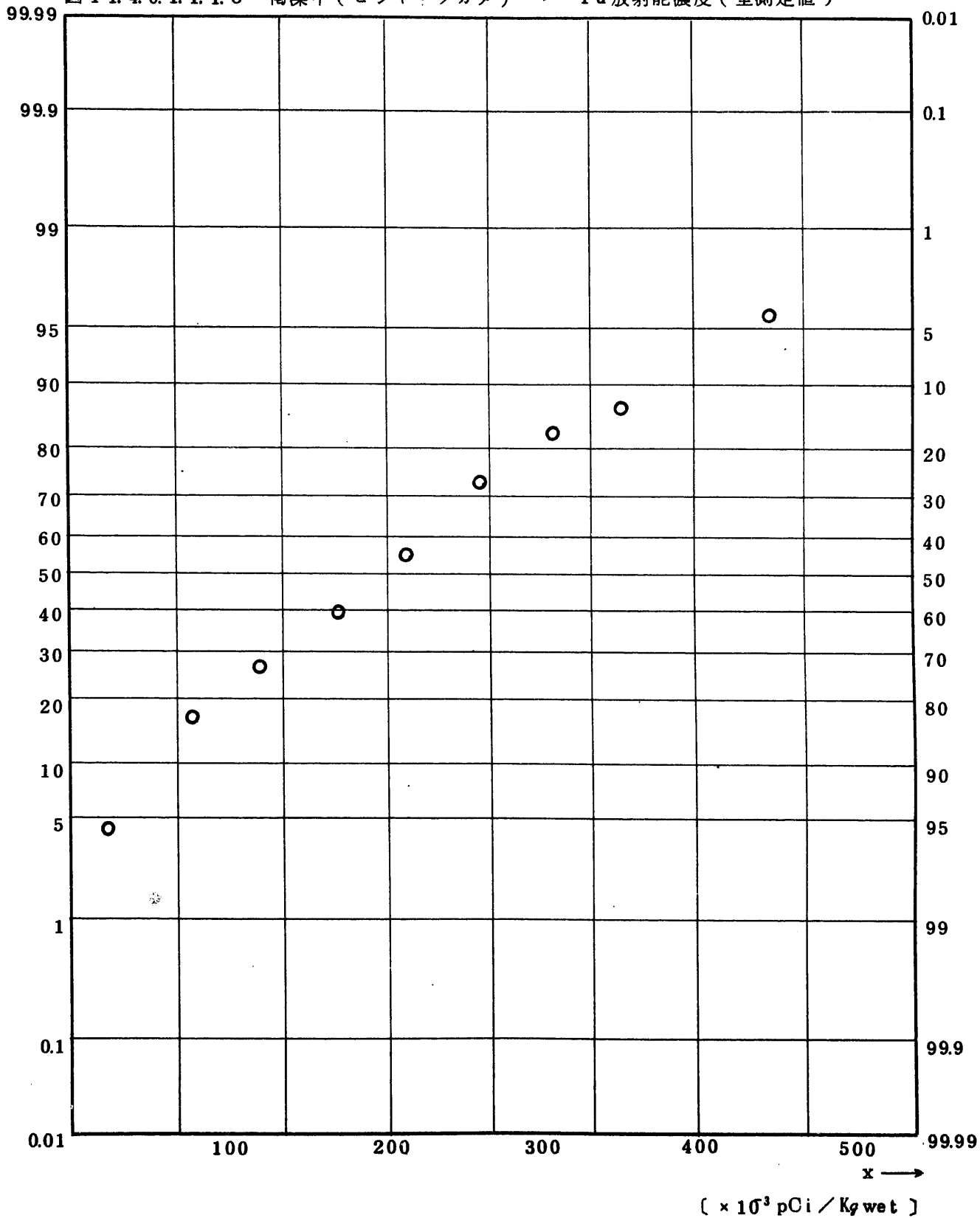


Fig. 11.4.1.1.1.1 Gross BETA Concentration in Brown Algae (Wakame)(ALL)

(1971.10 ~ 1976.4)

図 11.4.1.1.1.1 褐藻 (ワカメ) 中全β放射能濃度 (全測定値)

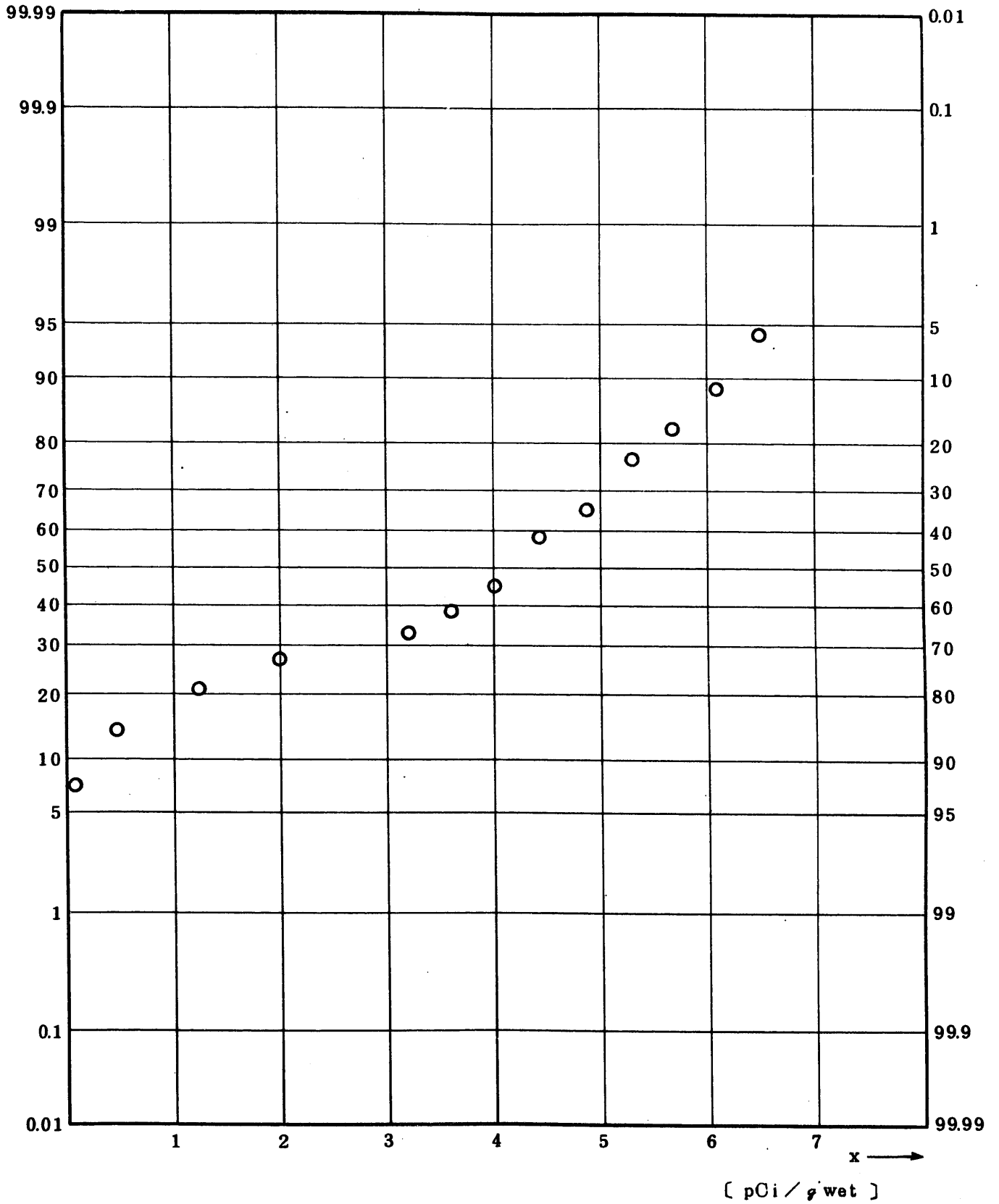


Fig. 1.1.4.1.1.1.2 ^{90}Sr Concentration in Brown Algae (Wakame) (ALL)

(1971.10 ~ 1976.4)

図 1.1.4.1.1.1.2 褐藻 (ワカメ) 中 ^{90}Sr 放射能濃度 (全測定値)

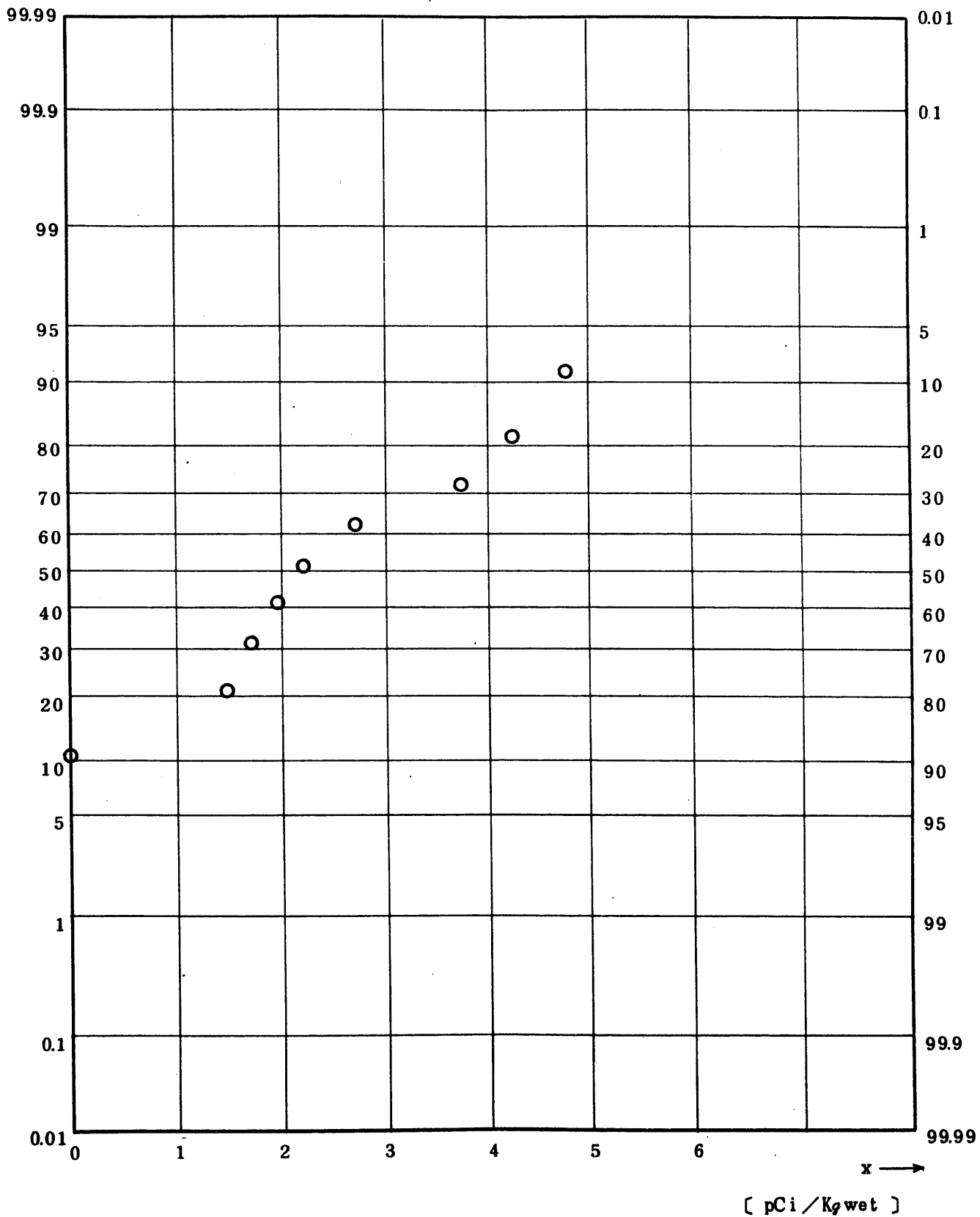


Fig. 1.1.4.1.1.1.5 $^{106}\text{Ru}/^{106}\text{Rh}$ Concentration in Brown Algae (Wakame)(ALL)
(1971.1.10 ~ 1976.4)

図 1.1.4.1.1.1.5 褐藻（ワカメ）中 ^{106}Ru 放射能濃度（全測定値）

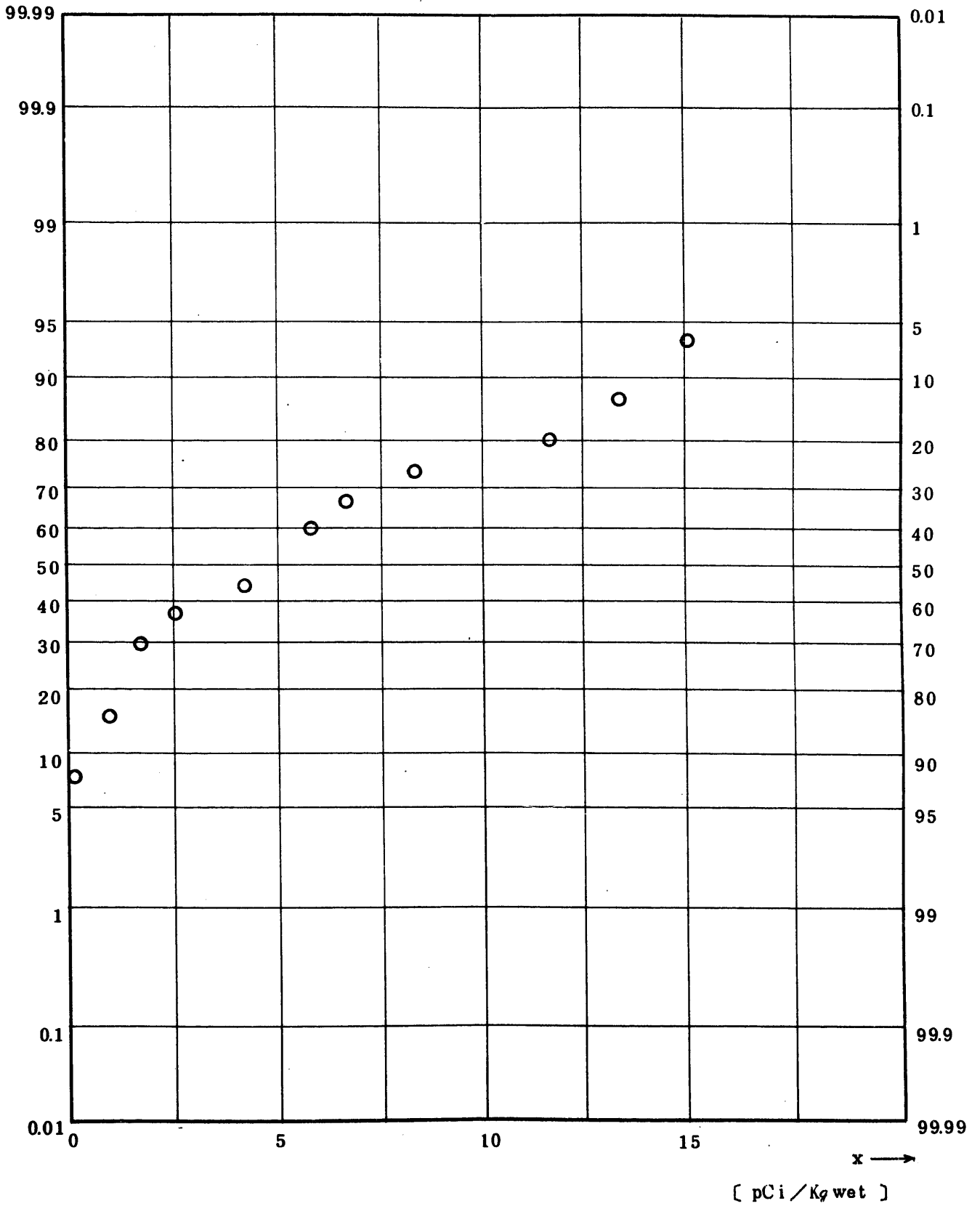


Fig. 11.4.1.1.1.6 ^{137}Cs Concentration in Brown Algae (Wakame)(ALL)
 (1 9 7 1 . 1 0 ~ 1 9 7 6 . 4)

図 1 1 . 4 . 1 . 1 . 1 . 6 褐藻 (ワカメ) 中 ^{137}Cs 放射能濃度 (全測定値)

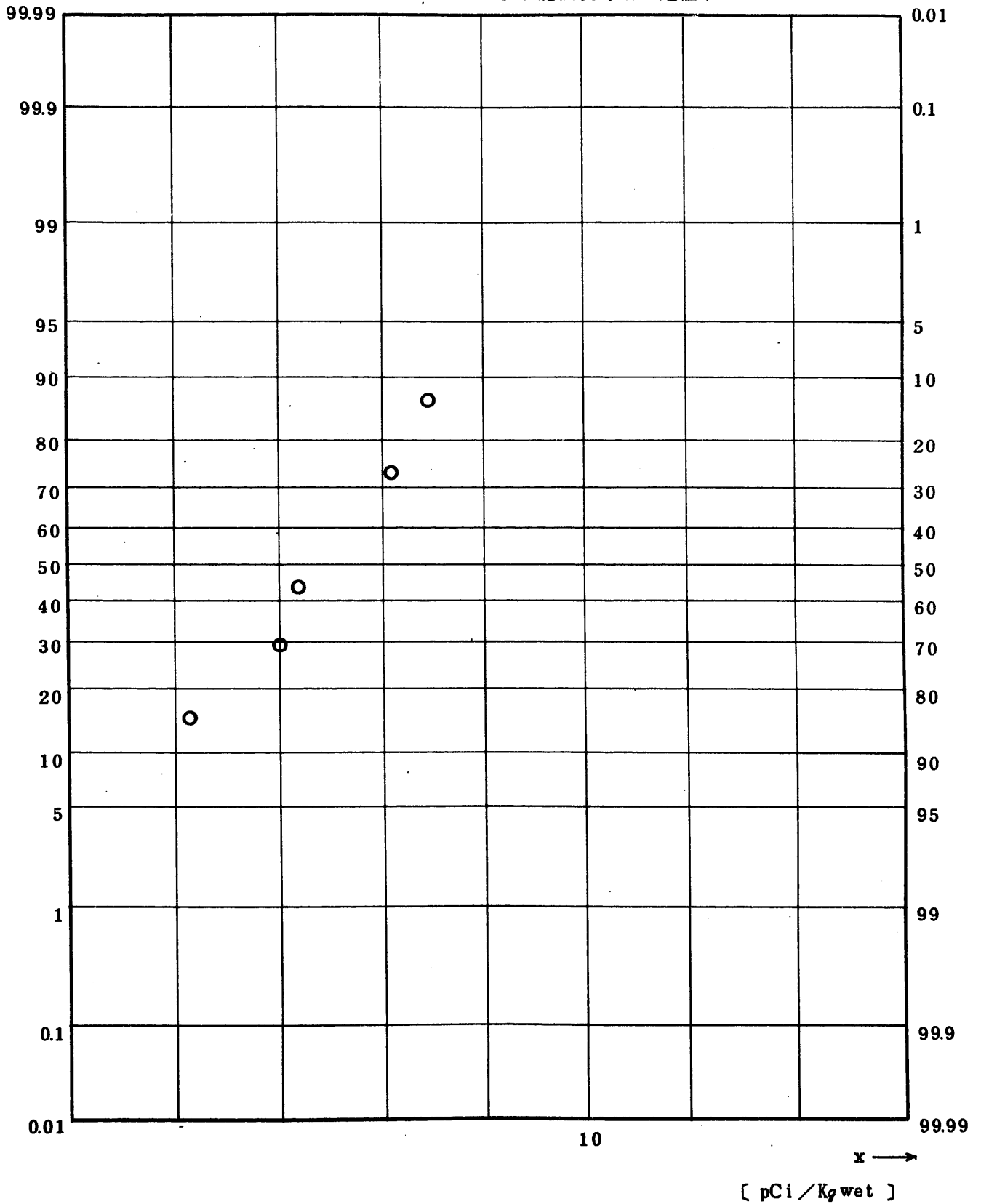


Fig. 11.4.1.1.1.7 $^{144}\text{Ce}/^{144}\text{Pr}$ Concentration in Brown Algae (Wakame) (ALL)
 (1971.10 ~ 1976.4)

図 11.4.1.1.1.7 褐藻（ワカメ）中 ^{144}Ce 放射能濃度（全測定値）

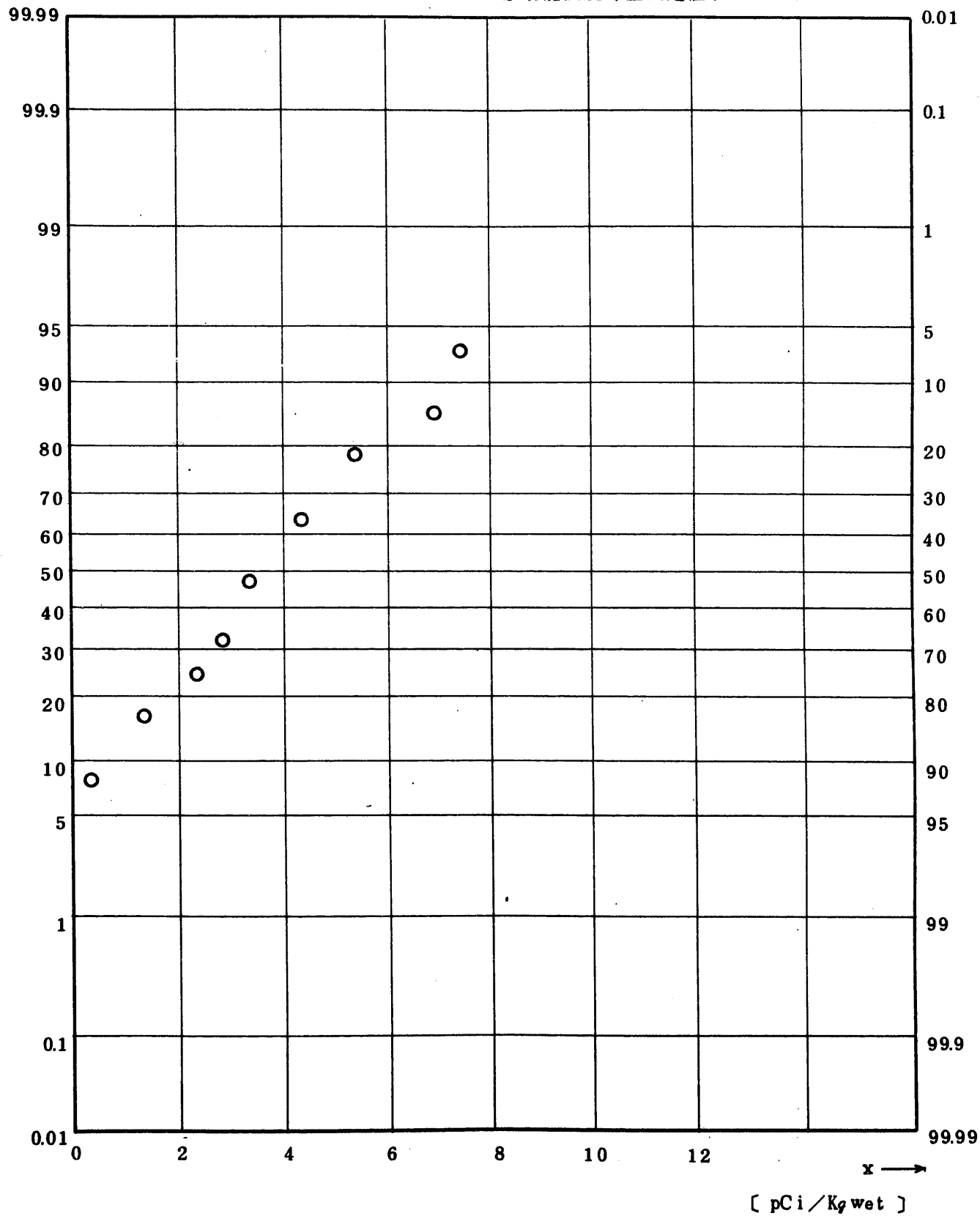


Fig. 11.4.1.1.1.8 $^{239}\text{Pu} + ^{240}\text{Pu}$ Concentration in Brown Algae
 (Wakame) (ALL) (1971.10 ~ 1976.4)

図11.4.1.1.1.1.8 褐藻(ワカメ)中 $^{239,240}\text{Pu}$ 放射能濃度(全測定値)

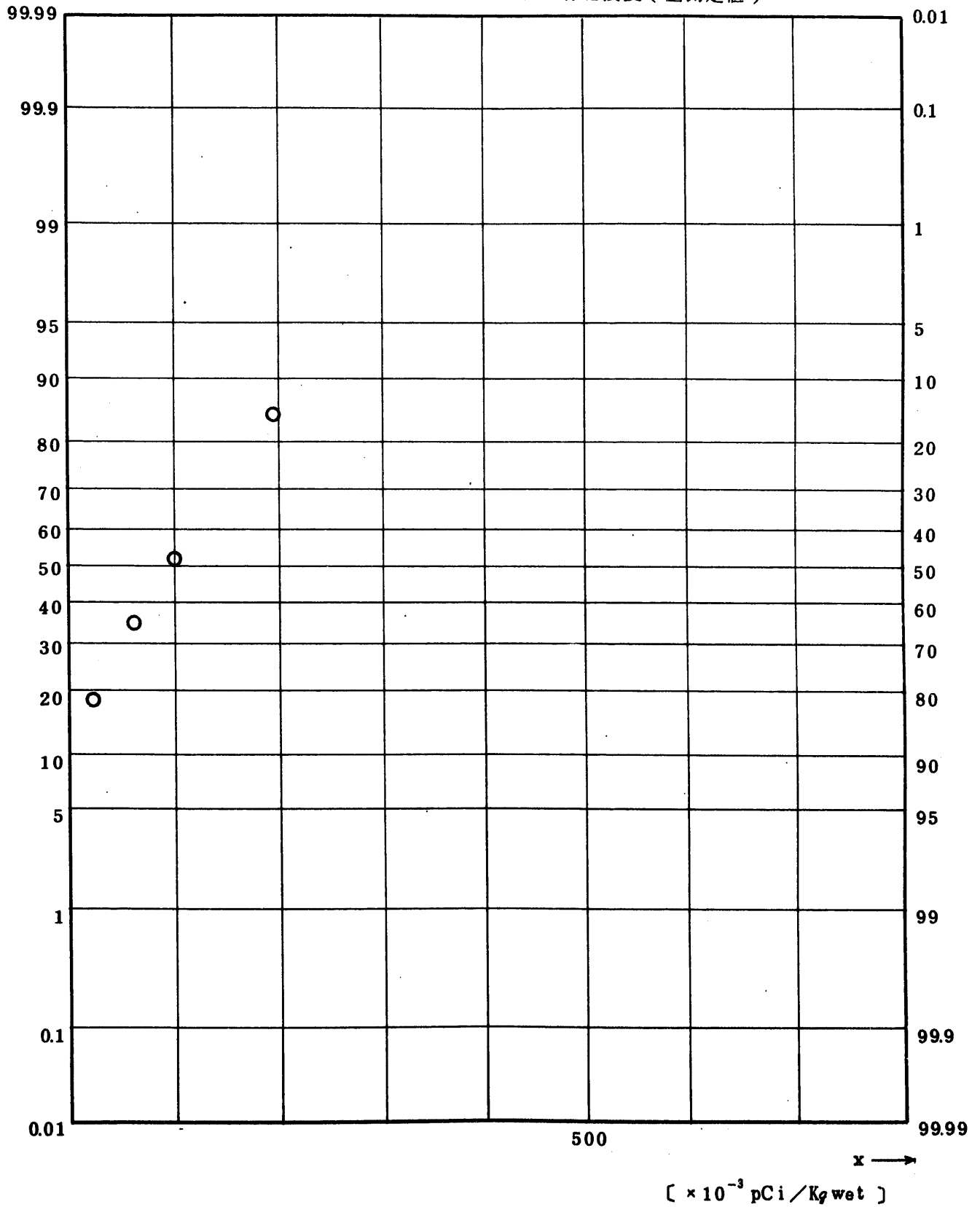


Fig. 11.4.2.1.1.1 Gross BETA Concentration in Brown Algae (Kazime, Arame and Wakame) (ALL)

(1971.10 ~ 1977.3)

図 1 1. 4. 2. 1. 1. 1 褐藻 (カジメ・アラメ・ワカメ) 中全β放射能濃度 (全測定値)

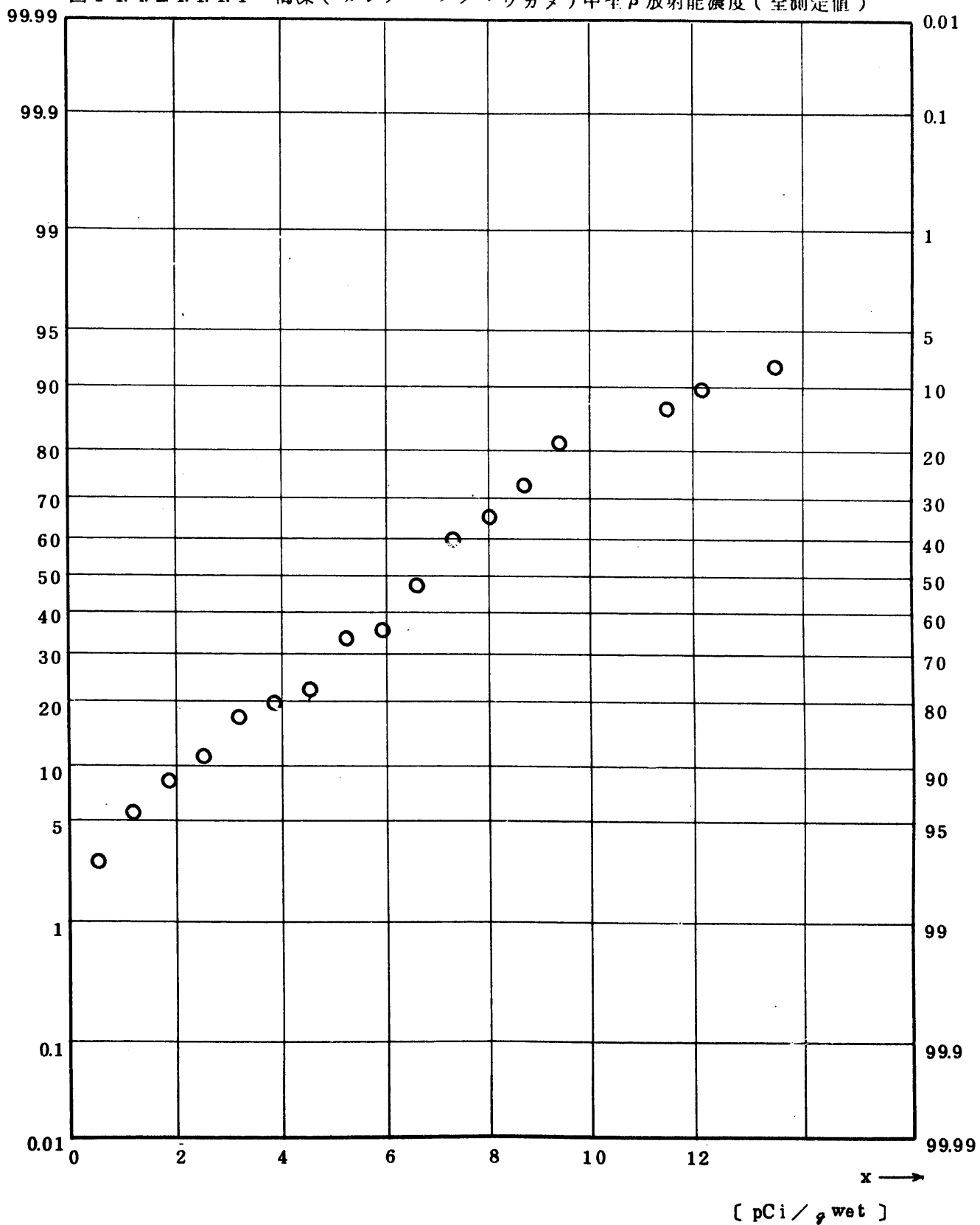


Fig. 1.1.4.2.1.1.2 ^{90}Sr Concentration in Brown Algae (Kazime, Arame and Wakame) (ALL) (1971.10~1977.3)

図 1.1.4.2.1.1.1.2 褐藻 (カジメ・アラメ・ワカメ) 中 ^{90}Sr 放射能濃度 (全測定値)

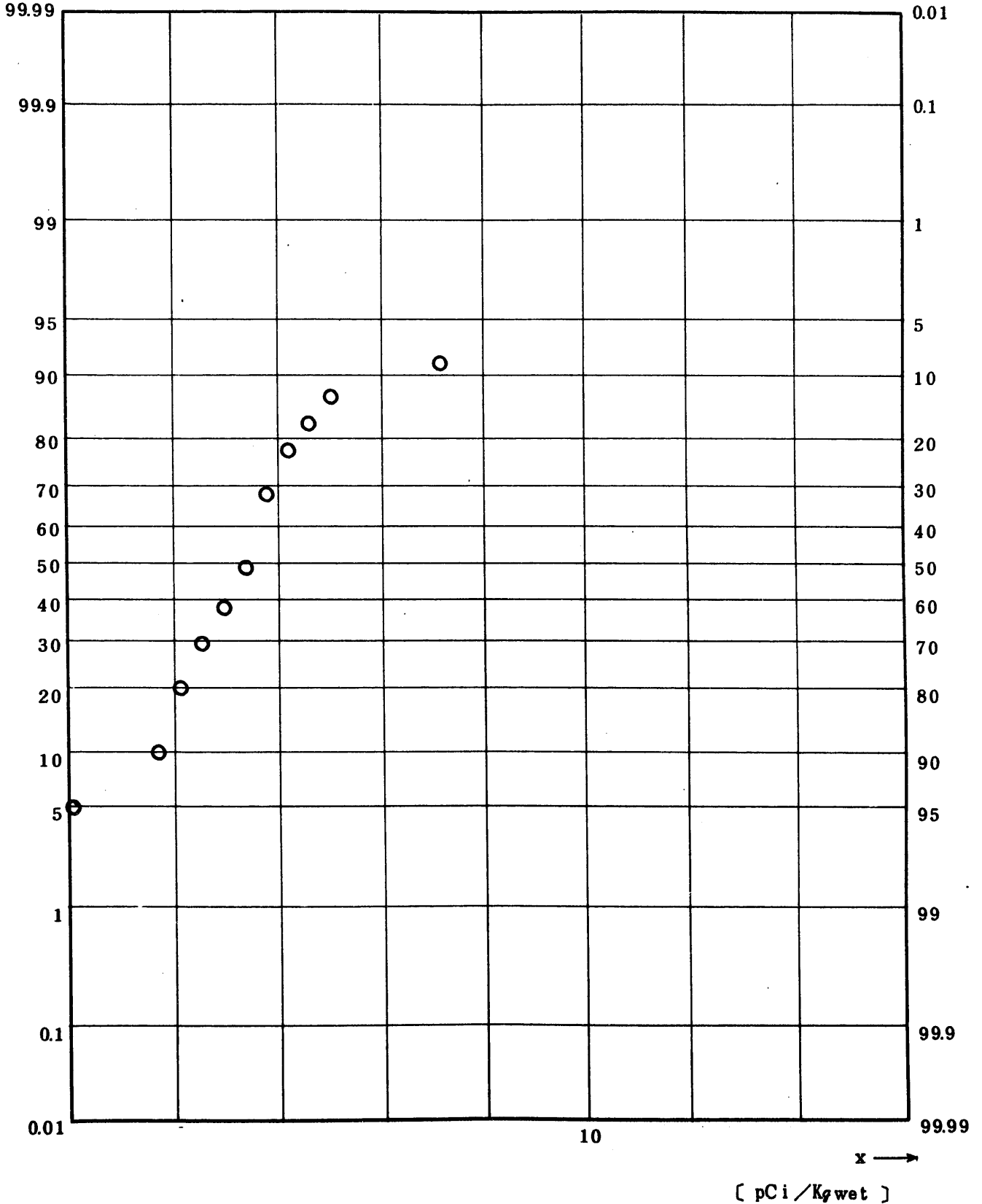


Fig. 11.4.2.1.1.1.3 ⁹⁵Zr Concentration in Brown Algae(Kazime, Arame and Wakame)
(ALL) (1971.10~1977.3)

図 1 1. 4. 2. 1. 1. 1. 3 褐藻 (カジメ・アラメ・ワカメ) 中 ⁹⁵Zr 放射能濃度 (全測定値)

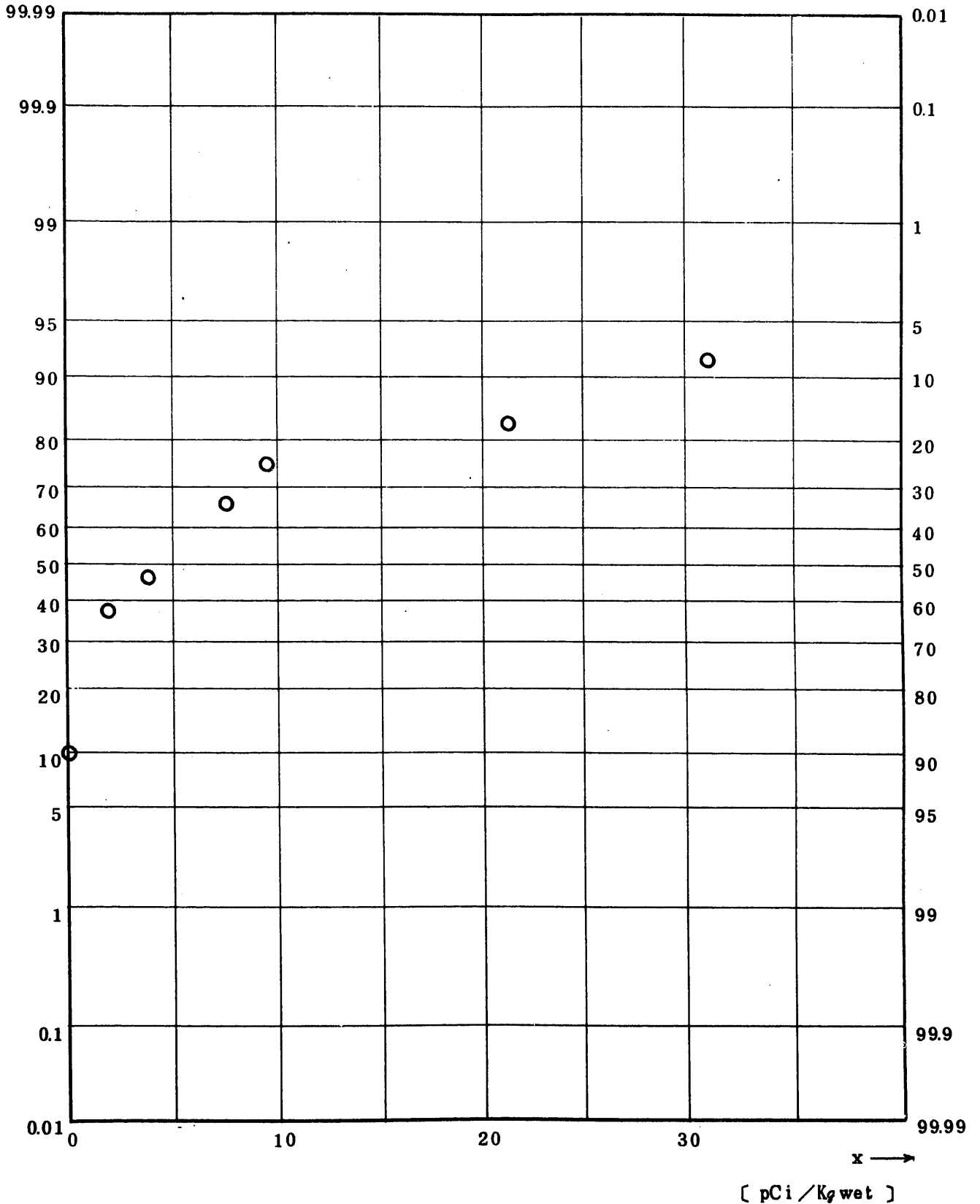


Fig. 1.1.4.2.1.1.4 ⁹⁵Nb Concentration in Brown Algae(Kazime, Arame and Wakame)
 (1 9 7 1 . 1 0 ~ 1 9 7 7 . 3)

図 1.1.4.2.1.1.4 褐藻 (カジメ・アラメ・ワカメ) 中 ⁹⁵Nb 放射能濃度 (全測定値)

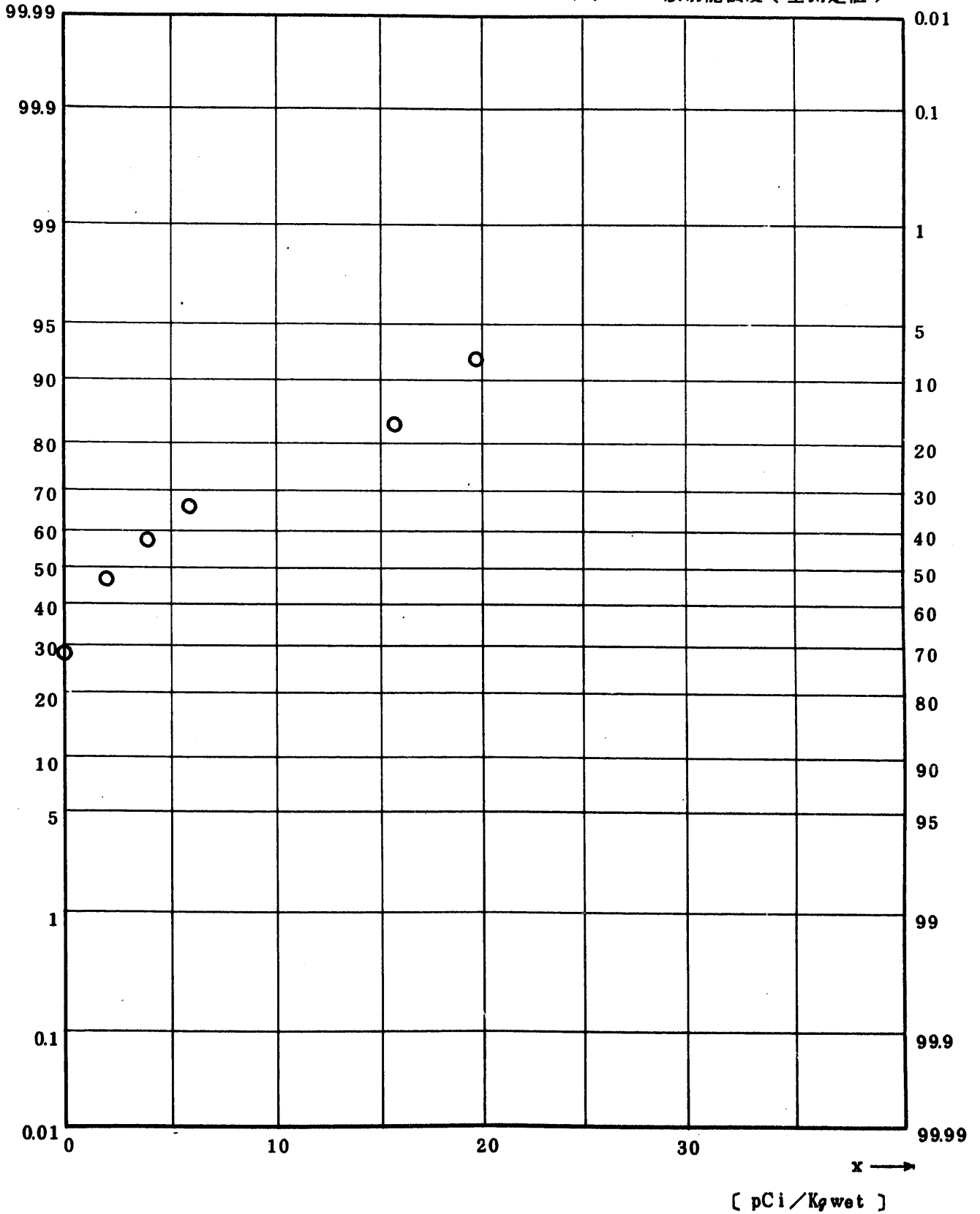


Fig. 1 1.4.2.1.1.15 $^{106}\text{Ru}/^{106}\text{Rh}$ Concentration in Brown Algae (Kazime, Arame and Wakame)(ALL)

(1971.10 ~ 1977.3)

図 1 1.4.2.1.1.1.5 褐藻 (カジメ・アラメ・ワカメ) 中 ^{106}Ru 放射能濃度 (全測定値)

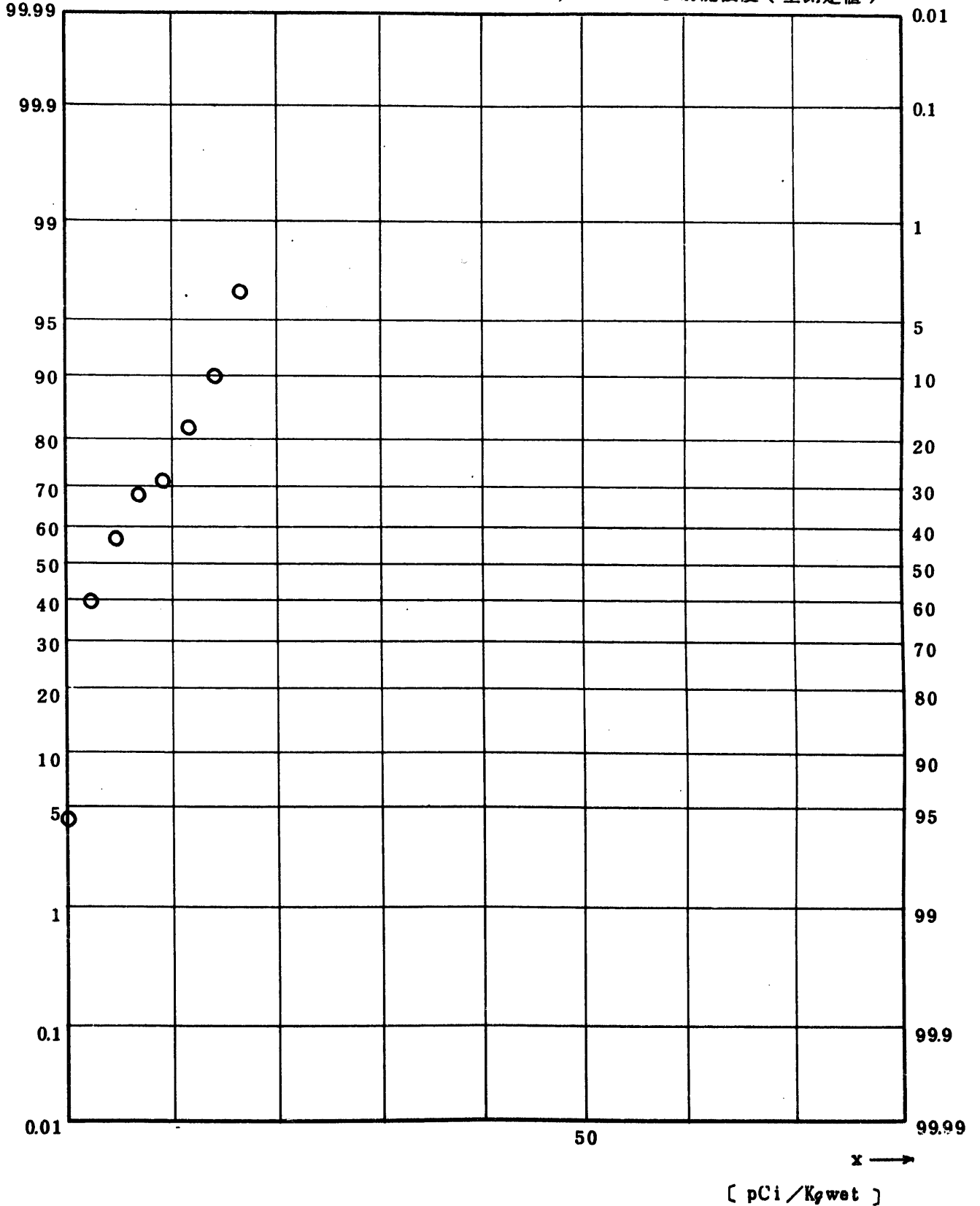


Fig. 11.4.2.1.1.6 ¹³⁷Cs Concentration in Brown Algae(Kazime, Arame and Wakame)
(ALL) (1971.10 ~ 1977.3)

図 11.4.2.1.1.6 褐藻 (カジメ・アラメ・ワカメ) 中 ¹³⁷Cs 放射能濃度 (全測定値)

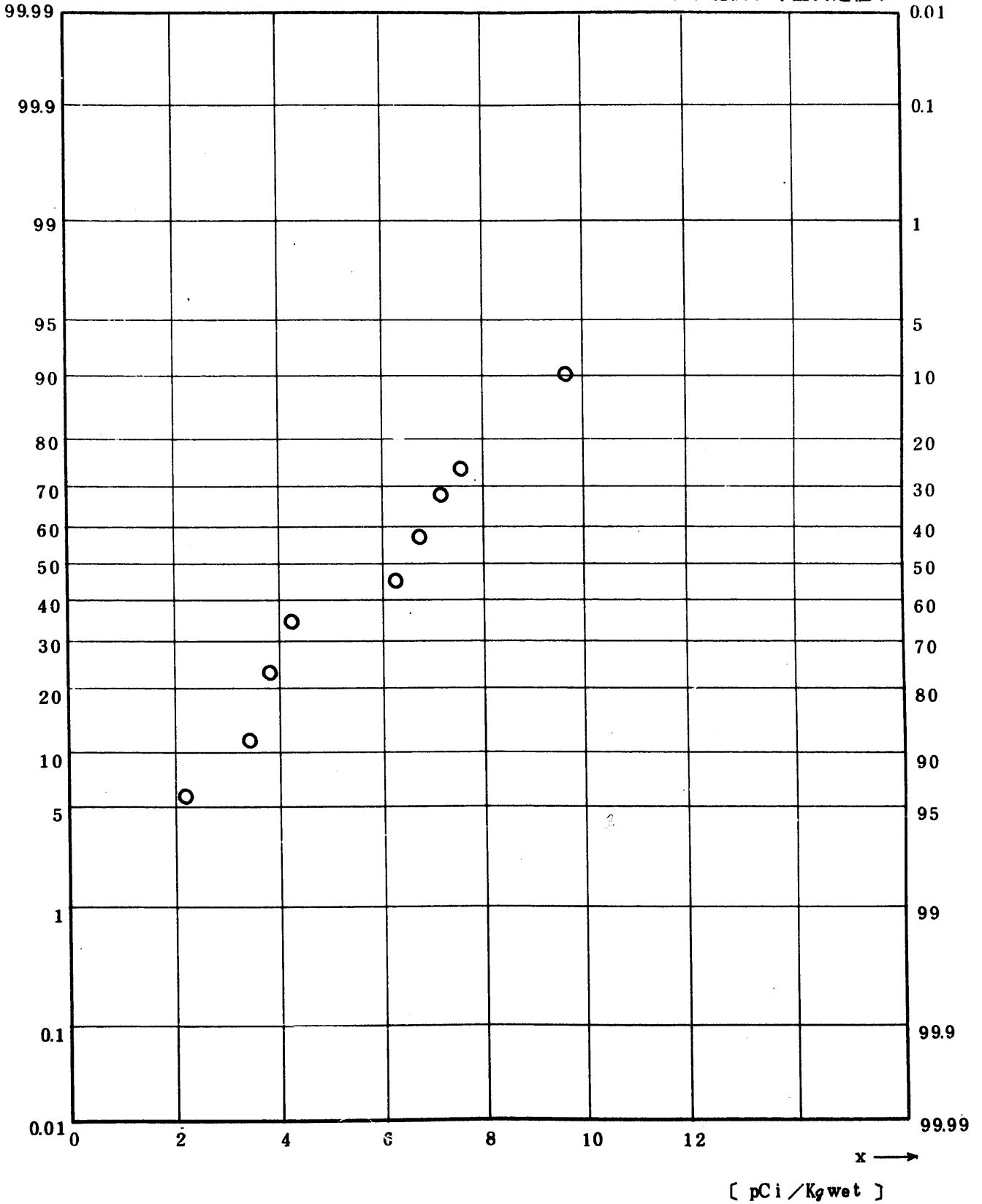


Fig. 11.4.2.1.1.17 $^{144}\text{Ce}/^{144}\text{Pr}$ Concentration in Brown Algae (Kazime, Arame and Wakame) (ALL) (1971.10~1977.3)

図 11.4.2.1.1.1.7 褐藻 (カジメ・アラメ・ワカメ) 中 ^{144}Ce 放射能濃度 (全測定値)

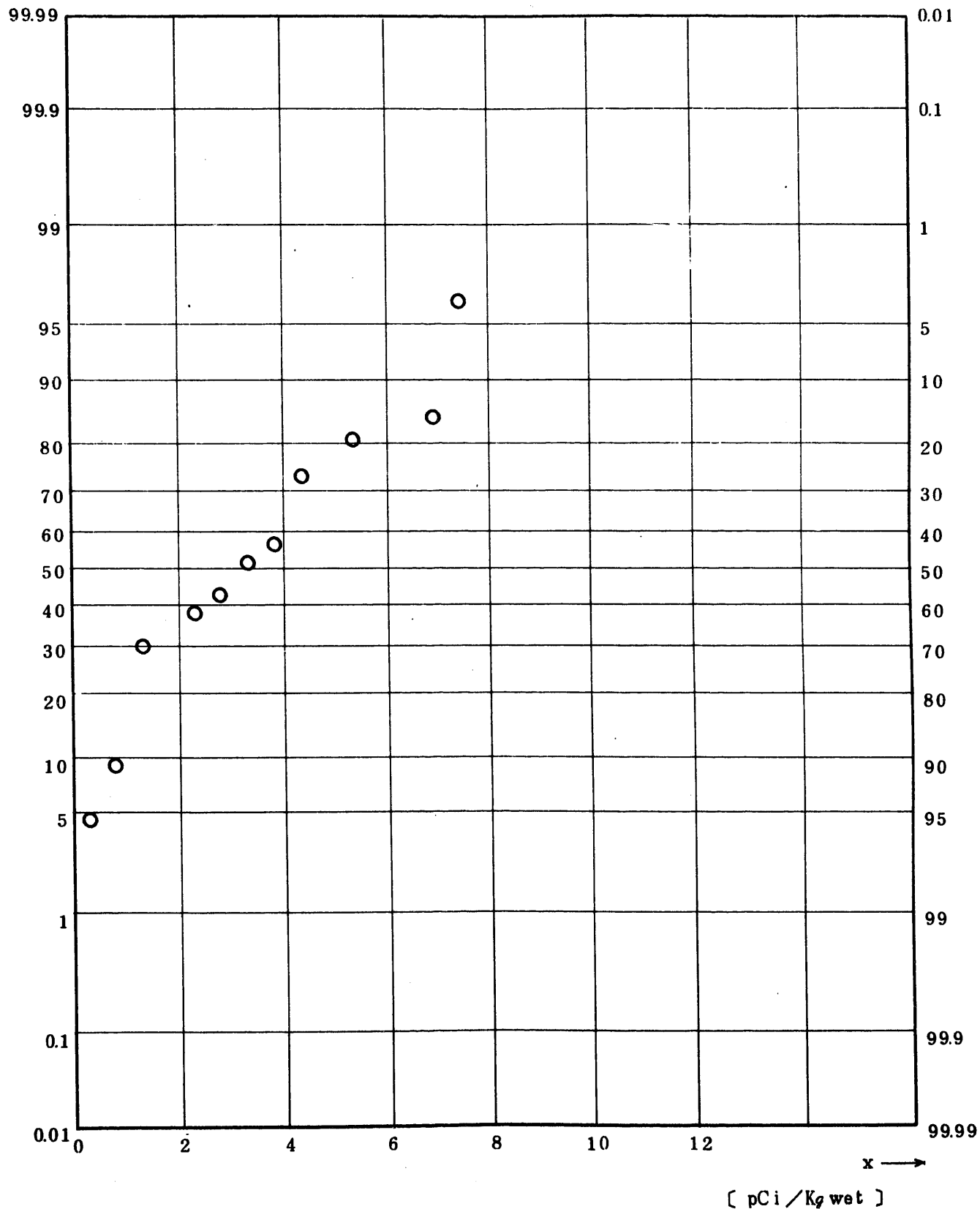
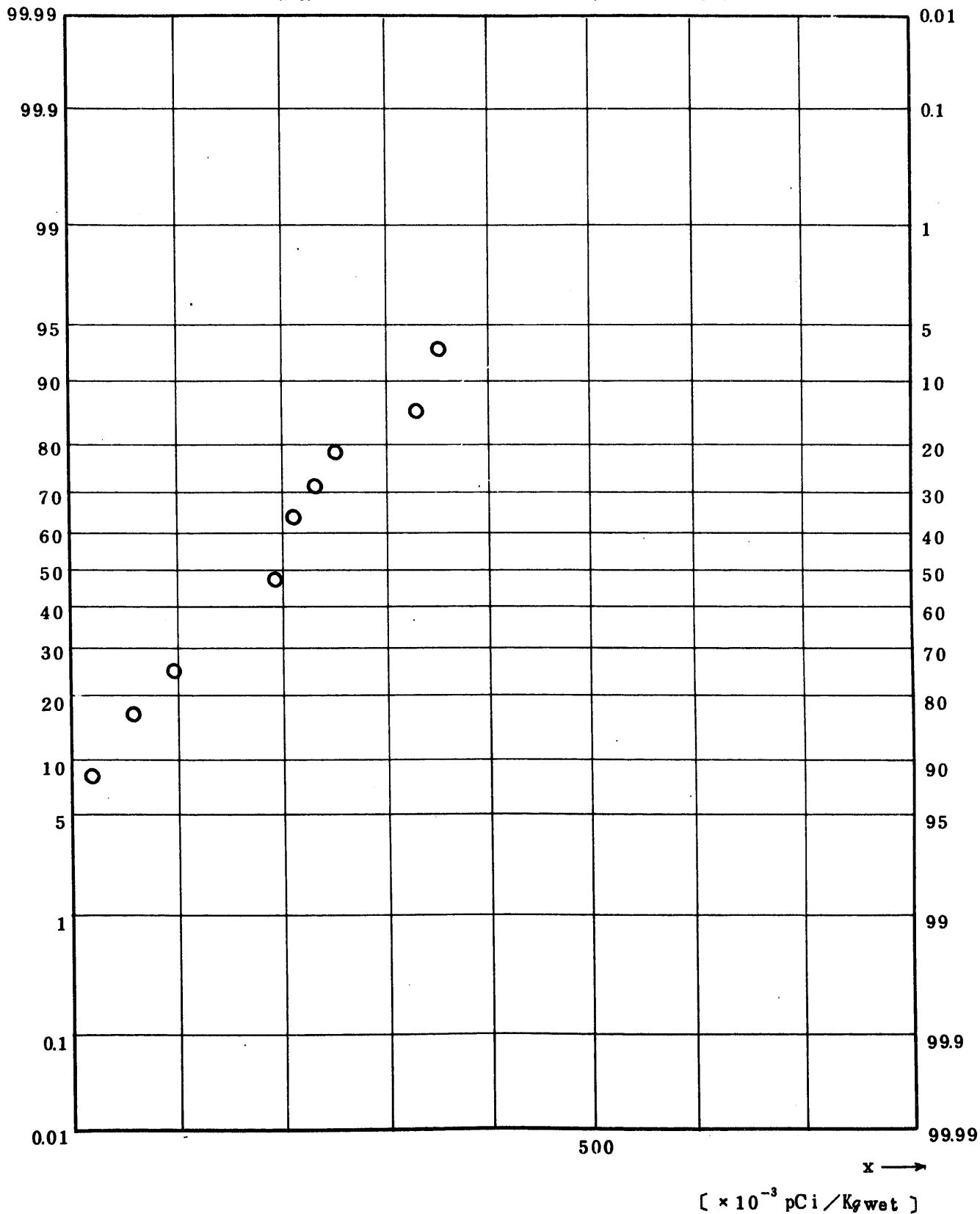


Fig. 11.4.2.1.1.8 $^{239}\text{Pu} + ^{240}\text{Pu}$ Concentration in Brown Algae (Kazime, Arame and Wakame) (ALL) (1971.10~1977.3)

図 1 1. 4. 2. 1. 1. 1. 8 褐藻 (カジメ・アラメ・ワカメ) 中 $^{239,240}\text{Pu}$ 放射能濃度 (全測定値)



SN843-77-12

Fig. 11.4.2.2.1.1.1 Gross BETA Concentration in Brown Algae

(Kazime, Arame and Wakame) (USUAL)

(1971.10 ~ 1977.3)

図 11.4.2.2.1.1.1 褐藻 (カジメ・アラメ・ワカメ) 中全β放射能濃度 (平常値)

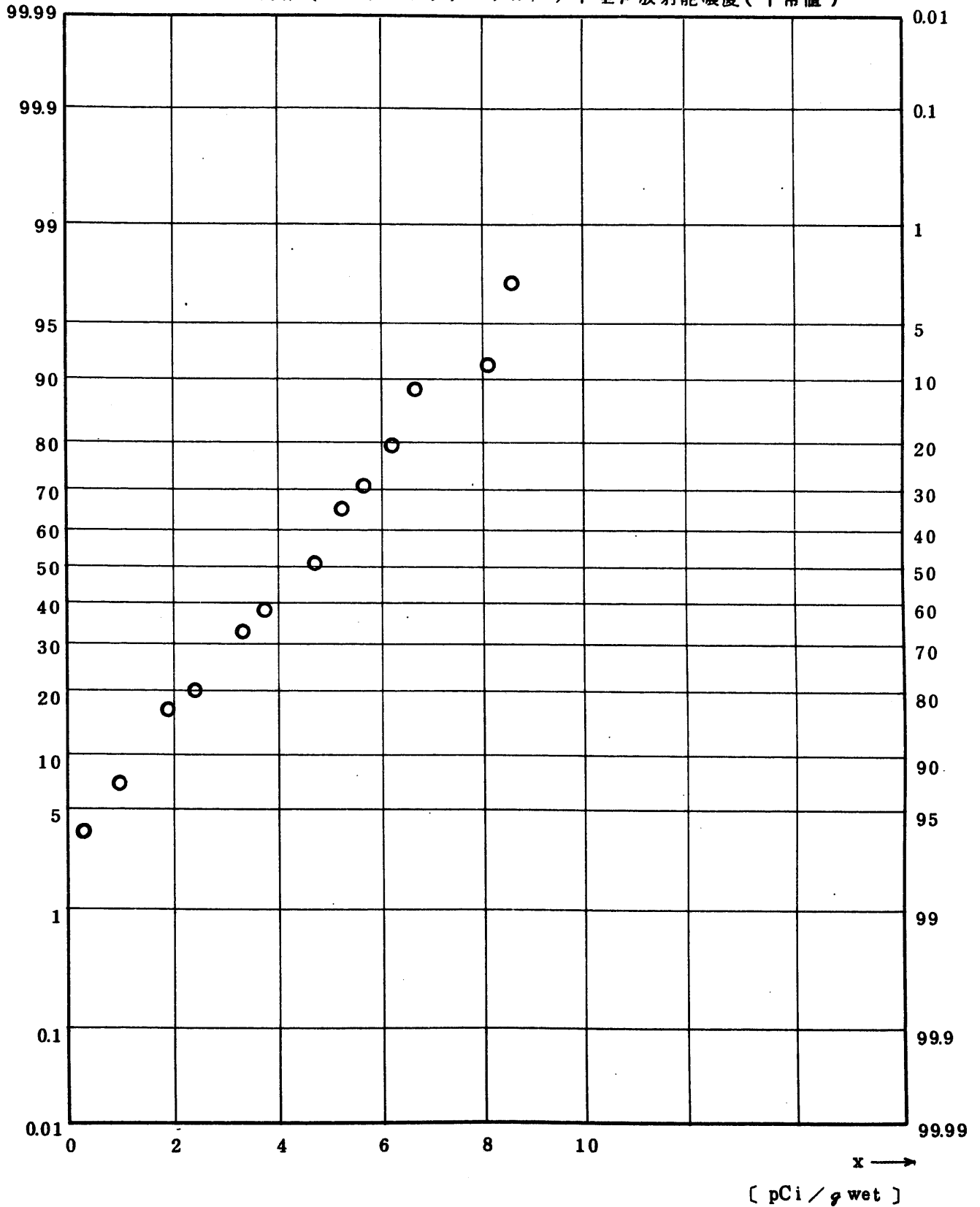


Fig. 11.4.2.1.1.2 ^{90}Sr Concentration in Brown Algae
 (Kazime, Arame and Wakame) (USUAL)
 (1971.10 ~ 1977.3)

図 11.4.2.1.1.2 褐藻 (カジメ・アラメ・ワカメ) 中 ^{90}Sr 放射能濃度 (平常値)

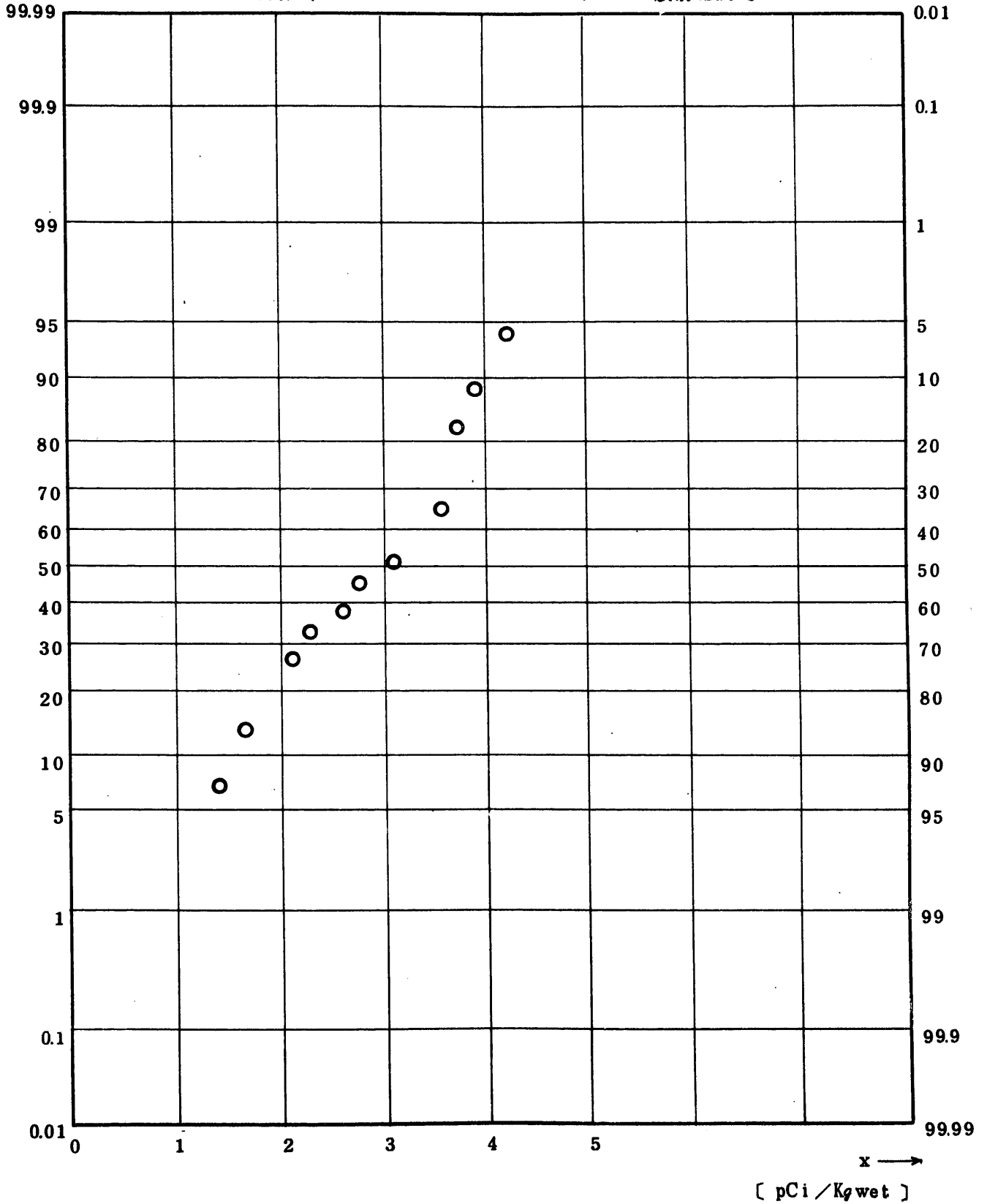


Fig. 11.4.2.2.1.1.3 ⁹⁵Zr Concentration in Brown Algae

(Kazime, Arame and Wakame) (USUAL)

(1971.10 ~ 1977.3)

図 11.4.2.2.1.1.3 褐藻(カジメ・アラメ・ワカメ)中⁹⁵Zr放射能濃度(平常値)

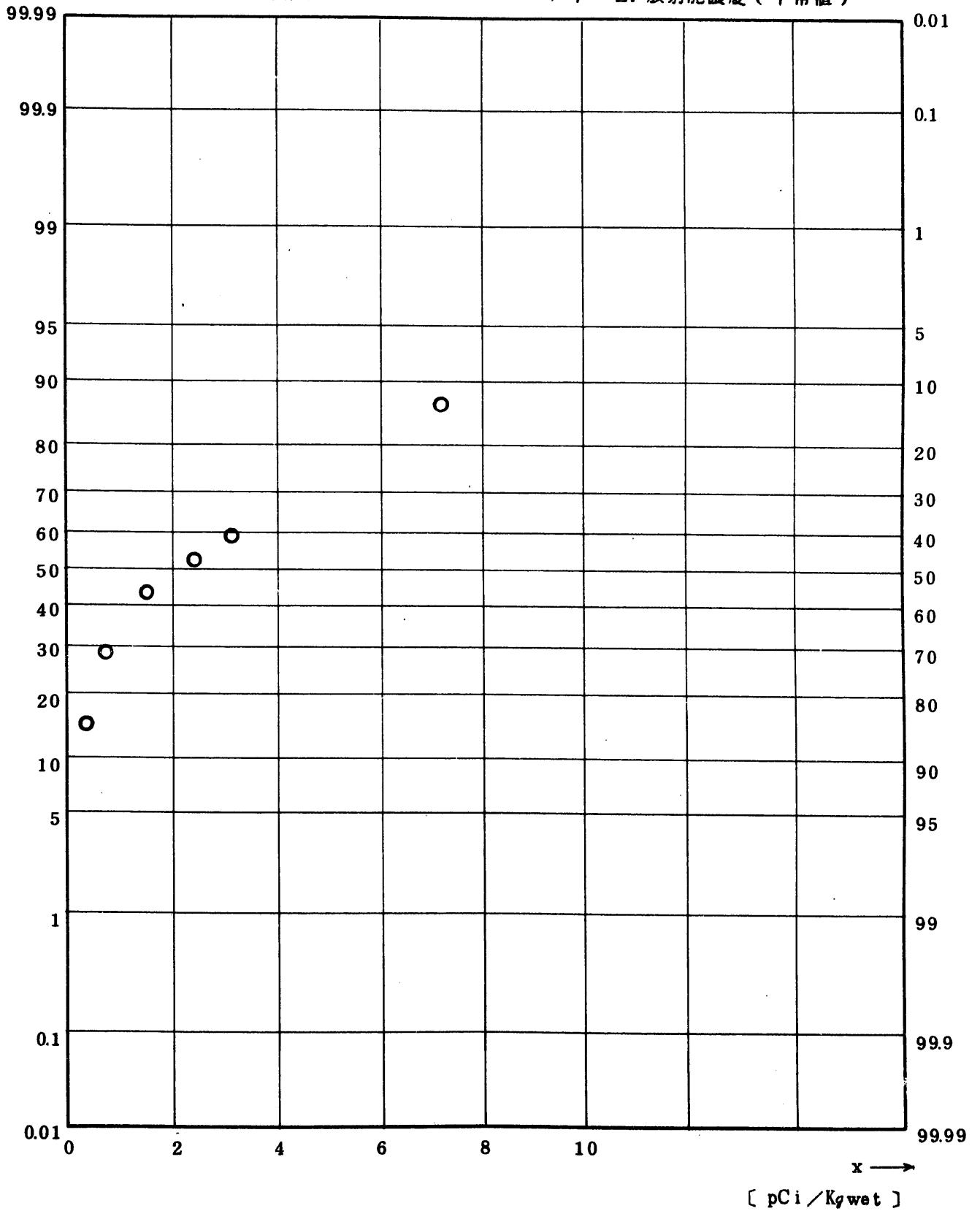


Fig. 11.4.2.2.1.3 ⁹⁵Zr Concentration in Brown Algae
 (Kazime, Arame and Wakame) (USUAL)
 (1971.10~1977.3)

図 11.4.2.2.1.3. 褐藻 (カジメ・アラメ・ワカメ) 中 ⁹⁵Zr 放射能濃度 (平常値)

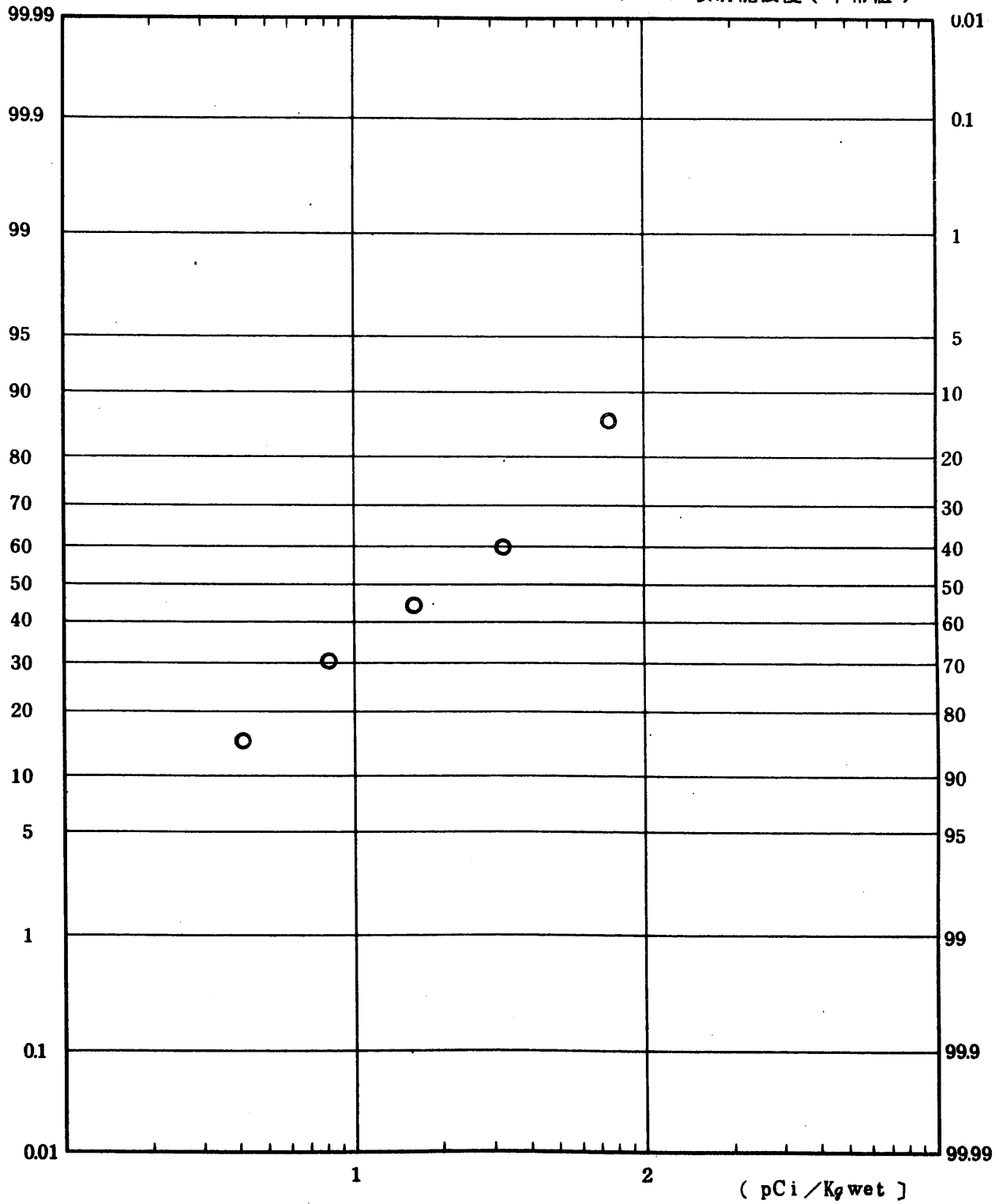


Fig. 1.1.4.2.2.1.1.4 ^{95}Nb Concentration in Brown Algae (Kazime, Arame and Wakame) (USUAL)

(1971.10 ~ 1977.3)

図 1.1.4.2.2.1.1.4 褐藻 (ワカメ・カジメ・アラメ) 中 ^{95}Nb 放射能濃度 (平常値)

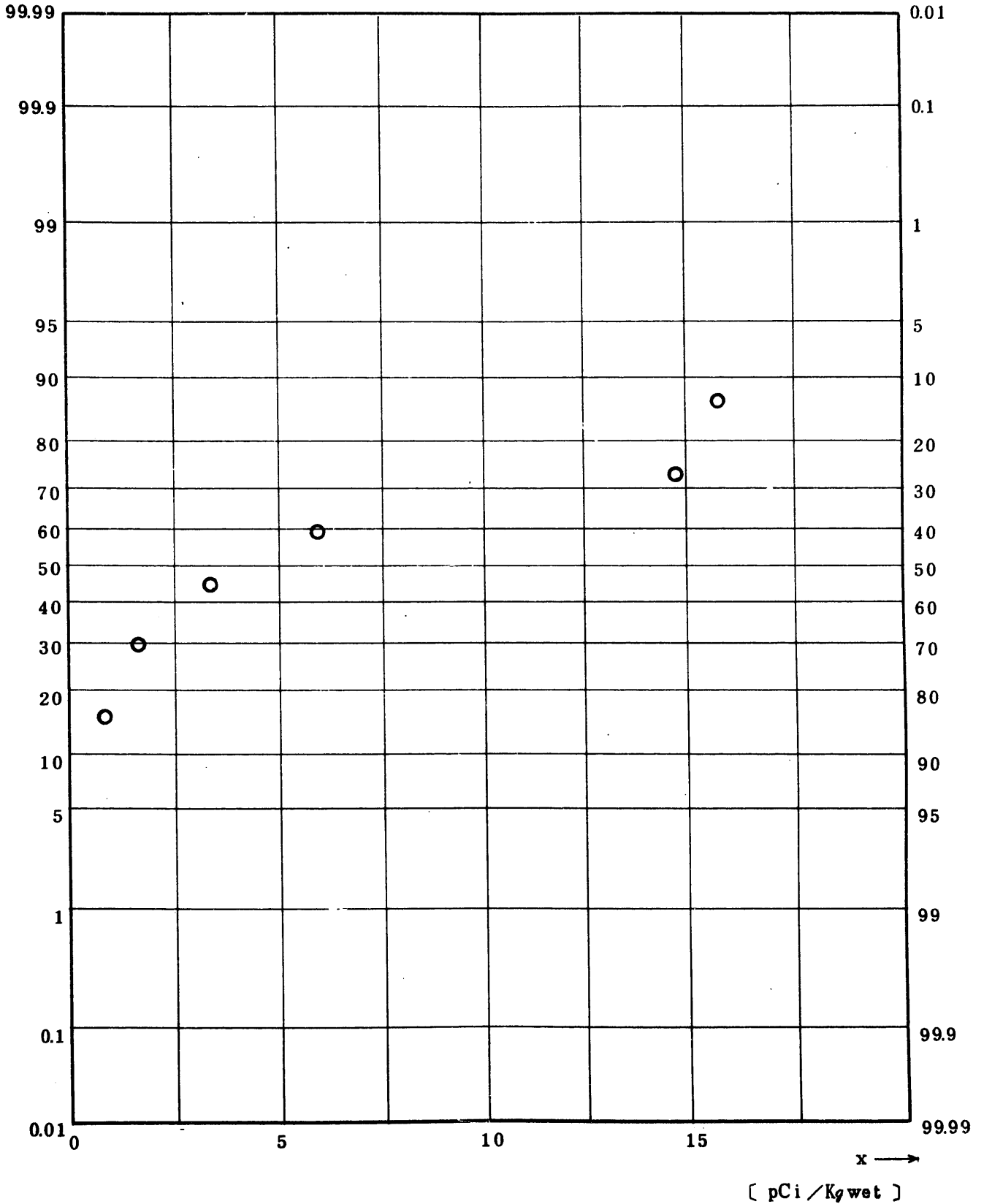
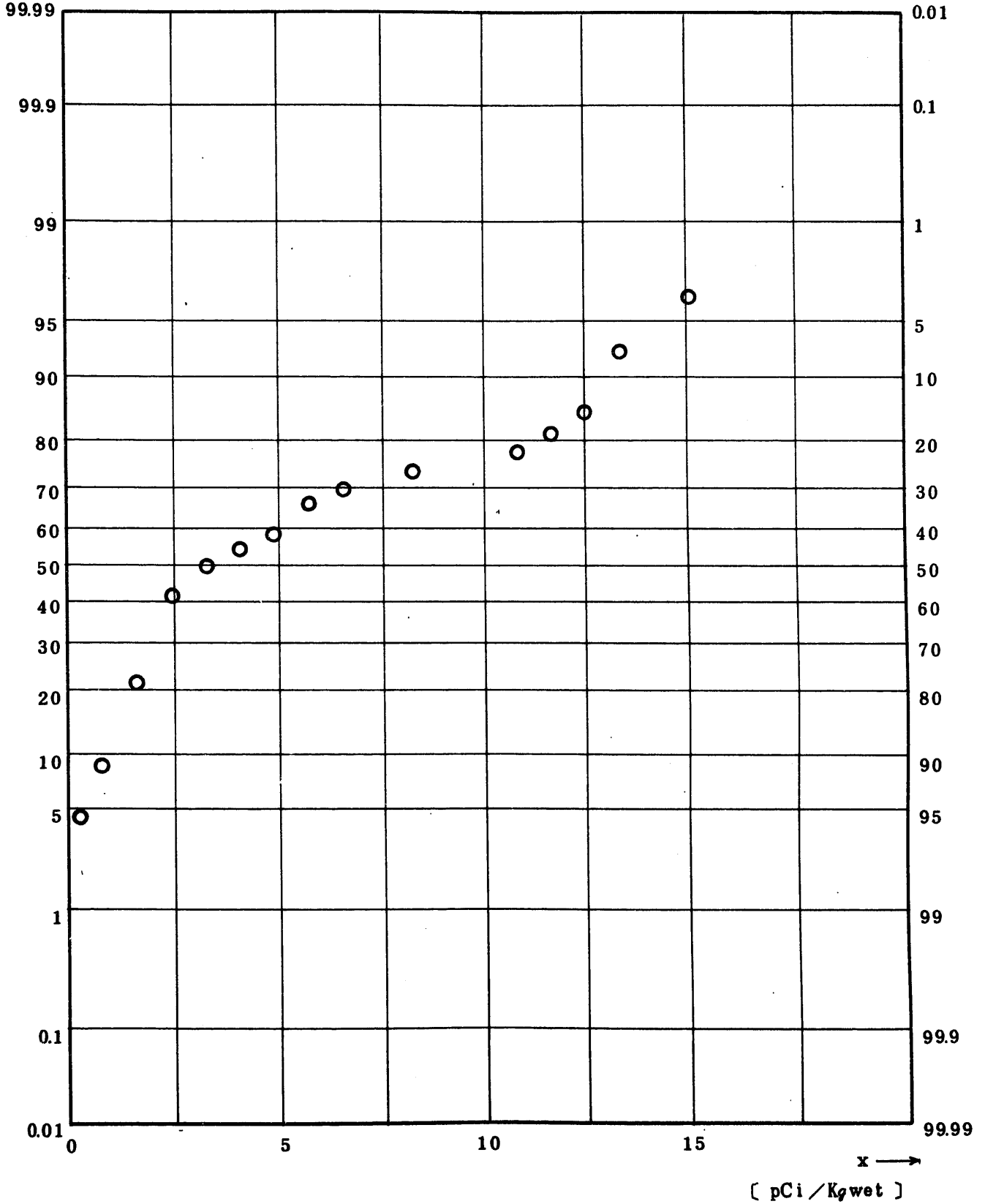


Fig. 1.1.4.2.1.1.5 $^{106}\text{Ru}/^{106}\text{Rh}$ Concentration in Brown Algae

(Kazime, Arame and Wakame) (USUAL)

(1971.10 ~ 1977.3)

図 1.1.4.2.1.1.5 褐藻 (ワカメ・カジメ・アラメ) 中 ^{106}Ru 放射能濃度 (平常値)



SN843-77-12

Fig. 1.1.4.2.2.1.1.6 ^{137}Cs Concentration in Brown Algae

(Kazime, Arame and Wakame) (USUAL)

(1971.10 ~ 1977.3)

図 1.1.4.2.2.1.1.6 褐藻 (ワカメ・カジメ・アラメ) 中 ^{137}Cs 放射能濃度 (平常値)

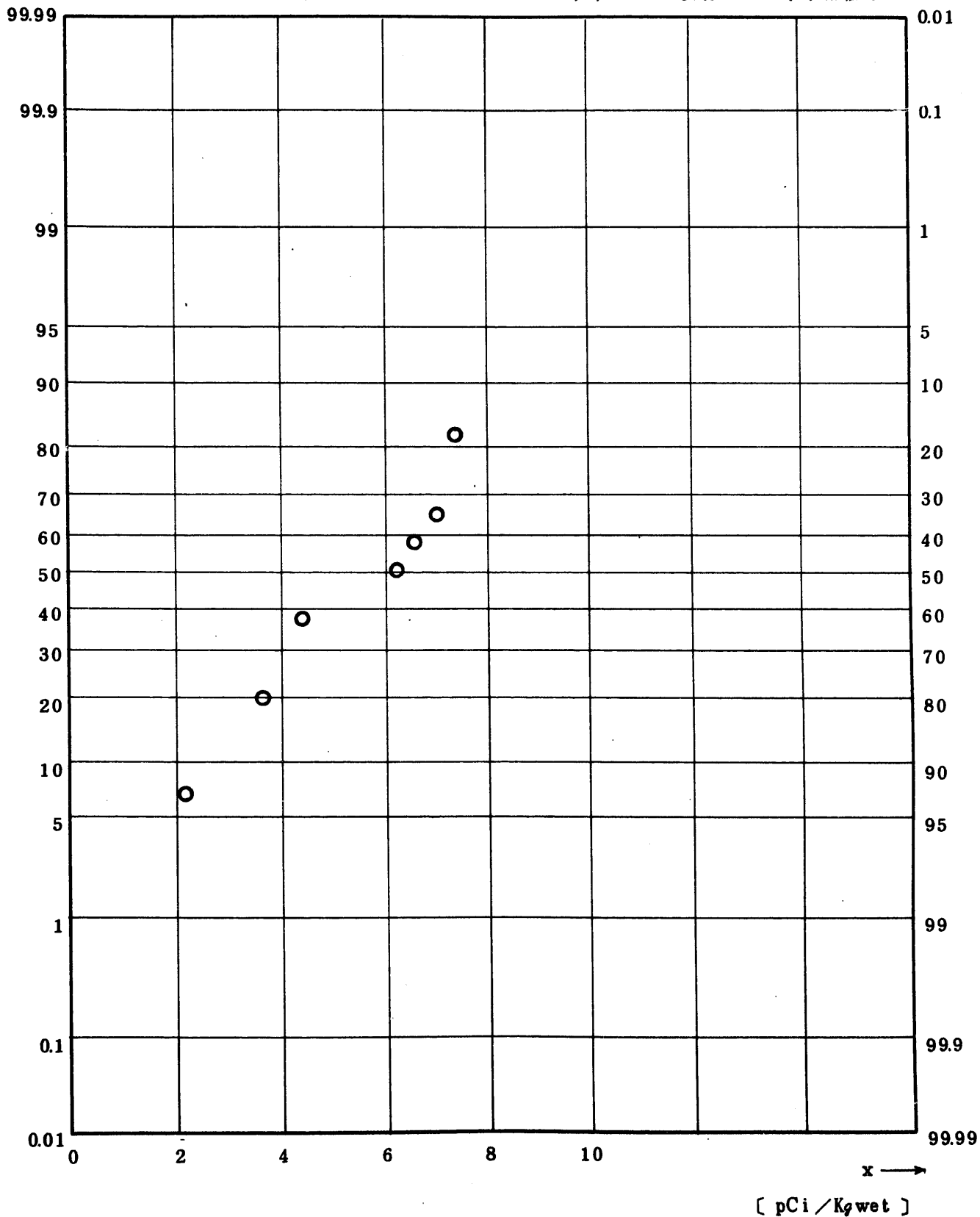
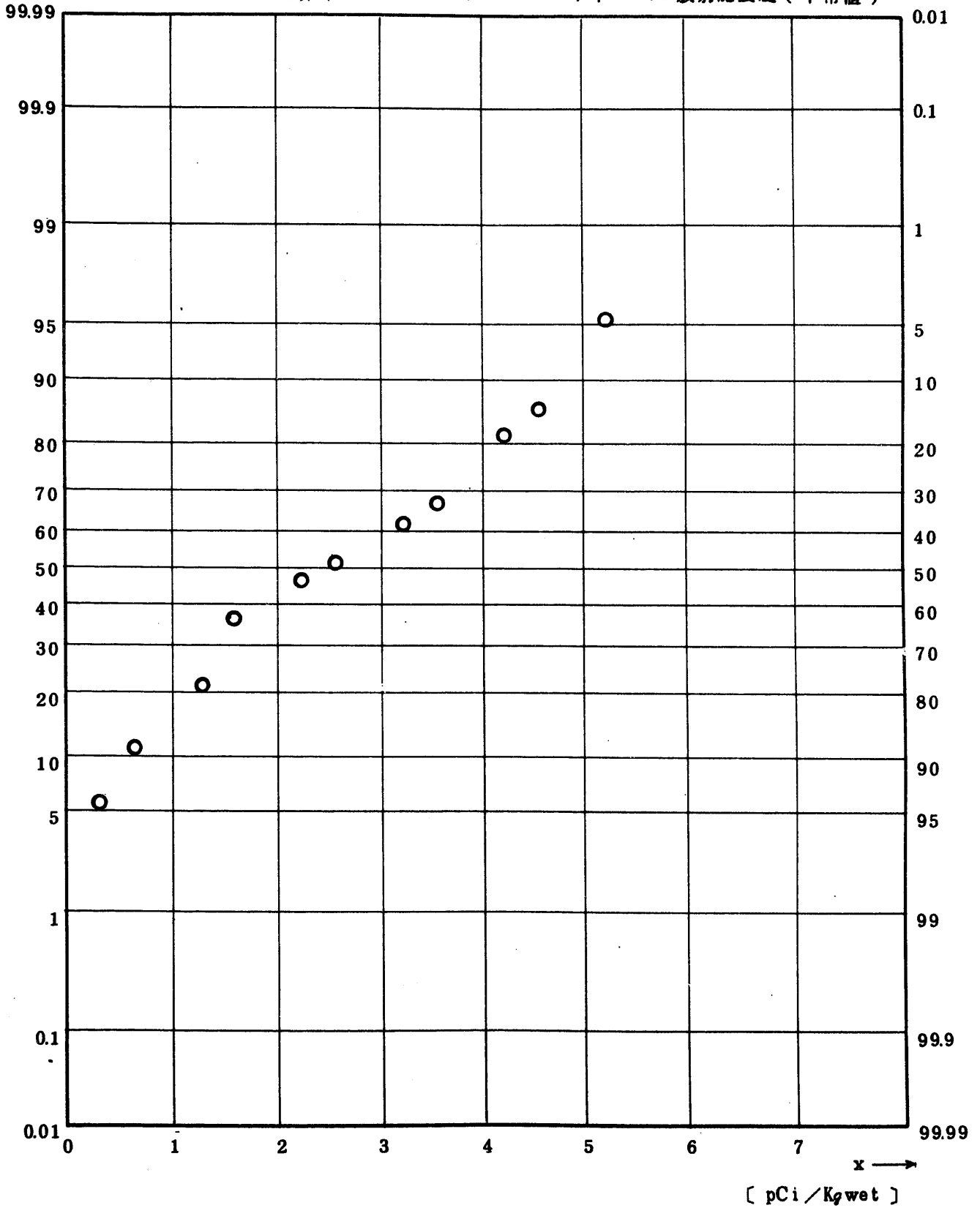


Fig. 11.4.2.21.1.7 $^{144}\text{Ce}/^{144}\text{Pr}$ Concentration in Brown Algae
 (Kazime, Arame and Wakame) (USUAL)

(1971.10 ~ 1977.3)

図 11.4.2.21.1.7 褐藻 (ワカメ・カジメ・アラメ) 中 ^{144}Ce 放射能濃度 (平常値)



SN843-77-12

Fig. 1.1.4.2.2.1.1.8 $^{239}\text{Pu} + ^{240}\text{Pu}$ Concentration in Brown Algae
(Kazime, Arame and Wakame) (USUAL)

(1971.10 ~ 1977.3)

図 1.1.4.2.2.1.1.8 褐藻 (カジメ・アラメ・ワカメ) 中 $^{239,240}\text{Pu}$ 放射能濃度 (平常値)

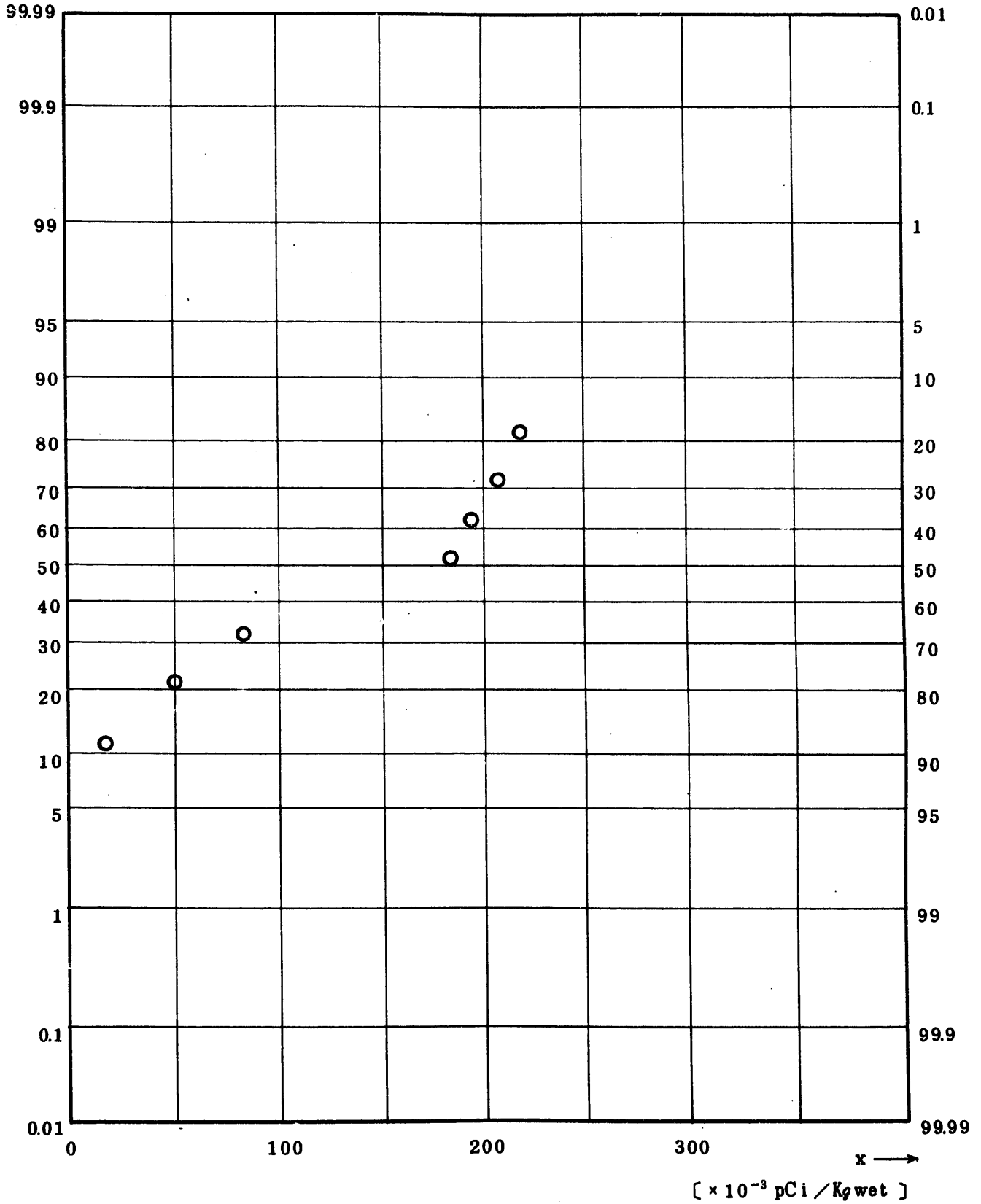


Fig. 1.1.4.3.21.1.1 Gross BETA Concentration in Brown Algae (Kazime, and Arame) (USUAL) (1974.4 ~ 1977.3)

図 1.1.4.3.2.1.1.1 褐藻(カジメ・アラメ)中全β放射能濃度(平常値)

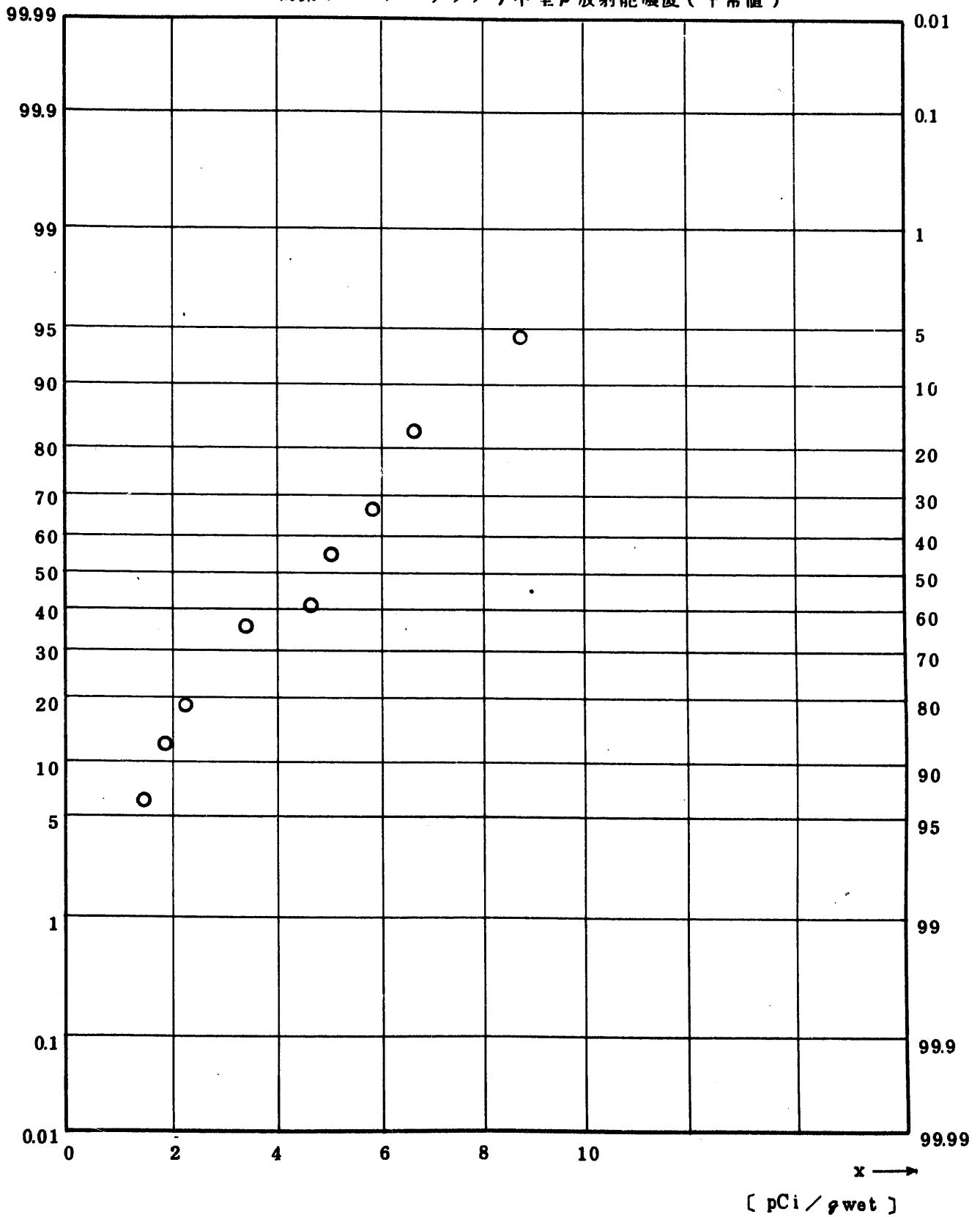


Fig. 11.4.3.2.1.1.2 ⁹⁰Sr Concentration in Brown Algae (Kazime and Arame)
 (USUAL) (1974.4~1977.3)

図 11.4.3.2.1.1.2 褐藻 (カジメ・アラメ) 中 ⁹⁰Sr 放射能濃度 (平常値)

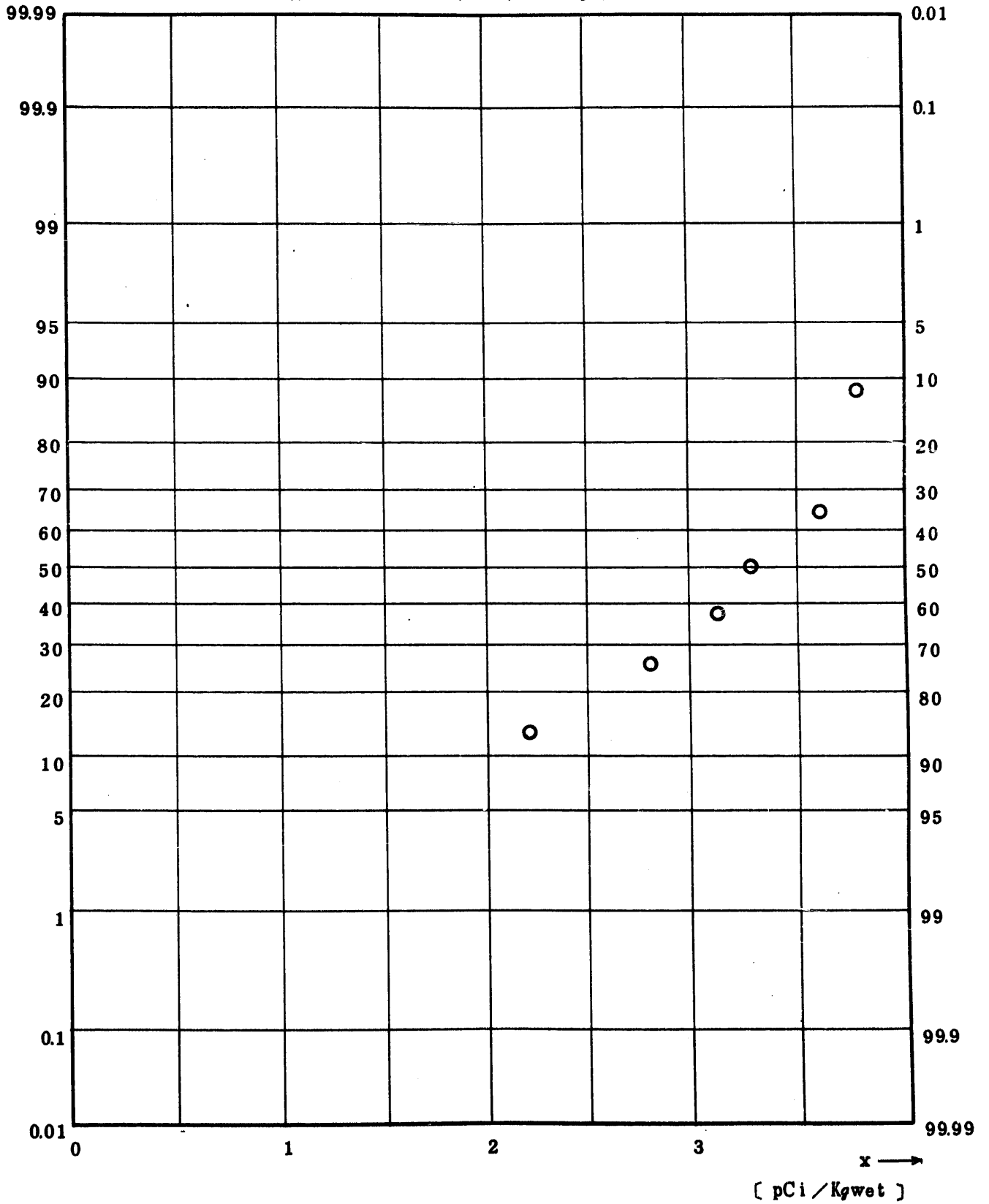


Fig. 1.1.4.3.2.1.1.3 ⁹⁵Zr Concentration in Brown Algae (Kazime and Arame)
 (USUAL) (1974.4~1977.3)

☒ 1.1.4.3.2.1.1.3 褐藻(カジメ・アラメ)中⁹⁵Zr放射能濃度(平常値)

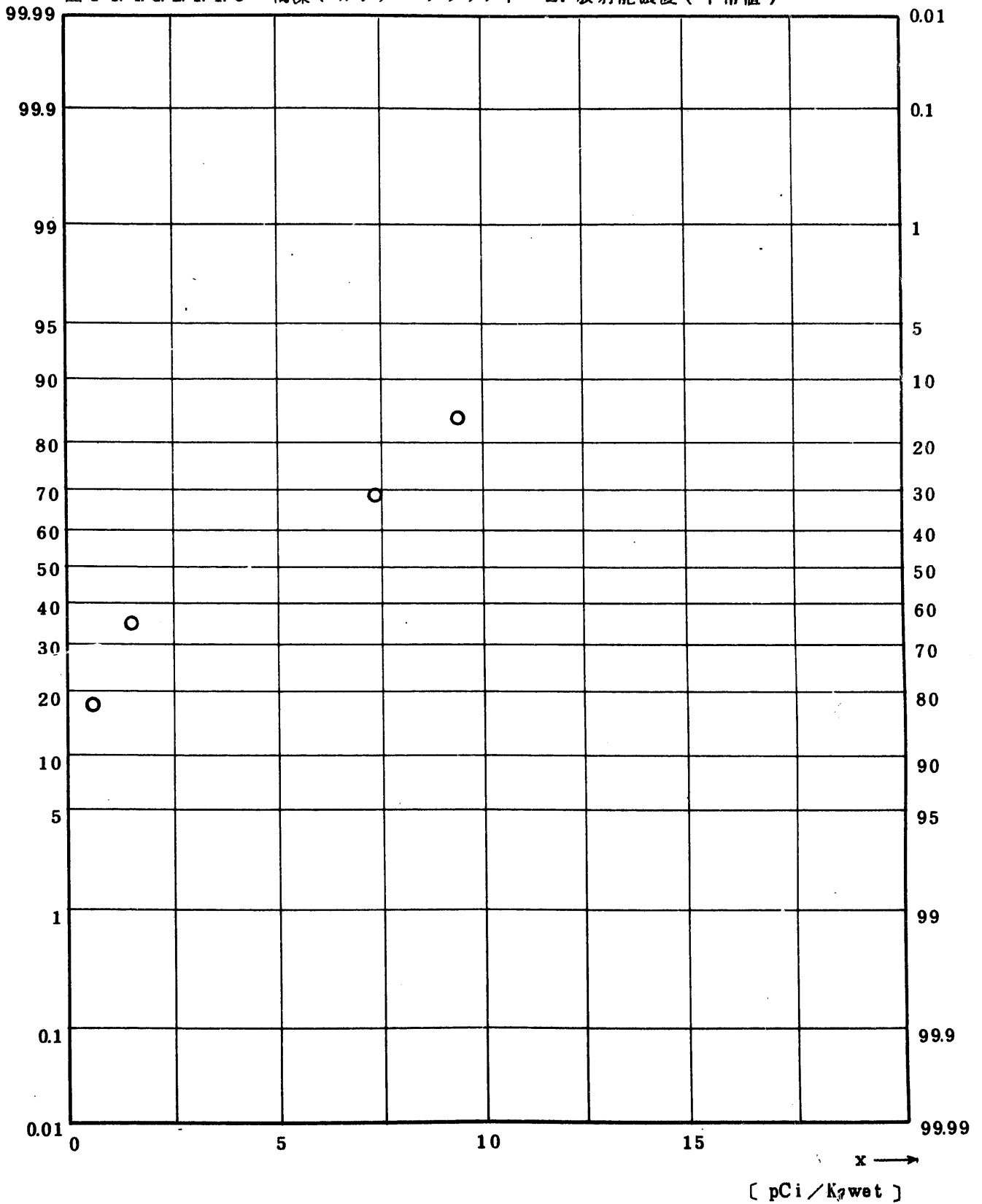


Fig. 11.4.3.2.1.1.4 ^{95}Nb Concentration in Brown Algae (Kazime and Arame)
 (USUAL) (1974.4~1977.3)

図 11.4.3.2.1.1.4 褐藻 (カジメ・アラメ) 中 ^{95}Nb 放射能濃度 (平常値)

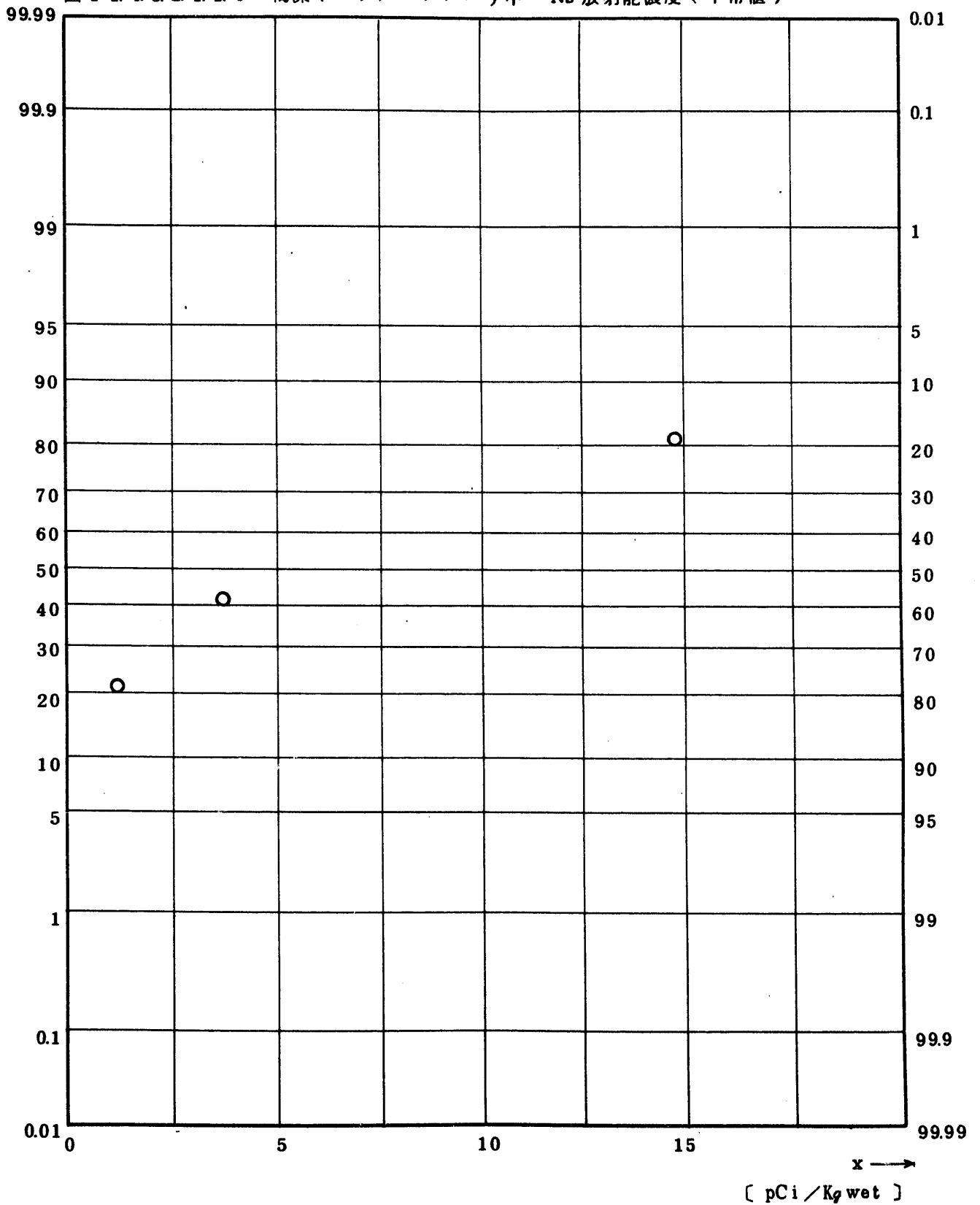


Fig. 1.1.4.3.2.1.1.5 $^{106}\text{Ru}/^{106}\text{Rh}$ Concentration in Brown Algae

(Kazime and Arame) (USUAL)

(1974.4 ~ 1977.3)

図 1.1.4.3.2.1.1.5 褐藻 (カジメ・アラメ) 中 ^{106}Ru 放射能濃度 (平常値)

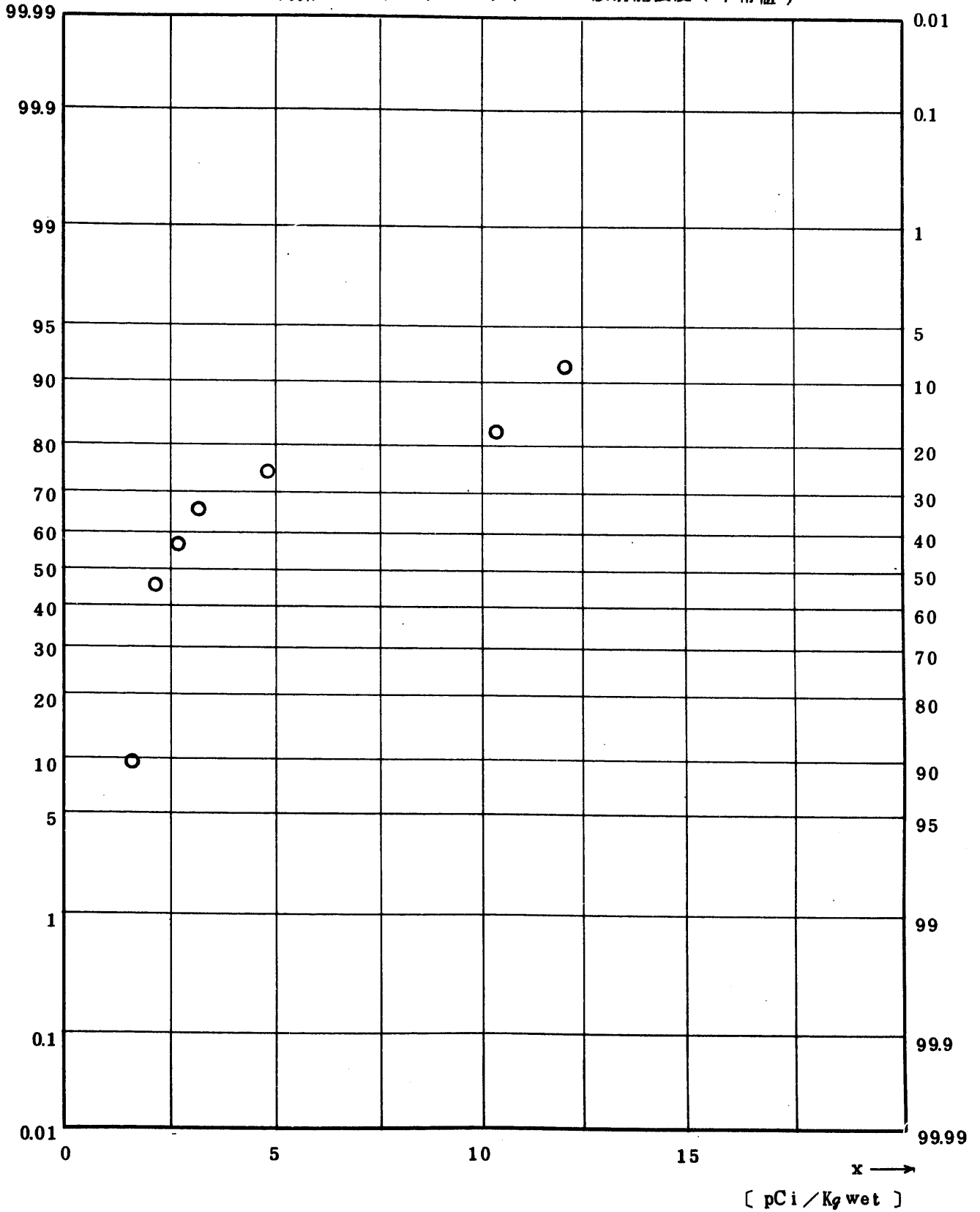


Fig. 11.4.3.2.2.1.5 $^{106}\text{Ru}/^{106}\text{Rh}$ Concentration in Brown Algae
(Kazime and Arame) (USUAL)

(1974.4 ~ 1977.3)

図 1 1.4.3.2.2.1.5 褐藻 (カジメ・アラメ) 中 ^{106}Ru 放射能濃度 (平常値)

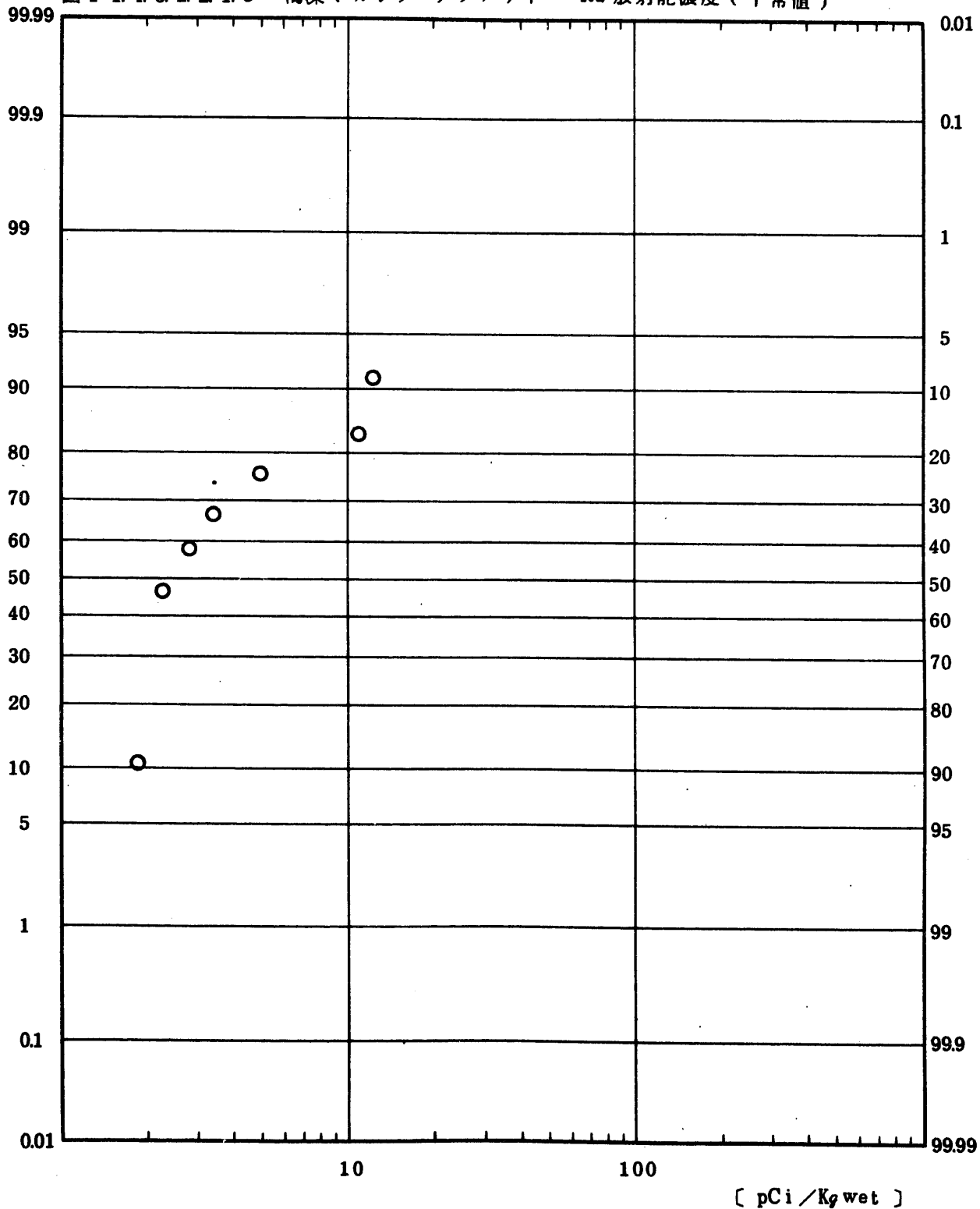


Fig. 11.4.3.2.1.1.6 ^{137}Cs Concentration in Brown Algae (Kazime and Arame) (USUAL) (1974.4 ~ 1977.3)

図 1 1. 4. 3. 2. 1. 1. 6 褐藻 (カジメ・アラメ) 中 ^{137}Cs 放射能濃度 (平常値)

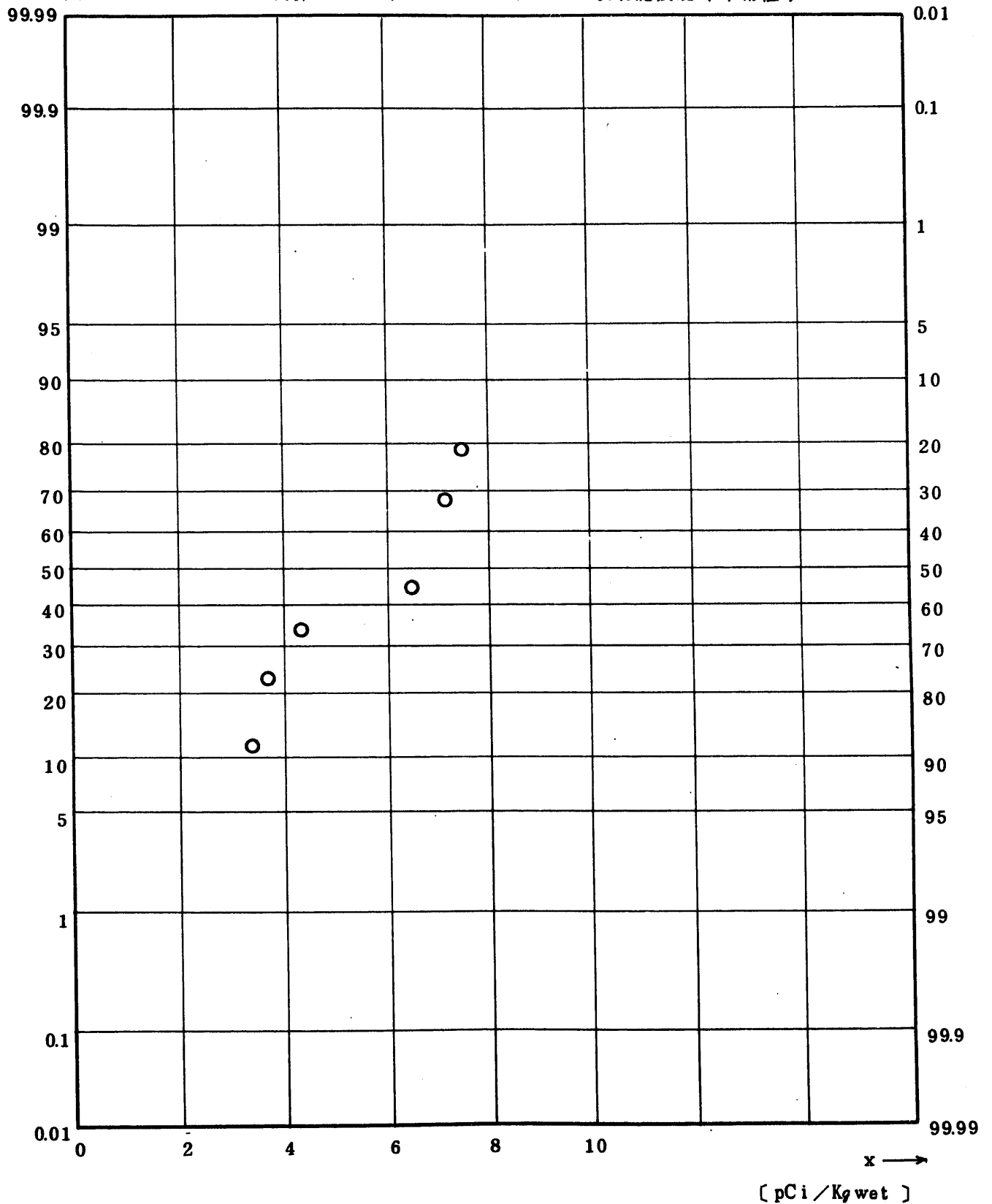


Fig. 11.4.3.2.1.1.7 $^{144}\text{Ce}/^{144}\text{Pr}$ Concentration in Brown Algae
 (Kazime and Arame) (USUAL)

(1974.4 ~ 1977.3)

図 11.4.3.2.1.1.7 褐藻 (カジメ・アラメ) 中 ^{144}Ce 放射能濃度 (平常値)

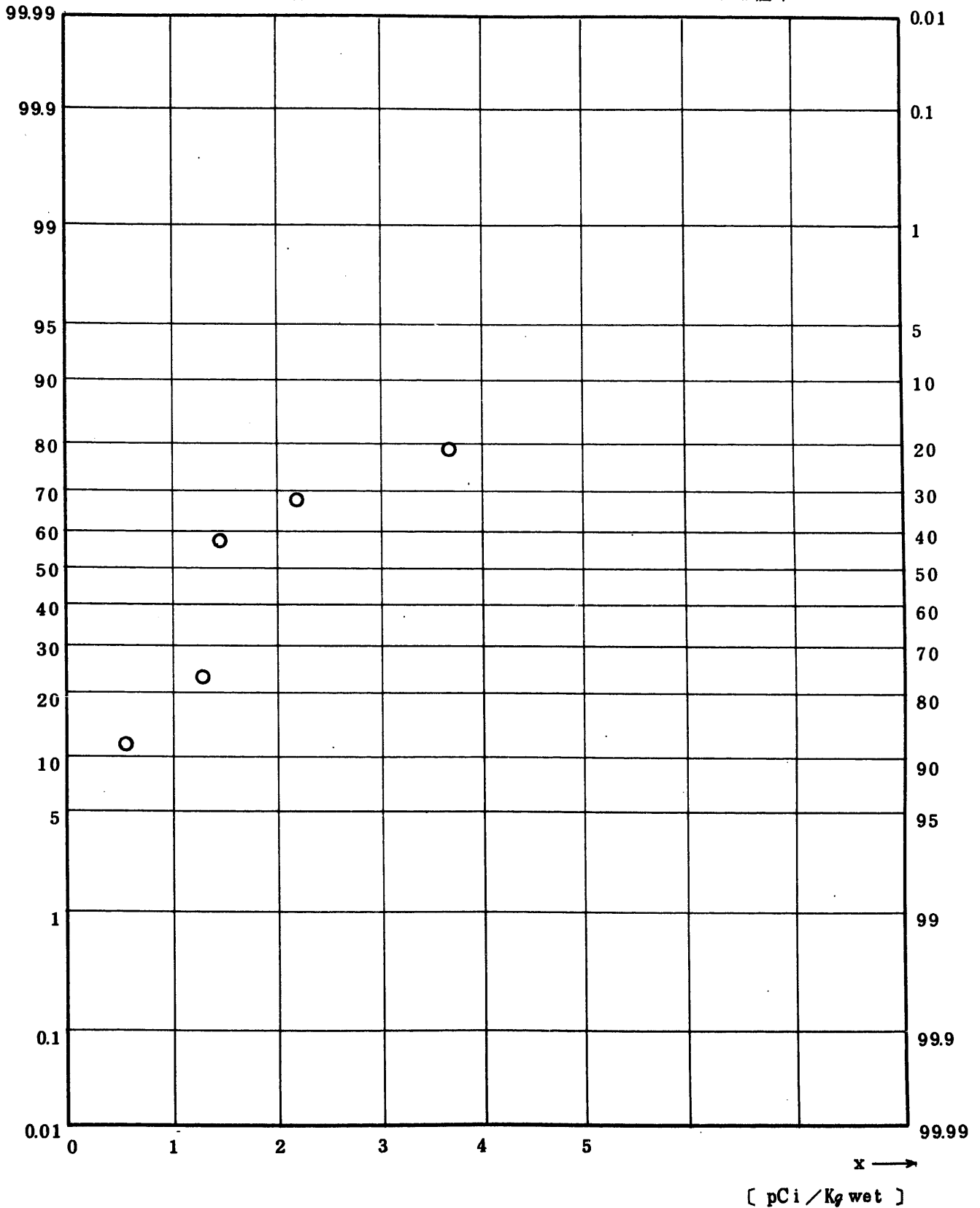


Fig. 1.1.4.3.2.1.1.8 $^{239}\text{Pu} + ^{240}\text{Pu}$ Concentration in Brown Algae

(Kazime and Arame) (USUAL)

(1974.4 ~ 1977.3)

図 1.1.4.3.2.1.1.8 褐藻 (カジメ・アラメ) 中 $^{239,240}\text{Pu}$ 放射能濃度 (平常値)

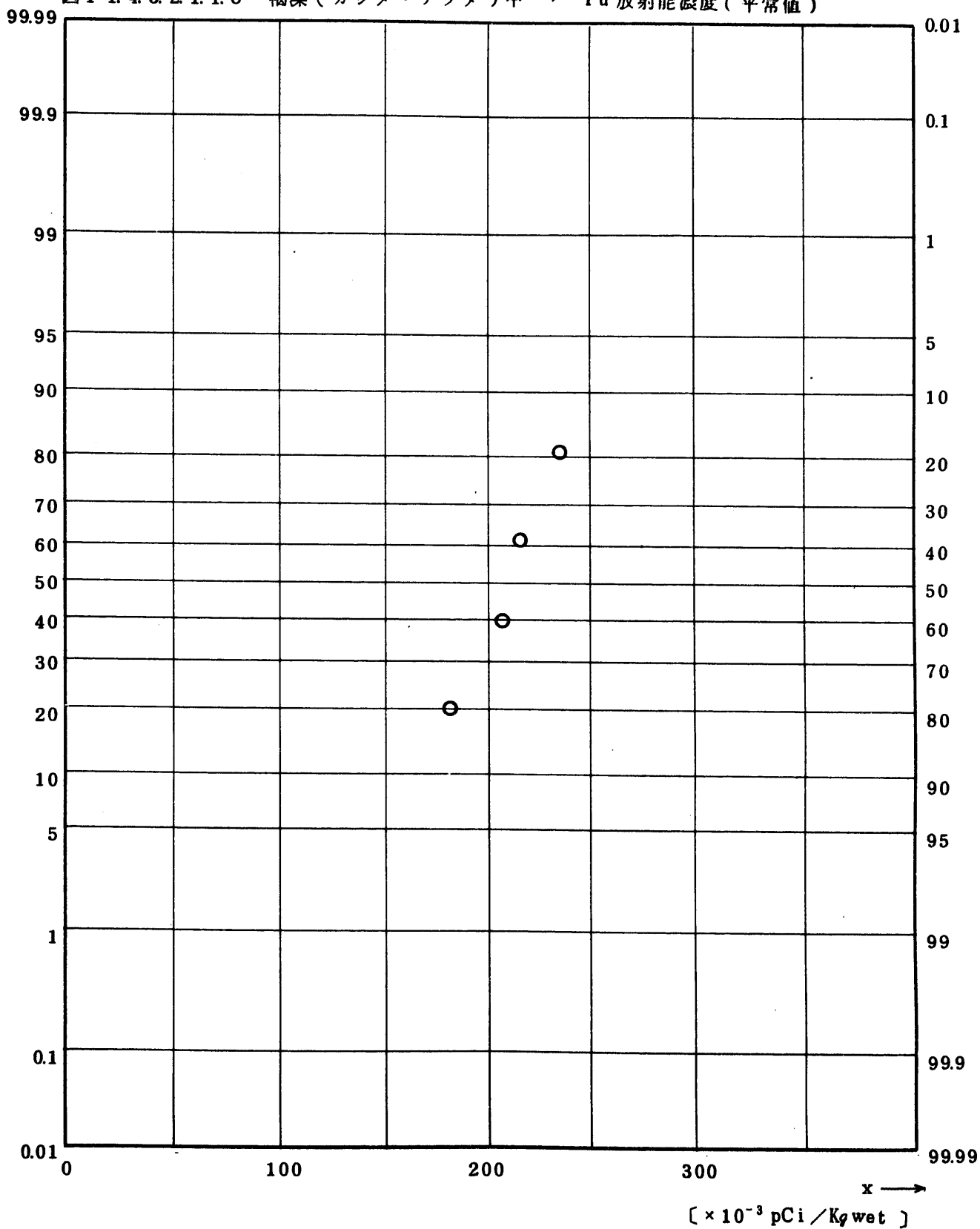


Fig. 11.4.5.1.1.1 Gross BETA Concentration in Brown Algae

(Kazime · Arame · Wakame and Hiziki) (ALL)

(1971.10 ~ 1977.3)

図 11.4.5.1.1.1.1 褐藻 (カジメ・アrame・ワカメ・ヒジキ) 中全β放射能濃度 (全測定値)

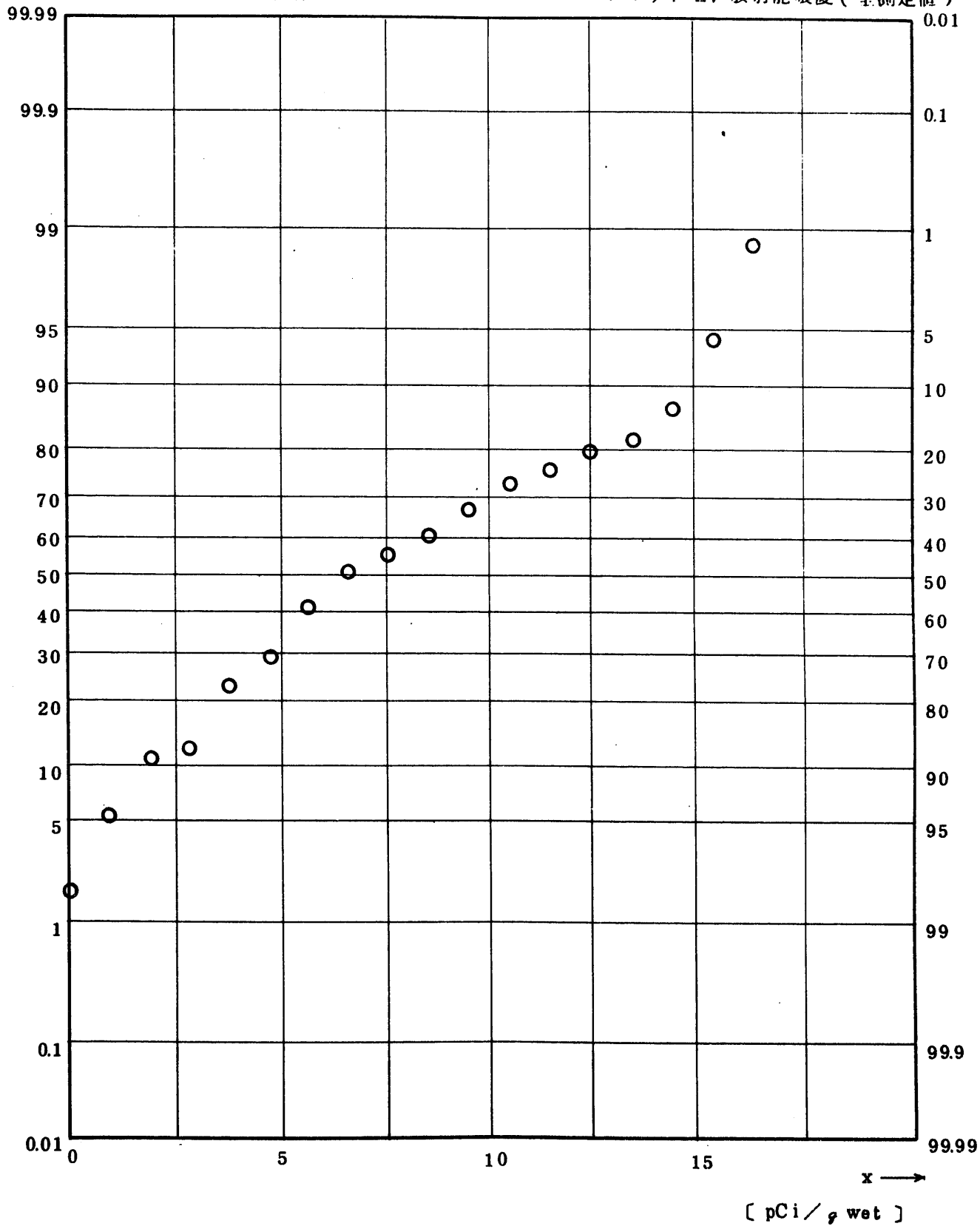


Fig. 11.4.5.1.1.2 ⁹⁰Sr Concentration in Brown Algae

(Kazime · Arame · Wakame and Hiziki) (ALL)

(1971.10 ~ 1977.3)

図 11.4.5.1.1.2 褐藻(カジメ・アラメ・ワカメ・ヒジキ)中⁹⁰Sr放射能濃度(全測定値)

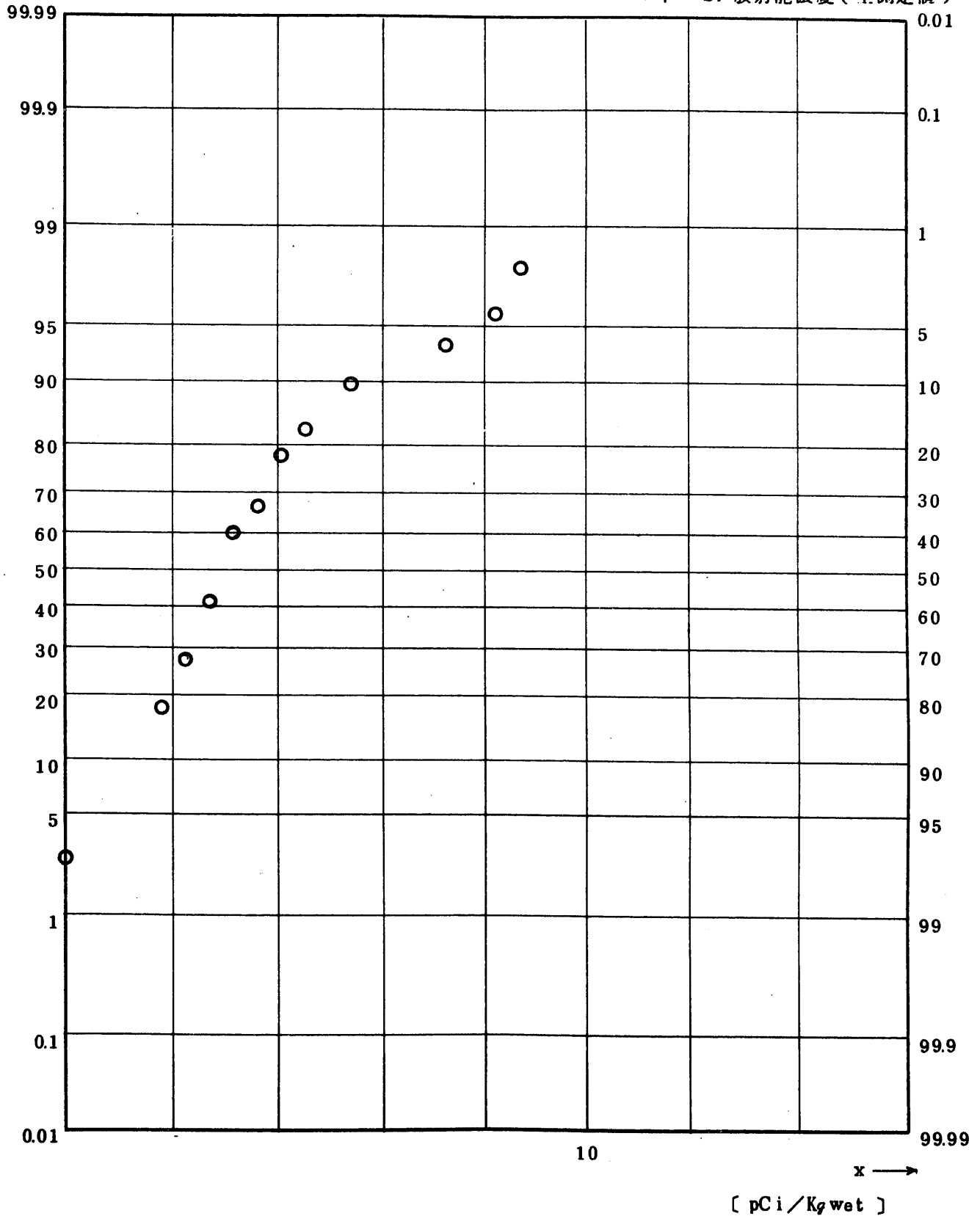


Fig. 11.4.5.1.1.3 ⁹⁵Zr Concentration in Brown Algae

(Kazime-Arame-Wakame and Hiziki)(ALL)

(1971.10~1977.3)

図 1 1. 4. 5. 1. 1. 1. 3 褐藻(カジメ・アラメ・ワカメ・ヒジキ)中⁹⁵Zr放射能濃度(全測定値)

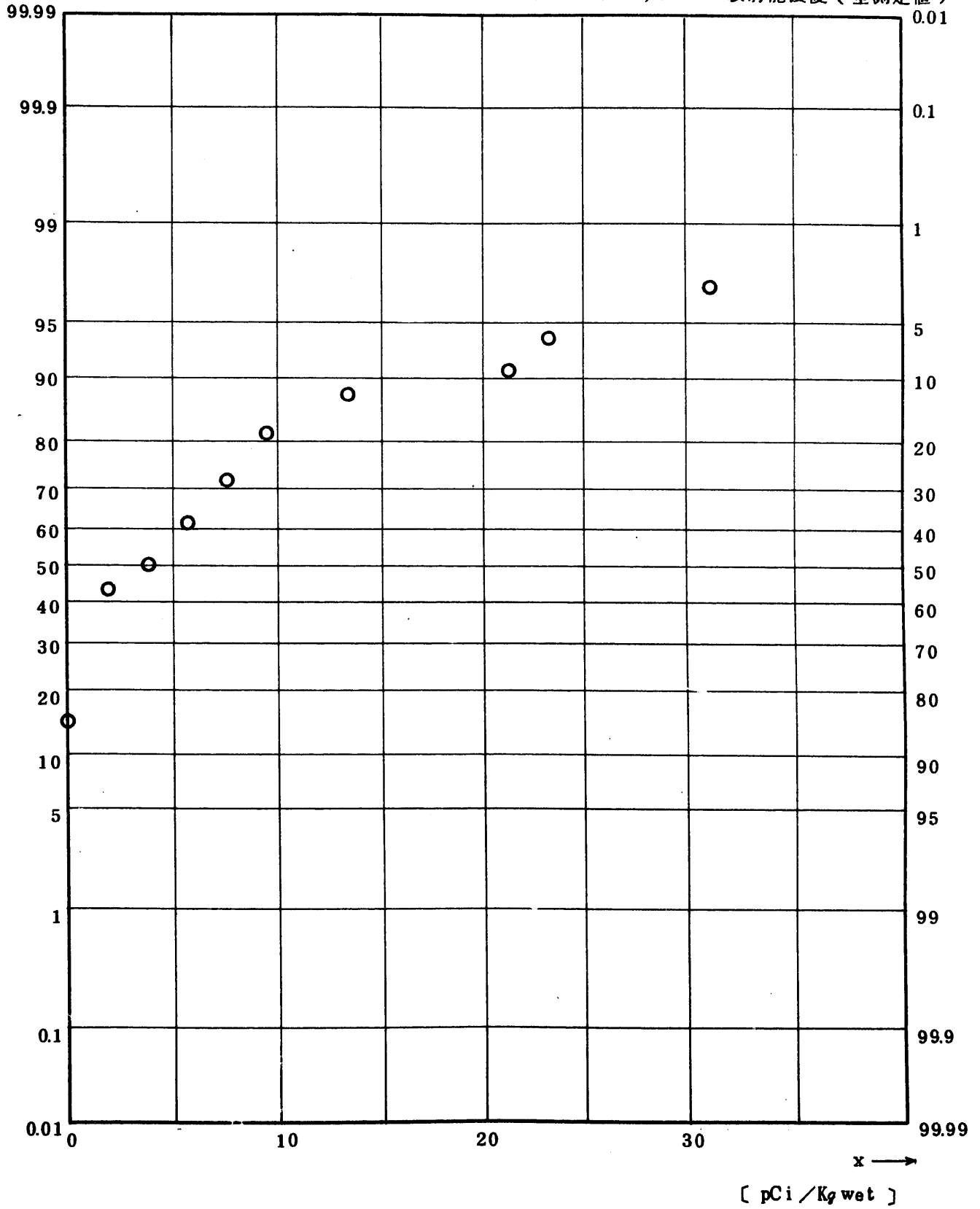


Fig. 11.4.5.1.1.1.4 ⁹⁵Nb Concentration in Brown Algae

(Kazime·Arame·Wakame and Hiziki)(ALL)

(1971.10~1977.3)

図 11.4.5.1.1.1.4 褐藻(カジメ・アラメ・ワカメ・ヒジキ)中⁹⁵Nb放射能濃度(全測定値)

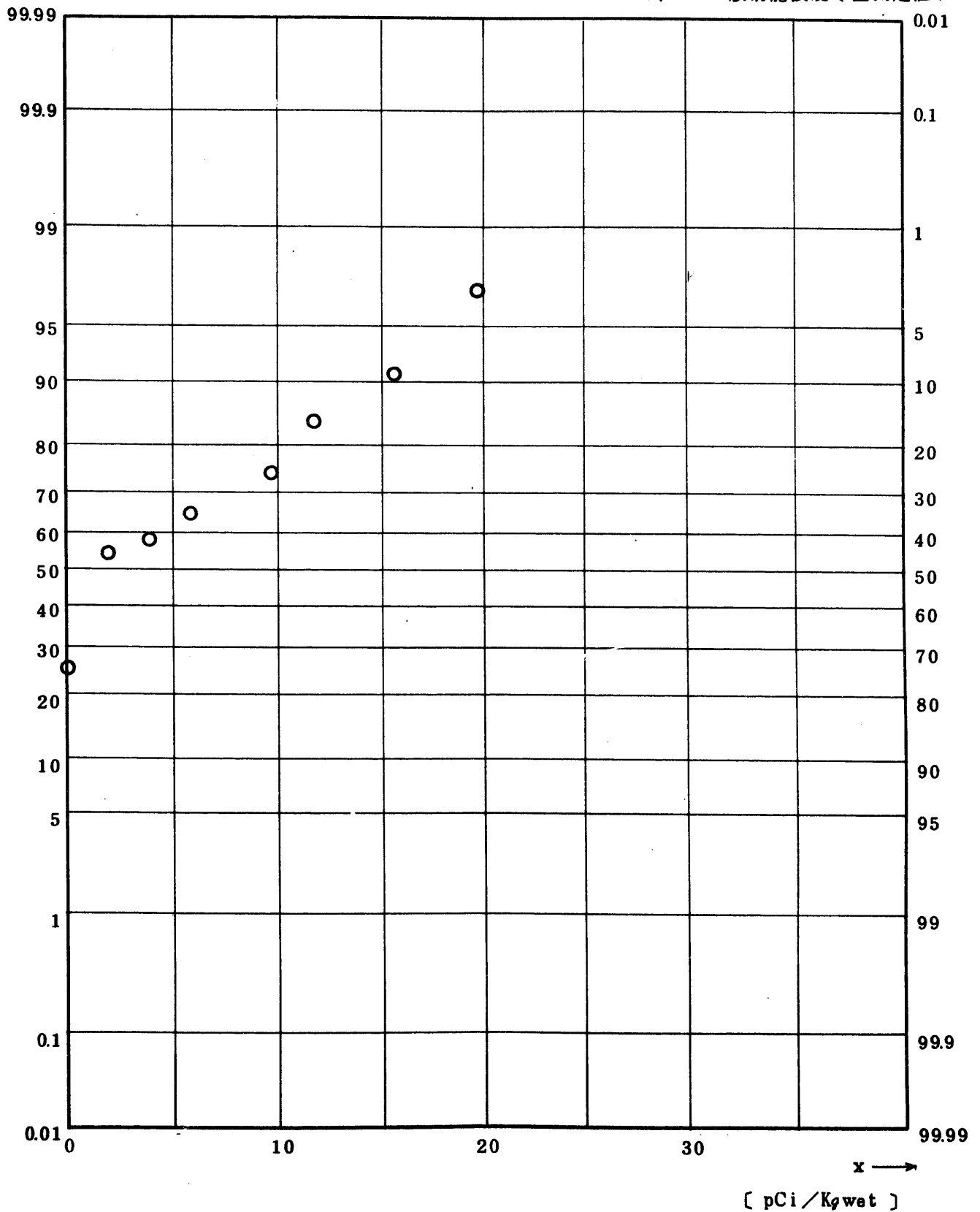


Fig. 1.1.4.5.1.1.5 $^{106}\text{Ru}/^{106}\text{Rh}$ Concentration in Brown Algae

(Kazime · Arame · Wakame and Hiziki)(ALL)

(1971.10 ~ 1977.3)

図 1.1.4.5.1.1.5 褐藻(カジメ・アラメ・ワカメ・ヒジキ)中 ^{106}Ru 放射能濃度(全測定値)

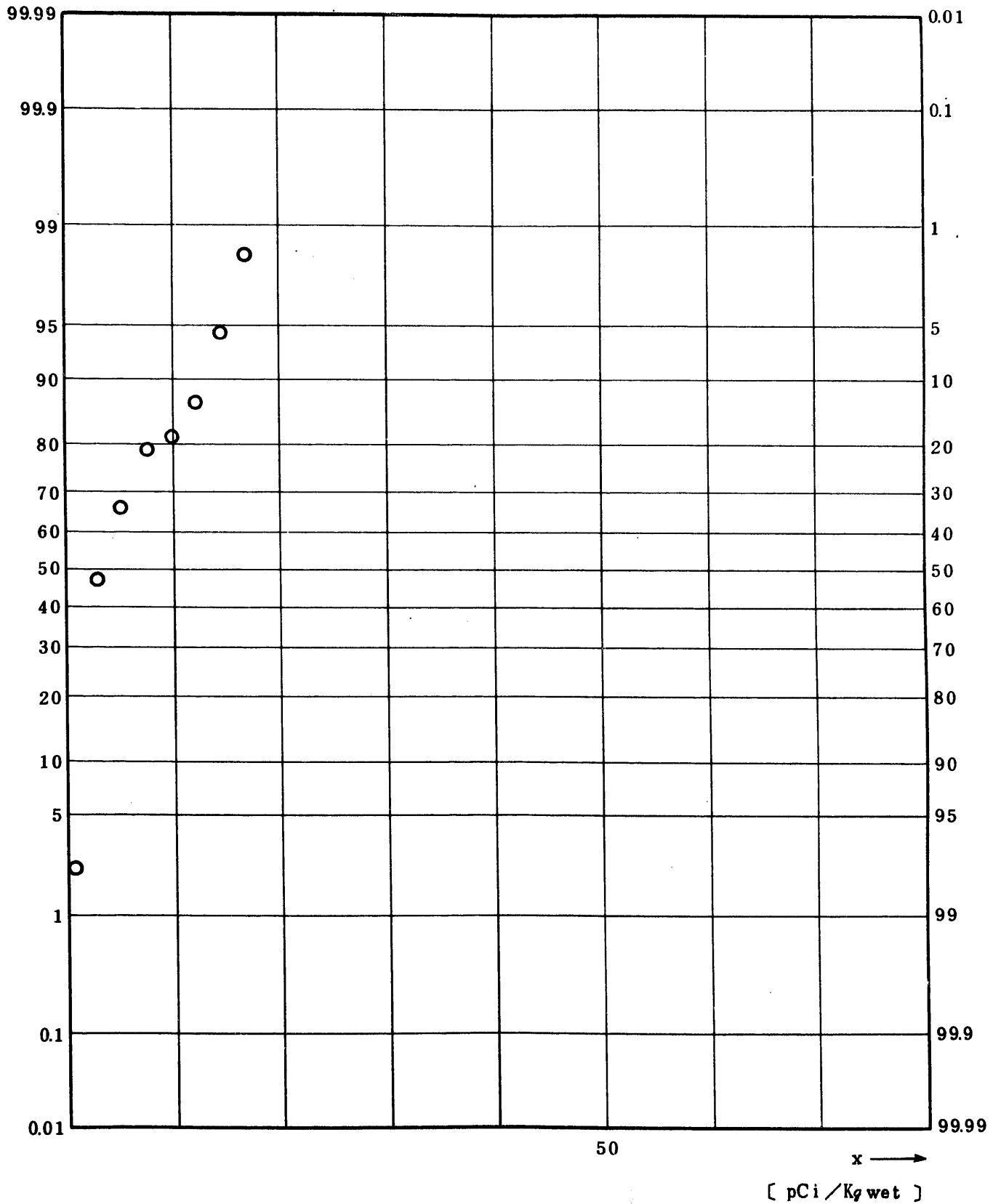


Fig. 1.1.4.5.1.1.6 ^{137}Cs Concentration in Brown Algae
 (Kazime·Arame·Wakame and Hiziki)(ALL)
 (1971.10~1977.3)

図 1.1.4.5.1.1.6 褐藻(カジメ・アラメ・ワカメ・ヒジキ)中 ^{137}Cs 放射能濃度(全測定値)

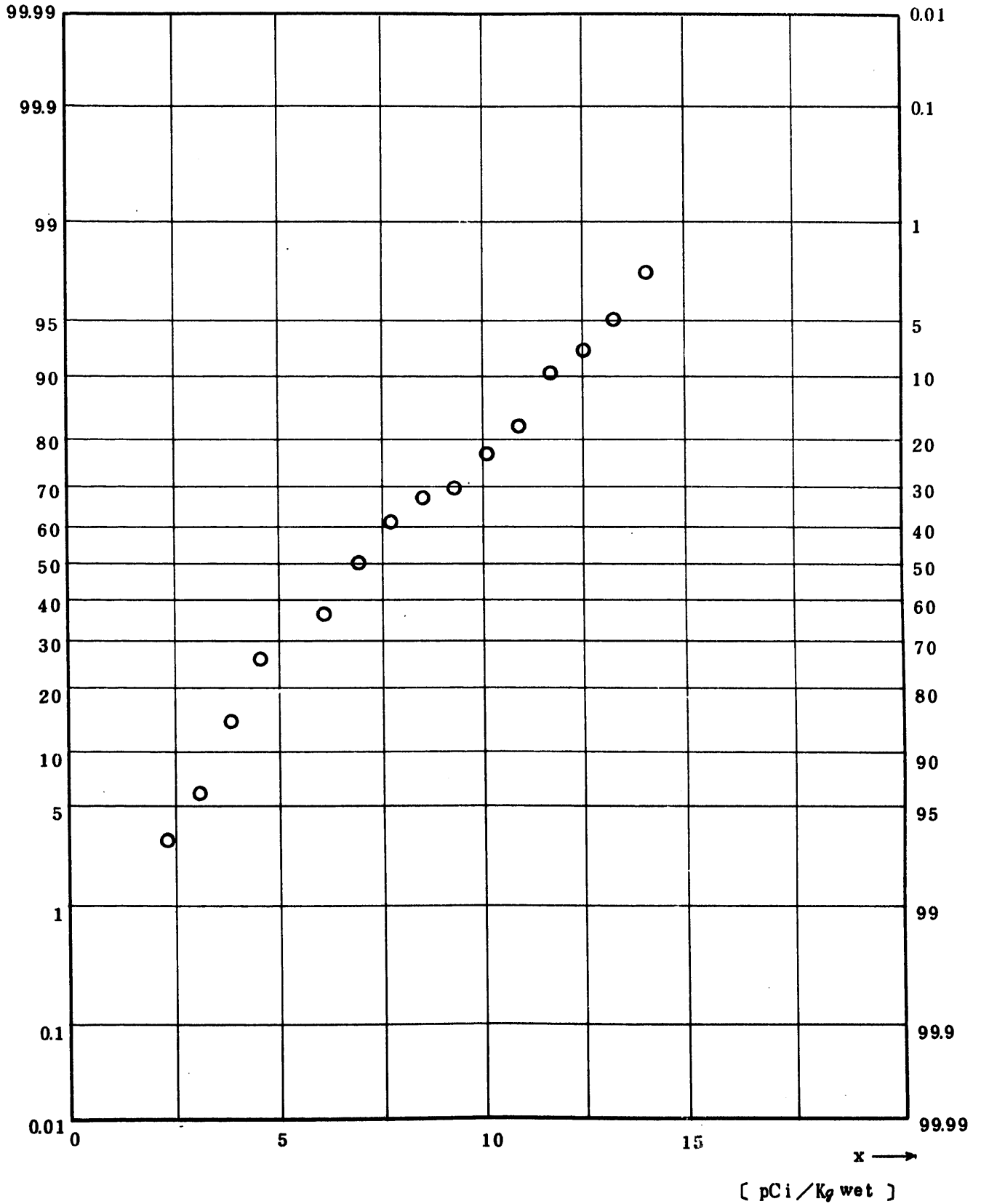


Fig. 1.1.4.5.1.1.7 $^{144}\text{Ce}/^{144}\text{Pr}$ Concentration in Brown Algae

(Kazime · Arame · Wakame and Hiziki)(ALL)

(1971.10 ~ 1977.3)

図 1.1.4.5.1.1.7 褐藻(カジメ・アラメ・ワカメ・ヒジキ)中 ^{144}Ce 放射能濃度(全測定値)

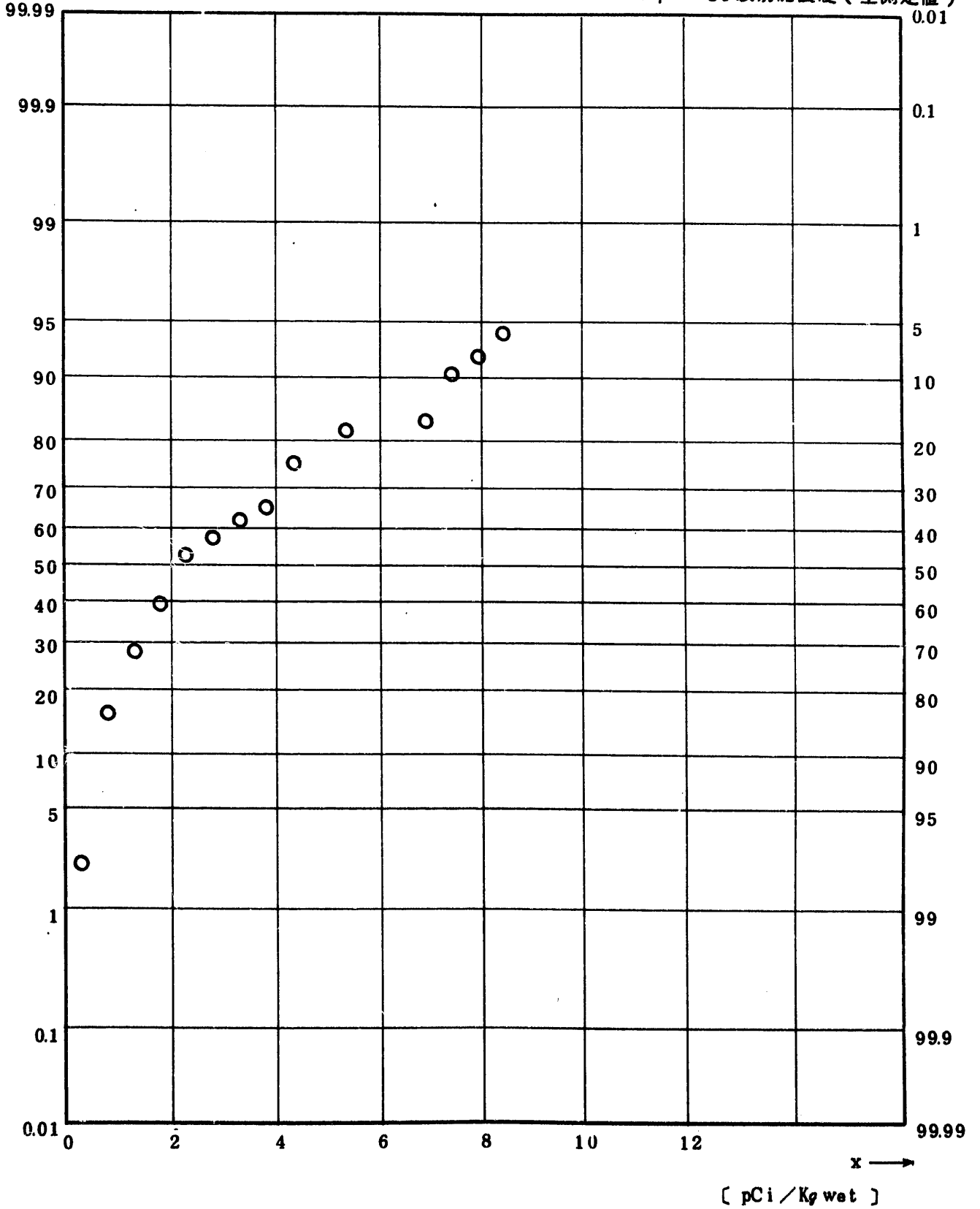


Fig. 11.4.5.1.1.1.8 $^{239}\text{Pu} + ^{240}\text{Pu}$ Concentration in Brown Algae
 (Kazime·Arame·Wakame and Hiziki)(ALL)
 (1971.10~1977.3)

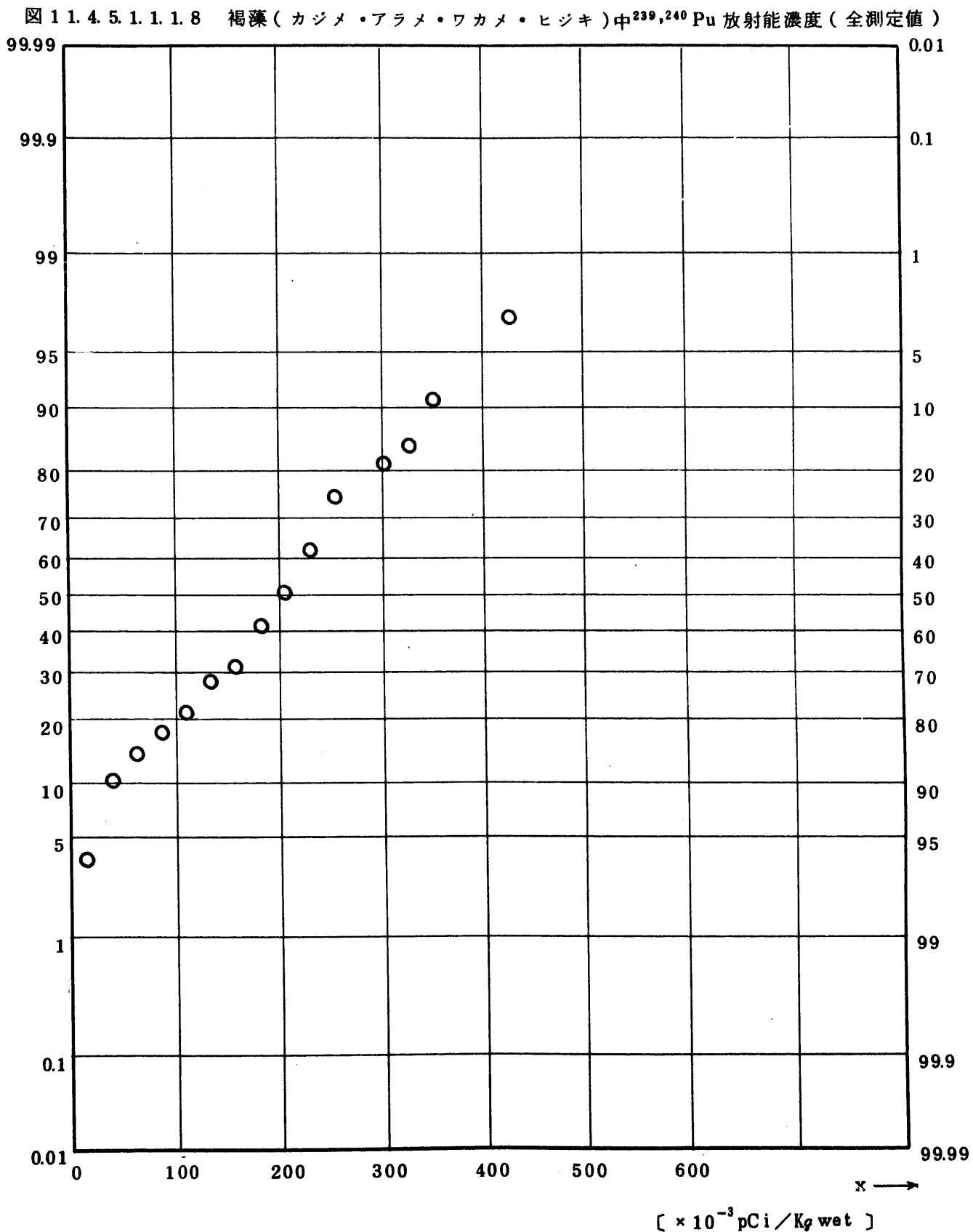


Fig. 1.1.4.5.2.1.1.1 Gross BETA Concentration in Brown Algae
 (Kazime·Arame·Wakame and Hiziki)(USUAL)

(1971.10 ~ 1977.3)

図 1.1.4.5.2.1.1.1 褐藻 (カジメ・アラメ・ワカメ・ヒジキ) 中全β放射能濃度 (平常値)

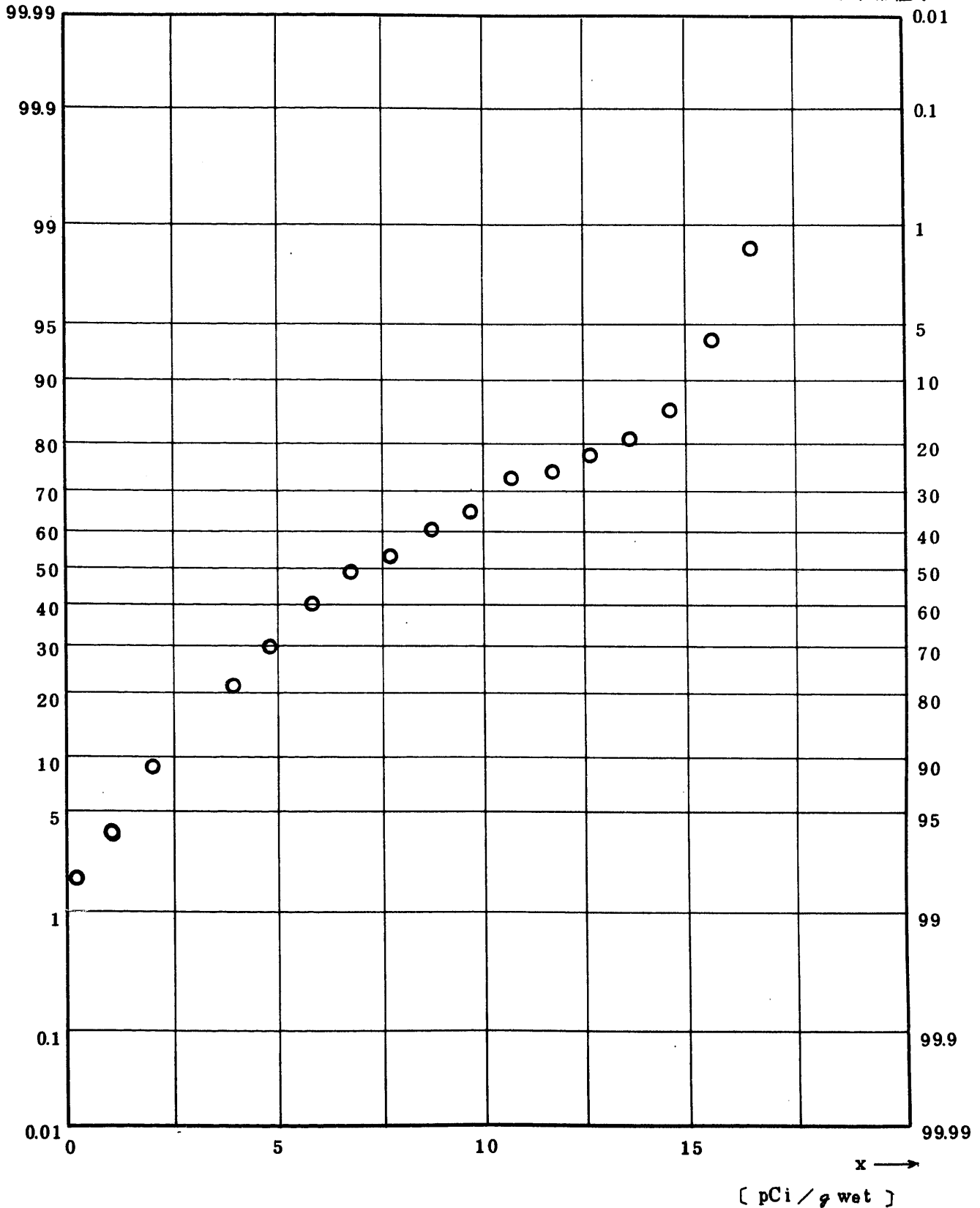


Fig. 1.1.4.5.2.1.1.2 ⁹⁰Sr Concentration in Brown Algae

(Kazime · Arame · Wakame and Hiziki) (USUAL)

(1971.10 ~ 1977.3)

図 1.1.4.5.2.1.1.2 褐藻 (カジメ・アラメ・ワカメ・ヒジキ) 中 ⁹⁰Sr 放射能濃度 (平常値)

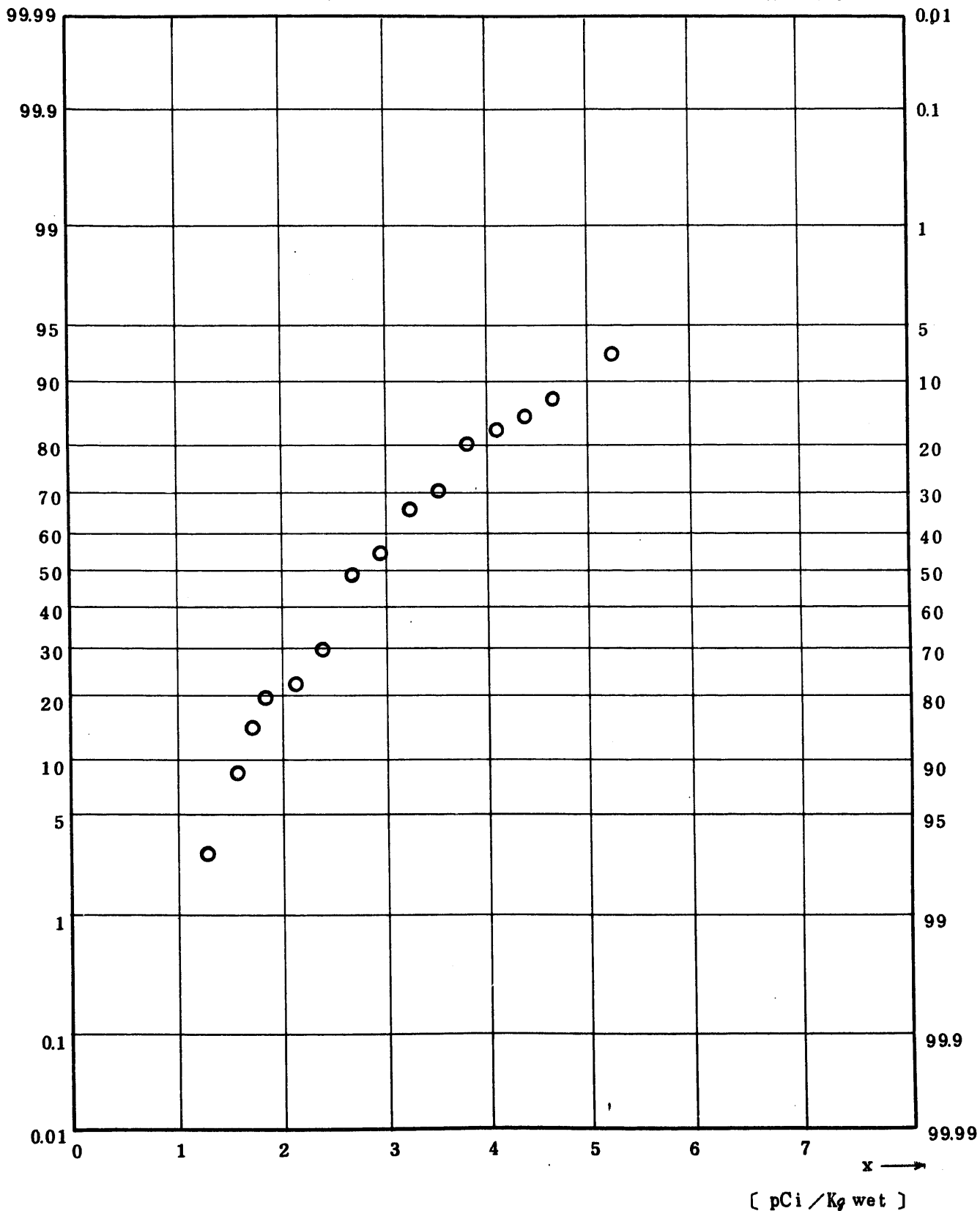


Fig. 1.1.4.5.2.1.1.3 ^{95}Zr Concentration in Brown Algae
 (Kazime·Arame·Wakame and Hiziki) (USUAL)

(1971.10 ~ 1977.3)

図 1.1.4.5.2.1.1.3 褐藻(カジメ・アラメ・ワカメ・ヒジキ)中 ^{95}Zr 放射能濃度(平常値)

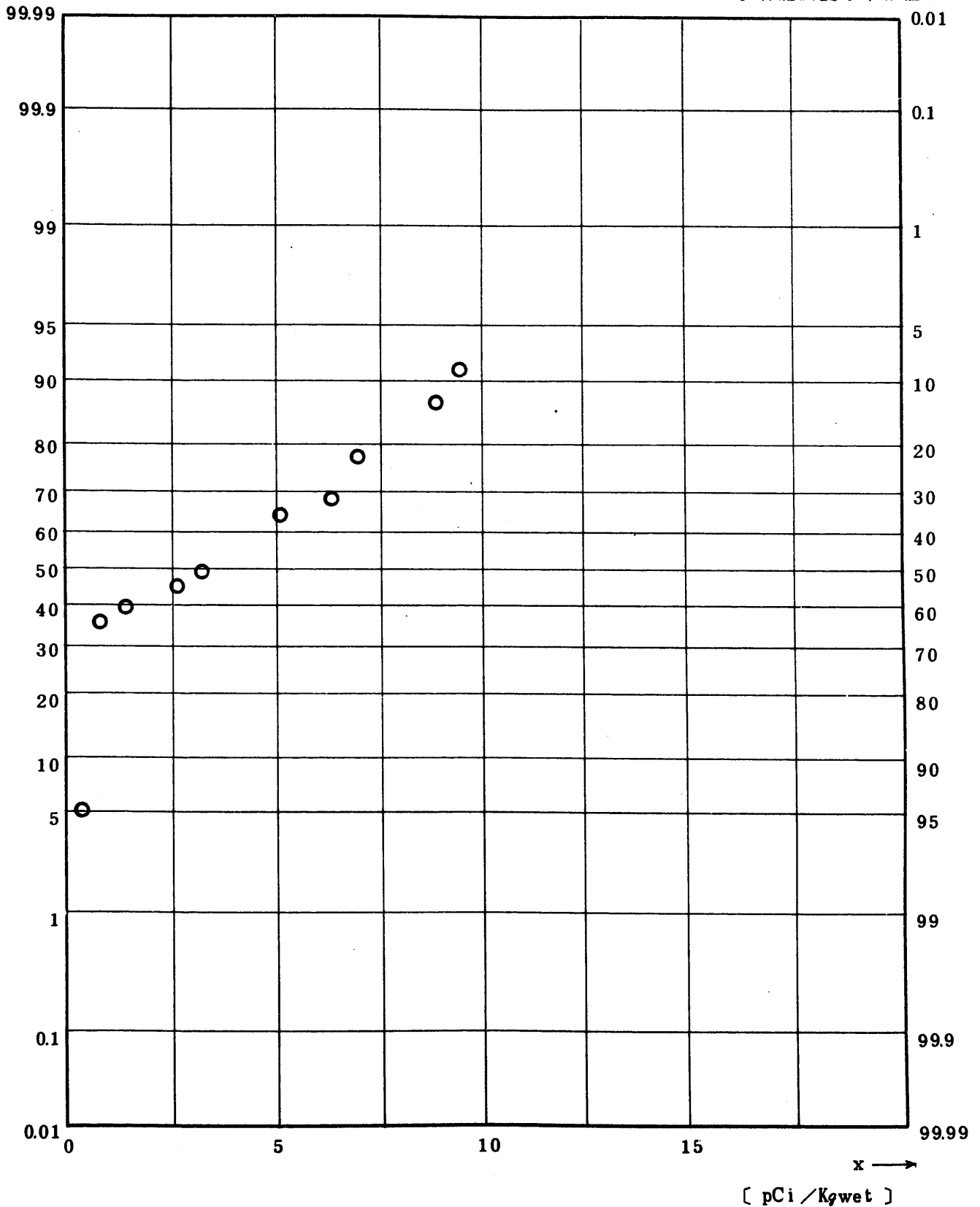


Fig. 1.1.4.5.2.1.1.4 ⁹⁵Nb Concentration in Brown Algae

(Kazime·Arame·Wakame and Hiziki) (USUAL)

(1971.10 ~ 1977.3)

図 1.1.4.5.2.1.1.4 褐藻(カジメ・アウメ・ワカメ・ヒジキ)中 ⁹⁵Nb 放射能濃度 (平常値)

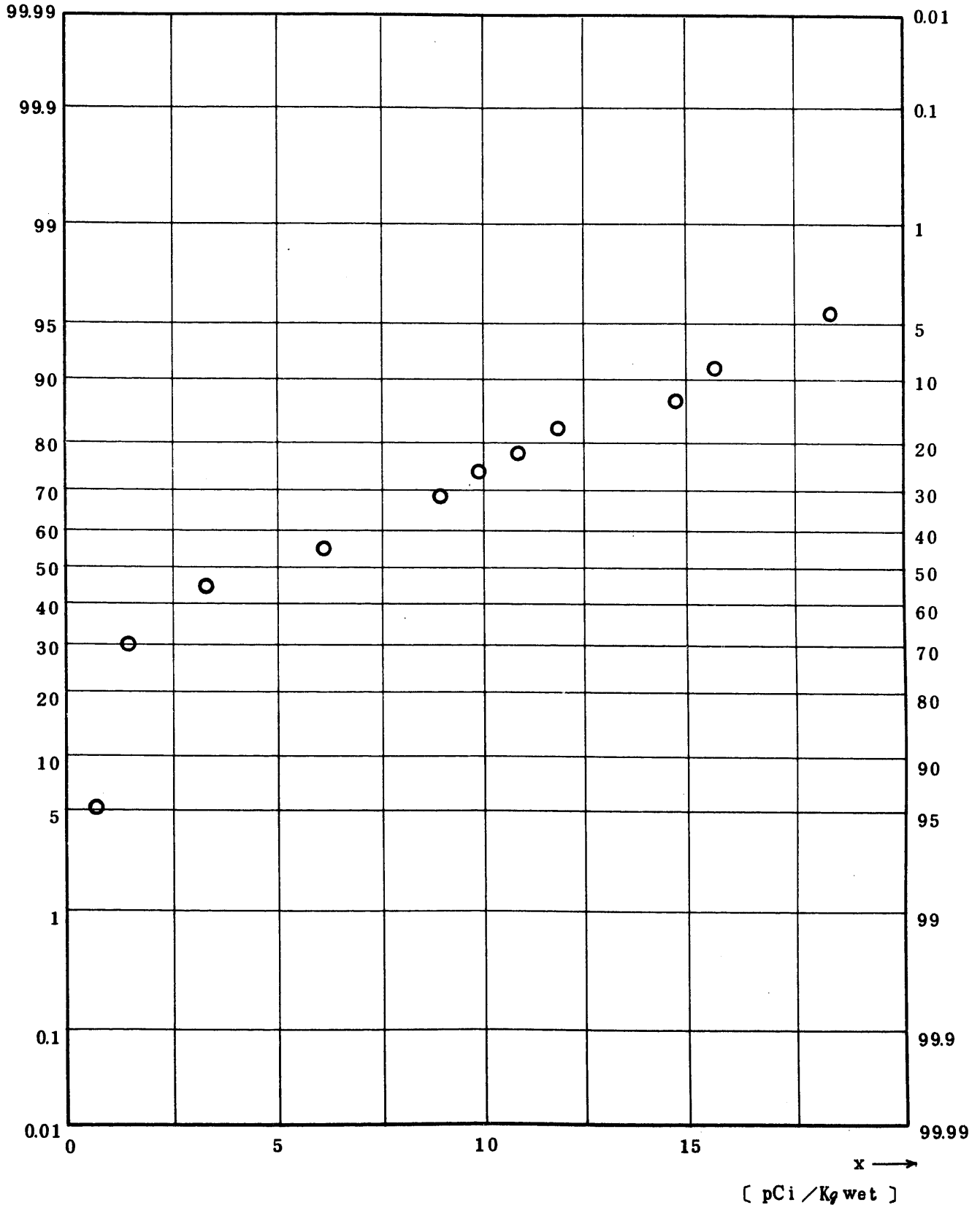


Fig. 1.1.4.5.2.1.1.5 $^{106}\text{Ru}/^{106}\text{Rh}$ Concentration in Brown Algae
 (Kazime·Arame·Wakame and Hiziki) (USUAL)

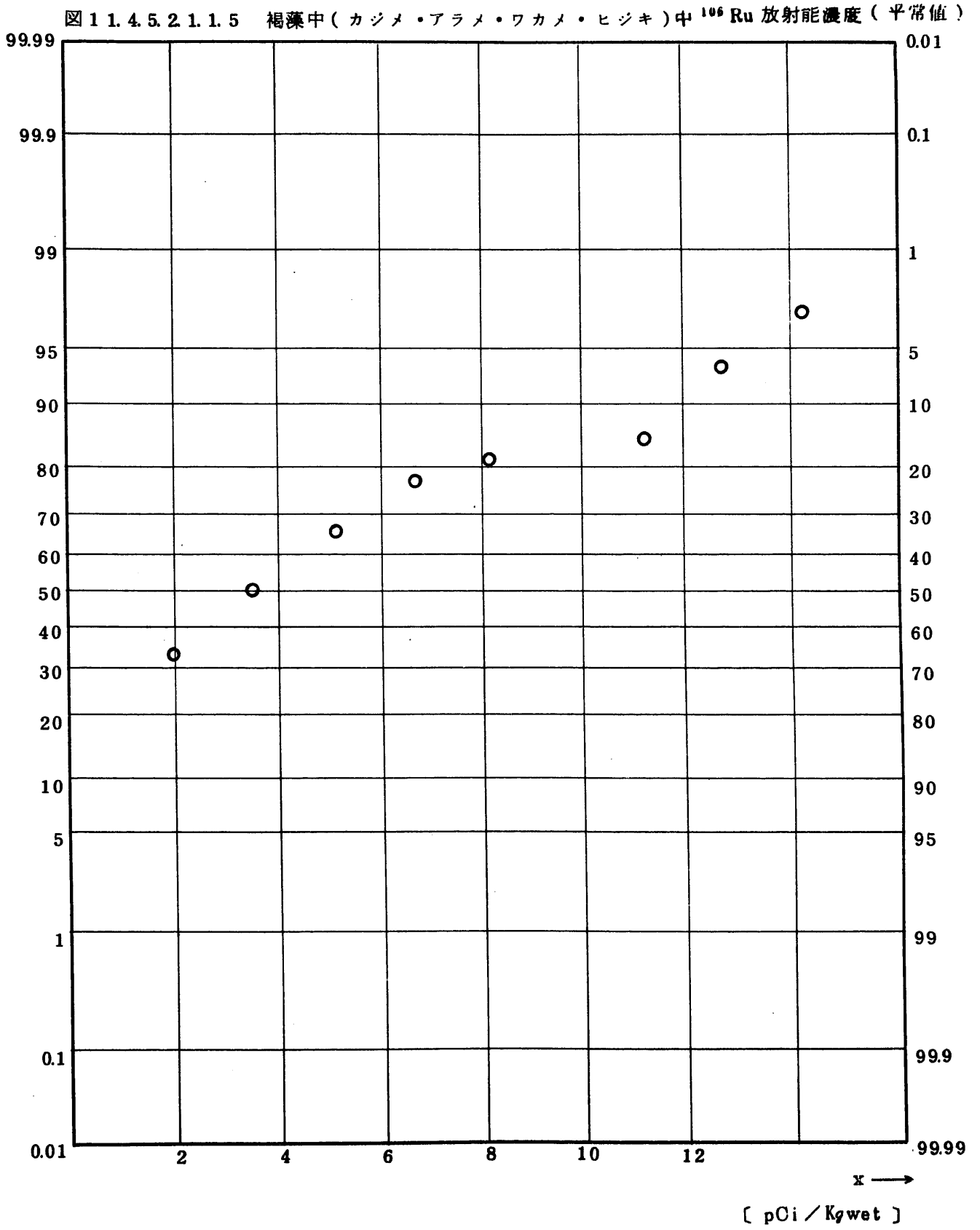


Fig. 1.1.4.5.2.1.1.6 ¹³⁷Cs Concentration in Brown Algae

(Kazime · Arame · Wakame and Hiziki) (USUAL)

(1971.10 ~ 1977.3)

図 1.1.4.5.2.1.1.6 褐藻 (カジメ ・ アラメ ・ ワカメ ・ ヒジキ) 中 ¹³⁷Cs 放射能濃度 (平常値)

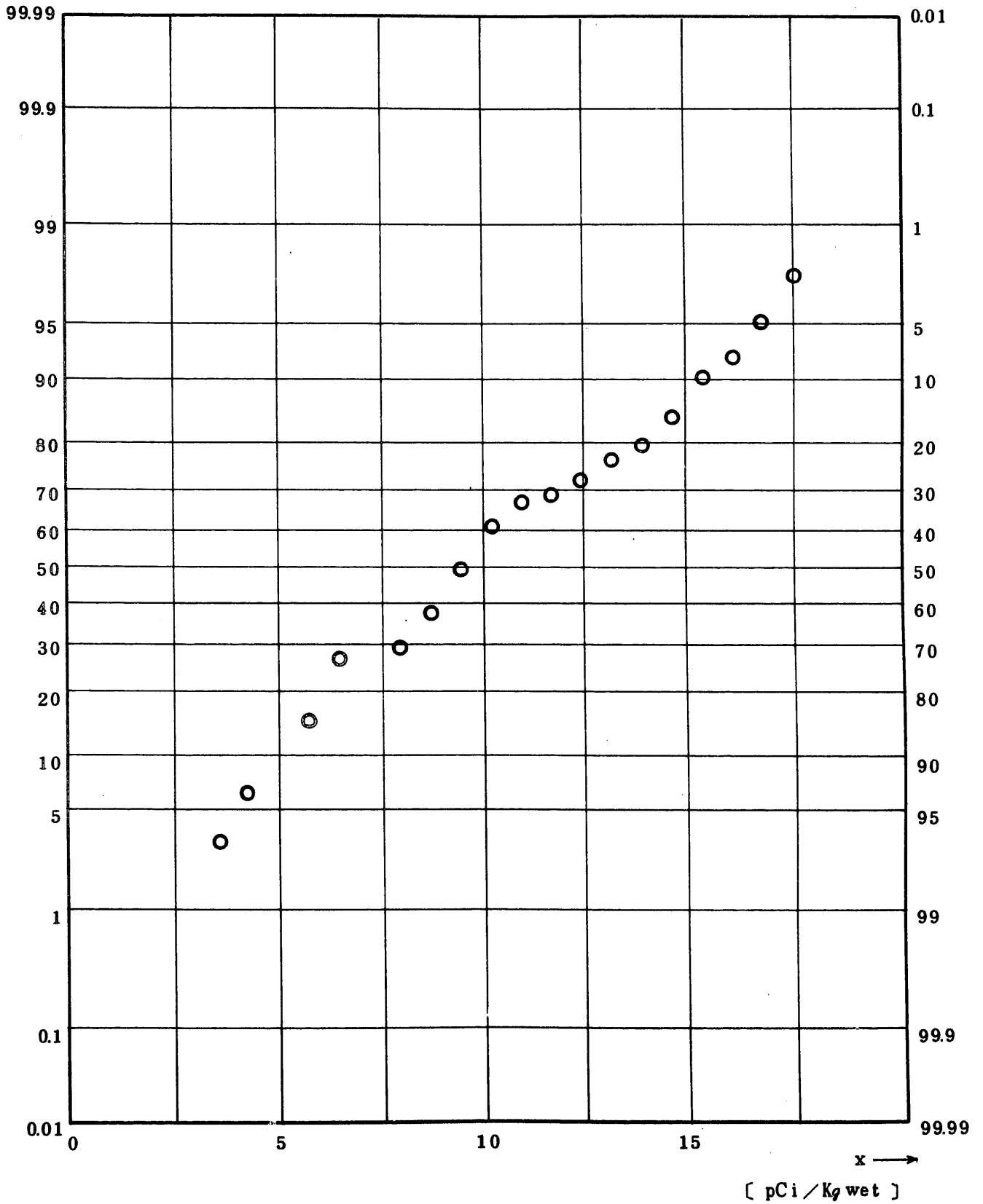


Fig. 1.1.4.5.2.1.1.7 $^{144}\text{Ce}/^{144}\text{Pr}$ Concentration in Brown Algae
 (Kazime·Arame·Wakame and Hiziki) (USUAL)

(1971.10 ~ 1977.3)

図 1.1.4.5.2.1.1.7 褐藻(カジメ・アラメ・ワカメ・ヒジキ)中 ^{144}Ce 放射能濃度(平常値)

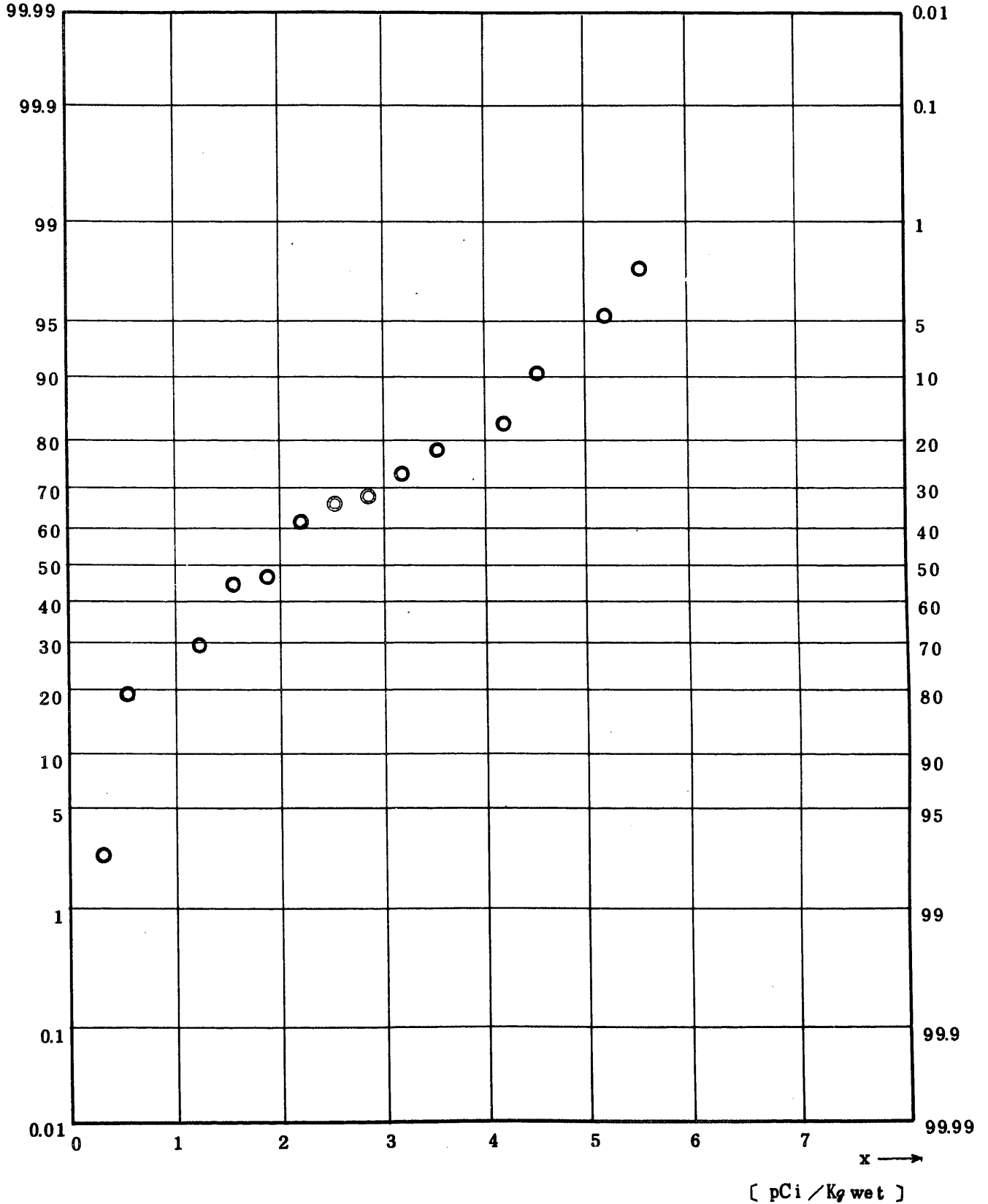


Fig. 11.4.5.2.1.1.8 $^{239}\text{Pu} + ^{240}\text{Pu}$ Concentration in Brown Algae

(Kazime · Arame · Wakame and Hiziki)(USUAL)

(1971.10 ~ 1977.3)

図 11.4.5.2.1.1.8 褐藻(カジメ・アラメ・ワカメ・ヒジキ)中 $^{239,240}\text{Pu}$ 放射能濃度(平常値)

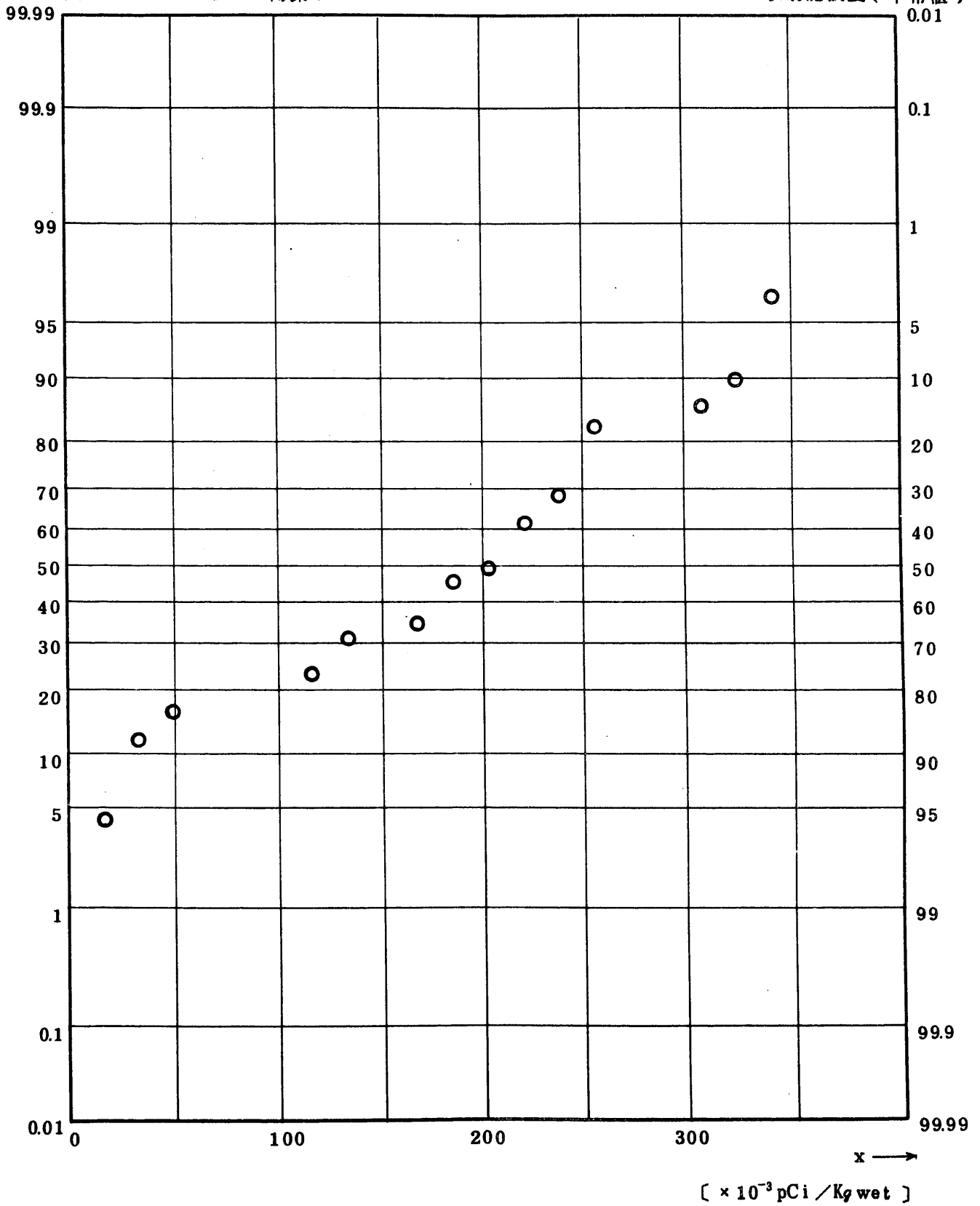


Fig. 11.7.1.1.1.1 Gross BETA Concentration in Shellfish

(Flesh of Kotamagai, Clam and Ear-shell)(ALL)

(1971.9 ~ 1977.2)

図 11.7.1.1.1.1.1 貝類(こたま貝・ハマグリ・アワビ)中全β放射能濃度(全測定値)

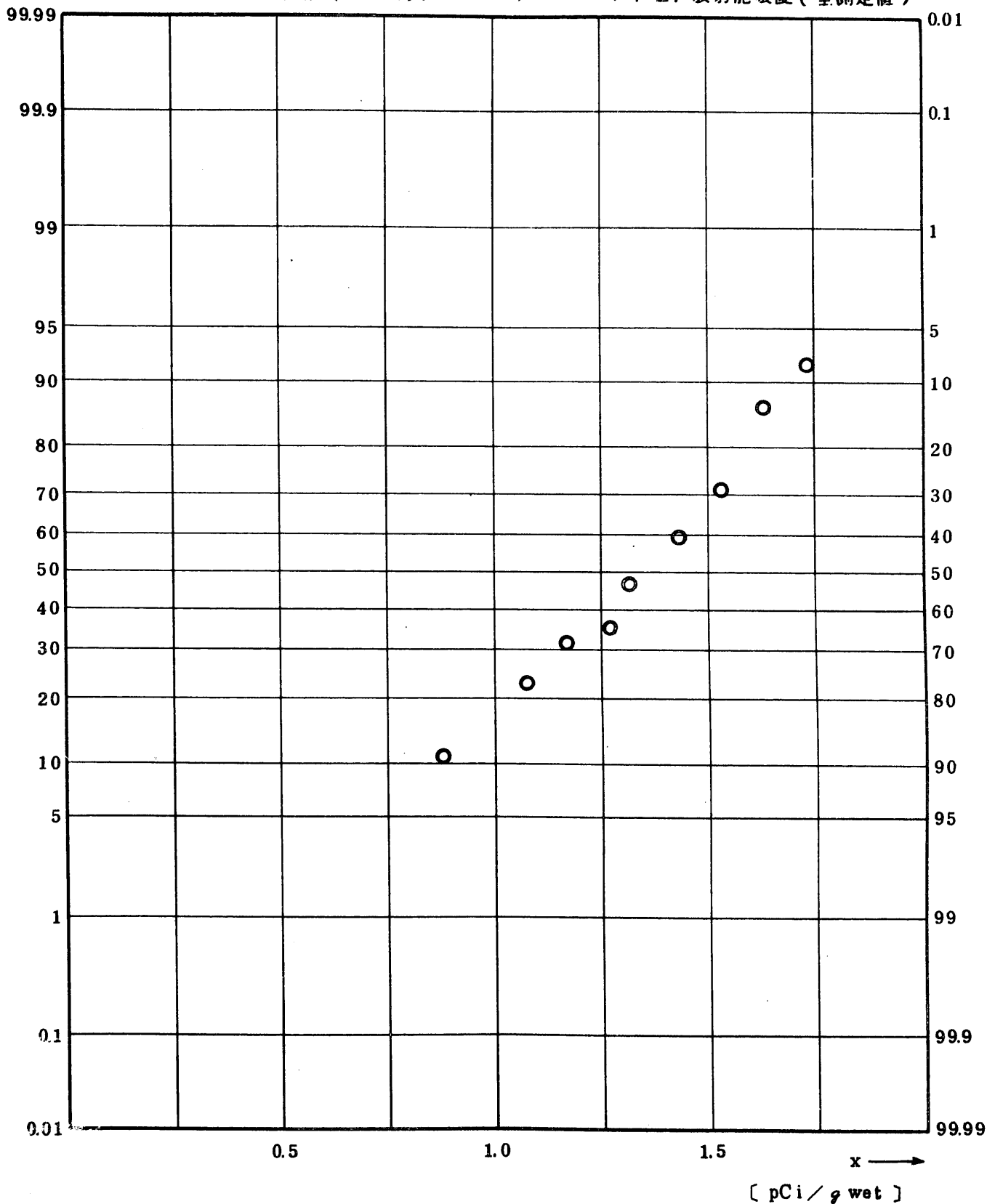


Fig. 11.7.1.1.1.2 ^{90}Sr Concentration in Shellfish
 (Flesh of Kotamagai, Clam and Ear-shell) (ALL)
 (1971.9 ~ 1977.2)

図 11.7.1.1.1.2 貝類(こたま貝・ハマグリ・アワビ)中 ^{90}Sr 放射能濃度(全測定値)

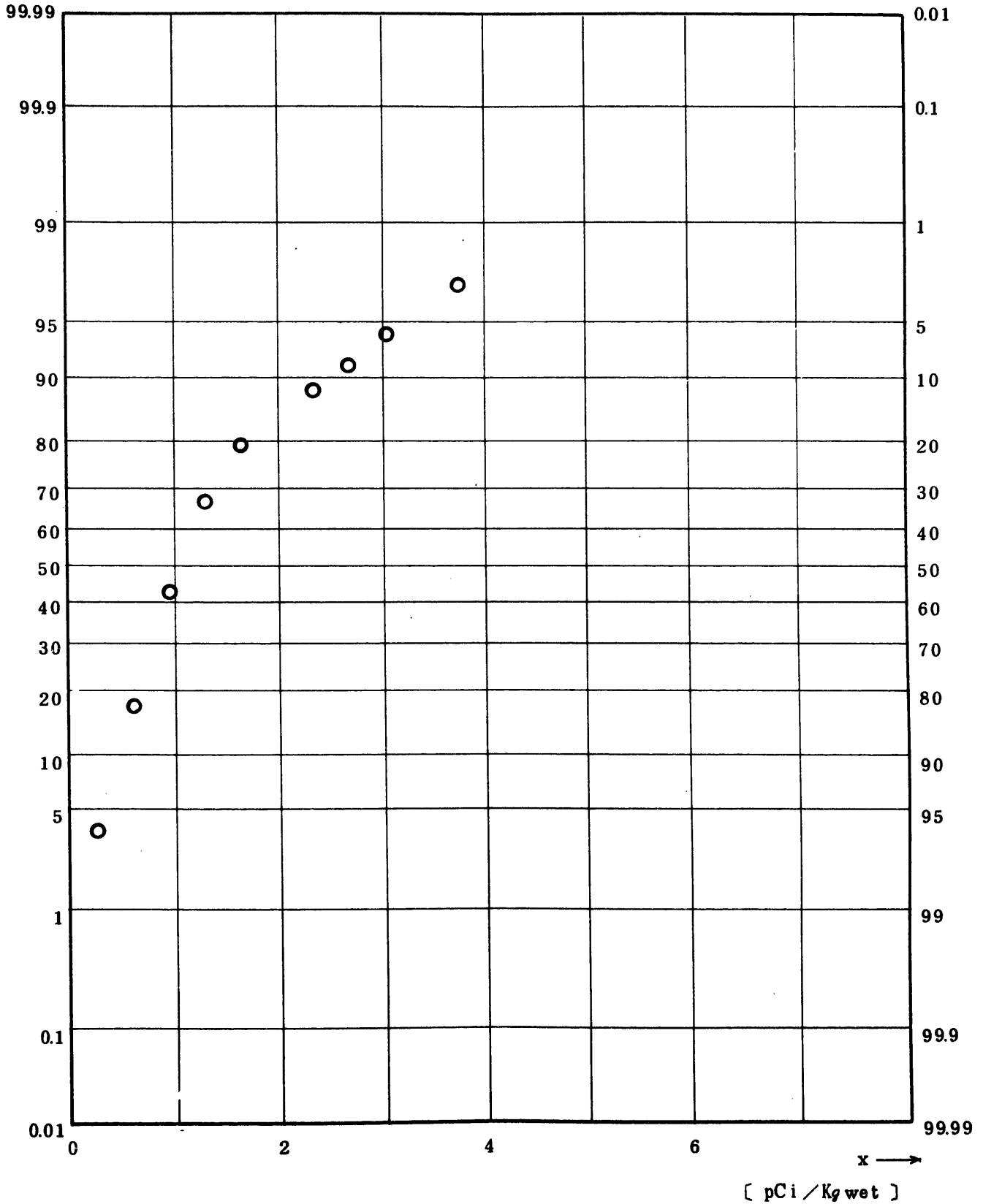


Fig. 11.7.1.1.2.1.2 ⁹⁰Sr Concentration in Shellfish
 (Flesh of Kotamagai, Clam and Ear-shell) (ALL)
 (1971.9~1977.2)

図 11.7.1.1.2.1.2 貝類(こたま貝・ハマグリ・アワビ)中⁹⁰Sr放射能濃度(全測定値)

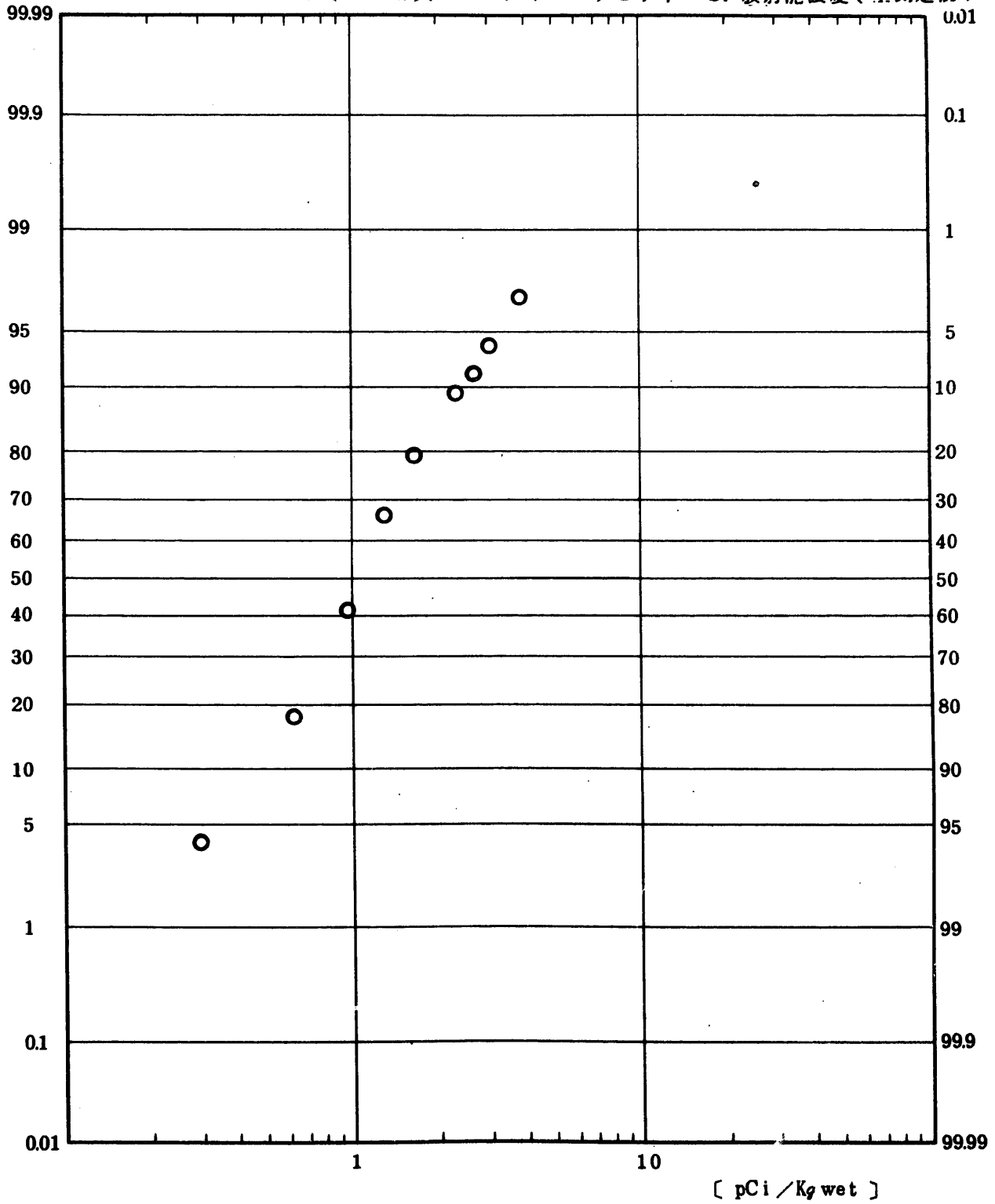


Fig. 11.7.1.1.1.3 ^{95}Zr Concentration in Shellfish
 (Flesh of Kotamagai, Clam and Ear-shell) (ALL)
 (1 9 7 1 . 9 ~ 1 9 7 7 . 2)

図 11.7.1.1.1.3 貝類(こたま貝・ハマグリ・アワビ)中 ^{95}Zr 放射能濃度(全測定値)

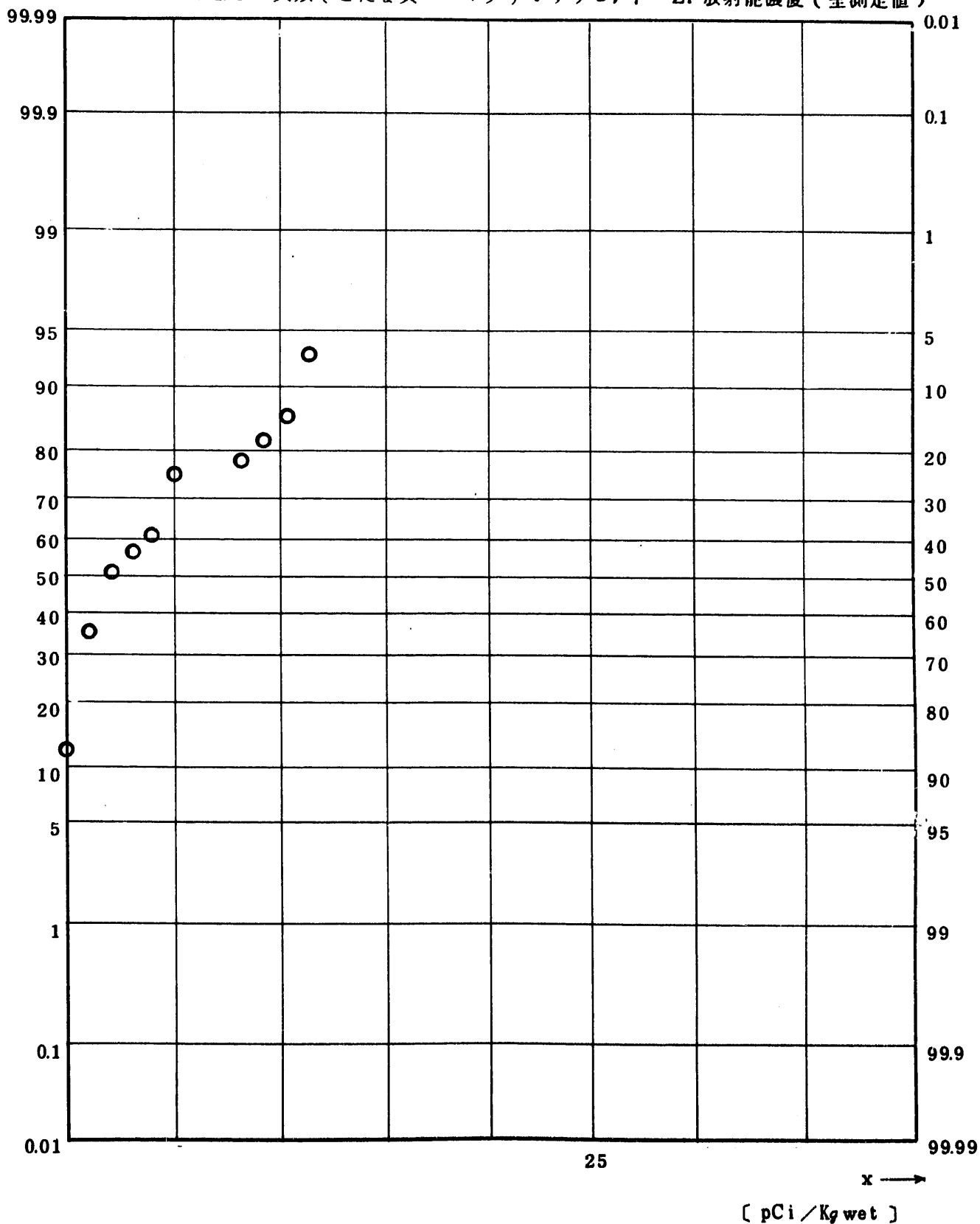


Fig. 11.7.1.1.1.4 ⁹⁵Nb Concentration in Shellfish
 (Flesh of Kotamagai, Clam and Ear-shell) (ALL)
 (1971.9 ~ 1977.2)

図 11.7.1.1.1.4 貝類(こたま貝・ハマグリ・アワビ)中⁹⁵Nb放射能濃度(全測定値)

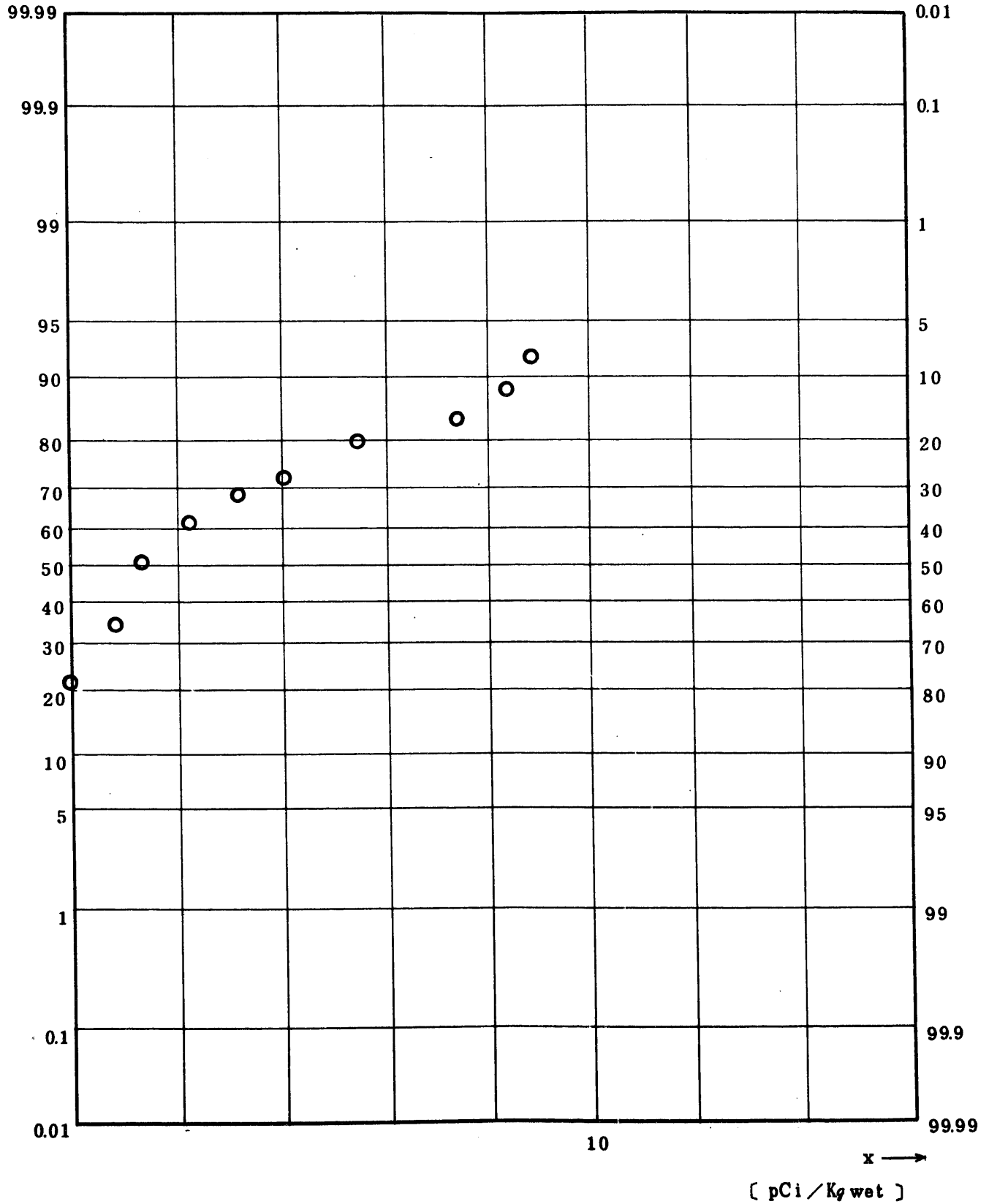


Fig. 11.7.1.1.1.5 $^{106}\text{Ru}/^{106}\text{Rh}$ Concentration in Shellfish
 (Flesh of Kotamagai, Clam and Ear-shell) (ALL)
 (1971.9 ~ 1977.2)

図 11.7.1.1.1.5 貝類(こたま貝・ハマグリ・アワビ)中 ^{106}Ru 放射能濃度(全測定値)

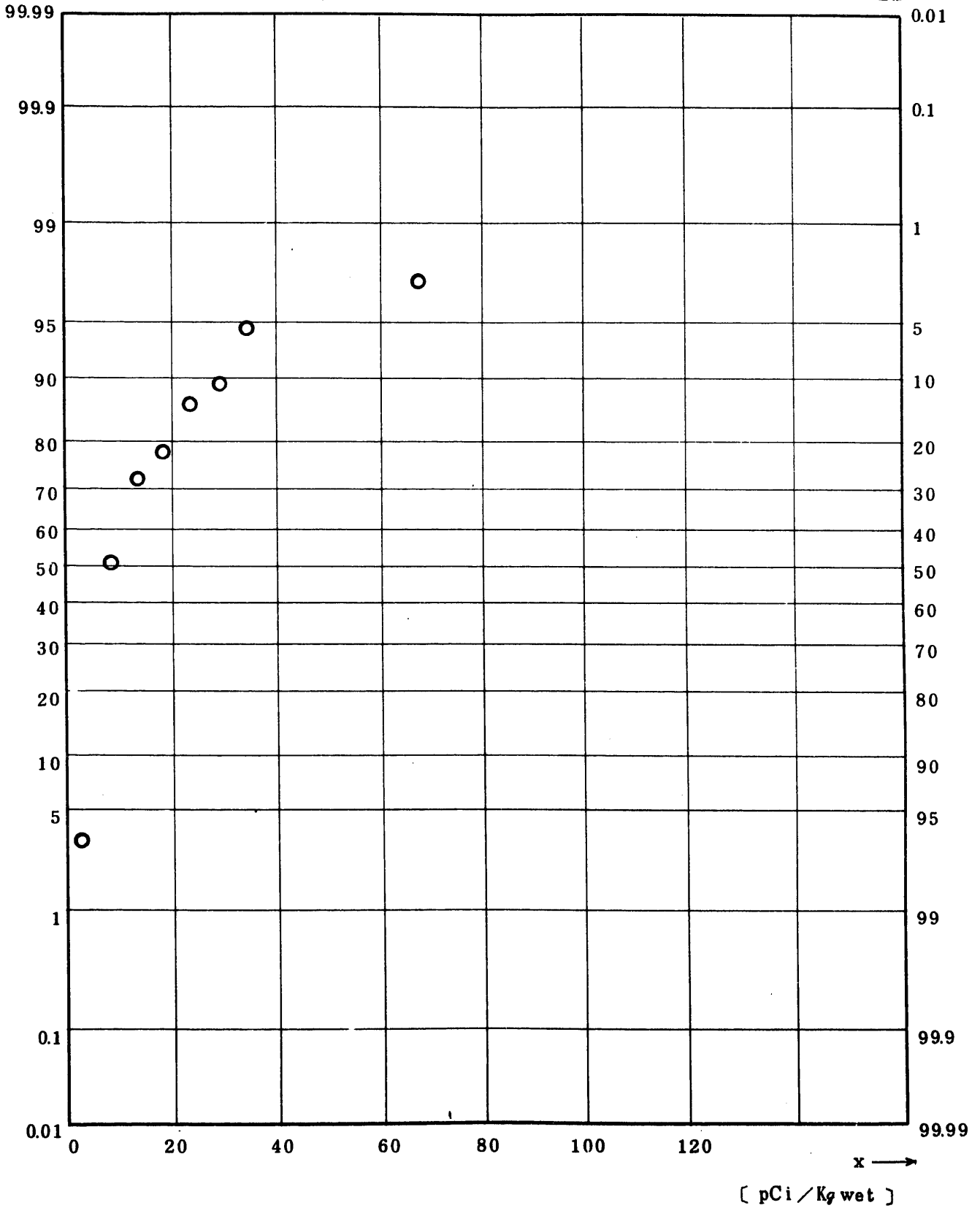


Fig. 1.1.7.1.1.1.6 ¹³⁷Cs Concentration in Shellfish
 (Flesh of Kotamagai, Clam and Ear-shell) (ALL)
 (1971.9 ~ 1977.2)

図 1.1.7.1.1.1.6 貝類(こたま貝・ハマグリ・アワビ)中 ¹³⁷Cs 放射能濃度(全測定値)

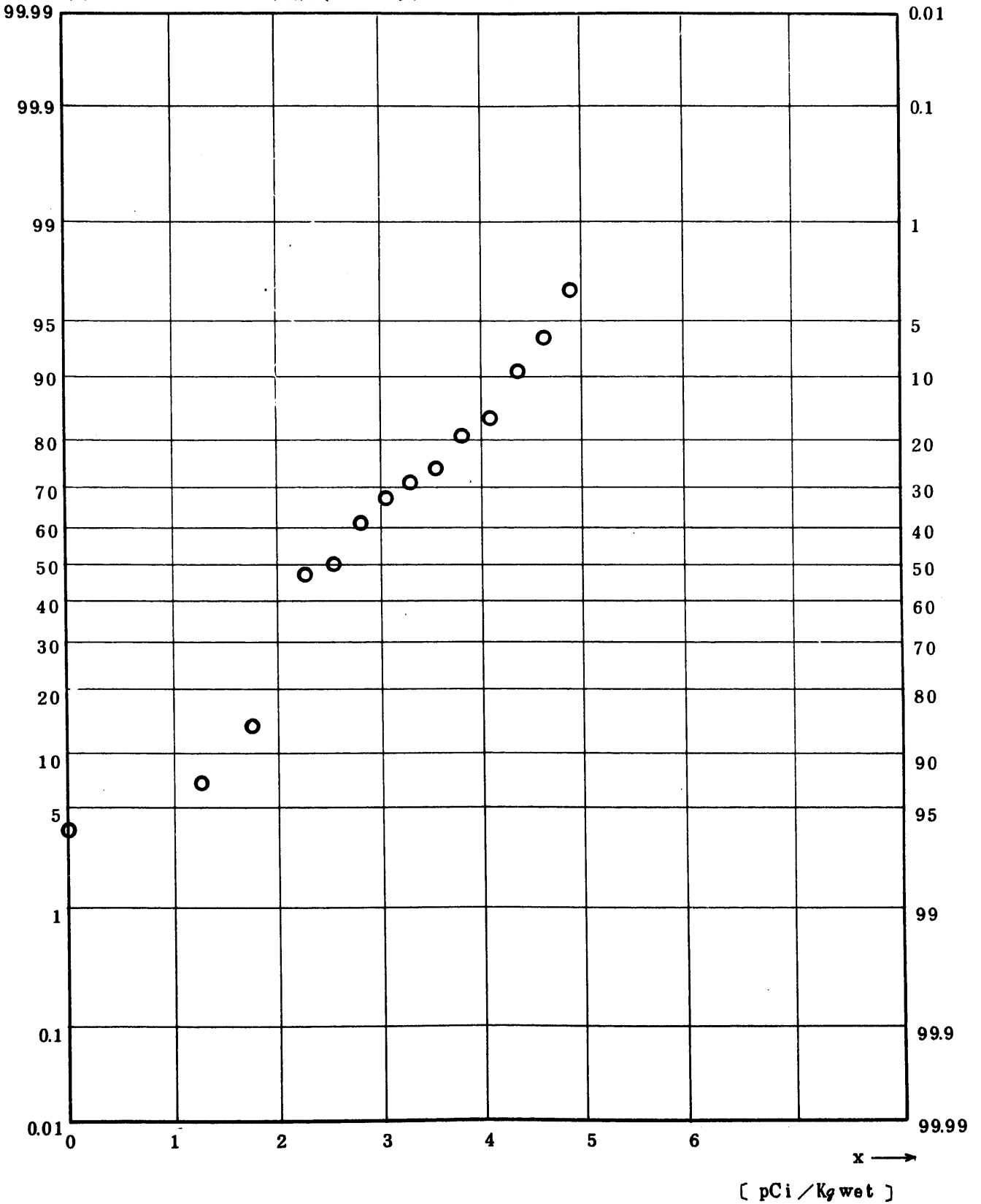


Fig. 11.7.1.1.1.7 $^{144}\text{Ce}/^{144}\text{Pr}$ Concentration in Shellfish
 (Flesh of Kotamagai, Clam and Ear-shell) (ALL)
 (1971.9~1977.2)

図 11.7.1.1.1.7 貝類(こたま貝・ハマグリ・アワビ)中 ^{144}Ce 放射能濃度(全測定値)

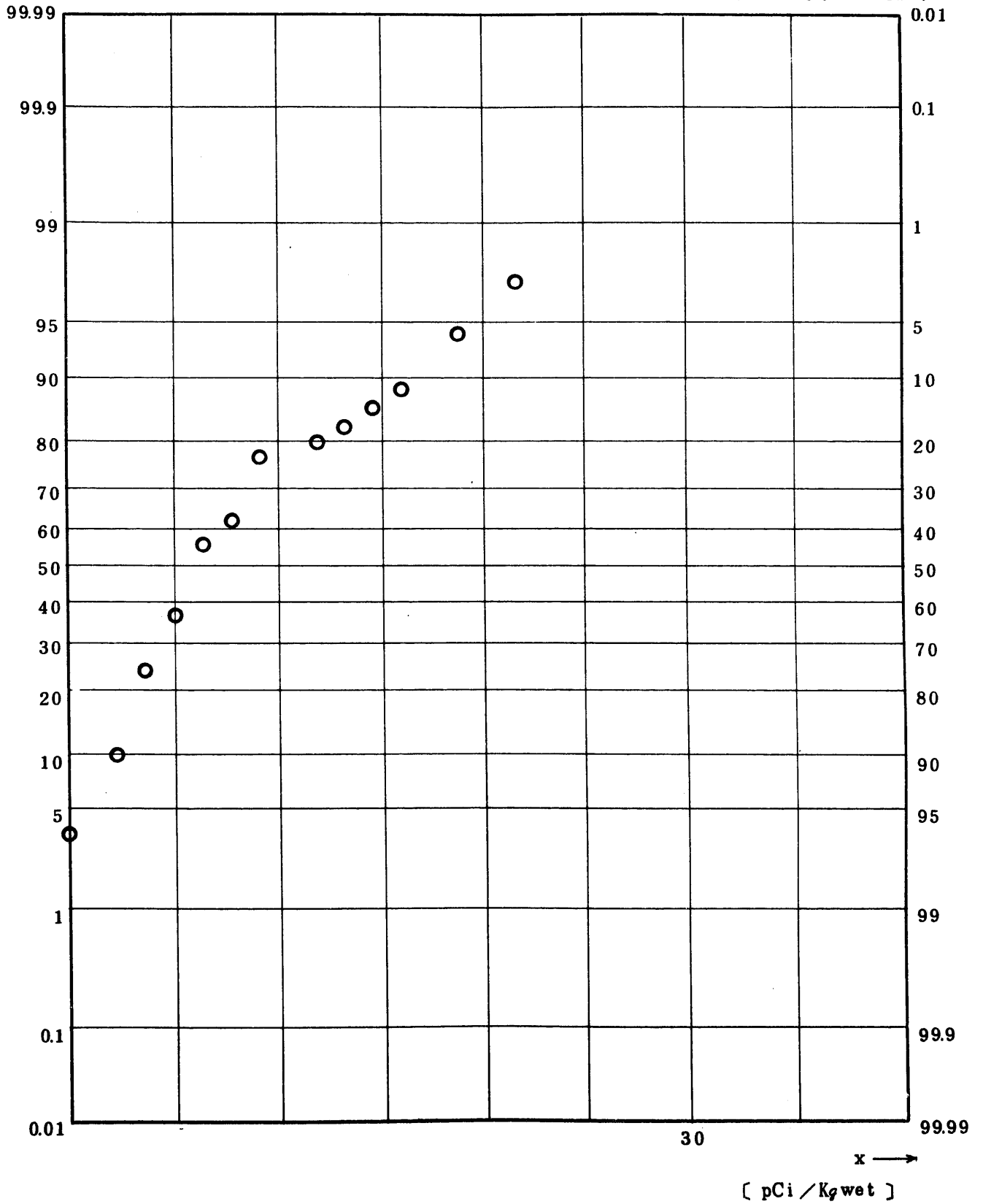


Fig. 11.7.1.1.1.8 $^{239}\text{Pu} + ^{240}\text{Pu}$ Concentration in Shellfish
 (Flesh of Kotamagai, Clam and Ear-shell) (ALL)
 (1971.9 ~ 1977.2)

図 11.7.1.1.1.1.8 貝類(こたま貝・ハマグリ・アワビ)中 $^{239,240}\text{Pu}$ 放射能濃度(全測定値)

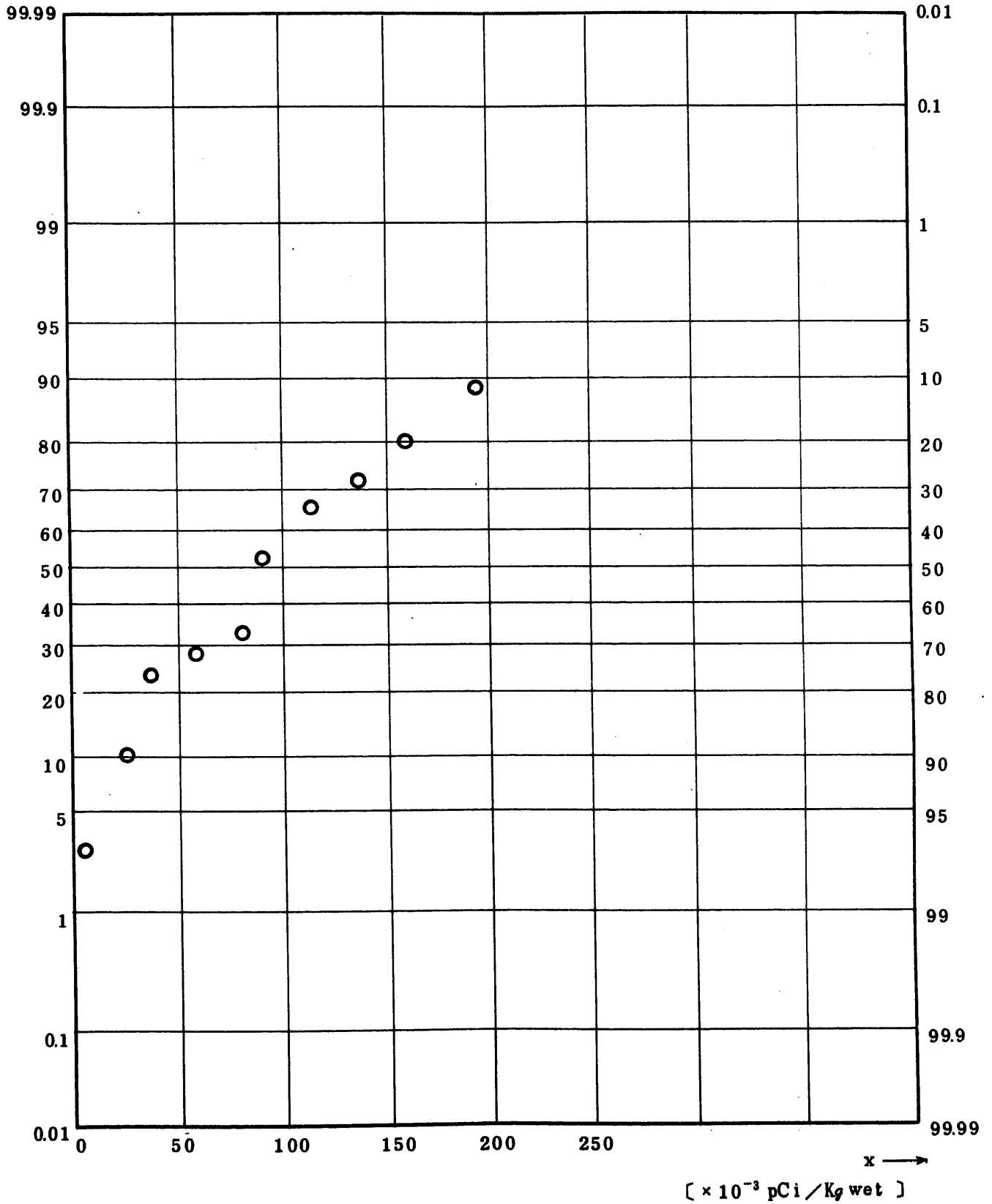


Fig. 11.7.1.2.1.1.1 Gross BETA Concentration in Shellfish
 (Flesh of Kotamagai, Clam and Ear-shell) (USUAL)
 (1971.9 ~ 1977.2)

図 11.7.1.2.1.1.1. 貝類(こたま貝・ハマグリ・アワビ)中全β放射能濃度(平常値)

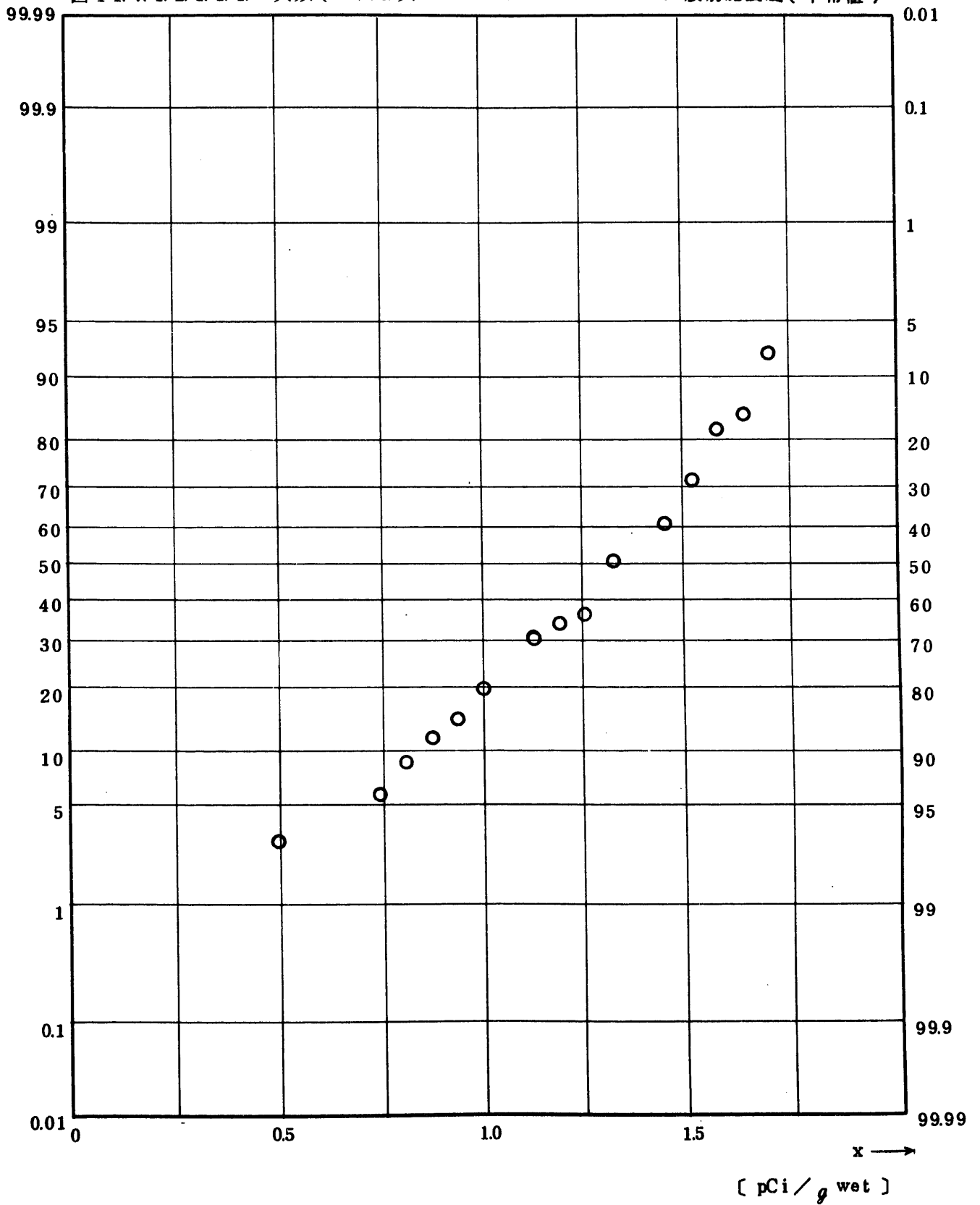


Fig. 11.7.1.2.1.1.2 ^{90}Sr Concentration in Shellfish
 (Flesh of Kotamagai, Clam and Ear-shell) (USUAL)
 (1971.9~1977.2)

図 11.7.1.2.1.1.2 貝類(こたま貝・ハマグリ・アワビ)中 ^{90}Sr 放射能濃度(平常値)

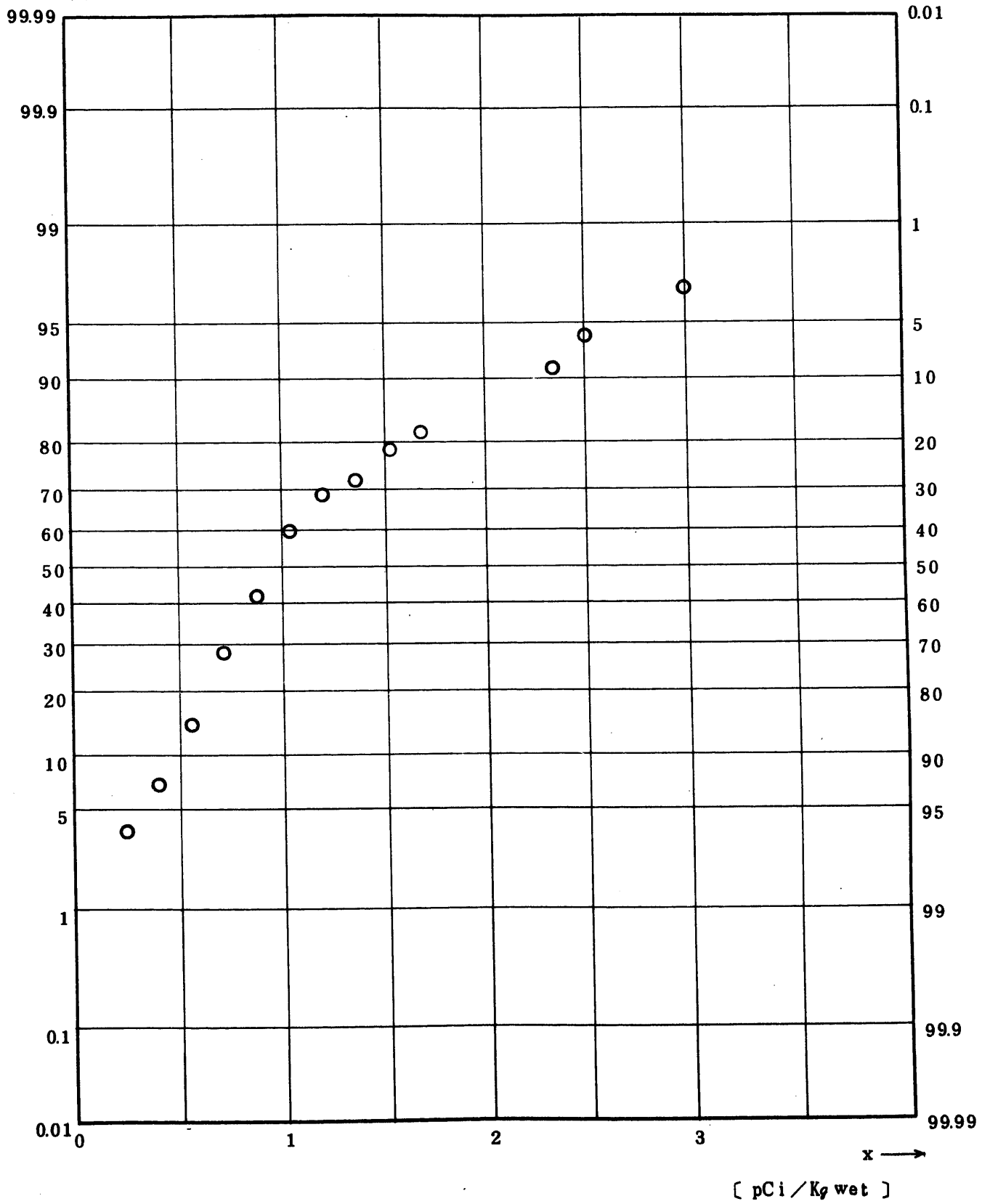


Fig. 11.7.1.2.2.1.2 ⁹⁰Sr Concentration in Shellfish
 (Flesh of Kotamagai, Clam and Ear-shell) (USUAL)
 (1 9 7 1 . 9 ~ 1 9 7 7 . 2)

図 1 1 . 7 . 1 . 2 . 2 . 1 . 2 貝類(こたま貝・ハマグリ・アワビ)中⁹⁰Sr放射能濃度(平常値)

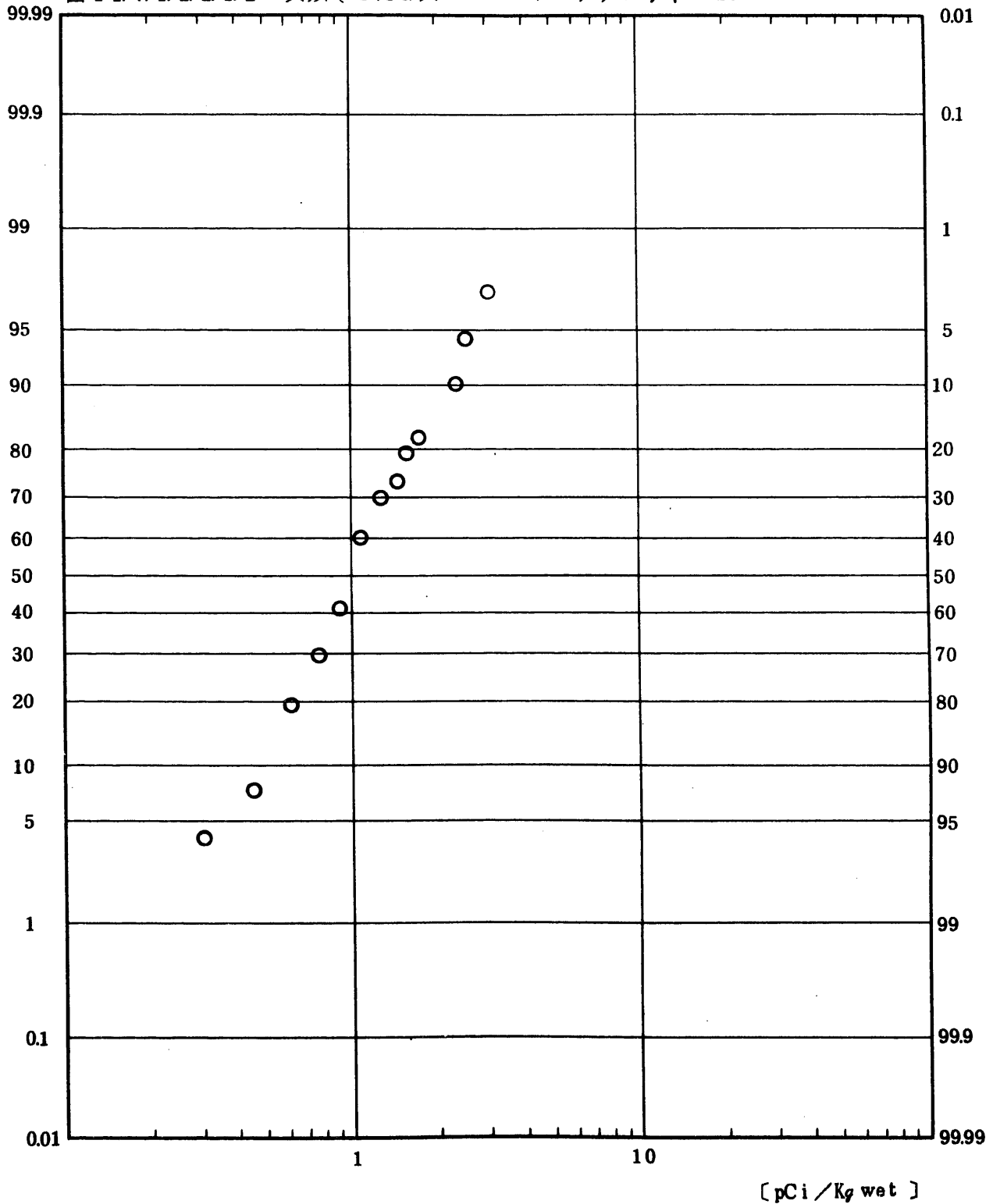


Fig. 11.7.1.2.1.1.3 ^{95}Zr Concentration in Shellfish
 (Flesh of Kotamagai, Clam and Ear-shell) (USUAL)
 (1971.9 ~ 1977.2)

図 11.7.1.2.1.1.3 貝類(こたま貝・ハマグリ・アワビ)中 ^{95}Zr 放射能濃度(平常値)

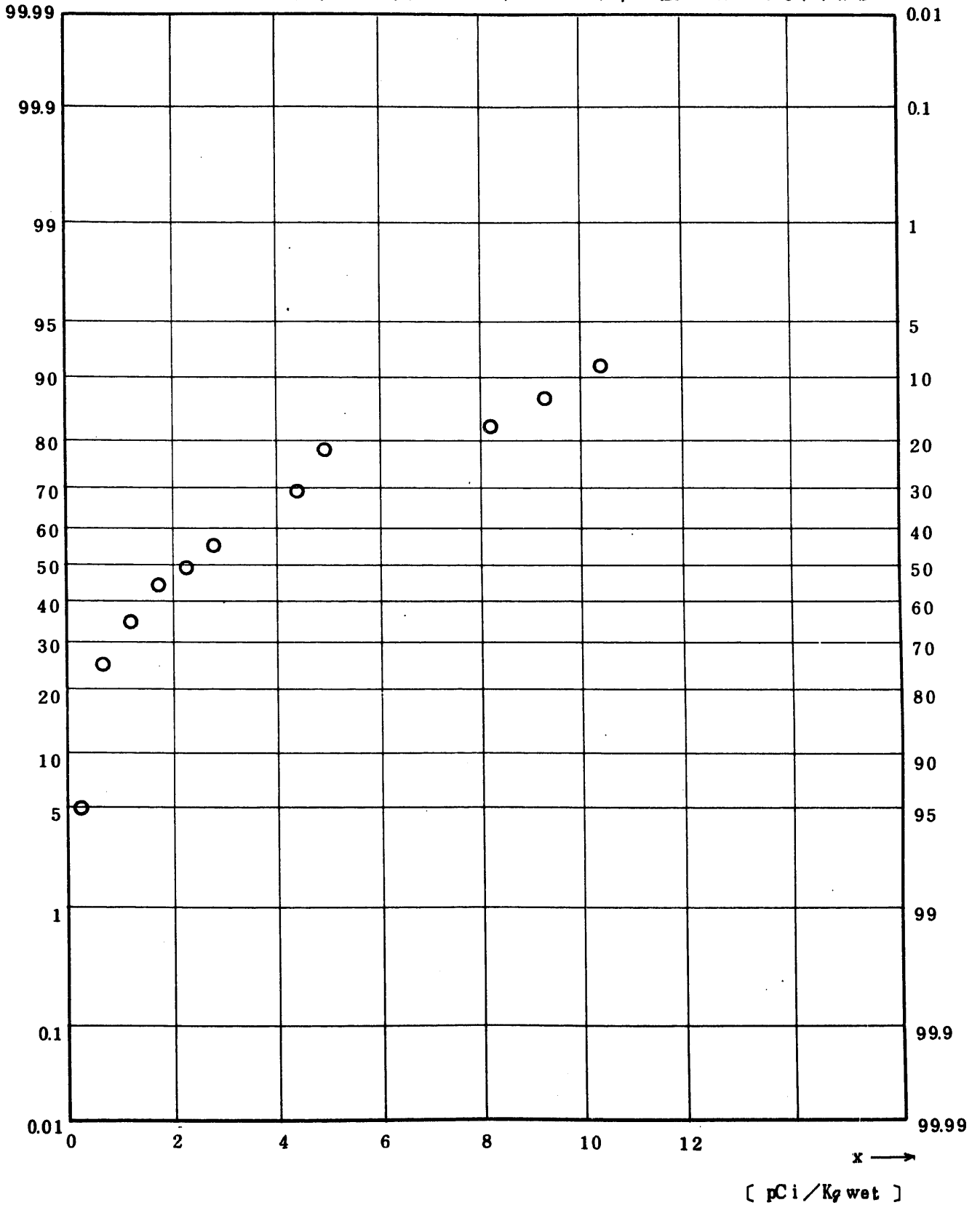


Fig. 11.7.1.2.1.1.4 ⁹⁵Nb Concentration in Shellfish
 (Flesh of Kotamagai, Clam and Ear-shell) (USUAL)
 (1971.9 ~ 1977.2)

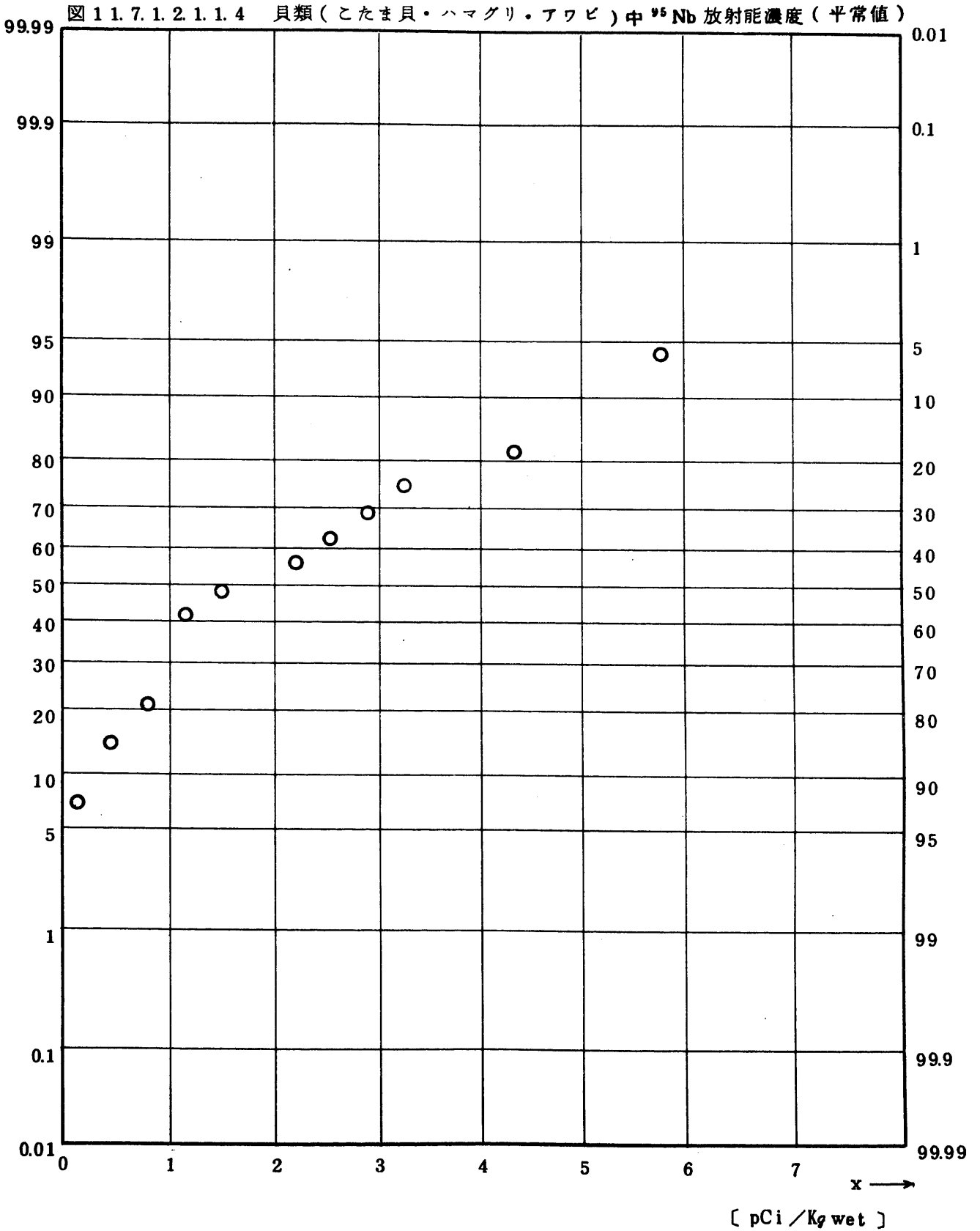


Fig. 11.7.1.2.1.1.5 $^{106}\text{Ru}/^{106}\text{Rh}$ Concentration in Shellfish
 (Flesh of Kotamagai, Clam and Ear-shell) (USUAL)
 (1971.9~1977.2)

図11.7.1.2.1.1.5 貝類(こたま貝・ハマグリ・アワビ)中 ^{106}Ru 放射能濃度(平常値)

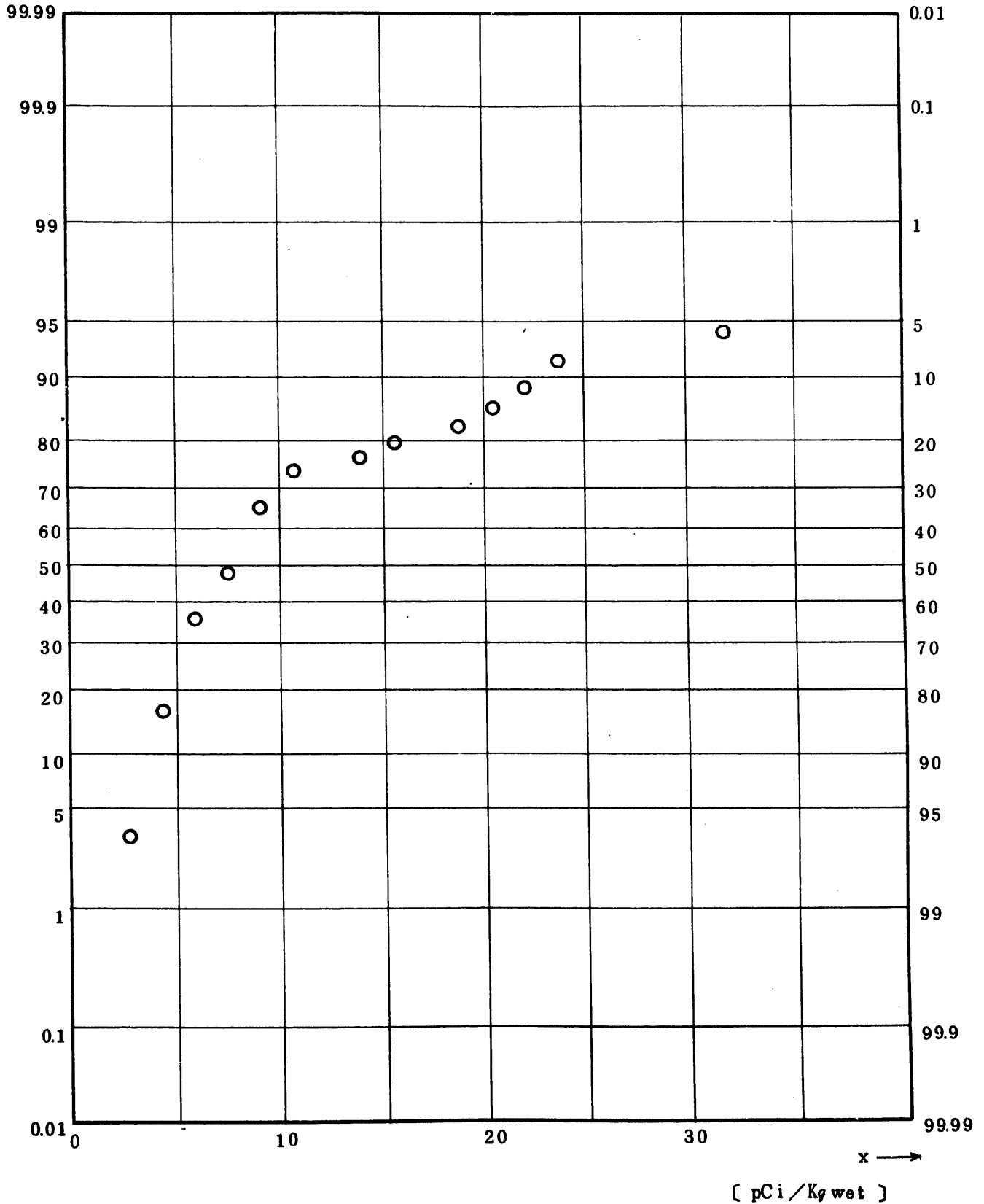


Fig. 11.7.1.2.1.1.6 ¹³⁷Cs Concentration in Shellfish
 (Flesh of Kotamagai, Clam and Ear-shell) (USUAL)
 (1971.9 ~ 1977.2)

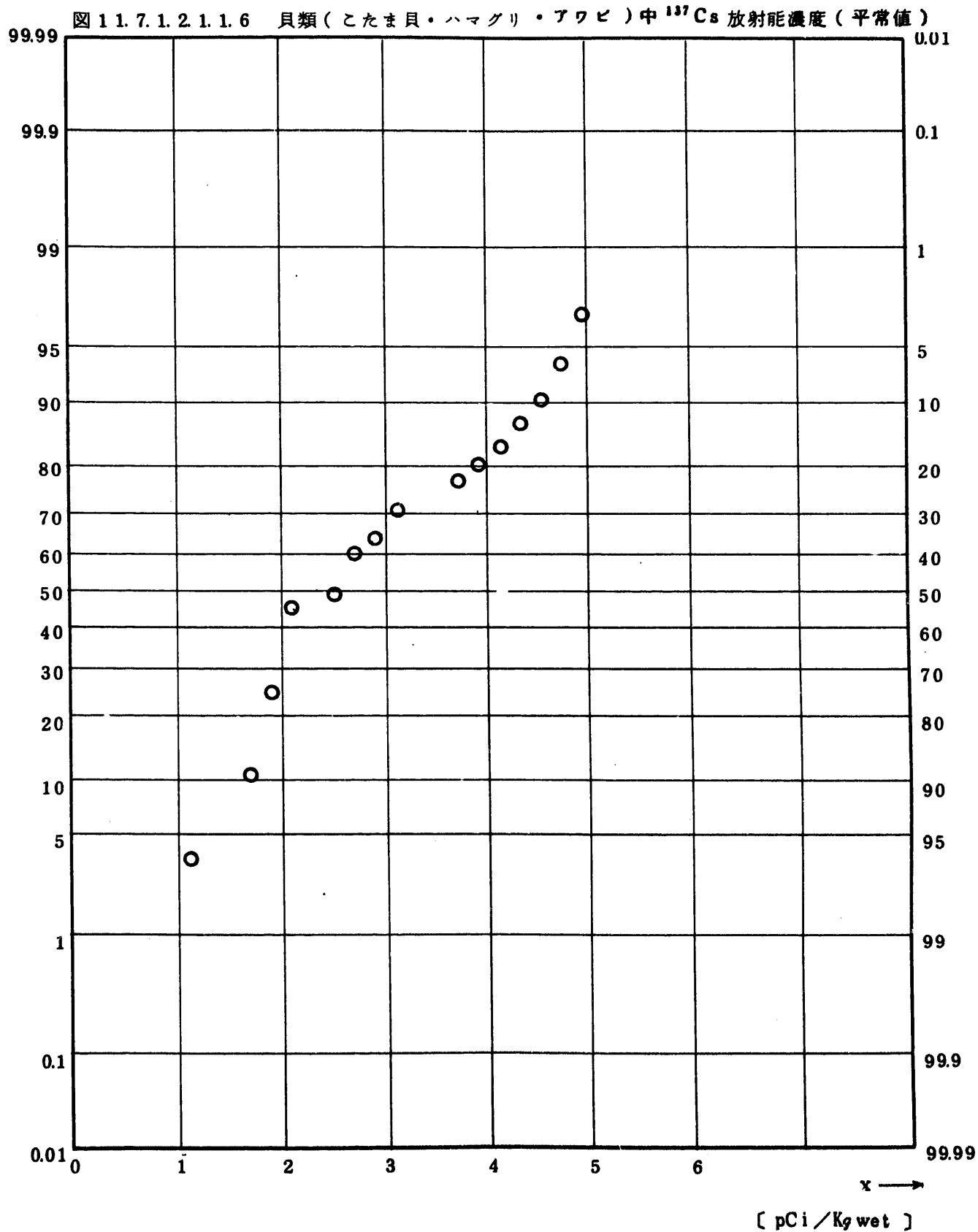


Fig. 11.7.1.2.1.1.7 $^{144}\text{Ce}/^{144}\text{Pr}$ Concentration in Shellfish
 (Flesh of Kotamagai, Clam and Ear-shell) (USUAL)
 (1971.9 ~ 1977.2)

図 11.7.1.2.1.1.7 貝類(こたま貝・ハマグリ・アワビ)中 ^{144}Ce 放射能濃度(平常値)

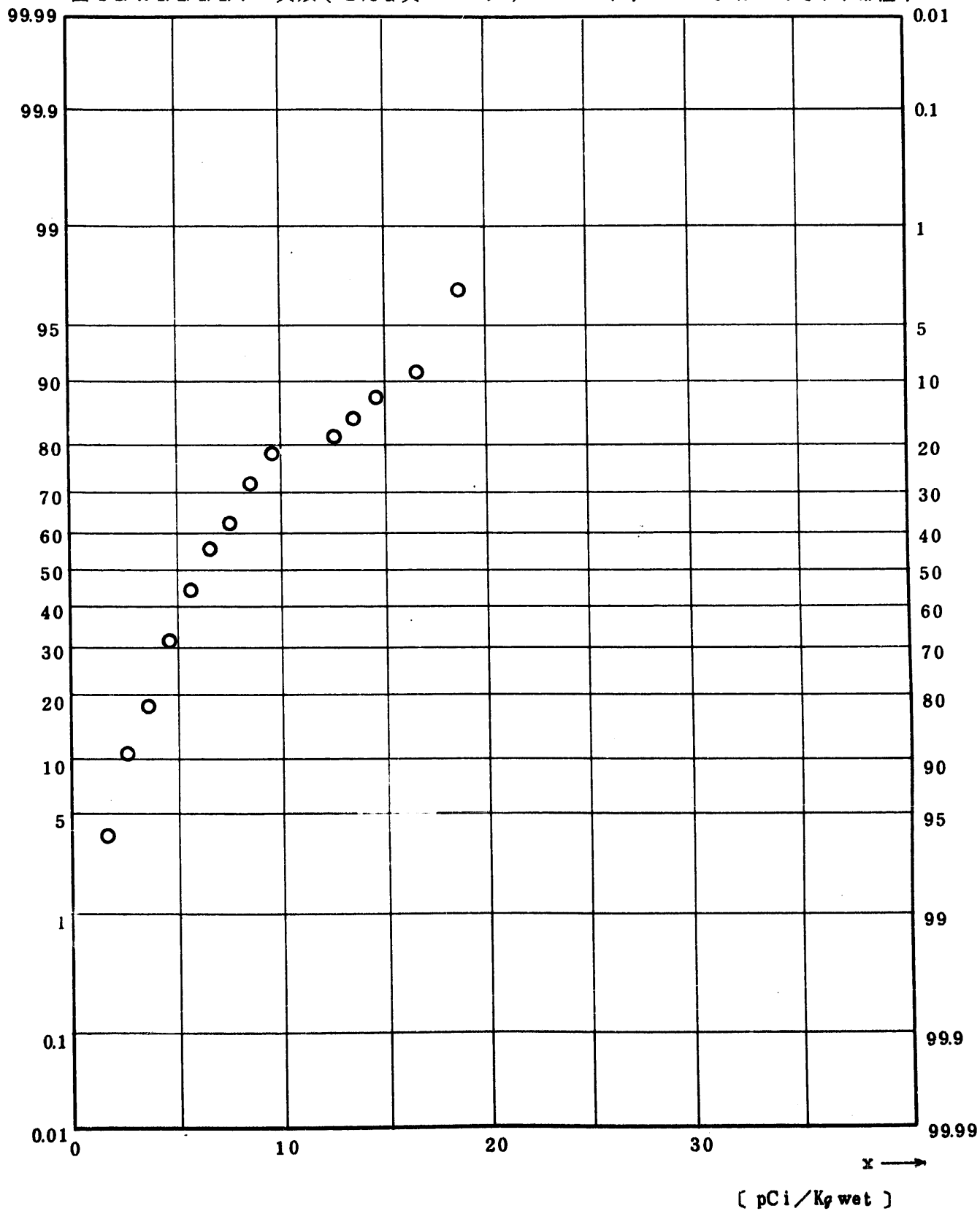


Fig. 11.7.1.2.1.1.8 $^{239}\text{Pu} + ^{240}\text{Pu}$ Concentration in Shellfish

(Flesh of Kotamagai, Clam and Ear-shell) (USUAL)
(1971.9 ~ 1977.2)

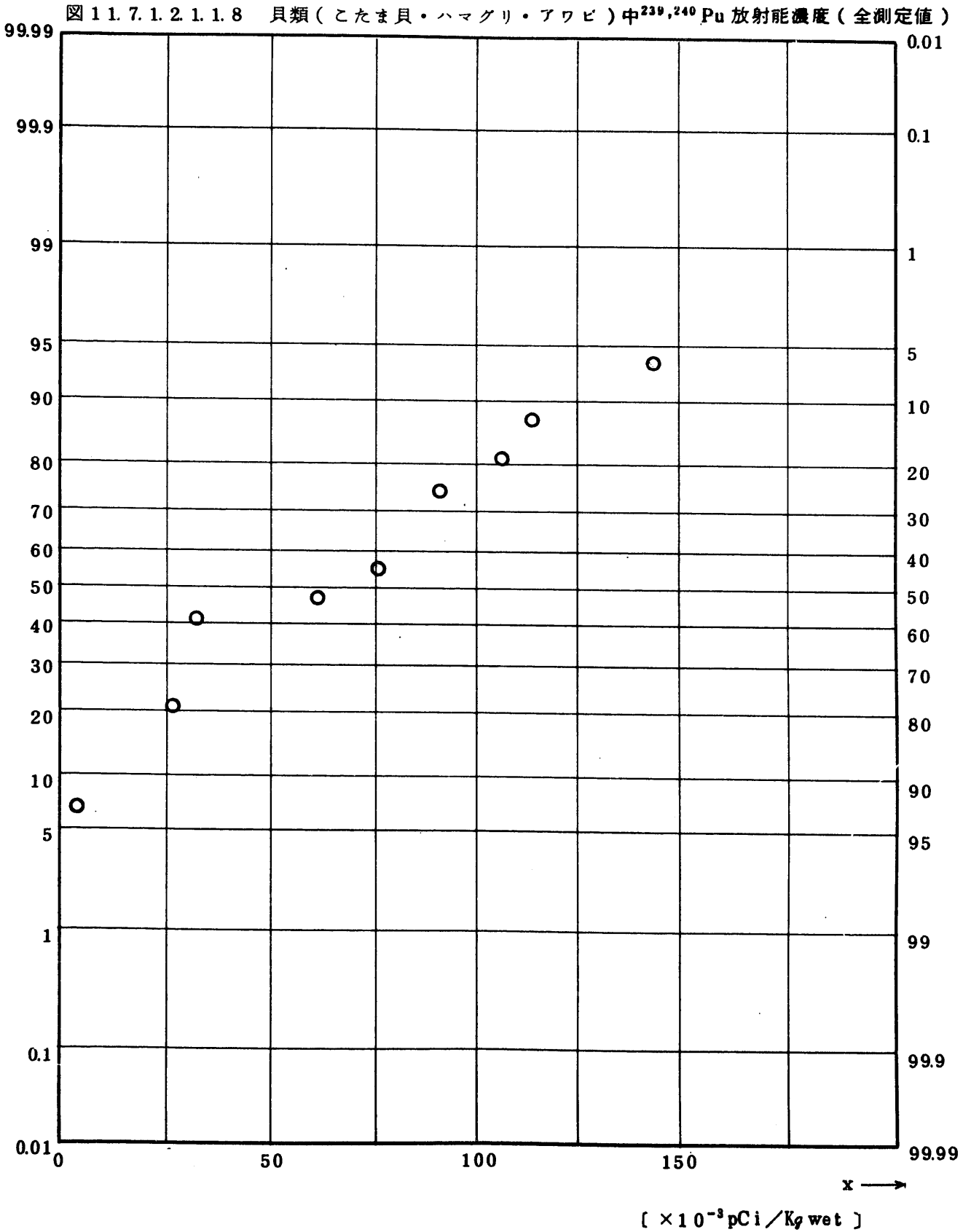


Fig. 11.7.2.1.1.1. Gross BETA Concentration in Shellfish
(Flesh of Mussel) (ALL)

(1971.6 ~ 1977.3)

図 11.7.2.1.1.1.1 貝類(イガイ)中全β放射能濃度(全測定値)

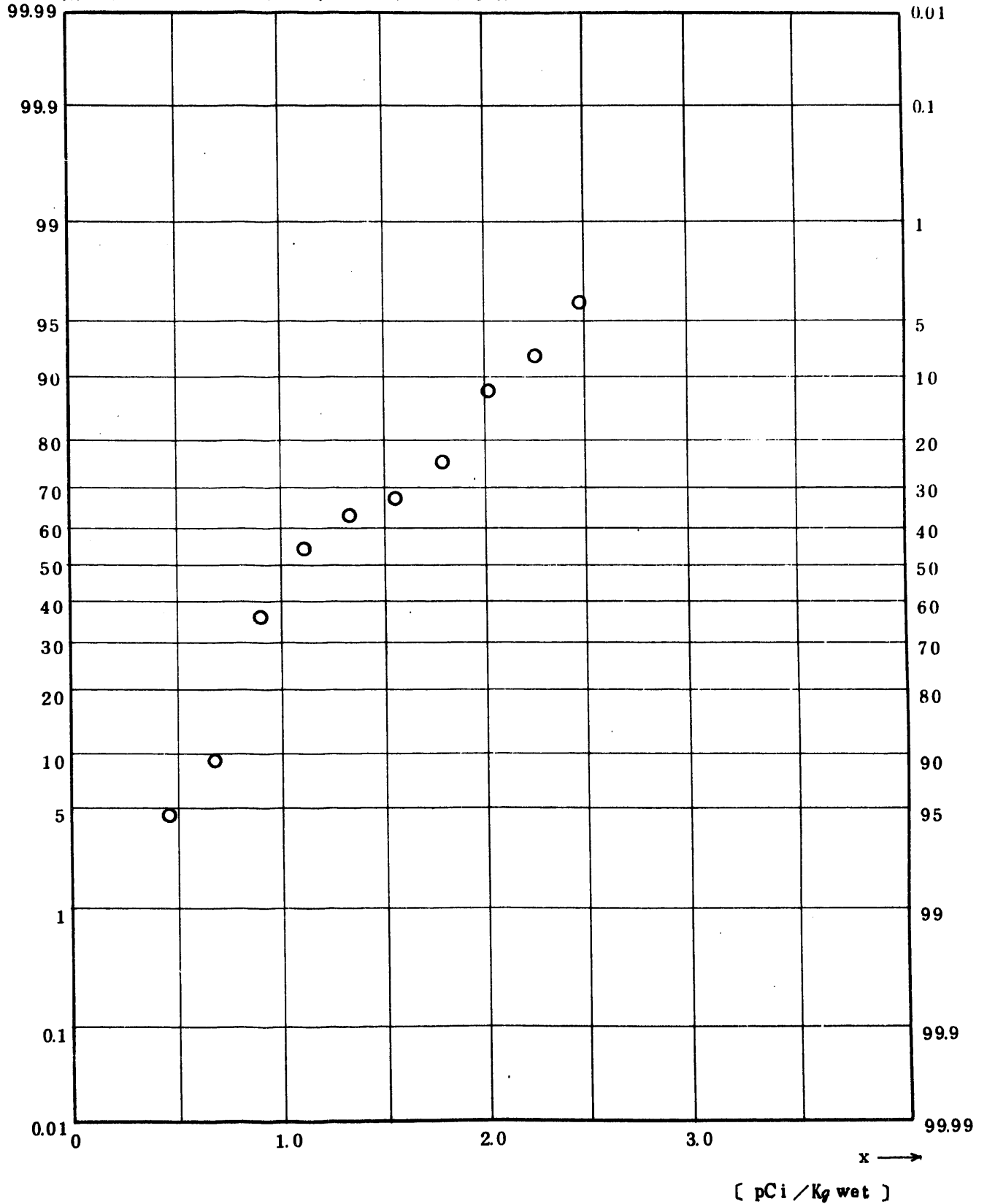


Fig. 1 1.7.2 1.1.1.2 ^{90}Sr Concentration in Shellfish (Flesh of Mussel) (ALL)
 (1 9 7 1.6 ~ 1 9 7 7.3)

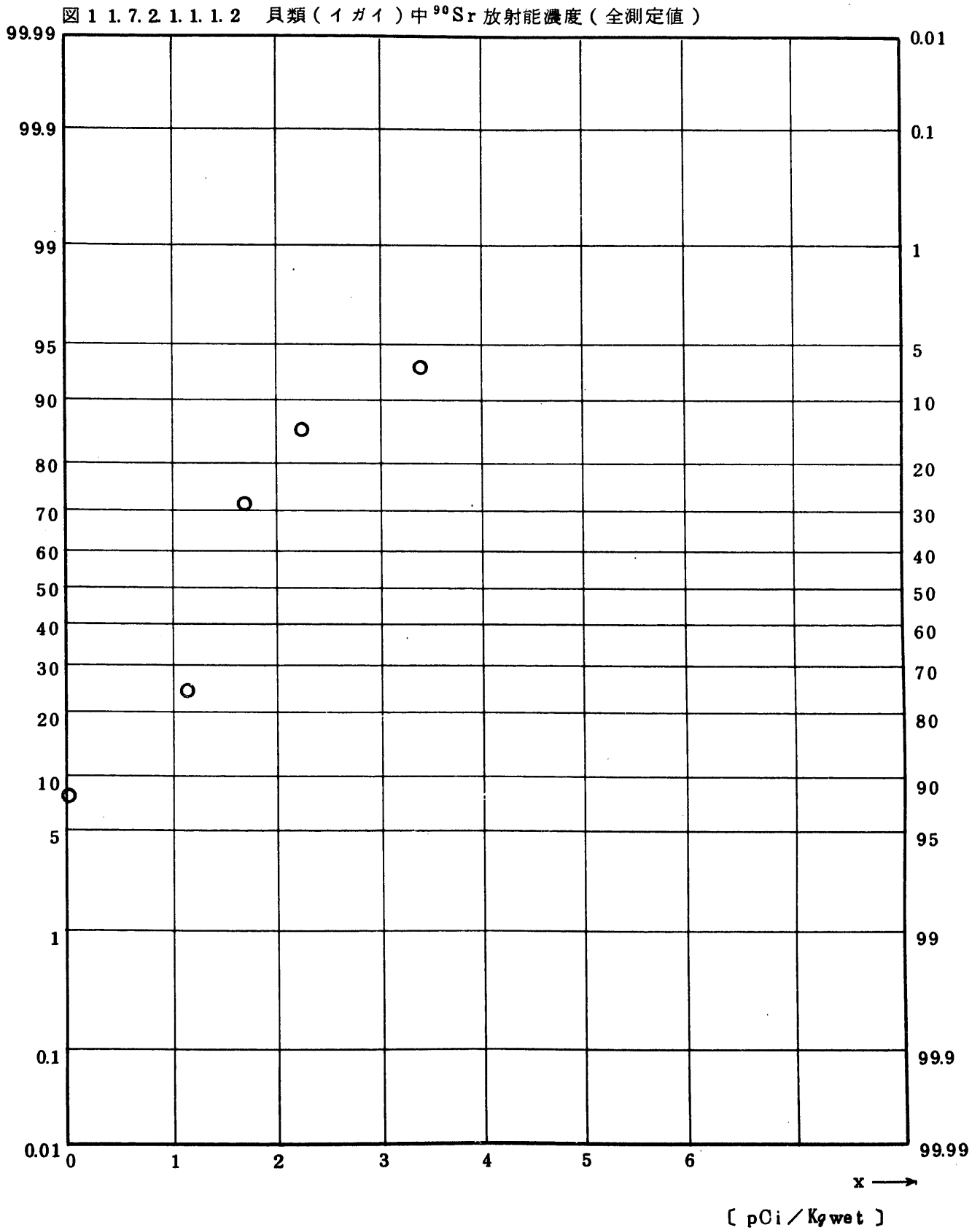


Fig. 11.7.2.1.1.1.3 ^{95}Zr Concentration in Shellfish (Flesh of Mussel) (ALL)
 (1 9 7 1.6 ~ 1 9 7 7.3)

図 1 1. 7. 2. 1. 1. 1. 3 貝類(イガイ)中 ^{95}Zr 放射能濃度(全測定値)

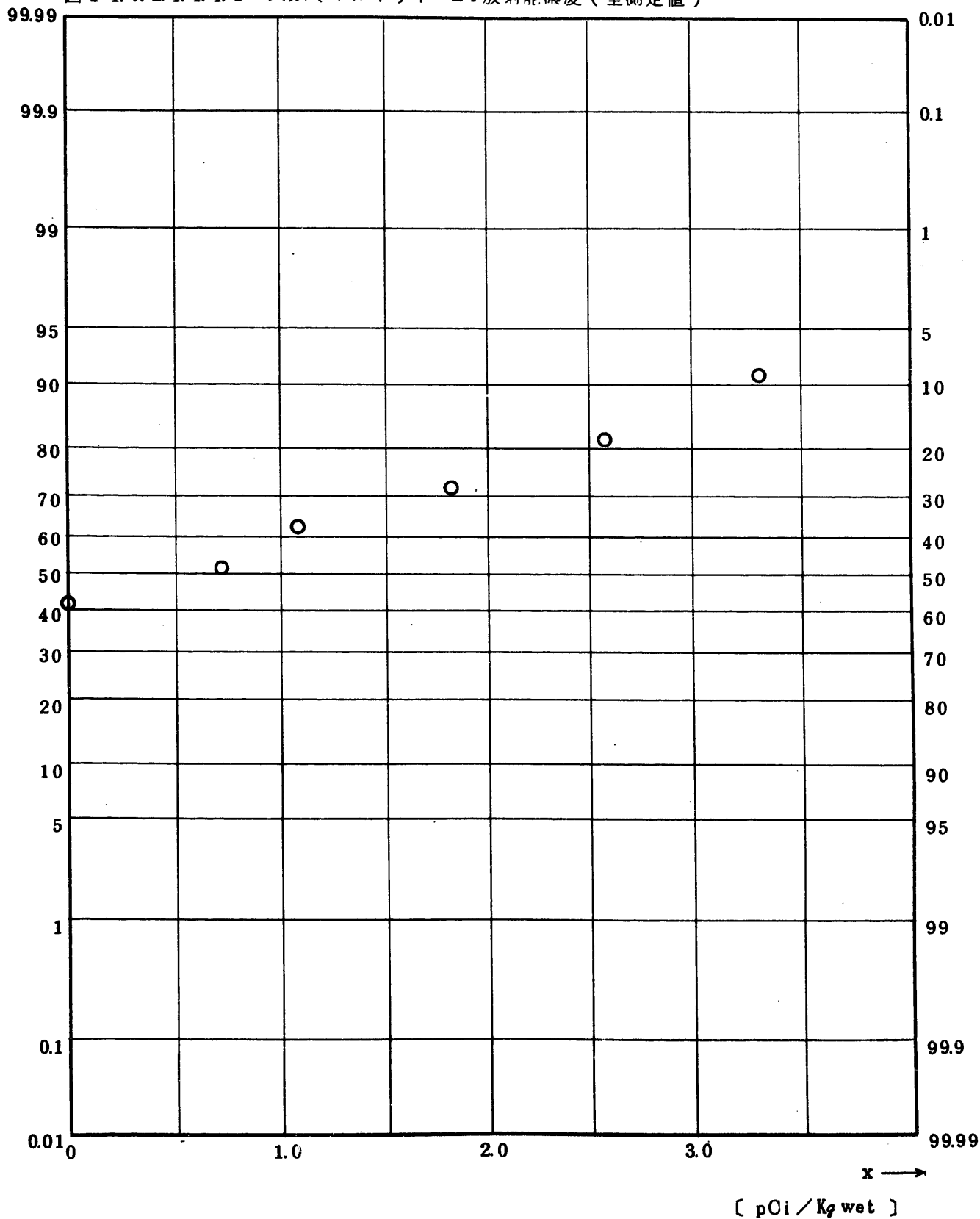


Fig. 11.7.2.1.1.1.4 ^{95}Nb Concentration in Shellfish (Flesh of Mussel) (ALL)
(1971.6 ~ 1977.3)

図 11.7.2.1.1.1.4 貝類(イガイ)中 ^{95}Nb 放射能濃度(全測定値)

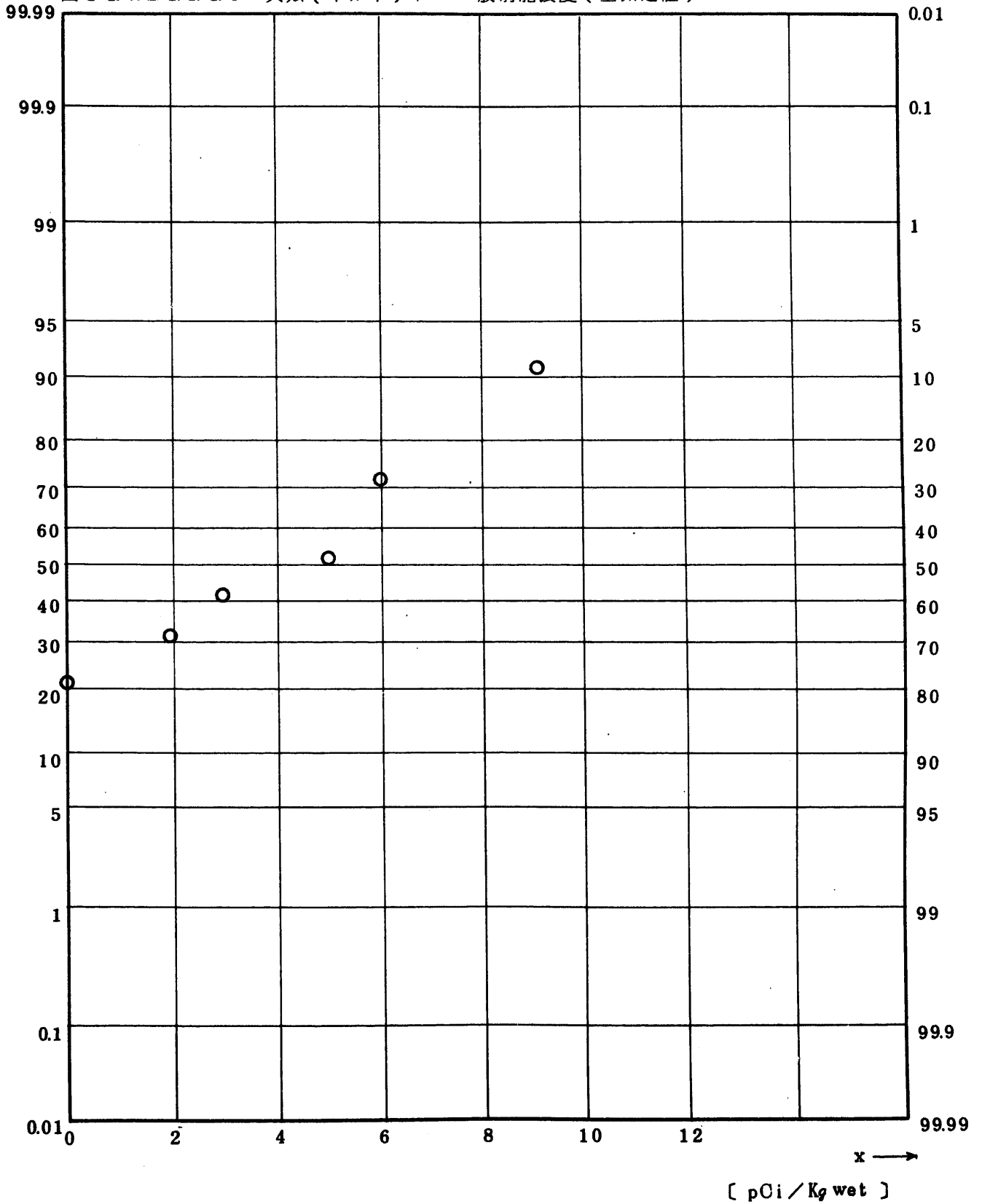


Fig. 11.7.2.1.1.5 $^{106}\text{Ru}/^{106}\text{Rh}$ Concentration in Shellfish
(Flesh of Mussel) (ALL)

(1971.6 ~ 1977.3)

図 11.7.2.1.1.5 貝類(イガイ)中 ^{106}Ru 放射能濃度(全測定値)

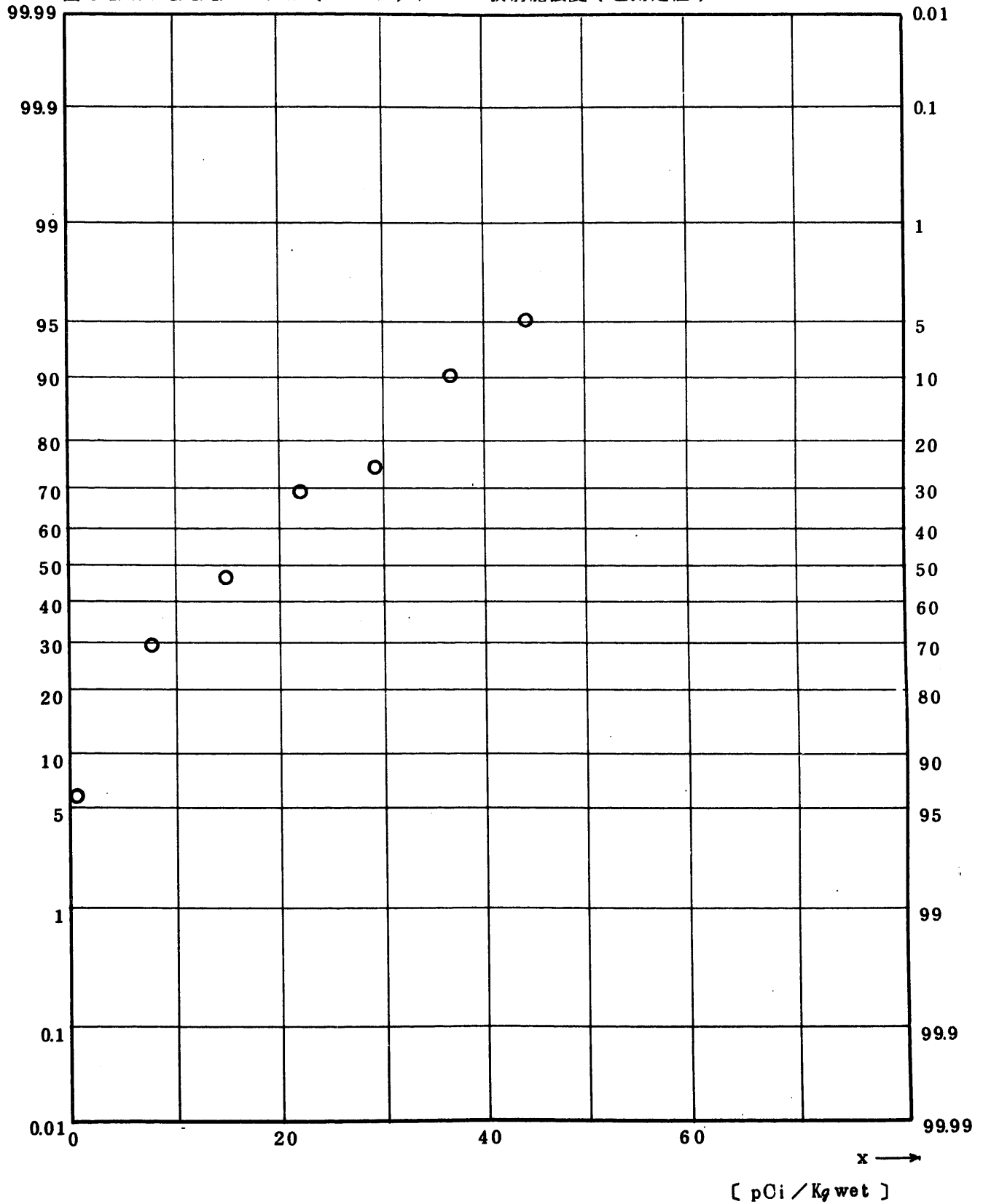


Fig. 1 1.7.2.1.1.1.6 ^{137}Cs Concentration in Shellfish (Flesh of Mussel) (ALL)
 (1 9 7 1.6 ~ 1 9 7 7.3)

図 1 1.7.2.1.1.1.6 貝類 (イガイ) 中 ^{137}Cs 放射能濃度 (全測定値)

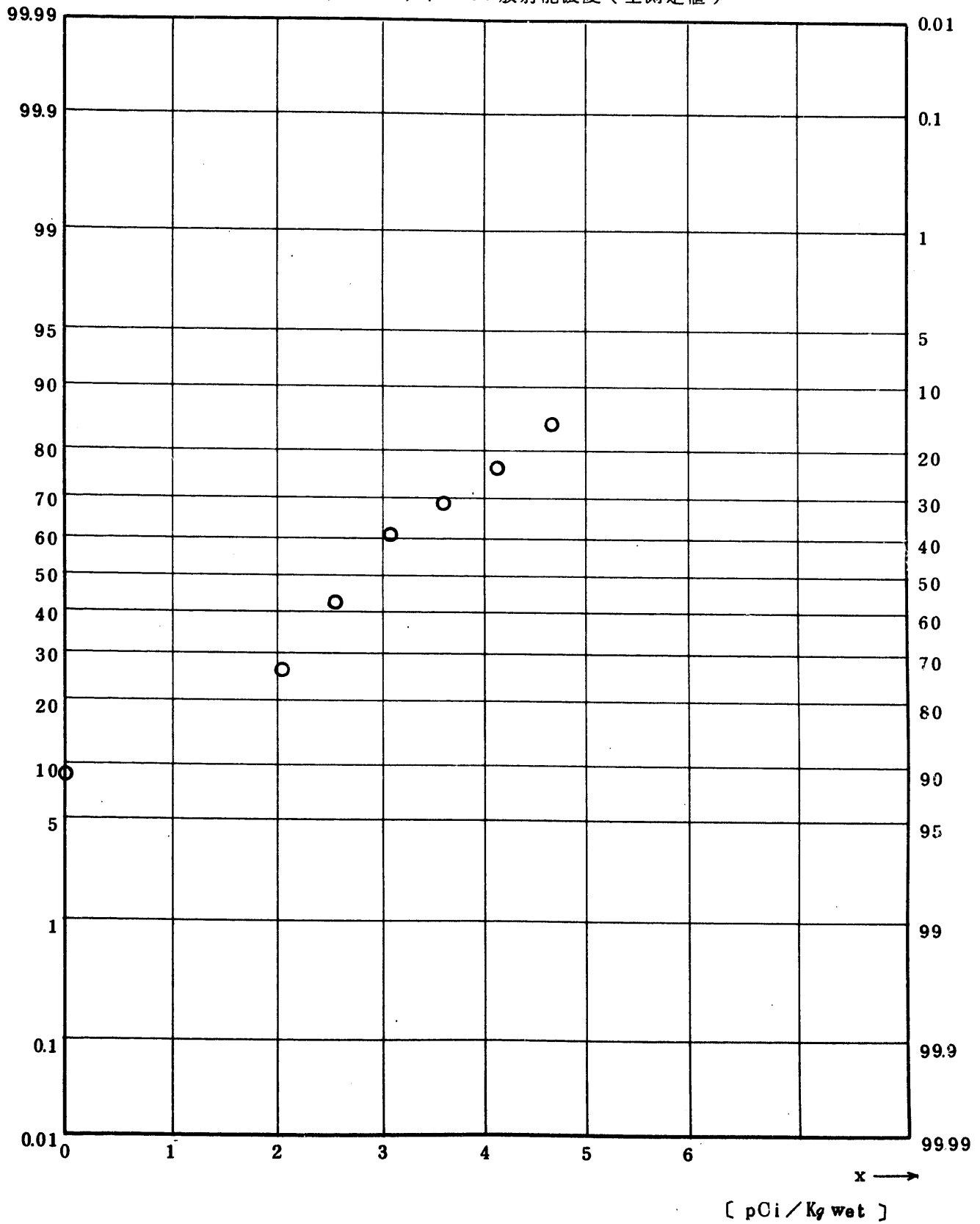


Fig. 1.1.7.2.1.1.7 $^{144}\text{Ce}/^{144}\text{Pr}$ Concentration in Shellfish (Flesh of Mussel)
 (ALL)
 (1971.6~1977.3)

図 1.1.7.2.1.1.7 貝類(イガイ)中 ^{144}Ce 放射能濃度(全測定値)

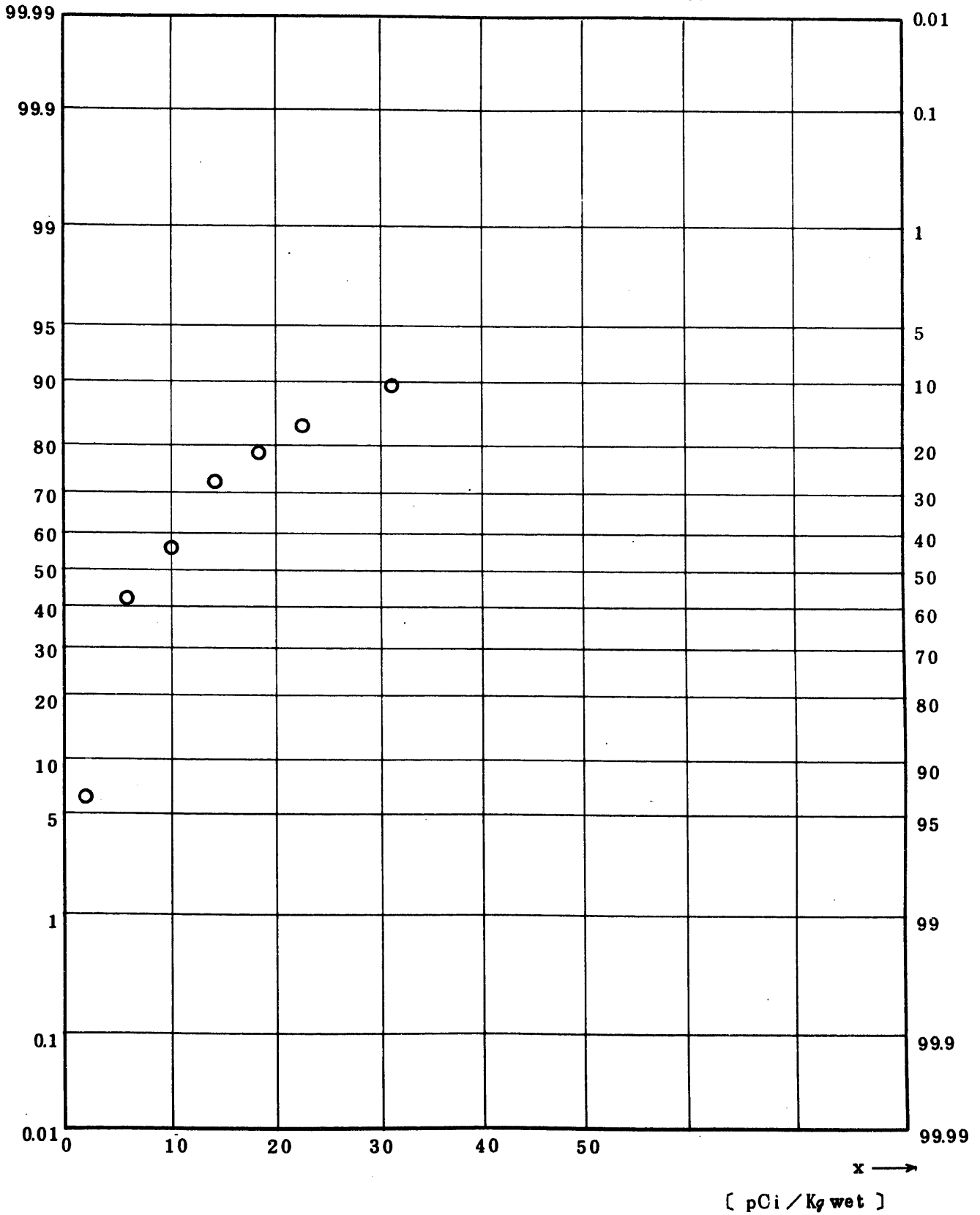


Fig. 1 1.7.2.1.2.1.7 $^{144}\text{Ce}/^{144}\text{Pr}$ Concentration in Shellfish (Flesh of Mussel)
 (ALL)
 (1 9 7 1 . 6 ~ 1 9 7 7 . 3)

図 1 1.7.2.1.2.1.7 貝類(イガイ)中 ^{144}Ce 放射能濃度(全測定値)

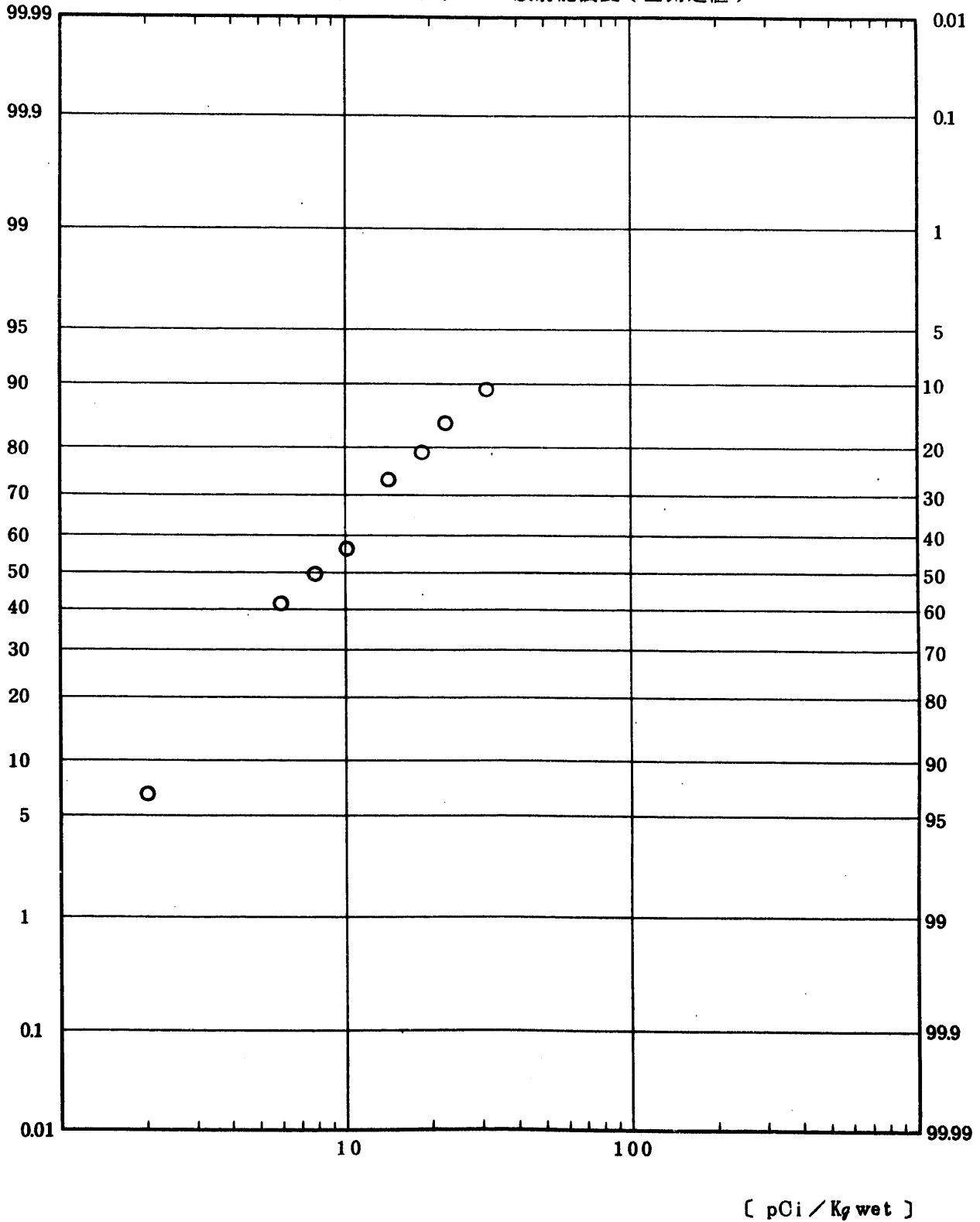


Fig. 1.1.7.2.1.1.1.8 $^{239}\text{Pu} + ^{240}\text{Pu}$ Concentration in Shellfish (Flesh of Mussel)
(ALL)

(1971.6 ~ 1977.3)

図 1.1.7.2.1.1.1.8 貝類 (イガイ) 中 $^{239}, ^{240}\text{Pu}$ 放射能濃度 (全測定値)

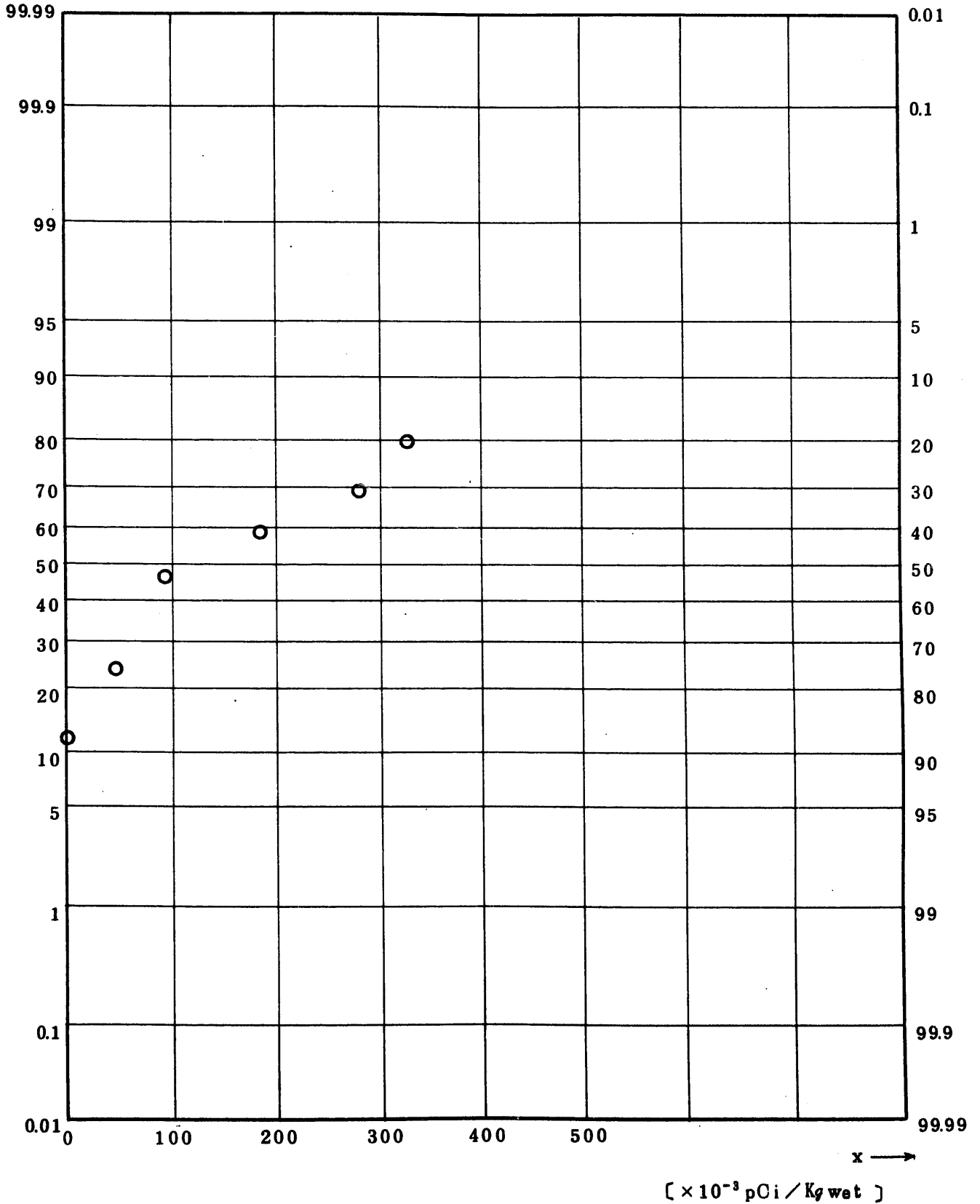


Fig. 1.1.7.3.1.1.1 Gross BETA Concentration in Shellfish (Flesh of Kotamagai, Clam, Ear-shell and Mussel) (ALL) (1971.6~1977.3)

図 1.1.7.3.1.1.1.1 貝類(イガイ・こたま貝・ハマグリ・アワビ)中全β放射能濃度(全測定値)

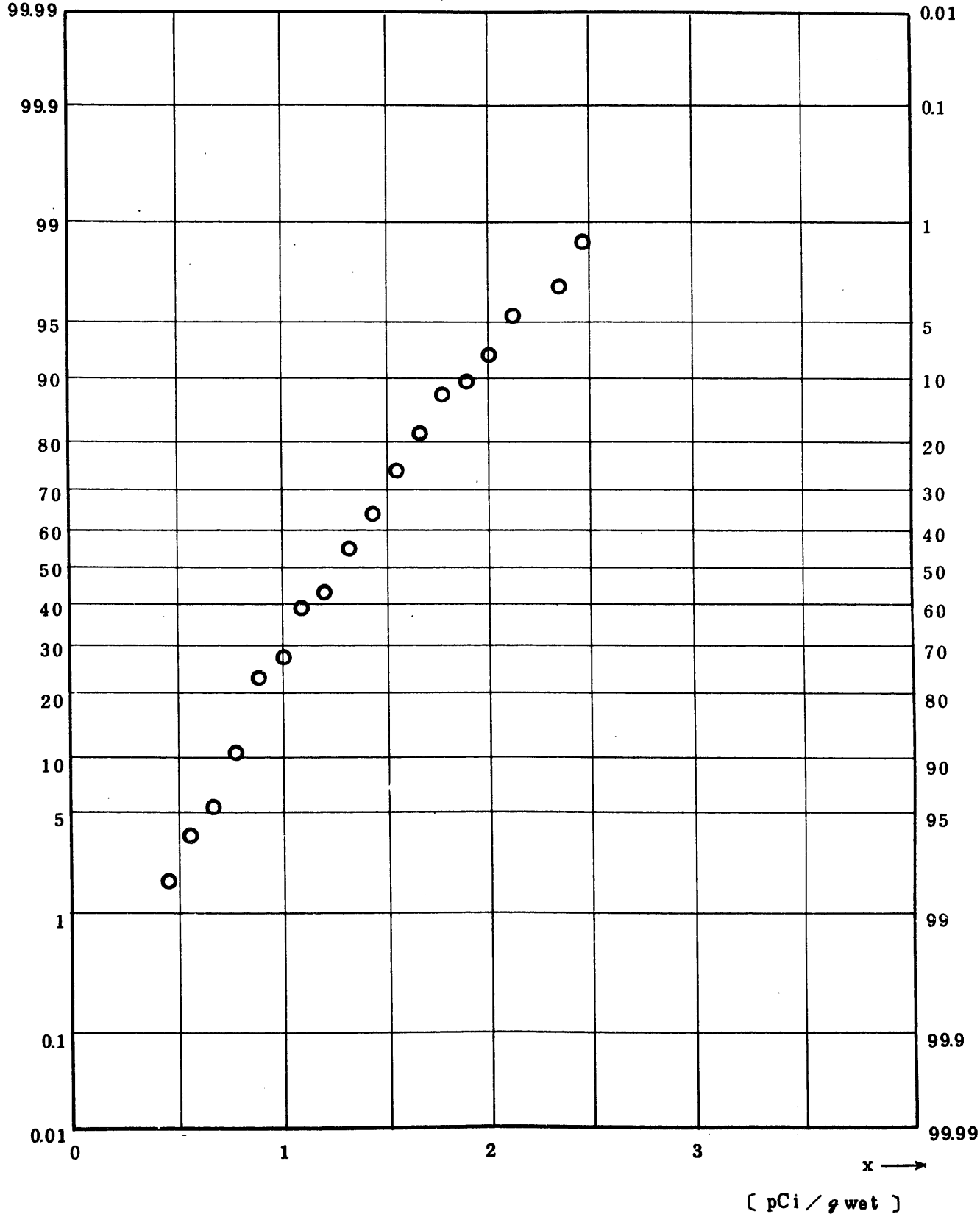


Fig. 11.7.3.1.1.2 ^{90}Sr Concentration in Shellfish
 (Flesh of Kotamagai, Clam, Ear-shell and Mussel)
 (ALL) (1971.6~1977.3)

図 1 1. 7. 3. 1. 1. 1. 2 貝類(イガイ・こたま貝・ハマグリ・アワビ)中 ^{90}Sr 放射能濃度(全測定値)

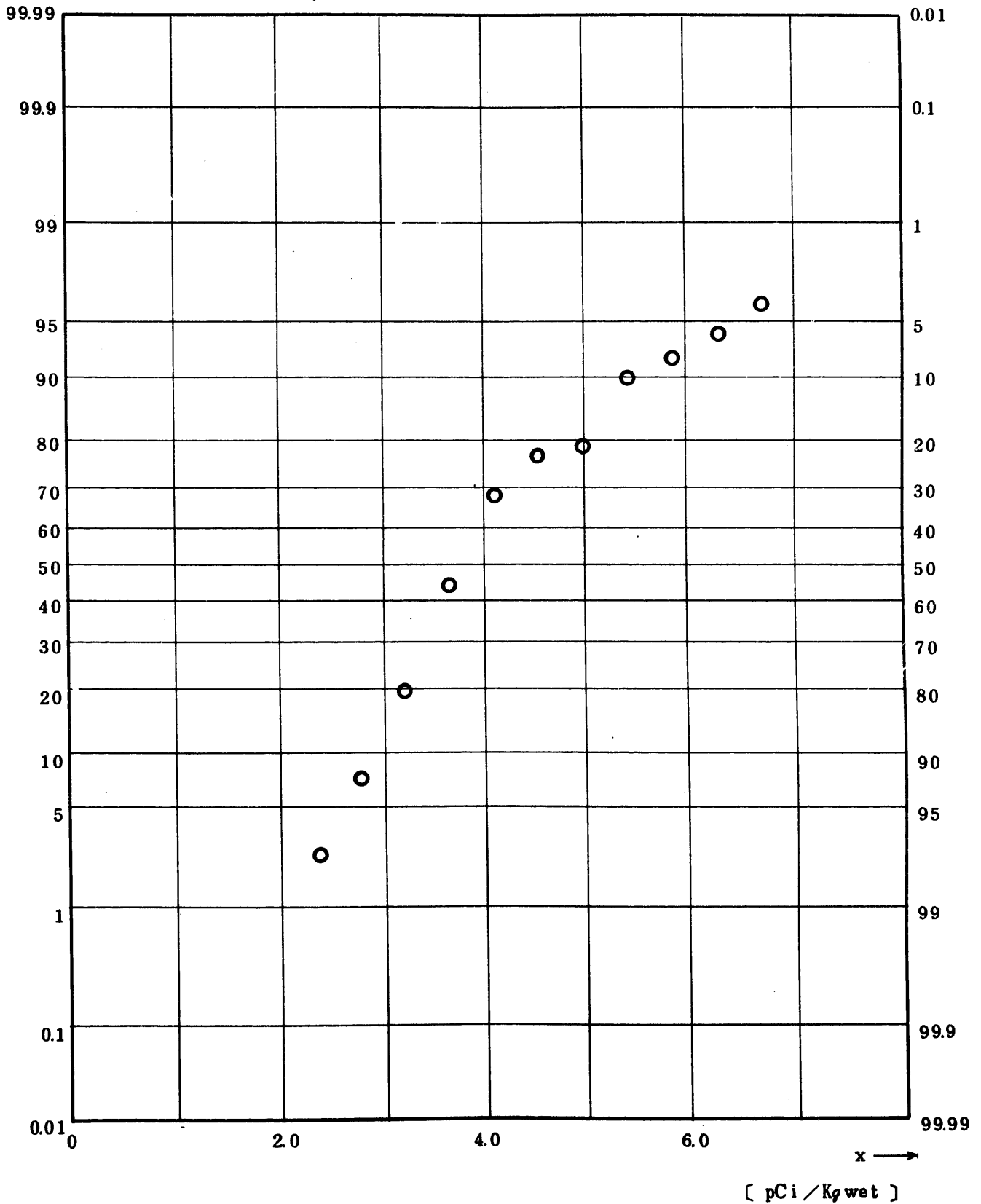


Fig. 11.7.3.1.1.3 ^{95}Zr Concentration in Shellfish
 (Flesh of Kotamagai, Clam, Ear-shell and Mussel)
 (ALL) (1971.6~1977.3)

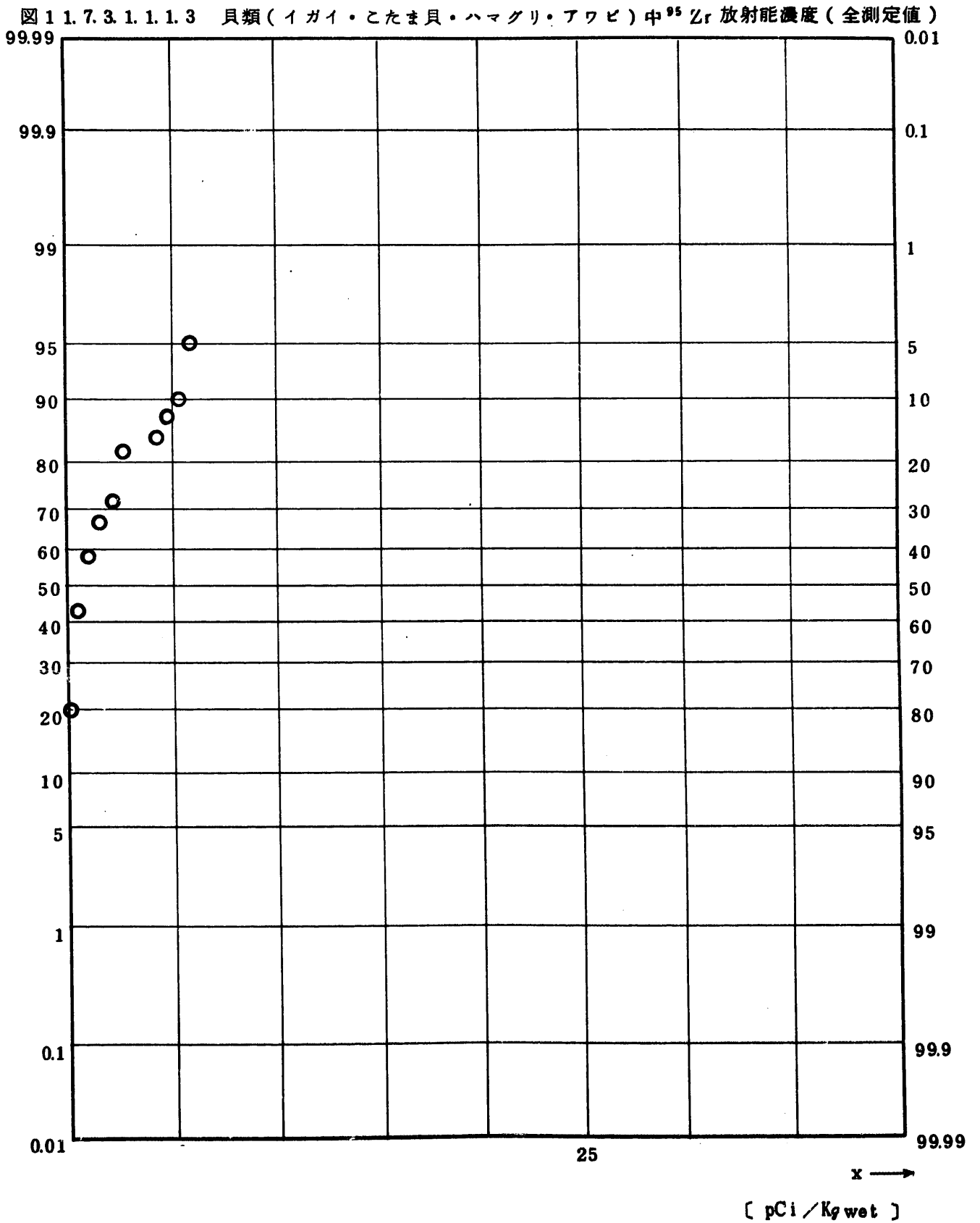


Fig. 11.7.3.1.1.4 ⁹⁵Nb Concentration in Shellfish

(Flesh of Kotamagai, Clam, Ear-shell and Mussel)

(ALL)

(1971.6~1977.3)

図 11.7.3.1.1.4 貝類(イガイ・こたま貝・ハマグリ・アワビ)中⁹⁵Nb放射能濃度(全測定値)

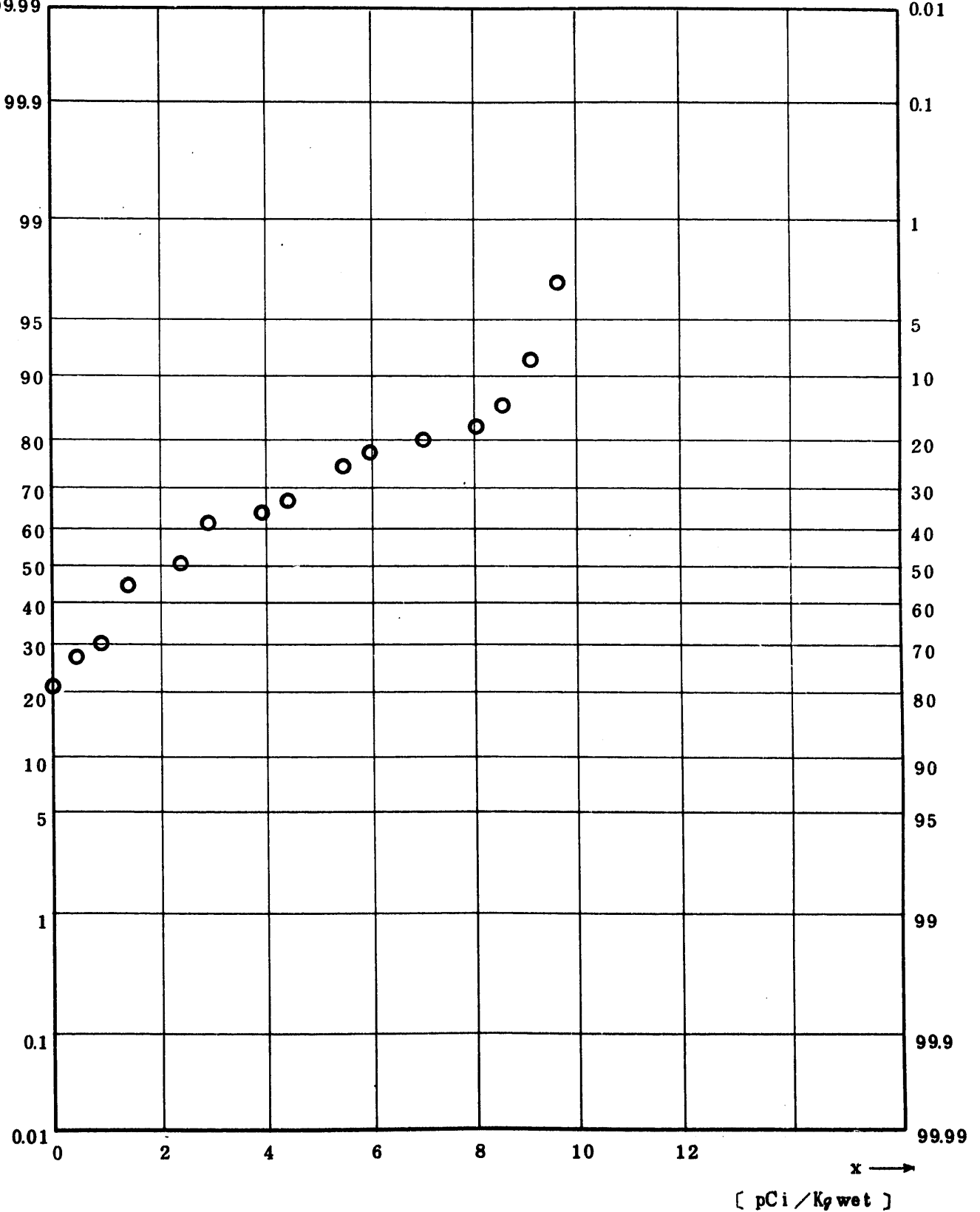


Fig. 11.7.3.1.1.1.5 $^{106}\text{Ru}/^{106}\text{Rh}$ Concentration in Shellfish
 (Flesh of Kotamagai, Clam, Ear-shell and Mussel)
 (ALL) (1971.6 ~ 1977.3)

図 1 1. 7. 3. 1. 1. 1. 5 貝類 (イガイ・こたま貝・ハマグリ・アワビ) 中 ^{106}Ru 放射能濃度 (全測定値)

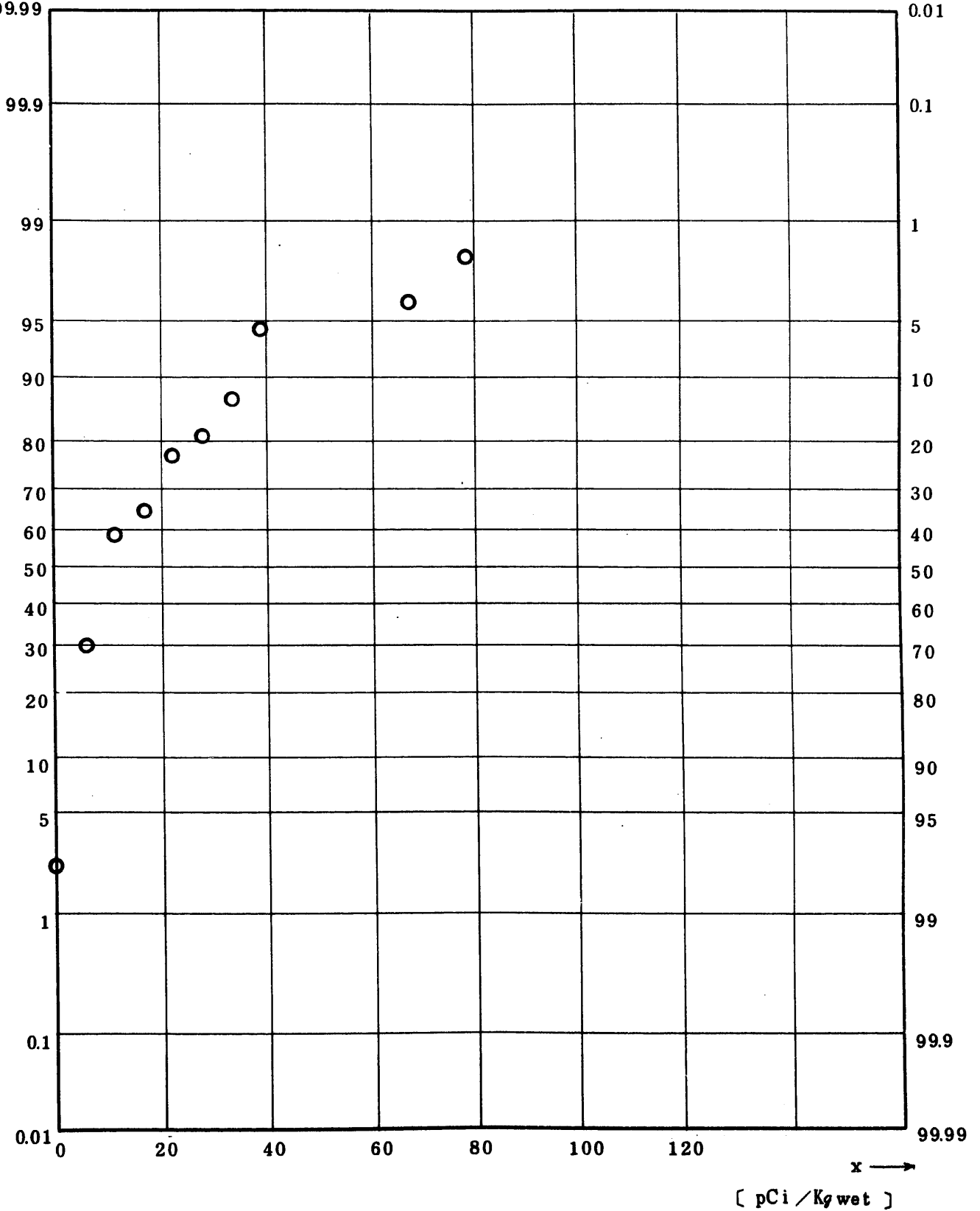


Fig. 11.7.3.1.1.1.6 ^{137}Cs Concentration in Shellfish
 (Flesh of Kotamagai, Clam, Ear-shell and Mussel)
 (ALL) (1971.6~1977.3)

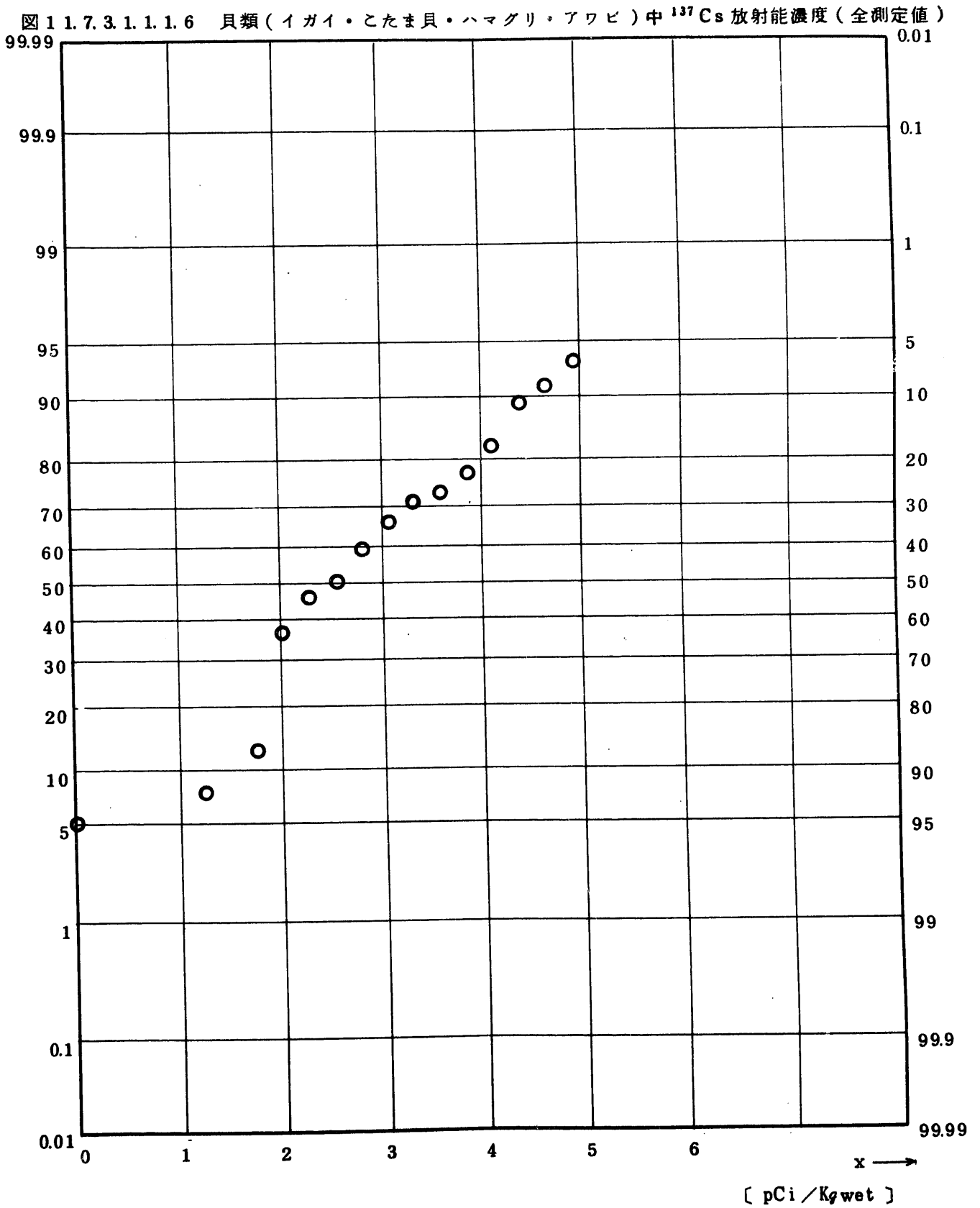


Fig. 11.7.3.1.1.7 $^{144}\text{Ce}/^{144}\text{Pr}$ Concentration in Shellfish
 (Flesh of Kotamagai, Clam, Ear-shell and Mussel)
 (ALL) (1971.6 ~ 1977.3)

図 1 1.7.3.1.1.1.7 貝類(イガイ・こたま貝・ハマグリ・アワビ)中 ^{144}Ce 放射能濃度(全測定値)

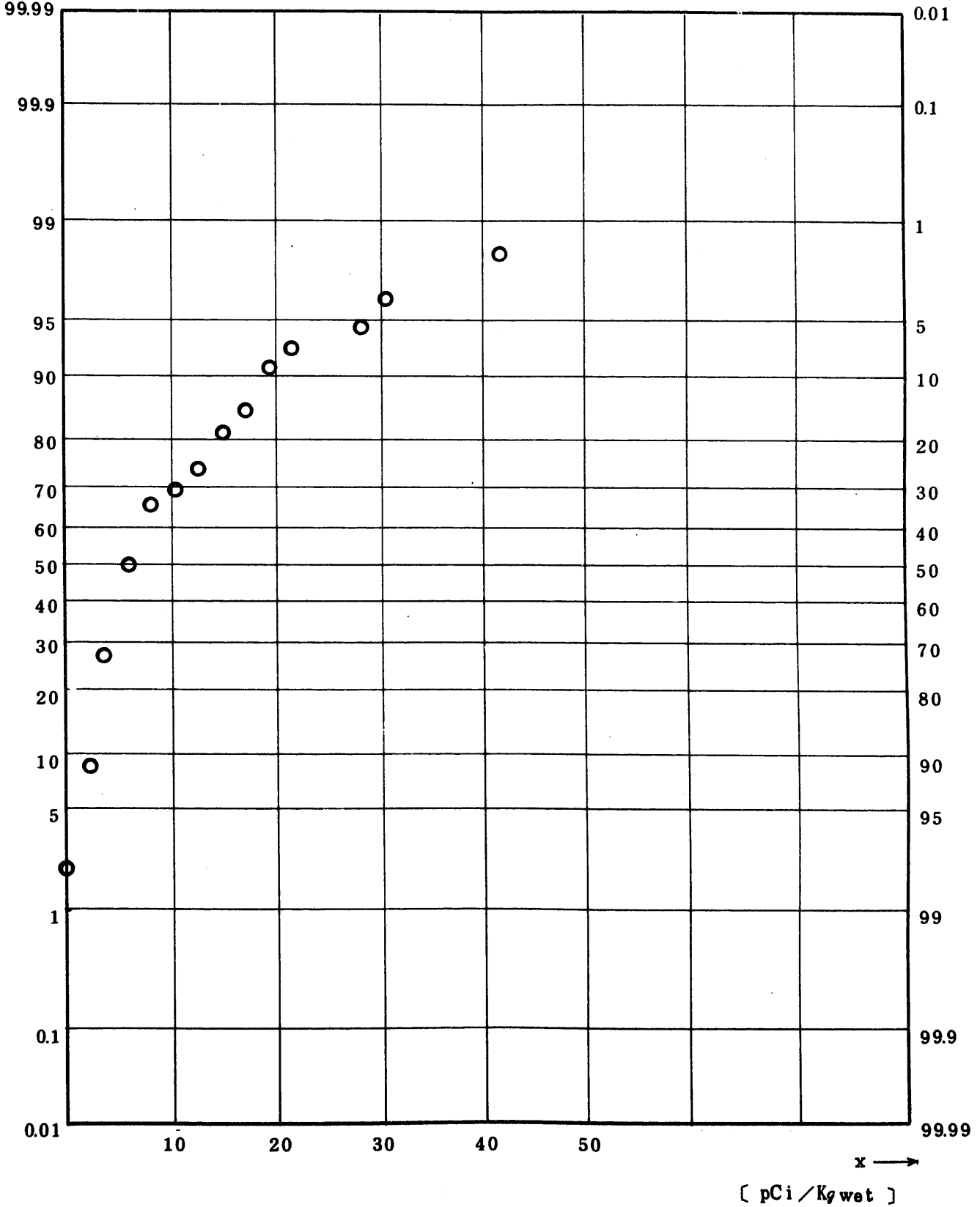


Fig. 11.7.3.1.2.1.7 $^{144}\text{Ce}/^{144}\text{Pr}$ Concentration in Shellfish
 (Flesh of Kotamagai, Clam, Ear-shell and Mussel)
 (ALL) (1971.6~1977.3)

図 11.7.3.1.2.1.7 貝類(イガイ・こたま貝・ハマグリ・アワビ)中 ^{144}Ce 放射能濃度(全測定値)

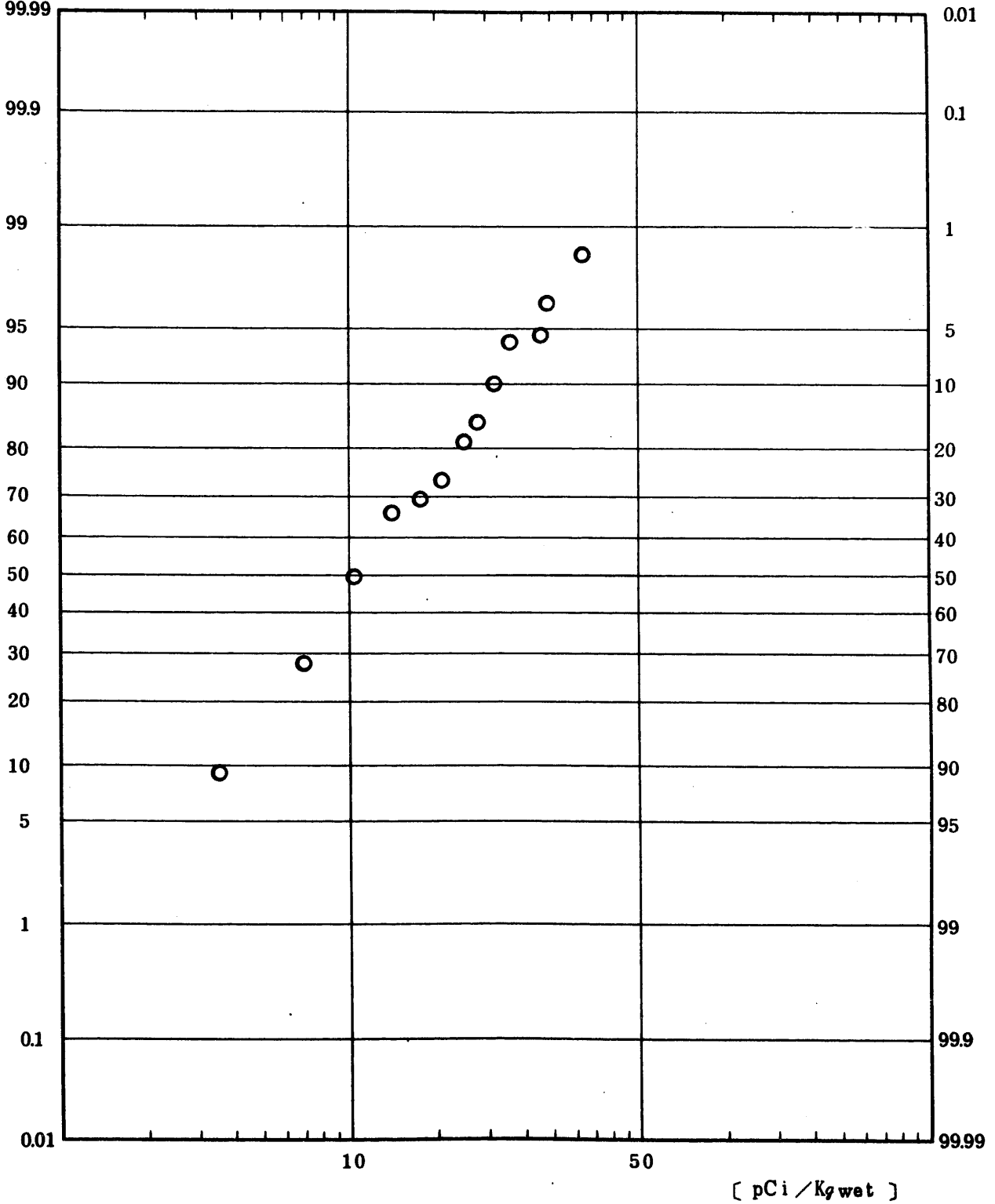


Fig. 11.7.3.1.1.8 $^{239}\text{Pu} + ^{240}\text{Pu}$ Concentration in Shellfish
 (Flesh of Kotamagai, Clam, Ear-shell and Mussel)
 (ALL) (1971.6 ~ 1977.3)

図 11.7.3.1.1.8 貝類(イガイ・こたま貝・ハマグリ・アワビ)中 $^{239,240}\text{Pu}$ 放射能濃度(全測定値)

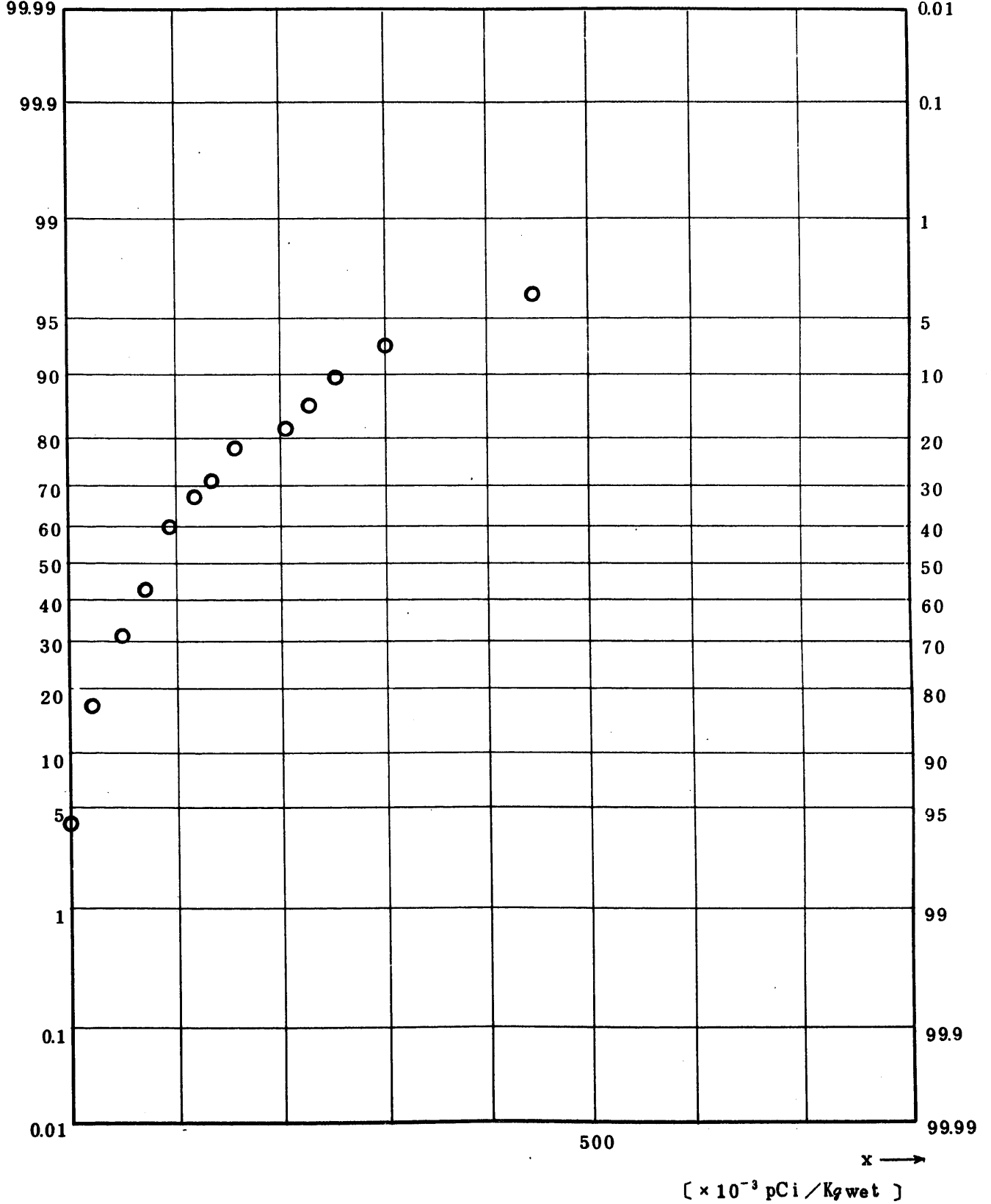


Fig. 11.7.3.1.2.1.8 $^{239}\text{Pu} + ^{240}\text{Pu}$ Concentration in shellfish

(Flesh of Kotamagai, Clam, Ear-shell and Mussel)

(ALL)

(1971.6 ~ 1977.3)

図 1 1. 7. 3. 1. 2. 1. 8 貝類(イガイ・こたま貝・ハマグリ・アワビ)中 $^{239,240}\text{Pu}$ 放射能濃度(全測定値)

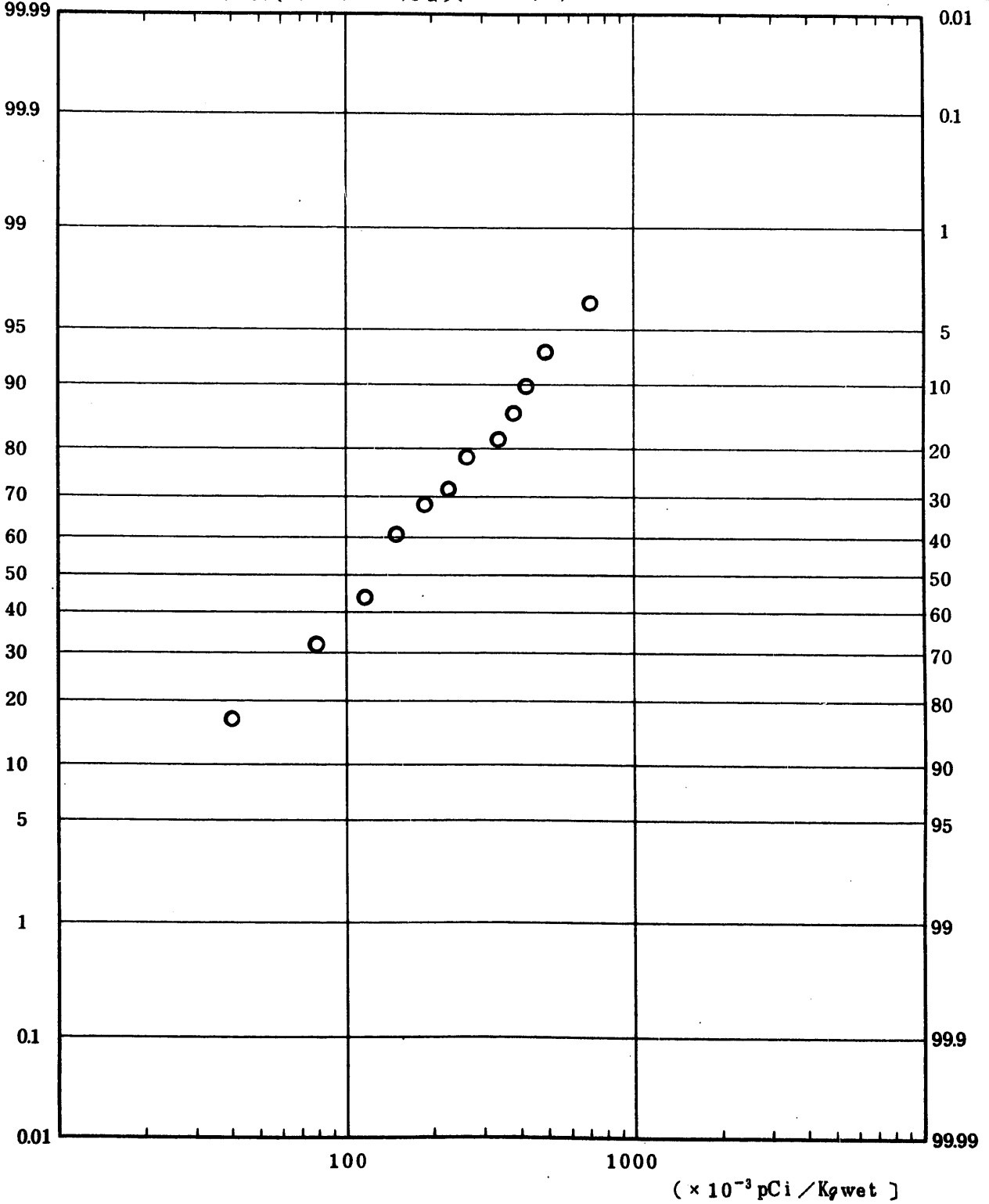


Fig. 11.7.3.2.1.1.1 Gross BETA Concentration in Shellfish

(Flesh of Kotamagai, Clam, Ear-shell and Mussel)

(USUAL)

(1971.6 ~ 1977.3)

図 11.7.3.2.1.1.1 貝類(イガイ・こたま貝・ハマグリ・アワビ)中全β放射能濃度(平常値)

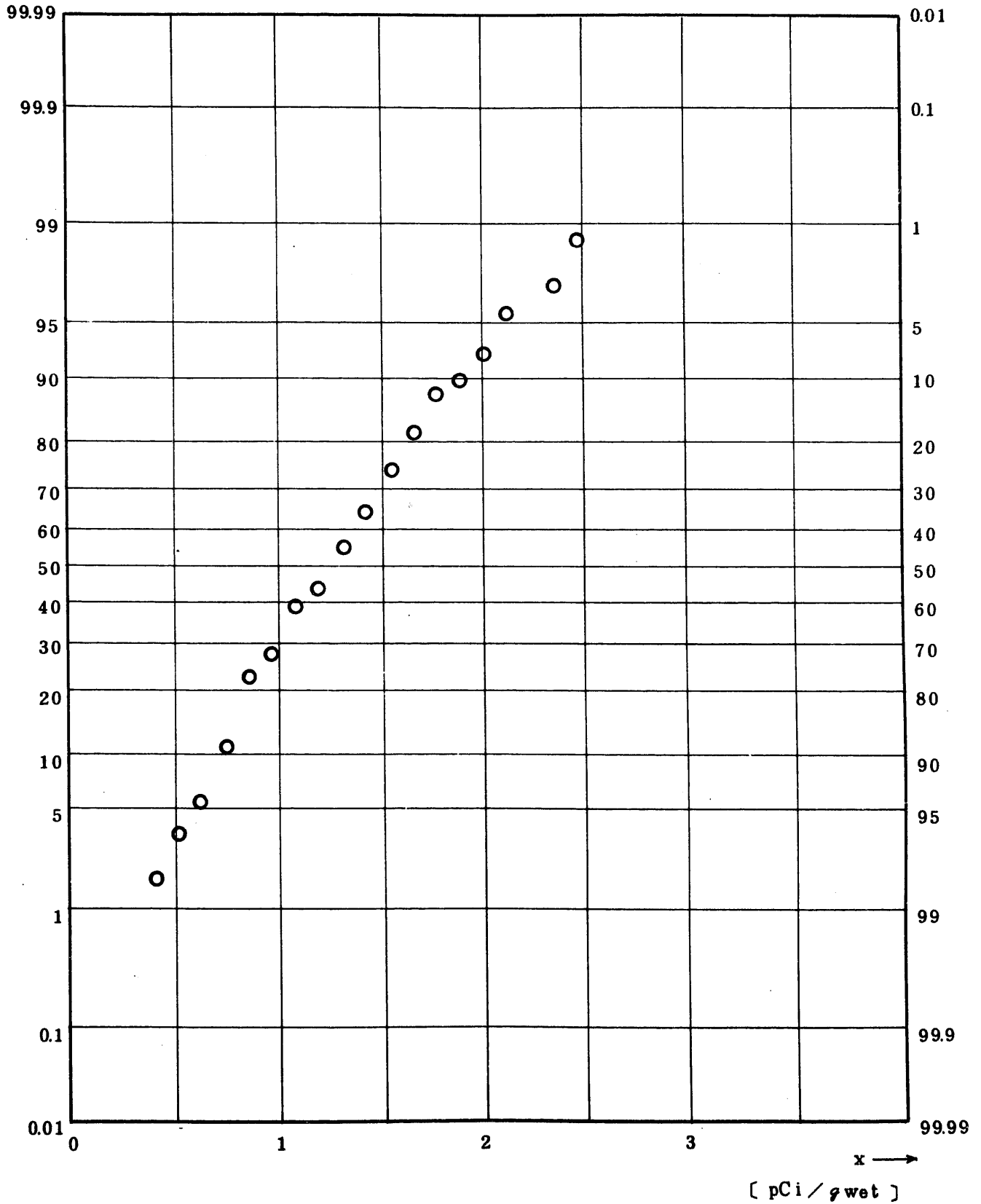


Fig. 11.7.3.2.1.1.2 ^{90}Sr Concentration in Shellfish

(Flesh of Kotamagai, Clam, Ear-shell and Mussel)

(USUAL)

1971.6 ~ 1977.3

図 11.7.3.2.1.1.2 貝類(イガイ・こたま貝・ハマグリ・アワビ)中 ^{90}Sr 放射能濃度(平常値)

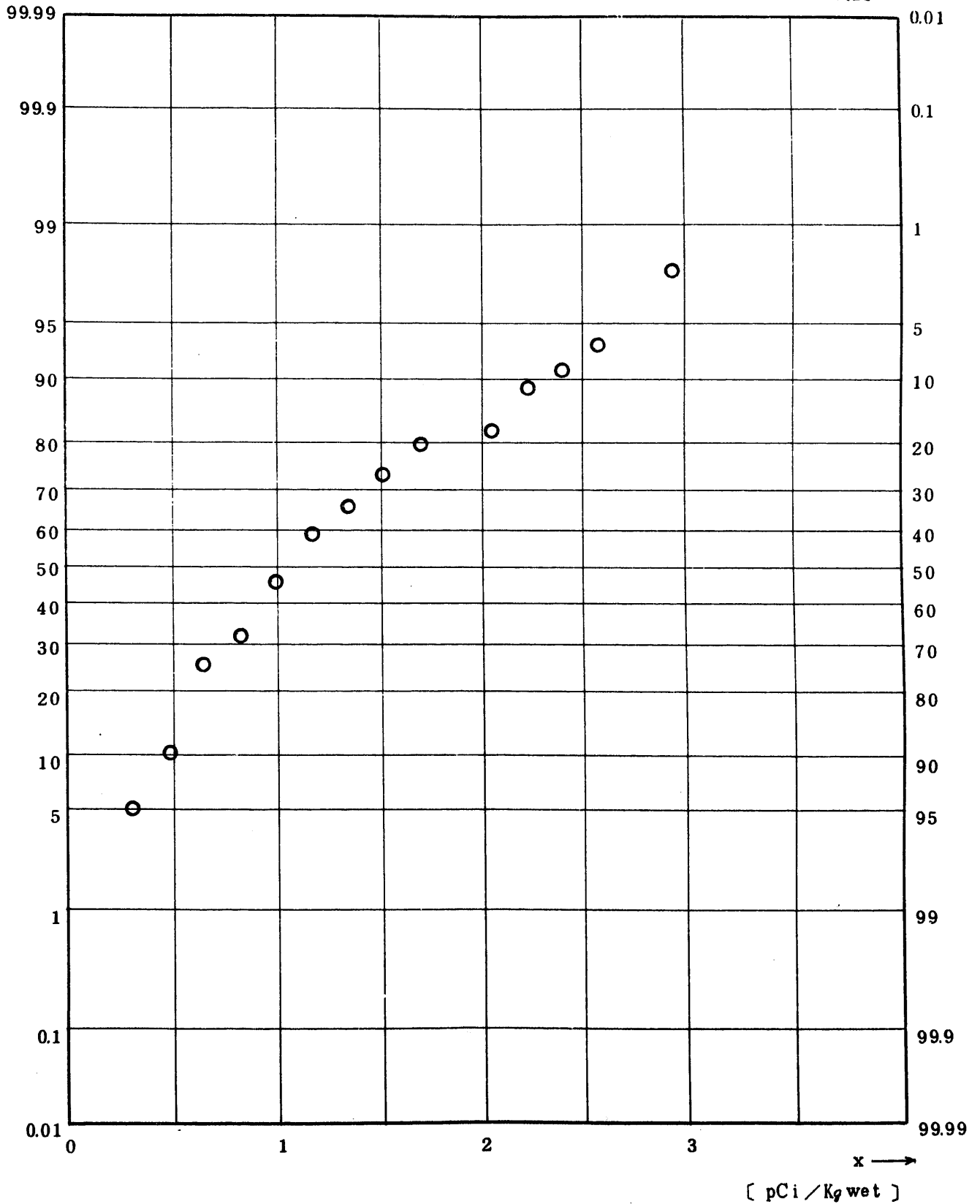


Fig. 11.7.3.2.1.1.3 ⁹⁵Zr Concentration in Shellfish

(Flesh of Kotamagai, Clam, Ear-shell and Mussel)

(USUAL)

(1971.6 ~ 1977.3)

図 11.7.3.2.1.1.3 貝類(イガイ・こたま貝・ハマグリ・アワビ)中⁹⁵Zr放射能濃度(平常値)

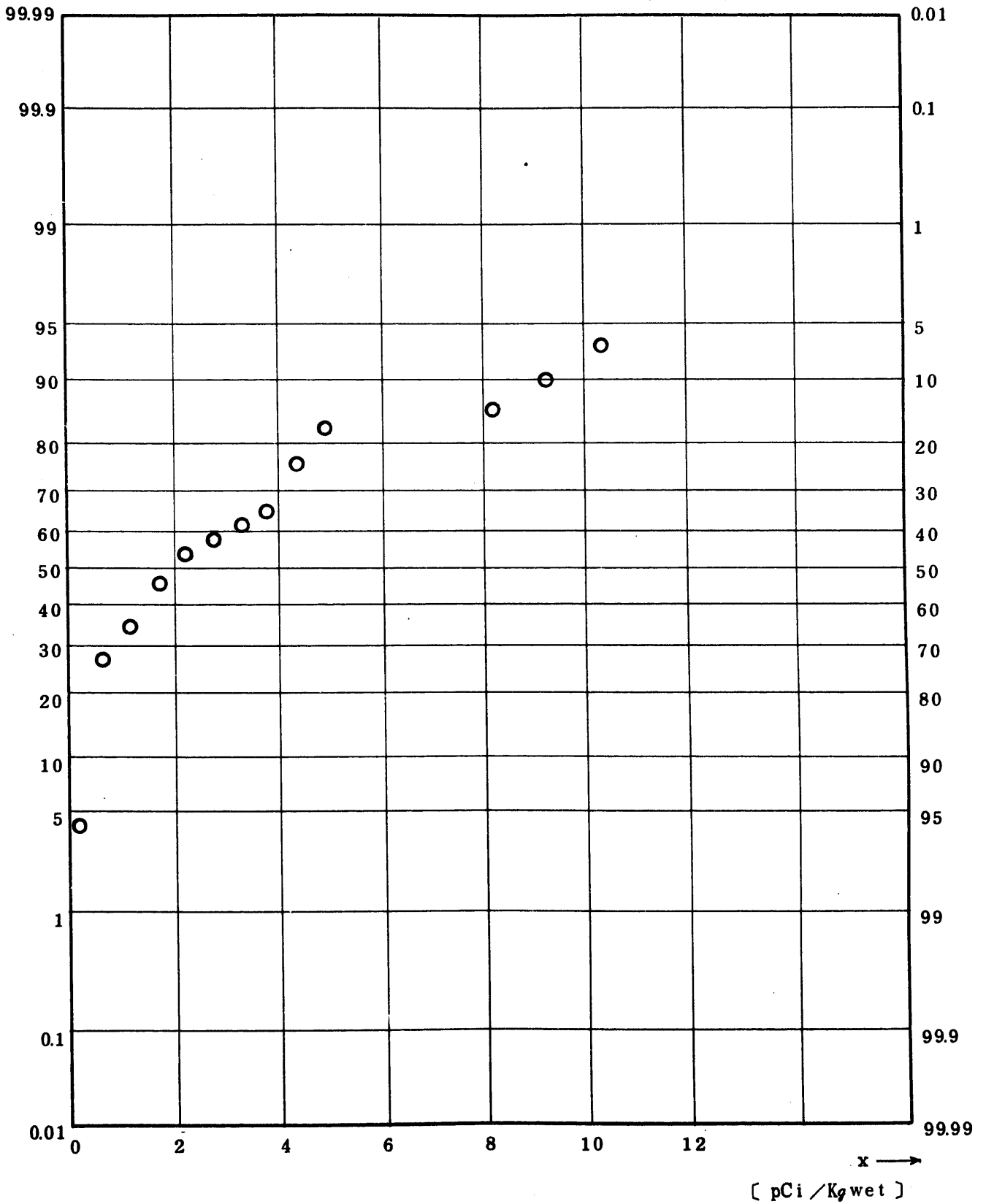


Fig. 11.7.3.2.1.1.4 ^{95}Nb Concentration in Shellfish

(Flesh of Kotamagai, Clam, Ear-shell and Mussel)

(USUAL)

(1971.6 ~ 1977.3)

図 1 1.7.3.2.1.1.4 貝類(イガイ・こたま貝・ハマグリ・アワビ)中 ^{95}Nb 放射能濃度(平常値)

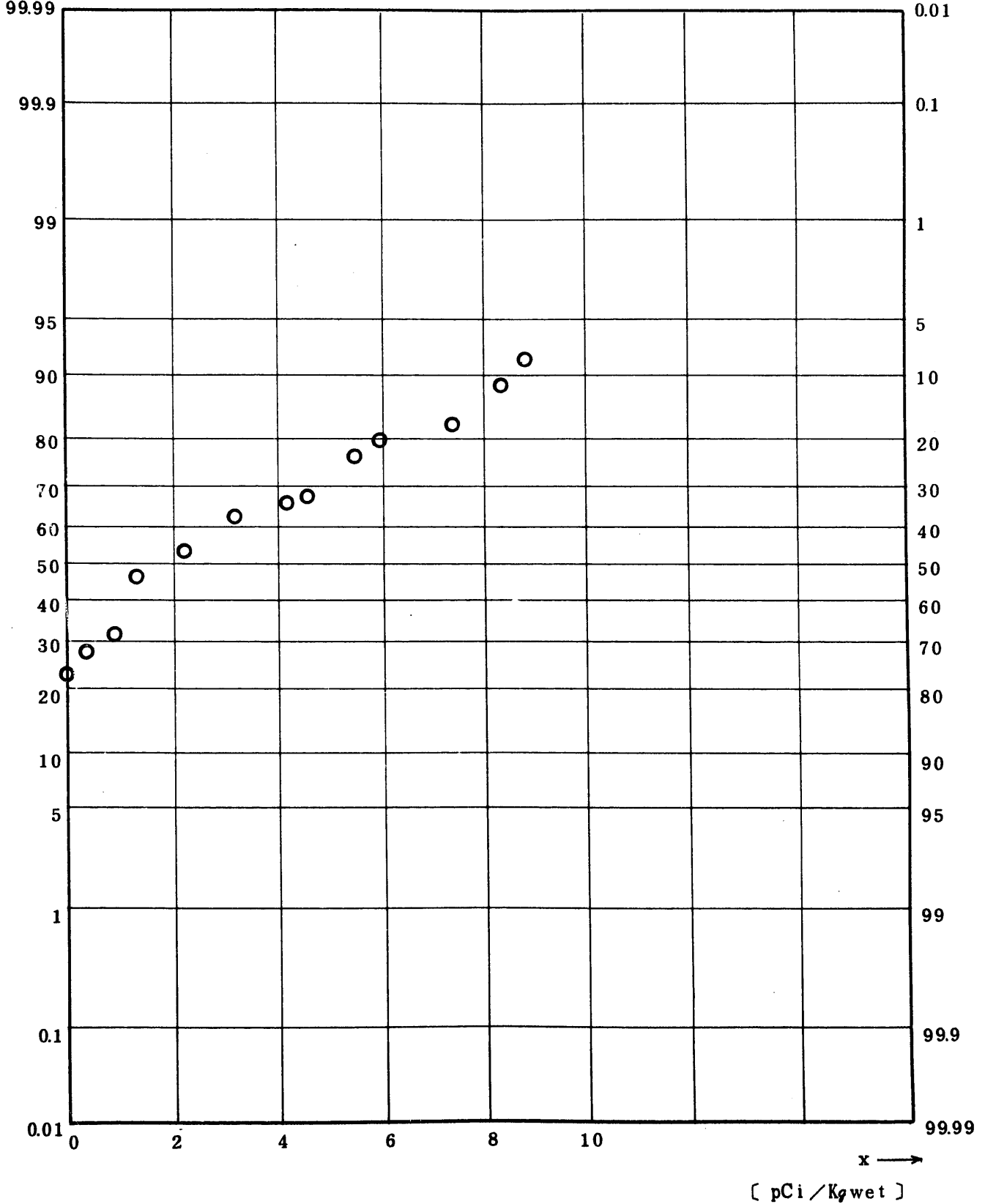


Fig. 1 1.7.3.2.1.1.5 $^{106}\text{Ru}/^{106}\text{Rh}$ Concentration in Shellfish
 (Flesh of Kotamagai, Clam, Ear-shell and Mussel)
 (USUAL) (1971.6 ~ 1977.3)

図 1 1.7.3.2.1.1.5 貝類(イガイ・こたま貝・ハマグリ・アワビ)中 ^{106}Ru 放射能濃度(平常値)

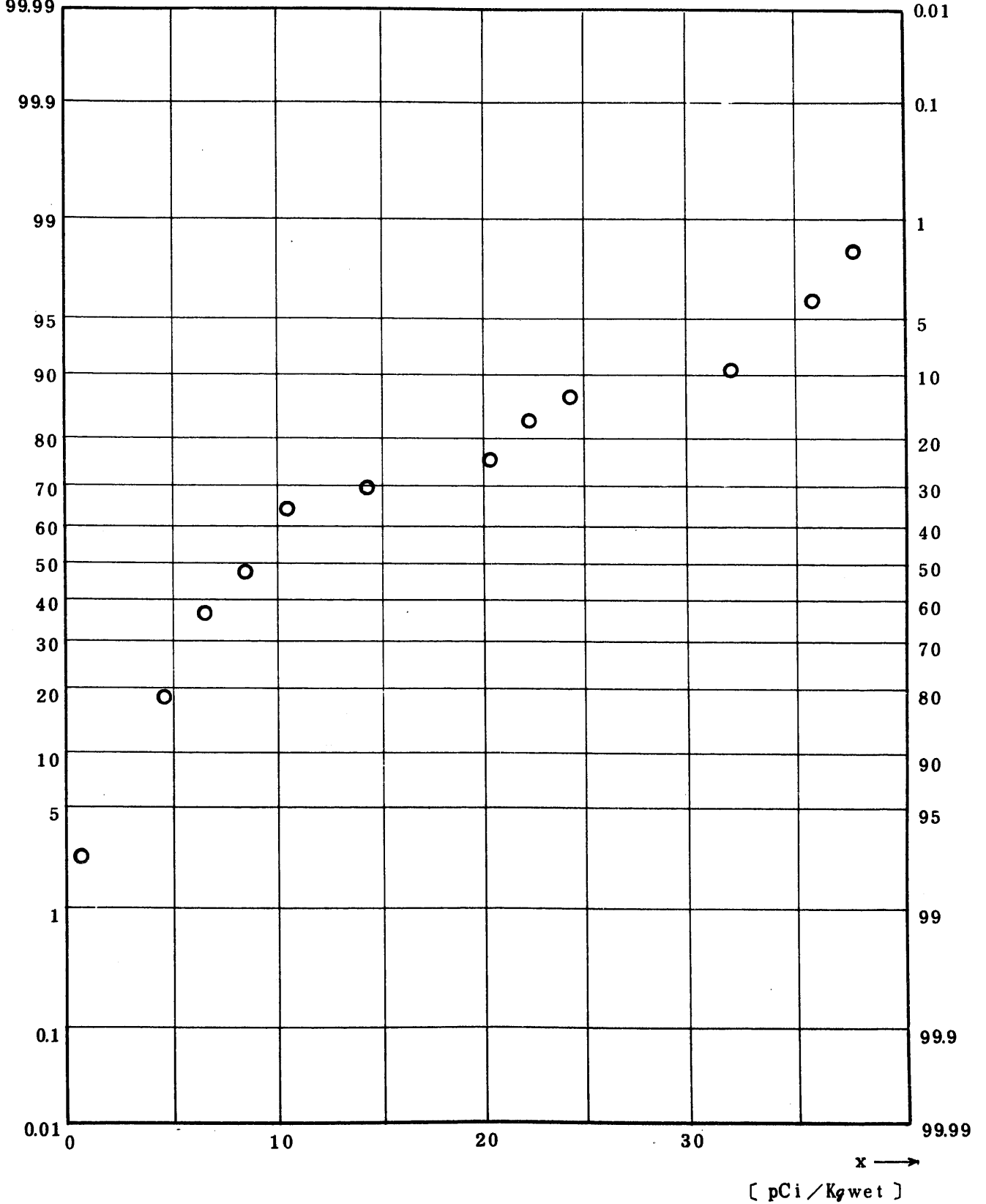


Fig. 11.7.3.2.1.1.6 ^{137}Cs Concentration in Shellfish
 (Flesh of Kotamagai, Clam, Ear-shell and Mussel)
 (USUAL) (1971.6 ~ 1977.3)

図 11.7.3.2.1.1.6 貝類(イガイ・こたま貝・ハマグリ・アワビ)中 ^{137}Cs 放射能濃度(平常値)

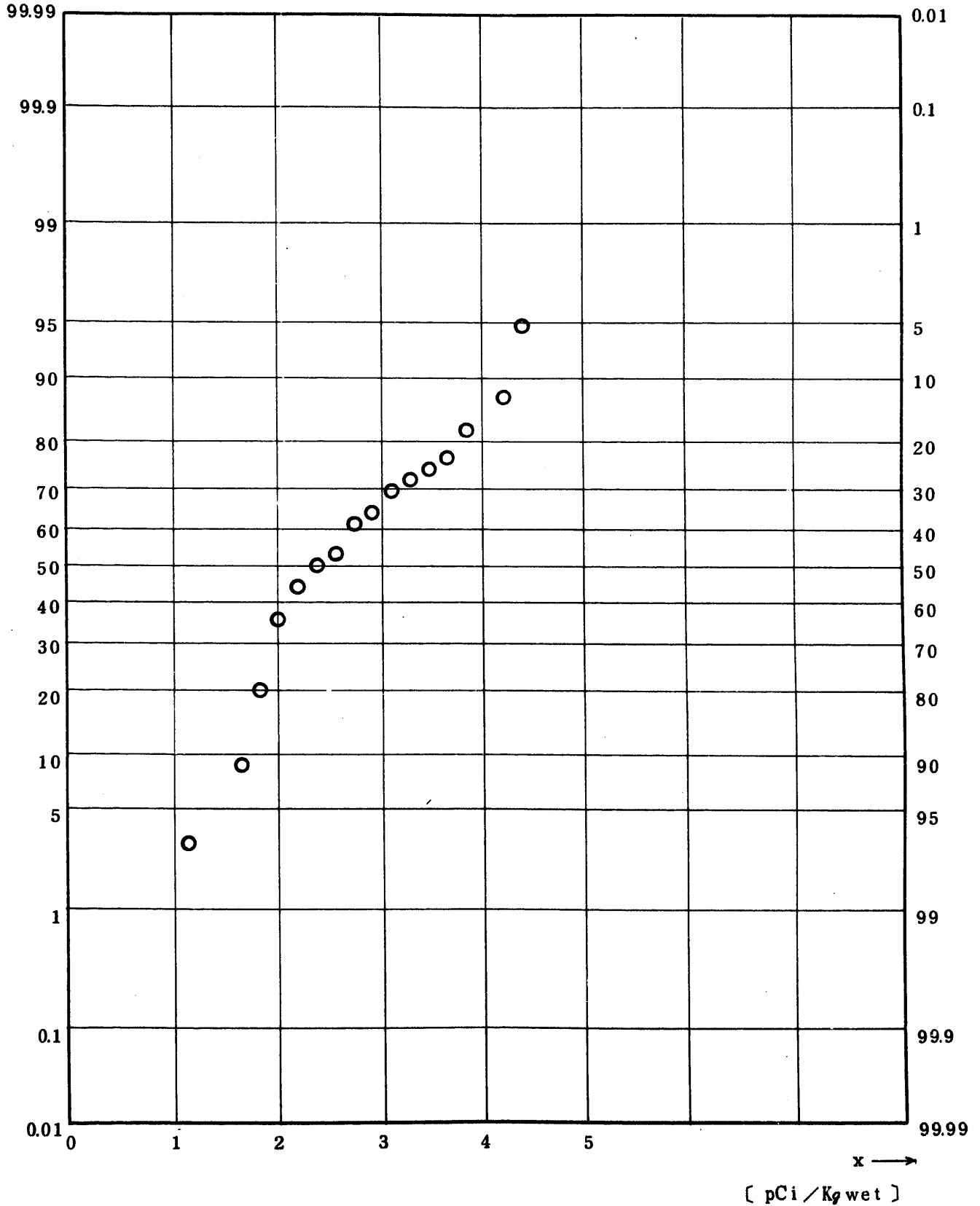


Fig. 11.7.3.2.1.1.7 $^{144}\text{Ce}/^{144}\text{Pr}$ Concentration in Shellfish
 (Flesh of Kotamagai, Clam and Ear-shell, Mussel)
 (USUAL) (1971.6 ~ 1977.3)

図 11.7.3.2.1.1.7 貝類(イガイ・こたま貝・ハマグリ・アワビ)中 ^{144}Ce 放射能濃度(平常値)

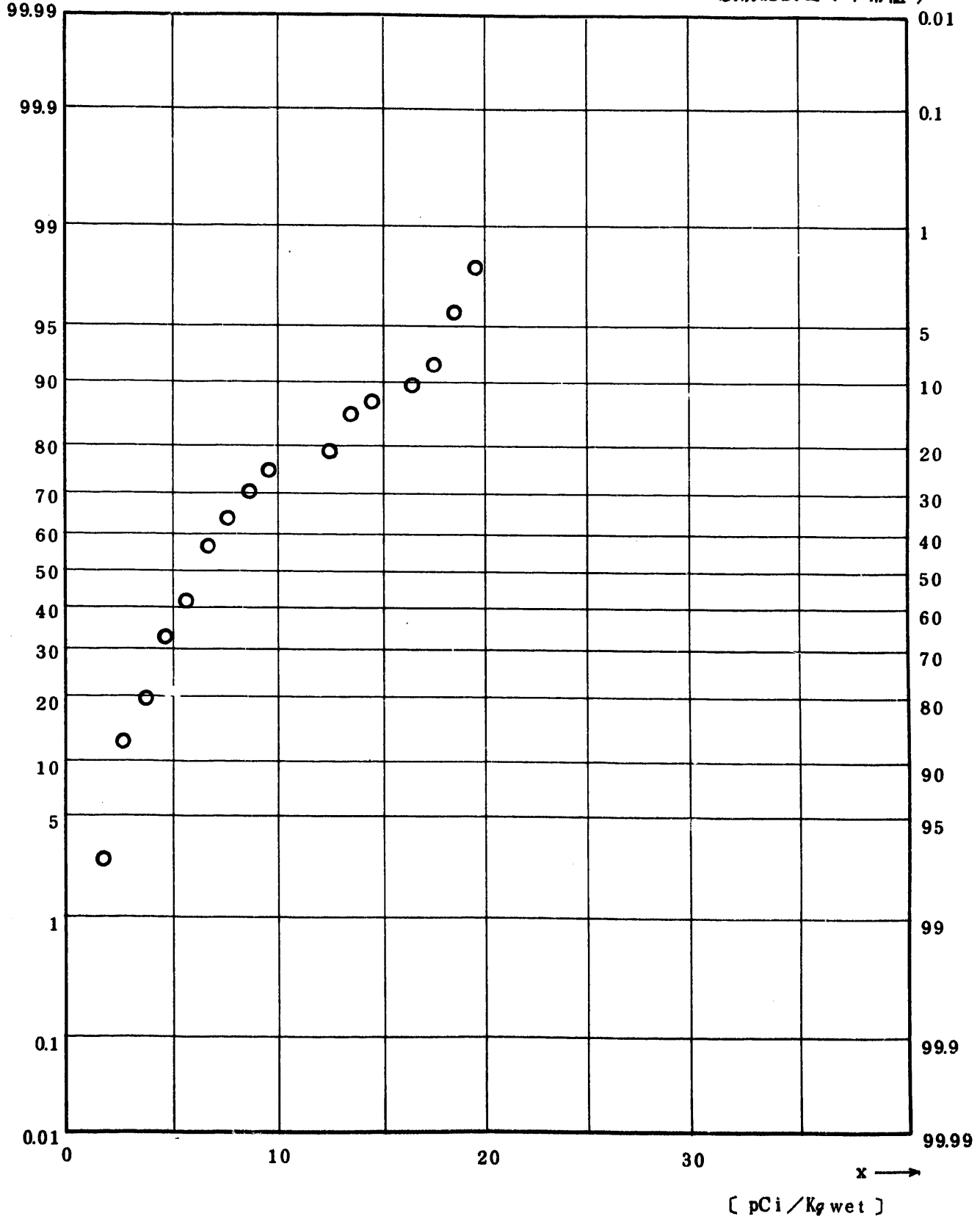


Fig. 1.1.7.3.2.1.1.8 $^{239}\text{Pu} + ^{240}\text{Pu}$ Concentration in Shellfish
 (Flesh of Kotamagai, Clam, Ear-shell and Mussel)
 (USUAL) (1972.6 ~ 1977.2)

図 1.1.7.3.2.1.1.8 貝類(イガイ・こたまた貝・ハマグリ・アワビ)中 $^{239,240}\text{Pu}$ 放射能濃度(平常値)

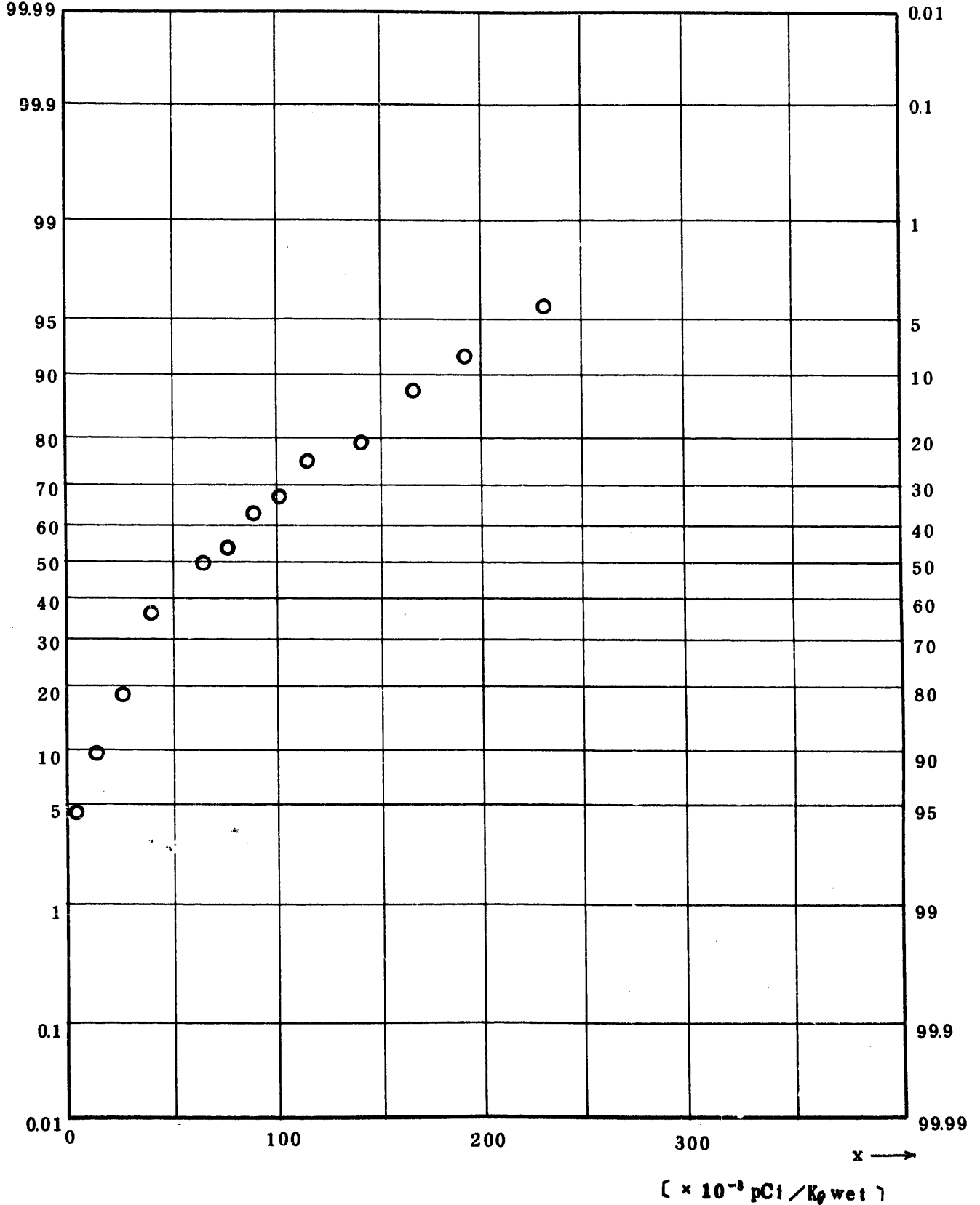


Fig. 1.1.7.3.2.2.18 $^{239}\text{Pu}+^{240}\text{Pu}$ Concentration in Shellfish
 (Flesh of Kotamagai, Clam, Ear-shell and Mussel)
 (USUAL) (1971.6 ~ 1977.3)

図 1.1.7.3.2.2.1.8 貝類(イガイ・こたま貝・ハマグリ・アワビ)中 $^{239,240}\text{Pu}$ 放射能濃度(平常値)

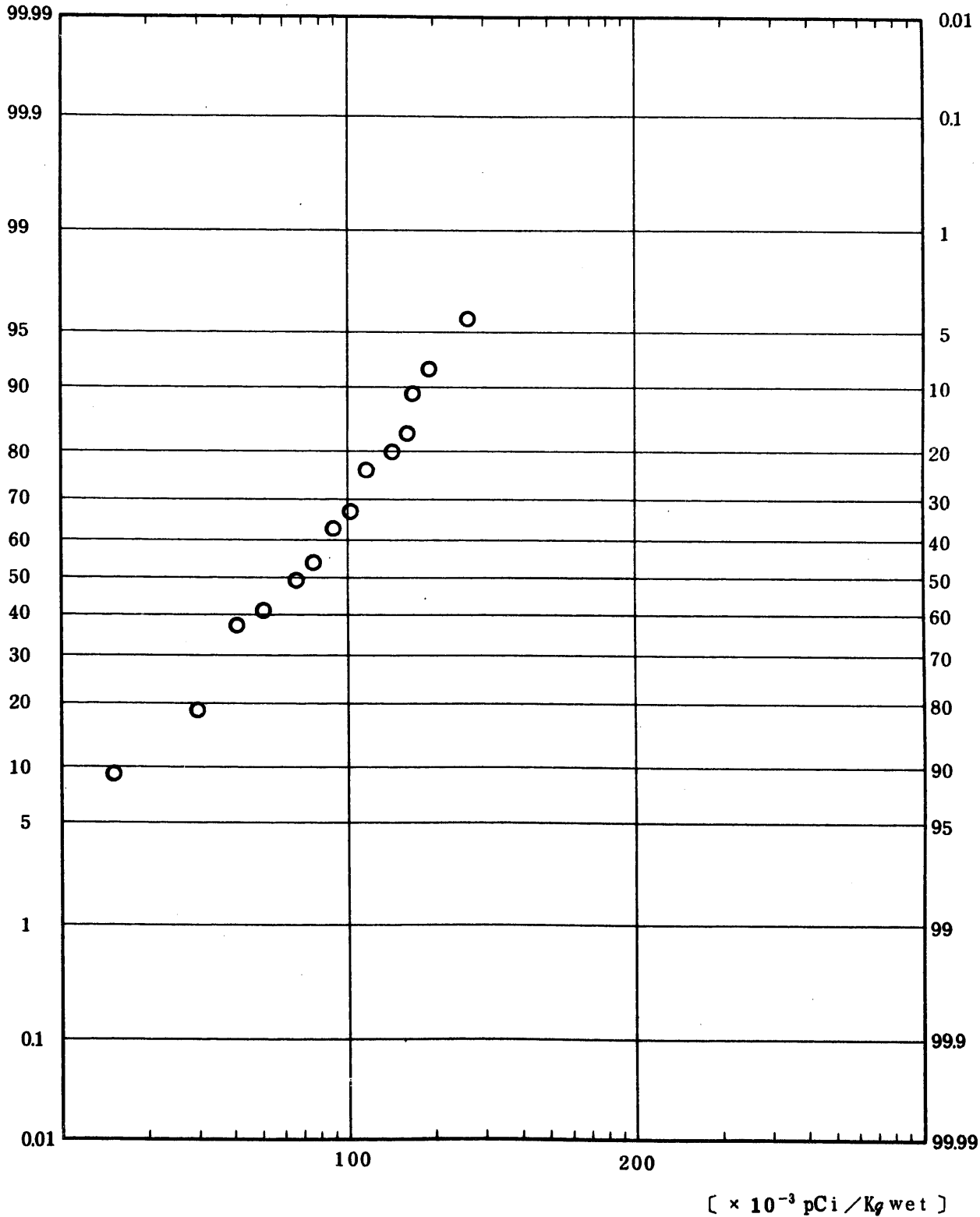


Fig. 11.8.0.1.1.1 Gross BETA Concentration in Crustacea

(Whole Body) (ALL)

(1971.12 ~ 1977.3)

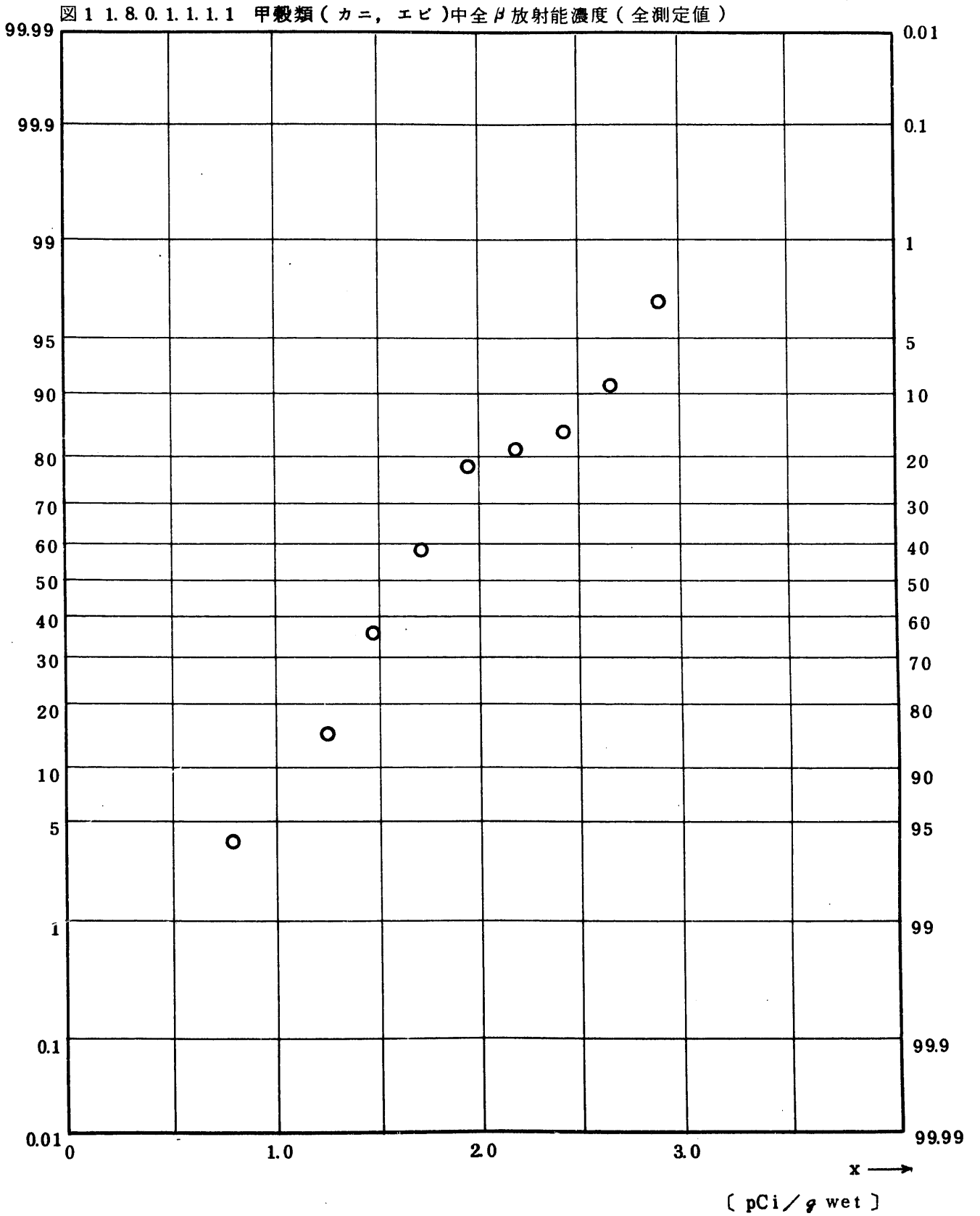


Fig. 11.8.0.1.1.1.2 ⁹⁰Sr Concentration in Crustacea (Whole Body) (ALL)
 (1971.12 ~ 1977.3)

図 11.8.0.1.1.1.2 甲殻類(カニ, エビ)中⁹⁰Sr 放射能濃度(全測定値)

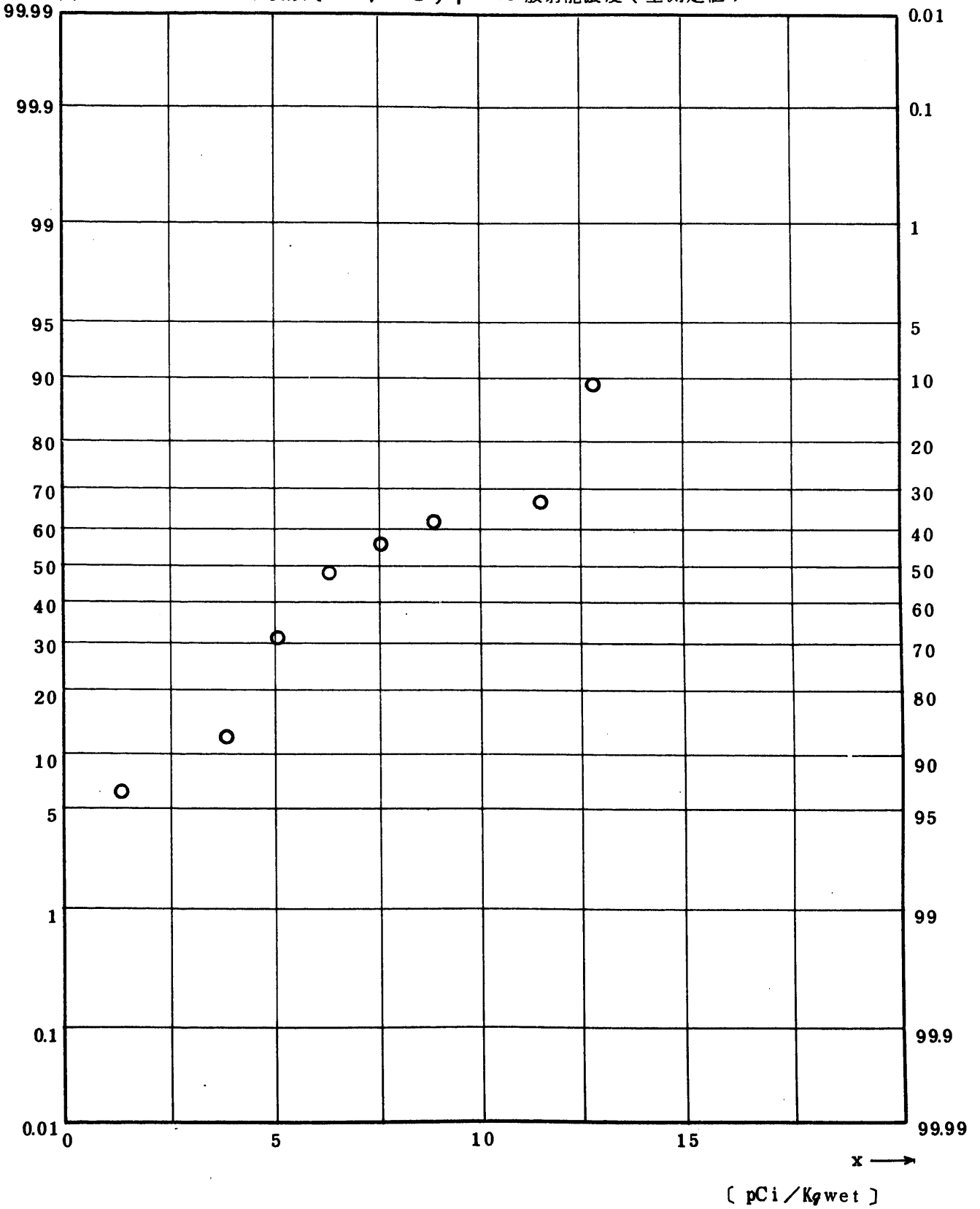


Fig. 1 1.8.0.1.2.1.2 ⁹⁰Sr Concentration in Crustacea (Whole Body) (ALL)
 (1 9 7 1 . 1 2 ~ 1 9 7 7 . 3)

図 1 1.8.0.1.2.1.2 甲殻類(カニ, エビ)中⁹⁰Sr 放射能濃度(全測定値)

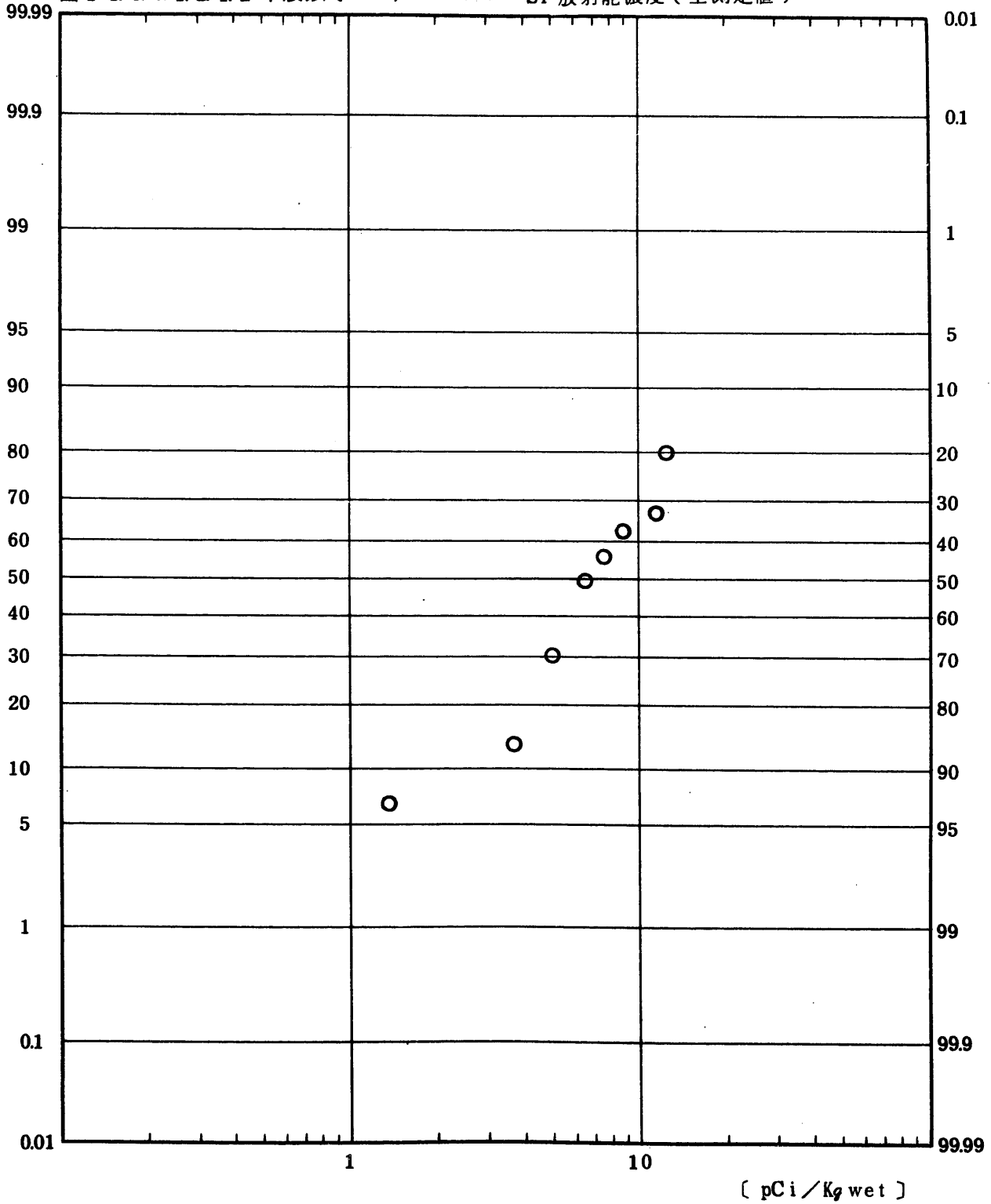


Fig. 11.8.0.1.1.3 ⁹⁵Zr Concentration in Crustacea (Whole Body) (ALL)
 (1971.12 ~ 1977.3)

図 1 1.8.0.1.1.1.3 甲殻類(カニ, エビ)中⁹⁵Zr 放射能濃度(全測定値)

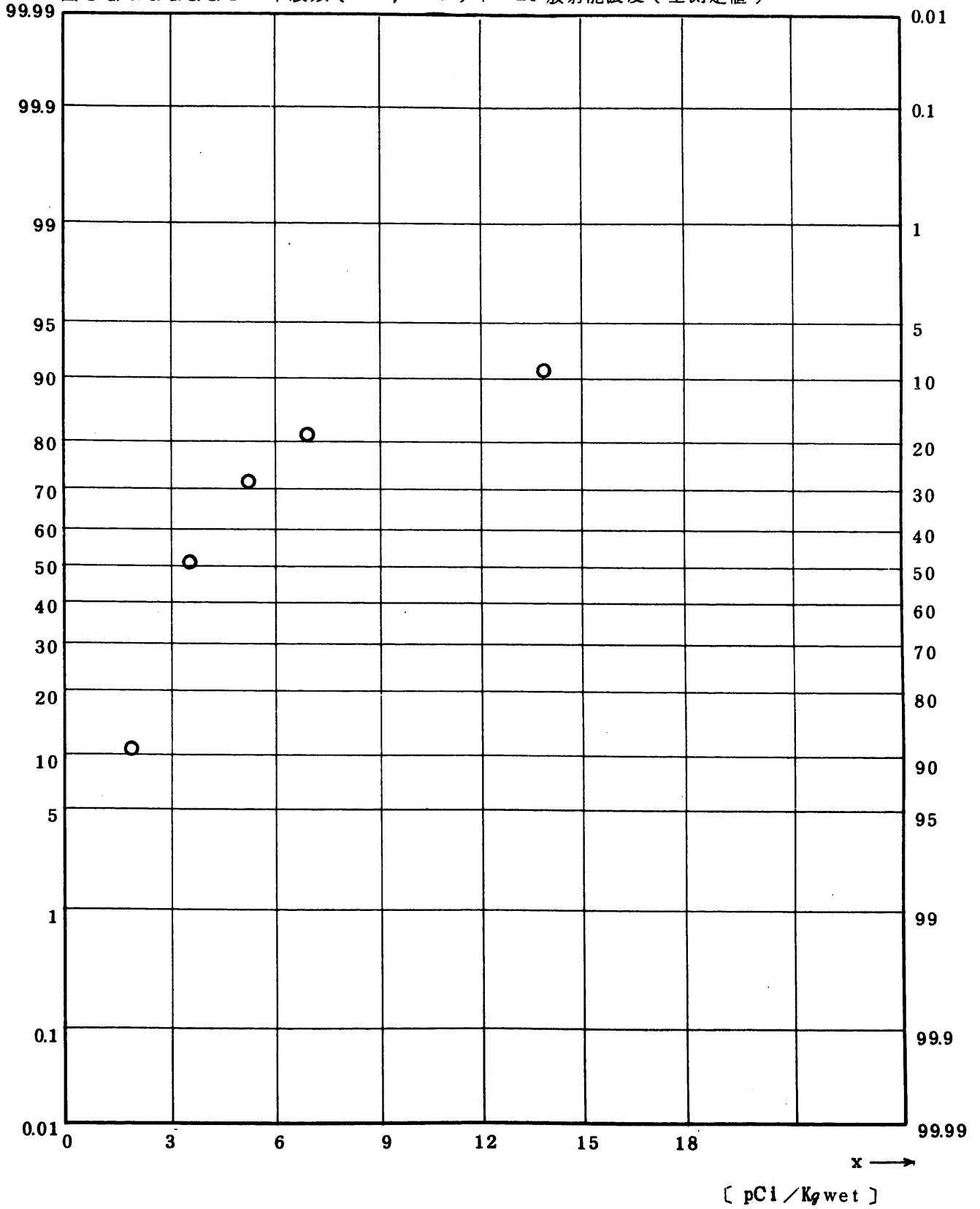


Fig. 1.1.8.0.1.1.4 ⁹⁵Nb Concentration in Crustacea (Whole Body) (ALL)
 (1971.1.2 ~ 1977.3)

図 1.1.8.0.1.1.4 甲殻類(カニ, エビ)中⁹⁵Nb 放射能濃度(全測定値)

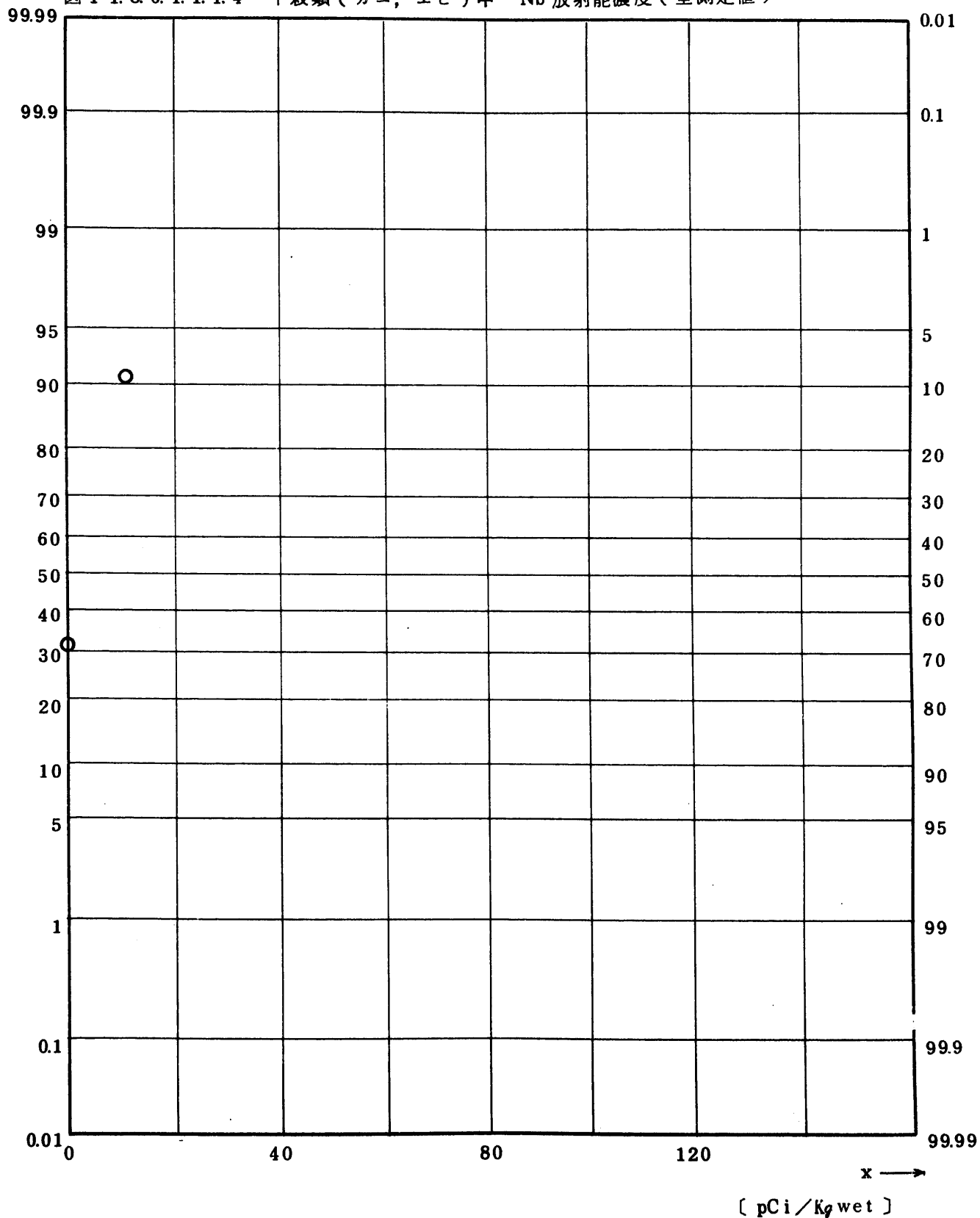


Fig. 1.1.8.0.1.1.1.5 $^{106}\text{Ru}/^{106}\text{Rh}$ Concentration in Crustacea
 (Whole Body) (ALL)

(1971.12 ~ 1977.3)

図 1.1.8.0.1.1.1.5 甲殻類(カニ, エビ)中 ^{106}Ru 放射能濃度(全測定値)

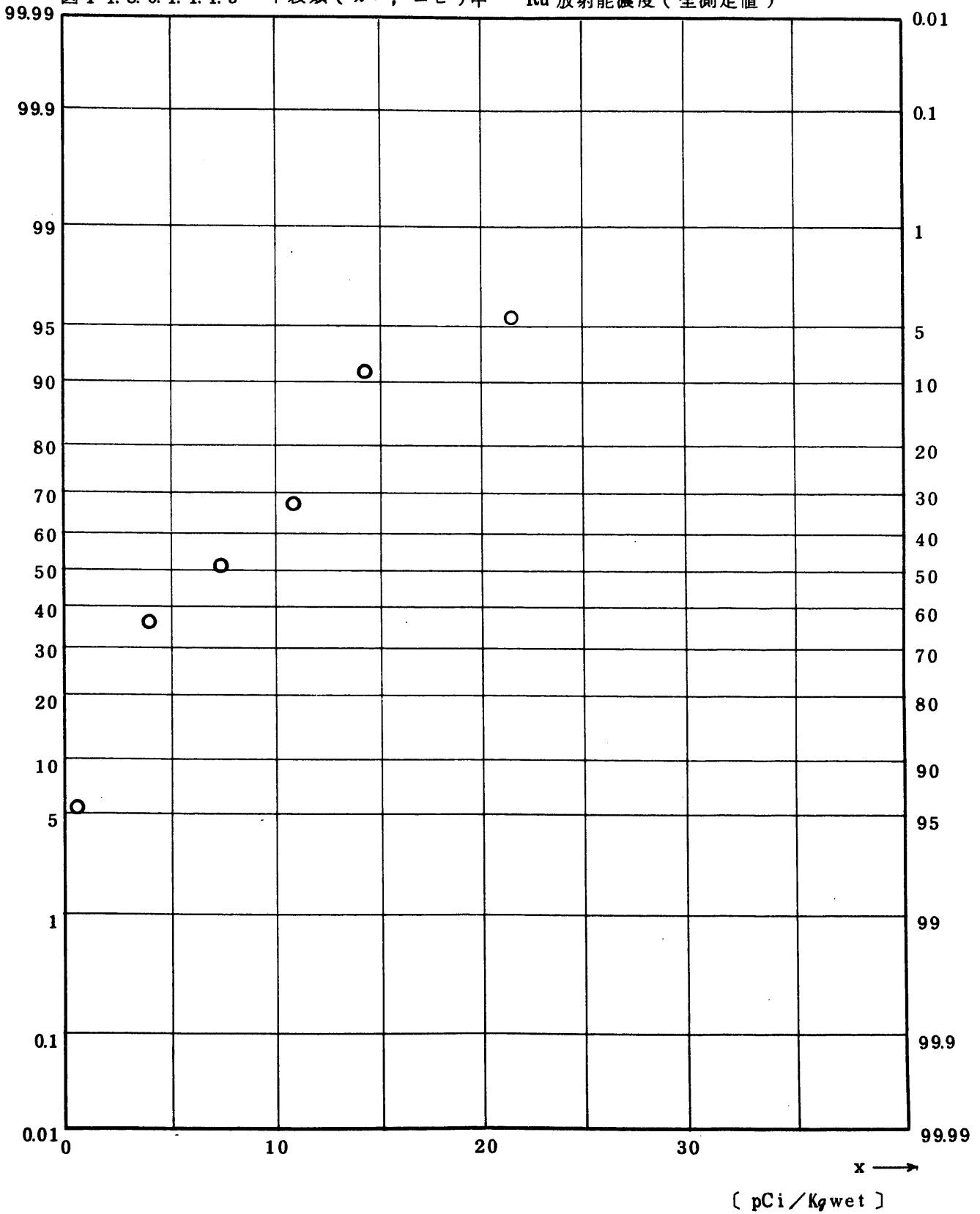


Fig. 11.8.0.1.1.1.6 ^{137}Cs Concentration in Crustacea (Whole Body) (ALL)
 (1971.12 ~ 1977.2)

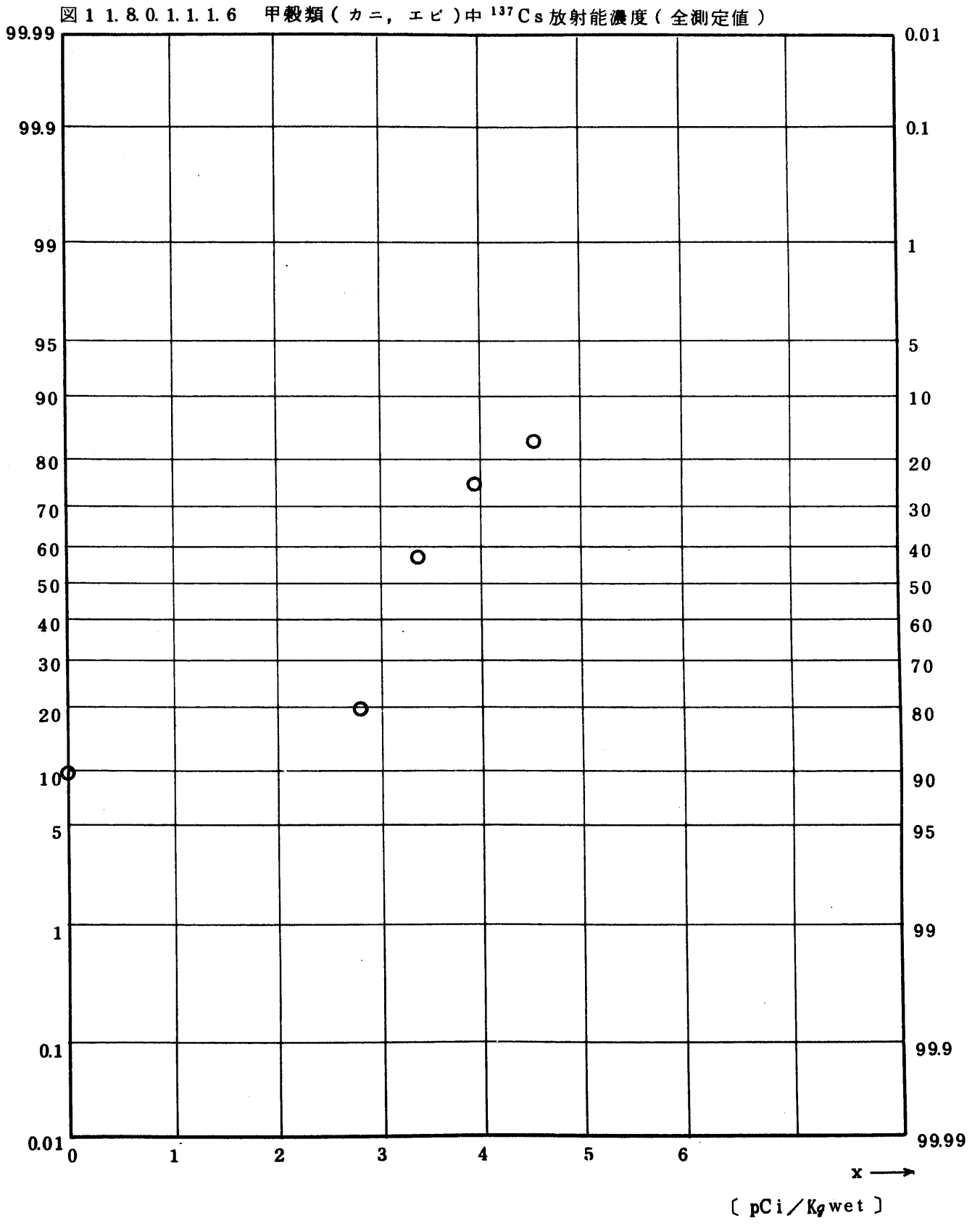


Fig. 1 1.8.0.1.1.7 $^{144}\text{Ce}/^{144}\text{Pr}$ Concentration in Crustacea
 (Whole Body) (ALL)

(1 9 7 1 . 1 2 ~ 1 9 7 7 . 3)

図 1 1.8.0.1.1.7 甲殻類(カニ, エビ)中 ^{144}Ce 放射能濃度(全測定値)

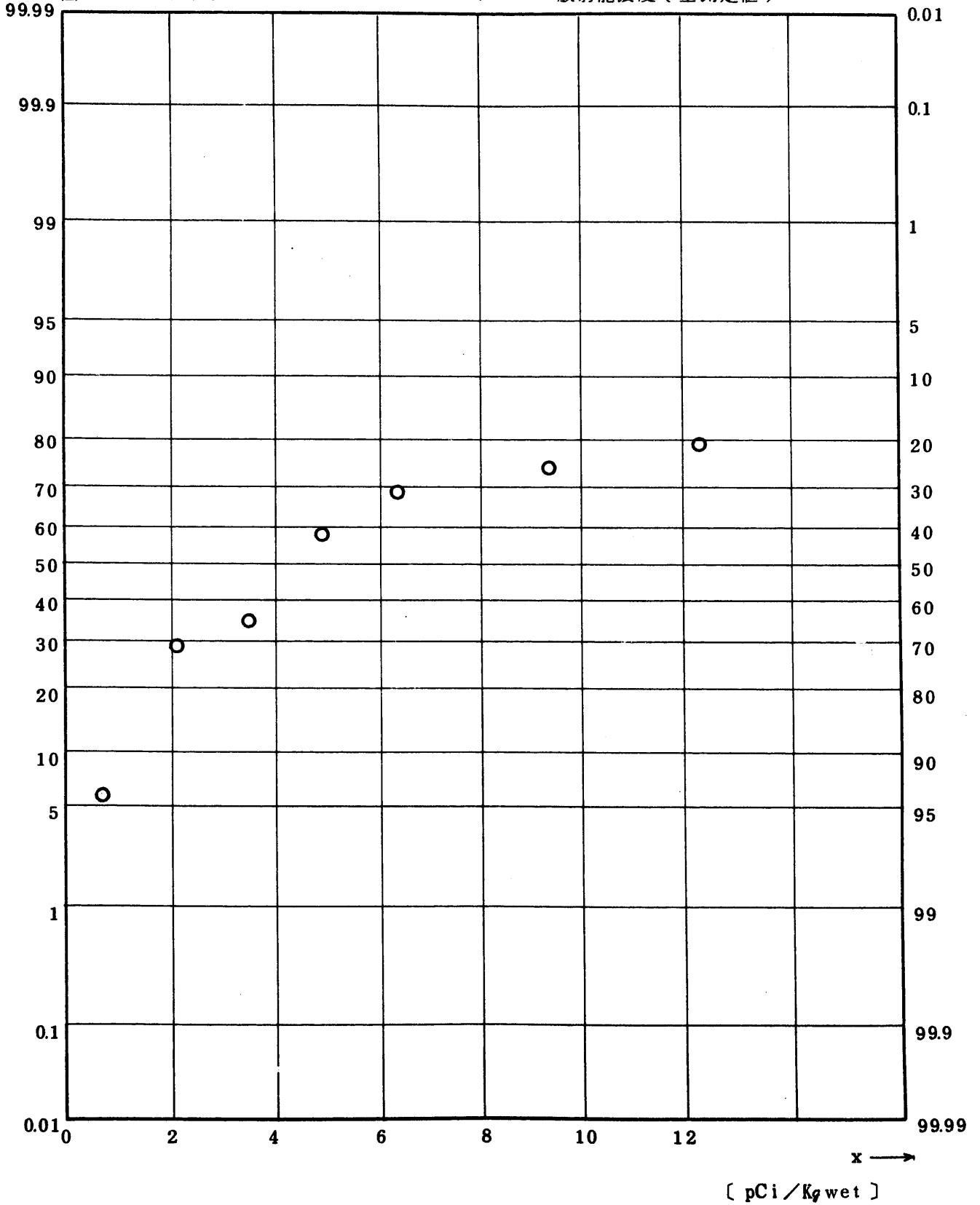


Fig. 11.8.0.1.2.1.7 $^{144}\text{Ce}/^{144}\text{Pr}$ Concentration in Crustacea
 (Whole Body) (ALL)

(1971.12 ~ 1977.3)

図 11.8.0.1.2.1.7 甲殻類 (カニ, エビ) 中 ^{144}Ce 放射能濃度 (全測定値)

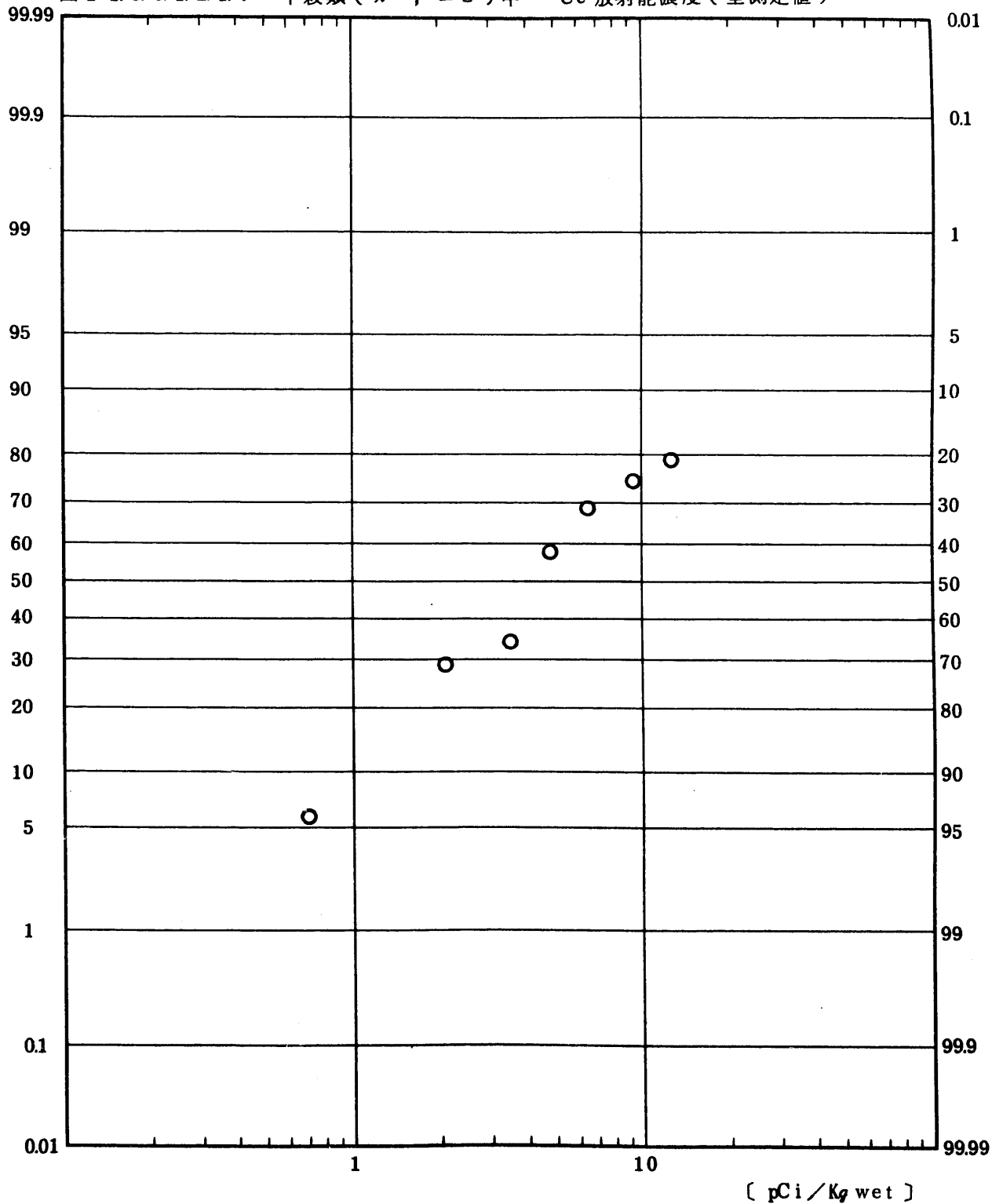


Fig. 11.8.0.1.1.1.8 $^{239}\text{Pu} + ^{240}\text{Pu}$ Concentration in Crustacea
(Whole Body) (ALL)

(1971.12 ~ 1977.3)

図 11.8.0.1.1.1.8 甲殻類(カニ, エビ)中 $^{239,240}\text{Pu}$ 放射能濃度(全測定値)

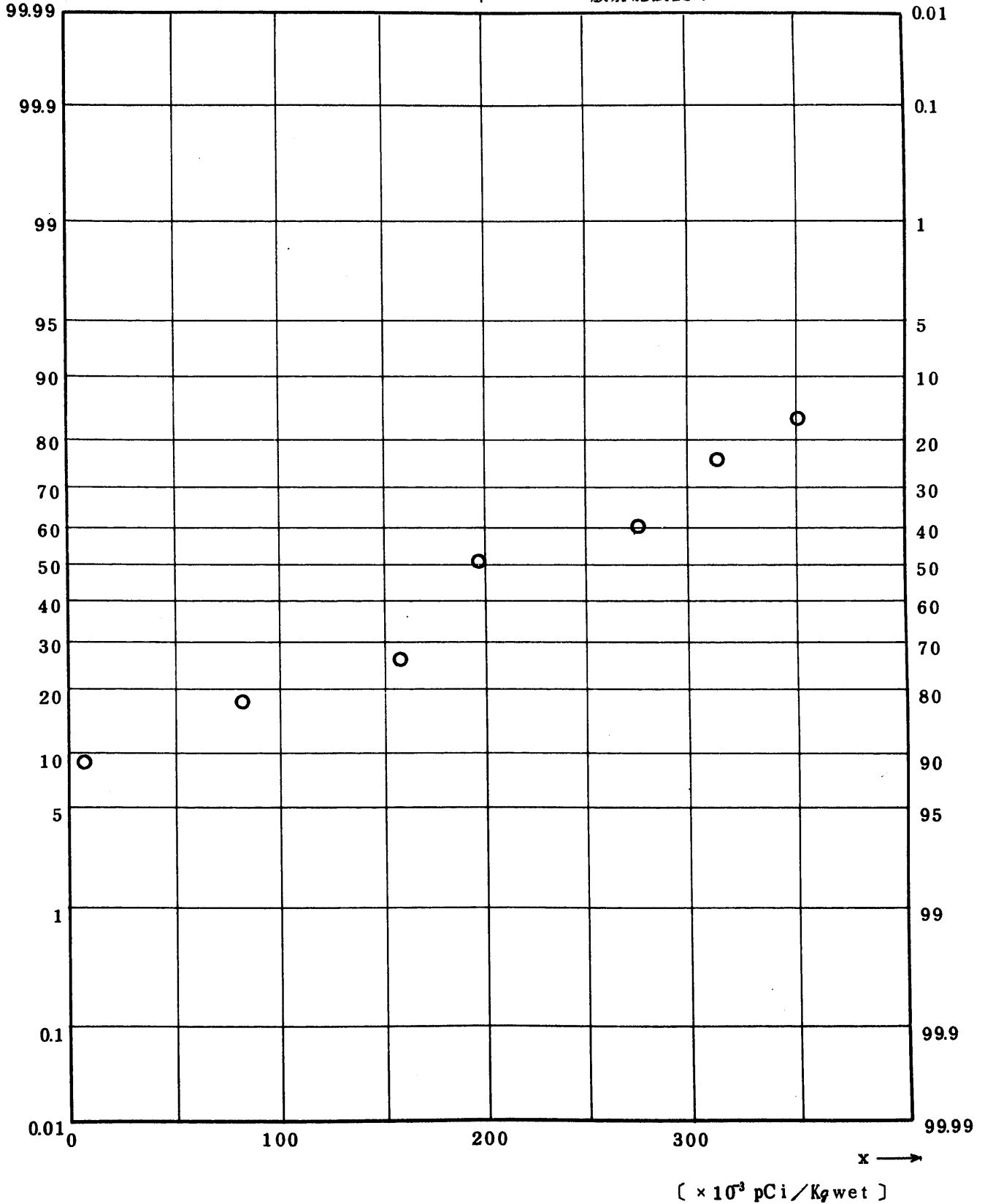


Fig. 11.8.0.2.1.1.1 Gross BETA Concentration in Crustacea
 (Whole Body) (USUAL)

(1971.1.2 ~ 1977.3)

図 1 1.8.0.2.1.1.1. 甲殻類(カニ, エビ)中全β放射能濃度(平常値)

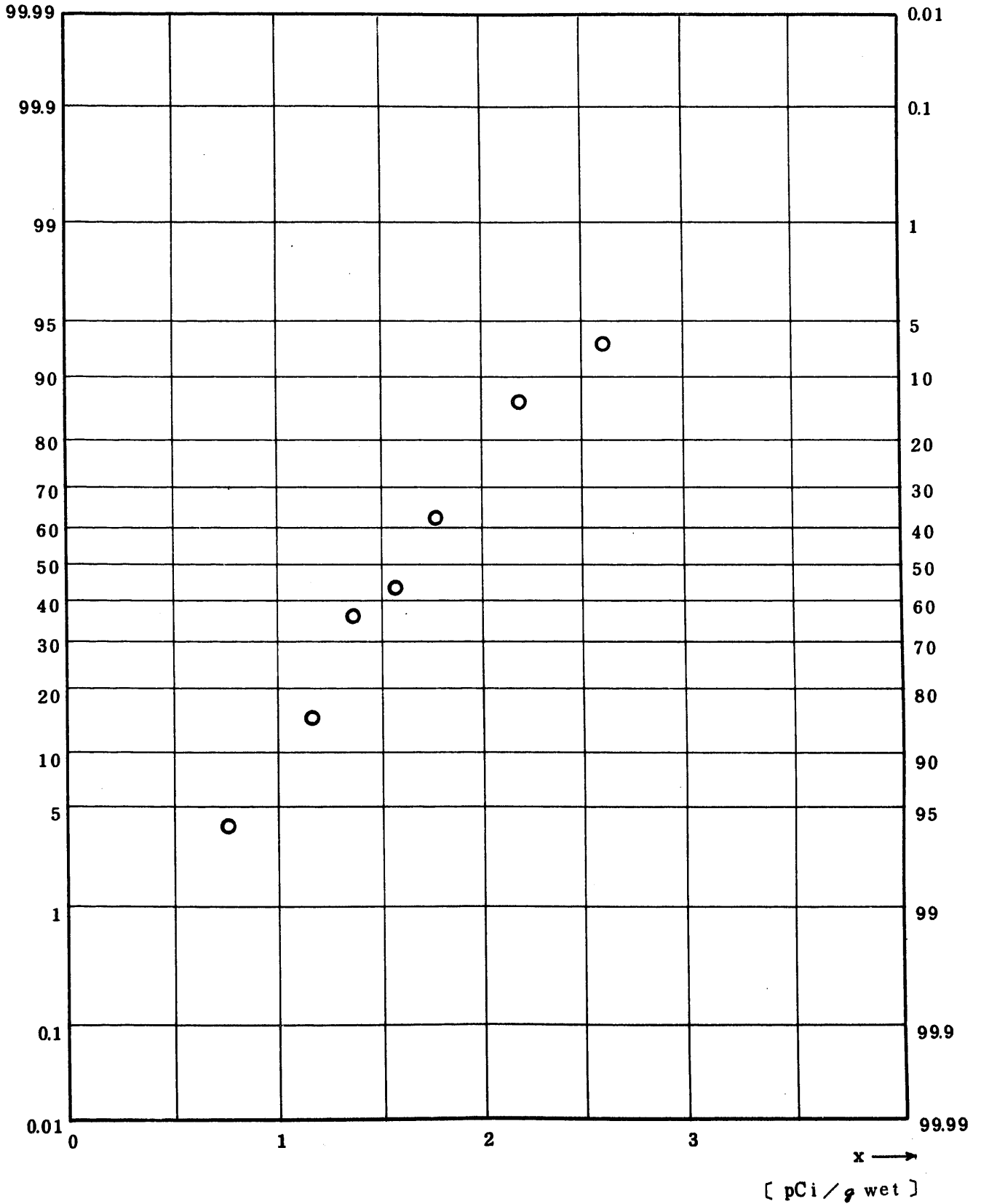


Fig. 11.8.0.2.1.1.2 ^{90}Sr Concentration in Crustacea (Whole Body) (USUAL)
 (1971.1.2 ~ 1977.3)

図 1 1. 8. 0. 2. 1. 1. 2 甲殻類(カニ, エビ)中 ^{90}Sr 放射能濃度(平常値)

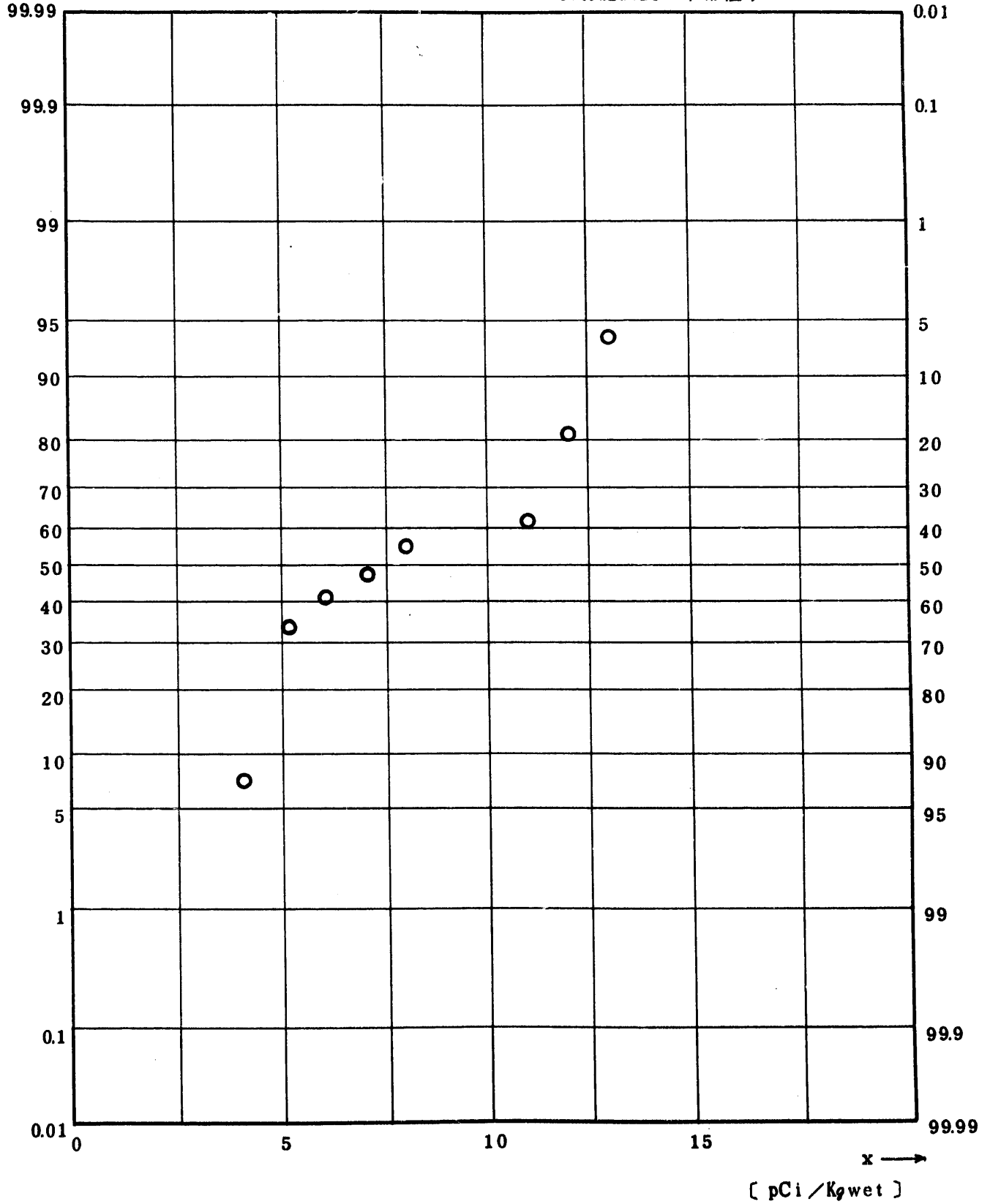


Fig. 11.8.0.21.1.3 ^{95}Zr Concentration in Crustacea (Whole Body) (USUAL)
 (1971.12 ~ 1977.3)

図 11.8.0.21.1.3 甲殻類(カニ, エビ)中 ^{95}Zr 放射能濃度(平常値)

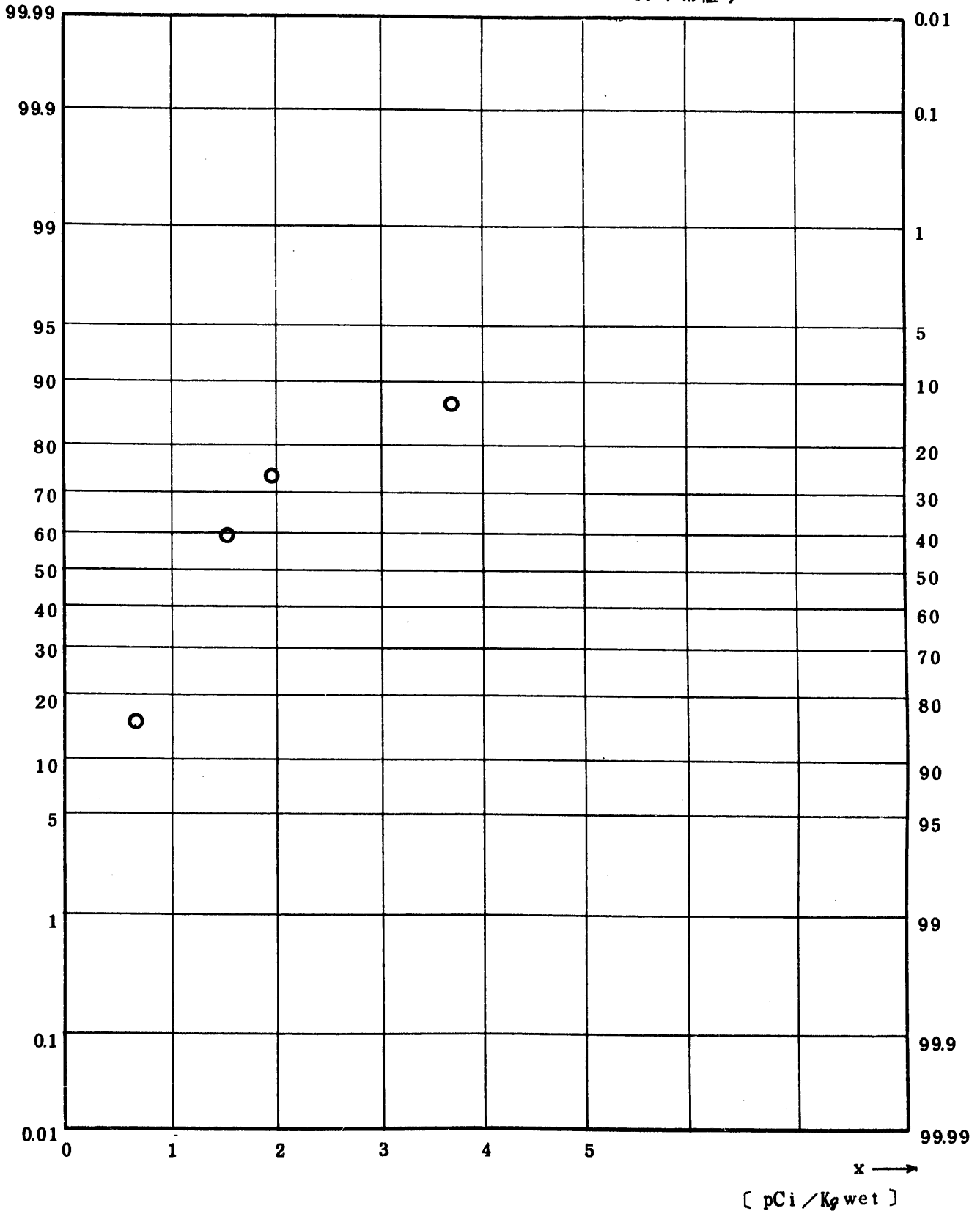


Fig. 11.8.0.2.2.1.3 ⁹⁵Zr Concentration in Crustacea (Whole Body) (USUAL)
 (1971.12 ~ 1977.3)

図 1 1.8.0.2.2.1.3 甲殻類(カニ, エビ)中⁹⁵Zr放射能濃度(平常値)

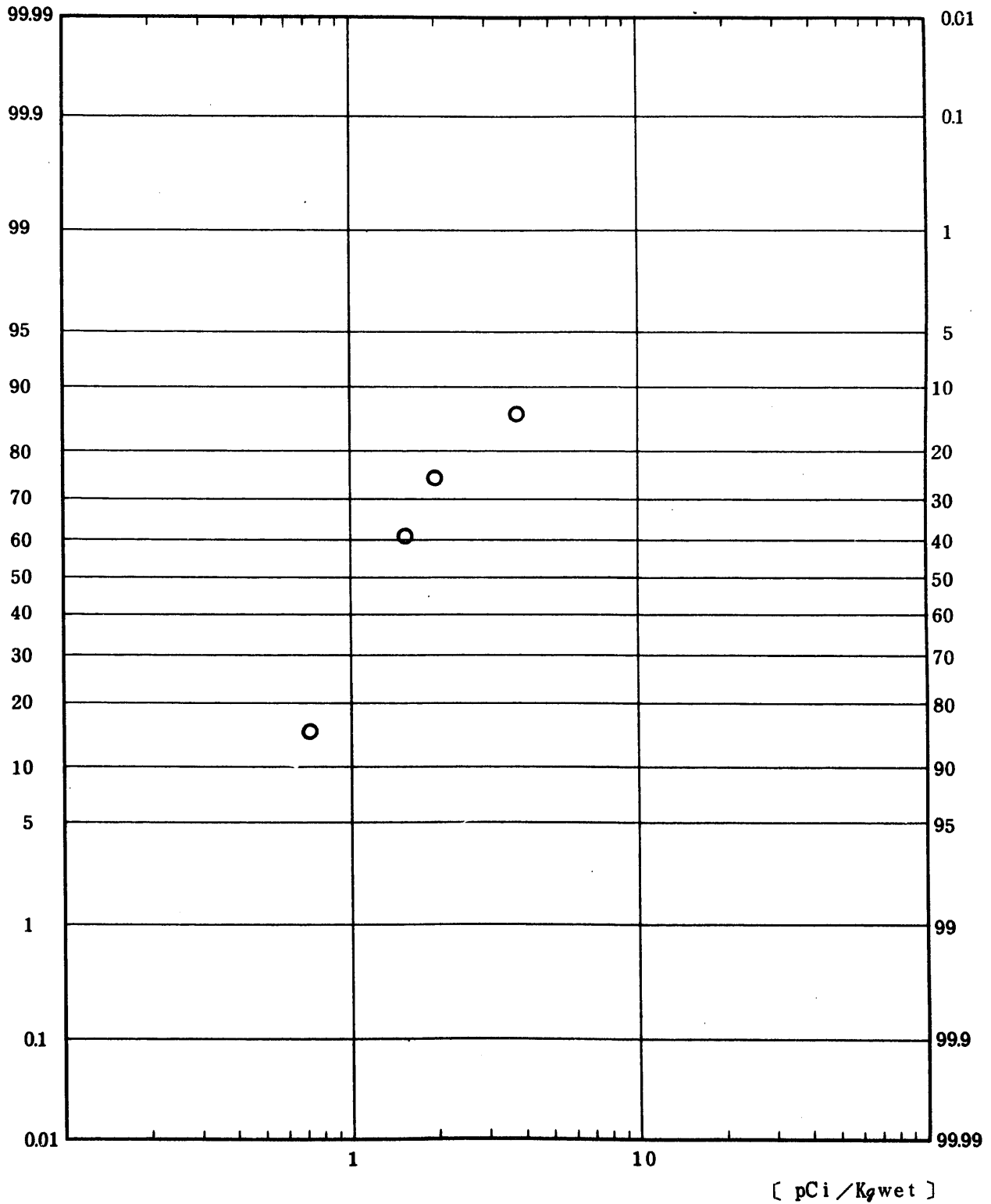


Fig. 11.8.0.2.1.1.4 ⁹⁵Nb Concentration in Crustacea (Whole Body) (USUAL)
 (1971.12 ~ 1977.3)

図 11.8.0.2.1.1.4 甲殻類 (カニ, エビ) 中 ⁹⁵Nb 放射能濃度 (平常値)

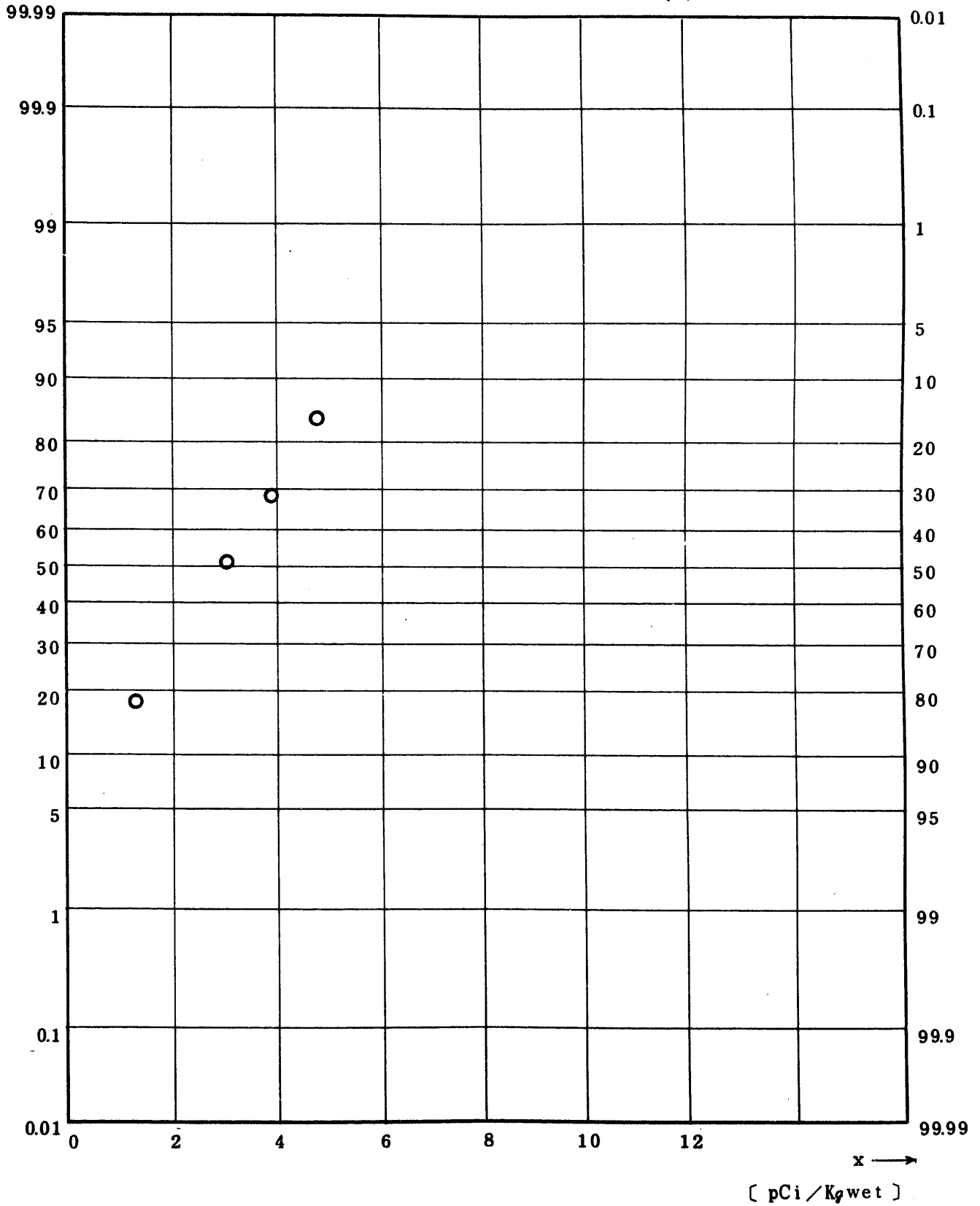


Fig. 11.8.0.2.1.15 $^{106}\text{Ru}/^{106}\text{Rh}$ Concentration in Crustacea

(Whole Body) (USUAL)

(1971.1.2 ~ 1977.3)

図 1 1. 8. 0. 2. 1. 1. 5 甲殻類 (カニ, エビ) 中 ^{106}Ru 放射能濃度 (平常値)

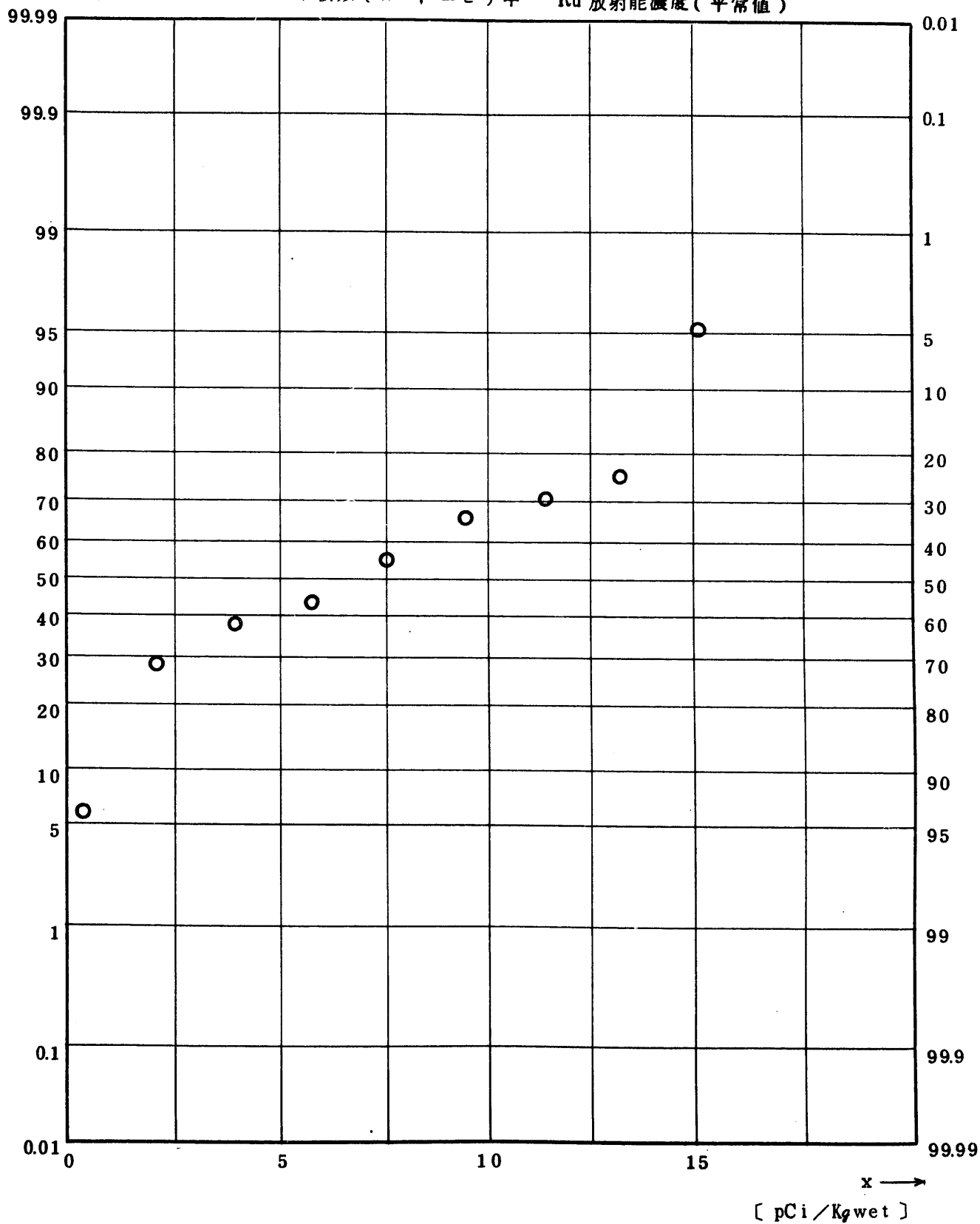


Fig. 11.8.0.21.1.6 ¹³⁷Cs Concentration in Crustacea (Whole Body)(USUAL)
 (1971.12 ~ 1977.3)

図 11.8.0.21.1.6 甲殻類(カニ, エビ)中¹³⁷Cs放射能濃度(平常値)

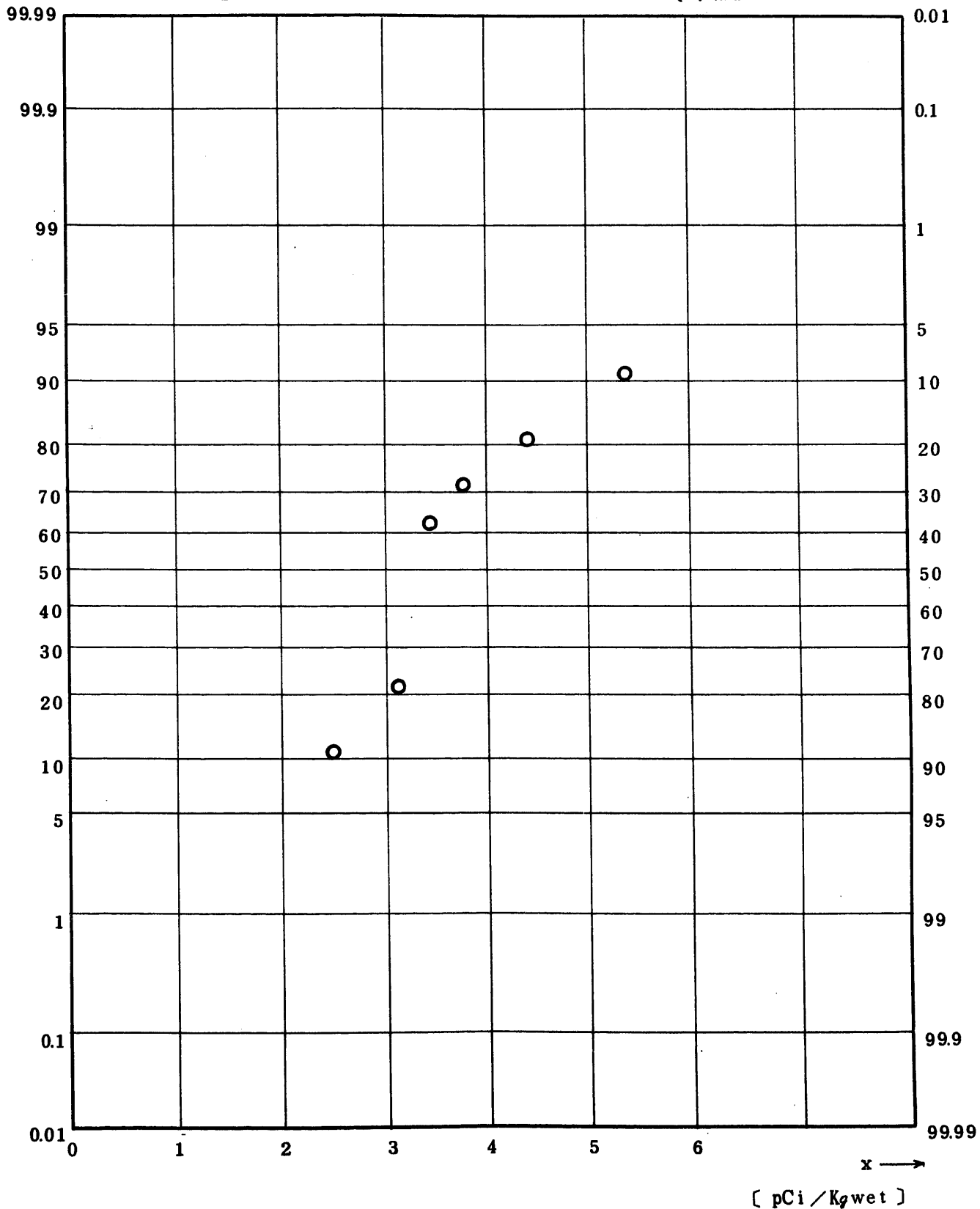


Fig. 1.1.8.0.2.1.1.7 $^{144}\text{Ce}/^{144}\text{Pr}$ Concentration in Crustacea
 (Whole Body) (USUAL)

(1971.12 ~ 1977.3)

図 1.1.8.0.2.1.1.7 甲殻類(カニ, エビ)の ^{144}Ce 放射能濃度(平常値)

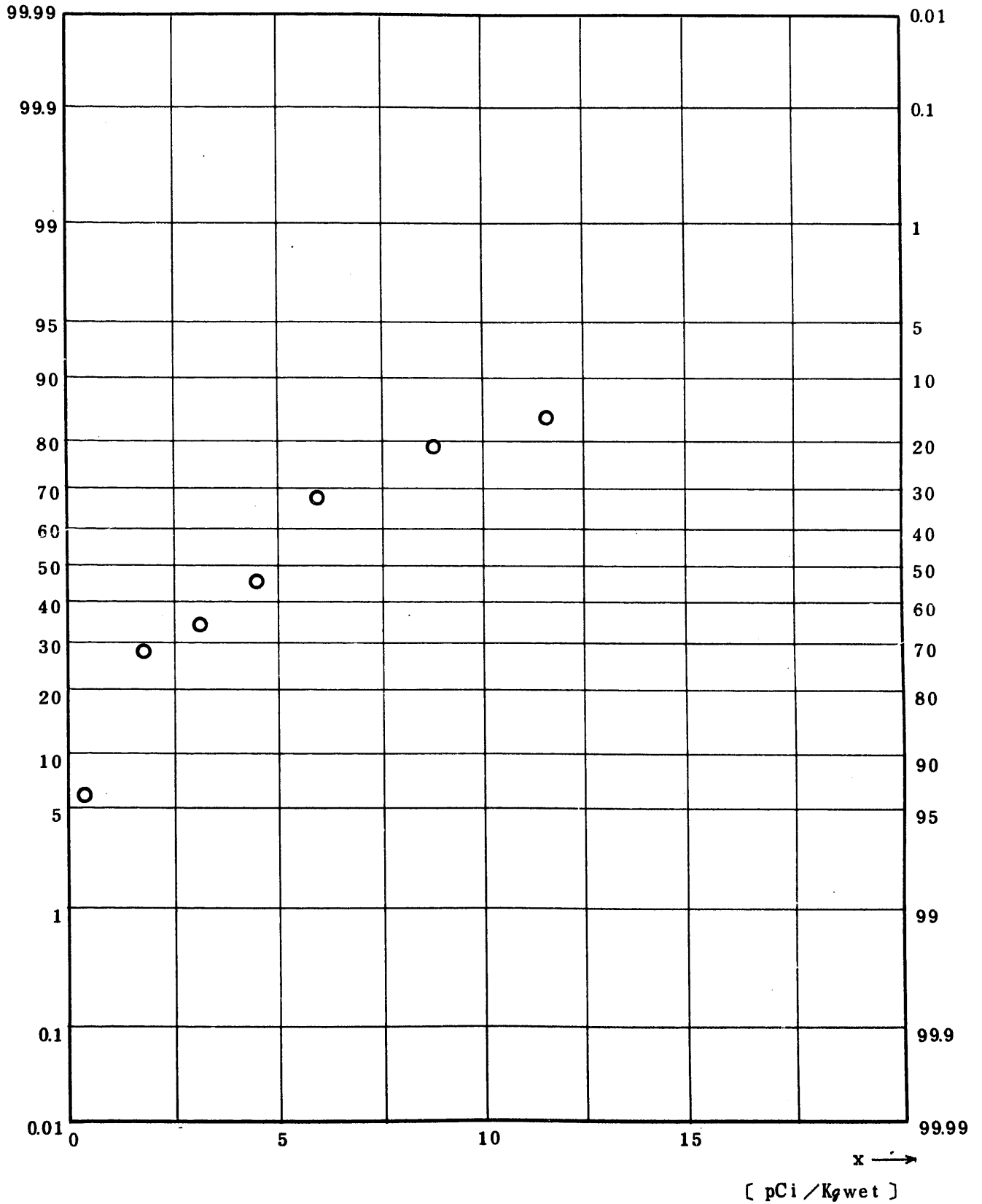


Fig. 1 1.8.0.2.2.1.7 $^{144}\text{Ce}/^{144}\text{Pr}$ Concentration in Crustacea
 (Whole Body) (USUAL)

(1 9 7 1.1 2 ~ 1 9 7 7.3)

図 1 1.8.0.2.2.1.7 甲殻類(カニ, エビ)中 ^{144}Ce 放射能濃度(平常値)

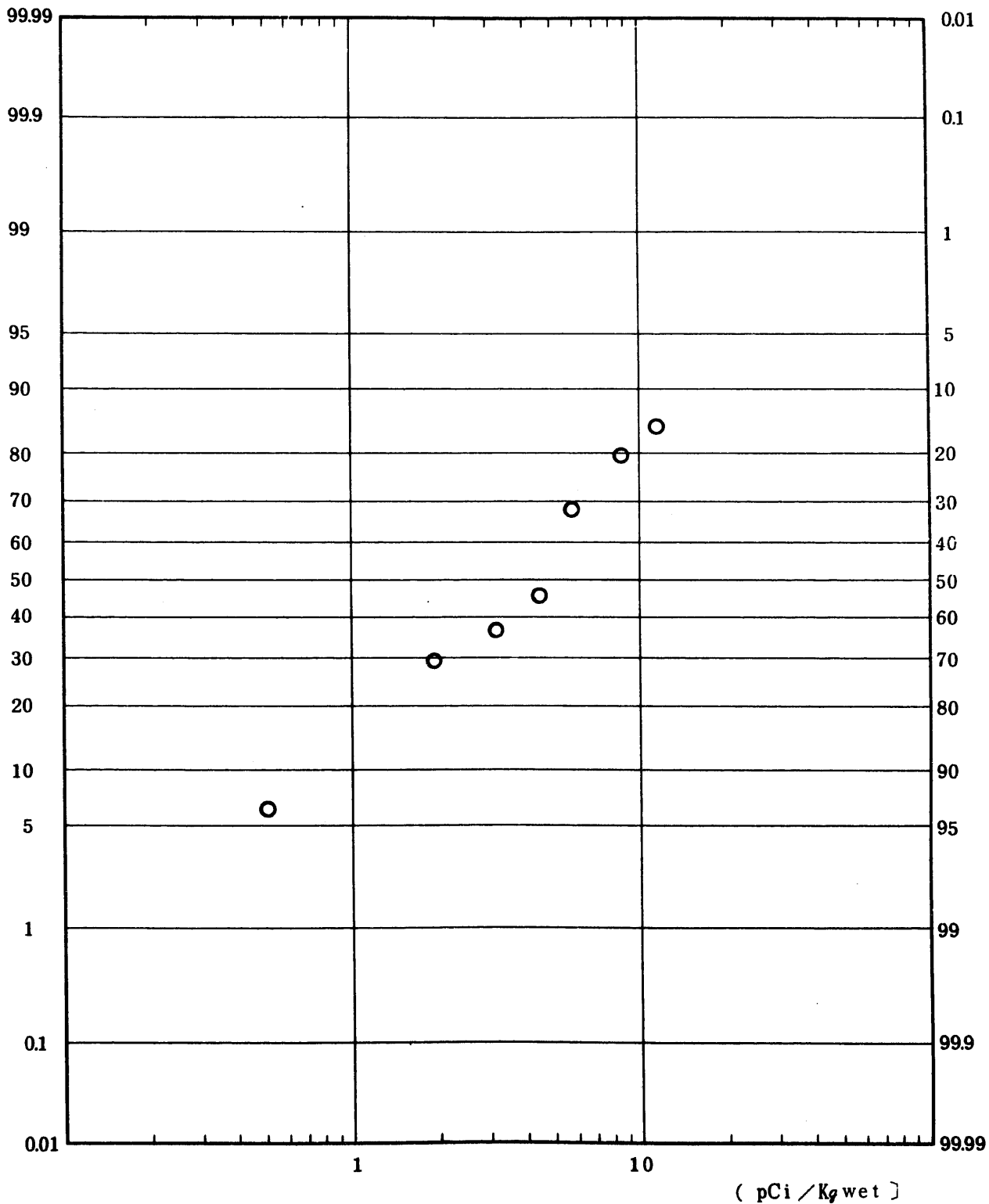


Fig. 1 1.8.0.2.1.1.9 $^{239}\text{Pu} + ^{240}\text{Pu}$ Concentration in Crustacea
 (Whole Body) (USUAL)

(1 9 7 1 . 1 2 / 1 9 7 7 . 3)

図 1 1.8.0.2.1.1.9 甲殻類 (カニ, エビ) 中 $^{239}, ^{240}\text{Pu}$ 放射能濃度 (平常値)

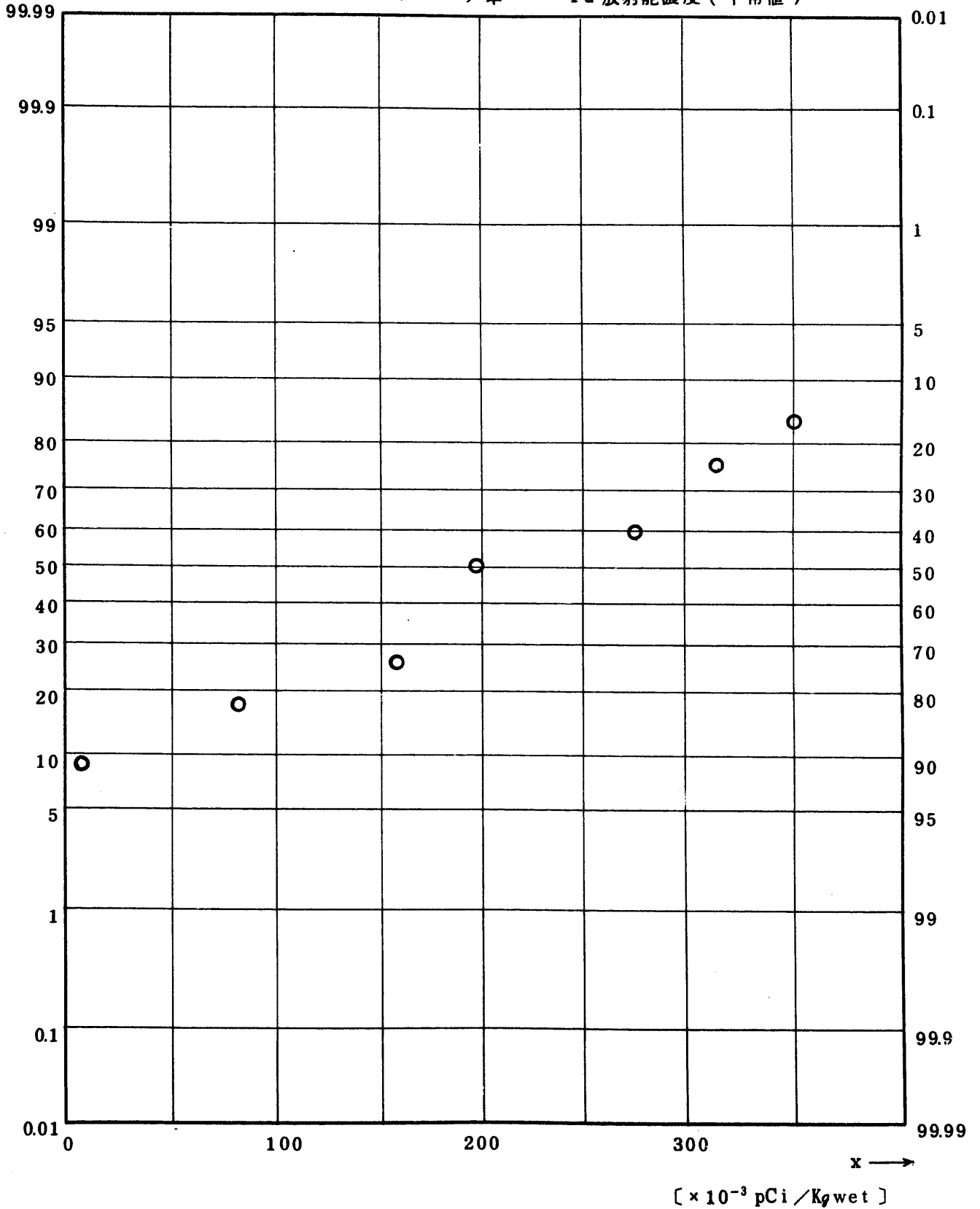


Fig. 11.9.1.1.1.1.1 Gross BETA Concentration in Mollusca (Flesh) (ALL)
 (1971.5 ~ 1977.3)

図 11.9.1.1.1.1.1 軟体類(タコ・イカ)中全β放射能濃度(全測定値)

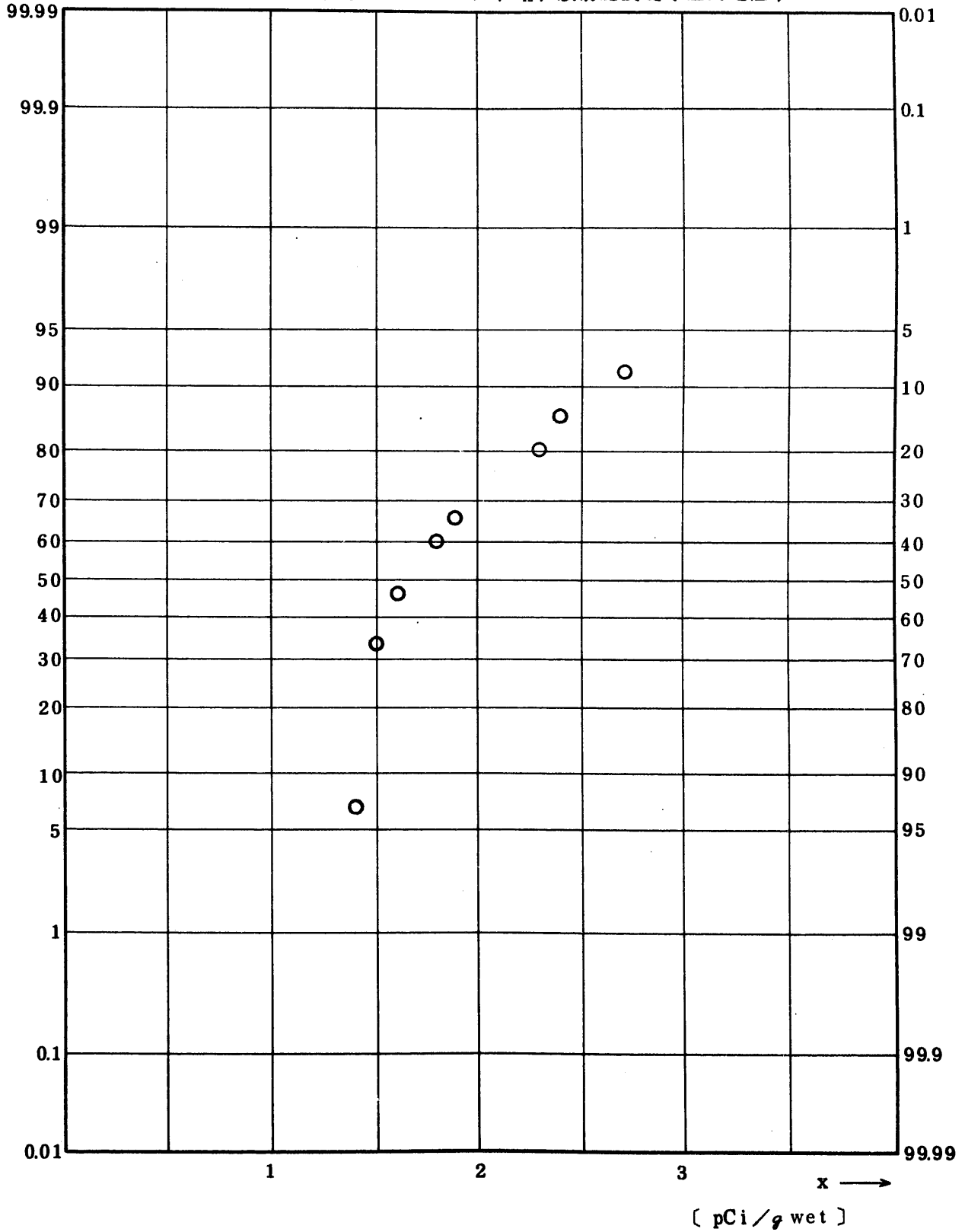


Fig. 1.1.9.1.1.2.1.1 Gross BETA Concentration in Mollusca (Flesh) (ALL)
 (1971.5~1977.3)

図 1.1.9.1.1.2.1.1 軟体類(タコ・イカ)中全β放射能濃度(全測定値)

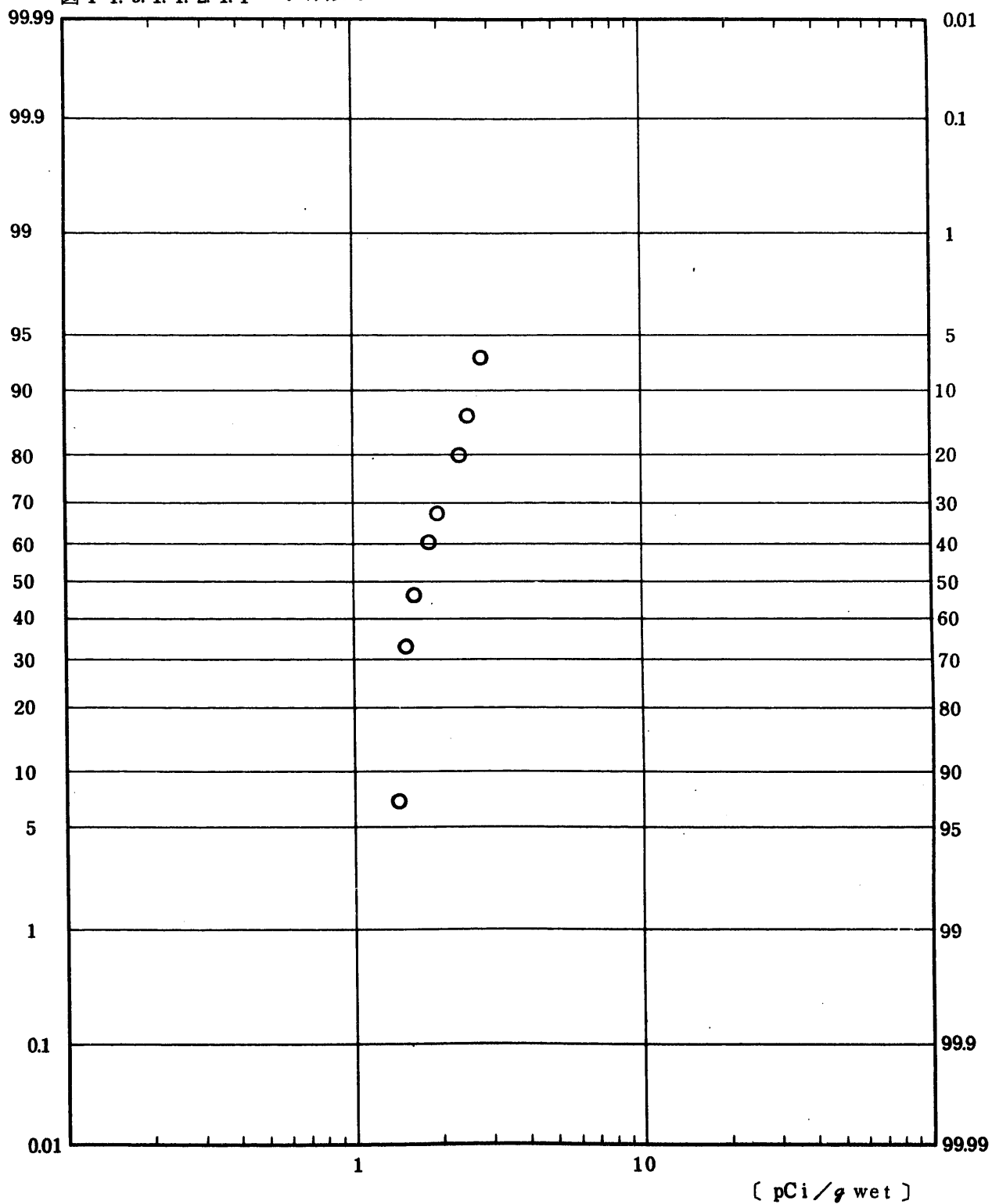


Fig. 1.1.9.1.1.1.2 ^{90}Sr Concentration in Mollusca (Flesh) (ALL)
 (1971.5 ~ 1977.3)

図 1.1.9.1.1.1.2 軟体類(タコ・イカ)中 ^{90}Sr 放射能濃度(全測定値)

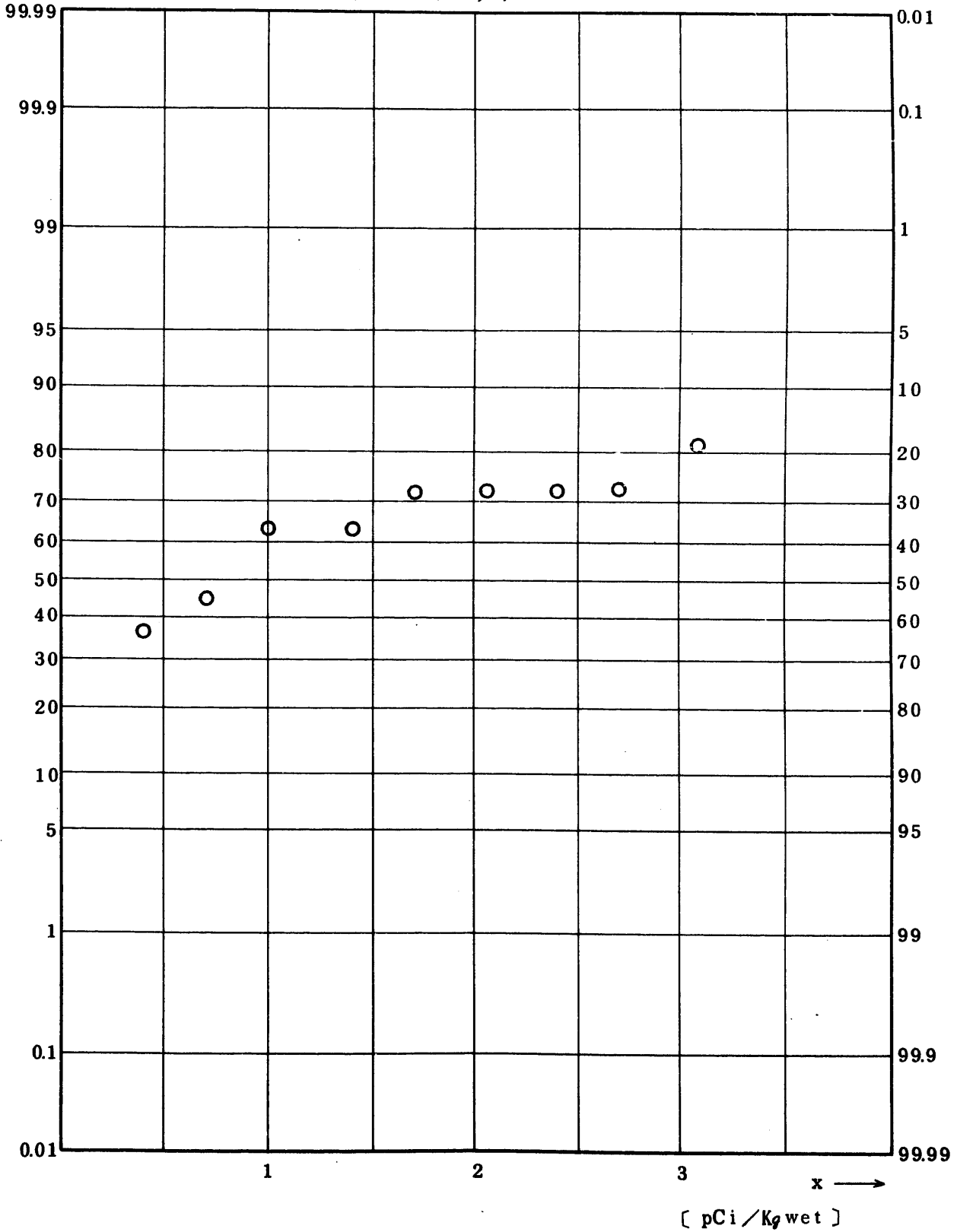


Fig. 1.1.9.1.1.1.3 ^{95}Zr Concentration in Mollusca (Flesh) (ALL)
 (1971.5 ~ 1977.3)

図 1.1.9.1.1.1.3 軟体類 (タコ・イカ) 中 ^{95}Zr 放射能濃度 (全測定値)

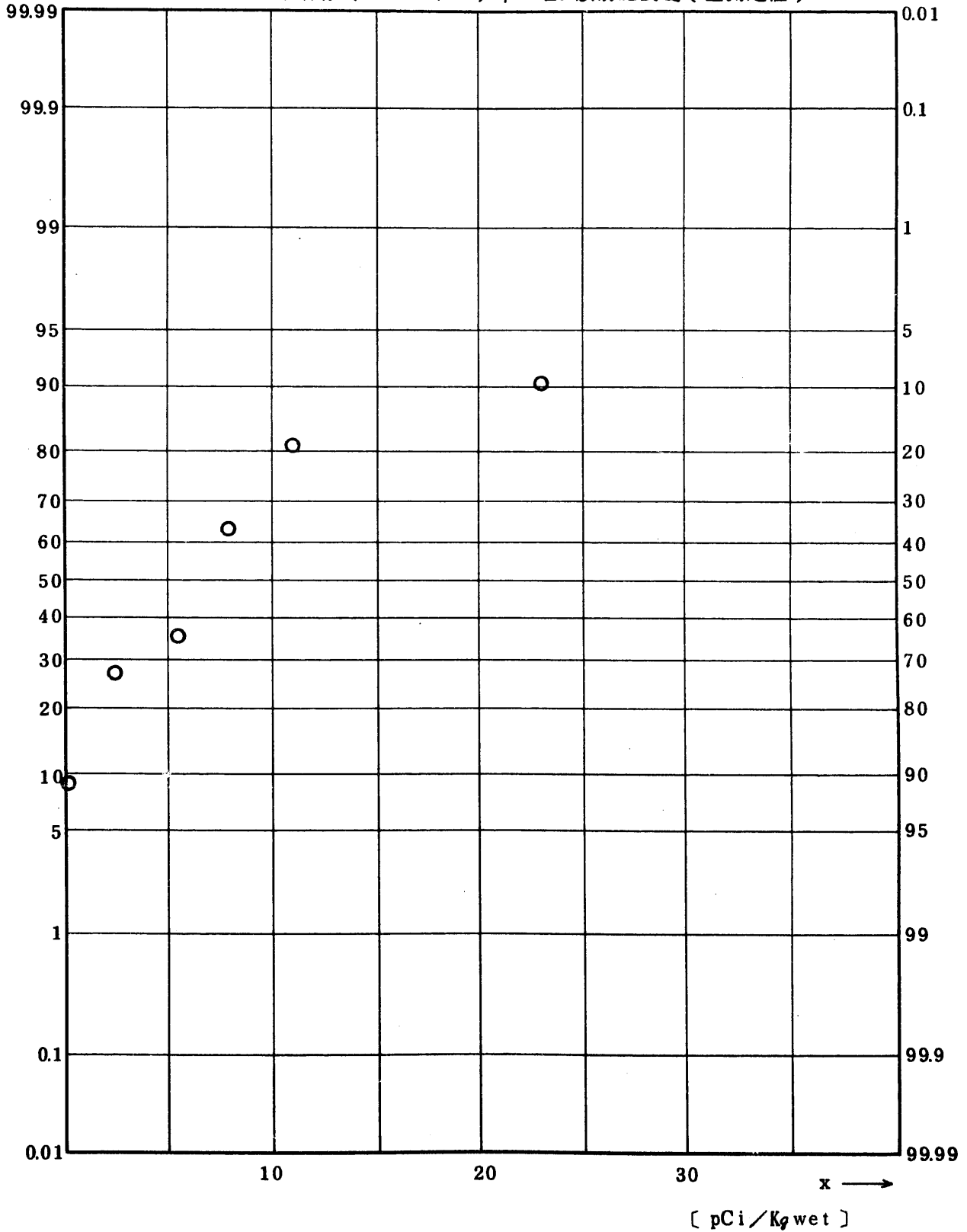


Fig. 11.9.1.1.1.4 ⁹⁵Nb Concentration in Mollusca (Flesh) (ALL)

(1 9 7 1.5 ~ 1 9 7 7.3)

図 1 1. 9. 1. 1. 1. 1. 4 軟体類 (タコ・イカ) 中 ⁹⁵Nb 放射能濃度 (全測定値)

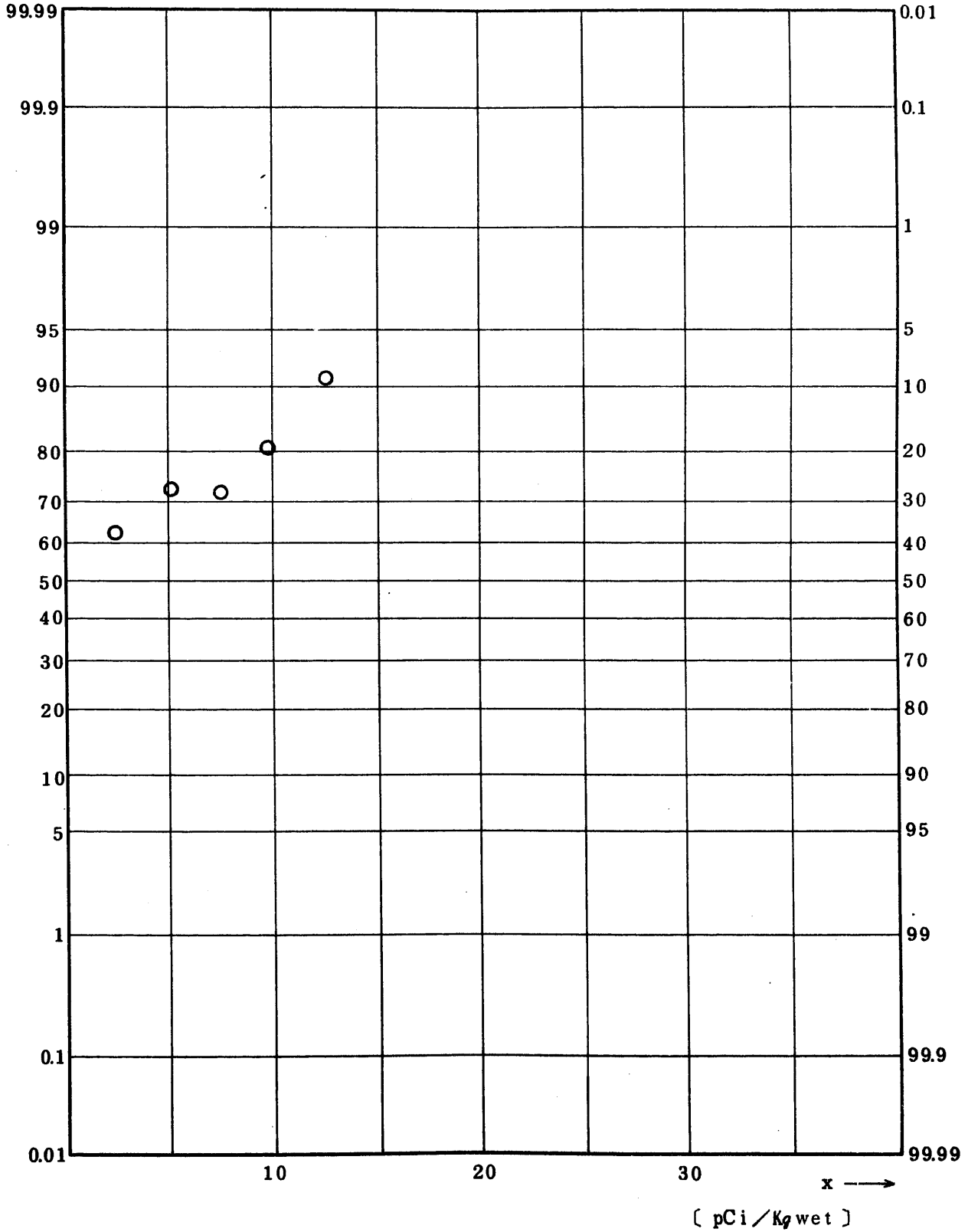


Fig. 11.9.1.1.1.5 $^{106}\text{Ru} / ^{106}\text{Rh}$ Concentration in Mollusca (Flesh) (ALL)

(1 9 7 1 . 5 ~ 1 9 7 7 . 3)

図 1 1 . 9 . 1 . 1 . 1 . 5 軟体類 (タコ・イカ) 中 ^{106}Ru 放射能濃度 (全測定値)

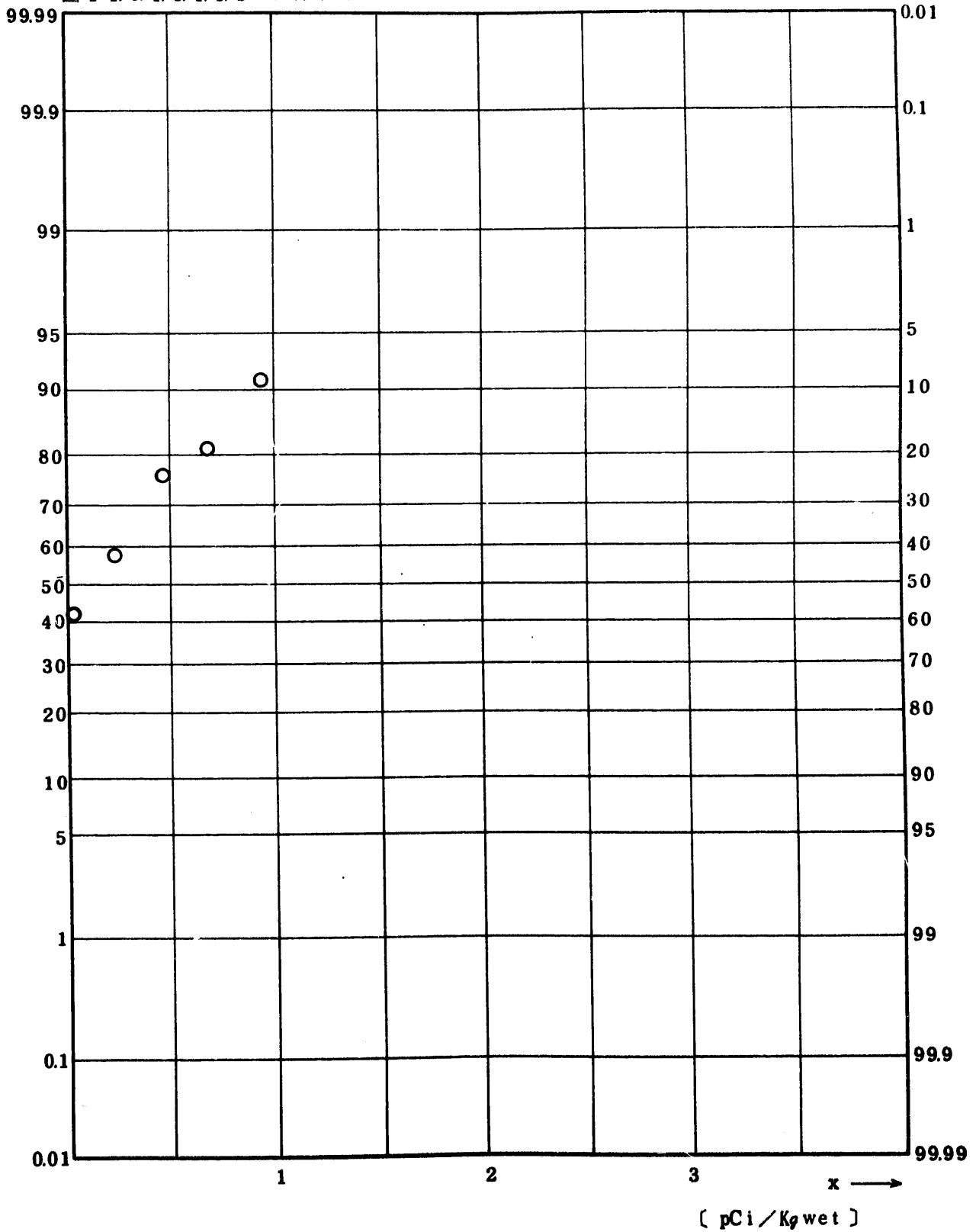


Fig. 11.9.1.1.1.6 ^{137}Cs Concentration in Mollusca (Flesh) (ALL)
 (1971.5 ~ 1977.3)

図 11.9.1.1.1.6 軟体類 (タコ・イカ) 中 ^{137}Cs 放射能濃度 (全測定値)

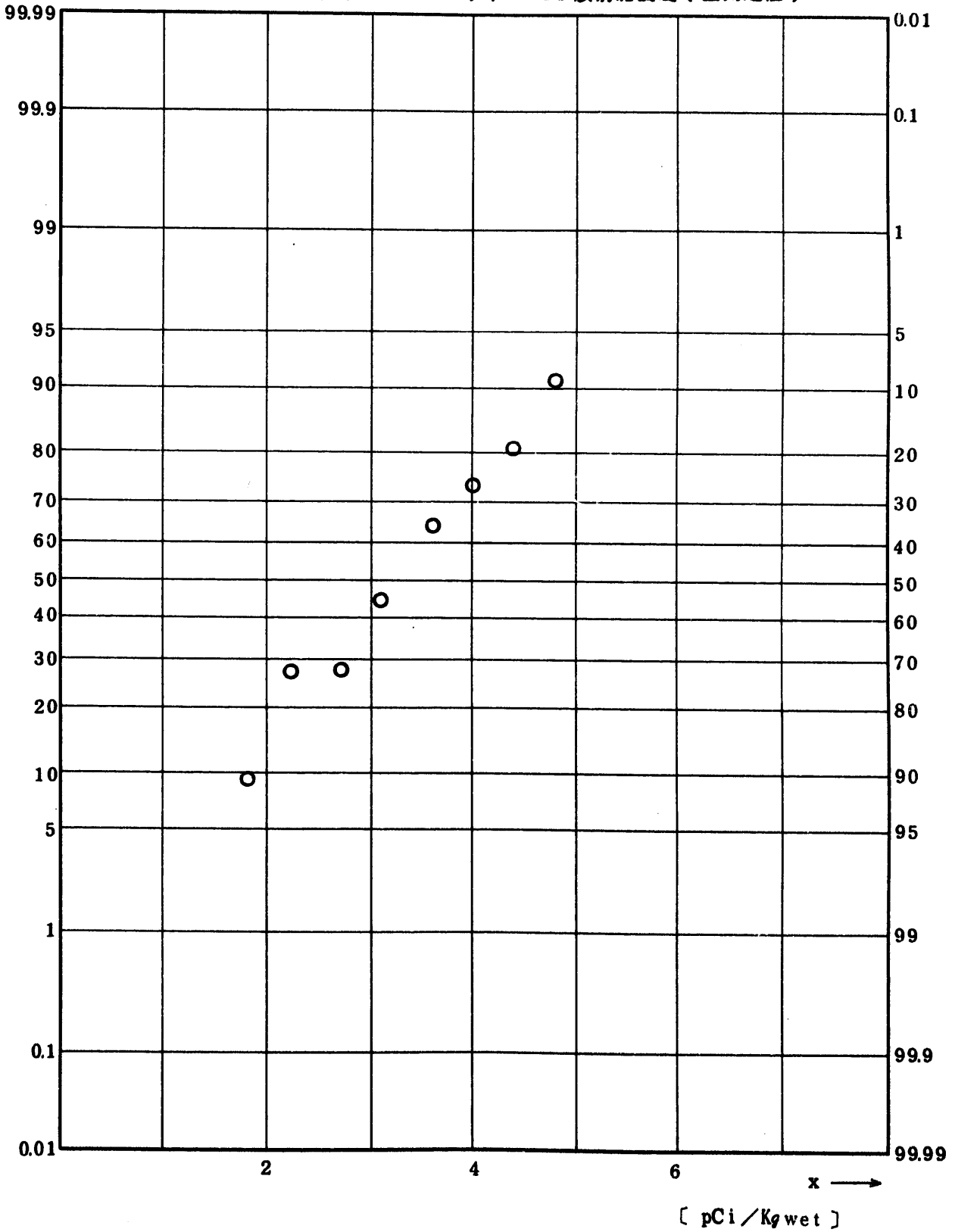


Fig. 11.9.1.1.1.7 $^{144}\text{Ce}/^{144}\text{Pr}$ Concentration in Mollusca (Flesh) (ALL)
 (1971.5 ~ 1977.3)

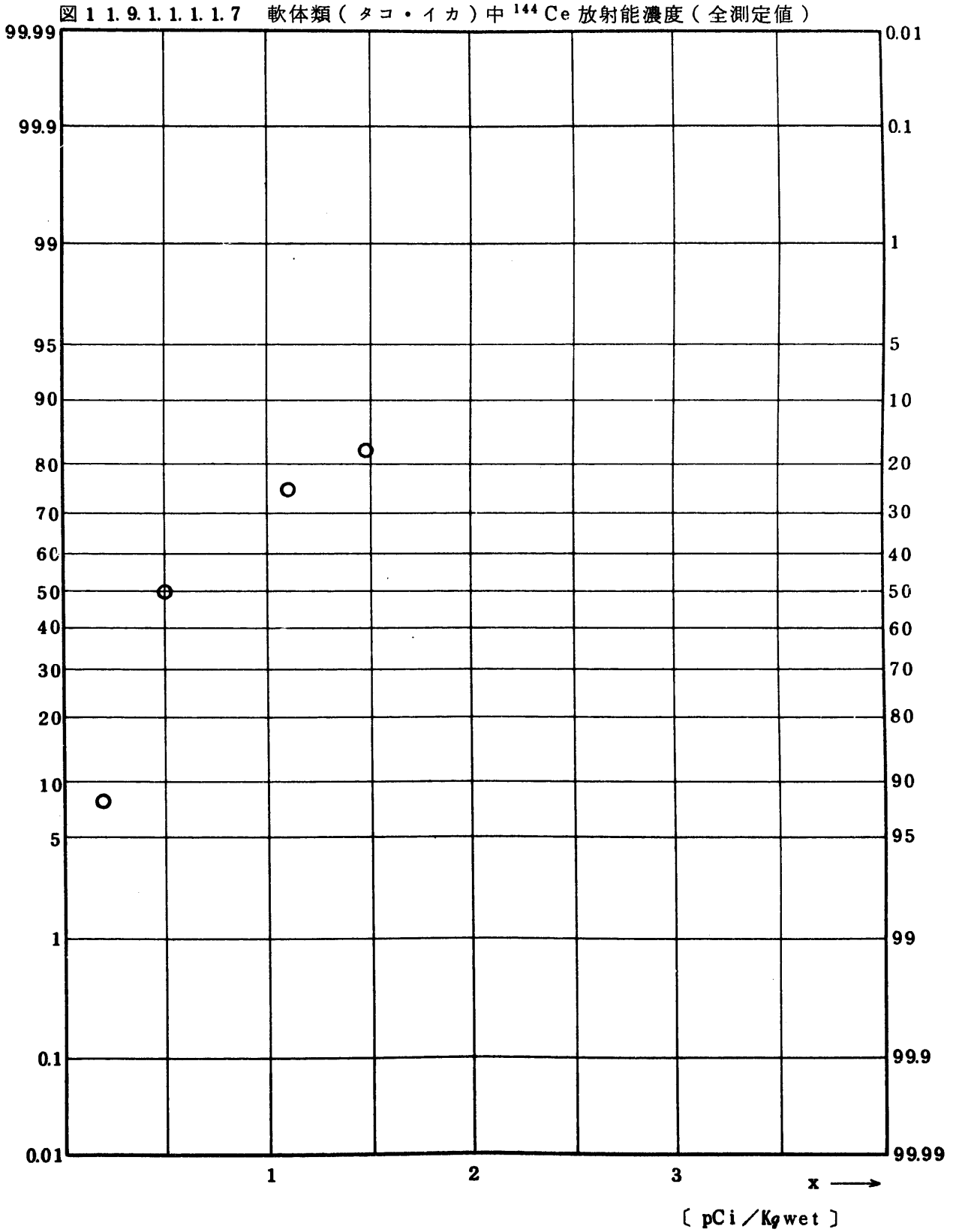


Fig. 11.9.1.1.2.1.7. $^{144}\text{Ce}/^{144}\text{Pr}$ Concentration in Mollusca (Flesh) (ALL)
 (1971.5 ~ 1977.3)

図 1 1. 9. 1. 1. 2. 1. 7 軟体類 (タコ・イカ) 中 ^{144}Ce 放射能濃度 (全測定値)

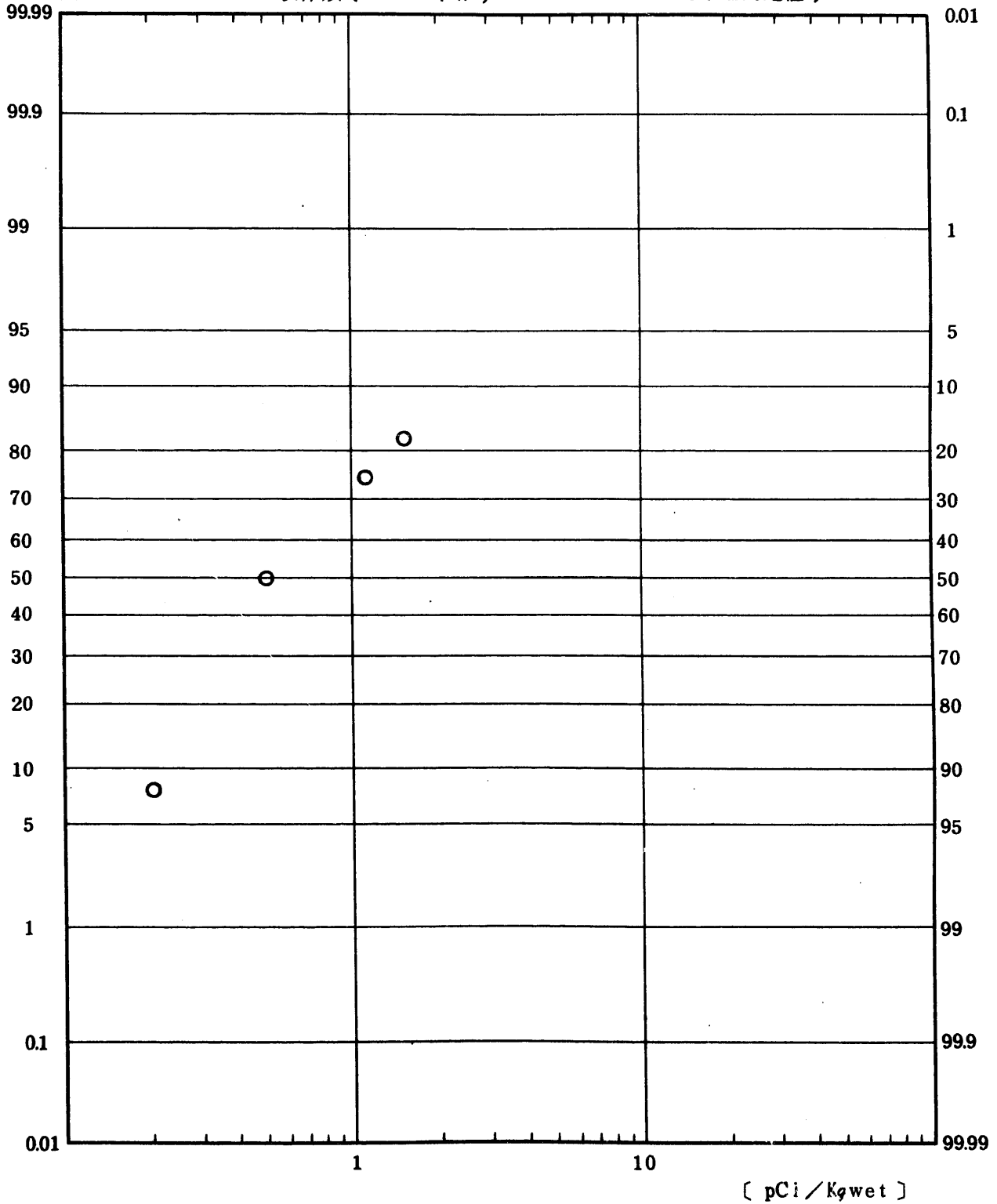


Fig. 11.9.1.1.1.8 $^{239}\text{Pu} + ^{240}\text{Pu}$ Concentration in Mollusca (Flesh) (ALL)
 (1971.5 ~ 1977.3)

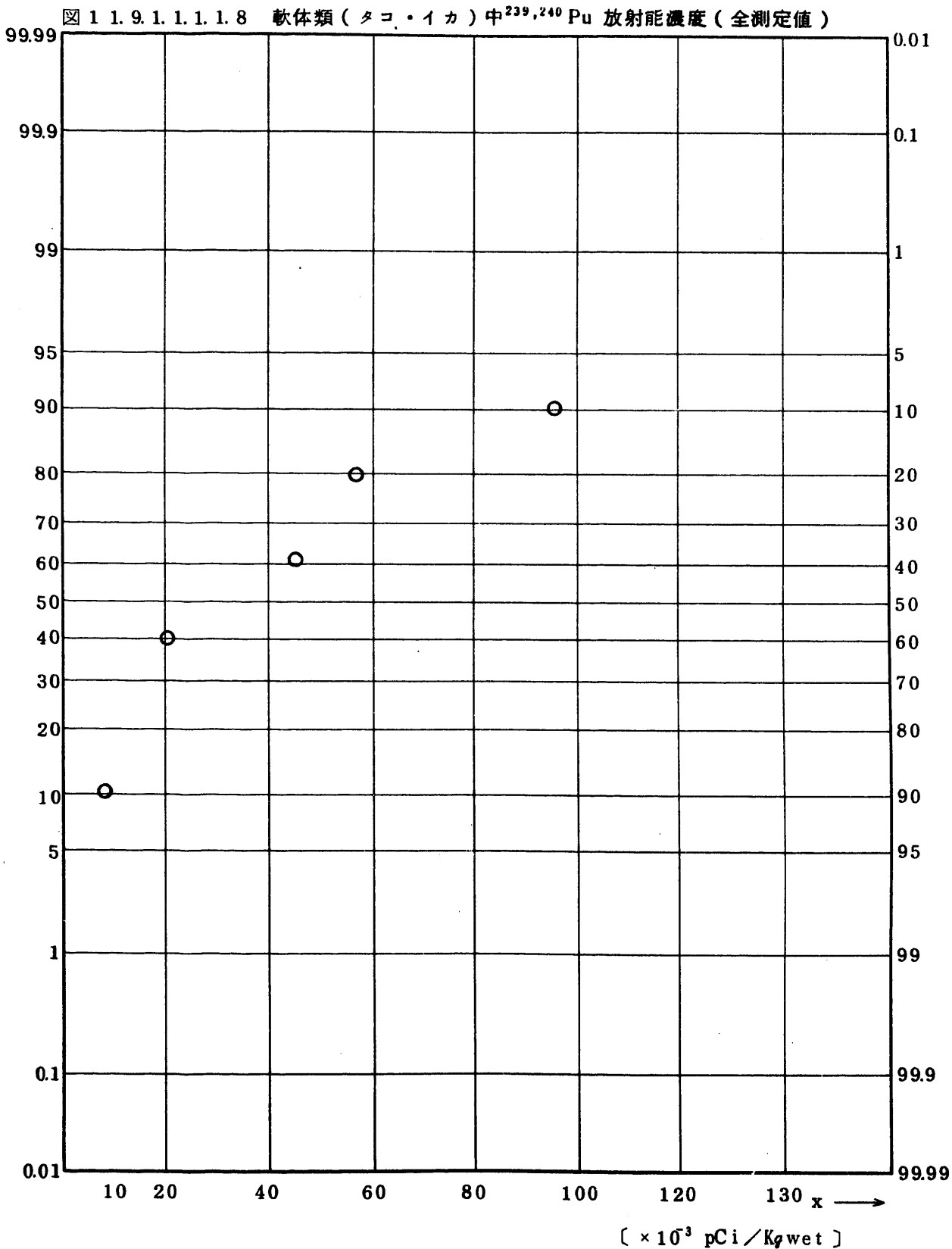


Fig. 12.1.1.1.1.1 (β -ray and γ -ray) Count-rate at the Surface of Sea-Shore Sand (G·M) (ALL)

(1 9 7 5 . 6 ~ 1 9 7 7 . 3)

图 1 2 . 1 . 1 . 1 . 1 . 1 海岸砂表面 ($\beta \cdot \gamma$) 線量率 (GM) (全測定値)

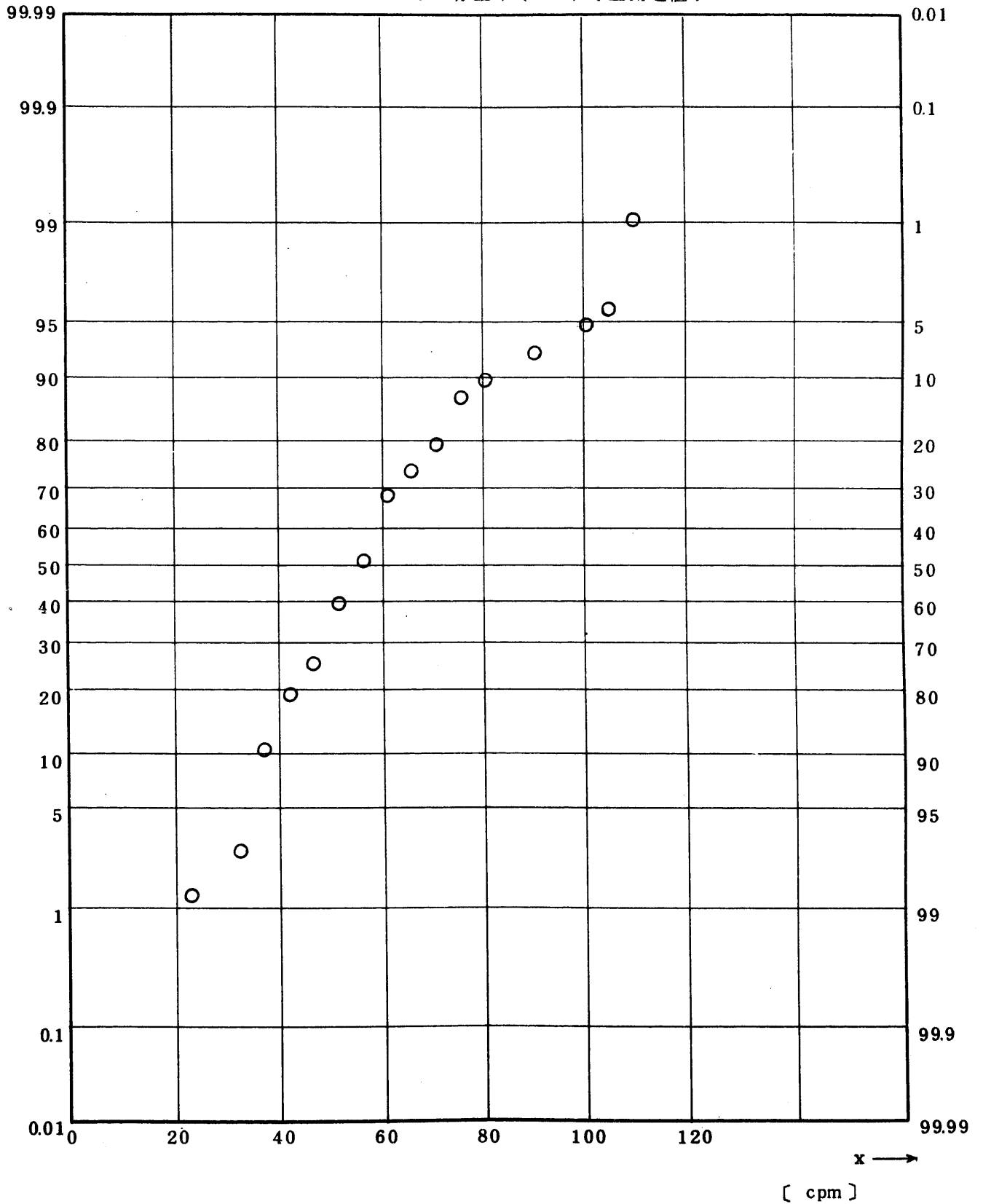


Fig. 12.1.1.1.2 γ ray Exporser rate at the Surface of Sea-Shore Sand
(NaI) (ALL)

(1 9 7 5 . 6 ~ 1 9 7 7 . 3)

☒ 1 2 . 1 . 1 . 1 . 2 海岸砂表面 (γ) 線量率 (NaI) (全測定値)

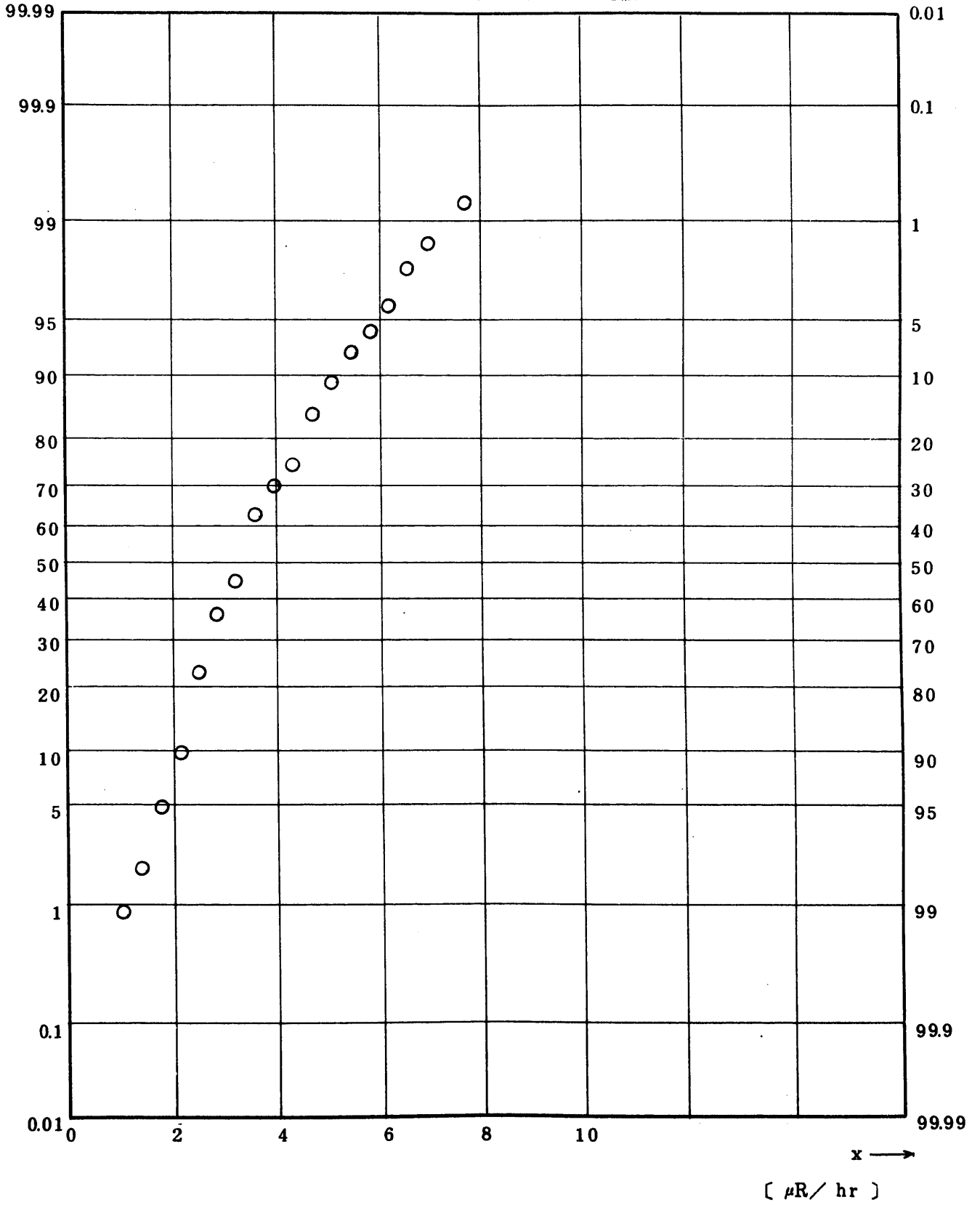


Fig. 12.2.1.1.1 (β -ray and γ -ray) Count-rate at the Surface of Fishing Net (G·M) (ALL)

(1975.6 ~ 1977.3)

図 1 2 2 1. 1. 1. 1 漁網表面 ($\beta \cdot \gamma$)線量率 (GM)(全測定値)

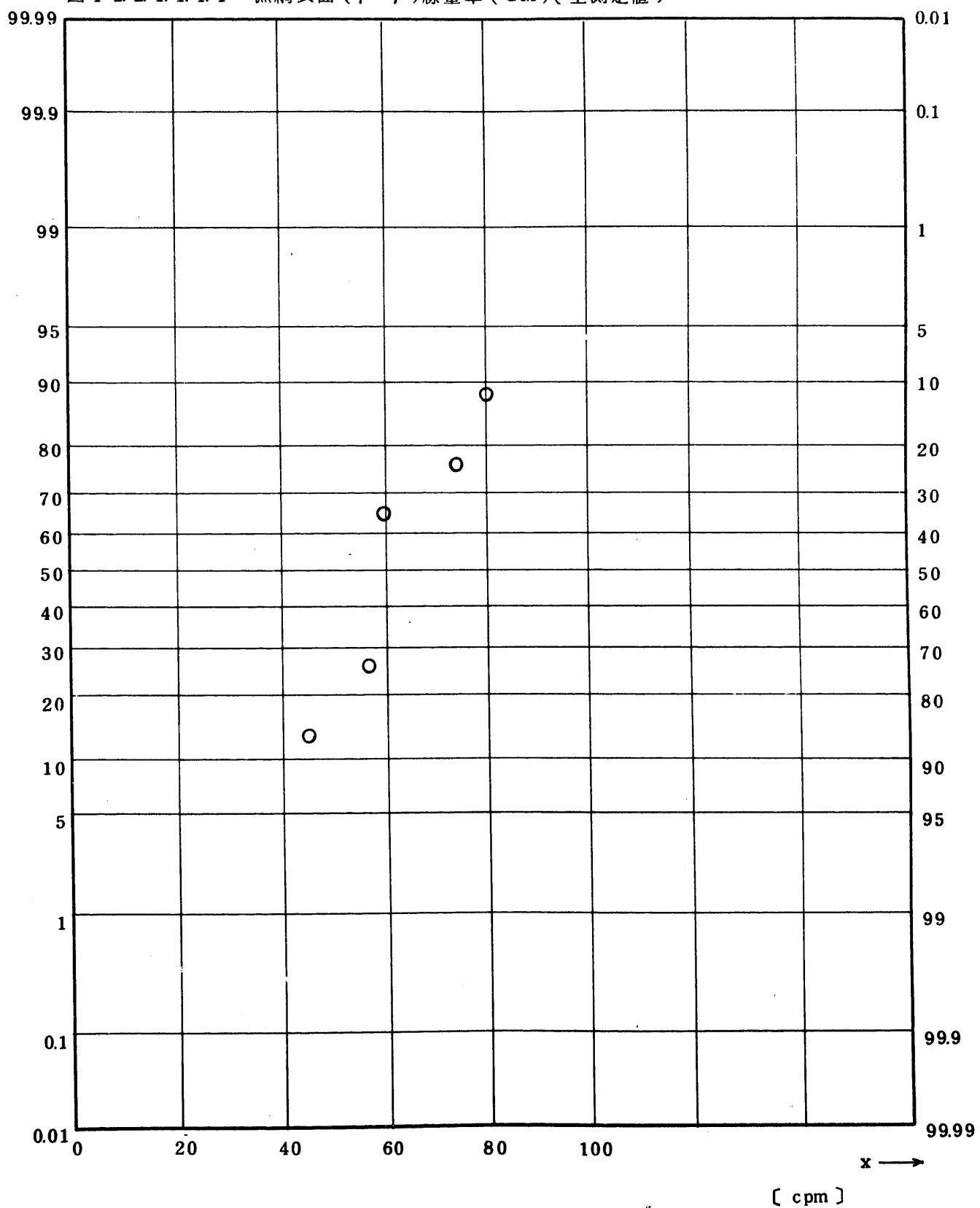


Fig. 12.2.1.1.2 γ ray Exporser rate at the Surface of Fishing Net(G·M)(ALL)
 (1 9 7 5 . 6 ~ 1 9 7 7 . 3)

図 1 2 . 2 . 1 . 1 . 1 . 2 漁網表面 (γ) 線量率 (GM) (全測定値)

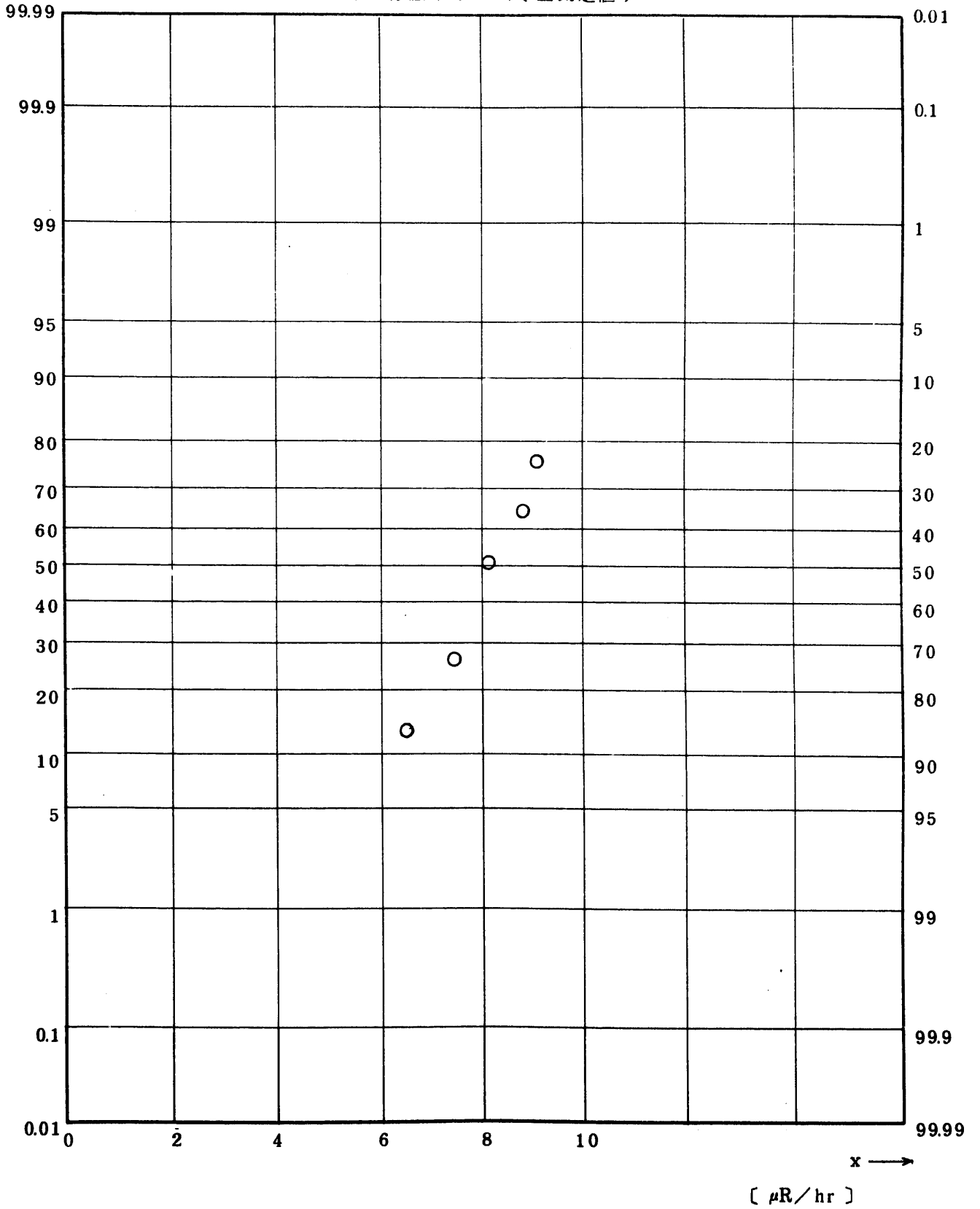


Fig. 12.3.1.1.1.1 (β -ray and γ -ray) Count-rate at the Surface of Sample Board on Monitoring Boat(G·M) (ALL)
(1 9 7 5 . 9 ~ 1 9 7 7 . 3)

図 1 2 3 . 1 . 1 . 1 . 1 船体片表面 ($\beta \cdot \gamma$) 線量率 (GM) (全測定値)

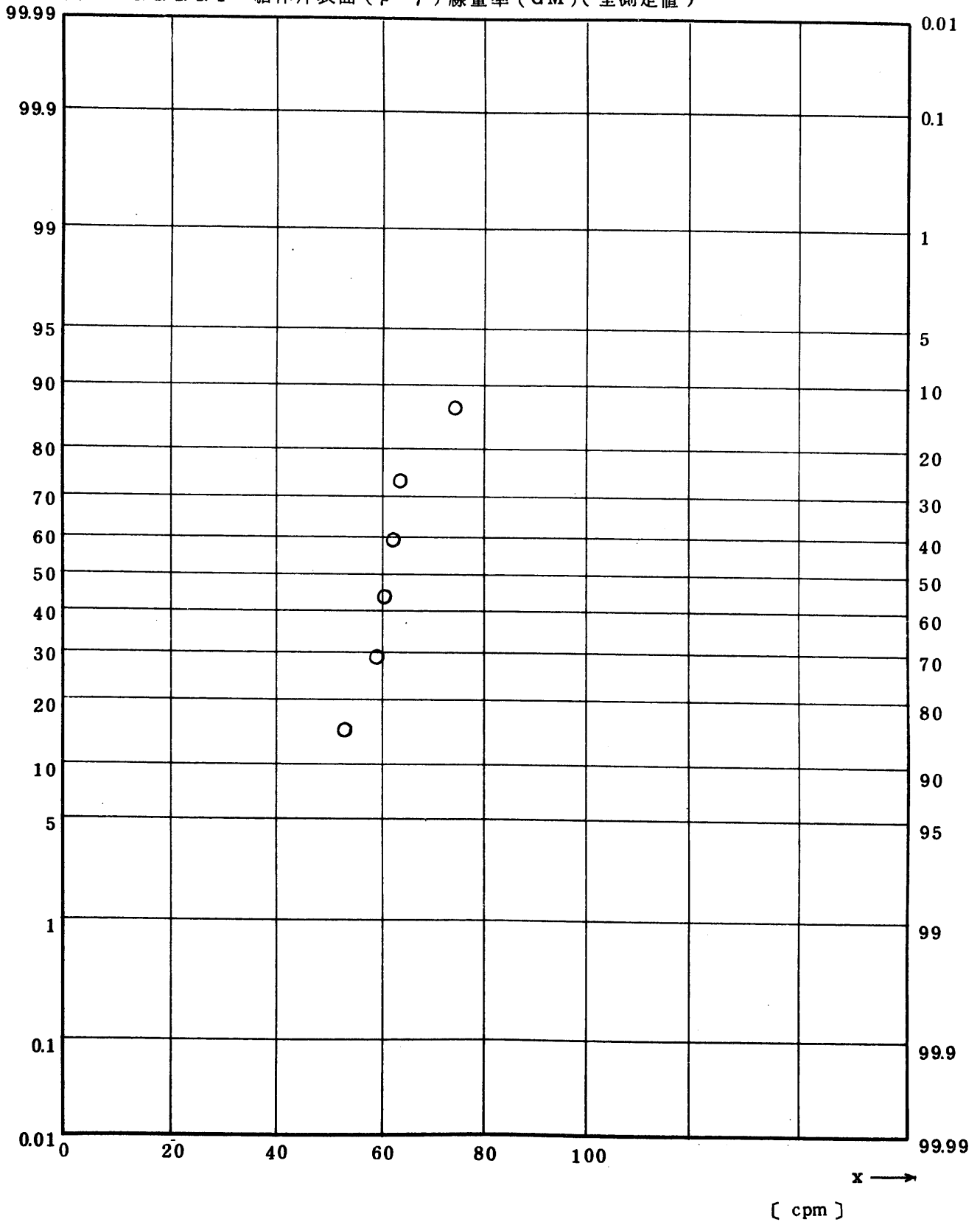
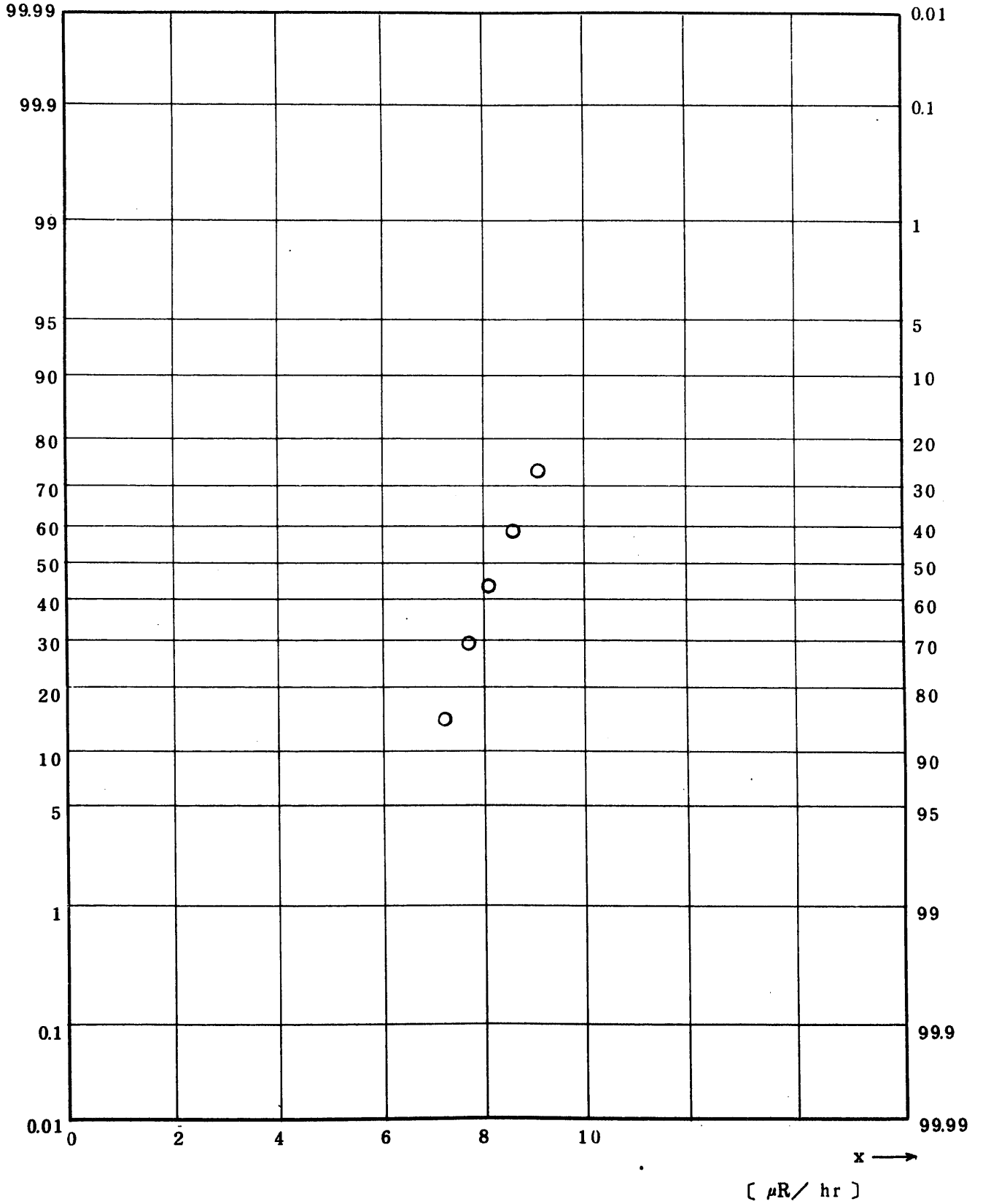


Fig. 1 2 3.1.1.1.2 γ ray Exporser rate at the Surface of Sample Board on
Monitoring Boat (NaI) (ALL)
(1 9 7 5.9 ~ 1 9 7 7.3)

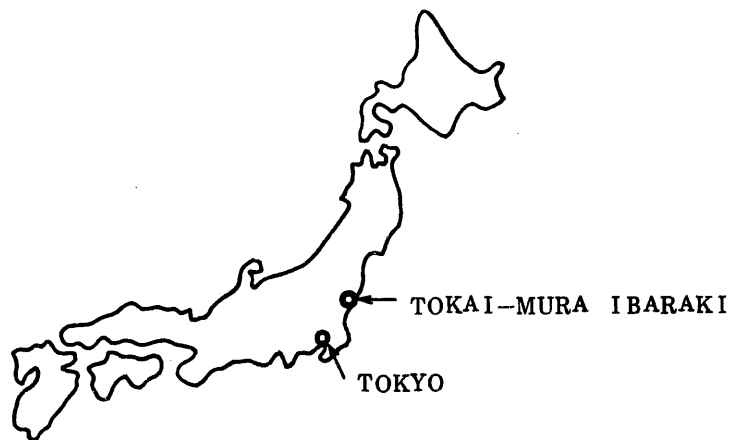
図 1 2 3.1.1.1.2 船体片表面 (γ) 線量率 (NaI) (全測定値)



付 録

A P P E N D I X

1. NOMENCLATURE 記号の説明
2. TABLE FOR NUMBERING TO THE FIGURES AND TABLES
図表 番号 対応表
3. MAP OF MONITORING AND SAMPLING POINTS (AREA)
採取・測定点(区域)地図



NOMENCLATURE

1. MEAN

$$Mg = \frac{1}{N} \sum X_i$$

$$X_i = \text{Ln } X_i$$

$$\mu_g = \text{EXP}(Mg) \text{ or } (X_{50\%}) : \text{GEOMETRIC MEAN or } (X_{50\%}) \text{ VALUE}$$

N : NUMBER OF DATA

X_i : VALUE OF DATA

EXP : EXPONENTIAL FUNCTION

Ln : NATURAL LOGARITHM

$$\mu_a = \frac{1}{N} \sum X_i$$

: ARITHMETIC MEAN

2. STANDARD DEVIATION

(Root Mean Square of Variance)

$$Vg = \frac{1}{N} \sum (X_i - Mg)^2$$

$$\sigma_g = \text{EXP} \sqrt{Vg} \quad \text{or} \quad \left(\frac{X_{84.13\%}}{X_{50\%}} \right)$$

σ_g : GEOMETRIC STANDARD DEVIATION or $\left(\frac{X_{84.13\%}}{X_{50\%}} \right)$ VALUE

$$\sigma_a = \sqrt{\frac{1}{N} \sum (X_i - \mu_a)^2}$$

σ_a : ARITHMETIC STANDARD DEVIATION
(Root Mean Square of Variance)

3. TYPE OF DISTRIBUTION

LOG-NORMAL : LOG-NORMAL DISTRIBUTION

NORMAL : NORMAL DISTRIBUTION

* * : DISTRIBUTION WITHOUT LOG-NORMAL OR
NORMAL DISTRIBUTION
(UNKNOWN DISTRIBUTION)

N. GROUP : N DIFFERENT GROUP DISTRIBUTION

() : () DISTRIBUTION NEAR
CRITICAL REGION OF () DISTRIBUTION

NOMENCLATURE USED NUMBERING TABLE

1. DATA SORTING

ALL : BASED ON ALL THE DATA

USUAL : BASED ON THE DATA WITHIN USUAL RANGE

SPECIAL : BASED ON THE SPECIAL GROUP DATA

(DATA OF NUCLEAR WEAPON TESTS, SPRING-PEAK,
DIFFERENT ANALYTICAL METHOD, DIFFERENT DETECTOR OR
DIFFERENT GROUP (EX. Well Water CONTAIN ⁴⁰K AND Tap
Water))

A-U : BASED ON THE DATA WITHOUT USUAL ONES

ONE : BASED ON ONE SAMPLE (FOR REPRESENTATIVE TEST)

MEASURED : BASED ON THE DATA OF MEASURED VALUE
WITH TLD-READER

NET : BASED ON THE DATA OF THE VALUE

(MEASURED-(SELF CONTAMINATION+SOFT COSMICRAY))

CONTROL : BASED ON THE DATA OF CONTRIBUTION WITH
(SELF CONTAMINATION+SOFT COSMICRAY)

2. DETECTOR

ALL : BASED ON ALL THE DATA DETECTED WITH EVERY
DETECTOR

GM : BASED ON THE DATA DETECTED WITH G.M. TYPE
DETECTOR

GM S.W. : BASED ON THE DATA DETECTED WITH SIDE-
WINDOW TYPE G.M.-SURVEY METER

GME.W. : BASED ON THE DATA DETECTED WITH END-
WINDOW TYPE G.M.-SURVEY METER

GAS FLOW : BASED ON THE DATA DETECTED WITH GAS FLOW
(LOW-BACK GROUND) TYPE DETECTOR

N_aI : BASED ON THE DATA DETECTED WITH N_aI(Tl)
SCINTILLATION DETECTOR (SURVEY METER)

3. SAMPLING(MONITORING) POINT

ALL(ALL): BASED ON THE DATA OF ALL THE SUMPLING POINTS(MONITORING STATION OR POST).

100 POINTS : BASED ON THE DATA OF SEDIMENT OFF-SHORE TOKAI-MURA AND IBARAKI-KEN AREA. (SURVEY PROGRAM OF 100 POINTS SEDIMENT OFF-SHORE TOKAI MURA, AUG. 1976)

(POINT NO. , POINT NAME, SAMPLING AREA NAME)

: BASED ON THE DATA OF THIER SUMPLING POINTS.

4. DISTRIBUTION, etc.

NORMAL : PLOTTING DISTRIBUTION OF THE DATA WITH PROBABILITY PAPER FOR NORMAL DISTRIBUTION

LOG-NORMAL : PLOTTING DISTRIBUTION OF THE DATA WITH PROBABILITY PAPER FOR LOG-NORMAL DISTRIBUTION.

TIME-SERIESE : PLOTTING TIME-SERIESE OF THE DATA (MEAN, MAXIMUM, MINIMUM)

5. τ : AVERAGING TIME

記 号

1. MEAN : 平均値

$$Mg = \frac{1}{N} \sum X_i$$

$$X_i = \text{Ln } X_i$$

$$\mu_g = \text{EXP}(Mg) \text{ or } (X_{50\%}) \quad : \text{幾何平均値あるいは50\%の値}$$

N : データ件数

X_i : 各測定値

Ln : 自然対数

EXP : 指数関数

$$\mu_a = \frac{1}{N} \sum X_i \quad : \text{平均値(算術平均値)}$$

2. STANDARD DEVIATION : 標準偏差あるいは、分散の平方根
- $$Vg = \frac{1}{N} \sum (X_i - M_g)^2$$
- $\sigma_g = \sqrt{\text{EXP}(\frac{1}{N} \sum \ln^2 X_i) - (\frac{1}{N} \sum \ln X_i)^2}$ or $(\frac{X_{84.13\%}}{X_{50\%}})$: 幾何標準偏差あるいは $(\frac{X_{84.13\%}}{X_{50\%}})$ で求めた値
- $$\sigma_a = \sqrt{\frac{1}{N} \sum (X_i - \mu_a)^2}$$
- : 標準偏差あるいは、分散の平方根
3. TYPE OF DISTRIBUTION : 出現頻度の確率分布の型
- LOG-NORMAL : 対数正規分布
- NORMAL : 正規分布
- * * : 対数正規、正規分布しない集団あるいは、分布型の不明な集団
- N. GROUP : N個の集団から成り立っていると考えられる分布型
- () : () の内の分布型であるということを棄却出来ない分布
- { () に似た分布をしている }

番号のつけ方の表中の記号

1. DATA SORTING データ処理(分類)方法
- ALL : 全測定値
- USUAL : 平常値
- SPECIAL : 特異値グループ(核実験直後の影響, スプリング・ピーク値, 分析方法・測定器の異なる測定値集団, 有意差のあるグループ。例えば, ^{40}K 分の多い長砂の井水の全 β と, 他の飲料水グループのそれとの差)
- A-U : 全測定値から平常値をのぞいた値
- ONE : 代表性試験を行なうため, 同一試料から出した測定値。
- MEASURED : 測定値そのままの値(測定値)
- NET : 正味値(測定値からコントロール値を差引いた値)
- CONTROL : コントロール値(自己汚染と軟宇宙線成分の寄与分)

2. DETECTOR : 測定器の種類による分類
- ALL : 全測定値(測定器の区別をしない)
- GM : GM測定器で測定した値
- GM S.W. : 側窓タイプGM型サーベイメータの測定値
- GM E.W. : 端窓タイプGM型サーベイメータの測定値
- GAS FLOW : ガスフロータイプの低バックグラウンド型測定器
(GM, 比例係数管式)
- NaI : NaI(TL)シンチレーション測定器(サーベイメータ)
3. SAMPLING(MONITORING)POINT : 採取(測定)地点の分別
- ALL(ALL-) : 各項目に対応する全採取点(測定点・全ステーション・ポスト)の
データを用いる。
- 100 POINTS : 1976年8月に行なわれた東海沖海底底質調査結果集を用いる。
(POINT NO, POINT NAME, SAMPLING AREA NAME)
: 各地点(区域)のデータを用いる。
4. DISTRIBUTION, etc : 分布型
- NORMAL : 正規確率紙に出現頻度をプロットした図
- LOG NORMAL : 対数正規確率紙に出現頻度をプロットした図
- TIME SERIES : 経年変化(平均・最大・最小値)をプロットした図
5. τ : 平均化時間

3. 大氣中放射性物質濃度

3. Radionuclide Concentration (R. C.) in Atmosphere

EVALUATING TERM		DATA SORTING		DISTRIBUTION etc.		SAMPLING POINT		NUCLIDE		AVERAGING TIME	
										(τ =)	
1	R. C. in Air-borne Dust	1	ALL	1	NORMAL	1	SEIMON	1	Gross β (BETA)	0	1 day
				2	LOG-NORMAL	2	PURUNEN	2	Gross α (ALPHA)	1	1 week
		2	USUAL								
				3	TIME SERIES	3	SAISYORI	3	⁹⁰ Sr	2	1 month
2	¹³¹ I Concentration in Atmosphere					4	NOSHUKU	4	⁹⁵ Zr	3	3 months
						5	ST. 1	5	⁹⁵ Nb	4	1 hr
						6	ST. 2	6	¹⁰⁶ Ru		
3	Gaseous BETA Radioactive Concentration in Atmosphere					7	ST. 3	7	¹³⁷ Cs		
						8	ST. 4	8	¹⁴⁴ Ce		
						9	KOGAI-CENTER	9	²³⁹⁺²⁴⁰ Pu		
						10	ON-SITE	10	U		
						11	OFF-SITE				
						12	ALL				

8. 海岸水, 海水中放射性物質濃度

8. Radionuclide Concentration in Marine Water

EVALUATING TERM		DATA SORTING		DISTRIBUTION etc.		SAMPLING POINT		NUCLIDE	
	1) Radionuclide Concentration in Sea-Shore-Water	1	ALL	1	NOMAL	1	ALL	1	Gross β (BETA)
				2	LOG-NORMAL	2	st. 1	2	^3H
	2) Radionuclide Concentration in Sea-Water	2	USUAL	3	TIME SERIES	3	st. 8	3	^{90}Sr
						4	st. 9	4	^{95}Zr
						5	st. 10	5	^{95}Nb
						6	st. 33	6	^{106}Ru
						7	st. 34	7	^{137}Cs
						8	st. 35	8	^{144}Ce
						9	st. 15	9	$^{239+240}\text{Pu}$
						10	st. 17	10	U
						11	st. 11		
						12	st. N		
						13	st. S		
						14			

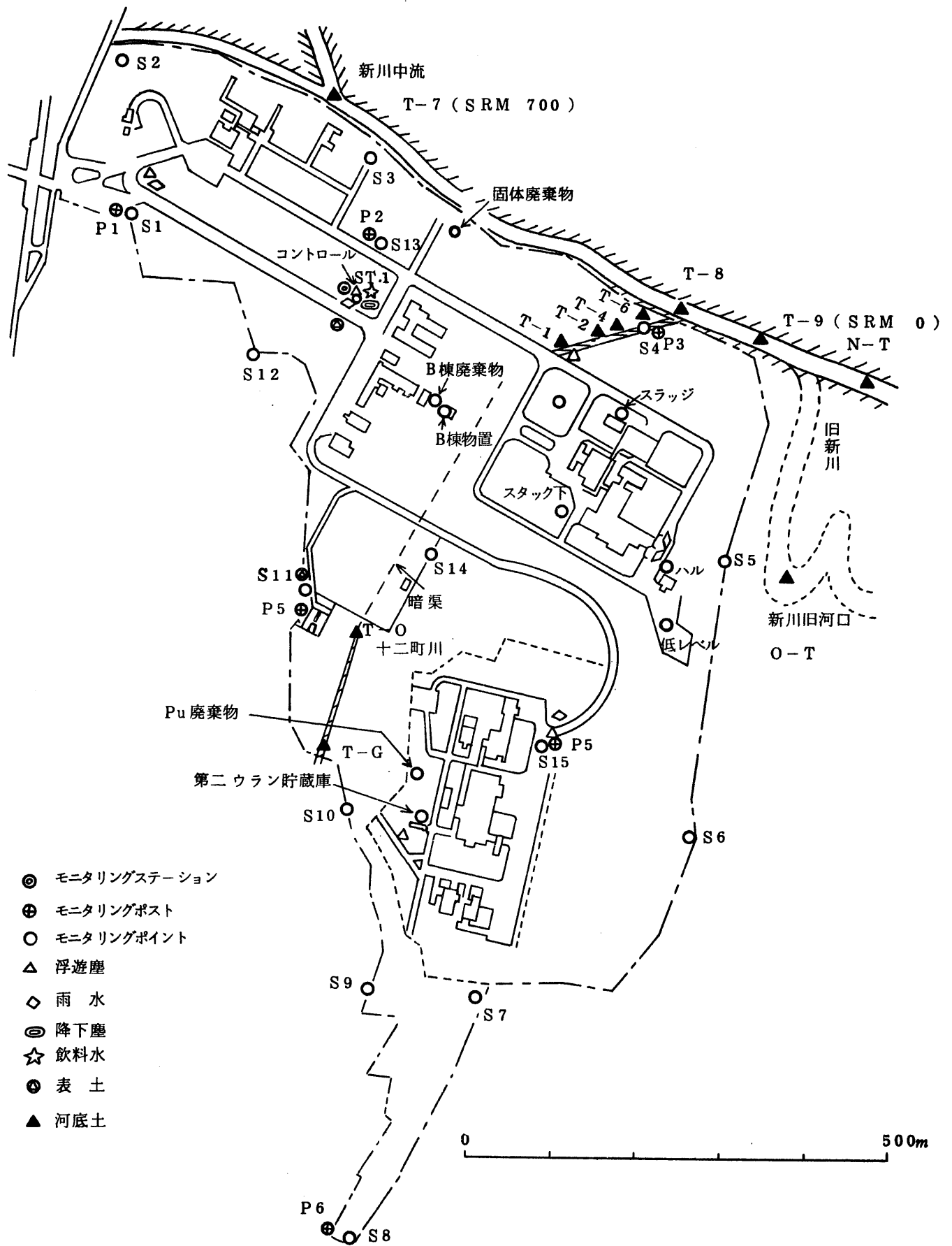
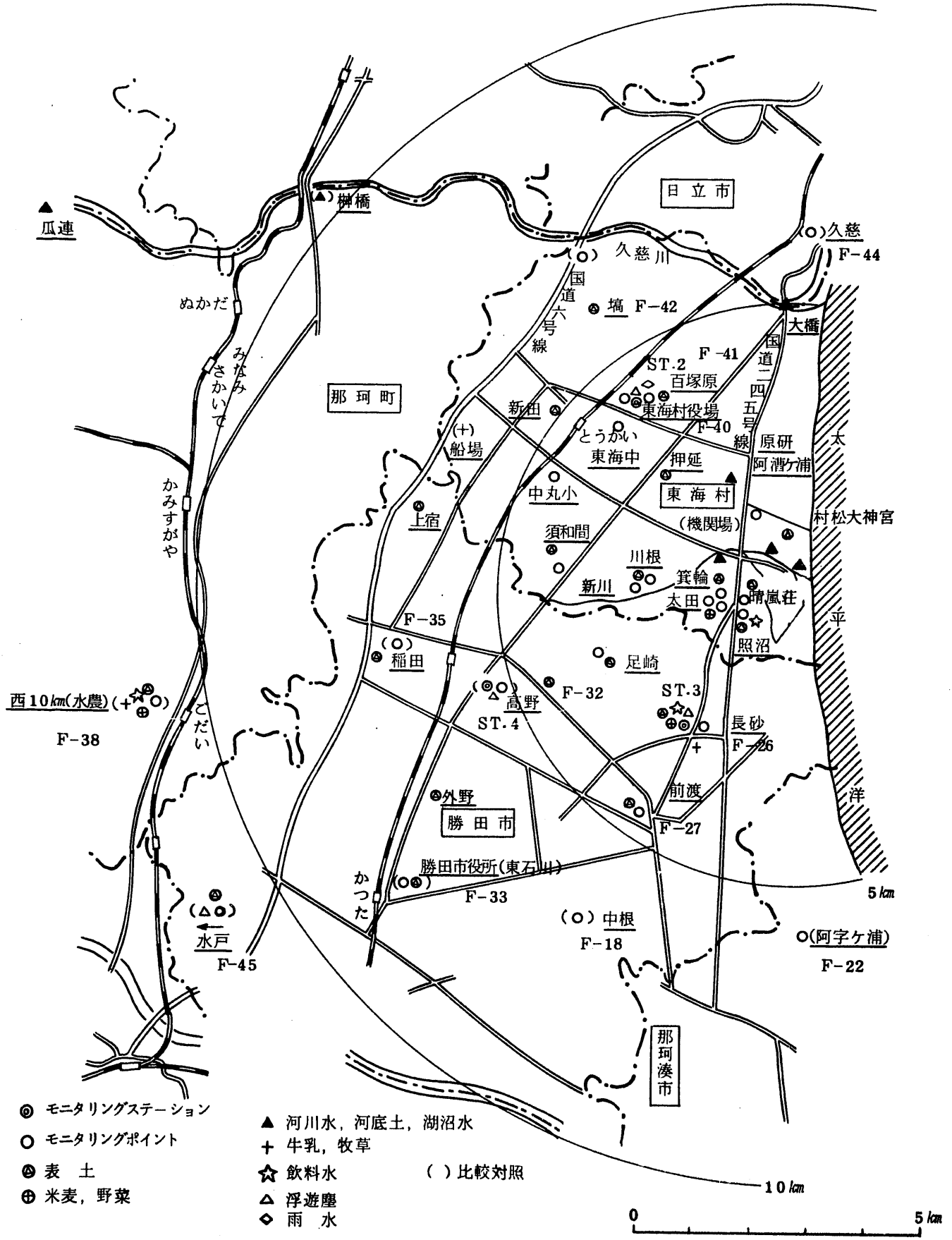


図1 環境資料等の採取または測定場所(敷地内)
 SITE OF PNC TOKAI WORKS IBARAKI JAPAN



- ⊙ モニタリングステーション
- モニタリングポイント
- ⊕ 表土
- ⊕ 米麦, 野菜

- ▲ 河川水, 河底土, 湖沼水
- + 牛乳, 牧草
- ☆ 飲料水
- () 比較対照
- △ 浮遊塵
- ◇ 雨水

図2 環境試料等の採取または測定場所(敷地外)

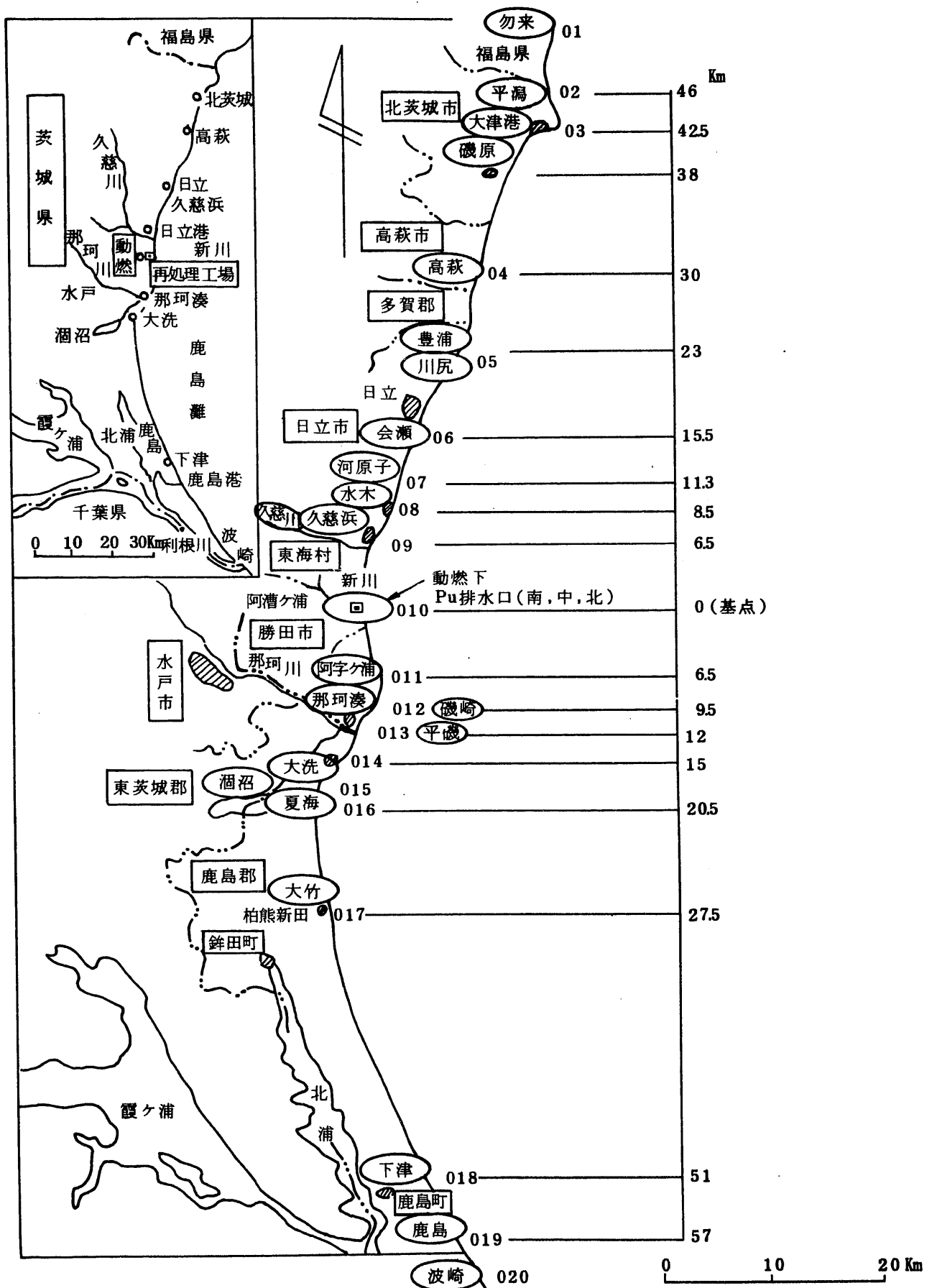


図3 海岸水，海岸砂採取および海岸砂表面線量率測定場所

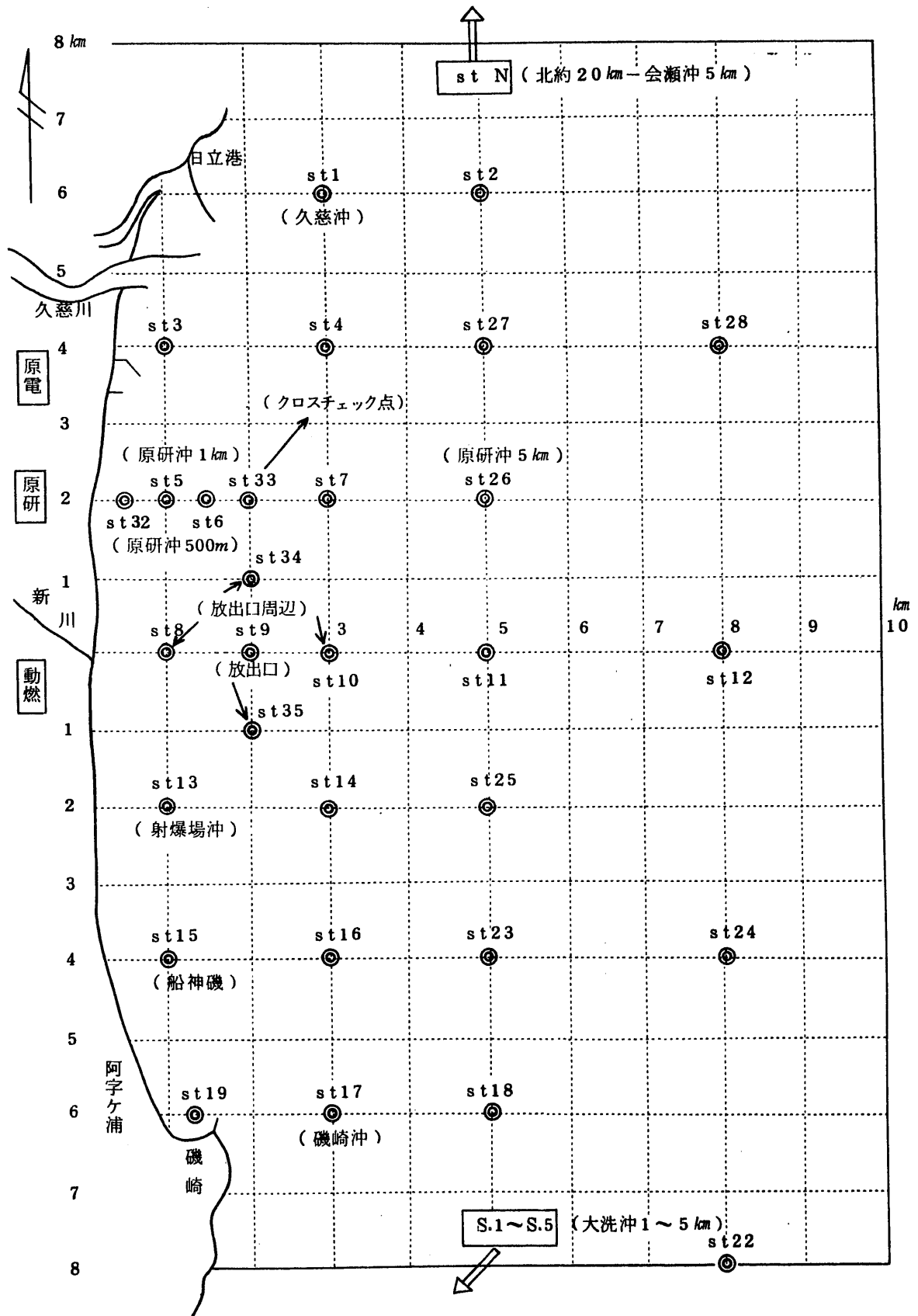


図 4 海底土・海水採取場所 (st)

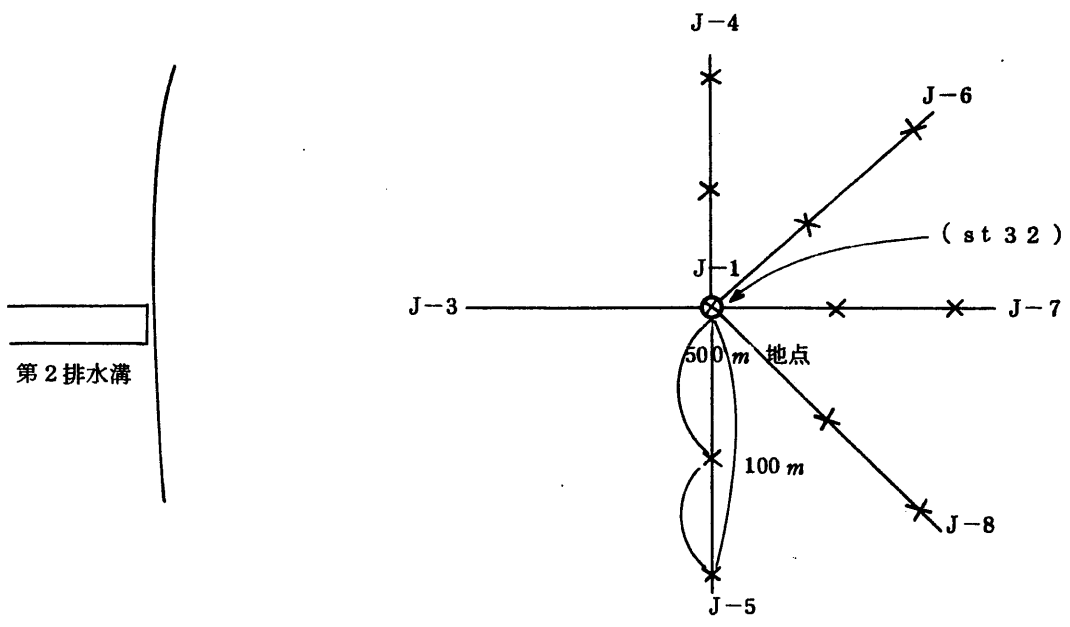
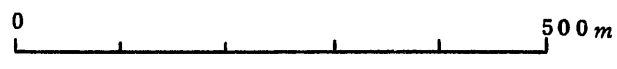


图 4 - 1 海底土・海水採取場所

原研沖 500m (st 32) 付近



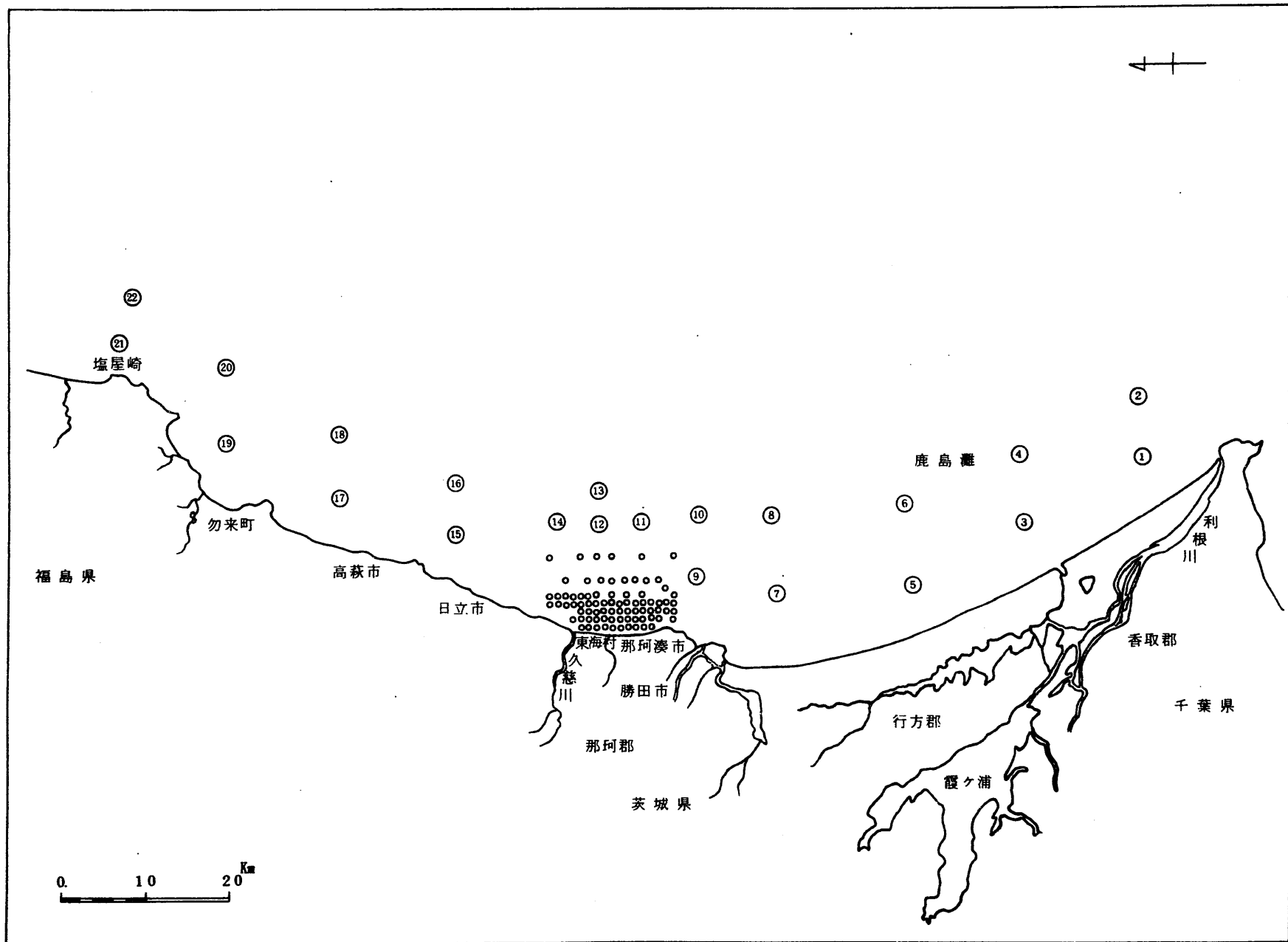


图 5 - 1 海底土 100 点採取位置 ① ~ ②②

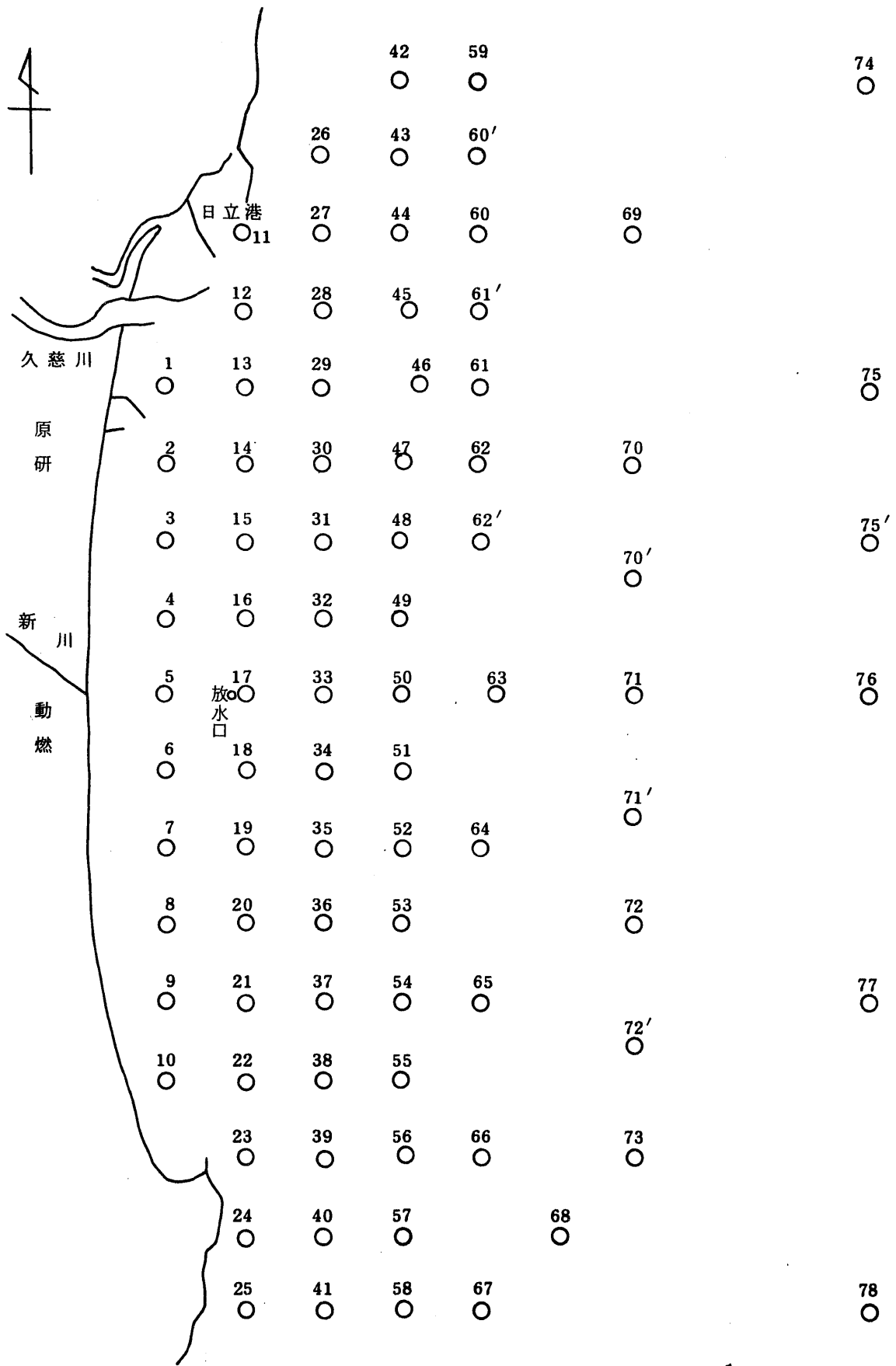


図5-2 海底土100点採取位置(1~78) $\frac{1}{75000}$



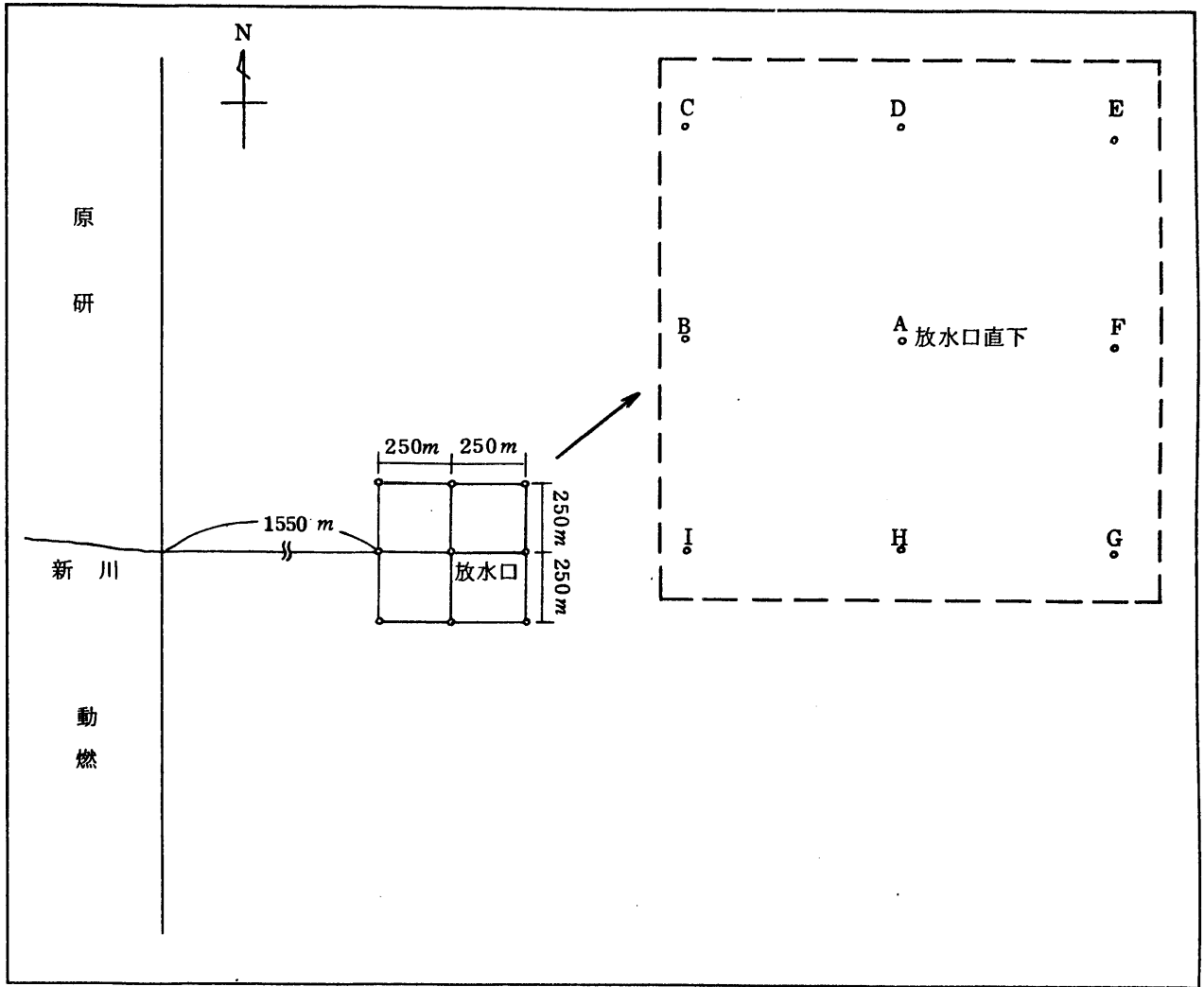


図 5 - 3 海底土 100 点採取位置 (A ~ I)

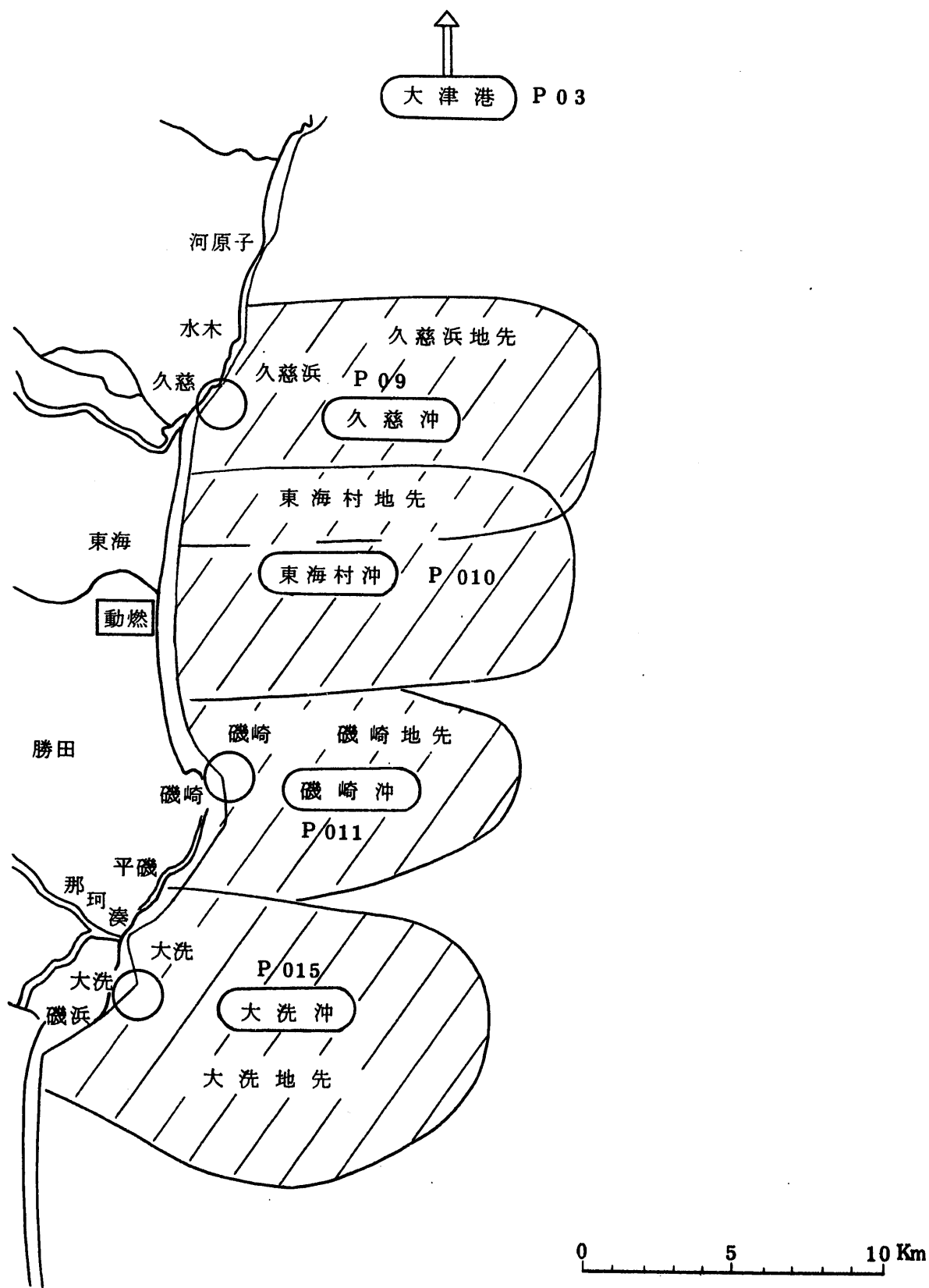


図6 海産生物採取場所

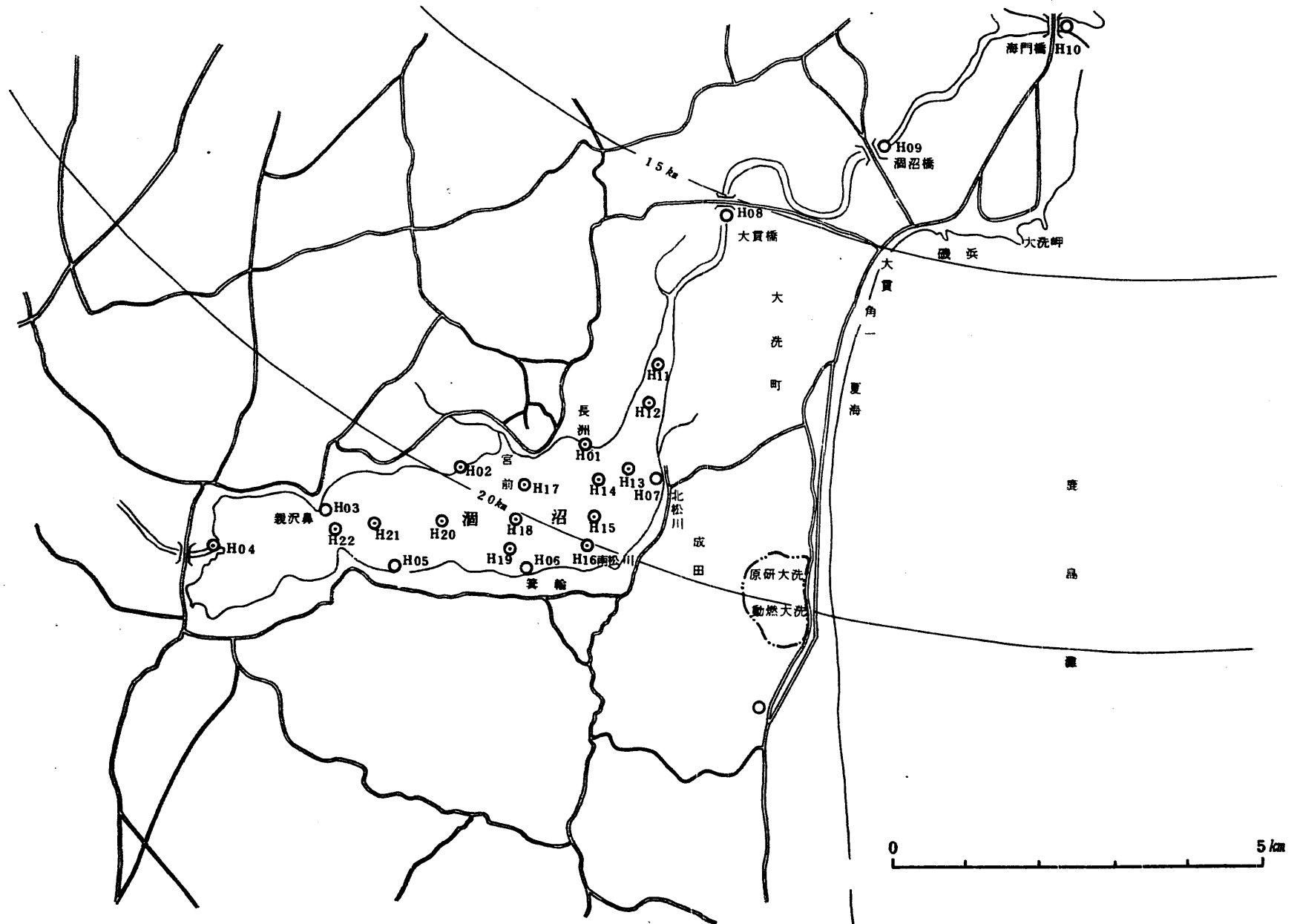


図 7 沼沼・湖沼水・底土採取地点